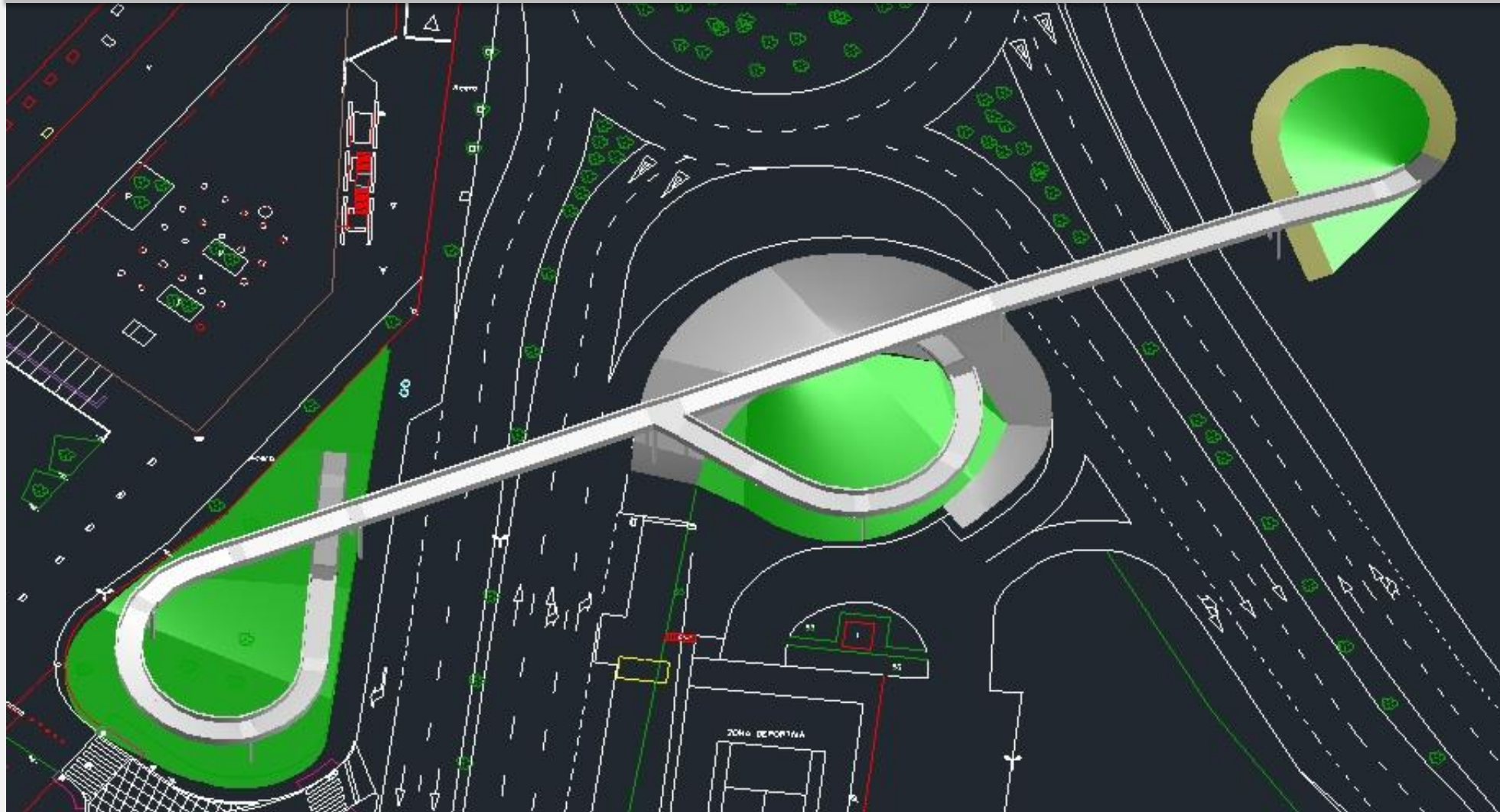


**PASARELA PEATONAL EN LA INTERSECCIÓN DE LA AVDA. RODRÍGUEZ DE VIGURI CON LA AVDA. O CAMIÑO FRANCÉS
(SANTIAGO DE COMPOSTELA)**

**FOOTBRIDGE AT THE INTERSECTION OF RODRÍGUEZ DE VIGURI AVENUE WITH O CAMIÑO FRANCÉS AVENUE
(SANTIAGO DE COMPOSTELA)**



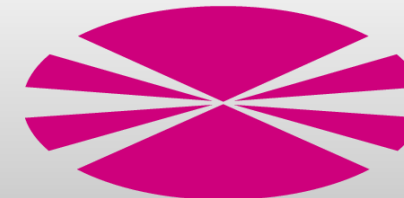
**Grado en Ingeniería de Obras Públicas
Rubén Sánchez Faro
Febrero 2016**



Fundación de la
Ingeniería Civil
de Galicia



Escuela Técnica Superior
de Ingeniería de Caminos,
Canales y Puertos



Universidad de A Coruña



ÍNDICE GENERAL DEL PROYECTO

DOCUMENTO Nº1: MEMORIA

MEMORIA DESCRIPTIVA

MEMORIA JUSTIFICATIVA

Anejo nº 1: Antecedentes.

Anejo nº 2: Cartografía, topografía y replanteo.

Anejo nº 3: Estudio de alternativas.

Anejo nº 4: Estudio geológico.

Anejo nº 5: Estudio geotécnico.

Anejo nº 6: Estudio climatológico.

Anejo nº 7: Cálculo estructural.

Anejo nº 8: Estudio sísmico.

Anejo nº 9: Proceso constructivo.

Anejo nº 10: Prueba de carga.

Anejo nº 11: Protección y conservación.

Anejo nº 12: Afecciones al tráfico.

Anejo nº 13: Acondicionamiento urbano y reposición de servicios.

Anejo nº 14: Gestión de residuos.

Anejo nº 15: Seguridad y salud.

Anejo nº 16: Expropiaciones.

Anejo nº 17: Justificación de precios.

Anejo nº 18: Revisión de precios.

Anejo nº 19: Clasificación del Contratista.

Anejo nº 20: Plan de Obra.

Anejo nº 21: Presupuesto para conocimiento de la Administración.

Anejo nº 22: Impacto ambiental.

Anejo nº 23: Reportaje fotográfico.

DOCUMENTO Nº2: PLANOS CONSTRUCTIVOS

1. SITUACIÓN
 - 1.1 Emplazamiento
 - 1.2 Situación actual
2. DEFINICIÓN GENERAL
 - 2.1 Planta general
 - 2.2 Vanos de cruce
 - 2.3 Rampa 1
 - 2.4 Rampa 2
 - 2.5 Rampa 3
 - 2.6 Sección transversal
3. DEFINICIÓN DE ESTRUCTURA METÁLICA
 - 3.1 Elementos y secciones tipo
 - 3.2 Definición de tramos
 - 3.3 Definición rampa 1
 - 3.4 Definición rampa 2
 - 3.5 Definición rampa 3



- 3.6 Definición vanos de cruce
- 3.7 Secciones transversales
- 3.8 Secciones transversales
- 3.9 Detalle encuentro
- 4. DEFINICIÓN DE PILAS
- 5. DEFINICIÓN DE CIMENTACIONES
 - 5.1 Zapatas
 - 5.2 Estribos
- 6. APOYOS ELASTOMÉRICOS
- 7. FORJADO COLABORANTE
- 8. BARANDILLA
- 9. DRENAJE

DOCUMENTO N°4: PRESUPUESTO

- 1. MEDICIONES
- 2. CUADRO DE PRECIOS N° 1
- 3. CUADRO DE PRECIOS N° 2
- 4. PRESUPUESTO
- 5. RESUMEN DEL PRESUPUESTO

DOCUMENTO N°3: PLIEGO DE PRESCRIPCIONES TÉCNICAS PARTICULARES

- 1. DEFINICIÓN Y ALCANCE DEL PLIEGO
- 2. DESCRIPCIÓN DE LAS OBRAS
- 3. CONDICIONES DE LOS MATERIALES Y MANO DE OBRA
- 4. CONDICIONES DE EJECUCIÓN DE LAS OBRAS
- 5. MEDICIÓN Y ABONO DE LAS OBRAS
- 6. DISPOSICIONES GENERALES



DOCUMENTO N° 1: MEMORIA Y ANEJOS A LA MEMORIA



MEMORIA DESCRIPTIVA



ÍNDICE

1.	ANTECEDENTES Y OBJETO DEL PROYECTO.....	2	14.	EXPROPIACIONES.....	8
2.	SITUACIÓN ACTUAL.....	2	15.	GESTIÓN DE RESIDUOS.....	8
3.	NECESIDADES Y JUSTIFICACIÓN DE LA SOLUCIÓN ADOPTADA.....	2	16.	SEGURIDAD Y SALUD.....	8
4.	USOS DEL SUELO.....	3	17.	IMPACTO AMBIENTAL.....	8
5.	TOPOGRAFÍA.....	3	18.	PLAZO DE EJECUCIÓN Y GARANTÍA.....	9
6.	GEOLOGÍA Y GEOTECNIA.....	3	19.	JUSTIFICACIÓN DE PRECIOS.....	9
7.	NORMATIVA.....	3	20.	REVISIÓN DE PRECIOS.....	9
8.	DESCRIPCIÓN DE LA SOLUCIÓN ADOPTADA.....	3	21.	CLASIFICACIÓN DEL CONTRATISTA.....	9
8.1	GENERALIDADES.....	4	22.	PLAN DE OBRA.....	9
8.2	TABLERO.....	4	23.	PRESUPUESTO.....	9
8.3	PAVIMENTO.....	4	24.	DECLARACIÓN DE OBRA COMPLETA.....	10
8.4	PILAS.....	4	25.	DOCUMENTOS QUE COMPONEN EL PROYECTO.....	10
8.5	ESTRIBOS.....	4	26.	CONCLUSIÓN.....	11
8.6	APARATOS DE APOYO.....	5			
8.7	CIMENTACIONES.....	5			
8.8	BARANDILLA.....	5			
8.9	DRENAJE.....	6			
9.	PRUEBA DE CARGA.....	6			
10.	PROCEDIMIENTO CONSTRUCTIVO.....	6			
11.	ACONDICIONAMIENTO Y REPOSICIÓN.....	7			
12.	CÁLCULOS JUSTIFICATIVOS.....	7			
13.	AFECCIONES AL TRÁFICO.....	7			



1. ANTECEDENTES Y OBJETO DEL PROYECTO

El presente Proyecto se redacta con el objetivo de completar los requisitos académicos necesarios para la obtención del título de Graduado en Ingeniería de Obras Públicas en la Escuela Técnica Superior de Ingeniería de Caminos, Canales y Puertos de la Universidad de A Coruña.

Al margen de los objetivos académicos, a lo largo de este proyecto se definirán y justificarán todos los aspectos necesarios para la construcción de la Pasarela Peatonal en la intersección de la Avda. Rodríguez de Viguri con la Avda. O Camiño Francés (Santiago de Compostela). Para ello se redactan los siguientes documentos: Memoria, Planos Constructivos, Pliego de Prescripciones Técnicas Particulares y Presupuesto.

2. SITUACIÓN ACTUAL

Nos encontramos en Santiago de Compostela, capital administrativa de la Comunidad Autónoma de Galicia. La ciudad consta de 95.800 habitantes (INE 2014) y tiene una superficie de 223 km², estando situada en la zona central de la provincia de A Coruña.

La zona de actuación está situada en el Norte de la ciudad, rodeada por los barrios de Fontiñas, As Cancelas, Salgueiriños y San Caetano. En las inmediaciones se encuentran numerosos edificios de gran relevancia social, como la estación de autobuses, el conservatorio de música, instalaciones deportivas, edificios de oficinas de la Xunta de Galicia y dos centros comerciales.



3. NECESIDADES Y JUSTIFICACIÓN DE LA SOLUCIÓN ADOPTADA

Tras la apertura en Noviembre de 2012 del centro comercial As Cancelas, se ha registrado un incremento importante en las intensidades de tráfico en la zona, no sólo de vehículos sino también peatonal. Los principales obstáculos que se encuentran los peatones que circulan por la zona son la N-550 en la Avenida Rodríguez de Viguri y la N-634 en la Avenida O Camiño Francés, ambas con cinco carriles de circulación (3+2) en el tramo de actuación. Actualmente esto se soluciona mediante sendos pasos de peatones con regulación semafórica, lo cual supone una interrupción en el ritmo de circulación muy poco atractiva y económica, tanto para los viandantes como para los conductores.

Ante esta situación se plantea el diseño y construcción de una pasarela peatonal que permita eliminar la interrupción semafórica en ambas avenidas y conseguir así una circulación más fluida y una mejora de la seguridad vial, disminuyendo el riesgo de atropellos. Sintetizando lo expuesto anteriormente, esta actuación se hace necesaria en los siguientes aspectos:

- Dinamización de una zona con edificios e instalaciones de gran relevancia social
- Tráfico rodado más fluido.
- Eliminación de barreras para los peatones
- Mayor seguridad vial



4. USOS DEL SUELO

Según el PXOM de Santiago de Compostela, la zona de actuación se encuentra en suelo urbano clasificado como zonas libres y zonas verdes, según se puede consultar en el Apéndice I del Estudio de Alternativas.

5. TOPOGRAFÍA

La topografía de la zona es bastante compleja, ya que se pueden diferenciar zonas a distinto nivel, estando a su vez cada una de estas zonas sujeta a pendientes longitudinales siguiendo la traza de la calzada en algunos casos, y pendientes transversales perpendiculares al eje de la carretera en otros.

La parte Oeste, en la N-550 a su paso por la Avenida Rodríguez de Viguri, está situada a una altitud media de 294 metros, con una pendiente longitudinal de la calzada del 4,5% y una pendiente transversal de apenas el 2%.

La parte Este, en la N-634 a su paso por la Avenida O Camiño Francés, presenta una topografía más regular, discurriendo la carretera de forma prácticamente horizontal en su directriz longitudinal, con una altitud media de 299 metros. El margen Este presenta una marcada pendiente ascendente.

El tramo central que enlaza las dos Avenidas, está caracterizado topográficamente por una pendiente de aproximadamente un 12%, ascendente en dirección O-E, es decir, desde la N-550 hacia la N-634.

6. GEOLOGÍA Y GEOTÉCNIA

Estudiando la geología de la zona y después de los ensayos realizados en el Estudio Geotécnico, se puede concluir que el terreno de la zona donde se asienta la estructura está formado principalmente por cuatro niveles geotécnicos. La capa más superficial está compuesta por tierra vegetal y un relleno antrópico de suelo limo-arcilloso de grado V, seguida por una capa de rocas metamórficas muy meteorizadas de grado IV. A continuación tenemos ya un terreno con resistencia elevada de esquisto moderadamente meteorizado de grado III, que se asienta sobre un estrato formado por roca prácticamente sana de grado II.

Después de las investigaciones llevadas a cabo podemos suponer las siguientes condiciones en el subsuelo de la zona de estudio:

- El nivel freático no aflora ni en las calicatas ni en ninguno de los cuatro sondeos realizados, por lo que se deduce que es inferior a la cota de cimentación.
- Teniendo en cuenta los datos obtenidos con los sondeos y los ensayos de penetración dinámica, las cimentaciones de la estructura en ambas avenidas podrán ejecutarse en el estrato de grado III dado su menor grado de alteración y dada la proximidad del estrato rocoso de grado II compuesto por roca prácticamente sana.

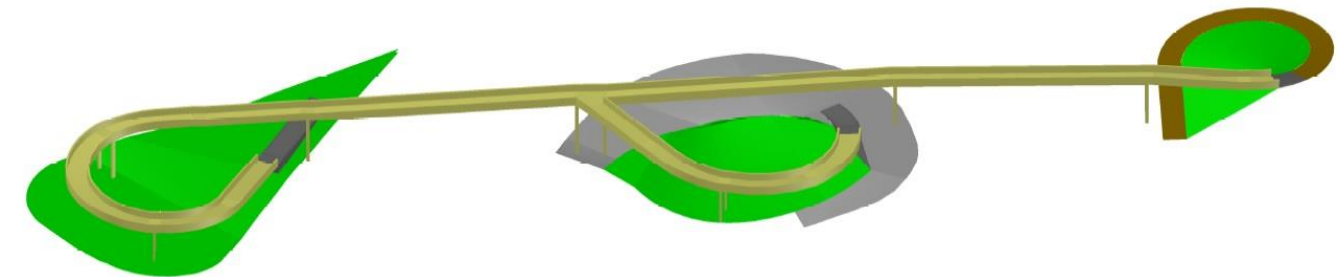
- Realizando las cimentaciones en el estrato anteriormente indicado podrá considerarse una capacidad portante del terreno para el cálculo de las zapatas de 5kp/cm².

7. NORMATIVA

Para la redacción del presente proyecto se han tenido en cuenta principalmente las siguientes Normas y Reglamentos:

- Instrucción de Hormigón Estructural (EHE-08).
- Instrucción de Acero Estructural (EAE-11).
- Instrucción Sobre las Acciones a considerar en el Proyecto de Puentes de carretera (AIP-11).
- Recomendaciones para el Proyecto de Puentes Metálicos para carreteras (RPM-95).
- Código Técnico de la Edificación (CTE-08).

8. DESCRIPCIÓN DE LA SOLUCIÓN ADOPTADA



Mediante este apartado se pretende proporcionar una visión clara de los elementos fundamentales que componen la alternativa elegida tras el Estudio de Alternativas realizado para el proyecto de “Pasarela peatonal en la intersección de la Avda. Rodríguez de Viguri con la Avda. O Camiño Francés (Santiago de Compostela)”.

Con la construcción de dicha pasarela se trata de materializar un paso a distinto nivel que permita a los viandantes circular de forma fluida por la zona, pudiendo cruzar ambas avenidas de forma más segura y sin que estas supongan una barrera. Se eliminan además los pasos de peatones y con ellos la interrupción semafórica, permitiendo un tráfico más fluido y económico de los vehículos a motor.

A continuación se describen las características más importantes de la estructura, cuyos elementos ya se han definido geoméricamente en el Documento N° 2: Planos, así como los aspectos más relevantes de su construcción.



8.1 GENERALIDADES

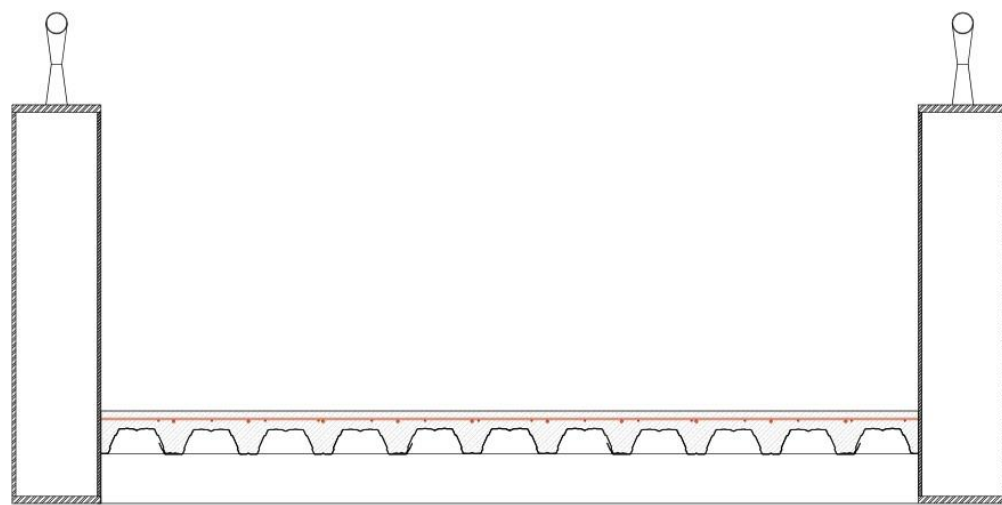
La pasarela está compuesta por seis tramos diferenciados, tres rampas en curva y tres vanos que conforman el tramo de cruce. El vano mayor es el intermedio con una longitud de aproximadamente 34 metros. Los desarrollos de las rampas, incluyendo descansillos, van desde los 85 metros de la rampa 1(Oeste) hasta los 18 metros de la rampa 3(Este).

La estructura se sostiene mediante pares de pilas de sección rectangular metálica, apoyándose también en tres estribos situados al final de cada rampa. En el tramo central de la estructura se dispone una junta de dilatación para permitir el desplazamiento horizontal de las partes y evitar así los esfuerzos provocados por los incrementos térmicos.

8.2 TABLERO

El tablero presenta un esquema biáxica, con dos vigas longitudinales de acero trabajando principalmente a flexión, unidas o arriostradas mediante barras transversales de acero de sección rectangular. La separación entre ejes de las vigas longitudinales es de 2,55 metros, siendo el ancho total del tablero de 2,8 metros. Las barras transversales se disponen a intervalos regulares según la longitud de cada tramo, siendo su separación media de 1,8 metros.

La sección de las vigas longitudinales es un perfil rectangular de 1,12 metros de altura por 0,25 metros de ancho, siendo las chapas verticales de 10 milímetros y las horizontales de 20 milímetros. En cuanto a las barras transversales, presentan una sección cuadrada de 140 x 140 milímetros y espesor variable en función de las solicitaciones de cálculo.



Sección transversal (Vigas longitudinales, barras transversales, forjado colaborante y barandillas).

8.3 PAVIMENTO

El pavimento utilizado será un forjado mixto de chapa colaborante. Es el elemento que va a recibir directamente las sobrecargas de uso y está formado por una chapa grecada que realiza la función de encofrado perdido del hormigón de la losa, y posteriormente actúa como armadura de positivos cuando el hormigón ha fraguado. El hormigón que forma la losa de 5 cm de espesor, es un HA-30/B/20/IIa.

La conexión del forjado colaborante de chapa grecada con las barras transversales de la estructura se realiza mediante conectores HILTI X-HVB 95, anclados mediante clavos aplicados con pistola.

8.4 PILAS

El tablero se apoya sobre parejas de pilas de acero de sección rectangular dispuestas de forma paralela. Tras realizar el dimensionamiento mediante el modelo de cálculo, obtenemos tres secciones diferentes, una de 400x280x16 otra de 400x280x25 y otra de 240x240x16.

En el tramo central, donde confluyen la rampa central y los vanos 1 y 2 (Oeste y central), las pilas se arriostran mediante una viga de acero de 280x280x25 formando dos pórticos que además de rigidizar la estructura, sirven de apoyo al tablero en la zona de la junta de dilatación.

8.5 ESTRIBOS

Los estribos constituyen el apoyo extremo de la estructura permitiendo, a través de los aparatos de apoyo elastoméricos, que se produzcan las deformaciones debidas a los incrementos térmicos, y también las correspondientes a las acciones directas que actúan sobre el tablero. Los estribos 1 y 2 (Oeste y Central) son cerrados, ya que disponen de unos muros laterales a modo de aletas que encierran en su interior el relleno que conforma el terraplén de acceso a la pasarela. En el estribo 3 se prescinde de estos muros laterales, y el terraplén se realiza tanto frontal como lateralmente mediante material de relleno y terreno propio de la zona, disponiendo en la parte superior una capa de 10 cm de hormigón en masa HM-30, que constituye el pavimento de la rampa. El hormigón empleado en muros y estribos es un HA-30/B/20/IIa y el hormigón de limpieza es un HM-10.

El estribo 1 tiene como base una capa de 10 cm de hormigón de limpieza sobre la que se ejecuta una zapata corrida de 35 cm de canto, con 70 cm de vuelo tanto en intradós como en trasdós. El muro tiene una altura total de 1,70 m, un espesor de 55 cm y una longitud de 2,8 m (correspondiente al ancho total del tablero), con un murete de guarda de 65 cm de altura y 30 cm de espesor.

En el estribo 2 la zapata corrida tiene 40 cm de canto y vuelos de 50 cm tanto en intradós como en trasdós. El muro tiene una altura total de 1,30 m, un espesor de 55 cm y una longitud de 2,8 m, con un murete de guarda de 60 cm de altura y 30 cm de espesor.



El muro del estribo 3 tiene las mismas características que en el estribo 2 exceptuando el canto de la zapata que es de 35cm, y el vuelo de intradós y trasdós que pasa a ser de 60 cm.

Los estribos 1 y 2 se rellenan con material granular, dejando los últimos 10 cm hasta la coronación de los muros para el pavimento de hormigón en masa HM-30 con mallazo de reparto de 200x300 mm y diámetro de 5 mm.

8.6 APARATOS DE APOYO

Los aparatos de apoyo empleados en la estructura son apoyos elastoméricos armados, con unas dimensiones de 200x300 mm y una altura total de 60 mm.

Estos apoyos están fabricados mediante capas de caucho clorado completamente sintético, entre las cuales se encuentran intercaladas chapas de acero completamente recubiertas por el material elastomérico. Las diferentes capas están unidas entre sí y con las chapas mediante un estudiado proceso de vulcanización, de forma que bajo la acción de las cargas, no puedan desplazarse en absoluto unas sobre otras.

Estos apoyos permiten absorber movimientos en una o varias direcciones, transmitir cargas de un elemento constructivo a otro y liberar los movimientos provocados por acciones térmicas, reduciendo así los esfuerzos en el tablero.

Para que la superficie de tránsito sea continua se colocan juntas de dilatación constituidas por una banda de material elastomérico con refuerzos interiores de acero, que absorben los movimientos de la estructura.

8.7 CIMENTACIONES

Las cimentaciones de la estructura se han realizado mediante 6 zapatas combinadas que recogen una pareja de pilas cada una, y una losa de cimentación que recoge las pilas 7,8 9 y 10, situadas en el tramo central. Todos los elementos de cimentación se asientan sobre una capa de 10 cm de hormigón de limpieza. El hormigón empleado en todas las zapatas es un HA-30/B/20/IIa y el acero para armaduras consiste en barras corrugadas B500S. A continuación se describen brevemente los distintos elementos de cimentación, pudiendo consultar detalles sobre armado y placas de anclaje en el documento nº 2: Planos.

La zapata 1 recoge las pilas 1y2 y tiene forma paralelepípedica, con unas dimensiones en planta de 4,05x0,85 m y un canto de 0,55 m. Las placas de anclaje tienen unas dimensiones de 350x350x15mm, con 4 pernos de 16 mm cada una.

La zapata 2 recoge las pilas 3y4 y tiene forma paralelepípedica, con unas dimensiones en planta de 3,8x1,8 m y un canto de 1 m. Las placas de anclaje tienen unas dimensiones de 800x700x45 mm, con 8 pernos de 40 mm cada una.

La zapata 3 recoge las pilas 5y6 y tiene forma paralelepípedica, con unas dimensiones en planta de 3,7x1,7 m y un canto de 1 m. Las placas de anclaje tienen unas dimensiones de 750x650x40mm, con 8 pernos de 40mm cada una.

La zapata 4 recoge las pilas 11y12 y tiene forma paralelepípedica, con unas dimensiones en planta de 4,4x1,05 m y un canto de 0,75 m. Las placas de anclaje tienen unas dimensiones de 550x550x35mm, con 8 pernos de 25 mm cada una.

La zapata 5 recoge las pilas 13y14 y tiene forma paralelepípedica, con unas dimensiones en planta de 3,6x1,45 m y un canto de 0,85 m. Las placas de anclaje tienen unas dimensiones de 650x550x35mm, con 12 pernos de 25 mm cada una.

La zapata 6 recoge las pilas 15y16 y tiene forma paralelepípedica, con unas dimensiones en planta de 3,7x2,45m y un canto de 1m. Las placas de anclaje tienen unas dimensiones de 750x650x40 mm, con 8 pernos de 40 mm cada una.

La losa de cimentación recoge las pilas 7,8,9y10 y tiene forma rectangular con unas dimensiones en planta de 4,4x3,55 y un canto de 0,8 m. Las placas de anclaje tienen unas dimensiones de 600x500x30mm, con 8 pernos de 25 mm cada una.

8.8 BARANDILLA

La barandilla se compone de chapas verticales con forma de doble cono invertido, de 10 mm de espesor, separadas 1,6 m, y un pasamanos formado por un perfil circular hueco de 60 mm de diámetro y 4mm de espesor, alcanzando el conjunto una altura total de 26 cm. El conjunto formado por las vigas longitudinales y las barandillas permite alcanzar una altura de seguridad de 1,12 m desde la superficie del pavimento.

Los soportes verticales son de acero S275JR, y se sueldan directamente a las vigas longitudinales de la estructura. El pasamanos es de acero S235-JR con acabado pulido.



8.9 DRENAJE

El drenaje del tablero se dispondrá en los puntos bajos de cada uno de los vanos en pendiente que presenta la geometría de la pasarela. Se trata por tanto de 8 puntos, uno en el punto más bajo del Vano 1, uno en el punto más bajo del Vano 2, tres en los puntos bajos relativos de la Rampa 1, dos en los puntos bajos relativos de la Rampa 2 y uno en el punto bajo de la Rampa 3. El sistema de drenaje consiste en la perforación simétrica de dos orificios verticales en los extremos del tablero en los puntos anteriormente citados, indicados en los planos correspondientes. En dichos orificios verticales se introducirá un tubo de PVC que permite evacuar el agua y a la vez aislar el hormigón y el acero que forman el pavimento. El agua llegará a dichos orificios recogida mediante una pequeña rejilla metálica con la pendiente adecuada (1,5 %).

9. PRUEBA DE CARGA

Para la realización de las pruebas de carga se tendrán en cuenta los criterios establecidos en las “Recomendaciones para el proyecto y ejecución de pruebas de carga en puentes de carretera” del Ministerio de Fomento (1999).

Se aplicará la sobrecarga sobre el pavimento. Las sobrecargas se dispondrán de manera que se alcance el 75% de la carga producida por la sobrecarga de la instrucción en las secciones críticas.

Dado que la sobrecarga de uso es de 5 KN/m², el estado de carga que se considerará para la presente prueba será una carga repartida de 3,75 KN/m². Definiremos los dos estados de carga siguientes:

Estado de carga 1

Carga repartida de 3,75 KN/m² sobre todo el ancho del tablero considerado. Dado que el tablero tiene una superficie útil de 524,58 m², debemos disponer una carga total de 1967,19 KN, lo que equivale a 4010 sacos de 50 kg cada uno, repartidos uniformemente a lo largo del tablero.

Estado de carga 2

Carga repartida de 3,75 KN/m² únicamente en la mitad de la sección del tablero considerado, para reproducir de esta forma posibles fenómenos de torsión. Este segundo caso equivale a una carga total de 983,60 KN, lo cual se puede materializar con 2005 sacos de 50 kg cada uno, repartidos a lo largo de una mitad de la sección del tablero.

Los criterios de aceptación de esta prueba, los puntos de control considerados, su ubicación y los valores de flecha esperados, se detallan en el correspondiente Anejo de Prueba de Carga, que incluye el proyecto completo de realización de la prueba.

10. PROCEDIMIENTO CONSTRUCTIVO

El proceso constructivo que se describe a continuación no tiene un carácter contractual, sino orientativo, de manera que podrá ser modificado por el constructor atendiendo a sus necesidades o sus medios. De todos modos, el procedimiento propuesto se compone a grandes rasgos de las siguientes fases:

Fase 1

- Replanteo inicial, trabajos previos (despeje y desbroce del terreno, desmontes, etc...) y acopio de materiales.
- Ejecución de muros y estribos, con su ferralla y hormigonado, y relleno de terraplenes. Disposición de apoyos elastoméricos en los cabezales de estribos.
- Ejecución de zapatas, con su ferralla y hormigonado, quedando en espera las barras corrugadas para el anclaje de los soportes.
- Ensamblaje en obra, colocación y anclaje adecuado de castilletes metálicos.
- Colocación de las pilas asegurándose de que las placas de anclaje garantizan un adecuado empotramiento a las zapatas.

Fase 2

- Se disponen los diferentes módulos que forman las rampas sobre las pilas, prestando especial atención a la consecución de la penetración completa de las soldaduras. Se utilizarán los castilletes para apoyar algunos tramos hasta que se realice la unión mediante soldadura al siguiente tramo.
- Se disponen los módulos que forman el Vano 2 (Central), anclando previamente mediante soldadura los apoyos elastoméricos en cabeza de las pilas 9 y 10. Se hará uso de castillete metálico para el apoyo de tramos, hasta que se realice la unión mediante soldadura de los mismos.

Fase 3

- Se disponen los módulos que forman el Vano 1(Oeste), anclando previamente mediante soldadura los apoyos elastoméricos en cabeza de las pilas 7 y 8. Se hará uso de castillete metálico para el apoyo de tramos, hasta que se realice la unión mediante soldadura de los mismos.
- Se disponen los módulos que forman el Vano 3(Este), haciendo uso de castillete metálico para el apoyo de los tramos en la zona de unión, hasta que se realice la soldadura de los mismos.



Fase 4

- Realizadas todas las operaciones anteriores, se procede con la retirada de los castilletes de apoyo provisional, intentando que la entrada en carga de la estructura se produzca de manera progresiva para evitar posibles efectos dinámicos.
- Colocación del forjado de chapa grecada y hormigonado del mismo, disponiendo la correspondiente armadura de negativos en los tramos donde sea necesario (Ver Anejo de cálculo estructural).

Fase 5

- Replanteo final de la obra utilizando métodos topográficos.
- Ejecución de la reglamentaria prueba de carga, tomando medidas de flechas y comparando con los valores teóricos.
- Remates y restitución de todos los servicios afectados.

11. ACONDICIONAMIENTO Y REPOSICIÓN

Como consecuencia del procedimiento constructivo para la ejecución de las obras, se afectará de forma considerable a las tres zonas ajardinadas situadas en los márgenes de las dos Avenidas, así como a la pavimentación de las aceras debido a la ejecución de las pilas y estribos. También se prevé la posible afectación a la zona de aparcamiento en el tramo central, donde se establecerá, de ser necesario, una zona de acopio debidamente vallada.

Tras la conclusión de las obras se realizará en la zona una renovación del mobiliario urbano. Todos los elementos se encuentran definidos en el Pliego de Prescripciones Técnicas Particulares, y se trata de que mantengan la armonía estética con el resto de la zona.

Los desperfectos adicionales ocasionados a pavimento, mobiliario urbano, etc. durante la ejecución de las obras, así como su posterior reposición y acondicionamiento, serán responsabilidad del contratista. De igual manera cuando finalicen las obras se procederá a la limpieza de la zona y a la retirada del material sobrante y maquinaria (objeto de la partida alzada de abono íntegro para limpieza y terminación).

El acondicionamiento urbano y la reposición de servicios afectados expuestos en este Anejo se tratan (con las excepciones mencionadas anteriormente) como unidades de obra independientes en el Presupuesto.

No se realiza, teniendo en cuenta el carácter académico de este proyecto, un estudio exhaustivo de servicios afectados y de su reposición, tal y como habría que hacer en un proyecto real. Para conocimiento del contratista y de la dirección de obra se indica únicamente la presencia de la red de alumbrado.

12. CÁLCULOS JUSTIFICATIVOS

En el Anejo nº 7: Cálculo estructural se realizan todos los análisis y cálculos necesarios para justificar, desde un punto de vista técnico, la solución adoptada para la estructura.

Se realizan, entre otros, cálculos relativos a Estado Límite Último de tensiones, Estado Límite de Servicio de deformaciones, Estado Límite de Servicio de vibraciones, cálculo de cimentaciones, etc. Para ello cuando se hace necesario se emplean los siguientes programas:

- SAP 2000: se realiza un modelo de barras para el cálculo de esfuerzos y deformaciones sobre la estructura metálica para las distintas combinaciones de carga posibles.
- CYPECAD: mediante los distintos módulos de cálculo, a partir de las cargas obtenidas para la estructura y la capacidad portante del terreno, se realiza el cálculo de las placas de anclaje, las cimentaciones y los estribos.

La normativa técnica seguida para realizar el dimensionamiento y las comprobaciones necesarias es la que se detalla a continuación:

- Instrucción sobre las Acciones a considerar en el Proyecto de Puentes de carretera (IAP-11).
- Instrucción de Hormigón Estructural (EHE-08).
- Recomendaciones para el Proyecto de Puentes Metálicos para Carretera (RPM-95).
- Código Técnico de la Edificación (CTE-08).

13. AFECCIONES AL TRÁFICO

Debido a las características del proceso constructivo, en el que toda la estructura se realiza en taller y se traslada a obra en distintos módulos para su colocación definitiva, se entiende que la afección al tráfico será la mínima posible.

Las obras afectarán a la circulación de la Avenida Rodríguez de Viguri de forma directa, especialmente durante el montaje por medio de grúa telescópica autopropulsada del tablero correspondiente al Vano 1 que la cruza. Para la colocación de este tramo se requiere el montaje previo de los castilletes metálicos. La posición de estos apeos provisionales se ha proyectado con el fin de no eliminar de forma total el tráfico durante su montaje. De esta forma pueden seguir habilitados al menos dos carriles, uno por cada sentido de circulación.



Las obras también afectarán directamente a la circulación en la Avenida de O Camiño Francés, especialmente durante la colocación mediante grúa del tablero del Vano 3 que la cruza. También al igual que en el Vano 1, se requiere para la colocación de este tramo el montaje previo de los castilletes provisionales, posicionados de tal forma que se podrá habilitar en todo momento al menos un carril por cada sentido de circulación.

14. EXPROPIACIONES

Considerando que el suelo de la zona de actuación es de dominio público, no será necesario llevar a cabo ningún tipo de expropiación. Por tanto, el Presupuesto para Conocimiento de la Administración coincide con el Presupuesto de Ejecución por Contrata del Documento N° 4.

Además no se afecta a ninguna zona privada colindante por lo que tampoco se entra en la obligación de indemnizar a particulares o comunidades de vecinos. Aun así, todo ello no exime al contratista de la reparación de cualquier afección que se pueda ocasionar a la zona.

15. GESTIÓN DE RESIDUOS

El Estudio de Gestión de Residuos trata de cumplir con el RD 105/2008, que tiene el objetivo de establecer el régimen jurídico de la producción y gestión de los residuos de construcción y demolición, con el fin de fomentar, por este orden, su prevención, reutilización, reciclado y otras formas de valoración, asegurando que los destinados a operaciones de eliminación reciban un tratamiento adecuado, y contribuir a un desarrollo sostenible de la actividad de construcción.

El ámbito de aplicación de este Real Decreto abarca todos los residuos generados en las obras de construcción y demolición, a excepción de tierras y piedras no contaminadas por sustancias peligrosas que se destinen a la reutilización, y de determinados residuos de industrias extractivas reguladas por su legislación específica.

Según lo establecido en este Real Decreto, los proyectos de ejecución de obras de construcción y/o demolición incluirán un estudio de gestión de los residuos de construcción y demolición, en el cual se reflejen la cantidad estimada de los residuos que se generarán durante el desarrollo de los trabajos, las medidas genéricas de prevención que se adoptarán, el proceso al que se destinarán los residuos, las medidas de separación, unas prescripciones sobre manejo y otras operaciones, así como una valoración de los costes derivados de su gestión, que formará parte del presupuesto del proyecto.

También en él se establecen los deberes de los poseedores de residuos (constructor, subcontratistas, trabajadores autónomos,). Estos tendrán que presentar a la propiedad un Plan de Gestión de los Residuos, que habrá de ser aprobado por la Dirección Facultativa, y que, una vez aprobado, pasará a formar parte de los documentos contractuales de la obra.

El Presupuesto de Ejecución Material para la Gestión de Residuos asciende a la cantidad de OCHO MIL QUINIENTOS SIETE EUROS con CINCUENTA Y CUATRO CÉNTIMOS (8.507,54 €), que se incluye en el correspondiente Presupuesto de Ejecución Material del presente Proyecto.

16. SEGURIDAD Y SALUD

Conforme al Real Decreto 1627/1997, de 24 de Octubre, por el que se establecen las disposiciones mínimas de seguridad y salud en las obras de nueva construcción, se incluye en el Anejo n° 15 el correspondiente Estudio de Seguridad y Salud, en el que se definen las medidas a tomar en el presente Proyecto y que consta de memoria, planos, pliego de prescripciones técnicas particulares y presupuesto.

En dicho estudio se describen los medios necesarios para asegurar la higiene y seguridad de los trabajadores, las condiciones que deben satisfacer dichos medios, elementos e instalaciones, así como su ubicación, pruebas y su valoración.

El presupuesto de ejecución material asciende a la expresada cantidad de DIECISEIS MIL DOSCIENTOS CUARENTA Y NUEVE EUROS con CINCO CÉNTIMOS (16.249,05 €), que se incluye en el correspondiente Presupuesto de Ejecución Material del presente Proyecto.

17. IMPACTO AMBIENTAL

La normativa vigente sobre impacto ambiental en obras de este tipo es la Ley 21/2013, de 9 de Diciembre. En los Anejos I, II y III, vienen definidos los casos en los que se hace necesario este estudio:

- Anejo I. Actividades sujetas a procedimientos de evaluación de incidencia ambiental (Proyectos sometidos a la evaluación ambiental ordinaria regulada en el título II, capítulo II, sección 1ª). No se puede encuadrar este proyecto en las actividades aquí descritas.
- Anejo II. Proyectos sometidos a la evaluación ambiental simplificada regulada en el título II, capítulo II, sección 2ª. No se puede encuadrar este proyecto en las actividades aquí descritas.
- Anejo III: Criterios mencionados en el artículo 47.5 para determinar si un proyecto del anexo II debe someterse a evaluación de impacto ambiental ordinaria.

Entre las obras reflejadas en estos anejos no se incluye ninguna de características iguales o similares a la efectuada en este proyecto por lo que estrictamente no sería necesario someter a un E.I.A a la obra proyectada.

Cabe destacar también que la zona de ejecución de las obras se encuentra fuera del alcance de la RED NATURA 2000.



18. PLAZO DE EJECUCIÓN Y GARANTÍA

El plazo de ejecución propuesto es de ocho (8) meses tal y como puede consultarse en el Anejo nº 20: Plan de Obra, donde se incluye un diagrama de Gantt con un programa secuencial de ejecución de los trabajos.

El plazo de ejecución citado tiene carácter únicamente orientativo. Dicho plazo se justifica en el Plan de Obra, con sus tiempos y sus costes.

Asimismo, se propone un plazo de Garantía de DOCE (12) meses, que empezarán a contar a partir de la recepción provisional de las obras.

19. JUSTIFICACIÓN DE PRECIOS

Para la obtención de los precios de las unidades de obra que figuran en los Cuadros de Precios nº1 y nº2 del Documento nº4: Presupuesto, se ha redactado el Anejo nº 17: Justificación de precios, en el cual se evalúan los costes directos e indirectos que influyen en cada partida.

Los costes indirectos son aquellos que tienen lugar en el recinto de la obra sin que puedan adjudicarse a ninguna unidad en concreto. Son imputables, por tanto, a todo el conjunto de la obra. Su valor se calcula como un porcentaje de los costes directos y se considerará igual para todas las unidades de obra. Para su determinación se aplicará lo prescrito en los Art. 67 y 68 del Reglamento General de Contratación del Estado y en la Orden Ministerial de 12 Junio de 1968 del Ministerio de Obras Públicas, donde se establecen las Normas Complementarias de los Art. 67 y 68 del Reglamento General. Teniendo en cuenta que se trata de una obra terrestre y haciendo los cálculos pertinentes se obtiene un porcentaje de costes indirectos de 6% de los costes directos.

Para el cálculo de los costes directos, que se subdividen en mano de obra, materiales y maquinaria, se ha empleado el software PRESTO 8.8.

20. REVISIÓN DE PRECIOS

El artículo 89 (procedencia y límites) del capítulo II (Revisión de precios en los contratos de las Administraciones Públicas) del Real Decreto Legislativo 3/2011, por el que se aprueba el texto refundido de la Ley de Contratos del Sector Público, dice en su punto número 1:

“La revisión de precios en los contratos de las Administraciones Públicas tendrá lugar, en los términos establecidos en este Capítulo y salvo que la improcedencia de la revisión se hubiese previsto expresamente en los pliegos o pactado en el contrato, cuando éste se hubiese ejecutado, al menos, en el 20 por 100 de su importe y hubiese transcurrido un año desde su formalización. En consecuencia, el primer 20 por 100 ejecutado y el primer año transcurrido desde la formalización quedarán excluidos de la revisión”.

En virtud de lo establecido en dicho punto y teniendo en cuenta que el tiempo estimado de ejecución de las obras es inferior a 12 meses, no procede la revisión de precios. A pesar de ello, y por existir la posibilidad de que surjan retrasos, se desarrolla la fórmula a emplear, que se puede consultar en el Anejo nº 18: Revisión de Precios.

21. CLASIFICACIÓN DEL CONTRATISTA

El Presupuesto Base de licitación del presente proyecto (sin IVA) asciende al valor de 491.150,14 €, por lo que, al encontrarse bajo el umbral de 500.000 € establecido por la ley, no es necesario llevar a cabo la clasificación de contratista. Toda la información necesaria y de interés a este respecto puede encontrarse en el Anejo nº 19: Clasificación del Contratista.

22. PLAN DE OBRA

La Ley de Contratos del Sector Público, aprobada mediante el Real Decreto Legislativo 30/2007, de 30 de Octubre, establece que los proyectos de obras deberán comprender al menos un programa de desarrollo de los trabajos o Plan de Obra de carácter indicativo, con previsión de tiempo y coste.

Según se recoge en el artículo 132 del Reglamento General de la Ley de Contratos de las Administraciones Públicas, el programa debe contener los plazos de ejecución de las distintas partes fundamentales de la obra, determinándose el importe que corresponda abonar en cada uno de ellos.

Este programa es meramente indicativo y no tiene carácter vinculante para el contratista.

23. PRESUPUESTO

Aplicando a las Mediciones el Cuadro de Precios, se obtiene automáticamente el Presupuesto de Ejecución Material parcial para cada capítulo, cuya suma da lugar al Presupuesto de Ejecución Material de la obra.

El Presupuesto de Ejecución Material del presente Proyecto asciende a la cantidad de CUATROCIENTOS DOCE MIL SETECIENTOS TREINTA Y UN EUROS con VEINTIÚN CÉNTIMOS (412.731,21 €)

Del Presupuesto de Ejecución Material se obtiene directamente el Presupuesto Base de Licitación, sin más que adicionar a la cantidad resultante el 13% en concepto de gastos generales y el 6% en concepto de beneficio industrial, ascendiendo éste a la cantidad de CUATROCIENTOS NOVENTA Y UN MIL CIENTO CINCUENTA EUROS con CATORCE CÉNTIMOS (491.150,14 €).



Aplicando al importe anterior un I.V.A. del 21%, vigente en la fecha de redacción del proyecto, se obtiene que el Presupuesto Base de Licitación con I.V.A. del presente Proyecto asciende a la cantidad de QUINIENTOS NOVENTA Y CUATRO MIL DOSCIENTOS NOVENTA Y UN EUROS con SESENTA Y SIETE CÉNTIMOS (594.291,67 €).

Finalmente, el Presupuesto para Conocimiento de la Administración coincide con el Presupuesto Base de Licitación más I.V.A, debido a la ausencia de expropiaciones.

24. DECLARACIÓN DE OBRA COMPLETA

En cumplimiento de lo establecido en el artículo 125 del Reglamento general de la Ley de Contratos de las Administraciones Públicas, se manifiesta expresa y justificadamente que el presente Proyecto se refiere a una obra completa, entendiéndose como tal la susceptible de ser entregada al uso público, sin perjuicio de las ulteriores ampliaciones de que posteriormente pueda ser objeto, y comprende todos y cada uno de los elementos que son precisos para la utilización de la obra.

25. DOCUMENTOS QUE COMPONEN EL PROYECTO

DOCUMENTO Nº1: MEMORIA

MEMORIA DESCRIPTIVA

MEMORIA JUSTIFICATIVA

Anejo nº 1: Antecedentes.

Anejo nº 2: Cartografía, topografía y replanteo.

Anejo nº 3: Estudio de alternativas.

Anejo nº 4: Estudio geológico.

Anejo nº 5: Estudio geotécnico.

Anejo nº 6: Estudio climatológico.

Anejo nº 7: Cálculo estructural.

Anejo nº 8: Estudio sísmico.

Anejo nº 9: Proceso constructivo.

Anejo nº 10: Prueba de carga.

Anejo nº 11: Protección y conservación.

Anejo nº 12: Afecciones al tráfico.

Anejo nº 13: Acondicionamiento urbano y reposición de servicios.

Anejo nº 14: Gestión de residuos.

Anejo nº 15: Seguridad y salud.

Anejo nº 16: Expropiaciones.

Anejo nº 17: Justificación de precios.

Anejo nº 18: Revisión de precios.

Anejo nº 19: Clasificación del Contratista.

Anejo nº 20: Plan de Obra.

Anejo nº 21: Presupuesto para conocimiento de la Administración.

Anejo nº 22: Impacto ambiental.

Anejo nº 23: Reportaje fotográfico.

DOCUMENTO Nº2: PLANOS CONSTRUCTIVOS

1. SITUACIÓN

1.1 Emplazamiento

1.2 Situación actual

2. DEFINICIÓN GENERAL

2.1 Planta general

2.2 Vanos de cruce

2.3 Rampa 1

2.4 Rampa 2

2.5 Rampa 3

2.6 Sección transversal



3. DEFINICIÓN DE ESTRUCTURA METÁLICA

- 3.1 Elementos y secciones tipo
- 3.2 Definición de tramos
- 3.3 Definición rampa 1
- 3.4 Definición rampa 2
- 3.5 Definición rampa 3
- 3.6 Definición vanos de cruce
- 3.7 Secciones transversales
- 3.8 Secciones transversales
- 3.9 Detalle encuentro

4. DEFINICIÓN DE PILAS

5. DEFINICIÓN DE CIMENTACIONES

- 5.1 Zapatas
- 5.2 Estribos

6. APOYOS ELASTOMÉRICOS

7. FORJADO COLABORANTE

8. BARANDILLA

9. DRENAJE

DOCUMENTO N°3: PLIEGO DE PRESCRIPCIONES TÉCNICAS PARTICULARES

- 1. DEFINICIÓN Y ALCANCE DEL PLIEGO
- 2. DESCRIPCIÓN DE LAS OBRAS
- 3. CONDICIONES DE LOS MATERIALES Y MANO DE OBRA
- 4. CONDICIONES DE EJECUCIÓN DE LAS OBRAS
- 5. MEDICIÓN Y ABONO DE LAS OBRAS

6. DISPOSICIONES GENERALES

DOCUMENTO N°4: PRESUPUESTO

- 1. MEDICIONES
- 2. CUADRO DE PRECIOS N° 1
- 3. CUADRO DE PRECIOS N° 2
- 4. PRESUPUESTO
- 5. RESUMEN DEL PRESUPUESTO

26. CONCLUSIÓN

Considerando que el presente Proyecto Fin de Grado, con título “Pasarela peatonal en la intersección de la Avda. Rodríguez de Viguri con la Avda. O Camiño Francés (Santiago de Compostela)”, está redactado correctamente y cumple las disposiciones vigentes, se somete a la autoridad competente para su aprobación, si procede.

Santiago de Compostela, Febrero 2016

El autor del Proyecto:

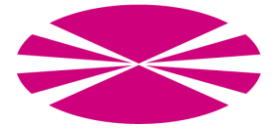
Rubén Sánchez Faro



MEMORIA JUSTIFICATIVA



ANEJO Nº 1: ANTECEDENTES



ÍNDICE

1. INTRODUCCIÓN.....2
2. SITUACIÓN ACTUAL Y JUSTIFICACIÓN DEL PROYECTO.....2



1. INTRODUCCIÓN

El presente proyecto de “Pasarela peatonal en la intersección de la Avda. Rodríguez de Viguri con la Avda. O Camiño Francés (Santiago de Compostela)” tiene la finalidad de cumplir con los requisitos académicos establecidos para obtener el título de Graduado en Ingeniería de Obras Públicas en la Escuela Técnica Superior de Ingeniería de Caminos Canales y Puertos de la Universidad de A Coruña.

En el proyecto se propone el diseño y construcción de una pasarela peatonal que cruce las avenidas de Rodríguez de Viguri, en la N-550, y O Camiño Francés, en la N-634, situadas en la zona norte de la ciudad de Santiago de Compostela. El objetivo final es conectar de una forma más eficiente y segura el Centro Comercial de As Cancelas y el parque adyacente al mismo con el margen Oeste de la N-550, donde se ubica la estación de autobuses, los edificios administrativos de la Xunta de Galicia, y otros lugares de interés. Además también se permite la conexión con la zona intermedia entre la N-550 y la N-634, donde se sitúan instalaciones deportivas, residenciales y el conservatorio de música, entre otros edificios de interés.

2. SITUACIÓN ACTUAL Y JUSTIFICACIÓN DEL PROYECTO

La zona de actuación está situada en el Norte de la ciudad, rodeada por los barrios de Fontiñas, As Cancelas, Salgueiriños y San Caetano. En las inmediaciones se encuentran numerosos edificios de gran relevancia social, como la estación de autobuses, el conservatorio de música, instalaciones deportivas, edificios de oficinas de la Xunta de Galicia y dos centros comerciales. En la imagen por satélite que se muestra a continuación se puede apreciar la ubicación exacta de la actuación.



Ubicación de la Pasarela.



Dada la relativamente reciente apertura del Centro Comercial de As Cancelas, a finales de 2012, y el consecuente aumento en la intensidad de tráfico en la zona, se puede justificar la ejecución de la pasarela por diversos motivos:

- Dar mayor fluidez al tráfico rodado, cuya intensidad ha aumentado significativamente a raíz de la apertura del Centro Comercial de As Cancelas, y de las obras de urbanización adyacentes.
- Eliminación de barreras para los peatones, que actualmente se ven obligados a efectuar un cruce al mismo nivel, tanto en la N-550 como en la N-634.
- Aumento de la seguridad vial, disminuyendo el riesgo de atropellos, actualmente bastante elevado ya que, como se puede comprobar en el reportaje fotográfico, muchos peatones se arriesgan a cruzar en rojo ante la impaciencia que supone la espera.
- Circulación de vehículos más económica y menos contaminante, dada la actual necesidad de parar y arrancar el coche, además en pendiente, en el caso de la Avda. Rodríguez de Viguri en dirección A Coruña.
- La creación de una estructura de paso elevada supone la solución más adecuada para resolver estos problemas y dotar a la zona de actuación de una mayor dinamización y fluidez de circulación, así como mayor seguridad y un ambiente menos contaminado.



ANEJO Nº 2: CARTOGRAFÍA, TOPOGRAFÍA Y REPLANTEO



ÍNDICE

1.	INTRODUCCIÓN.....	2
2.	CARTOGRAFÍA.....	2
3.	TOPOGRAFÍA.....	2
4.	BASES DE REPLANTEO.....	2



1. INTRODUCCIÓN

El presente anejo tiene la finalidad de describir la cartografía empleada para definir geoméricamente los elementos del proyecto, así como la topografía y el estado que presenta el entorno actual de actuación.

Dado que no se trata de un proyecto real, sino de un trabajo académico, no se han podido realizar los trabajos topográficos de campo que serían necesarios. Sin embargo, si se ha comprobado que los planos obtenidos se ajustan a la realidad de la zona en estudio mediante visitas de campo y fotografías aéreas.

Se establecerán las bases necesarias para el futuro replanteo de la obra antes de comenzar su ejecución.

2. CARTOGRAFÍA

La cartografía sobre la que se apoya el presente proyecto es la que se detalla a continuación:

- Cartografía digital a escala 1/5000 editada por la Xunta de Galicia y proporcionada por la E.T.S.I.C.C.P. de A Coruña. Con equidistancia de las curvas de nivel cada 5 metros.
- Cartografía digital a escala 1/2000 proporcionada por los técnicos del departamento de urbanismo del Concello de Santiago de Compostela. Con equidistancia de las curvas de nivel cada 2,5 metros.

Los planos cartográficos a escala 1/2000 han sido modificados para adecuarlos a la situación actual en la zona de actuación. Dichas modificaciones se han llevado a cabo mediante la consulta de fotografías aéreas por satélite y mediante ortofotografías realizadas mediante vuelos por la zona, así como. También se ha recurrido a la observación “in situ” de la topografía.

Los planos cartográficos están georeferenciados empleando el sistema de coordenadas U.T.M. (Universal Transversa de Mercator).

3. TOPOGRAFÍA

La topografía de la zona es bastante compleja, ya que se pueden diferenciar zonas a distinto nivel, estando a su vez cada una de estas zonas sujeta a pendientes longitudinales siguiendo la traza de la calzada en algunos casos, y pendientes transversales perpendiculares al eje de la carretera en otros. A continuación se tratará de describir lo mejor posible la topografía existente en cada una de esas zonas.

La parte Oeste, en la N-550 a su paso por la Avenida Rodríguez de Viguri, está situada a una altitud media de 294 metros, con una pendiente longitudinal de la calzada del 4,5% y una pendiente transversal de apenas el 2%, siendo el margen Oeste donde se dispone la Rampa 1 prácticamente llano transversalmente.

La parte Este, en la N-634 a su paso por la Avenida O Camiño Francés, presenta una topografía más regular, discurriendo la carretera de forma prácticamente horizontal en su directriz longitudinal, con una altitud media de 299 metros. El margen Este donde se sitúa la Rampa 3, presenta una marcada pendiente ascendente en sentido O-E, lo que hace que se pueda disminuir considerablemente la longitud de dicha Rampa 3, apoyándose en el terreno a través del correspondiente estribo.

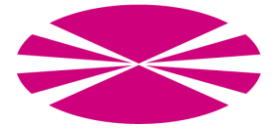
El tramo central que enlaza las dos Avenidas, está caracterizado topográficamente por una pendiente de aproximadamente un 12%, ascendente en dirección O-E, es decir, desde la N-550 hacia la N-634, que permite unir las dos avenidas situadas a distinto nivel. Es por este desnivel entre ambas avenidas acruzar, que los vanos de cruce 1 y 2 (Oeste y Central) de la estructura, no son horizontales, sino que se proyectan con una ligera pendiente ascendente en sentido O-E que le permita salvar los tramos asumiendo el desnivel del terreno.

4. BASES DE REPLANTEO

Las bases de replanteo han de ser puntos fijos que nos sirvan de referencia para poder ubicar los distintos elementos de la estructura y nos permitan conocer las coordenadas de cada punto de la pasarela, comprobando que la geometría y las dimensiones finales concuerdan con las establecidas en el proyecto.

No se ha podido encargar un levantamiento topográfico sobre el terreno dado el carácter académico de este Trabajo in de Grado. Este levantamiento se hubiese realizado necesariamente en el caso de enfrentarnos a un proyecto real.

Se ha tomado como base la cartografía georeferenciada a escala 1/2000, ilustrada y completada mediante fotografías realizadas en visitas al campo. Se trata de cartografía en formato digital basada en levantamientos topográficos y las coordenadas UTM se considerarán exactas.



La cartografía utilizada representaba las curvas cada 5 y cada 2,5 metros, lo que se ha considerado suficiente en este proyecto, recurriendo en algunas zonas concretas a la interpolación de curvas cada metro para poder ubicar la estructura en el terreno con mayor precisión.

En aquellas zonas donde la información no era lo bastante precisa o era insuficiente, se ha complementado mediante visitas al campo y la consulta de ortofotografías actualizadas.



ANEJO N° 3: ESTUDIO DE ALTERNATIVAS



ÍNDICE

1. INTRODUCCIÓN.....	2	APÉNDICE I: PXOM SANTIAGO DE COMPOSTELA.....	10
2. SITUACIÓN ACTUAL. NECESIDADES.....	2	APÉNDICE II: PLANOS ALTERNATIVAS.....	13
2.1 SITUACIÓN GEOGRÁFICA.....	2		
2.2 ANÁLISIS DEL PROBLEMA.....	2		
3. CRITERIOS DE DISEÑO.....	3		
4. ESTUDIO DE ALTERNATIVAS.....	4		
4.1 UBICACIÓN EN PLANTA.....	4		
4.2 RAMPAS.....	5		
4.3 ANCHURA DEL TABLERO.....	5		
4.4 TIPOLOGÍA ESTRUCTURAL.....	5		
4.5 MATERIALES.....	6		
4.6 DEFINICIÓN DE ALTERNATIVAS.....	6		
5. ANÁLISIS MULTICRITERIO.....	8		
6. CONCLUSIONES. SOLUCIÓN ADOPTADA.....	8		



1. INTRODUCCIÓN

El presente documento tiene como finalidad exponer las características de la zona de actuación para poder identificar el conjunto de necesidades que marcarán los objetivos a cumplir mediante la realización del Proyecto.

También se llevará a cabo un estudio de las diferentes alternativas de actuación en cuanto a diseño y ubicación, escogiendo finalmente aquella que resulte óptima en base a un análisis de diferentes criterios y condicionantes.

2. SITUACIÓN ACTUAL.

2.1. SITUACIÓN GEOGRÁFICA

Nos encontramos en Santiago de Compostela, capital administrativa de la Comunidad Autónoma de Galicia. La ciudad consta de 95.800 habitantes (INE 2014) y tiene una superficie de 223 km², estando situada en la zona central de la provincia de A Coruña.

La zona de actuación está situada en el Norte de la ciudad, rodeada por los barrios de Fontiñas, As Cancelas, Salgueiriños y San Caetano. En las inmediaciones se encuentran numerosos edificios de gran relevancia social, como la estación de autobuses, el conservatorio de música, instalaciones deportivas, edificios de oficinas de la Xunta de Galicia y dos centros comerciales.



SITUACIÓN LOCAL



SITUACIÓN NACIONAL



SITUACIÓN AUTONÓMICA

2.2 ANÁLISIS DEL PROBLEMA

Tras la apertura en Noviembre de 2012 del centro comercial As Cancelas, se ha registrado un incremento importante en las intensidades de tráfico en la zona, no sólo de vehículos sino también peatonal. Los principales obstáculos que se encuentran los peatones que circulan por la zona son la N-550 en la Avenida Rodríguez de Viguri y la N-634 en la Avenida O Camiño Francés, ambas con cinco carriles de circulación (3+2) en el tramo de actuación. Actualmente esto se soluciona mediante sendos pasos de peatones con regulación semafórica, lo cual supone una interrupción en el ritmo de circulación muy poco atractiva y económica, tanto para los viandantes como para los conductores.

Ante esta situación se plantea el diseño y construcción de una pasarela peatonal que permita eliminar la interrupción semafórica en ambas avenidas y conseguir así una circulación más fluida y una mejora de la seguridad vial, disminuyendo el riesgo de atropellos. Sintetizando lo expuesto anteriormente, esta actuación se hace necesaria en los siguientes aspectos:

- Dinamización de una zona con edificios e instalaciones de gran relevancia social.
- Tráfico rodado más fluido.
- Eliminación de barreras para los peatones.
- Mayor seguridad vial.



Las siguientes imágenes muestran la situación actual en el lugar de estudio, en ellas se puede ver más claramente la problemática expuesta en los párrafos anteriores.



VISTA GENERAL SUPERIOR



PASO DE PEATONES EN N-550



PASO DE PEATONES EN N-634

3. CRITERIOS DE DISEÑO

A la hora de proyectar una pasarela peatonal existen distintas posibilidades, siendo el lugar de emplazamiento y la legislación vigente los factores que más nos condicionan en la elección de la alternativa final. En cuanto a normativa se establecen principalmente las siguientes condiciones:

- Gálibo mínimo de 5.5 metros sobre la calzada, condición indispensable en este caso al estar la estación de autobuses en las inmediaciones de la actuación.
- Asunción de las limitaciones establecidas por la Lei de Accesibilidade e de Supresión de Barreiras da Comunidade Autónoma de Galicia (Lei 8/1997).
- Se seguirán a su vez todas las recomendaciones del Ministerio de Fomento en materia de Puentes y Viario.

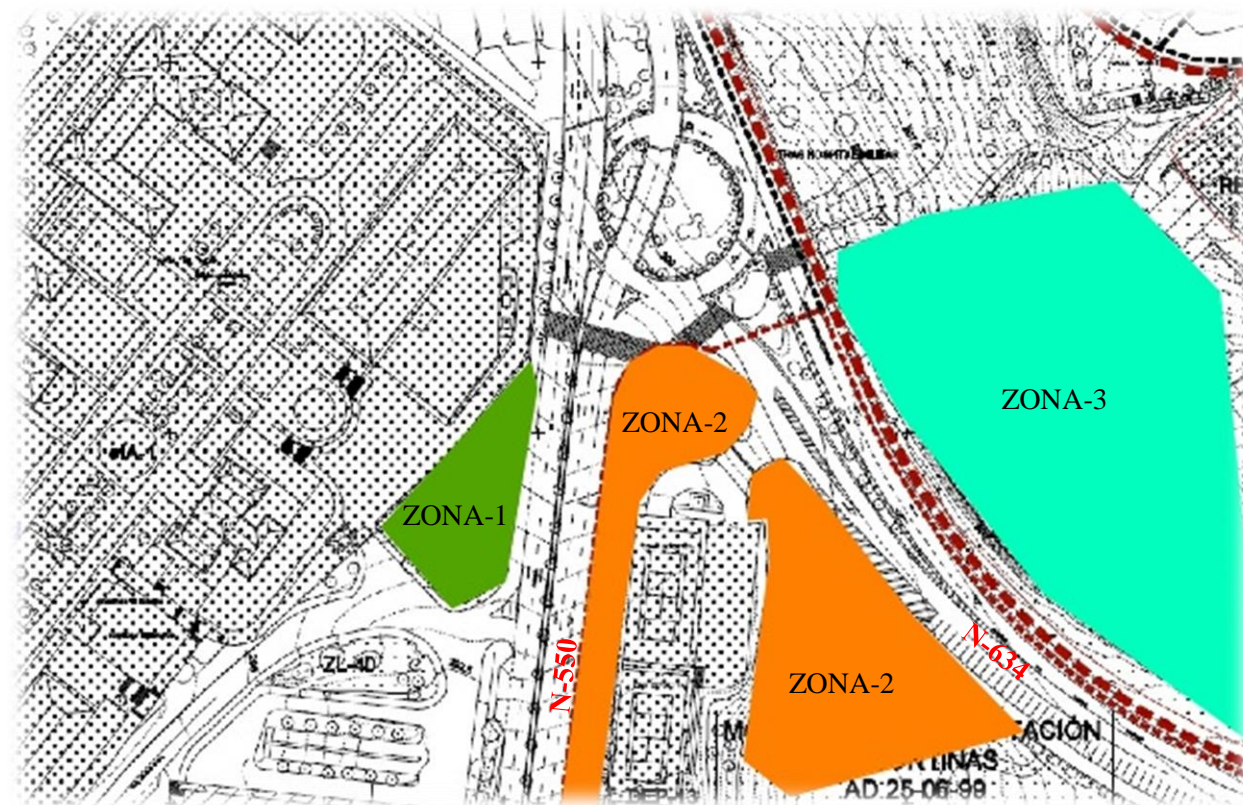
En lo que respecta al lugar de emplazamiento, se han de tener en cuenta los siguientes puntos:

- Se proyectará una pasarela con un ancho de tablero suficiente para proporcionar una experiencia de uso satisfactoria al peatón.
- El criterio estético juega un papel muy importante al tratarse de un entorno puramente urbano, donde no sólo la funcionalidad importa, si no que la calidad visual de la construcción y su impacto sobre el paisaje son también criterios relevantes.
- El proceso constructivo también será un factor a tener en cuenta de tal forma que las afecciones al tráfico sean las mínimas posibles.
- Debido al desnivel que es necesario salvar y a las limitaciones de pendiente, se intentará proyectar rampas que resulten atractivas y transmitan dinamismo a los usuarios.
- El factor económico también será tenido en cuenta a lo largo del desarrollo del proyecto procurando alcanzar un equilibrio entre la magnitud del proyecto y su coste.

4. ESTUDIO DE ALTERNATIVAS

4.1. UBICACIÓN EN PLANTA

Como podemos ver en el PGOM de Santiago de Compostela (adjunto plano en el apéndice I), la zona de estudio se encuentra en suelo urbano, con todos sus usos bien definidos, por lo que, en cuanto a la ubicación en planta de la estructura, las opciones son bastante limitadas. En la siguiente imagen vemos claramente que en la ZONA-3 tenemos espacio más que suficiente para ubicar la rampa de acceso. En la ZONA-2 también disponemos de varias opciones, pero la limitación más importante está en la ZONA-1, donde únicamente disponemos del espacio delimitado como zona libre para adaptar la rampa de acceso.

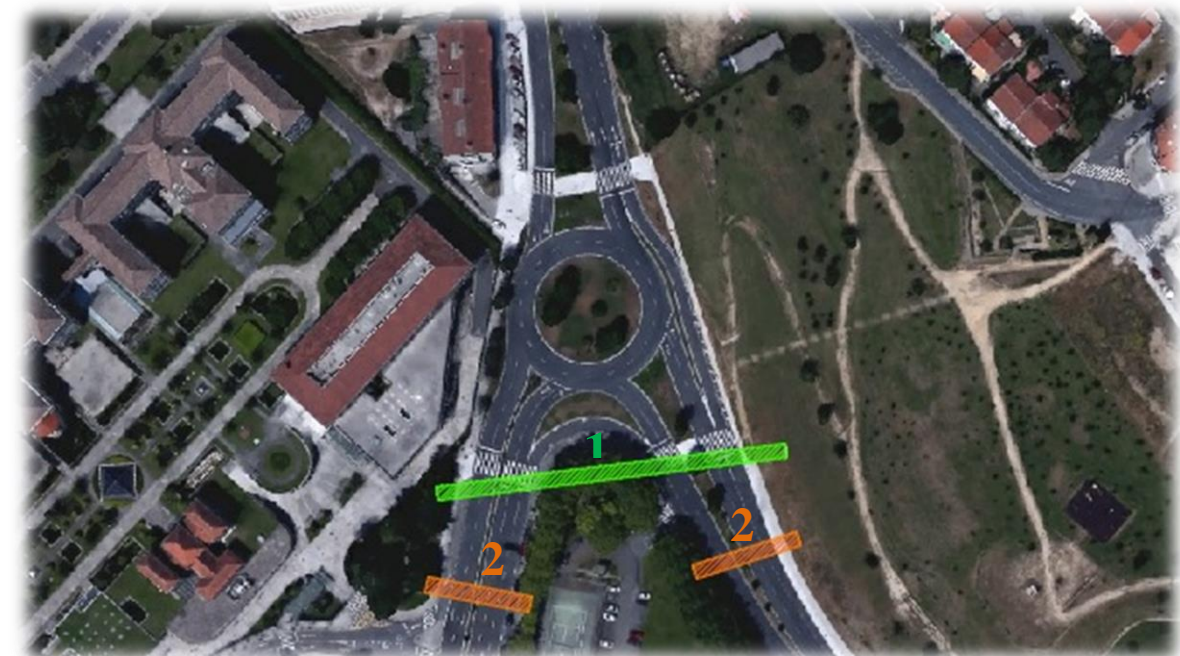


POSIBLE UBICACIÓN DE RAMPAS

Cabe destacar que nos encontramos en la zona óptima en cuanto al flujo y recorrido de los peatones, ya que nos situamos en la intersección de las dos avenidas que conectan la estación de autobuses y los edificios de la Xunta(ZONA-1) con las pistas deportivas y la zona residencial(ZONA-2), y con el centro comercial As Cancelas(ZONA-3).



Teniendo en cuenta todos estos elementos condicionantes se proponen dos posibles soluciones para la ubicación en planta de la estructura, las cuales se definen en la siguiente imagen. La propuesta 1 contempla una única pasarela que permita el cruce directo a cualquiera de las tres zonas, mientras que la propuesta 2 contempla dos pasarelas independientes, una por cada avenida a cruzar.



POSIBLE UBICACIÓN EN PLANTA



PROPUESTA 1

Se trata del trazado situado más al Norte que conecta directamente los lados Este y Oeste sin necesidad de bajar a la zona intermedia para cruzar, lo cual supone una gran ventaja respecto a la propuesta 2. Evidentemente se proyectaría una rampa para conectar también con la zona media que da acceso a las instalaciones deportivas y a la zona residencial. La estructura se compondría de tres vanos de entre 30 y 35 metros cada uno con una longitud total del tramo de cruce de entre 95 y 100 metros, dotada con tres rampas de acceso para lograr el gálibo exigido de 5.5 metros como mínimo. Desde el punto de vista ingenieril se trata de una estructura poco convencional y más compleja de lo habitual ya que salva mediante una única plataforma dos anchas avenidas y una zona verde intermedia. Aun así es una solución bastante atractiva y estéticamente mejor integrada.

PROPUESTA 2

Esta propuesta tiene la ventaja de que al tratarse de pasarelas independientes pueden cruzar las avenidas de forma completamente perpendicular, consiguiendo vanos menores y mayor simplicidad de cálculo, ahorrándose además el tramo de cruce intermedio. Cada pasarela tendría un vano de entre 25 y 30 metros, y dos rampas de acceso. Esta propuesta resultaría menos atractiva para aquellos peatones que quisiesen cruzar ambas avenidas, ya que tendrían que repetir dos veces el proceso de subir y bajar las rampas, además de recorrer el camino entre ambas pasarelas. Económicamente esta propuesta resulta menos eficiente debido a que necesitamos una rampa más con sus correspondientes pilas y cimentaciones.

4.2. RAMPAS

Para el diseño de las rampas tenemos que referirnos a la Lei de Accesibilidade e de Supresión de Barreiras da Comunidade Autónoma de Galicia (Lei 8/1997). En esta norma se establece una pendiente máxima del 6% con descansos de 1.5 metros mínimo cada 20 metros, pudiendo ascender al 8% con descansos cada 10 metros y al 10% con descansos cada 3 metros.

En ambas propuestas las rampas de la ZONA-1 y de la ZONA-2 deben salvar desniveles importantes, por lo que su trazado debe proyectarse en zigzag o en curva, teniendo el trazado en curva un plus en cuanto a estética y armonía. En la ZONA-3 el propio terreno va ascendiendo con una pendiente bastante pronunciada por lo que sólo necesitamos un pequeño tramo de rampa pudiendo continuar el descenso mediante un sendero peatonal sobre el terreno sin necesidad de estructura.

En la propuesta 1 se definen dos posibles trazados de rampa, mientras que en la propuesta 2 se ha optado por disponer rampas en zigzag, mejor adaptadas a la ubicación de la propuesta. Más adelante en la descripción de las alternativas se definirán los diferentes trazados con detalle.

4.3. ANCHURA DE TABLERO

Los anchos habituales en pasarelas ya construidas en España oscilan entre 1.80 y 2.40 metros. A continuación se presenta una tabla con “Recomendaciones para el proyecto y diseño del viario” que podemos encontrar en la Lei de Accesibilidade e de Supresión de Barreiras da Comunidade Autónoma de Galicia (Lei 8/1997).

SITUACIÓN	RECOMENDABLE (m)	MÍNIMO (m)
Movimiento de una persona	0.75	0.60
Persona con carrito de bebé	0.90	0.80
Cruce de dos personas	1.00	0.90
Dos personas en paralelo	1.30	1.10
Dos adultos y un niño	2.25	1.80
Cruce persona con otra minusválida	1.80	1.70
Dos personas con paraguas	2.40	2.00

En nuestro caso se dispondrá un tablero con una ancho total entre 2.5 y 2.8 metros, estando su ancho útil comprendido entre 2 y 2.30 metros, lo que debería permitir la circulación de peatones e incluso ciclistas con total comodidad.

4.4. TIPOLOGÍA ESTRUCTURAL

Para el diseño de la pasarela tenemos varias tipologías posibles según la propuesta que finalmente se elija.

Pasarela en celosía: es la solución más económica y de mayor simplicidad en cuanto a diseño y construcción, pero tiene el gran inconveniente de su escasa integración a nivel estético.

Pasarela tipo bijácena: se trata de una solución sencilla y poco habitual pero con gran versatilidad a la hora del montaje, lo que permitiría un diseño más dinámico con rampas de directriz curva, consiguiendo así una estructura mejor integrada en la zona.

Pasarela en arco: esta tipología no sería muy adecuada para la propuesta 1, ya que debido al desnivel entre ambas avenidas el tramo central tiene una ligera pendiente, por lo que una solución en arco sería muy compleja. Sería una buena solución para la propuesta 2, por su equilibrio entre economía y estética.



4.5. MATERIALES

La elección de los materiales a utilizar viene condicionada en gran medida por la tipología estructural, así como por otros factores como son el coste económico, el impacto visual, el ambiente en el que se ha de construir o la relación canto-luz.

Teniendo en cuenta las tipologías definidas según las propuestas expuestas anteriormente, los materiales susceptibles de ser utilizados son: acero, hormigón armado, madera, o mixtos de hormigón y acero.

La madera es un material anisótropo, por lo que a la hora de definir sus propiedades mecánicas hay que distinguir siempre entre la dirección perpendicular y la dirección paralela a la fibra. En este hecho radica la principal diferencia de comportamiento frente a otros materiales utilizados en estructuras como el acero y el hormigón. Posee grandes cualidades tanto estéticas como de comportamiento en ambientes agresivos.

El acero es uno de los más importantes materiales estructurales debido a sus propiedades de elevada resistencia comparada con cualquier otro material disponible, y ductilidad. Aunque su precio es superior al del hormigón armado, su relación resistencia-peso y su homogeneidad juegan un papel muy importante a su favor.

La losa que forme el pavimento del tablero podría estar formada por estructura metálica, hormigón armado o bien por una sección mixta de hormigón y acero dependiendo de la tipología estructural finalmente elegida.

El hormigón será utilizado en los elementos de cimentación así como en aquellos elementos estructurales que trabajen a compresión, estribos y pavimento, cuando se considere oportuno.

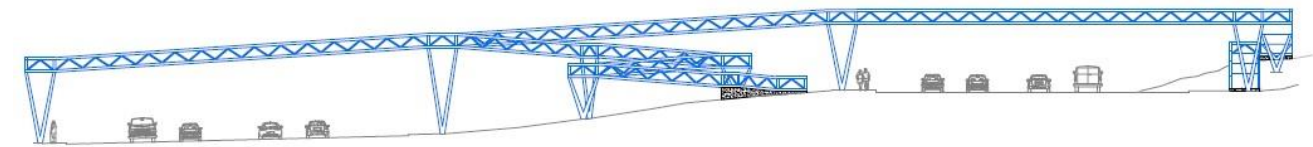
4.6. DEFINICIÓN DE ALTERNATIVAS

Para la propuesta 1 se definen dos posibles alternativas en las que la variación principal se da en las directrices de las rampas y en la sección del tablero. Para la propuesta 2 se define una alternativa consistente en dos pasarelas tipo arco.

El conjunto de planos que componen cada una de las alternativas se puede consultar en el apéndice II del presente anejo.

A continuación se describe cada una de las alternativas propuestas con el fin de decidir cuál es la más adecuada sumando los aspectos técnico, económico, estético y funcional, entre otros.

ALTERNATIVA 1. PASARELA EN CELOSÍA METÁLICA



La primera de las alternativas que se plantean sobre la propuesta 1 de ubicación en planta, consiste en una pasarela en celosía metálica, con celosía tipo Warren, cuyas rampas se diseñan en zigzag. El tramo de cruce se compone de tres vanos de 30.34 metros, 30.12 metros y 30.66 metros.

La rampa 1 (Oeste) tiene una longitud de aproximadamente 71 metros, con tres tramos en zigzag. La rampa 2 (Central) ronda los 46 metros, descendiendo paralelamente al vano central. La rampa 3 (Este) alcanza los 57 metros, con dos tramos en zigzag.

La sección en celosía consta de dos cordones paralelos, uno superior y otro inferior, que soportan los esfuerzos de flexión, trabajando el superior a compresión y el inferior a tracción. Las diagonales y montantes se encargan de soportar el esfuerzo cortante.

La sección transversal es en forma de U, actuando las propias celosías como barandillas, lo que permite aumentar el ancho útil y disminuir el coste de la estructura.

Las pilas están formadas por grupos de cuatro barras en V de sección variable.

El material empleado para la estructura sería acero S275JR, y el pavimento sería de chapa metálica.

Esta alternativa presenta las siguientes ventajas:

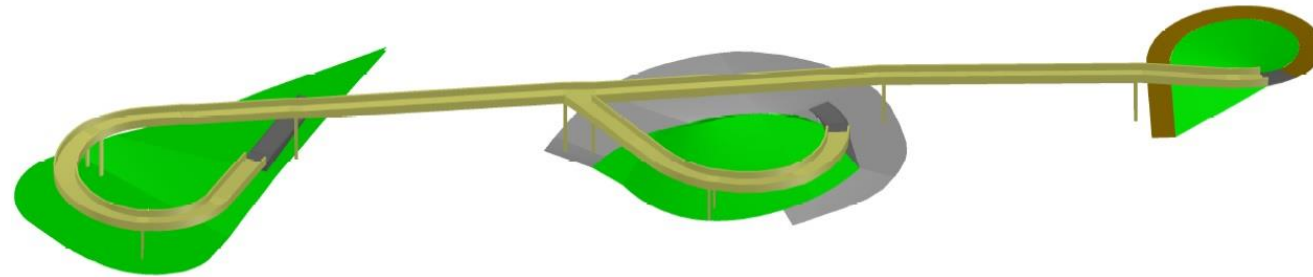
- Solución económica.
- Mayor simplicidad constructiva y de cálculo.
- Alto grado de industrialización en el proceso de fabricación.
- Optimización de los materiales, es decir, elevada relación resistencia/peso.

Como principales inconvenientes podríamos citar:

- Estéticamente produce mayor impacto, siendo la menos integrada en el entorno.
- Grandes rampas en zig-zag, con giros de 180°, que resultan menos atractivas para los peatones.
- Laboriosidad en la ejecución de las uniones, lo que implica un elevado coste en mano de obra especializada.



ALTERNATIVA 2. PASARELA TIPO BIJÁCENA



La segunda alternativa que se plantea también corresponde a la propuesta 1 de ubicación en planta, con tres vanos que cruzan la Avda. Rodríguez de Viguri, la zona central y la Avda. O Camiño Francés, con una longitud de 30,2 metros, 34,8 metros y 30,6 metros respectivamente.

La rampa 1 (Oeste) se divide en tres vanos, siendo la mayor parte del trazado, a excepción del arranque y el enlace con el tramo de cruce, de directriz helicoidal. Cada uno de estos vanos tiene una longitud aproximada de 20 metros.

La rampa 2 (Central) se compone de dos vanos. El vano de arranque, que es de directriz helicoidal, enlaza en su apoyo con el segundo vano, de directriz recta en su mayor parte, y que supone el enlace con la estructura de cruce.

La rampa 3 (Este) es la de menor tamaño, con una longitud aproximada de 16 metros, ya que aprovecha la pendiente ascendente del terreno para enlazar, a través del estribo 3, con el sendero peatonal.

La sección transversal de la estructura presenta un esquema bijácena, con dos vigas armadas de sección rectangular situadas en los extremos que trabajan fundamentalmente a flexión. Estas vigas longitudinales se encuentran unidas en su parte inferior mediante barras transversales de acero de sección cuadrada, que rigidizan y arriostran la sección, además de soportar y transmitir a las vigas longitudinales las sobrecargas de uso que actúan sobre el pavimento. El pavimento es un forjado colaborante constituido por una chapa grecada sobre la que se vierte una losa de hormigón, de forma que ambos materiales trabajen de forma conjunta. Este forjado colaborante también contribuye a rigidizar la sección mediante el efecto diafragma.

Toda la estructura resistente, incluidas las pilas, se realiza en acero S275. En el forjado colaborante se emplea acero para la chapa grecada y hormigón HA-30/B/20/IIa para la losa.

Las ventajas de esta alternativa son:

- Mayor valor estético.
- Alto grado de industrialización en el proceso constructivo.
- Menor longitud de rampas, que se hacen mucho más atractivas debido a su diseño helicoidal.
- Solución sencilla y elegante, en armonía con el entorno.

Como inconvenientes tenemos:

- Solución de elevado presupuesto.
- Mayor complejidad técnica y de cálculo.
- Armado de las vigas a medida, con elevado coste de fabricación.

ALTERNATIVA 3. DOS PASARELAS EN ARCO



Esta tercera alternativa corresponde a la propuesta 2 de ubicación en planta, con lo que se construirían dos pasarelas independientes, una para cruzar la Avenida Rodríguez de Viguri y otra para cruzar la Avenida O Camiño Francés. Ambas pasarelas responden a la misma tipología estructural, cuyo esquema resistente consiste en un arco metálico de tablero inferior. Arco y tablero estarían conectados mediante una serie de péndolas regularmente distribuidas.

Cada pasarela dispone de dos rampas en zig-zag que van descendiendo en perpendicular al vano principal, es decir, paralelamente a la calzada. La pasarela 1 sobre la Avda. Rodríguez de Viguri tiene un vano principal de 27,4 metros, y la flecha del arco en clave es de 5,7 metros. La pasarela 2 sobre la Avda. O Camiño Francés, alcanza los 29,4 metros de vano y la flecha del arco es de 6,2 metros en clave.

En este esquema estructural, el tablero recibe directamente la sobrecarga de uso y cargas muertas, transmitiéndolas a través de las péndolas, que trabajan a tracción, al arco superior. El arco superior recibe las cargas trabajando a compresión (flexo-compresión en algunos casos), y las transmite a las pilas, pasando de estas a los elementos de cimentación.



El material utilizado tanto en el arco como en las péndolas y en las vigas del tablero es el acero. Mientras que el pavimento, los estribos, y todos los elementos de cimentación son de hormigón armado.

Las ventajas que presenta esta alternativa son:

- Atractiva estéticamente.
- Mayor simplicidad de cálculo.
- Vanos menores, ya que se eliminan desniveles y se cruza en perpendicular.

Algunos inconvenientes podrían ser:

- Rampas en zig-zag.
- Mayor recorrido para los peatones que quieran cruzar ambas avenidas.
- Necesidad de construir dos estructuras, lo que implica mayor coste.
- Se necesitan más espacio para accesos y cimentaciones.

5. ANÁLISIS MULTICRITERIO

Una vez expuestas las alternativas se realizará un análisis de las mismas teniendo en cuenta diferentes aspectos como economía, estética, funcionalidad, integración, etc., con el fin de ponderar cuál de ellas es la más conveniente.

Para realizar la valoración económica se han estimado los precios por metro cuadrado en función de cada una de las tipologías, teniendo en cuenta los precios consultados en otros proyectos y obras ya realizadas de similares características. En la siguiente tabla se pueden ver los precios orientativos para cada una de las alternativas:

VARIABLE	ALTERNATIVA 1	ALTERNATIVA 2	ALTERNATIVA 3
Longitud pasarela (m)	337,82	246,69	334,40
Ancho pasarela (m)	2,5	2,8	2,5
Superficie pasarela (m ²)	844,55	690,73	836
Coste (€/m ²)	800	1100	1000
PRECIO ESTIMADO (€)	675.640 €	759.803 €	836.000 €

Estimación del coste total de cada pasarela.

Como se puede apreciar en la tabla, la alternativa 1 de pasarela en celosía es la más económica, seguida de la alternativa 2, que a pesar de ser la más costosa por metro cuadrado, ve reducido su coste total debido a la menor longitud de las rampas. La alternativa 3, debido a la necesidad de construir dos estructuras independientes, es la más costosa superando en 160.000 € a la alternativa 1.

Una vez aclarado el tema económico, procederemos a realizar el análisis multicriterio englobando todos los aspectos influyentes en la elección final de la estructura a proyectar.

CRITERIO	PESO	ALTERNATIVA 1	ALTERNATIVA 2	ALTERNATIVA 3
Económico	0,15	5	3	2
Funcional	0,2	4	4	2
Proceso constructivo	0,1	4	3	3
Estético	0,2	2	4	4
Longitud rampas	0,15	3	4	3
Integración entorno	0,2	2	5	4
Total absoluto	1	20	23	18
TOTAL PONDERADO		3,2	3,95	3,05

Análisis multicriterio.

Como se puede comprobar tras el análisis, la alternativa 2 de pasarela tipo bijácena es la más adecuada ya que, a pesar de tener un coste un 12% superior a la alternativa 1, la supera en otros aspectos como pueden ser la estética o la integración en el entorno, lo cual, tratándose de una zona urbana en una ciudad como Santiago de Compostela, son criterios muy importantes a la hora de tomar la decisión final.

6. CONCLUSIONES. SOLUCIÓN ADOPTADA

Tras haber analizado todas las posibles soluciones, se concluye lo siguiente:

ALTERNATIVA 1. PASARELA EN CELOSÍA

A pesar de ser la más económica, se descarta porque resulta la menos atractiva para los peatones debido a la longitud y la forma en zig-zag de sus rampas, lo que previsiblemente disminuirá su uso. También resulta la de menor integración en el entorno y estéticamente se ve superada por las otras dos soluciones.

ALTERNATIVA 3. DOS PASARELAS EN ARCO

Esta alternativa, a pesar de ser estéticamente bastante atractiva y bien integrada, se descarta puesto que supone la solución menos funcional y económica, además de necesitar mayor espacio para la ubicación de rampas y cimentaciones.



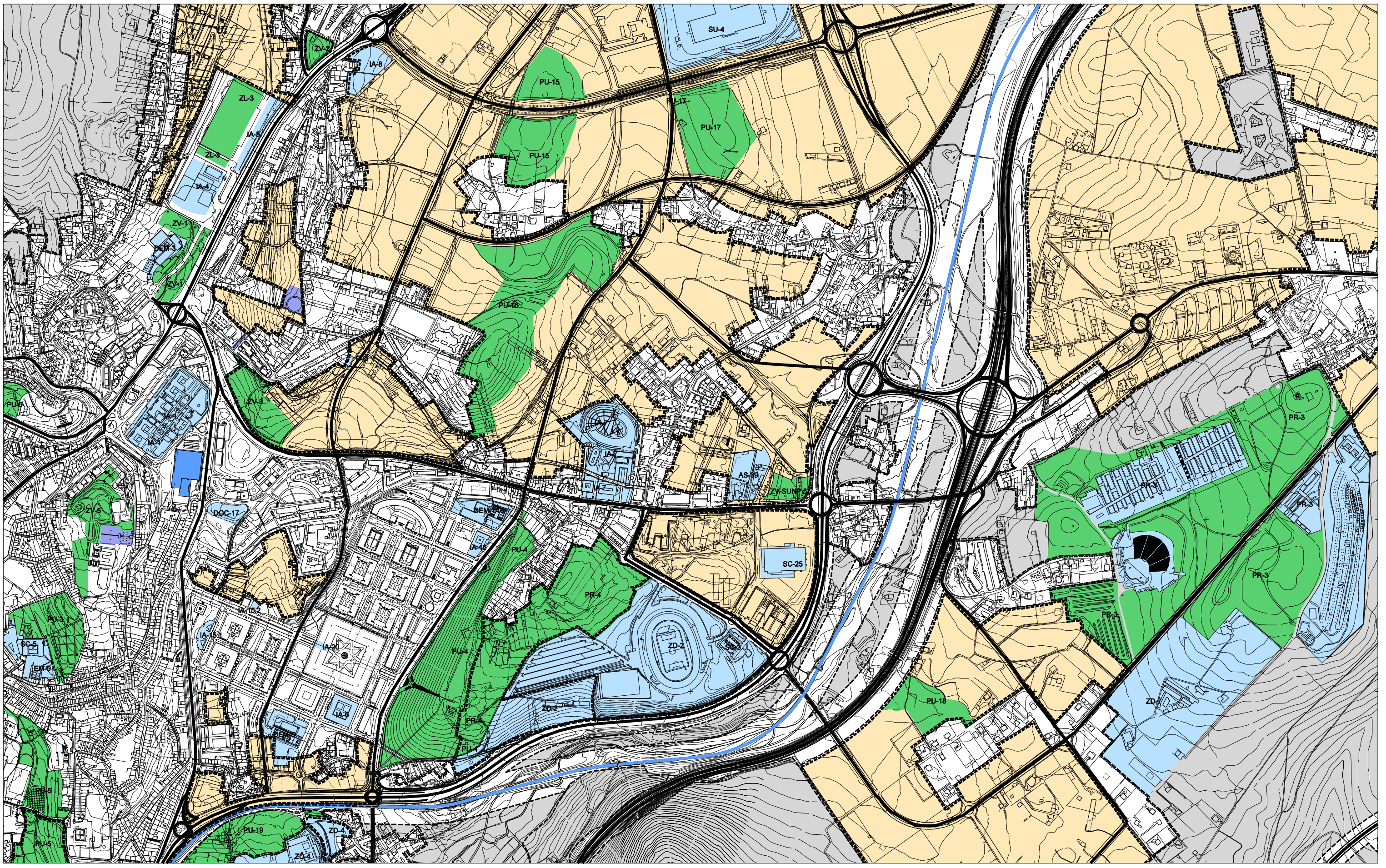
SOLUCIÓN ADOPTADA

ALTERNATIVA 2. PASARELA TIPO BIJÁCENA

Tras el análisis de las ventajas e inconvenientes de todas las alternativas, y tras haber ponderado los aspectos más influyentes en su proyecto y construcción, se opta por esta alternativa por considerar que es la que ofrece un mejor equilibrio en cuanto a economía, funcionalidad, estética e integración en el entorno.



APÉNDICE I: PXOM SANTIAGO DE COMPOSTELA



CLASIFICACIÓN DO SOLO:

- ÁMBITO DE SOLO URBANO
- ÁMBITO DE SOLO RÚSTICO
- ÁMBITO DE SOLO URBANIZABLE
- ÁMBITO DE SOLO DE NÚCLEO RURAL
- PROTECCIÓN
- PROTECCIÓN DE INFRAESTRUCTURAS

SISTEMAS XERAIS:

- EQUIPAMENTOS
 - EM EQUIPAMENTO MÚLTIPLE
 - IA INSTITUCIONAL ADMINISTRATIVO
 - SC SOCIO CULTURAL-MULTUSO
 - S SANTUARIO
 - C CENTROS
 - C DOCENTE PÚBLICO ENSINO MEDIO
 - ZD DEPORTIVO
 - EJUI EQUIPAMENTOS UNIVERSITARIOS
 - SU SERVICIOS URBANOS
 - SERVICIOS TÉCNICOS DE INFRAESTRUCTURAS

- ZONAS VERDES E ESPACIOS LIBRES
 - ZV ZONAS VERDES
 - PU PARQUE URBANO
 - PR PARQUE RECREATIVO
 - ZL ZONAS LIBRES
- PF PARQUES PERIURBANOS
- VIARIO / FERROVIARIO
- COMUNICACIÓN

1	2	3	4	5	6
7	8	9	10	11	
12	13	14	15	16	
17	18	19	20	21	
22	23	24	25	26	
27	28	29	30		
	31	32	33		
		34	35		

OFICINA DE PLANEAMENTO SA
 OUTUBRO 2008
 ESCALA 1/10.000

EXCMO. CONCELLO DE SANTIAGO DE COMPOSTELA
REVISIÓN DO PLAN XERAL DE ORDENACIÓN MUNICIPAL

DE SANTIAGO DE COMPOSTELA
 DOCUMENTO REFUNDIDO

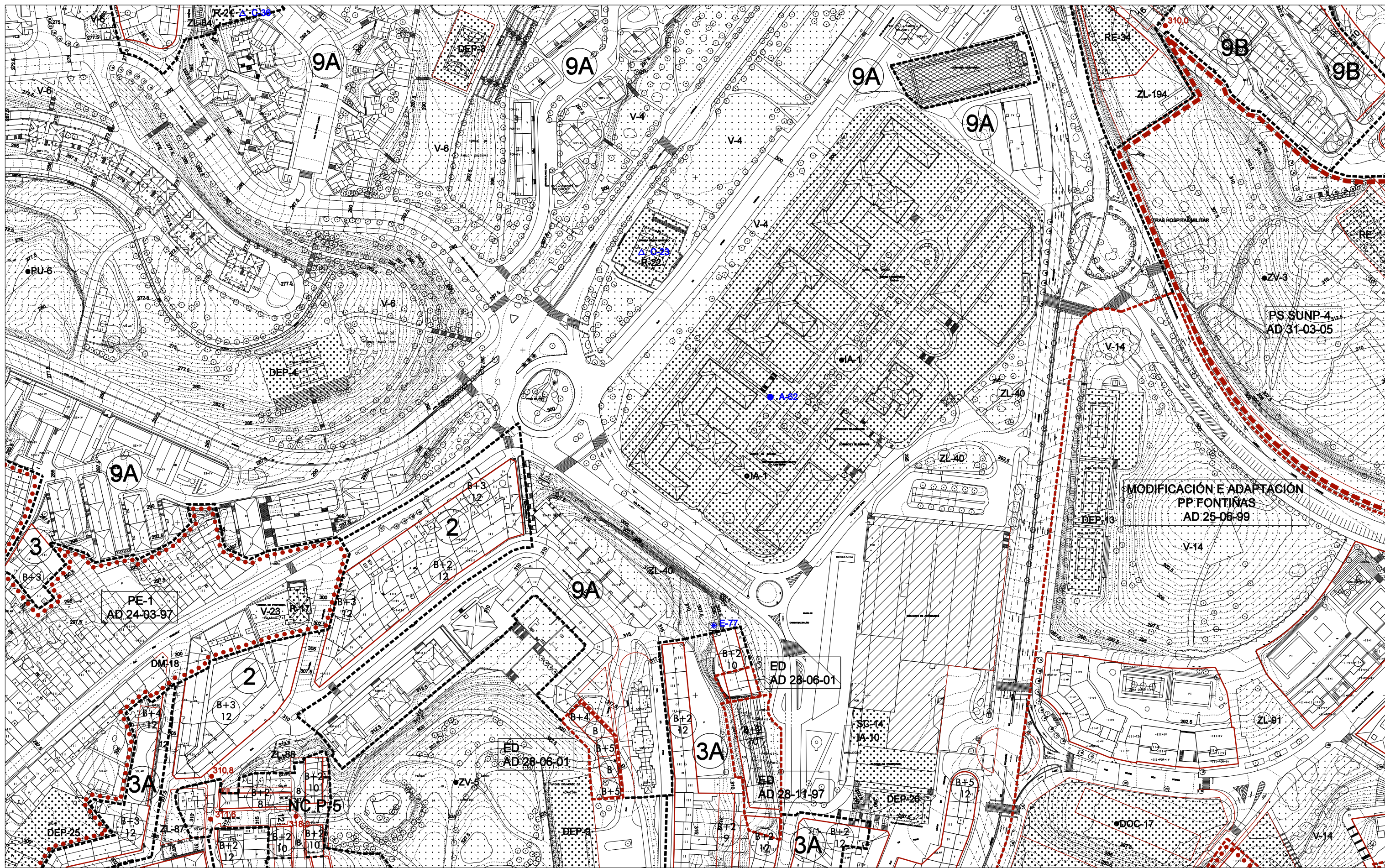
ORDENACIÓN

ESTRUCTURA XERAL E ORGÁNICA DO TERRITORIO



CONCELLO DE SANTIAGO DE COMPOSTELA

PLANO Nº

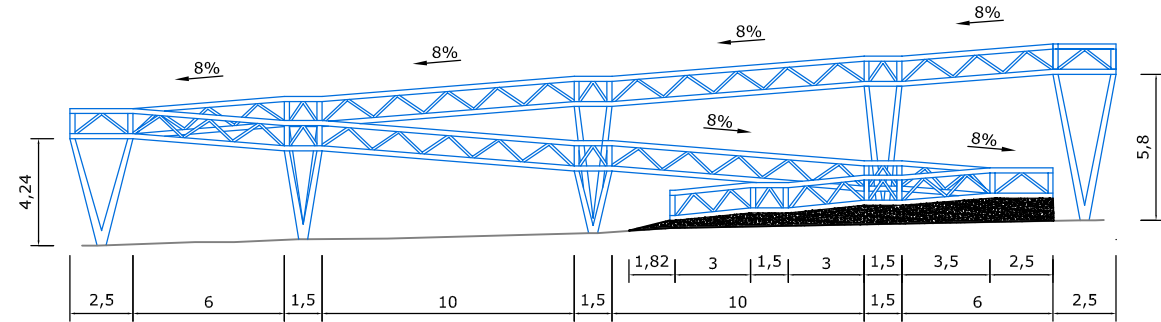


<p>— LÍMITE TERMO MUNICIPAL</p> <p>— LÍMITE DE SOLO URBANO / ORDENANZA</p> <p>— LÍMITE DE SOLO URBANO / ORDENANZA SUBSISTENTE</p> <p>— LÍMITE DE SOLO URBANO NON CONSOLIDADO (P-1, PERI 1R, ABA-1, UGA, UO-1)</p> <p>— LÍMITE DE SOLO DE NÚCLEO RURAL / ORDENANZA</p> <p>— LÍMITE DE SOLO URBANIZABLE</p> <p>— SUD-1 DELIMITADO</p> <p>— SUD-1 NON DELIMITADO</p> <p>— SOLO URBANIZABLE DELIMITADO / PLANEAMENTO SUBSISTENTE</p> <p>— ÁMBITO PLAN ESPECIAL</p> <p>— ÁMBITO PLAN ESPECIAL SUBSISTENTE</p>	<p>③ ORDENANZA Nº</p> <p>— ALTURA E FONDO MÁX. DA EDIFICACIÓN</p> <p>— CAMBIO DE ALTURA DA EDIFICACIÓN</p> <p>— ALIÑAÇÕES PROPOSTAS</p> <p>— DISTANCIA ENTRE ALIÑAÇÕES</p> <p>— PUNTO ALTIMÉTRICO DE RASANTE NO NOVO VIARIO</p> <p>— VIARIO PROPOSTO / SISTEMA XERAL EN SOLO URBANIZABLE</p> <p>— TIPO SISTEMA VIARIO</p> <p>— SERVICIOS TÉCNICOS DE INFRAESTRUCTURAS</p> <p>— SISTEMA XERAL DE COMUNICACIÓN</p>	<p>SOLO RÚSTICO DE PROTECCIÓN</p> <p>— ORDINARIA</p> <p>— AGROPECUARIA</p> <p>— FORESTAL</p> <p>— DE INFRAESTRUCTURAS</p> <p>— DAS AUGAS</p> <p>— DE ESPACIOS NATURAIS</p> <p>— DE INTERESE PARASABÍSTICO</p> <p>— DE INTERESE PATRIMONIAL ARTÍSTICO OU HISTÓRICO</p>	<p>EQUIPAMENTO COMUNITARIO</p> <p>— NO TERRITORIO</p> <p>— EQUIPAMENTO MÚLTIPLE</p> <p>— INSTITUCIONAL ADMINISTRATIVO</p> <p>— SERVICIOS URBANOS SOCIO CULTURAL-MULTIUSO</p> <p>— SANITARIO</p> <p>— AS-SAB-ASO ASISTENCIAS RESIDENCIAL UNIVERSITARIO</p> <p>— RELIXIOSO</p> <p>— RESERVA DE EQUIPAMENTO DOCENTE PÚBLICO (SINHO SECUNDARIO)</p> <p>— DOCENTE PÚBLICO INF. E PRIMARIA</p> <p>— DOCENTE PRIVADO</p> <p>— CEMENTERO</p> <p>— DEPORTIVOS</p>	<p>U EQUIPAMENTO UNIVERSITARIO</p> <p>— DOCENTE E INVESTIGACION SOCIO-CULTURAL</p> <p>— DEPORTIVO</p> <p>— COMPLEMENTARIOS</p> <p>— ASISTENCIAL RESIDENCIAL</p> <p>— AREAS DE USOS MÚLTIPLES</p> <p>— SISTEMA DE ESPACIOS LIBRES E ZONAS VERDES PÚBLICAS</p> <p>— PU PARQUE URBANO</p> <p>— PR PARQUE RECREATIVO</p> <p>— ZAV ZONAS VERDES</p> <p>— ZL ZONAS LIBRES</p> <p>— PV PARQUES PERIURBANOS</p> <p>— REFERIDO A SISTEMA XERAL</p>	<p>ELEMENTOS E CONXUNTOS DO CATALOGO</p> <p>— XACAMENTOS ARQUEOLÓXICOS, ÁREA PROTECCIÓN INTEGRAL</p> <p>— ÁREA DE RESPECTO / ZONA DE RESPECTO ESPECIAL</p> <p>— IREXAS, CONXUNTOS PARROQUIAIS E CAPELAS</p> <p>— EDIFICIOS, CONXUNTOS RURAIS E MUÍROS</p> <p>— ELEMENTOS DE ARQUITECTURA DO TERRITORIO</p> <p>— ELEMENTOS MENORES</p> <p>— ARQUITECTURA URBANA</p> <p>— Nº DE REFERENCIA</p> <p>— MASAS ARBORÉAS</p>	<p>EXCMO. CONCELLO DE SANTIAGO DE COMPOSTELA</p> <p>REVISION DO PLAN XERAL DE ORDENACION MUNICIPAL</p> <p>DE SANTIAGO DE COMPOSTELA</p> <p>DOCUMENTO REFUNDIDO</p> <p>ORDENACION</p> <p>OFICINA DE PLANEAMENTO SA</p> <p>OCTUBRO 2008</p> <p>ESCALA 1/2.000</p> <p>ORDENACION URBANISTICA</p>	<p>CONCELLO DE SANTIAGO</p> <p>PLANO Nº</p> <p>2 K24</p>
--	--	---	--	---	--	---	---

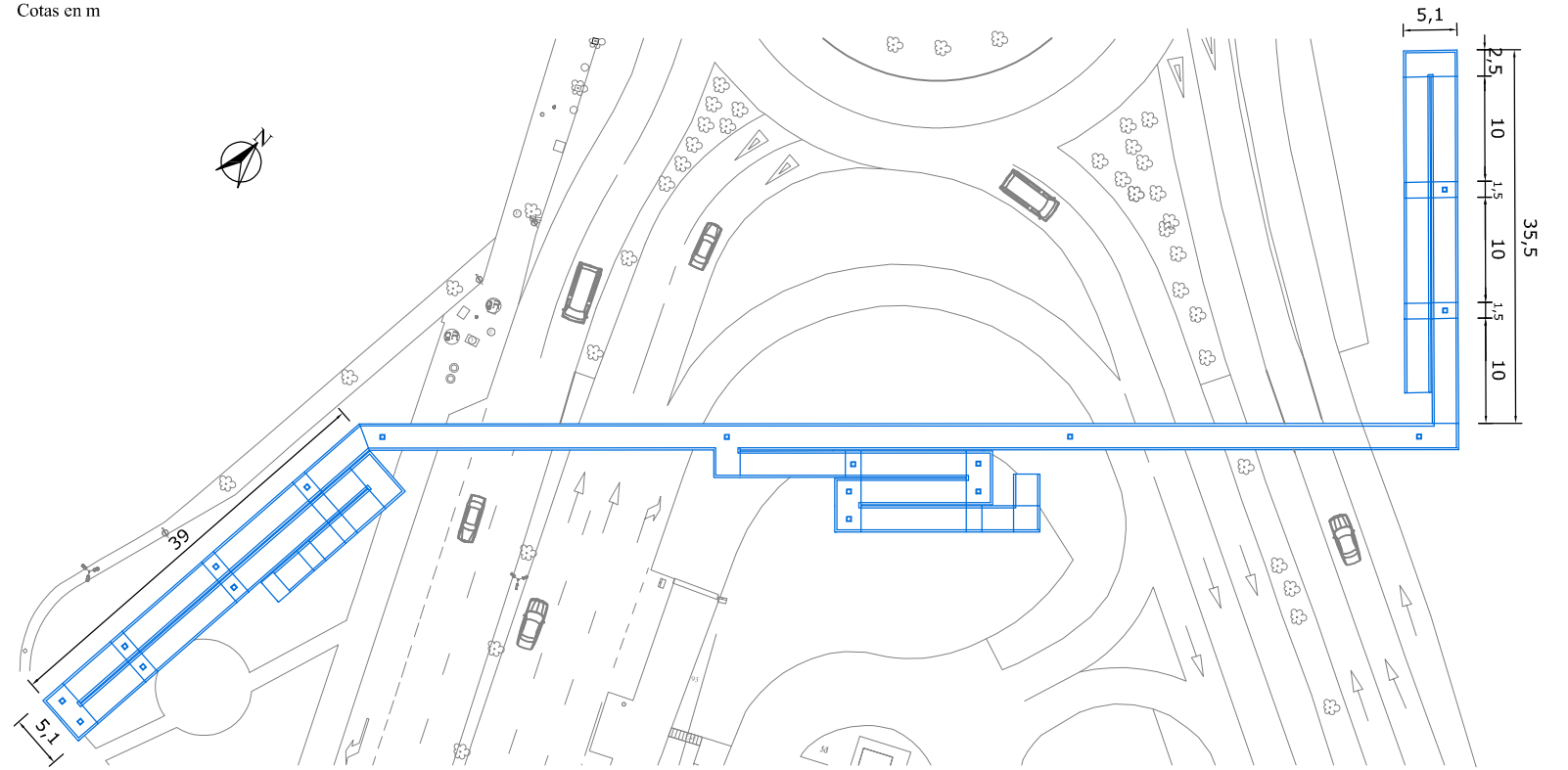


APÉNDICE II: PLANOS DE ALTERNATIVAS

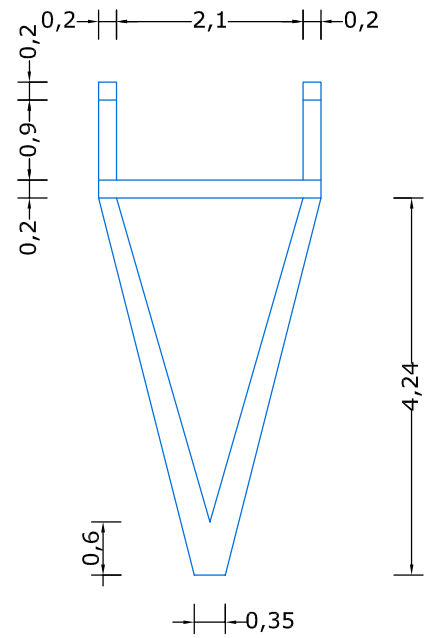
PERFIL RAMPA 1 (OESTE)
ESCALA 1/300
Cotas en m



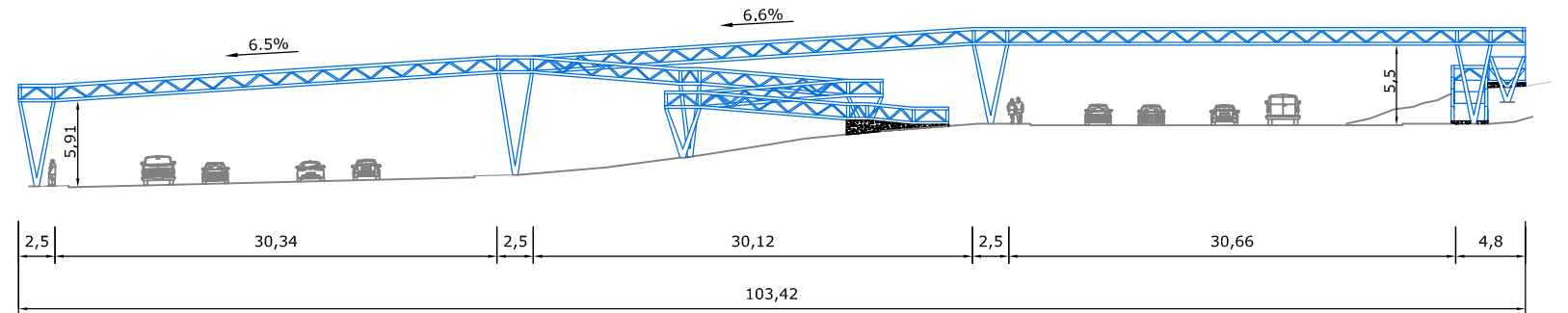
PLANTA
ESCALA 1/700
Cotas en m



DETALLE SECCIÓN TRANSVERSAL
ESCALA 1/100
Cotas en m



ALZADO TRAMO DE CRUCE
ESCALA 1/400
Cotas en m



ESCUELA TÉCNICA SUPERIOR DE INGENIEROS DE CAMINOS, CANALES Y PUERTOS

UNIVERSIDADE DE A CORUÑA

TITULACIÓN:

Grado en Ingeniería de Obras Públicas

AUTOR:

Rubén Sánchez Faro

FIRMA:

FECHA:

Febrero 2016

TÍTULO DE PLANO:

Alternativa 1

PROYECTO:

Pasarela peatonal en la intersección de la Avda. Rodríguez de Viguri con la Avda. O Camiño Francés (Santiago de Compostela)

PLANO Nº:

1

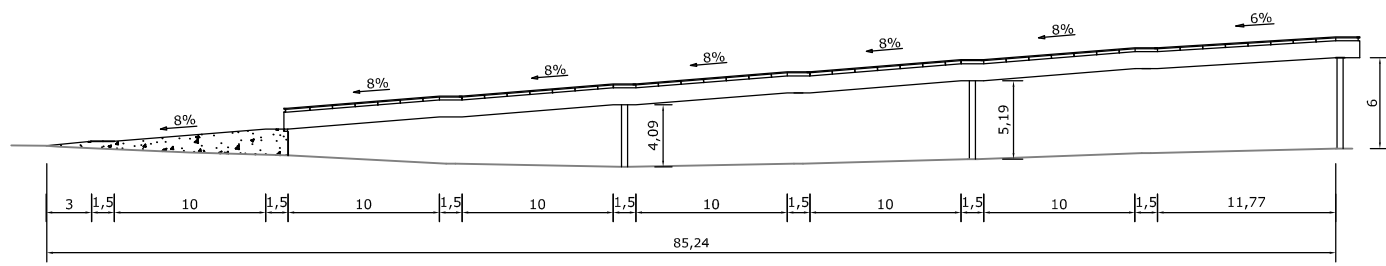
ESCALA:

Varios

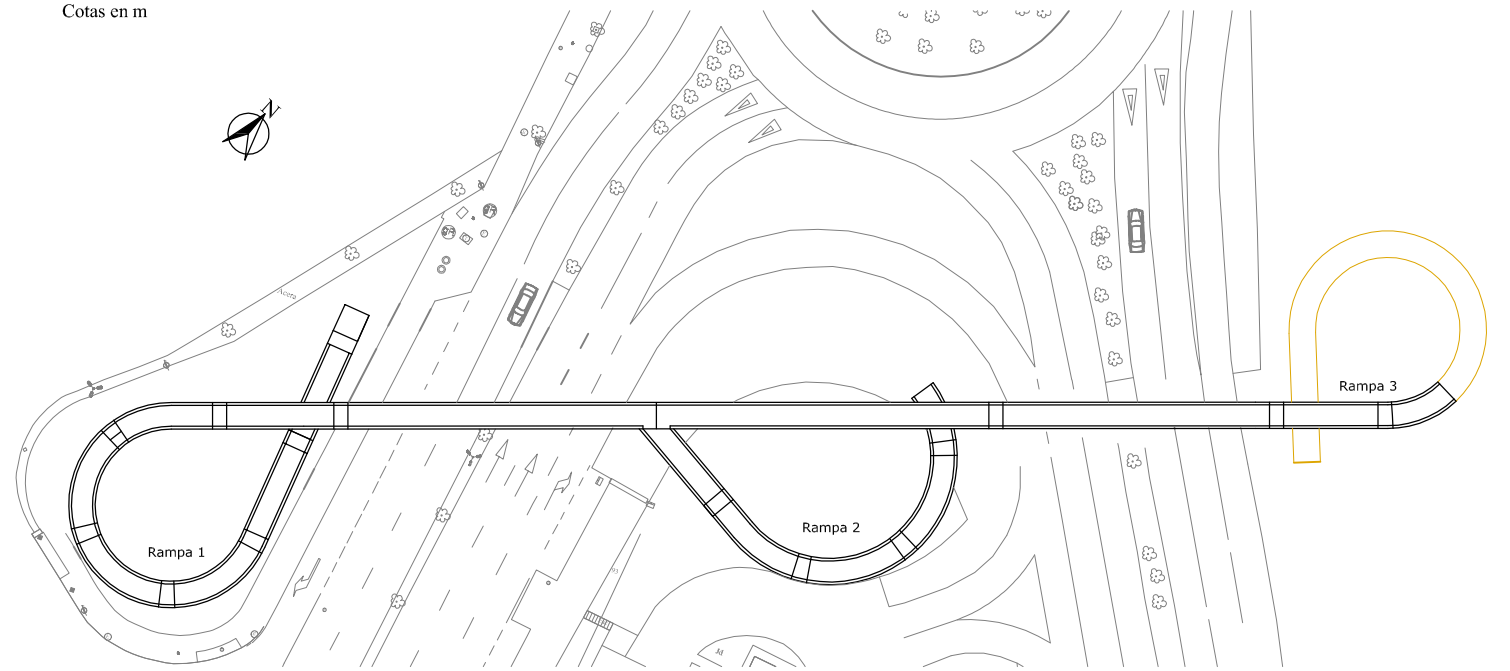
UNIDADES:

metros

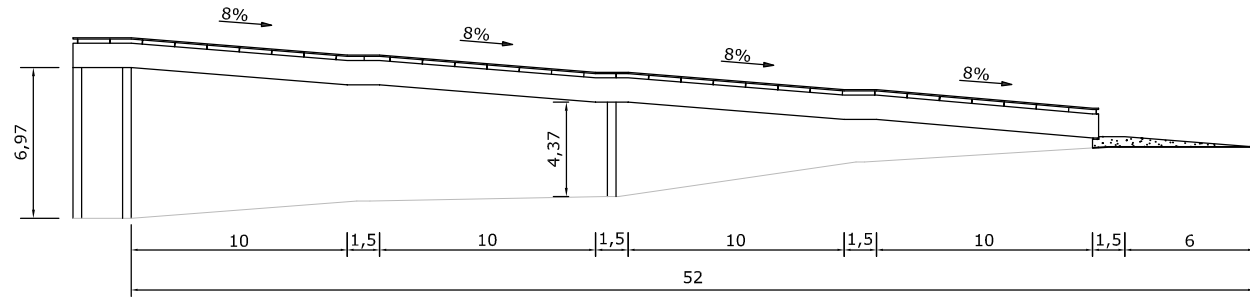
DESARROLLO RAMPA 1 (OESTE)
 ESCALA 1/500
 Cotas en m



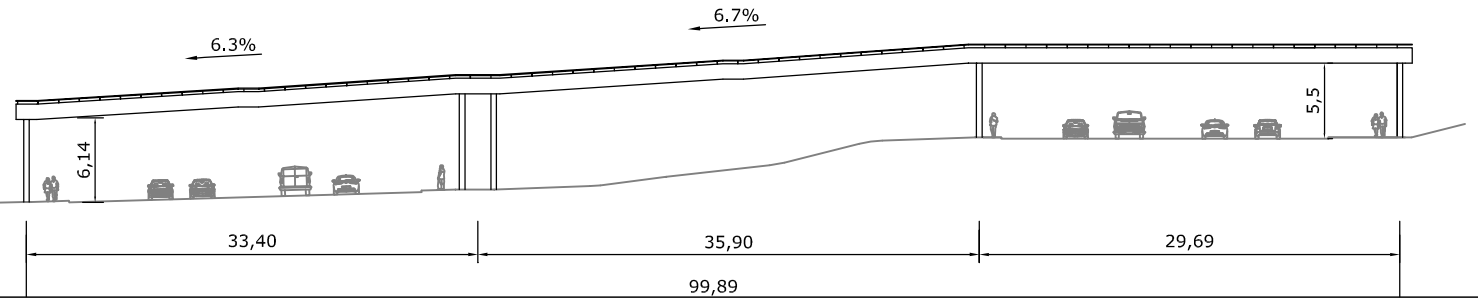
PLANTA
 ESCALA 1/800
 Cotas en m



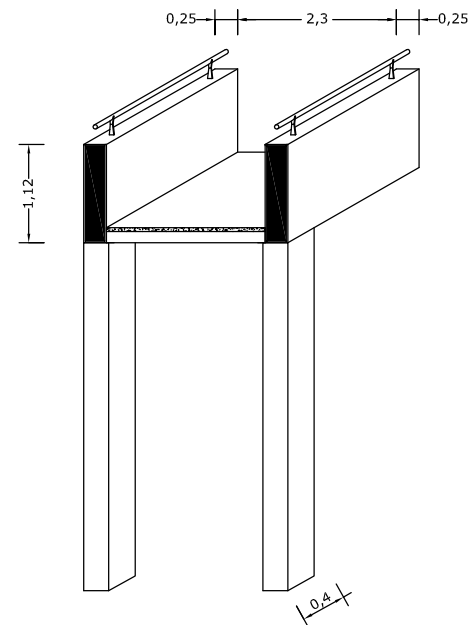
DESARROLLO RAMPA 2 (CENTRAL)
 ESCALA 1/350
 Cotas en m



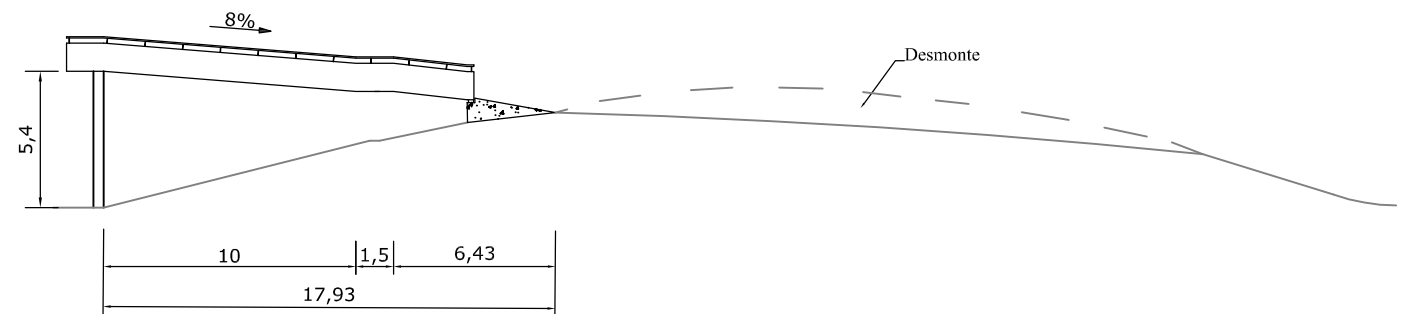
ALZADO TRAMO DE CRUCE
 ESCALA 1/500
 Cotas en m



DETALLE SECCIÓN TRANSVERSAL
 ESCALA 1/100
 Cotas en m

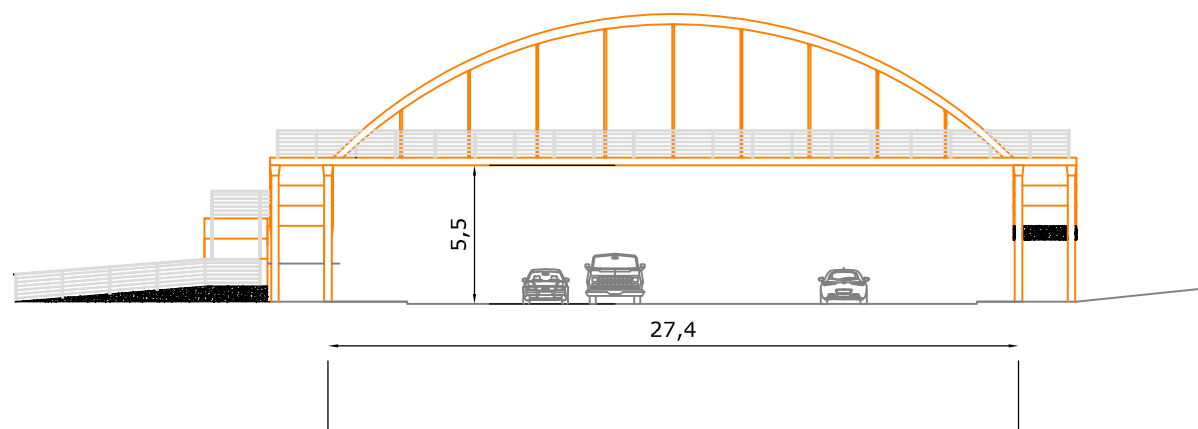


DESARROLLO RAMPA 3 (ESTE)
 ESCALA 1/300
 Cotas en m

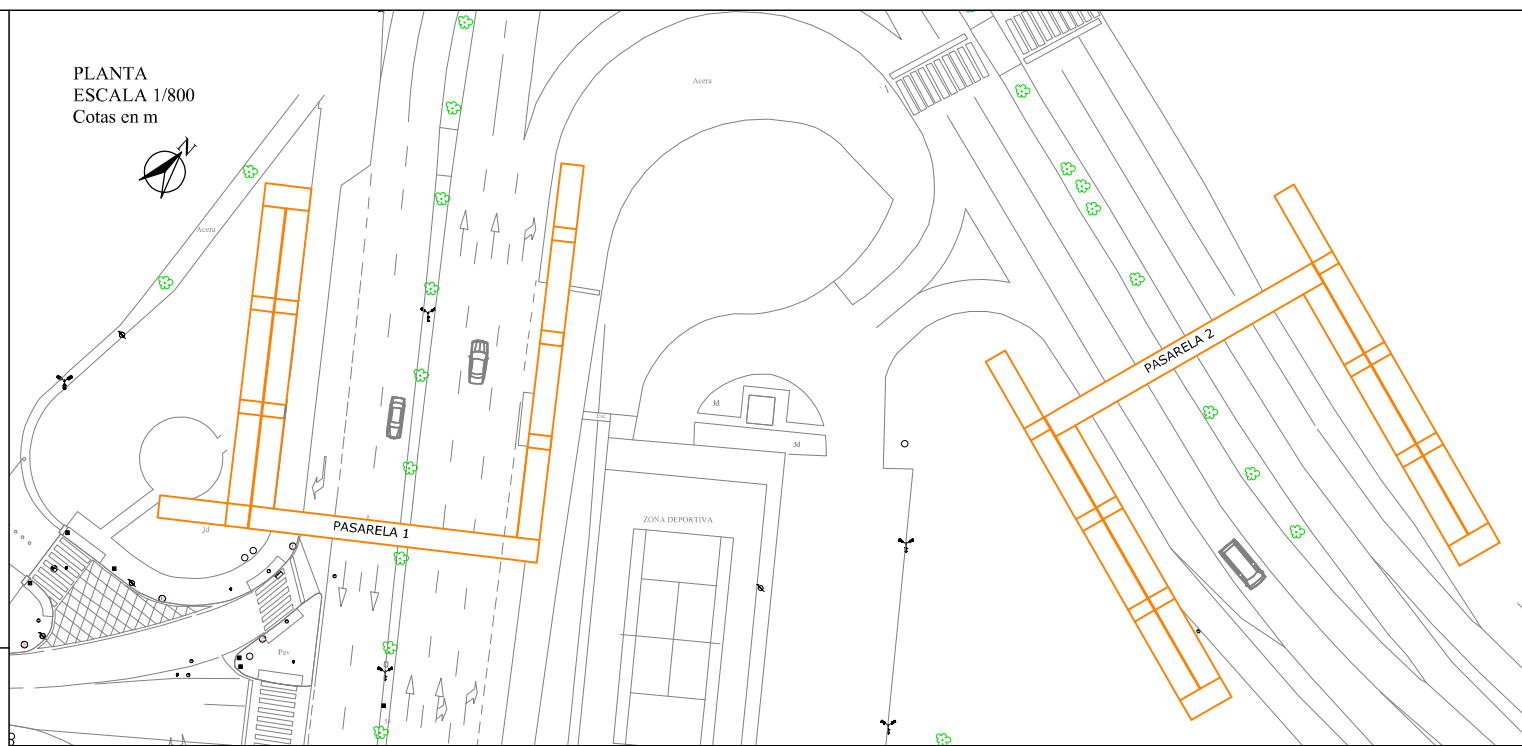


ESCUELA TÉCNICA SUPERIOR DE INGENIEROS DE CAMINOS, CANALES Y PUERTOS UNIVERSIDADE DE A CORUÑA	TITULACIÓN: Grado en Ingeniería de Obras Públicas	AUTOR: Rubén Sánchez Faro	FIRMA:	FECHA: Febrero 2016	TÍTULO DE PLANO: Alternativa 2
	PROYECTO: Pasarela peatonal en la intersección de la Avda. Rodríguez de Viguri con la Avda. O Camiño Francés (Santiago de Compostela)	PLANO Nº: 2	ESCALA: Varias	UNIDADES: metros	

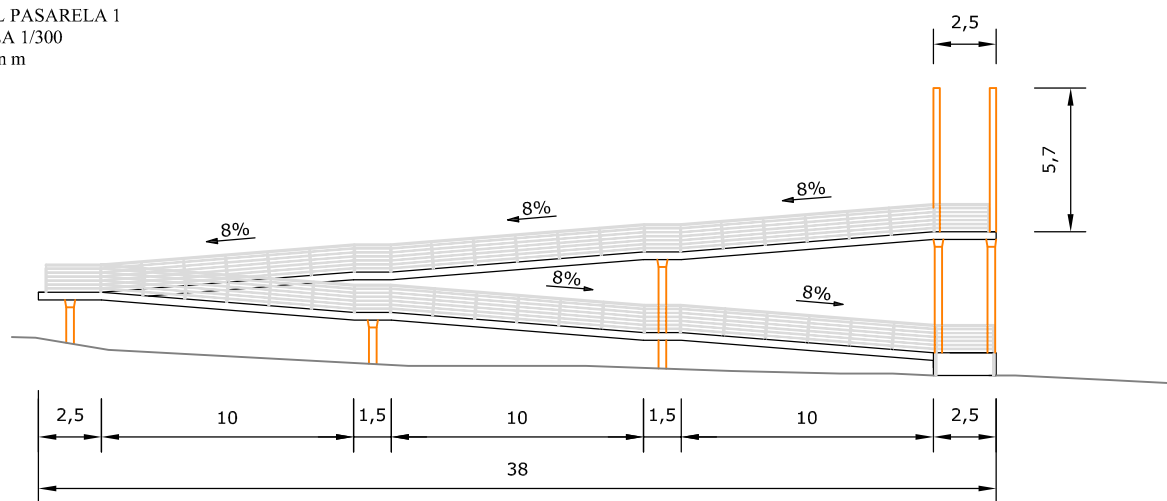
ALZADO PASARELA 1
ESCALA 1/300
Cotas en m



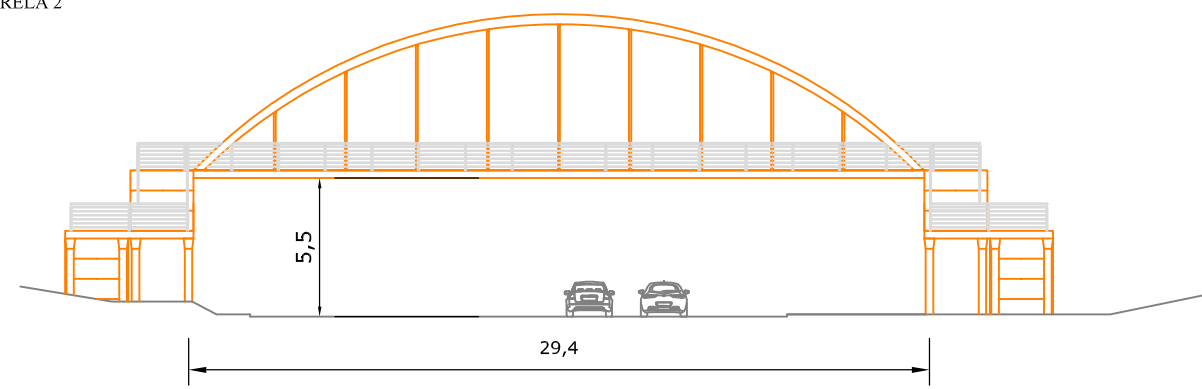
PLANTA
ESCALA 1/800
Cotas en m



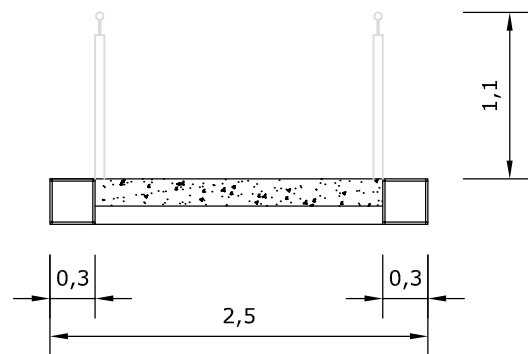
PERFIL PASARELA 1
ESCALA 1/300
Cotas en m



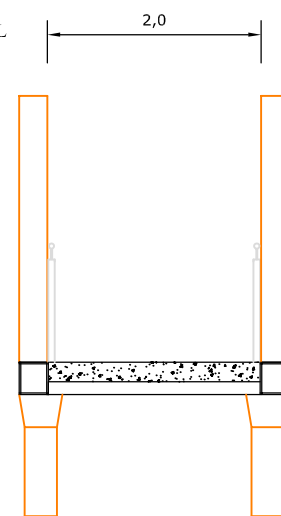
ALZADO PASARELA 2
ESCALA 1/300
Cotas en m



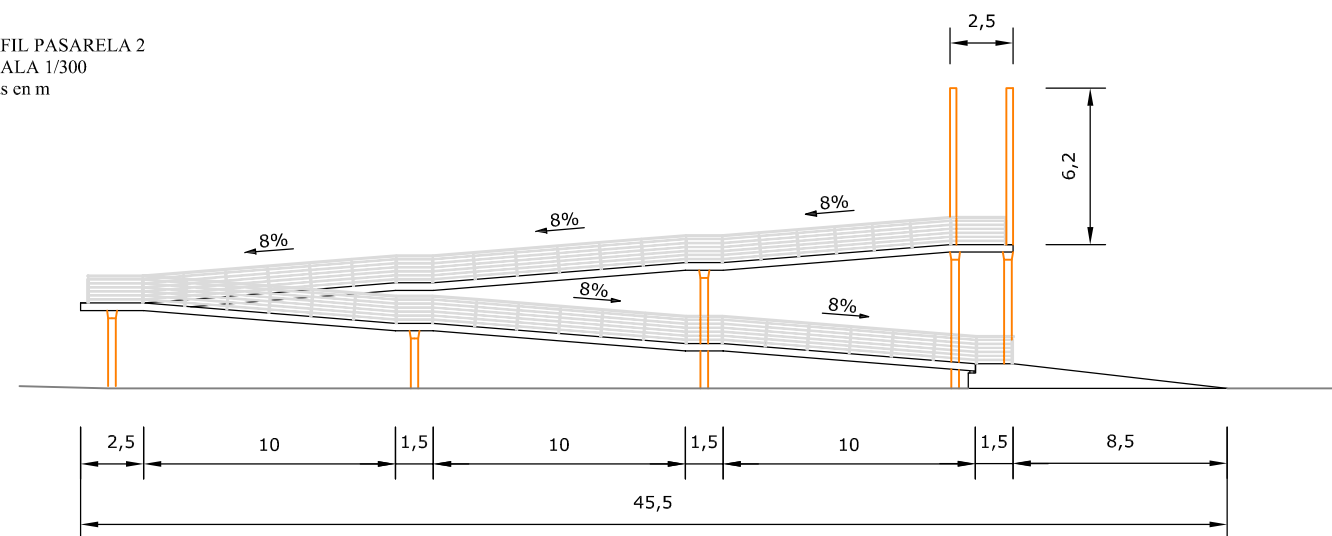
DETALLE SECCIÓN RAMPAS
ESCALA 1/50
Cotas en m



DETALLE TRAMO CENTRAL
ESCALA 1/70
Cotas en m



PERFIL PASARELA 2
ESCALA 1/300
Cotas en m



ESCUELA TÉCNICA SUPERIOR DE INGENIEROS DE CAMINOS, CANALES Y PUERTOS

UNIVERSIDADE DE A CORUÑA

TITULACIÓN:

Grado en Ingeniería de Obras Públicas

AUTOR:

Rubén Sánchez Faro

FIRMA:

FECHA:

Febrero 2016

TÍTULO DE PLANO:

Alternativa 3

PROYECTO:

Pasarela peatonal en la intersección de la Avda. Rodríguez de Viguri con la Avda. O Camiño Francés (Santiago de Compostela)

PLANO Nº:

3

ESCALA:

Varias

UNIDADES:

metros



ANEJO N° 4: ESTUDIO GEOLÓGICO



ÍNDICE

1.	INTRODUCCIÓN.....	3	3.1.1.1 ANFIBOLITAS CON GRANATE.....	7
1.1	SITUACIÓN.....	3	3.1.1.2 ANFIBOLITAS.....	7
1.2	ANTECEDENTES.....	3	3.1.2 ESQUISTOS DE ÓRDENES (PC-CA).....	7
1.3	ENCUADRE GEOLÓGICO.....	3	3.1.3 METAMORFISMO.....	8
2.	ESTRATIGRAFÍA.....	4	3.1.3.1 ROCAS METABÁSICAS EN FACIES GRANULITA.....	8
2.1	DOMINIO DEL COMPLEJO DE ÓRDENES.....	4	3.1.3.2 ESQUISTOS DE ÓRDENES (PC-CA).....	8
2.1.1	ROCAS METABÁSICAS.....	4	3.2 DOMINIO DEL BORDE EXTERNO DEL COMPLEJO DE ÓRDENES Y DEL COMPLEJO DE NOYA.....	8
2.1.2	ESQUISTOS DE ÓRDENES.....	5	3.2.1 ESQUISTOS Y PARANEISES.....	8
2.2	DOMINIO DEL BORDE EXTERNO DEL COMPLEJO DE ÓRDENES Y DEL COMPLEJO DE NOYA.....	5	3.2.1.1 ESQUISTOS Y PARANEISES ALBÍTICOS. BANDA ORIENTAL.....	9
2.2.1	ESQUISTOS Y PARANEISES.....	5	3.2.1.2 ESQUISTOS. BANDA ORIENTAL.....	9
2.3	DOMINIO MIGMATÍTICO O DE LAS ROCAS GRANÍTICAS. GRUPO DE LAGE.....	5	3.2.1.3 ESQUISTOS Y PARANEISES MIGMATIZADOS. ESQUINA NW.....	9
2.3.1	ESQUISTOS (PC-Se).....	5	3.2.2 METAGABROS Y ANFIBOLITAS (MO-ZA).....	10
2.4	TERCIARIO.....	6	3.2.2.1 ANFIBOLITAS CON GRANATE.....	10
2.4.1	ARCILLAS, ARCILLAS ARENOSAS Y ARENAS (T).....	6	3.2.2.2 ANFIBOLITAS.....	10
2.5	CUATERNARIO. HOLOCENO.....	6	3.2.2.3 CLORIFITAS.....	10
2.5.1	LLANURAS ALUVIALES Y FONDOS DE VAGUADA (Q2A1).....	6	3.2.3 METAMORFISMO.....	11
3.	PETROLOGÍA.....	6	3.2.3.1 PARANEISES Y ESQUISTOS (PC-CAZ).....	11
3.1	DOMINIO DEL COMPLEJO DE ORDENES.....	7	3.2.3.2 METAGABROS Y ANFIBOLITAS (MO-ZA).....	11
3.1.1	ROCAS METABÁSICAS INICIALMENTE EN FACIES GRANULITO...7		3.2.3.3 ORTONEISES.....	11
			3.3 DOMINIO MIGMATÍTICO Y DE LAS ROCAS GRANITICAS. GRUPO DE LAGE..11	
			3.3.1 ESQUISTOS CON NIVELES DE CUARCITAS.....	11
			3.3.2 ORTONEIS GRANDULAR (NG TI MB).....	12



3.3.3	METAMORFISMO.....	12	4.2.3.2	ESQUISTOSIDADES.....	16
3.3.3.1	ESQUISTOS CON NIVELES DE CUARCITAS (PC-SE).....	12	4.2.3.3	LINEACIONES.....	16
3.3.3.2	ORTONEIS GRNADULAR (NGT MBI).....	12	4.2.4	FASES TARDÍAS.....	16
3.4	ROCAS GRANÍTICAS HERCÍNICAS.....	12	5.	HISTORIA GEOLÓGICA.....	16
3.4.1	PRECURSORES BÁSICOS DE LA GRANODIORITA PRECOZ.....	12	5.1	CICLO ANTHERCÍNICO.....	16
3.4.2	GRANODIORITA PRECOZ CON MEGACRISTALES.....	13	5.2	CICLO HERCÍNICO.....	17
3.4.3	GRANITOIDE MIGMATÍTICO.....	13	5.3	CICLO POSTHERCÍNICO.....	18
3.4.4	GRANITO DE DOS MICAS DE GRANO MEDIO A GRUESO Y DE GRANO FINO A MEDIO.....	13	6.	GEOLOGÍA ECONÓMICA.....	18
3.5	ROCAS FILONIANAS.....	14	6.1	MINERÍA.....	18
3.5.1	CUARZO (Q).....	14	6.2	CANTERAS.....	18
3.5.2	LAMPRÓFIDO (FL).....	14	6.3	HIDROGEOLOGÍA.....	18
3.5.3	PEGMATITA (FP).....	14	6.3.1	TERRENOS PRECÁMBRICOS Y PALEOZOICOS Y ROCAS ÍGNEAS.....	18
4.	TECTÓNICA.....	14	6.3.2	TERRENOS TERCIARIOS Y CUATERNARIOS.....	19
4.1	INTRODUCCIÓN.....	14	APÉNDICE: SERIE MAGNA 1:50.000 IGME. HOJA 94 (SANTIAGO).....		20
4.2	FASES DE DEFORMACIÓN.....	14			
4.2.1	PRIMERA FASE DE DEFORMACIÓN HERCÍNICA.....	14			
4.2.1.1	PLIEGUES.....	14			
4.2.1.2	ESQUISTOSIDAD (S1).....	14			
4.2.2	EMPLAZAMIENTO DEL “DOMINIO DEL COMPLEJO DE ÓRDENES Y DEL “DOMINIO DEL BORDE EXTERNO DEL COMPLEJO DE ÓRDENES Y DEL COMPLEJO DE NOYA”.....	15			
4.2.3	SEGUNDA FASE DE DEFORMACIÓN HERCÍNICA.....	15			
4.2.3.1	PLIEGUES.....	15			



1. INTRODUCCIÓN

1.1 SITUACIÓN

La Hoja número 04-07/94 (Santiago de Compostela), correspondiente al M.T.N. a escala 1/50.000, se encuentra localizada en la provincia gallega de A Coruña.

La morfología de la Hoja está caracterizada por un relieve accidentado con abundantes montes, de laderas más o menos pendientes que no llegan a ser abruptas normalmente, distribuidos de un modo irregular. En ningún caso constituyen sierras, como lógica consecuencia de la distribución cartográfica heterogénea de las rocas que ocupan su superficie. Las alturas máximas se alcanzan dentro del cuadrante NE, en los montes de Espiñeira con una cota máxima de 536 m. Como contraposición a este relieve, sólo existe una pequeña depresión con formas llanas y ocupada por sedimentos terciarios y cuaternarios en la zona de Bertamiráns (cuadrante SE).

El río más importante es el Tambre que la atraviesa completamente con una dirección aproximada NE-SW y a cuya cuenca pertenece la mayor parte de la red hidrográfica de la Hoja. Únicamente su esquina suroccidental vierte aguas a la cuenca del río Ulla.

Dentro de la superficie y próximo a su esquina SE se encuentra Santiago de Compostela, que da nombre a la Hoja y que representa hoy, desde un punto de vista histórico, cultural, político y económico, una de las más importantes localidades gallegas.

1.2 ANTECEDENTES

Los primeros trabajos geológicos en el NW de la Península fueron realizados por SCHULZ en 1832, publicando en 1834 el “Mapa Petrográfico del Reyno de Galicia”. Dentro de esta primera etapa de investigación, cabe citar también a BARROIS (1882) que establece las bases de la estratigrafía y a HERNANDEZ SAMPELAYO que aporta gran cantidad de datos sobre las faunas de los materiales del Ordovícico y Silúrico y realiza un mapa geológico de Galicia a escala 1/400.000, publicado en 1942. Posteriormente CARLE (1945) presenta un mapa geotectónico del Occidente de Galicia.

Más recientemente hay que citar los de LOTZE (1945, 1956) y los de PARGA PONDAL (1956, 1958, 1960, 1963, 1964 Y 1967) especialmente su mapa geológico de Galicia a escala 1/400.000 publicado en 1963 y sobre todo la “Carte geologique du Nord-Ouest de la Peninsule Iberique” a escala 1/500.000 publicado bajo su dirección y siguiendo los acuerdos tomados en la I Reunión sobre Geología de Galicia y del N de Portugal celebrada en 1965.

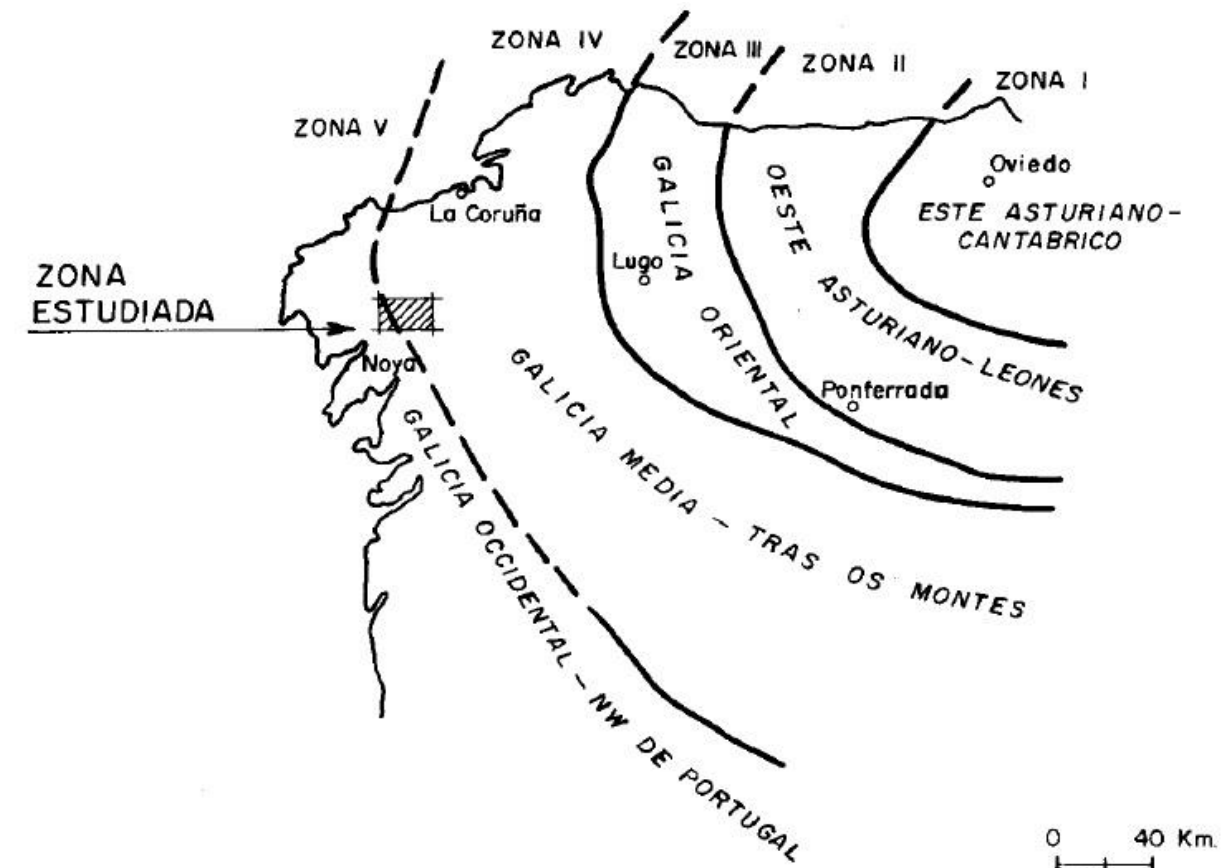
Es a partir de 1963 y con la publicación del mapa citado anteriormente en esta fecha por PARGA PONDAL, cuando comienzan a publicarse trabajos de más detalle, como son los de la Universidad de Leiden(Holanda), que desde 1954 venían trabajando en el Noroeste de la Península, bajo la dirección

de SITTER (1955-1957), ROEVER (1956-1958) y den TEX (1958 en adelante), y los de MATTE Y CAPDEVILA.

De estos trabajos hay que citar, por afectar más directamente al presente estudio, los de den TEX (1965, 1966,1978), WARNAARS (1967), MATTE (1968), CAPDEVILA (1969), van ZUUREN (1969), ARPS (1970), MAASKANT (1970), RIES & SHACKLETON (1971, van CALSTEREN (1977), ANTHONIOZ & FERRAGNE (1978) Y MATTE & CAPDEVILA (1978).

1.3 ENCUADRE GEOLÓGICO

La presente Hoja se sitúa dentro de la zona III de LOTZE (1945), zona Galaico-Castellana, o de la zona Centro-Ibérica de JULIVERT et al. (1972) o entre las zonas IV y V de MATTE (1968), ZONAS DE Galicia media-Tras Os Montes y Galicia Occidental-NW de Portugal.



Diferentes zonas paleogeográficas del NW de la península Ibérica. MATTE (1968).



Tanto desde un punto de vista petrológico como estructural, la Hoja puede dividirse en tres dominios que en el presente trabajo han sido denominados “Dominio del complejo de Órdenes”, “Dominio del borde externo del Complejo de Órdenes y del Complejo de Noya” y “Dominio migmatítico y de las rocas graníticas. Grupo de Lage”.

El primero se localiza en dos estrechas franjas a lo largo del límite E de la Hoja. Forma parte del gran complejo polimetamórfico de Órdenes. Está compuesto por una serie de rocas máficas ultramáficas que muestran signos de haber sufrido al menos un metamorfismo anterior al desarrollado durante la orogenia hercínica, de facies de más alto grado que el alcanzado por este último y más concretamente de facies granulita. Junto con este metamorfismo debió acontecer también una, o quizá más, fases de deformación. Encima de estas rocas se sitúan los esquistos de Órdenes que constituyen una formación metasedimentaria típica del complejo que lleva este mismo nombre.

El “Dominio del borde externo del Complejo de Órdenes y del Complejo de Noya” lo constituyen dos zonas geográficamente separadas. Una consiste en una banda que bordea por el W al Complejo de Órdenes con una anchura media de 3 km aproximadamente y que correspondería a la primera parte del nombre dado a este dominio. La otra se sitúa en la esquina NW de la Hoja con una extensión próxima a los 15 km². Los límites de esta última zona no son precisos debido a la migmatización que presentan las rocas. Corresponde a la segunda parte del nombre del dominio.

Los materiales que constituyen la primera zona son: esquistos que frecuentemente presentan niveles con porfiroblastos de albita, dos cuerpos de ortoneis biotítico de diferente extensión y un conjunto de rocas máficas definidas como metagamigmatizadibros y anfibolitas que afloran formando desde cuerpos masivos hasta delgados niveles. Los materiales que componen la segunda, presentan algunas diferencias con los de la primera, pero en conjunto, no parece plantear problemas graves el considerar a ambos equivalentes. Estas diferencias se concretan en que en esta última aparecen ortoneises con anfíbol (además de los biotíticos) que no se muestran en la primera y en que no se han localizado afloramientos importantes de rocas máficas. Por otro lado las series metasedimentarias de ambas zonas parecen comparables a pesar de la migmatización que presenten los metasedimentos de la esquina NW.

Además las rocas que componen esta segunda zona pueden hacerse corresponder también con los que constituyen el “Complejo de Noya” (según otros autores “Fosa blastomilonítica”) definido más al W de la presente Hoja y el cual da nombre a esta zona, ya que las características petrológicas de los ortoneises y de los metasedimentos en ambas regiones parecen correlacionables.

El tercer dominio denominado “Dominio migmatítico y de las rocas graníticas. Grupo de Lage”, corresponde con el definido por PARGA PONDAL (1960) como Grupo de Lage, por esta razón se le ha añadido este nombre a la denominación que en principio se le había asignado, de “Dominio migmatítico y de las rocas graníticas”. Está compuesto fundamentalmente por una serie

metasedimentaria más o menos migmatizada; por los productos avanzados de la migmatización, los cuales se han denominado genéricamente “granitoide migmatítico”; y por algunos afloramientos de ortoneis glandulares también migmatizados. También existen varios cuerpos graníticos y granodioríticos intrusivos de las rocas anteriores, pero no deben considerarse como pertenecientes a este dominio, ni a ninguno de los anteriores, ya que intruyen también el “Dominio del borde externo del Complejo de Órdenes y del Complejo de Noya”.

2. ESTRATIGRAFÍA

2.1. DOMINIO DEL COMPLEJO DE ÓRDENES

2.1.1 ROCAS METABÁSICAS, INICIALMENTE EN FACIES GRANULITO, EN SU MAYOR PARTE RETROGRADAS A FACIES ANFIBOLITA

Afloran únicamente junto al límite E de la Hoja y dentro de su mitad S. Forman parte de un cuerpo de mayores dimensiones que se extiende hacia el E y S, en las Hojas de El Pino y La Estrada. Su anchura de afloramiento en la Hoja alcanza como máximo 1 Km y su longitud es de aproximadamente 5 Km.

De acuerdo con su disposición estructural debe corresponder a la parte inferior del dominio.

En general son de color verde oscuro. A veces se presentan masivas. Cuando no poseen estas características se observa en ellas un plano de esquistosidad cuyo origen podría estar relacionado con una fase de deformación antehercínica. Localmente poseen bandeados formados por niveles melanocratos ricos en anfíbol y leucocratos ricos en plagioclasa que suelen aparecer plegados, los cuales son, y debido seguramente a un proceso de deformación, y segregación.

Su tamaño de grano varía entre fino y medio, pudiéndose en este caso distinguirlos cristales de plagioclasa de los minerales ferromagnesianos.

En su parte septentrional dentro de la Hoja, aparecen estas rocas muy retrogradadas, como anfibolitas de grano fino

Su alteración da lugar a suelos de color naranja o rojo característico.

Son rocas máficas, que han sufrido metamorfismo de alto grado de facies granulito y que posteriormente han sido retrogradadas a facies inferiores. Pero esta retrogradación no ha sido uniforme, ocasionando un conjunto de rocas petrológicamente diferentes. A pesar de esta diferencia petrológica, se piensa en una misma unidad original para ellas y así han sido representadas en la cartografía.

Su edad resulta muy difícil de establecer. Únicamente utilizando criterios indirectos podemos hacer una aproximación de ella. Estos criterios podrían resumirse en la relación que existe entre estas rocas



y los Esquistos de Ordenes, los cuales se sitúan estructuralmente encima de ellas y que en otras regiones próximas pero fuera de la presente Hoja (por ejemplo, Hoja núm. 71, Sobrado), existen argumentos que les atribuyen una edad Precámbrico-Cámbrico. Por tanto no parece muy arriesgado atribuir a esta formación una edad Precámbrica. Por otro lado las dataciones realizadas por CALSTEREN (1977) no aportan ninguna precisión más sobre este particular, ya que asignan una edad de 350 m.a. (Devónico Superior), para el final del metamorfismo antehercínico de facies granulito, que como ya se ha dicho han sufrido estas rocas.

2.1.2 ESQUISTOS DE ÓRDENES

Aparecen representados en un solo afloramiento situado en la parte central del límite E de la Hoja. Su extensión no debe sobrepasar los 8 Km².

Su alteración superficial es frecuente por lo que los buenos afloramientos son escasos.

Son rocas de color verde a gris con una marcada esquistosidad de flujo hercínico a veces crenulada por otra posterior, que corresponden a esquistos, esquistos micáceos y esquistos de cuarzo y feldespato que alguna vez intercalan niveles arenosos. Su espesor resulta hasta el momento imposible de precisar, pero en cualquier caso no deben sobrepasar los 500 m dentro de la Hoja.

Deben proceder de sedimentos de naturaleza arcillosa y grauváquica, fundamentalmente.

Para den TEX (1965) la edad de esta formación sería precámbrica. De todos modos, no existen argumentos definitivos que le puedan asignar una edad exacta. Únicamente, y utilizando criterios deducidos en regiones próximas (por ejemplo, Hoja núm. 71, Sobrado), se les ha atribuido una edad Precámbrico-Cámbrico.

2.2. DOMINIO DEL BORDE EXTERNO DEL COMPLEJO DE ORDENES Y DEL COMPLEJO DE NOYA

2.2.1. ESQUISTOS Y PARANEISES

Se localizan en dos zonas dentro de la Hoja, la primera corresponde a una banda que bordea de N a S y por su parte Occidental al Complejo de Ordenes, y que se encuentra dividida en dos partes por el ortoneis biotítico de este dominio.

La segunda se sitúa en la esquina NW de la Hoja, ocupando una superficie que no sobrepasa los 15 Km². En esta zona la migmatización ha alcanzado cotas elevadas por lo que la identificación litológica de los materiales resulta muy difícil.

La serie, en general, está compuesta por esquistos de naturaleza política y grauváquica y de paraneises por lo general de color gris más o menos oscuro. Destacan del conjunto, los esquistos con porfiroblastos de albita los cuales de alguna manera la caracterizan.

Presentan una esquistosidad de crenulación muy intensa, denominada en el presente trabajo S'1, llegando en algún caso, a borrar la S1.

Su edad, igual que en los Esquistos de Ordenes, resulta imposible de precisar, por no existir restos fósiles o cualquier otro criterio directo que lo permita. Por tanto los argumentos utilizados son parecidos a los seguidos para la formación anterior.

Teniendo en cuenta el carácter intrusivo de los ortoneises biotíticos en estas rocas y correlacionándolos con los del Complejo de Noya propiamente dicho (situado más al W de la región que nos ocupa), ya que sus similitudes petrológicas son evidentes, la datación de éstos podría ser utilizada como criterio para la delimitación de una edad, al menos aproximada.

Los ortoneises del Complejo de Noya han sido datados en su conjunto por van CALSTEREN (1977), asignándoles una edad de 462 m.a. lo cual sitúa su emplazamiento hacia la mitad del Ordovícico. Por tanto estos metasedimentos deben ser anteriores a esta edad, y no parece muy arriesgado el atribuirlos al Precámbrico-Cámbrico, más aún si tenemos en cuenta las similitudes con otras series del Macizo Hespérico datadas con estas edades.

2.3. DOMINIO MIGMATITICO Y DE LAS ROCAS GRANITICAS. GRUPO DE LAGE

2.3.1. ESQUISTOS (PC-Se)

Corresponden a todos los afloramientos de metasedimentos que se localizan fuera de los dominios anteriores. Su representación superficial es superior a la de las series metasedimentarias ya descritas y su distribución muy irregular.

Representan las zonas donde la migmatización no alcanzó el grado necesario para su transformación en rocas graníticas.

Lógicamente, los afloramientos representados en la cartografía correspondiente a los cuerpos más importantes y de mayor extensión superficial, pero existen muchos más de dimensiones no cartografiadas repartidos prácticamente por la totalidad de la superficie de la formación denominada "granitoide migmatítico" (que se describe en el siguiente capítulo).

Por tanto, se presentan por lo general migmatizados o con abundantes inyecciones graníticas lo cual provoca que la serie sedimentaria original se encuentre muy enmascarada. De todos modos se puede decir que la componen fundamentalmente esquistos con algunas intercalaciones de cuarcitas a veces negras.



Su potencia ha sido imposible de fijar e incluso resultaría muy arriesgado el atribuirle un valor aproximado, ya que no existen niveles guía, ni han podido definirse los pliegues supuestamente isoclinales debidos a la primera fase de deformación hercínica, que seguramente les afectan.

En general presentan una esquistosidad de flujo, correspondiente a la S1 hercínica, que frecuentemente aparece microplegada y/o crenulada.

Su edad no ha podido ser precisada por lo que se les asigna una edad Precámbrico-Silúrico, aunque como indicación conviene mencionar la aparente, al menos, similitud de facies con las series Ordovícico-Silúrico de otras partes de Galicia, aún faltando algunos niveles guía como la Cuarcita Armoricana.

2.4. TERCIARIO

2.4.1. ARCILLAS, ARCILLAS ARENOSAS Y ARENAS (T)

Estos depósitos se localizan exclusivamente en el Sur de la Hoja y hacia su parte central. Su extensión no sobrepasa los 6 Km².

Su situación posiblemente está relacionada con la reactivación, durante los tiempos recientes, de las fallas cubiertas en la cartografía por estos depósitos y por los cuaternarios. Esta reactivación seguramente dio lugar a una pequeña cubeta tectónica posteriormente aprovechada por la sedimentación terciaria y más tarde por la cuaternaria.

En general son arcillas, normalmente algo arenosas en las que se intercalan lechos delgados de arenas y que de un modo disperso poseen cantos de cuarzo y granito de subangulosos a redondeados con tamaños máximos de 4-5 cm. Su color es rojo, amarillo o pardo. En algunos casos, al menos, parecen proceder de la alteración de esquistos próximos. Los análisis de Rayos X realizados sobre muestras arcillosas revelan que la caolinita es el mineral de la arcilla principal en su composición y que la illita y moscovita son los secundarios.

Su espesor debe ser pequeño, pero no ha podido ser precisado con exactitud al faltar cortes buenos.

Su edad, ante la falta de datos paleontológicos, resulta muy difícil de precisar más de la asignada. Pero en principio, podrían correlacionarse con depósitos similares de otras regiones gallegas a las cuales se les atribuye una edad de Mioceno.

2.5. CUATERNARIO. HOLOCENO

2.5.1. LLANURAS ALUVIALES Y FONDOS DE VAGUADA (Q2A1)

No adquieren una representación importante dentro de la Hoja.

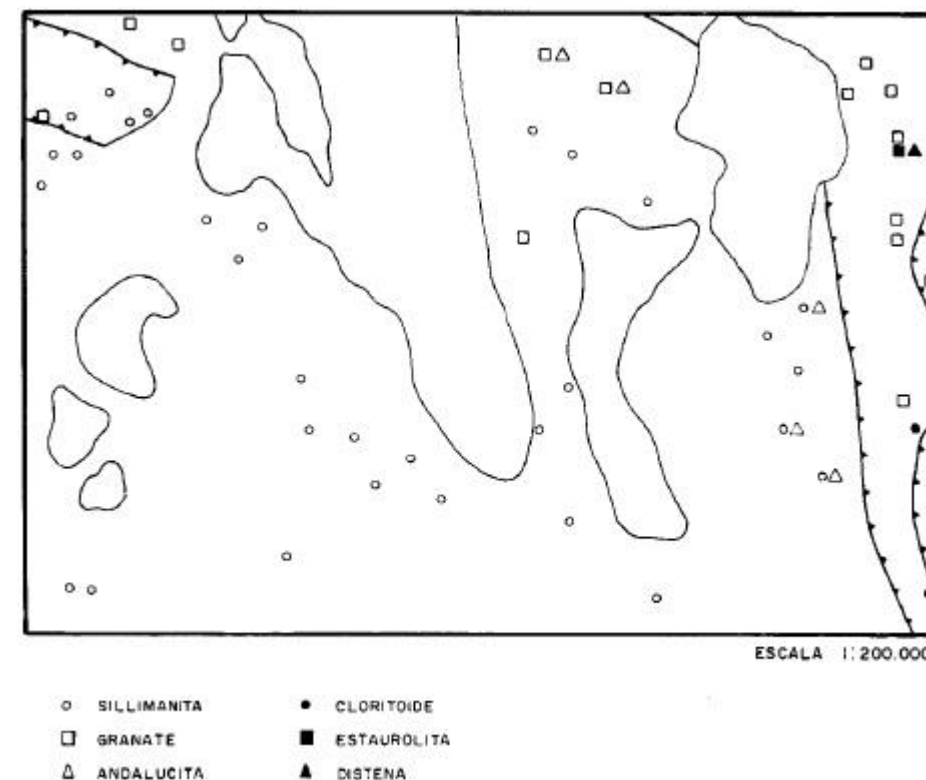
Se componen fundamentalmente de gravas de cuarzo, esquistos, paraneises y granito, dependiendo del área madre, heterométricas, de redondeadas a subredondeadas y con una matriz areno-limo-arcillosa parda.

El espesor de estos depósitos resulta difícil de conocer, por la falta de cortes buenos, pero es lógico pensar en valores bajos, como es tónica general en toda la región.

Respecto a los rellenos de fondos de vaguada, son frecuentes estos en grannúmero de arroyos y cauces secundarios de la red hidrográfica. En general, son depósitos poco evolucionados procedentes del entorno cercano por el que circula el curso de agua correspondiente. Su espesor es pequeño.

3. PETROLOGÍA

En la figura siguiente se han representado los minerales índice de metamorfismo, obtenidos a partir del estudio petrográfico.





3.1. DOMINIO DEL COMPLEJO DE ÓRDENES

En el borde Oriental de la Hoja de Santiago aparecen dos afloramientos de extensión reducida y elongación N-S, correspondientes al Complejo de Ordenes cuya mayor representación se encuentra al E y al NE de esta Hoja. En estos afloramientos, las litologías encontradas son metasedimentos y rocas básicas que corresponden a las unidades fundamentales definidas en la vecina Hoja de El Pino (Formación Ordenes y Macizo de Santiago de Compostela).

Los tipos petrológicos distinguidos son: Rocas básicas (anfíbolitas), y esquistos y neises (metasedimentos).

3.1.1 ROCAS METABÁSICAS INICIALMENTE EN FACIES GRANULITO, EN SU MAYOR PARTE RETROGRADADAS A FACIES ANFIBOLITA (Γ)

Las paragénesis más frecuentes encontradas se pueden dividir en dos grupos según aparezca o no el granate.

3.1.1.1 ANFIBOLITAS CON GRANATE

Son relativamente abundantes y su mineralogía se puede sintetizar en anfíbol + plagioclasa + granate, apareciendo como accesorios cuarzo, esfena, clinozoisita y carbonatos.

El anfíbol es verde claro, tipo hornbléndico subidiomorfo y bastante abundante.

La plagioclasa no presenta zonación y es de composición andesina.

El granate forma poikiloblastos que incluyen anfíboles y cuarzo o bien aparece como cristales esponjosos.

Entre los accesorios, la esfena suele ser bastante abundante con hábitos subidiomorfos y granulares de pequeño tamaño. La clinozoisita puede aparecer con bastante abundancia y con carecer intersticial. Los opacos son poco abundantes. El cuarzo aparece como pequeños cristales intersticiales. Esporádicamente puede aparecer carbonato.

Las texturas son granohematoblásticas equigranulares de grano fino con orientación bien definida.

3.1.1.2 ANFIBOLITAS

Son los tipos predominantes y su mineralogía más frecuente es anfíbol + plagioclasa. Entre los minerales accesorios hay cuarzo, clinozoisita, rutilo, esfena, opacos, apatito, clorita y epidota.

El anfíbol suele ser muy abundante, llegando hasta el 80 por ciento. Tienen hábitos prismáticos subidiomorfos. Generalmente es hornblenda verdosa aunque a veces podemos encontrar tonalidades verdes marrones o algunos tipos incoloros, o incoloros con bordes verdosos.

La plagioclasa es oligoclasa-andesina está poco maclada y no presenta zonación. Puede aparecer en agregados recristalizados.

Es frecuente su transformación por retrogradación a albita, clinozoisita y zoisita.

Entre los accesorios la esfena es el más abundante y se presenta con frecuencia marginando a opacos o rutilo o como cristales aislados idiomorfos a subidiomorfos.

La clorita puede proceder de transformación de anfíbol aunque no existe evidencia directa de este hecho.

Texturalmente estas rocas son granonematoblásticas de grano medio a fino, con desigual orientación.

En algún caso se encuentran texturas palimpsésticas gabroides y microbandeado composicional.

3.1.2 ESQUISTOS DE ORDENES (PC-CA)

Dentro del afloramiento de éstos, se han distinguido fundamentalmente dos tipos de rocas mitológicamente distintos. Son los esquistos y los neises.

La distinción entre los dos tipos se realiza por la abundancia de plagioclasa dado que el grado de recristalización de ambos es muy semejante.

Esquistos: Su mineralogía es cuarzo + plagioclasa + biotita + moscovita ± granate. Los accesorios más comunes son opacos, apatito, circón, epidota y allanita. También aparece clorita de transformación de biotita y granate.

La plagioclasa es oligoclasa sin zonado.

El granate es redondeado y está bastante transformado a biotita con posterior cloritización. Es precinemático con respecto a la esquistosidad S'1.

Las texturas son granolepidoblásticas, pudiendo eventualmente estar superpuestos procesos de cataclasis tardía.

Neises: La mineralogía principal es cuarzo + plagioclasa + biotita ± moscovita ± granate y entre los accesorios más frecuentes se encuentran apatito, circón, opacos, allanita, anfíbol, epidota y clinozoisita.



La plagioclasa es poco zonada, de composición oligoclasa-albita. Presenta transformación a minerales del grupo de la epidota. Se encuentra como fenoblastos rodeados por la esquistosidad visible.

La biotita es marrón rojiza, domina sobre la moscovita y con ella define la orientación.

El granate cuando aparece es abundante, subidiomorfo y se encuentra rodeado por la esquistosidad.

Entre los accesorios puede aparecer allanita, rodeada de clinozoisita. Los circones están redondeados.

Las texturas son granolepidoblásticas, pudiendo aparecer fenoblastos de plagioclasa. Sólo se observa una esquistosidad.

3.1.3 METAMORFISMO

3.1.3.1 ROCAS METABÁSICAS INICIALMENTE EN FACIES GRANULITO, EN SU

MAYOR PARTE RETROGRADADAS A FACIES ANFIBOLITA (Γ)

Entre las rocas estudiadas en este dominio no aparece el clinopiroxeno, no encontrándose por tanto paragénesis plagiopyrigarníticas como las citadas por van ZUUREN (1969). No obstante parte de las anfibolitas encontradas podrían corresponder a un retrometamorfismo en grado medio de rocas que previamente han alcanzado condiciones granulíticas como en la vecina Hoja de El Pino. El hecho de no encontrar plagiopyrigarnitas puede en parte deberse al hecho de que al encontrarnos en zonas marginales del complejo básico, el retrometamorfismo anfibolítico haya actuado con más intensidad, borrando los vestigios de la facies granulítica.

El anfíbol en estas rocas se encuentra con frecuencia orientado debido a que su génesis está parcialmente en relación con una etapa de deformación. Otros anfíboles son heredados o corresponden a procesos retromórficos más tardíos.

La plagioclasa es tipo andesina-oligoclasa pero sufre retrogradación a tipos más albíticos con minerales del grupo en la epidota (saussurita).

El granate podría haberse formado en una etapa de metamorfismo prehercínico, o bien generarse en el metamorfismo hercínico en condiciones de la facies “anfíbolitas con almandino”.

Estas rocas, además de haber sufrido un metamorfismo hercínico en facies anfíbolita, han sido afectadas por otra etapa metamórfica de bajo grado responsable de una serie de reacciones retromórficas como la transformación de la plagioclasa en albita-zoisita-clinozoisita, la generación de anfíbol incoloro y la cloritización y generación de epidota y moscovita.

En la zona de contacto del Complejo de Ordenes se localiza un afloramiento de talcoesquistos que parecen corresponder a pinzamientos de rocas ultramáficas muy degradadas en relación con zonas de fractura.

3.1.3.2 ESQUISTOS DE ORDENES (PC-CA)

La biotita y la moscovita se encuentran generalmente asociadas a la esquistosidad más visible (S'1) y cuando aparecen fenoblastos de plagioclasa se encuentran rodeados por esta esquistosidad, siendo por tanto de génesis previa. También se encuentra alguna moscovita tardía sin relación con la estructura.

Los granates son pre S'2 y se encuentran parcialmente retromorfizados a biotita y a clorita.

De esta serie de observaciones se deduce que existe una etapa previa a la esquistosidad más visible en que se generaron biotita, moscovita, granate y blastos de plagioclasa. Existe otra etapa en relación con la esquistosidad principal S'1 con recristalización de micas, en las que el granate se hace inestable.

Con carácter más tardío se produce la cloratización del granate y la biotita, la retrogradación de la plagioclasa y el crecimiento de algunas moscovitas desorientadas.

3.2 DOMINIO DEL BORDE EXTERNO DEL COMPLEJO DE ORDENES Y DEL COMPLEJO DE NOYA

Dentro de la Hoja este dominio se sitúa bordeando a los afloramientos del Complejo de Ordenes y en el ángulo NW de la Hoja.

Los grupos petrológicos distinguidos son: Rocas básicas (anfíbolitas, metagabros y clorititas), ortoneises biotíticos, ortoneises con anfíbol y metasedimentos (esquistos y paraneises).

3.2.1 ESQUISTOS Y PARANEISES (PC-CAE)

Este grupo se localiza como ya se dijo en el capítulo de Estratigrafía en dos hojas. La primera correspondiente a la banda próxima al límite Oriental de la Hoja y otra en la esquina NW de ésta. El carácter migmatítico de la segunda zona nos ha llevado a describirlos independientemente. Por otro lado, dentro de la primera zona se han dividido en dos grupos estas rocas por lo que el presente apartado ha quedado clasificado en:

Esquistos y paraneises albíticos. Banda Oriental.

Esquistos. Banda Oriental.

Esquistos y paraneises migmatizados. Esquina NW.



Dentro de los primeros grupos, la división se ha realizado en base a la presencia o no de porfiroblastos de albita y la distinción entre esquistos y paraneises en función de la abundancia de plagioclasa.

3.2.1.1 ESQUISTOS Y PARANEISES ALBÍTICOS. BANDA ORIENTAL

Su mineralogía principal es cuarzo + albita + biotita + moscovita. Los accesorios más frecuentes son granate, turmalina, apatito y opacos, apareciendo con menos frecuencia esfena, circón, rutilo y materia carbonosa.

El cuarzo es alotriomorfo con extinción ondulante y a veces puede presentar un cierto estiramiento.

La albita forma porfidoblastos que frecuentemente engloban cuarzo, moscovita, biotita, esfena, grafito y granate, según una orientación en general discordante con la esquistosidad externa que rodea a los fenoblastos. En ocasiones las inclusiones son sigmoidales.

La biotita es marrón con transformación a clorita predominante, cuando no está incluida en la albita.

El granate puede estar incluido en la albita en cristales pequeños e idioblásticos y anubarrados o estar en el exterior. En este último caso está bastante transformado a micas y cloritizado. Es anterior a la esquistosidad principal (S'1).

La turmalina es muy frecuente en estas rocas y su eje mayor suele estar contenido en el plano de esquistosidad. Puede presentar zonados y recrecimientos.

Las texturas son granolepidoblásticas de grano fino con porfidoblastos de albita.

Se observa una esquistosidad de flujo principal (S'1) conservándose otra previa (S1) en inclusiones dentro de los porfidoblastos de albita o como arcos poligonales.

3.2.1.2 ESQUISTOS. BANDA ORIENTAL

En este apartado agrupamos rocas de diversa naturaleza, esquistosas con términos transicionales a las rocas con albita. La mineralogía es bastante heterogénea y principalmente consta de cuarzo + biotita + moscovita, presentándose en algunas ocasiones y según los tipos de roca: plagioclasa, granate (muy local), estaurolita y cloritoide. Como accesorios podemos encontrar opacos, turmalina, materia grafitosa y más escasamente esfena, circón, rutilo y epidota s.l.

ocasionales y según los tipos de roca: plagioclasa, granate (muy local), estaurolita y cloritoide. Como accesorios podemos encontrar opacos, turmalina, materia grafitosa y más escasamente esfena, circón, rutilo y epidota s.l.

El cuarzo puede aparecer como cristales individuales alotriomorfos o formando lentejones irregulares o bandeado granoblástico.

La biotita se encuentra junto a la moscovita definiendo los planos de esquistosidad. Frecuentemente está muy transformada a clorita.

El granate se encuentra casi siempre con transformación parcial a micas. En algún caso se presenta en individuos idioblásticos anubarrados y se encuentra rodeado por la esquistosidad visible.

La plagioclasa es de tipo ácido con pocas inclusiones.

La distena aparece en cristales pequeños, muy numerosos y algunos deformados, pero no se aprecian relaciones claras respecto a las deformaciones.

La estaurolita se encuentra en pequeños cristales residuales con parcial sericitización. Sólo ha aparecido una muestra, que además posee distena también.

El cloritoide se presenta en uno de los casos afectado por la esquistosidad principal pero no se puede posicionar con precisión respecto a la fase previa. Forma prismas cortos maclados, con pleocroísmo verde azulado.

Entre los accesorios es frecuente la presencia de materia grafitosa pulverulenta y la aparición de turmalina.

La zoisita se localiza rellenando venillas cortantes a la esquistosidad.

Las texturas son granolepidoblásticas con abundantes micas definiendo los planos. Es frecuente la agrupación del cuarzo en lentejones granoblásticos.

Se observan dos deformaciones, quedando la primera en la mayoría de los casos reducida a microlitos abrazados por la esquistosidad principal.

En algún caso se observan crenulaciones (S2) que doblan a la segunda esquistosidad (S'1).

3.2.1.3 ESQUISTOS Y PARANEISES MIGMATIZADOS. ESQUINA NW

Este grupo reúne una serie de rocas de relativa heterogeneidad mineralógica y textural.

En su composición mineralógica todas tienen en común entre los minerales principales cuarzo, biotita y moscovita, pudiendo aparecer según los casos plagioclasa y/o microclima que a veces se relegan a proporciones accesorias. Entre los minerales accesorios también según los casos, se encuentra sillimanita, opacos, apatito, circón, granate o epidota.



El cuarzo puede aparecer como mineral aislado aunque frecuentemente se encuentra formando venas y lentejones granoblásticos.

La plagioclasa se encuentra frecuentemente bastante sericitizada y en las rocas más migmatíticas puede presentar mirmequitas.

La biotita con frecuencia está bastante cloritizada y moscovitizada.

La sillimanita suele estar bastante moscovitizada encontrándose a veces únicamente pseudomorfofisis que indican su existencia previa. Se encuentra a menudo con hábitos prismáticos en las rocas más migmatizadas. En bastantes casos ha crecido sobre la biotita que forma la esquistosidad.

El granate se encuentra con poca frecuencia y suele estar bastante transformado a biotita y a clorita.

La moscovita procede en proporción considerable de la transformación tardía de otros minerales, (biotita, sillimanita, plagioclasa), bien en forma microcristalina o en grandes placas superpuestas a las principales estructuras.

En la prolongación hacia el W de estos materiales, ya dentro de la Hoja 03 (Outes), pero muy cerca del borde de la presente Hoja, se ha localizado distena en una muestra.

Las texturas más frecuentes son lepidoblásticas a lepidogranoblásticas. En la mayoría de los casos sólo se observa una esquistosidad de flujo, si bien en alguno de los casos se llega a observar una esquistosidad plegada y recristalizada, llegándose a desdibujar la orientación en las rocas muy migmatizadas.

La alteración es frecuentemente alta aunque una buena parte de esta “alteración” puede corresponder a procesos de transformación hidrotermal.

3.2.2 METAGABROS Y ANFIBOLITAS (MΘ-ΞΑ)

Todos los afloramientos importantes de estas rocas se sitúan en la mitad N de la Hoja.

Se distinguen tres tipos litológicos distintos: anfibolitas con granate, anfibolitas y clorititas.

3.2.2.1 ANFIBOLITAS CON GRANATE

Solamente se ha localizado una muestra que presenta esta paragénesis. Su mineralogía principal es anfíbol + plagioclasa + granate, figurando entre los accesorios opacos, esfena, biotita, clinozoisita y cuarzo.

El anfíbol es verde pálido de tipo hornbléndico.

La plagioclasa aparece sin maclar y con carácter intersticial. Es de tipo ácido y presenta transformación a clinozoisita.

El granate se encuentra en proporción variable y a veces retromorfizado.

La biotita está bastante cloritizada.

La textura es granonematoblástica.

3.2.2.2 ANFIBOLITAS

La mineralogía fundamentalmente es anfíbol + plagioclasa. Como accesorios podemos encontrar biotita, cuarzo, opacos, esfena, apatito, clinozoisita, clinopiroxeno y clorita.

El anfíbol en ocasiones es hornbléndico verde-marrón con hábitos prismáticos, siendo reemplazado por hornblenda verdosa y un anfíbol incoloro. Estas últimas variedades son las predominantes. Su abundancia es variable llegando a formar hasta un 90 por ciento de la roca. A veces puede contener en el núcleo opacos pulverulentos.

La plagioclasa con frecuencia está anubarrada con transformación a albita y clinozoisita y en una ocasión a un anfíbol verde pálido.

La biotita se encuentra casi totalmente transformada a clorita y a opacos.

Los opacos presentan transformación a esfena en los bordes.

El clinopiroxeno se encuentra en pequeños restos casi totalmente sustituidos por hornblenda verde marrón con bordes verdosos.

El cuarzo es intersticial y a veces tiene inclusiones aciculares.

Se distinguen dos tipos texturales; uno residual gabroideo de grano medio, con restos de clinopiroxeno y otro con textura nematoblástica y granonematoblástica de grano fino.

Se pueden encontrar microvenas de feldespatos potásicos cortantes.

3.2.2.3 CLORITITAS

Son muy escasas. Su composición mineralógica es casi exclusivamente a base de clorita con escasos minerales opacos como accesorios.

Están afectadas por una intensa esquistosidad, con alguna clorita cruzada.

Posiblemente procede de una roca ultramáfica retromorfizada.



3.2.3 METAMORFISMO

Las transformaciones metamórficas de las rocas de este dominio en la esquina NW guardan gran analogía con las observadas en el “Dominio migmatítico y de las rocas graníticas. Grupo de Lage” debido a su grado de migmatización por lo que en este apartado sólo nos referiremos al metamorfismo en las rocas de la banda Oriental.

3.2.3.1 PARANEISES Y ESQUISTOS (PC-CAE)

En los paraneises y esquistos albiticos, los fenoblastos de albita contienen inclusiones orientadas de granate, moscovita, biotita, opacos y esfena que pueden ser discordantes con la esquistosidad externa o formar sigmoides. Este hecho nos indica un crecimiento de albita posterior a una esquistosidad (S1) durante cuyo desarrollo se habrían formado los minerales de las inclusiones (granate, biotita, moscovita, opacos y esfena). Esta fase se conserva también a veces como relictos entre la esquistosidad principal (S'1) que rodea a los blastos de albita.

El granate está en parte transformado a micas ya que es inestable durante la formación de la segunda esquistosidad (S'1) que recristaliza a la moscovita y a la biotita. Se observan algunas moscovitas desorientadas tardías.

En algunos de los esquistos metapelíticos aparecen cloritoide o estaurólita. En un caso el cloritoide aparece afectado por la segunda esquistosidad (S'1) que a su vez se encuentra microcenulada (S2).

En las metapelitas el granate es previo a la esquistosidad principal (S'1) y se suele encontrar parcialmente cloritizado o transformado en micas. Aparece en los afloramientos de la zona Norte.

3.2.3.2 METAGABROS Y ANFIBOLITAS (MΘ-ΞΑ)

La mineralogía y las relaciones texturales son muy parecidas a las observadas en las anfibolitas del Complejo de Ordenes aunque en esta zona aparece clinopiroxeno relicto en una roca, pero es heredado de su composición gabraoidea inicial y está muy transformado a anfíbol. Se encuentran restos de anfíbol verde marrón, que se transforma a anfíbol verde e incoloro. El anfíbol con frecuencia está orientado.

En algún caso se encuentra biotita que debe estar en relación con el metamorfismo hercínico.

También han sufrido retrometamorfismo a grado bajo con cloritización del anfíbol, biotita y granate, generación de epidota y transformación de la plagioclasa a clinozoisita y albita.

Resulta problemático determinar el grado de metamorfismo inicial de estas anfibolitas y si han alcanzado algunas de ellas en alguna ocasión condiciones granulíticas ya que el granate podía

corresponder a una anfibolita granatífera y el clinopiroxeno se localiza sólo como restos en una roca de procedencia gabraoidea.

En este dominio se encuentra alguna cloritita que posiblemente procede de retrometamorfismo a bajo grado de una roca ultramáfica.

3.2.3.3 ORTONEISES

Sus texturas son blastomiloníticas o neísicas y a la escala de la preparación sólo se aprecia una deformación recristalizada.

Cuando aparece el granate está parcialmente sustituido por micas o cloritizado. Posiblemente su transformación coincide con la recristalización blastomilonítica.

En síntesis sobre este dominio y fundamentalmente a partir de observaciones en los metasedimentos, se pueden establecer tres etapas deformativas. Las dos primeras generan esquistosidad. En relación con la primera de ellas (S1) se encuentra el granate y posiblemente el cloritoide. No se han podido establecer las relaciones para el crecimiento de la distena y estaurólita. La paragénesis mineral apunta hacia un metamorfismo progresivo de presión intermedia, que llegaría al grado medio.

En relación con la segunda esquistosidad (S'1) existe una recristalización y se produce la desestabilización generalizada observada para el granate con transformación en micas.

La tercera etapa de deformación sólo (S2) produce crenulaciones visibles.

3.3 DOMINIO MIGMATITICO Y DE LAS ROCAS GRANITICAS. GRUPO DE LAGE

Esta gran unidad agrupa un amplio espectro petrológico y ocupa la mayor parte de la extensión de la Hoja de Santiago. Los grupos litológicos fundamentales que consideramos en ella son: esquistos y ortoneis glandulares.

3.3.1 ESQUISTOS CON NIVELES DE CUARCITAS (PC-SE)

De manera generalizada entre los minerales principales se encuentran cuarzo, biotita y moscovita. También se pueden presentar como minerales principales microclima y plagioclasa y en menores ocasiones la sillimanita, si bien estos últimos pueden faltar o quedar relegados a la categoría de accesorios. En algún caso la andalucita puede ser también mineral principal.

La plagioclasa cuando aparece puede ser desde oligoclasa maclada con ligera zonación y algunas mirmequitas (en algunos neises migmatíticos) a tipos más ácidos y poco maclados. En los esquistos es más escasa, alotriomorfa, generalmente sin maclar y más ácida. Presenta distintos grados de sericitización.



La biotita por lo general es rojiza o marrón rojiza y se encuentra definiendo la esquistosidad, aunque en algún caso se observe algún cristal cruzado. Con frecuencia está afectada por moscovitización y cloritización que puede ser muy intensa. A veces se observan decoloraciones de este mineral. En algunas biotitas cloritizadas se observan alteraciones saogeníticas de rutilo.

La moscovita a veces forma parte de la esquistosidad con la biotita, pero es muy abundante la de aspecto tardío que ha crecido a expensas de otros minerales, bien como sericita o como cristales cortantes a las estructuras previas.

Con respecto a las deformaciones, lo más frecuente resulta observar una esquistosidad, aunque en ocasiones se encuentran arcos poligonales correspondientes a una esquistosidad previa. En algún caso se observa la esquistosidad principal plegada y recristalizada.

3.3.2 ORTONEIS GLANDULAR (NG Γ1 MB)

Sus afloramientos se localizan únicamente en el cuadrante SW de la Hoja. Aparecen bastante migmatizados presentando todos los pasos entre la roca original y su último producto de la migmatización: el granitoide migmatítico. En los estadios finales de su migmatización es frecuente encontrar una roca granitoide sin estructura, con abundantes megacristales feldespáticos de tamaño destacable (hasta 10 cm e incluso más).

Petrológicamente resulta bastante frecuente la aparición de unos tipos tan sumamente desestructurados por el avance del proceso de migmatización que corresponden a auténticas rocas graníticas, no siendo posible confirmar su origen más que por las observaciones realizadas en el campo.

La composición mineralógica fundamental es cuarzo, microclima, plagioclasa, biotita y moscovita. Los accesorios más frecuentes son circón, apatito y opacos, apareciendo en diversas ocasiones sillimanita, granate y rutilo.

La sillimanita suele estar bastante moscovitizada y con frecuencia es de aspecto prismático. Se presenta como inclusión en los feldespatos o en placas de moscovita tardía que crece a expensas de ella. Algunas veces quedan restos de sillimanita fibrolítica.

Las texturas varían de granudas heterogranulares porfídicas a foliadas glandulares con distinto grado de desestructuración y sólo se aprecia una deformación. La alteración suele ser de bajo grado.

3.3.3 METAMORFISMO

3.3.3.1 ESQUISTOS CON NIVELES DE CUARCITAS (PC-SE)

Esta unidad está compuesta fundamentalmente por rocas con sillimanita y feldespato potásico, aunque también se encuentran rocas con sillimanita sin feldespato potásico y rocas con moscovita y biotita sin sillimanita.

En algunas rocas puede aparecer granate, pero este mineral queda restringido a la mitad N de la Hoja, no apareciendo en la mitad S, donde las rocas esquistosas son menos abundantes y la migmatización parece más intensa. El granate generalmente está transformado a moscovita y biotita y cloritizado y es anterior a la esquistosidad visible.

La sillimanita en general aparece asociada a las bandas micáceas desarrollándose sobre la biotita. Suele crecer sobre la esquistosidad en relación con la etapa de deformación que creó ésta. Puede estar muy moscovitizada, hasta el extremo de que en muchas muestras sólo se puede intuir su existencia por la presencia de pseudomorfosis moscovíticas.

3.3.3.2 ORTONEIS GLANDULAR (NG Γ MB 1)

Es frecuente encontrar en estas rocas sillimanita prismática incluida en los feldespatos aunque pueden quedar restos de sillimanita fibrolítica incluida en la moscovita. La coexistencia de sillimanita y feldespato potásico indica que han sufrido un metamorfismo de alto grado. Se observan moscovitizaciones y cloritizaciones tardías y la sillimanita está parcialmente moscovitizada.

3.4 ROCAS GRANÍTICAS HERCÍNICAS

3.4.1. PRECURSORES BÁSICOS (“COGNATE INCLUSIONS”) DE LA GRANODIORITA

PRECOZ, DE COMPOSICIÓN GRANODIORÍTICA HASTA DIORÍTICA

Bajo este epígrafe se agrupan una serie de rocas ígneas de carácter básico generalmente cuarzodioríticas que aparecen como pequeños afloramientos o enclaves en relación con las granodioritas precoces. No poseen una extensión superficial importante. Se han cartografiado cuatro cuerpos los cuales se sitúan tres dentro de la granodiorita precoz y otro próximo al límite S de la Hoja, hacia su parte central. Los minerales principales son cuarzo, plagioclasa, biotita y anfíbol. Entre los minerales accesorios encontramos microclina, apatito, opacos, esfena, circón y allanita. La plagioclasa cristaliza en cristales con hábitos subidiomorfos, bien maclada y con zonado oscilatorio, de tipo andesina. La biotita es bastante abundante y en algún caso puede formar agregados de cristales irregulares. Es de tonos marrones oscuros y puede presentar inclusiones de opacos, circón, plagioclasa y apatito.



3.4.2. GRANODIORITA PRECOZ CON MEGACRISTALES

Estas rocas se encuentran agrupadas en un afloramiento de considerables dimensiones dentro de la Hoja estudiada y poseen unas características bastante homogéneas que permiten su clara individualización. Presentan un carácter porfídico típico, con megacrystales de feldespato que llegan a alcanzar hasta 12cm de longitud. Normalmente, muestran una esquistosidad clara correspondiente a la 52 hercínica. También es típico se estas rocas su aspecto morfológico, constituido por bolos de dimensiones métricas a decamétricas, que se distribuyen irregularmente sobre el terreno. La composición mineralógica fundamentalmente es cuarzo, plagioclasa, microclina y biotita. La moscovita suele quedar restringida a proporciones accesorias y puede incluso no aparecer. Los accesorios más frecuentes son apatito, circón, opacos, pudiendo aparecer con menor frecuencia turmalina y epidota. La plagioclasa está maclada y zonada, a veces con zonación oscilatoria. Suele tener hábitos subidiomorfos a alotriomorfos. Presenta borde albítico y mirmequitas en relación con el feldespato potásico.

3.4.3. GRANITOIDE MIGMATÍTICO (ΓΨ2)

Es la formación con mayor representación superficial dentro de la Hoja. Procede de la migmatización de los sedimentos y ortoneises glandulares del “Dominio migmatítico y de las rocas graníticas. Grupo de Lage” fundamentalmente.

Posee un carácter inhomogéneo típico que a escala de muestra de mano normalmente no se puede reconocer, pero que en los afloramientos es patente. Son frecuentes los enclaves y restos de la roca original.

Presenta distintas facetas correspondientes a los diferentes estadios del proceso de migmatización. Estos caracteres han sido representados esquemáticamente mediante símbolos en la cartografía.

En general no se observa ninguna orientación en la parte W donde es más inhomogéneo, pero en la zona E, muchas veces puede medirse una esquistosidad de segunda fase hercínica.

Sus contactos con el resto de las rocas, frecuentemente, son difusos, por lo que muchos de los representados en la cartografía corresponden a zonas y no a líneas netas. Las rocas aquí agrupadas son casi exclusivamente de tipo granitoide con desestructuración total en observación microscópica y composición bastante homogénea. La mineralogía fundamental consta de cuarzo, microclina, plagioclasa, biotita y moscovita.

Las texturas son generalmente granudas alotriomorfas a hipidiomorfas con diferente tamaño de grano, pudiendo adquirir un cierto porfidismo. Puede no haber ningún tipo de orientación a micro-escala, pero a veces se puede apreciar una orientación de fluidez o restos de las antiguas estructuras.

En estas rocas se observa la sillimanita coexistente con el feldespato potásico, con frecuencia incluida en él o en la plagioclasa o bien en placas de moscovita que han crecido a expensas de ella. También se encuentra a veces sillimanita que ha crecido sobre agrupamientos de biotita (restos de la foliación) o como restos de fibrolita. Generalmente está bastante moscovitizada por procesos tardíos. En relación con estos procesos tardíos se produce también moscovitización de la biotita y la plagioclasa, sericitizaciones y cloritizaciones.

3.4.4. GRANITO DE DOS MICAS DE GRANO MEDIO A GRUESO (2-3 Γ2 MB) Y GRANITO DE DOS MICAS DE GRANO FINO A MEDIO (3-4 Γ2 MB)

Aquí se agrupan un conjunto de rocas graníticas muy heterogéneo en cuanto a sus texturas, tamaño de grano y porfidismo, pero que tienen en común entre ellos su composición, siendo todos ellos clasificables como granitos de dos micas “sensu lato”. Por esta razón los dos cuerpos separados cartográficamente por poseer características de campo diferenciables, a la hora de hacer su descripción petrológica resulta inútil mantener su independencia.

De todos los cuerpos diferenciados los situados en la mitad Oriental de la Hoja, que poseen además la mayor representación superficial, presentan un carácter porfídico, señalado en el mapa mediante una sobrecarga.

Sus contactos con el granitoide migmatítico, frecuentemente son difusos, como consecuencia de los abundantes filones de los granitos en éste y de los enclaves que quedan del granitoide en ellos.

La composición mineralógica fundamental es prácticamente constante y es cuarzo, microclina, plagioclasa, biotita y moscovita. Los minerales accesorios frecuentes son apatito, circón, opacos y sillimanita apareciendo también epidota, rutilo y granate.

El cuarzo a veces presenta inclusiones huecas alineadas o inclusiones aciculares aunque frecuentemente se presenta completamente limpio. En algún caso se encuentra ligado en crecimientos gráficos con el feldespato y forma parte de mirmequitas con la plagioclasa y la moscovita. En general forma cristales alotriomorfos con muy frecuente extinción ondulante o fracturados.

La microclina presenta maclado en enrejado desigualmente definido e irregularmente distribuido en un mismo cristal. El tipo más abundante es alotriomorfo y presenta diversa intensidad de pertitización sobre los feldespatos. La microclina presenta maclado en enrejado desigualmente definido e irregularmente distribuido en un mismo cristal. El tipo más abundante es alotriomorfo y presenta diversa intensidad de pertitización y tipos de pertitas (“film”, “vein” y “match”). Con frecuencia presenta inclusiones de los restantes minerales.

Las texturas son bastante variadas pero predominan las granudas de grano medio. Pueden desarrollarse porfidomas por el desarrollo de megacrystales de feldespato potásico.



Frecuentemente presenta una orientación, unas veces de fluidez y otras de deformación que corresponde a la S2.

No es raro encontrar un cierto grado de transformaciones de carácter hidrotermal manifiestas en moscovitizaciones, cloritizaciones y algún proceso de albitización.

3.5. ROCAS FILONIANAS

3.5.1. CUARZO (Q)

Son frecuentes las venas de cuarzo que atraviesan los materiales de la Hoja, normalmente cicatrizando fracturas. En algunos casos adquieren una representación considerable, como son los filones que se sitúan en la esquina NE, en donde además son explotados industrialmente.

3.5.2. LAMPRÓFIDO (FL)

Únicamente se ha localizado un filón de este tipo. Se sitúa próximo al límite W de la Hoja y dentro de la mitad Sur. Sus dimensiones son reducidas.

Una muestra tomada en él revela la presencia como minerales fundamentales plagioclasa, anfíbol, biotita y feldespato potásico y como accesorios opacos, circón y algo de cuarzo intersticial.

La plagioclasa está bastante anubarrada y alterada sufriendo corrosión por el feldespato potásico.

El anfíbol es hornbléndico verdoso con hábitos prismáticos finos o aciculares. La biotita forma pequeños fenocristales y está bastante cloritizada.

El feldespato potásico es intersticial y de pequeño tamaño. La textura es microdiabásica y el grado de alteración es apreciable.

3.5.3. PEGMATITA (FP)

Intimamente asociadas con los granitos de dos micas y con el granitoide migmatítico existen abundantes filones de pegmatitas inyectadas en las rocas colindantes, de los cuales han sido representados algunos cartográficamente, dentro de la zona no migmatítica.

Constan esencialmente de cuarzo, feldespato potásico, plagioclasa, moscovita, turmalina y granate.

4. TECTÓNICA

4.1 INTRODUCCIÓN

Las fases de deformación que conforman la estructura actual de la región que nos ocupa han sido fundamentalmente las hercínicas, pero conviene citar la existencia de, por lo menos, una fase de

deformación antehercínica que habría afectado a los materiales más antiguos, concretamente a las rocas metabásicas del Complejo de Órdenes, pero de las que en la actualidad se conservan escasos rasgos.

Por esta última razón este capítulo se centra fundamentalmente en las fases de deformación hercínicas.

Se han diferenciado dos fases de deformación principales además de la deformación relacionada con el emplazamiento de los mantos constituidos por las rocas del “Dominio del Complejo de Órdenes” y de las del “Dominio del borde externo del Complejo de Órdenes y del Complejo de Noya”, según la hipótesis aloctonista.

Salvo las rocas graníticas hercínicas que sólo sufrieron las deformaciones de la segunda fase y las tardías, el resto han sido afectadas por todas las fases hercínicas (exceptuando lógicamente los sedimentos terciarios y cauterarios). Por esta razón el capítulo se ha subdividido según estas fases y no por dominios como en principio podría parecer más lógico.

4.2 FASES DE DEFORMACIÓN

4.2.1 PRIMERA FASE DE DEFORMACIÓN HERCÍNICA

Corresponde a la Fase 1 de MATTE (1968) y a la Fase 4 de van ZUUREN (1969).

4.2.1.1 PLIEGUES

No se han localizado ni macro ni microestructuras debidas a esta fase de deformación. Según van ZUUREN da lugar a pliegues subverticales de dirección N-S y ejes subhorizontales.

En contraposición con esta idea, teniendo en cuenta la geometría de las microestructuras, en especial la esquistosidad, originadas durante esta fase, pensamos que los pliegues deberían ser isoclinales vergentes hacia el E seguramente con planos axiales subhorizontales de dirección N-S, como ocurre en otras regiones de Galicia.

4.2.1.2 ESQUISTOSIDAD (S1)

Es el plano de anisotropía más frecuente ya que aparece representado en todas las rocas antehercínicas de la Hoja. Únicamente resulta difícil su determinación cuando la S¹ se desarrolla en su máxima intensidad, o en algunas rocas que localmente presentan aspectos masivos.

Es una esquistosidad de flujo, cuya posición original se considera subhorizontal.

Es también la superficie de referencia principal para deducir los pliegues posteriores.



4.2.2 EMPLAZAMIENTO DEL “DOMINIO DEL COMPLEJO DE ÓRDENES Y DEL “DOMINIO DEL BORDE EXTERNO DEL COMPLEJO DE ÓRDENES Y DEL COMPLEJO DE NOYA”

La presencia de rocas, concretamente de las metabásicas, que muestran signos de haber sufrido un metamorfismo de facies granulita, el cual no es alcanzado por el de edad hercínica, atribuye automáticamente a estas rocas una edad más antigua que el resto de las rocas que le rodean.

Por otro lado el estudio estructural revela que están ocupando, al menos aparentemente, una sinforma, lo cual las situaría encima de las que hemos considerado más modernas de acuerdo con el primer argumento.

A partir de aquí se plantea el problema de la interpretación de estos hechos.

Las soluciones dadas por los distintos autores que han trabajado en ello podrían resumirse, de un modo esquemático, en dos: una hipótesis autoctonista y otra aloctonista.

Conviene primero decir que este problema no se limita a la Hoja presente, sino que posee unas dimensiones mucho mayores ya que abarca a todos los complejos de rocas máficas que aparecen en Galicia Occidental y Norte de Portugal.

La hipótesis autoctonista supone que los complejos máficos formaban parte de una corteza antigua, emplazados mediante una extrusión durante la orogenia hercínica. Según un modelo reciente, estos complejos habrían sido originados en tiempos paleozoicos, a causa de un penacho ascendente de materiales del manto. Se apoya en los resultados obtenidos de una serie de estudios geofísicos gravimétricos realizados sobre varios complejos y en los que se obtienen anomalías positivas de Bouguer.

La segunda solución, aloctonista, supone que los complejos son restos de uno o más mantos procedentes del N u W de Galicia. Estos mantos serían plegados por la segunda fase de deformación hercínica, quedando solamente hoy las sinformas originadas durante esta fase. Esto coincidiría con la estructura que parecen poseer estos complejos.

Desde un punto de vista aloctonista, estos mantos coincidirían con los representados en la Hoja y serían en nuestro caso, dos. Uno habría emplazado el complejo de Órdenes y otro emplazaría los materiales del borde externo del Complejo de Ordenes y del Complejo de Noya.

Nos inclinamos por la hipótesis aloctonista por las siguientes razones:

Asociado a estos mantos existe una deformación intensa, probablemente de tipo cizalla dúctil, en sus proximidades. Esta deformación da lugar a la esquistosidad que se ha denominado S'1, la cual es de

crenulación muy intensa y que a veces llega prácticamente a borrar a la anterior(S1). Se observan además pliegues isoclinales de vergencia este, que doblan a S1 y admiten a S'1 como plano axial.

En las rocas metabásicas el cabalgamiento habría provocado la fuerte retrogradación que presentan sus bordes.

El tipo de metamorfismo es diferente; en el “Dominio migmatítico y de las rocas graníticas. Grupo de Lage”, es decir, en lo que sería el autóctono de los mantos, el metamorfismo es de baja presión, mientras que en el “Dominio del borde exteno del Complejo de Órdenes y del Complejo de Noya” es de más alta presión.

Con frecuencia se han medido lineaciones de estiramiento en los ortoneises pero su disposición varía, seguramente debido a que son el resultado de la suma de la Fase 1 y de la deformación asociada al emplazamiento del manto, e incluso de la Fase 2, de la que a continuación se habla.

4.2.3 SEGUNDA FASE DE DEFORMACIÓN HERCÍNICA

4.2.3.1 PLIEGUES

Son las antiformas y sinformas cuyas trazas axiales han sido representadas en la cartografía, las cuales se localizan en las esquinas NE Y NW de la Hoja.

Concretamente, en la esquina NE se encuentra una antiforma bastante amplia señalada por los materiales del borde externo del Complejo de Órdenes. Tiene una dirección aproximada N 20° E, y su eje cabecea al N.

En la esquina NW aparece una sinforma con dos antiformas menores que marcan los ortoneises que allí afloran. La existencia de una migmatización importante, junto con el acuñamiento de los ortoneises hacen imposible definir con más exactitud la disposición de los pliegues. Geométricamente, son pliegues más apretados que la antiforma anterior, con dirección aproximada N 130° E.

El origen de estos pliegues puede estar relacionado con el desarrollo de cizallas dúctiles verticales, similares a las descritas en otras regiones de Galicia.

La antiforma estaría originada por una cizalla senestra que coincide aproximadamente con una banda que abarca el “Dominio del borde externo del Complejo de Órdenes” y el borde oriental del “Dominio migmatítico y de las rocas graníticas. Grupo de Lage”, incluyendo la parte correspondiente de las rocas graníticas.

La sinforma del NW estaría relacionada con una cizalla dextra que se situaría fuera de los límites de la Hoja, concretamente más al W en el “Complejo de Noya”. Sería la cizalla denominada de Malpica-Vigo, por los autores antes citados.



Esta génesis de los pliegues explicaría las direcciones tan opuestas que presentan los pliegues descritos, aún pertenecientes a la misma fase de deformación.

Existen también meso y micropliegues coherentes con las estructuras mayores.

Para determinar que la deformación ha tenido una componente de cizalla importante se han utilizado además de criterios regionales, la determinación de las microestructuras que llevan asociada, las cuales se describen a continuación.

4.2.3.2 ESQUISTOSIDADES

En general la Fase 2 está caracterizada por una esquistosidad de crenulación bastante desarrollada, especialmente en los sedimentos más pelíticos y por una orientación planar que no siempre aparece, de los minerales constituyentes de las rocas graníticas.

En las zonas próximas a las cizallas, concretamente dentro de la Hoja, en el Complejo de Órdenes y en su borde externo, aparecen a escala de afloramiento planos de cizalla separados regularmente de uno a varios centímetros, entre los que se presenta una esquistosidad oblicua a ellos y sigmoidal. Esta última en los esquistos es a veces la S¹, y en los granitos es siempre la S₂. La disposición sigmoidal de la esquistosidad indica el movimiento relativo de las cizallas.

La dirección que presenta la esquistosidad relacionada con esta fase es paralela a las estructuras descritas en el apartado anterior, ya que es plano axial de las mismas.

En las rocas graníticas cuando existe presenta una dirección media de N 170° E y subvertical.

4.2.3.3 LINEACIONES

Son bastante frecuentes, cuando se observa la S₂, lineaciones de crenulación, correspondientes a la intersección de los planos de esquistosidad S₁ Y S₂ O S¹ Y S₂. Estas lineaciones coinciden con los ejes de los pliegues de esta fase por lo que ambos son representados bajo el mismo símbolo en la cartografía.

Más raramente se encuentran también estrías de cizalla, las cuales se observan en el correspondiente plano de cizalla, que marcan la dirección y el sentido de desplazamiento de esta. Normalmente son subhorizontales, y donde mejor se puede observar es en las rocas graníticas.

4.2.4 FASES TARDÍAS

Bajo este título se engloban las esquistosidades de crenulación normalmente muy locales, los micropliegues de tipo “kink-band” y “chevron” y las fracturas que afectan tardíamente a los materiales de la Hoja y lógicamente también, a las estructuras originadas durante las fases de deformación anteriores. Incluso existen macropliegues muy suaves, como es la sinforma que se puede

deducir en el cuadrante NW de la Hoja, a la vista de la variación de las esquistosidades S₂ allí medidas y que se atribuye a una última fase de comprensión cuando el estado de la roca aún permitiría una deformación dúctil.

Los pliegues de tipo “kink-band” y “chevron” poseen por lo general el plano axial subvertical o buzando al E.

Con respecto a la fracturación tardihercínica, se puede hablar de fallas normales y desgarres que se agrupan en dos sistemas fundamentales: N 30° E y N 150° E. Además existe una fractura importante N-S que recorre toda la Hoja en su parte central y que no se encuadra en ninguno de los dos sistemas. Esta última, junto con otra del primer grupo se unen hacia el S de la Hoja, quedando tapadas por los sedimentos terciarios y cuaternarios. Seguramente la reactivación de estas fallas en tiempos mucho más recientes, originó la formación de una cubeta tectónica rellena posteriormente por estos sedimentos.

5. HISTORIA GEOLÓGICA

La escasez de datos cronológicos exactos sobre las distintas unidades que componen la Hoja, en especial de las rocas de los complejos, impide fijar con exactitud la edad de los acontecimientos que ocurrieron en la evolución geológica de la región, sobre todo antes de la orogenia hercínica.

Por esta razón, las hipótesis de los diferentes autores que han trabajado en la zona a veces difieren de un modo notable.

El esquema evolutivo que en este apartado se expone, trata de ser una síntesis de las opiniones de los trabajos anteriores, junto con los resultados obtenidos en este estudio.

5.1 CICLO ANTHECÍNICO

Bajo este nombre englobamos aquellos procesos que ocurrieron antes de la orogenia hercínica. Es lógico pensar que, al menos algunos, tuvieron lugar durante el Precámbrico.

La escasa representación en la Hoja de las rocas que presentan evidentes rasgos de haber sufrido un metamorfismo antehercínico de facies granulita, concretamente de las metabasitas, hace muy difícil poder conocer su historia primitiva. Igual ocurre con los esquistos de Órdenes que, junto con estas, constituyen el denominado “Dominio del Complejo de Órdenes”. Además no se ponen nunca en contacto ambos dentro de nuestra zona de estudio, por lo que sus relaciones también resultan imposibles de conocer. Por tanto para evitar la constante referencia a otras Hojas geológicas o trabajos de regiones donde esta problemática se presenta con mucha mayor extensión empezamos la siguiente historia geológica después del metamorfismo de alto grado antehercínico y de la fase o fases de deformación que posiblemente irían asociadas:



1.- DOMINIO DEL COMPLEJO DE ÓRDENES

Deposición de una serie sedimentaria grauváquica y arcillosa (esquistos de Ordenes), de edad aproximada Precámbrico-Cámbrico sobre un zócalo de rocas máficas con metamorfismo de alto grado. No existen pruebas para suponer que estos metasedimentos fueran afectados por el metamorfismo de facies granulita, por esta razón suponemos su sedimentación después de este. Sin embargo algunos autores holandeses como van ZUUREN piensan que esta serie ya existía cuando aconteció el citado metamorfismo, explicando la falta de indicios metamórficos de esta fase por la más alta posición estructural de estos esquistos.

Otra posibilidad que podría explicar la relación entre ambas formaciones sería suponiendo un cabalgamiento de los primeros sobre los segundos.

2.- DOMINIO DEL BORDE EXTERNO DEL COMPLEJO DE ORDENES Y DEL COMPLEJO DE NOYA

Sedimentación de una serie que posteriormente constituiría los esquistos y paraneises, a veces con porfiroblastos de albita, de edad Precámbrico-Cámbrico.

Sedimentación de otra serie fundamentalmente pelítica de edad posiblemente más moderna que las dos anteriores pero que ante la falta de datos seguros ha sido considerada como Precámbrico-Silúrico. Corresponderían con los metasedimentos del “Dominio migmatítico y de las rocas graníticas. Grupo de Lage”. Por debajo de esta serie aunque nunca se encuentran en contacto directo dentro de la Hoja, aparecen los ortoneises glandulares, los cuales pueden ser intrusivos en ella o bien representar un zócalo sobre la que esta se depositó.

Resulta difícil correlacionar estas tres series metasedimentarias ya que presentan características litológicas diferenciadas y no se conoce su posición relativa dentro de los geosinclinales Precámbrico y Paleozóico.

Emplazamiento de diques o sills de rocas máficas que serían las anfibolitas actuales e incluso de algún cuerpo de gabro, dentro del “Dominio del borde externo del Complejo de Ordenes y del Complejo de Noya”. En realidad no se poseen criterios como para suponer con exactitud la edad relativa de estas rocas con respecto a los ortoneises mencionados a continuación, ya que existen dentro de estos últimos a veces lentejones de anfibolitas.

5.2 CICLO HERCÍNICO

Los acontecimientos que se desarrollan a partir del Carbonífero Inferior y que constituyen la orogenia hercínica, son más conocidos que los descritos anteriormente, debido a la inexistencia de otra orogenia posterior que enmascarase los resultados de esta, como ella lo hizo con los antehercínicos.

Primera fase de deformación. Se originan las estructuras descritas en el apartado correspondiente (3.2.1), las cuales se pueden concretar en una esquistosidad de flujo importante que afecta a todas las rocas de la Hoja, salvo a las graníticas hercínicas que aún no se habían emplazado, y que se conserva especialmente hoy en los ortoneises. También se generan pliegues isoclinales o subisoclinales acostados los cuales no han podido ser determinados, y además una fuerte blastomilonitización y neisificación de las rocas preexistentes.

Cabe señalar que esta fase afecta a todos los dominios de la Hoja independientemente de su situación relativa antes del emplazamiento en las posiciones hoy ocupadas.

Cabalgamiento de los dominios del “borde externo del Complejo de Ordenes y del Complejo de Noya” y del “Complejo de Ordenes”, sobre el “Dominio migmatítico y de las rocas graníticas. Grupo de Lage”.

Asociada a estos cabalgamientos se desarrolla en la zona próxima a ellos una esquistosidad de crenulación intensa denominada S¹, así como micropliegues. Ambas estructuras han sido descritas con más detalle en el capítulo de Tectónica. Tiene lugar también una fuerte retrogradación, en sus proximidades, de las rocas metabásicas.

Conviene decir, que estos cabalgamientos se desarrollan como una prolongación seguramente de la primera fase hercínica y no como un hecho aislado de esta. El metamorfismo de presión intermedia se desarrollaría en los materiales del borde externo y del Complejo de Noya, en relación con el emplazamiento de los mantos. Fenómenos de retrometamorfismo, que se observan sobre todo en las metabasitas del Complejo de Ordenes, pero también en otras rocas de los mantos, probablemente en sus últimos estadios.

En las zonas donde existía alta temperatura y suficiente cantidad de agua tendría lugar la migmatización de las rocas, la cual aparece representada fundamentalmente en el “Dominio migmatítico y de las rocas graníticas. Grupo de Lage” pero también en parte de los esquistos de Ordenes del “Dominio del Complejo de Ordenes”. Se caracteriza por la abundante inyección de granitoides en filones de dimensiones muy variables, la recristalización a veces intensa de las rocas, así como en otros casos por la fusión más o menos importante de estas, que cuando llega a borrar sus rasgos originales, aparece un material fundamentalmente granítico, inhomogeneo, con abundantes restitos, que se ha denominado granitoide migmatítico.

Intrusión de la granodiorita precoz con megacristales, acompañada de sus precursores algo más básicos, aprovechando probables zonas débiles existentes.

Las macroestructuras representadas en la Hoja corresponden a esta fase. También existe una esquistosidad de crenulación bastante desarrollada, así como abundantes micropliegues. Por último y



también relacionada con ella aparecen zonas de cizalla subverticales de las cuales una atraviesa meridianamente, más o menos, la Hoja, próxima a su límite E.

Fases tardías. Relacionadas con ellas aparecen muy localmente esquistosidades de crenulación, así como micropliegues de tipo “kink-band” y “chevron”. También tiene lugar en época tardihercínica, la intensa fracturación que afecta a las rocas de la Hoja, compuesta fundamentalmente por fallas de juego normal y en dirección.

5.3 CICLO POSTHERCÍNICO

La estructura geológica de la región se encuentra prácticamente constituida a partir de la última fase hercínica. Las estructuras que se originan después, corresponden a un estilo marcadamente frágil, protagonizado por un juego de fallas verticales que aprovecha en su mayoría los planos de desgarre en general NE-SW tardihercínicos. Como es el caso de la cubeta tectónica rellena de sedimentos terciarios y cuaternarios que se sitúa al S de la Hoja.

Los estudios geomorfológicos de NONN y los de MEDUS realizados en Galicia, han permitido reconstruir en buena medida la historia geológica durante los tiempos más recientes (Terciario y Cuaternario).

Durante el Cuaternario se establecen diversos procesos morfogenéticos que dan origen al coluvionamiento de laderas y a la sedimentación de los depósitos aluviales y de fondos de vaguada que surcan frecuentemente la superficie de la Hoja.

Por otro lado una alternancia climática en Galicia es evidente en este período, pues frente a procesos de clima mediterráneo o semiárido como los conos torrenciales, restos de suelos rojos sobre las terrazas y rubefacción de los cantos de las mismas, se oponen otros procesos de clima más frío o periglaciario (valles en cuna, planos o disimétricos, derrubios estratificados, laderas regularizadas, etc.).

6. GEOLOGÍA ECONÓMICA

6.1 MINERÍA

No existen en la Hoja explotaciones activas de ningún tipo y las escasas antiguas labores mineras corresponden a pequeñas excavaciones, de difícil localización hoy y de poca importancia, al menos aparentemente.

Únicamente merece la pena mencionar un afloramiento de magnetita de aspecto sedimentario, que se localiza en el cuadrante NW de la Hoja, concretamente en las proximidades de Ferreiros (x:515.850; y: 4.758.550, coordenadas U.T.M.) y cuyo interés resulta problemático suponer, a partir exclusivamente del reconocimiento general que conlleva un proyecto como el presente.

6.2 CANTERAS

Existe en la Hoja una explotación importante. Es una cantera de cuarzo situada sobre uno de los afloramientos que se localizan en el cuadrante NE de la Hoja. El material extraído se exporta en su mayor parte (alrededor del 80 por ciento) y el resto se emplea fundamentalmente para la fabricación de carburo y ferrosilicio en la factoría de Cee (A Coruña).

Hay otras dos canteras activas situadas una sobre el ortoneis glandular y otra en el granito de dos micas de grano fino a medio con megacristales. Ambas dedican la roca extraída, después de su machaqueo, como áridos para la construcción, dentro del mercado local.

Además hay abundantes canteras inactivas, fundamentalmente situadas sobre materiales graníticos, entre los que caben destacar las numerosas excavaciones que rodean a Santiago y de las que proceden los materiales utilizados para la construcción de esta importante localidad.

6.3 HIDROGEOLOGÍA

Desde un punto de vista hidrogeológico se separan en la Hoja dos conjuntos de terrenos claramente diferenciables. Por un lado los precámbricos y paleozoicos y las rocas ígneas y por otro, los sedimentos terciarios y cuaternarios.

6.3.1 TERRENOS PRECÁMBRICOS Y PALEOZOICOS Y ROCAS IGNEAS

La permeabilidad primaria de estas rocas en estado fresco es prácticamente nula y en estado de alteración generalmente pequeña. La permeabilidad secundaria fruto de la red de planos que las atraviesan o de la disolución de estas, tampoco alcanza valores importantes.

En suma, las posibilidades de explotación hidrogeológica de estos terrenos se limitan a la realización de captaciones a cielo abierto de escasa profundidad (como las que abundan en la región) sobre las zonas más alteradas superficialmente. De estas raramente se obtendrán caudales superiores a 1 o 1.5 l/seg., salvo casos excepcionales fruto de la casualidad.

Respecto a la contaminación de las aguas subterráneas, el MAPA DE VULNERABILIDAD A LA CONTAMINACIÓN DE LOS MANTOS ACUIFEROS (Escala 1/1.000.000) encuadra estos terrenos dentro de las zonas donde la contaminación afectará casi exclusivamente a las aguas superficiales, por no existir prácticamente afloramientos de formaciones permeables.



6.3.2 TERRENOS TERCIARIOS Y CUATERNARIOS

Estos sedimentos presentan, a priori, unas condiciones más favorables para la infiltración y almacenamiento del agua subterránea.

En el caso de los sedimentos terciarios, la existencia en proporciones importantes de arcillas, hace decrecer de un modo notable la permeabilidad del conjunto, anulando prácticamente el desarrollo de acuíferos importantes.

Respecto a los terrenos cuaternarios, denominador común a todos es la superficialidad de los posibles acuíferos, como causa directa de su pequeño espesor, lo que implica que se encuentren muy afectados por las variaciones estacionales.

Solamente las llanuras aluviales sufren una recarga adicional, que en el mayor número de los casos es superior a la pluviométrica, proveniente del caudal del río al que pertenecen.



APÉNDICE: SERIE MAGNA 1:50.000 IGME

HOJA 94 (Santiago de Compostela)

LEYENDA

CUAT.	HOLOCENO	20	19	18	20 Llanuras aluviales y fondos de vaguada
	TERCIARIO	17			19 Coluviones
					18 Indiferenciado
					17 Arcillas, arcillas arenosas y arenas
					16 Esquistos de Ordenes
					15 Rocas metabásicas inicialmente en facies granulita en su mayor parte retrogradadas a facies anfibolita
					14a Porfiroblastos de albita
					14 Esquistos y paraneises con porfiroblastos de albita
					13 Metagabros y ortoanfibolitas
					12 Ortogneis biotítico
					11 Ortogneis con anfibol
					10 Esquistos con algunos niveles de cuarzitas
					9 Ortogneis glandular
					8 Granito de 2 micas de grano fino a medio. Con megacristales
					7 Granito de 2 micas de grano medio a grueso. Con megacristales
					6a Zonas graníticas homogéneas
					6 Granitoides migmatíticos. Con abundantes resíltos (nebulíticos). Con zonas graníticas homogéneas. Con zonas graníticas homogéneas con megacristales
					5 Granodiorita precóz con megacristales
					4 Precursoras básicas (cognate inclusions) de la granodiorita precóz de composición granodiorítica hasta diorítica
					3 Cuarzo
					2 Lamprófido
					1 Pegmatita

DOMINIO DEL COMPLEJO DE ORDENES	
CAMBRICO	16
PRECAMBRICO	15

DOMINIO DEL BORDE EXTERNO DEL COMPLEJO DE ORDENES Y EL COMPLEJO DE NOYA	
PRECAMBRICO-CAMBRICO	14a, 14b, 14c

ROCAS PLUTONICAS	
13	
12	11

DOMINIO MIGMATITICO Y DE LAS ROCAS GRANITICAS. GRUPO DE LAGE	
PRECAMBRICO-SILURICO	10

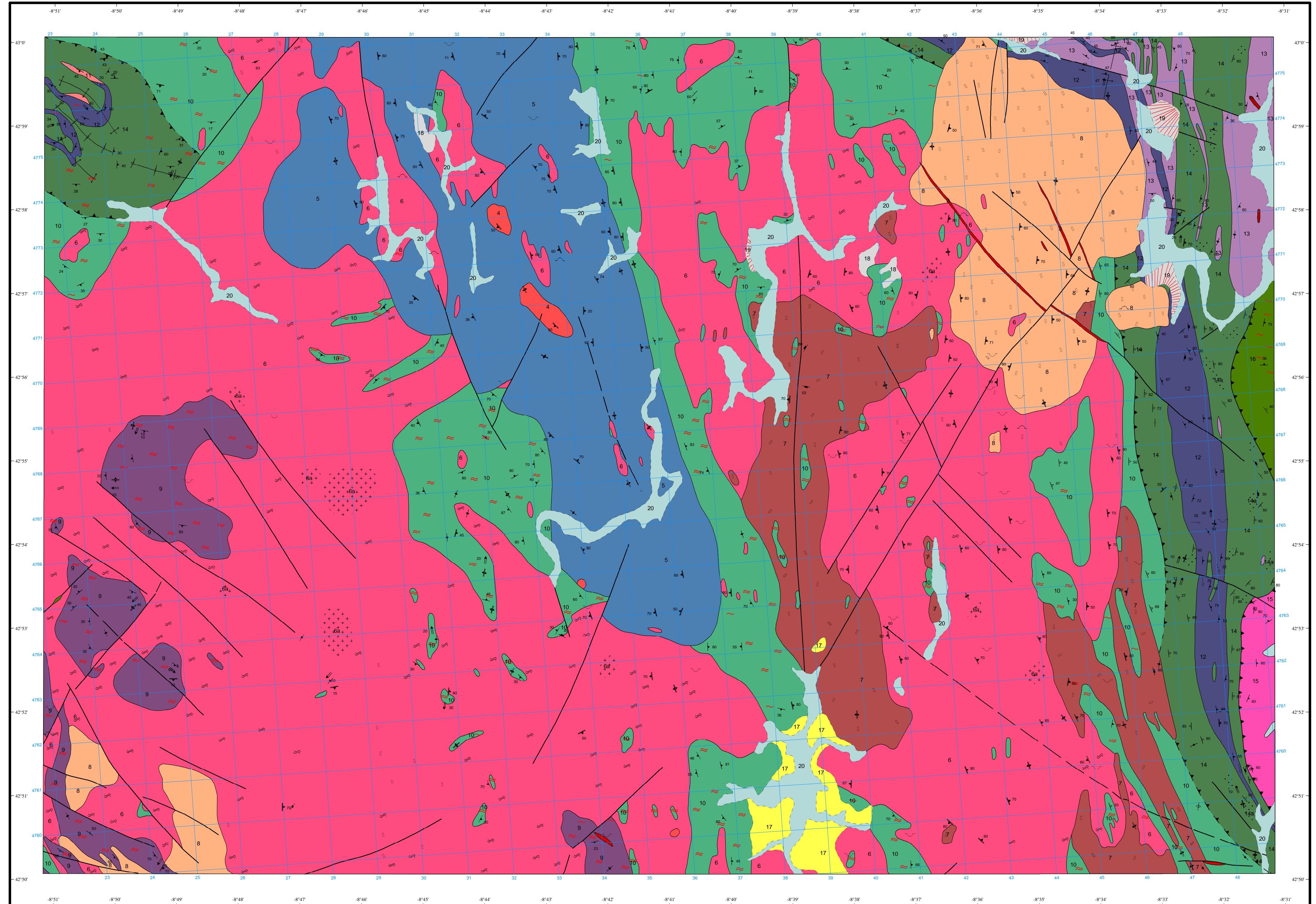
ROCAS PLUTONICAS	
9	

ROCAS GRANITICAS HERCINICAS	
8	
7	
6	
5	
4	

ROCAS FILONIANAS	

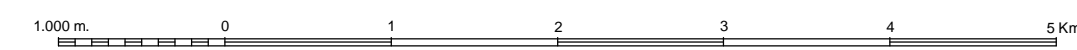
SIMBOLOS CONVENCIONALES

-----	Contacto discordante	-----	Contacto intrusivo
-----	Falla conocida	-----	Falla supuesta
-----	Cabalgamiento conocido	-----	Cabalgamiento supuesto
-----	Antiforma	-----	Sinforma
-----	Estratificación subvertical	-----	Estratificación
-----	Esquistosidad asociada a fases tardías hercínicas subvertical	-----	Esquistosidad asociada a fases tardías hercínicas
-----	Esquistosidad de fase 1 Hercínica vertical	-----	Esquistosidad de fase 1 Hercínica
-----	Esquistosidad de fase 2 Hercínica vertical	-----	Esquistosidad de 2ª fase Hercínica (S2)
-----	Esquistosidad vertical S1 en zonas de cizalla	-----	Esquistosidad de cizalla S1
-----	Plano de cizalla subvertical	-----	Plano de cizalla
-----	Lineación de intersección asociada a la esquistosidad S2 Hercínica	-----	Lineación de estiramiento
-----	Eje de pliegue asociado a esquistosidad S1	-----	Cartera activa
-----	Cartera inactiva	-----	Roca algo migmatizada
-----	Roca muy migmatizada	-----	Abundantes resíltos
-----	Megacristales de granito		



Área de Sistemas de Información Geocientífica

Escala 1:50.000



Proyección y Cuadrícula UTM. Elipsoide Internacional. Huso 29

NORMAS, DIRECCIÓN Y SUPERVISIÓN DEL I.G.M.E.
AÑO DE REALIZACIÓN DE LA CARTOGRAFÍA GEOLOGICA: 1979
Autores: J.G. de Pablo Maciá (GEOPRIN S.A.)
J.R. Martínez Catalán (UNIVERSIDAD DE SALAMANCA)
Dirección y supervisión: A. Hueriga Rodríguez (IGME)



ANEJO Nº 5: ESTUDIO GEOTÉCNICO



ÍNDICE

1.	INTRODUCCIÓN.....	2	8.	CONCLUSIONES.....	6
2.	ENCUADRE GEOLÓGICO-GEOTÉCNICO.....	2		APÉNDICE I: MAPAS GEOTÉCNICOS Y LOCALIZACIÓN DE ENSAYOS.....	8
2.1	CARACTERÍSTICAS GENERALES.....	2		APÉNDICE II: TRABAJOS DE CAMPO.....	12
2.2	FORMACIONES SUPERFICIALES Y SUSTRATO.....	2			
3.	CARACTERÍSTICAS GEOMORFOLÓGICAS.....	3			
3.1	FENÓMENOS DE ALTERACIÓN.....	3			
4.	CARACTERÍSTICAS HIDROGEOLÓGICAS.....	3			
5.	CARACTERÍSTICAS GEOTÉCNICAS.....	4			
6.	TRABAJOS DE CAMPO Y ENSAYOS DE LABORATORIO.....	4			
6.1	TRABAJOS DE CAMPO.....	4			
6.1.1	CALICATAS.....	4			
6.1.2	SONDEOS.....	4			
6.1.3	ENSAYOS DE PENETRACIÓN DINÁMICA.....	5			
6.2	ENSAYOS DE LABORATORIO.....	5			
6.3	DESCRIPCIÓN GEOTÉCNICA DE LOS MATERIALES.....	5			
7.	TENSIÓN ADMISIBLE Y CONDICIONES DE CIMENTACIÓN.....	6			



1. INTRODUCCIÓN

En el presente documento se describen los trabajos realizados para caracterizar geotécnicamente el emplazamiento donde se pretende acometer el proyecto de la pasarela peatonal para una adecuada definición de los elementos de cimentación de la estructura, de manera que se incluyen datos, recomendaciones y pruebas geotécnicas necesarias para el proyecto y ejecución de la obra.

La finalidad del estudio geotécnico en sí mismo es conocer las características del terreno y determinar la carga admisible del mismo en el nivel de apoyo de la cimentación. Tras la realización del estudio, y como conclusiones al mismo, se recomendará el tipo de cimentación idónea.

Inicialmente se realizará una descripción desde el punto de vista general, a partir del Mapa Geotécnico General (hoja 7 a escala 1/200000 del Instituto Geológico y Minero de España), y en segundo lugar una más particular a partir de los resultados de los ensayos realizados en la zona de actuación. El carácter académico de este trabajo hace que dichos ensayos sean ficticios, si bien se ha procurado que sean lo más realistas posible, tomando datos verificados en el entorno de la actuación. De cualquier forma, los resultados obtenidos se tratarán como reales para todo el proyecto.

2. ENCUADRE GEOLÓGICO-GEOTÉCNICO

Se pretenden describir las condiciones constructivas de los terrenos a partir del mapa geotécnico, lo cual impone, en una primera aproximación, una importante limitación debida a la escala de trabajo utilizada en la hoja.

Siguiendo las normas para de la división taxonómica establecidas para la separación y la denominación geotécnica, se deduce que toda la hoja en la que se encuentra el emplazamiento posee la misma homogeneidad geotécnica y define por consiguiente una única unidad de primer orden: Región 1.

Para la delimitación de las áreas, unidades de segundo orden, se atiende a la homogeneidad macrogeomorfológica. Según esto, la zona de proyecto se encuentra en el Área I2.

El proceso seguido para realizar esta subdivisión se basa en el estudio de los diferentes tipos de rocas así como de su resistencia a la erosión, y su distinto comportamiento ante los diferentes movimientos tectónicos que han actuado sobre ellos.

De esta forma, en la Hoja estudiada se aprecian tres formas de relieve marcadamente distintas: suaves, moderadas y acusadas.

2.1. CARACTERÍSTICAS GENERALES

La zona de estudio se encuentra en el área I2, ya que ésta se distribuye preferentemente por la mitad oriental de la Hoja siguiendo una dirección N-S.

El área está formada por rocas de textura orientada, fácilmente erosionables, disgregables en lascas, de colores marrones, rojizos y verdes oscuros, y con potencias elevadas. En ella se incluyen los grupos litológicos de las micatitas, micaesquistos, esquistos, esquistos micáceos, serpentina y anfibolitas, así como aureolas de contacto metamórfico.

Muestra una topografía considerada, en conjunto, como moderada pero en la que se alternan zonas con formas prácticamente llanas o algo alomadas, con otras marcadamente abruptas y con fuertes desniveles.

Sus formaciones rocosas, que aparecen en general estratificadas, siempre son coherentes y a veces presentan una cierta fisilidad. Dentro de la misma, pueden aparecer problemas de deslizamiento a lo largo de planos de tectonización al coincidir sobre ellos las pendientes topográficas y las direcciones de aplicación de cargas.

Ordinariamente, las rocas que afloran poseen un contenido de agua que oscila entre el 1,5 y el 5% siendo, en general, semipermeables, si bien con una marcada tendencia a la impermeabilidad. El drenaje superficial está favorecido; en parte por esta característica y por la topografía moderada, no siendo normal encontrar en ella grandes zonas con problemas de saneamientos. La aparición de niveles acuíferos en ella es muy rara estando, allí donde aparezcan, ligados a niveles tectónicos o a ozonas de relleno. En concreto, la zona de ubicación de la pasarela se caracteriza por tener unas condiciones de drenaje aceptables (drenadas en superficie y con agua a escasa profundidad).

El área aparece generalmente recubierta por un manto vegetal importante, que adquiere su desarrollo más acusado en las vertientes norte de las montañas. Sin embargo, la zona de nuestro proyecto se encuentra en el área urbana de la ciudad.

Normalmente las rocas consolidadas que se observan en ella poseen unas características mecánicas que oscilan entre favorables y aceptables, no siendo normal que, aparte de los deslizamientos en potencia señalados anteriormente, aparezcan problemas importantes en este tipo de rocas. Según su situación en la Hoja del Mapa Geotécnico General la zona presenta una capacidad de carga alta.

No es normal en esta área realizar un aprovechamiento de los materiales como rocas industriales.

2.2. FORMACIONES SUPERFICIALES Y SUSTRATO

El mapa encuadra los tipos rocosos aparecidos en dos grandes unidades de clasificación; las formaciones superficiales y el sustrato, incluyendo en la primera aquellos depósitos poco o nada



coherentes, de extensión y espesor muy variables y depositados desde el Villafranquiense hasta la actualidad; y en la segunda el conjunto de rocas, más o menos consolidados, depositados a lo largo del resto de la historia geológica.

El tipo rocoso de la zona del proyecto es el sustrato Δ correspondiente a micacita, esquistos y micaesquistos. Se caracteriza por sus tonalidades rojizas, amarillentas o marrones, una gran pizarrosidad y la alteración de su parte más superficial.

Por lo general aparecen muy fracturadas, bien a través de planos de esquistosidad, bien normal a ellos, y atravesados por abundantes filones de cuarzo.

En contacto con las formaciones graníticas se encuentran totalmente requemadas, trituradas y en ciertas zonas recristalizadas, adquiriendo entonces una mayor consistencia.

Además, también se aprecia (aunque más localizado) sustrato tipo ζ (incluye la gama de los gneis) apareciendo sobre el terreno dos formas distintas: bien con biotita y textura glandular, bien en forma de gneises muy orientados. Los primeros son bastante resistentes a la erosión, muy compactos y dan forma de rotura paralelepípedicas; los segundos presentan abundantes planos de tectonización lo que los hace más sensibles a la erosión y a su alteración superficial dando por lo general superficies de escaso resalte.

De estos dos tipos de gneises, los primeros tienen gran aplicación en la industria de la construcción.

3. CARACTERÍSTICAS GEOMORFOLÓGICAS

Este apartado analiza los principales rasgos morfológicos, viendo qué repercusiones tienen sobre las condiciones constructivas de los terrenos, bien por causas puramente naturales, bien al trastocar su equilibrio mediante la acción directa del hombre.

El área I2 presenta una morfología muy variada, pasando de ser prácticamente llana en algunas zonas, con pendientes inferiores al 3%, hasta abrupta en otras, con pendientes del 10 al 15%. En concreto, la avenida en la que se plantea la construcción de la pasarela ha sido alterada por el hombre y presenta una pendiente aproximada del 8%.

Todo el área presenta una marcada pizarrosidad, apareciendo aisladamente zonas de fallas o influenciadas por fracturas y fallas.

Los fenómenos exógenos más importantes estarán ligados a deslizamientos a favor de las direcciones de meteorización de los materiales.

Por lo general, el área posee un grado de estabilidad natural aceptable.

3.1. FENÓMENOS DE ALTERACIÓN

Uno de los problemas geomorfológicos que se presentan con gran profusión en los suelos de la hoja son los de alteración de las grandes masas rocosas. Se describirá a continuación el proceso atendiendo a la mecánica global y particularizada al tipo de rocas metamórficas (micacitas, esquistos y pizarras) por ser las de interés en este proyecto.

Estas rocas ocupan grandes extensiones dentro de la Hoja de estudio.

Por lo general, la roca sana se encuentra a profundidades que oscilan, como máximo, entre los 2 y los 3 metros y se hayan recubiertas por un primer horizonte de matriz fina de naturaleza arcillo-limosa procedente de la alteración y disgregación de las rocas, y que incluye una serie de cantos normalmente de tamaño reducido y de naturaleza cuarzosa; a continuación, y con una potencia inferior a 1 metro las rocas metamórficas muy alteradas con tonalidades rojizo-amarillentas, conservando en parte se estructura original e incluyendo entre sus capas núcleos resistentes de cuarzo, así como estratos menos alterados. Las coloraciones grises, blanquecinas, rojizas, verdosas y amarillentas, observadas a menudo, se disponen a veces en capas alternativas y otras veces se localizan en manchones aislados. Por debajo de todo esto, aparece la roca sana, normalmente con una lajosidad muy marcada y atravesada por filones de cuarzo.

4. CARACTERÍSTICAS HIDROGEOLÓGICAS

Se analizan aquí las características hidrológicas que afectan de manera más o menos directa a las condiciones constructivas de los terrenos.

El análisis se basa en las distintas permeabilidades de los materiales, así como en sus condiciones de drenaje y en los problemas que, de la conjunción de ambos aspectos, puedan aparecer.

Los materiales que forman el área I2 se consideran como semipermeables, aunque de forma general presentan un carácter más impermeable.

Generalmente no aparecen en ella niveles acuíferos definidos y extensos, estando ligada la existencia de agua a fenómenos de fracturación.

El área se considera en general como drenada en superficie, sin agua en profundidad y con unas condiciones hidrológicas bajo el punto de vista constructivo, que oscilan entre deficientes y aceptables.

El drenaje en este área está en función casi exclusiva de sus características morfológicas, apareciendo, allí donde la topografía se allana, estensas zonas inundadas.



5. CARACTERÍSTICAS GEOTÉCNICAS

El análisis se basa en las distintas características que estén implicadas en la mecánica del suelo y su posterior comportamiento al verse solicitado por la actividad técnica del hombre.

Este análisis se centra de modo especial en los aspectos de capacidad de carga y posibles asentamientos, incidiendo también en todos aquellos factores que de forma directa o indirecta influyen sobre su óptima utilización como base de sustentación de edificaciones urbanas o industriales.

Los terrenos que forman el área I2 tienen por lo general una capacidad de carga alta, no existiendo la posibilidad de la aparición de asientos de ningún tipo, si bien puede darse, tal y como se indicó en sus características geomorfológicas, la existencia de deslizamientos.

Las condiciones constructivas oscilan entre favorables y aceptables.

6. TRABAJOS DE CAMPO Y ENSAYOS DE LABORATORIO

Lo primero que se hizo fue realizar una inspección de la zona de estudio con el fin de determinar el lugar óptimo para llevar a cabo los ensayos.

Posteriormente se realizaron los ensayos de campo y se recogieron las muestras necesarias, que se trasladarían más tarde al laboratorio para realizar los análisis pertinentes.

6.1 TRABAJOS DE CAMPO

6.1.1 CALICATAS

Son excavaciones de formas diversas (pozos, zanjas, rozas, etc.) que permiten una observación directa del terreno, además de poder extraer muestras y, eventualmente, la realización de ensayos in situ. Este tipo de reconocimiento podrá emplearse siempre y cuando se cumplan las siguientes características:

- Profundidad de reconocimiento moderada (menor de 4m).
- Terrenos excavables con pala mecánica o manualmente.
- Ausencia de nivel freático en la profundidad reconocida, o cuando existan aportaciones de agua moderadas en terrenos de baja permeabilidad.
- Terrenos preferentemente cohesivos.
- Terrenos granulares en los que las perforaciones de pequeño diámetro no serían representativas.

Las calicatas se han realizado mediante una retroexcavadora mixta JCB, que ha excavado la cata sin dificultad dada la naturaleza poco compacta de los niveles atravesados.

Esto nos permite observar de manera directa las características del sustrato de cimentación. Durante la excavación se han podido extraer muestras de los materiales que forman el sustrato de la zona de estudio y posteriormente se han llevado a cabo ensayos de laboratorio para su caracterización. En ninguna de las catas se detectado la aparición de agua.

El reconocimiento del terreno mediante calicatas es adecuado cuando se puede alcanzar en todos los puntos el estrato firme o resistente con garantía suficiente y no sea necesario realizar pruebas in situ asociadas a sondeos (como ensayos de penetración estándar). No se empleara este método cuando pueda deteriorarse el terreno para las futuras cimentaciones o cuando se creen problemas de inestabilidad para estructuras próximas.

DENOMINACIÓN	CALICATAS		MUESTRAS ALTERADAS	
	C-1	C-2	M-1	M-2
PROFUNDIDAD (m)	0,9	1,1	0,8	0,9

Calicatas y muestras asociadas.

6.1.2 SONDEOS

Son perforaciones de diámetros y profundidad variables que permiten reconocer la naturaleza, composición y grado de meteorización de las diferentes unidades geotécnicas del terreno donde se va a ubicar la cimentación de la estructura, así como extraer muestras del mismo y, en su caso realizar ensayos a diferentes profundidades. Deben utilizarse en los casos indicados y cuando el estudio geotécnico exija:

- Alcanzar profundidades superiores a las conseguidas mediante catas.
- Reconocer el terreno bajo nivel freático.
- Extraer muestras inalteradas profundas.
- Realizar pruebas de deformabilidad o resistencia de tipo presiométrico, penetración estándar, etc.
- Perforar capas rocosas o de alta resistencia.
- Determinar valores índice de la roca en macizos rocosos.
- Detectar y controlar variaciones del nivel freático, para lo cual se instalarán tubos piezométricos en un número de sondeos suficiente, como mínimo un 30% para que dicho control sea fiable.



Se han realizado cuatro sondeos mecánicos a rotación mediante sonda rotativa Rolatec, con extracción de testigo continuo para conocer el terreno en profundidad y obtener muestras de suelo que puedan ser analizadas en el laboratorio. Estos ensayos servirán de base a los ensayos de penetración.

	SONDEOS				MUESTRAS INALTERADAS			
DENOMINACIÓN	S-1	S-2	S-3	S-4	M-3	M-4	M-5	M-6
PROFUNDIDAD (m)	1,9	1,9	2,1	1,8	1,2	1,1	1,3	1

Sondeos y muestras asociadas.

6.1.3 ENSAYOS DE PENETRACIÓN DINÁMICA

Estos ensayos sencillos y económicos permiten estimar la resistencia a la penetración de los suelos en función de la profundidad. El método consiste en la hinca en el terreno de una punta metálica, unida a un varillaje, mediante golpeo.

En este caso se han realizado cuatro ensayos con el penetrómetro de Borros, que es un penetrómetro dinámico de origen sueco, que a pesar de no estar normalizado en España, ha sido utilizado con gran profusión hasta hoy en día. Estos ensayos son sencillos y proporcionan una medida continua de la resistencia a la penetración, desde la superficie hasta la profundidad máxima que se quiere alcanzar con el ensayo, o hasta obtener el rechazo de la hinca.

En este tipo de ensayo una maza de 63,5 kg de peso se deja caer libremente desde una altura de 0,5 m y el registro del número de golpes NB se efectúa cada 20 cm. Se considera rechazo de la hinca cuando son necesarios más de 100 golpes para avanzar los 20 cm de tubería y se suspende la prueba.

DENOMINACIÓN ENSAYO	RECHAZO (m)	NIVEL FREÁTICO
P-DIN1	1,8	No aflora
P-DIN2	1,8	No aflora
P-DIN3	2	No aflora
P-DIN4	1,7	No aflora

Ensayos de penetración dinámica.

Para conocer de manera aproximada el número de golpes equivalentes del ensayo SPT se utiliza la fórmula de Dahlberg, aplicable principalmente a suelos arenosos:

$$N = 25 \cdot \log (NB) - 15.16$$

Con:

N número de golpes equivalentes del SPT.

NB número de golpes obtenidos con penetrómetro de Borros.

6.2 ENSAYOS DE LABORATORIO

Se han recogido seis muestras de los suelos del área investigada (dos alteradas procedentes de calicatas, M-1 y M-2, y cuatro inalteradas de sondeos, M-3, M-4, M-5 y M-6) para profundizar en el conocimiento del subsuelo y conocer mejor los materiales que forman el terreno de cimentación.

Sobre las muestras se han realizado los ensayos de laboratorio que a continuación se enumeran:

- Ensayos físicos: análisis granulométrico por tamizado y determinación de la densidad seca, clasificaciones, límites de Atterberg y compactación.
- Ensayos químicos: contenido en sulfatos solubles, humedad, determinación del contenido en materia orgánica.

6.3 DESCRIPCIÓN GEOTÉCNICA DE LOS MATERIALES

Suelo limo-arcilloso: en la parte más superficial se encuentra un suelo granular formado por una arena limosa que constituye un granito completamente meteorizado (**grado V**). Con un índice de plasticidad medio y color amarillento, se caracteriza porque se observa la estructura original de la roca. Aparecen intercalados niveles con un mayor contenido en cuarzos cuyo origen se asocia a procesos de relleno de discontinuidades. A partir de los ensayos realizados se estima que su potencia puede alcanzar una profundidad de entre 0,2-0,3 metros.

Porcentaje de finos (%)	40
Clasificación de Casagrande	SM
Densidad seca (t/m ³)	1,6
Densidad natural (t/m ³)	2,1
Humedad natural (%)	23
Contenido en sulfatos (%)	< 0,02
Resistencia a compresión simple (MPa)	0,05-0,15
Rozamiento interno (φ)	29
Cohesión (t/m ²)	1,3
Módulo de Young (MPa)	14
Coefficiente de Poisson	0,31

Suelo limo-arcilloso (GA V).



Rocas metamórficas muy alteradas: Se trata de un estrato rocoso de espesor variable que se considera excavable por métodos tradicionales ya que su grado de fracturación es elevado (**grado IV**). Puede ser reutilizado para rellenos y plataforma, una vez machacado o desmenuzado durante el proceso de extracción y puesta en obra.

Presenta tonalidades rojizo-amarillentas, conservando en parte se estructura original e incluyendo entre sus capas núcleos resistentes de cuarzo, así como estratos menos alterados.

Porcentaje de finos (%)	40
Clasificación de Casagrande	SM
Densidad seca (t/m ³)	1,9
Densidad natural (t/m ³)	2,3
Humedad natural (%)	18
Contenido en sulfatos (%)	< 0,02
Resistencia a compresión simple (MPa)	2,12
Rozamiento interno (φ)	33
Cohesión (t/m ²)	9
Módulo de Young (MPa)	48
Coefficiente de Poisson	0,33

Rocas metamórficas muy alteradas (GA IV).

Esquisto moderadamente meteorizado: Se trata de un esquisto intercalado con gneises y diques de cuarzo. En general, se podría hablar de un cuarzoesquisto en el que se observan frecuentes intercalaciones de niveles de sílice cristalina. Puede ser ripado para su excavación y reutilizado en rellenos (**grado III**).

Porcentaje de finos (%)	40
Clasificación de Casagrande	SM-GM
Densidad seca (t/m ³)	2,3
Densidad natural (t/m ³)	2,4
Humedad natural (%)	14
Contenido en sulfatos (%)	< 0,02
Resistencia a compresión simple (MPa)	3,45
Rozamiento interno (φ)	42
Cohesión (t/m ²)	25
Módulo de Young (MPa)	99
Coefficiente de Poisson	0,33

Esquisto moderadamente meteorizado (GA III).

No se debe olvidar que el muestreo realizado tiene un carácter fundamentalmente estadístico, y teniendo en cuenta la heterogeneidad de los materiales del subsuelo, los resultados obtenidos deben tratarse con la cautela y las reservas adecuadas.

ESCALA DE METEORIZACIÓN DE LAS ROCAS:

- **Grado de meteorización I:** roca sana no meteorizada que conserva el color lustroso en toda la masa.
- **Grado de meteorización II:** roca sana con juntas teñidas de óxidos. El bloque unitario entre juntas mantiene el color lustroso de la roca y las caras de las juntas están manchadas de óxidos.
- **Grado de meteorización III:** roca moderadamente meteorizada, a través de la petrofábrica, reconociéndose el cambio de color respecto de la roca sana.
- **Grado de meteorización IV:** roca muy meteorizada que puede desmenuzarse a mano y romperse.
- **Grado de meteorización V:** completamente meteorizada, se puede reconocer la estructura de la roca original a pesar de su aspecto descompuesto debido a la meteorización “in situ”.

7. TENSIÓN ADMISIBLE Y CONDICIONES DE CIMENTACIÓN

Teniendo en cuenta los resultados obtenidos en la campaña de investigación, nos encontramos con dos zonas diferenciadas. Una primera zona en la Avda. Rodríguez de Viguri, en el lado Oeste de la estructura, con estrato adecuado a una profundidad entre 1 y 1,2 metros, y otra zona en la Avda. O Camiño Francés, lado Este de la pasarela, con estrato adecuado a una profundidad entre 1,3 y 1,5 metros. La tensión admisible en este estrato rocoso se estima en 5 kp/cm².

8. CONCLUSIONES

Por último podemos concluir que el terreno de la zona donde se asienta la estructura está formado principalmente por cuatro niveles geotécnicos. La capa más superficial está compuesta por tierra vegetal y un relleno antrópico de **suelo limo-arcilloso de grado V**, seguida por una capa de **rocas metamórficas muy meteorizadas de grado IV**. A continuación tenemos ya un terreno con resistencia elevada de **esquisto moderadamente meteorizado de grado III**, que se asienta sobre **un estrato formado por roca prácticamente sana de grado II**.



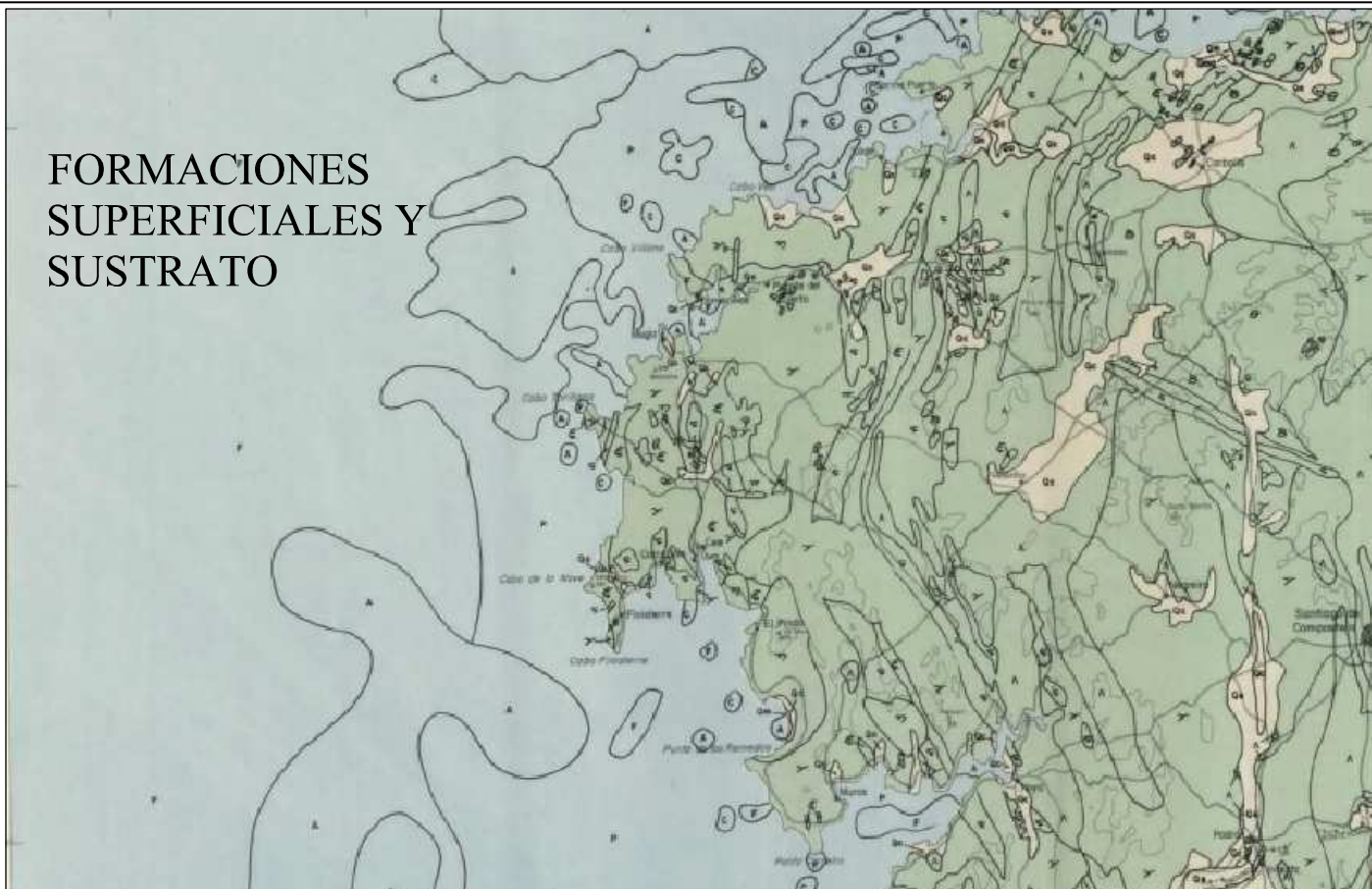
Después de las investigaciones llevadas a cabo podemos suponer las siguientes condiciones en el subsuelo de la zona de estudio:

- El nivel freático no aflora ni en las calicatas ni en ninguno de los cuatro sondeos realizados, por lo que se deduce que es inferior a la cota de cimentación.
- Teniendo en cuenta los datos obtenidos con los sondeos y los ensayos de penetración dinámica, las cimentaciones de la estructura en ambas avenidas podrán ejecutarse en el estrato de grado III dado su menor grado de alteración y dada la proximidad del estrato rocoso de grado II compuesto por roca prácticamente sana.
- Realizando las cimentaciones en el estrato anteriormente indicado podrá considerarse una **capacidad portante del terreno para el cálculo de las zapatas de 5kp/cm²**.



APÉNDICE I: MAPAS GEOTÉCNICOS Y LOCALIZACIÓN DE ENSAYOS

FORMACIONES SUPERFICIALES Y SUSTRATO



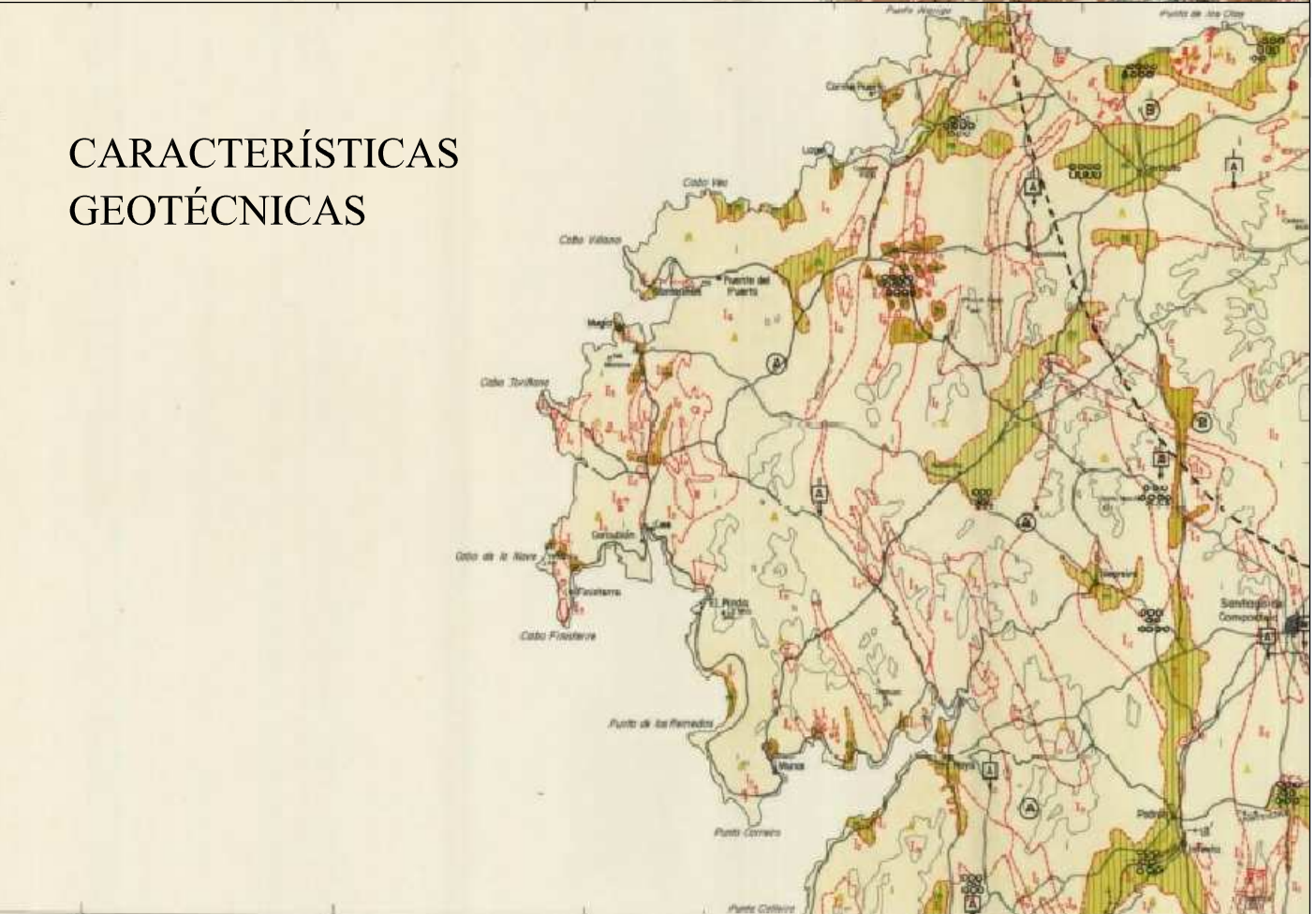
CARACTERÍSTICAS GEOMORFOLÓGICAS



CARACTERÍSTICAS HIDROLÓGICAS



CARACTERÍSTICAS GEOTÉCNICAS



ESCUELA TÉCNICA SUPERIOR DE INGENIEROS DE CAMINOS, CANALES Y PUERTOS

UNIVERSIDADE DE A CORUÑA

TITULACIÓN:

Grado en Ingeniería de Obras Públicas

AUTOR:

Rubén Sánchez Faro

FIRMA:

FECHA:

Febrero 2016

TÍTULO DE PLANO:

Mapas geotécnicos

PROYECTO:

Pasarela peatonal en la intersección de la Avda. Rodríguez de Viguri con la Avda. O Camiño Francés (Santiago de Compostela)

PLANO Nº:

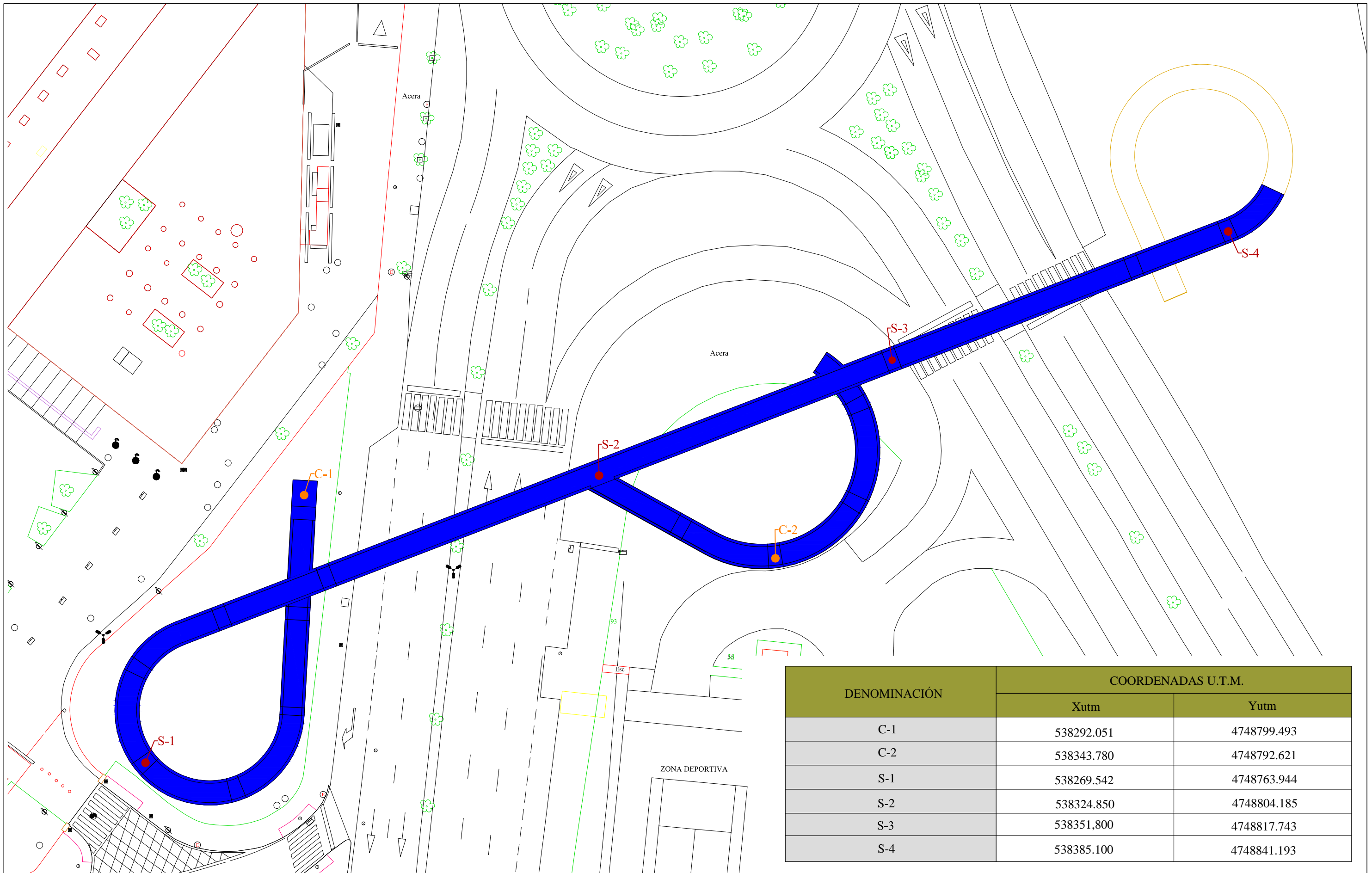
2

ESCALA:

Sin escala

UNIDADES:

-



ESCUELA TÉCNICA SUPERIOR DE INGENIEROS DE CAMINOS, CANALES Y PUERTOS

UNIVERSIDADE DE A CORUÑA

TITULACIÓN:
Grado en Ingeniería de Obras Públicas

PROYECTO:
Pasarela peatonal en la intersección de la Avda. Rodríguez de Viguri con la Avda. O Camiño Francés (Santiago de Compostela)

AUTOR:
Rubén Sánchez Faro

FIRMA:

FECHA:
Febrero 2016

PLANO Nº:
3

TÍTULO DE PLANO:
Localización ensayos

ESCALA:
1/400

UNIDADES:
-



APÉNDICE II: TRABAJOS DE CAMPO

Estudio geotécnico para el proyecto "pasarela peatonal en la intersección de la Avda. Rodríguez de Viguri con la Avda. O Camiño Francés"	Calicata mecánica C-1	
	Coordenadas U.T.M. :	Fecha:
X: 538292.051	Agosto 2015	
Y: 4748799.493		

Estudio geotécnico para el proyecto "pasarela peatonal en la intersección de la Avda. Rodríguez de Viguri con la Avda. O Camiño Francés"	Calicata mecánica C-2	
	Coordenadas U.T.M. :	Fecha:
X: 538343.780	Agosto 2015	
Y: 4748792.621		

Profundidad (m)	Nivel freático	Espesor estrato (m)	Naturaleza y descripción del terreno	Muestras y ensayos de C-1	
				Nombre	Profundidad
0.25		0.25	Suelo limo-arcilloso GA V		
0.55		0.3	Roca metamórfica muy alterada GA IV	M-1	0,8
1		0.45	Esquisto moderadamente meteorizado GAIII		
			Fin de la calicata C-1		

Profundidad (m)	Nivel freático	Espesor estrato (m)	Naturaleza y descripción del terreno	Muestras y ensayos de C-2	
				Nombre	Profundidad
0.3		0.3	Suelo limo-arcilloso GA V		
0.65		0.35	Roca metamórfica muy alterada GA IV	M-2	0.9
1.1		0.45	Esquisto moderadamente meteorizado GA III		
			Fin de la calicata C-2		



ESCUELA TÉCNICA SUPERIOR DE INGENIEROS DE CAMINOS, CANALES Y PUERTOS

UNIVERSIDADE DE A CORUÑA

TITULACIÓN:
Grado en Ingeniería de Obras Públicas

AUTOR:
Rubén Sánchez Faro

FIRMA:

FECHA:
Febrero 2016

TÍTULO DE PLANO:
Calicatas

PROYECTO:
Pasarela peatonal en la intersección de la Avda. Rodríguez de Viguri con la Avda. O Camiño Francés (Santiago de Compostela)

PLANO Nº:
4

ESCALA:
-

UNIDADES:
-

Estudio geotécnico para el proyecto "pasarela peatonal en la intersección de la Avda. Rodríguez de Viguri con la Avda. O Camiño Francés"	Sondeo mecánico a rotación S-1	
	Coordenadas U.T.M. : X: 538269.542 Y: 4748763.944	Fecha: Agosto 2015

Estudio geotécnico para el proyecto "pasarela peatonal en la intersección de la Avda. Rodríguez de Viguri con la Avda. O Camiño Francés"	Sondeo mecánico a rotación S-2	
	Coordenadas U.T.M. : X: 538324.850 Y: 4748804.185	Fecha: Agosto 2015

Profundidad (m)	Nivel freático	Espesor estrato (m)	Naturaleza y descripción del terreno	Muestras y ensayos de S-1	
				Nombre	Profundidad
0.4		0.4	Suelo limo-arcilloso GA V	M-3	1.2
0.9		0.5	Roca metamórfica muy alterada GA IV		
1.7		0.8	Esquisto moderadamente meteorizado GA III		
1.9		0.2	Roca prácticamente sana GA II		
			Fin del sondeo S-1		

Profundidad (m)	Nivel freático	Espesor estrato (m)	Naturaleza y descripción del terreno	Muestras y ensayos de S-2	
				Nombre	Profundidad
0.4		0.4	Suelo limo-arcilloso GA V	M-4	1.1
1.0		0.6	Roca metamórfica muy alterada GA IV		
1.7		0.7	Esquisto moderadamente meteorizado GA III		
1.9		0.2	Roca prácticamente sana GA II		
			Fin del sondeo S-2		



ESCUELA TÉCNICA SUPERIOR DE INGENIEROS DE CAMINOS, CANALES Y PUERTOS

UNIVERSIDADE DE A CORUÑA

TITULACIÓN:
Grado en Ingeniería de Obras Públicas

AUTOR:
Rubén Sánchez Faro

FIRMA:

FECHA:
Febrero 2016

TÍTULO DE PLANO:
Sondeos 1 y 2

PROYECTO:
Pasarela peatonal en la intersección de la Avda. Rodríguez de Viguri con la Avda. O Camiño Francés (Santiago de Compostela)

PLANO Nº:
5

ESCALA:
-

UNIDADES:
-

Estudio geotécnico para el proyecto "pasarela peatonal en la intersección de la Avda. Rodríguez de Viguri con la Avda. O Camiño Francés"	Sondeo mecánico a rotación S-3	
	Coordenadas U.T.M. : X: 538351.800 Y: 4748817.743	Fecha: Febrero 2016

Estudio geotécnico para el proyecto "pasarela peatonal en la intersección de la Avda. Rodríguez de Viguri con la Avda. O Camiño Francés"	Sondeo mecánico a rotación S-4	
	Coordenadas U.T.M. : X: 538385.100 Y: 4748841.193	Fecha: Febrero 2016

Profundidad (m)	Nivel freático	Espesor estrato (m)	Naturaleza y descripción del terreno	Muestras y ensayos de S-3	
				Nombre	Profundidad
0.5		0.5	Suelo limo-arcilloso GA V	M-5	1.3
1.1		0.6	Roca metamórfica muy alterada GA IV		
1.8		0.7	Esquisto moderadamente meteorizado GA III		
2.1		0.3	Roca prácticamente sana GA II		
			Fin del sondeo S-3		

Profundidad (m)	Nivel freático	Espesor estrato (m)	Naturaleza y descripción del terreno	Muestras y ensayos de S-4	
				Nombre	Profundidad
0.3		0.3	Suelo limo-arcilloso GA V	M-6	1.0
0.8		0.5	Roca metamórfica muy alterada GA IV		
1.6		0.8	Esquisto moderadamente meteorizado GA III		
1.8		0.2	Roca prácticamente sana GA II		
			Fin del sondeo S-4		



ESCUELA TÉCNICA SUPERIOR DE INGENIEROS DE CAMINOS, CANALES Y PUERTOS

UNIVERSIDADE DE A CORUÑA

TITULACIÓN:
Grado en Ingeniería de Obras Públicas

AUTOR:
Rubén Sánchez Faro

FIRMA:

FECHA:
Febrero 2016

TÍTULO DE PLANO:
Sondeos 3 y 4

PROYECTO:
Pasarela peatonal en la intersección de la Avda. Rodríguez de Viguri con la Avda. O Camiño Francés (Santiago de Compostela)

PLANO Nº:
6

ESCALA:
-

UNIDADES:
-



ANEJO N° 6: ESTUDIO CLIMATOLÓGICO



ÍNDICE

1.	INTRODUCCIÓN.....	2
2.	TEMPERATURAS.....	2
3.	PRECIPITACIONES.....	2
4.	NUBOSIDAD E INSOLACIÓN.....	2
5.	VIENTO.....	2
	APÉNDICE: VALORES CLIMATOLÓGICOS DE SANTIAGO.....	3



1. INTRODUCCIÓN

El presente anejo tiene por objeto estudiar las condiciones climáticas de la zona de actuación para establecer las medidas de protección necesarias y medir la incidencia de las cargas climatológicas durante la vida útil de la estructura.

El conjunto de la comunidad autónoma de Galicia presenta un clima lluvioso por la influencia de los vientos dominantes del oeste que traen masas de aire húmedas polares o tropicales. Sin embargo, la distribución no es la misma en toda la región. En la zona norte podemos identificar un clima marítimo de la costa oeste de los continentes, mientras en el sur hay un clima que, sin dejar de ser marítimo, tiene tendencia al clima mediterráneo. Los centros de acción que definen el clima gallego son el frente polar y el anticiclón de las Azores.

Por su posición en el planeta Galicia tiene un clima de temperaturas suaves, con una amplitud térmica reducida y unas precipitaciones abundantes casi siempre por encima de los 800 mm alcanzando el máximo en invierno y el mínimo en verano.

Existen grandes diferencias de temperaturas a causa del efecto de las montañas. En las sierras prelitorales, que superan los 1 000 metros, y el macizo galaico-leonés las temperaturas son frías en invierno y frescas en verano. Incluso hay uno o dos meses de heladas seguras y de precipitaciones en forma de nieve.

Las zonas costeras están sometidas a vientos constantes, que frecuentemente llegan a ser fuertes. La zona de la mesta de Lugo y Terra Cha es ligeramente más seca que la costa, con cierta tendencia a la continentalización, debido a la presencia de las sierras prelitorales. En las depresiones orensanas es frecuente que se den situaciones de inversión térmica que provoca nieblas persistentes en el fondo de los valles. En las montañas interiores suelen darse lluvias orográficas, provocadas por unos vientos que empujan las masas de aire húmedo sobre unos relieves que superan los 1 500 metros de altitud.

2. TEMPERATURAS

La temperatura media anual en la ciudad de Santiago de Compostela es de 13,0°C según datos recogidos por la Agencia Estatal de Meteorología (AEMET), que se adjuntan en el Apéndice de valores climatológicos.

Las temperaturas más elevadas se registran en el mes de Agosto, con una media de 19,0°C. Las temperaturas más bajas corresponden al mes de Enero, con una temperatura media de 7,7°C.

Las temperaturas en Santiago de Compostela se pueden considerar relativamente suaves, con medias mensuales mínimas de 5,4°C en Enero de 1985 y máximas de 22,0°C en Agosto de 2003, hablando siempre en el intervalo estudiado (1981-2010).

3. PRECIPITACIONES

Los meses de mayor precipitación en Santiago de Compostela son Octubre, Noviembre, Diciembre y Enero, superando todos ellos los 200 l/m². Los meses más secos son Junio, Julio y Agosto, con precipitaciones por debajo de los 75 l/m².

El número de días de precipitación apreciable en un año medio en Santiago de Compostela es de 175 días, siendo la pluviosidad anual media de 1787,2 l/m².

4. NUBOSIDAD E INSOLACIÓN

Los meses con más días cubiertos en Santiago de Compostela son Enero y Diciembre, superando ambos una media de 12 y 13 días cubiertos respectivamente. La media de días del año completamente despejados es de 59, bastante baja, incluso comparada con otras ciudades de la Comunidad Autónoma de Galicia.

La humedad relativa media anual es de 78%, un valor bastante elevado, aunque con pocas variaciones, ya que las medias mensuales se mantienen en un rango de 74-85%.

5. VIENTO

La mayor racha de viento registrada en Santiago de Compostela desde 1961 hasta la actualidad, se produjo el 11 de Febrero de 1974, con una ráfaga de 155 km/h; aun así la velocidad media de las rachas más altas es de 37 km/h. La velocidad media anual del viento se sitúa en torno a los 14 km/h.



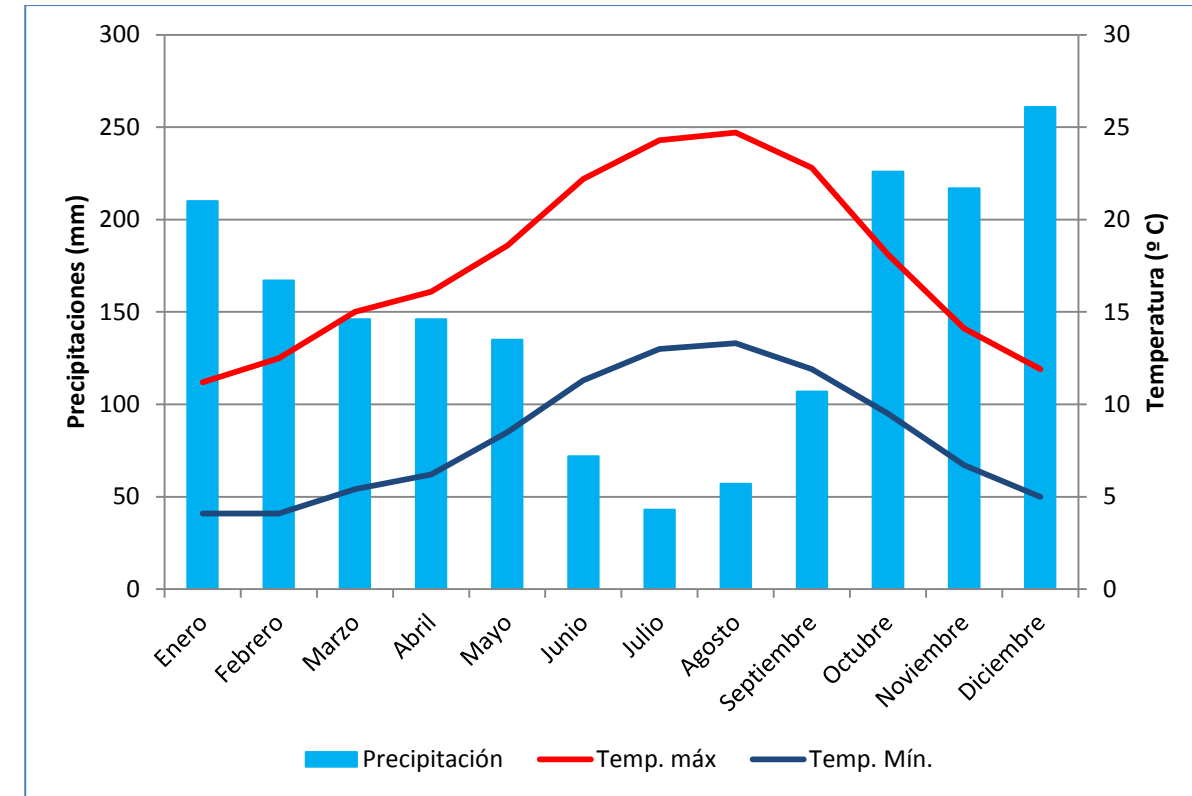
APÉNDICE: VALORES CLIMATOLÓGICOS DE SANTIAGO DE COMPOSTELA



Valores climatológicos normales. Santiago de Compostela Aeropuerto

Periodo: 1981-2010

Mes	T	TM	Tm	R	H	DR	DN	DT	DF	DH	DD	I
Enero	7.7	11.2	4.1	210	84	15.2	1.0	0.6	8.6	4.5	4.1	93
Febrero	8.3	12.5	4.1	167	79	12.6	0.7	0.8	7.0	3.7	4.4	114
Marzo	10.2	15.0	5.4	146	75	12.8	0.2	0.7	6.5	1.5	5.0	151
Abril	11.2	16.1	6.2	146	76	14.4	0.3	1.9	5.6	0.4	3.7	165
Mayo	13.6	18.6	8.5	135	76	12.7	0.0	2.2	8.4	0.0	3.4	187
Junio	16.8	22.2	11.3	72	74	7.6	0.0	1.2	7.8	0.0	5.2	225
Julio	18.6	24.3	13.0	43	74	5.7	0.0	0.9	9.4	0.0	7.0	243
Agosto	19.0	24.7	13.3	57	74	5.5	0.0	1.1	11.2	0.0	6.8	237
Septiembre	17.4	22.8	11.9	107	75	8.4	0.0	0.9	10.7	0.0	6.4	184
Octubre	13.8	18.1	9.5	226	82	14.0	0.0	1.1	11.1	0.1	3.7	132
Noviembre	10.4	14.1	6.7	217	86	14.9	0.1	0.9	9.8	1.0	3.3	95
Diciembre	8.5	11.9	5.0	261	85	15.9	0.3	1.2	8.1	2.6	5.1	85
Año	13.0	17.6	8.3	1787	78	139.5	2.7	13.4	104.3	13.3	-	-



Leyenda

- T Temperatura media mensual/anual (°C)
- TM Media mensual/anual de las temperaturas máximas diarias (°C)
- Tm Media mensual/anual de las temperaturas mínimas diarias (°C)
- R Precipitación mensual/anual media (mm)
- H Humedad relativa media (%)
- DR Número medio mensual/anual de días de precipitación superior o igual a 1 mm
- DN Número medio mensual/anual de días de nieve
- DT Número medio mensual/anual de días de tormenta
- DF Número medio mensual/anual de días de niebla
- DH Número medio mensual/anual de días de helada
- DD Número medio mensual/anual de días despejados
- I Número medio mensual/anual de horas de sol



ANEJO Nº 7: CÁLCULO ESTRUCTURAL



ÍNDICE

1.	INTRODUCCIÓN.....	4	4.2.3	ACCIONES VARIABLES (Q).....	7
2.	NORMATIVA.....	4	4.2.3.1	SOBRECARGA DE USO EN PASARELAS.....	7
3.	DESCRIPCIÓN DE LA ESTRUCTURA.....	4	4.2.3.2	EMPUJE SOBRE BARANDILLAS.....	7
3.1	GENERALIDADES.....	4	4.2.3.3	VIENTO.....	7
3.2	TABLERO.....	4	4.2.2.4	ACCIÓN TÉRMICA.....	11
3.3	PAVIMENTO.....	4	4.2.3.5	NIEVE.....	13
3.4	PILAS.....	4	4.2.4	ACCIONES ACCIDENTALES (A).....	13
3.5	ESTRIBOS.....	4	4.2.4.1	IMPACTO DE VEHÍCULOS CONTRA ELEMENTOS ESTRUCTURALES DE LA PASARELA.....	13
3.6	APARATOS DE APOYO.....	5	4.2.4.2	ACCIÓN SÍSMICA.....	13
3.7	CIMENTACIONES.....	5	4.3	VALORES REPRESENTATIVOS DE LAS ACCIONES.....	13
3.8	BARANDILLAS.....	5	4.3.1	ACCIONES PERMANENTES.....	14
4.	ACCIONES DE CÁLCULO.....	6	4.3.2	ACCIONES VARIABLES.....	14
4.1	REQUISITOS FUNDAMENTALES.....	6	4.4	VALORES DE CÁLCULO DE LAS ACCIONES.....	14
4.2	VALORES CARACTERÍSTICOS DE LAS ACCIONES.....	6	4.4.1	ESTADOS LÍMITE ÚLTIMOS (ELU).....	14
4.2.1	ACCIONES PERMANENTES DE VALOR CONSTANTE (G).....	6	4.4.2	ESTADOS LÍMITE DE SERVICIO (ELS).....	14
4.2.2	ACCIONES PERMANENTES DE VALOR NO CONSTANTE (G*).....	7	4.5	COMBINACIONES DE ACCIONES.....	14
4.2.2.1	PRESOLICITACIONES.....	7	4.5.1	ESTADOS LÍMITE ULTIMOS (ELU).....	14
4.2.2.2	ACCIONES REOLÓGICAS.....	7	4.5.2	ESTADOS LÍMITE DE SERVICIO (ELS).....	15
4.2.2.3	EMPUJE DEL TERRENO.....	7	5.	ANÁLISIS DE LA ESTRUCTURA.....	15
			5.1	MATERIALES.....	15
			5.1.1	ACERO ESTRUCTURAL.....	15
			5.1.2	ACERO PARA ARMADURAS.....	16



5.1.3	HORMIGÓN ARMADO.....	16	7.2	RESISTENCIA DE LAS BARRAS.....	30
5.2	MODELO DE CÁLCULO.....	16	7.2.1	ESFUERZO ÚLTIMO DE COMPRESIÓN DE UNA PIEZA.....	30
5.2.1	SECCIONES PRINCIPALES.....	17	7.2.2	PANDEO LATERAL.....	32
5.2.2	ACCIONES EN EL MODELO.....	19	7.2.3	ABOLLADURA DEL ALMA POR CORTANTE.....	33
5.2.3	DEFINICIÓN DE COMBINACIONES EN ELU Y ELS.....	19	7.2.4	INTERACCIÓN DE ESFUERZOS EN PIEZAS.....	34
6.	COMPROBACIONES RELATIVAS A ESTADOS LÍMITE DE SERVICIO.....	24	8.	APARATOS DE APOYO.....	36
6.1	ESTADO LÍMITE DE DEFORMACIONES.....	24	8.1	CONSIDERACIONES GENERALES.....	36
6.2	CONTRAFLECHAS DE EJECUCIÓN.....	24	8.2	DIMENSIONAMIENTO DE LOS APARATOS DE APOYO.....	36
6.3	ESTADO LÍMITE DE DEFORMACIONES DEL ALMA.....	24	8.3	COMPROBACIÓN DE LOS APARATOS DE APOYO.....	37
6.4	ESTADO LÍMITE DE VIBRACIONES.....	25	9.	FORJADO COLABORANTE.....	38
6.5	ESTADO LÍMITE DE PLASTIFICACIONES LOCALES.....	26	9.1	INTRODUCCIÓN.....	38
6.6	ESTADO LÍMITE DE DESLIZAMIENTO DE TORNILLOS DE ALTA RESISTENCIA.....	26	9.2	DIMENSIONAMIENTO.....	38
7.	COMPROBACIONES RELATIVAS A ESTADOS LÍMITE ÚLTIMOS.....	27	9.2.1	DIMENSIONAMIENTO EN TRAMOS CURVOS.....	38
7.1	RESISTENCIA DE LAS SECCIONES.....	27	9.2.2	DIMENSIONAMIENTO EN TRAMOS RECTOS.....	40
7.1.1	RESISTENCIA DE LAS SECCIONES A TRACCIÓN.....	27	9.3	CONECTADORES.....	41
7.1.2	RESISTENCIA DE LAS SECCIONES A CORTANTE.....	27	10.	CIMENTACIONES.....	42
7.1.3	RESISTENCIA DE LAS SECCIONES A COMPRESIÓN.....	28	10.1	INTRODUCCIÓN.....	42
7.1.4	RESISTENCIA DE LAS SECCIONES A FLEXIÓN.....	28	10.2	ZAPATAS.....	42
7.1.5	RESISTENCIA DE LAS SECCIONES A TORSIÓN.....	28	10.3	PLACAS DE ANCLAJE.....	45
7.1.6	INTERACCIÓN DE ESFUERZOS EN SECCIONES.....	28	10.4	ESTRIBOS.....	45
7.1.7	COMPROBACIÓN DE LAS SECCIONES.....	29			



11. BARANDILLAS.....	47
11.1 INTRODUCCIÓN.....	47
11.2 PESO PROPIO ELEMENTOS.....	47
11.3 CÁLCULO DE LA BARANDILLA.....	47
12. DURABILIDAD.....	49
12.1 GENERALIDADES.....	49
12.2 SOBRESPEORES EN SUPERFICIES INACCESIBLES.....	49
APÉNDICE I: DEFINICIÓN DEL MODELO.....	50
APÉNDICE II: CASOS DE CARGA.....	85
APÉNDICE III: RESULTADOS.....	285
APÉNDICE IV: CIMENTACIONES Y ESTRIBOS.....	358



1. INTRODUCCIÓN

El presente anejo tiene como finalidad definir la estructura proyectada dimensionando y comprobando todos los elementos que la componen. Se describen tanto la normativa como los materiales utilizados, se muestra el modelo de cálculo empleado y las acciones consideradas sobre el mismo, así como las combinaciones necesarias para realizar las comprobaciones pertinentes. También se realizan los cálculos necesarios para el dimensionamiento de los elementos de cimentación.

2. NORMATIVA

La normativa empleada para realizar los cálculos y comprobaciones del presente anejo es la siguiente:

- Instrucción sobre las acciones a considerar en el proyecto de puentes de carretera (IAP-11)
- Instrucción de acero estructural (EAE-11)
- Recomendaciones para el proyecto de puentes metálicos para carreteras (RPM-95)
- Instrucción de hormigón estructural (EHE-08)
- Norma de Construcción Sismorresistente: Puentes (NCSP-07)
- Código Técnico de la Edificación (CTE)

3. DESCRIPCIÓN DE LA ESTRUCTURA

3.1 GENERALIDADES

La pasarela está compuesta por seis tramos diferenciados, tres rampas en curva y tres vanos que conforman el tramo de cruce. El vano mayor es el intermedio con una longitud de aproximadamente 34 metros. Los desarrollos de las rampas, incluyendo descansillos, van desde los 85 metros de la rampa 1(Oeste) hasta los 18 metros de la rampa 3(Este).

La estructura se sostiene mediante pares de pilas de sección rectangular metálica, apoyándose también en tres estribos situados al final de cada rampa. En el tramo central de la estructura se dispone una junta de dilatación para permitir el desplazamiento horizontal de las partes y evitar así los esfuerzos provocados por los incrementos térmicos.

3.2 TABLERO

El tablero presenta un esquema bífoca, con dos vigas longitudinales de acero trabajando principalmente a flexión, unidas o arriostradas mediante barras transversales de acero de sección rectangular. La separación entre ejes de las vigas longitudinales es de 2,55 metros, siendo el ancho

total del tablero de 2,8 metros. Las barras transversales se disponen a intervalos regulares según la longitud de cada tramo, siendo su separación media de 1,8 metros.

La sección de las vigas longitudinales es un perfil rectangular de 1,12 metros de altura por 0,25 metros de ancho, siendo las chapas verticales de 10 milímetros y las horizontales de 20 milímetros. En cuanto a las barras transversales, presentan una sección cuadrada de 140 x 140 milímetros y espesor variable en función de las solicitaciones de cálculo.

3.3 PAVIMENTO

El pavimento utilizado será un forjado mixto de chapa colaborante. Es el elemento que va a recibir directamente las sobrecargas de uso y está formado por una chapa grecada que realiza la función de encofrado perdido del hormigón de la losa, y posteriormente actúa como armadura de positivos cuando el hormigón ha fraguado. El hormigón que forma la losa de 5 cm de espesor, es un HA-30/B/20/IIa.

La conexión del forjado colaborante de chapa grecada con las barras transversales de la estructura se realiza mediante conectores HILTI X-HVB 95, anclados mediante clavos aplicados con pistola.

3.4 PILAS

El tablero se apoya sobre parejas de pilas de acero de sección rectangular dispuestas de forma paralela. Tras realizar el dimensionamiento mediante el modelo de cálculo, obtenemos tres secciones diferentes, una de 400x280x16 otra de 400x280x25 y otra de 240x240x16.

En el tramo central, donde confluyen la rampa central y los vanos 1 y 2 (Oeste y central), las pilas se arriostran mediante una viga de acero de 280x280x25 formando dos pórticos que además de rigidizar la estructura, sirven de apoyo al tablero en la zona de la junta de dilatación.

3.5 ESTRIBOS

Los estribos constituyen el apoyo extremo de la estructura permitiendo, a través de los aparatos de apoyo elastoméricos, que se produzcan las deformaciones debidas a los incrementos térmicos, y también las correspondientes a las acciones directas que actúan sobre el tablero. Los estribos 1 y 2 (Oeste y Central) son cerrados, ya que disponen de unos muros laterales a modo de aletas que encierran en su interior el relleno que conforma el terraplén de acceso a la pasarela. En el estribo 3 se prescinde de estos muros laterales, y el terraplén se realiza tanto frontal como lateralmente mediante material de relleno y terreno propio de la zona, disponiendo en la parte superior una capa de 10 cm de hormigón en masa HM-30, que constituye el pavimento de la rampa. El hormigón empleado en muros y estribos es un HA-30/B/20/IIa y el hormigón de limpieza es un HM-10.



El estribo 1 tiene como base una capa de 10 cm de hormigón de limpieza sobre la que se ejecuta una zapata corrida de 35 cm de canto, con 70 cm de vuelo tanto en intradós como en trasdós. El muro tiene una altura total de 1,70 m, un espesor de 55 cm y una longitud de 2,8 m (correspondiente al ancho total del tablero), con un murete de guarda de 65 cm de altura y 30 cm de espesor.

En el estribo 2 la zapata corrida tiene 40 cm de canto y vuelos de 50 cm tanto en intradós como en trasdós. El muro tiene una altura total de 1,30 m, un espesor de 55 cm y una longitud de 2,8 m, con un murete de guarda de 60 cm de altura y 30 cm de espesor.

El muro del estribo 3 tiene las mismas características que en el estribo 2 exceptuando el canto de la zapata que es de 35cm, y el vuelo de intradós y trasdós que pasa a ser de 60 cm.

Los estribos 1 y 2 se rellenan con material granular, dejando los últimos 10 cm hasta la coronación de los muros para el pavimento de hormigón en masa HM-30 con mallazo de reparto de 200x300 mm y diámetro de 5 mm.

3.6 APARATOS DE APOYO

Los aparatos de apoyo empleados en la estructura son apoyos elastoméricos armados, con unas dimensiones de 200x300 mm y una altura total de 60 mm.

Estos apoyos están fabricados mediante capas de caucho clorado completamente sintético, entre las cuales se encuentran intercaladas chapas de acero completamente recubiertas por el material elastomérico. Las diferentes capas están unidas entre sí y con las chapas mediante un estudiado proceso de vulcanización, de forma que bajo la acción de las cargas, no puedan desplazarse en absoluto unas sobre otras.

Estos apoyos permiten absorber movimientos en una o varias direcciones, transmitir cargas de un elemento constructivo a otro y liberar los movimientos provocados por acciones térmicas, reduciendo así los esfuerzos en el tablero.

Para que la superficie de tránsito sea continua se colocan juntas de dilatación constituidas por una banda de material elastomérico con refuerzos interiores de acero, que absorben los movimientos de la estructura.

3.7 CIMENTACIONES

Las cimentaciones de la estructura se han realizado mediante 6 zapatas combinadas que recogen una pareja de pilas cada una, y una losa de cimentación que recoge las pilas 7,8 9 y 10, situadas en el tramo central. Todos los elementos de cimentación se asientan sobre una capa de 10 cm de hormigón de limpieza. El hormigón empleado en todas las zapatas es un HA-30/B/20/IIa y el acero para armaduras consiste en barras corrugadas B500S. A continuación se describen brevemente los

distintos elementos de cimentación, pudiendo consultar detalles sobre armado y placas de anclaje en el documento nº 2: Planos.

La zapata 1 recoge las pilas 1y2 y tiene forma paralelepípedica, con unas dimensiones en planta de 4,05x0,85 m y un canto de 0,55 m. Las placas de anclaje tienen unas dimensiones de 350x350x15mm, con 4 pernos de 16 mm cada una.

La zapata 2 recoge las pilas 3y4 y tiene forma paralelepípedica, con unas dimensiones en planta de 3,8x1,8 m y un canto de 1 m. Las placas de anclaje tienen unas dimensiones de 800x700x45 mm, con 8 pernos de 40 mm cada una.

La zapata 3 recoge las pilas 5y6 y tiene forma paralelepípedica, con unas dimensiones en planta de 3,7x1,7 m y un canto de 1 m. Las placas de anclaje tienen unas dimensiones de 750x650x40mm, con 8 pernos de 40mm cada una.

La zapata 4 recoge las pilas 11y12 y tiene forma paralelepípedica, con unas dimensiones en planta de 4,4x1,05 m y un canto de 0,75 m. Las placas de anclaje tienen unas dimensiones de 550x550x35mm, con 8 pernos de 25 mm cada una.

La zapata 5 recoge las pilas 13y14 y tiene forma paralelepípedica, con unas dimensiones en planta de 3,6x1,45 m y un canto de 0,85 m. Las placas de anclaje tienen unas dimensiones de 650x550x35mm, con 12 pernos de 25 mm cada una.

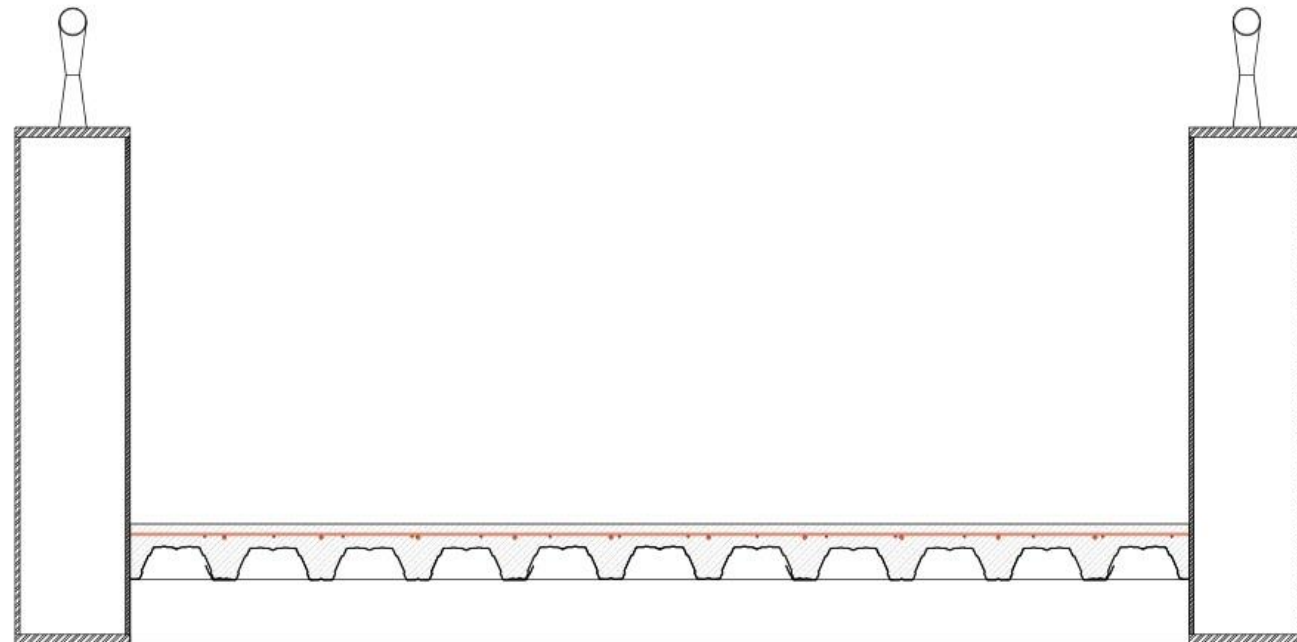
La zapata 6 recoge las pilas 15y16 y tiene forma paralelepípedica, con unas dimensiones en planta de 3,7x2,45m y un canto de 1m. Las placas de anclaje tienen unas dimensiones de 750x650x40 mm, con 8 pernos de 40 mm cada una.

La losa de cimentación recoge las pilas 7,8,9y10 y tiene forma rectangular con unas dimensiones en planta de 4,4x3,55 y un canto de 0,8 m. Las placas de anclaje tienen unas dimensiones de 600x500x30mm, con 8 pernos de 25 mm cada una.

3.8 BARANDILLA

La barandilla se compone de chapas verticales con forma de doble cono invertido, de 10 mm de espesor, separadas 1,6 m, y un pasamanos formado por un perfil circular hueco de 60 mm de diámetro y 4mm de espesor, alcanzando el conjunto una altura total de 26 cm. El conjunto formado por las vigas longitudinales y las barandillas permite alcanzar una altura de seguridad de 1,12 m desde la superficie del pavimento.

Los soportes verticales son de acero S275JR, y se sueldan directamente a las vigas longitudinales de la estructura. El pasamanos es de acero inoxidable S235-JR con acabado pulido



Sección transversal (Vigas longitudinales, barras transversales, forjado colaborante y barandillas).

4. ACCIONES DE CÁLCULO

4.1 REQUISITOS FUNDAMENTALES

En este apartado se determinarán las acciones, los coeficientes de ponderación y las combinaciones de acciones que deben tenerse en cuenta en el proyecto de la estructura objeto de estudio. Para ello se han de tener en cuenta los siguientes requisitos fundamentales:

- Una estructura debe ser proyectada y construida para que, con una probabilidad razonable, sea capaz de soportar todas las acciones que puedan solicitarla durante su construcción y uso, en el periodo de vida previsto, y de cumplir la función para la que ha sido construida con unos costes de conservación aceptables.
- Una estructura debe también ser concebida de manera que las consecuencias de acciones excepcionales, como sismos o impactos, no produzcan daños desproporcionados con la causa que los ha originado (requisito de robustez).

En cuanto a la vida útil la IAP-11 establece un valor de 100 años para puentes de carretera, entendiéndose por vida útil de una estructura el periodo de tiempo a partir de la fecha en que finaliza su ejecución, durante el cual debe cumplir la función para la que fue construida, contando siempre con la conservación adecuada pero sin requerir operaciones significativas de rehabilitación.

4.2 VALORES CARACTERÍSTICOS DE LAS ACCIONES

4.2.1. ACCIONES PERMANENTES DE VALOR CONSTANTE (G)

Las cargas permanentes son producidas por el peso de los distintos elementos que forman parte del puente. Se clasifican en peso propio y cargas muertas.

Su valor característico se deducirá de las dimensiones de los elementos especificados en los planos, y de los pesos específicos correspondientes.

Salvo justificación expresa, se tomarán para los materiales de construcción más usuales los siguientes pesos específicos:

Material	KN/m ³
Fundición	72,5
Acero	78,5
Aluminio	27,0
Madera seca	6,0 a 9,0
Madera húmeda	10,5
Hormigón en masa	23,0 a 24,0
Hormigón armado y pretensado	25,0
Elementos de basalto, pórfidos y ofitas	31,0
Elementos de granito o caliza	30,0
Materiales granulares y rellenos	20,0
Pavimentos de mezcla bituminosa	23,0
Material elastomérico	15,0
Poliestireno expandido	0,3
Vidrio	25,0

La acción Peso propio es la que corresponde al peso de los elementos estructurales y su valor característico podrá deducirse de la tabla arriba expuesta.

Para el peso propio del forjado colaborante se ha consultado la tabla de peso propio de elementos constructivos del CTE, concretamente en el Documento Básico SE-AE (Seguridad Estructural Acciones en la Edificación) obteniendo para un espesor $e < 12$ cm un valor de 2 KN/m^2 .

Las cargas muertas son las debidas a los elementos no estructurales que gravitan sobre los estructurales, tales como pavimento, iluminación, barandillas, etc. En nuestro caso el forjado colaborante actúa como pavimento además de su función resistente, por lo que ya ha sido calculado en el apartado de pesos propios. El peso del sistema de iluminación y del sistema de drenaje se considera despreciable, considerando únicamente como carga muerta el peso de las barandillas, para el cuál se toma un valor de $0,04 \text{ KN/m}$ en cada barandilla, sumando un valor total de $0,08 \text{ KN/m}$.



4.2.2. ACCIONES PERMANENTES DE VALOR NO CONSTANTE (G*)

4.2.2.1 PRESOLICITACIONES

Este apartado incluye todas las formas posibles de introducir esfuerzos en una estructura antes de su puesta en servicio, tales como pretensado, gatos, bloqueo provisional de coacciones, desplazamientos impuestos en los apoyos, etc. En nuestra estructura no se contempla ninguna carga de este tipo.

4.2.2.2 ACCIONES REOLÓGICAS

Son aquellas cuyo valor característico se obtendrá a partir de las deformaciones provocadas por la retracción y la fluencia. Debido al uso de juntas de dilatación y al empleo de armadura de retracción en el forjado colaborante, estas acciones no se tendrán en cuenta en el presente proyecto.

4.2.2.3 EMPUJE DEL TERRENO

El empuje del terreno, natural o de relleno, sobre los elementos de la estructura se determinará en función de las características del terreno y de otras consideraciones geotécnicas. En principio y salvo posibles interacciones que surjan en el futuro entre el terreno y los muros de arranque de la estructura, no será necesario tener en cuenta empuje del terreno sobre la estructura.

4.2.3. ACCIONES VARIABLES (Q)

4.2.3.1 SOBRECARGA DE USO EN PASARELAS

Para la determinación de los efectos estáticos de la sobrecarga de uso debida al tráfico de peatones, se considerará la acción simultánea de las cargas siguientes:

- Una carga vertical uniformemente distribuida q_{fk} de valor igual a 5 KN/m². En nuestro modelo la separación media entre traviesas es de 1,8 m por lo que cada traviesa soportará una sobrecarga de 9 KN/m.
- Una fuerza longitudinal Q_{flk} de valor igual al 10% del total de la carga vertical uniformemente distribuida, actuando en el eje del tablero al nivel de la superficie del pavimento. Aplicando el 10% obtenemos una fuerza horizontal de 1,093 KN/m.

Ambas cargas se consideran como una acción única, cuyo valor constituye el valor característico de la sobrecarga de uso cuando se combina con el resto de las acciones (cargas permanentes, viento, etc.).

A efectos de las comprobaciones locales, se considerará una acción vertical puntual Q_{fwk} de valor igual a 10 KN, actuando sobre una superficie cuadrada de 0,10 m de lado.

4.2.3.2 EMPUJE SOBRE BARANDILLAS

Se considerará en el elemento superior de las barandillas la actuación de una fuerza horizontal perpendicular a las mismas igual a 1.50 KN/m. Dicha fuerza será simultánea a la de la sobrecarga uniforme de 5 KN/m².

Esta acción tiene carácter local y por tanto sólo se utilizará para la comprobación de la propia barandilla y de sus anclajes, sin que deba ser considerada a efectos de ninguna otra verificación de seguridad general de la estructura.

4.2.3.3 VIENTO

Lo primero que debemos hacer es comprobar si podemos asimilar la acción del viento a una carga estática equivalente, o si además se hace necesario considerar los efectos aeroelásticos. Para ello consultamos el apartado 4.2.9 de la IAP-11, el cuál dice que no será necesario comprobar los efectos aeroelásticos en puentes y pasarelas en los que concurren las dos circunstancias siguientes:

- Luz menor de 80 m.
- Frecuencia fundamental de flexión vertical mayor de 2 Hz.

En nuestro caso el mayor vano tiene una luz que no llega a los 35 metros, por lo que la primera condición se cumple holgadamente.

El cálculo de la frecuencia fundamental de flexión vertical se realiza a continuación siguiendo la formulación expuesta en el apartado 4.2.9.3 de la IAP-11.

Frecuencia fundamental de flexión :

$$f_b = 0,18 * (g/v)^{1/2}$$

Siendo:

- **v**: flecha máxima de la estructura (m) bajo la acción de la carga permanente actuando en la misma dirección y sentido que el modo de vibración esperado.
- **g**: aceleración de la gravedad, igual a 9,8 m/s².

Aplicando esta formulación a la pasarela de proyecto tenemos :

$$f_b = 0,18 * (9,8/0,0419)^{1/2} = 2,753 \text{ Hz} > 2 \text{ Hz}$$

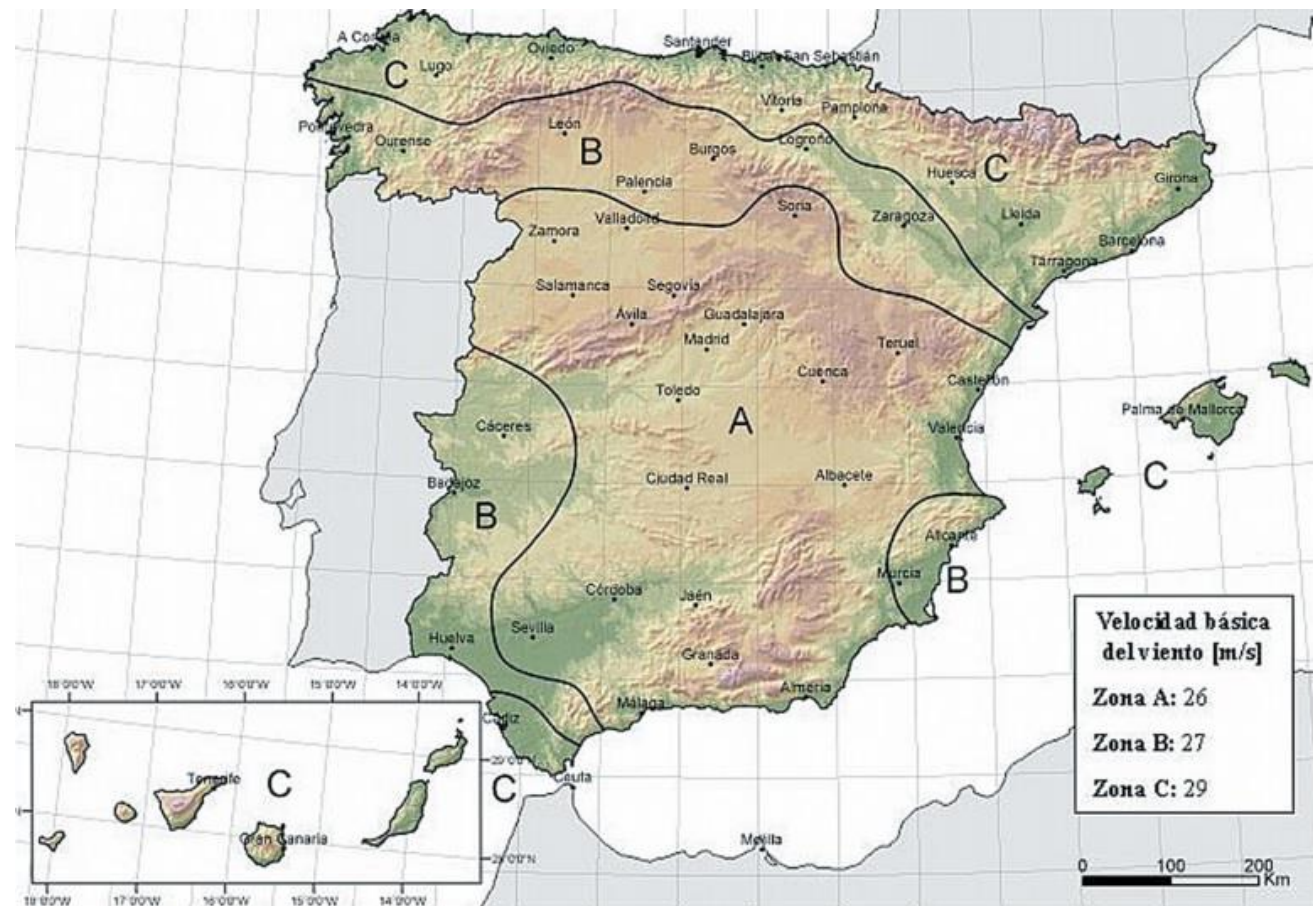
Una vez comprobado el cumplimiento de ambas condiciones y que por lo tanto el viento no provocará fenómenos vibratorios importantes, podemos asimilar la acción del viento a efectos de



cálculo de la estructura como una acción estática equivalente, para lo cual seguiremos el procedimiento indicado en la Norma IAP-11.

VELOCIDAD BÁSICA DEL VIENTO

La velocidad básica fundamental del viento en la zona de estudio es $v_{b,0} = 29 \text{ m/s}$, ya que estamos en la **Zona C** del mapa de isotacas.



Mapa de isotacas para la obtención de la velocidad básica fundamental del viento $V_{b,0}$.

A partir de la velocidad básica fundamental $v_{b,0}$, se obtendrá la velocidad básica v_b mediante la expresión :

$$v_b = c_{dir} c_{season} v_{b,0}$$

Donde:

- v_b : velocidad básica del viento para un periodo de retorno de 50 años (m/s).
- c_{dir} : factor direccional del viento que, a falta más precisos, puede tomarse igual a 1,0.
- c_{season} : factor estacional del viento que, a falta de estudios más precisos, puede tomarse igual a 1,0.
- $v_{b,0}$: velocidad básica fundamental del viento (m/s).

Para un periodo de retorno diferente de 50 años, la velocidad básica del viento $v_b(T)$ será:

$$v_b(T) = v_b c_{prob}$$

Donde:

- $v_b(T)$: velocidad básica del viento (m/s) para un periodo de retorno T.
- T: periodo de retorno en años.
- c_{prob} : factor de probabilidad, que para situaciones persistentes, a falta de estudios específicos, se considerará para un periodo de retorno de 100 años con una valor de 1.04.

En nuestro caso, para un periodo de retorno T = 100 años, obtenemos una velocidad básica del viento $v_b(100) = 30,16 \text{ m/s}$.

EMPUJE DEL VIENTO

El empuje del viento sobre cualquier elemento se calculará mediante la siguiente expresión:

$$F_w = \left[\frac{1}{2} \rho v_b^2(T) \right] c_e(z) c_f A_{ref}$$

Siendo :

- F_w : empuje horizontal del viento [N].
- $\frac{1}{2} \rho v_b^2(T)$: presión de la velocidad básica del viento q_b [N/m^2].
- ρ : densidad del aire, que se tomará igual a $1,25 \text{ kg/m}^3$.
- $v_b(T)$: velocidad básica del viento [m/s] para un periodo de retorno T.
- c_f : coeficiente de fuerza del elemento considerado.
- A_{ref} : área de referencia, que se obtendrá como proyección del área sólida expuesta sobre el plano perpendicular a la dirección del viento [m^2].
- $c_e(z)$: coeficiente de exposición en función de la altura z calculado según la fórmula siguiente:



$$c_e(z) = k_r^2 \left[c_0^2 \ln^2 \left(\frac{z}{z_0} \right) + 7 k_l c_0 \ln \left(\frac{z}{z_0} \right) \right] \text{ para } z \geq z_{\min}$$

Donde :

- k_l : factor de turbulencia, que se tomará igual a 1,0.
- c_0 : factor de topografía, que se tomará igual a 1,0.
- k_r factor del terreno, z_0 longitud de rugosidad, z_{\min} altura mínima, vienen dados por la siguiente tabla según el tipo de entorno, que en nuestro caso es el tipo III.

TIPO DE ENTORNO	k_r	z_0 [m]	z_{\min} [m]
0	0,156	0,003	1
I	0,170	0,01	1
II	0,190	0,05	2
III	0,216	0,30	5
IV	0,235	1,00	10

Coefficientes k_r , z_0 , z_{\min} en función del tipo de terreno.

Para nuestra pasarela el valor de $c_e(z)$ es **1,475**.

EMPUJE DEL VIENTO SOBRE EL TABLERO

➤ VIENTO TRANSVERSAL

EMPUJE HORIZONTAL

Para el cálculo del empuje transversal sobre el tablero se entenderá que el área expuesta es el producto de la longitud del tramo de puente considerado por la altura equivalente, heq.

Esta altura equivalente será la obtenida al añadir al canto del tablero(en el caso de un tablero de vigas se considerará únicamente el elemento de mayor canto) la altura de cualquier elemento no estructural que sea totalmente opaco frente al viento o, en el caso de considerar la presencia de la sobrecarga, la altura de ésta siempre que no exista ningún elemento funcional opaco más alto que pueda estar situado por delante de ella según el sentido de actuación del viento que se esté considerando.

Por lo tanto si las barandillas son permeables al paso del aire, no se considerarán en la determinación de esta altura equivalente y el empuje que transmiten y soportan se calculará de forma independiente.

El coeficiente de fuerza c_f en la dirección x se determinará mediante la fórmula:

$$C_{f,x} = 2,5 - 0,3(B/heq)$$

Donde:

- B: anchura total del tablero(m).
- heq: altura equivalente(m).

Empuje horizontal transversal sobre la pasarela:

- sin sobrecarga de uso (heq = 1,10; $c_{f,y} = 1,736$): **$F_y = 1,601 \text{ KN/m}$**
- con sobrecarga de uso (heq = 1,47; $c_{f,y} = 1,929$): **$F_y = 2,378 \text{ KN/m}$**

EMPUJE VERTICAL

Se considerará un empuje vertical, en dirección Z, sobre el tablero actuando en el sentido más desfavorable, igual a:

$$F_{w,z} = \left[\frac{1}{2} \rho v_b^2(T) \right] c_e(z) c_{f,z} A_{ref,z}$$

Donde:

- $F_{w,z}$: empuje vertical de viento [N].
- $c_{f,z}$: coeficiente de fuerza en la dirección vertical Z, que se tomará igual a $\pm 0,9$.
- $A_{ref,z}$: área en planta del tablero [m²].

Se procede de la misma forma que para el horizontal, variando únicamente la sección de aplicación del empuje, siendo el empuje vertical **$F_z = 2,11 \text{ KN/m}$** .

MOMENTO DE VUELCO SOBRE EL TABLERO

A continuación se calcula el momento de vuelco ejercido por la acción combinada de los empujes transversal y vertical, calculados anteriormente. Para ello se supondrá que:



- El empuje horizontal se aplica a una altura medida desde la base del tablero igual al 60% de la altura equivalente.
- El empuje vertical está aplicado a una distancia del borde de barlovento igual a un cuarto de la anchura del tablero.

Para calcular el momento de vuelco se tendrá en cuenta el sentido del empuje vertical, siendo este el más desfavorable.

- Sin sobrecarga de uso: $M = 2,533 \text{ KN}\cdot\text{m/m}$
- Con sobrecarga de uso: $M = 2,889 \text{ KN}\cdot\text{m/m}$

➤ VIENTO LONGITUDINAL

La carga provocada por el viento paralelo al eje del puente, se calculará como una fracción del empuje transversal multiplicado por un coeficiente reductor. El valor de dicha fracción será del 25% para elementos sólidos y del 50% para elementos que presenten huecos. El coeficiente reductor será el definido por la siguiente expresión:

$$1 - \left[\frac{7}{c_0 \ln \left(\frac{z}{z_0} \right) + 7} \right] \Phi [L/L(z)]$$

Donde:

- C_0 : factor de topografía definido anteriormente.
- $\Phi [L/L(z)] = 0,230 + 0,182 \ln [L/L(z)]$
siendo: $0 \leq \Phi [L/L(z)] \leq 1$
- L: longitud sobre la cual actúa el empuje longitudinal [m]. Se tomará igual a la longitud total del puente.
- L(z): longitud integral de la turbulencia [m] definida por:

$$L(z) = \begin{cases} 300(z_{min}/200)^\alpha & \text{para } z < z_{min} \\ 300(z/200)^\alpha & \text{para } z_{min} \leq z \leq 200 \\ 300 & \text{para } z > 200 \end{cases}$$

- z: altura del punto de aplicación del empuje respecto del terreno o de la cota mínima del nivel de agua bajo el puente [m].
- z_0, z_{min} : coeficientes definidos anteriormente.
- α : coeficiente según tipo de entorno, definido en la siguiente tabla.

TIPO DE ENTORNO	α
0	0,38
I	0,44
II	0,52
III	0,61
IV	0,67

Coeficiente α según el tipo de entorno.

Empuje horizontal longitudinal sobre la pasarela:

- Sin sobrecarga de uso: $F_x = 0,275 \text{ KN/m}$
- Con sobrecarga de uso: $F_x = 0,408 \text{ KN/m}$

➤ EMPUJE DEL VIENTO SOBRE PILAS

Este empuje se obtendrá en función del área de referencia y del coeficiente de fuerza adecuado a la forma de su sección transversal. En la siguiente figura se indican los coeficientes de fuerza de las secciones de cálculo más habituales.

Se tomará como área de referencia la proyección del área sólida expuesta sobre el plano perpendicular a la dirección del viento.



	$\frac{B}{h}$	$\leq 0,2$	0,4	0,6	0,7	1,0	2,0	5,0	$\geq 10,0$
	c_f	2,0	2,2	2,35	2,4	2,1	1,65	1,0	0,9
			sección circular con superficie lisa y tal que: $\emptyset v_b(T) \sqrt{c_e(z)} > 6 \text{ m}^2/\text{s}$ $c_f = 0,7$		sección circular con superficie rugosa (*), o lisa tal que: $\emptyset v_b(T) \sqrt{c_e(z)} < 6 \text{ m}^2/\text{s}$ $c_f = 1,2$				

Coefficientes de fuerza c_f para las secciones más habituales.

En nuestro caso particular tenemos pilas rectangulares divididas en varios grupos, por lo que tenemos diferente empuje para cada grupo en función de sus dimensiones en planta y de la dirección del viento considerada.

GRUPO DE PILAS	C_f	EMPUJE EN X (KN/m)	EMPUJE EN Y (KN/m)
1	2,1	0,560	0,639
2	1,65	0,423	0,423
3	1,91	0,403	0,576

4.2.3.4 ACCIÓN TÉRMICA

Según se indica en la IAP-11, para evaluar el efecto de la acción térmica se considerarán los siguientes tipos de tablero:

- Tipo 1: tablero de acero.
- Tipo 2: tableros mixtos.
- Tipo 3: tablero de hormigón armado o pretensado.

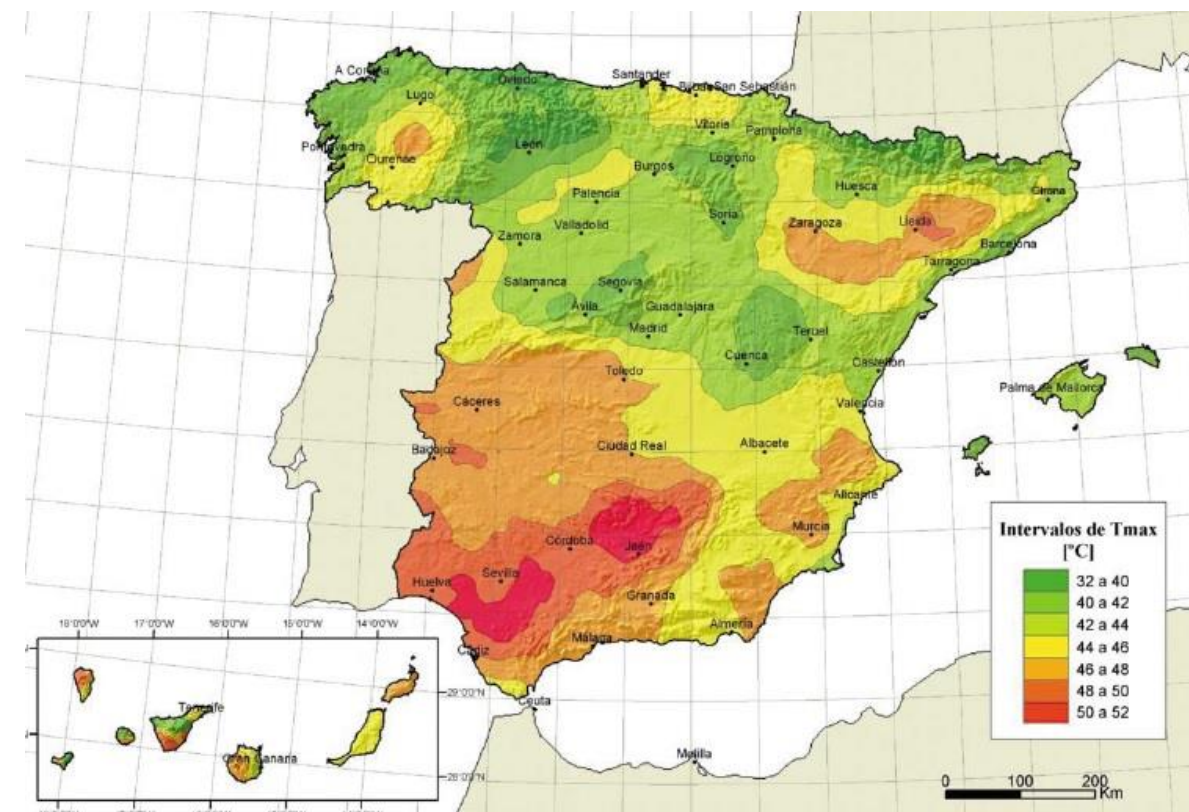
En el cálculo de la pasarela proyectada se evaluarán las acciones térmicas considerando la componente uniforme de temperatura y la componente de la diferencia de temperatura vertical.

Dado que el modelo empleado para el cálculo de nuestra pasarela sólo tiene en cuenta la estructura metálica, ya que el forjado colaborante se calcula por separado, tenemos a efectos de cálculo de la acción térmica un tablero Tipo 1.

➤ COMPONENTE UNIFORME DE LA TEMPERATURA

Para calcular los efectos de la componente uniforme de temperatura se partirá del valor de la temperatura del aire a la sombra en lugar del emplazamiento del puente.

El valor característico de la temperatura máxima del aire para un período de retorno de 50 años será en nuestro caso $T_{\max} = 40^\circ$ como se puede deducir del mapa de isotermas siguiente.



Isotermas de la temperatura máxima anual del aire, T_{\max} .



El valor característico de la temperatura mínima para un período de retorno de 50 años será igual a $T_{min} = -10^{\circ}\text{C}$ según indica la siguiente tabla en función de la altitud del emplazamiento y de la zona climática invernal, que se deduce a su vez del mapa siguiente.

ALTITUD [m]	ZONA DE CLIMA INVERNAL (SEGÚN FIGURA 4.3-b)						
	1	2	3	4	5	6	7
0	-7	-11	-11	-6	-5	-6	6
200	-10	-13	-12	-8	-8	-8	5
400	-12	-15	-14	-10	-11	-9	3
600	-15	-16	-15	-12	-14	-11	2
800	-18	-18	-17	-14	-17	-13	0
1000	-20	-20	-19	-16	-20	-14	-2
1200	-23	-21	-20	-18	-23	-16	-3
1400	-26	-23	-22	-20	-26	-17	-5
1600	-28	-25	-23	-22	-29	-19	-7
1800	-31	-26	-25	-24	-32	-21	-8
2000	-33	-28	-27	-26	-35	-22	-10

Temperatura mínima anual del aire, T_{min} ($^{\circ}\text{C}$).



Zonas climáticas de invierno.

Para un periodo de retorno de 100 años se deben ajustar los valores de $T_{max,p}$ y $T_{min,p}$ según las siguientes expresiones :

$$T_{max,p} = T_{max} \{k_1 - k_2 \ln [-\ln (1 - p)]\}$$

$$T_{min,p} = T_{min} \{k_3 + k_4 \ln [-\ln (1 - p)]\}$$

Siendo p el inverso del periodo de retorno y considerando para los coeficientes los valores: $k_1 = 0,781$; $k_2 = 0,056$; $k_3 = 0,393$; $k_4 = -0,156$.

Sustituyendo nuestros datos en las fórmulas anteriores tenemos:

- $T_{max,1/100} = 41,544^{\circ}\text{C}$
- $T_{min,1/100} = -11,106^{\circ}\text{C}$

La componente uniforme de la temperatura tendrá un valor máximo y un valor mínimo dados por las siguientes expresiones:

- $T_{e,min} = T_{min} + \Delta T_{e,min}$
- $T_{e,max} = T_{max} + \Delta T_{e,max}$

Donde T_{min} y T_{max} tienen los valores calculados anteriormente para un periodo de retorno de 100 años. $\Delta T_{e,min}$ y $\Delta T_{e,max}$ vienen indicados en la tabla siguiente en función del tipo de tablero.

TIPO DE TABLERO	$\Delta T_{e,min}$ [$^{\circ}\text{C}$]	$\Delta T_{e,max}$ [$^{\circ}\text{C}$]
Tipo 1: Tablero de acero	-3	+16
Tipo 2: Tablero mixto	+4	+4
Tipo 3: Tablero de hormigón	+8	+2

Valores de $\Delta T_{e,min}$ y $\Delta T_{e,max}$ para el cálculo de la componente uniforme de temperatura.

Tomamos entonces $\Delta T_{e,min} = -3^{\circ}\text{C}$ Y $\Delta T_{e,max} = 16^{\circ}\text{C}$, con un coeficiente de dilatación térmica para acero estructural de $\alpha_T = 12 \cdot 10^{-6} \text{ }^{\circ}\text{C}^{-1}$.

A partir de los valores característicos máximo y mínimo de la componente uniforme de temperatura y a partir de la temperatura inicial T_0 (temperatura media del tablero en el momento en que se coacciona su movimiento), se obtendrán los rangos de variación térmica que permitan determinar la contracción y la dilatación máximas del tablero, según lo indicado en los párrafos siguientes. El valor característico de la máxima variación de la componente uniforme de temperatura en contracción será:

$$- \Delta T_{N,CON} = 15^{\circ}\text{C} - T_{e,min} = -29^{\circ}\text{C}$$



El valor característico de la máxima variación de la componente uniforme de temperatura en dilatación será.

$$- \Delta T_{N,EXP} = T_{e,max} - 15^{\circ}C = 42,544^{\circ}C$$

➤ **COMPONENTE DE LA DIFERENCIA DE TEMPERATURA**

DIFERENCIA VERTICAL

Calculamos aquí la diferencia de temperatura entre las fibras extremas de la sección del tablero. Para tableros de acero (Tipo 1) o tableros de hormigón (Tipo 3), los valores del gradiente de temperatura en el canto de la sección transversal, tanto de calentamiento $\Delta T_{M,heat}$ como de enfriamiento $\Delta T_{M,cool}$ vienen dados por la siguiente tabla.

TIPO DE TABLERO	FIBRA SUPERIOR MÁS CALIENTE	FIBRA SUPERIOR MÁS FRÍA
	$\Delta T_{M,heat}$ [°C]	$\Delta T_{M,cool}$ [°C]
Tipo 1: Tablero de acero	18	13
Tipo 3: Tablero de hormigón		
— Sección cajón	10	5
— Sección de vigas	15	8
— Sección losa	15	8

Componente lineal de la diferencia vertical de temperatura.

Vista la tabla, para nuestro tablero Tipo 1 tenemos:

- $\Delta T_{M,heat} = 18^{\circ}C$
- $\Delta T_{M,cool} = 13^{\circ}C$

DIFERENCIA HORIZONTAL

Dadas las características geométricas del tablero, no será necesario tener en cuenta la diferencia horizontal de temperatura.

4.2.3.5 NIEVE

De acuerdo con la instrucción IAP-11, en general, sólo será necesario considerar la sobrecarga de nieve en puentes situados en zonas de alta montaña o durante la construcción. Dado que no estamos

en zona de montaña, y que el período de construcción de la pasarela es lo suficientemente breve, además del fin académico del presente proyecto, no se considerará la sobrecarga de nieve en el cálculo.

4.2.4 ACCIONES ACCIDENTALES (A)

4.2.4.1 IMPACTO DE VEHÍCULOS CONTRA ELEMENTOS ESTRUCTURALES DE LA PASARELA

El impacto de un vehículo contra un elemento estructural se asimilará a la actuación de una carga estática cuya resultante se encuentre situada entre 0,5 y 1,5 metros sobre la superficie del pavimento, e igual en valor a 1000 kilonewtons en la dirección del tráfico y a 500 kilonewtons en sentido perpendicular a dicha dirección. Esta carga podrá considerarse aplicada sobre una superficie o zona de choque no mayor a 1,5 metros de ancho por 0,5 metros de altura. A efectos de cálculo no será necesario considerar la actuación simultánea de ambos esfuerzos.

El impacto de un vehículo contra un elemento estructural se asimilará a la actuación de una carga estática cuya resultante se encuentre situada entre 0,5 y 1,5 metros sobre la superficie del pavimento, e igual en valor a 1000 kilonewtons en la dirección del tráfico y a 500 kilonewtons en sentido perpendicular a dicha dirección. Esta carga podrá considerarse aplicada sobre una superficie o zona de choque no mayor a 1,5 metros de ancho por 0,5 metros de altura. A efectos de cálculo no será necesario considerar la actuación simultánea de ambos esfuerzos.

No será necesario considerar el impacto de un vehículo contra el tablero si la altura libre del mismo es mayor o igual que el gálibo vertical mínimo reglamentario o si se disponen elementos de protección dimensionados para soportar las cargas del párrafo anterior sin que se produzca afección al tablero.

4.2.4.2 ACCIÓN SÍSMICA

En lo referente a acciones sísmicas, tal y como se especificó en el correspondiente Anejo Sísmico, la aceleración de cálculo no supera los 0.06g y por tanto no es necesaria la inclusión de las mismas en el presente cálculo.

4.3 VALORES REPRESENTATIVOS DE LAS ACCIONES

El valor representativo de una acción es el valor de la misma utilizado para la verificación de los estados límite. Una misma acción podrá tener un único o varios valores representativos en función del tipo de acción.



4.3.1 ACCIONES PERMANENTES

Para las acciones permanentes se considerará un único valor representativo, coincidente con el valor característico G_k o G_k^* .

4.3.2 ACCIONES VARIABLES

Cada una de las acciones variables podrá considerarse con los siguientes valores representativos:

- Valor característico Q_k : será el valor de la acción cuando actúe aisladamente.
- Valor de combinación $\psi_0 \cdot Q_k$: será el valor de la acción cuando actúe con alguna otra acción variable, para tener en cuenta la escasa probabilidad de que actúen simultáneamente los valores más desfavorables de varias acciones independientes.
- Valor frecuente combinación $\psi_1 \cdot Q_k$: será el valor de la acción que sea sobrepasado durante un período de corta duración respecto a la vida útil del puente (5% del tiempo). Corresponde a un período de retorno de una semana.
- Valor casi-permanente $\psi_2 \cdot Q_k$: será el valor de la acción que sea sobrepasado durante gran parte de la vida útil del puente (50% o más del tiempo), o bien el valor medio.

Los valores de los coeficientes para pasarelas peatonales se pueden ver en la tabla siguiente:

ACCIÓN	ψ_0	ψ_1	ψ_2
Sobrecarga de uso en pasarelas	0,40	0,40	0,00
Viento en pasarelas	0,30	0,20	0,00
Acción térmica	0,60	0,60	0,50

4.4 VALORES DE CÁLCULO DE LAS ACCIONES

Los valores de cálculo de las diferentes acciones serán los obtenidos aplicando el correspondiente coeficiente parcial de seguridad γ_F a los valores representativos de las acciones definidos en el apartado anterior.

4.4.1 ESTADOS LÍMITE ÚLTIMOS (ELU)

Para los coeficientes parciales de seguridad γ_F se adoptarán los valores básicos recogidos en la siguiente tabla, extraída de la norma IAP-11, tomando sólo aquellos valores que serán de aplicación en el presente proyecto.

ACCIÓN	EFECTO		
	FAVORABLE	DESFAVORABLE	
PERMANENTE DE VALOR CONSTANTE (G)	Peso propio	1,00	1,35
	Cargas muertas	1,00	1,35
VARIABLE (Q)	Sobrecarga de uso	0,00	1,35
	Acciones climáticas	0,00	1,35

4.4.2 ESTADOS LÍMITE DE SERVICIO (ELS)

Para los coeficientes parciales de seguridad γ_F se adoptarán los valores básicos recogidos en la siguiente tabla, extraída de la norma IAP-11, tomando sólo aquellos valores que serán de aplicación en el presente proyecto.

ACCIÓN	EFECTO		
	FAVORABLE	DESFAVORABLE	
PERMANENTE DE VALOR CONSTANTE (G)	Peso propio	1,00	1,00
	Cargas muertas	1,00	1,00
VARIABLE (Q)	Sobrecarga de uso	0,00	1,00
	Acciones climáticas	0,00	1,00

4.5 COMBINACIONES DE ACCIONES

Las hipótesis de carga a considerar se formarán combinando los valores de cálculo de las secciones cuya actuación pueda ser simultánea, según los criterios generales que se indican a continuación.

4.5.1 ESTADOS LÍMITE ÚLTIMOS (ELU)

En situaciones persistentes o transitorias las combinaciones de las distintas acciones consideradas, excepto en E.L.U de fatiga, se realizarán de acuerdo con el siguiente criterio.

$$\sum_{j \geq 1} \gamma_{G,j} G_{k,j} + \sum_{m \geq 1} \gamma_{G,m} G_{k,m}^* + \gamma_{Q,1} Q_{k,1} + \sum_{i \geq 1} \gamma_{Q,i} \psi_{0,i} Q_{k,i}$$

Donde:

- $G_{k,j}$: valor característico de cada acción permanente.
- $G_{k,m}^*$: valor característico de cada acción permanente de valor no constante.



- $Q_{k,1}$: valor característico de la acción variable dominante.
- $\psi_{0,i}Q_{k,i}$: valor de combinación de las acciones variables concomitantes con la acción variable dominante.
- γ_G, γ_Q : coeficientes parciales.

En general, deberán realizarse tantas hipótesis o combinaciones como sea necesario, considerando en cada una de ellas una de las acciones variables como dominante y el resto como concomitantes.

4.5.2 ESTADOS LÍMITE DE SERVICIO (ELS)

Para estos estados se considerarán únicamente las situaciones persistentes y transitorias, excluyéndose las accidentales.

Las combinaciones de las distintas acciones consideradas en estas situaciones, se realizarán de acuerdo con el siguiente criterio:

- Combinación característica (poco probable o rara):

$$\sum_{j \geq 1} \gamma_{G,j} G_{k,j} + \sum_{m \geq 1} \gamma_{G,m} G_{k,m}^* + \gamma_{Q,1} Q_{k,1} + \sum_{i \geq 1} \gamma_{Q,i} \psi_{0,i} Q_{k,i}$$

- Combinación frecuente:

$$\sum_{j \geq 1} \gamma_{G,j} G_{k,j} + \sum_{m \geq 1} \gamma_{G,m} G_{k,m}^* + \gamma_{Q,1} \psi_{1,1} Q_{k,1} + \sum_{i \geq 1} \gamma_{Q,i} \psi_{2,i} Q_{k,i}$$

- Combinación casi-permanente:

$$\sum_{j \geq 1} \gamma_{G,j} G_{k,j} + \sum_{m \geq 1} \gamma_{G,m} G_{k,m}^* + \sum_{i \geq 1} \gamma_{Q,i} \psi_{2,i} Q_{k,i}$$

5. ANÁLISIS DE LA ESTRUCTURA

En este apartado se describen y justifican, tanto las dimensiones de los distintos elementos como el cumplimiento de las condiciones de estabilidad, resistencia, rigidez, durabilidad, etc., de la pasarela proyectada en su conjunto y de cada una de las partes en que pueda suponerse dividida, con objeto de asegurar el buen servicio de la misma. Para ello se ha realizado un modelo de cálculo en el programa SAP2000 v15, asumiendo las hipótesis y simplificaciones adecuadas y necesarias.

El análisis realizado permite obtener los esfuerzos y los movimientos de la estructura para las acciones a las que estará sometida con el fin de realizar las comprobaciones y verificaciones necesarias tanto para ELU como para ELS. Como guía para todo el proceso se han seguido el CTE y la RPM-95.

5.1 MATERIALES

Se exponen aquí las características de los materiales que se requieren para la construcción de la pasarela objeto de este proyecto, para lo cual se han consultado la RPM-95, la EAE, la EHE-08 y catálogos comerciales proporcionados por los propios fabricantes en algunos elementos específicos.

5.1.1 ACERO ESTRUCTURAL

El acero empleado en los elementos estructurales es un S275JR, cuyas características mecánicas se exponen a continuación.

DESIGNACIÓN	Espesor nominal t (mm)				Temperatura del ensayo Charpy °C
	Tensión de límite elástico f_y (N/mm ²)			Tensión de rotura f_u (N/mm ²)	
	t ≤ 16	16 < t ≤ 40	40 < t ≤ 63	3 ≤ t ≤ 100	
S235JR					20
S235J0	235	225	215	360	0
S235J2					-20
S275JR					20
S275J0	275	265	255	410	0
S275J2					-20
S355JR					20
S355J0	355	345	335	470	0
S355J2					-20
S355K2					-20 ⁽¹⁾
S450J0	450	430	410	550	0

Características mecánicas mínimas de los aceros según DBSE-A (CTE).



Las siguientes características son comunes a todos los aceros:

- Módulo de elasticidad (E): 210.000 MPa
- Módulo de elasticidad transversal (G): 81.000 MPa
- Coeficiente de Poisson (ν): 0,3
- Coeficiente de dilatación térmica (α): $12 \cdot 10^{-6} \text{ }^\circ\text{C}^{-1}$
- Densidad (ρ): 7850 kg/m³

5.1.2 ACERO PARA ARMADURAS

Para el armado del hormigón se emplean barras de acero corrugado B500S cuyas características principales se recogen en la siguiente tabla de la EHE-08.

Tipo de acero		Acero soldable		Acero soldable con características especiales de ductilidad	
Designación		B 400 S	B 500 S	B 400 SD	B 500 SD
Límite elástico, f_y (N/mm ²) ⁽¹⁾		≥ 400	≥ 500	≥ 400	≥ 500
Carga unitaria de rotura, f_s (N/mm ²) ⁽¹⁾		≥ 440	≥ 550	≥ 480	≥ 575
Alargamiento de rotura, $\epsilon_{u,5}$ (%)		≥ 14	≥ 12	≥ 20	≥ 16
Alargamiento total bajo carga máxima, $\epsilon_{m\acute{a}x}$ (%)	Acero suministrado en barra	≥ 5,0	≥ 5,0	≥ 7,5	≥ 7,5
	Acero suministrado en rollo ⁽³⁾	≥ 7,5	≥ 7,5	≥ 10,0	≥ 10,0
Relación f_s/f_y ⁽²⁾		≥ 1,05	≥ 1,05	$1,20 \leq f_s/f_y \leq 1,35$	$1,15 \leq f_s/f_y \leq 1,35$
Relación $f_{y\text{real}}/f_{y\text{nominal}}$		—	—	≤ 1,20	≤ 1,25

Tipos de acero corrugado.

Los diámetros nominales empleados en las barras corrugadas deberán estar comprendidos entre los definidos en la siguiente serie:

6 - 8 - 10 - 12 - 14 - 16 - 20 - 25 - 32 - 40 mm

5.1.3 HORMIGÓN ARMADO

Se utilizará hormigón armado en los elementos de cimentación (zapatas, estribos), así como en el forjado colaborante que constituye el pavimento de la pasarela. Sus características mecánicas se describen a continuación:

- Módulo de elasticidad E : 30.000 Mpa
- Módulo de elasticidad transversal (G): 12.500 Mpa
- Coeficiente de Poisson (ν): 0,2
- Coeficiente de dilatación térmica (α): $10 \cdot 10^{-6} \text{ }^\circ\text{C}^{-1}$
- Densidad (ρ): 2500 kg/m³

El grado de exposición ambiental en el que se encuentra la pasarela, según se define en la tabla 8.2.2 recogida en el capítulo 2 de la EHE-08, es un grado IIa. La resistencia mínima para hormigón armado en ambiente IIa es de 25 N/mm². En nuestro caso utilizaremos un hormigón HA-30/B/20/IIa, con resistencia característica a compresión a 28 días de 30 N/mm², consistencia blanda, tamaño máximo de árido de 20mm y ambiente de exposición de grado IIa.

5.2 MODELO DE CÁLCULO

Dada la compleja geometría de la estructura, se ha realizado un modelo de barras en tres dimensiones mediante el programa AutoCAD Civil3D que posteriormente se ha exportado al programa de cálculo de estructuras SAP2000v15. Este programa nos permite realizar un análisis preciso y minucioso de la estructura, proporcionando esfuerzos y desplazamientos.

La pasarela se ha modelizado mediante elementos barra (Frame), cuyos nudos de unión (Joints) han sido definidos como nudos rígidos por tratarse de uniones soldadas. Únicamente en aquellos nudos en los cuales se disponen apoyos elastoméricos la unión se realiza mediante enlaces (Links) con sus respectivas rigideces previamente calculadas.

Los movimientos de la pasarela se restringen en tres zonas:

- En la base de las pilas se disponen empotramientos para modelizar su conexión con los elementos de cimentación fijos en el terreno.
- En los extremos de las rampas se disponen enlaces elásticos que simulan el funcionamiento de los aparatos de apoyo elastoméricos o neoprenos.



- En el tramo central, en las pilas más cercanas a la junta de dilatación, si disponen enlaces elásticos entre el tablero y las pilas para permitir el desplazamiento horizontal y el correcto funcionamiento de la junta.

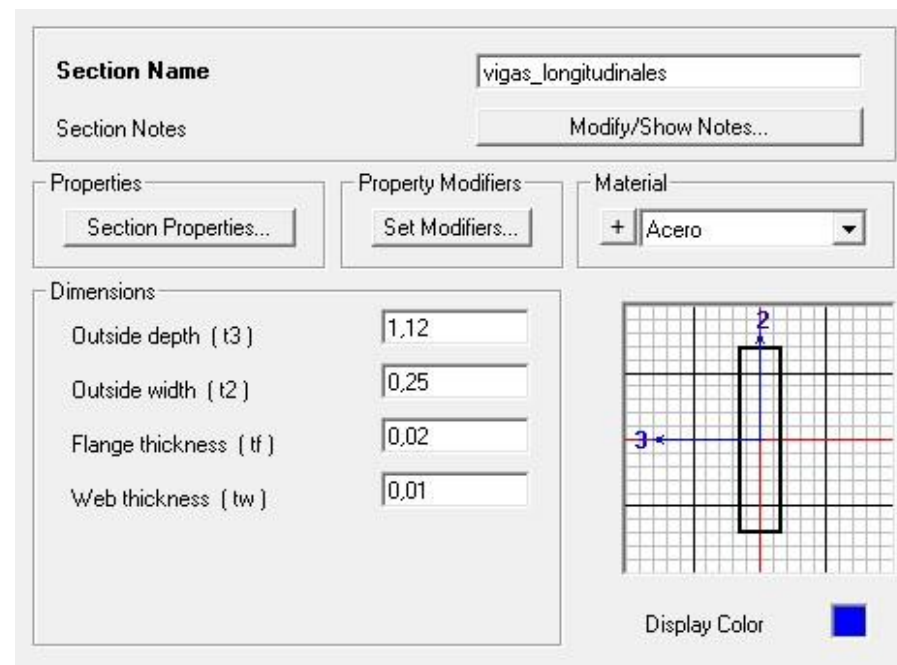
Para el dimensionamiento de los aparatos de apoyo elastoméricos se han realizado dos modelos de cálculo. En un primer modelo se dispusieron apoyos móviles que restringían el movimiento vertical y permitían giros y desplazamiento horizontal. Una vez obtenidas las reacciones y los desplazamientos en el primer modelo, se dimensionaron los aparatos de apoyo, y se introdujeron los enlaces elásticos con los que quedaba definido el modelo de cálculo final.

5.2.1 SECCIONES PRINCIPALES

Se exponen a continuación las distintas secciones transversales empleadas en la estructura, que han sido optimizadas mediante el módulo Steel Frame Desing del programa SAP2000v15.

VIGAS LONGITUDINALES

Se trata de vigas armadas de sección rectangular, de 1,12 m de alto, 0,25 m de ancho, con espesor de alas de 0,02 m y espesor de alma de 0,01 m.



Vigas longitudinales.

BARRAS TRANSVERSALES

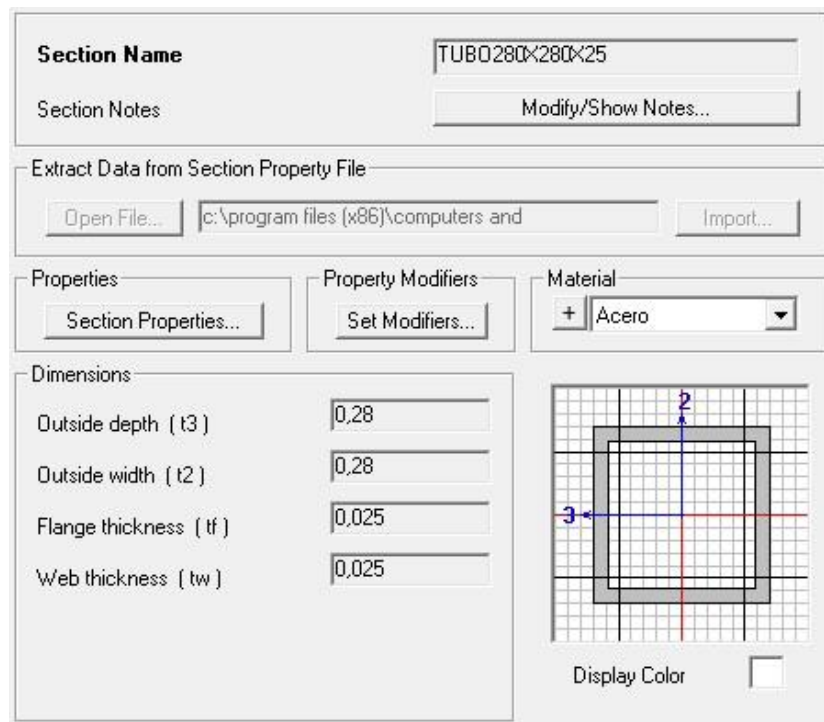
Tenemos dos secciones normalizadas de distinto espesor en diferentes tramos según la exigencia estructural, una de 140x140x10 mm y otra de 140x140x14,2 mm.



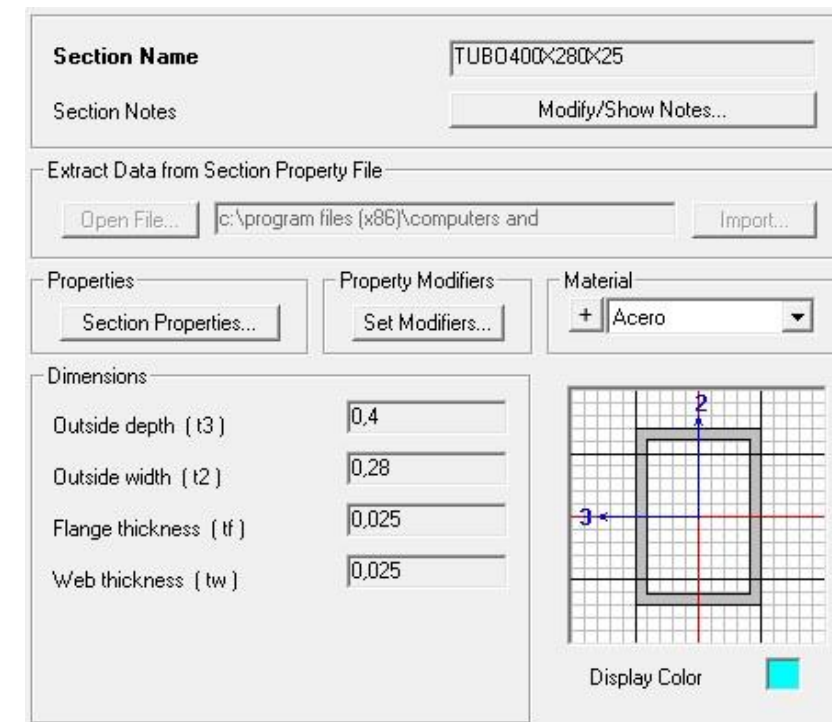
Ejemplo Barras transversales.

DINTELES

Estas barras tienen una sección normalizada de 280x280x25mm y sirven de apoyo al tablero en la zona donde se sitúa la junta de dilatación, estando soldadas a las pilas en sus extremos formando sendos pórticos.



Dinteles.



Ejemplo Pilas.

PILAS

La estructura contiene un total de 16 pilas, las cuales están dispuestas en parejas que forman cada uno de los apoyos del tablero. En cuanto a su sección transversal, podemos dividir el conjunto de las pilas en los tres grupos siguientes:

GRUPO DE PILAS	SECCIÓN TRANSVERSAL
1	400x280x25
2	400x280x16
3	240x240x16

CLASIFICACIÓN DE LAS SECCIONES

Según la capacidad de deformación y de desarrollo de la resistencia plástica de los elementos planos comprimidos de una sección solicitada por un momento flector, ésta se clasifica en una de las cuatro clases siguientes:

- Clase 1, plástica: permiten la formación de la rótula plástica con la capacidad de rotación suficiente para la redistribución de momentos.
- Clase 2, compacta: permiten el desarrollo del momento plástico con una capacidad de rotación limitada.
- Clase 3, elástica: en la fibra más comprimida se puede alcanzar el límite elástico del acero pero la abolladura impide el desarrollo del momento plástico.
- Clase 4, esbelta: los elementos total o parcialmente comprimidos de las secciones esbeltas se abollan antes de alcanzar el límite elástico en la fibra más comprimida.

La clasificación de una sección dentro de cada grupo es función de sus dimensiones geométricas, características mecánicas del material y del plano de deformaciones correspondiente al momento último.



En el caso que nos ocupa todas las secciones son de Clase 1 excepto las vigas longitudinales que son de clase 3.

5.2.2 ACCIONES EN EL MODELO

Se detallan en este apartado las acciones que actúan sobre el modelo de cálculo. En el Apéndice 2 se describen más detalladamente las acciones, los casos de carga y las combinaciones introducidas.

- Ppestructura: peso propio de todas las barras que componen la estructura metálica.
- Ppforjado: peso del forjado colaborante.
- CM: cargas muertas correspondientes a las barandillas.
- SC_1: sobrecarga de uso en toda la pasarela.
- SC_2: sobrecarga de uso en la rampa1.
- SC_3: sobrecarga de uso en vano1.
- SC_4: sobrecarga de uso en vano2.
- SC_5: sobrecarga de uso en vano3.
- SC_6: sobrecarga de uso en la rampa2.
- SC_7: sobrecarga de uso en la rampa3.
- VT-sinSC(S-N): viento transversal sin sobrecarga en sentido Sur-Norte.
- VT-sinSC(N-S): viento transversal sin sobrecarga en sentido Norte-Sur.
- VT-conSC(S-N): viento transversal con sobrecarga en sentido Sur-Norte.
- VT-conSC(N-S): viento transversal con sobrecarga en sentido Norte-Sur.
- VL-sinSC(E-O): viento longitudinal sin sobrecarga en sentido Este-Oeste.
- VL-sinSC(O-E): viento longitudinal sin sobrecarga en sentido Oeste-Este.
- VL-conSC(E-O): viento longitudinal con sobrecarga en sentido Este-Oeste.
- VL-conSC(O-E): viento longitudinal con sobrecarga en sentido Oeste-Este.
- VPIL(N-S): viento sobre pilas en sentido Norte-Sur.
- VPIL(S-N): viento sobre pilas en sentido Sur-Norte.
- VPIL(E-O): viento sobre pilas en sentido Este-Oeste.
- VPIL(O-E): viento sobre pilas en sentido Oeste-Este.
- TU-DIL: temperatura uniforme de dilatación.
- TU-CON: temperatura uniforme de contracción.
- GV-POS: gradiente vertical positivo.
- GV-NEG: gradiente vertical negativo.

5.2.3 DEFINICIÓN DE COMBINACIONES EN ELU Y ELS

Para realizar las combinaciones de acciones se han seguido las indicaciones de la IAP-11, que nos dice que deberán realizarse tantas hipótesis o combinaciones como sea necesario, considerando, en cada una de ellas, una de las acciones variables como dominante y el resto como concomitantes.

Al combinar las diferentes acciones variables, se tendrán en cuenta las prescripciones siguientes:

- La sobrecarga de uso estará representada, para su combinación con el resto de las acciones, mediante los grupos de cargas definidos en la tabla 4.1-c, que son excluyentes entre sí.
- Cuando se considere el viento transversal sobre el tablero, se considerará la actuación simultánea de la componente vertical del viento y el momento de vuelco correspondiente, definidos en el apartado 4.2.5.1.
- La concomitancia de la componente uniforme de temperatura y de la componente de la diferencia de temperatura se regirá por lo expuesto en el apartado 4.3.1.3.
- Cuando se considere el viento longitudinal sobre el tablero, según el apartado 4.2.5.2, no se considerará la acción simultánea del viento transversal, ni el empuje vertical, ni el momento de vuelco correspondiente.
- Cuando se considere la acción del viento como predominante, no se tendrá en cuenta la acción de la sobrecarga de uso.
- Cuando se considere el grupo de cargas de tráfico gr 2 (fuerzas horizontales con su valor característico), no se considerará la acción del viento ni de la nieve.
- Cuando se considere la sobrecarga de uso como predominante, se considerará el viento concomitante correspondiente, con las indicaciones que figuran en el apartado 4.2.3.
- No se considerará la acción simultánea del viento y de la acción térmica.
- En general, no se considerará la acción simultánea de la carga de nieve y de la sobrecarga de uso salvo en zonas de alta montaña, en cuyo caso se estudiará para el proyecto concreto la distribución espacial y la concomitancia de ambas acciones.

En las tablas siguientes se pueden consultar las combinaciones realizadas tanto para estado límite último como para estado límite de servicio (características, frecuentes y casi-permanentes). Se remarcan en un azul más intenso las acciones variables consideradas como dominantes en cada combinación.



COMBINACIONES ELU

COMBINACIÓN	CP	SC_1	SC_2	SC_3	SC_4	SC_5	SC_6	VT(N-S)	VT(S-N)	VT-SC(N-S)	VT-SC(S-N)	VL(E-O)	VL(O-E)	VL-SC(E-O)	VL-SC(O-E)	TU-DIL	TU-CON	GV-POS	GV-NEG
ELU_1	1,35	1,35	0	0	0	0	0	0	0	0	0	0	0	0	0	0	0	0	0
ELU_2	1,35	1,35	0	0	0	0	0	0	0	0,45	0	0	0	0	0	0	0	0	0
ELU_3	1,35	1,35	0	0	0	0	0	0	0	0	0,45	0	0	0	0	0	0	0	0
ELU_4	1,35	1,35	0	0	0	0	0	0	0	0	0	0	0	0	0	0,9	0	0,9	0
ELU_5	1,35	1,35	0	0	0	0	0	0	0	0	0	0	0	0	0	0	0,9	0	0,9
ELU_6	1,35	1,35	0	0	0	0	0	0	0	0	0	0	0	0,45	0	0	0	0	0
ELU_7	1,35	1,35	0	0	0	0	0	0	0	0	0	0	0	0	0,45	0	0	0	0
ELU_8	1,35	0	1,35	0	0	0	0	0	0	0	0	0	0	0	0	0	0	0	0
ELU_9	1,35	0	1,35	0	0	0	0	0	0	0,45	0	0	0	0	0	0	0	0	0
ELU_10	1,35	0	1,35	0	0	0	0	0	0	0	0,45	0	0	0	0	0	0	0	0
ELU_11	1,35	0	1,35	0	0	0	0	0	0	0	0	0	0	0	0	0,9	0	0,9	0
ELU_12	1,35	0	1,35	0	0	0	0	0	0	0	0	0	0	0	0	0	0,9	0	0,9
ELU_13	1,35	0	1,35	0	0	0	0	0	0	0	0	0	0	0,45	0	0	0	0	0
ELU_14	1,35	0	1,35	0	0	0	0	0	0	0	0	0	0	0	0,45	0	0	0	0
ELU_15	1,35	0	0	1,35	0	0	0	0	0	0	0	0	0	0	0	0	0	0	0
ELU_16	1,35	0	0	1,35	0	0	0	0	0	0,45	0	0	0	0	0	0	0	0	0
ELU_17	1,35	0	0	1,35	0	0	0	0	0	0	0,45	0	0	0	0	0	0	0	0
ELU_18	1,35	0	0	1,35	0	0	0	0	0	0	0	0	0	0	0	0,9	0	0,9	0
ELU_19	1,35	0	0	1,35	0	0	0	0	0	0	0	0	0	0	0	0	0,9	0	0,9
ELU_20	1,35	0	0	1,35	0	0	0	0	0	0	0	0	0	0,45	0	0	0	0	0
ELU_21	1,35	0	0	1,35	0	0	0	0	0	0	0	0	0	0	0,45	0	0	0	0
ELU_22	1,35	0	0	0	1,35	0	0	0	0	0	0	0	0	0	0	0	0	0	0
ELU_23	1,35	0	0	0	1,35	0	0	0	0	0,45	0	0	0	0	0	0	0	0	0
ELU_24	1,35	0	0	0	1,35	0	0	0	0	0	0,45	0	0	0	0	0	0	0	0
ELU_25	1,35	0	0	0	1,35	0	0	0	0	0	0	0	0	0	0	0,9	0	0,9	0
ELU_26	1,35	0	0	0	1,35	0	0	0	0	0	0	0	0	0	0	0	0,9	0	0,9
ELU_27	1,35	0	0	0	1,35	0	0	0	0	0	0	0	0	0,45	0	0	0	0	0
ELU_28	1,35	0	0	0	1,35	0	0	0	0	0	0	0	0	0	0,45	0	0	0	0
ELU_29	1,35	0	0	0	0	1,35	0	0	0	0	0	0	0	0	0	0	0	0	0
ELU_30	1,35	0	0	0	0	1,35	0	0	0	0,45	0	0	0	0	0	0	0	0	0
ELU_31	1,35	0	0	0	0	1,35	0	0	0	0	0,45	0	0	0	0	0	0	0	0
ELU_32	1,35	0	0	0	0	1,35	0	0	0	0	0	0	0	0	0	0,9	0	0,9	0
ELU_33	1,35	0	0	0	0	1,35	0	0	0	0	0	0	0	0	0	0	0,9	0	0,9
ELU_34	1,35	0	0	0	0	1,35	0	0	0	0	0	0	0	0,45	0	0	0	0	0
ELU_35	1,35	0	0	0	0	1,35	0	0	0	0	0	0	0	0	0,45	0	0	0	0
ELU_36	1,35	0	0	0	0	0	1,35	0	0	0	0	0	0	0	0	0	0	0	0
ELU_37	1,35	0	0	0	0	0	1,35	0	0	0,45	0	0	0	0	0	0	0	0	0
ELU_38	1,35	0	0	0	0	0	1,35	0	0	0	0,45	0	0	0	0	0	0	0	0
ELU_39	1,35	0	0	0	0	0	1,35	0	0	0	0	0	0	0	0	0,9	0	0,9	0
ELU_40	1,35	0	0	0	0	0	1,35	0	0	0	0	0	0	0	0	0	0,9	0	0,9
ELU_41	1,35	0	0	0	0	0	1,35	0	0	0	0	0	0	0,45	0	0	0	0	0



ELU_42	1,35	0	0	0	0	0	1,35	0	0	0	0	0	0	0	0,45	0	0	0	0
ELU_43	1,35	0	0	0	0	0	0	1,5	0	0	0	0	0	0	0	0	0	0	0
ELU_44	1,35	0	0	0	0	0	0	1,5	0	0	0	0	0	0	0	0,9	0	0,9	0
ELU_45	1,35	0	0	0	0	0	0	1,5	0	0	0	0	0	0	0	0	0,9	0	0,9
ELU_46	1,35	0	0	0	0	0	0	0	1,5	0	0	0	0	0	0	0	0	0	0
ELU_47	1,35	0	0	0	0	0	0	0	0	0	0	1,5	0	0	0	0	0	0	0
ELU_48	1,35	0	0	0	0	0	0	0	0	0	0	0	1,5	0	0	0	0	0	0
ELU_49	1,35	0	0	0	0	0	0	0	0	0	0	0	0	0	0	1,5	0	0,9	0
ELU_50	1,35	0	0	0	0	0	0	0	0	0	0	0	0	0	0	0	1,5	0	0,9

COMBINACIONES ELS (CARACTERÍSTICAS)

COMBINACIÓN	CP	SC_1	SC_2	SC_3	SC_4	SC_5	SC_6	VT(N-S)	VT(S-N)	VT-SC(N-S)	VT-SC(S-N)	VL(E-O)	VL(O-E)	VL-SC(E-O)	VL-SC(O-E)	TU-DIL	TU-CON	GV-POS	GV-NEG
ELSC_1	1	1	0	0	0	0	0	0	0	0	0	0	0	0	0	0	0	0	0
ELSC_2	1	1	0	0	0	0	0	0	0	0,3	0	0	0	0	0	0	0	0	0
ELSC_3	1	1	0	0	0	0	0	0	0	0	0,3	0	0	0	0	0	0	0	0
ELSC_4	1	1	0	0	0	0	0	0	0	0	0	0	0	0	0	0,6	0	0,6	0
ELSC_5	1	1	0	0	0	0	0	0	0	0	0	0	0	0	0	0	0,6	0	0,6
ELSC_6	1	1	0	0	0	0	0	0	0	0	0	0	0	0,3	0	0	0	0	0
ELSC_7	1	1	0	0	0	0	0	0	0	0	0	0	0	0	0,3	0	0	0	0
ELSC_8	1	0	1	0	0	0	0	0	0	0	0	0	0	0	0	0	0	0	0
ELSC_9	1	0	1	0	0	0	0	0	0	0,3	0	0	0	0	0	0	0	0	0
ELSC_10	1	0	1	0	0	0	0	0	0	0	0,3	0	0	0	0	0	0	0	0
ELSC_11	1	0	1	0	0	0	0	0	0	0	0	0	0	0	0	0,6	0	0,6	0
ELSC_12	1	0	1	0	0	0	0	0	0	0	0	0	0	0	0	0	0,6	0	0,6
ELSC_13	1	0	1	0	0	0	0	0	0	0	0	0	0	0,3	0	0	0	0	0
ELSC_14	1	0	1	0	0	0	0	0	0	0	0	0	0	0	0,3	0	0	0	0
ELSC_15	1	0	0	1	0	0	0	0	0	0	0	0	0	0	0	0	0	0	0
ELSC_16	1	0	0	1	0	0	0	0	0	0,3	0	0	0	0	0	0	0	0	0
ELSC_17	1	0	0	1	0	0	0	0	0	0	0,3	0	0	0	0	0	0	0	0
ELSC_18	1	0	0	1	0	0	0	0	0	0	0	0	0	0	0	0,6	0	0,6	0
ELSC_19	1	0	0	1	0	0	0	0	0	0	0	0	0	0	0	0	0,6	0	0,6
ELSC_20	1	0	0	1	0	0	0	0	0	0	0	0	0	0,3	0	0	0	0	0
ELSC_21	1	0	0	1	0	0	0	0	0	0	0	0	0	0	0,3	0	0	0	0
ELSC_22	1	0	0	0	1	0	0	0	0	0	0	0	0	0	0	0	0	0	0
ELSC_23	1	0	0	0	1	0	0	0	0	0,3	0	0	0	0	0	0	0	0	0
ELSC_24	1	0	0	0	1	0	0	0	0	0	0,3	0	0	0	0	0	0	0	0
ELSC_25	1	0	0	0	1	0	0	0	0	0	0	0	0	0	0	0,6	0	0,6	0
ELSC_26	1	0	0	0	1	0	0	0	0	0	0	0	0	0	0	0	0,6	0	0,6



ELSC_27	1	0	0	0	1	0	0	0	0	0	0	0	0	0,3	0	0	0	0	0
ELSC_28	1	0	0	0	1	0	0	0	0	0	0	0	0	0	0,3	0	0	0	0
ELSC_29	1	0	0	0	0	1	0	0	0	0	0	0	0	0	0	0	0	0	0
ELSC_30	1	0	0	0	0	1	0	0	0	0,3	0	0	0	0	0	0	0	0	0
ELSC_31	1	0	0	0	0	1	0	0	0	0	0,3	0	0	0	0	0	0	0	0
ELSC_32	1	0	0	0	0	1	0	0	0	0	0	0	0	0	0	0,6	0	0,6	0
ELSC_33	1	0	0	0	0	1	0	0	0	0	0	0	0	0	0	0	0,6	0	0,6
ELSC_34	1	0	0	0	0	1	0	0	0	0	0	0	0	0,3	0	0	0	0	0
ELSC_35	1	0	0	0	0	1	0	0	0	0	0	0	0	0	0,3	0	0	0	0
ELSC_36	1	0	0	0	0	0	1	0	0	0	0	0	0	0	0	0	0	0	0
ELSC_37	1	0	0	0	0	0	1	0	0	0,3	0	0	0	0	0	0	0	0	0
ELSC_38	1	0	0	0	0	0	1	0	0	0	0,3	0	0	0	0	0	0	0	0
ELSC_39	1	0	0	0	0	0	1	0	0	0	0	0	0	0	0	0,6	0	0,6	0
ELSC_40	1	0	0	0	0	0	1	0	0	0	0	0	0	0	0	0	0,6	0	0,6
ELSC_41	1	0	0	0	0	0	1	0	0	0	0	0	0	0,3	0	0	0	0	0
ELSC_42	1	0	0	0	0	0	1	0	0	0	0	0	0	0	0,3	0	0	0	0
ELSC_43	1	0	0	0	0	0	0	1	0	0	0	0	0	0	0	0	0	0	0
ELSC_44	1	0	0	0	0	0	0	1	0	0	0	0	0	0	0	0,6	0	0,6	0
ELSC_45	1	0	0	0	0	0	0	1	0	0	0	0	0	0	0	0	0,6	0	0,6
ELSC_46	1	0	0	0	0	0	0	0	1	0	0	0	0	0	0	0	0	0	0
ELSC_47	1	0	0	0	0	0	0	0	0	0	0	1	0	0	0	0	0	0	0
ELSC_48	1	0	0	0	0	0	0	0	0	0	0	0	1	0	0	0	0	0	0
ELSC_49	1	0	0	0	0	0	0	0	0	0	0	0	0	0	0	1	0	0,6	0
ELSC_50	1	0	0	0	0	0	0	0	0	0	0	0	0	0	0	0	1	0	0,6

COMBINACIONES ELS (FRECUENTES)

Columna1	CP	SC_1	SC_2	SC_3	SC_4	SC_5	SC_6	VT(N-S)	VT(S-N)	VT-SC(N-S)	VT-SC(S-N)	VL(E-O)	VL(O-E)	VL-SC(E-O)	VL-SC(O-E)	TU-DIL	TU-CON	GV-POS	GV-NEG
ELSF_1	1	0,4	0	0	0	0	0	0	0	0	0	0	0	0	0	0	0	0	0
ELSF_2	1	0,4	0	0	0	0	0	0	0	0	0	0	0	0	0	0,5	0	0,5	0
ELSF_3	1	0,4	0	0	0	0	0	0	0	0	0	0	0	0	0	0	0,5	0	0,5
ELSF_4	1	0	0,4	0	0	0	0	0	0	0	0	0	0	0	0	0	0	0	0
ELSF_5	1	0	0,4	0	0	0	0	0	0	0	0	0	0	0	0	0,5	0	0,5	0
ELSF_6	1	0	0,4	0	0	0	0	0	0	0	0	0	0	0	0	0	0,5	0	0,5
ELSF_7	1	0	0	0,4	0	0	0	0	0	0	0	0	0	0	0	0	0	0	0
ELSF_8	1	0	0	0,4	0	0	0	0	0	0	0	0	0	0	0	0,5	0	0,5	0
ELSF_9	1	0	0	0,4	0	0	0	0	0	0	0	0	0	0	0	0	0,5	0	0,5
ELSF_10	1	0	0	0	0,4	0	0	0	0	0	0	0	0	0	0	0	0	0	0
ELSF_11	1	0	0	0	0,4	0	0	0	0	0	0	0	0	0	0	0,5	0	0,5	0

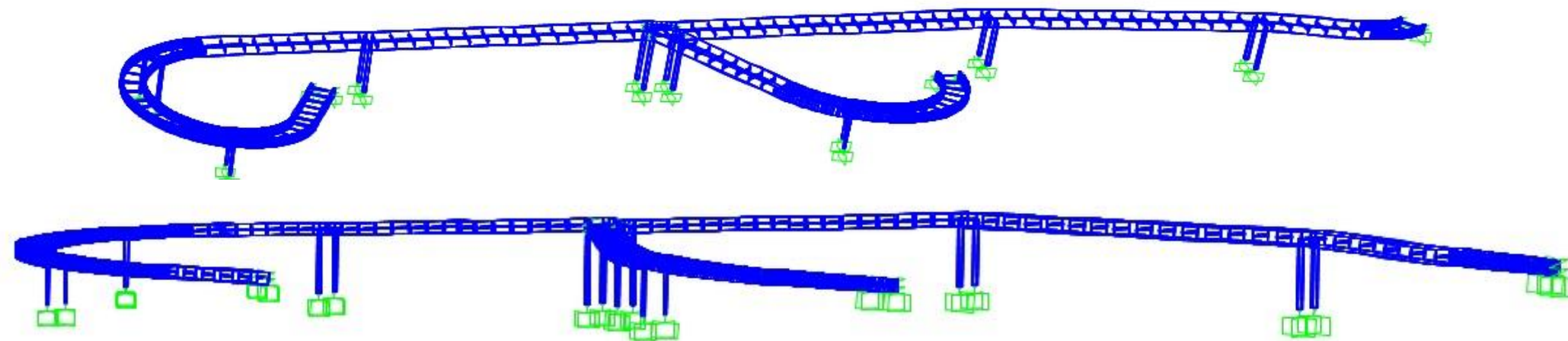


ELSF_12	1	0	0	0	0,4	0	0	0	0	0	0	0	0	0	0	0	0,5	0	0,5
ELSF_13	1	0	0	0	0	0,4	0	0	0	0	0	0	0	0	0	0	0	0	0
ELSF_14	1	0	0	0	0	0,4	0	0	0	0	0	0	0	0	0	0,5	0	0,5	0
ELSF_15	1	0	0	0	0	0,4	0	0	0	0	0	0	0	0	0	0	0,5	0	0,5
ELSF_16	1	0	0	0	0	0	0,4	0	0	0	0	0	0	0	0	0	0	0	0
ELSF_17	1	0	0	0	0	0	0,4	0	0	0	0	0	0	0	0	0,5	0	0,5	0
ELSF_18	1	0	0	0	0	0	0,4	0	0	0	0	0	0	0	0	0	0,5	0	0,5
ELSF_19	1	0	0	0	0	0	0	0,2	0	0	0	0	0	0	0	0	0	0	0
ELSF_20	1	0	0	0	0	0	0	0	0,2	0	0	0	0	0	0	0	0	0	0
ELSF_21	1	0	0	0	0	0	0	0	0	0	0	0,2	0	0	0	0	0	0	0
ELSF_22	1	0	0	0	0	0	0	0	0	0	0	0	0,2	0	0	0	0	0	0
ELSF_23	1	0	0	0	0	0	0	0	0	0	0	0	0	0	0	0,6	0	0,5	0
ELSF_24	1	0	0	0	0	0	0	0	0	0	0	0	0	0	0	0	0,6	0	0,5

COMBINACIONES ELS (CASI-PERMANENTE)

Columna1	CP	SC_1	SC_2	SC_3	SC_4	SC_5	SC_6	VT(N-S)	VT(S-N)	VT-SC(N-S)	VT-SC(S-N)	VL(E-O)	VL(O-E)	VL-SC(E-O)	VL-SC(O-E)	TU-DIL	TU-CON	GV-POS	GV-NEG
ELSC-P_1	1	0	0	0	0	0	0	0	0	0	0	0	0	0	0	0,5	0	0,5	0
ELSC-P_2	1	0	0	0	0	0	0	0	0	0	0	0	0	0	0	0	0,5	0	0,5

IMÁGENES DEL MODELO EN SAP2000





6. COMPROBACIONES RELATIVAS A ESTADOS LÍMITE DE SERVICIO

Según lo establecido en la vigente Instrucción sobre Acciones a considerar en el Proyecto de Puentes de Carretera (IAP-11), y siguiendo las Recomendaciones para el Proyecto de Puentes Metálicos para carreteras (RPM-95), ha de verificarse el comportamiento de la estructura para los distintos estados límite de servicio.

6.1 ESTADO LÍMITE DE DEFORMACIONES

Las deformaciones para la combinación poco probable establecida en la IAP-11 no han de afectar a la apariencia o funcionalidad de la obra.

La geometría del puente deformado debe asegurar que no se producen posibles zonas de acumulación de agua, teniendo en cuenta el sistema de drenaje establecido.

A falta de estudios más detallados en relación con el comportamiento dinámico del puente, la flecha correspondiente a la parte de las sobrecargas de la combinación frecuente, no superará los valores siguientes:

- L/1000 en puentes de carretera.
- L/1200 en pasarelas peatonales.

Siendo L la luz del vano.

En nuestro caso debemos comprobar frente al valor L/1200. La siguiente tabla muestra las flechas máximas admisibles así como el valor obtenido en el cálculo. Dado que la combinación de sobrecarga que más penaliza cada uno de los vanos es la que corresponde a cada vano sobrecargado de forma independiente, resultan para los tres vanos principales los siguientes valores:

Vano	Luz (m)	Flecha obtenida	Flecha máxima admisible	Verificación
1 (Oeste)	31,2	0,0127	0,0260	Cumple
2 (Medio)	34,4	0,0209	0,0287	Cumple
3 (Este)	29,7	0,0091	0,0247	Cumple

6.2 CONTRAFLECHAS DE EJECUCIÓN

Según se indica en la IAP-11, en puentes metálicos y mixtos, y en puentes de hormigón con luces importantes o montajes evolutivos, así como en aquellos casos en los que se produzcan deformaciones instantáneas o diferidas que puedan afectar a la apariencia o a la funcionalidad de la estructura, el proyecto deberá definir unas contraflechas de ejecución tales que, la geometría de la estructura se ajuste al máximo a la rasante teórica de proyecto.

Se comprobará que, bajo la actuación de la totalidad de las cargas permanentes y de las deformaciones diferidas, la geometría final del puente será tal que no se producen zonas de acumulación de agua, teniendo en cuenta el sistema de drenaje proyectado para la plataforma.

En nuestra pasarela, teniendo en cuenta las moderadas flechas obtenidas para las cargas permanentes y el sistema de drenaje del tablero, no se contemplará la ejecución de las mencionadas contraflechas.

6.3 ESTADO LÍMITE DE DEFORMACIONES DEL ALMA

En el caso de almas de gran esbeltez las deformaciones transversales que se pueden producir en condiciones de servicio, no deben provocar ninguno de los siguientes efectos:

- a) Apariencia de la obra inaceptable
- b) Inquietud respecto a la seguridad de la estructura
- c) Cambio brusco en la configuración de equilibrio
- d) Riesgo de fisuración por fatiga del encuentro alma-ala del elemento

Será necesario comprobar este estado límite cuando la estructura tenga almas de gran esbeltez. En nuestro caso todas las secciones son Clase 1, excepto la vigas longitudinales, que son Clase 3. Para estas vigas longitudinales se recomienda respetar los siguientes valores orientativos en cuanto a la esbeltez del alma:

- Zona de apoyos de vigas continuas, en donde los valores máximos del momento flector y del esfuerzo cortante son prácticamente concomitantes:

$$\frac{b}{t} \leq 160 \sqrt{\frac{355}{f_y}} = 181,78$$

- Zonas situadas en el centro de vigas isostáticas y continuas donde el esfuerzo cortante es muy pequeño:

$$\frac{b}{t} \leq 240 \sqrt{\frac{355}{f_y}} = 272,68$$

- Zonas de apoyo de vigas isostáticas, en las que el momento flector es nulo o muy reducido:

$$\frac{b}{t} \leq 200 \sqrt{\frac{355}{f_y}} = 227,24$$



Siendo:

- f_y : límite elástico del acero, en nuestro caso 275 MPa.
- $\frac{b}{t}$: relación entre la altura y el espesor del alma.

En nuestro caso $\frac{b}{t} = 108$, por lo que se cumplen ampliamente las recomendaciones.

6.4 ESTADO LÍMITE DE VIBRACIONES

Cuando se utilicen tipos de puentes sensibles a las vibraciones, procede comprobar que no se pueden presenciar fenómenos de resonancia y que las acciones no producen oscilaciones inaceptables desde el punto de vista de fatiga. Estos casos hay que examinarlos en el marco de la verificación de seguridad del puente.

En el caso de puentes con zonas transitables por peatones, no deben producirse vibraciones desagradables o que causen inquietud.

Tales condiciones se cumplen cuando la máxima aceleración vertical que pueda producirse, en m/s^2 , no supere el valor de $0,5 \sqrt{f_0}$ en ningún punto transitable por peatones, siendo f_0 la frecuencia del primer modo de vibración vertical, expresada en Hertzios.

En ausencia de cálculos específicos, se considerará que la aceleración máxima es admisible en pasarelas peatonales cuando se satisfaga la siguiente condición:

$$y_e \leq \frac{\sqrt{f_0}}{80 f_0^2 k \psi}$$

Siendo:

- y_e : flecha estática producida por el peatón de 750N situado en el punto de máxima deflexión, en metros.
- f_0 : frecuencia principal de vibración, en Hertzios.
- k : factor de configuración, según la tabla 5.4.1 de RPM-95.
- ψ : factor de respuesta dinámica, según la tabla 5.4.2 de RPM-95.

Para calcular la flecha estática producida por un peatón, introducimos en el modelo una carga puntual de 750 N situada en el centro del vano2 (medio), por ser este el punto de máxima deflexión.

Tenemos una longitud de vano de 34,40 m, por lo tanto $\psi = 13,3$.

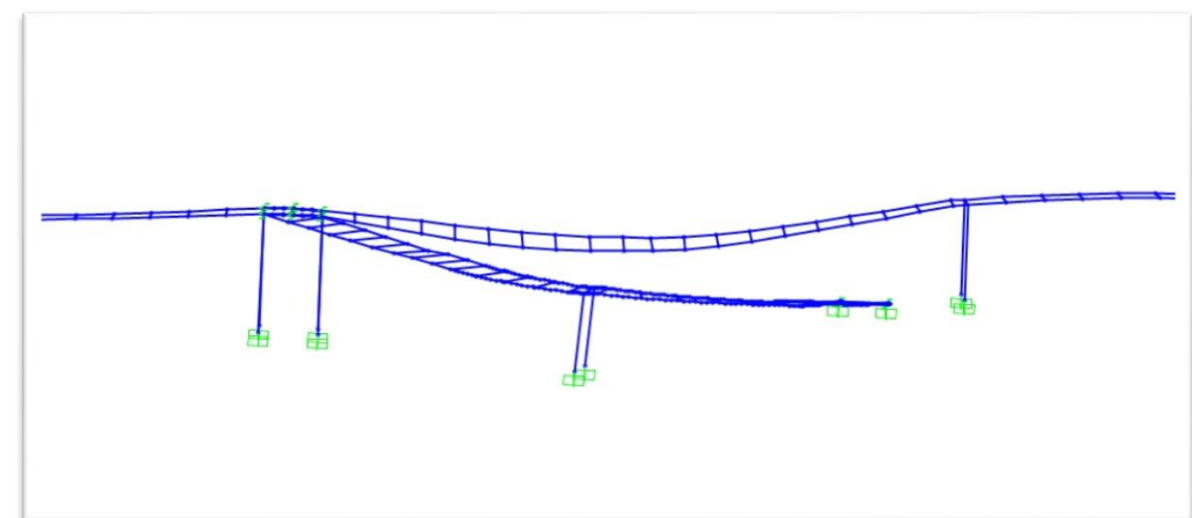
Observando la siguiente tabla de la RPM-95, obtenemos para nuestro caso un $k = 0,8$

Configuración	a/l	k
	0	1,0
	1,0 0,8 < 0,6	0,7 0,9 1,0
	1,0 0,8 < 0,6	0,6 0,8 0,9

Tabla 5.4.1 (RPM-95).

El primer modo de vibración vertical corresponde en nuestro caso al cuarto modo de vibración de la estructura, resultando un período $T = 0,25762s$ y por tanto una frecuencia principal de vibración $f_0 = 3,88162$ Hz.

y_e	ψ	k	f_0	$\frac{\sqrt{f_0}}{80 f_0^2 k \psi}$	Verificación
0,000113	13,3	0,8	3,88162	0,0001536	Cumple





6.5 ESTADO LÍMITE DE PLASTIFICACIONES LOCALES

En condiciones de servicio, procede realizar comprobaciones tensionales con los objetivos siguientes:

- Garantizar un comportamiento cuasi-lineal del puente ante las cargas de servicio, a efectos de la validez de los modelos de cálculo usualmente adoptados para el control de los restantes estados límite de servicio.
- Acotar los posibles fenómenos de acumulación de deformaciones plásticas remanentes ante sobrecargas repetitivas.
- Evitar los fenómenos de fatiga oligocíclica (de bajo número de ciclos), no contemplados en los modelos de comprobación del estado límite de fatiga.

Con tal finalidad, y como alternativa a otros posibles procedimientos, ha de realizarse una comprobación tensional en los casos siguientes:

- Alas comprimidas o traccionadas en las que el coeficiente reductor, calculado según se indica en la RPM-95 sea inferior a 0,6.
- Zona de vano de secciones metálicas con voladizos significativos.
- Alas y almas solicitadas por tensiones de compresión o tracción y tensiones tangenciales, provocadas por un esfuerzo cortante y/o un esfuerzo de torsión, en caso de que se admitan deformaciones unitarias superiores a $\varepsilon_y = \frac{f_y}{E}$ en la determinación de la resistencia última de la sección.
- Zonas de vano de secciones metálicas con puntales inclinados para soportar grandes voladizos.
- Zonas donde existan tensiones principales en dos o tres direcciones provocadas por las acciones correspondientes a la combinación considerada.
- Losas ortótropas cargas transversalmente.
- En general, zonas singulares como diafragmas de apoyo, anclajes de puentes atirantados o zonas de introducción de cargas concentradas.

En el caso que nos ocupa se ha atendido al principio de continuidad de cargas en las uniones más delicadas para no producir en las chapas flexiones locales o en dos planos, por lo que no es necesario comprobar este estado límite.

6.6 ESTADO LÍMITE DE DESLIZAMIENTO DE TORNILLOS DE ALTA RESISTENCIA

En el caso de uniones atornilladas con tornillos de alta resistencia, ha de comprobarse la ausencia de deslizamientos entre los elementos que se unan. En nuestro caso no se proyecta ninguna unión de este tipo, por lo que no debemos realizar esta comprobación.



7. COMPROBACIONES RELATIVAS A ESTADOS LÍMITE ÚLTIMOS

Se realizará en este apartado la verificación del comportamiento de la estructura para los distintos estados límite últimos establecidos por las normativas específicas correspondientes. Se consultarán para ello el Código Técnico de la Edificación (DBSE-A), y la RPM-95.

7.1 RESISTENCIA DE LAS SECCIONES

La capacidad resistente de las secciones depende de su clase. Para secciones de clase 1 y 2 la distribución de tensiones se escogerá atendiendo a criterios plásticos (en flexión se alcanza el límite elástico en todas las fibras de la sección). Para las secciones de clase 3 la distribución seguirá un criterio elástico (en flexión se alcanza el límite elástico sólo en las fibras extremas de la sección) y para secciones de clase 4 este mismo criterio se establecerá sobre la sección eficaz

Se detallan en la siguiente tabla las distintas secciones transversales empleadas y sus características mecánicas, que se utilizarán en los cálculos posteriores.

SectionName	Area	TC	I33	I22	AS2	AS3	S33	S22	Z33	Z22
Text	m2	m4	m4	m4	m2	m2	m3	m3	m3	m3
Barras transversales-1	0,0052	0,000022	0,000015	0,000015	0,0028	0,0028	0,00021	0,00021	0,000254	0,000254
Barras transversales-2	0,006375	0,000026	0,000017	0,000017	0,0035	0,0035	0,000249	0,000249	0,000306	0,000306
Barras longitudinales	0,007145	0,000028	0,000019	0,000019	0,003976	0,003976	0,000273	0,000273	0,000339	0,000339
Pilas-1	0,01434	0,00018	0,000121	0,000121	0,00768	0,00768	0,001004	0,001004	0,001206	0,001206
Pilas-2	0,02074	0,000508	0,000463	0,000264	0,0128	0,00896	0,002317	0,001886	0,002804	0,002182
Pilas-3	0,0315	0,000726	0,000672	0,000377	0,02	0,014	0,003358	0,002692	0,004156	0,003211
Vigas longitudinales	0,0316	0,001143	0,005125	0,000363	0,0224	0,01	0,009152	0,002906	0,011332	0,003217
Dinteles	0,0255	0,000415	0,000279	0,000279	0,014	0,014	0,001993	0,001993	0,002446	0,002446

Características mecánicas de las secciones transversales.

Siendo:

- Área: área de la sección transversal.
- TC: módulo de torsión de la sección.
- I33: momento de inercia de la sección para el eje local 3.
- I22: momento de inercia de la sección para el eje local 2.
- AS2: área a cortante en la dirección del eje local 2.
- AS3: área a cortante en la dirección del eje local 3.
- S33: módulo resistente elástico respecto al eje local 3.
- S22: módulo resistente elástico respecto al eje local 2.
- Z33: módulo resistente plástico respecto al eje local 3.
- Z22: módulo resistente plástico respecto al eje local 2.

7.1.1 RESISTENCIA DE LAS SECCIONES A TRACCIÓN

Como resistencia de las secciones a tracción, $N_{t,Rd}$, puede emplearse la plástica de la sección bruta sin superar la última de la sección neta:

$$N_{t,Rd} \leq N_{pl,Rd} = A f_{yd}$$

$$N_{t,Rd} \leq N_{u,Rd} = 0,9 A_{neta} f_{ud}$$

A continuación vemos la resistencia a tracción de las secciones en nuestro modelo:

SECCIÓN	RESISTENCIA A TRACCIÓN ($N_{pl,Rd}$)
Barras transversales-1	1361,905
Barras transversales-2	1669,643
Barras longitudinales	1871,310
Pilas-1	3755,714
Pilas-2	5431,905
Pilas-3	8250,000
Vigas longitudinales	8276,190
Dinteles	6678,571

Resistencia a tracción de las secciones (KN).

7.1.2 RESISTENCIA DE LAS SECCIONES A CORTANTE

El esfuerzo cortante de cálculo V_{Ed} será menor que la resistencia de las secciones a cortante, $V_{c,Rd}$ que en ausencia de torsión será igual a la resistencia plástica:

$$V_{pl,Rd} = A_v \frac{f_{y,d}}{\sqrt{3}}$$

En el caso que nos ocupa se obtienen los siguientes valores:

SECCIÓN	$V_{c,Rd} (y)$	$V_{c,Rd} (z)$
Barras transversales-1	393,148	393,148
Barras transversales-2	481,984	481,984
Barras longitudinales	540,200	540,200
Pilas-1	1084,181	1084,181
Pilas-2	1291,340	1844,771
Pilas-3	1961,292	2801,846
Vigas longitudinales	1512,107	2004,804
Dinteles	1927,937	1927,937

Resistencia a cortante de las secciones (KN).



7.1.3 RESISTENCIA DE LAS SECCIONES A COMPRESIÓN

La resistencia de las secciones a compresión, $N_{c,Rd}$, será:

- a) La resistencia plástica de la sección bruta para secciones de clases 1 a 3.
- b) La resistencia de la sección eficaz para secciones de clase 4: $N_{u,Rd} = A_{ef} f_{u,d}$

Nuestras secciones son todas clase 1 y clase 3, por lo tanto obtenemos los mismos resultados que en el apartado de secciones a tracción visto en el apartado 7.1.1.

7.1.4 RESISTENCIA DE LAS SECCIONES A FLEXIÓN

La resistencia de las secciones a flexión, $M_{c,Rd}$, será:

- a) La resistencia plástica de la sección bruta para secciones de clase 1 y 2: $M_{pl,Rd} = W_{pl} f_{yd}$; siendo W_{pl} el módulo resistente plástico correspondiente a la fibra con mayor tensión.
- b) La resistencia elástica de la sección bruta para secciones de clase 3: $M_{el,Rd} = W_{el} f_{yd}$; siendo W_{el} el módulo resistente elástico correspondiente a la fibra con mayor tensión.
- c) La resistencia a abolladura para secciones de clase 4: $W_{0,Rd} = W_{eff} f_{yd}$; siendo W_{eff} el modulo elástico de la sección eficaz(correspondiente a la fibra de mayor tensión).

En nuestro caso, para las secciones clase 1 y 3 tenemos las siguientes resistencias:

SECCIÓN	CLASE	$M_{c,Rd}(y)$	$M_{c,Rd}(z)$
Barras transversales-1	1 (plástica)	66,524	66,524
Barras transversales-2	1 (plástica)	80,090	80,090
Barras longitudinales	1 (plástica)	88,655	88,655
Pilas-1	1 (plástica)	315,857	315,857
Pilas-2	1 (plástica)	734,381	571,476
Pilas-3	1 (plástica)	1088,476	840,976
Vigas longitudinales	3 (elástica)	2396,828	761,207
Dinteles	1 (plástica)	640,619	640,619

Resistencia a flexión de las secciones (KNm).

7.1.5 RESISTENCIA DE LAS SECCIONES A TORSIÓN

El esfuerzo torsor T_{Ed} de cualquier sección puede dividirse en dos componentes, $T_{t,Ed}$, componente correspondiente a la torsión uniforme de Saint Vénant, y $T_{w,Ed}$, componente correspondiente a la torsión de alabeo.

$$T_{Ed} = T_{t,Ed} + T_{w,Ed}$$

En las piezas de sección hueca cerrada delgada puede despreciarse la componente de torsión de alabeo. La comprobación de resistencia se realiza con criterios elásticos de acuerdo con la expresión:

$$\sqrt{3 \tau_{t,Ed}^2} \leq f_{y,d}$$

Para calcular las tensiones tangenciales debidas al torsor uniforme, $\tau_{t,Ed}$, emplearemos la fórmula siguiente:

$$\tau = \frac{M_x}{2 \Omega e}$$

Siendo Ω el área encerrada por la línea media de la sección y e el espesor de la sección.

Para nuestras secciones obtenemos los siguientes momentos torsores últimos:

SECCIÓN	M_x
Barras transversales-1	51,109
Barras transversales-2	61,453
Barras longitudinales	67,961
Pilas-1	242,789
Pilas-2	490,533
Pilas-3	722,977
Vigas longitudinales	798,393
Dinteles	491,624

Resistencia de las secciones a torsión (KNm).

7.1.6 INTERACCIÓN DE ESFUERZOS EN SECCIONES

1. Flexión compuesta sin cortante

Para secciones de clase 1 y 2 se emplearán las siguientes fórmulas de interacción teniendo en cuenta el momento resistente plástico, mientras que para secciones clase 3 se emplearán las mismas fórmulas utilizando el momento resistente elástico:

$$\frac{N_{Ed}}{N_{pl,Rd}} + \frac{M_{y,Ed}}{M_{pl,Rd,y}} + \frac{M_{z,Ed}}{M_{pl,Rd,z}} \leq 1 \quad \text{Para secciones clase 1 y 2}$$

$$\frac{N_{Ed}}{N_{pl,Rd}} + \frac{M_{y,Ed}}{M_{el,Rd,y}} + \frac{M_{z,Ed}}{M_{el,Rd,z}} \leq 1 \quad \text{Para secciones clase 3}$$



2. Flexión y cortante

Únicamente si el cortante de cálculo es mayor que el 50% de la resistencia de la sección a cortante se comprobará el momento flector de cálculo frente al resistente obtenido según:

$$M_{V,Rd} = W_{pl}(1 - \rho)f_{yd}$$

Siendo:
$$\rho = \left(2 \frac{V_{Ed}}{V_{pl,Rd}} - 1\right)^2$$

3. Flexión, axil y cortante

Cuando el valor de cálculo del esfuerzo cortante V_{Ed} sea menor que el 50% de la resistencia plástica de cálculo de la sección a cortante $V_{pl,Rd}$, no será necesaria ninguna reducción de la resistencia, el cortante se considera despreciable y se comprueba el flector y el axil utilizando las fórmulas expuestas en el apartado 1(flexión compuesta sin cortante).

4. Cortante y torsión

En las comprobaciones en que intervenga la resistencia a cortante se empleará la resistencia plástica a cortante reducida por la existencia de tensiones tangenciales de torsión uniforme:

$$V_{c,Rd} \leq V_{pl,T,Rd}$$

Siendo, en secciones huecas cerradas:

$$V_{pl,T,Rd} \leq \left[1 - \frac{\tau_{t,Ed}}{f_{yd}/\sqrt{3}}\right] V_{pl,Rd}$$

5. Flexión y torsión

En aquellas secciones en las que intervenga la resistencia a flexión se empleará la resistencia a flexión reducida por la existencia de tensiones normales de torsión de alabeo. En nuestro proyecto todas las secciones son cerradas huecas, por lo que se desprecia la componente de torsión de alabeo y no se realizará esta comprobación.

7.1.7 COMPROBACIÓN DE LAS SECCIONES

Una vez calculados los esfuerzos resistentes de las distintas secciones que componen la estructura, utilizamos el modelo de cálculo en SAP2000 para obtener los máximos esfuerzos provocados por las acciones actuantes. Finalmente comprobamos si los ratios de resistencia son aceptables y por lo tanto las secciones cumplen las condiciones de resistencia exigidas (ratio≤1). Se describe a continuación más detalladamente el procedimiento seguido para realizar las comprobaciones:

- I. Se obtienen del modelo en SAP2000 los esfuerzos en las distintas barras de la estructura para las combinaciones de carga correspondientes a los ELU.
- II. Para cada tipo de esfuerzo (axil, cortante en eje local 2, cortante en eje local 3, momento torsor, momento flector en eje local 2, momento flector en eje local 3) se comprueba:
 - Si el cortante de cálculo es menor que el 50% de la resistencia de la sección a cortante, con el fin de ver las comprobaciones necesarias. En el caso de que sea menor, no es necesario estudiar la interacción de flexión y cortante, ni la interacción de flexión, axil y cortante.
 - Interacción de axil y flexión.
 - Interacción de cortante y torsión, mediante el cálculo de la resistencia plástica a cortante reducida por la existencia de tensiones tangenciales de torsión uniforme. El ratio es el cociente entre el máximo cortante obtenido en el modelo de cálculo y la resistencia plástica a cortante reducida.
- III. Comprobamos que los valores de los ratios son inferiores o iguales a 1.

En la siguiente tabla se pueden ver los máximos esfuerzos a los que están sometidas las diferentes secciones de la estructura:

SECCIÓN	N _d (KN)	V _{2d} (KN)	V _{3d} (KN)	T _d (KNm)	M _{2d} (KNm)	M _{3d} (KNm)
Barras transversales-1	86,315	56,692	29,120	4,896	21,935	30,311
Barras transversales-2	95,467	68,579	36,729	6,284	25,912	32,695
Barras longitudinales	136,456	58,036	16,151	3,789	17,92	23,682
Pilas-1	716,615	42,711	64,294	6,016	105,153	119,167
Pilas-2	647,73	130,847	87,964	16,461	231,024	346,782
Pilas-3	737,745	119,393	86,723	25,733	283,086	400,857
Vigas longitudinales	352,579	1204,970	86,311	172,873	132,886	1727,094
Dinteles	176,255	512,877	24,065	5,651	35,852	302,178

Esfuerzos máximos para envoltente de estados límite últimos.



En nuestro caso comparando la resistencia a cortante de las secciones con los esfuerzos cortantes máximos obtenidos, podemos comprobar que, en el caso de las vigas longitudinales el máximo cortante en z es superior al 50% de la resistencia a cortante en z de la sección, por lo tanto debemos reducir el momento resistente de la sección por efecto del cortante según la expresión expuesta en el apartado 2. Flexión y cortante. De este modo para las vigas longitudinales tenemos:

$$\rho = \left(2 \frac{V_{z,Ed}}{V_{pl,z,Rd}} - 1 \right)^2 = 0,0406$$

$$M_{V,Rd,y} = W_{pl}(1 - \rho)f_{yd} = 808,340 \text{ KNm}$$

Se comprueban en la siguiente tabla los ratios de interacción de esfuerzos en flexión compuesta:

SECCIÓN	Ratio M y N	VERIFICACIÓN
Barras transversales-1	0,8487	CUMPLE
Barras transversales-2	0,7889	CUMPLE
Barras longitudinales	0,5422	CUMPLE
Pilas-1	0,9010	CUMPLE
Pilas-2	0,9957	CUMPLE
Pilas-3	0,7943	CUMPLE
Vigas longitudinales	0,9897	CUMPLE
Dinteles	0,5541	CUMPLE

Ratios de comprobación en flexión compuesta.

La siguiente tabla contiene los resultados obtenidos para la interacción entre cortante y torsión:

SECCIÓN	Ratio V_{yd}	VERIFICACIÓN	Ratio V_{zd}	VERIFICACIÓN
Barras transversales-1	0,0819	CUMPLE	0,1595	CUMPLE
Barras transversales-2	0,0849	CUMPLE	0,1585	CUMPLE
Barras longitudinales	0,0317	CUMPLE	0,1138	CUMPLE
Pilas-1	0,0608	CUMPLE	0,0404	CUMPLE
Pilas-2	0,0705	CUMPLE	0,0734	CUMPLE
Pilas-3	0,0458	CUMPLE	0,0442	CUMPLE
Vigas longitudinales	0,0729	CUMPLE	0,9900	CUMPLE
Dinteles	0,0126	CUMPLE	0,2691	CUMPLE

Ratios de comprobación para cortante y torsión.

7.2 RESISTENCIA DE LAS BARRAS

7.2.1 ESFUERZO ÚLTIMO DE COMPRESIÓN DE UNA PIEZA

En general será necesario comprobar la resistencia a pandeo en cada posible plano en que pueda flexionar la pieza. No se comprobará en el presente proyecto el pandeo por torsión, ya que este se da generalmente en piezas abiertas con paredes delgadas, siendo nuestras secciones cerradas. En cuanto al pandeo por flexión, la resistencia última de cada barra, $N_{b,Rd}$, se comprobará de acuerdo a la siguiente expresión:

$$N_{b,Rd} = \chi A f_{yd}$$

Siendo:

- A: área de la sección transversal.
- f_{yd} : resistencia de cálculo del acero.
- χ : coeficiente de reducción por pandeo, que es función de la esbeltez reducida y de la curva de pandeo apropiada para el caso.

Para determinar la esbeltez reducida, λ_{red} , y posteriormente el coeficiente de reducción por pandeo es necesario hallar primero la longitud de pandeo de la pieza. Se entiende por longitud de pandeo de una pieza, L_k , a la longitud de otra pieza ideal prismática, biarticulada y cargada en sus extremos tal que tenga la misma carga crítica (aquella para la cual la pieza pandea) que la pieza real considerada.

Para determinar la longitud de pandeo se utilizó el modelo de cálculo en SAP2000, mediante el cual se obtuvo la carga crítica de pandeo, N_{cr} , y el coeficiente de pandeo, β , para cada una de las diferentes barras, obteniendo la longitud de pandeo a través de la siguiente expresión:

$$N_{cr} = \frac{\pi^2 EI}{L_k^2}$$

Una vez obtenida la longitud de pandeo se plantean todos los cálculos necesarios para obtener el coeficiente de reducción por pandeo, χ , a través de las siguientes expresiones:

$$\lambda_{red} = \sqrt{\frac{A f_y}{N_{cr}}}$$

$$\chi = \frac{1}{\phi + \sqrt{\phi^2 - (\lambda_{red})^2}} \leq 1$$

$$\phi = 0,5[1 + \alpha(L_k - 0,2) + (\lambda_{red})^2] ; \alpha \text{ coeficiente de imperfección elástica}$$



En la siguiente tabla podemos ver la resistencia frente a esfuerzo de compresión último de cada barra:

Sección	Pandeo	β	L_k	N_{cr}	λ_{red}	χ	$N_{b,Rd}$	N_{Ed}	Verificación
Barras transversales-1	En el plano	1	2,5	4884,745	0,541	0,911	1240,721	86,315	CUMPLE
Barras transversales-1	Fuera del plano	1	2,5	4884,745	0,541	0,911	1240,721	86,315	CUMPLE
Barras transversales-2	En el plano	1	2,5	5781,671	0,551	0,908	1515,645	95,467	CUMPLE
Barras transversales-2	Fuera del plano	1	2,5	5781,671	0,551	0,908	1515,645	95,467	CUMPLE
Barras longitudinales	En el plano	1	1,617	136247,958	0,120	1	1871,310	136,456	CUMPLE
Barras longitudinales	Fuera del plano	3	4,851	15138,662	0,360	0,963	1801,999	136,456	CUMPLE
Pilas-1	En el plano	2,32	10,204	2397,832	1,282	0,480	1803,896	716,615	CUMPLE
Pilas-1	Fuera del plano	1,63	7,172	4857,878	0,901	0,733	2754,034	716,615	CUMPLE
Pilas-2	En el plano	1,24	6,691	21444,329	0,516	0,919	4993,664	647,730	CUMPLE
Pilas-2	Fuera del plano	1,85	9,990	5479,933	1,020	0,651	3538,723	647,730	CUMPLE
Pilas-3	En el plano	1,34	9,286	16141,349	0,733	0,832	6863,298	737,745	CUMPLE
Pilas-3	Fuera del plano	1	6,951	16172,441	0,732	0,832	6866,216	737,745	CUMPLE
Vigas longitudinales	En el plano	1	1,810	3233250,262	0,052	1	8276,190	352,579	CUMPLE
Vigas longitudinales	Fuera del plano	1	1,810	229235,032	0,195	1	8276,190	352,579	CUMPLE
Dinteles	En el plano	1	3,263	54300,833	0,359	0,963	6432,711	176,255	CUMPLE
Dinteles	Fuera del plano	1	3,263	54300,833	0,359	0,963	6432,711	176,255	CUMPLE

Resistencia frente a esfuerzos últimos de compresión.



7.2.2 PANDEO LATERAL

Una viga sometida a momentos flectores dentro de su plano puede pandear lateralmente en caso de que la separación entre apoyos laterales supere un determinado valor. En estos casos será necesario efectuar una verificación de la seguridad frente a pandeo lateral.

La resistencia frente a este tipo de pandeo debe comprobarse mediante la siguiente expresión:

$$M_{b,Rd} = \chi_{LT} W_y f_{yd}$$

Siendo:

- W_y : el módulo resistente de la sección en el eje y.
- χ_{LT} : el factor de reducción para pandeo lateral que se podrá determinar a través de la siguiente expresión:

$$\chi_{LT} = \frac{1}{\phi_{LT} + \sqrt{\phi_{LT}^2 - (\lambda_{LT})^2}} \leq 1$$

Donde:

- $\phi_{LT} = 0,5[1 + \alpha_{LT}(\lambda_{LT} - 0,2) + \lambda_{LT}^2]$
- λ_{LT} : esbeltez relativa frente al pandeo lateral: $\lambda_{LT} = \sqrt{\frac{W_y f_y}{M_{cr}}}$
- α_{LT} : factor de imperfección

El momento crítico elástico de pandeo lateral M_{cr} , se determinará según la teoría de la elasticidad:

$$M_{cr} = \sqrt{M_{LTv}^2 + M_{LTw}^2}$$

Dado que la sección es hueca cerrada delgada se considera nula la componente que representa la resistencia por torsión no uniforme. De este modo el momento crítico resulta:

$$M_{cr} = M_{LTv} = C_1 \frac{\pi}{L_c} \sqrt{G I_T E I_z}$$

Siendo:

- L_c : longitud de pandeo lateral (distancia entre apoyos laterales que impidan el pandeo lateral).
- G : módulo de elasticidad transversal.
- E : módulo de elasticidad.
- I_T : constante de torsión uniforme.
- I_z : momento de inercia respecto al eje z.

No será necesario realizar esta comprobación cuando el ala comprimida se arriestre de forma continua o bien de forma puntual a distancias menores de cuarenta veces el radio de giro mínimo.

En nuestro caso cumplen las condiciones anteriores tanto las barras transversales-1 como las barras transversales-2 y barras longitudinales, por lo que comprobaremos únicamente los elementos expuestos en la siguiente tabla.



Sección	I_t	I_z	C_1	M_{cr}	λ_{LT}	α_{LT}	ϕ_{LT}	χ_{LT}	$M_{b,Rd}$	M_{Ed}	Verificación
Pilas-1	0,000180	0,000121	2,185	18351,028	0,134	0,760	0,484	1	315,857	119,167	CUMPLE
Pilas-2	0,000508	0,000264	2,565	38439,516	0,142	0,760	0,488	1	734,381	346,782	CUMPLE
Pilas-3	0,000726	0,000377	2,700	83129,099	0,117	0,760	0,475	1	1088,476	400,857	CUMPLE
Vigas longitudinales	0,001	0,000363	1,020	152152,514	0,129	0,760	0,481	1	2396,828	1727,094	CUMPLE
Dinteles	0,000415	0,000279	1,258	53642,728	0,112	0,760	0,4731	1	640,619	302,178	CUMPLE

Resistencia frente a pandeo lateral.

7.2.3 ABOLLADURA DEL ALMA POR CORTANTE

No será necesario comprobar la resistencia a la abolladura del alma por cortante en las barras en las que se cumpla:

$$\frac{d}{t} < 70\varepsilon$$

ni en aquellas en las que, disponiendo de rigidizadores en sus extremos(e intermedios, en su caso), se cumpla:

$$\frac{d}{t} < 30 \varepsilon \sqrt{k_\tau}$$

Siendo:

- d y t, altura y espesor del alma.
- $\varepsilon = \sqrt{\frac{f_{ref}}{f_y}}$ con $f_{ref} = 235$ MPa
- k_τ es igual :
 - $k_\tau = 4 + \frac{5,34}{\left(\frac{a}{d}\right)^2}$ Si existen rigidizadores separados una distancia $a < d$
 - $k_\tau = 5,34 + \frac{4}{\left(\frac{a}{d}\right)^2}$ Si existen rigidizadores separados una distancia $a \geq d$
 - $k_\tau = 5,34$ Si existen rigidizadores sólo en las secciones extremas

En nuestro caso sólo es necesario comprobar las vigas longitudinales, pues son las únicas que presentan una esbeltez susceptible de sufrir abolladura. La resistencia del alma a abolladura por cortante se obtiene de la siguiente expresión:

$$V_{b,Rd} = \frac{d t \tau_b}{\gamma_{M1}}$$

Siendo:

- $\tau_b = \frac{f_y}{\sqrt{3}}$ si $\lambda_w \leq 0,8$
- $\tau_b = \frac{f_y}{\sqrt{3}} (1 - 0,625(\lambda_w - 0,8))$ si $0,8 < \lambda_w < 1,2$
- $\tau_b = \frac{f_y}{\sqrt{3}} \left(\frac{0,9}{\lambda_w}\right)$ si $1,2 \leq \lambda_w$

Donde:

$$\lambda_w = \frac{d/t}{37,4 \varepsilon \sqrt{k_\tau}}$$



En la siguiente tabla se pueden ver los resultados del cálculo frente a abolladura por cortante.

Sección	k_{τ}	λ_w	$\tau_b(\text{KN/m}^2)$	$V_{b,Rd}$	V_{ed}	Verificación
Vigas longitudinales	6,78	1,1997	119109,068	1225,122	1204,970	CUMPLE

Resistencia frente a abolladura por cortante (KN).

7.2.4 INTERACCIÓN DE ESFUERZOS EN PIEZAS

ELEMENTOS FLECTADOS Y TRACCIONADOS

Siguiendo con las indicaciones del CTE, en su Documento Básico de Seguridad Estructural – Acero, en las piezas solicitadas por una combinación de momento flector y esfuerzo axil de tracción, se comprobará su resistencia frente al pandeo lateral considerando el esfuerzo axil y el momento flector como un efecto vectorial.

La comprobación se realiza verificando que se cumple la siguiente expresión:

$$M_{ef,Ed} \leq M_{b,Rd}$$

Donde : $M_{ef,Ed} = W_{com} \left(\frac{M_{Ed}}{W_{com}} - 0,8 \frac{N_{t,Ed}}{A} \right)$ Y $M_{b,Rd} = \chi_{LT} W_y f_{yd}$

Siendo:

- W_{com} : momento resistente de la sección referido a la fibra extrema comprimida.
- $N_{t,Ed}$: valor de cálculo del axil de tracción.
- M_{Ed} : valor de cálculo del momento flector.
- A : área bruta de la sección.
- $M_{ef,Ed}$: momento flector efectivo.

ELEMENTOS COMPRIMIDOS Y FLECTADOS

La comprobación para este tipo de elementos se realiza mediante las fórmulas que se indican a continuación, distinguiendo entre las que sean sensibles o no a la torsión. Dado que todas las secciones aquí estudiadas son huecas cerradas, se considera que no son susceptibles al pandeo por torsión.

La comprobación se llevará a cabo mediante las expresiones siguientes:

$$\frac{N_{Ed}}{\chi_y A f_{yd}} + k_y \frac{c_{m,y} M_{y,Ed}}{\chi_{LT} W_y f_{yd}} + \alpha_z k_z \frac{c_{m,z} M_{z,Ed}}{W_z f_{yd}} \leq 1 \quad \text{para pandeo en } y$$

$$\frac{N_{Ed}}{\chi_z A f_{yd}} + k_z \frac{c_{m,z} M_{z,Ed}}{W_z f_{yd}} + \alpha_y k_y \frac{c_{m,y} M_{y,Ed}}{W_y f_{yd}} \leq 1 \quad \text{para pandeo en } z$$

N_{Ed} , $M_{y,Ed}$, $M_{z,Ed}$, son los valores del axil y de los momentos flectores de cálculo de mayor valor absoluto de la pieza.

Los valores de A , W_y , W_z , α_y , α_z , están indicados en la siguiente tabla según la clase de sección:

Clase	A^*	W_y	W_z	α_y	α_z
1	A	$W_{pl,y}$	$W_{pl,z}$	0,6	0,6
2	A	$W_{pl,y}$	$W_{pl,z}$	0,6	0,6
3	A	$W_{el,y}$	$W_{el,z}$	0,8	1
4	A_{eff}	$W_{eff,y}$	$W_{eff,z}$	0,8	1

χ_y , χ_z son los coeficientes de pandeo en cada dirección.

χ_{LT} es el coeficiente de pandeo lateral, igual a 1,00 en piezas no susceptibles de pandeo por torsión.

Los coeficientes k_y y k_z son los que se indican en la siguiente tabla:

Clase	Tipo de sección	k_y	k_z
1 y 2	I, H, abiertas	$1 + (\bar{\lambda}_y - 0,2) \cdot \frac{N_{Ed}}{\chi_y N_{C,Rd}}$	$1 + (2 \cdot \bar{\lambda}_z - 0,6) \cdot \frac{N_{Ed}}{\chi_z N_{C,Rd}}$
	Hueca delgada		$1 + (\bar{\lambda}_z - 0,2) \cdot \frac{N_{Ed}}{\chi_z N_{C,Rd}}$
3 y 4	Todas	$1 + 0,6 \cdot \bar{\lambda}_y \cdot \frac{N_{Ed}}{\chi_y N_{C,Rd}}$	$1 + 0,6 \cdot \bar{\lambda}_z \cdot \frac{N_{Ed}}{\chi_z N_{C,Rd}}$



Siendo λ_y, λ_z las esbelteces reducidas según cada eje.

Los factores de momento flector uniforme, $c_{m,y}, c_{m,z}$, se obtienen en función de la forma del diagrama de momentos flectores entre puntos no arriostrados. Debido a las diversas formas posibles que puede adoptar en cada una de nuestras barras, supondremos un valor igual a 1 quedándonos del lado de la seguridad. Se muestran a continuación los resultados del cálculo de la interacción de esfuerzos:

Sección	A	W_y	W_z	α_y	α_z	χ_y	χ_z	λ_y	λ_z	N_{Ed}	$M_{y,Ed}$	$M_{z,Ed}$	k_y	k_z	Ratio(y)	Ratio(z)	Verificación
Barras transversales-1	0,0052	0,000254	0,000254	0,6	0,6	0,911	0,911	0,541	0,541	86,315	30,311	21,935	1,0237	1,02372332	0,738552902	0,68699418	CUMPLE
Barras transversales-2	0,006375	0,000306	0,000306	0,6	0,6	0,908	0,908	0,551	0,551	95,467	32,695	25,912	1,0221	1,022102985	0,678229005	0,643626173	CUMPLE
Barras longitudinales	0,007145	0,000339	0,000339	0,6	0,6	1	0,963	0,12	0,36	136,456	23,682	17,92	0,9942	1,012115479	0,460663904	0,439107009	CUMPLE
Pilas-1	0,01434	0,001206	0,001206	0,6	0,6	0,48	0,733	1	0,901	716,615	119,167	105,153	1,3180	1,182476703	0,991257761	0,952327728	CUMPLE
Pilas-2	0,02074	0,002804	0,002182	0,6	0,6	0,919	0,651	0,516	1	647,73	346,782	231,024	1,0410	1,146538197	0,899426116	0,941613482	CUMPLE
Pilas-3	0,0315	0,004156	0,003211	0,6	0,6	0,832	0,832	0,733	0,732	737,745	400,857	283,086	1,0573	1,057179537	0,710369281	0,696966338	CUMPLE
Vigas longitudinales	0,0316	0,011332	0,003217	0,8	1	1	1	0,052	0,195	352,579	1727,094	132,886	1,0013	1,004984388	0,78380415	0,667264723	CUMPLE
Dinteles	0,0255	0,002446	0,002446	0,6	0,6	0,963	0,963	0,359	0,359	176,255	302,178	35,852	1,0044	1,004357413	0,534882448	0,36786494	CUMPLE

Comprobación frente a interacción de esfuerzos en barras.

8. APARATOS DE APOYO

En este apartado se justifica y describe el proceso de cálculo y dimensionamiento de los aparatos de apoyo elastoméricos. Para tal efecto se seguirán las Recomendaciones para el Proyecto y Puesta en Obra de los Apoyos Elastoméricos para Puentes de Carretera (MOPU-1982), así como distintos catálogos comerciales de fabricantes especializados.

8.1 CONSIDERACIONES GENERALES

Todas las estructuras están sujetas a determinados movimientos, como son los originados por los cambios de temperatura, la acción de las cargas externas y los propios de cada estructura, por lo que se precisan aparatos de apoyo que permitan esos movimientos sin ser dañados.

Los apoyos elastoméricos permiten:

- Desplazamientos simultáneos en dos direcciones distintas.
- Giros simultáneos en los tres ejes.
- Absorción de cargas verticales.
- Absorción de cargas horizontales de corta duración.

El entorno de estos aparatos de apoyo debe permitir el funcionamiento de los mismos en las mejores condiciones y una fácil inspección y sustitución en caso de que sea necesario.

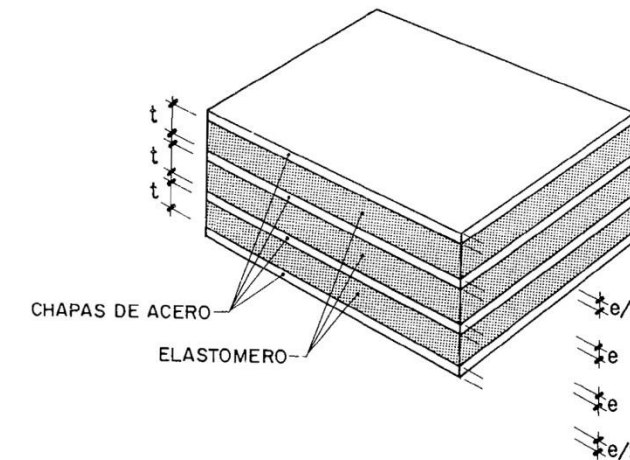
Para cumplir con estos objetivos, es necesario satisfacer las siguientes condiciones:

- Las superficies en contacto con las caras superior e inferior del apoyo deben ser planas y horizontales.
- Los aparatos de apoyo se deben encontrar sobreelevados respecto a la cara superior de la pila o estribo.
- Se debe dejar una altura libre suficiente entre el intradós del tablero y la cara superior de la pila o estribo, al objeto de facilitar la inspección de los aparatos de apoyo y prever una posible operación de levantamiento.

8.2 DIMENSIONAMIENTO DE LOS APARATOS DE APOYO

Se emplearán apoyos armados anclados, fabricados con capas de caucho clorado sintético entre las cuales se intercalan chapas de acero. Las diferentes capas están unidas entre sí y con las chapas mediante un estudiado proceso de vulcanización, de forma que bajo la acción de las cargas, no pueden desplazarse en absoluto unas sobre otras. Las chapas externas superior e inferior irán ancladas al tablero y a las pilas o estribos respectivamente, con el fin de permitir el movimiento horizontal de la estructura y evitar desplazamientos relativos entre el apoyo y el tablero en la parte superior, y entre el apoyo y la pila o estribo en la parte inferior.

El anclaje se realizará mediante cordones de soldadura entre elementos metálicos y mediante pernos de anclaje en el caso de elementos de hormigón.



Apoyos armados anclados en pilas.

Para el dimensionamiento se partirá de las reacciones y los desplazamientos producidos en los apoyos que nos interesa estudiar, utilizando un modelo de cálculo con apoyos clásicos. A partir de ahí utilizaremos los catálogos comerciales disponibles para seleccionar los apoyos con el número de capas y dimensiones en planta más adecuados para nuestra estructura.

En la siguiente tabla vemos los valores máximos obtenidos para cada apoyo en el modelo de cálculo:

Apoyo	Máxima reacción (KN)	Máximo desplazamiento (mm)
Estribo-1 (Oeste)	215,55	3,97
Estribo-2 (Media)	290,65	4,32
Estribo-3 (Este)	235,06	14,67
Pilas	792,49	15,28

Reacciones y desplazamientos en modelo con apoyos clásicos.

En función de las reacciones y desplazamientos admisibles consultamos un catálogo comercial para obtener las dimensiones en planta y el número de capas de nuestros apoyos, así como sus principales características.



Se presentan a continuación las características de los apoyos elastoméricos necesarios para nuestra estructura:

Dimensiones en planta del apoyo	200x300 mm
Capas de elastómero	3
Altura total de elastómero	24 mm
Altura total del apoyo	60 mm
Módulo de elasticidad (E)	355 MPa
Ángulo de giro admisible	0,009 rad
Desplazamiento admisible	16,8 mm
Carga admisible	900 KN

Características apoyo elastomérico.

8.3 COMPROBACIÓN DE LOS APARATOS DE APOYO

Una vez dimensionados los aparatos de apoyo se lanza otro modelo de cálculo en el que se sustituyen los apoyos clásicos por enlaces elásticos (links), cuyas rigideces, tanto horizontal como vertical, son equivalentes a las de los apoyos reales.

La rigidez de dichos enlaces elásticos se calcula mediante las siguientes expresiones:

- Rigidez a compresión (vertical): $K_z = \frac{EA}{e} = 887500 \text{ KN/m}$
- Rigidez frente a esfuerzos tangenciales (horizontal): $K_x = K_y = \frac{GA}{e} = 2250 \text{ KN/m}$

Siendo:

- E: módulo de elasticidad del apoyo.
- G: módulo de elasticidad transversal.
- A: área en planta del apoyo.
- e: altura total de elastómero.

Introduciendo estos datos en los enlaces del modelo de cálculo obtenemos los desplazamientos y reacciones finales.

Las comprobaciones generales a realizar para el cálculo son las que se exponen a continuación:

- La deformación vertical no debe superar el 15% de la altura inicial del apoyo.
- El desplazamiento máximo admisible no debe ser mayor que el 70% de la altura neta de elastómero.
- La máxima compresión media no debe superar los 100-150 kg/cm², según las dimensiones en planta del apoyo.

- La resultante de la suma de las tensiones tangenciales debidas a diferentes acciones (verticales, horizontales y giros), debe ser inferior o igual a cinco veces el módulo de elasticidad transversal (G) del elastómero.

COMPROBACIÓN DE DESPLAZAMIENTOS

	U _x (mm)	U _y (mm)	U _z (mm)	R _x (rad)	R _y (rad)
Valores de cálculo	14,4	5,7	0,8	0,00574	0,00451
Valores admisibles	16,8	16,8	9	0,009	0,008
Verificación	CUMPLE	CUMPLE	CUMPLE	CUMPLE	CUMPLE

Comprobaciones de desplazamientos máximos.

COMPROBACIÓN DE TENSIONES

Para realizar estas comprobaciones se toman los valores máximos de las reacciones en los apoyos, independientemente de que estos valores no se produzcan para una misma combinación de acciones.

	F _x (KN)	F _y (KN)	F _z (KN)
Máximo valor de cálculo	59,04	24,18	737,75

Reacciones máximas en los apoyos.

- Comprobación de la tensión media de compresión:

$$\sigma_{med} = \frac{737,75}{0,2 \times 0,3} = 12295,83 \text{ KN/m}^2 \leq 15000 \text{ KN/m}^2$$

- Comprobación de las tensiones tangenciales:

Axil de compresión

$$\tau_{max} = 4,8 \sigma_{med} \frac{t}{a} = 4,8 \cdot 12295,83 \cdot \frac{8}{200} = 2360,80 \text{ KN/m}^2$$

Momento flector

$$\tau_{max} = 0,1648 \frac{R_{max}}{n} G \left(\frac{b}{n t}\right)^2 = 0,1648 \frac{0,00574}{3} 900 \left(\frac{300}{38}\right)^2 = 44,34 \text{ KN/m}^2$$



Esfuerzo cortante

$$\tau_{max} = \frac{V_{max}}{A} = \frac{59,04}{0,06} = 984 \text{ KN/m}^2$$

Calculamos la tensión tangencial máxima total (τ_{total}) como:

$$\tau_{total} = 2360,80 + 44,34 + 984 = 3389,14 \text{ KN/m}^2 < 5G = 4500 \text{ KN/m}^2$$

9. FORJADO COLABORANTE

El presente apartado tratará de definir el proceso de dimensionamiento y cálculo del forjado mixto colaborante que constituye el pavimento de la estructura sobre el cual circularán los usuarios de la misma.

9.1 INTRODUCCIÓN

El forjado mixto de chapa colaborante se encuentra formado por un perfil de chapa grecada de acero, sobre el que se vierte el hormigón y un mallazo de reparto con el fin de evitar la fisuración por efectos de retracción y temperatura. También se puede disponer armadura de flexión, tanto de negativos como de positivos en los casos en los que se haga necesario.

El perfil de chapa grecada es capaz de soportar el hormigón vertido, la armadura metálica y las cargas de ejecución. Una vez fraguado el hormigón, ambos materiales quedan interconectados de forma que los esfuerzos rasantes quedan absorbidos. En esta interconexión las indentaciones o embuticiones del perfil colaborante desempeñan un papel fundamental.

El forjado colaborante está clasificado como forjado unidireccional donde los nervios del perfil están sometidos a flexión en la dirección de la luz de cálculo. Este tipo de forjado soporta tanto cargas estáticas como móviles, repetitivas como aplicadas bruscamente, siempre que no excedan de las indicadas en la normativa vigente sobre acciones en la edificación.

Aunque se puede utilizar sobre estructuras de hormigón, madera y mampostería (siempre y cuando se cumplan las condiciones de fijación y solape adecuadas), está especialmente diseñado para instalarlo sobre estructuras metálicas.

9.2 DIMENSIONAMIENTO

Este tipo de forjado está sometido a dos estados estructurales diferentes, uno durante la fase de ejecución y otro durante la fase de servicio. Durante la fase de hormigonado, la chapa de acero grecada es el único elemento resistente. Durante la fase de servicio, sin embargo, el hormigón y el acero trabajan conjuntamente como una sección mixta, actuando la chapa como armadura de positivos.

En nuestro caso tenemos dos disposiciones diferentes y por tanto dos casos a dimensionar. Uno en el caso de los tramos curvos, en los cuales la chapa se dispone de forma transversal, con los nervios en perpendicular al eje longitudinal del tablero, y otro en los tramos rectos, donde las chapas se sitúan longitudinalmente, con los nervios en paralelo al eje longitudinal del tablero.

Al tratarse de una sección mixta, debemos comprobar la resistencia a tensiones rasantes entre chapa y hormigón. El comportamiento del sistema frente a esas tensiones depende de las indentaciones que posee la chapa grecada y de los conectadores que se disponen entre las vigas de la estructura y el propio forjado. Actualmente las expresiones analíticas que permiten realizar la comprobación mencionada, involucran parámetros que deben ser obtenidos mediante ensayos de laboratorio para el tipo de chapa y hormigón empleados. Dado que habitualmente es esta resistencia al rasante entre chapa y hormigón el que provoca el estado último de agotamiento, y no disponiendo de los medios y los parámetros necesarios, se han utilizado para el dimensionamiento del forjado las tablas y el software de la casa comercial INCOPERFIL.

9.2.1 DIMENSIONAMIENTO EN LOS TRAMOS CURVOS

PERFIL DE CHAPA COLABORANTE

Introduciendo los parámetros de n° de vanos (1) y luz (2,5 m) en el software de predimensionamiento de la casa INCOPERFIL, nos sale la siguiente tabla de posibles chapas a utilizar en función de la sobrecarga, el espesor de la chapa y el canto de la losa.

PARÁMETROS CONOCIDOS:
Luz=2,4 Y Vanos=1

CANTO DE LA LOSA

ESPESOR

SOBRECARGA (armadura de negativos)

SOBRECARGAS MÁXIMAS

		CANTO DE LA LOSA					
		12	14	16	18	20	21
ESPESOR	0,75	750	934	1.123	1.312	1.500	1.589
	1,00	1.198	1.496	1.798	2.100	2.402	2.548
	1,20	1.314	1.661	1.966	2.261	2.546	2.680

LEYENDA

ESPESOR: mm

LUZ: m

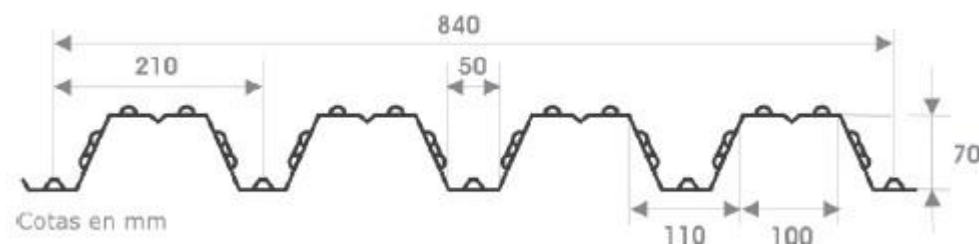
SOBRECARGA: kp/m²

CANTO: cm

APUNTALAMIENTO EN CENTRO DE VANO



Dado que nuestra sobrecarga de uso es de 5 KN/m², nos interesa el forjado con menor espesor de chapa y menor canto de losa que cumpla dicha restricción de sobrecarga. En este caso para un espesor de 0,75 mm y un canto de losa de 12 cm tendríamos una sobrecarga máxima de 7,50 KN/m² con lo que este será el perfil escogido.



Características de la chapa INCO 70.4 colaborante (cotas en mm).

		Valores Eficaces del Perfil				
		Peso (kg/m ²)	Momento Inercia + (mm ⁴ /m)	Momento Inercia - (mm ⁴ /m)	Modulo Resistente+ (mm ³ /m)	Modulo Resistente- (mm ³ /m)
Espesor (mm)	0,75	8,71	780.682	648.009	12.627	15.672
	1,00	11,61	1.038.647	861.720	23.588	26.593
	1,20	13,93	1.316.341	1.040.382	33.280	33.400

Valores eficaces del perfil INCO 70.4 colaborante.

HORMIGÓN

La característica más importante del hormigón es su resistencia a compresión simple (f_{ck}), medida en probeta cilíndrica a 28 días. El hormigón utilizado en todos los casos es un HA-30/B/20/IIa. Los volúmenes necesarios en función del canto de la losa, en nuestro caso 12 cm, pueden consultarse en la siguiente tabla.

Volumetría e Inercia Losa		
Canto Forjado (cm)	Volúmen Hormigón (m ³ /m ² de Losa)	Inercia Bruta (cm ⁴ /m)
12	0,077	6.917
14	0,097	11.042
16	0,117	16.313
18	0,137	22.981
20	0,157	31.256
21	0,167	36.064

Volúmenes de hormigón(m³/m²).

ARMADURA

La función principal del perfil INCO 70.4 Colaborante es constituir la armadura de positivos o de tracción de la losa mixta. El resto de armaduras que componen el forjado son:

- Mallazo antifisuración (mallazo electrosoldado): dispuesto en la capa de compresión evita la retracción del hormigón durante su fase de fraguado. A continuación podemos ver las características del mallazo utilizado en función del canto del forjado. En nuestro caso utilizaremos mallazo 150x150 de diámetro $\phi 5$.

Armadura de Reparto (mm)										
Canto del Forjado (cm)										
12	13	14	15	16	17	18	19	20	21	
150x150x5			150x150x6			100x100x6				

Armadura de reparto recomendada para cada uno de los cantos de la losa.

- Armadura de negativos (barras corrugadas): se sitúan en los apoyos intermedios en las losas de más de un vano, su función es la de absorber los momentos de flexión negativos. En el caso de los tramos curvos que estamos estudiando sólo tenemos un vano, por tanto no es necesario el uso de armadura de negativos.



- Armadura de positivos (barras corrugadas): Colocada una por valle. Es una armadura complementaria en el caso de que la chapa no fuera suficiente para absorber los momentos de flexión positivos. En nuestro caso dadas las reducidas luces y la holgura en cuanto a sobrecargas de la que disponemos (5KN/m² frente a 7,5KN/m² de resistencia) no dispondremos armaduras de positivos.

9.2.2 DIMENSIONAMIENTO EN LOS TRAMOS RECTOS

PERFIL DE CHAPA COLABORANTE

En este caso tenemos 2 vanos, tomando como luz máxima En cada vano 2,1 metros para quedarnos del lado de la seguridad. De nuevo introducimos estos datos en el software de predimensionamiento obteniendo las siguientes chapas en función de las sobrecargas, el espesor de la chapa y el canto de la losa.

PARÁMETROS CONOCIDOS:
Luz=2,1 Y Vanos=2

CANTO DE LA LOSA

ESPOSOR

SOBRECARGA (armadura de negativos)

SOBRECARGAS MÁXIMAS

ESPOSOR	CANTO DE LA LOSA					
	12	14	16	18	20	21
0,75	1.242 50°8	1.562 50°10	1.877 50°12	2.117 50°12	2.250 50°12	2.315 50°12
1,00	1.420 50°10	1.787 50°12	1.932 50°12	2.159 50°12	2.291 50°12	2.355 50°12
1,20	1.418 50°10	1.785 50°12	1.930 50°12	2.157 50°12	2.289 50°12	2.353 50°12

LEYENDA

ESPOSOR: mm

LUZ: m

SOBRECARGA: kp/m²

CANTO: cm

APUNTALAMIENTO EN CENTRO DE VANO

En este caso, para un espesor de chapa de 0,75mm y un canto de losa de 12 cm, tenemos una sobrecarga máxima de 12,42 KN/m² por lo que cumplimos holgadamente. Por tanto utilizaremos el mismo perfil de chapa que empleamos en los tramos curvos, cuyas características se expusieron anteriormente.

HORMIGÓN

El hormigón empleado es el mismo en todos los tramos, quedando sus características y volúmenes definidos en el apartado anterior.

ARMADURA

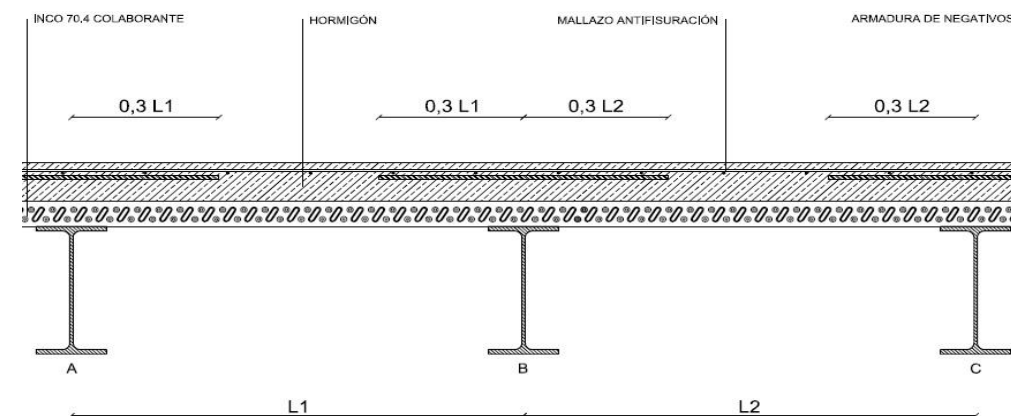
- Mallazo antifisuración (mallazo electrosoldado): el mismo que el empleado en los tramos curvos y definido en el apartado anterior.
- Armadura de negativos (barras corrugadas): Se sitúan en el apoyo intermedio y su función es la de absorber los momentos flectores negativos. Los diámetros a utilizar vienen dados en la siguiente tabla, y se situará un diámetro por cada valle (en la parte superior de la capa de compresión), con una separación entre redondos de 210mm.

Espesor	Diámetro de las armaduras de negativo (mm)*									
	Canto del Forjado (cm)									
0,75	12	13	14	15	16	17	18	18	20	21
1	8	8	10	10	12	12	12	12	12	12
1,2	10	10	12	12	12	12	12	12	12	12

Diámetro de las armaduras para los distintos cantos de losa y espesores de chapa.

Teniendo en cuenta nuestro espesor de chapa (0,75mm) y canto de losa (12cm) necesitamos redondos $\phi 8$ cada 210 mm. Cada barra $\phi 8$ tiene una masa de 0,395 kg/m y una sección nominal de 50,03mm².

La longitud de las armaduras de negativos será proporcional a la distancia entre apoyos en cada vano según la siguiente expresión $L_{total} = 0,30(L1+L2)$, siendo L1 Y L2 las luces de los vanos que llegan al apoyo estudiado.





Características Mecánicas de las Barras Corrugadas					
Designación	Clase de Acero	f_y	f_s	Alargamiento %	f_s/f_y
B 400S	Soldable	400	440	14	1,05
B 500S	Soldable	500	550	12	1,05

Características mecánicas de las barras.

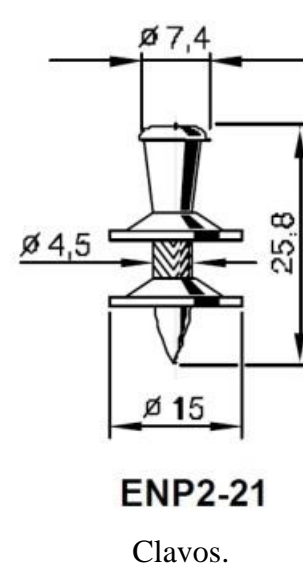
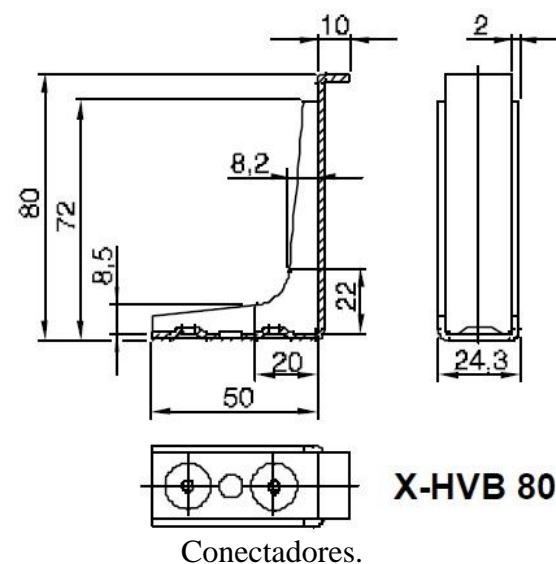
En nuestro caso emplearemos acero B500S en todas las barras corrugadas.

- Armadura de positivos: no será necesario el empleo de armadura de positivos, como se expuso en el apartado anterior.

9.3 CONECTADORES

Denominamos conectadores a los elementos que aseguran la unión mecánica entre una viga metálica y un bloque de hormigón, con el objeto de realizar una estructura mixta.

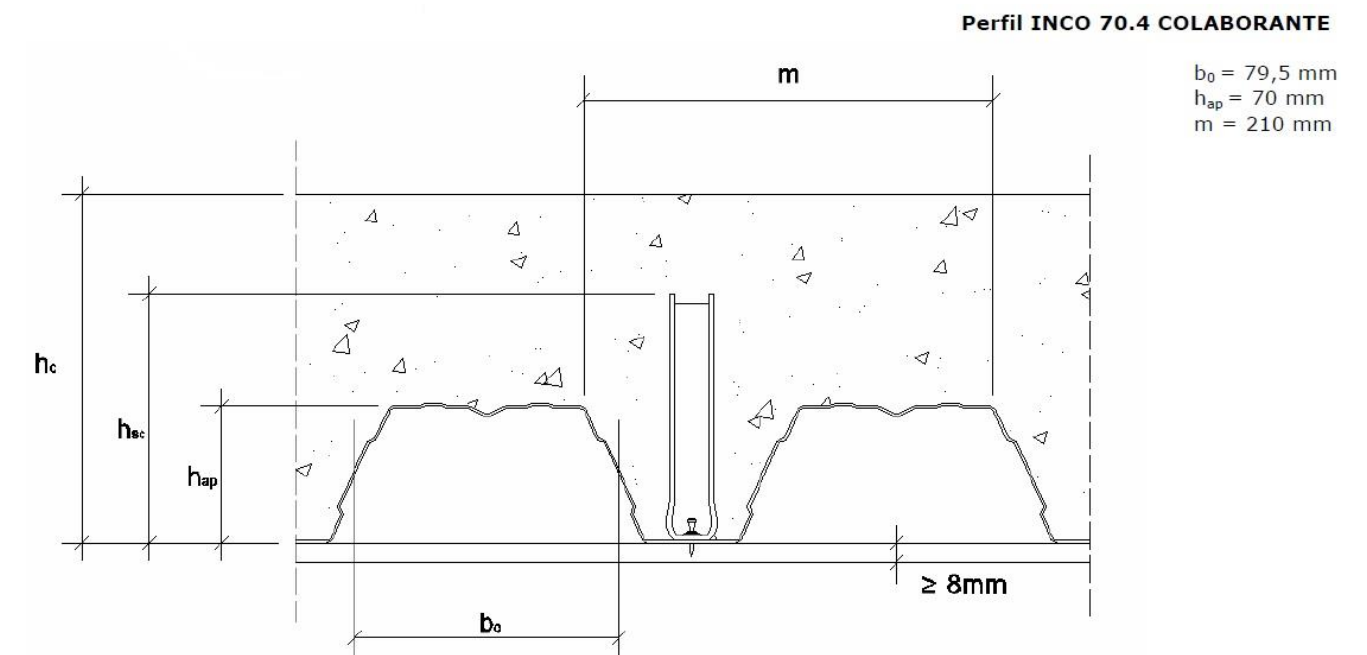
Los conectadores empleados son HILTI X-HVB 95, que se instalan clavándose mediante disparo. El sistema empleado es un sistema rápido y económico, ya que es independiente del suministro eléctrico. Estos conectadores son unas piezas de acero conformado en frío con geometría general en "L". Cada conectador se fija con dos clavos ENP2-21 L15 o bien ENPH2-21 L15, los cuales se colocan con la ayuda de una pistola de disparo.



RESISTENCIA

Previamente a calcular la resistencia de los conectadores con chapa perfilada, es preciso conocer la resistencia en losa maciza, para aplicar después los coeficientes reductores correspondientes según el esquema de colocación.

La resistencia de cálculo en régimen elástico en losa maciza de los conectadores HILTI X-HVB 95 es de 22 KN (según las tablas del fabricante). En el caso de forjados mixtos con chapa perfilada es preciso multiplicar el valor anterior por un coeficiente reductor: k_t si la chapa se dispone perpendicularmente a la viga; o bien k_p , si la chapa perfilada se dispone paralelamente a la viga.



En nuestro caso, tras consultar las tablas proporcionadas por el fabricante, obtenemos la siguiente expresión para calcular los coeficientes reductores:

$$k_t = k_p = 0.6 \frac{b_0}{h_{ap}}$$

Donde:

- b_0 : ancho del nervio.
- h_{ap} : altura de la chapa grecada.

Aplicando la fórmula obtenemos un coeficiente reductor igual a 0,6814. Por tanto, la resistencia de cada conectador tanto en el caso de nervios perpendiculares a la viga (tramos rectos), como en el caso de nervios paralelos a la viga (tramos curvos), vale 14,99 KN.



Dado que en este caso la conexión entre las vigas metálicas transversales y la losa de hormigón no tiene por qué trabajar como una sección mixta, sino que puede funcionar como una unión parcial entre ambos, se ha decidido disponer un número de conectadores por viga cuya resistencia total sea superior al 20% de la carga vertical sobre las vigas (peso propio del forjado y sobrecarga de uso), siendo este un procedimiento utilizado en muchos otros proyectos ya contrastados.

El valor de la sobrecarga es de 5 KN/m² y el peso propio del forjado es 2 KN/m², por tanto el valor de cálculo de la carga horizontal (20% de la vertical) resulta:

- Superficie de contribución por viga: 2,5m x 2m = 5m²
- Carga horizontal de cálculo: 0,2 x (5 KN/m² + 2 KN/m²) x 5 m² = 7 KN

El esfuerzo rasante que se produce en los conectadores clavados sobre cada viga transversal, es aquel que contrarresta el esfuerzo axial de tracción generado por el desplazamiento relativo entre la viga y la losa del forjado. Este esfuerzo axial se calcula con las propiedades mecánicas de la sección de forjado (al ser de tracción únicamente se considera la armadura) y con el alargamiento producido en una longitud L.

$$F = \frac{\Delta L E A_s}{L}$$

Siendo:

- L: distancia entre los puntos de medida del alargamiento (2 m).
- E: módulo de elasticidad del acero (210000000 KN/m²).
- A_s: área de acero correspondiente a la chapa y a la armadura de negativos (0,002608 m² y 0,0005533 m²)
- ΔL: alargamiento producido para la longitud L (0,0002 m).

Finalmente obtenemos un esfuerzo axial F = 66,39 KN.

Dividiendo este axial de diseño por la resistencia de cada conectador (14,99 KN) obtenemos el número mínimo de conectores que necesitamos por cada viga. En este caso necesitamos un mínimo de 5 conectadores, pero debido a la disposición de las chapas en el proceso de montaje, se dispondrán 6 conectadores por viga como mínimo.

10. CIMENTACIONES

10.1 INTRODUCCIÓN

En este capítulo se describirán los cálculos realizados para el dimensionamiento y armado de los elementos de cimentación de la estructura.

Como hemos visto en el Anejo Geotécnico, podemos cimentar la pilas mediante zapatas superficiales sobre el estrato rocoso que se encuentra entre 1,5 y 2 metros de profundidad y presenta unas condiciones de resistencia adecuadas para evitar asentamientos y conseguir una buena cimentación.

El cálculo de las zapatas se hará en base al módulo de Metal 3D del programa CYPE Arquitectura, Ingeniería y Construcción que proporcionara el dimensionamiento y armado de las mismas a partir de los datos de cargas introducidos para la obra, extraídos de las reacciones resultantes en el modelo tridimensional realizado en SAP2000.

Las reacciones que se introducen en el dimensionamiento de las zapatas son las correspondientes a la envolvente para E.L.U. Además, se toma el conjunto formado por las reacciones máximas para cada tipo de esfuerzo, sin importar que sean o no concomitantes, a modo de una envolvente que asegure un funcionamiento adecuado de los cimientos.

A la hora de dimensionar y comprobar con el programa, el principio más importante es el de la racionalidad constructiva. Es decir, dadas las facilidades que ofrece la herramienta informática, se pueden ajustar al máximo los diámetros de armaduras y pernos, los espesores de placas y cartelas, el canto de la zapata, etc. pero tras ello debe modificarse la solución inicial para evitar que existan muchos diámetros distintos, ajustar las separaciones para reducir confusiones en obra, intentar que los espesores de chapa sean cuantos menos mejor y que pertenezcan a los utilizados en otras partes de la estructura, comprobar que el canto de la zapata permite alcanzar la cota de cimentación propuesta en el estudio geotécnico a la vez que respetar la longitud de los elementos cimentados considerada en el modelo estructura.

En el Apéndice III Cimentaciones y Estribos, se adjuntan todos los listados de comprobaciones efectuadas con el programa CYPECAD.

10.2 ZAPATAS

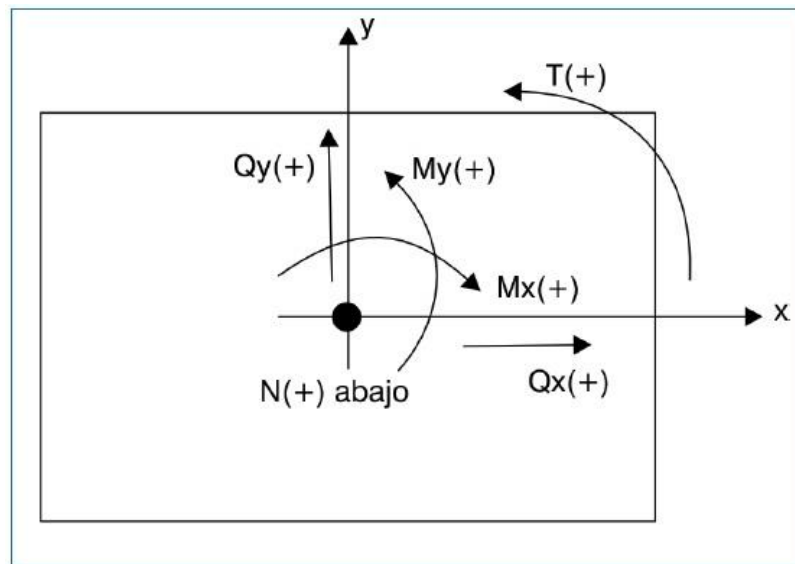
En el modelo de cálculo debemos especificar los siguientes parámetros previamente a realizar el dimensionamiento:

- Tipo de hormigón y tipo de acero
- Tensión admisible del terreno
- Tipo de arranque y de cimentación

- Los esfuerzos que cada pila transmite a la cimentación

Las cargas transmitidas por los soportes se transportan al centro de la zapata obteniendo su resultante. Los esfuerzos transmitidos pueden ser:

- N: axil
- Mx: momento x
- My: momento y
- Qx: cortante x
- Qy: cortante y
- T: torsor



Esfuerzos en zapatas.

Los estados a comprobar son:

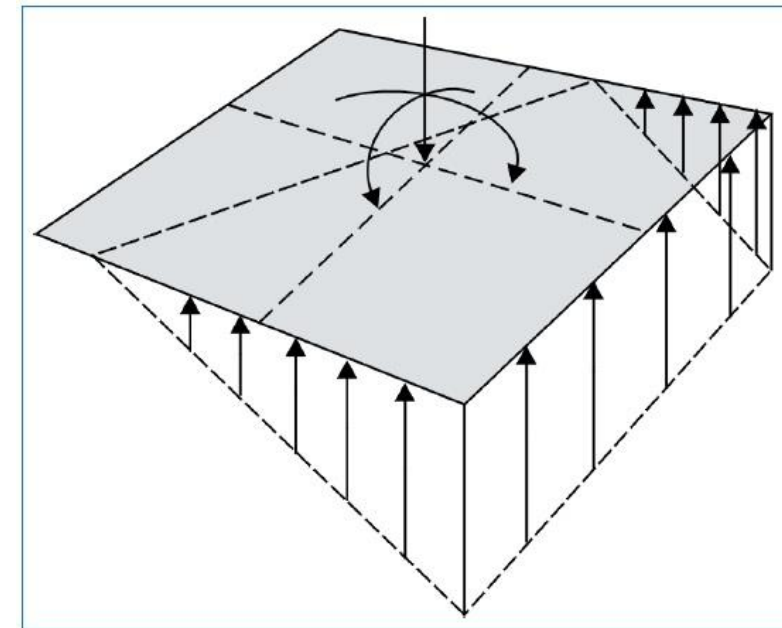
- Tensiones sobre el terreno
- Equilibrio
- Hormigón (flexión y cortante)

Se puede realizar un dimensionado a partir de las dimensiones por defecto definidas en las opciones del programa, o de unas dimensiones dadas. También se puede simplemente obtener el armado a partir de una geometría determinada. La comprobación consiste en verificar los aspectos normativos de la geometría y armado de una zapata.

TENSIONES SOBRE EL TERRENO

Se supone una ley de deformación plana para la zapata, por lo que se obtendrán, en función de los esfuerzos, unas leyes de tensiones sobre el terreno de forma trapecial. No se admiten tracciones, por lo que, cuando la resultante se salga del núcleo central, aparecerán zonas sin tensión.

La resultante debe quedar dentro de la zapata, pues si no es así no habría equilibrio. Se considera el peso propio de la zapata.



Tensiones bajo la zapata.

Se comprueba que:

- La tensión media no supere la del terreno.
- La tensión máxima en borde no supere en un % la tensión media según el tipo de combinación:
 - o Gravitatoria: 25%
 - o Con viento: 33%
 - o Con sismo: 50%

ESTADOS DE EQUILIBRIO

Aplicando las combinaciones de estado límite correspondientes, se comprueba que la resultante queda dentro de la zapata.



El exceso respecto al coeficiente de seguridad se expresa mediante el concepto % de reserva de seguridad:

$$\left(\frac{0,5 \times \text{ancho zapata}}{\text{excentricidad resultante}} - 1 \right) \times 100$$

Si es cero, el equilibrio es el estricto, y si es grande indica que se encuentra muy del lado de la seguridad con respecto al equilibrio.

ESTADOS DE HORMIGÓN

Momentos flectores

En el caso de pilar único, se comprueba con la sección de referencia situada a 0.15 la dimensión del pilar hacia su interior.

Se efectúa en ambas direcciones x e y, con pilares metálicos y placa de anclaje, en el punto medio entre borde de placa y perfil.

Cortantes

La sección de referencia se sitúa a un canto útil de los bordes del soporte.

Anclaje de las armaduras

Se comprueba el anclaje en sus extremos de las armaduras, colocando las patillas correspondientes en su caso, y según su posición.

Cantos mínimos

Se comprueba el canto mínimo especificado por la norma. Si el canto es suficiente no será necesario disponer armadura de compresión a flexión ni armadura de punzonamiento.

Separación de armaduras

Se comprueba las separaciones mínimas entre armaduras de la norma, que en caso de dimensionamiento se toma un mínimo práctico de 10 cm.

Cuantías mínimas y máximas

Se comprueba el cumplimiento de las cuantías mínimas, mecánicas y geométricas que especifique la norma (EHE)-08.

Diámetros mínimos

Se comprueba que el diámetro no sea superior al mínimo indicado en la norma (EHE-08).

Dimensionado

El dimensionado a flexión obliga a disponer cantos para que no sea necesaria armadura de compresión. El dimensionado a cortante, igualmente, para no tener que colocar refuerzo transversal.

Comprobación a compresión oblicua

Se realiza en el borde de apoyo, no permitiendo superar la tensión en el hormigón por rotura a compresión oblicua. Dependiendo del tipo de soporte, se pondera el axil del soporte por:

- Soportes interiores: 1.15
- Soportes medianeros: 1.4
- Soporte esquina: 1.5

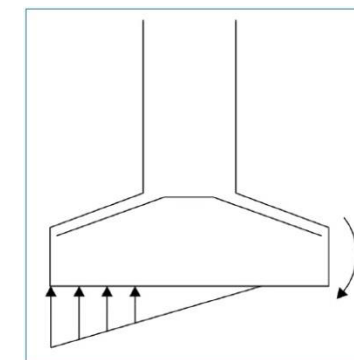
Para tener en cuenta el efecto de la excentricidad de las cargas.

Se dimensionan zapatas rígidas siempre, aunque en comprobación solamente se avisa de su no cumplimiento en su caso:

$$\frac{\text{vuelo}}{\text{canto}} \leq 2$$

Se dispone de unas opciones de dimensionamiento de manera que el usuario pueda escoger la forma de crecimiento de la zapata, o fijando alguna dimensión, en función del tipo de zapata. Los resultados, lógicamente, pueden ser diferentes según la opción seleccionada.

Cuando la ley de tensiones no ocupe toda la zapata, pueden aparecer tracciones en la cara superior por el peso de la zapata en voladizo, colocándose una armadura superior si fuese necesario.



Armadura superior.



10.3 PLACAS DE ANCLAJE

Debido a que los pilares metálicos no podrían asentarse directamente sobre el hormigón de la cimentación ya que esta no resistiría las tensiones transmitidas, se dispondrán unas placas metálicas entre pilar y cimiento. Su misión fundamental será la de disminuir las tensiones para que puedan ser admisibles por el hormigón. La unión de la placa con la zapata se realizara mediante pernos de anclaje embebidos en el hormigón, los cuales inmovilizaran el pilar antes posibles tracciones.

Las comprobaciones que se deben efectuar para validar una placa de anclaje se dividen en tres grupos, según el elemento comprobado: hormigón de la cimentación, pernos de anclaje y placa propiamente dicha, con sus rigidizadores, si los hubiera.

- **Comprobación sobre el hormigón.** Consiste en verificar que en el punto más comprimido bajo la placa no se supera la tensión admisible del hormigón. El método usado es el de las tensiones admisibles, suponiendo una distribución triangular de tensiones sobre el hormigón que sólo pueden ser de compresión. La comprobación del hormigón sólo se efectúa cuando la placa está apoyada sobre el mismo, y no se tiene un estado de tracción simple o compuesta. Además, se desprecia el rozamiento entre el hormigón y la placa de anclaje, es decir, la resistencia frente a cortante y torsión se confía exclusivamente a los pernos.
- **Comprobaciones sobre los pernos.** Cada perno se ve sometido, en el caso más general, a un esfuerzo axil y un esfuerzo cortante, evaluándose cada uno de ellos de forma independiente. El programa considera que en placas de anclaje apoyadas directamente en la cimentación, los pernos sólo trabajan a tracción. En caso de que la placa esté a cierta altura sobre la cimentación, los pernos podrán trabajar a compresión, haciéndose la correspondiente comprobación de pandeo sobre los mismos (se toma el modelo de viga biempotrada, con posibilidad de corrimiento relativo de los apoyos normal a la directriz: $b = 1$) y la traslación de esfuerzos a la cimentación (aparece flexión debida a los cortantes sobre el perfil). El programa hace tres grupos de comprobaciones en cada perno:
 - **Tensión sobre el vástago:** consiste en comprobar que la tensión no supere la resistencia de cálculo del perno.
 - **Comprobación del hormigón circundante:** A parte del agotamiento del vástago del perno, otra causa de su fallo es la rotura del hormigón que lo rodea por uno o varios de los siguientes motivos:
 - Deslizamiento por pérdida de adherencia.
 - Arrancamiento por el cono de rotura.
 - Rotura por esfuerzo cortante (concentración de tensiones por efecto cuña).

Para calcular el cono de rotura de cada perno, el programa supone que la generatriz del mismo forma 45° con su eje. Se tiene en cuenta la reducción de área efectiva por la presencia de otros pernos cercanos, dentro del cono de rotura en cuestión.

- **Aplastamiento de la placa:** El programa también comprueba que, en cada perno, no se supera el cortante que produciría el aplastamiento de la placa contra el perno.

➤ Comprobaciones sobre la placa.

Cálculo de tensiones globales. El programa construye cuatro secciones en el perímetro del perfil, comprobando todas frente a tensiones. Esta comprobación sólo se hace en placas con vuelo (no se tienen en cuenta los pandeos locales de los rigidizadores, y se debe comprobar que sus espesores no le dan una esbeltez excesiva).

Cálculo de tensiones locales. Se trata de comprobar todas las placas locales en las que perfil y rigidizadores dividen a la placa de anclaje propiamente dicha. Para cada una de estas placas locales, partiendo de la distribución de tensiones en el hormigón y de axiles en los pernos, se calcula su flector ponderado pésimo, comparándose con el flector de agotamiento plástico. Esto parece razonable, ya que para comprobar cada placa local se supone el punto más pésimo de la misma, donde se obtiene un pico local de tensiones que puede rebajarse por la aparición de plastificación, sin disminuir la seguridad de la placa.

10.4 ESTRIBOS

Se han proyectado tres estribos en los extremos de las rampas de la pasarela cuya función es sustentar la estructura y representar la transición entre ésta y el terreno natural, al que transmiten las reacciones que reciben de los neoprenos situados sobre ellos. También debe estar preparado para contener el empuje de las tierras de su trasdós, incluyendo en éste las presiones horizontales generadas por las sobrecargas que actúan sobre el relleno.

Se desestima la solución mediante estribos abiertos ya que el ahorro de material que lograríamos al no tener que construir un muro de longitud igual al ancho de la pasarela solo se manifiesta a partir de una altura considerable de terraplén, que no es el caso que se estudia en esta pasarela. Además se colocarían los fustes muy próximos entre sí (para igualar los momentos que se produzcan en la viga cabezal), lo que dificulta la construcción de los mismos. Por lo tanto se opta por un estribo cerrado.



El muro del estribo se dotará en cabeza de un murete de guarda que tiene como misión la de contener el tablero como un elemento de seguridad. Asimismo, dicho murete soportará las cargas que el terraplén dispuesto tras él le transmite. Para salvar el desnivel existente entre la altura del pavimento de la pasarela sobre el estribo y el de la calle se optó por emplear paredes formando una sección en U a modo de artesa, constituida por dos muros laterales, que podrían entenderse como las aletas del estribo cerrado, y un cimientado, que encierran el relleno interior.

Por tanto el objetivo de este capítulo es, por un lado, el dimensionamiento y comprobación de los estribos propiamente dichos que recogen las cargas transmitidas por el tablero a los apoyos, y por otro, el de los muros laterales que los cierran como estructura de contención del relleno.

Los cimientos de muros y estribos han de profundizar hasta alcanzar una cota de entre -1 y -1,5 metros, donde apoyarán en el estrato rocoso con la resistencia adecuada, tal como podemos ver en el Estudio Geotécnico.

MATERIAL DE RELLENO

Se dispondrán terraplenes limitados por muros que sirvan de transición entre la estructura metálica de la pasarela y el pavimento de la calle.

Se empleará un relleno con suelo en lugar de hormigón en masa con lo que se consigue un considerable ahorro económico (se aprovechará el volumen extraído en la excavación para el hormigonado de las zapatas, pues la mezcla de relleno antrópico, manto de alteración granodiorítica, granodiorita moderadamente meteorizada y fragmentos de roca sana garantiza una carga admisible superior a la necesaria). Sobre el material térreo que forma el cuerpo del terraplén se coloca una capa de mortero u hormigón pobre de unos 10 cm, que permite continuar el pavimento de madera en su superficie. Este pavimento recibe la carga de la Instrucción de 5 kN/m² (0.005 MPa), por lo que esta debe ser la carga admisible por el material compactado que constituya la explanada.

Debe comprobarse que se cuenta con la cantidad de relleno necesario, considerando para ello, del lado de la seguridad, que no hay diferencia entre el volumen en banco y el de relleno (es decir, no se tiene en cuenta el esponjamiento).

CARGAS DE CÁLCULO

Transmitidas por la estructura

A partir de los modelos de cálculo analizados en los anteriores capítulos se obtienen los valores de los esfuerzos máximos que se transmiten a los estribos a través de los aparatos de apoyo. Estos esfuerzos son las reacciones de la pasarela (opuestas y de signo contrario a los esfuerzos que recibe la pasarela), y además se escogen los valores máximos del modelo realizado en SAP2000 para E.L.U. con muelles

para dimensionar los aparatos de apoyo aunque no sean concomitantes, que nos deja del lado de la seguridad. Se introducen en el programa CYPE como cargas lineales en cabeza de muro.

Transmitidas por el terreno

Las tierras del relleno y la actuación de la sobrecarga de uso en el pavimento inducen unas presiones horizontales sobre el estribo y sus aletas o muros laterales. Estas presiones dependen, además de las actuantes sobre su superficie (sobrecarga de uso $q = 5 \text{ kN/m}^2$), de la densidad aparente del suelo, de la profundidad a la que se evalúa dicha presión y del coeficiente de empuje K.

El valor del coeficiente de empuje puede variar entre un mínimo (empuje activo) y un valor máximo (empuje al reposo) ya que depende del ángulo de rozamiento interno del material que conforma el relleno.

El empuje activo se produce cuando el elemento de contención gira o se desplaza lo suficiente hacia el exterior bajo las presiones del relleno o la deformación de su cimentación hasta alcanzar unas condiciones de empuje mínimo. El empuje pasivo se da cuando el elemento de contención es comprimido contra el terreno por las cargas transmitidas por una estructura u otro efecto similar hasta alcanzar unas condiciones de máximo empuje. En el empuje en reposo se produce un estado intermedio que es el correspondiente al estado tensional inicial en el terreno.

Suele ser habitual en estribos, y así se hará por estar del lado de la seguridad, considerar el empuje al reposo en el murete de guarda y el empuje activo en las aletas, que al ser más flexibles por su menor espesor permiten desplazamientos del terreno.

CÁLCULO DE MUROS Y CIMENTACIONES

El cálculo del muro que conforma el estribo, así como la cimentación se realiza con el programa de cálculo CYPECAD mediante el módulo muros en ménsula de hormigón armado.

En el modelo se introducen los siguientes datos: geometría del estribo, materiales (tipo de hormigón y acero), descripción del terreno y cargas transmitidas por los apoyos (se consideran de forma separada las cargas permanentes y las sobrecargas para su posterior combinación).

El programa lleva a cabo las siguientes comprobaciones:

- Comprobación a rasante en arranque de muro.
- Comprobación a cortante.
- Comprobación de fisuración.
- Comprobación de longitudes de solape.
- Comprobación del anclaje del armado base en coronación.
- Comprobación de flexocompresión.



- Cuantía mínima mecánica, para que no se produzcan roturas frágiles al fisurarse la sección debido a los esfuerzos de flexocompresión.
- Cuantía máxima geométrica.
- Separación mínima de armaduras, para permitir un correcto hormigonado.
- Separación máxima de armaduras.
- Espesor mínimo, según Jiménez Salas, J.A. Geotecnia y Cimientos II, (Cap. 12).
- Cuantía mínima geométrica, para controlar la fisuración debida a deformaciones originadas por los efectos de temperatura y retracción. Por su parte, en las zapatas de los muros y estribos se comprueban los siguientes estados:
 - Separación máxima entre barras.
 - Separación mínima entre barras.
 - Comprobación de estabilidad al vuelco y al deslizamiento.
 - Tensiones sobre el terreno.
 - Canto mínimo.
 - Longitudes de anclaje.
 - Cuantía geométrica y mecánica.
 - Diámetro mínimo de las barras.
 - Flexión en zapata.
 - Cortante.

11. BARANDILLAS

11.1 INTRODUCCIÓN

Según indica la Instrucción sobre las acciones a considerar en el proyecto de puentes de carretera (IAP-11) en el elemento superior de las barandillas se considerará la actuación de una fuerza horizontal perpendicular a las mismas igual 1.5 KN/m, a una altura sobre el pavimento igual a la del elemento superior a la barandilla y no superior a 1.5m. Esta acción tiene carácter local y se utilizará únicamente para la comprobación de la propia barandilla y de sus anclajes, sin que deba ser considerada a efectos de ninguna otra verificación de la seguridad general de la estructura.

En nuestro caso la barandilla se compone de chapas verticales con forma de doble cono invertido, de 10 mm de espesor, separadas 1,6 m, y un pasamanos formado por un perfil circular hueco de 60 mm de diámetro y 4mm de espesor, alcanzando el conjunto una altura total de 26 cm. El conjunto formado por las vigas longitudinales y las barandillas permite alcanzar una altura de seguridad de 1,12 m desde la superficie del pavimento.

Los soportes verticales son de acero S275JR, y se sueldan directamente a las vigas longitudinales de la estructura. El pasamanos es de acero inoxidable S235-JR con acabado pulido.

11.2 PESO PROPIO ELEMENTOS

Elementos verticales cada 1.6 metros:

$$P = \frac{7,85 \cdot 9,81 \cdot 0,01 \cdot 2 \cdot \left[\frac{(0,06 + 0,03) \cdot 0,13}{2} \right]}{1,6} = 0,009010 \text{ KN/m}$$

Pasamanos tubular de $\phi 60.4$ mm:

$$A = 3,01593 \cdot 10^{-4} \text{ m}^2$$

$$P = 7,85 \cdot 9,81 \cdot 3,01593 \cdot 10^{-4} = 0,02323 \text{ KN/m}$$

El peso total de la barandilla por metro lineal es de 0,03224 KN/ m. Para redondear y quedándonos del lado de la seguridad el peso considerado en el modelo de cálculo es de 0,04 KN/m.

11.3 CÁLCULO DE LA BARANDILLA

COMPROBACIÓN DE CHAPAS SOPORTE

En el borde superior de la barandilla se aplica una carga lineal de 1,5 KN/m, teniendo en la base los siguientes esfuerzos y tensiones.



Esfuerzos considerados:

Cortante:

$$V = 1,5 \times 1,6 = 2,4 \text{ KN}$$

Flector:

$$M = (1,5 \times 1,6) \times 0,26 = 0,624 \text{ KNm}$$

El área (A), la inercia (I) y el módulo resistente (W) de la sección son los siguientes:

$$A = 0,01 \cdot 0,06 = 0,0006 \text{ m}^2$$

$$I = \frac{1}{12} \cdot 0,01 \cdot 0,06^3 = 1,8 \cdot 10^{-7} \text{ m}^4$$

$$W = \frac{1,8 \cdot 10^{-7}}{\frac{0,06}{2}} = 6 \cdot 10^{-6} \text{ m}^3$$

La tensión debida al peso propio de la barandilla es:

$$\sigma_{pp} = \frac{0,04 \cdot 1,6}{0,0006} = 106,67 \text{ KN/m}^2$$

El momento flector provoca tensiones normales que responden a una ley lineal máxima en los extremos y de signo contrario, anulándose en la fibra neutra:

$$\sigma_{m\acute{a}x} = \frac{M}{W} = \frac{0,624}{6 \cdot 10^{-6}} = 104000 \text{ KN/m}^2$$

El esfuerzo cortante provoca tensiones tangenciales que responden a una ley parabólica máxima en la fibra neutra y nula en los extremos:

$$\tau_{m\acute{a}x} = \frac{3 \cdot V}{2 \cdot A} = \frac{3 \cdot 2,4}{2 \cdot 0,0006} = 6000 \text{ KN/m}^2$$

Nos queda una tensión total en los extremos:

$$\sigma_{total} = 106,67 + 104000 = 104106,67 \text{ KN/m}^2 < 225000 \text{ KN/m}^2 = f_y$$

Y en la fibra neutra:

$$\sigma_{co} = \sqrt{\sigma_{pp}^2 + 3 \tau_{m\acute{a}x}^2} = 10392,85 \text{ KN/m}^2 < 225000 \text{ KN/m}^2 = f_y$$

COMPROBACIÓN DEL PASAMANOS

El modelo estructural del pasamanos será el de una viga biapoyada, porque es más sencillo y nos deja del lado de la seguridad, aunque el modelo real debería estar a caballo entre una biempotrada y biapoyada en los extremos verticales separados 1,6 metros.

El módulo resistente de la sección del perfil tubular es:

$$W = 6,164 \times 10^{-6} \text{ m}^3$$

A lo largo de toda su longitud la viga recibe la carga de 1,5 KN/m:

$$M = \frac{1,5 \cdot 1,6^2}{8} = 0,48 \text{ KNm}$$

Por tanto, en la sección pésima tenemos las siguientes tensiones:

$$\sigma = \frac{M}{W} = \frac{0,48}{6,164 \cdot 10^{-6}} = 77871,51 \text{ KN/m}^2 < 225000 \text{ KN/m}^2 = f_y$$



12. DURABILIDAD

12.1 GENERALIDADES

Siguiendo las Recomendaciones para el Proyecto de Puentes Metálicos para carreteras (RPM-95), se exponen a continuación una serie de medidas a adoptar para garantizar la durabilidad de la estructura durante su vida útil en condiciones de servicio adecuadas.

Los puentes metálicos deben ser proyectados y construidos de manera que mantengan sus condiciones de seguridad, funcionalidad y aspecto, ajustándose unos costes de mantenimiento lo mas reducidos posible.

El diseño adoptado para la pasarela pretende, en la medida de lo posible, minimizar el riesgo de corrosión de los distintos elementos que componen la estructura, al hacerlos todos ellos accesibles con vistas a su inspección, limpieza y pintado. Las superficies de acero disponen de la protección adecuada, como se detalla en el Anejo de Protección y Conservación y se exige en el Pliego de Prescripciones Técnicas.

Se ha prestado especial atención a evitar la presencia de puntos de acumulación de agua y se ha dotado al tablero de las rampas de pendiente longitudinal, lo que permite la evacuación de aguas pluviales. Además, las juntas del pavimento de madera evitan retenciones de agua en la pasarela.

Se ha tratado de evitar, con una concepción adecuada de los nudos y encuentros de los elementos estructurales, la formación de recintos que favorezcan el depósito de residuos o suciedad. A la hora de la conservación y limpieza es importante el grado de accesibilidad en la estructura.

Se ha optado por el uso de perfiles cerrados durante la fase de diseño. La principal ventaja de este tipo de perfiles, desde el punto de vista de la durabilidad, es su mayor facilidad de mantenimiento.

Las piezas constituidas por perfiles huecos deben quedar perfectamente cerradas.

12.2 SOBRESPEORES EN SUPERFICIES INACCESIBLES

Las superficies inaccesibles a la inspección o a la reposición de la pintura y que no estén debidamente selladas estarán dotadas inicialmente con un aumento del espesor de la chapa estrictamente calculada, añadiéndole a éste un sobre espesor que compensa los posibles efectos corrosión durante la vida de la obra.

El incremento de los espesores nominales se establece, según la RPM-95, de acuerdo con el ambiente en el que se ubique la obra. Para un ambiente exterior con agresividad media, el sobre espesor será de 1mm por cara inaccesible y por cada 30años de vida útil prevista para la estructura. Considerando lo

expuesto anteriormente y que la vida útil de cálculo es de 100 años el sobre espesor de las chapas será de 3.4 mm.

Por tanto, si se considera que los perfiles no están convenientemente sellados sería necesario aumentar en 4mm el espesor de las chapas para compensar la corrosión previsible durante la vida útil de la estructura. Sin embargo, este sobreespesor no se tendrá en cuenta para los cálculos y comprobaciones.

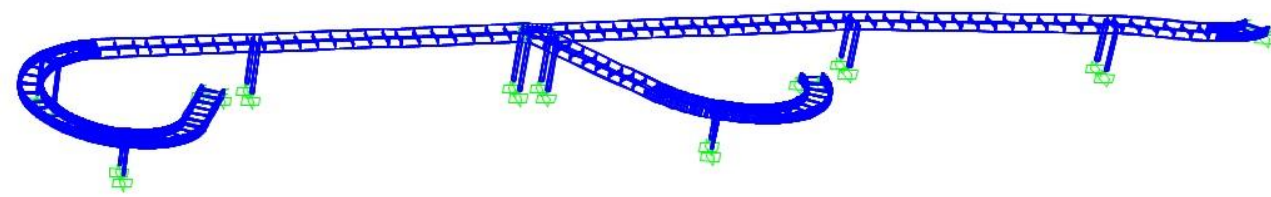


APÉNDICE I: DEFINICIÓN DEL MODELO

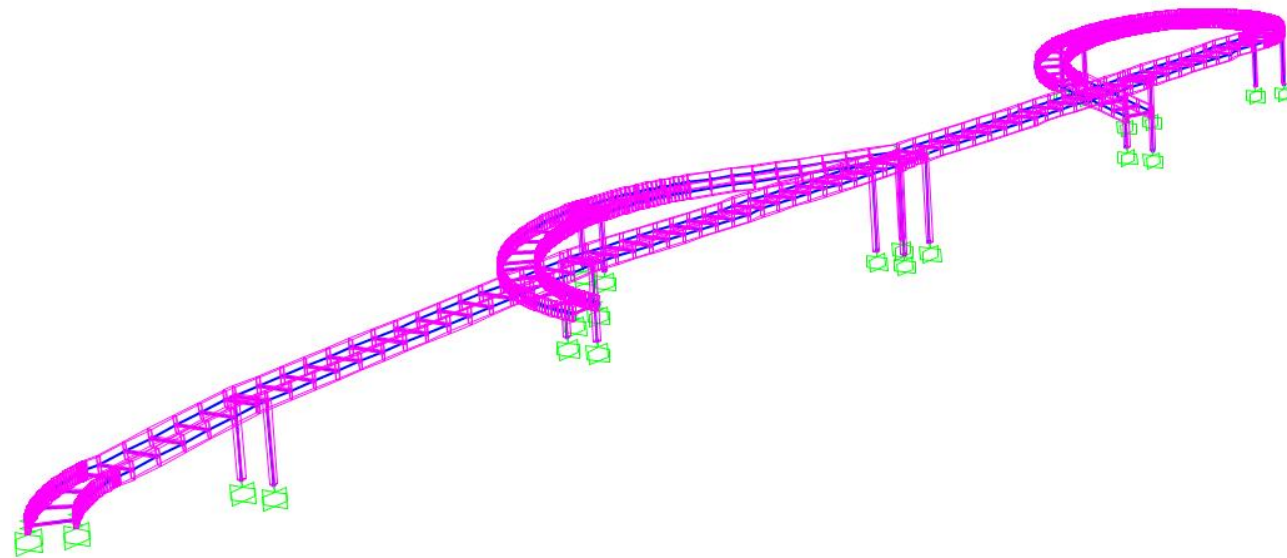


INTRODUCCIÓN

En este apéndice se define el modelo de cálculo de la estructura empleado en el programa SAP2000 v15. Se adjuntan algunas imágenes así como las tablas extraídas del programa que contienen la descripción completa de todos los elementos en cuanto a geometría, materiales, secciones y condiciones de contorno introducidas.



Vista modelo.



Vista modelo.

NUDOS

TABLE: Joint Coordinates									
Joint	CoordSys	CoordType	XorR	Y	Z	SpecialJt	GlobalX	GlobalY	GlobalZ
Text	Text	Text	m	m	m	Yes/No	m	m	m
1	GLOBAL	Cartesian	403,34981	-65,2939	0	No	403,34981	-65,2939	0
2	GLOBAL	Cartesian	403,34981	-65,2939	6	No	403,34981	-65,2939	6
3	GLOBAL	Cartesian	403,34868	-62,7939	0	No	403,34868	-62,7939	0
4	GLOBAL	Cartesian	403,34868	-62,7939	6	No	403,34868	-62,7939	6
5	GLOBAL	Cartesian	390,82868	-62,79956	5,29	No	390,82868	-62,79956	5,29
6	GLOBAL	Cartesian	390,82981	-65,29956	5,29	No	390,82981	-65,29956	5,29
7	GLOBAL	Cartesian	389,32868	-62,80024	5,29	No	389,32868	-62,80024	5,29
8	GLOBAL	Cartesian	389,32981	-65,30024	5,29	No	389,32981	-65,30024	5,29
9	GLOBAL	Cartesian	402,59868	-62,79424	6	No	402,59868	-62,79424	6
10	GLOBAL	Cartesian	402,59981	-65,29424	6	No	402,59981	-65,29424	6
11	GLOBAL	Cartesian	404,09868	-62,79356	6	No	404,09868	-62,79356	6
12	GLOBAL	Cartesian	404,09981	-65,29356	6	No	404,09981	-65,29356	6
13	GLOBAL	Cartesian	435,08722	-65,27954	7,9	No	435,08722	-65,27954	7,9
14	GLOBAL	Cartesian	434,54833	-65,27978	7,9	No	434,54833	-65,27978	7,9
15	GLOBAL	Cartesian	474,18728	-65,26144	10,1	No	474,18728	-65,26144	10,1
16	GLOBAL	Cartesian	437,81164	-65,27831	7,9	No	437,81164	-65,27831	7,9
17	GLOBAL	Cartesian	435,6261	-65,27929	7,9	No	435,6261	-65,27929	7,9
18	GLOBAL	Cartesian	435,08646	-62,77955	7,9	No	435,08646	-62,77955	7,9
19	GLOBAL	Cartesian	434,5472	-62,7798	7,9	No	434,5472	-62,7798	7,9
20	GLOBAL	Cartesian	472,20819	-65,26278	4,7	No	472,20819	-65,26278	4,7
21	GLOBAL	Cartesian	472,20819	-65,26278	10,1	No	472,20819	-65,26278	10,1
22	GLOBAL	Cartesian	472,20706	-62,76278	4,7	No	472,20706	-62,76278	4,7
23	GLOBAL	Cartesian	472,20706	-62,76278	10,1	No	472,20706	-62,76278	10,1
24	GLOBAL	Cartesian	471,45706	-62,76312	10,1	No	471,45706	-62,76312	10,1
25	GLOBAL	Cartesian	471,45819	-65,26312	10,1	No	471,45819	-65,26312	10,1
26	GLOBAL	Cartesian	455,58609	-65,27029	9	No	455,58609	-65,27029	9
27	GLOBAL	Cartesian	455,58496	-62,77029	9	No	455,58496	-62,77029	9
28	GLOBAL	Cartesian	418,37407	-65,28711	6,95	No	418,37407	-65,28711	6,95
29	GLOBAL	Cartesian	418,37294	-62,78711	6,95	No	418,37294	-62,78711	6,95
30	GLOBAL	Cartesian	419,87407	-65,28643	6,95	No	419,87407	-65,28643	6,95
31	GLOBAL	Cartesian	419,87294	-62,78643	6,95	No	419,87294	-62,78643	6,95
32	GLOBAL	Cartesian	501,89456	-65,24937	4,7	No	501,89456	-65,24937	4,7
33	GLOBAL	Cartesian	501,89456	-65,24937	10,1	No	501,89456	-65,24937	10,1
34	GLOBAL	Cartesian	501,89343	-62,74937	4,7	No	501,89343	-62,74937	4,7



35	GLOBAL	Cartesian	501,89343	-62,74937	10,1	No	501,89343	-62,74937	10,1
36	GLOBAL	Cartesian	502,64456	-65,24903	10,1	No	502,64456	-65,24903	10,1
37	GLOBAL	Cartesian	502,64343	-62,74903	10,1	No	502,64343	-62,74903	10,1
38	GLOBAL	Cartesian	380,3774	-66,71136	4,49	No	380,3774	-66,71136	4,49
39	GLOBAL	Cartesian	378,97614	-64,64098	4,49	No	378,97614	-64,64098	4,49
40	GLOBAL	Cartesian	379,36643	-67,51885	4,49	No	379,36643	-67,51885	4,49
41	GLOBAL	Cartesian	377,65696	-65,69465	4,49	No	377,65696	-65,69465	4,49
42	GLOBAL	Cartesian	383,94729	-81,63774	2,89	No	383,94729	-81,63774	2,89
43	GLOBAL	Cartesian	383,63442	-84,11808	2,89	No	383,63442	-84,11808	2,89
44	GLOBAL	Cartesian	385,23976	-81,69788	2,89	No	385,23976	-81,69788	2,89
45	GLOBAL	Cartesian	385,32093	-84,19657	2,89	No	385,32093	-84,19657	2,89
46	GLOBAL	Cartesian	394,42602	-78,51621	2,09	No	394,42602	-78,51621	2,09
47	GLOBAL	Cartesian	392,21749	-77,34472	2,09	No	392,21749	-77,34472	2,09
48	GLOBAL	Cartesian	395,09339	-77,0876	2,09	No	395,09339	-77,0876	2,09
49	GLOBAL	Cartesian	392,81343	-76,06204	2,09	No	392,81343	-76,06204	2,09
50	GLOBAL	Cartesian	399,19564	-67,96776	1,29	No	399,19564	-67,96776	1,29
51	GLOBAL	Cartesian	396,91568	-66,9422	1,29	No	396,91568	-66,9422	1,29
52	GLOBAL	Cartesian	379,85596	-67,09513	-0,7	No	379,85596	-67,09513	-0,7
53	GLOBAL	Cartesian	379,85596	-67,09513	4,49	No	379,85596	-67,09513	4,49
54	GLOBAL	Cartesian	378,29573	-65,14176	-0,7	No	378,29573	-65,14176	-0,7
55	GLOBAL	Cartesian	378,29573	-65,14176	4,49	No	378,29573	-65,14176	4,49
56	GLOBAL	Cartesian	384,47612	-84,19064	-1,2	No	384,47612	-84,19064	-1,2
57	GLOBAL	Cartesian	384,47612	-84,19064	2,89	No	384,47612	-84,19064	2,89
58	GLOBAL	Cartesian	384,59233	-81,693	-1,2	No	384,59233	-81,693	-1,2
59	GLOBAL	Cartesian	384,59233	-81,693	2,89	No	384,59233	-81,693	2,89
60	GLOBAL	Cartesian	443,33121	-71,85114	7,1	No	443,33121	-71,85114	7,1
61	GLOBAL	Cartesian	441,41673	-73,45884	7,1	No	441,41673	-73,45884	7,1
62	GLOBAL	Cartesian	442,38135	-74,60754	7,1	No	442,38135	-74,60754	7,1
63	GLOBAL	Cartesian	444,29584	-72,99983	7,1	No	444,29584	-72,99983	7,1
64	GLOBAL	Cartesian	451,3457	-78,76873	6,3	No	451,3457	-78,76873	6,3
65	GLOBAL	Cartesian	450,59063	-81,15198	6,3	No	450,59063	-81,15198	6,3
66	GLOBAL	Cartesian	452,1904	-81,55199	6,3	No	452,1904	-81,55199	6,3
67	GLOBAL	Cartesian	452,64588	-79,09384	6,3	No	452,64588	-79,09384	6,3
68	GLOBAL	Cartesian	451,38433	-81,37671	1,9	No	451,38433	-81,37671	1,9
69	GLOBAL	Cartesian	451,38433	-81,37671	6,3	No	451,38433	-81,37671	6,3
70	GLOBAL	Cartesian	461,05354	-77,16425	5,5	No	461,05354	-77,16425	5,5
71	GLOBAL	Cartesian	462,5353	-79,1778	5,5	No	462,5353	-79,1778	5,5
72	GLOBAL	Cartesian	462,12296	-76,26563	5,5	No	462,12296	-76,26563	5,5
73	GLOBAL	Cartesian	463,85113	-78,07212	5,5	No	463,85113	-78,07212	5,5

74	GLOBAL	Cartesian	465,47139	-68,25679	4,7	No	465,47139	-68,25679	4,7
75	GLOBAL	Cartesian	467,97109	-68,21794	4,7	No	467,97109	-68,21794	4,7
76	GLOBAL	Cartesian	451,99077	-78,95138	1,9	No	451,99077	-78,95138	1,9
77	GLOBAL	Cartesian	451,99077	-78,95138	6,3	No	451,99077	-78,95138	6,3
78	GLOBAL	Cartesian	519,05663	-60,58225	8,79	No	519,05663	-60,58225	8,79
79	GLOBAL	Cartesian	520,78416	-62,38936	8,79	No	520,78416	-62,38936	8,79
80	GLOBAL	Cartesian	454,08609	-65,27097	9	No	454,08609	-65,27097	9
81	GLOBAL	Cartesian	454,08609	-62,77097	9	No	454,08609	-62,77097	9
82	GLOBAL	Cartesian	474,18615	-62,76144	10,1	No	474,18615	-62,76144	10,1
83	GLOBAL	Cartesian	375,08805	-77,59702	3,69	No	375,08805	-77,59702	3,69
84	GLOBAL	Cartesian	377,39774	-76,64029	3,69	No	377,39774	-76,64029	3,69
85	GLOBAL	Cartesian	376,99844	-75,40958	3,69	No	376,99844	-75,40958	3,69
86	GLOBAL	Cartesian	374,56701	-75,9911	3,69	No	374,56701	-75,9911	3,69
87	GLOBAL	Cartesian	437,81051	-62,77831	7,9	No	437,81051	-62,77831	7,9
88	GLOBAL	Cartesian	434,5472	-62,7798	7,85	No	434,5472	-62,7798	7,85
89	GLOBAL	Cartesian	437,81051	-62,77831	7,85	No	437,81051	-62,77831	7,85
90	GLOBAL	Cartesian	435,62573	-62,7793	7,9	No	435,62573	-62,7793	7,9
91	GLOBAL	Cartesian	435,08722	-65,27954	7,85	No	435,08722	-65,27954	7,85
92	GLOBAL	Cartesian	393,17277	-80,37653	2,2649	No	393,17277	-80,37653	2,2649
93	GLOBAL	Cartesian	391,25722	-78,76976	2,26485	No	391,25722	-78,76976	2,26485
94	GLOBAL	Cartesian	391,55804	-81,93579	2,41719	No	391,55804	-81,93579	2,41719
95	GLOBAL	Cartesian	390,0198	-79,96514	2,41718	No	390,0198	-79,96514	2,41718
96	GLOBAL	Cartesian	389,65322	-83,12415	2,56281	No	389,65322	-83,12415	2,56281
97	GLOBAL	Cartesian	388,55959	-80,87615	2,56283	No	388,55959	-80,87615	2,56283
98	GLOBAL	Cartesian	387,54281	-83,88889	2,71506	No	387,54281	-83,88889	2,71506
99	GLOBAL	Cartesian	386,94185	-81,46194	2,71493	No	386,94185	-81,46194	2,71493
A0	GLOBAL	Cartesian	434,54833	-65,27978	0,9	Yes	434,54833	-65,27978	0,9
D0	GLOBAL	Cartesian	437,81164	-65,27831	0,9	Yes	437,81164	-65,27831	0,9
100	GLOBAL	Cartesian	381,44671	-83,60398	3,06513	No	381,44671	-83,60398	3,06513
101	GLOBAL	Cartesian	382,27129	-81,24395	3,06511	No	382,27129	-81,24395	3,06511
102	GLOBAL	Cartesian	380,71256	-80,50785	3,2172	No	380,71256	-80,50785	3,2172
103	GLOBAL	Cartesian	379,41318	-82,64354	3,21722	No	379,41318	-82,64354	3,21722
104	GLOBAL	Cartesian	377,62493	-81,27906	3,36278	No	377,62493	-81,27906	3,36278
105	GLOBAL	Cartesian	379,34169	-79,46185	3,3628	No	379,34169	-79,46185	3,3628
106	GLOBAL	Cartesian	376,1616	-79,57133	3,51496	No	376,1616	-79,57133	3,51496
107	GLOBAL	Cartesian	378,22013	-78,15283	3,515	No	378,22013	-78,15283	3,515
108	GLOBAL	Cartesian	374,27696	-73,76258	3,86496	No	374,27696	-73,76258	3,86496
109	GLOBAL	Cartesian	376,77645	-73,70232	3,86491	No	376,77645	-73,70232	3,86491
110	GLOBAL	Cartesian	374,45895	-71,52103	4,01722	No	374,45895	-71,52103	4,01722



111	GLOBAL	Cartesian	376,9156	-71,9842	4,01721	No	376,9156	-71,9842	4,01721
112	GLOBAL	Cartesian	375,10549	-69,3666	4,16278	No	375,10549	-69,3666	4,16278
113	GLOBAL	Cartesian	377,41121	-70,33261	4,1628	No	377,41121	-70,33261	4,1628
114	GLOBAL	Cartesian	376,18779	-67,39523	4,315	No	376,18779	-67,39523	4,315
115	GLOBAL	Cartesian	378,24112	-68,82177	4,31487	No	378,24112	-68,82177	4,31487
116	GLOBAL	Cartesian	0	0	0	Yes	0	0	0
117	GLOBAL	Cartesian	435,6261	-65,27929	7,85	No	435,6261	-65,27929	7,85
118	GLOBAL	Cartesian	435,08646	-62,77955	7,85	No	435,08646	-62,77955	7,85
119	GLOBAL	Cartesian	435,62572	-62,7793	7,85	No	435,62572	-62,7793	7,85
120	GLOBAL	Cartesian	436,73387	-65,2788	7,9	No	436,73387	-65,2788	7,9
121	GLOBAL	Cartesian	437,27276	-65,27856	7,9	No	437,27276	-65,27856	7,9
122	GLOBAL	Cartesian	436,16499	-65,27905	7,9	Yes	436,16499	-65,27905	7,9
123	GLOBAL	Cartesian	436,19499	-65,27905	7,9	Yes	436,19499	-65,27905	7,9
124	GLOBAL	Cartesian	436,16499	-62,77905	7,85	Yes	436,16499	-62,77905	7,85
125	GLOBAL	Cartesian	436,19499	-62,77905	7,85	Yes	436,19499	-62,77905	7,85
126	GLOBAL	Cartesian	436,19499	-65,27905	7,85	Yes	436,19499	-65,27905	7,85
127	GLOBAL	Cartesian	512,64343	-62,74451	9,3	No	512,64343	-62,74451	9,3
128	GLOBAL	Cartesian	512,64343	-65,24451	9,3	No	512,64343	-65,24451	9,3
129	GLOBAL	Cartesian	514,20918	-65,22975	9,3	No	514,20918	-65,22975	9,3
130	GLOBAL	Cartesian	514,07752	-62,73322	9,3	No	514,07752	-62,73322	9,3
131	GLOBAL	Cartesian	517,58383	-61,6882	8,96323	No	517,58383	-61,6882	8,96323
132	GLOBAL	Cartesian	518,83948	-63,85042	8,96323	No	518,83948	-63,85042	8,96323
133	GLOBAL	Cartesian	515,89232	-62,41894	9,12673	No	515,89232	-62,41894	9,12673
134	GLOBAL	Cartesian	516,60598	-64,81527	9,1268	No	516,60598	-64,81527	9,1268
135	GLOBAL	Cartesian	436,16499	-65,27905	7,85	Yes	436,16499	-65,27905	7,85
136	GLOBAL	Cartesian	467,82472	-70,40759	4,86903	No	467,82472	-70,40759	4,86903
137	GLOBAL	Cartesian	465,35209	-70,03608	4,86892	No	465,35209	-70,03608	4,86892
138	GLOBAL	Cartesian	467,32131	-72,54463	5,02438	No	467,32131	-72,54463	5,02438
139	GLOBAL	Cartesian	464,94308	-71,77305	5,02436	No	464,94308	-71,77305	5,02436
140	GLOBAL	Cartesian	464,25462	-73,41976	5,17564	No	464,25462	-73,41976	5,17564
141	GLOBAL	Cartesian	466,47429	-74,57051	5,17562	No	466,47429	-74,57051	5,17562
142	GLOBAL	Cartesian	463,30558	-74,93094	5,33102	No	463,30558	-74,93094	5,33102
143	GLOBAL	Cartesian	465,30683	-76,42992	5,33093	No	465,30683	-76,42992	5,33093
144	GLOBAL	Cartesian	460,67986	-80,32223	5,66889	No	460,67986	-80,32223	5,66889
145	GLOBAL	Cartesian	459,54562	-78,0939	5,6688	No	459,54562	-78,0939	5,6688
146	GLOBAL	Cartesian	458,66195	-81,14971	5,82432	No	458,66195	-81,14971	5,82432
147	GLOBAL	Cartesian	457,90558	-78,76661	5,8243	No	457,90558	-78,76661	5,8243
148	GLOBAL	Cartesian	456,53595	-81,63763	5,97568	No	456,53595	-81,63763	5,97568
149	GLOBAL	Cartesian	456,1775	-79,16322	5,9757	No	456,1775	-79,16322	5,9757

150	GLOBAL	Cartesian	454,35916	-81,77284	6,13106	No	454,35916	-81,77284	6,13106
151	GLOBAL	Cartesian	454,40825	-79,27294	6,13114	No	454,40825	-79,27294	6,13114
152	GLOBAL	Cartesian	398,37519	-69,79173	1,45	No	398,37519	-69,79173	1,45
153	GLOBAL	Cartesian	396,09523	-68,76616	1,45	No	396,09523	-68,76616	1,45
154	GLOBAL	Cartesian	395,27478	-70,59013	1,61	No	395,27478	-70,59013	1,61
155	GLOBAL	Cartesian	397,55474	-71,61569	1,61	No	397,55474	-71,61569	1,61
156	GLOBAL	Cartesian	394,45433	-72,4141	1,77	No	394,45433	-72,4141	1,77
157	GLOBAL	Cartesian	396,73429	-73,43966	1,77	No	396,73429	-73,43966	1,77
158	GLOBAL	Cartesian	393,63388	-74,23807	1,93	No	393,63388	-74,23807	1,93
159	GLOBAL	Cartesian	395,91384	-75,26363	1,93	No	395,91384	-75,26363	1,93
160	GLOBAL	Cartesian	392,44445	-76,88233	2,09	No	392,44445	-76,88233	2,09
161	GLOBAL	Cartesian	392,43174	-76,90984	2,09	No	392,43174	-76,90984	2,09
162	GLOBAL	Cartesian	392,41901	-76,93734	2,09	No	392,41901	-76,93734	2,09
163	GLOBAL	Cartesian	392,40624	-76,96483	2,09	No	392,40624	-76,96483	2,09
164	GLOBAL	Cartesian	392,39342	-76,99229	2,09	No	392,39342	-76,99229	2,09
165	GLOBAL	Cartesian	392,38053	-77,01972	2,09	No	392,38053	-77,01972	2,09
166	GLOBAL	Cartesian	392,36755	-77,0471	2,09	No	392,36755	-77,0471	2,09
167	GLOBAL	Cartesian	392,35447	-77,07443	2,09	No	392,35447	-77,07443	2,09
168	GLOBAL	Cartesian	392,34126	-77,1017	2,09	No	392,34126	-77,1017	2,09
169	GLOBAL	Cartesian	392,32791	-77,1289	2,09	No	392,32791	-77,1289	2,09
170	GLOBAL	Cartesian	392,31442	-77,15603	2,09	No	392,31442	-77,15603	2,09
171	GLOBAL	Cartesian	392,3008	-77,1831	2,09	No	392,3008	-77,1831	2,09
172	GLOBAL	Cartesian	392,28708	-77,21011	2,09	No	392,28708	-77,21011	2,09
173	GLOBAL	Cartesian	392,27327	-77,23709	2,09	No	392,27327	-77,23709	2,09
174	GLOBAL	Cartesian	392,25939	-77,26402	2,09	No	392,25939	-77,26402	2,09
175	GLOBAL	Cartesian	392,24545	-77,29094	2,09	No	392,24545	-77,29094	2,09
176	GLOBAL	Cartesian	392,23148	-77,31783	2,09	No	392,23148	-77,31783	2,09
177	GLOBAL	Cartesian	392,12981	-77,50565	2,11035	No	392,12981	-77,50565	2,11035
178	GLOBAL	Cartesian	392,03856	-77,66456	2,13021	No	392,03856	-77,66456	2,13021
179	GLOBAL	Cartesian	391,94377	-77,82141	2,1496	No	391,94377	-77,82141	2,1496
180	GLOBAL	Cartesian	391,84549	-77,97613	2,16858	No	391,84549	-77,97613	2,16858
181	GLOBAL	Cartesian	391,74374	-78,12866	2,18716	No	391,74374	-78,12866	2,18716
182	GLOBAL	Cartesian	391,63857	-78,27894	2,20539	No	391,63857	-78,27894	2,20539
183	GLOBAL	Cartesian	391,53	-78,4269	2,22329	No	391,53	-78,4269	2,22329
184	GLOBAL	Cartesian	391,41812	-78,57243	2,2409	No	391,41812	-78,57243	2,2409
185	GLOBAL	Cartesian	391,30308	-78,71533	2,25823	No	391,30308	-78,71533	2,25823
186	GLOBAL	Cartesian	391,18494	-78,85555	2,27529	No	391,18494	-78,85555	2,27529
187	GLOBAL	Cartesian	391,06374	-78,99304	2,29211	No	391,06374	-78,99304	2,29211
188	GLOBAL	Cartesian	390,93952	-79,12775	2,30871	No	390,93952	-79,12775	2,30871



189	GLOBAL	Cartesian	390,81235	-79,25964	2,3251	No	390,81235	-79,25964	2,3251
190	GLOBAL	Cartesian	390,68227	-79,38864	2,34132	No	390,68227	-79,38864	2,34132
191	GLOBAL	Cartesian	390,54933	-79,51472	2,35738	No	390,54933	-79,51472	2,35738
192	GLOBAL	Cartesian	390,41357	-79,63783	2,37329	No	390,41357	-79,63783	2,37329
193	GLOBAL	Cartesian	390,27505	-79,75791	2,38909	No	390,27505	-79,75791	2,38909
194	GLOBAL	Cartesian	390,13381	-79,87492	2,4048	No	390,13381	-79,87492	2,4048
195	GLOBAL	Cartesian	389,9899	-79,9888	2,42043	No	389,9899	-79,9888	2,42043
196	GLOBAL	Cartesian	389,84338	-80,09952	2,436	No	389,84338	-80,09952	2,436
197	GLOBAL	Cartesian	389,6943	-80,207	2,45153	No	389,6943	-80,207	2,45153
198	GLOBAL	Cartesian	389,5429	-80,31108	2,46703	No	389,5429	-80,31108	2,46703
199	GLOBAL	Cartesian	389,38928	-80,4117	2,48249	No	389,38928	-80,4117	2,48249
200	GLOBAL	Cartesian	389,2335	-80,50882	2,49794	No	389,2335	-80,50882	2,49794
201	GLOBAL	Cartesian	389,07562	-80,6024	2,51339	No	389,07562	-80,6024	2,51339
202	GLOBAL	Cartesian	388,91571	-80,69242	2,52887	No	388,91571	-80,69242	2,52887
203	GLOBAL	Cartesian	388,75382	-80,77884	2,54438	No	388,75382	-80,77884	2,54438
204	GLOBAL	Cartesian	388,59001	-80,86163	2,55996	No	388,59001	-80,86163	2,55996
205	GLOBAL	Cartesian	388,42434	-80,94075	2,5756	No	388,42434	-80,94075	2,5756
206	GLOBAL	Cartesian	388,25688	-81,01617	2,59135	No	388,25688	-81,01617	2,59135
207	GLOBAL	Cartesian	388,08768	-81,08785	2,6072	No	388,08768	-81,08785	2,6072
208	GLOBAL	Cartesian	387,91703	-81,15569	2,62315	No	387,91703	-81,15569	2,62315
209	GLOBAL	Cartesian	387,74507	-81,21962	2,6392	No	387,74507	-81,21962	2,6392
210	GLOBAL	Cartesian	387,57189	-81,27964	2,65539	No	387,57189	-81,27964	2,65539
211	GLOBAL	Cartesian	387,39755	-81,33572	2,67173	No	387,39755	-81,33572	2,67173
212	GLOBAL	Cartesian	387,22212	-81,38787	2,68825	No	387,22212	-81,38787	2,68825
213	GLOBAL	Cartesian	387,04566	-81,43606	2,70499	No	387,04566	-81,43606	2,70499
214	GLOBAL	Cartesian	386,86825	-81,48029	2,72197	No	386,86825	-81,48029	2,72197
215	GLOBAL	Cartesian	386,68995	-81,52054	2,73922	No	386,68995	-81,52054	2,73922
216	GLOBAL	Cartesian	386,51083	-81,5568	2,75675	No	386,51083	-81,5568	2,75675
217	GLOBAL	Cartesian	386,33096	-81,58906	2,77461	No	386,33096	-81,58906	2,77461
218	GLOBAL	Cartesian	386,1504	-81,6173	2,79282	No	386,1504	-81,6173	2,79282
219	GLOBAL	Cartesian	385,96923	-81,64152	2,8114	No	385,96923	-81,64152	2,8114
220	GLOBAL	Cartesian	385,78752	-81,6617	2,83038	No	385,78752	-81,6617	2,83038
221	GLOBAL	Cartesian	385,60532	-81,67783	2,84979	No	385,60532	-81,67783	2,84979
222	GLOBAL	Cartesian	385,42271	-81,68989	2,86965	No	385,42271	-81,68989	2,86965
223	GLOBAL	Cartesian	385,16352	-81,69877	2,89	No	385,16352	-81,69877	2,89
224	GLOBAL	Cartesian	385,0873	-81,69953	2,89	No	385,0873	-81,69953	2,89
225	GLOBAL	Cartesian	385,01108	-81,70005	2,89	No	385,01108	-81,70005	2,89
226	GLOBAL	Cartesian	384,93488	-81,7002	2,89	No	384,93488	-81,7002	2,89
227	GLOBAL	Cartesian	384,85871	-81,69986	2,89	No	384,85871	-81,69986	2,89

228	GLOBAL	Cartesian	384,78256	-81,6989	2,89	No	384,78256	-81,6989	2,89
229	GLOBAL	Cartesian	384,70645	-81,6972	2,89	No	384,70645	-81,6972	2,89
230	GLOBAL	Cartesian	384,63037	-81,69464	2,89	No	384,63037	-81,69464	2,89
231	GLOBAL	Cartesian	384,55435	-81,69111	2,89	No	384,55435	-81,69111	2,89
232	GLOBAL	Cartesian	384,47836	-81,68659	2,89	No	384,47836	-81,68659	2,89
233	GLOBAL	Cartesian	384,40242	-81,68121	2,89	No	384,40242	-81,68121	2,89
234	GLOBAL	Cartesian	384,32652	-81,67509	2,89	No	384,32652	-81,67509	2,89
235	GLOBAL	Cartesian	384,25064	-81,66836	2,89	No	384,25064	-81,66836	2,89
236	GLOBAL	Cartesian	384,17478	-81,66114	2,89	No	384,17478	-81,66114	2,89
237	GLOBAL	Cartesian	384,09894	-81,65354	2,89	No	384,09894	-81,65354	2,89
238	GLOBAL	Cartesian	384,02312	-81,6457	2,89	No	384,02312	-81,6457	2,89
239	GLOBAL	Cartesian	383,80238	-81,61814	2,90626	No	383,80238	-81,61814	2,90626
240	GLOBAL	Cartesian	383,65782	-81,59597	2,9222	No	383,65782	-81,59597	2,9222
241	GLOBAL	Cartesian	383,51372	-81,57122	2,93784	No	383,51372	-81,57122	2,93784
242	GLOBAL	Cartesian	383,37017	-81,54393	2,95321	No	383,37017	-81,54393	2,95321
243	GLOBAL	Cartesian	383,22718	-81,51409	2,96831	No	383,22718	-81,51409	2,96831
244	GLOBAL	Cartesian	383,0848	-81,48172	2,98316	No	383,0848	-81,48172	2,98316
245	GLOBAL	Cartesian	382,94306	-81,44684	2,99777	No	382,94306	-81,44684	2,99777
246	GLOBAL	Cartesian	382,80199	-81,40944	3,01216	No	382,80199	-81,40944	3,01216
247	GLOBAL	Cartesian	382,66162	-81,36954	3,02633	No	382,66162	-81,36954	3,02633
248	GLOBAL	Cartesian	382,52199	-81,32716	3,0403	No	382,52199	-81,32716	3,0403
249	GLOBAL	Cartesian	382,38313	-81,2823	3,05408	No	382,38313	-81,2823	3,05408
250	GLOBAL	Cartesian	382,24508	-81,23496	3,06769	No	382,24508	-81,23496	3,06769
251	GLOBAL	Cartesian	382,10787	-81,18517	3,08114	No	382,10787	-81,18517	3,08114
252	GLOBAL	Cartesian	381,97153	-81,13293	3,09444	No	381,97153	-81,13293	3,09444
253	GLOBAL	Cartesian	381,8361	-81,07826	3,1076	No	381,8361	-81,07826	3,1076
254	GLOBAL	Cartesian	381,70161	-81,02115	3,12064	No	381,70161	-81,02115	3,12064
255	GLOBAL	Cartesian	381,56809	-80,96163	3,13357	No	381,56809	-80,96163	3,13357
256	GLOBAL	Cartesian	381,43557	-80,8997	3,14641	No	381,43557	-80,8997	3,14641
257	GLOBAL	Cartesian	381,3041	-80,83538	3,15916	No	381,3041	-80,83538	3,15916
258	GLOBAL	Cartesian	381,1737	-80,76866	3,17185	No	381,1737	-80,76866	3,17185
259	GLOBAL	Cartesian	381,04441	-80,69958	3,18447	No	381,04441	-80,69958	3,18447
260	GLOBAL	Cartesian	380,91633	-80,62816	3,19704	No	380,91633	-80,62816	3,19704
261	GLOBAL	Cartesian	380,78959	-80,55449	3,20955	No	380,78959	-80,55449	3,20955
262	GLOBAL	Cartesian	380,66421	-80,47858	3,222	No	380,66421	-80,47858	3,222
263	GLOBAL	Cartesian	380,54023	-80,40046	3,2344	No	380,54023	-80,40046	3,2344
264	GLOBAL	Cartesian	380,41767	-80,32014	3,24677	No	380,41767	-80,32014	3,24677
265	GLOBAL	Cartesian	380,29656	-80,23764	3,25911	No	380,29656	-80,23764	3,25911
266	GLOBAL	Cartesian	380,17694	-80,15298	3,27143	No	380,17694	-80,15298	3,27143



267	GLOBAL	Cartesian	380,05883	-80,06619	3,28374	No	380,05883	-80,06619	3,28374
268	GLOBAL	Cartesian	379,94227	-79,97727	3,29605	No	379,94227	-79,97727	3,29605
269	GLOBAL	Cartesian	379,82727	-79,88626	3,30837	No	379,82727	-79,88626	3,30837
270	GLOBAL	Cartesian	379,71391	-79,79319	3,3207	No	379,71391	-79,79319	3,3207
271	GLOBAL	Cartesian	379,60228	-79,69816	3,33304	No	379,60228	-79,69816	3,33304
272	GLOBAL	Cartesian	379,4924	-79,60117	3,34541	No	379,4924	-79,60117	3,34541
273	GLOBAL	Cartesian	379,38431	-79,50226	3,35781	No	379,38431	-79,50226	3,35781
274	GLOBAL	Cartesian	379,27801	-79,40146	3,37025	No	379,27801	-79,40146	3,37025
275	GLOBAL	Cartesian	379,17354	-79,29878	3,38275	No	379,17354	-79,29878	3,38275
276	GLOBAL	Cartesian	379,07092	-79,19425	3,3953	No	379,07092	-79,19425	3,3953
277	GLOBAL	Cartesian	378,97018	-79,0879	3,40793	No	378,97018	-79,0879	3,40793
278	GLOBAL	Cartesian	378,87135	-78,97975	3,42063	No	378,87135	-78,97975	3,42063
279	GLOBAL	Cartesian	378,77444	-78,86983	3,43342	No	378,77444	-78,86983	3,43342
280	GLOBAL	Cartesian	378,67948	-78,75816	3,44632	No	378,67948	-78,75816	3,44632
281	GLOBAL	Cartesian	378,58652	-78,64479	3,45931	No	378,58652	-78,64479	3,45931
282	GLOBAL	Cartesian	378,49566	-78,52987	3,4724	No	378,49566	-78,52987	3,4724
283	GLOBAL	Cartesian	378,40694	-78,41341	3,4856	No	378,40694	-78,41341	3,4856
284	GLOBAL	Cartesian	378,32035	-78,29547	3,49893	No	378,32035	-78,29547	3,49893
285	GLOBAL	Cartesian	378,23594	-78,17606	3,51239	No	378,23594	-78,17606	3,51239
286	GLOBAL	Cartesian	378,15369	-78,05522	3,526	No	378,15369	-78,05522	3,526
287	GLOBAL	Cartesian	378,07365	-77,93297	3,53978	No	378,07365	-77,93297	3,53978
288	GLOBAL	Cartesian	377,99582	-77,80936	3,55374	No	377,99582	-77,80936	3,55374
289	GLOBAL	Cartesian	377,92022	-77,68441	3,5679	No	377,92022	-77,68441	3,5679
290	GLOBAL	Cartesian	377,84686	-77,55815	3,58227	No	377,84686	-77,55815	3,58227
291	GLOBAL	Cartesian	377,77577	-77,43061	3,59686	No	377,77577	-77,43061	3,59686
292	GLOBAL	Cartesian	377,70697	-77,30183	3,6117	No	377,70697	-77,30183	3,6117
293	GLOBAL	Cartesian	377,64046	-77,17183	3,62679	No	377,64046	-77,17183	3,62679
294	GLOBAL	Cartesian	377,57626	-77,04064	3,64215	No	377,57626	-77,04064	3,64215
295	GLOBAL	Cartesian	377,5144	-76,9083	3,6578	No	377,5144	-76,9083	3,6578
296	GLOBAL	Cartesian	377,45489	-76,77484	3,67374	No	377,45489	-76,77484	3,67374
297	GLOBAL	Cartesian	377,36998	-76,56928	3,69	No	377,36998	-76,56928	3,69
298	GLOBAL	Cartesian	377,34234	-76,49823	3,69	No	377,34234	-76,49823	3,69
299	GLOBAL	Cartesian	377,31494	-76,42711	3,69	No	377,31494	-76,42711	3,69
300	GLOBAL	Cartesian	377,28789	-76,35587	3,69	No	377,28789	-76,35587	3,69
301	GLOBAL	Cartesian	377,26132	-76,28448	3,69	No	377,26132	-76,28448	3,69
302	GLOBAL	Cartesian	377,23535	-76,21289	3,69	No	377,23535	-76,21289	3,69
303	GLOBAL	Cartesian	377,21008	-76,14107	3,69	No	377,21008	-76,14107	3,69
304	GLOBAL	Cartesian	377,18565	-76,06898	3,69	No	377,18565	-76,06898	3,69
305	GLOBAL	Cartesian	377,16216	-75,99659	3,69	No	377,16216	-75,99659	3,69

306	GLOBAL	Cartesian	377,13962	-75,92389	3,69	No	377,13962	-75,92389	3,69
307	GLOBAL	Cartesian	377,1179	-75,85092	3,69	No	377,1179	-75,85092	3,69
308	GLOBAL	Cartesian	377,0969	-75,77771	3,69	No	377,0969	-75,77771	3,69
309	GLOBAL	Cartesian	377,0765	-75,70432	3,69	No	377,0765	-75,70432	3,69
310	GLOBAL	Cartesian	377,05657	-75,63077	3,69	No	377,05657	-75,63077	3,69
311	GLOBAL	Cartesian	377,03699	-75,55711	3,69	No	377,03699	-75,55711	3,69
312	GLOBAL	Cartesian	377,01766	-75,48336	3,69	No	377,01766	-75,48336	3,69
313	GLOBAL	Cartesian	376,95773	-75,23055	3,71036	No	376,95773	-75,23055	3,71036
314	GLOBAL	Cartesian	376,92105	-75,05066	3,73023	No	376,92105	-75,05066	3,73023
315	GLOBAL	Cartesian	376,8884	-74,86998	3,74964	No	376,8884	-74,86998	3,74964
316	GLOBAL	Cartesian	376,8598	-74,68859	3,76862	No	376,8598	-74,68859	3,76862
317	GLOBAL	Cartesian	376,83526	-74,50656	3,78721	No	376,83526	-74,50656	3,78721
318	GLOBAL	Cartesian	376,8148	-74,32395	3,80544	No	376,8148	-74,32395	3,80544
319	GLOBAL	Cartesian	376,79843	-74,14084	3,82334	No	376,79843	-74,14084	3,82334
320	GLOBAL	Cartesian	376,78616	-73,95732	3,84095	No	376,78616	-73,95732	3,84095
321	GLOBAL	Cartesian	376,77802	-73,77367	3,85828	No	376,77802	-73,77367	3,85828
322	GLOBAL	Cartesian	376,77399	-73,58998	3,87534	No	376,77399	-73,58998	3,87534
323	GLOBAL	Cartesian	376,77408	-73,40632	3,89216	No	376,77408	-73,40632	3,89216
324	GLOBAL	Cartesian	376,77829	-73,22277	3,90876	No	376,77829	-73,22277	3,90876
325	GLOBAL	Cartesian	376,78659	-73,03938	3,92516	No	376,78659	-73,03938	3,92516
326	GLOBAL	Cartesian	376,79901	-72,85624	3,94137	No	376,79901	-72,85624	3,94137
327	GLOBAL	Cartesian	376,81551	-72,67341	3,95743	No	376,81551	-72,67341	3,95743
328	GLOBAL	Cartesian	376,83612	-72,49096	3,97334	No	376,83612	-72,49096	3,97334
329	GLOBAL	Cartesian	376,86081	-72,30895	3,98914	No	376,86081	-72,30895	3,98914
330	GLOBAL	Cartesian	376,88958	-72,12747	4,00484	No	376,88958	-72,12747	4,00484
331	GLOBAL	Cartesian	376,92244	-71,94657	4,02046	No	376,92244	-71,94657	4,02046
332	GLOBAL	Cartesian	376,95936	-71,76633	4,03602	No	376,95936	-71,76633	4,03602
333	GLOBAL	Cartesian	377,00036	-71,58682	4,05155	No	377,00036	-71,58682	4,05155
334	GLOBAL	Cartesian	377,04536	-71,40833	4,06704	No	377,04536	-71,40833	4,06704
335	GLOBAL	Cartesian	377,09434	-71,23098	4,08249	No	377,09434	-71,23098	4,08249
336	GLOBAL	Cartesian	377,14726	-71,05483	4,09794	No	377,14726	-71,05483	4,09794
337	GLOBAL	Cartesian	377,2041	-70,87996	4,11338	No	377,2041	-70,87996	4,11338
338	GLOBAL	Cartesian	377,26485	-70,70643	4,12885	No	377,26485	-70,70643	4,12885
339	GLOBAL	Cartesian	377,32947	-70,5343	4,14436	No	377,32947	-70,5343	4,14436
340	GLOBAL	Cartesian	377,39794	-70,36364	4,15993	No	377,39794	-70,36364	4,15993
341	GLOBAL	Cartesian	377,47024	-70,19451	4,17557	No	377,47024	-70,19451	4,17557
342	GLOBAL	Cartesian	377,54635	-70,02699	4,19131	No	377,54635	-70,02699	4,19131
343	GLOBAL	Cartesian	377,62624	-69,86113	4,20716	No	377,62624	-69,86113	4,20716
344	GLOBAL	Cartesian	377,70978	-69,69719	4,2231	No	377,70978	-69,69719	4,2231



345	GLOBAL	Cartesian	377,7969	-69,53534	4,23915	No	377,7969	-69,53534	4,23915
346	GLOBAL	Cartesian	377,88753	-69,37563	4,25533	No	377,88753	-69,37563	4,25533
347	GLOBAL	Cartesian	377,98164	-69,21811	4,27167	No	377,98164	-69,21811	4,27167
348	GLOBAL	Cartesian	378,07918	-69,06284	4,2882	No	378,07918	-69,06284	4,2882
349	GLOBAL	Cartesian	378,18012	-68,90988	4,30494	No	378,18012	-68,90988	4,30494
350	GLOBAL	Cartesian	378,2844	-68,75927	4,32191	No	378,2844	-68,75927	4,32191
351	GLOBAL	Cartesian	378,39198	-68,61107	4,33916	No	378,39198	-68,61107	4,33916
352	GLOBAL	Cartesian	378,50283	-68,46534	4,3567	No	378,50283	-68,46534	4,3567
353	GLOBAL	Cartesian	378,6169	-68,32213	4,37456	No	378,6169	-68,32213	4,37456
354	GLOBAL	Cartesian	378,73414	-68,1815	4,39277	No	378,73414	-68,1815	4,39277
355	GLOBAL	Cartesian	378,85451	-68,04349	4,41135	No	378,85451	-68,04349	4,41135
356	GLOBAL	Cartesian	378,97797	-67,90817	4,43034	No	378,97797	-67,90817	4,43034
357	GLOBAL	Cartesian	379,10447	-67,77559	4,44976	No	379,10447	-67,77559	4,44976
358	GLOBAL	Cartesian	379,23397	-67,64579	4,46964	No	379,23397	-67,64579	4,46964
359	GLOBAL	Cartesian	379,4231	-67,46784	4,49	No	379,4231	-67,46784	4,49
360	GLOBAL	Cartesian	379,47985	-67,41693	4,49	No	379,47985	-67,41693	4,49
361	GLOBAL	Cartesian	379,53675	-67,36622	4,49	No	379,53675	-67,36622	4,49
362	GLOBAL	Cartesian	379,59388	-67,31579	4,49	No	379,59388	-67,31579	4,49
363	GLOBAL	Cartesian	379,65132	-67,26576	4,49	No	379,65132	-67,26576	4,49
364	GLOBAL	Cartesian	379,70916	-67,21622	4,49	No	379,70916	-67,21622	4,49
365	GLOBAL	Cartesian	379,76746	-67,16726	4,49	No	379,76746	-67,16726	4,49
366	GLOBAL	Cartesian	379,82631	-67,11898	4,49	No	379,82631	-67,11898	4,49
367	GLOBAL	Cartesian	379,88578	-67,07148	4,49	No	379,88578	-67,07148	4,49
368	GLOBAL	Cartesian	379,94587	-67,02476	4,49	No	379,94587	-67,02476	4,49
369	GLOBAL	Cartesian	380,0065	-66,97872	4,49	No	380,0065	-66,97872	4,49
370	GLOBAL	Cartesian	380,0676	-66,93327	4,49	No	380,0676	-66,93327	4,49
371	GLOBAL	Cartesian	380,12909	-66,8883	4,49	No	380,12909	-66,8883	4,49
372	GLOBAL	Cartesian	380,1909	-66,84372	4,49	No	380,1909	-66,84372	4,49
373	GLOBAL	Cartesian	380,25293	-66,79944	4,49	No	380,25293	-66,79944	4,49
374	GLOBAL	Cartesian	380,31512	-66,75535	4,49	No	380,31512	-66,75535	4,49
375	GLOBAL	Cartesian	394,72231	-77,91256	2,09	No	394,72231	-77,91256	2,09
376	GLOBAL	Cartesian	394,70571	-77,94847	2,09	No	394,70571	-77,94847	2,09
377	GLOBAL	Cartesian	394,68909	-77,98438	2,09	No	394,68909	-77,98438	2,09
378	GLOBAL	Cartesian	394,67243	-78,02026	2,09	No	394,67243	-78,02026	2,09
379	GLOBAL	Cartesian	394,65569	-78,05611	2,09	No	394,65569	-78,05611	2,09
380	GLOBAL	Cartesian	394,63887	-78,09192	2,09	No	394,63887	-78,09192	2,09
381	GLOBAL	Cartesian	394,62192	-78,12767	2,09	No	394,62192	-78,12767	2,09
382	GLOBAL	Cartesian	394,60484	-78,16335	2,09	No	394,60484	-78,16335	2,09
383	GLOBAL	Cartesian	394,5876	-78,19895	2,09	No	394,5876	-78,19895	2,09

384	GLOBAL	Cartesian	394,57017	-78,23446	2,09	No	394,57017	-78,23446	2,09
385	GLOBAL	Cartesian	394,55256	-78,26987	2,09	No	394,55256	-78,26987	2,09
386	GLOBAL	Cartesian	394,53478	-78,30521	2,09	No	394,53478	-78,30521	2,09
387	GLOBAL	Cartesian	394,51687	-78,34048	2,09	No	394,51687	-78,34048	2,09
388	GLOBAL	Cartesian	394,49884	-78,3757	2,09	No	394,49884	-78,3757	2,09
389	GLOBAL	Cartesian	394,48071	-78,41087	2,09	No	394,48071	-78,41087	2,09
390	GLOBAL	Cartesian	394,46252	-78,446	2,09	No	394,46252	-78,446	2,09
391	GLOBAL	Cartesian	394,44428	-78,48111	2,09	No	394,44428	-78,48111	2,09
392	GLOBAL	Cartesian	394,33527	-78,68367	2,10625	No	394,33527	-78,68367	2,10625
393	GLOBAL	Cartesian	394,24158	-78,84945	2,12218	No	394,24158	-78,84945	2,12218
394	GLOBAL	Cartesian	394,14497	-79,01351	2,13781	No	394,14497	-79,01351	2,13781
395	GLOBAL	Cartesian	394,04547	-79,17581	2,15316	No	394,04547	-79,17581	2,15316
396	GLOBAL	Cartesian	393,94309	-79,33631	2,16824	No	393,94309	-79,33631	2,16824
397	GLOBAL	Cartesian	393,83787	-79,49498	2,18307	No	393,83787	-79,49498	2,18307
398	GLOBAL	Cartesian	393,72982	-79,65177	2,19766	No	393,72982	-79,65177	2,19766
399	GLOBAL	Cartesian	393,61898	-79,80665	2,21203	No	393,61898	-79,80665	2,21203
400	GLOBAL	Cartesian	393,50537	-79,95957	2,2262	No	393,50537	-79,95957	2,2262
401	GLOBAL	Cartesian	393,38901	-80,1105	2,24019	No	393,38901	-80,1105	2,24019
402	GLOBAL	Cartesian	393,26992	-80,2594	2,254	No	393,26992	-80,2594	2,254
403	GLOBAL	Cartesian	393,14818	-80,40619	2,26766	No	393,14818	-80,40619	2,26766
404	GLOBAL	Cartesian	393,02389	-80,55073	2,28116	No	393,02389	-80,55073	2,28116
405	GLOBAL	Cartesian	392,89708	-80,69298	2,29451	No	392,89708	-80,69298	2,29451
406	GLOBAL	Cartesian	392,76779	-80,83292	2,30773	No	392,76779	-80,83292	2,30773
407	GLOBAL	Cartesian	392,63606	-80,97051	2,32081	No	392,63606	-80,97051	2,32081
408	GLOBAL	Cartesian	392,50191	-81,10572	2,33378	No	392,50191	-81,10572	2,33378
409	GLOBAL	Cartesian	392,36537	-81,23852	2,34665	No	392,36537	-81,23852	2,34665
410	GLOBAL	Cartesian	392,22649	-81,36888	2,35941	No	392,22649	-81,36888	2,35941
411	GLOBAL	Cartesian	392,08528	-81,49676	2,37209	No	392,08528	-81,49676	2,37209
412	GLOBAL	Cartesian	391,94179	-81,62214	2,3847	No	391,94179	-81,62214	2,3847
413	GLOBAL	Cartesian	391,79604	-81,74497	2,39724	No	391,79604	-81,74497	2,39724
414	GLOBAL	Cartesian	391,64808	-81,86524	2,40973	No	391,64808	-81,86524	2,40973
415	GLOBAL	Cartesian	391,49792	-81,9829	2,42217	No	391,49792	-81,9829	2,42217
416	GLOBAL	Cartesian	391,34566	-82,09789	2,43458	No	391,34566	-82,09789	2,43458
417	GLOBAL	Cartesian	391,19142	-82,21012	2,44694	No	391,19142	-82,21012	2,44694
418	GLOBAL	Cartesian	391,03523	-82,31956	2,45928	No	391,03523	-82,31956	2,45928
419	GLOBAL	Cartesian	390,87713	-82,42618	2,47159	No	390,87713	-82,42618	2,47159
420	GLOBAL	Cartesian	390,71717	-82,52997	2,4839	No	390,71717	-82,52997	2,4839
421	GLOBAL	Cartesian	390,55538	-82,63089	2,4962	No	390,55538	-82,63089	2,4962
422	GLOBAL	Cartesian	390,39179	-82,72893	2,5085	No	390,39179	-82,72893	2,5085



423	GLOBAL	Cartesian	390,22645	-82,82405	2,52082	No	390,22645	-82,82405	2,52082
424	GLOBAL	Cartesian	390,05939	-82,91624	2,53316	No	390,05939	-82,91624	2,53316
425	GLOBAL	Cartesian	389,89073	-83,00542	2,54553	No	389,89073	-83,00542	2,54553
426	GLOBAL	Cartesian	389,72058	-83,09155	2,55792	No	389,72058	-83,09155	2,55792
427	GLOBAL	Cartesian	389,54897	-83,1746	2,57036	No	389,54897	-83,1746	2,57036
428	GLOBAL	Cartesian	389,37594	-83,25457	2,58285	No	389,37594	-83,25457	2,58285
429	GLOBAL	Cartesian	389,20155	-83,33144	2,59539	No	389,20155	-83,33144	2,59539
430	GLOBAL	Cartesian	389,02582	-83,40518	2,608	No	389,02582	-83,40518	2,608
431	GLOBAL	Cartesian	388,84881	-83,47578	2,62069	No	388,84881	-83,47578	2,62069
432	GLOBAL	Cartesian	388,67054	-83,54322	2,63347	No	388,67054	-83,54322	2,63347
433	GLOBAL	Cartesian	388,49108	-83,60749	2,64635	No	388,49108	-83,60749	2,64635
434	GLOBAL	Cartesian	388,31045	-83,66857	2,65934	No	388,31045	-83,66857	2,65934
435	GLOBAL	Cartesian	388,1287	-83,72643	2,67244	No	388,1287	-83,72643	2,67244
436	GLOBAL	Cartesian	387,94598	-83,78104	2,68566	No	387,94598	-83,78104	2,68566
437	GLOBAL	Cartesian	387,76242	-83,83236	2,69899	No	387,76242	-83,83236	2,69899
438	GLOBAL	Cartesian	387,57807	-83,88037	2,71246	No	387,57807	-83,88037	2,71246
439	GLOBAL	Cartesian	387,39298	-83,92507	2,72608	No	387,39298	-83,92507	2,72608
440	GLOBAL	Cartesian	387,2072	-83,96646	2,73986	No	387,2072	-83,96646	2,73986
441	GLOBAL	Cartesian	387,02076	-84,00453	2,75382	No	387,02076	-84,00453	2,75382
442	GLOBAL	Cartesian	386,83371	-84,03927	2,76797	No	386,83371	-84,03927	2,76797
443	GLOBAL	Cartesian	386,64611	-84,07067	2,78234	No	386,64611	-84,07067	2,78234
444	GLOBAL	Cartesian	386,45798	-84,09873	2,79692	No	386,45798	-84,09873	2,79692
445	GLOBAL	Cartesian	386,26939	-84,12344	2,81175	No	386,26939	-84,12344	2,81175
446	GLOBAL	Cartesian	386,08037	-84,1448	2,82683	No	386,08037	-84,1448	2,82683
447	GLOBAL	Cartesian	385,89097	-84,1628	2,84218	No	385,89097	-84,1628	2,84218
448	GLOBAL	Cartesian	385,70123	-84,17743	2,85782	No	385,70123	-84,17743	2,85782
449	GLOBAL	Cartesian	385,5112	-84,18869	2,87375	No	385,5112	-84,18869	2,87375
450	GLOBAL	Cartesian	385,22145	-84,1978	2,89	No	385,22145	-84,1978	2,89
451	GLOBAL	Cartesian	385,12198	-84,19887	2,89	No	385,12198	-84,19887	2,89
452	GLOBAL	Cartesian	385,02252	-84,19962	2,89	No	385,02252	-84,19962	2,89
453	GLOBAL	Cartesian	384,92309	-84,19988	2,89	No	384,92309	-84,19988	2,89
454	GLOBAL	Cartesian	384,82369	-84,19949	2,89	No	384,82369	-84,19949	2,89
455	GLOBAL	Cartesian	384,72432	-84,19828	2,89	No	384,72432	-84,19828	2,89
456	GLOBAL	Cartesian	384,625	-84,1961	2,89	No	384,625	-84,1961	2,89
457	GLOBAL	Cartesian	384,52573	-84,19278	2,89	No	384,52573	-84,19278	2,89
458	GLOBAL	Cartesian	384,42653	-84,18816	2,89	No	384,42653	-84,18816	2,89
459	GLOBAL	Cartesian	384,32738	-84,18225	2,89	No	384,32738	-84,18225	2,89
460	GLOBAL	Cartesian	384,22829	-84,1752	2,89	No	384,22829	-84,1752	2,89
461	GLOBAL	Cartesian	384,12924	-84,16717	2,89	No	384,12924	-84,16717	2,89

462	GLOBAL	Cartesian	384,03023	-84,15833	2,89	No	384,03023	-84,15833	2,89
463	GLOBAL	Cartesian	383,93125	-84,14884	2,89	No	383,93125	-84,14884	2,89
464	GLOBAL	Cartesian	383,8323	-84,13886	2,89	No	383,8323	-84,13886	2,89
465	GLOBAL	Cartesian	383,73335	-84,12855	2,89	No	383,73335	-84,12855	2,89
466	GLOBAL	Cartesian	383,44519	-84,0925	2,90627	No	383,44519	-84,0925	2,90627
467	GLOBAL	Cartesian	383,25643	-84,06353	2,92222	No	383,25643	-84,06353	2,92222
468	GLOBAL	Cartesian	383,06818	-84,0312	2,93787	No	383,06818	-84,0312	2,93787
469	GLOBAL	Cartesian	382,8806	-83,99552	2,95324	No	382,8806	-83,99552	2,95324
470	GLOBAL	Cartesian	382,69379	-83,95653	2,96835	No	382,69379	-83,95653	2,96835
471	GLOBAL	Cartesian	382,5078	-83,91423	2,98321	No	382,5078	-83,91423	2,98321
472	GLOBAL	Cartesian	382,32267	-83,86864	2,99783	No	382,32267	-83,86864	2,99783
473	GLOBAL	Cartesian	382,13844	-83,81978	3,01222	No	382,13844	-83,81978	3,01222
474	GLOBAL	Cartesian	381,95516	-83,76766	3,0264	No	381,95516	-83,76766	3,0264
475	GLOBAL	Cartesian	381,77288	-83,71229	3,04038	No	381,77288	-83,71229	3,04038
476	GLOBAL	Cartesian	381,59162	-83,65369	3,05418	No	381,59162	-83,65369	3,05418
477	GLOBAL	Cartesian	381,41144	-83,59188	3,06779	No	381,41144	-83,59188	3,06779
478	GLOBAL	Cartesian	381,23239	-83,52687	3,08125	No	381,23239	-83,52687	3,08125
479	GLOBAL	Cartesian	381,05449	-83,45867	3,09456	No	381,05449	-83,45867	3,09456
480	GLOBAL	Cartesian	380,87781	-83,3873	3,10772	No	380,87781	-83,3873	3,10772
481	GLOBAL	Cartesian	380,70237	-83,31277	3,12077	No	380,70237	-83,31277	3,12077
482	GLOBAL	Cartesian	380,52822	-83,2351	3,1337	No	380,52822	-83,2351	3,1337
483	GLOBAL	Cartesian	380,35542	-83,15431	3,14653	No	380,35542	-83,15431	3,14653
484	GLOBAL	Cartesian	380,18399	-83,0704	3,15928	No	380,18399	-83,0704	3,15928
485	GLOBAL	Cartesian	380,01398	-82,9834	3,17195	No	380,01398	-82,9834	3,17195
486	GLOBAL	Cartesian	379,84544	-82,89331	3,18456	No	379,84544	-82,89331	3,18456
487	GLOBAL	Cartesian	379,67842	-82,80016	3,19711	No	379,67842	-82,80016	3,19711
488	GLOBAL	Cartesian	379,51309	-82,70404	3,20962	No	379,51309	-82,70404	3,20962
489	GLOBAL	Cartesian	379,34956	-82,60501	3,22206	No	379,34956	-82,60501	3,22206
490	GLOBAL	Cartesian	379,18785	-82,50309	3,23446	No	379,18785	-82,50309	3,23446
491	GLOBAL	Cartesian	379,028	-82,39832	3,24682	No	379,028	-82,39832	3,24682
492	GLOBAL	Cartesian	378,87006	-82,29071	3,25916	No	378,87006	-82,29071	3,25916
493	GLOBAL	Cartesian	378,71406	-82,18029	3,27147	No	378,71406	-82,18029	3,27147
494	GLOBAL	Cartesian	378,56004	-82,0671	3,28377	No	378,56004	-82,0671	3,28377
495	GLOBAL	Cartesian	378,40804	-81,95114	3,29608	No	378,40804	-81,95114	3,29608
496	GLOBAL	Cartesian	378,25809	-81,83246	3,30839	No	378,25809	-81,83246	3,30839
497	GLOBAL	Cartesian	378,11025	-81,71108	3,32071	No	378,11025	-81,71108	3,32071
498	GLOBAL	Cartesian	377,96465	-81,58712	3,33305	No	377,96465	-81,58712	3,33305
499	GLOBAL	Cartesian	377,82134	-81,46062	3,34541	No	377,82134	-81,46062	3,34541
500	GLOBAL	Cartesian	377,68034	-81,33161	3,35781	No	377,68034	-81,33161	3,35781



501	GLOBAL	Cartesian	377,5417	-81,20013	3,37024	No	377,5417	-81,20013	3,37024
502	GLOBAL	Cartesian	377,40545	-81,06622	3,38273	No	377,40545	-81,06622	3,38273
503	GLOBAL	Cartesian	377,27161	-80,92989	3,39528	No	377,27161	-80,92989	3,39528
504	GLOBAL	Cartesian	377,14022	-80,79119	3,40789	No	377,14022	-80,79119	3,40789
505	GLOBAL	Cartesian	377,01131	-80,65015	3,42059	No	377,01131	-80,65015	3,42059
506	GLOBAL	Cartesian	376,88491	-80,5068	3,43338	No	376,88491	-80,5068	3,43338
507	GLOBAL	Cartesian	376,76106	-80,36117	3,44627	No	376,76106	-80,36117	3,44627
508	GLOBAL	Cartesian	376,63979	-80,21331	3,45926	No	376,63979	-80,21331	3,45926
509	GLOBAL	Cartesian	376,52124	-80,06337	3,47235	No	376,52124	-80,06337	3,47235
510	GLOBAL	Cartesian	376,40546	-79,91144	3,48555	No	376,40546	-79,91144	3,48555
511	GLOBAL	Cartesian	376,29247	-79,75755	3,49887	No	376,29247	-79,75755	3,49887
512	GLOBAL	Cartesian	376,18229	-79,60174	3,51233	No	376,18229	-79,60174	3,51233
513	GLOBAL	Cartesian	376,07496	-79,44405	3,52595	No	376,07496	-79,44405	3,52595
514	GLOBAL	Cartesian	375,97048	-79,28453	3,53973	No	375,97048	-79,28453	3,53973
515	GLOBAL	Cartesian	375,86889	-79,12321	3,55369	No	375,86889	-79,12321	3,55369
516	GLOBAL	Cartesian	375,77021	-78,96013	3,56785	No	375,77021	-78,96013	3,56785
517	GLOBAL	Cartesian	375,67445	-78,79533	3,58222	No	375,67445	-78,79533	3,58222
518	GLOBAL	Cartesian	375,58164	-78,62886	3,59682	No	375,58164	-78,62886	3,59682
519	GLOBAL	Cartesian	375,49181	-78,46075	3,61166	No	375,49181	-78,46075	3,61166
520	GLOBAL	Cartesian	375,40498	-78,29104	3,62675	No	375,40498	-78,29104	3,62675
521	GLOBAL	Cartesian	375,32116	-78,11977	3,64212	No	375,32116	-78,11977	3,64212
522	GLOBAL	Cartesian	375,24039	-77,94699	3,65777	No	375,24039	-77,94699	3,65777
523	GLOBAL	Cartesian	375,16268	-77,77272	3,67373	No	375,16268	-77,77272	3,67373
524	GLOBAL	Cartesian	375,05183	-77,50437	3,69	No	375,05183	-77,50437	3,69
525	GLOBAL	Cartesian	375,01576	-77,41166	3,69	No	375,01576	-77,41166	3,69
526	GLOBAL	Cartesian	374,98001	-77,31885	3,69	No	374,98001	-77,31885	3,69
527	GLOBAL	Cartesian	374,94472	-77,22589	3,69	No	374,94472	-77,22589	3,69
528	GLOBAL	Cartesian	374,91004	-77,13273	3,69	No	374,91004	-77,13273	3,69
529	GLOBAL	Cartesian	374,87615	-77,03932	3,69	No	374,87615	-77,03932	3,69
530	GLOBAL	Cartesian	374,84318	-76,9456	3,69	No	374,84318	-76,9456	3,69
531	GLOBAL	Cartesian	374,81113	-76,85154	3,69	No	374,81113	-76,85154	3,69
532	GLOBAL	Cartesian	374,78065	-76,75707	3,69	No	374,78065	-76,75707	3,69
533	GLOBAL	Cartesian	374,75123	-76,6622	3,69	No	374,75123	-76,6622	3,69
534	GLOBAL	Cartesian	374,7229	-76,56699	3,69	No	374,7229	-76,56699	3,69
535	GLOBAL	Cartesian	374,6955	-76,47147	3,69	No	374,6955	-76,47147	3,69
536	GLOBAL	Cartesian	374,66887	-76,37569	3,69	No	374,66887	-76,37569	3,69
537	GLOBAL	Cartesian	374,64286	-76,27972	3,69	No	374,64286	-76,27972	3,69
538	GLOBAL	Cartesian	374,61732	-76,1836	3,69	No	374,61732	-76,1836	3,69
539	GLOBAL	Cartesian	374,59209	-76,08738	3,69	No	374,59209	-76,08738	3,69

540	GLOBAL	Cartesian	374,52428	-75,80512	3,70626	No	374,52428	-75,80512	3,70626
541	GLOBAL	Cartesian	374,48489	-75,61846	3,7222	No	374,48489	-75,61846	3,7222
542	GLOBAL	Cartesian	374,44883	-75,43115	3,73784	No	374,44883	-75,43115	3,73784
543	GLOBAL	Cartesian	374,41612	-75,24325	3,7532	No	374,41612	-75,24325	3,7532
544	GLOBAL	Cartesian	374,38676	-75,0548	3,76828	No	374,38676	-75,0548	3,76828
545	GLOBAL	Cartesian	374,36077	-74,86585	3,78312	No	374,36077	-74,86585	3,78312
546	GLOBAL	Cartesian	374,33815	-74,67644	3,79771	No	374,33815	-74,67644	3,79771
547	GLOBAL	Cartesian	374,3189	-74,48662	3,81209	No	374,3189	-74,48662	3,81209
548	GLOBAL	Cartesian	374,30304	-74,29643	3,82626	No	374,30304	-74,29643	3,82626
549	GLOBAL	Cartesian	374,29057	-74,10592	3,84024	No	374,29057	-74,10592	3,84024
550	GLOBAL	Cartesian	374,28149	-73,91514	3,85405	No	374,28149	-73,91514	3,85405
551	GLOBAL	Cartesian	374,27582	-73,72415	3,86771	No	374,27582	-73,72415	3,86771
552	GLOBAL	Cartesian	374,27357	-73,53314	3,88121	No	374,27357	-73,53314	3,88121
553	GLOBAL	Cartesian	374,27472	-73,3422	3,89456	No	374,27472	-73,3422	3,89456
554	GLOBAL	Cartesian	374,27928	-73,15135	3,90778	No	374,27928	-73,15135	3,90778
555	GLOBAL	Cartesian	374,28723	-72,96065	3,92086	No	374,28723	-72,96065	3,92086
556	GLOBAL	Cartesian	374,29859	-72,77015	3,93383	No	374,29859	-72,77015	3,93383
557	GLOBAL	Cartesian	374,31335	-72,57988	3,94669	No	374,31335	-72,57988	3,94669
558	GLOBAL	Cartesian	374,33149	-72,3899	3,95946	No	374,33149	-72,3899	3,95946
559	GLOBAL	Cartesian	374,35303	-72,20025	3,97213	No	374,35303	-72,20025	3,97213
560	GLOBAL	Cartesian	374,37795	-72,01098	3,98474	No	374,37795	-72,01098	3,98474
561	GLOBAL	Cartesian	374,40625	-71,82212	3,99728	No	374,40625	-71,82212	3,99728
562	GLOBAL	Cartesian	374,43792	-71,63373	4,00976	No	374,43792	-71,63373	4,00976
563	GLOBAL	Cartesian	374,47298	-71,44585	4,0222	No	374,47298	-71,44585	4,0222
564	GLOBAL	Cartesian	374,51139	-71,25859	4,0346	No	374,51139	-71,25859	4,0346
565	GLOBAL	Cartesian	374,55313	-71,07208	4,04696	No	374,55313	-71,07208	4,04696
566	GLOBAL	Cartesian	374,59819	-70,88639	4,05929	No	374,59819	-70,88639	4,05929
567	GLOBAL	Cartesian	374,64655	-70,70156	4,0716	No	374,64655	-70,70156	4,0716
568	GLOBAL	Cartesian	374,6982	-70,51763	4,0839	No	374,6982	-70,51763	4,0839
569	GLOBAL	Cartesian	374,75312	-70,33464	4,09619	No	374,75312	-70,33464	4,09619
570	GLOBAL	Cartesian	374,81131	-70,15265	4,10849	No	374,81131	-70,15265	4,10849
571	GLOBAL	Cartesian	374,87276	-69,97168	4,1208	No	374,87276	-69,97168	4,1208
572	GLOBAL	Cartesian	374,93744	-69,7918	4,13314	No	374,93744	-69,7918	4,13314
573	GLOBAL	Cartesian	375,00533	-69,61311	4,1455	No	375,00533	-69,61311	4,1455
574	GLOBAL	Cartesian	375,07636	-69,43573	4,1579	No	375,07636	-69,43573	4,1579
575	GLOBAL	Cartesian	375,15053	-69,2597	4,17033	No	375,15053	-69,2597	4,17033
576	GLOBAL	Cartesian	375,22781	-69,08506	4,18281	No	375,22781	-69,08506	4,18281
577	GLOBAL	Cartesian	375,30819	-68,91185	4,19535	No	375,30819	-68,91185	4,19535
578	GLOBAL	Cartesian	375,39164	-68,74012	4,20796	No	375,39164	-68,74012	4,20796



579	GLOBAL	Cartesian	375,47813	-68,5699	4,22065	No	375,47813	-68,5699	4,22065
580	GLOBAL	Cartesian	375,56766	-68,40124	4,23342	No	375,56766	-68,40124	4,23342
581	GLOBAL	Cartesian	375,6602	-68,23418	4,2463	No	375,6602	-68,23418	4,2463
582	GLOBAL	Cartesian	375,75574	-68,06875	4,25928	No	375,75574	-68,06875	4,25928
583	GLOBAL	Cartesian	375,85424	-67,905	4,27238	No	375,85424	-67,905	4,27238
584	GLOBAL	Cartesian	375,95565	-67,74305	4,2856	No	375,95565	-67,74305	4,2856
585	GLOBAL	Cartesian	376,05986	-67,58303	4,29893	No	376,05986	-67,58303	4,29893
586	GLOBAL	Cartesian	376,16686	-67,42498	4,3124	No	376,16686	-67,42498	4,3124
587	GLOBAL	Cartesian	376,27661	-67,26893	4,32602	No	376,27661	-67,26893	4,32602
588	GLOBAL	Cartesian	376,38909	-67,11492	4,3398	No	376,38909	-67,11492	4,3398
589	GLOBAL	Cartesian	376,50425	-66,96299	4,35376	No	376,50425	-66,96299	4,35376
590	GLOBAL	Cartesian	376,62208	-66,81316	4,36792	No	376,62208	-66,81316	4,36792
591	GLOBAL	Cartesian	376,74254	-66,66548	4,38228	No	376,74254	-66,66548	4,38228
592	GLOBAL	Cartesian	376,8656	-66,51998	4,39688	No	376,8656	-66,51998	4,39688
593	GLOBAL	Cartesian	376,99123	-66,37669	4,41171	No	376,99123	-66,37669	4,41171
594	GLOBAL	Cartesian	377,11941	-66,23565	4,42679	No	377,11941	-66,23565	4,42679
595	GLOBAL	Cartesian	377,2501	-66,09689	4,44215	No	377,2501	-66,09689	4,44215
596	GLOBAL	Cartesian	377,38328	-65,96044	4,45779	No	377,38328	-65,96044	4,45779
597	GLOBAL	Cartesian	377,51891	-65,82636	4,47374	No	377,51891	-65,82636	4,47374
598	GLOBAL	Cartesian	377,7309	-65,6281	4,49	No	377,7309	-65,6281	4,49
599	GLOBAL	Cartesian	377,80494	-65,56166	4,49	No	377,80494	-65,56166	4,49
600	GLOBAL	Cartesian	377,87919	-65,49549	4,49	No	377,87919	-65,49549	4,49
601	GLOBAL	Cartesian	377,95374	-65,42969	4,49	No	377,95374	-65,42969	4,49
602	GLOBAL	Cartesian	378,0287	-65,36441	4,49	No	378,0287	-65,36441	4,49
603	GLOBAL	Cartesian	378,10417	-65,29976	4,49	No	378,10417	-65,29976	4,49
604	GLOBAL	Cartesian	378,18025	-65,23587	4,49	No	378,18025	-65,23587	4,49
605	GLOBAL	Cartesian	378,25704	-65,17288	4,49	No	378,25704	-65,17288	4,49
606	GLOBAL	Cartesian	378,33464	-65,1109	4,49	No	378,33464	-65,1109	4,49
607	GLOBAL	Cartesian	378,41305	-65,04993	4,49	No	378,41305	-65,04993	4,49
608	GLOBAL	Cartesian	378,49217	-64,98985	4,49	No	378,49217	-64,98985	4,49
609	GLOBAL	Cartesian	378,5719	-64,93054	4,49	No	378,5719	-64,93054	4,49
610	GLOBAL	Cartesian	378,65213	-64,87186	4,49	No	378,65213	-64,87186	4,49
611	GLOBAL	Cartesian	378,73278	-64,8137	4,49	No	378,73278	-64,8137	4,49
612	GLOBAL	Cartesian	378,81373	-64,75591	4,49	No	378,81373	-64,75591	4,49
613	GLOBAL	Cartesian	378,89488	-64,69838	4,49	No	378,89488	-64,69838	4,49
614	GLOBAL	Cartesian	400,63815	-65,29513	5,88167	No	400,63815	-65,29513	5,88167
615	GLOBAL	Cartesian	400,63702	-62,79513	5,88167	No	400,63702	-62,79513	5,88167
616	GLOBAL	Cartesian	398,67648	-65,29601	5,76333	No	398,67648	-65,29601	5,76333
617	GLOBAL	Cartesian	398,67535	-62,79601	5,76333	No	398,67535	-62,79601	5,76333

618	GLOBAL	Cartesian	396,71481	-65,2969	5,645	No	396,71481	-65,2969	5,645
619	GLOBAL	Cartesian	396,71368	-62,7969	5,645	No	396,71368	-62,7969	5,645
620	GLOBAL	Cartesian	394,75315	-65,29779	5,52667	No	394,75315	-65,29779	5,52667
621	GLOBAL	Cartesian	394,75202	-62,79779	5,52667	No	394,75202	-62,79779	5,52667
622	GLOBAL	Cartesian	392,79148	-65,29867	5,40833	No	392,79148	-65,29867	5,40833
623	GLOBAL	Cartesian	392,79035	-62,79867	5,40833	No	392,79035	-62,79867	5,40833
624	GLOBAL	Cartesian	436,7335	-62,7788	7,9	No	436,7335	-62,7788	7,9
625	GLOBAL	Cartesian	437,272	-62,77856	7,9	No	437,272	-62,77856	7,9
626	GLOBAL	Cartesian	436,73387	-65,2788	7,85	No	436,73387	-65,2788	7,85
627	GLOBAL	Cartesian	437,27276	-65,27856	7,85	No	437,27276	-65,27856	7,85
628	GLOBAL	Cartesian	436,73349	-62,7788	7,85	No	436,73349	-62,7788	7,85
629	GLOBAL	Cartesian	437,272	-62,77856	7,85	No	437,272	-62,77856	7,85
678	GLOBAL	Cartesian	499,91547	-65,25026	10,1	No	499,91547	-65,25026	10,1
679	GLOBAL	Cartesian	499,91434	-62,75026	10,1	No	499,91434	-62,75026	10,1
680	GLOBAL	Cartesian	497,93638	-65,25115	10,1	No	497,93638	-65,25115	10,1
681	GLOBAL	Cartesian	497,93525	-62,75115	10,1	No	497,93525	-62,75115	10,1
682	GLOBAL	Cartesian	495,95729	-65,25205	10,1	No	495,95729	-65,25205	10,1
683	GLOBAL	Cartesian	495,95616	-62,75205	10,1	No	495,95616	-62,75205	10,1
684	GLOBAL	Cartesian	493,9782	-65,25294	10,1	No	493,9782	-65,25294	10,1
685	GLOBAL	Cartesian	493,97707	-62,75294	10,1	No	493,97707	-62,75294	10,1
686	GLOBAL	Cartesian	490,02001	-65,25473	10,1	No	490,02001	-65,25473	10,1
687	GLOBAL	Cartesian	490,01888	-62,75473	10,1	No	490,01888	-62,75473	10,1
688	GLOBAL	Cartesian	488,04092	-65,25563	10,1	No	488,04092	-65,25563	10,1
689	GLOBAL	Cartesian	488,03979	-62,75563	10,1	No	488,03979	-62,75563	10,1
690	GLOBAL	Cartesian	486,06183	-65,25652	10,1	No	486,06183	-65,25652	10,1
691	GLOBAL	Cartesian	486,0607	-62,75652	10,1	No	486,0607	-62,75652	10,1
692	GLOBAL	Cartesian	484,08274	-65,25742	10,1	No	484,08274	-65,25742	10,1
693	GLOBAL	Cartesian	484,08161	-62,75742	10,1	No	484,08161	-62,75742	10,1
694	GLOBAL	Cartesian	482,10365	-65,25831	10,1	No	482,10365	-65,25831	10,1
695	GLOBAL	Cartesian	482,10252	-62,75831	10,1	No	482,10252	-62,75831	10,1
696	GLOBAL	Cartesian	480,12456	-65,2592	10,1	No	480,12456	-65,2592	10,1
697	GLOBAL	Cartesian	480,12343	-62,7592	10,1	No	480,12343	-62,7592	10,1
698	GLOBAL	Cartesian	478,14546	-65,2601	10,1	No	478,14546	-65,2601	10,1
699	GLOBAL	Cartesian	478,14433	-62,7601	10,1	No	478,14433	-62,7601	10,1
700	GLOBAL	Cartesian	476,16637	-65,2601	10,1	No	476,16637	-65,2601	10,1
701	GLOBAL	Cartesian	476,16524	-62,7601	10,1	No	476,16524	-62,7601	10,1
704	GLOBAL	Cartesian	491,9991	-65,25384	10,1	No	491,9991	-65,25384	10,1
705	GLOBAL	Cartesian	491,99797	-62,75384	10,1	No	491,99797	-62,75384	10,1
709	GLOBAL	Cartesian	502,62998	-62,74903	10,1	No	502,62998	-62,74903	10,1



710	GLOBAL	Cartesian	513,67029	-62,74404	9,3	No	513,67029	-62,74404	9,3
711	GLOBAL	Cartesian	513,69426	-62,74387	9,3	No	513,69426	-62,74387	9,3
712	GLOBAL	Cartesian	513,71823	-62,74369	9,3	No	513,71823	-62,74369	9,3
713	GLOBAL	Cartesian	513,74219	-62,74348	9,3	No	513,74219	-62,74348	9,3
714	GLOBAL	Cartesian	513,76616	-62,74324	9,3	No	513,76616	-62,74324	9,3
715	GLOBAL	Cartesian	513,79012	-62,74294	9,3	No	513,79012	-62,74294	9,3
716	GLOBAL	Cartesian	513,81408	-62,74257	9,3	No	513,81408	-62,74257	9,3
717	GLOBAL	Cartesian	513,83804	-62,74213	9,3	No	513,83804	-62,74213	9,3
718	GLOBAL	Cartesian	513,862	-62,7416	9,3	No	513,862	-62,7416	9,3
719	GLOBAL	Cartesian	513,88596	-62,74096	9,3	No	513,88596	-62,74096	9,3
720	GLOBAL	Cartesian	513,90991	-62,74022	9,3	No	513,90991	-62,74022	9,3
721	GLOBAL	Cartesian	513,93386	-62,73939	9,3	No	513,93386	-62,73939	9,3
722	GLOBAL	Cartesian	513,9578	-62,73848	9,3	No	513,9578	-62,73848	9,3
723	GLOBAL	Cartesian	513,98175	-62,73751	9,3	No	513,98175	-62,73751	9,3
724	GLOBAL	Cartesian	514,00569	-62,73648	9,3	No	514,00569	-62,73648	9,3
725	GLOBAL	Cartesian	514,02964	-62,73542	9,3	No	514,02964	-62,73542	9,3
726	GLOBAL	Cartesian	514,05358	-62,73432	9,3	No	514,05358	-62,73432	9,3
727	GLOBAL	Cartesian	514,31811	-62,7168	9,27607	No	514,31811	-62,7168	9,27607
728	GLOBAL	Cartesian	514,55782	-62,69298	9,25264	No	514,55782	-62,69298	9,25264
729	GLOBAL	Cartesian	514,79649	-62,6618	9,22965	No	514,79649	-62,6618	9,22965
730	GLOBAL	Cartesian	515,03394	-62,62329	9,20707	No	515,03394	-62,62329	9,20707
731	GLOBAL	Cartesian	515,27	-62,5775	9,18483	No	515,27	-62,5775	9,18483
732	GLOBAL	Cartesian	515,5045	-62,52446	9,16288	No	515,5045	-62,52446	9,16288
733	GLOBAL	Cartesian	515,73728	-62,46421	9,14118	No	515,73728	-62,46421	9,14118
734	GLOBAL	Cartesian	515,96817	-62,3968	9,11966	No	515,96817	-62,3968	9,11966
735	GLOBAL	Cartesian	516,19699	-62,32225	9,09829	No	516,19699	-62,32225	9,09829
736	GLOBAL	Cartesian	516,42359	-62,24061	9,077	No	516,42359	-62,24061	9,077
737	GLOBAL	Cartesian	516,64779	-62,15192	9,05574	No	516,64779	-62,15192	9,05574
738	GLOBAL	Cartesian	516,86943	-62,05621	9,03446	No	516,86943	-62,05621	9,03446
739	GLOBAL	Cartesian	517,08807	-61,95366	9,01315	No	517,08807	-61,95366	9,01315
740	GLOBAL	Cartesian	517,30319	-61,84451	8,99182	No	517,30319	-61,84451	8,99182
741	GLOBAL	Cartesian	517,51462	-61,72888	8,97041	No	517,51462	-61,72888	8,97041
742	GLOBAL	Cartesian	517,72223	-61,60686	8,94887	No	517,72223	-61,60686	8,94887
743	GLOBAL	Cartesian	517,92588	-61,47856	8,92715	No	517,92588	-61,47856	8,92715
744	GLOBAL	Cartesian	518,12543	-61,34407	8,90519	No	518,12543	-61,34407	8,90519
745	GLOBAL	Cartesian	518,32073	-61,20348	8,88294	No	518,32073	-61,20348	8,88294
746	GLOBAL	Cartesian	518,51164	-61,05691	8,86035	No	518,51164	-61,05691	8,86035
747	GLOBAL	Cartesian	518,69802	-60,90445	8,83737	No	518,69802	-60,90445	8,83737
748	GLOBAL	Cartesian	518,87974	-60,74619	8,81393	No	518,87974	-60,74619	8,81393

752	GLOBAL	Cartesian	513,67063	-65,24451	9,3	No	513,67063	-65,24451	9,3
753	GLOBAL	Cartesian	513,70307	-65,24421	9,3	No	513,70307	-65,24421	9,3
754	GLOBAL	Cartesian	513,73472	-65,24391	9,3	No	513,73472	-65,24391	9,3
755	GLOBAL	Cartesian	513,76637	-65,24357	9,3	No	513,76637	-65,24357	9,3
756	GLOBAL	Cartesian	513,79801	-65,24318	9,3	No	513,79801	-65,24318	9,3
757	GLOBAL	Cartesian	513,82965	-65,24273	9,3	No	513,82965	-65,24273	9,3
758	GLOBAL	Cartesian	513,8613	-65,24219	9,3	No	513,8613	-65,24219	9,3
759	GLOBAL	Cartesian	513,89294	-65,24157	9,3	No	513,89294	-65,24157	9,3
760	GLOBAL	Cartesian	513,92457	-65,24083	9,3	No	513,92457	-65,24083	9,3
761	GLOBAL	Cartesian	513,9562	-65,23996	9,3	No	513,9562	-65,23996	9,3
762	GLOBAL	Cartesian	513,98783	-65,23896	9,3	No	513,98783	-65,23896	9,3
763	GLOBAL	Cartesian	514,01946	-65,23786	9,3	No	514,01946	-65,23786	9,3
764	GLOBAL	Cartesian	514,05108	-65,23665	9,3	No	514,05108	-65,23665	9,3
765	GLOBAL	Cartesian	514,0827	-65,23537	9,3	No	514,0827	-65,23537	9,3
766	GLOBAL	Cartesian	514,11432	-65,23402	9,3	No	514,11432	-65,23402	9,3
767	GLOBAL	Cartesian	514,14594	-65,23262	9,3	No	514,14594	-65,23262	9,3
768	GLOBAL	Cartesian	514,17756	-65,2312	9,3	No	514,17756	-65,2312	9,3
769	GLOBAL	Cartesian	514,41791	-65,21662	9,28423	No	514,41791	-65,21662	9,28423
770	GLOBAL	Cartesian	514,62627	-65,19926	9,26868	No	514,62627	-65,19926	9,26868
771	GLOBAL	Cartesian	514,83416	-65,17767	9,25335	No	514,83416	-65,17767	9,25335
772	GLOBAL	Cartesian	515,04155	-65,15188	9,2382	No	515,04155	-65,15188	9,2382
773	GLOBAL	Cartesian	515,24835	-65,12189	9,22323	No	515,24835	-65,12189	9,22323
774	GLOBAL	Cartesian	515,45451	-65,08771	9,20842	No	515,45451	-65,08771	9,20842
775	GLOBAL	Cartesian	515,65996	-65,04935	9,19375	No	515,65996	-65,04935	9,19375
776	GLOBAL	Cartesian	515,86464	-65,00681	9,1792	No	515,86464	-65,00681	9,1792
777	GLOBAL	Cartesian	516,06848	-64,96012	9,16477	No	516,06848	-64,96012	9,16477
778	GLOBAL	Cartesian	516,27142	-64,90927	9,15043	No	516,27142	-64,90927	9,15043
779	GLOBAL	Cartesian	516,47337	-64,85429	9,13617	No	516,47337	-64,85429	9,13617
780	GLOBAL	Cartesian	516,6741	-64,79523	9,12199	No	516,6741	-64,79523	9,12199
781	GLOBAL	Cartesian	516,87353	-64,73213	9,10788	No	516,87353	-64,73213	9,10788
782	GLOBAL	Cartesian	517,07159	-64,66501	9,09382	No	517,07159	-64,66501	9,09382
783	GLOBAL	Cartesian	517,26824	-64,59388	9,07981	No	517,26824	-64,59388	9,07981
784	GLOBAL	Cartesian	517,4634	-64,51878	9,06583	No	517,4634	-64,51878	9,06583
785	GLOBAL	Cartesian	517,65702	-64,43972	9,05186	No	517,65702	-64,43972	9,05186
786	GLOBAL	Cartesian	517,84903	-64,35673	9,03789	No	517,84903	-64,35673	9,03789
787	GLOBAL	Cartesian	518,03938	-64,26983	9,02391	No	518,03938	-64,26983	9,02391
788	GLOBAL	Cartesian	518,22798	-64,17905	9,00992	No	518,22798	-64,17905	9,00992
789	GLOBAL	Cartesian	518,41459	-64,08452	8,9959	No	518,41459	-64,08452	8,9959
790	GLOBAL	Cartesian	518,59911	-63,98628	8,98186	No	518,59911	-63,98628	8,98186



791	GLOBAL	Cartesian	518,78149	-63,88438	8,96778	No	518,78149	-63,88438	8,96778
792	GLOBAL	Cartesian	518,96169	-63,77885	8,95364	No	518,96169	-63,77885	8,95364
793	GLOBAL	Cartesian	519,13964	-63,66973	8,93943	No	519,13964	-63,66973	8,93943
794	GLOBAL	Cartesian	519,31529	-63,55706	8,92513	No	519,31529	-63,55706	8,92513
795	GLOBAL	Cartesian	519,4886	-63,44088	8,91073	No	519,4886	-63,44088	8,91073
796	GLOBAL	Cartesian	519,6595	-63,32122	8,89621	No	519,6595	-63,32122	8,89621
797	GLOBAL	Cartesian	519,82795	-63,19812	8,88156	No	519,82795	-63,19812	8,88156
798	GLOBAL	Cartesian	519,99389	-63,07162	8,86676	No	519,99389	-63,07162	8,86676
799	GLOBAL	Cartesian	520,15728	-62,94175	8,85179	No	520,15728	-62,94175	8,85179
800	GLOBAL	Cartesian	520,31805	-62,80855	8,83665	No	520,31805	-62,80855	8,83665
801	GLOBAL	Cartesian	520,47615	-62,67206	8,82132	No	520,47615	-62,67206	8,82132
802	GLOBAL	Cartesian	520,63154	-62,53232	8,80577	No	520,63154	-62,53232	8,80577
803	GLOBAL	Cartesian	510,64456	-65,24541	9,46	No	510,64456	-65,24541	9,46
804	GLOBAL	Cartesian	510,64075	-62,74541	9,46021	No	510,64075	-62,74541	9,46021
805	GLOBAL	Cartesian	508,64456	-65,24631	9,62	No	508,64456	-65,24631	9,62
806	GLOBAL	Cartesian	508,63807	-62,74632	9,62043	No	508,63807	-62,74632	9,62043
807	GLOBAL	Cartesian	506,64456	-65,24722	9,78	No	506,64456	-65,24722	9,78
808	GLOBAL	Cartesian	506,63539	-62,74722	9,78064	No	506,63539	-62,74722	9,78064
809	GLOBAL	Cartesian	504,64456	-65,24812	9,94	No	504,64456	-65,24812	9,94
810	GLOBAL	Cartesian	504,6327	-62,74813	9,94086	No	504,6327	-62,74813	9,94086
811	GLOBAL	Cartesian	384,96869	-62,80221	4,96695	No	384,96869	-62,80221	4,96695
812	GLOBAL	Cartesian	384,97372	-65,30221	4,91736	No	384,97372	-65,30221	4,91736
813	GLOBAL	Cartesian	387,15177	-65,30122	5,10368	No	387,15177	-65,30122	5,10368
814	GLOBAL	Cartesian	387,14869	-62,80122	5,12847	No	387,14869	-62,80122	5,12847
815	GLOBAL	Cartesian	379,12759	-64,54034	4,50508	No	379,12759	-64,54034	4,50508
816	GLOBAL	Cartesian	379,28065	-64,44234	4,52001	No	379,28065	-64,44234	4,52001
817	GLOBAL	Cartesian	379,4353	-64,34699	4,53481	No	379,4353	-64,34699	4,53481
818	GLOBAL	Cartesian	379,59148	-64,25431	4,54948	No	379,59148	-64,25431	4,54948
819	GLOBAL	Cartesian	379,74916	-64,16433	4,56403	No	379,74916	-64,16433	4,56403
820	GLOBAL	Cartesian	379,90832	-64,07704	4,57845	No	379,90832	-64,07704	4,57845
821	GLOBAL	Cartesian	380,06891	-63,99249	4,59277	No	380,06891	-63,99249	4,59277
822	GLOBAL	Cartesian	380,2309	-63,91067	4,60698	No	380,2309	-63,91067	4,60698
823	GLOBAL	Cartesian	380,39425	-63,83162	4,62109	No	380,39425	-63,83162	4,62109
824	GLOBAL	Cartesian	380,55894	-63,75534	4,6351	No	380,55894	-63,75534	4,6351
825	GLOBAL	Cartesian	380,72491	-63,68186	4,64903	No	380,72491	-63,68186	4,64903
826	GLOBAL	Cartesian	380,89215	-63,61118	4,66287	No	380,89215	-63,61118	4,66287
827	GLOBAL	Cartesian	381,0606	-63,54334	4,67664	No	381,0606	-63,54334	4,67664
828	GLOBAL	Cartesian	381,23025	-63,47834	4,69033	No	381,23025	-63,47834	4,69033
829	GLOBAL	Cartesian	381,40104	-63,41621	4,70396	No	381,40104	-63,41621	4,70396

830	GLOBAL	Cartesian	381,57295	-63,35696	4,71752	No	381,57295	-63,35696	4,71752
831	GLOBAL	Cartesian	381,74594	-63,3006	4,73103	No	381,74594	-63,3006	4,73103
832	GLOBAL	Cartesian	381,91993	-63,24718	4,74449	No	381,91993	-63,24718	4,74449
833	GLOBAL	Cartesian	382,09474	-63,19674	4,75789	No	382,09474	-63,19674	4,75789
834	GLOBAL	Cartesian	382,27033	-63,1493	4,77122	No	382,27033	-63,1493	4,77122
835	GLOBAL	Cartesian	382,44666	-63,10485	4,78451	No	382,44666	-63,10485	4,78451
836	GLOBAL	Cartesian	382,62369	-63,06342	4,79774	No	382,62369	-63,06342	4,79774
837	GLOBAL	Cartesian	382,80139	-63,025	4,81093	No	382,80139	-63,025	4,81093
838	GLOBAL	Cartesian	382,97971	-62,98961	4,82408	No	382,97971	-62,98961	4,82408
839	GLOBAL	Cartesian	383,15861	-62,95725	4,83719	No	383,15861	-62,95725	4,83719
840	GLOBAL	Cartesian	383,33807	-62,92793	4,85027	No	383,33807	-62,92793	4,85027
841	GLOBAL	Cartesian	383,51803	-62,90166	4,86332	No	383,51803	-62,90166	4,86332
842	GLOBAL	Cartesian	383,69846	-62,87845	4,87634	No	383,69846	-62,87845	4,87634
843	GLOBAL	Cartesian	383,87932	-62,8583	4,88935	No	383,87932	-62,8583	4,88935
844	GLOBAL	Cartesian	384,06056	-62,84123	4,90233	No	384,06056	-62,84123	4,90233
845	GLOBAL	Cartesian	384,242	-62,82724	4,91529	No	384,242	-62,82724	4,91529
846	GLOBAL	Cartesian	384,42357	-62,81635	4,92823	No	384,42357	-62,81635	4,92823
847	GLOBAL	Cartesian	384,60524	-62,80855	4,94115	No	384,60524	-62,80855	4,94115
848	GLOBAL	Cartesian	384,78695	-62,80383	4,95406	No	384,78695	-62,80383	4,95406
849	GLOBAL	Cartesian	380,49347	-66,63423	4,50353	No	380,49347	-66,63423	4,50353
850	GLOBAL	Cartesian	380,61077	-66,55912	4,51694	No	380,61077	-66,55912	4,51694
851	GLOBAL	Cartesian	380,72928	-66,48606	4,53023	No	380,72928	-66,48606	4,53023
852	GLOBAL	Cartesian	380,84895	-66,41504	4,54341	No	380,84895	-66,41504	4,54341
853	GLOBAL	Cartesian	380,96978	-66,34609	4,55649	No	380,96978	-66,34609	4,55649
854	GLOBAL	Cartesian	381,09173	-66,27921	4,56946	No	381,09173	-66,27921	4,56946
855	GLOBAL	Cartesian	381,21476	-66,21443	4,58233	No	381,21476	-66,21443	4,58233
856	GLOBAL	Cartesian	381,33887	-66,15175	4,59511	No	381,33887	-66,15175	4,59511
857	GLOBAL	Cartesian	381,46401	-66,09118	4,60779	No	381,46401	-66,09118	4,60779
858	GLOBAL	Cartesian	381,59016	-66,03275	4,62039	No	381,59016	-66,03275	4,62039
859	GLOBAL	Cartesian	381,71729	-65,97646	4,63291	No	381,71729	-65,97646	4,63291
860	GLOBAL	Cartesian	381,84539	-65,92232	4,64535	No	381,84539	-65,92232	4,64535
861	GLOBAL	Cartesian	381,97441	-65,87035	4,65772	No	381,97441	-65,87035	4,65772
862	GLOBAL	Cartesian	382,10433	-65,82056	4,67002	No	382,10433	-65,82056	4,67002
863	GLOBAL	Cartesian	382,23513	-65,77297	4,68225	No	382,23513	-65,77297	4,68225
864	GLOBAL	Cartesian	382,36677	-65,72758	4,69443	No	382,36677	-65,72758	4,69443
865	GLOBAL	Cartesian	382,49923	-65,68441	4,70655	No	382,49923	-65,68441	4,70655
866	GLOBAL	Cartesian	382,63249	-65,64348	4,71862	No	382,63249	-65,64348	4,71862
867	GLOBAL	Cartesian	382,76651	-65,6048	4,73064	No	382,76651	-65,6048	4,73064
868	GLOBAL	Cartesian	382,9012	-65,56839	4,74261	No	382,9012	-65,56839	4,74261



869	GLOBAL	Cartesian	383,03644	-65,53429	4,75453	No	383,03644	-65,53429	4,75453
870	GLOBAL	Cartesian	383,17219	-65,50251	4,76639	No	383,17219	-65,50251	4,76639
871	GLOBAL	Cartesian	383,30843	-65,47304	4,7782	No	383,30843	-65,47304	4,7782
872	GLOBAL	Cartesian	383,44512	-65,44591	4,78996	No	383,44512	-65,44591	4,78996
873	GLOBAL	Cartesian	383,58223	-65,4211	4,80168	No	383,58223	-65,4211	4,80168
874	GLOBAL	Cartesian	383,71973	-65,39863	4,81336	No	383,71973	-65,39863	4,81336
875	GLOBAL	Cartesian	383,8576	-65,37849	4,82499	No	383,8576	-65,37849	4,82499
876	GLOBAL	Cartesian	383,9958	-65,36071	4,83659	No	383,9958	-65,36071	4,83659
877	GLOBAL	Cartesian	384,1343	-65,34527	4,84816	No	384,1343	-65,34527	4,84816
878	GLOBAL	Cartesian	384,27308	-65,33218	4,8597	No	384,27308	-65,33218	4,8597
879	GLOBAL	Cartesian	384,4121	-65,32145	4,87121	No	384,4121	-65,32145	4,87121
880	GLOBAL	Cartesian	384,55133	-65,31308	4,8827	No	384,55133	-65,31308	4,8827
881	GLOBAL	Cartesian	384,69075	-65,30708	4,89416	No	384,69075	-65,30708	4,89416
882	GLOBAL	Cartesian	384,83028	-65,30346	4,90561	No	384,83028	-65,30346	4,90561
883	GLOBAL	Cartesian	381,80494	-65,93941	4,64142	No	381,80494	-65,93941	4,64142
884	GLOBAL	Cartesian	380,83765	-63,63421	4,65836	No	380,83765	-63,63421	4,65836
885	GLOBAL	Cartesian	383,35739	-65,46332	4,78241	No	383,35739	-65,46332	4,78241
886	GLOBAL	Cartesian	382,86163	-63,01305	4,81538	No	382,86163	-63,01305	4,81538
895	GLOBAL	Cartesian	451,4213	-78,79141	6,3	No	451,4213	-78,79141	6,3
896	GLOBAL	Cartesian	451,49692	-78,81396	6,3	No	451,49692	-78,81396	6,3
897	GLOBAL	Cartesian	451,57259	-78,83632	6,3	No	451,57259	-78,83632	6,3
898	GLOBAL	Cartesian	451,64834	-78,85838	6,3	No	451,64834	-78,85838	6,3
899	GLOBAL	Cartesian	451,72418	-78,88006	6,3	No	451,72418	-78,88006	6,3
900	GLOBAL	Cartesian	451,80015	-78,90124	6,3	No	451,80015	-78,90124	6,3
901	GLOBAL	Cartesian	451,87627	-78,92183	6,3	No	451,87627	-78,92183	6,3
902	GLOBAL	Cartesian	451,95255	-78,94173	6,3	No	451,95255	-78,94173	6,3
903	GLOBAL	Cartesian	452,02903	-78,96086	6,3	No	452,02903	-78,96086	6,3
904	GLOBAL	Cartesian	452,10571	-78,9792	6,3	No	452,10571	-78,9792	6,3
905	GLOBAL	Cartesian	452,18256	-78,99685	6,3	No	452,18256	-78,99685	6,3
906	GLOBAL	Cartesian	452,25955	-79,01392	6,3	No	452,25955	-79,01392	6,3
907	GLOBAL	Cartesian	452,33667	-79,0305	6,3	No	452,33667	-79,0305	6,3
908	GLOBAL	Cartesian	452,41389	-79,04668	6,3	No	452,41389	-79,04668	6,3
909	GLOBAL	Cartesian	452,49118	-79,06257	6,3	No	452,49118	-79,06257	6,3
910	GLOBAL	Cartesian	452,56852	-79,07826	6,3	No	452,56852	-79,07826	6,3
911	GLOBAL	Cartesian	452,83173	-79,12662	6,28106	No	452,83173	-79,12662	6,28106
912	GLOBAL	Cartesian	453,01805	-79,15614	6,26239	No	453,01805	-79,15614	6,26239
913	GLOBAL	Cartesian	453,20478	-79,18241	6,24398	No	453,20478	-79,18241	6,24398
914	GLOBAL	Cartesian	453,39188	-79,20542	6,22581	No	453,39188	-79,20542	6,22581
915	GLOBAL	Cartesian	453,57932	-79,22517	6,20786	No	453,57932	-79,22517	6,20786

916	GLOBAL	Cartesian	453,76704	-79,24166	6,19013	No	453,76704	-79,24166	6,19013
917	GLOBAL	Cartesian	453,95501	-79,25489	6,1726	No	453,95501	-79,25489	6,1726
918	GLOBAL	Cartesian	454,14319	-79,26485	6,15525	No	454,14319	-79,26485	6,15525
919	GLOBAL	Cartesian	454,33152	-79,27155	6,13807	No	454,33152	-79,27155	6,13807
920	GLOBAL	Cartesian	454,51997	-79,27497	6,12105	No	454,51997	-79,27497	6,12105
921	GLOBAL	Cartesian	454,7085	-79,27512	6,10417	No	454,7085	-79,27512	6,10417
922	GLOBAL	Cartesian	454,89706	-79,27199	6,08741	No	454,89706	-79,27199	6,08741
923	GLOBAL	Cartesian	455,08561	-79,26558	6,07077	No	455,08561	-79,26558	6,07077
924	GLOBAL	Cartesian	455,2741	-79,25588	6,05422	No	455,2741	-79,25588	6,05422
925	GLOBAL	Cartesian	455,4625	-79,24291	6,03776	No	455,4625	-79,24291	6,03776
926	GLOBAL	Cartesian	455,65076	-79,22664	6,02137	No	455,65076	-79,22664	6,02137
927	GLOBAL	Cartesian	455,83877	-79,20709	6,00504	No	455,83877	-79,20709	6,00504
928	GLOBAL	Cartesian	456,02636	-79,18428	5,98878	No	456,02636	-79,18428	5,98878
929	GLOBAL	Cartesian	456,21347	-79,15821	5,97258	No	456,21347	-79,15821	5,97258
930	GLOBAL	Cartesian	456,40006	-79,12889	5,95643	No	456,40006	-79,12889	5,95643
931	GLOBAL	Cartesian	456,58609	-79,09633	5,94031	No	456,58609	-79,09633	5,94031
932	GLOBAL	Cartesian	456,77151	-79,06054	5,92422	No	456,77151	-79,06054	5,92422
933	GLOBAL	Cartesian	456,95629	-79,02153	5,90815	No	456,95629	-79,02153	5,90815
934	GLOBAL	Cartesian	457,14038	-78,97931	5,89207	No	457,14038	-78,97931	5,89207
935	GLOBAL	Cartesian	457,32375	-78,93387	5,87599	No	457,32375	-78,93387	5,87599
936	GLOBAL	Cartesian	457,50633	-78,88524	5,85989	No	457,50633	-78,88524	5,85989
937	GLOBAL	Cartesian	457,68811	-78,83342	5,84377	No	457,68811	-78,83342	5,84377
938	GLOBAL	Cartesian	457,86897	-78,77844	5,8276	No	457,86897	-78,77844	5,8276
939	GLOBAL	Cartesian	458,04876	-78,72034	5,8114	No	458,04876	-78,72034	5,8114
940	GLOBAL	Cartesian	458,22742	-78,65915	5,79516	No	458,22742	-78,65915	5,79516
941	GLOBAL	Cartesian	458,40493	-78,59488	5,77886	No	458,40493	-78,59488	5,77886
942	GLOBAL	Cartesian	458,58124	-78,52756	5,76249	No	458,58124	-78,52756	5,76249
943	GLOBAL	Cartesian	458,75632	-78,45719	5,74604	No	458,75632	-78,45719	5,74604
944	GLOBAL	Cartesian	458,93011	-78,3838	5,72949	No	458,93011	-78,3838	5,72949
945	GLOBAL	Cartesian	459,1026	-78,30741	5,71284	No	459,1026	-78,30741	5,71284
946	GLOBAL	Cartesian	459,27373	-78,22803	5,69606	No	459,27373	-78,22803	5,69606
947	GLOBAL	Cartesian	459,44346	-78,14568	5,67915	No	459,44346	-78,14568	5,67915
948	GLOBAL	Cartesian	459,61176	-78,06038	5,66209	No	459,61176	-78,06038	5,66209
949	GLOBAL	Cartesian	459,7786	-77,97214	5,64488	No	459,7786	-77,97214	5,64488
950	GLOBAL	Cartesian	459,94392	-77,88099	5,6275	No	459,94392	-77,88099	5,6275
951	GLOBAL	Cartesian	460,10769	-77,78694	5,60993	No	460,10769	-77,78694	5,60993
952	GLOBAL	Cartesian	460,26984	-77,69003	5,59217	No	460,26984	-77,69003	5,59217
953	GLOBAL	Cartesian	460,43023	-77,59034	5,57421	No	460,43023	-77,59034	5,57421
954	GLOBAL	Cartesian	460,58884	-77,48789	5,55603	No	460,58884	-77,48789	5,55603



955	GLOBAL	Cartesian	460,74561	-77,38271	5,53761	No	460,74561	-77,38271	5,53761
956	GLOBAL	Cartesian	460,90052	-77,27483	5,51894	No	460,90052	-77,27483	5,51894
957	GLOBAL	Cartesian	461,11899	-77,11443	5,5	No	461,11899	-77,11443	5,5
958	GLOBAL	Cartesian	461,18437	-77,06452	5,5	No	461,18437	-77,06452	5,5
959	GLOBAL	Cartesian	461,2496	-77,01443	5,5	No	461,2496	-77,01443	5,5
960	GLOBAL	Cartesian	461,31463	-76,96409	5,5	No	461,31463	-76,96409	5,5
961	GLOBAL	Cartesian	461,37937	-76,91342	5,5	No	461,37937	-76,91342	5,5
962	GLOBAL	Cartesian	461,44376	-76,86232	5,5	No	461,44376	-76,86232	5,5
963	GLOBAL	Cartesian	461,50773	-76,81072	5,5	No	461,50773	-76,81072	5,5
964	GLOBAL	Cartesian	461,5712	-76,75853	5,5	No	461,5712	-76,75853	5,5
965	GLOBAL	Cartesian	461,63411	-76,70567	5,5	No	461,63411	-76,70567	5,5
966	GLOBAL	Cartesian	461,69645	-76,65214	5,5	No	461,69645	-76,65214	5,5
967	GLOBAL	Cartesian	461,7583	-76,59802	5,5	No	461,7583	-76,59802	5,5
968	GLOBAL	Cartesian	461,81973	-76,54339	5,5	No	461,81973	-76,54339	5,5
969	GLOBAL	Cartesian	461,8808	-76,48835	5,5	No	461,8808	-76,48835	5,5
970	GLOBAL	Cartesian	461,94159	-76,43297	5,5	No	461,94159	-76,43297	5,5
971	GLOBAL	Cartesian	462,00216	-76,37733	5,5	No	462,00216	-76,37733	5,5
972	GLOBAL	Cartesian	462,0626	-76,32153	5,5	No	462,0626	-76,32153	5,5
973	GLOBAL	Cartesian	462,25908	-76,13313	5,48103	No	462,25908	-76,13313	5,48103
974	GLOBAL	Cartesian	462,3928	-75,9983	5,46234	No	462,3928	-75,9983	5,46234
975	GLOBAL	Cartesian	462,5241	-75,86121	5,44391	No	462,5241	-75,86121	5,44391
976	GLOBAL	Cartesian	462,65293	-75,72188	5,42572	No	462,65293	-75,72188	5,42572
977	GLOBAL	Cartesian	462,77929	-75,58035	5,40777	No	462,77929	-75,58035	5,40777
978	GLOBAL	Cartesian	462,90313	-75,43665	5,39003	No	462,90313	-75,43665	5,39003
979	GLOBAL	Cartesian	463,02444	-75,29082	5,37249	No	463,02444	-75,29082	5,37249
980	GLOBAL	Cartesian	463,14318	-75,14288	5,35513	No	463,14318	-75,14288	5,35513
981	GLOBAL	Cartesian	463,25933	-74,99288	5,33795	No	463,25933	-74,99288	5,33795
982	GLOBAL	Cartesian	463,37285	-74,84085	5,32093	No	463,37285	-74,84085	5,32093
983	GLOBAL	Cartesian	463,48373	-74,68682	5,30405	No	463,48373	-74,68682	5,30405
984	GLOBAL	Cartesian	463,59192	-74,53082	5,2873	No	463,59192	-74,53082	5,2873
985	GLOBAL	Cartesian	463,69742	-74,37289	5,27066	No	463,69742	-74,37289	5,27066
986	GLOBAL	Cartesian	463,80017	-74,21307	5,25412	No	463,80017	-74,21307	5,25412
987	GLOBAL	Cartesian	463,90017	-74,05138	5,23767	No	463,90017	-74,05138	5,23767
988	GLOBAL	Cartesian	463,99738	-73,88786	5,22128	No	463,99738	-73,88786	5,22128
989	GLOBAL	Cartesian	464,09173	-73,72262	5,20497	No	464,09173	-73,72262	5,20497
990	GLOBAL	Cartesian	464,18314	-73,5558	5,18872	No	464,18314	-73,5558	5,18872
991	GLOBAL	Cartesian	464,27159	-73,38745	5,17253	No	464,27159	-73,38745	5,17253
992	GLOBAL	Cartesian	464,35706	-73,21761	5,15639	No	464,35706	-73,21761	5,15639
993	GLOBAL	Cartesian	464,43953	-73,04632	5,14029	No	464,43953	-73,04632	5,14029

994	GLOBAL	Cartesian	464,51898	-72,87361	5,12421	No	464,51898	-72,87361	5,12421
995	GLOBAL	Cartesian	464,5954	-72,69953	5,10815	No	464,5954	-72,69953	5,10815
996	GLOBAL	Cartesian	464,66877	-72,52412	5,09209	No	464,66877	-72,52412	5,09209
997	GLOBAL	Cartesian	464,73906	-72,34741	5,07602	No	464,73906	-72,34741	5,07602
998	GLOBAL	Cartesian	464,80627	-72,16945	5,05993	No	464,80627	-72,16945	5,05993
999	GLOBAL	Cartesian	464,87036	-71,99028	5,04381	No	464,87036	-71,99028	5,04381
1000	GLOBAL	Cartesian	464,9313	-71,81002	5,02767	No	464,9313	-71,81002	5,02767
1001	GLOBAL	Cartesian	464,98904	-71,62882	5,01148	No	464,98904	-71,62882	5,01148
1002	GLOBAL	Cartesian	465,04357	-71,44671	4,99525	No	465,04357	-71,44671	4,99525
1003	GLOBAL	Cartesian	465,09489	-71,26373	4,97896	No	465,09489	-71,26373	4,97896
1004	GLOBAL	Cartesian	465,14298	-71,07993	4,9626	No	465,14298	-71,07993	4,9626
1005	GLOBAL	Cartesian	465,18783	-70,89536	4,94615	No	465,18783	-70,89536	4,94615
1006	GLOBAL	Cartesian	465,22945	-70,71005	4,92961	No	465,22945	-70,71005	4,92961
1007	GLOBAL	Cartesian	465,26781	-70,52404	4,91296	No	465,26781	-70,52404	4,91296
1008	GLOBAL	Cartesian	465,30291	-70,33739	4,89618	No	465,30291	-70,33739	4,89618
1009	GLOBAL	Cartesian	465,33475	-70,15013	4,87927	No	465,33475	-70,15013	4,87927
1010	GLOBAL	Cartesian	465,3633	-69,96231	4,86222	No	465,3633	-69,96231	4,86222
1011	GLOBAL	Cartesian	465,38857	-69,77397	4,845	No	465,38857	-69,77397	4,845
1012	GLOBAL	Cartesian	465,41055	-69,58515	4,82761	No	465,41055	-69,58515	4,82761
1013	GLOBAL	Cartesian	465,42921	-69,3959	4,81003	No	465,42921	-69,3959	4,81003
1014	GLOBAL	Cartesian	465,44456	-69,20638	4,79226	No	465,44456	-69,20638	4,79226
1015	GLOBAL	Cartesian	465,45658	-69,01667	4,77429	No	465,45658	-69,01667	4,77429
1016	GLOBAL	Cartesian	465,46527	-68,82681	4,7561	No	465,46527	-68,82681	4,7561
1017	GLOBAL	Cartesian	465,47064	-68,63686	4,73766	No	465,47064	-68,63686	4,73766
1018	GLOBAL	Cartesian	465,47268	-68,44684	4,71897	No	465,47268	-68,44684	4,71897
1019	GLOBAL	Cartesian	467,97227	-68,53209	4,72543	No	467,97227	-68,53209	4,72543
1020	GLOBAL	Cartesian	467,96607	-68,84599	4,75037	No	467,96607	-68,84599	4,75037
1021	GLOBAL	Cartesian	467,9525	-69,1595	4,77486	No	467,9525	-69,1595	4,77486
1022	GLOBAL	Cartesian	467,93157	-69,47251	4,79893	No	467,93157	-69,47251	4,79893
1023	GLOBAL	Cartesian	467,9033	-69,78488	4,82262	No	467,9033	-69,78488	4,82262
1024	GLOBAL	Cartesian	467,8677	-70,09648	4,84596	No	467,8677	-70,09648	4,84596
1025	GLOBAL	Cartesian	467,77458	-70,71686	4,89176	No	467,77458	-70,71686	4,89176
1026	GLOBAL	Cartesian	467,71708	-71,02538	4,91428	No	467,71708	-71,02538	4,91428
1027	GLOBAL	Cartesian	467,65232	-71,33261	4,93659	No	467,65232	-71,33261	4,93659
1028	GLOBAL	Cartesian	467,5803	-71,63843	4,95874	No	467,5803	-71,63843	4,95874
1029	GLOBAL	Cartesian	467,50103	-71,9427	4,98075	No	467,50103	-71,9427	4,98075
1030	GLOBAL	Cartesian	467,41461	-72,24507	5,00264	No	467,41461	-72,24507	5,00264
1031	GLOBAL	Cartesian	467,22067	-72,84287	5,04609	No	467,22067	-72,84287	5,04609
1032	GLOBAL	Cartesian	467,11326	-73,13805	5,06771	No	467,11326	-73,13805	5,06771



1033	GLOBAL	Cartesian	466,99894	-73,43058	5,08928	No	466,99894	-73,43058	5,08928
1034	GLOBAL	Cartesian	466,87776	-73,72035	5,11084	No	466,87776	-73,72035	5,11084
1035	GLOBAL	Cartesian	466,74979	-74,00723	5,13242	No	466,74979	-74,00723	5,13242
1036	GLOBAL	Cartesian	466,61505	-74,29111	5,15404	No	466,61505	-74,29111	5,15404
1038	GLOBAL	Cartesian	466,32553	-74,84934	5,19751	No	466,32553	-74,84934	5,19751
1039	GLOBAL	Cartesian	466,17104	-75,1231	5,21938	No	466,17104	-75,1231	5,21938
1040	GLOBAL	Cartesian	466,01027	-75,39292	5,24136	No	466,01027	-75,39292	5,24136
1041	GLOBAL	Cartesian	465,84332	-75,65872	5,26348	No	465,84332	-75,65872	5,26348
1042	GLOBAL	Cartesian	465,67026	-75,92037	5,28577	No	465,67026	-75,92037	5,28577
1043	GLOBAL	Cartesian	465,49118	-76,17779	5,30827	No	465,49118	-76,17779	5,30827
1045	GLOBAL	Cartesian	465,11524	-76,67949	5,35404	No	465,11524	-76,67949	5,35404
1046	GLOBAL	Cartesian	464,91855	-76,92356	5,37738	No	464,91855	-76,92356	5,37738
1047	GLOBAL	Cartesian	464,71616	-77,16299	5,40107	No	464,71616	-77,16299	5,40107
1048	GLOBAL	Cartesian	464,50814	-77,39767	5,42514	No	464,50814	-77,39767	5,42514
1049	GLOBAL	Cartesian	464,29457	-77,62748	5,44963	No	464,29457	-77,62748	5,44963
1050	GLOBAL	Cartesian	464,07555	-77,85234	5,47457	No	464,07555	-77,85234	5,47457
1051	GLOBAL	Cartesian	463,77686	-78,1409	5,5	No	463,77686	-78,1409	5,5
1052	GLOBAL	Cartesian	463,7025	-78,20956	5,5	No	463,7025	-78,20956	5,5
1053	GLOBAL	Cartesian	463,62797	-78,27802	5,5	No	463,62797	-78,27802	5,5
1054	GLOBAL	Cartesian	463,55317	-78,34616	5,5	No	463,55317	-78,34616	5,5
1055	GLOBAL	Cartesian	463,47803	-78,41389	5,5	No	463,47803	-78,41389	5,5
1056	GLOBAL	Cartesian	463,40245	-78,4811	5,5	No	463,40245	-78,4811	5,5
1057	GLOBAL	Cartesian	463,32635	-78,54769	5,5	No	463,32635	-78,54769	5,5
1058	GLOBAL	Cartesian	463,24964	-78,61355	5,5	No	463,24964	-78,61355	5,5
1059	GLOBAL	Cartesian	463,17223	-78,67859	5,5	No	463,17223	-78,67859	5,5
1060	GLOBAL	Cartesian	463,09414	-78,74281	5,5	No	463,09414	-78,74281	5,5
1061	GLOBAL	Cartesian	463,01544	-78,8063	5,5	No	463,01544	-78,8063	5,5
1062	GLOBAL	Cartesian	462,93621	-78,86917	5,5	No	462,93621	-78,86917	5,5
1063	GLOBAL	Cartesian	462,85655	-78,93152	5,5	No	462,85655	-78,93152	5,5
1064	GLOBAL	Cartesian	462,77654	-78,99346	5,5	No	462,77654	-78,99346	5,5
1065	GLOBAL	Cartesian	462,69627	-79,05508	5,5	No	462,69627	-79,05508	5,5
1066	GLOBAL	Cartesian	462,61583	-79,1165	5,5	No	462,61583	-79,1165	5,5
1067	GLOBAL	Cartesian	462,28182	-79,35983	5,52539	No	462,28182	-79,35983	5,52539
1068	GLOBAL	Cartesian	462,0243	-79,53576	5,5503	No	462,0243	-79,53576	5,5503
1069	GLOBAL	Cartesian	461,76286	-79,70555	5,57477	No	461,76286	-79,70555	5,57477
1070	GLOBAL	Cartesian	461,49761	-79,86915	5,59882	No	461,49761	-79,86915	5,59882
1071	GLOBAL	Cartesian	461,22866	-80,02648	5,6225	No	461,22866	-80,02648	5,6225
1072	GLOBAL	Cartesian	460,95612	-80,17749	5,64584	No	460,95612	-80,17749	5,64584
1073	GLOBAL	Cartesian	460,40072	-80,46028	5,69164	No	460,40072	-80,46028	5,69164

1074	GLOBAL	Cartesian	460,11808	-80,59194	5,71417	No	460,11808	-80,59194	5,71417
1075	GLOBAL	Cartesian	459,83231	-80,71702	5,7365	No	459,83231	-80,71702	5,7365
1076	GLOBAL	Cartesian	459,5435	-80,83546	5,75866	No	459,5435	-80,83546	5,75866
1077	GLOBAL	Cartesian	459,25179	-80,9472	5,78069	No	459,25179	-80,9472	5,78069
1078	GLOBAL	Cartesian	458,95758	-81,05207	5,80259	No	458,95758	-81,05207	5,80259
1079	GLOBAL	Cartesian	458,36262	-81,2409	5,84607	No	458,36262	-81,2409	5,84607
1080	GLOBAL	Cartesian	458,06211	-81,3248	5,8677	No	458,06211	-81,3248	5,8677
1081	GLOBAL	Cartesian	457,75975	-81,40164	5,88928	No	457,75975	-81,40164	5,88928
1082	GLOBAL	Cartesian	457,45567	-81,47141	5,91086	No	457,45567	-81,47141	5,91086
1083	GLOBAL	Cartesian	457,14998	-81,53405	5,93246	No	457,14998	-81,53405	5,93246
1084	GLOBAL	Cartesian	456,84282	-81,58956	5,95409	No	456,84282	-81,58956	5,95409
1086	GLOBAL	Cartesian	456,22459	-81,679	5,9976	No	456,22459	-81,679	5,9976
1087	GLOBAL	Cartesian	455,9142	-81,71284	6,01948	No	455,9142	-81,71284	6,01948
1088	GLOBAL	Cartesian	455,60336	-81,73939	6,04146	No	455,60336	-81,73939	6,04146
1089	GLOBAL	Cartesian	455,29218	-81,75866	6,06359	No	455,29218	-81,75866	6,06359
1090	GLOBAL	Cartesian	454,98081	-81,77065	6,08589	No	454,98081	-81,77065	6,08589
1091	GLOBAL	Cartesian	454,66936	-81,77537	6,1084	No	454,66936	-81,77537	6,1084
1093	GLOBAL	Cartesian	454,04674	-81,76302	6,15417	No	454,04674	-81,76302	6,15417
1094	GLOBAL	Cartesian	453,73583	-81,74596	6,1775	No	453,73583	-81,74596	6,1775
1095	GLOBAL	Cartesian	453,42536	-81,72165	6,20118	No	453,42536	-81,72165	6,20118
1096	GLOBAL	Cartesian	453,11545	-81,6901	6,22523	No	453,11545	-81,6901	6,22523
1097	GLOBAL	Cartesian	452,80624	-81,6513	6,2497	No	452,80624	-81,6513	6,2497
1098	GLOBAL	Cartesian	452,49784	-81,60527	6,27461	No	452,49784	-81,60527	6,27461
1099	GLOBAL	Cartesian	452,09521	-81,53282	6,3	No	452,09521	-81,53282	6,3
1100	GLOBAL	Cartesian	452,00005	-81,51351	6,3	No	452,00005	-81,51351	6,3
1101	GLOBAL	Cartesian	451,90495	-81,49397	6,3	No	451,90495	-81,49397	6,3
1102	GLOBAL	Cartesian	451,80994	-81,47405	6,3	No	451,80994	-81,47405	6,3
1103	GLOBAL	Cartesian	451,71505	-81,45366	6,3	No	451,71505	-81,45366	6,3
1104	GLOBAL	Cartesian	451,62031	-81,43266	6,3	No	451,62031	-81,43266	6,3
1105	GLOBAL	Cartesian	451,52576	-81,41094	6,3	No	451,52576	-81,41094	6,3
1106	GLOBAL	Cartesian	451,43141	-81,38837	6,3	No	451,43141	-81,38837	6,3
1107	GLOBAL	Cartesian	451,33731	-81,36484	6,3	No	451,33731	-81,36484	6,3
1108	GLOBAL	Cartesian	451,24345	-81,34035	6,3	No	451,24345	-81,34035	6,3
1109	GLOBAL	Cartesian	451,14979	-81,31501	6,3	No	451,14979	-81,31501	6,3
1110	GLOBAL	Cartesian	451,05632	-81,28895	6,3	No	451,05632	-81,28895	6,3
1111	GLOBAL	Cartesian	450,963	-81,26228	6,3	No	450,963	-81,26228	6,3
1112	GLOBAL	Cartesian	450,8698	-81,23514	6,3	No	450,8698	-81,23514	6,3
1113	GLOBAL	Cartesian	450,77669	-81,20762	6,3	No	450,77669	-81,20762	6,3
1114	GLOBAL	Cartesian	450,68365	-81,17987	6,3	No	450,68365	-81,17987	6,3



1115	GLOBAL	Cartesian	446,32676	-75,41831	6,84687	No	446,32676	-75,41831	6,84687
1116	GLOBAL	Cartesian	444,41229	-77,02604	6,84724	No	444,41229	-77,02604	6,84724
1117	GLOBAL	Cartesian	443,39682	-75,8168	6,97362	No	443,39682	-75,8168	6,97362
1118	GLOBAL	Cartesian	445,3113	-74,20908	6,97344	No	445,3113	-74,20908	6,97344
1119	GLOBAL	Cartesian	446,50075	-75,61965	6,82193	No	446,50075	-75,61965	6,82193
1120	GLOBAL	Cartesian	446,6795	-75,81654	6,79732	No	446,6795	-75,81654	6,79732
1121	GLOBAL	Cartesian	446,86292	-76,00888	6,773	No	446,86292	-76,00888	6,773
1122	GLOBAL	Cartesian	447,05093	-76,19661	6,74895	No	447,05093	-76,19661	6,74895
1123	GLOBAL	Cartesian	447,24343	-76,37963	6,72513	No	447,24343	-76,37963	6,72513
1124	GLOBAL	Cartesian	447,44034	-76,55787	6,7015	No	447,44034	-76,55787	6,7015
1125	GLOBAL	Cartesian	447,64156	-76,73125	6,67803	No	447,64156	-76,73125	6,67803
1126	GLOBAL	Cartesian	447,84701	-76,89968	6,65469	No	447,84701	-76,89968	6,65469
1127	GLOBAL	Cartesian	448,0566	-77,0631	6,63144	No	448,0566	-77,0631	6,63144
1128	GLOBAL	Cartesian	448,27024	-77,22141	6,60824	No	448,27024	-77,22141	6,60824
1129	GLOBAL	Cartesian	448,48784	-77,37453	6,58507	No	448,48784	-77,37453	6,58507
1130	GLOBAL	Cartesian	448,70931	-77,52239	6,5619	No	448,70931	-77,52239	6,5619
1131	GLOBAL	Cartesian	448,93433	-77,66477	6,5387	No	448,93433	-77,66477	6,5387
1132	GLOBAL	Cartesian	449,16261	-77,80148	6,51549	No	449,16261	-77,80148	6,51549
1133	GLOBAL	Cartesian	449,39404	-77,93248	6,49222	No	449,39404	-77,93248	6,49222
1134	GLOBAL	Cartesian	449,6285	-78,05772	6,46887	No	449,6285	-78,05772	6,46887
1135	GLOBAL	Cartesian	449,8659	-78,17714	6,44539	No	449,8659	-78,17714	6,44539
1136	GLOBAL	Cartesian	450,10612	-78,2907	6,42175	No	450,10612	-78,2907	6,42175
1137	GLOBAL	Cartesian	450,34904	-78,39834	6,39792	No	450,34904	-78,39834	6,39792
1138	GLOBAL	Cartesian	450,59458	-78,50001	6,37387	No	450,59458	-78,50001	6,37387
1139	GLOBAL	Cartesian	450,8426	-78,59568	6,34955	No	450,8426	-78,59568	6,34955
1140	GLOBAL	Cartesian	451,09301	-78,68527	6,32494	No	451,09301	-78,68527	6,32494
1141	GLOBAL	Cartesian	450,27948	-81,0492	6,32496	No	450,27948	-81,0492	6,32496
1142	GLOBAL	Cartesian	449,97114	-80,93887	6,3496	No	449,97114	-80,93887	6,3496
1143	GLOBAL	Cartesian	449,66572	-80,82106	6,37393	No	449,66572	-80,82106	6,37393
1144	GLOBAL	Cartesian	449,36338	-80,69583	6,39801	No	449,36338	-80,69583	6,39801
1145	GLOBAL	Cartesian	449,06425	-80,56325	6,42186	No	449,06425	-80,56325	6,42186
1146	GLOBAL	Cartesian	448,76845	-80,42338	6,44552	No	448,76845	-80,42338	6,44552
1147	GLOBAL	Cartesian	448,47612	-80,27628	6,46902	No	448,47612	-80,27628	6,46902
1148	GLOBAL	Cartesian	448,18741	-80,12201	6,4924	No	448,18741	-80,12201	6,4924
1149	GLOBAL	Cartesian	447,90243	-79,96064	6,51569	No	447,90243	-79,96064	6,51569
1150	GLOBAL	Cartesian	447,62133	-79,79222	6,53893	No	447,62133	-79,79222	6,53893
1151	GLOBAL	Cartesian	447,34429	-79,61685	6,56214	No	447,34429	-79,61685	6,56214
1152	GLOBAL	Cartesian	447,0718	-79,43484	6,58532	No	447,0718	-79,43484	6,58532
1153	GLOBAL	Cartesian	446,80406	-79,24634	6,60849	No	446,80406	-79,24634	6,60849

1154	GLOBAL	Cartesian	446,54119	-79,05145	6,63169	No	446,54119	-79,05145	6,63169
1155	GLOBAL	Cartesian	446,28328	-78,85026	6,65495	No	446,28328	-78,85026	6,65495
1156	GLOBAL	Cartesian	446,03046	-78,64289	6,6783	No	446,03046	-78,64289	6,6783
1157	GLOBAL	Cartesian	445,78283	-78,42941	6,70178	No	445,78283	-78,42941	6,70178
1158	GLOBAL	Cartesian	445,5405	-78,20994	6,72542	No	445,5405	-78,20994	6,72542
1159	GLOBAL	Cartesian	445,30359	-77,98457	6,74926	No	445,30359	-77,98457	6,74926
1160	GLOBAL	Cartesian	445,0722	-77,7534	6,77332	No	445,0722	-77,7534	6,77332
1161	GLOBAL	Cartesian	444,84645	-77,51652	6,79765	No	444,84645	-77,51652	6,79765
1162	GLOBAL	Cartesian	444,62644	-77,27403	6,82228	No	444,62644	-77,27403	6,82228
1163	GLOBAL	Cartesian	448,8428	-80,45854	6,43957	No	448,8428	-80,45854	6,43957
1164	GLOBAL	Cartesian	449,92609	-78,20559	6,43947	No	449,92609	-78,20559	6,43947
1165	GLOBAL	Cartesian	447,20922	-79,52663	6,57363	No	447,20922	-79,52663	6,57363
1166	GLOBAL	Cartesian	448,59907	-77,4488	6,57343	No	448,59907	-77,4488	6,57343
1167	GLOBAL	Cartesian	445,72252	-78,37479	6,70766	No	445,72252	-78,37479	6,70766
1168	GLOBAL	Cartesian	447,39125	-76,51343	6,70739	No	447,39125	-76,51343	6,70739
1195	GLOBAL	Cartesian	421,97039	-65,28548	7,08571	No	421,97039	-65,28548	7,08571
1196	GLOBAL	Cartesian	424,06672	-65,28453	7,22143	No	424,06672	-65,28453	7,22143
1197	GLOBAL	Cartesian	426,16304	-65,28358	7,35714	No	426,16304	-65,28358	7,35714
1198	GLOBAL	Cartesian	428,25936	-65,28263	7,49286	No	428,25936	-65,28263	7,49286
1199	GLOBAL	Cartesian	430,35568	-65,28168	7,62857	No	430,35568	-65,28168	7,62857
1200	GLOBAL	Cartesian	432,45201	-65,28073	7,76429	No	432,45201	-65,28073	7,76429
1201	GLOBAL	Cartesian	421,96926	-62,78549	7,08571	No	421,96926	-62,78549	7,08571
1202	GLOBAL	Cartesian	424,06559	-62,78454	7,22143	No	424,06559	-62,78454	7,22143
1203	GLOBAL	Cartesian	426,16191	-62,78359	7,35714	No	426,16191	-62,78359	7,35714
1204	GLOBAL	Cartesian	428,25823	-62,78264	7,49286	No	428,25823	-62,78264	7,49286
1205	GLOBAL	Cartesian	430,35455	-62,7817	7,62857	No	430,35455	-62,7817	7,62857
1206	GLOBAL	Cartesian	432,45088	-62,78075	7,76429	No	432,45088	-62,78075	7,76429
1207	GLOBAL	Cartesian	406,13899	-65,29264	6,13571	No	406,13899	-65,29264	6,13571
1208	GLOBAL	Cartesian	408,17817	-65,29172	6,27143	No	408,17817	-65,29172	6,27143
1209	GLOBAL	Cartesian	410,21735	-65,2908	6,40714	No	410,21735	-65,2908	6,40714
1210	GLOBAL	Cartesian	412,25653	-65,28988	6,54286	No	412,25653	-65,28988	6,54286
1211	GLOBAL	Cartesian	414,29571	-65,28895	6,67857	No	414,29571	-65,28895	6,67857
1212	GLOBAL	Cartesian	416,33489	-65,28803	6,81429	No	416,33489	-65,28803	6,81429
1213	GLOBAL	Cartesian	406,13786	-62,79264	6,13571	No	406,13786	-62,79264	6,13571
1214	GLOBAL	Cartesian	408,17704	-62,79172	6,27143	No	408,17704	-62,79172	6,27143
1215	GLOBAL	Cartesian	410,21622	-62,7908	6,40714	No	410,21622	-62,7908	6,40714
1216	GLOBAL	Cartesian	412,2554	-62,78988	6,54286	No	412,2554	-62,78988	6,54286
1217	GLOBAL	Cartesian	414,29458	-62,78895	6,67857	No	414,29458	-62,78895	6,67857
1218	GLOBAL	Cartesian	416,33376	-62,78803	6,81429	No	416,33376	-62,78803	6,81429



1220	GLOBAL	Cartesian	435,88971	-66,87713	7,70353	No	435,88971	-66,87713	7,70353
1221	GLOBAL	Cartesian	438,91555	-66,59288	7,7	No	438,91555	-66,59288	7,7
1222	GLOBAL	Cartesian	440,01947	-67,90744	7,55	No	440,01947	-67,90744	7,55
1223	GLOBAL	Cartesian	441,12338	-69,22201	7,4	No	441,12338	-69,22201	7,4
1224	GLOBAL	Cartesian	442,2273	-70,53657	7,25	No	442,2273	-70,53657	7,25
1225	GLOBAL	Cartesian	436,99511	-68,19347	7,58282	No	436,99511	-68,19347	7,58282
1226	GLOBAL	Cartesian	438,10052	-69,50982	7,46212	No	438,10052	-69,50982	7,46212
1227	GLOBAL	Cartesian	439,20592	-70,82616	7,34141	No	439,20592	-70,82616	7,34141
1228	GLOBAL	Cartesian	440,31132	-72,1425	7,22071	No	440,31132	-72,1425	7,22071
1229	GLOBAL	Cartesian	457,34853	-62,7695	9,12222	No	457,34853	-62,7695	9,12222
1230	GLOBAL	Cartesian	459,1121	-62,7687	9,24444	No	459,1121	-62,7687	9,24444
1231	GLOBAL	Cartesian	460,87566	-62,7679	9,36667	No	460,87566	-62,7679	9,36667
1232	GLOBAL	Cartesian	462,63923	-62,76711	9,48889	No	462,63923	-62,76711	9,48889
1233	GLOBAL	Cartesian	464,4028	-62,76631	9,61111	No	464,4028	-62,76631	9,61111
1234	GLOBAL	Cartesian	466,16636	-62,76551	9,73333	No	466,16636	-62,76551	9,73333
1235	GLOBAL	Cartesian	467,92993	-62,76471	9,85556	No	467,92993	-62,76471	9,85556
1236	GLOBAL	Cartesian	469,69349	-62,76392	9,97778	No	469,69349	-62,76392	9,97778
1237	GLOBAL	Cartesian	457,34966	-65,2695	9,12222	No	457,34966	-65,2695	9,12222
1238	GLOBAL	Cartesian	459,11323	-65,2687	9,24444	No	459,11323	-65,2687	9,24444
1239	GLOBAL	Cartesian	460,87679	-65,2679	9,36667	No	460,87679	-65,2679	9,36667
1240	GLOBAL	Cartesian	462,64036	-65,26711	9,48889	No	462,64036	-65,26711	9,48889
1241	GLOBAL	Cartesian	464,40393	-65,26631	9,61111	No	464,40393	-65,26631	9,61111
1242	GLOBAL	Cartesian	466,16749	-65,26551	9,73333	No	466,16749	-65,26551	9,73333
1243	GLOBAL	Cartesian	467,93106	-65,26471	9,85556	No	467,93106	-65,26471	9,85556
1244	GLOBAL	Cartesian	469,69462	-65,26392	9,97778	No	469,69462	-65,26392	9,97778
1245	GLOBAL	Cartesian	439,61991	-65,27749	8,02222	No	439,61991	-65,27749	8,02222
1246	GLOBAL	Cartesian	441,42819	-65,27668	8,14444	No	441,42819	-65,27668	8,14444
1247	GLOBAL	Cartesian	443,23646	-65,27586	8,26667	No	443,23646	-65,27586	8,26667
1248	GLOBAL	Cartesian	445,04473	-65,27505	8,38889	No	445,04473	-65,27505	8,38889
1249	GLOBAL	Cartesian	446,853	-65,27423	8,51111	No	446,853	-65,27423	8,51111
1250	GLOBAL	Cartesian	448,66128	-65,27342	8,63333	No	448,66128	-65,27342	8,63333
1251	GLOBAL	Cartesian	450,46955	-65,2726	8,75556	No	450,46955	-65,2726	8,75556
1252	GLOBAL	Cartesian	452,27782	-65,27179	8,87778	No	452,27782	-65,27179	8,87778
1253	GLOBAL	Cartesian	439,61891	-62,77749	8,02222	No	439,61891	-62,77749	8,02222
1254	GLOBAL	Cartesian	441,42731	-62,77668	8,14444	No	441,42731	-62,77668	8,14444
1255	GLOBAL	Cartesian	443,2357	-62,77586	8,26667	No	443,2357	-62,77586	8,26667
1256	GLOBAL	Cartesian	445,0441	-62,77505	8,38889	No	445,0441	-62,77505	8,38889
1257	GLOBAL	Cartesian	446,8525	-62,77423	8,51111	No	446,8525	-62,77423	8,51111
1258	GLOBAL	Cartesian	448,6609	-62,77342	8,63333	No	448,6609	-62,77342	8,63333

1259	GLOBAL	Cartesian	450,4693	-62,7726	8,75556	No	450,4693	-62,7726	8,75556
1260	GLOBAL	Cartesian	452,2777	-62,77179	8,87778	No	452,2777	-62,77179	8,87778
14.1	GLOBAL	Cartesian	434,54833	-65,27978	7,85	No	434,54833	-65,27978	7,85
16.1	GLOBAL	Cartesian	437,81164	-65,27831	7,85	No	437,81164	-65,27831	7,85
19.1	GLOBAL	Cartesian	434,5472	-62,7798	0,9	No	434,5472	-62,7798	0,9
50.1	GLOBAL	Cartesian	399,19564	-67,96776	1,241	Yes	399,19564	-67,96776	1,241
51.1	GLOBAL	Cartesian	396,91568	-66,9422	1,241	Yes	396,91568	-66,9422	1,241
74.1	GLOBAL	Cartesian	465,47139	-68,25679	4,651	Yes	465,47139	-68,25679	4,651
75.1	GLOBAL	Cartesian	467,97109	-68,21794	4,651	Yes	467,97109	-68,21794	4,651
78.1	GLOBAL	Cartesian	519,05663	-60,58225	8,741	Yes	519,05663	-60,58225	8,741
79.1	GLOBAL	Cartesian	520,78416	-62,38936	8,741	Yes	520,78416	-62,38936	8,741
87.1	GLOBAL	Cartesian	437,81051	-62,77831	0,9	No	437,81051	-62,77831	0,9
121.1	GLOBAL	Cartesian	436,16499	-62,77905	7,9	Yes	436,16499	-62,77905	7,9
121.2	GLOBAL	Cartesian	436,19499	-62,77905	7,9	Yes	436,19499	-62,77905	7,9

BARRAS

TABLE: Connectivity - Frame							
Frame	JointI	JointJ	IsCurved	Length	CentroidX	CentroidY	CentroidZ
Text	Text	Text	Yes/No	m	m	m	m
1	1	2	No	6	403,34981	-65,2939	3
2	3	4	No	6	403,34868	-62,7939	3
3	6	5	No	2,5	390,82925	-64,04956	5,29
4	8	7	No	2,5	389,32925	-64,05024	5,29
5	10	9	No	2,5	402,59925	-64,04424	6
6	12	11	No	2,5	404,09925	-64,04356	6
7	42	43	No	2,5	383,79086	-82,87791	2,89
8	D0	16.1	No	6,95	437,81164	-65,27831	4,375
10	14	19	No	2,5	434,54777	-64,02979	7,9
11	20	21	No	5,4	472,20819	-65,26278	7,4
12	22	23	No	5,4	472,20706	-62,76278	7,4
13	25	24	No	2,5	471,45763	-64,01312	10,1
14	101	100	No	2,5	381,859	-82,42396	3,06512
16	102	103	No	2,5	380,06287	-81,57569	3,21721
17	32	33	No	5,4	501,89456	-65,24937	7,4
18	34	35	No	5,4	501,89343	-62,74937	7,4
19	36	37	No	2,5	502,644	-63,99903	10,1
20	38	39	No	2,5	379,67677	-65,67617	4,49
21	40	41	No	2,5	378,5117	-66,60675	4,49



23	44	45	No	2,5	385,28034	-82,94722	2,89
24	47	46	No	2,5	393,32176	-77,93047	2,09
25	49	48	No	2,49999	393,95341	-76,57482	2,09
26	51	50	No	2,5	398,05566	-67,45498	1,29
27	52	53	No	5,19	379,85596	-67,09513	1,895
28	54	55	No	5,19	378,29573	-65,14176	1,895
29	56	57	No	4,09	384,47612	-84,19064	0,845
30	58	59	No	4,09	384,59233	-81,693	0,845
31	61	60	No	2,5	442,37397	-72,65499	7,1
32	62	63	No	2,5	443,3386	-73,80368	7,1
33	65	64	No	2,5	450,96816	-79,96036	6,3
34	66	67	No	2,5	452,41814	-80,32291	6,3
35	68	69	No	4,4	451,38433	-81,37671	4,1
36	71	70	No	2,5	461,79442	-78,17103	5,5
37	73	72	No	2,5	462,98705	-77,16887	5,5
38	105	104	No	2,4999	378,48331	-80,37046	3,36279
39	76	77	No	4,4	451,99077	-78,95138	4,1
40	79	78	No	2,5	519,9204	-61,48581	8,79
41	135	126	No	0,03	436,17999	-65,27905	7,85
42	107	106	No	2,49994	377,19086	-78,86208	3,51498
44	84	83	No	2,5	376,2429	-77,11866	3,69
45	33	35	No	2,5	501,894	-63,99937	10,1
46	21	23	No	2,5	472,20763	-64,01278	10,1
47	16	87	No	2,5	437,81108	-64,02831	7,9
48	2	4	No	2,5	403,34925	-64,0439	6
49	53	55	No	2,5	379,07585	-66,11844	4,49
50	59	57	No	2,50034	384,53423	-82,94182	2,89
51	678	33	No	1,97909	500,90501	-65,24981	10,1
52	19.1	88	No	6,95	434,5472	-62,7798	4,375
53	680	678	No	1,97909	498,92592	-65,25071	10,1
55	93	92	No	2,50021	392,215	-79,57315	2,26488
56	95	94	No	2,49993	390,78892	-80,95047	2,41719
57	97	96	No	2,4999	389,1064	-82,00015	2,56282
58	99	98	No	2,50024	387,24233	-82,67542	2,71499
61	124	125	No	0,03	436,17999	-62,77905	7,85
63	109	108	No	2,50022	375,52671	-73,73245	3,86494
64	111	110	No	2,49993	375,68728	-71,75262	4,01721
65	113	112	No	2,4999	376,25835	-69,84961	4,16279
66	115	114	No	2,50024	377,21445	-68,1085	4,31493

67	682	680	No	1,97909	496,94683	-65,2516	10,1
68	684	682	No	1,97909	494,96774	-65,2525	10,1
69	704	684	No	1,97909	492,98865	-65,25339	10,1
70	686	704	No	1,97909	491,00956	-65,25428	10,1
71	688	686	No	1,97909	489,03047	-65,25518	10,1
72	690	688	No	1,97909	487,05138	-65,25607	10,1
73	692	690	No	1,97909	485,07228	-65,25697	10,1
74	694	692	No	1,97909	483,09319	-65,25786	10,1
75	696	694	No	1,97909	481,1141	-65,25876	10,1
76	698	696	No	1,97909	479,13501	-65,25965	10,1
77	700	698	No	1,97909	477,15592	-65,2601	10,1
78	128	127	No	2,5	512,64343	-63,99451	9,3
79	129	130	No	2,5	514,14335	-63,98149	9,3
80	132	131	No	2,50036	518,21165	-62,76931	8,96323
81	134	133	No	2,50034	516,24915	-63,61711	9,12677
82	87.1	89	No	6,95	437,81051	-62,77831	4,375
83	136	137	No	2,50039	466,58841	-70,22184	4,86897
84	138	139	No	2,50026	466,1322	-72,15884	5,02437
85	141	140	No	2,50024	465,36446	-73,99514	5,17563
86	143	142	No	2,50039	464,3062	-75,68043	5,33098
87	144	145	No	2,50039	460,11274	-79,20807	5,66885
88	146	147	No	2,50026	458,28376	-79,95816	5,82431
89	148	149	No	2,50024	456,35673	-80,40042	5,97569
90	150	151	No	2,50038	454,3837	-80,52289	6,1311
91	69	77	No	2,5	451,68755	-80,16405	6,3
94	153	152	No	2,49999	397,23521	-69,27895	1,45
95	154	155	No	2,49999	396,41476	-71,10291	1,61
96	156	157	No	2,49999	395,59431	-72,92688	1,77
97	158	159	No	2,49999	394,77386	-74,75085	1,93
98	49	160	No	0,89946	392,62894	-76,47218	2,09
99	160	161	No	0,03031	392,43809	-76,89608	2,09
100	161	162	No	0,03031	392,42537	-76,92359	2,09
101	162	163	No	0,03031	392,41262	-76,95109	2,09
102	163	164	No	0,0303	392,39983	-76,97856	2,09
103	164	165	No	0,0303	392,38698	-77,006	2,09
104	165	166	No	0,0303	392,37404	-77,03341	2,09
105	166	167	No	0,0303	392,36101	-77,06076	2,09
106	167	168	No	0,0303	392,34786	-77,08806	2,09
107	168	169	No	0,0303	392,33458	-77,1153	2,09



108	169	170	No	0,0303	392,32116	-77,14246	2,09
109	170	171	No	0,0303	392,30761	-77,16956	2,09
110	171	172	No	0,0303	392,29394	-77,1966	2,09
111	172	173	No	0,0303	392,28017	-77,2236	2,09
112	173	174	No	0,0303	392,26633	-77,25055	2,09
113	174	175	No	0,03031	392,25242	-77,27748	2,09
114	175	176	No	0,03031	392,23847	-77,30438	2,09
115	176	47	No	0,03031	392,22449	-77,33127	2,09
116	47	177	No	0,18439	392,17365	-77,42518	2,10017
117	177	178	No	0,18433	392,08419	-77,5851	2,12028
118	178	179	No	0,18429	391,99117	-77,74299	2,1399
119	179	180	No	0,18428	391,89463	-77,89877	2,15909
120	180	181	No	0,18429	391,79462	-78,0524	2,17787
121	181	182	No	0,18433	391,69116	-78,2038	2,19628
122	182	183	No	0,18439	391,58429	-78,35292	2,21434
123	183	184	No	0,18441	391,47406	-78,49966	2,2321
124	184	185	No	0,18427	391,3606	-78,64388	2,24957
125	14	13	No	0,53889	434,81777	-65,27966	7,9
126	186	187	No	0,18406	391,12434	-78,9243	2,2837
127	187	188	No	0,18399	391,00163	-79,0604	2,30041
128	188	189	No	0,18394	390,87594	-79,1937	2,31691
129	189	190	No	0,18392	390,74731	-79,32414	2,33321
130	190	191	No	0,18392	390,6158	-79,45168	2,34935
131	191	192	No	0,18395	390,48145	-79,57627	2,36534
132	192	193	No	0,184	390,34431	-79,69787	2,38119
133	193	194	No	0,18408	390,20443	-79,81641	2,39695
134	13	17	No	0,53889	435,35666	-65,27942	7,9
135	195	196	No	0,18431	389,91664	-80,04416	2,42821
136	196	197	No	0,18444	389,76884	-80,15326	2,44377
137	197	198	No	0,18438	389,6186	-80,25904	2,45928
138	198	199	No	0,18429	389,46609	-80,36139	2,47476
139	199	200	No	0,18422	389,31139	-80,46026	2,49021
140	200	201	No	0,18418	389,15456	-80,55561	2,50566
141	201	202	No	0,18416	388,99567	-80,64741	2,52113
142	202	203	No	0,18417	388,83476	-80,73563	2,53662
143	203	204	No	0,1842	388,67191	-80,82023	2,55217
144	A0	14.1	No	6,95	434,54833	-65,27978	4,375
145	205	206	No	0,18434	388,34061	-80,97846	2,58348
146	206	207	No	0,18443	388,17228	-81,05201	2,59927

147	207	208	No	0,18434	388,00236	-81,12177	2,61517
148	208	209	No	0,18416	387,83105	-81,18765	2,63118
149	209	210	No	0,184	387,65848	-81,24963	2,64729
150	210	211	No	0,18387	387,48472	-81,30768	2,66356
151	211	212	No	0,18376	387,30983	-81,3618	2,67999
152	212	213	No	0,18368	387,13389	-81,41197	2,69662
153	17	122	No	0,53889	435,89555	-65,27917	7,9
154	214	215	No	0,1836	386,7791	-81,50042	2,73059
155	215	216	No	0,18359	386,60039	-81,53867	2,74799
156	216	217	No	0,18361	386,42089	-81,57293	2,76568
157	217	218	No	0,18366	386,24068	-81,60318	2,78372
158	218	219	No	0,18372	386,05982	-81,62941	2,80211
159	219	220	No	0,18382	385,87838	-81,65161	2,82089
160	220	221	No	0,18394	385,69642	-81,66977	2,84008
161	221	222	No	0,18408	385,51401	-81,68386	2,85972
162	222	44	No	0,18425	385,33123	-81,69389	2,87983
163	44	223	No	0,07624	385,20164	-81,69833	2,89
164	223	224	No	0,07623	385,12541	-81,69915	2,89
165	224	225	No	0,07622	385,04919	-81,69979	2,89
166	225	226	No	0,0762	384,97298	-81,70013	2,89
167	226	227	No	0,07618	384,89679	-81,70003	2,89
168	227	228	No	0,07615	384,82063	-81,69938	2,89
169	228	229	No	0,07613	384,7445	-81,69805	2,89
170	229	230	No	0,07612	384,66841	-81,69592	2,89
171	19	18	No	0,53926	434,81683	-62,77968	7,9
172	231	232	No	0,07612	384,51636	-81,68885	2,89
173	232	233	No	0,07613	384,44039	-81,6839	2,89
174	233	234	No	0,07615	384,36447	-81,67815	2,89
175	234	235	No	0,07618	384,28858	-81,67173	2,89
176	235	236	No	0,0762	384,21271	-81,66475	2,89
177	236	237	No	0,07622	384,13686	-81,65734	2,89
178	237	238	No	0,07623	384,06103	-81,64962	2,89
179	238	42	No	0,07624	383,9852	-81,64172	2,89
180	42	239	No	0,14713	383,87484	-81,62794	2,89813
181	239	240	No	0,14712	383,7301	-81,60705	2,91423
182	240	241	No	0,14704	383,58577	-81,58359	2,93002
183	241	242	No	0,14693	383,44195	-81,55757	2,94553
184	242	243	No	0,14684	383,29868	-81,52901	2,96076
185	243	244	No	0,14677	383,15599	-81,49791	2,97574



186	244	245	No	0,1467	383,01393	-81,46428	2,99047
187	245	246	No	0,14665	382,87252	-81,42814	3,00496
188	246	247	No	0,14661	382,7318	-81,38949	3,01924
189	247	248	No	0,14659	382,59181	-81,34835	3,03331
190	248	249	No	0,14657	382,45256	-81,30473	3,04719
191	18	90	No	0,53926	435,3561	-62,77943	7,9
192	250	251	No	0,14658	382,17648	-81,21007	3,07441
193	251	252	No	0,14661	382,0397	-81,15905	3,08779
194	252	253	No	0,14665	381,90382	-81,10559	3,10102
195	253	254	No	0,14669	381,76885	-81,0497	3,11412
196	254	255	No	0,14676	381,63485	-80,99139	3,12711
197	255	256	No	0,14683	381,50183	-80,93066	3,13999
198	256	257	No	0,14692	381,36984	-80,86754	3,15279
199	257	258	No	0,14702	381,2389	-80,80202	3,1655
200	258	259	No	0,14713	381,10906	-80,73412	3,17816
201	259	260	No	0,14718	380,98037	-80,66387	3,19076
202	260	261	No	0,14713	380,85296	-80,59133	3,20329
203	90	121.1	No	0,53926	435,89536	-62,77918	7,9
204	262	263	No	0,14707	380,60222	-80,43952	3,2282
205	263	264	No	0,14705	380,47895	-80,3603	3,24059
206	264	265	No	0,14705	380,35712	-80,27889	3,25294
207	265	266	No	0,14706	380,23675	-80,19531	3,26527
208	266	267	No	0,14709	380,11789	-80,10959	3,27759
209	267	268	No	0,14712	380,00055	-80,02173	3,2899
210	268	269	No	0,14717	379,88477	-79,93177	3,30221
211	269	270	No	0,14718	379,77059	-79,83973	3,31453
212	270	271	No	0,14713	379,6581	-79,74568	3,32687
213	271	272	No	0,14708	379,54734	-79,64966	3,33923
214	272	273	No	0,14704	379,43835	-79,55172	3,35161
215	14.1	91	No	0,53889	434,81777	-65,27966	7,85
216	274	275	No	0,14701	379,22577	-79,35012	3,3765
217	275	276	No	0,14702	379,12223	-79,24651	3,38902
218	276	277	No	0,14703	379,02055	-79,14107	3,40161
219	277	278	No	0,14706	378,92077	-79,03382	3,41428
220	278	279	No	0,1471	378,82289	-78,92479	3,42703
221	279	280	No	0,14715	378,72696	-78,81399	3,43987
222	280	281	No	0,14718	378,633	-78,70148	3,45282
223	281	282	No	0,14709	378,54109	-78,58733	3,46586
224	282	283	No	0,147	378,4513	-78,47164	3,479

225	283	284	No	0,14692	378,36365	-78,35444	3,49227
226	284	285	No	0,14686	378,27815	-78,23576	3,50566
227	91	117	No	0,53889	435,35666	-65,27941	7,85
228	286	287	No	0,14677	378,11367	-77,99409	3,53289
229	287	288	No	0,14674	378,03473	-77,87117	3,54676
230	288	289	No	0,14673	377,95802	-77,74688	3,56082
231	289	290	No	0,14673	377,88354	-77,62128	3,57508
232	290	291	No	0,14674	377,81132	-77,49438	3,58957
233	291	292	No	0,14677	377,74137	-77,36622	3,60428
234	292	293	No	0,1468	377,67371	-77,23683	3,61924
235	293	294	No	0,14685	377,60836	-77,10623	3,63447
236	294	295	No	0,14692	377,54533	-76,97447	3,64997
237	295	296	No	0,147	377,48464	-76,84157	3,66577
238	296	84	No	0,14709	377,42631	-76,70757	3,68187
239	84	297	No	0,07624	377,38386	-76,60479	3,69
240	297	298	No	0,07623	377,35616	-76,53376	3,69
241	298	299	No	0,07622	377,32864	-76,46267	3,69
242	299	300	No	0,0762	377,30142	-76,39149	3,69
243	300	301	No	0,07618	377,27461	-76,32017	3,69
244	301	302	No	0,07615	377,24833	-76,24868	3,69
245	302	303	No	0,07613	377,22271	-76,17698	3,69
246	303	304	No	0,07612	377,19786	-76,10503	3,69
247	304	305	No	0,07611	377,1739	-76,03279	3,69
248	305	306	No	0,07612	377,15089	-75,96024	3,69
249	306	307	No	0,07613	377,12876	-75,8874	3,69
250	307	308	No	0,07615	377,1074	-75,81431	3,69
251	308	309	No	0,07618	377,0867	-75,74102	3,69
252	309	310	No	0,0762	377,06653	-75,66754	3,69
253	310	311	No	0,07622	377,04678	-75,59394	3,69
254	311	312	No	0,07623	377,02733	-75,52023	3,69
255	312	85	No	0,07624	377,00805	-75,44647	3,69
256	85	313	No	0,18473	376,97809	-75,32007	3,70018
257	313	314	No	0,18466	376,93939	-75,1406	3,7203
258	314	315	No	0,18462	376,90473	-74,96032	3,73994
259	315	316	No	0,18461	376,8741	-74,77929	3,75913
260	316	317	No	0,18462	376,84753	-74,59758	3,77791
261	317	318	No	0,18465	376,82503	-74,41526	3,79632
262	318	319	No	0,18471	376,80661	-74,2324	3,81439
263	319	320	No	0,18477	376,79229	-74,04908	3,83215



264	320	321	No	0,18465	376,78209	-73,8655	3,84962
265	26	27	No	2,5	455,58553	-64,02029	9
266	322	323	No	0,18443	376,77404	-73,49815	3,88375
267	323	324	No	0,18435	376,77618	-73,31454	3,90046
268	324	325	No	0,1843	376,78244	-73,13107	3,91696
269	325	326	No	0,18428	376,7928	-72,94781	3,93326
270	326	327	No	0,18428	376,80726	-72,76482	3,9494
271	327	328	No	0,1843	376,82582	-72,58218	3,96538
272	328	329	No	0,18435	376,84846	-72,39995	3,98124
273	329	330	No	0,18442	376,87519	-72,21821	3,99699
274	117	135	No	0,53889	435,89554	-65,27917	7,85
275	331	332	No	0,18464	376,9409	-71,85645	4,02824
276	332	333	No	0,18478	376,97986	-71,67658	4,04379
277	333	334	No	0,18473	377,02286	-71,49758	4,05929
278	334	335	No	0,18464	377,06985	-71,31965	4,07477
279	335	336	No	0,18457	377,1208	-71,14291	4,09022
280	336	337	No	0,18453	377,17568	-70,9674	4,10566
281	337	338	No	0,18451	377,23448	-70,7932	4,12112
282	338	339	No	0,18451	377,29716	-70,62037	4,13661
283	339	340	No	0,18454	377,36371	-70,44897	4,15215
284	80	81	No	2,5	454,08609	-64,02097	9
285	341	342	No	0,18468	377,5083	-70,11075	4,18344
286	342	343	No	0,18478	377,58629	-69,94406	4,19924
287	343	344	No	0,18469	377,66801	-69,77916	4,21513
288	344	345	No	0,1845	377,75334	-69,61627	4,23113
289	345	346	No	0,18435	377,84221	-69,45549	4,24724
290	346	347	No	0,18422	377,93458	-69,29687	4,2635
291	347	348	No	0,18411	378,03041	-69,14048	4,27994
292	348	349	No	0,18403	378,12965	-68,98636	4,29657
293	30	31	No	2,5	419,87351	-64,03643	6,95
294	350	351	No	0,18394	378,33819	-68,68517	4,33054
295	351	352	No	0,18394	378,44741	-68,53821	4,34793
296	352	353	No	0,18395	378,55987	-68,39374	4,36563
297	353	354	No	0,184	378,67552	-68,25182	4,38366
298	354	355	No	0,18407	378,79432	-68,11249	4,40206
299	355	356	No	0,18416	378,91624	-67,97583	4,42085
300	356	357	No	0,18428	379,04122	-67,84188	4,44005
301	357	358	No	0,18442	379,16922	-67,71069	4,4597
302	358	40	No	0,1846	379,3002	-67,58232	4,47982

303	40	359	No	0,07624	379,39477	-67,49334	4,49
304	359	360	No	0,07623	379,45147	-67,44239	4,49
305	360	361	No	0,07622	379,5083	-67,39157	4,49
306	361	362	No	0,0762	379,56531	-67,34101	4,49
307	362	363	No	0,07618	379,6226	-67,29078	4,49
308	363	364	No	0,07615	379,68024	-67,24099	4,49
309	364	365	No	0,07613	379,73831	-67,19174	4,49
310	365	366	No	0,07612	379,79689	-67,14312	4,49
311	28	29	No	2,5	418,37351	-64,03711	6,95
312	367	368	No	0,07612	379,91582	-67,04812	4,49
313	368	369	No	0,07613	379,97618	-67,00174	4,49
314	369	370	No	0,07615	380,03705	-66,95599	4,49
315	370	371	No	0,07618	380,09835	-66,91078	4,49
316	371	372	No	0,0762	380,15999	-66,86601	4,49
317	372	373	No	0,07622	380,22191	-66,82158	4,49
318	373	374	No	0,07623	380,28403	-66,77739	4,49
319	374	38	No	0,07624	380,34626	-66,73335	4,49
320	48	375	No	0,90457	394,90785	-77,50008	2,09
321	375	376	No	0,03957	394,71401	-77,93051	2,09
322	376	377	No	0,03957	394,6974	-77,96643	2,09
323	377	378	No	0,03957	394,68076	-78,00232	2,09
324	378	379	No	0,03956	394,66406	-78,03819	2,09
325	379	380	No	0,03956	394,64728	-78,07402	2,09
326	380	381	No	0,03956	394,63039	-78,10979	2,09
327	381	382	No	0,03956	394,61338	-78,14551	2,09
328	382	383	No	0,03956	394,59622	-78,18115	2,09
329	383	384	No	0,03956	394,57888	-78,2167	2,09
330	384	385	No	0,03956	394,56136	-78,25217	2,09
331	385	386	No	0,03956	394,54367	-78,28754	2,09
332	386	387	No	0,03956	394,52582	-78,32285	2,09
333	387	388	No	0,03956	394,50785	-78,35809	2,09
334	388	389	No	0,03956	394,48977	-78,39328	2,09
335	389	390	No	0,03957	394,47162	-78,42843	2,09
336	390	391	No	0,03957	394,4534	-78,46356	2,09
337	391	46	No	0,03957	394,43515	-78,49866	2,09
338	46	392	No	0,19116	394,38065	-78,59994	2,09812
339	392	393	No	0,19109	394,28843	-78,76656	2,11422
340	393	394	No	0,19103	394,19328	-78,93148	2,13
341	394	395	No	0,19099	394,09522	-79,09466	2,14549



342	395	396	No	0,19097	393,99428	-79,25606	2,1607
343	396	397	No	0,19096	393,89048	-79,41565	2,17565
344	397	398	No	0,19097	393,78385	-79,57338	2,19036
345	398	399	No	0,19099	393,6744	-79,72921	2,20485
346	399	400	No	0,19103	393,56218	-79,88311	2,21912
347	400	401	No	0,19109	393,44719	-80,03504	2,2332
348	401	402	No	0,19116	393,32947	-80,18495	2,2471
349	88	118	No	0,53926	434,81683	-62,77967	7,85
350	403	404	No	0,19111	393,08603	-80,47846	2,27441
351	404	405	No	0,19103	392,96048	-80,62185	2,28784
352	405	406	No	0,19098	392,83244	-80,76295	2,30112
353	406	407	No	0,19094	392,70193	-80,90171	2,31427
354	407	408	No	0,19091	392,56898	-81,03811	2,3273
355	408	409	No	0,1909	392,43364	-81,17212	2,34021
356	409	410	No	0,19091	392,29593	-81,3037	2,35303
357	410	411	No	0,19093	392,15588	-81,43282	2,36575
358	411	412	No	0,19097	392,01353	-81,55945	2,3784
359	412	413	No	0,19102	391,86892	-81,68355	2,39097
360	413	414	No	0,19109	391,72206	-81,80511	2,40349
361	118	119	No	0,53926	435,35609	-62,77942	7,85
362	415	416	No	0,1912	391,42179	-82,0404	2,42838
363	416	417	No	0,19115	391,26854	-82,15401	2,44076
364	417	418	No	0,19111	391,11332	-82,26484	2,45311
365	418	419	No	0,19109	390,95618	-82,37287	2,46544
366	419	420	No	0,19108	390,79715	-82,47808	2,47775
367	420	421	No	0,19109	390,63627	-82,58043	2,49005
368	421	422	No	0,19111	390,47358	-82,67991	2,50235
369	422	423	No	0,19115	390,30912	-82,77649	2,51466
370	423	424	No	0,1912	390,14292	-82,87014	2,52699
371	424	425	No	0,19118	389,97506	-82,96083	2,53934
372	425	426	No	0,19111	389,80566	-83,04848	2,55173
373	122	121.1	No	2,5	436,16499	-64,02905	7,9
374	427	428	No	0,19102	389,46246	-83,21459	2,5766
375	428	429	No	0,191	389,28875	-83,29301	2,58912
376	429	430	No	0,19099	389,11368	-83,36831	2,6017
377	430	431	No	0,191	388,93731	-83,44048	2,61435
378	431	432	No	0,19102	388,75967	-83,5095	2,62708
379	432	433	No	0,19106	388,58081	-83,57536	2,63991
380	433	434	No	0,19112	388,40076	-83,63803	2,65284

381	434	435	No	0,19119	388,21958	-83,6975	2,66589
382	435	436	No	0,19117	388,03734	-83,75374	2,67905
383	436	437	No	0,19106	387,8542	-83,8067	2,69233
384	437	438	No	0,19097	387,67024	-83,85637	2,70573
385	123	121.2	No	2,5	436,19499	-64,02905	7,9
386	439	440	No	0,19084	387,30009	-83,94577	2,73297
387	440	441	No	0,1908	387,11398	-83,9855	2,74684
388	441	442	No	0,19077	386,92723	-84,0219	2,7609
389	442	443	No	0,19076	386,73991	-84,05497	2,77516
390	443	444	No	0,19076	386,55204	-84,0847	2,78963
391	444	445	No	0,19078	386,36369	-84,11109	2,80434
392	445	446	No	0,19082	386,17488	-84,13412	2,81929
393	446	447	No	0,19087	385,98567	-84,1538	2,83451
394	447	448	No	0,19094	385,7961	-84,17012	2,85
395	448	449	No	0,19103	385,60622	-84,18306	2,86578
396	449	45	No	0,19113	385,41606	-84,19263	2,88188
397	45	450	No	0,09949	385,27119	-84,19718	2,89
398	450	451	No	0,09948	385,17171	-84,19834	2,89
399	451	452	No	0,09946	385,07225	-84,19925	2,89
400	452	453	No	0,09943	384,97281	-84,19975	2,89
401	453	454	No	0,0994	384,87339	-84,19968	2,89
402	454	455	No	0,09937	384,774	-84,19889	2,89
403	455	456	No	0,09934	384,67466	-84,19719	2,89
404	456	457	No	0,09932	384,57537	-84,19444	2,89
405	119	124	No	0,53926	435,89535	-62,77917	7,85
406	458	459	No	0,09932	384,37696	-84,18521	2,89
407	459	460	No	0,09934	384,27784	-84,17872	2,89
408	460	461	No	0,09937	384,17877	-84,17119	2,89
409	461	462	No	0,0994	384,07974	-84,16275	2,89
410	462	463	No	0,09943	383,98074	-84,15358	2,89
411	463	464	No	0,09946	383,88177	-84,14385	2,89
412	464	465	No	0,09948	383,78282	-84,1337	2,89
413	465	43	No	0,09949	383,68389	-84,12332	2,89
414	43	466	No	0,19164	383,53981	-84,10529	2,89813
415	466	467	No	0,19164	383,35081	-84,07801	2,91424
416	467	468	No	0,19164	383,1623	-84,04737	2,93004
417	468	469	No	0,19156	382,97439	-84,01336	2,94555
418	469	470	No	0,19143	382,78719	-83,97602	2,96079
419	470	471	No	0,19132	382,60079	-83,93538	2,97578



420	471	472	No	0,19122	382,41523	-83,89143	2,99052
421	472	473	No	0,19114	382,23056	-83,84421	3,00502
422	473	474	No	0,19107	382,0468	-83,79372	3,01931
423	474	475	No	0,19102	381,86402	-83,73997	3,03339
424	475	476	No	0,19099	381,68225	-83,68299	3,04728
425	9	4	No	0,75	402,97368	-62,79407	6
426	477	478	No	0,19097	381,32192	-83,55937	3,07452
427	478	479	No	0,19098	381,14344	-83,49277	3,0879
428	479	480	No	0,19101	380,96615	-83,42298	3,10114
429	480	481	No	0,19106	380,79009	-83,35003	3,11425
430	481	482	No	0,19112	380,6153	-83,27394	3,12723
431	482	483	No	0,19119	380,44182	-83,19471	3,14012
432	483	484	No	0,19129	380,2697	-83,11236	3,1529
433	484	485	No	0,1914	380,09899	-83,0269	3,16561
434	485	486	No	0,19152	379,92971	-82,93835	3,17825
435	486	487	No	0,19166	379,76193	-82,84673	3,19084
436	487	488	No	0,19165	379,59576	-82,7521	3,20336
437	4	11	No	0,75	403,72368	-62,79373	6
438	489	490	No	0,19155	379,2687	-82,55405	3,22826
439	490	491	No	0,19152	379,10792	-82,45071	3,24064
440	491	492	No	0,19151	378,94903	-82,34451	3,25299
441	492	493	No	0,19152	378,79206	-82,2355	3,26531
442	493	494	No	0,19154	378,63705	-82,12369	3,27762
443	494	495	No	0,19158	378,48404	-82,00912	3,28993
444	495	496	No	0,19163	378,33307	-81,8918	3,30223
445	496	497	No	0,19168	378,18417	-81,77177	3,31455
446	497	498	No	0,19162	378,03745	-81,6491	3,32688
447	498	499	No	0,19156	377,89299	-81,52387	3,33923
448	499	500	No	0,19151	377,75084	-81,39611	3,35161
449	10	2	No	0,75	402,97481	-65,29407	6
450	501	502	No	0,19146	377,47357	-81,13318	3,37648
451	502	503	No	0,19145	377,33853	-80,99805	3,389
452	503	504	No	0,19147	377,20591	-80,86054	3,40159
453	504	505	No	0,1915	377,07576	-80,72067	3,41424
454	505	506	No	0,19154	376,94811	-80,57848	3,42699
455	506	507	No	0,19161	376,82298	-80,43399	3,43982
456	507	508	No	0,19167	376,70042	-80,28724	3,45276
457	508	509	No	0,19159	376,58051	-80,13834	3,4658
458	509	510	No	0,19148	376,46335	-79,98741	3,47895

459	510	511	No	0,19138	376,34896	-79,83449	3,49221
460	511	512	No	0,1913	376,23738	-79,67964	3,5056
461	2	12	No	0,75	403,72481	-65,29373	6
462	513	514	No	0,19119	376,02272	-79,36429	3,53284
463	514	515	No	0,19115	375,91969	-79,20387	3,54671
464	515	516	No	0,19114	375,81955	-79,04167	3,56077
465	516	517	No	0,19114	375,72233	-78,87773	3,57503
466	517	518	No	0,19115	375,62805	-78,71209	3,58952
467	518	519	No	0,19118	375,53673	-78,5448	3,60424
468	519	520	No	0,19123	375,44839	-78,37589	3,61921
469	520	521	No	0,19129	375,36307	-78,2054	3,63444
470	521	522	No	0,19137	375,28077	-78,03338	3,64995
471	522	523	No	0,19147	375,20153	-77,85986	3,66575
472	523	83	No	0,19158	375,12536	-77,68487	3,68186
473	83	524	No	0,09949	375,06994	-77,55069	3,69
474	524	525	No	0,09948	375,0338	-77,45801	3,69
475	525	526	No	0,09946	374,99789	-77,36525	3,69
476	526	527	No	0,09943	374,96236	-77,27237	3,69
477	527	528	No	0,0994	374,92738	-77,17931	3,69
478	528	529	No	0,09937	374,89309	-77,08602	3,69
479	529	530	No	0,09934	374,85966	-76,99246	3,69
480	530	531	No	0,09932	374,82724	-76,89857	3,69
481	531	532	No	0,09931	374,79597	-76,8043	3,69
482	532	533	No	0,09932	374,76594	-76,70964	3,69
483	533	534	No	0,09934	374,73706	-76,61459	3,69
484	534	535	No	0,09937	374,7092	-76,51923	3,69
485	535	536	No	0,0994	374,68218	-76,42358	3,69
486	536	537	No	0,09943	374,65587	-76,32771	3,69
487	537	538	No	0,09946	374,63009	-76,23166	3,69
488	538	539	No	0,09948	374,60471	-76,13549	3,69
489	539	86	No	0,09949	374,57955	-76,03924	3,69
490	86	540	No	0,19152	374,54565	-75,89811	3,69813
491	540	541	No	0,19144	374,50458	-75,71179	3,71423
492	541	542	No	0,19138	374,46686	-75,5248	3,73002
493	542	543	No	0,19134	374,43247	-75,3372	3,74552
494	543	544	No	0,19132	374,40144	-75,14903	3,76074
495	544	545	No	0,19131	374,37377	-74,96033	3,7757
496	545	546	No	0,19131	374,34946	-74,77114	3,79041
497	546	547	No	0,19134	374,32853	-74,58153	3,8049



498	547	548	No	0,19137	374,31097	-74,39152	3,81917
499	548	549	No	0,19143	374,2968	-74,20118	3,83325
500	549	550	No	0,1915	374,28603	-74,01053	3,84715
501	123	120	No	0,53888	436,46443	-65,27893	7,9
502	551	552	No	0,19149	374,27469	-73,62864	3,87446
503	552	553	No	0,19142	374,27414	-73,43767	3,88789
504	553	554	No	0,19136	374,277	-73,24677	3,90117
505	554	555	No	0,19131	374,28326	-73,056	3,91432
506	555	556	No	0,19128	374,29291	-72,8654	3,92735
507	556	557	No	0,19127	374,30597	-72,67502	3,94026
508	557	558	No	0,19127	374,32242	-72,48489	3,95307
509	558	559	No	0,19129	374,34226	-72,29508	3,9658
510	559	560	No	0,19133	374,36549	-72,10561	3,97844
511	560	561	No	0,19138	374,3921	-71,91655	3,99101
512	561	562	No	0,19144	374,42209	-71,72793	4,00352
513	120	121	No	0,53888	437,00332	-65,27868	7,9
514	563	564	No	0,19157	374,49218	-71,35222	4,0284
515	564	565	No	0,19152	374,53226	-71,16533	4,04078
516	565	566	No	0,19148	374,57566	-70,97924	4,05312
517	566	567	No	0,19145	374,62237	-70,79398	4,06544
518	567	568	No	0,19144	374,67237	-70,60959	4,07775
519	568	569	No	0,19145	374,72566	-70,42614	4,09004
520	569	570	No	0,19147	374,78222	-70,24364	4,10234
521	570	571	No	0,19151	374,84204	-70,06216	4,11465
522	571	572	No	0,19156	374,9051	-69,88174	4,12697
523	572	573	No	0,19155	374,97139	-69,70245	4,13932
524	573	574	No	0,19148	375,04085	-69,52442	4,1517
525	121	16	No	0,53888	437,5422	-65,27843	7,9
526	575	576	No	0,19138	375,18917	-69,17238	4,17657
527	576	577	No	0,19136	375,268	-68,99846	4,18908
528	577	578	No	0,19135	375,34991	-68,82599	4,20165
529	578	579	No	0,19136	375,43488	-68,65501	4,2143
530	579	580	No	0,19138	375,5229	-68,48557	4,22703
531	580	581	No	0,19142	375,61393	-68,31771	4,23986
532	581	582	No	0,19147	375,70797	-68,15146	4,25279
533	582	583	No	0,19154	375,80499	-67,98687	4,26583
534	583	584	No	0,19154	375,90494	-67,82402	4,27899
535	584	585	No	0,19143	376,00775	-67,66304	4,29226
536	585	586	No	0,19134	376,11336	-67,504	4,30567

537	121.2	624	No	0,53851	436,46424	-62,77893	7,9
538	587	588	No	0,1912	376,33285	-67,19193	4,33291
539	588	589	No	0,19116	376,44667	-67,03896	4,34678
540	589	590	No	0,19113	376,56316	-66,88808	4,36084
541	590	591	No	0,19112	376,68231	-66,73932	4,3751
542	591	592	No	0,19112	376,80407	-66,59273	4,38958
543	592	593	No	0,19114	376,92842	-66,44833	4,40429
544	593	594	No	0,19118	377,05532	-66,30617	4,41925
545	594	595	No	0,19123	377,18476	-66,16627	4,43447
546	595	596	No	0,1913	377,31669	-66,02866	4,44997
547	596	597	No	0,19139	377,45109	-65,8934	4,46577
548	597	41	No	0,19149	377,58793	-65,7605	4,48187
549	41	598	No	0,09949	377,69393	-65,66137	4,49
550	598	599	No	0,09948	377,76792	-65,59488	4,49
551	599	600	No	0,09946	377,84207	-65,52858	4,49
552	600	601	No	0,09943	377,91647	-65,46259	4,49
553	601	602	No	0,0994	377,99122	-65,39705	4,49
554	602	603	No	0,09937	378,06644	-65,33208	4,49
555	603	604	No	0,09934	378,14221	-65,26782	4,49
556	604	605	No	0,09932	378,21864	-65,20438	4,49
557	624	625	No	0,53851	437,00275	-62,77868	7,9
558	606	607	No	0,09932	378,37384	-65,08041	4,49
559	607	608	No	0,09934	378,45261	-65,01989	4,49
560	608	609	No	0,09937	378,53203	-64,9602	4,49
561	609	610	No	0,0994	378,61201	-64,9012	4,49
562	610	611	No	0,09943	378,69246	-64,84278	4,49
563	611	612	No	0,09946	378,77325	-64,7848	4,49
564	612	613	No	0,09948	378,85431	-64,72715	4,49
565	613	39	No	0,09949	378,93551	-64,66968	4,49
566	8	6	No	1,5	390,07981	-65,2999	5,29
567	625	87	No	0,53851	437,54126	-62,77843	7,9
568	7	5	No	1,5	390,07868	-62,7999	5,29
569	126	626	No	0,53889	436,46443	-65,27892	7,85
570	614	615	No	2,5	400,63758	-64,04513	5,88167
571	616	617	No	2,5	398,67592	-64,04601	5,76333
572	618	619	No	2,5	396,71425	-64,0469	5,645
573	620	621	No	2,5	394,75258	-64,04779	5,52667
574	622	623	No	2,5	392,79092	-64,04867	5,40833
575	626	627	No	0,53889	437,00331	-65,27868	7,85



576	627	16.1	No	0,53889	437,5422	-65,27843	7,85
577	125	628	No	0,53851	436,46424	-62,77892	7,85
578	628	629	No	0,53851	437,00275	-62,77868	7,85
579	629	89	No	0,53851	437,54126	-62,77843	7,85
602	678	679	No	2,5	499,9149	-64,00026	10,1
603	680	681	No	2,5	497,93581	-64,00115	10,1
604	682	683	No	2,5	495,95672	-64,00205	10,1
605	684	685	No	2,5	493,97763	-64,00294	10,1
606	686	687	No	2,5	490,01945	-64,00473	10,1
608	690	691	No	2,5	486,06126	-64,00652	10,1
609	692	693	No	2,5	484,08217	-64,00742	10,1
610	694	695	No	2,5	482,10308	-64,00831	10,1
611	696	697	No	2,5	480,12399	-64,0092	10,1
612	698	699	No	2,5	478,1449	-64,0101	10,1
613	700	701	No	2,5	476,16581	-64,0101	10,1
615	704	705	No	2,5	491,99854	-64,00384	10,1
618	29	31	No	1,5	419,12294	-62,78677	6,95
622	81	27	No	1,49887	454,83553	-62,77063	9
627	709	37	No	0,01345	502,63671	-62,74903	10,1
629	127	710	No	1,02686	513,15686	-62,74428	9,3
630	710	711	No	0,02397	513,68228	-62,74396	9,3
631	711	712	No	0,02397	513,70624	-62,74378	9,3
632	712	713	No	0,02397	513,73021	-62,74359	9,3
633	713	714	No	0,02397	513,75417	-62,74336	9,3
634	714	715	No	0,02397	513,77814	-62,74309	9,3
635	715	716	No	0,02396	513,8021	-62,74275	9,3
636	716	717	No	0,02396	513,82606	-62,74235	9,3
637	717	718	No	0,02396	513,85002	-62,74186	9,3
638	718	719	No	0,02396	513,87398	-62,74128	9,3
639	719	720	No	0,02396	513,89793	-62,74059	9,3
640	720	721	No	0,02396	513,92188	-62,7398	9,3
641	721	722	No	0,02396	513,94583	-62,73893	9,3
642	722	723	No	0,02397	513,96978	-62,73799	9,3
643	723	724	No	0,02397	513,99372	-62,73699	9,3
644	724	725	No	0,02397	514,01767	-62,73595	9,3
645	725	726	No	0,02397	514,04161	-62,73487	9,3
646	726	130	No	0,02397	514,06555	-62,73377	9,3
647	130	727	No	0,24233	514,19781	-62,72501	9,28803
648	727	728	No	0,24204	514,43796	-62,70489	9,26435

649	728	729	No	0,24179	514,67716	-62,67739	9,24114
650	729	730	No	0,24161	514,91521	-62,64254	9,21836
651	730	731	No	0,24149	515,15197	-62,60039	9,19595
652	731	732	No	0,24143	515,38725	-62,55098	9,17386
653	732	733	No	0,24143	515,62089	-62,49433	9,15203
655	734	735	No	0,24161	516,08258	-62,35952	9,10898
656	735	736	No	0,24179	516,31029	-62,28143	9,08764
657	736	737	No	0,24204	516,53569	-62,19627	9,06637
658	737	738	No	0,24235	516,75861	-62,10407	9,0451
659	738	739	No	0,24244	516,97875	-62,00494	9,02381
660	739	740	No	0,24216	517,19563	-61,89908	9,00249
661	740	741	No	0,24194	517,4089	-61,7867	8,98111
663	742	743	No	0,24168	517,82406	-61,54271	8,93801
664	743	744	No	0,24164	518,02566	-61,41131	8,91617
665	744	745	No	0,24166	518,22308	-61,27377	8,89406
666	745	746	No	0,24175	518,41619	-61,1302	8,87165
667	746	747	No	0,24189	518,60483	-60,98068	8,84886
668	747	748	No	0,2421	518,78888	-60,82532	8,82565
669	748	78	No	0,24237	518,96818	-60,66422	8,80197
672	28	30	No	1,5	419,12407	-65,28677	6,95
676	80	26	No	1,5	454,83609	-65,27063	9
682	128	752	No	1,0272	513,15703	-65,24451	9,3
683	752	753	No	0,03244	513,68685	-65,24436	9,3
684	753	754	No	0,03165	513,71889	-65,24406	9,3
685	754	755	No	0,03165	513,75054	-65,24374	9,3
686	755	756	No	0,03165	513,78219	-65,24337	9,3
687	756	757	No	0,03165	513,81383	-65,24295	9,3
688	757	758	No	0,03165	513,84548	-65,24246	9,3
689	758	759	No	0,03165	513,87712	-65,24188	9,3
690	759	760	No	0,03164	513,90875	-65,2412	9,3
691	760	761	No	0,03164	513,94039	-65,24039	9,3
692	761	762	No	0,03164	513,97202	-65,23946	9,3
693	762	763	No	0,03165	514,00365	-65,23841	9,3
694	763	764	No	0,03165	514,03527	-65,23725	9,3
695	764	765	No	0,03165	514,06689	-65,23601	9,3
696	765	766	No	0,03165	514,09851	-65,23469	9,3
697	766	767	No	0,03165	514,13013	-65,23332	9,3
698	767	768	No	0,03165	514,16175	-65,23191	9,3
699	768	129	No	0,03165	514,19337	-65,23047	9,3



700	129	769	No	0,20975	514,31354	-65,22318	9,29211
701	769	770	No	0,20965	514,52209	-65,20794	9,27646
702	770	771	No	0,20958	514,73021	-65,18846	9,26101
703	771	772	No	0,20953	514,93786	-65,16478	9,24577
704	772	773	No	0,2095	515,14495	-65,13689	9,23071
705	773	774	No	0,2095	515,35143	-65,1048	9,21582
706	774	775	No	0,20952	515,55724	-65,06853	9,20108
707	775	776	No	0,20956	515,7623	-65,02808	9,18647
708	776	777	No	0,20962	515,96656	-64,98347	9,17199
709	777	778	No	0,20971	516,16995	-64,9347	9,1576
710	778	779	No	0,20978	516,3724	-64,88178	9,1433
712	780	781	No	0,20965	516,77381	-64,76368	9,11493
713	781	782	No	0,2096	516,97256	-64,69857	9,10085
714	782	783	No	0,20958	517,16991	-64,62945	9,08682
715	783	784	No	0,20958	517,36582	-64,55633	9,07282
716	784	785	No	0,2096	517,56021	-64,47925	9,05884
717	785	786	No	0,20965	517,75302	-64,39823	9,04487
718	786	787	No	0,20971	517,9442	-64,31328	9,0309
719	787	788	No	0,20978	518,13368	-64,22444	9,01692
720	788	789	No	0,20966	518,32128	-64,13178	9,00291
721	789	790	No	0,20952	518,50685	-64,0354	8,98888
722	790	791	No	0,2094	518,6903	-63,93533	8,97482
724	792	793	No	0,20922	519,05066	-63,72429	8,94654
725	793	794	No	0,20917	519,22747	-63,6134	8,93228
726	794	795	No	0,20914	519,40195	-63,49897	8,91793
727	795	796	No	0,20914	519,57405	-63,38105	8,90347
728	796	797	No	0,20915	519,74373	-63,25967	8,88888
729	797	798	No	0,20919	519,91092	-63,13487	8,87416
730	798	799	No	0,20925	520,07559	-63,00668	8,85928
731	799	800	No	0,20933	520,23766	-62,87515	8,84422
732	800	801	No	0,20943	520,3971	-62,74031	8,82898
733	801	802	No	0,20956	520,55385	-62,60219	8,81354
734	802	79	No	0,20971	520,70785	-62,46084	8,79788
735	803	804	No	2,5	510,64265	-63,99541	9,46011
736	805	806	No	2,50001	508,64131	-63,99632	9,62021
737	807	808	No	2,50001	506,63997	-63,99722	9,78032
738	809	810	No	2,50002	504,63863	-63,99812	9,94043
742	813	814	No	2,50012	387,15023	-64,05122	5,11608
743	39	815	No	0,18247	379,05186	-64,59066	4,49754

744	815	816	No	0,18236	379,20412	-64,49134	4,51254
745	816	817	No	0,18227	379,35797	-64,39466	4,52741
746	817	818	No	0,1822	379,51339	-64,30065	4,54214
747	818	819	No	0,18214	379,67032	-64,20932	4,55675
748	819	820	No	0,18209	379,82874	-64,12068	4,57124
749	820	821	No	0,18206	379,98861	-64,03477	4,58561
750	821	822	No	0,18203	380,14991	-63,95158	4,59988
751	822	823	No	0,18203	380,31258	-63,87115	4,61404
752	823	824	No	0,18203	380,4766	-63,79348	4,6281
753	824	825	No	0,18205	380,64193	-63,7186	4,64207
755	826	827	No	0,18213	380,97637	-63,57726	4,66975
756	827	828	No	0,18218	381,14542	-63,51084	4,68348
757	828	829	No	0,18226	381,31564	-63,44728	4,69714
758	829	830	No	0,18234	381,487	-63,38658	4,71074
759	830	831	No	0,18244	381,65945	-63,32878	4,72428
760	831	832	No	0,1825	381,83294	-63,27389	4,73776
761	832	833	No	0,18243	382,00733	-63,22196	4,75119
762	833	834	No	0,18238	382,18253	-63,17302	4,76456
763	834	835	No	0,18233	382,35849	-63,12707	4,77787
764	835	836	No	0,1823	382,53518	-63,08414	4,79113
765	836	837	No	0,18228	382,71254	-63,04421	4,80434
767	838	839	No	0,18228	383,06916	-62,97343	4,83064
768	839	840	No	0,1823	383,24834	-62,94259	4,84373
769	840	841	No	0,18234	383,42805	-62,9148	4,8568
770	841	842	No	0,18238	383,60824	-62,89006	4,86983
771	842	843	No	0,18245	383,78889	-62,86838	4,88285
772	843	844	No	0,1825	383,96994	-62,84976	4,89584
773	844	845	No	0,18244	384,15128	-62,83423	4,90881
774	845	846	No	0,18236	384,33279	-62,8218	4,92176
775	846	847	No	0,18229	384,5144	-62,81245	4,93469
776	847	848	No	0,18224	384,69609	-62,80619	4,94761
777	848	811	No	0,1822	384,87782	-62,80302	4,9605
778	38	849	No	0,14002	380,43543	-66,67279	4,49677
779	849	850	No	0,13993	380,55212	-66,59668	4,51024
780	850	851	No	0,13985	380,67002	-66,52259	4,52359
781	851	852	No	0,13979	380,78912	-66,45055	4,53682
782	852	853	No	0,13973	380,90937	-66,38056	4,54995
783	853	854	No	0,13968	381,03075	-66,31265	4,56297
784	854	855	No	0,13965	381,15324	-66,24682	4,57589



785	855	856	No	0,13962	381,27682	-66,18309	4,58872
786	856	857	No	0,1396	381,40144	-66,12147	4,60145
787	857	858	No	0,1396	381,52708	-66,06197	4,61409
788	858	859	No	0,1396	381,65373	-66,0046	4,62665
790	860	861	No	0,13964	381,9099	-65,89633	4,65154
791	861	862	No	0,13968	382,03937	-65,84545	4,66387
792	862	863	No	0,13972	382,16973	-65,79676	4,67614
793	863	864	No	0,13978	382,30095	-65,75027	4,68834
794	864	865	No	0,13985	382,433	-65,706	4,70049
795	865	866	No	0,13992	382,56586	-65,66395	4,71258
796	866	867	No	0,14001	382,6995	-65,62414	4,72463
797	867	868	No	0,14004	382,83386	-65,58659	4,73662
798	868	869	No	0,13998	382,96882	-65,55134	4,74857
799	869	870	No	0,13993	383,10432	-65,5184	4,76046
800	870	871	No	0,13988	383,24031	-65,48777	4,77229
802	872	873	No	0,13983	383,51367	-65,4335	4,79582
803	873	874	No	0,13982	383,65098	-65,40986	4,80752
804	874	875	No	0,13981	383,78866	-65,38856	4,81917
805	875	876	No	0,13982	383,9267	-65,3696	4,83079
806	876	877	No	0,13984	384,06505	-65,35299	4,84238
807	877	878	No	0,13987	384,20369	-65,33872	4,85393
808	878	879	No	0,13991	384,34259	-65,32681	4,86546
809	879	880	No	0,13996	384,48171	-65,31727	4,87695
810	880	881	No	0,14002	384,62104	-65,31008	4,88843
811	881	882	No	0,14005	384,76051	-65,30527	4,89989
812	882	812	No	0,14393	384,902	-65,30283	4,91148
820	60	63	No	1,5	443,81353	-72,42548	7,1
821	64	895	No	0,07893	451,3835	-78,78007	6,3
822	895	896	No	0,07892	451,45911	-78,80268	6,3
823	896	897	No	0,07891	451,53476	-78,82514	6,3
824	897	898	No	0,07889	451,61047	-78,84735	6,3
825	898	899	No	0,07888	451,68626	-78,86922	6,3
826	899	900	No	0,07886	451,76217	-78,89065	6,3
827	900	901	No	0,07885	451,83821	-78,91153	6,3
828	901	902	No	0,07884	451,91441	-78,93178	6,3
830	903	904	No	0,07884	452,06737	-78,97003	6,3
831	904	905	No	0,07885	452,14413	-78,98803	6,3
832	905	906	No	0,07886	452,22106	-79,00539	6,3
833	906	907	No	0,07888	452,29811	-79,02221	6,3

834	907	908	No	0,07889	452,37528	-79,03859	6,3
835	908	909	No	0,07891	452,45254	-79,05462	6,3
836	909	910	No	0,07892	452,52985	-79,07041	6,3
837	910	67	No	0,07892	452,6072	-79,08605	6,3
838	67	911	No	0,18967	452,73881	-79,11023	6,29053
839	911	912	No	0,18956	452,92489	-79,14138	6,27173
840	912	913	No	0,18946	453,11141	-79,16927	6,25319
841	913	914	No	0,18939	453,29833	-79,19391	6,23489
842	914	915	No	0,18933	453,4856	-79,21529	6,21684
843	915	916	No	0,18928	453,67318	-79,23342	6,199
844	916	917	No	0,18925	453,86103	-79,24828	6,18137
845	917	918	No	0,18924	454,0491	-79,25987	6,16393
846	918	919	No	0,18924	454,23735	-79,2682	6,14666
848	920	921	No	0,18928	454,61424	-79,27504	6,11261
849	921	922	No	0,18933	454,80278	-79,27355	6,09579
850	922	923	No	0,18939	454,99134	-79,26878	6,07909
851	923	924	No	0,18947	455,17986	-79,26073	6,0625
852	924	925	No	0,18956	455,3683	-79,2494	6,04599
853	925	926	No	0,18967	455,55663	-79,23477	6,02957
854	926	927	No	0,18973	455,74476	-79,21687	6,01321
855	927	928	No	0,18967	455,93256	-79,19569	5,99691
857	929	930	No	0,18957	456,30676	-79,14355	5,96451
858	930	931	No	0,18954	456,49307	-79,11261	5,94837
859	931	932	No	0,18953	456,6788	-79,07844	5,93227
860	932	933	No	0,18954	456,8639	-79,04104	5,91619
861	933	934	No	0,18956	457,04834	-79,00042	5,90011
862	934	935	No	0,18959	457,23206	-78,95659	5,88403
863	935	936	No	0,18964	457,41504	-78,90956	5,86794
864	936	937	No	0,1897	457,59722	-78,85933	5,85183
865	937	938	No	0,18972	457,77854	-78,80593	5,83568
867	939	940	No	0,18955	458,13809	-78,68974	5,80328
868	940	941	No	0,18949	458,31618	-78,62702	5,78701
869	941	942	No	0,18944	458,49309	-78,56122	5,77068
870	942	943	No	0,1894	458,66878	-78,49237	5,75427
871	943	944	No	0,18938	458,84321	-78,4205	5,73777
872	944	945	No	0,18938	459,01635	-78,34561	5,72116
873	945	946	No	0,18939	459,18816	-78,26772	5,70445
874	946	947	No	0,18941	459,35859	-78,18685	5,6876
876	948	949	No	0,18951	459,69518	-78,01626	5,65349



877	949	950	No	0,18958	459,86126	-77,92657	5,63619
878	950	951	No	0,18967	460,0258	-77,83397	5,61871
879	951	952	No	0,18973	460,18876	-77,73849	5,60105
880	952	953	No	0,1897	460,35003	-77,64018	5,58319
881	953	954	No	0,18969	460,50953	-77,53911	5,56512
882	954	955	No	0,18968	460,66722	-77,4353	5,54682
883	955	956	No	0,1897	460,82307	-77,32877	5,52827
884	956	70	No	0,18974	460,97703	-77,21954	5,50947
885	70	957	No	0,08225	461,08626	-77,13934	5,5
886	957	958	No	0,08226	461,15168	-77,08948	5,5
887	958	959	No	0,08225	461,21699	-77,03947	5,5
888	959	960	No	0,08223	461,28212	-76,98926	5,5
889	960	961	No	0,08222	461,347	-76,93875	5,5
890	961	962	No	0,0822	461,41157	-76,88787	5,5
891	962	963	No	0,08218	461,47575	-76,83652	5,5
892	963	964	No	0,08217	461,53946	-76,78462	5,5
893	964	965	No	0,08217	461,60265	-76,7321	5,5
894	965	966	No	0,08217	461,66528	-76,6789	5,5
895	966	967	No	0,08218	461,72738	-76,62508	5,5
896	967	968	No	0,0822	461,78901	-76,57071	5,5
897	968	969	No	0,08222	461,85026	-76,51587	5,5
898	969	970	No	0,08223	461,91119	-76,46066	5,5
899	970	971	No	0,08225	461,97187	-76,40515	5,5
900	971	972	No	0,08226	462,03238	-76,34943	5,5
901	972	72	No	0,08227	462,09278	-76,29358	5,5
902	72	973	No	0,19091	462,19102	-76,19938	5,49052
903	973	974	No	0,19081	462,32594	-76,06571	5,47169
904	974	975	No	0,19071	462,45845	-75,92976	5,45313
905	975	976	No	0,19064	462,58851	-75,79154	5,43482
906	976	977	No	0,19058	462,71611	-75,65111	5,41675
907	977	978	No	0,19053	462,84121	-75,5085	5,3989
908	978	979	No	0,1905	462,96379	-75,36373	5,38126
909	979	980	No	0,19049	463,08381	-75,21685	5,36381
910	980	981	No	0,19049	463,20125	-75,06788	5,34654
912	982	983	No	0,19054	463,42829	-74,76383	5,31249
913	983	984	No	0,19058	463,53783	-74,60882	5,29567
914	984	985	No	0,19065	463,64467	-74,45186	5,27898
915	985	986	No	0,19073	463,74879	-74,29298	5,26239
916	986	987	No	0,19082	463,85017	-74,13222	5,2459

917	987	988	No	0,19093	463,94877	-73,96962	5,22948
918	988	989	No	0,19098	464,04455	-73,80524	5,21313
919	989	990	No	0,19091	464,13744	-73,63921	5,19684
921	991	992	No	0,19082	464,31432	-73,30253	5,16446
922	992	993	No	0,19079	464,39829	-73,13196	5,14834
923	993	994	No	0,19079	464,47926	-72,95996	5,13225
924	994	995	No	0,19079	464,55719	-72,78657	5,11618
925	995	996	No	0,19081	464,63208	-72,61182	5,10012
926	996	997	No	0,19085	464,70391	-72,43576	5,08405
927	997	998	No	0,19091	464,77266	-72,25843	5,06798
928	998	999	No	0,19097	464,83831	-72,07986	5,05187
929	999	1000	No	0,19096	464,90083	-71,90015	5,03574
931	1001	1002	No	0,19079	465,0163	-71,53776	5,00337
932	1002	1003	No	0,19073	465,06923	-71,35522	4,98711
933	1003	1004	No	0,19069	465,11893	-71,17183	4,97078
934	1004	1005	No	0,19066	465,16541	-70,98765	4,95438
935	1005	1006	No	0,19064	465,20864	-70,8027	4,93788
936	1006	1007	No	0,19065	465,24863	-70,61705	4,92129
937	1007	1008	No	0,19066	465,28536	-70,43072	4,90457
938	1008	1009	No	0,1907	465,31883	-70,24376	4,88773
940	1010	1011	No	0,19081	465,37594	-69,86814	4,85361
941	1011	1012	No	0,19089	465,39956	-69,67956	4,8363
942	1012	1013	No	0,19098	465,41988	-69,49052	4,81882
943	1013	1014	No	0,19097	465,43689	-69,30114	4,80115
944	1014	1015	No	0,19094	465,45057	-69,11152	4,78328
945	1015	1016	No	0,19092	465,46093	-68,92174	4,76519
946	1016	1017	No	0,19093	465,46796	-68,73183	4,74688
947	1017	1018	No	0,19094	465,47166	-68,54185	4,72831
948	1018	74	No	0,191	465,47203	-68,35182	4,70948
949	61	62	No	1,5	441,89904	-74,03319	7,1
951	1019	75	No	0,31518	467,97168	-68,37502	4,71271
952	1020	1019	No	0,31494	467,96917	-68,68904	4,7379
953	1021	1020	No	0,31476	467,95929	-69,00274	4,76261
954	1022	1021	No	0,31463	467,94204	-69,316	4,78689
955	1023	1022	No	0,31454	467,91744	-69,62869	4,81077
956	1024	1023	No	0,3145	467,8855	-69,94068	4,83429
957	136	1024	No	0,31491	467,84621	-70,25203	4,85749
958	1025	136	No	0,31413	467,79965	-70,56223	4,88039
959	1026	1025	No	0,31464	467,74583	-70,87112	4,90302



960	1027	1026	No	0,31478	467,6847	-71,179	4,92543
961	1028	1027	No	0,31496	467,61631	-71,48552	4,94767
962	1029	1028	No	0,31519	467,54067	-71,79056	4,96975
963	1030	1029	No	0,31524	467,45782	-72,09389	4,9917
964	138	1030	No	0,31451	467,36796	-72,39485	5,01351
965	1031	138	No	0,31551	467,27099	-72,69375	5,03524
966	1032	1031	No	0,31486	467,16697	-72,99046	5,0569
967	1033	1032	No	0,31482	467,0561	-73,28431	5,07849
968	1034	1033	No	0,31482	466,93835	-73,57546	5,10006
969	1035	1034	No	0,31488	466,81378	-73,86379	5,12163
970	1036	1035	No	0,31497	466,68242	-74,14917	5,14323
971	141	1036	No	0,3136	466,54467	-74,43081	5,16483
972	1038	141	No	0,31679	466,39991	-74,70993	5,18657
973	1039	1038	No	0,3151	466,24828	-74,98622	5,20845
974	1040	1039	No	0,31486	466,09066	-75,25801	5,23037
975	1041	1040	No	0,31465	465,9268	-75,52582	5,25242
976	1042	1041	No	0,3145	465,75679	-75,78954	5,27462
977	1043	1042	No	0,31439	465,58072	-76,04908	5,29702
978	143	1043	No	0,31316	465,399	-76,30385	5,3196
979	1045	143	No	0,31547	465,21103	-76,5547	5,34249
980	1046	1045	No	0,31433	465,0169	-76,80153	5,36571
981	1047	1046	No	0,3144	464,81735	-77,04328	5,38923
982	1048	1047	No	0,31452	464,61215	-77,28033	5,41311
983	1049	1048	No	0,31468	464,40136	-77,51258	5,43739
984	1050	1049	No	0,31489	464,18506	-77,73991	5,4621
985	73	1050	No	0,31514	463,96334	-77,96223	5,48729
986	1051	73	No	0,10123	463,814	-78,10651	5,5
987	1052	1051	No	0,10121	463,73968	-78,17523	5,5
988	1053	1052	No	0,1012	463,66523	-78,24379	5,5
989	1054	1053	No	0,10118	463,59057	-78,31209	5,5
990	1055	1054	No	0,10116	463,5156	-78,38002	5,5
991	1056	1055	No	0,10114	463,44024	-78,44749	5,5
992	1057	1056	No	0,10112	463,3644	-78,51439	5,5
993	1058	1057	No	0,10111	463,28799	-78,58062	5,5
994	1059	1058	No	0,1011	463,21094	-78,64607	5,5
995	1060	1059	No	0,10111	463,13319	-78,7107	5,5
996	1061	1060	No	0,10112	463,05479	-78,77455	5,5
997	1062	1061	No	0,10114	462,97582	-78,83773	5,5
998	1063	1062	No	0,10116	462,89638	-78,90034	5,5

999	1064	1063	No	0,10118	462,81655	-78,96249	5,5
1000	1065	1064	No	0,1012	462,73641	-79,02427	5,5
1001	1066	1065	No	0,10121	462,65605	-79,08579	5,5
1002	71	1066	No	0,10121	462,57556	-79,14715	5,5
1003	1067	71	No	0,3131	462,40856	-79,26881	5,5127
1004	1068	1067	No	0,31287	462,15306	-79,44779	5,53785
1005	1069	1068	No	0,3127	461,89358	-79,62065	5,56253
1006	1070	1069	No	0,31257	461,63024	-79,78735	5,58679
1007	1071	1070	No	0,31249	461,36314	-79,94781	5,61066
1008	1072	1071	No	0,31245	461,09239	-80,10198	5,63417
1009	144	1072	No	0,31273	460,81799	-80,24986	5,65737
1010	1073	144	No	0,31224	460,54029	-80,39125	5,68027
1011	1074	1073	No	0,31261	460,2594	-80,52611	5,7029
1012	1075	1074	No	0,31275	459,9752	-80,65448	5,72533
1013	1076	1075	No	0,31294	459,6879	-80,77624	5,74758
1014	1077	1076	No	0,31316	459,39764	-80,89133	5,76968
1015	1078	1077	No	0,3131	459,10468	-80,99963	5,79164
1016	146	1078	No	0,3121	458,80976	-81,10089	5,81346
1017	1079	146	No	0,31367	458,51228	-81,1953	5,83519
1018	1080	1079	No	0,31275	458,21236	-81,28285	5,85688
1019	1081	1080	No	0,31272	457,91093	-81,36322	5,87849
1020	1082	1081	No	0,31273	457,60771	-81,43652	5,90007
1021	1083	1082	No	0,31279	457,30283	-81,50273	5,92166
1022	1084	1083	No	0,31289	456,9964	-81,56181	5,94328
1023	148	1084	No	0,31136	456,68938	-81,61359	5,96489
1024	1086	148	No	0,31486	456,38027	-81,65831	5,98664
1025	1087	1086	No	0,31299	456,06939	-81,69592	6,00854
1026	1088	1087	No	0,31275	455,75878	-81,72611	6,03047
1027	1089	1088	No	0,31255	455,44777	-81,74902	6,05253
1028	1090	1089	No	0,3124	455,1365	-81,76465	6,07474
1029	1091	1090	No	0,3123	454,82508	-81,77301	6,09714
1030	150	1091	No	0,31103	454,51426	-81,7741	6,11973
1031	1093	150	No	0,31343	454,20295	-81,76793	6,14261
1032	1094	1093	No	0,31225	453,89129	-81,75449	6,16584
1033	1095	1094	No	0,31232	453,5806	-81,73381	6,18934
1034	1096	1095	No	0,31244	453,27041	-81,70587	6,21321
1035	1097	1096	No	0,3126	452,96085	-81,6707	6,23747
1036	1098	1097	No	0,31281	452,65204	-81,62829	6,26215
1037	66	1098	No	0,31306	452,34412	-81,57863	6,2873



1038	1099	66	No	0,0971	452,1428	-81,54241	6,3
1039	1100	1099	No	0,0971	452,04763	-81,52317	6,3
1040	1101	1100	No	0,09709	451,9525	-81,50374	6,3
1041	1102	1101	No	0,09707	451,85744	-81,48401	6,3
1042	1103	1102	No	0,09706	451,76249	-81,46386	6,3
1043	1104	1103	No	0,09704	451,66768	-81,44316	6,3
1044	1105	1104	No	0,09702	451,57304	-81,4218	6,3
1045	1106	1105	No	0,09701	451,47859	-81,39965	6,3
1047	1108	1107	No	0,09701	451,29038	-81,35259	6,3
1048	1109	1108	No	0,09702	451,19662	-81,32768	6,3
1049	1110	1109	No	0,09704	451,10306	-81,30198	6,3
1050	1111	1110	No	0,09706	451,00966	-81,27562	6,3
1051	1112	1111	No	0,09707	450,9164	-81,24871	6,3
1052	1113	1112	No	0,09709	450,82325	-81,22138	6,3
1053	1114	1113	No	0,0971	450,73017	-81,19375	6,3
1054	65	1114	No	0,09711	450,63714	-81,16593	6,3
1057	1116	1115	No	2,5	445,36953	-76,22217	6,84706
1058	1117	1118	No	2,5	444,35406	-75,01294	6,97353
1059	1115	1119	No	0,26727	446,41376	-75,51898	6,8344
1060	1119	1120	No	0,26706	446,59013	-75,7181	6,80962
1061	1120	1121	No	0,26689	446,77121	-75,91271	6,78516
1062	1121	1122	No	0,26677	446,95693	-76,10275	6,76098
1063	1122	1123	No	0,26669	447,14718	-76,28812	6,73704
1065	1124	1125	No	0,26665	447,54095	-76,64456	6,68976
1066	1125	1126	No	0,26669	447,74429	-76,81547	6,66636
1067	1126	1127	No	0,26678	447,95181	-76,98139	6,64306
1068	1127	1128	No	0,26691	448,16342	-77,14225	6,61984
1069	1128	1129	No	0,26708	448,37904	-77,29797	6,59666
1071	1130	1131	No	0,26729	448,82182	-77,59358	6,5503
1072	1131	1132	No	0,2671	449,04847	-77,73313	6,5271
1073	1132	1133	No	0,26695	449,27832	-77,86698	6,50386
1074	1133	1134	No	0,26684	449,51127	-77,9951	6,48055
1075	1134	1135	No	0,26678	449,7472	-78,11743	6,45713
1077	1136	1137	No	0,26678	450,22758	-78,34452	6,40984
1078	1137	1138	No	0,26684	450,47181	-78,44918	6,3859
1079	1138	1139	No	0,26694	450,71859	-78,54784	6,36171
1080	1139	1140	No	0,26709	450,96781	-78,64047	6,33725
1081	1140	64	No	0,26728	451,21935	-78,727	6,31247
1082	1141	65	No	0,32863	450,43505	-81,10059	6,31248

1083	1142	1141	No	0,32842	450,12531	-80,99403	6,33728
1084	1143	1142	No	0,32825	449,81843	-80,87996	6,36176
1085	1144	1143	No	0,32813	449,51455	-80,75844	6,38597
1086	1145	1144	No	0,32807	449,21381	-80,62954	6,40993
1088	1147	1146	No	0,32809	448,62229	-80,34983	6,45727
1089	1148	1147	No	0,32818	448,33176	-80,19915	6,48071
1090	1149	1148	No	0,32832	448,04492	-80,04133	6,50404
1091	1150	1149	No	0,32851	447,76188	-79,87643	6,52731
1092	1151	1150	No	0,32871	447,48281	-79,70454	6,55053
1094	1153	1152	No	0,32826	446,93793	-79,34059	6,59691
1095	1154	1153	No	0,32806	446,67263	-79,14889	6,62009
1096	1155	1154	No	0,32792	446,41224	-78,95085	6,64332
1097	1156	1155	No	0,32783	446,15687	-78,74658	6,66662
1098	1157	1156	No	0,32778	445,90665	-78,53615	6,69004
1100	1159	1158	No	0,32785	445,42205	-78,09726	6,73734
1101	1160	1159	No	0,32796	445,1879	-77,86898	6,76129
1102	1161	1160	No	0,32813	444,95933	-77,63496	6,78549
1103	1162	1161	No	0,32834	444,73645	-77,39528	6,80997
1104	1116	1162	No	0,32861	444,51937	-77,15004	6,83476
1105	1163	1164	No	2,49986	449,38444	-79,33207	6,43952
1106	1165	1166	No	2,49981	447,90415	-78,48771	6,57353
1107	1167	1168	No	2,49986	446,55688	-77,44411	6,70753
1108	24	23	No	0,75	471,83206	-62,76295	10,1
1111	701	699	No	1,97909	477,15479	-62,7601	10,1
1112	699	697	No	1,97909	479,13388	-62,75965	10,1
1113	697	695	No	1,97909	481,11297	-62,75876	10,1
1114	695	693	No	1,97909	483,09206	-62,75786	10,1
1115	693	691	No	1,97909	485,07115	-62,75697	10,1
1116	691	689	No	1,97909	487,05025	-62,75607	10,1
1117	689	687	No	1,97909	489,02934	-62,75518	10,1
1118	687	705	No	1,97909	491,00843	-62,75428	10,1
1119	705	685	No	1,97909	492,98752	-62,75339	10,1
1120	685	683	No	1,97909	494,96661	-62,7525	10,1
1121	683	681	No	1,97909	496,9457	-62,7516	10,1
1122	681	679	No	1,97909	498,92479	-62,75071	10,1
1123	679	35	No	1,97909	500,90388	-62,74981	10,1
1124	25	21	No	0,75	471,83319	-65,26295	10,1
1128	15	700	No	1,97909	475,17683	-65,26077	10,1
1129	21	15	No	1,97909	473,19774	-65,26211	10,1



1130	23	82	No	1,97909	473,19661	-62,76211	10,1
1131	82	701	No	1,97909	475,1757	-62,76077	10,1
1132	15	82	No	2,5	474,18672	-64,01144	10,1
1134	35	709	No	0,73655	502,26171	-62,7492	10,1
1136	33	36	No	0,75	502,26956	-65,2492	10,1
1137	37	810	No	1,99563	503,63807	-62,74858	10,02043
1138	810	808	No	2,00908	505,63404	-62,74767	9,86075
1139	808	806	No	2,00908	507,63673	-62,74677	9,70054
1140	806	804	No	2,00908	509,63941	-62,74586	9,54032
1141	804	127	No	2,00908	511,64209	-62,74496	9,38011
1142	36	809	No	2,00639	503,64456	-65,24857	10,02
1143	809	807	No	2,00639	505,64456	-65,24767	9,86
1144	807	805	No	2,00639	507,64456	-65,24677	9,7
1145	805	803	No	2,00639	509,64456	-65,24586	9,54
1146	803	128	No	2,00526	511,64399	-65,24496	9,38
1147	733	133	No	0,16216	515,8148	-62,44158	9,13396
1148	133	734	No	0,07933	515,93025	-62,40787	9,1232
1149	779	134	No	0,13855	516,53968	-64,83478	9,13149
1150	134	780	No	0,07117	516,64004	-64,80525	9,1244
1151	741	131	No	0,0806	517,54923	-61,70854	8,96682
1152	131	742	No	0,16118	517,65303	-61,64753	8,95605
1153	791	132	No	0,06735	518,81048	-63,8674	8,96551
1154	132	792	No	0,14195	518,90058	-63,81464	8,95844
1201	30	1195	No	2,10071	420,92223	-65,28596	7,01786
1202	1195	1196	No	2,10071	423,01855	-65,28501	7,15357
1203	1196	1197	No	2,10071	425,11488	-65,28406	7,28929
1204	1197	1198	No	2,10071	427,2112	-65,28311	7,425
1206	1198	1199	No	2,10071	429,30752	-65,28216	7,56071
1207	85	86	No	2,5	375,78273	-75,70034	3,69
1208	1199	1200	No	2,10071	431,40385	-65,28121	7,69643
1209	1200	14	No	2,10071	433,50017	-65,28026	7,83214
1210	31	1201	No	2,10071	420,9211	-62,78596	7,01786
1211	1201	1202	No	2,10071	423,01742	-62,78501	7,15357
1212	1202	1203	No	2,10071	425,11375	-62,78406	7,28929
1213	1203	1204	No	2,10071	427,21007	-62,78312	7,425
1214	1204	1205	No	2,10071	429,30639	-62,78217	7,56071
1215	1205	1206	No	2,10071	431,40272	-62,78122	7,69643
1216	1206	19	No	2,10071	433,49904	-62,78027	7,83214
1217	1200	1206	No	2,49998	432,45144	-64,03074	7,76429

1218	1199	1205	No	2,49999	430,35512	-64,03169	7,62857
1219	1198	1204	No	2,49999	428,2588	-64,03264	7,49286
1220	1197	1203	No	2,49999	426,16247	-64,03359	7,35714
1221	6	622	No	1,96523	391,81065	-65,29912	5,34917
1222	622	620	No	1,96523	393,77231	-65,29823	5,4675
1223	620	618	No	1,96523	395,73398	-65,29734	5,58583
1224	618	616	No	1,96523	397,69565	-65,29646	5,70417
1225	616	614	No	1,96523	399,65731	-65,29557	5,8225
1226	614	10	No	1,96523	401,61898	-65,29468	5,94083
1227	5	623	No	1,96523	391,80952	-62,79912	5,34917
1228	623	621	No	1,96523	393,77118	-62,79823	5,4675
1229	621	619	No	1,96523	395,73285	-62,79734	5,58583
1230	619	617	No	1,96523	397,69452	-62,79646	5,70417
1231	617	615	No	1,96523	399,65618	-62,79557	5,8225
1232	615	9	No	1,96523	401,61785	-62,79468	5,94083
1233	811	814	No	2,18598	386,05869	-62,80172	5,04771
1234	814	7	No	2,18598	388,23868	-62,80073	5,20924
1235	812	813	No	2,186	386,06275	-65,30171	5,01052
1236	813	8	No	2,186	388,24079	-65,30073	5,19684
1237	837	886	No	0,06157	382,83151	-63,01902	4,81315
1238	886	838	No	0,1207	382,92067	-63,00133	4,81973
1239	871	885	No	0,05009	383,33291	-65,46818	4,78031
1240	885	872	No	0,08976	383,40125	-65,45462	4,78619
1241	825	884	No	0,12275	380,78128	-63,65804	4,6537
1242	884	826	No	0,05934	380,8649	-63,6227	4,66062
1243	859	883	No	0,09554	381,76112	-65,95793	4,63717
1244	883	860	No	0,04408	381,82517	-65,93086	4,64339
1245	366	53	No	0,03806	379,84114	-67,10706	4,49
1246	53	367	No	0,03806	379,87087	-67,08331	4,49
1247	605	55	No	0,04966	378,27639	-65,15732	4,49
1248	55	606	No	0,04966	378,31519	-65,12633	4,49
1249	349	115	No	0,10763	378,21062	-68,86582	4,3099
1250	115	350	No	0,07635	378,26276	-68,79052	4,31839
1251	586	114	No	0,03647	376,17732	-67,4101	4,3137
1252	114	587	No	0,1548	376,2322	-67,33208	4,32051
1253	340	113	No	0,03387	377,40457	-70,34813	4,16137
1254	113	341	No	0,15073	377,44073	-70,26356	4,16919
1255	574	112	No	0,07517	375,09093	-69,40116	4,16034
1256	112	575	No	0,11625	375,12801	-69,31315	4,16655



1257	330	111	No	0,14614	376,90259	-72,05583	4,01102
1258	111	331	No	0,03838	376,91902	-71,96538	4,01883
1259	562	110	No	0,11488	374,44844	-71,57738	4,01349
1260	110	563	No	0,07664	374,46596	-71,48344	4,01971
1261	321	109	No	0,07167	376,77723	-73,738	3,86159
1262	109	322	No	0,11286	376,77522	-73,64615	3,87013
1263	550	108	No	0,15301	374,27923	-73,83886	3,85951
1264	108	551	No	0,03855	374,27639	-73,74337	3,86634
1265	285	107	No	0,02822	378,22803	-78,16444	3,5137
1266	107	286	No	0,11859	378,18691	-78,10402	3,5205
1267	512	106	No	0,03687	376,17195	-79,58653	3,51365
1268	106	513	No	0,15436	376,11828	-79,50769	3,52045
1269	273	105	No	0,05894	379,363	-79,48206	3,3603
1270	105	274	No	0,08809	379,30985	-79,43165	3,36653
1271	500	104	No	0,07653	377,65264	-81,30534	3,36029
1272	104	501	No	0,11495	377,58332	-81,2396	3,36651
1273	261	102	No	0,09037	380,75107	-80,53117	3,21337
1274	102	262	No	0,05672	380,68838	-80,49322	3,2196
1275	488	103	No	0,11706	379,46313	-82,67379	3,21342
1276	103	489	No	0,07453	379,38137	-82,62427	3,21964
1277	249	101	No	0,11875	382,32721	-81,26312	3,05959
1278	101	250	No	0,02783	382,25819	-81,23946	3,0664
1279	476	100	No	0,15359	381,51917	-83,62884	3,05965
1280	100	477	No	0,03738	381,42908	-83,59793	3,06646
1281	230	59	No	0,03808	384,61135	-81,69382	2,89
1282	59	231	No	0,03803	384,57334	-81,69205	2,89
1283	457	57	No	0,04966	384,50093	-84,19171	2,89
1284	57	458	No	0,04966	384,45133	-84,1894	2,89
1285	213	99	No	0,10745	386,99376	-81,449	2,70996
1286	99	214	No	0,07618	386,90505	-81,47112	2,71845
1287	438	98	No	0,03637	387,56044	-83,88463	2,71376
1288	98	439	No	0,15453	387,46789	-83,90698	2,72057
1289	97	204	No	0,03383	388,5748	-80,86889	2,56139
1290	97	205	No	0,15042	388,49196	-80,90845	2,56922
1291	426	96	No	0,075	389,6869	-83,10785	2,56036
1292	96	427	No	0,11606	389,60109	-83,14938	2,56658
1293	194	95	No	0,14592	390,07681	-79,92003	2,41099
1294	95	195	No	0,03827	390,00485	-79,97697	2,4188
1295	414	94	No	0,11463	391,60306	-81,90052	2,41346

1296	94	415	No	0,07655	391,52798	-81,95935	2,41968
1297	185	93	No	0,07148	391,28015	-78,74254	2,26154
1298	93	186	No	0,11267	391,22108	-78,81266	2,27007
1299	402	92	No	0,15257	393,22135	-80,31797	2,25945
1300	403	92	No	0,03863	393,16048	-80,39136	2,26628
1301	51	153	No	2,00639	396,50546	-67,85418	1,37
1302	153	154	No	2,00639	395,68501	-69,67815	1,53
1303	154	156	No	2,00639	394,86456	-71,50212	1,69
1304	156	158	No	2,00639	394,04411	-73,32609	1,85
1305	158	49	No	2,00639	393,22366	-75,15006	2,01
1306	50	152	No	2,00639	398,78541	-68,87974	1,37
1307	152	155	No	2,00639	397,96496	-70,70371	1,53
1308	155	157	No	2,00639	397,14451	-72,52768	1,69
1309	157	159	No	2,00639	396,32406	-74,35165	1,85
1310	159	48	No	2,00639	395,50361	-76,17562	2,01
1311	1196	1202	No	2,49999	424,06615	-64,03454	7,22143
1312	1195	1201	No	2,5	421,96983	-64,03548	7,08571
1313	12	1207	No	2,04369	405,1194	-65,2931	6,06786
1314	1207	1208	No	2,04369	407,15858	-65,29218	6,20357
1315	1208	1209	No	2,04369	409,19776	-65,29126	6,33929
1316	1209	1210	No	2,04369	411,23694	-65,29034	6,475
1317	1210	1211	No	2,04369	413,27612	-65,28942	6,61071
1318	1211	1212	No	2,04369	415,3153	-65,28849	6,74643
1319	1212	28	No	2,04369	417,35448	-65,28757	6,88214
1320	11	1213	No	2,04369	405,11827	-62,7931	6,06786
1321	1213	1214	No	2,04369	407,15745	-62,79218	6,20357
1322	63	1118	No	1,58413	444,80357	-73,60445	7,03672
1323	1118	1115	No	1,58411	445,81903	-74,81369	6,91015
1324	1117	1116	No	1,58411	443,90456	-76,42142	6,91043
1325	62	1117	No	1,58413	442,88909	-75,21217	7,03681
1326	1123	1168	No	0,20017	447,31734	-76,44653	6,71626
1327	1168	1124	No	0,06648	447,41579	-76,53565	6,70444
1328	1167	1157	No	0,08159	445,75267	-78,4021	6,70472
1329	1158	1167	No	0,24621	445,63151	-78,29237	6,71654
1330	1129	1166	No	0,13425	448,54345	-77,41166	6,57925
1331	1166	1130	No	0,13305	448,65419	-77,48559	6,56766
1332	1165	1151	No	0,16283	447,27676	-79,57174	6,56788
1333	1152	1165	No	0,16567	447,14051	-79,48073	6,57947
1334	1135	1164	No	0,06684	449,896	-78,19137	6,44243



1335	1164	1136	No	0,19991	450,0161	-78,24815	6,43061
1336	1163	1145	No	0,2456	448,95352	-80,51089	6,43072
1337	1146	1163	No	0,08246	448,80562	-80,44096	6,44255
1338	902	77	No	0,03941	451,97166	-78,94656	6,3
1339	77	903	No	0,03942	452,0099	-78,95612	6,3
1340	69	1106	No	0,04851	451,40787	-81,38254	6,3
1341	1107	69	No	0,0485	451,36082	-81,37077	6,3
1342	919	151	No	0,07705	454,36989	-79,27224	6,13461
1343	151	920	No	0,1122	454,46411	-79,27395	6,12609
1344	928	149	No	0,15316	456,10193	-79,17375	5,98224
1345	149	929	No	0,03645	456,19548	-79,16071	5,97414
1346	938	147	No	0,03861	457,88728	-78,77252	5,82595
1347	147	939	No	0,15102	457,97717	-78,74347	5,81785
1348	947	145	No	0,115	459,49454	-78,11979	5,67397
1349	145	948	No	0,07446	459,57869	-78,07714	5,66545
1350	981	142	No	0,07761	463,28245	-74,96191	5,33449
1351	142	982	No	0,11289	463,33922	-74,8859	5,32597
1352	990	140	No	0,15423	464,21888	-73,48778	5,18218
1353	140	991	No	0,03662	464,2631	-73,40361	5,17408
1354	1000	139	No	0,03895	464,93719	-71,79153	5,02601
1355	139	1001	No	0,15192	464,96606	-71,70093	5,01792
1356	1009	137	No	0,11583	465,34342	-70,09311	4,87409
1357	137	1010	No	0,07492	465,3577	-69,9992	4,86557
1358	75	74	No	2,5	466,72124	-68,23737	4,7
1359	1214	1215	No	2,04369	409,19663	-62,79126	6,33929
1360	1215	1216	No	2,04369	411,23581	-62,79034	6,475
1361	1216	1217	No	2,04369	413,27499	-62,78942	6,61071
1362	1217	1218	No	2,04369	415,31417	-62,78849	6,74643
1363	1218	29	No	2,04369	417,35335	-62,78757	6,88214
1364	1212	1218	No	2,5	416,33433	-64,03803	6,81429
1365	1211	1217	No	2,5	414,29515	-64,03895	6,67857
1366	1210	1216	No	2,5	412,25597	-64,03988	6,54286
1367	1209	1215	No	2,5	410,21679	-64,0408	6,40714
1368	1208	1214	No	2,5	408,17761	-64,04172	6,27143
1369	1207	1213	No	2,5	406,13843	-64,04264	6,13571
1372	14.1	1220	No	2,091	435,21902	-66,07845	7,77676
1374	1220	16.1	No	2,50429	436,85068	-66,07772	7,77676
1375	16.1	1221	No	1,72314	438,3636	-65,93559	7,775
1376	1221	1222	No	1,72314	439,46751	-67,25016	7,625

1377	1222	1223	No	1,72314	440,57143	-68,56472	7,475
1378	1223	1224	No	1,72314	441,67534	-69,87929	7,325
1379	1224	60	No	1,72314	442,77926	-71,19385	7,175
1380	1220	1225	No	1,72315	436,44241	-67,5353	7,64317
1381	1225	1226	No	1,72315	437,54782	-68,85164	7,52247
1382	1226	1227	No	1,72315	438,65322	-70,16799	7,40176
1383	1227	1228	No	1,72315	439,75862	-71,48433	7,28106
1384	1228	61	No	1,72315	440,86403	-72,80067	7,16035
1385	1228	1224	No	2,50017	441,26931	-71,33954	7,23535
1386	1227	1223	No	2,50068	440,16465	-70,02408	7,37071
1387	1226	1222	No	2,50154	439,05999	-68,70863	7,50606
1388	1225	1221	No	2,50275	437,95533	-67,39317	7,64141
1389	27	1229	No	1,7678	456,46675	-62,7699	9,06111
1390	1229	1230	No	1,7678	458,23031	-62,7691	9,18333
1391	1230	1231	No	1,7678	459,99388	-62,7683	9,30556
1392	1231	1232	No	1,7678	461,75745	-62,7675	9,42778
1393	1232	1233	No	1,7678	463,52101	-62,76671	9,55
1394	1233	1234	No	1,7678	465,28458	-62,76591	9,67222
1395	1234	1235	No	1,7678	467,04815	-62,76511	9,79444
1396	1235	1236	No	1,7678	468,81171	-62,76432	9,91667
1397	1236	24	No	1,7678	470,57528	-62,76352	10,03889
1398	26	1237	No	1,7678	456,46788	-65,2699	9,06111
1399	1237	1238	No	1,7678	458,23144	-65,2691	9,18333
1400	1238	1239	No	1,7678	459,99501	-65,2683	9,30556
1401	1239	1240	No	1,7678	461,75858	-65,2675	9,42778
1402	1240	1241	No	1,7678	463,52214	-65,26671	9,55
1403	1241	1242	No	1,7678	465,28571	-65,26591	9,67222
1404	1242	1243	No	1,7678	467,04927	-65,26511	9,79444
1405	1243	1244	No	1,7678	468,81284	-65,26432	9,91667
1406	1244	25	No	1,7678	470,57641	-65,26352	10,03889
1407	16	1245	No	1,8124	438,71578	-65,2779	7,96111
1408	1245	1246	No	1,8124	440,52405	-65,27709	8,08333
1409	1246	1247	No	1,8124	442,33232	-65,27627	8,20556
1410	1247	1248	No	1,8124	444,14059	-65,27546	8,32778
1411	1248	1249	No	1,8124	445,94887	-65,27464	8,45
1412	1249	1250	No	1,8124	447,75714	-65,27383	8,57222
1413	1250	1251	No	1,8124	449,56541	-65,27301	8,69444
1414	1251	1252	No	1,8124	451,37368	-65,27219	8,81667
1415	1252	80	No	1,8124	453,18196	-65,27138	8,93889



1416	87	1253	No	1,81252	438,71471	-62,7779	7,96111
1417	1253	1254	No	1,81252	440,52311	-62,77709	8,08333
1418	1254	1255	No	1,81252	442,33151	-62,77627	8,20556
1419	1255	1256	No	1,81252	444,1399	-62,77546	8,32778
1420	1256	1257	No	1,81252	445,9483	-62,77464	8,45
1421	1257	1258	No	1,81252	447,7567	-62,77383	8,57222
1422	1258	1259	No	1,81252	449,5651	-62,77301	8,69444
1423	1259	1260	No	1,81252	451,3735	-62,77219	8,81667
1424	1260	81	No	1,81252	453,18189	-62,77138	8,93889
1425	1244	1236	No	2,5	469,69406	-64,01392	9,97778
1426	1243	1235	No	2,5	467,93049	-64,01471	9,85556
1427	1242	1234	No	2,5	466,16693	-64,01551	9,73333
1428	1241	1233	No	2,5	464,40336	-64,01631	9,61111
1429	1240	1232	No	2,5	462,63979	-64,01711	9,48889
1430	1239	1231	No	2,5	460,87623	-64,0179	9,36667
1431	1238	1230	No	2,5	459,11266	-64,0187	9,24444
1432	1237	1229	No	2,5	457,34909	-64,0195	9,12222
1433	1252	1260	No	2,5	452,27776	-64,02179	8,87778
1434	1251	1259	No	2,5	450,46942	-64,0226	8,75556
1435	1250	1258	No	2,5	448,66109	-64,02342	8,63333
1436	1249	1257	No	2,5	446,85275	-64,02423	8,51111
1437	1248	1256	No	2,5	445,04442	-64,02505	8,38889
1438	1247	1255	No	2,5	443,23608	-64,02586	8,26667
1439	1246	1254	No	2,5	441,42775	-64,02668	8,14444
1440	1245	1253	No	2,5	439,61941	-64,02749	8,02222
1456	812	811	No	2,50049	384,97121	-64,05221	4,94215
1458	883	884	No	2,49998	381,3213	-64,78681	4,64989
1460	885	886	No	2,50015	383,10951	-64,23818	4,79889
1555	688	689	No	2,5	488,04036	-64,00563	10,1

MATERIALES

TABLE: Material Properties 02 - Basic Mechanical Properties						
Material	UnitWeight	UnitMass	E1	G12	U12	A1
Text	KN/m3	KN-s2/m4	KN/m2	KN/m2	Unitless	1/C
Acero	78,5	8,0048	210000000	80769230,77	0,3	0,000012

TABLE: Material Properties 03a - Steel Data						
Material	Fy	Fu	EffFy	EffFu	SSCurveOpt	SSHysType
Text	KN/m2	KN/m2	KN/m2	KN/m2	Text	Text
Acero	275000	430000	302500	473000	Simple	Kinematic

SECCIONES

TABLE: Frame Section Properties 01 - General																				
SectionName	Material	Shape	t3	t2	tf	tw	Area	TorsConst	I33	I22	AS2	AS3	S33	S22	Z33	Z22	R33	R22	TotalWt	TotalMass
Text	Text	Text	m	m	m	m	m2	m4	m4	m4	m2	m2	m3	m3	m3	m3	m	m	KN	KN-s2/m
Barras transversales-1	Acero	Box/Tube	0,14	0,14	0,01	0,01	0,0052	0,000022	0,000015	0,000015	0,0028	0,0028	0,00021	0,00021	0,000254	0,000254	0,053223	0,053223	107,157	10,93
Barras transversales-2	Acero	Box/Tube	0,14	0,14	0,0125	0,0125	0,006375	0,000026	0,000017	0,000017	0,0035	0,0035	0,000249	0,000249	0,000306	0,000306	0,052304	0,052304	31,279	3,19
Barras longitudinales	Acero	Box/Tube	0,14	0,14	0,0142	0,0142	0,007145	0,000028	0,000019	0,000019	0,003976	0,003976	0,000273	0,000273	0,000339	0,000339	0,051689	0,051689	1,814	0,18
Pilas-1	Acero	Box/Tube	0,24	0,24	0,016	0,016	0,01434	0,00018	0,000121	0,000121	0,00768	0,00768	0,001004	0,001004	0,001206	0,001206	0,091668	0,091668	19,114	1,95
Dintel	Acero	Box/Tube	0,28	0,28	0,025	0,025	0,0255	0,000415	0,000279	0,000279	0,014	0,014	0,001993	0,001993	0,002446	0,002446	0,1046	0,1046	13,065	1,33
Pilas-2	Acero	Box/Tube	0,4	0,28	0,016	0,016	0,02074	0,000508	0,000463	0,000264	0,0128	0,00896	0,002317	0,001886	0,002804	0,002182	0,149477	0,112823	35,167	3,59
Pilas-3	Acero	Box/Tube	0,4	0,28	0,025	0,025	0,0315	0,000726	0,000672	0,000377	0,02	0,014	0,003358	0,002692	0,004156	0,003211	0,146016	0,109385	124,083	12,65
Vigas longitudinales	Acero	Box/Tube	1,12	0,25	0,02	0,01	0,0316	0,001143	0,005125	0,000363	0,0224	0,01	0,009152	0,002906	0,011332	0,003217	0,402714	0,107224	1135,336	115,77



APÉNDICE II: CASOS DE CARGA



INTRODUCCIÓN

En el presente apéndice se exponen los casos de carga básicos a partir de los cuales se generan las distintas combinaciones de acciones con las que se estudian los ELU y los ELS.

Para la elección y definición de estos casos de carga se ha seguido la Instrucción sobre las Acciones a considerar en el Proyecto de Puentes de carretera (IAP-11), cuyos criterios y pautas seguidas se pueden ver en el presente anejo de cálculo estructural.

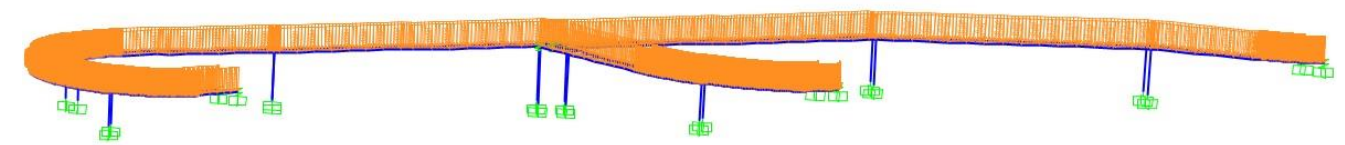
LOAD PATTERNS

TABLE: Load Pattern Definitions		
LoadPat	DesignType	SelfWtMult
Text	Text	Unitless
PPestructura	DEAD	1
PPforjado	DEAD	0
CM	DEAD	0
VT-sinSC(S-N)	WIND	0
VT-sinSC(N-S)	WIND	0
VT-conSC(N-S)	WIND	0
VT-conSC(S-N)	WIND	0
VL-sinSC(E-O)	WIND	0
VL-sinSC(O-E)	WIND	0
VL-conSC(O-E)	WIND	0
VL-conSC(E-O)	WIND	0
TU-DIL	TEMPERATURE	0
TU-CON	TEMPERATURE	0
SC_1	DEAD	0
SC_2	DEAD	0
SC_3	DEAD	0
SC_4	DEAD	0
SC_5	DEAD	0
SC_6	DEAD	0
SC_7	DEAD	0
GV-POS	TEMPERATURE	0
VPIL(N-S)	WIND	0
VPIL(S-N)	WIND	0
VPIL(E-O)	WIND	0
VPIL(O-E)	WIND	0
GV-NEG	TEMPERATURE	0

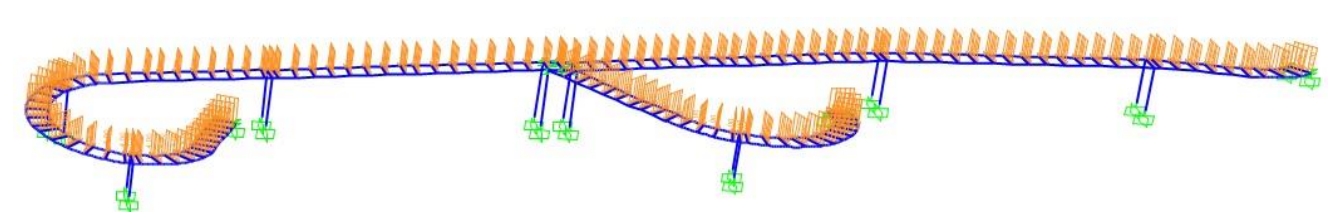
LOAD CASES

TABLE: Load Case Definitions		
Case	Type	InitialCond
Text	Text	Text
SC_1	LinStatic	Zero
SC_2	LinStatic	Zero
SC_3	LinStatic	Zero
SC_4	LinStatic	Zero
SC_5	LinStatic	Zero
SC_6	LinStatic	Zero
SC_7	LinStatic	Zero
GV-POS	LinStatic	Zero
GV-NEG	LinStatic	Zero
VT(N-S)	LinStatic	Zero
VT(S-N)	LinStatic	Zero
VT-SC(N-S)	LinStatic	Zero
VT-SC(S-N)	LinStatic	Zero
VL(E-O)	LinStatic	Zero
VL(O-E)	LinStatic	Zero
VL-SC(E-O)	LinStatic	Zero
VL-SC(O-E)	LinStatic	Zero
CP	LinStatic	Zero
TU-CON	LinStatic	Zero
TU-DIL	LinStatic	Zero
CM	LinStatic	Zero
PPestructura	LinStatic	Zero
PPforjado	LinStatic	Zero
VIBRACIONES	LinModal	Zero

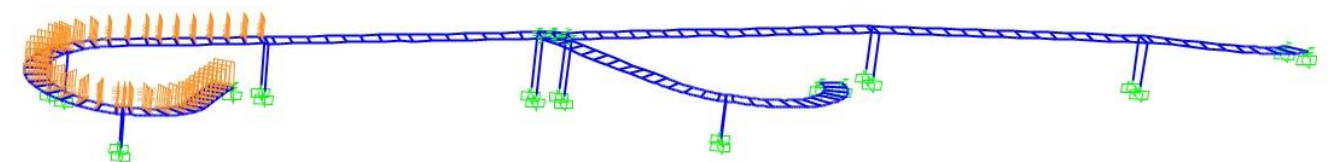
IMÁGENES DE DIFERENTES CASOS DE CARGA



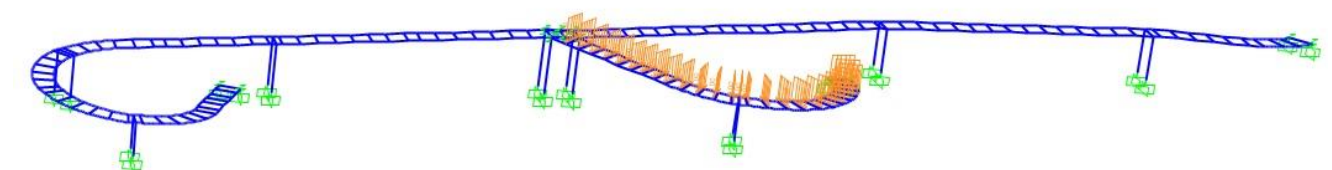
Cargas muertas (CM).



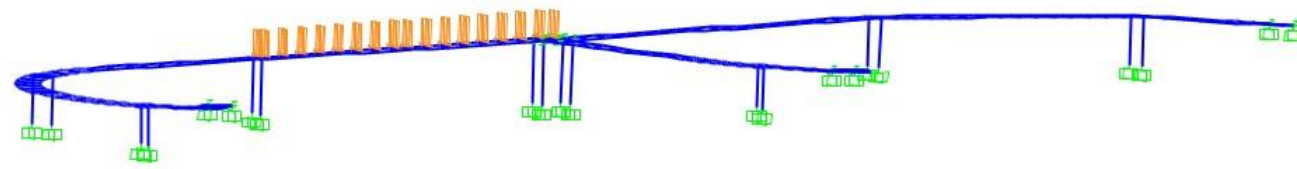
Sobrecarga en toda la estructura (SC_1).



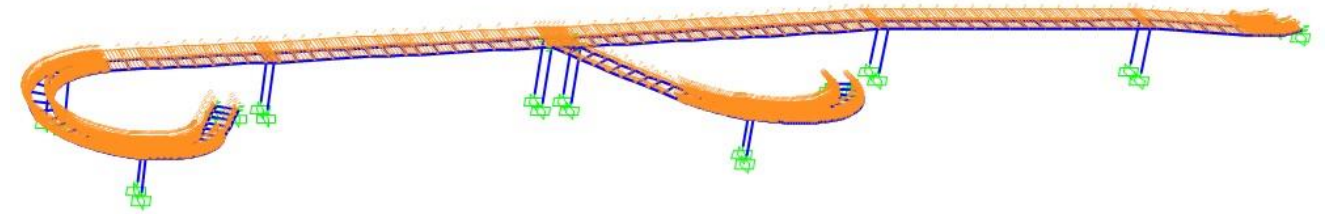
Sobrecarga rampa1 (SC_2).



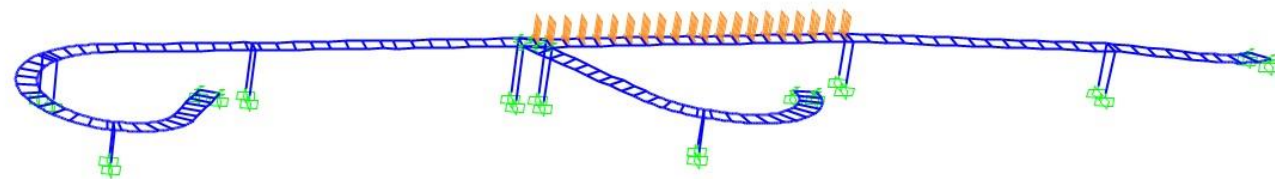
Sobrecarga rampa2 (SC_3).



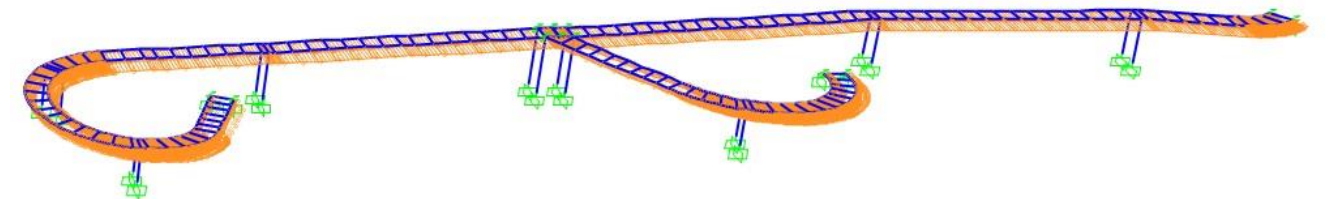
Sobrecarga vano1 (SC_4).



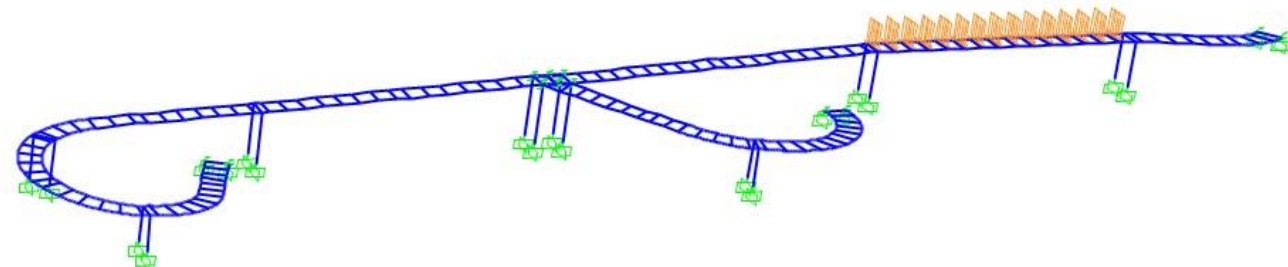
Viento N-S sin sobrecarga (VT(N-S)).



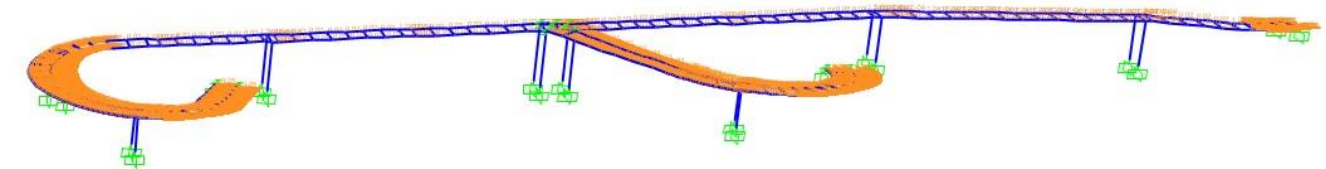
Sobrecarga vano2 (SC_5).



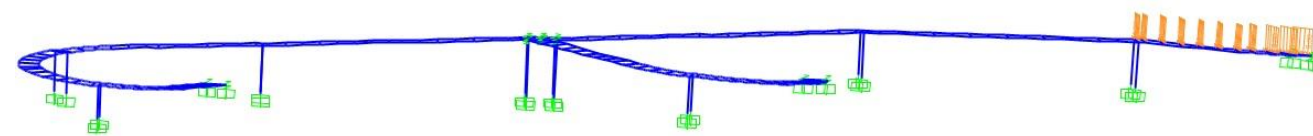
Viento S-N con sobrecarga (VT-SC(S-N)).



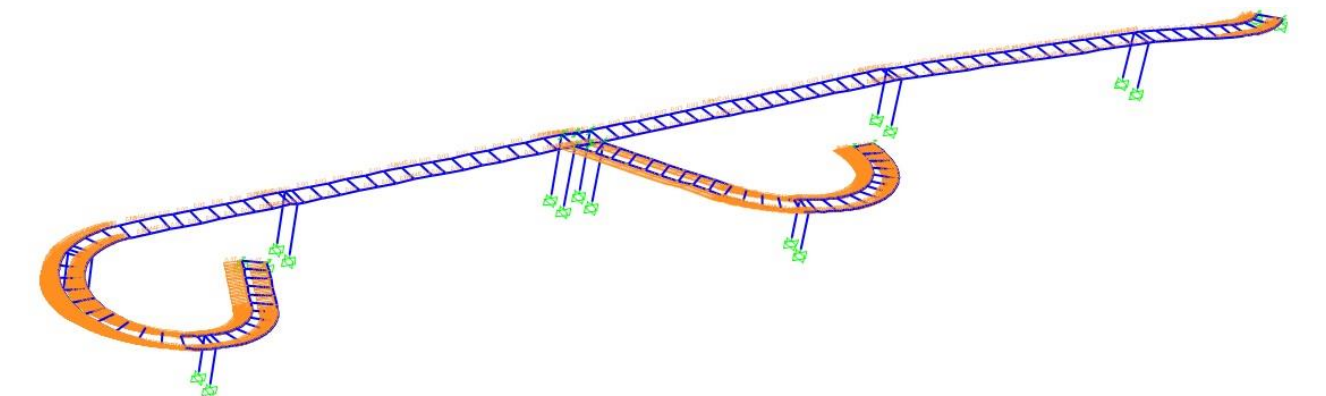
Sobrecarga vano3 (SC_6).



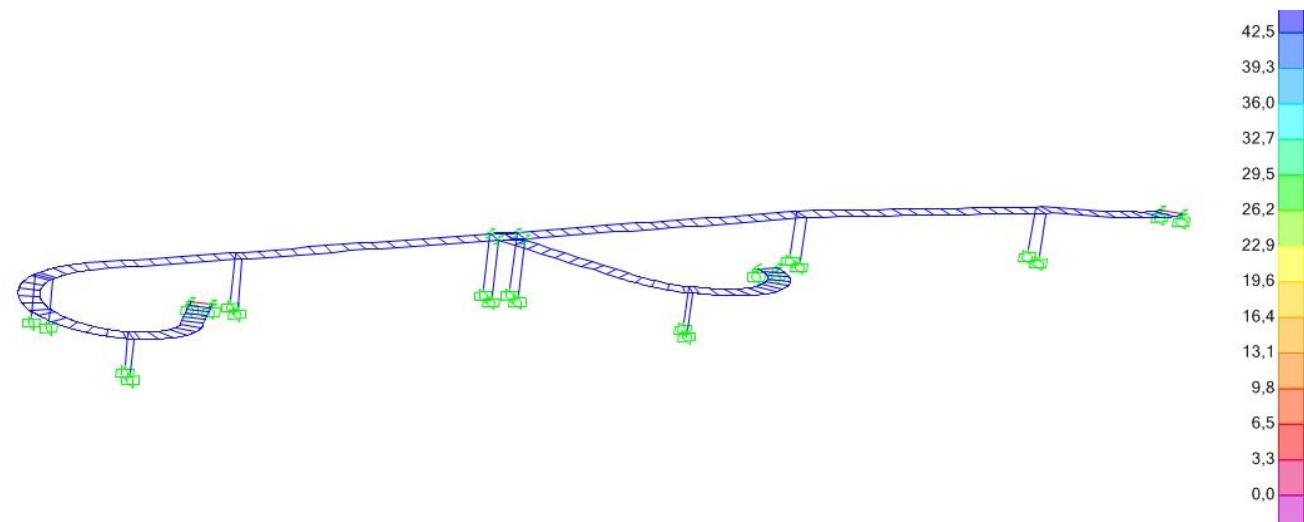
Viento E-O sin sobrecarga (VL(E-O)).



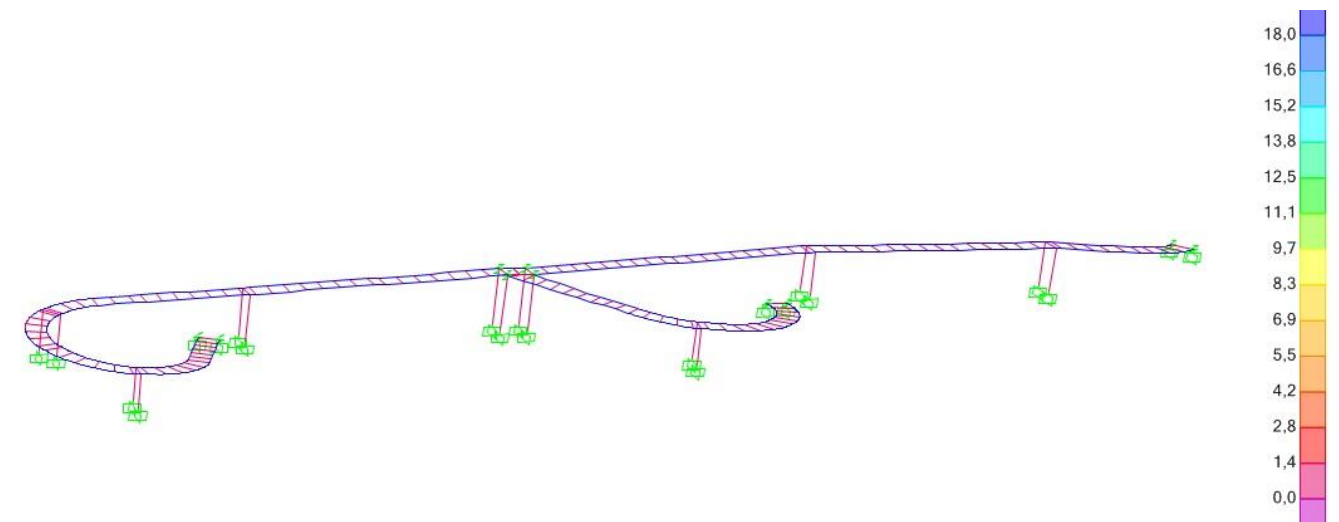
Sobrecarga rampa3 (SC_7).



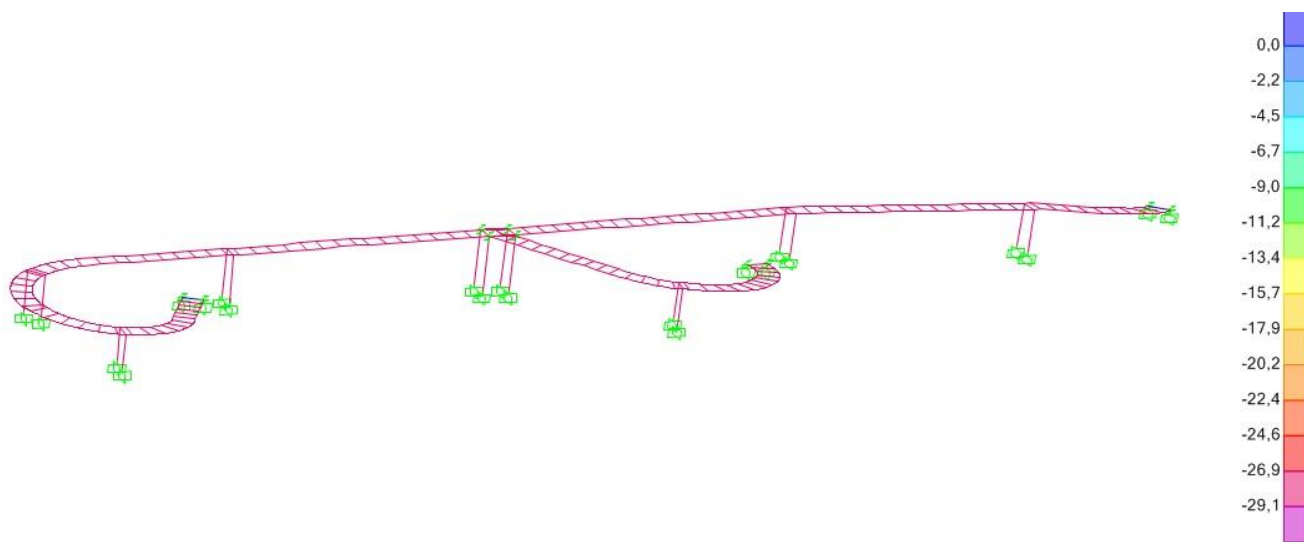
Viento O-E con sobrecarga (VL-SC(O-E)).



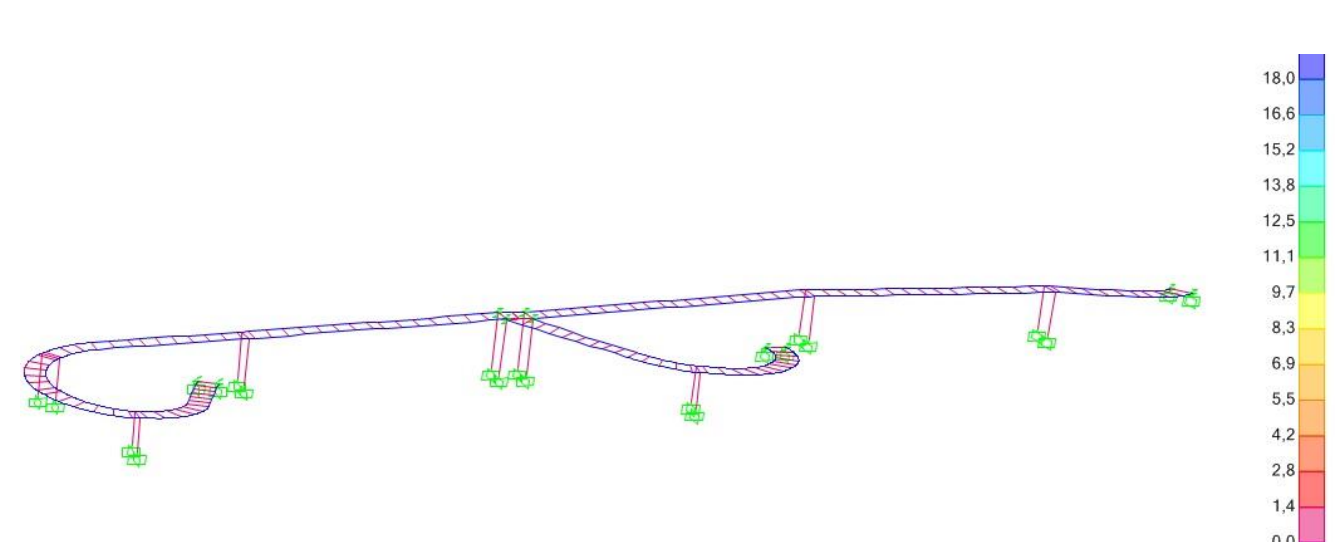
Temperatura uniforme de dilatación (TU-DIL).



Gradiente térmico vertical positivo (GV-POS).



Temperatura uniforme de contracción (TU-CON).



Gradiente térmico vertical negativo (GV-NEG).



CARGAS DISTRIBUIDAS

TABLE: Frame Loads - Distributed								
Frame	LoadPat	CoordSys	Type	Dir	AbsDistA	AbsDistB	FOverLA	FOverLB
Text	Text	Text	Text	Text	m	m	KN/m	KN/m
3	PPforjado	GLOBAL	Force	Gravity	0	2,5	4	4
3	SC_2	GLOBAL	Force	Gravity	0	2,5	9	9
4	PPforjado	GLOBAL	Force	Gravity	0	2,5	4	4
4	SC_2	GLOBAL	Force	Gravity	0	2,5	9	9
5	PPforjado	GLOBAL	Force	Gravity	0	2,5	4	4
5	SC_2	GLOBAL	Force	Gravity	0	2,5	9	9
6	PPforjado	GLOBAL	Force	Gravity	0	2,5	4	4
6	SC_4	GLOBAL	Force	Gravity	0	2,5	9	9
7	PPforjado	GLOBAL	Force	Gravity	0	2,5	4	4
7	SC_2	GLOBAL	Force	Gravity	0	2,5	9	9
10	PPforjado	GLOBAL	Force	Gravity	0	2,5	4	4
10	SC_4	GLOBAL	Force	Gravity	0	2,5	9	9
13	PPforjado	GLOBAL	Force	Gravity	0	2,5	4	4
13	SC_5	GLOBAL	Force	Gravity	0	2,5	9	9
14	PPforjado	GLOBAL	Force	Gravity	0	2,5	4	4
14	SC_2	GLOBAL	Force	Gravity	0	2,5	9	9
16	PPforjado	GLOBAL	Force	Gravity	0	2,5	4	4
16	SC_2	GLOBAL	Force	Gravity	0	2,5	9	9
19	PPforjado	GLOBAL	Force	Gravity	0	2,5	4	4
19	SC_7	GLOBAL	Force	Gravity	0	2,5	9	9
20	PPforjado	GLOBAL	Force	Gravity	0	2,5	4	4
20	SC_2	GLOBAL	Force	Gravity	0	2,5	9	9
21	PPforjado	GLOBAL	Force	Gravity	0	2,5	4	4
21	SC_2	GLOBAL	Force	Gravity	0	2,5	9	9
23	PPforjado	GLOBAL	Force	Gravity	0	2,5	4	4
23	SC_2	GLOBAL	Force	Gravity	0	2,5	9	9
24	PPforjado	GLOBAL	Force	Gravity	0	2,5	4	4
24	SC_2	GLOBAL	Force	Gravity	0	2,5	9	9
25	PPforjado	GLOBAL	Force	Gravity	0	2,5	4	4
25	SC_2	GLOBAL	Force	Gravity	0	2,5	9	9
26	PPforjado	GLOBAL	Force	Gravity	0	2,5	4	4
26	SC_2	GLOBAL	Force	Gravity	0	2,5	9	9
31	PPforjado	GLOBAL	Force	Gravity	0	2,5	4	4
31	SC_3	GLOBAL	Force	Gravity	0	2,5	8	8

32	PPforjado	GLOBAL	Force	Gravity	0	2,5	4	4
32	SC_3	GLOBAL	Force	Gravity	0	2,5	8	8
33	PPforjado	GLOBAL	Force	Gravity	0	2,5	4	4
33	SC_3	GLOBAL	Force	Gravity	0	2,5	8	8
34	PPforjado	GLOBAL	Force	Gravity	0	2,5	4	4
34	SC_3	GLOBAL	Force	Gravity	0	2,5	8	8
36	PPforjado	GLOBAL	Force	Gravity	0	2,5	4	4
36	SC_3	GLOBAL	Force	Gravity	0	2,5	8	8
37	PPforjado	GLOBAL	Force	Gravity	0	2,5	4	4
37	SC_3	GLOBAL	Force	Gravity	0	2,5	8	8
38	PPforjado	GLOBAL	Force	Gravity	0	2,5	4	4
38	SC_2	GLOBAL	Force	Gravity	0	2,5	9	9
40	PPforjado	GLOBAL	Force	Gravity	0	2,5	4	4
40	SC_7	GLOBAL	Force	Gravity	0	2,5	9	9
42	PPforjado	GLOBAL	Force	Gravity	0	2,5	4	4
42	SC_2	GLOBAL	Force	Gravity	0	2,5	9	9
44	PPforjado	GLOBAL	Force	Gravity	0	2,5	4	4
44	SC_2	GLOBAL	Force	Gravity	0	2,5	9	9
45	PPforjado	GLOBAL	Force	Gravity	0	2,5	4	4
45	SC_7	GLOBAL	Force	Gravity	0	2,5	9	9
46	PPforjado	GLOBAL	Force	Gravity	0	2,5	4	4
46	SC_6	GLOBAL	Force	Gravity	0	2,5	9	9
47	PPforjado	GLOBAL	Force	Gravity	0	2,5	4	4
47	SC_5	GLOBAL	Force	Gravity	0	2,5	9	9
48	PPforjado	GLOBAL	Force	Gravity	0	2,5	4	4
48	SC_4	GLOBAL	Force	Gravity	0	2,5	9	9
49	PPforjado	GLOBAL	Force	Gravity	0	2,5	4	4
49	SC_2	GLOBAL	Force	Gravity	0	2,5	9	9
50	PPforjado	GLOBAL	Force	Gravity	0	2,5	4	4
50	SC_2	GLOBAL	Force	Gravity	0	2,5	9	9
51	VT-sinSC(N-S)	GLOBAL	Force	Y Proj	0	1,97909	-1,6	-1,6
51	VT-sinSC(S-N)	GLOBAL	Force	Y Proj	0	1,97909	1,6	1,6
51	VT-conSC(N-S)	GLOBAL	Force	Y Proj	0	1,97909	-2,38	-2,38
51	VT-conSC(S-N)	GLOBAL	Force	Y Proj	0	1,97909	2,38	2,38
51	VL-sinSC(O-E)	GLOBAL	Force	X Proj	0	1,97909	0,28	0,28
51	VL-sinSC(E-O)	GLOBAL	Force	X Proj	0	1,97909	-0,28	-0,28
51	VL-conSC(O-E)	GLOBAL	Force	X Proj	0	1,97909	0,41	0,41
51	VL-conSC(E-O)	GLOBAL	Force	X Proj	0	1,97909	-0,41	-0,41
51	CM	GLOBAL	Force	Gravity	0	1,97909	0,04	0,04



53	VT-sinSC(N-S)	GLOBAL	Force	Y Proj	0	1,97909	-1,6	-1,6
53	VT-sinSC(S-N)	GLOBAL	Force	Y Proj	0	1,97909	1,6	1,6
53	VT-conSC(N-S)	GLOBAL	Force	Y Proj	0	1,97909	-2,38	-2,38
53	VT-conSC(S-N)	GLOBAL	Force	Y Proj	0	1,97909	2,38	2,38
53	VL-sinSC(O-E)	GLOBAL	Force	X Proj	0	1,97909	0,28	0,28
53	VL-sinSC(E-O)	GLOBAL	Force	X Proj	0	1,97909	-0,28	-0,28
53	VL-conSC(O-E)	GLOBAL	Force	X Proj	0	1,97909	0,41	0,41
53	VL-conSC(E-O)	GLOBAL	Force	X Proj	0	1,97909	-0,41	-0,41
53	CM	GLOBAL	Force	Gravity	0	1,97909	0,04	0,04
55	PPforjado	GLOBAL	Force	Gravity	0	2,5	4	4
55	SC_2	GLOBAL	Force	Gravity	0	2,5	9	9
56	PPforjado	GLOBAL	Force	Gravity	0	2,5	4	4
56	SC_2	GLOBAL	Force	Gravity	0	2,5	9	9
57	PPforjado	GLOBAL	Force	Gravity	0	2,5	4	4
57	SC_2	GLOBAL	Force	Gravity	0	2,5	9	9
58	PPforjado	GLOBAL	Force	Gravity	0	2,5	4	4
58	SC_2	GLOBAL	Force	Gravity	0	2,5	9	9
63	PPforjado	GLOBAL	Force	Gravity	0	2,5	4	4
63	SC_2	GLOBAL	Force	Gravity	0	2,5	9	9
64	PPforjado	GLOBAL	Force	Gravity	0	2,5	4	4
64	SC_2	GLOBAL	Force	Gravity	0	2,5	9	9
65	PPforjado	GLOBAL	Force	Gravity	0	2,5	4	4
65	SC_2	GLOBAL	Force	Gravity	0	2,5	9	9
66	PPforjado	GLOBAL	Force	Gravity	0	2,5	4	4
66	SC_2	GLOBAL	Force	Gravity	0	2,5	9	9
67	VT-sinSC(N-S)	GLOBAL	Force	Y Proj	0	1,97909	-1,6	-1,6
67	VT-sinSC(S-N)	GLOBAL	Force	Y Proj	0	1,97909	1,6	1,6
67	VT-conSC(N-S)	GLOBAL	Force	Y Proj	0	1,97909	-2,38	-2,38
67	VT-conSC(S-N)	GLOBAL	Force	Y Proj	0	1,97909	2,38	2,38
67	VL-sinSC(O-E)	GLOBAL	Force	X Proj	0	1,97909	0,28	0,28
67	VL-sinSC(E-O)	GLOBAL	Force	X Proj	0	1,97909	-0,28	-0,28
67	VL-conSC(O-E)	GLOBAL	Force	X Proj	0	1,97909	0,41	0,41
67	VL-conSC(E-O)	GLOBAL	Force	X Proj	0	1,97909	-0,41	-0,41
67	CM	GLOBAL	Force	Gravity	0	1,97909	0,04	0,04
68	VT-sinSC(N-S)	GLOBAL	Force	Y Proj	0	1,97909	-1,6	-1,6
68	VT-sinSC(S-N)	GLOBAL	Force	Y Proj	0	1,97909	1,6	1,6
68	VT-conSC(N-S)	GLOBAL	Force	Y Proj	0	1,97909	-2,38	-2,38
68	VT-conSC(S-N)	GLOBAL	Force	Y Proj	0	1,97909	2,38	2,38
68	VL-sinSC(O-E)	GLOBAL	Force	X Proj	0	1,97909	0,28	0,28

68	VL-sinSC(E-O)	GLOBAL	Force	X Proj	0	1,97909	-0,28	-0,28
68	VL-conSC(O-E)	GLOBAL	Force	X Proj	0	1,97909	0,41	0,41
68	VL-conSC(E-O)	GLOBAL	Force	X Proj	0	1,97909	-0,41	-0,41
68	CM	GLOBAL	Force	Gravity	0	1,97909	0,04	0,04
69	VT-sinSC(N-S)	GLOBAL	Force	Y Proj	0	1,97909	-1,6	-1,6
69	VT-sinSC(S-N)	GLOBAL	Force	Y Proj	0	1,97909	1,6	1,6
69	VT-conSC(N-S)	GLOBAL	Force	Y Proj	0	1,97909	-2,38	-2,38
69	VT-conSC(S-N)	GLOBAL	Force	Y Proj	0	1,97909	2,38	2,38
69	VL-sinSC(O-E)	GLOBAL	Force	X Proj	0	1,97909	0,28	0,28
69	VL-sinSC(E-O)	GLOBAL	Force	X Proj	0	1,97909	-0,28	-0,28
69	VL-conSC(O-E)	GLOBAL	Force	X Proj	0	1,97909	0,41	0,41
69	VL-conSC(E-O)	GLOBAL	Force	X Proj	0	1,97909	-0,41	-0,41
69	CM	GLOBAL	Force	Gravity	0	1,97909	0,04	0,04
70	VT-sinSC(N-S)	GLOBAL	Force	Y Proj	0	1,97909	-1,6	-1,6
70	VT-sinSC(S-N)	GLOBAL	Force	Y Proj	0	1,97909	1,6	1,6
70	VT-conSC(N-S)	GLOBAL	Force	Y Proj	0	1,97909	-2,38	-2,38
70	VT-conSC(S-N)	GLOBAL	Force	Y Proj	0	1,97909	2,38	2,38
70	VL-sinSC(O-E)	GLOBAL	Force	X Proj	0	1,97909	0,28	0,28
70	VL-sinSC(E-O)	GLOBAL	Force	X Proj	0	1,97909	-0,28	-0,28
70	VL-conSC(O-E)	GLOBAL	Force	X Proj	0	1,97909	0,41	0,41
70	VL-conSC(E-O)	GLOBAL	Force	X Proj	0	1,97909	-0,41	-0,41
70	CM	GLOBAL	Force	Gravity	0	1,97909	0,04	0,04
71	VT-sinSC(N-S)	GLOBAL	Force	Y Proj	0	1,97909	-1,6	-1,6
71	VT-sinSC(S-N)	GLOBAL	Force	Y Proj	0	1,97909	1,6	1,6
71	VT-conSC(N-S)	GLOBAL	Force	Y Proj	0	1,97909	-2,38	-2,38
71	VT-conSC(S-N)	GLOBAL	Force	Y Proj	0	1,97909	2,38	2,38
71	VL-sinSC(O-E)	GLOBAL	Force	X Proj	0	1,97909	0,28	0,28
71	VL-sinSC(E-O)	GLOBAL	Force	X Proj	0	1,97909	-0,28	-0,28
71	VL-conSC(O-E)	GLOBAL	Force	X Proj	0	1,97909	0,41	0,41
71	VL-conSC(E-O)	GLOBAL	Force	X Proj	0	1,97909	-0,41	-0,41
71	CM	GLOBAL	Force	Gravity	0	1,97909	0,04	0,04
72	VT-sinSC(N-S)	GLOBAL	Force	Y Proj	0	1,97909	-1,6	-1,6
72	VT-sinSC(S-N)	GLOBAL	Force	Y Proj	0	1,97909	1,6	1,6
72	VT-conSC(N-S)	GLOBAL	Force	Y Proj	0	1,97909	-2,38	-2,38
72	VT-conSC(S-N)	GLOBAL	Force	Y Proj	0	1,97909	2,38	2,38
72	VL-sinSC(O-E)	GLOBAL	Force	X Proj	0	1,97909	0,28	0,28
72	VL-sinSC(E-O)	GLOBAL	Force	X Proj	0	1,97909	-0,28	-0,28
72	VL-conSC(O-E)	GLOBAL	Force	X Proj	0	1,97909	0,41	0,41
72	VL-conSC(E-O)	GLOBAL	Force	X Proj	0	1,97909	-0,41	-0,41



72	CM	GLOBAL	Force	Gravity	0	1,97909	0,04	0,04
73	VT-sinSC(N-S)	GLOBAL	Force	Y Proj	0	1,97909	-1,6	-1,6
73	VT-sinSC(S-N)	GLOBAL	Force	Y Proj	0	1,97909	1,6	1,6
73	VT-conSC(N-S)	GLOBAL	Force	Y Proj	0	1,97909	-2,38	-2,38
73	VT-conSC(S-N)	GLOBAL	Force	Y Proj	0	1,97909	2,38	2,38
73	VL-sinSC(O-E)	GLOBAL	Force	X Proj	0	1,97909	0,28	0,28
73	VL-sinSC(E-O)	GLOBAL	Force	X Proj	0	1,97909	-0,28	-0,28
73	VL-conSC(O-E)	GLOBAL	Force	X Proj	0	1,97909	0,41	0,41
73	VL-conSC(E-O)	GLOBAL	Force	X Proj	0	1,97909	-0,41	-0,41
73	CM	GLOBAL	Force	Gravity	0	1,97909	0,04	0,04
74	VT-sinSC(N-S)	GLOBAL	Force	Y Proj	0	1,97909	-1,6	-1,6
74	VT-sinSC(S-N)	GLOBAL	Force	Y Proj	0	1,97909	1,6	1,6
74	VT-conSC(N-S)	GLOBAL	Force	Y Proj	0	1,97909	-2,38	-2,38
74	VT-conSC(S-N)	GLOBAL	Force	Y Proj	0	1,97909	2,38	2,38
74	VL-sinSC(O-E)	GLOBAL	Force	X Proj	0	1,97909	0,28	0,28
74	VL-sinSC(E-O)	GLOBAL	Force	X Proj	0	1,97909	-0,28	-0,28
74	VL-conSC(O-E)	GLOBAL	Force	X Proj	0	1,97909	0,41	0,41
74	VL-conSC(E-O)	GLOBAL	Force	X Proj	0	1,97909	-0,41	-0,41
74	CM	GLOBAL	Force	Gravity	0	1,97909	0,04	0,04
75	VT-sinSC(N-S)	GLOBAL	Force	Y Proj	0	1,97909	-1,6	-1,6
75	VT-sinSC(S-N)	GLOBAL	Force	Y Proj	0	1,97909	1,6	1,6
75	VT-conSC(N-S)	GLOBAL	Force	Y Proj	0	1,97909	-2,38	-2,38
75	VT-conSC(S-N)	GLOBAL	Force	Y Proj	0	1,97909	2,38	2,38
75	VL-sinSC(O-E)	GLOBAL	Force	X Proj	0	1,97909	0,28	0,28
75	VL-sinSC(E-O)	GLOBAL	Force	X Proj	0	1,97909	-0,28	-0,28
75	VL-conSC(O-E)	GLOBAL	Force	X Proj	0	1,97909	0,41	0,41
75	VL-conSC(E-O)	GLOBAL	Force	X Proj	0	1,97909	-0,41	-0,41
75	CM	GLOBAL	Force	Gravity	0	1,97909	0,04	0,04
76	VT-sinSC(N-S)	GLOBAL	Force	Y Proj	0	1,97909	-1,6	-1,6
76	VT-sinSC(S-N)	GLOBAL	Force	Y Proj	0	1,97909	1,6	1,6
76	VT-conSC(N-S)	GLOBAL	Force	Y Proj	0	1,97909	-2,38	-2,38
76	VT-conSC(S-N)	GLOBAL	Force	Y Proj	0	1,97909	2,38	2,38
76	VL-sinSC(O-E)	GLOBAL	Force	X Proj	0	1,97909	0,28	0,28
76	VL-sinSC(E-O)	GLOBAL	Force	X Proj	0	1,97909	-0,28	-0,28
76	VL-conSC(O-E)	GLOBAL	Force	X Proj	0	1,97909	0,41	0,41
76	VL-conSC(E-O)	GLOBAL	Force	X Proj	0	1,97909	-0,41	-0,41
76	CM	GLOBAL	Force	Gravity	0	1,97909	0,04	0,04
77	VT-sinSC(N-S)	GLOBAL	Force	Y Proj	0	1,97909	-1,6	-1,6
77	VT-sinSC(S-N)	GLOBAL	Force	Y Proj	0	1,97909	1,6	1,6

77	VT-conSC(N-S)	GLOBAL	Force	Y Proj	0	1,97909	-2,38	-2,38
77	VT-conSC(S-N)	GLOBAL	Force	Y Proj	0	1,97909	2,38	2,38
77	VL-sinSC(O-E)	GLOBAL	Force	X Proj	0	1,97909	0,28	0,28
77	VL-sinSC(E-O)	GLOBAL	Force	X Proj	0	1,97909	-0,28	-0,28
77	VL-conSC(O-E)	GLOBAL	Force	X Proj	0	1,97909	0,41	0,41
77	VL-conSC(E-O)	GLOBAL	Force	X Proj	0	1,97909	-0,41	-0,41
77	CM	GLOBAL	Force	Gravity	0	1,97909	0,04	0,04
78	PPforjado	GLOBAL	Force	Gravity	0	2,5	4	4
78	SC_7	GLOBAL	Force	Gravity	0	2,5	9	9
79	PPforjado	GLOBAL	Force	Gravity	0	2,5	4	4
79	SC_7	GLOBAL	Force	Gravity	0	2,5	9	9
80	PPforjado	GLOBAL	Force	Gravity	0	2,5	4	4
80	SC_7	GLOBAL	Force	Gravity	0	2,5	9	9
81	PPforjado	GLOBAL	Force	Gravity	0	2,5	4	4
81	SC_7	GLOBAL	Force	Gravity	0	2,5	9	9
83	PPforjado	GLOBAL	Force	Gravity	0	2,5	4	4
83	SC_3	GLOBAL	Force	Gravity	0	2,5	8	8
84	PPforjado	GLOBAL	Force	Gravity	0	2,5	4	4
84	SC_3	GLOBAL	Force	Gravity	0	2,5	8	8
85	PPforjado	GLOBAL	Force	Gravity	0	2,5	4	4
85	SC_3	GLOBAL	Force	Gravity	0	2,5	8	8
86	PPforjado	GLOBAL	Force	Gravity	0	2,5	4	4
86	SC_3	GLOBAL	Force	Gravity	0	2,5	8	8
87	PPforjado	GLOBAL	Force	Gravity	0	2,5	4	4
87	SC_3	GLOBAL	Force	Gravity	0	2,5	8	8
88	PPforjado	GLOBAL	Force	Gravity	0	2,5	4	4
88	SC_3	GLOBAL	Force	Gravity	0	2,5	8	8
89	PPforjado	GLOBAL	Force	Gravity	0	2,5	4	4
89	SC_3	GLOBAL	Force	Gravity	0	2,5	8	8
90	PPforjado	GLOBAL	Force	Gravity	0	2,5	4	4
90	SC_3	GLOBAL	Force	Gravity	0	2,5	8	8
91	PPforjado	GLOBAL	Force	Gravity	0	2,5	4	4
91	SC_3	GLOBAL	Force	Gravity	0	2,5	8	8
94	PPforjado	GLOBAL	Force	Gravity	0	2,5	4	4
94	SC_2	GLOBAL	Force	Gravity	0	2,5	9	9
95	PPforjado	GLOBAL	Force	Gravity	0	2,5	4	4
95	SC_2	GLOBAL	Force	Gravity	0	2,5	9	9
96	PPforjado	GLOBAL	Force	Gravity	0	2,5	4	4
96	SC_2	GLOBAL	Force	Gravity	0	2,5	9	9



97	PPforjado	GLOBAL	Force	Gravity	0	2,5	4	4
97	SC_2	GLOBAL	Force	Gravity	0	2,5	9	9
98	CM	GLOBAL	Force	Gravity	0	0,89946	0,04	0,04
98	VT-sinSC(N-S)	GLOBAL	Force	Y Proj	0	0,89946	-1,6	-1,6
98	VT-sinSC(S-N)	GLOBAL	Force	Y Proj	0	0,89946	1,6	1,6
98	VT-conSC(N-S)	GLOBAL	Force	Y Proj	0	0,89946	-2,38	-2,38
98	VT-conSC(S-N)	GLOBAL	Force	Y Proj	0	0,89946	2,38	2,38
98	VL-sinSC(O-E)	GLOBAL	Force	X Proj	0	0,89946	0,28	0,28
98	VL-sinSC(E-O)	GLOBAL	Force	X Proj	0	0,89946	-0,28	-0,28
98	VL-conSC(O-E)	GLOBAL	Force	X Proj	0	0,89946	0,41	0,41
98	VL-conSC(E-O)	GLOBAL	Force	X Proj	0	0,89946	-0,41	-0,41
99	CM	GLOBAL	Force	Gravity	0	0,03031	0,04	0,04
99	VT-sinSC(N-S)	GLOBAL	Force	Y Proj	0	0,03031	-1,6	-1,6
99	VT-sinSC(S-N)	GLOBAL	Force	Y Proj	0	0,03031	1,6	1,6
99	VT-conSC(N-S)	GLOBAL	Force	Y Proj	0	0,03031	-2,38	-2,38
99	VT-conSC(S-N)	GLOBAL	Force	Y Proj	0	0,03031	2,38	2,38
99	VL-sinSC(O-E)	GLOBAL	Force	X Proj	0	0,03031	0,28	0,28
99	VL-sinSC(E-O)	GLOBAL	Force	X Proj	0	0,03031	-0,28	-0,28
99	VL-conSC(O-E)	GLOBAL	Force	X Proj	0	0,03031	0,41	0,41
99	VL-conSC(E-O)	GLOBAL	Force	X Proj	0	0,03031	-0,41	-0,41
100	CM	GLOBAL	Force	Gravity	0	0,03031	0,04	0,04
100	VT-sinSC(N-S)	GLOBAL	Force	Y Proj	0	0,03031	-1,6	-1,6
100	VT-sinSC(S-N)	GLOBAL	Force	Y Proj	0	0,03031	1,6	1,6
100	VT-conSC(N-S)	GLOBAL	Force	Y Proj	0	0,03031	-2,38	-2,38
100	VT-conSC(S-N)	GLOBAL	Force	Y Proj	0	0,03031	2,38	2,38
100	VL-sinSC(O-E)	GLOBAL	Force	X Proj	0	0,03031	0,28	0,28
100	VL-sinSC(E-O)	GLOBAL	Force	X Proj	0	0,03031	-0,28	-0,28
100	VL-conSC(O-E)	GLOBAL	Force	X Proj	0	0,03031	0,41	0,41
100	VL-conSC(E-O)	GLOBAL	Force	X Proj	0	0,03031	-0,41	-0,41
101	CM	GLOBAL	Force	Gravity	0	0,03031	0,04	0,04
101	VT-sinSC(N-S)	GLOBAL	Force	Y Proj	0	0,03031	-1,6	-1,6
101	VT-sinSC(S-N)	GLOBAL	Force	Y Proj	0	0,03031	1,6	1,6
101	VT-conSC(N-S)	GLOBAL	Force	Y Proj	0	0,03031	-2,38	-2,38
101	VT-conSC(S-N)	GLOBAL	Force	Y Proj	0	0,03031	2,38	2,38
101	VL-sinSC(O-E)	GLOBAL	Force	X Proj	0	0,03031	0,28	0,28
101	VL-sinSC(E-O)	GLOBAL	Force	X Proj	0	0,03031	-0,28	-0,28
101	VL-conSC(O-E)	GLOBAL	Force	X Proj	0	0,03031	0,41	0,41
101	VL-conSC(E-O)	GLOBAL	Force	X Proj	0	0,03031	-0,41	-0,41
102	CM	GLOBAL	Force	Gravity	0	0,0303	0,04	0,04

102	VT-sinSC(N-S)	GLOBAL	Force	Y Proj	0	0,0303	-1,6	-1,6
102	VT-sinSC(S-N)	GLOBAL	Force	Y Proj	0	0,0303	1,6	1,6
102	VT-conSC(N-S)	GLOBAL	Force	Y Proj	0	0,0303	-2,38	-2,38
102	VT-conSC(S-N)	GLOBAL	Force	Y Proj	0	0,0303	2,38	2,38
102	VL-sinSC(O-E)	GLOBAL	Force	X Proj	0	0,0303	0,28	0,28
102	VL-sinSC(E-O)	GLOBAL	Force	X Proj	0	0,0303	-0,28	-0,28
102	VL-conSC(O-E)	GLOBAL	Force	X Proj	0	0,0303	0,41	0,41
102	VL-conSC(E-O)	GLOBAL	Force	X Proj	0	0,0303	-0,41	-0,41
103	CM	GLOBAL	Force	Gravity	0	0,0303	0,04	0,04
103	VT-sinSC(N-S)	GLOBAL	Force	Y Proj	0	0,0303	-1,6	-1,6
103	VT-sinSC(S-N)	GLOBAL	Force	Y Proj	0	0,0303	1,6	1,6
103	VT-conSC(N-S)	GLOBAL	Force	Y Proj	0	0,0303	-2,38	-2,38
103	VT-conSC(S-N)	GLOBAL	Force	Y Proj	0	0,0303	2,38	2,38
103	VL-sinSC(O-E)	GLOBAL	Force	X Proj	0	0,0303	0,28	0,28
103	VL-sinSC(E-O)	GLOBAL	Force	X Proj	0	0,0303	-0,28	-0,28
103	VL-conSC(O-E)	GLOBAL	Force	X Proj	0	0,0303	0,41	0,41
103	VL-conSC(E-O)	GLOBAL	Force	X Proj	0	0,0303	-0,41	-0,41
104	CM	GLOBAL	Force	Gravity	0	0,0303	0,04	0,04
104	VT-sinSC(N-S)	GLOBAL	Force	Y Proj	0	0,0303	-1,6	-1,6
104	VT-sinSC(S-N)	GLOBAL	Force	Y Proj	0	0,0303	1,6	1,6
104	VT-conSC(N-S)	GLOBAL	Force	Y Proj	0	0,0303	-2,38	-2,38
104	VT-conSC(S-N)	GLOBAL	Force	Y Proj	0	0,0303	2,38	2,38
104	VL-sinSC(O-E)	GLOBAL	Force	X Proj	0	0,0303	0,28	0,28
104	VL-sinSC(E-O)	GLOBAL	Force	X Proj	0	0,0303	-0,28	-0,28
104	VL-conSC(O-E)	GLOBAL	Force	X Proj	0	0,0303	0,41	0,41
104	VL-conSC(E-O)	GLOBAL	Force	X Proj	0	0,0303	-0,41	-0,41
105	CM	GLOBAL	Force	Gravity	0	0,0303	0,04	0,04
105	VT-sinSC(N-S)	GLOBAL	Force	Y Proj	0	0,0303	-1,6	-1,6
105	VT-sinSC(S-N)	GLOBAL	Force	Y Proj	0	0,0303	1,6	1,6
105	VT-conSC(N-S)	GLOBAL	Force	Y Proj	0	0,0303	-2,38	-2,38
105	VT-conSC(S-N)	GLOBAL	Force	Y Proj	0	0,0303	2,38	2,38
105	VL-sinSC(O-E)	GLOBAL	Force	X Proj	0	0,0303	0,28	0,28
105	VL-sinSC(E-O)	GLOBAL	Force	X Proj	0	0,0303	-0,28	-0,28
105	VL-conSC(O-E)	GLOBAL	Force	X Proj	0	0,0303	0,41	0,41
105	VL-conSC(E-O)	GLOBAL	Force	X Proj	0	0,0303	-0,41	-0,41
106	CM	GLOBAL	Force	Gravity	0	0,0303	0,04	0,04
106	VT-sinSC(N-S)	GLOBAL	Force	Y Proj	0	0,0303	-1,6	-1,6
106	VT-sinSC(S-N)	GLOBAL	Force	Y Proj	0	0,0303	1,6	1,6
106	VT-conSC(N-S)	GLOBAL	Force	Y Proj	0	0,0303	-2,38	-2,38



106	VT-conSC(S-N)	GLOBAL	Force	Y Proj	0	0,0303	2,38	2,38
106	VL-sinSC(O-E)	GLOBAL	Force	X Proj	0	0,0303	0,28	0,28
106	VL-sinSC(E-O)	GLOBAL	Force	X Proj	0	0,0303	-0,28	-0,28
106	VL-conSC(O-E)	GLOBAL	Force	X Proj	0	0,0303	0,41	0,41
106	VL-conSC(E-O)	GLOBAL	Force	X Proj	0	0,0303	-0,41	-0,41
107	CM	GLOBAL	Force	Gravity	0	0,0303	0,04	0,04
107	VT-sinSC(N-S)	GLOBAL	Force	Y Proj	0	0,0303	-1,6	-1,6
107	VT-sinSC(S-N)	GLOBAL	Force	Y Proj	0	0,0303	1,6	1,6
107	VT-conSC(N-S)	GLOBAL	Force	Y Proj	0	0,0303	-2,38	-2,38
107	VT-conSC(S-N)	GLOBAL	Force	Y Proj	0	0,0303	2,38	2,38
107	VL-sinSC(O-E)	GLOBAL	Force	X Proj	0	0,0303	0,28	0,28
107	VL-sinSC(E-O)	GLOBAL	Force	X Proj	0	0,0303	-0,28	-0,28
107	VL-conSC(O-E)	GLOBAL	Force	X Proj	0	0,0303	0,41	0,41
107	VL-conSC(E-O)	GLOBAL	Force	X Proj	0	0,0303	-0,41	-0,41
108	CM	GLOBAL	Force	Gravity	0	0,0303	0,04	0,04
108	VT-sinSC(N-S)	GLOBAL	Force	Y Proj	0	0,0303	-1,6	-1,6
108	VT-sinSC(S-N)	GLOBAL	Force	Y Proj	0	0,0303	1,6	1,6
108	VT-conSC(N-S)	GLOBAL	Force	Y Proj	0	0,0303	-2,38	-2,38
108	VT-conSC(S-N)	GLOBAL	Force	Y Proj	0	0,0303	2,38	2,38
108	VL-sinSC(O-E)	GLOBAL	Force	X Proj	0	0,0303	0,28	0,28
108	VL-sinSC(E-O)	GLOBAL	Force	X Proj	0	0,0303	-0,28	-0,28
108	VL-conSC(O-E)	GLOBAL	Force	X Proj	0	0,0303	0,41	0,41
108	VL-conSC(E-O)	GLOBAL	Force	X Proj	0	0,0303	-0,41	-0,41
109	CM	GLOBAL	Force	Gravity	0	0,0303	0,04	0,04
109	VT-sinSC(N-S)	GLOBAL	Force	Y Proj	0	0,0303	-1,6	-1,6
109	VT-sinSC(S-N)	GLOBAL	Force	Y Proj	0	0,0303	1,6	1,6
109	VT-conSC(N-S)	GLOBAL	Force	Y Proj	0	0,0303	-2,38	-2,38
109	VT-conSC(S-N)	GLOBAL	Force	Y Proj	0	0,0303	2,38	2,38
109	VL-sinSC(O-E)	GLOBAL	Force	X Proj	0	0,0303	0,28	0,28
109	VL-sinSC(E-O)	GLOBAL	Force	X Proj	0	0,0303	-0,28	-0,28
109	VL-conSC(O-E)	GLOBAL	Force	X Proj	0	0,0303	0,41	0,41
109	VL-conSC(E-O)	GLOBAL	Force	X Proj	0	0,0303	-0,41	-0,41
110	CM	GLOBAL	Force	Gravity	0	0,0303	0,04	0,04
110	VT-sinSC(N-S)	GLOBAL	Force	Y Proj	0	0,0303	-1,6	-1,6
110	VT-sinSC(S-N)	GLOBAL	Force	Y Proj	0	0,0303	1,6	1,6
110	VT-conSC(N-S)	GLOBAL	Force	Y Proj	0	0,0303	-2,38	-2,38
110	VT-conSC(S-N)	GLOBAL	Force	Y Proj	0	0,0303	2,38	2,38
110	VL-sinSC(O-E)	GLOBAL	Force	X Proj	0	0,0303	0,28	0,28
110	VL-sinSC(E-O)	GLOBAL	Force	X Proj	0	0,0303	-0,28	-0,28

110	VL-conSC(O-E)	GLOBAL	Force	X Proj	0	0,0303	0,41	0,41
110	VL-conSC(E-O)	GLOBAL	Force	X Proj	0	0,0303	-0,41	-0,41
111	CM	GLOBAL	Force	Gravity	0	0,0303	0,04	0,04
111	VT-sinSC(N-S)	GLOBAL	Force	Y Proj	0	0,0303	-1,6	-1,6
111	VT-sinSC(S-N)	GLOBAL	Force	Y Proj	0	0,0303	1,6	1,6
111	VT-conSC(N-S)	GLOBAL	Force	Y Proj	0	0,0303	-2,38	-2,38
111	VT-conSC(S-N)	GLOBAL	Force	Y Proj	0	0,0303	2,38	2,38
111	VL-sinSC(O-E)	GLOBAL	Force	X Proj	0	0,0303	0,28	0,28
111	VL-sinSC(E-O)	GLOBAL	Force	X Proj	0	0,0303	-0,28	-0,28
111	VL-conSC(O-E)	GLOBAL	Force	X Proj	0	0,0303	0,41	0,41
111	VL-conSC(E-O)	GLOBAL	Force	X Proj	0	0,0303	-0,41	-0,41
112	CM	GLOBAL	Force	Gravity	0	0,0303	0,04	0,04
112	VT-sinSC(N-S)	GLOBAL	Force	Y Proj	0	0,0303	-1,6	-1,6
112	VT-sinSC(S-N)	GLOBAL	Force	Y Proj	0	0,0303	1,6	1,6
112	VT-conSC(N-S)	GLOBAL	Force	Y Proj	0	0,0303	-2,38	-2,38
112	VT-conSC(S-N)	GLOBAL	Force	Y Proj	0	0,0303	2,38	2,38
112	VL-sinSC(O-E)	GLOBAL	Force	X Proj	0	0,0303	0,28	0,28
112	VL-sinSC(E-O)	GLOBAL	Force	X Proj	0	0,0303	-0,28	-0,28
112	VL-conSC(O-E)	GLOBAL	Force	X Proj	0	0,0303	0,41	0,41
112	VL-conSC(E-O)	GLOBAL	Force	X Proj	0	0,0303	-0,41	-0,41
113	CM	GLOBAL	Force	Gravity	0	0,03031	0,04	0,04
113	VT-sinSC(N-S)	GLOBAL	Force	Y Proj	0	0,03031	-1,6	-1,6
113	VT-sinSC(S-N)	GLOBAL	Force	Y Proj	0	0,03031	1,6	1,6
113	VT-conSC(N-S)	GLOBAL	Force	Y Proj	0	0,03031	-2,38	-2,38
113	VT-conSC(S-N)	GLOBAL	Force	Y Proj	0	0,03031	2,38	2,38
113	VL-sinSC(O-E)	GLOBAL	Force	X Proj	0	0,03031	0,28	0,28
113	VL-sinSC(E-O)	GLOBAL	Force	X Proj	0	0,03031	-0,28	-0,28
113	VL-conSC(O-E)	GLOBAL	Force	X Proj	0	0,03031	0,41	0,41
113	VL-conSC(E-O)	GLOBAL	Force	X Proj	0	0,03031	-0,41	-0,41
114	CM	GLOBAL	Force	Gravity	0	0,03031	0,04	0,04
114	VT-sinSC(N-S)	GLOBAL	Force	Y Proj	0	0,03031	-1,6	-1,6
114	VT-sinSC(S-N)	GLOBAL	Force	Y Proj	0	0,03031	1,6	1,6
114	VT-conSC(N-S)	GLOBAL	Force	Y Proj	0	0,03031	-2,38	-2,38
114	VT-conSC(S-N)	GLOBAL	Force	Y Proj	0	0,03031	2,38	2,38
114	VL-sinSC(O-E)	GLOBAL	Force	X Proj	0	0,03031	0,28	0,28
114	VL-sinSC(E-O)	GLOBAL	Force	X Proj	0	0,03031	-0,28	-0,28
114	VL-conSC(O-E)	GLOBAL	Force	X Proj	0	0,03031	0,41	0,41
114	VL-conSC(E-O)	GLOBAL	Force	X Proj	0	0,03031	-0,41	-0,41
115	CM	GLOBAL	Force	Gravity	0	0,03031	0,04	0,04



115	VT-sinSC(N-S)	GLOBAL	Force	Y Proj	0	0,03031	-1,6	-1,6
115	VT-sinSC(S-N)	GLOBAL	Force	Y Proj	0	0,03031	1,6	1,6
115	VT-conSC(N-S)	GLOBAL	Force	Y Proj	0	0,03031	-2,38	-2,38
115	VT-conSC(S-N)	GLOBAL	Force	Y Proj	0	0,03031	2,38	2,38
115	VL-sinSC(O-E)	GLOBAL	Force	X Proj	0	0,03031	0,28	0,28
115	VL-sinSC(E-O)	GLOBAL	Force	X Proj	0	0,03031	-0,28	-0,28
115	VL-conSC(O-E)	GLOBAL	Force	X Proj	0	0,03031	0,41	0,41
115	VL-conSC(E-O)	GLOBAL	Force	X Proj	0	0,03031	-0,41	-0,41
116	CM	GLOBAL	Force	Gravity	0	0,18439	0,04	0,04
116	VT-sinSC(N-S)	GLOBAL	Force	Y Proj	0	0,18439	-1,6	-1,6
116	VT-sinSC(S-N)	GLOBAL	Force	Y Proj	0	0,18439	1,6	1,6
116	VT-conSC(N-S)	GLOBAL	Force	Y Proj	0	0,18439	-2,38	-2,38
116	VT-conSC(S-N)	GLOBAL	Force	Y Proj	0	0,18439	2,38	2,38
116	VL-sinSC(O-E)	GLOBAL	Force	X Proj	0	0,18439	0,28	0,28
116	VL-sinSC(E-O)	GLOBAL	Force	X Proj	0	0,18439	-0,28	-0,28
116	VL-conSC(O-E)	GLOBAL	Force	X Proj	0	0,18439	0,41	0,41
116	VL-conSC(E-O)	GLOBAL	Force	X Proj	0	0,18439	-0,41	-0,41
117	CM	GLOBAL	Force	Gravity	0	0,18433	0,04	0,04
117	VT-sinSC(N-S)	GLOBAL	Force	Y Proj	0	0,18433	-1,6	-1,6
117	VT-sinSC(S-N)	GLOBAL	Force	Y Proj	0	0,18433	1,6	1,6
117	VT-conSC(N-S)	GLOBAL	Force	Y Proj	0	0,18433	-2,38	-2,38
117	VT-conSC(S-N)	GLOBAL	Force	Y Proj	0	0,18433	2,38	2,38
117	VL-sinSC(O-E)	GLOBAL	Force	X Proj	0	0,18433	0,28	0,28
117	VL-sinSC(E-O)	GLOBAL	Force	X Proj	0	0,18433	-0,28	-0,28
117	VL-conSC(O-E)	GLOBAL	Force	X Proj	0	0,18433	0,41	0,41
117	VL-conSC(E-O)	GLOBAL	Force	X Proj	0	0,18433	-0,41	-0,41
118	CM	GLOBAL	Force	Gravity	0	0,18429	0,04	0,04
118	VT-sinSC(N-S)	GLOBAL	Force	Y Proj	0	0,18429	-1,6	-1,6
118	VT-sinSC(S-N)	GLOBAL	Force	Y Proj	0	0,18429	1,6	1,6
118	VT-conSC(N-S)	GLOBAL	Force	Y Proj	0	0,18429	-2,38	-2,38
118	VT-conSC(S-N)	GLOBAL	Force	Y Proj	0	0,18429	2,38	2,38
118	VL-sinSC(O-E)	GLOBAL	Force	X Proj	0	0,18429	0,28	0,28
118	VL-sinSC(E-O)	GLOBAL	Force	X Proj	0	0,18429	-0,28	-0,28
118	VL-conSC(O-E)	GLOBAL	Force	X Proj	0	0,18429	0,41	0,41
118	VL-conSC(E-O)	GLOBAL	Force	X Proj	0	0,18429	-0,41	-0,41
119	CM	GLOBAL	Force	Gravity	0	0,18428	0,04	0,04
119	VT-sinSC(N-S)	GLOBAL	Force	Y Proj	0	0,18428	-1,6	-1,6
119	VT-sinSC(S-N)	GLOBAL	Force	Y Proj	0	0,18428	1,6	1,6
119	VT-conSC(N-S)	GLOBAL	Force	Y Proj	0	0,18428	-2,38	-2,38

119	VT-conSC(S-N)	GLOBAL	Force	Y Proj	0	0,18428	2,38	2,38
119	VL-sinSC(O-E)	GLOBAL	Force	X Proj	0	0,18428	0,28	0,28
119	VL-sinSC(E-O)	GLOBAL	Force	X Proj	0	0,18428	-0,28	-0,28
119	VL-conSC(O-E)	GLOBAL	Force	X Proj	0	0,18428	0,41	0,41
119	VL-conSC(E-O)	GLOBAL	Force	X Proj	0	0,18428	-0,41	-0,41
120	CM	GLOBAL	Force	Gravity	0	0,18429	0,04	0,04
120	VT-sinSC(N-S)	GLOBAL	Force	Y Proj	0	0,18429	-1,6	-1,6
120	VT-sinSC(S-N)	GLOBAL	Force	Y Proj	0	0,18429	1,6	1,6
120	VT-conSC(N-S)	GLOBAL	Force	Y Proj	0	0,18429	-2,38	-2,38
120	VT-conSC(S-N)	GLOBAL	Force	Y Proj	0	0,18429	2,38	2,38
120	VL-sinSC(O-E)	GLOBAL	Force	X Proj	0	0,18429	0,28	0,28
120	VL-sinSC(E-O)	GLOBAL	Force	X Proj	0	0,18429	-0,28	-0,28
120	VL-conSC(O-E)	GLOBAL	Force	X Proj	0	0,18429	0,41	0,41
120	VL-conSC(E-O)	GLOBAL	Force	X Proj	0	0,18429	-0,41	-0,41
121	CM	GLOBAL	Force	Gravity	0	0,18433	0,04	0,04
121	VT-sinSC(N-S)	GLOBAL	Force	Y Proj	0	0,18433	-1,6	-1,6
121	VT-sinSC(S-N)	GLOBAL	Force	Y Proj	0	0,18433	1,6	1,6
121	VT-conSC(N-S)	GLOBAL	Force	Y Proj	0	0,18433	-2,38	-2,38
121	VT-conSC(S-N)	GLOBAL	Force	Y Proj	0	0,18433	2,38	2,38
121	VL-sinSC(O-E)	GLOBAL	Force	X Proj	0	0,18433	0,28	0,28
121	VL-sinSC(E-O)	GLOBAL	Force	X Proj	0	0,18433	-0,28	-0,28
121	VL-conSC(O-E)	GLOBAL	Force	X Proj	0	0,18433	0,41	0,41
121	VL-conSC(E-O)	GLOBAL	Force	X Proj	0	0,18433	-0,41	-0,41
122	CM	GLOBAL	Force	Gravity	0	0,18439	0,04	0,04
122	VT-sinSC(N-S)	GLOBAL	Force	Y Proj	0	0,18439	-1,6	-1,6
122	VT-sinSC(S-N)	GLOBAL	Force	Y Proj	0	0,18439	1,6	1,6
122	VT-conSC(N-S)	GLOBAL	Force	Y Proj	0	0,18439	-2,38	-2,38
122	VT-conSC(S-N)	GLOBAL	Force	Y Proj	0	0,18439	2,38	2,38
122	VL-sinSC(O-E)	GLOBAL	Force	X Proj	0	0,18439	0,28	0,28
122	VL-sinSC(E-O)	GLOBAL	Force	X Proj	0	0,18439	-0,28	-0,28
122	VL-conSC(O-E)	GLOBAL	Force	X Proj	0	0,18439	0,41	0,41
122	VL-conSC(E-O)	GLOBAL	Force	X Proj	0	0,18439	-0,41	-0,41
123	CM	GLOBAL	Force	Gravity	0	0,18441	0,04	0,04
123	VT-sinSC(N-S)	GLOBAL	Force	Y Proj	0	0,18441	-1,6	-1,6
123	VT-sinSC(S-N)	GLOBAL	Force	Y Proj	0	0,18441	1,6	1,6
123	VT-conSC(N-S)	GLOBAL	Force	Y Proj	0	0,18441	-2,38	-2,38
123	VT-conSC(S-N)	GLOBAL	Force	Y Proj	0	0,18441	2,38	2,38
123	VL-sinSC(O-E)	GLOBAL	Force	X Proj	0	0,18441	0,28	0,28
123	VL-sinSC(E-O)	GLOBAL	Force	X Proj	0	0,18441	-0,28	-0,28



123	VL-conSC(O-E)	GLOBAL	Force	X Proj	0	0,18441	0,41	0,41
123	VL-conSC(E-O)	GLOBAL	Force	X Proj	0	0,18441	-0,41	-0,41
124	CM	GLOBAL	Force	Gravity	0	0,18427	0,04	0,04
124	VT-sinSC(N-S)	GLOBAL	Force	Y Proj	0	0,18427	-1,6	-1,6
124	VT-sinSC(S-N)	GLOBAL	Force	Y Proj	0	0,18427	1,6	1,6
124	VT-conSC(N-S)	GLOBAL	Force	Y Proj	0	0,18427	-2,38	-2,38
124	VT-conSC(S-N)	GLOBAL	Force	Y Proj	0	0,18427	2,38	2,38
124	VL-sinSC(O-E)	GLOBAL	Force	X Proj	0	0,18427	0,28	0,28
124	VL-sinSC(E-O)	GLOBAL	Force	X Proj	0	0,18427	-0,28	-0,28
124	VL-conSC(O-E)	GLOBAL	Force	X Proj	0	0,18427	0,41	0,41
124	VL-conSC(E-O)	GLOBAL	Force	X Proj	0	0,18427	-0,41	-0,41
125	VT-sinSC(S-N)	GLOBAL	Force	Y Proj	0	0,53889	1,6	1,6
125	VT-sinSC(N-S)	GLOBAL	Force	Y Proj	0	0,53889	-1,6	-1,6
125	VT-conSC(N-S)	GLOBAL	Force	Y Proj	0	0,53889	-2,38	-2,38
125	VT-conSC(S-N)	GLOBAL	Force	Y Proj	0	0,53889	2,38	2,38
125	VL-sinSC(E-O)	GLOBAL	Force	X Proj	0	0,53889	-0,28	-0,28
125	VL-sinSC(O-E)	GLOBAL	Force	X Proj	0	0,53889	0,28	0,28
125	VL-conSC(O-E)	GLOBAL	Force	X Proj	0	0,53889	0,41	0,41
125	VL-conSC(E-O)	GLOBAL	Force	X Proj	0	0,53889	-0,41	-0,41
126	CM	GLOBAL	Force	Gravity	0	0,18406	0,04	0,04
126	VT-sinSC(N-S)	GLOBAL	Force	Y Proj	0	0,18406	-1,6	-1,6
126	VT-sinSC(S-N)	GLOBAL	Force	Y Proj	0	0,18406	1,6	1,6
126	VT-conSC(N-S)	GLOBAL	Force	Y Proj	0	0,18406	-2,38	-2,38
126	VT-conSC(S-N)	GLOBAL	Force	Y Proj	0	0,18406	2,38	2,38
126	VL-sinSC(O-E)	GLOBAL	Force	X Proj	0	0,18406	0,28	0,28
126	VL-sinSC(E-O)	GLOBAL	Force	X Proj	0	0,18406	-0,28	-0,28
126	VL-conSC(O-E)	GLOBAL	Force	X Proj	0	0,18406	0,41	0,41
126	VL-conSC(E-O)	GLOBAL	Force	X Proj	0	0,18406	-0,41	-0,41
127	CM	GLOBAL	Force	Gravity	0	0,18399	0,04	0,04
127	VT-sinSC(N-S)	GLOBAL	Force	Y Proj	0	0,18399	-1,6	-1,6
127	VT-sinSC(S-N)	GLOBAL	Force	Y Proj	0	0,18399	1,6	1,6
127	VT-conSC(N-S)	GLOBAL	Force	Y Proj	0	0,18399	-2,38	-2,38
127	VT-conSC(S-N)	GLOBAL	Force	Y Proj	0	0,18399	2,38	2,38
127	VL-sinSC(O-E)	GLOBAL	Force	X Proj	0	0,18399	0,28	0,28
127	VL-sinSC(E-O)	GLOBAL	Force	X Proj	0	0,18399	-0,28	-0,28
127	VL-conSC(O-E)	GLOBAL	Force	X Proj	0	0,18399	0,41	0,41
127	VL-conSC(E-O)	GLOBAL	Force	X Proj	0	0,18399	-0,41	-0,41
128	CM	GLOBAL	Force	Gravity	0	0,18394	0,04	0,04
128	VT-sinSC(N-S)	GLOBAL	Force	Y Proj	0	0,18394	-1,6	-1,6

128	VT-sinSC(S-N)	GLOBAL	Force	Y Proj	0	0,18394	1,6	1,6
128	VT-conSC(N-S)	GLOBAL	Force	Y Proj	0	0,18394	-2,38	-2,38
128	VT-conSC(S-N)	GLOBAL	Force	Y Proj	0	0,18394	2,38	2,38
128	VL-sinSC(O-E)	GLOBAL	Force	X Proj	0	0,18394	0,28	0,28
128	VL-sinSC(E-O)	GLOBAL	Force	X Proj	0	0,18394	-0,28	-0,28
128	VL-conSC(O-E)	GLOBAL	Force	X Proj	0	0,18394	0,41	0,41
128	VL-conSC(E-O)	GLOBAL	Force	X Proj	0	0,18394	-0,41	-0,41
129	CM	GLOBAL	Force	Gravity	0	0,18392	0,04	0,04
129	VT-sinSC(N-S)	GLOBAL	Force	Y Proj	0	0,18392	-1,6	-1,6
129	VT-sinSC(S-N)	GLOBAL	Force	Y Proj	0	0,18392	1,6	1,6
129	VT-conSC(N-S)	GLOBAL	Force	Y Proj	0	0,18392	-2,38	-2,38
129	VT-conSC(S-N)	GLOBAL	Force	Y Proj	0	0,18392	2,38	2,38
129	VL-sinSC(O-E)	GLOBAL	Force	X Proj	0	0,18392	0,28	0,28
129	VL-sinSC(E-O)	GLOBAL	Force	X Proj	0	0,18392	-0,28	-0,28
129	VL-conSC(O-E)	GLOBAL	Force	X Proj	0	0,18392	0,41	0,41
129	VL-conSC(E-O)	GLOBAL	Force	X Proj	0	0,18392	-0,41	-0,41
130	CM	GLOBAL	Force	Gravity	0	0,18392	0,04	0,04
130	VT-sinSC(N-S)	GLOBAL	Force	Y Proj	0	0,18392	-1,6	-1,6
130	VT-sinSC(S-N)	GLOBAL	Force	Y Proj	0	0,18392	1,6	1,6
130	VT-conSC(N-S)	GLOBAL	Force	Y Proj	0	0,18392	-2,38	-2,38
130	VT-conSC(S-N)	GLOBAL	Force	Y Proj	0	0,18392	2,38	2,38
130	VL-sinSC(O-E)	GLOBAL	Force	X Proj	0	0,18392	0,28	0,28
130	VL-sinSC(E-O)	GLOBAL	Force	X Proj	0	0,18392	-0,28	-0,28
130	VL-conSC(O-E)	GLOBAL	Force	X Proj	0	0,18392	0,41	0,41
130	VL-conSC(E-O)	GLOBAL	Force	X Proj	0	0,18392	-0,41	-0,41
131	CM	GLOBAL	Force	Gravity	0	0,18395	0,04	0,04
131	VT-sinSC(N-S)	GLOBAL	Force	Y Proj	0	0,18395	-1,6	-1,6
131	VT-sinSC(S-N)	GLOBAL	Force	Y Proj	0	0,18395	1,6	1,6
131	VT-conSC(N-S)	GLOBAL	Force	Y Proj	0	0,18395	-2,38	-2,38
131	VT-conSC(S-N)	GLOBAL	Force	Y Proj	0	0,18395	2,38	2,38
131	VL-sinSC(O-E)	GLOBAL	Force	X Proj	0	0,18395	0,28	0,28
131	VL-sinSC(E-O)	GLOBAL	Force	X Proj	0	0,18395	-0,28	-0,28
131	VL-conSC(O-E)	GLOBAL	Force	X Proj	0	0,18395	0,41	0,41
131	VL-conSC(E-O)	GLOBAL	Force	X Proj	0	0,18395	-0,41	-0,41
132	CM	GLOBAL	Force	Gravity	0	0,184	0,04	0,04
132	VT-sinSC(N-S)	GLOBAL	Force	Y Proj	0	0,184	-1,6	-1,6
132	VT-sinSC(S-N)	GLOBAL	Force	Y Proj	0	0,184	1,6	1,6
132	VT-conSC(N-S)	GLOBAL	Force	Y Proj	0	0,184	-2,38	-2,38
132	VT-conSC(S-N)	GLOBAL	Force	Y Proj	0	0,184	2,38	2,38



132	VL-sinSC(O-E)	GLOBAL	Force	X Proj	0	0,184	0,28	0,28
132	VL-sinSC(E-O)	GLOBAL	Force	X Proj	0	0,184	-0,28	-0,28
132	VL-conSC(O-E)	GLOBAL	Force	X Proj	0	0,184	0,41	0,41
132	VL-conSC(E-O)	GLOBAL	Force	X Proj	0	0,184	-0,41	-0,41
133	CM	GLOBAL	Force	Gravity	0	0,18408	0,04	0,04
133	VT-sinSC(N-S)	GLOBAL	Force	Y Proj	0	0,18408	-1,6	-1,6
133	VT-sinSC(S-N)	GLOBAL	Force	Y Proj	0	0,18408	1,6	1,6
133	VT-conSC(N-S)	GLOBAL	Force	Y Proj	0	0,18408	-2,38	-2,38
133	VT-conSC(S-N)	GLOBAL	Force	Y Proj	0	0,18408	2,38	2,38
133	VL-sinSC(O-E)	GLOBAL	Force	X Proj	0	0,18408	0,28	0,28
133	VL-sinSC(E-O)	GLOBAL	Force	X Proj	0	0,18408	-0,28	-0,28
133	VL-conSC(O-E)	GLOBAL	Force	X Proj	0	0,18408	0,41	0,41
133	VL-conSC(E-O)	GLOBAL	Force	X Proj	0	0,18408	-0,41	-0,41
134	VT-sinSC(S-N)	GLOBAL	Force	Y Proj	0	0,53889	1,6	1,6
134	VT-sinSC(N-S)	GLOBAL	Force	Y Proj	0	0,53889	-1,6	-1,6
134	VT-conSC(N-S)	GLOBAL	Force	Y Proj	0	0,53889	-2,38	-2,38
134	VT-conSC(S-N)	GLOBAL	Force	Y Proj	0	0,53889	2,38	2,38
134	VL-sinSC(E-O)	GLOBAL	Force	X Proj	0	0,53889	-0,28	-0,28
134	VL-sinSC(O-E)	GLOBAL	Force	X Proj	0	0,53889	0,28	0,28
134	VL-conSC(O-E)	GLOBAL	Force	X Proj	0	0,53889	0,41	0,41
134	VL-conSC(E-O)	GLOBAL	Force	X Proj	0	0,53889	-0,41	-0,41
135	CM	GLOBAL	Force	Gravity	0	0,18431	0,04	0,04
135	VT-sinSC(N-S)	GLOBAL	Force	Y Proj	0	0,18431	-1,6	-1,6
135	VT-sinSC(S-N)	GLOBAL	Force	Y Proj	0	0,18431	1,6	1,6
135	VT-conSC(N-S)	GLOBAL	Force	Y Proj	0	0,18431	-2,38	-2,38
135	VT-conSC(S-N)	GLOBAL	Force	Y Proj	0	0,18431	2,38	2,38
135	VL-sinSC(O-E)	GLOBAL	Force	X Proj	0	0,18431	0,28	0,28
135	VL-sinSC(E-O)	GLOBAL	Force	X Proj	0	0,18431	-0,28	-0,28
135	VL-conSC(O-E)	GLOBAL	Force	X Proj	0	0,18431	0,41	0,41
135	VL-conSC(E-O)	GLOBAL	Force	X Proj	0	0,18431	-0,41	-0,41
136	CM	GLOBAL	Force	Gravity	0	0,18444	0,04	0,04
136	VT-sinSC(N-S)	GLOBAL	Force	Y Proj	0	0,18444	-1,6	-1,6
136	VT-sinSC(S-N)	GLOBAL	Force	Y Proj	0	0,18444	1,6	1,6
136	VT-conSC(N-S)	GLOBAL	Force	Y Proj	0	0,18444	-2,38	-2,38
136	VT-conSC(S-N)	GLOBAL	Force	Y Proj	0	0,18444	2,38	2,38
136	VL-sinSC(O-E)	GLOBAL	Force	X Proj	0	0,18444	0,28	0,28
136	VL-sinSC(E-O)	GLOBAL	Force	X Proj	0	0,18444	-0,28	-0,28
136	VL-conSC(O-E)	GLOBAL	Force	X Proj	0	0,18444	0,41	0,41
136	VL-conSC(E-O)	GLOBAL	Force	X Proj	0	0,18444	-0,41	-0,41

137	CM	GLOBAL	Force	Gravity	0	0,18438	0,04	0,04
137	VT-sinSC(N-S)	GLOBAL	Force	Y Proj	0	0,18438	-1,6	-1,6
137	VT-sinSC(S-N)	GLOBAL	Force	Y Proj	0	0,18438	1,6	1,6
137	VT-conSC(N-S)	GLOBAL	Force	Y Proj	0	0,18438	-2,38	-2,38
137	VT-conSC(S-N)	GLOBAL	Force	Y Proj	0	0,18438	2,38	2,38
137	VL-sinSC(O-E)	GLOBAL	Force	X Proj	0	0,18438	0,28	0,28
137	VL-sinSC(E-O)	GLOBAL	Force	X Proj	0	0,18438	-0,28	-0,28
137	VL-conSC(O-E)	GLOBAL	Force	X Proj	0	0,18438	0,41	0,41
137	VL-conSC(E-O)	GLOBAL	Force	X Proj	0	0,18438	-0,41	-0,41
138	CM	GLOBAL	Force	Gravity	0	0,18429	0,04	0,04
138	VT-sinSC(N-S)	GLOBAL	Force	Y Proj	0	0,18429	-1,6	-1,6
138	VT-sinSC(S-N)	GLOBAL	Force	Y Proj	0	0,18429	1,6	1,6
138	VT-conSC(N-S)	GLOBAL	Force	Y Proj	0	0,18429	-2,38	-2,38
138	VT-conSC(S-N)	GLOBAL	Force	Y Proj	0	0,18429	2,38	2,38
138	VL-sinSC(O-E)	GLOBAL	Force	X Proj	0	0,18429	0,28	0,28
138	VL-sinSC(E-O)	GLOBAL	Force	X Proj	0	0,18429	-0,28	-0,28
138	VL-conSC(O-E)	GLOBAL	Force	X Proj	0	0,18429	0,41	0,41
138	VL-conSC(E-O)	GLOBAL	Force	X Proj	0	0,18429	-0,41	-0,41
139	CM	GLOBAL	Force	Gravity	0	0,18422	0,04	0,04
139	VT-sinSC(N-S)	GLOBAL	Force	Y Proj	0	0,18422	-1,6	-1,6
139	VT-sinSC(S-N)	GLOBAL	Force	Y Proj	0	0,18422	1,6	1,6
139	VT-conSC(N-S)	GLOBAL	Force	Y Proj	0	0,18422	-2,38	-2,38
139	VT-conSC(S-N)	GLOBAL	Force	Y Proj	0	0,18422	2,38	2,38
139	VL-sinSC(O-E)	GLOBAL	Force	X Proj	0	0,18422	0,28	0,28
139	VL-sinSC(E-O)	GLOBAL	Force	X Proj	0	0,18422	-0,28	-0,28
139	VL-conSC(O-E)	GLOBAL	Force	X Proj	0	0,18422	0,41	0,41
139	VL-conSC(E-O)	GLOBAL	Force	X Proj	0	0,18422	-0,41	-0,41
140	CM	GLOBAL	Force	Gravity	0	0,18418	0,04	0,04
140	VT-sinSC(N-S)	GLOBAL	Force	Y Proj	0	0,18418	-1,6	-1,6
140	VT-sinSC(S-N)	GLOBAL	Force	Y Proj	0	0,18418	1,6	1,6
140	VT-conSC(N-S)	GLOBAL	Force	Y Proj	0	0,18418	-2,38	-2,38
140	VT-conSC(S-N)	GLOBAL	Force	Y Proj	0	0,18418	2,38	2,38
140	VL-sinSC(O-E)	GLOBAL	Force	X Proj	0	0,18418	0,28	0,28
140	VL-sinSC(E-O)	GLOBAL	Force	X Proj	0	0,18418	-0,28	-0,28
140	VL-conSC(O-E)	GLOBAL	Force	X Proj	0	0,18418	0,41	0,41
140	VL-conSC(E-O)	GLOBAL	Force	X Proj	0	0,18418	-0,41	-0,41
141	CM	GLOBAL	Force	Gravity	0	0,18416	0,04	0,04
141	VT-sinSC(N-S)	GLOBAL	Force	Y Proj	0	0,18416	-1,6	-1,6
141	VT-sinSC(S-N)	GLOBAL	Force	Y Proj	0	0,18416	1,6	1,6



141	VT-conSC(N-S)	GLOBAL	Force	Y Proj	0	0,18416	-2,38	-2,38
141	VT-conSC(S-N)	GLOBAL	Force	Y Proj	0	0,18416	2,38	2,38
141	VL-sinSC(O-E)	GLOBAL	Force	X Proj	0	0,18416	0,28	0,28
141	VL-sinSC(E-O)	GLOBAL	Force	X Proj	0	0,18416	-0,28	-0,28
141	VL-conSC(O-E)	GLOBAL	Force	X Proj	0	0,18416	0,41	0,41
141	VL-conSC(E-O)	GLOBAL	Force	X Proj	0	0,18416	-0,41	-0,41
142	CM	GLOBAL	Force	Gravity	0	0,18417	0,04	0,04
142	VT-sinSC(N-S)	GLOBAL	Force	Y Proj	0	0,18417	-1,6	-1,6
142	VT-sinSC(S-N)	GLOBAL	Force	Y Proj	0	0,18417	1,6	1,6
142	VT-conSC(N-S)	GLOBAL	Force	Y Proj	0	0,18417	-2,38	-2,38
142	VT-conSC(S-N)	GLOBAL	Force	Y Proj	0	0,18417	2,38	2,38
142	VL-sinSC(O-E)	GLOBAL	Force	X Proj	0	0,18417	0,28	0,28
142	VL-sinSC(E-O)	GLOBAL	Force	X Proj	0	0,18417	-0,28	-0,28
142	VL-conSC(O-E)	GLOBAL	Force	X Proj	0	0,18417	0,41	0,41
142	VL-conSC(E-O)	GLOBAL	Force	X Proj	0	0,18417	-0,41	-0,41
143	CM	GLOBAL	Force	Gravity	0	0,1842	0,04	0,04
143	VT-sinSC(N-S)	GLOBAL	Force	Y Proj	0	0,1842	-1,6	-1,6
143	VT-sinSC(S-N)	GLOBAL	Force	Y Proj	0	0,1842	1,6	1,6
143	VT-conSC(N-S)	GLOBAL	Force	Y Proj	0	0,1842	-2,38	-2,38
143	VT-conSC(S-N)	GLOBAL	Force	Y Proj	0	0,1842	2,38	2,38
143	VL-sinSC(O-E)	GLOBAL	Force	X Proj	0	0,1842	0,28	0,28
143	VL-sinSC(E-O)	GLOBAL	Force	X Proj	0	0,1842	-0,28	-0,28
143	VL-conSC(O-E)	GLOBAL	Force	X Proj	0	0,1842	0,41	0,41
143	VL-conSC(E-O)	GLOBAL	Force	X Proj	0	0,1842	-0,41	-0,41
145	CM	GLOBAL	Force	Gravity	0	0,18434	0,04	0,04
145	VT-sinSC(N-S)	GLOBAL	Force	Y Proj	0	0,18434	-1,6	-1,6
145	VT-sinSC(S-N)	GLOBAL	Force	Y Proj	0	0,18434	1,6	1,6
145	VT-conSC(N-S)	GLOBAL	Force	Y Proj	0	0,18434	-2,38	-2,38
145	VT-conSC(S-N)	GLOBAL	Force	Y Proj	0	0,18434	2,38	2,38
145	VL-sinSC(O-E)	GLOBAL	Force	X Proj	0	0,18434	0,28	0,28
145	VL-sinSC(E-O)	GLOBAL	Force	X Proj	0	0,18434	-0,28	-0,28
145	VL-conSC(O-E)	GLOBAL	Force	X Proj	0	0,18434	0,41	0,41
145	VL-conSC(E-O)	GLOBAL	Force	X Proj	0	0,18434	-0,41	-0,41
146	CM	GLOBAL	Force	Gravity	0	0,18443	0,04	0,04
146	VT-sinSC(N-S)	GLOBAL	Force	Y Proj	0	0,18443	-1,6	-1,6
146	VT-sinSC(S-N)	GLOBAL	Force	Y Proj	0	0,18443	1,6	1,6
146	VT-conSC(N-S)	GLOBAL	Force	Y Proj	0	0,18443	-2,38	-2,38
146	VT-conSC(S-N)	GLOBAL	Force	Y Proj	0	0,18443	2,38	2,38
146	VL-sinSC(O-E)	GLOBAL	Force	X Proj	0	0,18443	0,28	0,28

146	VL-sinSC(E-O)	GLOBAL	Force	X Proj	0	0,18443	-0,28	-0,28
146	VL-conSC(O-E)	GLOBAL	Force	X Proj	0	0,18443	0,41	0,41
146	VL-conSC(E-O)	GLOBAL	Force	X Proj	0	0,18443	-0,41	-0,41
147	CM	GLOBAL	Force	Gravity	0	0,18434	0,04	0,04
147	VT-sinSC(N-S)	GLOBAL	Force	Y Proj	0	0,18434	-1,6	-1,6
147	VT-sinSC(S-N)	GLOBAL	Force	Y Proj	0	0,18434	1,6	1,6
147	VT-conSC(N-S)	GLOBAL	Force	Y Proj	0	0,18434	-2,38	-2,38
147	VT-conSC(S-N)	GLOBAL	Force	Y Proj	0	0,18434	2,38	2,38
147	VL-sinSC(O-E)	GLOBAL	Force	X Proj	0	0,18434	0,28	0,28
147	VL-sinSC(E-O)	GLOBAL	Force	X Proj	0	0,18434	-0,28	-0,28
147	VL-conSC(O-E)	GLOBAL	Force	X Proj	0	0,18434	0,41	0,41
147	VL-conSC(E-O)	GLOBAL	Force	X Proj	0	0,18434	-0,41	-0,41
148	CM	GLOBAL	Force	Gravity	0	0,18416	0,04	0,04
148	VT-sinSC(N-S)	GLOBAL	Force	Y Proj	0	0,18416	-1,6	-1,6
148	VT-sinSC(S-N)	GLOBAL	Force	Y Proj	0	0,18416	1,6	1,6
148	VT-conSC(N-S)	GLOBAL	Force	Y Proj	0	0,18416	-2,38	-2,38
148	VT-conSC(S-N)	GLOBAL	Force	Y Proj	0	0,18416	2,38	2,38
148	VL-sinSC(O-E)	GLOBAL	Force	X Proj	0	0,18416	0,28	0,28
148	VL-sinSC(E-O)	GLOBAL	Force	X Proj	0	0,18416	-0,28	-0,28
148	VL-conSC(O-E)	GLOBAL	Force	X Proj	0	0,18416	0,41	0,41
148	VL-conSC(E-O)	GLOBAL	Force	X Proj	0	0,18416	-0,41	-0,41
149	CM	GLOBAL	Force	Gravity	0	0,184	0,04	0,04
149	VT-sinSC(N-S)	GLOBAL	Force	Y Proj	0	0,184	-1,6	-1,6
149	VT-sinSC(S-N)	GLOBAL	Force	Y Proj	0	0,184	1,6	1,6
149	VT-conSC(N-S)	GLOBAL	Force	Y Proj	0	0,184	-2,38	-2,38
149	VT-conSC(S-N)	GLOBAL	Force	Y Proj	0	0,184	2,38	2,38
149	VL-sinSC(O-E)	GLOBAL	Force	X Proj	0	0,184	0,28	0,28
149	VL-sinSC(E-O)	GLOBAL	Force	X Proj	0	0,184	-0,28	-0,28
149	VL-conSC(O-E)	GLOBAL	Force	X Proj	0	0,184	0,41	0,41
149	VL-conSC(E-O)	GLOBAL	Force	X Proj	0	0,184	-0,41	-0,41
150	CM	GLOBAL	Force	Gravity	0	0,18387	0,04	0,04
150	VT-sinSC(N-S)	GLOBAL	Force	Y Proj	0	0,18387	-1,6	-1,6
150	VT-sinSC(S-N)	GLOBAL	Force	Y Proj	0	0,18387	1,6	1,6
150	VT-conSC(N-S)	GLOBAL	Force	Y Proj	0	0,18387	-2,38	-2,38
150	VT-conSC(S-N)	GLOBAL	Force	Y Proj	0	0,18387	2,38	2,38
150	VL-sinSC(O-E)	GLOBAL	Force	X Proj	0	0,18387	0,28	0,28
150	VL-sinSC(E-O)	GLOBAL	Force	X Proj	0	0,18387	-0,28	-0,28
150	VL-conSC(O-E)	GLOBAL	Force	X Proj	0	0,18387	0,41	0,41
150	VL-conSC(E-O)	GLOBAL	Force	X Proj	0	0,18387	-0,41	-0,41



151	CM	GLOBAL	Force	Gravity	0	0,18376	0,04	0,04
151	VT-sinSC(N-S)	GLOBAL	Force	Y Proj	0	0,18376	-1,6	-1,6
151	VT-sinSC(S-N)	GLOBAL	Force	Y Proj	0	0,18376	1,6	1,6
151	VT-conSC(N-S)	GLOBAL	Force	Y Proj	0	0,18376	-2,38	-2,38
151	VT-conSC(S-N)	GLOBAL	Force	Y Proj	0	0,18376	2,38	2,38
151	VL-sinSC(O-E)	GLOBAL	Force	X Proj	0	0,18376	0,28	0,28
151	VL-sinSC(E-O)	GLOBAL	Force	X Proj	0	0,18376	-0,28	-0,28
151	VL-conSC(O-E)	GLOBAL	Force	X Proj	0	0,18376	0,41	0,41
151	VL-conSC(E-O)	GLOBAL	Force	X Proj	0	0,18376	-0,41	-0,41
152	CM	GLOBAL	Force	Gravity	0	0,18368	0,04	0,04
152	VT-sinSC(N-S)	GLOBAL	Force	Y Proj	0	0,18368	-1,6	-1,6
152	VT-sinSC(S-N)	GLOBAL	Force	Y Proj	0	0,18368	1,6	1,6
152	VT-conSC(N-S)	GLOBAL	Force	Y Proj	0	0,18368	-2,38	-2,38
152	VT-conSC(S-N)	GLOBAL	Force	Y Proj	0	0,18368	2,38	2,38
152	VL-sinSC(O-E)	GLOBAL	Force	X Proj	0	0,18368	0,28	0,28
152	VL-sinSC(E-O)	GLOBAL	Force	X Proj	0	0,18368	-0,28	-0,28
152	VL-conSC(O-E)	GLOBAL	Force	X Proj	0	0,18368	0,41	0,41
152	VL-conSC(E-O)	GLOBAL	Force	X Proj	0	0,18368	-0,41	-0,41
153	VT-sinSC(S-N)	GLOBAL	Force	Y Proj	0	0,53889	1,6	1,6
153	VT-sinSC(N-S)	GLOBAL	Force	Y Proj	0	0,53889	-1,6	-1,6
153	VT-conSC(N-S)	GLOBAL	Force	Y Proj	0	0,53889	-2,38	-2,38
153	VT-conSC(S-N)	GLOBAL	Force	Y Proj	0	0,53889	2,38	2,38
153	VL-sinSC(E-O)	GLOBAL	Force	X Proj	0	0,53889	-0,28	-0,28
153	VL-sinSC(O-E)	GLOBAL	Force	X Proj	0	0,53889	0,28	0,28
153	VL-conSC(O-E)	GLOBAL	Force	X Proj	0	0,53889	0,41	0,41
153	VL-conSC(E-O)	GLOBAL	Force	X Proj	0	0,53889	-0,41	-0,41
154	CM	GLOBAL	Force	Gravity	0	0,1836	0,04	0,04
154	VT-sinSC(N-S)	GLOBAL	Force	Y Proj	0	0,1836	-1,6	-1,6
154	VT-sinSC(S-N)	GLOBAL	Force	Y Proj	0	0,1836	1,6	1,6
154	VT-conSC(N-S)	GLOBAL	Force	Y Proj	0	0,1836	-2,38	-2,38
154	VT-conSC(S-N)	GLOBAL	Force	Y Proj	0	0,1836	2,38	2,38
154	VL-sinSC(O-E)	GLOBAL	Force	X Proj	0	0,1836	0,28	0,28
154	VL-sinSC(E-O)	GLOBAL	Force	X Proj	0	0,1836	-0,28	-0,28
154	VL-conSC(O-E)	GLOBAL	Force	X Proj	0	0,1836	0,41	0,41
154	VL-conSC(E-O)	GLOBAL	Force	X Proj	0	0,1836	-0,41	-0,41
155	CM	GLOBAL	Force	Gravity	0	0,18359	0,04	0,04
155	VT-sinSC(N-S)	GLOBAL	Force	Y Proj	0	0,18359	-1,6	-1,6
155	VT-sinSC(S-N)	GLOBAL	Force	Y Proj	0	0,18359	1,6	1,6
155	VT-conSC(N-S)	GLOBAL	Force	Y Proj	0	0,18359	-2,38	-2,38

155	VT-conSC(S-N)	GLOBAL	Force	Y Proj	0	0,18359	2,38	2,38
155	VL-sinSC(O-E)	GLOBAL	Force	X Proj	0	0,18359	0,28	0,28
155	VL-sinSC(E-O)	GLOBAL	Force	X Proj	0	0,18359	-0,28	-0,28
155	VL-conSC(O-E)	GLOBAL	Force	X Proj	0	0,18359	0,41	0,41
155	VL-conSC(E-O)	GLOBAL	Force	X Proj	0	0,18359	-0,41	-0,41
156	CM	GLOBAL	Force	Gravity	0	0,18361	0,04	0,04
156	VT-sinSC(N-S)	GLOBAL	Force	Y Proj	0	0,18361	-1,6	-1,6
156	VT-sinSC(S-N)	GLOBAL	Force	Y Proj	0	0,18361	1,6	1,6
156	VT-conSC(N-S)	GLOBAL	Force	Y Proj	0	0,18361	-2,38	-2,38
156	VT-conSC(S-N)	GLOBAL	Force	Y Proj	0	0,18361	2,38	2,38
156	VL-sinSC(O-E)	GLOBAL	Force	X Proj	0	0,18361	0,28	0,28
156	VL-sinSC(E-O)	GLOBAL	Force	X Proj	0	0,18361	-0,28	-0,28
156	VL-conSC(O-E)	GLOBAL	Force	X Proj	0	0,18361	0,41	0,41
156	VL-conSC(E-O)	GLOBAL	Force	X Proj	0	0,18361	-0,41	-0,41
157	CM	GLOBAL	Force	Gravity	0	0,18366	0,04	0,04
157	VT-sinSC(N-S)	GLOBAL	Force	Y Proj	0	0,18366	-1,6	-1,6
157	VT-sinSC(S-N)	GLOBAL	Force	Y Proj	0	0,18366	1,6	1,6
157	VT-conSC(N-S)	GLOBAL	Force	Y Proj	0	0,18366	-2,38	-2,38
157	VT-conSC(S-N)	GLOBAL	Force	Y Proj	0	0,18366	2,38	2,38
157	VL-sinSC(O-E)	GLOBAL	Force	X Proj	0	0,18366	0,28	0,28
157	VL-sinSC(E-O)	GLOBAL	Force	X Proj	0	0,18366	-0,28	-0,28
157	VL-conSC(O-E)	GLOBAL	Force	X Proj	0	0,18366	0,41	0,41
157	VL-conSC(E-O)	GLOBAL	Force	X Proj	0	0,18366	-0,41	-0,41
158	CM	GLOBAL	Force	Gravity	0	0,18372	0,04	0,04
158	VT-sinSC(N-S)	GLOBAL	Force	Y Proj	0	0,18372	-1,6	-1,6
158	VT-sinSC(S-N)	GLOBAL	Force	Y Proj	0	0,18372	1,6	1,6
158	VT-conSC(N-S)	GLOBAL	Force	Y Proj	0	0,18372	-2,38	-2,38
158	VT-conSC(S-N)	GLOBAL	Force	Y Proj	0	0,18372	2,38	2,38
158	VL-sinSC(O-E)	GLOBAL	Force	X Proj	0	0,18372	0,28	0,28
158	VL-sinSC(E-O)	GLOBAL	Force	X Proj	0	0,18372	-0,28	-0,28
158	VL-conSC(O-E)	GLOBAL	Force	X Proj	0	0,18372	0,41	0,41
158	VL-conSC(E-O)	GLOBAL	Force	X Proj	0	0,18372	-0,41	-0,41
159	CM	GLOBAL	Force	Gravity	0	0,18382	0,04	0,04
159	VT-sinSC(N-S)	GLOBAL	Force	Y Proj	0	0,18382	-1,6	-1,6
159	VT-sinSC(S-N)	GLOBAL	Force	Y Proj	0	0,18382	1,6	1,6
159	VT-conSC(N-S)	GLOBAL	Force	Y Proj	0	0,18382	-2,38	-2,38
159	VT-conSC(S-N)	GLOBAL	Force	Y Proj	0	0,18382	2,38	2,38
159	VL-sinSC(O-E)	GLOBAL	Force	X Proj	0	0,18382	0,28	0,28
159	VL-sinSC(E-O)	GLOBAL	Force	X Proj	0	0,18382	-0,28	-0,28



159	VL-conSC(O-E)	GLOBAL	Force	X Proj	0	0,18382	0,41	0,41
159	VL-conSC(E-O)	GLOBAL	Force	X Proj	0	0,18382	-0,41	-0,41
160	CM	GLOBAL	Force	Gravity	0	0,18394	0,04	0,04
160	VT-sinSC(N-S)	GLOBAL	Force	Y Proj	0	0,18394	-1,6	-1,6
160	VT-sinSC(S-N)	GLOBAL	Force	Y Proj	0	0,18394	1,6	1,6
160	VT-conSC(N-S)	GLOBAL	Force	Y Proj	0	0,18394	-2,38	-2,38
160	VT-conSC(S-N)	GLOBAL	Force	Y Proj	0	0,18394	2,38	2,38
160	VL-sinSC(O-E)	GLOBAL	Force	X Proj	0	0,18394	0,28	0,28
160	VL-sinSC(E-O)	GLOBAL	Force	X Proj	0	0,18394	-0,28	-0,28
160	VL-conSC(O-E)	GLOBAL	Force	X Proj	0	0,18394	0,41	0,41
160	VL-conSC(E-O)	GLOBAL	Force	X Proj	0	0,18394	-0,41	-0,41
161	CM	GLOBAL	Force	Gravity	0	0,18408	0,04	0,04
161	VT-sinSC(N-S)	GLOBAL	Force	Y Proj	0	0,18408	-1,6	-1,6
161	VT-sinSC(S-N)	GLOBAL	Force	Y Proj	0	0,18408	1,6	1,6
161	VT-conSC(N-S)	GLOBAL	Force	Y Proj	0	0,18408	-2,38	-2,38
161	VT-conSC(S-N)	GLOBAL	Force	Y Proj	0	0,18408	2,38	2,38
161	VL-sinSC(O-E)	GLOBAL	Force	X Proj	0	0,18408	0,28	0,28
161	VL-sinSC(E-O)	GLOBAL	Force	X Proj	0	0,18408	-0,28	-0,28
161	VL-conSC(O-E)	GLOBAL	Force	X Proj	0	0,18408	0,41	0,41
161	VL-conSC(E-O)	GLOBAL	Force	X Proj	0	0,18408	-0,41	-0,41
162	CM	GLOBAL	Force	Gravity	0	0,18425	0,04	0,04
162	VT-sinSC(N-S)	GLOBAL	Force	Y Proj	0	0,18425	-1,6	-1,6
162	VT-sinSC(S-N)	GLOBAL	Force	Y Proj	0	0,18425	1,6	1,6
162	VT-conSC(N-S)	GLOBAL	Force	Y Proj	0	0,18425	-2,38	-2,38
162	VT-conSC(S-N)	GLOBAL	Force	Y Proj	0	0,18425	2,38	2,38
162	VL-sinSC(O-E)	GLOBAL	Force	X Proj	0	0,18425	0,28	0,28
162	VL-sinSC(E-O)	GLOBAL	Force	X Proj	0	0,18425	-0,28	-0,28
162	VL-conSC(O-E)	GLOBAL	Force	X Proj	0	0,18425	0,41	0,41
162	VL-conSC(E-O)	GLOBAL	Force	X Proj	0	0,18425	-0,41	-0,41
163	CM	GLOBAL	Force	Gravity	0	0,07624	0,04	0,04
163	VT-sinSC(N-S)	GLOBAL	Force	Y Proj	0	0,07624	-1,6	-1,6
163	VT-sinSC(S-N)	GLOBAL	Force	Y Proj	0	0,07624	1,6	1,6
163	VT-conSC(N-S)	GLOBAL	Force	Y Proj	0	0,07624	-2,38	-2,38
163	VT-conSC(S-N)	GLOBAL	Force	Y Proj	0	0,07624	2,38	2,38
163	VL-sinSC(O-E)	GLOBAL	Force	X Proj	0	0,07624	0,28	0,28
163	VL-sinSC(E-O)	GLOBAL	Force	X Proj	0	0,07624	-0,28	-0,28
163	VL-conSC(O-E)	GLOBAL	Force	X Proj	0	0,07624	0,41	0,41
163	VL-conSC(E-O)	GLOBAL	Force	X Proj	0	0,07624	-0,41	-0,41
164	CM	GLOBAL	Force	Gravity	0	0,07623	0,04	0,04

164	VT-sinSC(N-S)	GLOBAL	Force	Y Proj	0	0,07623	-1,6	-1,6
164	VT-sinSC(S-N)	GLOBAL	Force	Y Proj	0	0,07623	1,6	1,6
164	VT-conSC(N-S)	GLOBAL	Force	Y Proj	0	0,07623	-2,38	-2,38
164	VT-conSC(S-N)	GLOBAL	Force	Y Proj	0	0,07623	2,38	2,38
164	VL-sinSC(O-E)	GLOBAL	Force	X Proj	0	0,07623	0,28	0,28
164	VL-sinSC(E-O)	GLOBAL	Force	X Proj	0	0,07623	-0,28	-0,28
164	VL-conSC(O-E)	GLOBAL	Force	X Proj	0	0,07623	0,41	0,41
164	VL-conSC(E-O)	GLOBAL	Force	X Proj	0	0,07623	-0,41	-0,41
165	CM	GLOBAL	Force	Gravity	0	0,07622	0,04	0,04
165	VT-sinSC(N-S)	GLOBAL	Force	Y Proj	0	0,07622	-1,6	-1,6
165	VT-sinSC(S-N)	GLOBAL	Force	Y Proj	0	0,07622	1,6	1,6
165	VT-conSC(N-S)	GLOBAL	Force	Y Proj	0	0,07622	-2,38	-2,38
165	VT-conSC(S-N)	GLOBAL	Force	Y Proj	0	0,07622	2,38	2,38
165	VL-sinSC(O-E)	GLOBAL	Force	X Proj	0	0,07622	0,28	0,28
165	VL-sinSC(E-O)	GLOBAL	Force	X Proj	0	0,07622	-0,28	-0,28
165	VL-conSC(O-E)	GLOBAL	Force	X Proj	0	0,07622	0,41	0,41
165	VL-conSC(E-O)	GLOBAL	Force	X Proj	0	0,07622	-0,41	-0,41
166	CM	GLOBAL	Force	Gravity	0	0,0762	0,04	0,04
166	VT-sinSC(N-S)	GLOBAL	Force	Y Proj	0	0,0762	-1,6	-1,6
166	VT-sinSC(S-N)	GLOBAL	Force	Y Proj	0	0,0762	1,6	1,6
166	VT-conSC(N-S)	GLOBAL	Force	Y Proj	0	0,0762	-2,38	-2,38
166	VT-conSC(S-N)	GLOBAL	Force	Y Proj	0	0,0762	2,38	2,38
166	VL-sinSC(O-E)	GLOBAL	Force	X Proj	0	0,0762	0,28	0,28
166	VL-sinSC(E-O)	GLOBAL	Force	X Proj	0	0,0762	-0,28	-0,28
166	VL-conSC(O-E)	GLOBAL	Force	X Proj	0	0,0762	0,41	0,41
166	VL-conSC(E-O)	GLOBAL	Force	X Proj	0	0,0762	-0,41	-0,41
167	CM	GLOBAL	Force	Gravity	0	0,07618	0,04	0,04
167	VT-sinSC(N-S)	GLOBAL	Force	Y Proj	0	0,07618	-1,6	-1,6
167	VT-sinSC(S-N)	GLOBAL	Force	Y Proj	0	0,07618	1,6	1,6
167	VT-conSC(N-S)	GLOBAL	Force	Y Proj	0	0,07618	-2,38	-2,38
167	VT-conSC(S-N)	GLOBAL	Force	Y Proj	0	0,07618	2,38	2,38
167	VL-sinSC(O-E)	GLOBAL	Force	X Proj	0	0,07618	0,28	0,28
167	VL-sinSC(E-O)	GLOBAL	Force	X Proj	0	0,07618	-0,28	-0,28
167	VL-conSC(O-E)	GLOBAL	Force	X Proj	0	0,07618	0,41	0,41
167	VL-conSC(E-O)	GLOBAL	Force	X Proj	0	0,07618	-0,41	-0,41
168	CM	GLOBAL	Force	Gravity	0	0,07615	0,04	0,04
168	VT-sinSC(N-S)	GLOBAL	Force	Y Proj	0	0,07615	-1,6	-1,6
168	VT-sinSC(S-N)	GLOBAL	Force	Y Proj	0	0,07615	1,6	1,6
168	VT-conSC(N-S)	GLOBAL	Force	Y Proj	0	0,07615	-2,38	-2,38



168	VT-conSC(S-N)	GLOBAL	Force	Y Proj	0	0,07615	2,38	2,38
168	VL-sinSC(O-E)	GLOBAL	Force	X Proj	0	0,07615	0,28	0,28
168	VL-sinSC(E-O)	GLOBAL	Force	X Proj	0	0,07615	-0,28	-0,28
168	VL-conSC(O-E)	GLOBAL	Force	X Proj	0	0,07615	0,41	0,41
168	VL-conSC(E-O)	GLOBAL	Force	X Proj	0	0,07615	-0,41	-0,41
169	CM	GLOBAL	Force	Gravity	0	0,07613	0,04	0,04
169	VT-sinSC(N-S)	GLOBAL	Force	Y Proj	0	0,07613	-1,6	-1,6
169	VT-sinSC(S-N)	GLOBAL	Force	Y Proj	0	0,07613	1,6	1,6
169	VT-conSC(N-S)	GLOBAL	Force	Y Proj	0	0,07613	-2,38	-2,38
169	VT-conSC(S-N)	GLOBAL	Force	Y Proj	0	0,07613	2,38	2,38
169	VL-sinSC(O-E)	GLOBAL	Force	X Proj	0	0,07613	0,28	0,28
169	VL-sinSC(E-O)	GLOBAL	Force	X Proj	0	0,07613	-0,28	-0,28
169	VL-conSC(O-E)	GLOBAL	Force	X Proj	0	0,07613	0,41	0,41
169	VL-conSC(E-O)	GLOBAL	Force	X Proj	0	0,07613	-0,41	-0,41
170	CM	GLOBAL	Force	Gravity	0	0,07612	0,04	0,04
170	VT-sinSC(N-S)	GLOBAL	Force	Y Proj	0	0,07612	-1,6	-1,6
170	VT-sinSC(S-N)	GLOBAL	Force	Y Proj	0	0,07612	1,6	1,6
170	VT-conSC(N-S)	GLOBAL	Force	Y Proj	0	0,07612	-2,38	-2,38
170	VT-conSC(S-N)	GLOBAL	Force	Y Proj	0	0,07612	2,38	2,38
170	VL-sinSC(O-E)	GLOBAL	Force	X Proj	0	0,07612	0,28	0,28
170	VL-sinSC(E-O)	GLOBAL	Force	X Proj	0	0,07612	-0,28	-0,28
170	VL-conSC(O-E)	GLOBAL	Force	X Proj	0	0,07612	0,41	0,41
170	VL-conSC(E-O)	GLOBAL	Force	X Proj	0	0,07612	-0,41	-0,41
171	CM	GLOBAL	Force	Gravity	0	0,53926	0,04	0,04
171	VT-sinSC(S-N)	GLOBAL	Force	Y Proj	0	0,53926	1,6	1,6
171	VT-sinSC(N-S)	GLOBAL	Force	Y Proj	0	0,53926	-1,6	-1,6
171	VT-conSC(N-S)	GLOBAL	Force	Y Proj	0	0,53926	-2,38	-2,38
171	VT-conSC(S-N)	GLOBAL	Force	Y Proj	0	0,53926	2,38	2,38
171	VL-sinSC(E-O)	GLOBAL	Force	X Proj	0	0,53926	-0,28	-0,28
171	VL-sinSC(O-E)	GLOBAL	Force	X Proj	0	0,53926	0,28	0,28
171	VL-conSC(O-E)	GLOBAL	Force	X Proj	0	0,53926	0,41	0,41
171	VL-conSC(E-O)	GLOBAL	Force	X Proj	0	0,53926	-0,41	-0,41
172	CM	GLOBAL	Force	Gravity	0	0,07612	0,04	0,04
172	VT-sinSC(N-S)	GLOBAL	Force	Y Proj	0	0,07612	-1,6	-1,6
172	VT-sinSC(S-N)	GLOBAL	Force	Y Proj	0	0,07612	1,6	1,6
172	VT-conSC(N-S)	GLOBAL	Force	Y Proj	0	0,07612	-2,38	-2,38
172	VT-conSC(S-N)	GLOBAL	Force	Y Proj	0	0,07612	2,38	2,38
172	VL-sinSC(O-E)	GLOBAL	Force	X Proj	0	0,07612	0,28	0,28
172	VL-sinSC(E-O)	GLOBAL	Force	X Proj	0	0,07612	-0,28	-0,28

172	VL-conSC(O-E)	GLOBAL	Force	X Proj	0	0,07612	0,41	0,41
172	VL-conSC(E-O)	GLOBAL	Force	X Proj	0	0,07612	-0,41	-0,41
173	CM	GLOBAL	Force	Gravity	0	0,07613	0,04	0,04
173	VT-sinSC(N-S)	GLOBAL	Force	Y Proj	0	0,07613	-1,6	-1,6
173	VT-sinSC(S-N)	GLOBAL	Force	Y Proj	0	0,07613	1,6	1,6
173	VT-conSC(N-S)	GLOBAL	Force	Y Proj	0	0,07613	-2,38	-2,38
173	VT-conSC(S-N)	GLOBAL	Force	Y Proj	0	0,07613	2,38	2,38
173	VL-sinSC(O-E)	GLOBAL	Force	X Proj	0	0,07613	0,28	0,28
173	VL-sinSC(E-O)	GLOBAL	Force	X Proj	0	0,07613	-0,28	-0,28
173	VL-conSC(O-E)	GLOBAL	Force	X Proj	0	0,07613	0,41	0,41
173	VL-conSC(E-O)	GLOBAL	Force	X Proj	0	0,07613	-0,41	-0,41
174	CM	GLOBAL	Force	Gravity	0	0,07615	0,04	0,04
174	VT-sinSC(N-S)	GLOBAL	Force	Y Proj	0	0,07615	-1,6	-1,6
174	VT-sinSC(S-N)	GLOBAL	Force	Y Proj	0	0,07615	1,6	1,6
174	VT-conSC(N-S)	GLOBAL	Force	Y Proj	0	0,07615	-2,38	-2,38
174	VT-conSC(S-N)	GLOBAL	Force	Y Proj	0	0,07615	2,38	2,38
174	VL-sinSC(O-E)	GLOBAL	Force	X Proj	0	0,07615	0,28	0,28
174	VL-sinSC(E-O)	GLOBAL	Force	X Proj	0	0,07615	-0,28	-0,28
174	VL-conSC(O-E)	GLOBAL	Force	X Proj	0	0,07615	0,41	0,41
174	VL-conSC(E-O)	GLOBAL	Force	X Proj	0	0,07615	-0,41	-0,41
175	CM	GLOBAL	Force	Gravity	0	0,07618	0,04	0,04
175	VT-sinSC(N-S)	GLOBAL	Force	Y Proj	0	0,07618	-1,6	-1,6
175	VT-sinSC(S-N)	GLOBAL	Force	Y Proj	0	0,07618	1,6	1,6
175	VT-conSC(N-S)	GLOBAL	Force	Y Proj	0	0,07618	-2,38	-2,38
175	VT-conSC(S-N)	GLOBAL	Force	Y Proj	0	0,07618	2,38	2,38
175	VL-sinSC(O-E)	GLOBAL	Force	X Proj	0	0,07618	0,28	0,28
175	VL-sinSC(E-O)	GLOBAL	Force	X Proj	0	0,07618	-0,28	-0,28
175	VL-conSC(O-E)	GLOBAL	Force	X Proj	0	0,07618	0,41	0,41
175	VL-conSC(E-O)	GLOBAL	Force	X Proj	0	0,07618	-0,41	-0,41
176	CM	GLOBAL	Force	Gravity	0	0,0762	0,04	0,04
176	VT-sinSC(N-S)	GLOBAL	Force	Y Proj	0	0,0762	-1,6	-1,6
176	VT-sinSC(S-N)	GLOBAL	Force	Y Proj	0	0,0762	1,6	1,6
176	VT-conSC(N-S)	GLOBAL	Force	Y Proj	0	0,0762	-2,38	-2,38
176	VT-conSC(S-N)	GLOBAL	Force	Y Proj	0	0,0762	2,38	2,38
176	VL-sinSC(O-E)	GLOBAL	Force	X Proj	0	0,0762	0,28	0,28
176	VL-sinSC(E-O)	GLOBAL	Force	X Proj	0	0,0762	-0,28	-0,28
176	VL-conSC(O-E)	GLOBAL	Force	X Proj	0	0,0762	0,41	0,41
176	VL-conSC(E-O)	GLOBAL	Force	X Proj	0	0,0762	-0,41	-0,41
177	CM	GLOBAL	Force	Gravity	0	0,07622	0,04	0,04



177	VT-sinSC(N-S)	GLOBAL	Force	Y Proj	0	0,07622	-1,6	-1,6
177	VT-sinSC(S-N)	GLOBAL	Force	Y Proj	0	0,07622	1,6	1,6
177	VT-conSC(N-S)	GLOBAL	Force	Y Proj	0	0,07622	-2,38	-2,38
177	VT-conSC(S-N)	GLOBAL	Force	Y Proj	0	0,07622	2,38	2,38
177	VL-sinSC(O-E)	GLOBAL	Force	X Proj	0	0,07622	0,28	0,28
177	VL-sinSC(E-O)	GLOBAL	Force	X Proj	0	0,07622	-0,28	-0,28
177	VL-conSC(O-E)	GLOBAL	Force	X Proj	0	0,07622	0,41	0,41
177	VL-conSC(E-O)	GLOBAL	Force	X Proj	0	0,07622	-0,41	-0,41
178	CM	GLOBAL	Force	Gravity	0	0,07623	0,04	0,04
178	VT-sinSC(N-S)	GLOBAL	Force	Y Proj	0	0,07623	-1,6	-1,6
178	VT-sinSC(S-N)	GLOBAL	Force	Y Proj	0	0,07623	1,6	1,6
178	VT-conSC(N-S)	GLOBAL	Force	Y Proj	0	0,07623	-2,38	-2,38
178	VT-conSC(S-N)	GLOBAL	Force	Y Proj	0	0,07623	2,38	2,38
178	VL-sinSC(O-E)	GLOBAL	Force	X Proj	0	0,07623	0,28	0,28
178	VL-sinSC(E-O)	GLOBAL	Force	X Proj	0	0,07623	-0,28	-0,28
178	VL-conSC(O-E)	GLOBAL	Force	X Proj	0	0,07623	0,41	0,41
178	VL-conSC(E-O)	GLOBAL	Force	X Proj	0	0,07623	-0,41	-0,41
179	CM	GLOBAL	Force	Gravity	0	0,07624	0,04	0,04
179	VT-sinSC(N-S)	GLOBAL	Force	Y Proj	0	0,07624	-1,6	-1,6
179	VT-sinSC(S-N)	GLOBAL	Force	Y Proj	0	0,07624	1,6	1,6
179	VT-conSC(N-S)	GLOBAL	Force	Y Proj	0	0,07624	-2,38	-2,38
179	VT-conSC(S-N)	GLOBAL	Force	Y Proj	0	0,07624	2,38	2,38
179	VL-sinSC(O-E)	GLOBAL	Force	X Proj	0	0,07624	0,28	0,28
179	VL-sinSC(E-O)	GLOBAL	Force	X Proj	0	0,07624	-0,28	-0,28
179	VL-conSC(O-E)	GLOBAL	Force	X Proj	0	0,07624	0,41	0,41
179	VL-conSC(E-O)	GLOBAL	Force	X Proj	0	0,07624	-0,41	-0,41
180	CM	GLOBAL	Force	Gravity	0	0,14713	0,04	0,04
180	VT-sinSC(N-S)	GLOBAL	Force	Y Proj	0	0,14713	-1,6	-1,6
180	VT-sinSC(S-N)	GLOBAL	Force	Y Proj	0	0,14713	1,6	1,6
180	VT-conSC(N-S)	GLOBAL	Force	Y Proj	0	0,14713	-2,38	-2,38
180	VT-conSC(S-N)	GLOBAL	Force	Y Proj	0	0,14713	2,38	2,38
180	VL-sinSC(O-E)	GLOBAL	Force	X Proj	0	0,14713	0,28	0,28
180	VL-sinSC(E-O)	GLOBAL	Force	X Proj	0	0,14713	-0,28	-0,28
180	VL-conSC(O-E)	GLOBAL	Force	X Proj	0	0,14713	0,41	0,41
180	VL-conSC(E-O)	GLOBAL	Force	X Proj	0	0,14713	-0,41	-0,41
181	CM	GLOBAL	Force	Gravity	0	0,14712	0,04	0,04
181	VT-sinSC(N-S)	GLOBAL	Force	Y Proj	0	0,14712	-1,6	-1,6
181	VT-sinSC(S-N)	GLOBAL	Force	Y Proj	0	0,14712	1,6	1,6
181	VT-conSC(N-S)	GLOBAL	Force	Y Proj	0	0,14712	-2,38	-2,38

181	VT-conSC(S-N)	GLOBAL	Force	Y Proj	0	0,14712	2,38	2,38
181	VL-sinSC(O-E)	GLOBAL	Force	X Proj	0	0,14712	0,28	0,28
181	VL-sinSC(E-O)	GLOBAL	Force	X Proj	0	0,14712	-0,28	-0,28
181	VL-conSC(O-E)	GLOBAL	Force	X Proj	0	0,14712	0,41	0,41
181	VL-conSC(E-O)	GLOBAL	Force	X Proj	0	0,14712	-0,41	-0,41
182	CM	GLOBAL	Force	Gravity	0	0,14704	0,04	0,04
182	VT-sinSC(N-S)	GLOBAL	Force	Y Proj	0	0,14704	-1,6	-1,6
182	VT-sinSC(S-N)	GLOBAL	Force	Y Proj	0	0,14704	1,6	1,6
182	VT-conSC(N-S)	GLOBAL	Force	Y Proj	0	0,14704	-2,38	-2,38
182	VT-conSC(S-N)	GLOBAL	Force	Y Proj	0	0,14704	2,38	2,38
182	VL-sinSC(O-E)	GLOBAL	Force	X Proj	0	0,14704	0,28	0,28
182	VL-sinSC(E-O)	GLOBAL	Force	X Proj	0	0,14704	-0,28	-0,28
182	VL-conSC(O-E)	GLOBAL	Force	X Proj	0	0,14704	0,41	0,41
182	VL-conSC(E-O)	GLOBAL	Force	X Proj	0	0,14704	-0,41	-0,41
183	CM	GLOBAL	Force	Gravity	0	0,14693	0,04	0,04
183	VT-sinSC(N-S)	GLOBAL	Force	Y Proj	0	0,14693	-1,6	-1,6
183	VT-sinSC(S-N)	GLOBAL	Force	Y Proj	0	0,14693	1,6	1,6
183	VT-conSC(N-S)	GLOBAL	Force	Y Proj	0	0,14693	-2,38	-2,38
183	VT-conSC(S-N)	GLOBAL	Force	Y Proj	0	0,14693	2,38	2,38
183	VL-sinSC(O-E)	GLOBAL	Force	X Proj	0	0,14693	0,28	0,28
183	VL-sinSC(E-O)	GLOBAL	Force	X Proj	0	0,14693	-0,28	-0,28
183	VL-conSC(O-E)	GLOBAL	Force	X Proj	0	0,14693	0,41	0,41
183	VL-conSC(E-O)	GLOBAL	Force	X Proj	0	0,14693	-0,41	-0,41
184	CM	GLOBAL	Force	Gravity	0	0,14684	0,04	0,04
184	VT-sinSC(N-S)	GLOBAL	Force	Y Proj	0	0,14684	-1,6	-1,6
184	VT-sinSC(S-N)	GLOBAL	Force	Y Proj	0	0,14684	1,6	1,6
184	VT-conSC(N-S)	GLOBAL	Force	Y Proj	0	0,14684	-2,38	-2,38
184	VT-conSC(S-N)	GLOBAL	Force	Y Proj	0	0,14684	2,38	2,38
184	VL-sinSC(O-E)	GLOBAL	Force	X Proj	0	0,14684	0,28	0,28
184	VL-sinSC(E-O)	GLOBAL	Force	X Proj	0	0,14684	-0,28	-0,28
184	VL-conSC(O-E)	GLOBAL	Force	X Proj	0	0,14684	0,41	0,41
184	VL-conSC(E-O)	GLOBAL	Force	X Proj	0	0,14684	-0,41	-0,41
185	CM	GLOBAL	Force	Gravity	0	0,14677	0,04	0,04
185	VT-sinSC(N-S)	GLOBAL	Force	Y Proj	0	0,14677	-1,6	-1,6
185	VT-sinSC(S-N)	GLOBAL	Force	Y Proj	0	0,14677	1,6	1,6
185	VT-conSC(N-S)	GLOBAL	Force	Y Proj	0	0,14677	-2,38	-2,38
185	VT-conSC(S-N)	GLOBAL	Force	Y Proj	0	0,14677	2,38	2,38
185	VL-sinSC(O-E)	GLOBAL	Force	X Proj	0	0,14677	0,28	0,28
185	VL-sinSC(E-O)	GLOBAL	Force	X Proj	0	0,14677	-0,28	-0,28



185	VL-conSC(O-E)	GLOBAL	Force	X Proj	0	0,14677	0,41	0,41
185	VL-conSC(E-O)	GLOBAL	Force	X Proj	0	0,14677	-0,41	-0,41
186	CM	GLOBAL	Force	Gravity	0	0,1467	0,04	0,04
186	VT-sinSC(N-S)	GLOBAL	Force	Y Proj	0	0,1467	-1,6	-1,6
186	VT-sinSC(S-N)	GLOBAL	Force	Y Proj	0	0,1467	1,6	1,6
186	VT-conSC(N-S)	GLOBAL	Force	Y Proj	0	0,1467	-2,38	-2,38
186	VT-conSC(S-N)	GLOBAL	Force	Y Proj	0	0,1467	2,38	2,38
186	VL-sinSC(O-E)	GLOBAL	Force	X Proj	0	0,1467	0,28	0,28
186	VL-sinSC(E-O)	GLOBAL	Force	X Proj	0	0,1467	-0,28	-0,28
186	VL-conSC(O-E)	GLOBAL	Force	X Proj	0	0,1467	0,41	0,41
186	VL-conSC(E-O)	GLOBAL	Force	X Proj	0	0,1467	-0,41	-0,41
187	CM	GLOBAL	Force	Gravity	0	0,14665	0,04	0,04
187	VT-sinSC(N-S)	GLOBAL	Force	Y Proj	0	0,14665	-1,6	-1,6
187	VT-sinSC(S-N)	GLOBAL	Force	Y Proj	0	0,14665	1,6	1,6
187	VT-conSC(N-S)	GLOBAL	Force	Y Proj	0	0,14665	-2,38	-2,38
187	VT-conSC(S-N)	GLOBAL	Force	Y Proj	0	0,14665	2,38	2,38
187	VL-sinSC(O-E)	GLOBAL	Force	X Proj	0	0,14665	0,28	0,28
187	VL-sinSC(E-O)	GLOBAL	Force	X Proj	0	0,14665	-0,28	-0,28
187	VL-conSC(O-E)	GLOBAL	Force	X Proj	0	0,14665	0,41	0,41
187	VL-conSC(E-O)	GLOBAL	Force	X Proj	0	0,14665	-0,41	-0,41
188	CM	GLOBAL	Force	Gravity	0	0,14661	0,04	0,04
188	VT-sinSC(N-S)	GLOBAL	Force	Y Proj	0	0,14661	-1,6	-1,6
188	VT-sinSC(S-N)	GLOBAL	Force	Y Proj	0	0,14661	1,6	1,6
188	VT-conSC(N-S)	GLOBAL	Force	Y Proj	0	0,14661	-2,38	-2,38
188	VT-conSC(S-N)	GLOBAL	Force	Y Proj	0	0,14661	2,38	2,38
188	VL-sinSC(O-E)	GLOBAL	Force	X Proj	0	0,14661	0,28	0,28
188	VL-sinSC(E-O)	GLOBAL	Force	X Proj	0	0,14661	-0,28	-0,28
188	VL-conSC(O-E)	GLOBAL	Force	X Proj	0	0,14661	0,41	0,41
188	VL-conSC(E-O)	GLOBAL	Force	X Proj	0	0,14661	-0,41	-0,41
189	CM	GLOBAL	Force	Gravity	0	0,14659	0,04	0,04
189	VT-sinSC(N-S)	GLOBAL	Force	Y Proj	0	0,14659	-1,6	-1,6
189	VT-sinSC(S-N)	GLOBAL	Force	Y Proj	0	0,14659	1,6	1,6
189	VT-conSC(N-S)	GLOBAL	Force	Y Proj	0	0,14659	-2,38	-2,38
189	VT-conSC(S-N)	GLOBAL	Force	Y Proj	0	0,14659	2,38	2,38
189	VL-sinSC(O-E)	GLOBAL	Force	X Proj	0	0,14659	0,28	0,28
189	VL-sinSC(E-O)	GLOBAL	Force	X Proj	0	0,14659	-0,28	-0,28
189	VL-conSC(O-E)	GLOBAL	Force	X Proj	0	0,14659	0,41	0,41
189	VL-conSC(E-O)	GLOBAL	Force	X Proj	0	0,14659	-0,41	-0,41
190	CM	GLOBAL	Force	Gravity	0	0,14657	0,04	0,04

190	VT-sinSC(N-S)	GLOBAL	Force	Y Proj	0	0,14657	-1,6	-1,6
190	VT-sinSC(S-N)	GLOBAL	Force	Y Proj	0	0,14657	1,6	1,6
190	VT-conSC(N-S)	GLOBAL	Force	Y Proj	0	0,14657	-2,38	-2,38
190	VT-conSC(S-N)	GLOBAL	Force	Y Proj	0	0,14657	2,38	2,38
190	VL-sinSC(O-E)	GLOBAL	Force	X Proj	0	0,14657	0,28	0,28
190	VL-sinSC(E-O)	GLOBAL	Force	X Proj	0	0,14657	-0,28	-0,28
190	VL-conSC(O-E)	GLOBAL	Force	X Proj	0	0,14657	0,41	0,41
190	VL-conSC(E-O)	GLOBAL	Force	X Proj	0	0,14657	-0,41	-0,41
191	CM	GLOBAL	Force	Gravity	0	0,53926	0,04	0,04
191	VT-sinSC(N-S)	GLOBAL	Force	Y Proj	0	0,53926	1,6	1,6
191	VT-sinSC(S-N)	GLOBAL	Force	Y Proj	0	0,53926	-1,6	-1,6
191	VT-conSC(N-S)	GLOBAL	Force	Y Proj	0	0,53926	-2,38	-2,38
191	VT-conSC(S-N)	GLOBAL	Force	Y Proj	0	0,53926	2,38	2,38
191	VL-sinSC(E-O)	GLOBAL	Force	X Proj	0	0,53926	-0,28	-0,28
191	VL-sinSC(O-E)	GLOBAL	Force	X Proj	0	0,53926	0,28	0,28
191	VL-conSC(O-E)	GLOBAL	Force	X Proj	0	0,53926	0,41	0,41
191	VL-conSC(E-O)	GLOBAL	Force	X Proj	0	0,53926	-0,41	-0,41
192	CM	GLOBAL	Force	Gravity	0	0,14658	0,04	0,04
192	VT-sinSC(N-S)	GLOBAL	Force	Y Proj	0	0,14658	-1,6	-1,6
192	VT-sinSC(S-N)	GLOBAL	Force	Y Proj	0	0,14658	1,6	1,6
192	VT-conSC(N-S)	GLOBAL	Force	Y Proj	0	0,14658	-2,38	-2,38
192	VT-conSC(S-N)	GLOBAL	Force	Y Proj	0	0,14658	2,38	2,38
192	VL-sinSC(O-E)	GLOBAL	Force	X Proj	0	0,14658	0,28	0,28
192	VL-sinSC(E-O)	GLOBAL	Force	X Proj	0	0,14658	-0,28	-0,28
192	VL-conSC(O-E)	GLOBAL	Force	X Proj	0	0,14658	0,41	0,41
192	VL-conSC(E-O)	GLOBAL	Force	X Proj	0	0,14658	-0,41	-0,41
193	CM	GLOBAL	Force	Gravity	0	0,14661	0,04	0,04
193	VT-sinSC(N-S)	GLOBAL	Force	Y Proj	0	0,14661	-1,6	-1,6
193	VT-sinSC(S-N)	GLOBAL	Force	Y Proj	0	0,14661	1,6	1,6
193	VT-conSC(N-S)	GLOBAL	Force	Y Proj	0	0,14661	-2,38	-2,38
193	VT-conSC(S-N)	GLOBAL	Force	Y Proj	0	0,14661	2,38	2,38
193	VL-sinSC(O-E)	GLOBAL	Force	X Proj	0	0,14661	0,28	0,28
193	VL-sinSC(E-O)	GLOBAL	Force	X Proj	0	0,14661	-0,28	-0,28
193	VL-conSC(O-E)	GLOBAL	Force	X Proj	0	0,14661	0,41	0,41
193	VL-conSC(E-O)	GLOBAL	Force	X Proj	0	0,14661	-0,41	-0,41
194	CM	GLOBAL	Force	Gravity	0	0,14665	0,04	0,04
194	VT-sinSC(N-S)	GLOBAL	Force	Y Proj	0	0,14665	-1,6	-1,6
194	VT-sinSC(S-N)	GLOBAL	Force	Y Proj	0	0,14665	1,6	1,6
194	VT-conSC(N-S)	GLOBAL	Force	Y Proj	0	0,14665	-2,38	-2,38



194	VT-conSC(S-N)	GLOBAL	Force	Y Proj	0	0,14665	2,38	2,38
194	VL-sinSC(O-E)	GLOBAL	Force	X Proj	0	0,14665	0,28	0,28
194	VL-sinSC(E-O)	GLOBAL	Force	X Proj	0	0,14665	-0,28	-0,28
194	VL-conSC(O-E)	GLOBAL	Force	X Proj	0	0,14665	0,41	0,41
194	VL-conSC(E-O)	GLOBAL	Force	X Proj	0	0,14665	-0,41	-0,41
195	CM	GLOBAL	Force	Gravity	0	0,14669	0,04	0,04
195	VT-sinSC(N-S)	GLOBAL	Force	Y Proj	0	0,14669	-1,6	-1,6
195	VT-sinSC(S-N)	GLOBAL	Force	Y Proj	0	0,14669	1,6	1,6
195	VT-conSC(N-S)	GLOBAL	Force	Y Proj	0	0,14669	-2,38	-2,38
195	VT-conSC(S-N)	GLOBAL	Force	Y Proj	0	0,14669	2,38	2,38
195	VL-sinSC(O-E)	GLOBAL	Force	X Proj	0	0,14669	0,28	0,28
195	VL-sinSC(E-O)	GLOBAL	Force	X Proj	0	0,14669	-0,28	-0,28
195	VL-conSC(O-E)	GLOBAL	Force	X Proj	0	0,14669	0,41	0,41
195	VL-conSC(E-O)	GLOBAL	Force	X Proj	0	0,14669	-0,41	-0,41
196	CM	GLOBAL	Force	Gravity	0	0,14676	0,04	0,04
196	VT-sinSC(N-S)	GLOBAL	Force	Y Proj	0	0,14676	-1,6	-1,6
196	VT-sinSC(S-N)	GLOBAL	Force	Y Proj	0	0,14676	1,6	1,6
196	VT-conSC(N-S)	GLOBAL	Force	Y Proj	0	0,14676	-2,38	-2,38
196	VT-conSC(S-N)	GLOBAL	Force	Y Proj	0	0,14676	2,38	2,38
196	VL-sinSC(O-E)	GLOBAL	Force	X Proj	0	0,14676	0,28	0,28
196	VL-sinSC(E-O)	GLOBAL	Force	X Proj	0	0,14676	-0,28	-0,28
196	VL-conSC(O-E)	GLOBAL	Force	X Proj	0	0,14676	0,41	0,41
196	VL-conSC(E-O)	GLOBAL	Force	X Proj	0	0,14676	-0,41	-0,41
197	CM	GLOBAL	Force	Gravity	0	0,14683	0,04	0,04
197	VT-sinSC(N-S)	GLOBAL	Force	Y Proj	0	0,14683	-1,6	-1,6
197	VT-sinSC(S-N)	GLOBAL	Force	Y Proj	0	0,14683	1,6	1,6
197	VT-conSC(N-S)	GLOBAL	Force	Y Proj	0	0,14683	-2,38	-2,38
197	VT-conSC(S-N)	GLOBAL	Force	Y Proj	0	0,14683	2,38	2,38
197	VL-sinSC(O-E)	GLOBAL	Force	X Proj	0	0,14683	0,28	0,28
197	VL-sinSC(E-O)	GLOBAL	Force	X Proj	0	0,14683	-0,28	-0,28
197	VL-conSC(O-E)	GLOBAL	Force	X Proj	0	0,14683	0,41	0,41
197	VL-conSC(E-O)	GLOBAL	Force	X Proj	0	0,14683	-0,41	-0,41
198	CM	GLOBAL	Force	Gravity	0	0,14692	0,04	0,04
198	VT-sinSC(N-S)	GLOBAL	Force	Y Proj	0	0,14692	-1,6	-1,6
198	VT-sinSC(S-N)	GLOBAL	Force	Y Proj	0	0,14692	1,6	1,6
198	VT-conSC(N-S)	GLOBAL	Force	Y Proj	0	0,14692	-2,38	-2,38
198	VT-conSC(S-N)	GLOBAL	Force	Y Proj	0	0,14692	2,38	2,38
198	VL-sinSC(O-E)	GLOBAL	Force	X Proj	0	0,14692	0,28	0,28
198	VL-sinSC(E-O)	GLOBAL	Force	X Proj	0	0,14692	-0,28	-0,28

198	VL-conSC(O-E)	GLOBAL	Force	X Proj	0	0,14692	0,41	0,41
198	VL-conSC(E-O)	GLOBAL	Force	X Proj	0	0,14692	-0,41	-0,41
199	CM	GLOBAL	Force	Gravity	0	0,14702	0,04	0,04
199	VT-sinSC(N-S)	GLOBAL	Force	Y Proj	0	0,14702	-1,6	-1,6
199	VT-sinSC(S-N)	GLOBAL	Force	Y Proj	0	0,14702	1,6	1,6
199	VT-conSC(N-S)	GLOBAL	Force	Y Proj	0	0,14702	-2,38	-2,38
199	VT-conSC(S-N)	GLOBAL	Force	Y Proj	0	0,14702	2,38	2,38
199	VL-sinSC(O-E)	GLOBAL	Force	X Proj	0	0,14702	0,28	0,28
199	VL-sinSC(E-O)	GLOBAL	Force	X Proj	0	0,14702	-0,28	-0,28
199	VL-conSC(O-E)	GLOBAL	Force	X Proj	0	0,14702	0,41	0,41
199	VL-conSC(E-O)	GLOBAL	Force	X Proj	0	0,14702	-0,41	-0,41
200	CM	GLOBAL	Force	Gravity	0	0,14713	0,04	0,04
200	VT-sinSC(N-S)	GLOBAL	Force	Y Proj	0	0,14713	-1,6	-1,6
200	VT-sinSC(S-N)	GLOBAL	Force	Y Proj	0	0,14713	1,6	1,6
200	VT-conSC(N-S)	GLOBAL	Force	Y Proj	0	0,14713	-2,38	-2,38
200	VT-conSC(S-N)	GLOBAL	Force	Y Proj	0	0,14713	2,38	2,38
200	VL-sinSC(O-E)	GLOBAL	Force	X Proj	0	0,14713	0,28	0,28
200	VL-sinSC(E-O)	GLOBAL	Force	X Proj	0	0,14713	-0,28	-0,28
200	VL-conSC(O-E)	GLOBAL	Force	X Proj	0	0,14713	0,41	0,41
200	VL-conSC(E-O)	GLOBAL	Force	X Proj	0	0,14713	-0,41	-0,41
201	CM	GLOBAL	Force	Gravity	0	0,14718	0,04	0,04
201	VT-sinSC(N-S)	GLOBAL	Force	Y Proj	0	0,14718	-1,6	-1,6
201	VT-sinSC(S-N)	GLOBAL	Force	Y Proj	0	0,14718	1,6	1,6
201	VT-conSC(N-S)	GLOBAL	Force	Y Proj	0	0,14718	-2,38	-2,38
201	VT-conSC(S-N)	GLOBAL	Force	Y Proj	0	0,14718	2,38	2,38
201	VL-sinSC(O-E)	GLOBAL	Force	X Proj	0	0,14718	0,28	0,28
201	VL-sinSC(E-O)	GLOBAL	Force	X Proj	0	0,14718	-0,28	-0,28
201	VL-conSC(O-E)	GLOBAL	Force	X Proj	0	0,14718	0,41	0,41
201	VL-conSC(E-O)	GLOBAL	Force	X Proj	0	0,14718	-0,41	-0,41
202	CM	GLOBAL	Force	Gravity	0	0,14713	0,04	0,04
202	VT-sinSC(N-S)	GLOBAL	Force	Y Proj	0	0,14713	-1,6	-1,6
202	VT-sinSC(S-N)	GLOBAL	Force	Y Proj	0	0,14713	1,6	1,6
202	VT-conSC(N-S)	GLOBAL	Force	Y Proj	0	0,14713	-2,38	-2,38
202	VT-conSC(S-N)	GLOBAL	Force	Y Proj	0	0,14713	2,38	2,38
202	VL-sinSC(O-E)	GLOBAL	Force	X Proj	0	0,14713	0,28	0,28
202	VL-sinSC(E-O)	GLOBAL	Force	X Proj	0	0,14713	-0,28	-0,28
202	VL-conSC(O-E)	GLOBAL	Force	X Proj	0	0,14713	0,41	0,41
202	VL-conSC(E-O)	GLOBAL	Force	X Proj	0	0,14713	-0,41	-0,41
203	CM	GLOBAL	Force	Gravity	0	0,53926	0,04	0,04



203	VT-sinSC(S-N)	GLOBAL	Force	Y Proj	0	0,53926	1,6	1,6
203	VT-sinSC(N-S)	GLOBAL	Force	Y Proj	0	0,53926	-1,6	-1,6
203	VT-conSC(N-S)	GLOBAL	Force	Y Proj	0	0,53926	-2,38	-2,38
203	VT-conSC(S-N)	GLOBAL	Force	Y Proj	0	0,53926	2,38	2,38
203	VL-sinSC(E-O)	GLOBAL	Force	X Proj	0	0,53926	-0,28	-0,28
203	VL-sinSC(O-E)	GLOBAL	Force	X Proj	0	0,53926	0,28	0,28
203	VL-conSC(O-E)	GLOBAL	Force	X Proj	0	0,53926	0,41	0,41
203	VL-conSC(E-O)	GLOBAL	Force	X Proj	0	0,53926	-0,41	-0,41
204	CM	GLOBAL	Force	Gravity	0	0,14707	0,04	0,04
204	VT-sinSC(N-S)	GLOBAL	Force	Y Proj	0	0,14707	-1,6	-1,6
204	VT-sinSC(S-N)	GLOBAL	Force	Y Proj	0	0,14707	1,6	1,6
204	VT-conSC(N-S)	GLOBAL	Force	Y Proj	0	0,14707	-2,38	-2,38
204	VT-conSC(S-N)	GLOBAL	Force	Y Proj	0	0,14707	2,38	2,38
204	VL-sinSC(O-E)	GLOBAL	Force	X Proj	0	0,14707	0,28	0,28
204	VL-sinSC(E-O)	GLOBAL	Force	X Proj	0	0,14707	-0,28	-0,28
204	VL-conSC(O-E)	GLOBAL	Force	X Proj	0	0,14707	0,41	0,41
204	VL-conSC(E-O)	GLOBAL	Force	X Proj	0	0,14707	-0,41	-0,41
205	CM	GLOBAL	Force	Gravity	0	0,14705	0,04	0,04
205	VT-sinSC(N-S)	GLOBAL	Force	Y Proj	0	0,14705	-1,6	-1,6
205	VT-sinSC(S-N)	GLOBAL	Force	Y Proj	0	0,14705	1,6	1,6
205	VT-conSC(N-S)	GLOBAL	Force	Y Proj	0	0,14705	-2,38	-2,38
205	VT-conSC(S-N)	GLOBAL	Force	Y Proj	0	0,14705	2,38	2,38
205	VL-sinSC(O-E)	GLOBAL	Force	X Proj	0	0,14705	0,28	0,28
205	VL-sinSC(E-O)	GLOBAL	Force	X Proj	0	0,14705	-0,28	-0,28
205	VL-conSC(O-E)	GLOBAL	Force	X Proj	0	0,14705	0,41	0,41
205	VL-conSC(E-O)	GLOBAL	Force	X Proj	0	0,14705	-0,41	-0,41
206	CM	GLOBAL	Force	Gravity	0	0,14705	0,04	0,04
206	VT-sinSC(N-S)	GLOBAL	Force	Y Proj	0	0,14705	-1,6	-1,6
206	VT-sinSC(S-N)	GLOBAL	Force	Y Proj	0	0,14705	1,6	1,6
206	VT-conSC(N-S)	GLOBAL	Force	Y Proj	0	0,14705	-2,38	-2,38
206	VT-conSC(S-N)	GLOBAL	Force	Y Proj	0	0,14705	2,38	2,38
206	VL-sinSC(O-E)	GLOBAL	Force	X Proj	0	0,14705	0,28	0,28
206	VL-sinSC(E-O)	GLOBAL	Force	X Proj	0	0,14705	-0,28	-0,28
206	VL-conSC(O-E)	GLOBAL	Force	X Proj	0	0,14705	0,41	0,41
206	VL-conSC(E-O)	GLOBAL	Force	X Proj	0	0,14705	-0,41	-0,41
207	CM	GLOBAL	Force	Gravity	0	0,14706	0,04	0,04
207	VT-sinSC(N-S)	GLOBAL	Force	Y Proj	0	0,14706	-1,6	-1,6
207	VT-sinSC(S-N)	GLOBAL	Force	Y Proj	0	0,14706	1,6	1,6
207	VT-conSC(N-S)	GLOBAL	Force	Y Proj	0	0,14706	-2,38	-2,38

207	VT-conSC(S-N)	GLOBAL	Force	Y Proj	0	0,14706	2,38	2,38
207	VL-sinSC(O-E)	GLOBAL	Force	X Proj	0	0,14706	0,28	0,28
207	VL-sinSC(E-O)	GLOBAL	Force	X Proj	0	0,14706	-0,28	-0,28
207	VL-conSC(O-E)	GLOBAL	Force	X Proj	0	0,14706	0,41	0,41
207	VL-conSC(E-O)	GLOBAL	Force	X Proj	0	0,14706	-0,41	-0,41
208	CM	GLOBAL	Force	Gravity	0	0,14709	0,04	0,04
208	VT-sinSC(N-S)	GLOBAL	Force	Y Proj	0	0,14709	-1,6	-1,6
208	VT-sinSC(S-N)	GLOBAL	Force	Y Proj	0	0,14709	1,6	1,6
208	VT-conSC(N-S)	GLOBAL	Force	Y Proj	0	0,14709	-2,38	-2,38
208	VT-conSC(S-N)	GLOBAL	Force	Y Proj	0	0,14709	2,38	2,38
208	VL-sinSC(O-E)	GLOBAL	Force	X Proj	0	0,14709	0,28	0,28
208	VL-sinSC(E-O)	GLOBAL	Force	X Proj	0	0,14709	-0,28	-0,28
208	VL-conSC(O-E)	GLOBAL	Force	X Proj	0	0,14709	0,41	0,41
208	VL-conSC(E-O)	GLOBAL	Force	X Proj	0	0,14709	-0,41	-0,41
209	CM	GLOBAL	Force	Gravity	0	0,14712	0,04	0,04
209	VT-sinSC(N-S)	GLOBAL	Force	Y Proj	0	0,14712	-1,6	-1,6
209	VT-sinSC(S-N)	GLOBAL	Force	Y Proj	0	0,14712	1,6	1,6
209	VT-conSC(N-S)	GLOBAL	Force	Y Proj	0	0,14712	-2,38	-2,38
209	VT-conSC(S-N)	GLOBAL	Force	Y Proj	0	0,14712	2,38	2,38
209	VL-sinSC(O-E)	GLOBAL	Force	X Proj	0	0,14712	0,28	0,28
209	VL-sinSC(E-O)	GLOBAL	Force	X Proj	0	0,14712	-0,28	-0,28
209	VL-conSC(O-E)	GLOBAL	Force	X Proj	0	0,14712	0,41	0,41
209	VL-conSC(E-O)	GLOBAL	Force	X Proj	0	0,14712	-0,41	-0,41
210	CM	GLOBAL	Force	Gravity	0	0,14717	0,04	0,04
210	VT-sinSC(N-S)	GLOBAL	Force	Y Proj	0	0,14717	-1,6	-1,6
210	VT-sinSC(S-N)	GLOBAL	Force	Y Proj	0	0,14717	1,6	1,6
210	VT-conSC(N-S)	GLOBAL	Force	Y Proj	0	0,14717	-2,38	-2,38
210	VT-conSC(S-N)	GLOBAL	Force	Y Proj	0	0,14717	2,38	2,38
210	VL-sinSC(O-E)	GLOBAL	Force	X Proj	0	0,14717	0,28	0,28
210	VL-sinSC(E-O)	GLOBAL	Force	X Proj	0	0,14717	-0,28	-0,28
210	VL-conSC(O-E)	GLOBAL	Force	X Proj	0	0,14717	0,41	0,41
210	VL-conSC(E-O)	GLOBAL	Force	X Proj	0	0,14717	-0,41	-0,41
211	CM	GLOBAL	Force	Gravity	0	0,14718	0,04	0,04
211	VT-sinSC(N-S)	GLOBAL	Force	Y Proj	0	0,14718	-1,6	-1,6
211	VT-sinSC(S-N)	GLOBAL	Force	Y Proj	0	0,14718	1,6	1,6
211	VT-conSC(N-S)	GLOBAL	Force	Y Proj	0	0,14718	-2,38	-2,38
211	VT-conSC(S-N)	GLOBAL	Force	Y Proj	0	0,14718	2,38	2,38
211	VL-sinSC(O-E)	GLOBAL	Force	X Proj	0	0,14718	0,28	0,28
211	VL-sinSC(E-O)	GLOBAL	Force	X Proj	0	0,14718	-0,28	-0,28



211	VL-conSC(O-E)	GLOBAL	Force	X Proj	0	0,14718	0,41	0,41
211	VL-conSC(E-O)	GLOBAL	Force	X Proj	0	0,14718	-0,41	-0,41
212	CM	GLOBAL	Force	Gravity	0	0,14713	0,04	0,04
212	VT-sinSC(N-S)	GLOBAL	Force	Y Proj	0	0,14713	-1,6	-1,6
212	VT-sinSC(S-N)	GLOBAL	Force	Y Proj	0	0,14713	1,6	1,6
212	VT-conSC(N-S)	GLOBAL	Force	Y Proj	0	0,14713	-2,38	-2,38
212	VT-conSC(S-N)	GLOBAL	Force	Y Proj	0	0,14713	2,38	2,38
212	VL-sinSC(O-E)	GLOBAL	Force	X Proj	0	0,14713	0,28	0,28
212	VL-sinSC(E-O)	GLOBAL	Force	X Proj	0	0,14713	-0,28	-0,28
212	VL-conSC(O-E)	GLOBAL	Force	X Proj	0	0,14713	0,41	0,41
212	VL-conSC(E-O)	GLOBAL	Force	X Proj	0	0,14713	-0,41	-0,41
213	CM	GLOBAL	Force	Gravity	0	0,14708	0,04	0,04
213	VT-sinSC(N-S)	GLOBAL	Force	Y Proj	0	0,14708	-1,6	-1,6
213	VT-sinSC(S-N)	GLOBAL	Force	Y Proj	0	0,14708	1,6	1,6
213	VT-conSC(N-S)	GLOBAL	Force	Y Proj	0	0,14708	-2,38	-2,38
213	VT-conSC(S-N)	GLOBAL	Force	Y Proj	0	0,14708	2,38	2,38
213	VL-sinSC(O-E)	GLOBAL	Force	X Proj	0	0,14708	0,28	0,28
213	VL-sinSC(E-O)	GLOBAL	Force	X Proj	0	0,14708	-0,28	-0,28
213	VL-conSC(O-E)	GLOBAL	Force	X Proj	0	0,14708	0,41	0,41
213	VL-conSC(E-O)	GLOBAL	Force	X Proj	0	0,14708	-0,41	-0,41
214	CM	GLOBAL	Force	Gravity	0	0,14704	0,04	0,04
214	VT-sinSC(N-S)	GLOBAL	Force	Y Proj	0	0,14704	-1,6	-1,6
214	VT-sinSC(S-N)	GLOBAL	Force	Y Proj	0	0,14704	1,6	1,6
214	VT-conSC(N-S)	GLOBAL	Force	Y Proj	0	0,14704	-2,38	-2,38
214	VT-conSC(S-N)	GLOBAL	Force	Y Proj	0	0,14704	2,38	2,38
214	VL-sinSC(O-E)	GLOBAL	Force	X Proj	0	0,14704	0,28	0,28
214	VL-sinSC(E-O)	GLOBAL	Force	X Proj	0	0,14704	-0,28	-0,28
214	VL-conSC(O-E)	GLOBAL	Force	X Proj	0	0,14704	0,41	0,41
214	VL-conSC(E-O)	GLOBAL	Force	X Proj	0	0,14704	-0,41	-0,41
216	CM	GLOBAL	Force	Gravity	0	0,14701	0,04	0,04
216	VT-sinSC(N-S)	GLOBAL	Force	Y Proj	0	0,14701	-1,6	-1,6
216	VT-sinSC(S-N)	GLOBAL	Force	Y Proj	0	0,14701	1,6	1,6
216	VT-conSC(N-S)	GLOBAL	Force	Y Proj	0	0,14701	-2,38	-2,38
216	VT-conSC(S-N)	GLOBAL	Force	Y Proj	0	0,14701	2,38	2,38
216	VL-sinSC(O-E)	GLOBAL	Force	X Proj	0	0,14701	0,28	0,28
216	VL-sinSC(E-O)	GLOBAL	Force	X Proj	0	0,14701	-0,28	-0,28
216	VL-conSC(O-E)	GLOBAL	Force	X Proj	0	0,14701	0,41	0,41
216	VL-conSC(E-O)	GLOBAL	Force	X Proj	0	0,14701	-0,41	-0,41
217	CM	GLOBAL	Force	Gravity	0	0,14702	0,04	0,04

217	VT-sinSC(N-S)	GLOBAL	Force	Y Proj	0	0,14702	-1,6	-1,6
217	VT-sinSC(S-N)	GLOBAL	Force	Y Proj	0	0,14702	1,6	1,6
217	VT-conSC(N-S)	GLOBAL	Force	Y Proj	0	0,14702	-2,38	-2,38
217	VT-conSC(S-N)	GLOBAL	Force	Y Proj	0	0,14702	2,38	2,38
217	VL-sinSC(O-E)	GLOBAL	Force	X Proj	0	0,14702	0,28	0,28
217	VL-sinSC(E-O)	GLOBAL	Force	X Proj	0	0,14702	-0,28	-0,28
217	VL-conSC(O-E)	GLOBAL	Force	X Proj	0	0,14702	0,41	0,41
217	VL-conSC(E-O)	GLOBAL	Force	X Proj	0	0,14702	-0,41	-0,41
218	CM	GLOBAL	Force	Gravity	0	0,14703	0,04	0,04
218	VT-sinSC(N-S)	GLOBAL	Force	Y Proj	0	0,14703	-1,6	-1,6
218	VT-sinSC(S-N)	GLOBAL	Force	Y Proj	0	0,14703	1,6	1,6
218	VT-conSC(N-S)	GLOBAL	Force	Y Proj	0	0,14703	-2,38	-2,38
218	VT-conSC(S-N)	GLOBAL	Force	Y Proj	0	0,14703	2,38	2,38
218	VL-sinSC(O-E)	GLOBAL	Force	X Proj	0	0,14703	0,28	0,28
218	VL-sinSC(E-O)	GLOBAL	Force	X Proj	0	0,14703	-0,28	-0,28
218	VL-conSC(O-E)	GLOBAL	Force	X Proj	0	0,14703	0,41	0,41
218	VL-conSC(E-O)	GLOBAL	Force	X Proj	0	0,14703	-0,41	-0,41
219	CM	GLOBAL	Force	Gravity	0	0,14706	0,04	0,04
219	VT-sinSC(N-S)	GLOBAL	Force	Y Proj	0	0,14706	-1,6	-1,6
219	VT-sinSC(S-N)	GLOBAL	Force	Y Proj	0	0,14706	1,6	1,6
219	VT-conSC(N-S)	GLOBAL	Force	Y Proj	0	0,14706	-2,38	-2,38
219	VT-conSC(S-N)	GLOBAL	Force	Y Proj	0	0,14706	2,38	2,38
219	VL-sinSC(O-E)	GLOBAL	Force	X Proj	0	0,14706	0,28	0,28
219	VL-sinSC(E-O)	GLOBAL	Force	X Proj	0	0,14706	-0,28	-0,28
219	VL-conSC(O-E)	GLOBAL	Force	X Proj	0	0,14706	0,41	0,41
219	VL-conSC(E-O)	GLOBAL	Force	X Proj	0	0,14706	-0,41	-0,41
220	CM	GLOBAL	Force	Gravity	0	0,1471	0,04	0,04
220	VT-sinSC(N-S)	GLOBAL	Force	Y Proj	0	0,1471	-1,6	-1,6
220	VT-sinSC(S-N)	GLOBAL	Force	Y Proj	0	0,1471	1,6	1,6
220	VT-conSC(N-S)	GLOBAL	Force	Y Proj	0	0,1471	-2,38	-2,38
220	VT-conSC(S-N)	GLOBAL	Force	Y Proj	0	0,1471	2,38	2,38
220	VL-sinSC(O-E)	GLOBAL	Force	X Proj	0	0,1471	0,28	0,28
220	VL-sinSC(E-O)	GLOBAL	Force	X Proj	0	0,1471	-0,28	-0,28
220	VL-conSC(O-E)	GLOBAL	Force	X Proj	0	0,1471	0,41	0,41
220	VL-conSC(E-O)	GLOBAL	Force	X Proj	0	0,1471	-0,41	-0,41
221	CM	GLOBAL	Force	Gravity	0	0,14715	0,04	0,04
221	VT-sinSC(N-S)	GLOBAL	Force	Y Proj	0	0,14715	-1,6	-1,6
221	VT-sinSC(S-N)	GLOBAL	Force	Y Proj	0	0,14715	1,6	1,6
221	VT-conSC(N-S)	GLOBAL	Force	Y Proj	0	0,14715	-2,38	-2,38



221	VT-conSC(S-N)	GLOBAL	Force	Y Proj	0	0,14715	2,38	2,38
221	VL-sinSC(O-E)	GLOBAL	Force	X Proj	0	0,14715	0,28	0,28
221	VL-sinSC(E-O)	GLOBAL	Force	X Proj	0	0,14715	-0,28	-0,28
221	VL-conSC(O-E)	GLOBAL	Force	X Proj	0	0,14715	0,41	0,41
221	VL-conSC(E-O)	GLOBAL	Force	X Proj	0	0,14715	-0,41	-0,41
222	CM	GLOBAL	Force	Gravity	0	0,14718	0,04	0,04
222	VT-sinSC(N-S)	GLOBAL	Force	Y Proj	0	0,14718	-1,6	-1,6
222	VT-sinSC(S-N)	GLOBAL	Force	Y Proj	0	0,14718	1,6	1,6
222	VT-conSC(N-S)	GLOBAL	Force	Y Proj	0	0,14718	-2,38	-2,38
222	VT-conSC(S-N)	GLOBAL	Force	Y Proj	0	0,14718	2,38	2,38
222	VL-sinSC(O-E)	GLOBAL	Force	X Proj	0	0,14718	0,28	0,28
222	VL-sinSC(E-O)	GLOBAL	Force	X Proj	0	0,14718	-0,28	-0,28
222	VL-conSC(O-E)	GLOBAL	Force	X Proj	0	0,14718	0,41	0,41
222	VL-conSC(E-O)	GLOBAL	Force	X Proj	0	0,14718	-0,41	-0,41
223	CM	GLOBAL	Force	Gravity	0	0,14709	0,04	0,04
223	VT-sinSC(N-S)	GLOBAL	Force	Y Proj	0	0,14709	-1,6	-1,6
223	VT-sinSC(S-N)	GLOBAL	Force	Y Proj	0	0,14709	1,6	1,6
223	VT-conSC(N-S)	GLOBAL	Force	Y Proj	0	0,14709	-2,38	-2,38
223	VT-conSC(S-N)	GLOBAL	Force	Y Proj	0	0,14709	2,38	2,38
223	VL-sinSC(O-E)	GLOBAL	Force	X Proj	0	0,14709	0,28	0,28
223	VL-sinSC(E-O)	GLOBAL	Force	X Proj	0	0,14709	-0,28	-0,28
223	VL-conSC(O-E)	GLOBAL	Force	X Proj	0	0,14709	0,41	0,41
223	VL-conSC(E-O)	GLOBAL	Force	X Proj	0	0,14709	-0,41	-0,41
224	CM	GLOBAL	Force	Gravity	0	0,147	0,04	0,04
224	VT-sinSC(N-S)	GLOBAL	Force	Y Proj	0	0,147	-1,6	-1,6
224	VT-sinSC(S-N)	GLOBAL	Force	Y Proj	0	0,147	1,6	1,6
224	VT-conSC(N-S)	GLOBAL	Force	Y Proj	0	0,147	-2,38	-2,38
224	VT-conSC(S-N)	GLOBAL	Force	Y Proj	0	0,147	2,38	2,38
224	VL-sinSC(O-E)	GLOBAL	Force	X Proj	0	0,147	0,28	0,28
224	VL-sinSC(E-O)	GLOBAL	Force	X Proj	0	0,147	-0,28	-0,28
224	VL-conSC(O-E)	GLOBAL	Force	X Proj	0	0,147	0,41	0,41
224	VL-conSC(E-O)	GLOBAL	Force	X Proj	0	0,147	-0,41	-0,41
225	CM	GLOBAL	Force	Gravity	0	0,14692	0,04	0,04
225	VT-sinSC(N-S)	GLOBAL	Force	Y Proj	0	0,14692	-1,6	-1,6
225	VT-sinSC(S-N)	GLOBAL	Force	Y Proj	0	0,14692	1,6	1,6
225	VT-conSC(N-S)	GLOBAL	Force	Y Proj	0	0,14692	-2,38	-2,38
225	VT-conSC(S-N)	GLOBAL	Force	Y Proj	0	0,14692	2,38	2,38
225	VL-sinSC(O-E)	GLOBAL	Force	X Proj	0	0,14692	0,28	0,28
225	VL-sinSC(E-O)	GLOBAL	Force	X Proj	0	0,14692	-0,28	-0,28

225	VL-conSC(O-E)	GLOBAL	Force	X Proj	0	0,14692	0,41	0,41
225	VL-conSC(E-O)	GLOBAL	Force	X Proj	0	0,14692	-0,41	-0,41
226	CM	GLOBAL	Force	Gravity	0	0,14686	0,04	0,04
226	VT-sinSC(N-S)	GLOBAL	Force	Y Proj	0	0,14686	-1,6	-1,6
226	VT-sinSC(S-N)	GLOBAL	Force	Y Proj	0	0,14686	1,6	1,6
226	VT-conSC(N-S)	GLOBAL	Force	Y Proj	0	0,14686	-2,38	-2,38
226	VT-conSC(S-N)	GLOBAL	Force	Y Proj	0	0,14686	2,38	2,38
226	VL-sinSC(O-E)	GLOBAL	Force	X Proj	0	0,14686	0,28	0,28
226	VL-sinSC(E-O)	GLOBAL	Force	X Proj	0	0,14686	-0,28	-0,28
226	VL-conSC(O-E)	GLOBAL	Force	X Proj	0	0,14686	0,41	0,41
226	VL-conSC(E-O)	GLOBAL	Force	X Proj	0	0,14686	-0,41	-0,41
228	CM	GLOBAL	Force	Gravity	0	0,14677	0,04	0,04
228	VT-sinSC(N-S)	GLOBAL	Force	Y Proj	0	0,14677	-1,6	-1,6
228	VT-sinSC(S-N)	GLOBAL	Force	Y Proj	0	0,14677	1,6	1,6
228	VT-conSC(N-S)	GLOBAL	Force	Y Proj	0	0,14677	-2,38	-2,38
228	VT-conSC(S-N)	GLOBAL	Force	Y Proj	0	0,14677	2,38	2,38
228	VL-sinSC(O-E)	GLOBAL	Force	X Proj	0	0,14677	0,28	0,28
228	VL-sinSC(E-O)	GLOBAL	Force	X Proj	0	0,14677	-0,28	-0,28
228	VL-conSC(O-E)	GLOBAL	Force	X Proj	0	0,14677	0,41	0,41
228	VL-conSC(E-O)	GLOBAL	Force	X Proj	0	0,14677	-0,41	-0,41
229	CM	GLOBAL	Force	Gravity	0	0,14674	0,04	0,04
229	VT-sinSC(N-S)	GLOBAL	Force	Y Proj	0	0,14674	-1,6	-1,6
229	VT-sinSC(S-N)	GLOBAL	Force	Y Proj	0	0,14674	1,6	1,6
229	VT-conSC(N-S)	GLOBAL	Force	Y Proj	0	0,14674	-2,38	-2,38
229	VT-conSC(S-N)	GLOBAL	Force	Y Proj	0	0,14674	2,38	2,38
229	VL-sinSC(O-E)	GLOBAL	Force	X Proj	0	0,14674	0,28	0,28
229	VL-sinSC(E-O)	GLOBAL	Force	X Proj	0	0,14674	-0,28	-0,28
229	VL-conSC(O-E)	GLOBAL	Force	X Proj	0	0,14674	0,41	0,41
229	VL-conSC(E-O)	GLOBAL	Force	X Proj	0	0,14674	-0,41	-0,41
230	CM	GLOBAL	Force	Gravity	0	0,14673	0,04	0,04
230	VT-sinSC(N-S)	GLOBAL	Force	Y Proj	0	0,14673	-1,6	-1,6
230	VT-sinSC(S-N)	GLOBAL	Force	Y Proj	0	0,14673	1,6	1,6
230	VT-conSC(N-S)	GLOBAL	Force	Y Proj	0	0,14673	-2,38	-2,38
230	VT-conSC(S-N)	GLOBAL	Force	Y Proj	0	0,14673	2,38	2,38
230	VL-sinSC(O-E)	GLOBAL	Force	X Proj	0	0,14673	0,28	0,28
230	VL-sinSC(E-O)	GLOBAL	Force	X Proj	0	0,14673	-0,28	-0,28
230	VL-conSC(O-E)	GLOBAL	Force	X Proj	0	0,14673	0,41	0,41
230	VL-conSC(E-O)	GLOBAL	Force	X Proj	0	0,14673	-0,41	-0,41
231	CM	GLOBAL	Force	Gravity	0	0,14673	0,04	0,04



231	VT-sinSC(N-S)	GLOBAL	Force	Y Proj	0	0,14673	-1,6	-1,6
231	VT-sinSC(S-N)	GLOBAL	Force	Y Proj	0	0,14673	1,6	1,6
231	VT-conSC(N-S)	GLOBAL	Force	Y Proj	0	0,14673	-2,38	-2,38
231	VT-conSC(S-N)	GLOBAL	Force	Y Proj	0	0,14673	2,38	2,38
231	VL-sinSC(O-E)	GLOBAL	Force	X Proj	0	0,14673	0,28	0,28
231	VL-sinSC(E-O)	GLOBAL	Force	X Proj	0	0,14673	-0,28	-0,28
231	VL-conSC(O-E)	GLOBAL	Force	X Proj	0	0,14673	0,41	0,41
231	VL-conSC(E-O)	GLOBAL	Force	X Proj	0	0,14673	-0,41	-0,41
232	CM	GLOBAL	Force	Gravity	0	0,14674	0,04	0,04
232	VT-sinSC(N-S)	GLOBAL	Force	Y Proj	0	0,14674	-1,6	-1,6
232	VT-sinSC(S-N)	GLOBAL	Force	Y Proj	0	0,14674	1,6	1,6
232	VT-conSC(N-S)	GLOBAL	Force	Y Proj	0	0,14674	-2,38	-2,38
232	VT-conSC(S-N)	GLOBAL	Force	Y Proj	0	0,14674	2,38	2,38
232	VL-sinSC(O-E)	GLOBAL	Force	X Proj	0	0,14674	0,28	0,28
232	VL-sinSC(E-O)	GLOBAL	Force	X Proj	0	0,14674	-0,28	-0,28
232	VL-conSC(O-E)	GLOBAL	Force	X Proj	0	0,14674	0,41	0,41
232	VL-conSC(E-O)	GLOBAL	Force	X Proj	0	0,14674	-0,41	-0,41
233	CM	GLOBAL	Force	Gravity	0	0,14677	0,04	0,04
233	VT-sinSC(N-S)	GLOBAL	Force	Y Proj	0	0,14677	-1,6	-1,6
233	VT-sinSC(S-N)	GLOBAL	Force	Y Proj	0	0,14677	1,6	1,6
233	VT-conSC(N-S)	GLOBAL	Force	Y Proj	0	0,14677	-2,38	-2,38
233	VT-conSC(S-N)	GLOBAL	Force	Y Proj	0	0,14677	2,38	2,38
233	VL-sinSC(O-E)	GLOBAL	Force	X Proj	0	0,14677	0,28	0,28
233	VL-sinSC(E-O)	GLOBAL	Force	X Proj	0	0,14677	-0,28	-0,28
233	VL-conSC(O-E)	GLOBAL	Force	X Proj	0	0,14677	0,41	0,41
233	VL-conSC(E-O)	GLOBAL	Force	X Proj	0	0,14677	-0,41	-0,41
234	CM	GLOBAL	Force	Gravity	0	0,1468	0,04	0,04
234	VT-sinSC(N-S)	GLOBAL	Force	Y Proj	0	0,1468	-1,6	-1,6
234	VT-sinSC(S-N)	GLOBAL	Force	Y Proj	0	0,1468	1,6	1,6
234	VT-conSC(N-S)	GLOBAL	Force	Y Proj	0	0,1468	-2,38	-2,38
234	VT-conSC(S-N)	GLOBAL	Force	Y Proj	0	0,1468	2,38	2,38
234	VL-sinSC(O-E)	GLOBAL	Force	X Proj	0	0,1468	0,28	0,28
234	VL-sinSC(E-O)	GLOBAL	Force	X Proj	0	0,1468	-0,28	-0,28
234	VL-conSC(O-E)	GLOBAL	Force	X Proj	0	0,1468	0,41	0,41
234	VL-conSC(E-O)	GLOBAL	Force	X Proj	0	0,1468	-0,41	-0,41
235	CM	GLOBAL	Force	Gravity	0	0,14685	0,04	0,04
235	VT-sinSC(N-S)	GLOBAL	Force	Y Proj	0	0,14685	-1,6	-1,6
235	VT-sinSC(S-N)	GLOBAL	Force	Y Proj	0	0,14685	1,6	1,6
235	VT-conSC(N-S)	GLOBAL	Force	Y Proj	0	0,14685	-2,38	-2,38

235	VT-conSC(S-N)	GLOBAL	Force	Y Proj	0	0,14685	2,38	2,38
235	VL-sinSC(O-E)	GLOBAL	Force	X Proj	0	0,14685	0,28	0,28
235	VL-sinSC(E-O)	GLOBAL	Force	X Proj	0	0,14685	-0,28	-0,28
235	VL-conSC(O-E)	GLOBAL	Force	X Proj	0	0,14685	0,41	0,41
235	VL-conSC(E-O)	GLOBAL	Force	X Proj	0	0,14685	-0,41	-0,41
236	CM	GLOBAL	Force	Gravity	0	0,14692	0,04	0,04
236	VT-sinSC(N-S)	GLOBAL	Force	Y Proj	0	0,14692	-1,6	-1,6
236	VT-sinSC(S-N)	GLOBAL	Force	Y Proj	0	0,14692	1,6	1,6
236	VT-conSC(N-S)	GLOBAL	Force	Y Proj	0	0,14692	-2,38	-2,38
236	VT-conSC(S-N)	GLOBAL	Force	Y Proj	0	0,14692	2,38	2,38
236	VL-sinSC(O-E)	GLOBAL	Force	X Proj	0	0,14692	0,28	0,28
236	VL-sinSC(E-O)	GLOBAL	Force	X Proj	0	0,14692	-0,28	-0,28
236	VL-conSC(O-E)	GLOBAL	Force	X Proj	0	0,14692	0,41	0,41
236	VL-conSC(E-O)	GLOBAL	Force	X Proj	0	0,14692	-0,41	-0,41
237	CM	GLOBAL	Force	Gravity	0	0,147	0,04	0,04
237	VT-sinSC(N-S)	GLOBAL	Force	Y Proj	0	0,147	-1,6	-1,6
237	VT-sinSC(S-N)	GLOBAL	Force	Y Proj	0	0,147	1,6	1,6
237	VT-conSC(N-S)	GLOBAL	Force	Y Proj	0	0,147	-2,38	-2,38
237	VT-conSC(S-N)	GLOBAL	Force	Y Proj	0	0,147	2,38	2,38
237	VL-sinSC(O-E)	GLOBAL	Force	X Proj	0	0,147	0,28	0,28
237	VL-sinSC(E-O)	GLOBAL	Force	X Proj	0	0,147	-0,28	-0,28
237	VL-conSC(O-E)	GLOBAL	Force	X Proj	0	0,147	0,41	0,41
237	VL-conSC(E-O)	GLOBAL	Force	X Proj	0	0,147	-0,41	-0,41
238	CM	GLOBAL	Force	Gravity	0	0,14709	0,04	0,04
238	VT-sinSC(N-S)	GLOBAL	Force	Y Proj	0	0,14709	-1,6	-1,6
238	VT-sinSC(S-N)	GLOBAL	Force	Y Proj	0	0,14709	1,6	1,6
238	VT-conSC(N-S)	GLOBAL	Force	Y Proj	0	0,14709	-2,38	-2,38
238	VT-conSC(S-N)	GLOBAL	Force	Y Proj	0	0,14709	2,38	2,38
238	VL-sinSC(O-E)	GLOBAL	Force	X Proj	0	0,14709	0,28	0,28
238	VL-sinSC(E-O)	GLOBAL	Force	X Proj	0	0,14709	-0,28	-0,28
238	VL-conSC(O-E)	GLOBAL	Force	X Proj	0	0,14709	0,41	0,41
238	VL-conSC(E-O)	GLOBAL	Force	X Proj	0	0,14709	-0,41	-0,41
239	CM	GLOBAL	Force	Gravity	0	0,07624	0,04	0,04
239	VT-sinSC(N-S)	GLOBAL	Force	Y Proj	0	0,07624	-1,6	-1,6
239	VT-sinSC(S-N)	GLOBAL	Force	Y Proj	0	0,07624	1,6	1,6
239	VT-conSC(N-S)	GLOBAL	Force	Y Proj	0	0,07624	-2,38	-2,38
239	VT-conSC(S-N)	GLOBAL	Force	Y Proj	0	0,07624	2,38	2,38
239	VL-sinSC(O-E)	GLOBAL	Force	X Proj	0	0,07624	0,28	0,28
239	VL-sinSC(E-O)	GLOBAL	Force	X Proj	0	0,07624	-0,28	-0,28



239	VL-conSC(O-E)	GLOBAL	Force	X Proj	0	0,07624	0,41	0,41
239	VL-conSC(E-O)	GLOBAL	Force	X Proj	0	0,07624	-0,41	-0,41
240	CM	GLOBAL	Force	Gravity	0	0,07623	0,04	0,04
240	VT-sinSC(N-S)	GLOBAL	Force	Y Proj	0	0,07623	-1,6	-1,6
240	VT-sinSC(S-N)	GLOBAL	Force	Y Proj	0	0,07623	1,6	1,6
240	VT-conSC(N-S)	GLOBAL	Force	Y Proj	0	0,07623	-2,38	-2,38
240	VT-conSC(S-N)	GLOBAL	Force	Y Proj	0	0,07623	2,38	2,38
240	VL-sinSC(O-E)	GLOBAL	Force	X Proj	0	0,07623	0,28	0,28
240	VL-sinSC(E-O)	GLOBAL	Force	X Proj	0	0,07623	-0,28	-0,28
240	VL-conSC(O-E)	GLOBAL	Force	X Proj	0	0,07623	0,41	0,41
240	VL-conSC(E-O)	GLOBAL	Force	X Proj	0	0,07623	-0,41	-0,41
241	CM	GLOBAL	Force	Gravity	0	0,07622	0,04	0,04
241	VT-sinSC(N-S)	GLOBAL	Force	Y Proj	0	0,07622	-1,6	-1,6
241	VT-sinSC(S-N)	GLOBAL	Force	Y Proj	0	0,07622	1,6	1,6
241	VT-conSC(N-S)	GLOBAL	Force	Y Proj	0	0,07622	-2,38	-2,38
241	VT-conSC(S-N)	GLOBAL	Force	Y Proj	0	0,07622	2,38	2,38
241	VL-sinSC(O-E)	GLOBAL	Force	X Proj	0	0,07622	0,28	0,28
241	VL-sinSC(E-O)	GLOBAL	Force	X Proj	0	0,07622	-0,28	-0,28
241	VL-conSC(O-E)	GLOBAL	Force	X Proj	0	0,07622	0,41	0,41
241	VL-conSC(E-O)	GLOBAL	Force	X Proj	0	0,07622	-0,41	-0,41
242	CM	GLOBAL	Force	Gravity	0	0,0762	0,04	0,04
242	VT-sinSC(N-S)	GLOBAL	Force	Y Proj	0	0,0762	-1,6	-1,6
242	VT-sinSC(S-N)	GLOBAL	Force	Y Proj	0	0,0762	1,6	1,6
242	VT-conSC(N-S)	GLOBAL	Force	Y Proj	0	0,0762	-2,38	-2,38
242	VT-conSC(S-N)	GLOBAL	Force	Y Proj	0	0,0762	2,38	2,38
242	VL-sinSC(O-E)	GLOBAL	Force	X Proj	0	0,0762	0,28	0,28
242	VL-sinSC(E-O)	GLOBAL	Force	X Proj	0	0,0762	-0,28	-0,28
242	VL-conSC(O-E)	GLOBAL	Force	X Proj	0	0,0762	0,41	0,41
242	VL-conSC(E-O)	GLOBAL	Force	X Proj	0	0,0762	-0,41	-0,41
243	CM	GLOBAL	Force	Gravity	0	0,07618	0,04	0,04
243	VT-sinSC(N-S)	GLOBAL	Force	Y Proj	0	0,07618	-1,6	-1,6
243	VT-sinSC(S-N)	GLOBAL	Force	Y Proj	0	0,07618	1,6	1,6
243	VT-conSC(N-S)	GLOBAL	Force	Y Proj	0	0,07618	-2,38	-2,38
243	VT-conSC(S-N)	GLOBAL	Force	Y Proj	0	0,07618	2,38	2,38
243	VL-sinSC(O-E)	GLOBAL	Force	X Proj	0	0,07618	0,28	0,28
243	VL-sinSC(E-O)	GLOBAL	Force	X Proj	0	0,07618	-0,28	-0,28
243	VL-conSC(O-E)	GLOBAL	Force	X Proj	0	0,07618	0,41	0,41
243	VL-conSC(E-O)	GLOBAL	Force	X Proj	0	0,07618	-0,41	-0,41
244	CM	GLOBAL	Force	Gravity	0	0,07615	0,04	0,04

244	VT-sinSC(N-S)	GLOBAL	Force	Y Proj	0	0,07615	-1,6	-1,6
244	VT-sinSC(S-N)	GLOBAL	Force	Y Proj	0	0,07615	1,6	1,6
244	VT-conSC(N-S)	GLOBAL	Force	Y Proj	0	0,07615	-2,38	-2,38
244	VT-conSC(S-N)	GLOBAL	Force	Y Proj	0	0,07615	2,38	2,38
244	VL-sinSC(O-E)	GLOBAL	Force	X Proj	0	0,07615	0,28	0,28
244	VL-sinSC(E-O)	GLOBAL	Force	X Proj	0	0,07615	-0,28	-0,28
244	VL-conSC(O-E)	GLOBAL	Force	X Proj	0	0,07615	0,41	0,41
244	VL-conSC(E-O)	GLOBAL	Force	X Proj	0	0,07615	-0,41	-0,41
245	CM	GLOBAL	Force	Gravity	0	0,07613	0,04	0,04
245	VT-sinSC(N-S)	GLOBAL	Force	Y Proj	0	0,07613	-1,6	-1,6
245	VT-sinSC(S-N)	GLOBAL	Force	Y Proj	0	0,07613	1,6	1,6
245	VT-conSC(N-S)	GLOBAL	Force	Y Proj	0	0,07613	-2,38	-2,38
245	VT-conSC(S-N)	GLOBAL	Force	Y Proj	0	0,07613	2,38	2,38
245	VL-sinSC(O-E)	GLOBAL	Force	X Proj	0	0,07613	0,28	0,28
245	VL-sinSC(E-O)	GLOBAL	Force	X Proj	0	0,07613	-0,28	-0,28
245	VL-conSC(O-E)	GLOBAL	Force	X Proj	0	0,07613	0,41	0,41
245	VL-conSC(E-O)	GLOBAL	Force	X Proj	0	0,07613	-0,41	-0,41
246	CM	GLOBAL	Force	Gravity	0	0,07612	0,04	0,04
246	VT-sinSC(N-S)	GLOBAL	Force	Y Proj	0	0,07612	-1,6	-1,6
246	VT-sinSC(S-N)	GLOBAL	Force	Y Proj	0	0,07612	1,6	1,6
246	VT-conSC(N-S)	GLOBAL	Force	Y Proj	0	0,07612	-2,38	-2,38
246	VT-conSC(S-N)	GLOBAL	Force	Y Proj	0	0,07612	2,38	2,38
246	VL-sinSC(O-E)	GLOBAL	Force	X Proj	0	0,07612	0,28	0,28
246	VL-sinSC(E-O)	GLOBAL	Force	X Proj	0	0,07612	-0,28	-0,28
246	VL-conSC(O-E)	GLOBAL	Force	X Proj	0	0,07612	0,41	0,41
246	VL-conSC(E-O)	GLOBAL	Force	X Proj	0	0,07612	-0,41	-0,41
247	CM	GLOBAL	Force	Gravity	0	0,07611	0,04	0,04
247	VT-sinSC(N-S)	GLOBAL	Force	Y Proj	0	0,07611	-1,6	-1,6
247	VT-sinSC(S-N)	GLOBAL	Force	Y Proj	0	0,07611	1,6	1,6
247	VT-conSC(N-S)	GLOBAL	Force	Y Proj	0	0,07611	-2,38	-2,38
247	VT-conSC(S-N)	GLOBAL	Force	Y Proj	0	0,07611	2,38	2,38
247	VL-sinSC(O-E)	GLOBAL	Force	X Proj	0	0,07611	0,28	0,28
247	VL-sinSC(E-O)	GLOBAL	Force	X Proj	0	0,07611	-0,28	-0,28
247	VL-conSC(O-E)	GLOBAL	Force	X Proj	0	0,07611	0,41	0,41
247	VL-conSC(E-O)	GLOBAL	Force	X Proj	0	0,07611	-0,41	-0,41
248	CM	GLOBAL	Force	Gravity	0	0,07612	0,04	0,04
248	VT-sinSC(N-S)	GLOBAL	Force	Y Proj	0	0,07612	-1,6	-1,6
248	VT-sinSC(S-N)	GLOBAL	Force	Y Proj	0	0,07612	1,6	1,6
248	VT-conSC(N-S)	GLOBAL	Force	Y Proj	0	0,07612	-2,38	-2,38



248	VT-conSC(S-N)	GLOBAL	Force	Y Proj	0	0,07612	2,38	2,38
248	VL-sinSC(O-E)	GLOBAL	Force	X Proj	0	0,07612	0,28	0,28
248	VL-sinSC(E-O)	GLOBAL	Force	X Proj	0	0,07612	-0,28	-0,28
248	VL-conSC(O-E)	GLOBAL	Force	X Proj	0	0,07612	0,41	0,41
248	VL-conSC(E-O)	GLOBAL	Force	X Proj	0	0,07612	-0,41	-0,41
249	CM	GLOBAL	Force	Gravity	0	0,07613	0,04	0,04
249	VT-sinSC(N-S)	GLOBAL	Force	Y Proj	0	0,07613	-1,6	-1,6
249	VT-sinSC(S-N)	GLOBAL	Force	Y Proj	0	0,07613	1,6	1,6
249	VT-conSC(N-S)	GLOBAL	Force	Y Proj	0	0,07613	-2,38	-2,38
249	VT-conSC(S-N)	GLOBAL	Force	Y Proj	0	0,07613	2,38	2,38
249	VL-sinSC(O-E)	GLOBAL	Force	X Proj	0	0,07613	0,28	0,28
249	VL-sinSC(E-O)	GLOBAL	Force	X Proj	0	0,07613	-0,28	-0,28
249	VL-conSC(O-E)	GLOBAL	Force	X Proj	0	0,07613	0,41	0,41
249	VL-conSC(E-O)	GLOBAL	Force	X Proj	0	0,07613	-0,41	-0,41
250	CM	GLOBAL	Force	Gravity	0	0,07615	0,04	0,04
250	VT-sinSC(N-S)	GLOBAL	Force	Y Proj	0	0,07615	-1,6	-1,6
250	VT-sinSC(S-N)	GLOBAL	Force	Y Proj	0	0,07615	1,6	1,6
250	VT-conSC(N-S)	GLOBAL	Force	Y Proj	0	0,07615	-2,38	-2,38
250	VT-conSC(S-N)	GLOBAL	Force	Y Proj	0	0,07615	2,38	2,38
250	VL-sinSC(O-E)	GLOBAL	Force	X Proj	0	0,07615	0,28	0,28
250	VL-sinSC(E-O)	GLOBAL	Force	X Proj	0	0,07615	-0,28	-0,28
250	VL-conSC(O-E)	GLOBAL	Force	X Proj	0	0,07615	0,41	0,41
250	VL-conSC(E-O)	GLOBAL	Force	X Proj	0	0,07615	-0,41	-0,41
251	CM	GLOBAL	Force	Gravity	0	0,07618	0,04	0,04
251	VT-sinSC(N-S)	GLOBAL	Force	Y Proj	0	0,07618	-1,6	-1,6
251	VT-sinSC(S-N)	GLOBAL	Force	Y Proj	0	0,07618	1,6	1,6
251	VT-conSC(N-S)	GLOBAL	Force	Y Proj	0	0,07618	-2,38	-2,38
251	VT-conSC(S-N)	GLOBAL	Force	Y Proj	0	0,07618	2,38	2,38
251	VL-sinSC(O-E)	GLOBAL	Force	X Proj	0	0,07618	0,28	0,28
251	VL-sinSC(E-O)	GLOBAL	Force	X Proj	0	0,07618	-0,28	-0,28
251	VL-conSC(O-E)	GLOBAL	Force	X Proj	0	0,07618	0,41	0,41
251	VL-conSC(E-O)	GLOBAL	Force	X Proj	0	0,07618	-0,41	-0,41
252	CM	GLOBAL	Force	Gravity	0	0,0762	0,04	0,04
252	VT-sinSC(N-S)	GLOBAL	Force	Y Proj	0	0,0762	-1,6	-1,6
252	VT-sinSC(S-N)	GLOBAL	Force	Y Proj	0	0,0762	1,6	1,6
252	VT-conSC(N-S)	GLOBAL	Force	Y Proj	0	0,0762	-2,38	-2,38
252	VT-conSC(S-N)	GLOBAL	Force	Y Proj	0	0,0762	2,38	2,38
252	VL-sinSC(O-E)	GLOBAL	Force	X Proj	0	0,0762	0,28	0,28
252	VL-sinSC(E-O)	GLOBAL	Force	X Proj	0	0,0762	-0,28	-0,28

252	VL-conSC(O-E)	GLOBAL	Force	X Proj	0	0,0762	0,41	0,41
252	VL-conSC(E-O)	GLOBAL	Force	X Proj	0	0,0762	-0,41	-0,41
253	CM	GLOBAL	Force	Gravity	0	0,07622	0,04	0,04
253	VT-sinSC(N-S)	GLOBAL	Force	Y Proj	0	0,07622	-1,6	-1,6
253	VT-sinSC(S-N)	GLOBAL	Force	Y Proj	0	0,07622	1,6	1,6
253	VT-conSC(N-S)	GLOBAL	Force	Y Proj	0	0,07622	-2,38	-2,38
253	VT-conSC(S-N)	GLOBAL	Force	Y Proj	0	0,07622	2,38	2,38
253	VL-sinSC(O-E)	GLOBAL	Force	X Proj	0	0,07622	0,28	0,28
253	VL-sinSC(E-O)	GLOBAL	Force	X Proj	0	0,07622	-0,28	-0,28
253	VL-conSC(O-E)	GLOBAL	Force	X Proj	0	0,07622	0,41	0,41
253	VL-conSC(E-O)	GLOBAL	Force	X Proj	0	0,07622	-0,41	-0,41
254	CM	GLOBAL	Force	Gravity	0	0,07623	0,04	0,04
254	VT-sinSC(N-S)	GLOBAL	Force	Y Proj	0	0,07623	-1,6	-1,6
254	VT-sinSC(S-N)	GLOBAL	Force	Y Proj	0	0,07623	1,6	1,6
254	VT-conSC(N-S)	GLOBAL	Force	Y Proj	0	0,07623	-2,38	-2,38
254	VT-conSC(S-N)	GLOBAL	Force	Y Proj	0	0,07623	2,38	2,38
254	VL-sinSC(O-E)	GLOBAL	Force	X Proj	0	0,07623	0,28	0,28
254	VL-sinSC(E-O)	GLOBAL	Force	X Proj	0	0,07623	-0,28	-0,28
254	VL-conSC(O-E)	GLOBAL	Force	X Proj	0	0,07623	0,41	0,41
254	VL-conSC(E-O)	GLOBAL	Force	X Proj	0	0,07623	-0,41	-0,41
255	CM	GLOBAL	Force	Gravity	0	0,07624	0,04	0,04
255	VT-sinSC(N-S)	GLOBAL	Force	Y Proj	0	0,07624	-1,6	-1,6
255	VT-sinSC(S-N)	GLOBAL	Force	Y Proj	0	0,07624	1,6	1,6
255	VT-conSC(N-S)	GLOBAL	Force	Y Proj	0	0,07624	-2,38	-2,38
255	VT-conSC(S-N)	GLOBAL	Force	Y Proj	0	0,07624	2,38	2,38
255	VL-sinSC(O-E)	GLOBAL	Force	X Proj	0	0,07624	0,28	0,28
255	VL-sinSC(E-O)	GLOBAL	Force	X Proj	0	0,07624	-0,28	-0,28
255	VL-conSC(O-E)	GLOBAL	Force	X Proj	0	0,07624	0,41	0,41
255	VL-conSC(E-O)	GLOBAL	Force	X Proj	0	0,07624	-0,41	-0,41
256	CM	GLOBAL	Force	Gravity	0	0,18473	0,04	0,04
256	VT-sinSC(N-S)	GLOBAL	Force	Y Proj	0	0,18473	-1,6	-1,6
256	VT-sinSC(S-N)	GLOBAL	Force	Y Proj	0	0,18473	1,6	1,6
256	VT-conSC(N-S)	GLOBAL	Force	Y Proj	0	0,18473	-2,38	-2,38
256	VT-conSC(S-N)	GLOBAL	Force	Y Proj	0	0,18473	2,38	2,38
256	VL-sinSC(O-E)	GLOBAL	Force	X Proj	0	0,18473	0,28	0,28
256	VL-sinSC(E-O)	GLOBAL	Force	X Proj	0	0,18473	-0,28	-0,28
256	VL-conSC(O-E)	GLOBAL	Force	X Proj	0	0,18473	0,41	0,41
256	VL-conSC(E-O)	GLOBAL	Force	X Proj	0	0,18473	-0,41	-0,41
257	CM	GLOBAL	Force	Gravity	0	0,18466	0,04	0,04



257	VT-sinSC(N-S)	GLOBAL	Force	Y Proj	0	0,18466	-1,6	-1,6
257	VT-sinSC(S-N)	GLOBAL	Force	Y Proj	0	0,18466	1,6	1,6
257	VT-conSC(N-S)	GLOBAL	Force	Y Proj	0	0,18466	-2,38	-2,38
257	VT-conSC(S-N)	GLOBAL	Force	Y Proj	0	0,18466	2,38	2,38
257	VL-sinSC(O-E)	GLOBAL	Force	X Proj	0	0,18466	0,28	0,28
257	VL-sinSC(E-O)	GLOBAL	Force	X Proj	0	0,18466	-0,28	-0,28
257	VL-conSC(O-E)	GLOBAL	Force	X Proj	0	0,18466	0,41	0,41
257	VL-conSC(E-O)	GLOBAL	Force	X Proj	0	0,18466	-0,41	-0,41
258	CM	GLOBAL	Force	Gravity	0	0,18462	0,04	0,04
258	VT-sinSC(N-S)	GLOBAL	Force	Y Proj	0	0,18462	-1,6	-1,6
258	VT-sinSC(S-N)	GLOBAL	Force	Y Proj	0	0,18462	1,6	1,6
258	VT-conSC(N-S)	GLOBAL	Force	Y Proj	0	0,18462	-2,38	-2,38
258	VT-conSC(S-N)	GLOBAL	Force	Y Proj	0	0,18462	2,38	2,38
258	VL-sinSC(O-E)	GLOBAL	Force	X Proj	0	0,18462	0,28	0,28
258	VL-sinSC(E-O)	GLOBAL	Force	X Proj	0	0,18462	-0,28	-0,28
258	VL-conSC(O-E)	GLOBAL	Force	X Proj	0	0,18462	0,41	0,41
258	VL-conSC(E-O)	GLOBAL	Force	X Proj	0	0,18462	-0,41	-0,41
259	CM	GLOBAL	Force	Gravity	0	0,18461	0,04	0,04
259	VT-sinSC(N-S)	GLOBAL	Force	Y Proj	0	0,18461	-1,6	-1,6
259	VT-sinSC(S-N)	GLOBAL	Force	Y Proj	0	0,18461	1,6	1,6
259	VT-conSC(N-S)	GLOBAL	Force	Y Proj	0	0,18461	-2,38	-2,38
259	VT-conSC(S-N)	GLOBAL	Force	Y Proj	0	0,18461	2,38	2,38
259	VL-sinSC(O-E)	GLOBAL	Force	X Proj	0	0,18461	0,28	0,28
259	VL-sinSC(E-O)	GLOBAL	Force	X Proj	0	0,18461	-0,28	-0,28
259	VL-conSC(O-E)	GLOBAL	Force	X Proj	0	0,18461	0,41	0,41
259	VL-conSC(E-O)	GLOBAL	Force	X Proj	0	0,18461	-0,41	-0,41
260	CM	GLOBAL	Force	Gravity	0	0,18462	0,04	0,04
260	VT-sinSC(N-S)	GLOBAL	Force	Y Proj	0	0,18462	-1,6	-1,6
260	VT-sinSC(S-N)	GLOBAL	Force	Y Proj	0	0,18462	1,6	1,6
260	VT-conSC(N-S)	GLOBAL	Force	Y Proj	0	0,18462	-2,38	-2,38
260	VT-conSC(S-N)	GLOBAL	Force	Y Proj	0	0,18462	2,38	2,38
260	VL-sinSC(O-E)	GLOBAL	Force	X Proj	0	0,18462	0,28	0,28
260	VL-sinSC(E-O)	GLOBAL	Force	X Proj	0	0,18462	-0,28	-0,28
260	VL-conSC(O-E)	GLOBAL	Force	X Proj	0	0,18462	0,41	0,41
260	VL-conSC(E-O)	GLOBAL	Force	X Proj	0	0,18462	-0,41	-0,41
261	CM	GLOBAL	Force	Gravity	0	0,18465	0,04	0,04
261	VT-sinSC(N-S)	GLOBAL	Force	Y Proj	0	0,18465	-1,6	-1,6
261	VT-sinSC(S-N)	GLOBAL	Force	Y Proj	0	0,18465	1,6	1,6
261	VT-conSC(N-S)	GLOBAL	Force	Y Proj	0	0,18465	-2,38	-2,38

261	VT-conSC(S-N)	GLOBAL	Force	Y Proj	0	0,18465	2,38	2,38
261	VL-sinSC(O-E)	GLOBAL	Force	X Proj	0	0,18465	0,28	0,28
261	VL-sinSC(E-O)	GLOBAL	Force	X Proj	0	0,18465	-0,28	-0,28
261	VL-conSC(O-E)	GLOBAL	Force	X Proj	0	0,18465	0,41	0,41
261	VL-conSC(E-O)	GLOBAL	Force	X Proj	0	0,18465	-0,41	-0,41
262	CM	GLOBAL	Force	Gravity	0	0,18471	0,04	0,04
262	VT-sinSC(N-S)	GLOBAL	Force	Y Proj	0	0,18471	-1,6	-1,6
262	VT-sinSC(S-N)	GLOBAL	Force	Y Proj	0	0,18471	1,6	1,6
262	VT-conSC(N-S)	GLOBAL	Force	Y Proj	0	0,18471	-2,38	-2,38
262	VT-conSC(S-N)	GLOBAL	Force	Y Proj	0	0,18471	2,38	2,38
262	VL-sinSC(O-E)	GLOBAL	Force	X Proj	0	0,18471	0,28	0,28
262	VL-sinSC(E-O)	GLOBAL	Force	X Proj	0	0,18471	-0,28	-0,28
262	VL-conSC(O-E)	GLOBAL	Force	X Proj	0	0,18471	0,41	0,41
262	VL-conSC(E-O)	GLOBAL	Force	X Proj	0	0,18471	-0,41	-0,41
263	CM	GLOBAL	Force	Gravity	0	0,18477	0,04	0,04
263	VT-sinSC(N-S)	GLOBAL	Force	Y Proj	0	0,18477	-1,6	-1,6
263	VT-sinSC(S-N)	GLOBAL	Force	Y Proj	0	0,18477	1,6	1,6
263	VT-conSC(N-S)	GLOBAL	Force	Y Proj	0	0,18477	-2,38	-2,38
263	VT-conSC(S-N)	GLOBAL	Force	Y Proj	0	0,18477	2,38	2,38
263	VL-sinSC(O-E)	GLOBAL	Force	X Proj	0	0,18477	0,28	0,28
263	VL-sinSC(E-O)	GLOBAL	Force	X Proj	0	0,18477	-0,28	-0,28
263	VL-conSC(O-E)	GLOBAL	Force	X Proj	0	0,18477	0,41	0,41
263	VL-conSC(E-O)	GLOBAL	Force	X Proj	0	0,18477	-0,41	-0,41
264	CM	GLOBAL	Force	Gravity	0	0,18465	0,04	0,04
264	VT-sinSC(N-S)	GLOBAL	Force	Y Proj	0	0,18465	-1,6	-1,6
264	VT-sinSC(S-N)	GLOBAL	Force	Y Proj	0	0,18465	1,6	1,6
264	VT-conSC(N-S)	GLOBAL	Force	Y Proj	0	0,18465	-2,38	-2,38
264	VT-conSC(S-N)	GLOBAL	Force	Y Proj	0	0,18465	2,38	2,38
264	VL-sinSC(O-E)	GLOBAL	Force	X Proj	0	0,18465	0,28	0,28
264	VL-sinSC(E-O)	GLOBAL	Force	X Proj	0	0,18465	-0,28	-0,28
264	VL-conSC(O-E)	GLOBAL	Force	X Proj	0	0,18465	0,41	0,41
264	VL-conSC(E-O)	GLOBAL	Force	X Proj	0	0,18465	-0,41	-0,41
265	PPforjado	GLOBAL	Force	Gravity	0	2,5	4	4
265	SC_5	GLOBAL	Force	Gravity	0	2,5	9	9
266	CM	GLOBAL	Force	Gravity	0	0,18443	0,04	0,04
266	VT-sinSC(N-S)	GLOBAL	Force	Y Proj	0	0,18443	-1,6	-1,6
266	VT-sinSC(S-N)	GLOBAL	Force	Y Proj	0	0,18443	1,6	1,6
266	VT-conSC(N-S)	GLOBAL	Force	Y Proj	0	0,18443	-2,38	-2,38
266	VT-conSC(S-N)	GLOBAL	Force	Y Proj	0	0,18443	2,38	2,38



266	VL-sinSC(O-E)	GLOBAL	Force	X Proj	0	0,18443	0,28	0,28
266	VL-sinSC(E-O)	GLOBAL	Force	X Proj	0	0,18443	-0,28	-0,28
266	VL-conSC(O-E)	GLOBAL	Force	X Proj	0	0,18443	0,41	0,41
266	VL-conSC(E-O)	GLOBAL	Force	X Proj	0	0,18443	-0,41	-0,41
267	CM	GLOBAL	Force	Gravity	0	0,18435	0,04	0,04
267	VT-sinSC(N-S)	GLOBAL	Force	Y Proj	0	0,18435	-1,6	-1,6
267	VT-sinSC(S-N)	GLOBAL	Force	Y Proj	0	0,18435	1,6	1,6
267	VT-conSC(N-S)	GLOBAL	Force	Y Proj	0	0,18435	-2,38	-2,38
267	VT-conSC(S-N)	GLOBAL	Force	Y Proj	0	0,18435	2,38	2,38
267	VL-sinSC(O-E)	GLOBAL	Force	X Proj	0	0,18435	0,28	0,28
267	VL-sinSC(E-O)	GLOBAL	Force	X Proj	0	0,18435	-0,28	-0,28
267	VL-conSC(O-E)	GLOBAL	Force	X Proj	0	0,18435	0,41	0,41
267	VL-conSC(E-O)	GLOBAL	Force	X Proj	0	0,18435	-0,41	-0,41
268	CM	GLOBAL	Force	Gravity	0	0,1843	0,04	0,04
268	VT-sinSC(N-S)	GLOBAL	Force	Y Proj	0	0,1843	-1,6	-1,6
268	VT-sinSC(S-N)	GLOBAL	Force	Y Proj	0	0,1843	1,6	1,6
268	VT-conSC(N-S)	GLOBAL	Force	Y Proj	0	0,1843	-2,38	-2,38
268	VT-conSC(S-N)	GLOBAL	Force	Y Proj	0	0,1843	2,38	2,38
268	VL-sinSC(O-E)	GLOBAL	Force	X Proj	0	0,1843	0,28	0,28
268	VL-sinSC(E-O)	GLOBAL	Force	X Proj	0	0,1843	-0,28	-0,28
268	VL-conSC(O-E)	GLOBAL	Force	X Proj	0	0,1843	0,41	0,41
268	VL-conSC(E-O)	GLOBAL	Force	X Proj	0	0,1843	-0,41	-0,41
269	CM	GLOBAL	Force	Gravity	0	0,18428	0,04	0,04
269	VT-sinSC(N-S)	GLOBAL	Force	Y Proj	0	0,18428	-1,6	-1,6
269	VT-sinSC(S-N)	GLOBAL	Force	Y Proj	0	0,18428	1,6	1,6
269	VT-conSC(N-S)	GLOBAL	Force	Y Proj	0	0,18428	-2,38	-2,38
269	VT-conSC(S-N)	GLOBAL	Force	Y Proj	0	0,18428	2,38	2,38
269	VL-sinSC(O-E)	GLOBAL	Force	X Proj	0	0,18428	0,28	0,28
269	VL-sinSC(E-O)	GLOBAL	Force	X Proj	0	0,18428	-0,28	-0,28
269	VL-conSC(O-E)	GLOBAL	Force	X Proj	0	0,18428	0,41	0,41
269	VL-conSC(E-O)	GLOBAL	Force	X Proj	0	0,18428	-0,41	-0,41
270	CM	GLOBAL	Force	Gravity	0	0,18428	0,04	0,04
270	VT-sinSC(N-S)	GLOBAL	Force	Y Proj	0	0,18428	-1,6	-1,6
270	VT-sinSC(S-N)	GLOBAL	Force	Y Proj	0	0,18428	1,6	1,6
270	VT-conSC(N-S)	GLOBAL	Force	Y Proj	0	0,18428	-2,38	-2,38
270	VT-conSC(S-N)	GLOBAL	Force	Y Proj	0	0,18428	2,38	2,38
270	VL-sinSC(O-E)	GLOBAL	Force	X Proj	0	0,18428	0,28	0,28
270	VL-sinSC(E-O)	GLOBAL	Force	X Proj	0	0,18428	-0,28	-0,28
270	VL-conSC(O-E)	GLOBAL	Force	X Proj	0	0,18428	0,41	0,41

270	VL-conSC(E-O)	GLOBAL	Force	X Proj	0	0,18428	-0,41	-0,41
271	CM	GLOBAL	Force	Gravity	0	0,1843	0,04	0,04
271	VT-sinSC(N-S)	GLOBAL	Force	Y Proj	0	0,1843	-1,6	-1,6
271	VT-sinSC(S-N)	GLOBAL	Force	Y Proj	0	0,1843	1,6	1,6
271	VT-conSC(N-S)	GLOBAL	Force	Y Proj	0	0,1843	-2,38	-2,38
271	VT-conSC(S-N)	GLOBAL	Force	Y Proj	0	0,1843	2,38	2,38
271	VL-sinSC(O-E)	GLOBAL	Force	X Proj	0	0,1843	0,28	0,28
271	VL-sinSC(E-O)	GLOBAL	Force	X Proj	0	0,1843	-0,28	-0,28
271	VL-conSC(O-E)	GLOBAL	Force	X Proj	0	0,1843	0,41	0,41
271	VL-conSC(E-O)	GLOBAL	Force	X Proj	0	0,1843	-0,41	-0,41
272	CM	GLOBAL	Force	Gravity	0	0,18435	0,04	0,04
272	VT-sinSC(N-S)	GLOBAL	Force	Y Proj	0	0,18435	-1,6	-1,6
272	VT-sinSC(S-N)	GLOBAL	Force	Y Proj	0	0,18435	1,6	1,6
272	VT-conSC(N-S)	GLOBAL	Force	Y Proj	0	0,18435	-2,38	-2,38
272	VT-conSC(S-N)	GLOBAL	Force	Y Proj	0	0,18435	2,38	2,38
272	VL-sinSC(O-E)	GLOBAL	Force	X Proj	0	0,18435	0,28	0,28
272	VL-sinSC(E-O)	GLOBAL	Force	X Proj	0	0,18435	-0,28	-0,28
272	VL-conSC(O-E)	GLOBAL	Force	X Proj	0	0,18435	0,41	0,41
272	VL-conSC(E-O)	GLOBAL	Force	X Proj	0	0,18435	-0,41	-0,41
273	CM	GLOBAL	Force	Gravity	0	0,18442	0,04	0,04
273	VT-sinSC(N-S)	GLOBAL	Force	Y Proj	0	0,18442	-1,6	-1,6
273	VT-sinSC(S-N)	GLOBAL	Force	Y Proj	0	0,18442	1,6	1,6
273	VT-conSC(N-S)	GLOBAL	Force	Y Proj	0	0,18442	-2,38	-2,38
273	VT-conSC(S-N)	GLOBAL	Force	Y Proj	0	0,18442	2,38	2,38
273	VL-sinSC(O-E)	GLOBAL	Force	X Proj	0	0,18442	0,28	0,28
273	VL-sinSC(E-O)	GLOBAL	Force	X Proj	0	0,18442	-0,28	-0,28
273	VL-conSC(O-E)	GLOBAL	Force	X Proj	0	0,18442	0,41	0,41
273	VL-conSC(E-O)	GLOBAL	Force	X Proj	0	0,18442	-0,41	-0,41
275	CM	GLOBAL	Force	Gravity	0	0,18464	0,04	0,04
275	VT-sinSC(N-S)	GLOBAL	Force	Y Proj	0	0,18464	-1,6	-1,6
275	VT-sinSC(S-N)	GLOBAL	Force	Y Proj	0	0,18464	1,6	1,6
275	VT-conSC(N-S)	GLOBAL	Force	Y Proj	0	0,18464	-2,38	-2,38
275	VT-conSC(S-N)	GLOBAL	Force	Y Proj	0	0,18464	2,38	2,38
275	VL-sinSC(O-E)	GLOBAL	Force	X Proj	0	0,18464	0,28	0,28
275	VL-sinSC(E-O)	GLOBAL	Force	X Proj	0	0,18464	-0,28	-0,28
275	VL-conSC(O-E)	GLOBAL	Force	X Proj	0	0,18464	0,41	0,41
275	VL-conSC(E-O)	GLOBAL	Force	X Proj	0	0,18464	-0,41	-0,41
276	CM	GLOBAL	Force	Gravity	0	0,18478	0,04	0,04
276	VT-sinSC(N-S)	GLOBAL	Force	Y Proj	0	0,18478	-1,6	-1,6



276	VT-sinSC(S-N)	GLOBAL	Force	Y Proj	0	0,18478	1,6	1,6
276	VT-conSC(N-S)	GLOBAL	Force	Y Proj	0	0,18478	-2,38	-2,38
276	VT-conSC(S-N)	GLOBAL	Force	Y Proj	0	0,18478	2,38	2,38
276	VL-sinSC(O-E)	GLOBAL	Force	X Proj	0	0,18478	0,28	0,28
276	VL-sinSC(E-O)	GLOBAL	Force	X Proj	0	0,18478	-0,28	-0,28
276	VL-conSC(O-E)	GLOBAL	Force	X Proj	0	0,18478	0,41	0,41
276	VL-conSC(E-O)	GLOBAL	Force	X Proj	0	0,18478	-0,41	-0,41
277	CM	GLOBAL	Force	Gravity	0	0,18473	0,04	0,04
277	VT-sinSC(N-S)	GLOBAL	Force	Y Proj	0	0,18473	-1,6	-1,6
277	VT-sinSC(S-N)	GLOBAL	Force	Y Proj	0	0,18473	1,6	1,6
277	VT-conSC(N-S)	GLOBAL	Force	Y Proj	0	0,18473	-2,38	-2,38
277	VT-conSC(S-N)	GLOBAL	Force	Y Proj	0	0,18473	2,38	2,38
277	VL-sinSC(O-E)	GLOBAL	Force	X Proj	0	0,18473	0,28	0,28
277	VL-sinSC(E-O)	GLOBAL	Force	X Proj	0	0,18473	-0,28	-0,28
277	VL-conSC(O-E)	GLOBAL	Force	X Proj	0	0,18473	0,41	0,41
277	VL-conSC(E-O)	GLOBAL	Force	X Proj	0	0,18473	-0,41	-0,41
278	CM	GLOBAL	Force	Gravity	0	0,18464	0,04	0,04
278	VT-sinSC(N-S)	GLOBAL	Force	Y Proj	0	0,18464	-1,6	-1,6
278	VT-sinSC(S-N)	GLOBAL	Force	Y Proj	0	0,18464	1,6	1,6
278	VT-conSC(N-S)	GLOBAL	Force	Y Proj	0	0,18464	-2,38	-2,38
278	VT-conSC(S-N)	GLOBAL	Force	Y Proj	0	0,18464	2,38	2,38
278	VL-sinSC(O-E)	GLOBAL	Force	X Proj	0	0,18464	0,28	0,28
278	VL-sinSC(E-O)	GLOBAL	Force	X Proj	0	0,18464	-0,28	-0,28
278	VL-conSC(O-E)	GLOBAL	Force	X Proj	0	0,18464	0,41	0,41
278	VL-conSC(E-O)	GLOBAL	Force	X Proj	0	0,18464	-0,41	-0,41
279	CM	GLOBAL	Force	Gravity	0	0,18457	0,04	0,04
279	VT-sinSC(N-S)	GLOBAL	Force	Y Proj	0	0,18457	-1,6	-1,6
279	VT-sinSC(S-N)	GLOBAL	Force	Y Proj	0	0,18457	1,6	1,6
279	VT-conSC(N-S)	GLOBAL	Force	Y Proj	0	0,18457	-2,38	-2,38
279	VT-conSC(S-N)	GLOBAL	Force	Y Proj	0	0,18457	2,38	2,38
279	VL-sinSC(O-E)	GLOBAL	Force	X Proj	0	0,18457	0,28	0,28
279	VL-sinSC(E-O)	GLOBAL	Force	X Proj	0	0,18457	-0,28	-0,28
279	VL-conSC(O-E)	GLOBAL	Force	X Proj	0	0,18457	0,41	0,41
279	VL-conSC(E-O)	GLOBAL	Force	X Proj	0	0,18457	-0,41	-0,41
280	CM	GLOBAL	Force	Gravity	0	0,18453	0,04	0,04
280	VT-sinSC(N-S)	GLOBAL	Force	Y Proj	0	0,18453	-1,6	-1,6
280	VT-sinSC(S-N)	GLOBAL	Force	Y Proj	0	0,18453	1,6	1,6
280	VT-conSC(N-S)	GLOBAL	Force	Y Proj	0	0,18453	-2,38	-2,38
280	VT-conSC(S-N)	GLOBAL	Force	Y Proj	0	0,18453	2,38	2,38

280	VL-sinSC(O-E)	GLOBAL	Force	X Proj	0	0,18453	0,28	0,28
280	VL-sinSC(E-O)	GLOBAL	Force	X Proj	0	0,18453	-0,28	-0,28
280	VL-conSC(O-E)	GLOBAL	Force	X Proj	0	0,18453	0,41	0,41
280	VL-conSC(E-O)	GLOBAL	Force	X Proj	0	0,18453	-0,41	-0,41
281	CM	GLOBAL	Force	Gravity	0	0,18451	0,04	0,04
281	VT-sinSC(N-S)	GLOBAL	Force	Y Proj	0	0,18451	-1,6	-1,6
281	VT-sinSC(S-N)	GLOBAL	Force	Y Proj	0	0,18451	1,6	1,6
281	VT-conSC(N-S)	GLOBAL	Force	Y Proj	0	0,18451	-2,38	-2,38
281	VT-conSC(S-N)	GLOBAL	Force	Y Proj	0	0,18451	2,38	2,38
281	VL-sinSC(O-E)	GLOBAL	Force	X Proj	0	0,18451	0,28	0,28
281	VL-sinSC(E-O)	GLOBAL	Force	X Proj	0	0,18451	-0,28	-0,28
281	VL-conSC(O-E)	GLOBAL	Force	X Proj	0	0,18451	0,41	0,41
281	VL-conSC(E-O)	GLOBAL	Force	X Proj	0	0,18451	-0,41	-0,41
282	CM	GLOBAL	Force	Gravity	0	0,18451	0,04	0,04
282	VT-sinSC(N-S)	GLOBAL	Force	Y Proj	0	0,18451	-1,6	-1,6
282	VT-sinSC(S-N)	GLOBAL	Force	Y Proj	0	0,18451	1,6	1,6
282	VT-conSC(N-S)	GLOBAL	Force	Y Proj	0	0,18451	-2,38	-2,38
282	VT-conSC(S-N)	GLOBAL	Force	Y Proj	0	0,18451	2,38	2,38
282	VL-sinSC(O-E)	GLOBAL	Force	X Proj	0	0,18451	0,28	0,28
282	VL-sinSC(E-O)	GLOBAL	Force	X Proj	0	0,18451	-0,28	-0,28
282	VL-conSC(O-E)	GLOBAL	Force	X Proj	0	0,18451	0,41	0,41
282	VL-conSC(E-O)	GLOBAL	Force	X Proj	0	0,18451	-0,41	-0,41
283	CM	GLOBAL	Force	Gravity	0	0,18454	0,04	0,04
283	VT-sinSC(N-S)	GLOBAL	Force	Y Proj	0	0,18454	-1,6	-1,6
283	VT-sinSC(S-N)	GLOBAL	Force	Y Proj	0	0,18454	1,6	1,6
283	VT-conSC(N-S)	GLOBAL	Force	Y Proj	0	0,18454	-2,38	-2,38
283	VT-conSC(S-N)	GLOBAL	Force	Y Proj	0	0,18454	2,38	2,38
283	VL-sinSC(O-E)	GLOBAL	Force	X Proj	0	0,18454	0,28	0,28
283	VL-sinSC(E-O)	GLOBAL	Force	X Proj	0	0,18454	-0,28	-0,28
283	VL-conSC(O-E)	GLOBAL	Force	X Proj	0	0,18454	0,41	0,41
283	VL-conSC(E-O)	GLOBAL	Force	X Proj	0	0,18454	-0,41	-0,41
284	PPforjado	GLOBAL	Force	Gravity	0	2,5	4	4
284	SC_5	GLOBAL	Force	Gravity	0	2,5	9	9
285	CM	GLOBAL	Force	Gravity	0	0,18468	0,04	0,04
285	VT-sinSC(N-S)	GLOBAL	Force	Y Proj	0	0,18468	-1,6	-1,6
285	VT-sinSC(S-N)	GLOBAL	Force	Y Proj	0	0,18468	1,6	1,6
285	VT-conSC(N-S)	GLOBAL	Force	Y Proj	0	0,18468	-2,38	-2,38
285	VT-conSC(S-N)	GLOBAL	Force	Y Proj	0	0,18468	2,38	2,38
285	VL-sinSC(O-E)	GLOBAL	Force	X Proj	0	0,18468	0,28	0,28



285	VL-sinSC(E-O)	GLOBAL	Force	X Proj	0	0,18468	-0,28	-0,28
285	VL-conSC(O-E)	GLOBAL	Force	X Proj	0	0,18468	0,41	0,41
285	VL-conSC(E-O)	GLOBAL	Force	X Proj	0	0,18468	-0,41	-0,41
286	CM	GLOBAL	Force	Gravity	0	0,18478	0,04	0,04
286	VT-sinSC(N-S)	GLOBAL	Force	Y Proj	0	0,18478	-1,6	-1,6
286	VT-sinSC(S-N)	GLOBAL	Force	Y Proj	0	0,18478	1,6	1,6
286	VT-conSC(N-S)	GLOBAL	Force	Y Proj	0	0,18478	-2,38	-2,38
286	VT-conSC(S-N)	GLOBAL	Force	Y Proj	0	0,18478	2,38	2,38
286	VL-sinSC(O-E)	GLOBAL	Force	X Proj	0	0,18478	0,28	0,28
286	VL-sinSC(E-O)	GLOBAL	Force	X Proj	0	0,18478	-0,28	-0,28
286	VL-conSC(O-E)	GLOBAL	Force	X Proj	0	0,18478	0,41	0,41
286	VL-conSC(E-O)	GLOBAL	Force	X Proj	0	0,18478	-0,41	-0,41
287	CM	GLOBAL	Force	Gravity	0	0,18469	0,04	0,04
287	VT-sinSC(N-S)	GLOBAL	Force	Y Proj	0	0,18469	-1,6	-1,6
287	VT-sinSC(S-N)	GLOBAL	Force	Y Proj	0	0,18469	1,6	1,6
287	VT-conSC(N-S)	GLOBAL	Force	Y Proj	0	0,18469	-2,38	-2,38
287	VT-conSC(S-N)	GLOBAL	Force	Y Proj	0	0,18469	2,38	2,38
287	VL-sinSC(O-E)	GLOBAL	Force	X Proj	0	0,18469	0,28	0,28
287	VL-sinSC(E-O)	GLOBAL	Force	X Proj	0	0,18469	-0,28	-0,28
287	VL-conSC(O-E)	GLOBAL	Force	X Proj	0	0,18469	0,41	0,41
287	VL-conSC(E-O)	GLOBAL	Force	X Proj	0	0,18469	-0,41	-0,41
288	CM	GLOBAL	Force	Gravity	0	0,1845	0,04	0,04
288	VT-sinSC(N-S)	GLOBAL	Force	Y Proj	0	0,1845	-1,6	-1,6
288	VT-sinSC(S-N)	GLOBAL	Force	Y Proj	0	0,1845	1,6	1,6
288	VT-conSC(N-S)	GLOBAL	Force	Y Proj	0	0,1845	-2,38	-2,38
288	VT-conSC(S-N)	GLOBAL	Force	Y Proj	0	0,1845	2,38	2,38
288	VL-sinSC(O-E)	GLOBAL	Force	X Proj	0	0,1845	0,28	0,28
288	VL-sinSC(E-O)	GLOBAL	Force	X Proj	0	0,1845	-0,28	-0,28
288	VL-conSC(O-E)	GLOBAL	Force	X Proj	0	0,1845	0,41	0,41
288	VL-conSC(E-O)	GLOBAL	Force	X Proj	0	0,1845	-0,41	-0,41
289	CM	GLOBAL	Force	Gravity	0	0,18435	0,04	0,04
289	VT-sinSC(N-S)	GLOBAL	Force	Y Proj	0	0,18435	-1,6	-1,6
289	VT-sinSC(S-N)	GLOBAL	Force	Y Proj	0	0,18435	1,6	1,6
289	VT-conSC(N-S)	GLOBAL	Force	Y Proj	0	0,18435	-2,38	-2,38
289	VT-conSC(S-N)	GLOBAL	Force	Y Proj	0	0,18435	2,38	2,38
289	VL-sinSC(O-E)	GLOBAL	Force	X Proj	0	0,18435	0,28	0,28
289	VL-sinSC(E-O)	GLOBAL	Force	X Proj	0	0,18435	-0,28	-0,28
289	VL-conSC(O-E)	GLOBAL	Force	X Proj	0	0,18435	0,41	0,41
289	VL-conSC(E-O)	GLOBAL	Force	X Proj	0	0,18435	-0,41	-0,41

290	CM	GLOBAL	Force	Gravity	0	0,18422	0,04	0,04
290	VT-sinSC(N-S)	GLOBAL	Force	Y Proj	0	0,18422	-1,6	-1,6
290	VT-sinSC(S-N)	GLOBAL	Force	Y Proj	0	0,18422	1,6	1,6
290	VT-conSC(N-S)	GLOBAL	Force	Y Proj	0	0,18422	-2,38	-2,38
290	VT-conSC(S-N)	GLOBAL	Force	Y Proj	0	0,18422	2,38	2,38
290	VL-sinSC(O-E)	GLOBAL	Force	X Proj	0	0,18422	0,28	0,28
290	VL-sinSC(E-O)	GLOBAL	Force	X Proj	0	0,18422	-0,28	-0,28
290	VL-conSC(O-E)	GLOBAL	Force	X Proj	0	0,18422	0,41	0,41
290	VL-conSC(E-O)	GLOBAL	Force	X Proj	0	0,18422	-0,41	-0,41
291	CM	GLOBAL	Force	Gravity	0	0,18411	0,04	0,04
291	VT-sinSC(N-S)	GLOBAL	Force	Y Proj	0	0,18411	-1,6	-1,6
291	VT-sinSC(S-N)	GLOBAL	Force	Y Proj	0	0,18411	1,6	1,6
291	VT-conSC(N-S)	GLOBAL	Force	Y Proj	0	0,18411	-2,38	-2,38
291	VT-conSC(S-N)	GLOBAL	Force	Y Proj	0	0,18411	2,38	2,38
291	VL-sinSC(O-E)	GLOBAL	Force	X Proj	0	0,18411	0,28	0,28
291	VL-sinSC(E-O)	GLOBAL	Force	X Proj	0	0,18411	-0,28	-0,28
291	VL-conSC(O-E)	GLOBAL	Force	X Proj	0	0,18411	0,41	0,41
291	VL-conSC(E-O)	GLOBAL	Force	X Proj	0	0,18411	-0,41	-0,41
292	CM	GLOBAL	Force	Gravity	0	0,18403	0,04	0,04
292	VT-sinSC(N-S)	GLOBAL	Force	Y Proj	0	0,18403	-1,6	-1,6
292	VT-sinSC(S-N)	GLOBAL	Force	Y Proj	0	0,18403	1,6	1,6
292	VT-conSC(N-S)	GLOBAL	Force	Y Proj	0	0,18403	-2,38	-2,38
292	VT-conSC(S-N)	GLOBAL	Force	Y Proj	0	0,18403	2,38	2,38
292	VL-sinSC(O-E)	GLOBAL	Force	X Proj	0	0,18403	0,28	0,28
292	VL-sinSC(E-O)	GLOBAL	Force	X Proj	0	0,18403	-0,28	-0,28
292	VL-conSC(O-E)	GLOBAL	Force	X Proj	0	0,18403	0,41	0,41
292	VL-conSC(E-O)	GLOBAL	Force	X Proj	0	0,18403	-0,41	-0,41
293	PPforjado	GLOBAL	Force	Gravity	0	2,5	4	4
293	SC_4	GLOBAL	Force	Gravity	0	2,5	9	9
294	CM	GLOBAL	Force	Gravity	0	0,18394	0,04	0,04
294	VT-sinSC(N-S)	GLOBAL	Force	Y Proj	0	0,18394	-1,6	-1,6
294	VT-sinSC(S-N)	GLOBAL	Force	Y Proj	0	0,18394	1,6	1,6
294	VT-conSC(N-S)	GLOBAL	Force	Y Proj	0	0,18394	-2,38	-2,38
294	VT-conSC(S-N)	GLOBAL	Force	Y Proj	0	0,18394	2,38	2,38
294	VL-sinSC(O-E)	GLOBAL	Force	X Proj	0	0,18394	0,28	0,28
294	VL-sinSC(E-O)	GLOBAL	Force	X Proj	0	0,18394	-0,28	-0,28
294	VL-conSC(O-E)	GLOBAL	Force	X Proj	0	0,18394	0,41	0,41
294	VL-conSC(E-O)	GLOBAL	Force	X Proj	0	0,18394	-0,41	-0,41
295	CM	GLOBAL	Force	Gravity	0	0,18394	0,04	0,04



295	VT-sinSC(N-S)	GLOBAL	Force	Y Proj	0	0,18394	-1,6	-1,6
295	VT-sinSC(S-N)	GLOBAL	Force	Y Proj	0	0,18394	1,6	1,6
295	VT-conSC(N-S)	GLOBAL	Force	Y Proj	0	0,18394	-2,38	-2,38
295	VT-conSC(S-N)	GLOBAL	Force	Y Proj	0	0,18394	2,38	2,38
295	VL-sinSC(O-E)	GLOBAL	Force	X Proj	0	0,18394	0,28	0,28
295	VL-sinSC(E-O)	GLOBAL	Force	X Proj	0	0,18394	-0,28	-0,28
295	VL-conSC(O-E)	GLOBAL	Force	X Proj	0	0,18394	0,41	0,41
295	VL-conSC(E-O)	GLOBAL	Force	X Proj	0	0,18394	-0,41	-0,41
296	CM	GLOBAL	Force	Gravity	0	0,18395	0,04	0,04
296	VT-sinSC(N-S)	GLOBAL	Force	Y Proj	0	0,18395	-1,6	-1,6
296	VT-sinSC(S-N)	GLOBAL	Force	Y Proj	0	0,18395	1,6	1,6
296	VT-conSC(N-S)	GLOBAL	Force	Y Proj	0	0,18395	-2,38	-2,38
296	VT-conSC(S-N)	GLOBAL	Force	Y Proj	0	0,18395	2,38	2,38
296	VL-sinSC(O-E)	GLOBAL	Force	X Proj	0	0,18395	0,28	0,28
296	VL-sinSC(E-O)	GLOBAL	Force	X Proj	0	0,18395	-0,28	-0,28
296	VL-conSC(O-E)	GLOBAL	Force	X Proj	0	0,18395	0,41	0,41
296	VL-conSC(E-O)	GLOBAL	Force	X Proj	0	0,18395	-0,41	-0,41
297	CM	GLOBAL	Force	Gravity	0	0,184	0,04	0,04
297	VT-sinSC(N-S)	GLOBAL	Force	Y Proj	0	0,184	-1,6	-1,6
297	VT-sinSC(S-N)	GLOBAL	Force	Y Proj	0	0,184	1,6	1,6
297	VT-conSC(N-S)	GLOBAL	Force	Y Proj	0	0,184	-2,38	-2,38
297	VT-conSC(S-N)	GLOBAL	Force	Y Proj	0	0,184	2,38	2,38
297	VL-sinSC(O-E)	GLOBAL	Force	X Proj	0	0,184	0,28	0,28
297	VL-sinSC(E-O)	GLOBAL	Force	X Proj	0	0,184	-0,28	-0,28
297	VL-conSC(O-E)	GLOBAL	Force	X Proj	0	0,184	0,41	0,41
297	VL-conSC(E-O)	GLOBAL	Force	X Proj	0	0,184	-0,41	-0,41
298	CM	GLOBAL	Force	Gravity	0	0,18407	0,04	0,04
298	VT-sinSC(N-S)	GLOBAL	Force	Y Proj	0	0,18407	-1,6	-1,6
298	VT-sinSC(S-N)	GLOBAL	Force	Y Proj	0	0,18407	1,6	1,6
298	VT-conSC(N-S)	GLOBAL	Force	Y Proj	0	0,18407	-2,38	-2,38
298	VT-conSC(S-N)	GLOBAL	Force	Y Proj	0	0,18407	2,38	2,38
298	VL-sinSC(O-E)	GLOBAL	Force	X Proj	0	0,18407	0,28	0,28
298	VL-sinSC(E-O)	GLOBAL	Force	X Proj	0	0,18407	-0,28	-0,28
298	VL-conSC(O-E)	GLOBAL	Force	X Proj	0	0,18407	0,41	0,41
298	VL-conSC(E-O)	GLOBAL	Force	X Proj	0	0,18407	-0,41	-0,41
299	CM	GLOBAL	Force	Gravity	0	0,18416	0,04	0,04
299	VT-sinSC(N-S)	GLOBAL	Force	Y Proj	0	0,18416	-1,6	-1,6
299	VT-sinSC(S-N)	GLOBAL	Force	Y Proj	0	0,18416	1,6	1,6
299	VT-conSC(N-S)	GLOBAL	Force	Y Proj	0	0,18416	-2,38	-2,38

299	VT-conSC(S-N)	GLOBAL	Force	Y Proj	0	0,18416	2,38	2,38
299	VL-sinSC(O-E)	GLOBAL	Force	X Proj	0	0,18416	0,28	0,28
299	VL-sinSC(E-O)	GLOBAL	Force	X Proj	0	0,18416	-0,28	-0,28
299	VL-conSC(O-E)	GLOBAL	Force	X Proj	0	0,18416	0,41	0,41
299	VL-conSC(E-O)	GLOBAL	Force	X Proj	0	0,18416	-0,41	-0,41
300	CM	GLOBAL	Force	Gravity	0	0,18428	0,04	0,04
300	VT-sinSC(N-S)	GLOBAL	Force	Y Proj	0	0,18428	-1,6	-1,6
300	VT-sinSC(S-N)	GLOBAL	Force	Y Proj	0	0,18428	1,6	1,6
300	VT-conSC(N-S)	GLOBAL	Force	Y Proj	0	0,18428	-2,38	-2,38
300	VT-conSC(S-N)	GLOBAL	Force	Y Proj	0	0,18428	2,38	2,38
300	VL-sinSC(O-E)	GLOBAL	Force	X Proj	0	0,18428	0,28	0,28
300	VL-sinSC(E-O)	GLOBAL	Force	X Proj	0	0,18428	-0,28	-0,28
300	VL-conSC(O-E)	GLOBAL	Force	X Proj	0	0,18428	0,41	0,41
300	VL-conSC(E-O)	GLOBAL	Force	X Proj	0	0,18428	-0,41	-0,41
301	CM	GLOBAL	Force	Gravity	0	0,18442	0,04	0,04
301	VT-sinSC(N-S)	GLOBAL	Force	Y Proj	0	0,18442	-1,6	-1,6
301	VT-sinSC(S-N)	GLOBAL	Force	Y Proj	0	0,18442	1,6	1,6
301	VT-conSC(N-S)	GLOBAL	Force	Y Proj	0	0,18442	-2,38	-2,38
301	VT-conSC(S-N)	GLOBAL	Force	Y Proj	0	0,18442	2,38	2,38
301	VL-sinSC(O-E)	GLOBAL	Force	X Proj	0	0,18442	0,28	0,28
301	VL-sinSC(E-O)	GLOBAL	Force	X Proj	0	0,18442	-0,28	-0,28
301	VL-conSC(O-E)	GLOBAL	Force	X Proj	0	0,18442	0,41	0,41
301	VL-conSC(E-O)	GLOBAL	Force	X Proj	0	0,18442	-0,41	-0,41
302	CM	GLOBAL	Force	Gravity	0	0,1846	0,04	0,04
302	VT-sinSC(N-S)	GLOBAL	Force	Y Proj	0	0,1846	-1,6	-1,6
302	VT-sinSC(S-N)	GLOBAL	Force	Y Proj	0	0,1846	1,6	1,6
302	VT-conSC(N-S)	GLOBAL	Force	Y Proj	0	0,1846	-2,38	-2,38
302	VT-conSC(S-N)	GLOBAL	Force	Y Proj	0	0,1846	2,38	2,38
302	VL-sinSC(O-E)	GLOBAL	Force	X Proj	0	0,1846	0,28	0,28
302	VL-sinSC(E-O)	GLOBAL	Force	X Proj	0	0,1846	-0,28	-0,28
302	VL-conSC(O-E)	GLOBAL	Force	X Proj	0	0,1846	0,41	0,41
302	VL-conSC(E-O)	GLOBAL	Force	X Proj	0	0,1846	-0,41	-0,41
303	CM	GLOBAL	Force	Gravity	0	0,07624	0,04	0,04
303	VT-sinSC(N-S)	GLOBAL	Force	Y Proj	0	0,07624	-1,6	-1,6
303	VT-sinSC(S-N)	GLOBAL	Force	Y Proj	0	0,07624	1,6	1,6
303	VT-conSC(N-S)	GLOBAL	Force	Y Proj	0	0,07624	-2,38	-2,38
303	VT-conSC(S-N)	GLOBAL	Force	Y Proj	0	0,07624	2,38	2,38
303	VL-sinSC(O-E)	GLOBAL	Force	X Proj	0	0,07624	0,28	0,28
303	VL-sinSC(E-O)	GLOBAL	Force	X Proj	0	0,07624	-0,28	-0,28



303	VL-conSC(O-E)	GLOBAL	Force	X Proj	0	0,07624	0,41	0,41
303	VL-conSC(E-O)	GLOBAL	Force	X Proj	0	0,07624	-0,41	-0,41
304	CM	GLOBAL	Force	Gravity	0	0,07623	0,04	0,04
304	VT-sinSC(N-S)	GLOBAL	Force	Y Proj	0	0,07623	-1,6	-1,6
304	VT-sinSC(S-N)	GLOBAL	Force	Y Proj	0	0,07623	1,6	1,6
304	VT-conSC(N-S)	GLOBAL	Force	Y Proj	0	0,07623	-2,38	-2,38
304	VT-conSC(S-N)	GLOBAL	Force	Y Proj	0	0,07623	2,38	2,38
304	VL-sinSC(O-E)	GLOBAL	Force	X Proj	0	0,07623	0,28	0,28
304	VL-sinSC(E-O)	GLOBAL	Force	X Proj	0	0,07623	-0,28	-0,28
304	VL-conSC(O-E)	GLOBAL	Force	X Proj	0	0,07623	0,41	0,41
304	VL-conSC(E-O)	GLOBAL	Force	X Proj	0	0,07623	-0,41	-0,41
305	CM	GLOBAL	Force	Gravity	0	0,07622	0,04	0,04
305	VT-sinSC(N-S)	GLOBAL	Force	Y Proj	0	0,07622	-1,6	-1,6
305	VT-sinSC(S-N)	GLOBAL	Force	Y Proj	0	0,07622	1,6	1,6
305	VT-conSC(N-S)	GLOBAL	Force	Y Proj	0	0,07622	-2,38	-2,38
305	VT-conSC(S-N)	GLOBAL	Force	Y Proj	0	0,07622	2,38	2,38
305	VL-sinSC(O-E)	GLOBAL	Force	X Proj	0	0,07622	0,28	0,28
305	VL-sinSC(E-O)	GLOBAL	Force	X Proj	0	0,07622	-0,28	-0,28
305	VL-conSC(O-E)	GLOBAL	Force	X Proj	0	0,07622	0,41	0,41
305	VL-conSC(E-O)	GLOBAL	Force	X Proj	0	0,07622	-0,41	-0,41
306	CM	GLOBAL	Force	Gravity	0	0,0762	0,04	0,04
306	VT-sinSC(N-S)	GLOBAL	Force	Y Proj	0	0,0762	-1,6	-1,6
306	VT-sinSC(S-N)	GLOBAL	Force	Y Proj	0	0,0762	1,6	1,6
306	VT-conSC(N-S)	GLOBAL	Force	Y Proj	0	0,0762	-2,38	-2,38
306	VT-conSC(S-N)	GLOBAL	Force	Y Proj	0	0,0762	2,38	2,38
306	VL-sinSC(O-E)	GLOBAL	Force	X Proj	0	0,0762	0,28	0,28
306	VL-sinSC(E-O)	GLOBAL	Force	X Proj	0	0,0762	-0,28	-0,28
306	VL-conSC(O-E)	GLOBAL	Force	X Proj	0	0,0762	0,41	0,41
306	VL-conSC(E-O)	GLOBAL	Force	X Proj	0	0,0762	-0,41	-0,41
307	CM	GLOBAL	Force	Gravity	0	0,07618	0,04	0,04
307	VT-sinSC(N-S)	GLOBAL	Force	Y Proj	0	0,07618	-1,6	-1,6
307	VT-sinSC(S-N)	GLOBAL	Force	Y Proj	0	0,07618	1,6	1,6
307	VT-conSC(N-S)	GLOBAL	Force	Y Proj	0	0,07618	-2,38	-2,38
307	VT-conSC(S-N)	GLOBAL	Force	Y Proj	0	0,07618	2,38	2,38
307	VL-sinSC(O-E)	GLOBAL	Force	X Proj	0	0,07618	0,28	0,28
307	VL-sinSC(E-O)	GLOBAL	Force	X Proj	0	0,07618	-0,28	-0,28
307	VL-conSC(O-E)	GLOBAL	Force	X Proj	0	0,07618	0,41	0,41
307	VL-conSC(E-O)	GLOBAL	Force	X Proj	0	0,07618	-0,41	-0,41
308	CM	GLOBAL	Force	Gravity	0	0,07615	0,04	0,04

308	VT-sinSC(N-S)	GLOBAL	Force	Y Proj	0	0,07615	-1,6	-1,6
308	VT-sinSC(S-N)	GLOBAL	Force	Y Proj	0	0,07615	1,6	1,6
308	VT-conSC(N-S)	GLOBAL	Force	Y Proj	0	0,07615	-2,38	-2,38
308	VT-conSC(S-N)	GLOBAL	Force	Y Proj	0	0,07615	2,38	2,38
308	VL-sinSC(O-E)	GLOBAL	Force	X Proj	0	0,07615	0,28	0,28
308	VL-sinSC(E-O)	GLOBAL	Force	X Proj	0	0,07615	-0,28	-0,28
308	VL-conSC(O-E)	GLOBAL	Force	X Proj	0	0,07615	0,41	0,41
308	VL-conSC(E-O)	GLOBAL	Force	X Proj	0	0,07615	-0,41	-0,41
309	CM	GLOBAL	Force	Gravity	0	0,07613	0,04	0,04
309	VT-sinSC(N-S)	GLOBAL	Force	Y Proj	0	0,07613	-1,6	-1,6
309	VT-sinSC(S-N)	GLOBAL	Force	Y Proj	0	0,07613	1,6	1,6
309	VT-conSC(N-S)	GLOBAL	Force	Y Proj	0	0,07613	-2,38	-2,38
309	VT-conSC(S-N)	GLOBAL	Force	Y Proj	0	0,07613	2,38	2,38
309	VL-sinSC(O-E)	GLOBAL	Force	X Proj	0	0,07613	0,28	0,28
309	VL-sinSC(E-O)	GLOBAL	Force	X Proj	0	0,07613	-0,28	-0,28
309	VL-conSC(O-E)	GLOBAL	Force	X Proj	0	0,07613	0,41	0,41
309	VL-conSC(E-O)	GLOBAL	Force	X Proj	0	0,07613	-0,41	-0,41
310	CM	GLOBAL	Force	Gravity	0	0,07612	0,04	0,04
310	VT-sinSC(N-S)	GLOBAL	Force	Y Proj	0	0,07612	-1,6	-1,6
310	VT-sinSC(S-N)	GLOBAL	Force	Y Proj	0	0,07612	1,6	1,6
310	VT-conSC(N-S)	GLOBAL	Force	Y Proj	0	0,07612	-2,38	-2,38
310	VT-conSC(S-N)	GLOBAL	Force	Y Proj	0	0,07612	2,38	2,38
310	VL-sinSC(O-E)	GLOBAL	Force	X Proj	0	0,07612	0,28	0,28
310	VL-sinSC(E-O)	GLOBAL	Force	X Proj	0	0,07612	-0,28	-0,28
310	VL-conSC(O-E)	GLOBAL	Force	X Proj	0	0,07612	0,41	0,41
310	VL-conSC(E-O)	GLOBAL	Force	X Proj	0	0,07612	-0,41	-0,41
311	PPforjado	GLOBAL	Force	Gravity	0	2,5	4	4
311	SC_4	GLOBAL	Force	Gravity	0	2,5	9	9
312	CM	GLOBAL	Force	Gravity	0	0,07612	0,04	0,04
312	VT-sinSC(N-S)	GLOBAL	Force	Y Proj	0	0,07612	-1,6	-1,6
312	VT-sinSC(S-N)	GLOBAL	Force	Y Proj	0	0,07612	1,6	1,6
312	VT-conSC(N-S)	GLOBAL	Force	Y Proj	0	0,07612	-2,38	-2,38
312	VT-conSC(S-N)	GLOBAL	Force	Y Proj	0	0,07612	2,38	2,38
312	VL-sinSC(O-E)	GLOBAL	Force	X Proj	0	0,07612	0,28	0,28
312	VL-sinSC(E-O)	GLOBAL	Force	X Proj	0	0,07612	-0,28	-0,28
312	VL-conSC(O-E)	GLOBAL	Force	X Proj	0	0,07612	0,41	0,41
312	VL-conSC(E-O)	GLOBAL	Force	X Proj	0	0,07612	-0,41	-0,41
313	CM	GLOBAL	Force	Gravity	0	0,07613	0,04	0,04
313	VT-sinSC(N-S)	GLOBAL	Force	Y Proj	0	0,07613	-1,6	-1,6



313	VT-sinSC(S-N)	GLOBAL	Force	Y Proj	0	0,07613	1,6	1,6
313	VT-conSC(N-S)	GLOBAL	Force	Y Proj	0	0,07613	-2,38	-2,38
313	VT-conSC(S-N)	GLOBAL	Force	Y Proj	0	0,07613	2,38	2,38
313	VL-sinSC(O-E)	GLOBAL	Force	X Proj	0	0,07613	0,28	0,28
313	VL-sinSC(E-O)	GLOBAL	Force	X Proj	0	0,07613	-0,28	-0,28
313	VL-conSC(O-E)	GLOBAL	Force	X Proj	0	0,07613	0,41	0,41
313	VL-conSC(E-O)	GLOBAL	Force	X Proj	0	0,07613	-0,41	-0,41
314	CM	GLOBAL	Force	Gravity	0	0,07615	0,04	0,04
314	VT-sinSC(N-S)	GLOBAL	Force	Y Proj	0	0,07615	-1,6	-1,6
314	VT-sinSC(S-N)	GLOBAL	Force	Y Proj	0	0,07615	1,6	1,6
314	VT-conSC(N-S)	GLOBAL	Force	Y Proj	0	0,07615	-2,38	-2,38
314	VT-conSC(S-N)	GLOBAL	Force	Y Proj	0	0,07615	2,38	2,38
314	VL-sinSC(O-E)	GLOBAL	Force	X Proj	0	0,07615	0,28	0,28
314	VL-sinSC(E-O)	GLOBAL	Force	X Proj	0	0,07615	-0,28	-0,28
314	VL-conSC(O-E)	GLOBAL	Force	X Proj	0	0,07615	0,41	0,41
314	VL-conSC(E-O)	GLOBAL	Force	X Proj	0	0,07615	-0,41	-0,41
315	CM	GLOBAL	Force	Gravity	0	0,07618	0,04	0,04
315	VT-sinSC(N-S)	GLOBAL	Force	Y Proj	0	0,07618	-1,6	-1,6
315	VT-sinSC(S-N)	GLOBAL	Force	Y Proj	0	0,07618	1,6	1,6
315	VT-conSC(N-S)	GLOBAL	Force	Y Proj	0	0,07618	-2,38	-2,38
315	VT-conSC(S-N)	GLOBAL	Force	Y Proj	0	0,07618	2,38	2,38
315	VL-sinSC(O-E)	GLOBAL	Force	X Proj	0	0,07618	0,28	0,28
315	VL-sinSC(E-O)	GLOBAL	Force	X Proj	0	0,07618	-0,28	-0,28
315	VL-conSC(O-E)	GLOBAL	Force	X Proj	0	0,07618	0,41	0,41
315	VL-conSC(E-O)	GLOBAL	Force	X Proj	0	0,07618	-0,41	-0,41
316	CM	GLOBAL	Force	Gravity	0	0,0762	0,04	0,04
316	VT-sinSC(N-S)	GLOBAL	Force	Y Proj	0	0,0762	-1,6	-1,6
316	VT-sinSC(S-N)	GLOBAL	Force	Y Proj	0	0,0762	1,6	1,6
316	VT-conSC(N-S)	GLOBAL	Force	Y Proj	0	0,0762	-2,38	-2,38
316	VT-conSC(S-N)	GLOBAL	Force	Y Proj	0	0,0762	2,38	2,38
316	VL-sinSC(O-E)	GLOBAL	Force	X Proj	0	0,0762	0,28	0,28
316	VL-sinSC(E-O)	GLOBAL	Force	X Proj	0	0,0762	-0,28	-0,28
316	VL-conSC(O-E)	GLOBAL	Force	X Proj	0	0,0762	0,41	0,41
316	VL-conSC(E-O)	GLOBAL	Force	X Proj	0	0,0762	-0,41	-0,41
317	CM	GLOBAL	Force	Gravity	0	0,07622	0,04	0,04
317	VT-sinSC(N-S)	GLOBAL	Force	Y Proj	0	0,07622	-1,6	-1,6
317	VT-sinSC(S-N)	GLOBAL	Force	Y Proj	0	0,07622	1,6	1,6
317	VT-conSC(N-S)	GLOBAL	Force	Y Proj	0	0,07622	-2,38	-2,38
317	VT-conSC(S-N)	GLOBAL	Force	Y Proj	0	0,07622	2,38	2,38

317	VL-sinSC(O-E)	GLOBAL	Force	X Proj	0	0,07622	0,28	0,28
317	VL-sinSC(E-O)	GLOBAL	Force	X Proj	0	0,07622	-0,28	-0,28
317	VL-conSC(O-E)	GLOBAL	Force	X Proj	0	0,07622	0,41	0,41
317	VL-conSC(E-O)	GLOBAL	Force	X Proj	0	0,07622	-0,41	-0,41
318	CM	GLOBAL	Force	Gravity	0	0,07623	0,04	0,04
318	VT-sinSC(N-S)	GLOBAL	Force	Y Proj	0	0,07623	-1,6	-1,6
318	VT-sinSC(S-N)	GLOBAL	Force	Y Proj	0	0,07623	1,6	1,6
318	VT-conSC(N-S)	GLOBAL	Force	Y Proj	0	0,07623	-2,38	-2,38
318	VT-conSC(S-N)	GLOBAL	Force	Y Proj	0	0,07623	2,38	2,38
318	VL-sinSC(O-E)	GLOBAL	Force	X Proj	0	0,07623	0,28	0,28
318	VL-sinSC(E-O)	GLOBAL	Force	X Proj	0	0,07623	-0,28	-0,28
318	VL-conSC(O-E)	GLOBAL	Force	X Proj	0	0,07623	0,41	0,41
318	VL-conSC(E-O)	GLOBAL	Force	X Proj	0	0,07623	-0,41	-0,41
319	CM	GLOBAL	Force	Gravity	0	0,07624	0,04	0,04
319	VT-sinSC(N-S)	GLOBAL	Force	Y Proj	0	0,07624	-1,6	-1,6
319	VT-sinSC(S-N)	GLOBAL	Force	Y Proj	0	0,07624	1,6	1,6
319	VT-conSC(N-S)	GLOBAL	Force	Y Proj	0	0,07624	-2,38	-2,38
319	VT-conSC(S-N)	GLOBAL	Force	Y Proj	0	0,07624	2,38	2,38
319	VL-sinSC(O-E)	GLOBAL	Force	X Proj	0	0,07624	0,28	0,28
319	VL-sinSC(E-O)	GLOBAL	Force	X Proj	0	0,07624	-0,28	-0,28
319	VL-conSC(O-E)	GLOBAL	Force	X Proj	0	0,07624	0,41	0,41
319	VL-conSC(E-O)	GLOBAL	Force	X Proj	0	0,07624	-0,41	-0,41
320	CM	GLOBAL	Force	Gravity	0	0,90457	0,04	0,04
320	VT-sinSC(N-S)	GLOBAL	Force	Y Proj	0	0,90457	-1,6	-1,6
320	VT-sinSC(S-N)	GLOBAL	Force	Y Proj	0	0,90457	1,6	1,6
320	VT-conSC(N-S)	GLOBAL	Force	Y Proj	0	0,90457	-2,38	-2,38
320	VT-conSC(S-N)	GLOBAL	Force	Y Proj	0	0,90457	2,38	2,38
320	VL-sinSC(O-E)	GLOBAL	Force	X Proj	0	0,90457	0,28	0,28
320	VL-sinSC(E-O)	GLOBAL	Force	X Proj	0	0,90457	-0,28	-0,28
320	VL-conSC(O-E)	GLOBAL	Force	X Proj	0	0,90457	0,41	0,41
320	VL-conSC(E-O)	GLOBAL	Force	X Proj	0	0,90457	-0,41	-0,41
321	CM	GLOBAL	Force	Gravity	0	0,03957	0,04	0,04
321	VT-sinSC(N-S)	GLOBAL	Force	Y Proj	0	0,03957	-1,6	-1,6
321	VT-sinSC(S-N)	GLOBAL	Force	Y Proj	0	0,03957	1,6	1,6
321	VT-conSC(N-S)	GLOBAL	Force	Y Proj	0	0,03957	-2,38	-2,38
321	VT-conSC(S-N)	GLOBAL	Force	Y Proj	0	0,03957	2,38	2,38
321	VL-sinSC(O-E)	GLOBAL	Force	X Proj	0	0,03957	0,28	0,28
321	VL-sinSC(E-O)	GLOBAL	Force	X Proj	0	0,03957	-0,28	-0,28
321	VL-conSC(O-E)	GLOBAL	Force	X Proj	0	0,03957	0,41	0,41



321	VL-conSC(E-O)	GLOBAL	Force	X Proj	0	0,03957	-0,41	-0,41
322	CM	GLOBAL	Force	Gravity	0	0,03957	0,04	0,04
322	VT-sinSC(N-S)	GLOBAL	Force	Y Proj	0	0,03957	-1,6	-1,6
322	VT-sinSC(S-N)	GLOBAL	Force	Y Proj	0	0,03957	1,6	1,6
322	VT-conSC(N-S)	GLOBAL	Force	Y Proj	0	0,03957	-2,38	-2,38
322	VT-conSC(S-N)	GLOBAL	Force	Y Proj	0	0,03957	2,38	2,38
322	VL-sinSC(O-E)	GLOBAL	Force	X Proj	0	0,03957	0,28	0,28
322	VL-sinSC(E-O)	GLOBAL	Force	X Proj	0	0,03957	-0,28	-0,28
322	VL-conSC(O-E)	GLOBAL	Force	X Proj	0	0,03957	0,41	0,41
322	VL-conSC(E-O)	GLOBAL	Force	X Proj	0	0,03957	-0,41	-0,41
323	CM	GLOBAL	Force	Gravity	0	0,03957	0,04	0,04
323	VT-sinSC(N-S)	GLOBAL	Force	Y Proj	0	0,03957	-1,6	-1,6
323	VT-sinSC(S-N)	GLOBAL	Force	Y Proj	0	0,03957	1,6	1,6
323	VT-conSC(N-S)	GLOBAL	Force	Y Proj	0	0,03957	-2,38	-2,38
323	VT-conSC(S-N)	GLOBAL	Force	Y Proj	0	0,03957	2,38	2,38
323	VL-sinSC(O-E)	GLOBAL	Force	X Proj	0	0,03957	0,28	0,28
323	VL-sinSC(E-O)	GLOBAL	Force	X Proj	0	0,03957	-0,28	-0,28
323	VL-conSC(O-E)	GLOBAL	Force	X Proj	0	0,03957	0,41	0,41
323	VL-conSC(E-O)	GLOBAL	Force	X Proj	0	0,03957	-0,41	-0,41
324	CM	GLOBAL	Force	Gravity	0	0,03956	0,04	0,04
324	VT-sinSC(N-S)	GLOBAL	Force	Y Proj	0	0,03956	-1,6	-1,6
324	VT-sinSC(S-N)	GLOBAL	Force	Y Proj	0	0,03956	1,6	1,6
324	VT-conSC(N-S)	GLOBAL	Force	Y Proj	0	0,03956	-2,38	-2,38
324	VT-conSC(S-N)	GLOBAL	Force	Y Proj	0	0,03956	2,38	2,38
324	VL-sinSC(O-E)	GLOBAL	Force	X Proj	0	0,03956	0,28	0,28
324	VL-sinSC(E-O)	GLOBAL	Force	X Proj	0	0,03956	-0,28	-0,28
324	VL-conSC(O-E)	GLOBAL	Force	X Proj	0	0,03956	0,41	0,41
324	VL-conSC(E-O)	GLOBAL	Force	X Proj	0	0,03956	-0,41	-0,41
325	CM	GLOBAL	Force	Gravity	0	0,03956	0,04	0,04
325	VT-sinSC(N-S)	GLOBAL	Force	Y Proj	0	0,03956	-1,6	-1,6
325	VT-sinSC(S-N)	GLOBAL	Force	Y Proj	0	0,03956	1,6	1,6
325	VT-conSC(N-S)	GLOBAL	Force	Y Proj	0	0,03956	-2,38	-2,38
325	VT-conSC(S-N)	GLOBAL	Force	Y Proj	0	0,03956	2,38	2,38
325	VL-sinSC(O-E)	GLOBAL	Force	X Proj	0	0,03956	0,28	0,28
325	VL-sinSC(E-O)	GLOBAL	Force	X Proj	0	0,03956	-0,28	-0,28
325	VL-conSC(O-E)	GLOBAL	Force	X Proj	0	0,03956	0,41	0,41
325	VL-conSC(E-O)	GLOBAL	Force	X Proj	0	0,03956	-0,41	-0,41
326	CM	GLOBAL	Force	Gravity	0	0,03956	0,04	0,04
326	VT-sinSC(N-S)	GLOBAL	Force	Y Proj	0	0,03956	-1,6	-1,6

326	VT-sinSC(S-N)	GLOBAL	Force	Y Proj	0	0,03956	1,6	1,6
326	VT-conSC(N-S)	GLOBAL	Force	Y Proj	0	0,03956	-2,38	-2,38
326	VT-conSC(S-N)	GLOBAL	Force	Y Proj	0	0,03956	2,38	2,38
326	VL-sinSC(O-E)	GLOBAL	Force	X Proj	0	0,03956	0,28	0,28
326	VL-sinSC(E-O)	GLOBAL	Force	X Proj	0	0,03956	-0,28	-0,28
326	VL-conSC(O-E)	GLOBAL	Force	X Proj	0	0,03956	0,41	0,41
326	VL-conSC(E-O)	GLOBAL	Force	X Proj	0	0,03956	-0,41	-0,41
327	CM	GLOBAL	Force	Gravity	0	0,03956	0,04	0,04
327	VT-sinSC(N-S)	GLOBAL	Force	Y Proj	0	0,03956	-1,6	-1,6
327	VT-sinSC(S-N)	GLOBAL	Force	Y Proj	0	0,03956	1,6	1,6
327	VT-conSC(N-S)	GLOBAL	Force	Y Proj	0	0,03956	-2,38	-2,38
327	VT-conSC(S-N)	GLOBAL	Force	Y Proj	0	0,03956	2,38	2,38
327	VL-sinSC(O-E)	GLOBAL	Force	X Proj	0	0,03956	0,28	0,28
327	VL-sinSC(E-O)	GLOBAL	Force	X Proj	0	0,03956	-0,28	-0,28
327	VL-conSC(O-E)	GLOBAL	Force	X Proj	0	0,03956	0,41	0,41
327	VL-conSC(E-O)	GLOBAL	Force	X Proj	0	0,03956	-0,41	-0,41
328	CM	GLOBAL	Force	Gravity	0	0,03956	0,04	0,04
328	VT-sinSC(N-S)	GLOBAL	Force	Y Proj	0	0,03956	-1,6	-1,6
328	VT-sinSC(S-N)	GLOBAL	Force	Y Proj	0	0,03956	1,6	1,6
328	VT-conSC(N-S)	GLOBAL	Force	Y Proj	0	0,03956	-2,38	-2,38
328	VT-conSC(S-N)	GLOBAL	Force	Y Proj	0	0,03956	2,38	2,38
328	VL-sinSC(O-E)	GLOBAL	Force	X Proj	0	0,03956	0,28	0,28
328	VL-sinSC(E-O)	GLOBAL	Force	X Proj	0	0,03956	-0,28	-0,28
328	VL-conSC(O-E)	GLOBAL	Force	X Proj	0	0,03956	0,41	0,41
328	VL-conSC(E-O)	GLOBAL	Force	X Proj	0	0,03956	-0,41	-0,41
329	CM	GLOBAL	Force	Gravity	0	0,03956	0,04	0,04
329	VT-sinSC(N-S)	GLOBAL	Force	Y Proj	0	0,03956	-1,6	-1,6
329	VT-sinSC(S-N)	GLOBAL	Force	Y Proj	0	0,03956	1,6	1,6
329	VT-conSC(N-S)	GLOBAL	Force	Y Proj	0	0,03956	-2,38	-2,38
329	VT-conSC(S-N)	GLOBAL	Force	Y Proj	0	0,03956	2,38	2,38
329	VL-sinSC(O-E)	GLOBAL	Force	X Proj	0	0,03956	0,28	0,28
329	VL-sinSC(E-O)	GLOBAL	Force	X Proj	0	0,03956	-0,28	-0,28
329	VL-conSC(O-E)	GLOBAL	Force	X Proj	0	0,03956	0,41	0,41
329	VL-conSC(E-O)	GLOBAL	Force	X Proj	0	0,03956	-0,41	-0,41
330	CM	GLOBAL	Force	Gravity	0	0,03956	0,04	0,04
330	VT-sinSC(N-S)	GLOBAL	Force	Y Proj	0	0,03956	-1,6	-1,6
330	VT-sinSC(S-N)	GLOBAL	Force	Y Proj	0	0,03956	1,6	1,6
330	VT-conSC(N-S)	GLOBAL	Force	Y Proj	0	0,03956	-2,38	-2,38
330	VT-conSC(S-N)	GLOBAL	Force	Y Proj	0	0,03956	2,38	2,38



330	VL-sinSC(O-E)	GLOBAL	Force	X Proj	0	0,03956	0,28	0,28
330	VL-sinSC(E-O)	GLOBAL	Force	X Proj	0	0,03956	-0,28	-0,28
330	VL-conSC(O-E)	GLOBAL	Force	X Proj	0	0,03956	0,41	0,41
330	VL-conSC(E-O)	GLOBAL	Force	X Proj	0	0,03956	-0,41	-0,41
331	CM	GLOBAL	Force	Gravity	0	0,03956	0,04	0,04
331	VT-sinSC(N-S)	GLOBAL	Force	Y Proj	0	0,03956	-1,6	-1,6
331	VT-sinSC(S-N)	GLOBAL	Force	Y Proj	0	0,03956	1,6	1,6
331	VT-conSC(N-S)	GLOBAL	Force	Y Proj	0	0,03956	-2,38	-2,38
331	VT-conSC(S-N)	GLOBAL	Force	Y Proj	0	0,03956	2,38	2,38
331	VL-sinSC(O-E)	GLOBAL	Force	X Proj	0	0,03956	0,28	0,28
331	VL-sinSC(E-O)	GLOBAL	Force	X Proj	0	0,03956	-0,28	-0,28
331	VL-conSC(O-E)	GLOBAL	Force	X Proj	0	0,03956	0,41	0,41
331	VL-conSC(E-O)	GLOBAL	Force	X Proj	0	0,03956	-0,41	-0,41
332	CM	GLOBAL	Force	Gravity	0	0,03956	0,04	0,04
332	VT-sinSC(N-S)	GLOBAL	Force	Y Proj	0	0,03956	-1,6	-1,6
332	VT-sinSC(S-N)	GLOBAL	Force	Y Proj	0	0,03956	1,6	1,6
332	VT-conSC(N-S)	GLOBAL	Force	Y Proj	0	0,03956	-2,38	-2,38
332	VT-conSC(S-N)	GLOBAL	Force	Y Proj	0	0,03956	2,38	2,38
332	VL-sinSC(O-E)	GLOBAL	Force	X Proj	0	0,03956	0,28	0,28
332	VL-sinSC(E-O)	GLOBAL	Force	X Proj	0	0,03956	-0,28	-0,28
332	VL-conSC(O-E)	GLOBAL	Force	X Proj	0	0,03956	0,41	0,41
332	VL-conSC(E-O)	GLOBAL	Force	X Proj	0	0,03956	-0,41	-0,41
333	CM	GLOBAL	Force	Gravity	0	0,03956	0,04	0,04
333	VT-sinSC(N-S)	GLOBAL	Force	Y Proj	0	0,03956	-1,6	-1,6
333	VT-sinSC(S-N)	GLOBAL	Force	Y Proj	0	0,03956	1,6	1,6
333	VT-conSC(N-S)	GLOBAL	Force	Y Proj	0	0,03956	-2,38	-2,38
333	VT-conSC(S-N)	GLOBAL	Force	Y Proj	0	0,03956	2,38	2,38
333	VL-sinSC(O-E)	GLOBAL	Force	X Proj	0	0,03956	0,28	0,28
333	VL-sinSC(E-O)	GLOBAL	Force	X Proj	0	0,03956	-0,28	-0,28
333	VL-conSC(O-E)	GLOBAL	Force	X Proj	0	0,03956	0,41	0,41
333	VL-conSC(E-O)	GLOBAL	Force	X Proj	0	0,03956	-0,41	-0,41
334	CM	GLOBAL	Force	Gravity	0	0,03956	0,04	0,04
334	VT-sinSC(N-S)	GLOBAL	Force	Y Proj	0	0,03956	-1,6	-1,6
334	VT-sinSC(S-N)	GLOBAL	Force	Y Proj	0	0,03956	1,6	1,6
334	VT-conSC(N-S)	GLOBAL	Force	Y Proj	0	0,03956	-2,38	-2,38
334	VT-conSC(S-N)	GLOBAL	Force	Y Proj	0	0,03956	2,38	2,38
334	VL-sinSC(O-E)	GLOBAL	Force	X Proj	0	0,03956	0,28	0,28
334	VL-sinSC(E-O)	GLOBAL	Force	X Proj	0	0,03956	-0,28	-0,28
334	VL-conSC(O-E)	GLOBAL	Force	X Proj	0	0,03956	0,41	0,41

334	VL-conSC(E-O)	GLOBAL	Force	X Proj	0	0,03956	-0,41	-0,41
335	CM	GLOBAL	Force	Gravity	0	0,03957	0,04	0,04
335	VT-sinSC(N-S)	GLOBAL	Force	Y Proj	0	0,03957	-1,6	-1,6
335	VT-sinSC(S-N)	GLOBAL	Force	Y Proj	0	0,03957	1,6	1,6
335	VT-conSC(N-S)	GLOBAL	Force	Y Proj	0	0,03957	-2,38	-2,38
335	VT-conSC(S-N)	GLOBAL	Force	Y Proj	0	0,03957	2,38	2,38
335	VL-sinSC(O-E)	GLOBAL	Force	X Proj	0	0,03957	0,28	0,28
335	VL-sinSC(E-O)	GLOBAL	Force	X Proj	0	0,03957	-0,28	-0,28
335	VL-conSC(O-E)	GLOBAL	Force	X Proj	0	0,03957	0,41	0,41
335	VL-conSC(E-O)	GLOBAL	Force	X Proj	0	0,03957	-0,41	-0,41
336	CM	GLOBAL	Force	Gravity	0	0,03957	0,04	0,04
336	VT-sinSC(N-S)	GLOBAL	Force	Y Proj	0	0,03957	-1,6	-1,6
336	VT-sinSC(S-N)	GLOBAL	Force	Y Proj	0	0,03957	1,6	1,6
336	VT-conSC(N-S)	GLOBAL	Force	Y Proj	0	0,03957	-2,38	-2,38
336	VT-conSC(S-N)	GLOBAL	Force	Y Proj	0	0,03957	2,38	2,38
336	VL-sinSC(O-E)	GLOBAL	Force	X Proj	0	0,03957	0,28	0,28
336	VL-sinSC(E-O)	GLOBAL	Force	X Proj	0	0,03957	-0,28	-0,28
336	VL-conSC(O-E)	GLOBAL	Force	X Proj	0	0,03957	0,41	0,41
336	VL-conSC(E-O)	GLOBAL	Force	X Proj	0	0,03957	-0,41	-0,41
337	CM	GLOBAL	Force	Gravity	0	0,03957	0,04	0,04
337	VT-sinSC(N-S)	GLOBAL	Force	Y Proj	0	0,03957	-1,6	-1,6
337	VT-sinSC(S-N)	GLOBAL	Force	Y Proj	0	0,03957	1,6	1,6
337	VT-conSC(N-S)	GLOBAL	Force	Y Proj	0	0,03957	-2,38	-2,38
337	VT-conSC(S-N)	GLOBAL	Force	Y Proj	0	0,03957	2,38	2,38
337	VL-sinSC(O-E)	GLOBAL	Force	X Proj	0	0,03957	0,28	0,28
337	VL-sinSC(E-O)	GLOBAL	Force	X Proj	0	0,03957	-0,28	-0,28
337	VL-conSC(O-E)	GLOBAL	Force	X Proj	0	0,03957	0,41	0,41
337	VL-conSC(E-O)	GLOBAL	Force	X Proj	0	0,03957	-0,41	-0,41
338	CM	GLOBAL	Force	Gravity	0	0,19116	0,04	0,04
338	VT-sinSC(N-S)	GLOBAL	Force	Y Proj	0	0,19116	-1,6	-1,6
338	VT-sinSC(S-N)	GLOBAL	Force	Y Proj	0	0,19116	1,6	1,6
338	VT-conSC(N-S)	GLOBAL	Force	Y Proj	0	0,19116	-2,38	-2,38
338	VT-conSC(S-N)	GLOBAL	Force	Y Proj	0	0,19116	2,38	2,38
338	VL-sinSC(O-E)	GLOBAL	Force	X Proj	0	0,19116	0,28	0,28
338	VL-sinSC(E-O)	GLOBAL	Force	X Proj	0	0,19116	-0,28	-0,28
338	VL-conSC(O-E)	GLOBAL	Force	X Proj	0	0,19116	0,41	0,41
338	VL-conSC(E-O)	GLOBAL	Force	X Proj	0	0,19116	-0,41	-0,41
339	CM	GLOBAL	Force	Gravity	0	0,19109	0,04	0,04
339	VT-sinSC(N-S)	GLOBAL	Force	Y Proj	0	0,19109	-1,6	-1,6



339	VT-sinSC(S-N)	GLOBAL	Force	Y Proj	0	0,19109	1,6	1,6
339	VT-conSC(N-S)	GLOBAL	Force	Y Proj	0	0,19109	-2,38	-2,38
339	VT-conSC(S-N)	GLOBAL	Force	Y Proj	0	0,19109	2,38	2,38
339	VL-sinSC(O-E)	GLOBAL	Force	X Proj	0	0,19109	0,28	0,28
339	VL-sinSC(E-O)	GLOBAL	Force	X Proj	0	0,19109	-0,28	-0,28
339	VL-conSC(O-E)	GLOBAL	Force	X Proj	0	0,19109	0,41	0,41
339	VL-conSC(E-O)	GLOBAL	Force	X Proj	0	0,19109	-0,41	-0,41
340	CM	GLOBAL	Force	Gravity	0	0,19103	0,04	0,04
340	VT-sinSC(N-S)	GLOBAL	Force	Y Proj	0	0,19103	-1,6	-1,6
340	VT-sinSC(S-N)	GLOBAL	Force	Y Proj	0	0,19103	1,6	1,6
340	VT-conSC(N-S)	GLOBAL	Force	Y Proj	0	0,19103	-2,38	-2,38
340	VT-conSC(S-N)	GLOBAL	Force	Y Proj	0	0,19103	2,38	2,38
340	VL-sinSC(O-E)	GLOBAL	Force	X Proj	0	0,19103	0,28	0,28
340	VL-sinSC(E-O)	GLOBAL	Force	X Proj	0	0,19103	-0,28	-0,28
340	VL-conSC(O-E)	GLOBAL	Force	X Proj	0	0,19103	0,41	0,41
340	VL-conSC(E-O)	GLOBAL	Force	X Proj	0	0,19103	-0,41	-0,41
341	CM	GLOBAL	Force	Gravity	0	0,19099	0,04	0,04
341	VT-sinSC(N-S)	GLOBAL	Force	Y Proj	0	0,19099	-1,6	-1,6
341	VT-sinSC(S-N)	GLOBAL	Force	Y Proj	0	0,19099	1,6	1,6
341	VT-conSC(N-S)	GLOBAL	Force	Y Proj	0	0,19099	-2,38	-2,38
341	VT-conSC(S-N)	GLOBAL	Force	Y Proj	0	0,19099	2,38	2,38
341	VL-sinSC(O-E)	GLOBAL	Force	X Proj	0	0,19099	0,28	0,28
341	VL-sinSC(E-O)	GLOBAL	Force	X Proj	0	0,19099	-0,28	-0,28
341	VL-conSC(O-E)	GLOBAL	Force	X Proj	0	0,19099	0,41	0,41
341	VL-conSC(E-O)	GLOBAL	Force	X Proj	0	0,19099	-0,41	-0,41
342	CM	GLOBAL	Force	Gravity	0	0,19097	0,04	0,04
342	VT-sinSC(N-S)	GLOBAL	Force	Y Proj	0	0,19097	-1,6	-1,6
342	VT-sinSC(S-N)	GLOBAL	Force	Y Proj	0	0,19097	1,6	1,6
342	VT-conSC(N-S)	GLOBAL	Force	Y Proj	0	0,19097	-2,38	-2,38
342	VT-conSC(S-N)	GLOBAL	Force	Y Proj	0	0,19097	2,38	2,38
342	VL-sinSC(O-E)	GLOBAL	Force	X Proj	0	0,19097	0,28	0,28
342	VL-sinSC(E-O)	GLOBAL	Force	X Proj	0	0,19097	-0,28	-0,28
342	VL-conSC(O-E)	GLOBAL	Force	X Proj	0	0,19097	0,41	0,41
342	VL-conSC(E-O)	GLOBAL	Force	X Proj	0	0,19097	-0,41	-0,41
343	CM	GLOBAL	Force	Gravity	0	0,19096	0,04	0,04
343	VT-sinSC(N-S)	GLOBAL	Force	Y Proj	0	0,19096	-1,6	-1,6
343	VT-sinSC(S-N)	GLOBAL	Force	Y Proj	0	0,19096	1,6	1,6
343	VT-conSC(N-S)	GLOBAL	Force	Y Proj	0	0,19096	-2,38	-2,38
343	VT-conSC(S-N)	GLOBAL	Force	Y Proj	0	0,19096	2,38	2,38

343	VL-sinSC(O-E)	GLOBAL	Force	X Proj	0	0,19096	0,28	0,28
343	VL-sinSC(E-O)	GLOBAL	Force	X Proj	0	0,19096	-0,28	-0,28
343	VL-conSC(O-E)	GLOBAL	Force	X Proj	0	0,19096	0,41	0,41
343	VL-conSC(E-O)	GLOBAL	Force	X Proj	0	0,19096	-0,41	-0,41
344	CM	GLOBAL	Force	Gravity	0	0,19097	0,04	0,04
344	VT-sinSC(N-S)	GLOBAL	Force	Y Proj	0	0,19097	-1,6	-1,6
344	VT-sinSC(S-N)	GLOBAL	Force	Y Proj	0	0,19097	1,6	1,6
344	VT-conSC(N-S)	GLOBAL	Force	Y Proj	0	0,19097	-2,38	-2,38
344	VT-conSC(S-N)	GLOBAL	Force	Y Proj	0	0,19097	2,38	2,38
344	VL-sinSC(O-E)	GLOBAL	Force	X Proj	0	0,19097	0,28	0,28
344	VL-sinSC(E-O)	GLOBAL	Force	X Proj	0	0,19097	-0,28	-0,28
344	VL-conSC(O-E)	GLOBAL	Force	X Proj	0	0,19097	0,41	0,41
344	VL-conSC(E-O)	GLOBAL	Force	X Proj	0	0,19097	-0,41	-0,41
345	CM	GLOBAL	Force	Gravity	0	0,19099	0,04	0,04
345	VT-sinSC(N-S)	GLOBAL	Force	Y Proj	0	0,19099	-1,6	-1,6
345	VT-sinSC(S-N)	GLOBAL	Force	Y Proj	0	0,19099	1,6	1,6
345	VT-conSC(N-S)	GLOBAL	Force	Y Proj	0	0,19099	-2,38	-2,38
345	VT-conSC(S-N)	GLOBAL	Force	Y Proj	0	0,19099	2,38	2,38
345	VL-sinSC(O-E)	GLOBAL	Force	X Proj	0	0,19099	0,28	0,28
345	VL-sinSC(E-O)	GLOBAL	Force	X Proj	0	0,19099	-0,28	-0,28
345	VL-conSC(O-E)	GLOBAL	Force	X Proj	0	0,19099	0,41	0,41
345	VL-conSC(E-O)	GLOBAL	Force	X Proj	0	0,19099	-0,41	-0,41
346	CM	GLOBAL	Force	Gravity	0	0,19103	0,04	0,04
346	VT-sinSC(N-S)	GLOBAL	Force	Y Proj	0	0,19103	-1,6	-1,6
346	VT-sinSC(S-N)	GLOBAL	Force	Y Proj	0	0,19103	1,6	1,6
346	VT-conSC(N-S)	GLOBAL	Force	Y Proj	0	0,19103	-2,38	-2,38
346	VT-conSC(S-N)	GLOBAL	Force	Y Proj	0	0,19103	2,38	2,38
346	VL-sinSC(O-E)	GLOBAL	Force	X Proj	0	0,19103	0,28	0,28
346	VL-sinSC(E-O)	GLOBAL	Force	X Proj	0	0,19103	-0,28	-0,28
346	VL-conSC(O-E)	GLOBAL	Force	X Proj	0	0,19103	0,41	0,41
346	VL-conSC(E-O)	GLOBAL	Force	X Proj	0	0,19103	-0,41	-0,41
347	CM	GLOBAL	Force	Gravity	0	0,19109	0,04	0,04
347	VT-sinSC(N-S)	GLOBAL	Force	Y Proj	0	0,19109	-1,6	-1,6
347	VT-sinSC(S-N)	GLOBAL	Force	Y Proj	0	0,19109	1,6	1,6
347	VT-conSC(N-S)	GLOBAL	Force	Y Proj	0	0,19109	-2,38	-2,38
347	VT-conSC(S-N)	GLOBAL	Force	Y Proj	0	0,19109	2,38	2,38
347	VL-sinSC(O-E)	GLOBAL	Force	X Proj	0	0,19109	0,28	0,28
347	VL-sinSC(E-O)	GLOBAL	Force	X Proj	0	0,19109	-0,28	-0,28
347	VL-conSC(O-E)	GLOBAL	Force	X Proj	0	0,19109	0,41	0,41



347	VL-conSC(E-O)	GLOBAL	Force	X Proj	0	0,19109	-0,41	-0,41
348	CM	GLOBAL	Force	Gravity	0	0,19116	0,04	0,04
348	VT-sinSC(N-S)	GLOBAL	Force	Y Proj	0	0,19116	-1,6	-1,6
348	VT-sinSC(S-N)	GLOBAL	Force	Y Proj	0	0,19116	1,6	1,6
348	VT-conSC(N-S)	GLOBAL	Force	Y Proj	0	0,19116	-2,38	-2,38
348	VT-conSC(S-N)	GLOBAL	Force	Y Proj	0	0,19116	2,38	2,38
348	VL-sinSC(O-E)	GLOBAL	Force	X Proj	0	0,19116	0,28	0,28
348	VL-sinSC(E-O)	GLOBAL	Force	X Proj	0	0,19116	-0,28	-0,28
348	VL-conSC(O-E)	GLOBAL	Force	X Proj	0	0,19116	0,41	0,41
348	VL-conSC(E-O)	GLOBAL	Force	X Proj	0	0,19116	-0,41	-0,41
350	CM	GLOBAL	Force	Gravity	0	0,19111	0,04	0,04
350	VT-sinSC(N-S)	GLOBAL	Force	Y Proj	0	0,19111	-1,6	-1,6
350	VT-sinSC(S-N)	GLOBAL	Force	Y Proj	0	0,19111	1,6	1,6
350	VT-conSC(N-S)	GLOBAL	Force	Y Proj	0	0,19111	-2,38	-2,38
350	VT-conSC(S-N)	GLOBAL	Force	Y Proj	0	0,19111	2,38	2,38
350	VL-sinSC(O-E)	GLOBAL	Force	X Proj	0	0,19111	0,28	0,28
350	VL-sinSC(E-O)	GLOBAL	Force	X Proj	0	0,19111	-0,28	-0,28
350	VL-conSC(O-E)	GLOBAL	Force	X Proj	0	0,19111	0,41	0,41
350	VL-conSC(E-O)	GLOBAL	Force	X Proj	0	0,19111	-0,41	-0,41
351	CM	GLOBAL	Force	Gravity	0	0,19103	0,04	0,04
351	VT-sinSC(N-S)	GLOBAL	Force	Y Proj	0	0,19103	-1,6	-1,6
351	VT-sinSC(S-N)	GLOBAL	Force	Y Proj	0	0,19103	1,6	1,6
351	VT-conSC(N-S)	GLOBAL	Force	Y Proj	0	0,19103	-2,38	-2,38
351	VT-conSC(S-N)	GLOBAL	Force	Y Proj	0	0,19103	2,38	2,38
351	VL-sinSC(O-E)	GLOBAL	Force	X Proj	0	0,19103	0,28	0,28
351	VL-sinSC(E-O)	GLOBAL	Force	X Proj	0	0,19103	-0,28	-0,28
351	VL-conSC(O-E)	GLOBAL	Force	X Proj	0	0,19103	0,41	0,41
351	VL-conSC(E-O)	GLOBAL	Force	X Proj	0	0,19103	-0,41	-0,41
352	CM	GLOBAL	Force	Gravity	0	0,19098	0,04	0,04
352	VT-sinSC(N-S)	GLOBAL	Force	Y Proj	0	0,19098	-1,6	-1,6
352	VT-sinSC(S-N)	GLOBAL	Force	Y Proj	0	0,19098	1,6	1,6
352	VT-conSC(N-S)	GLOBAL	Force	Y Proj	0	0,19098	-2,38	-2,38
352	VT-conSC(S-N)	GLOBAL	Force	Y Proj	0	0,19098	2,38	2,38
352	VL-sinSC(O-E)	GLOBAL	Force	X Proj	0	0,19098	0,28	0,28
352	VL-sinSC(E-O)	GLOBAL	Force	X Proj	0	0,19098	-0,28	-0,28
352	VL-conSC(O-E)	GLOBAL	Force	X Proj	0	0,19098	0,41	0,41
352	VL-conSC(E-O)	GLOBAL	Force	X Proj	0	0,19098	-0,41	-0,41
353	CM	GLOBAL	Force	Gravity	0	0,19094	0,04	0,04
353	VT-sinSC(N-S)	GLOBAL	Force	Y Proj	0	0,19094	-1,6	-1,6

353	VT-sinSC(S-N)	GLOBAL	Force	Y Proj	0	0,19094	1,6	1,6
353	VT-conSC(N-S)	GLOBAL	Force	Y Proj	0	0,19094	-2,38	-2,38
353	VT-conSC(S-N)	GLOBAL	Force	Y Proj	0	0,19094	2,38	2,38
353	VL-sinSC(O-E)	GLOBAL	Force	X Proj	0	0,19094	0,28	0,28
353	VL-sinSC(E-O)	GLOBAL	Force	X Proj	0	0,19094	-0,28	-0,28
353	VL-conSC(O-E)	GLOBAL	Force	X Proj	0	0,19094	0,41	0,41
353	VL-conSC(E-O)	GLOBAL	Force	X Proj	0	0,19094	-0,41	-0,41
354	CM	GLOBAL	Force	Gravity	0	0,19091	0,04	0,04
354	VT-sinSC(N-S)	GLOBAL	Force	Y Proj	0	0,19091	-1,6	-1,6
354	VT-sinSC(S-N)	GLOBAL	Force	Y Proj	0	0,19091	1,6	1,6
354	VT-conSC(N-S)	GLOBAL	Force	Y Proj	0	0,19091	-2,38	-2,38
354	VT-conSC(S-N)	GLOBAL	Force	Y Proj	0	0,19091	2,38	2,38
354	VL-sinSC(O-E)	GLOBAL	Force	X Proj	0	0,19091	0,28	0,28
354	VL-sinSC(E-O)	GLOBAL	Force	X Proj	0	0,19091	-0,28	-0,28
354	VL-conSC(O-E)	GLOBAL	Force	X Proj	0	0,19091	0,41	0,41
354	VL-conSC(E-O)	GLOBAL	Force	X Proj	0	0,19091	-0,41	-0,41
355	CM	GLOBAL	Force	Gravity	0	0,1909	0,04	0,04
355	VT-sinSC(N-S)	GLOBAL	Force	Y Proj	0	0,1909	-1,6	-1,6
355	VT-sinSC(S-N)	GLOBAL	Force	Y Proj	0	0,1909	1,6	1,6
355	VT-conSC(N-S)	GLOBAL	Force	Y Proj	0	0,1909	-2,38	-2,38
355	VT-conSC(S-N)	GLOBAL	Force	Y Proj	0	0,1909	2,38	2,38
355	VL-sinSC(O-E)	GLOBAL	Force	X Proj	0	0,1909	0,28	0,28
355	VL-sinSC(E-O)	GLOBAL	Force	X Proj	0	0,1909	-0,28	-0,28
355	VL-conSC(O-E)	GLOBAL	Force	X Proj	0	0,1909	0,41	0,41
355	VL-conSC(E-O)	GLOBAL	Force	X Proj	0	0,1909	-0,41	-0,41
356	CM	GLOBAL	Force	Gravity	0	0,19091	0,04	0,04
356	VT-sinSC(N-S)	GLOBAL	Force	Y Proj	0	0,19091	-1,6	-1,6
356	VT-sinSC(S-N)	GLOBAL	Force	Y Proj	0	0,19091	1,6	1,6
356	VT-conSC(N-S)	GLOBAL	Force	Y Proj	0	0,19091	-2,38	-2,38
356	VT-conSC(S-N)	GLOBAL	Force	Y Proj	0	0,19091	2,38	2,38
356	VL-sinSC(O-E)	GLOBAL	Force	X Proj	0	0,19091	0,28	0,28
356	VL-sinSC(E-O)	GLOBAL	Force	X Proj	0	0,19091	-0,28	-0,28
356	VL-conSC(O-E)	GLOBAL	Force	X Proj	0	0,19091	0,41	0,41
356	VL-conSC(E-O)	GLOBAL	Force	X Proj	0	0,19091	-0,41	-0,41
357	CM	GLOBAL	Force	Gravity	0	0,19093	0,04	0,04
357	VT-sinSC(N-S)	GLOBAL	Force	Y Proj	0	0,19093	-1,6	-1,6
357	VT-sinSC(S-N)	GLOBAL	Force	Y Proj	0	0,19093	1,6	1,6
357	VT-conSC(N-S)	GLOBAL	Force	Y Proj	0	0,19093	-2,38	-2,38
357	VT-conSC(S-N)	GLOBAL	Force	Y Proj	0	0,19093	2,38	2,38



357	VL-sinSC(O-E)	GLOBAL	Force	X Proj	0	0,19093	0,28	0,28
357	VL-sinSC(E-O)	GLOBAL	Force	X Proj	0	0,19093	-0,28	-0,28
357	VL-conSC(O-E)	GLOBAL	Force	X Proj	0	0,19093	0,41	0,41
357	VL-conSC(E-O)	GLOBAL	Force	X Proj	0	0,19093	-0,41	-0,41
358	CM	GLOBAL	Force	Gravity	0	0,19097	0,04	0,04
358	VT-sinSC(N-S)	GLOBAL	Force	Y Proj	0	0,19097	-1,6	-1,6
358	VT-sinSC(S-N)	GLOBAL	Force	Y Proj	0	0,19097	1,6	1,6
358	VT-conSC(N-S)	GLOBAL	Force	Y Proj	0	0,19097	-2,38	-2,38
358	VT-conSC(S-N)	GLOBAL	Force	Y Proj	0	0,19097	2,38	2,38
358	VL-sinSC(O-E)	GLOBAL	Force	X Proj	0	0,19097	0,28	0,28
358	VL-sinSC(E-O)	GLOBAL	Force	X Proj	0	0,19097	-0,28	-0,28
358	VL-conSC(O-E)	GLOBAL	Force	X Proj	0	0,19097	0,41	0,41
358	VL-conSC(E-O)	GLOBAL	Force	X Proj	0	0,19097	-0,41	-0,41
359	CM	GLOBAL	Force	Gravity	0	0,19102	0,04	0,04
359	VT-sinSC(N-S)	GLOBAL	Force	Y Proj	0	0,19102	-1,6	-1,6
359	VT-sinSC(S-N)	GLOBAL	Force	Y Proj	0	0,19102	1,6	1,6
359	VT-conSC(N-S)	GLOBAL	Force	Y Proj	0	0,19102	-2,38	-2,38
359	VT-conSC(S-N)	GLOBAL	Force	Y Proj	0	0,19102	2,38	2,38
359	VL-sinSC(O-E)	GLOBAL	Force	X Proj	0	0,19102	0,28	0,28
359	VL-sinSC(E-O)	GLOBAL	Force	X Proj	0	0,19102	-0,28	-0,28
359	VL-conSC(O-E)	GLOBAL	Force	X Proj	0	0,19102	0,41	0,41
359	VL-conSC(E-O)	GLOBAL	Force	X Proj	0	0,19102	-0,41	-0,41
360	CM	GLOBAL	Force	Gravity	0	0,19109	0,04	0,04
360	VT-sinSC(N-S)	GLOBAL	Force	Y Proj	0	0,19109	-1,6	-1,6
360	VT-sinSC(S-N)	GLOBAL	Force	Y Proj	0	0,19109	1,6	1,6
360	VT-conSC(N-S)	GLOBAL	Force	Y Proj	0	0,19109	-2,38	-2,38
360	VT-conSC(S-N)	GLOBAL	Force	Y Proj	0	0,19109	2,38	2,38
360	VL-sinSC(O-E)	GLOBAL	Force	X Proj	0	0,19109	0,28	0,28
360	VL-sinSC(E-O)	GLOBAL	Force	X Proj	0	0,19109	-0,28	-0,28
360	VL-conSC(O-E)	GLOBAL	Force	X Proj	0	0,19109	0,41	0,41
360	VL-conSC(E-O)	GLOBAL	Force	X Proj	0	0,19109	-0,41	-0,41
362	CM	GLOBAL	Force	Gravity	0	0,1912	0,04	0,04
362	VT-sinSC(N-S)	GLOBAL	Force	Y Proj	0	0,1912	-1,6	-1,6
362	VT-sinSC(S-N)	GLOBAL	Force	Y Proj	0	0,1912	1,6	1,6
362	VT-conSC(N-S)	GLOBAL	Force	Y Proj	0	0,1912	-2,38	-2,38
362	VT-conSC(S-N)	GLOBAL	Force	Y Proj	0	0,1912	2,38	2,38
362	VL-sinSC(O-E)	GLOBAL	Force	X Proj	0	0,1912	0,28	0,28
362	VL-sinSC(E-O)	GLOBAL	Force	X Proj	0	0,1912	-0,28	-0,28
362	VL-conSC(O-E)	GLOBAL	Force	X Proj	0	0,1912	0,41	0,41

362	VL-conSC(E-O)	GLOBAL	Force	X Proj	0	0,1912	-0,41	-0,41
363	CM	GLOBAL	Force	Gravity	0	0,19115	0,04	0,04
363	VT-sinSC(N-S)	GLOBAL	Force	Y Proj	0	0,19115	-1,6	-1,6
363	VT-sinSC(S-N)	GLOBAL	Force	Y Proj	0	0,19115	1,6	1,6
363	VT-conSC(N-S)	GLOBAL	Force	Y Proj	0	0,19115	-2,38	-2,38
363	VT-conSC(S-N)	GLOBAL	Force	Y Proj	0	0,19115	2,38	2,38
363	VL-sinSC(O-E)	GLOBAL	Force	X Proj	0	0,19115	0,28	0,28
363	VL-sinSC(E-O)	GLOBAL	Force	X Proj	0	0,19115	-0,28	-0,28
363	VL-conSC(O-E)	GLOBAL	Force	X Proj	0	0,19115	0,41	0,41
363	VL-conSC(E-O)	GLOBAL	Force	X Proj	0	0,19115	-0,41	-0,41
364	CM	GLOBAL	Force	Gravity	0	0,19111	0,04	0,04
364	VT-sinSC(N-S)	GLOBAL	Force	Y Proj	0	0,19111	-1,6	-1,6
364	VT-sinSC(S-N)	GLOBAL	Force	Y Proj	0	0,19111	1,6	1,6
364	VT-conSC(N-S)	GLOBAL	Force	Y Proj	0	0,19111	-2,38	-2,38
364	VT-conSC(S-N)	GLOBAL	Force	Y Proj	0	0,19111	2,38	2,38
364	VL-sinSC(O-E)	GLOBAL	Force	X Proj	0	0,19111	0,28	0,28
364	VL-sinSC(E-O)	GLOBAL	Force	X Proj	0	0,19111	-0,28	-0,28
364	VL-conSC(O-E)	GLOBAL	Force	X Proj	0	0,19111	0,41	0,41
364	VL-conSC(E-O)	GLOBAL	Force	X Proj	0	0,19111	-0,41	-0,41
365	CM	GLOBAL	Force	Gravity	0	0,19109	0,04	0,04
365	VT-sinSC(N-S)	GLOBAL	Force	Y Proj	0	0,19109	-1,6	-1,6
365	VT-sinSC(S-N)	GLOBAL	Force	Y Proj	0	0,19109	1,6	1,6
365	VT-conSC(N-S)	GLOBAL	Force	Y Proj	0	0,19109	-2,38	-2,38
365	VT-conSC(S-N)	GLOBAL	Force	Y Proj	0	0,19109	2,38	2,38
365	VL-sinSC(O-E)	GLOBAL	Force	X Proj	0	0,19109	0,28	0,28
365	VL-sinSC(E-O)	GLOBAL	Force	X Proj	0	0,19109	-0,28	-0,28
365	VL-conSC(O-E)	GLOBAL	Force	X Proj	0	0,19109	0,41	0,41
365	VL-conSC(E-O)	GLOBAL	Force	X Proj	0	0,19109	-0,41	-0,41
366	CM	GLOBAL	Force	Gravity	0	0,19108	0,04	0,04
366	VT-sinSC(N-S)	GLOBAL	Force	Y Proj	0	0,19108	-1,6	-1,6
366	VT-sinSC(S-N)	GLOBAL	Force	Y Proj	0	0,19108	1,6	1,6
366	VT-conSC(N-S)	GLOBAL	Force	Y Proj	0	0,19108	-2,38	-2,38
366	VT-conSC(S-N)	GLOBAL	Force	Y Proj	0	0,19108	2,38	2,38
366	VL-sinSC(O-E)	GLOBAL	Force	X Proj	0	0,19108	0,28	0,28
366	VL-sinSC(E-O)	GLOBAL	Force	X Proj	0	0,19108	-0,28	-0,28
366	VL-conSC(O-E)	GLOBAL	Force	X Proj	0	0,19108	0,41	0,41
366	VL-conSC(E-O)	GLOBAL	Force	X Proj	0	0,19108	-0,41	-0,41
367	CM	GLOBAL	Force	Gravity	0	0,19109	0,04	0,04
367	VT-sinSC(N-S)	GLOBAL	Force	Y Proj	0	0,19109	-1,6	-1,6



367	VT-sinSC(S-N)	GLOBAL	Force	Y Proj	0	0,19109	1,6	1,6
367	VT-conSC(N-S)	GLOBAL	Force	Y Proj	0	0,19109	-2,38	-2,38
367	VT-conSC(S-N)	GLOBAL	Force	Y Proj	0	0,19109	2,38	2,38
367	VL-sinSC(O-E)	GLOBAL	Force	X Proj	0	0,19109	0,28	0,28
367	VL-sinSC(E-O)	GLOBAL	Force	X Proj	0	0,19109	-0,28	-0,28
367	VL-conSC(O-E)	GLOBAL	Force	X Proj	0	0,19109	0,41	0,41
367	VL-conSC(E-O)	GLOBAL	Force	X Proj	0	0,19109	-0,41	-0,41
368	CM	GLOBAL	Force	Gravity	0	0,19111	0,04	0,04
368	VT-sinSC(N-S)	GLOBAL	Force	Y Proj	0	0,19111	-1,6	-1,6
368	VT-sinSC(S-N)	GLOBAL	Force	Y Proj	0	0,19111	1,6	1,6
368	VT-conSC(N-S)	GLOBAL	Force	Y Proj	0	0,19111	-2,38	-2,38
368	VT-conSC(S-N)	GLOBAL	Force	Y Proj	0	0,19111	2,38	2,38
368	VL-sinSC(O-E)	GLOBAL	Force	X Proj	0	0,19111	0,28	0,28
368	VL-sinSC(E-O)	GLOBAL	Force	X Proj	0	0,19111	-0,28	-0,28
368	VL-conSC(O-E)	GLOBAL	Force	X Proj	0	0,19111	0,41	0,41
368	VL-conSC(E-O)	GLOBAL	Force	X Proj	0	0,19111	-0,41	-0,41
369	CM	GLOBAL	Force	Gravity	0	0,19115	0,04	0,04
369	VT-sinSC(N-S)	GLOBAL	Force	Y Proj	0	0,19115	-1,6	-1,6
369	VT-sinSC(S-N)	GLOBAL	Force	Y Proj	0	0,19115	1,6	1,6
369	VT-conSC(N-S)	GLOBAL	Force	Y Proj	0	0,19115	-2,38	-2,38
369	VT-conSC(S-N)	GLOBAL	Force	Y Proj	0	0,19115	2,38	2,38
369	VL-sinSC(O-E)	GLOBAL	Force	X Proj	0	0,19115	0,28	0,28
369	VL-sinSC(E-O)	GLOBAL	Force	X Proj	0	0,19115	-0,28	-0,28
369	VL-conSC(O-E)	GLOBAL	Force	X Proj	0	0,19115	0,41	0,41
369	VL-conSC(E-O)	GLOBAL	Force	X Proj	0	0,19115	-0,41	-0,41
370	CM	GLOBAL	Force	Gravity	0	0,1912	0,04	0,04
370	VT-sinSC(N-S)	GLOBAL	Force	Y Proj	0	0,1912	-1,6	-1,6
370	VT-sinSC(S-N)	GLOBAL	Force	Y Proj	0	0,1912	1,6	1,6
370	VT-conSC(N-S)	GLOBAL	Force	Y Proj	0	0,1912	-2,38	-2,38
370	VT-conSC(S-N)	GLOBAL	Force	Y Proj	0	0,1912	2,38	2,38
370	VL-sinSC(O-E)	GLOBAL	Force	X Proj	0	0,1912	0,28	0,28
370	VL-sinSC(E-O)	GLOBAL	Force	X Proj	0	0,1912	-0,28	-0,28
370	VL-conSC(O-E)	GLOBAL	Force	X Proj	0	0,1912	0,41	0,41
370	VL-conSC(E-O)	GLOBAL	Force	X Proj	0	0,1912	-0,41	-0,41
371	CM	GLOBAL	Force	Gravity	0	0,19118	0,04	0,04
371	VT-sinSC(N-S)	GLOBAL	Force	Y Proj	0	0,19118	-1,6	-1,6
371	VT-sinSC(S-N)	GLOBAL	Force	Y Proj	0	0,19118	1,6	1,6
371	VT-conSC(N-S)	GLOBAL	Force	Y Proj	0	0,19118	-2,38	-2,38
371	VT-conSC(S-N)	GLOBAL	Force	Y Proj	0	0,19118	2,38	2,38

371	VL-sinSC(O-E)	GLOBAL	Force	X Proj	0	0,19118	0,28	0,28
371	VL-sinSC(E-O)	GLOBAL	Force	X Proj	0	0,19118	-0,28	-0,28
371	VL-conSC(O-E)	GLOBAL	Force	X Proj	0	0,19118	0,41	0,41
371	VL-conSC(E-O)	GLOBAL	Force	X Proj	0	0,19118	-0,41	-0,41
372	CM	GLOBAL	Force	Gravity	0	0,19111	0,04	0,04
372	VT-sinSC(N-S)	GLOBAL	Force	Y Proj	0	0,19111	-1,6	-1,6
372	VT-sinSC(S-N)	GLOBAL	Force	Y Proj	0	0,19111	1,6	1,6
372	VT-conSC(N-S)	GLOBAL	Force	Y Proj	0	0,19111	-2,38	-2,38
372	VT-conSC(S-N)	GLOBAL	Force	Y Proj	0	0,19111	2,38	2,38
372	VL-sinSC(O-E)	GLOBAL	Force	X Proj	0	0,19111	0,28	0,28
372	VL-sinSC(E-O)	GLOBAL	Force	X Proj	0	0,19111	-0,28	-0,28
372	VL-conSC(O-E)	GLOBAL	Force	X Proj	0	0,19111	0,41	0,41
372	VL-conSC(E-O)	GLOBAL	Force	X Proj	0	0,19111	-0,41	-0,41
373	PPforjado	GLOBAL	Force	Gravity	0	2,5	4	4
373	SC_4	GLOBAL	Force	Gravity	0	2,5	9	9
374	CM	GLOBAL	Force	Gravity	0	0,19102	0,04	0,04
374	VT-sinSC(N-S)	GLOBAL	Force	Y Proj	0	0,19102	-1,6	-1,6
374	VT-sinSC(S-N)	GLOBAL	Force	Y Proj	0	0,19102	1,6	1,6
374	VT-conSC(N-S)	GLOBAL	Force	Y Proj	0	0,19102	-2,38	-2,38
374	VT-conSC(S-N)	GLOBAL	Force	Y Proj	0	0,19102	2,38	2,38
374	VL-sinSC(O-E)	GLOBAL	Force	X Proj	0	0,19102	0,28	0,28
374	VL-sinSC(E-O)	GLOBAL	Force	X Proj	0	0,19102	-0,28	-0,28
374	VL-conSC(O-E)	GLOBAL	Force	X Proj	0	0,19102	0,41	0,41
374	VL-conSC(E-O)	GLOBAL	Force	X Proj	0	0,19102	-0,41	-0,41
375	CM	GLOBAL	Force	Gravity	0	0,191	0,04	0,04
375	VT-sinSC(N-S)	GLOBAL	Force	Y Proj	0	0,191	-1,6	-1,6
375	VT-sinSC(S-N)	GLOBAL	Force	Y Proj	0	0,191	1,6	1,6
375	VT-conSC(N-S)	GLOBAL	Force	Y Proj	0	0,191	-2,38	-2,38
375	VT-conSC(S-N)	GLOBAL	Force	Y Proj	0	0,191	2,38	2,38
375	VL-sinSC(O-E)	GLOBAL	Force	X Proj	0	0,191	0,28	0,28
375	VL-sinSC(E-O)	GLOBAL	Force	X Proj	0	0,191	-0,28	-0,28
375	VL-conSC(O-E)	GLOBAL	Force	X Proj	0	0,191	0,41	0,41
375	VL-conSC(E-O)	GLOBAL	Force	X Proj	0	0,191	-0,41	-0,41
376	CM	GLOBAL	Force	Gravity	0	0,19099	0,04	0,04
376	VT-sinSC(N-S)	GLOBAL	Force	Y Proj	0	0,19099	-1,6	-1,6
376	VT-sinSC(S-N)	GLOBAL	Force	Y Proj	0	0,19099	1,6	1,6
376	VT-conSC(N-S)	GLOBAL	Force	Y Proj	0	0,19099	-2,38	-2,38
376	VT-conSC(S-N)	GLOBAL	Force	Y Proj	0	0,19099	2,38	2,38
376	VL-sinSC(O-E)	GLOBAL	Force	X Proj	0	0,19099	0,28	0,28



376	VL-sinSC(E-O)	GLOBAL	Force	X Proj	0	0,19099	-0,28	-0,28
376	VL-conSC(O-E)	GLOBAL	Force	X Proj	0	0,19099	0,41	0,41
376	VL-conSC(E-O)	GLOBAL	Force	X Proj	0	0,19099	-0,41	-0,41
377	CM	GLOBAL	Force	Gravity	0	0,191	0,04	0,04
377	VT-sinSC(N-S)	GLOBAL	Force	Y Proj	0	0,191	-1,6	-1,6
377	VT-sinSC(S-N)	GLOBAL	Force	Y Proj	0	0,191	1,6	1,6
377	VT-conSC(N-S)	GLOBAL	Force	Y Proj	0	0,191	-2,38	-2,38
377	VT-conSC(S-N)	GLOBAL	Force	Y Proj	0	0,191	2,38	2,38
377	VL-sinSC(O-E)	GLOBAL	Force	X Proj	0	0,191	0,28	0,28
377	VL-sinSC(E-O)	GLOBAL	Force	X Proj	0	0,191	-0,28	-0,28
377	VL-conSC(O-E)	GLOBAL	Force	X Proj	0	0,191	0,41	0,41
377	VL-conSC(E-O)	GLOBAL	Force	X Proj	0	0,191	-0,41	-0,41
378	CM	GLOBAL	Force	Gravity	0	0,19102	0,04	0,04
378	VT-sinSC(N-S)	GLOBAL	Force	Y Proj	0	0,19102	-1,6	-1,6
378	VT-sinSC(S-N)	GLOBAL	Force	Y Proj	0	0,19102	1,6	1,6
378	VT-conSC(N-S)	GLOBAL	Force	Y Proj	0	0,19102	-2,38	-2,38
378	VT-conSC(S-N)	GLOBAL	Force	Y Proj	0	0,19102	2,38	2,38
378	VL-sinSC(O-E)	GLOBAL	Force	X Proj	0	0,19102	0,28	0,28
378	VL-sinSC(E-O)	GLOBAL	Force	X Proj	0	0,19102	-0,28	-0,28
378	VL-conSC(O-E)	GLOBAL	Force	X Proj	0	0,19102	0,41	0,41
378	VL-conSC(E-O)	GLOBAL	Force	X Proj	0	0,19102	-0,41	-0,41
379	CM	GLOBAL	Force	Gravity	0	0,19106	0,04	0,04
379	VT-sinSC(N-S)	GLOBAL	Force	Y Proj	0	0,19106	-1,6	-1,6
379	VT-sinSC(S-N)	GLOBAL	Force	Y Proj	0	0,19106	1,6	1,6
379	VT-conSC(N-S)	GLOBAL	Force	Y Proj	0	0,19106	-2,38	-2,38
379	VT-conSC(S-N)	GLOBAL	Force	Y Proj	0	0,19106	2,38	2,38
379	VL-sinSC(O-E)	GLOBAL	Force	X Proj	0	0,19106	0,28	0,28
379	VL-sinSC(E-O)	GLOBAL	Force	X Proj	0	0,19106	-0,28	-0,28
379	VL-conSC(O-E)	GLOBAL	Force	X Proj	0	0,19106	0,41	0,41
379	VL-conSC(E-O)	GLOBAL	Force	X Proj	0	0,19106	-0,41	-0,41
380	CM	GLOBAL	Force	Gravity	0	0,19112	0,04	0,04
380	VT-sinSC(N-S)	GLOBAL	Force	Y Proj	0	0,19112	-1,6	-1,6
380	VT-sinSC(S-N)	GLOBAL	Force	Y Proj	0	0,19112	1,6	1,6
380	VT-conSC(N-S)	GLOBAL	Force	Y Proj	0	0,19112	-2,38	-2,38
380	VT-conSC(S-N)	GLOBAL	Force	Y Proj	0	0,19112	2,38	2,38
380	VL-sinSC(O-E)	GLOBAL	Force	X Proj	0	0,19112	0,28	0,28
380	VL-sinSC(E-O)	GLOBAL	Force	X Proj	0	0,19112	-0,28	-0,28
380	VL-conSC(O-E)	GLOBAL	Force	X Proj	0	0,19112	0,41	0,41
380	VL-conSC(E-O)	GLOBAL	Force	X Proj	0	0,19112	-0,41	-0,41

381	CM	GLOBAL	Force	Gravity	0	0,19119	0,04	0,04
381	VT-sinSC(N-S)	GLOBAL	Force	Y Proj	0	0,19119	-1,6	-1,6
381	VT-sinSC(S-N)	GLOBAL	Force	Y Proj	0	0,19119	1,6	1,6
381	VT-conSC(N-S)	GLOBAL	Force	Y Proj	0	0,19119	-2,38	-2,38
381	VT-conSC(S-N)	GLOBAL	Force	Y Proj	0	0,19119	2,38	2,38
381	VL-sinSC(O-E)	GLOBAL	Force	X Proj	0	0,19119	0,28	0,28
381	VL-sinSC(E-O)	GLOBAL	Force	X Proj	0	0,19119	-0,28	-0,28
381	VL-conSC(O-E)	GLOBAL	Force	X Proj	0	0,19119	0,41	0,41
381	VL-conSC(E-O)	GLOBAL	Force	X Proj	0	0,19119	-0,41	-0,41
382	CM	GLOBAL	Force	Gravity	0	0,19117	0,04	0,04
382	VT-sinSC(N-S)	GLOBAL	Force	Y Proj	0	0,19117	-1,6	-1,6
382	VT-sinSC(S-N)	GLOBAL	Force	Y Proj	0	0,19117	1,6	1,6
382	VT-conSC(N-S)	GLOBAL	Force	Y Proj	0	0,19117	-2,38	-2,38
382	VT-conSC(S-N)	GLOBAL	Force	Y Proj	0	0,19117	2,38	2,38
382	VL-sinSC(O-E)	GLOBAL	Force	X Proj	0	0,19117	0,28	0,28
382	VL-sinSC(E-O)	GLOBAL	Force	X Proj	0	0,19117	-0,28	-0,28
382	VL-conSC(O-E)	GLOBAL	Force	X Proj	0	0,19117	0,41	0,41
382	VL-conSC(E-O)	GLOBAL	Force	X Proj	0	0,19117	-0,41	-0,41
383	CM	GLOBAL	Force	Gravity	0	0,19106	0,04	0,04
383	VT-sinSC(N-S)	GLOBAL	Force	Y Proj	0	0,19106	-1,6	-1,6
383	VT-sinSC(S-N)	GLOBAL	Force	Y Proj	0	0,19106	1,6	1,6
383	VT-conSC(N-S)	GLOBAL	Force	Y Proj	0	0,19106	-2,38	-2,38
383	VT-conSC(S-N)	GLOBAL	Force	Y Proj	0	0,19106	2,38	2,38
383	VL-sinSC(O-E)	GLOBAL	Force	X Proj	0	0,19106	0,28	0,28
383	VL-sinSC(E-O)	GLOBAL	Force	X Proj	0	0,19106	-0,28	-0,28
383	VL-conSC(O-E)	GLOBAL	Force	X Proj	0	0,19106	0,41	0,41
383	VL-conSC(E-O)	GLOBAL	Force	X Proj	0	0,19106	-0,41	-0,41
384	CM	GLOBAL	Force	Gravity	0	0,19097	0,04	0,04
384	VT-sinSC(N-S)	GLOBAL	Force	Y Proj	0	0,19097	-1,6	-1,6
384	VT-sinSC(S-N)	GLOBAL	Force	Y Proj	0	0,19097	1,6	1,6
384	VT-conSC(N-S)	GLOBAL	Force	Y Proj	0	0,19097	-2,38	-2,38
384	VT-conSC(S-N)	GLOBAL	Force	Y Proj	0	0,19097	2,38	2,38
384	VL-sinSC(O-E)	GLOBAL	Force	X Proj	0	0,19097	0,28	0,28
384	VL-sinSC(E-O)	GLOBAL	Force	X Proj	0	0,19097	-0,28	-0,28
384	VL-conSC(O-E)	GLOBAL	Force	X Proj	0	0,19097	0,41	0,41
384	VL-conSC(E-O)	GLOBAL	Force	X Proj	0	0,19097	-0,41	-0,41
385	PPforjado	GLOBAL	Force	Gravity	0	2,5	4	4
385	SC_5	GLOBAL	Force	Gravity	0	2,5	9	9
386	CM	GLOBAL	Force	Gravity	0	0,19084	0,04	0,04



386	VT-sinSC(N-S)	GLOBAL	Force	Y Proj	0	0,19084	-1,6	-1,6
386	VT-sinSC(S-N)	GLOBAL	Force	Y Proj	0	0,19084	1,6	1,6
386	VT-conSC(N-S)	GLOBAL	Force	Y Proj	0	0,19084	-2,38	-2,38
386	VT-conSC(S-N)	GLOBAL	Force	Y Proj	0	0,19084	2,38	2,38
386	VL-sinSC(O-E)	GLOBAL	Force	X Proj	0	0,19084	0,28	0,28
386	VL-sinSC(E-O)	GLOBAL	Force	X Proj	0	0,19084	-0,28	-0,28
386	VL-conSC(O-E)	GLOBAL	Force	X Proj	0	0,19084	0,41	0,41
386	VL-conSC(E-O)	GLOBAL	Force	X Proj	0	0,19084	-0,41	-0,41
387	CM	GLOBAL	Force	Gravity	0	0,1908	0,04	0,04
387	VT-sinSC(N-S)	GLOBAL	Force	Y Proj	0	0,1908	-1,6	-1,6
387	VT-sinSC(S-N)	GLOBAL	Force	Y Proj	0	0,1908	1,6	1,6
387	VT-conSC(N-S)	GLOBAL	Force	Y Proj	0	0,1908	-2,38	-2,38
387	VT-conSC(S-N)	GLOBAL	Force	Y Proj	0	0,1908	2,38	2,38
387	VL-sinSC(O-E)	GLOBAL	Force	X Proj	0	0,1908	0,28	0,28
387	VL-sinSC(E-O)	GLOBAL	Force	X Proj	0	0,1908	-0,28	-0,28
387	VL-conSC(O-E)	GLOBAL	Force	X Proj	0	0,1908	0,41	0,41
387	VL-conSC(E-O)	GLOBAL	Force	X Proj	0	0,1908	-0,41	-0,41
388	CM	GLOBAL	Force	Gravity	0	0,19077	0,04	0,04
388	VT-sinSC(N-S)	GLOBAL	Force	Y Proj	0	0,19077	-1,6	-1,6
388	VT-sinSC(S-N)	GLOBAL	Force	Y Proj	0	0,19077	1,6	1,6
388	VT-conSC(N-S)	GLOBAL	Force	Y Proj	0	0,19077	-2,38	-2,38
388	VT-conSC(S-N)	GLOBAL	Force	Y Proj	0	0,19077	2,38	2,38
388	VL-sinSC(O-E)	GLOBAL	Force	X Proj	0	0,19077	0,28	0,28
388	VL-sinSC(E-O)	GLOBAL	Force	X Proj	0	0,19077	-0,28	-0,28
388	VL-conSC(O-E)	GLOBAL	Force	X Proj	0	0,19077	0,41	0,41
388	VL-conSC(E-O)	GLOBAL	Force	X Proj	0	0,19077	-0,41	-0,41
389	CM	GLOBAL	Force	Gravity	0	0,19076	0,04	0,04
389	VT-sinSC(N-S)	GLOBAL	Force	Y Proj	0	0,19076	-1,6	-1,6
389	VT-sinSC(S-N)	GLOBAL	Force	Y Proj	0	0,19076	1,6	1,6
389	VT-conSC(N-S)	GLOBAL	Force	Y Proj	0	0,19076	-2,38	-2,38
389	VT-conSC(S-N)	GLOBAL	Force	Y Proj	0	0,19076	2,38	2,38
389	VL-sinSC(O-E)	GLOBAL	Force	X Proj	0	0,19076	0,28	0,28
389	VL-sinSC(E-O)	GLOBAL	Force	X Proj	0	0,19076	-0,28	-0,28
389	VL-conSC(O-E)	GLOBAL	Force	X Proj	0	0,19076	0,41	0,41
389	VL-conSC(E-O)	GLOBAL	Force	X Proj	0	0,19076	-0,41	-0,41
390	CM	GLOBAL	Force	Gravity	0	0,19076	0,04	0,04
390	VT-sinSC(N-S)	GLOBAL	Force	Y Proj	0	0,19076	-1,6	-1,6
390	VT-sinSC(S-N)	GLOBAL	Force	Y Proj	0	0,19076	1,6	1,6
390	VT-conSC(N-S)	GLOBAL	Force	Y Proj	0	0,19076	-2,38	-2,38

390	VT-conSC(S-N)	GLOBAL	Force	Y Proj	0	0,19076	2,38	2,38
390	VL-sinSC(O-E)	GLOBAL	Force	X Proj	0	0,19076	0,28	0,28
390	VL-sinSC(E-O)	GLOBAL	Force	X Proj	0	0,19076	-0,28	-0,28
390	VL-conSC(O-E)	GLOBAL	Force	X Proj	0	0,19076	0,41	0,41
390	VL-conSC(E-O)	GLOBAL	Force	X Proj	0	0,19076	-0,41	-0,41
391	CM	GLOBAL	Force	Gravity	0	0,19078	0,04	0,04
391	VT-sinSC(N-S)	GLOBAL	Force	Y Proj	0	0,19078	-1,6	-1,6
391	VT-sinSC(S-N)	GLOBAL	Force	Y Proj	0	0,19078	1,6	1,6
391	VT-conSC(N-S)	GLOBAL	Force	Y Proj	0	0,19078	-2,38	-2,38
391	VT-conSC(S-N)	GLOBAL	Force	Y Proj	0	0,19078	2,38	2,38
391	VL-sinSC(O-E)	GLOBAL	Force	X Proj	0	0,19078	0,28	0,28
391	VL-sinSC(E-O)	GLOBAL	Force	X Proj	0	0,19078	-0,28	-0,28
391	VL-conSC(O-E)	GLOBAL	Force	X Proj	0	0,19078	0,41	0,41
391	VL-conSC(E-O)	GLOBAL	Force	X Proj	0	0,19078	-0,41	-0,41
392	CM	GLOBAL	Force	Gravity	0	0,19082	0,04	0,04
392	VT-sinSC(N-S)	GLOBAL	Force	Y Proj	0	0,19082	-1,6	-1,6
392	VT-sinSC(S-N)	GLOBAL	Force	Y Proj	0	0,19082	1,6	1,6
392	VT-conSC(N-S)	GLOBAL	Force	Y Proj	0	0,19082	-2,38	-2,38
392	VT-conSC(S-N)	GLOBAL	Force	Y Proj	0	0,19082	2,38	2,38
392	VL-sinSC(O-E)	GLOBAL	Force	X Proj	0	0,19082	0,28	0,28
392	VL-sinSC(E-O)	GLOBAL	Force	X Proj	0	0,19082	-0,28	-0,28
392	VL-conSC(O-E)	GLOBAL	Force	X Proj	0	0,19082	0,41	0,41
392	VL-conSC(E-O)	GLOBAL	Force	X Proj	0	0,19082	-0,41	-0,41
393	CM	GLOBAL	Force	Gravity	0	0,19087	0,04	0,04
393	VT-sinSC(N-S)	GLOBAL	Force	Y Proj	0	0,19087	-1,6	-1,6
393	VT-sinSC(S-N)	GLOBAL	Force	Y Proj	0	0,19087	1,6	1,6
393	VT-conSC(N-S)	GLOBAL	Force	Y Proj	0	0,19087	-2,38	-2,38
393	VT-conSC(S-N)	GLOBAL	Force	Y Proj	0	0,19087	2,38	2,38
393	VL-sinSC(O-E)	GLOBAL	Force	X Proj	0	0,19087	0,28	0,28
393	VL-sinSC(E-O)	GLOBAL	Force	X Proj	0	0,19087	-0,28	-0,28
393	VL-conSC(O-E)	GLOBAL	Force	X Proj	0	0,19087	0,41	0,41
393	VL-conSC(E-O)	GLOBAL	Force	X Proj	0	0,19087	-0,41	-0,41
394	CM	GLOBAL	Force	Gravity	0	0,19094	0,04	0,04
394	VT-sinSC(N-S)	GLOBAL	Force	Y Proj	0	0,19094	-1,6	-1,6
394	VT-sinSC(S-N)	GLOBAL	Force	Y Proj	0	0,19094	1,6	1,6
394	VT-conSC(N-S)	GLOBAL	Force	Y Proj	0	0,19094	-2,38	-2,38
394	VT-conSC(S-N)	GLOBAL	Force	Y Proj	0	0,19094	2,38	2,38
394	VL-sinSC(O-E)	GLOBAL	Force	X Proj	0	0,19094	0,28	0,28
394	VL-sinSC(E-O)	GLOBAL	Force	X Proj	0	0,19094	-0,28	-0,28



394	VL-conSC(O-E)	GLOBAL	Force	X Proj	0	0,19094	0,41	0,41
394	VL-conSC(E-O)	GLOBAL	Force	X Proj	0	0,19094	-0,41	-0,41
395	CM	GLOBAL	Force	Gravity	0	0,19103	0,04	0,04
395	VT-sinSC(N-S)	GLOBAL	Force	Y Proj	0	0,19103	-1,6	-1,6
395	VT-sinSC(S-N)	GLOBAL	Force	Y Proj	0	0,19103	1,6	1,6
395	VT-conSC(N-S)	GLOBAL	Force	Y Proj	0	0,19103	-2,38	-2,38
395	VT-conSC(S-N)	GLOBAL	Force	Y Proj	0	0,19103	2,38	2,38
395	VL-sinSC(O-E)	GLOBAL	Force	X Proj	0	0,19103	0,28	0,28
395	VL-sinSC(E-O)	GLOBAL	Force	X Proj	0	0,19103	-0,28	-0,28
395	VL-conSC(O-E)	GLOBAL	Force	X Proj	0	0,19103	0,41	0,41
395	VL-conSC(E-O)	GLOBAL	Force	X Proj	0	0,19103	-0,41	-0,41
396	CM	GLOBAL	Force	Gravity	0	0,19113	0,04	0,04
396	VT-sinSC(N-S)	GLOBAL	Force	Y Proj	0	0,19113	-1,6	-1,6
396	VT-sinSC(S-N)	GLOBAL	Force	Y Proj	0	0,19113	1,6	1,6
396	VT-conSC(N-S)	GLOBAL	Force	Y Proj	0	0,19113	-2,38	-2,38
396	VT-conSC(S-N)	GLOBAL	Force	Y Proj	0	0,19113	2,38	2,38
396	VL-sinSC(O-E)	GLOBAL	Force	X Proj	0	0,19113	0,28	0,28
396	VL-sinSC(E-O)	GLOBAL	Force	X Proj	0	0,19113	-0,28	-0,28
396	VL-conSC(O-E)	GLOBAL	Force	X Proj	0	0,19113	0,41	0,41
396	VL-conSC(E-O)	GLOBAL	Force	X Proj	0	0,19113	-0,41	-0,41
397	CM	GLOBAL	Force	Gravity	0	0,09949	0,04	0,04
397	VT-sinSC(N-S)	GLOBAL	Force	Y Proj	0	0,09949	-1,6	-1,6
397	VT-sinSC(S-N)	GLOBAL	Force	Y Proj	0	0,09949	1,6	1,6
397	VT-conSC(N-S)	GLOBAL	Force	Y Proj	0	0,09949	-2,38	-2,38
397	VT-conSC(S-N)	GLOBAL	Force	Y Proj	0	0,09949	2,38	2,38
397	VL-sinSC(O-E)	GLOBAL	Force	X Proj	0	0,09949	0,28	0,28
397	VL-sinSC(E-O)	GLOBAL	Force	X Proj	0	0,09949	-0,28	-0,28
397	VL-conSC(O-E)	GLOBAL	Force	X Proj	0	0,09949	0,41	0,41
397	VL-conSC(E-O)	GLOBAL	Force	X Proj	0	0,09949	-0,41	-0,41
398	CM	GLOBAL	Force	Gravity	0	0,09948	0,04	0,04
398	VT-sinSC(N-S)	GLOBAL	Force	Y Proj	0	0,09948	-1,6	-1,6
398	VT-sinSC(S-N)	GLOBAL	Force	Y Proj	0	0,09948	1,6	1,6
398	VT-conSC(N-S)	GLOBAL	Force	Y Proj	0	0,09948	-2,38	-2,38
398	VT-conSC(S-N)	GLOBAL	Force	Y Proj	0	0,09948	2,38	2,38
398	VL-sinSC(O-E)	GLOBAL	Force	X Proj	0	0,09948	0,28	0,28
398	VL-sinSC(E-O)	GLOBAL	Force	X Proj	0	0,09948	-0,28	-0,28
398	VL-conSC(O-E)	GLOBAL	Force	X Proj	0	0,09948	0,41	0,41
398	VL-conSC(E-O)	GLOBAL	Force	X Proj	0	0,09948	-0,41	-0,41
399	CM	GLOBAL	Force	Gravity	0	0,09946	0,04	0,04

399	VT-sinSC(N-S)	GLOBAL	Force	Y Proj	0	0,09946	-1,6	-1,6
399	VT-sinSC(S-N)	GLOBAL	Force	Y Proj	0	0,09946	1,6	1,6
399	VT-conSC(N-S)	GLOBAL	Force	Y Proj	0	0,09946	-2,38	-2,38
399	VT-conSC(S-N)	GLOBAL	Force	Y Proj	0	0,09946	2,38	2,38
399	VL-sinSC(O-E)	GLOBAL	Force	X Proj	0	0,09946	0,28	0,28
399	VL-sinSC(E-O)	GLOBAL	Force	X Proj	0	0,09946	-0,28	-0,28
399	VL-conSC(O-E)	GLOBAL	Force	X Proj	0	0,09946	0,41	0,41
399	VL-conSC(E-O)	GLOBAL	Force	X Proj	0	0,09946	-0,41	-0,41
400	CM	GLOBAL	Force	Gravity	0	0,09943	0,04	0,04
400	VT-sinSC(N-S)	GLOBAL	Force	Y Proj	0	0,09943	-1,6	-1,6
400	VT-sinSC(S-N)	GLOBAL	Force	Y Proj	0	0,09943	1,6	1,6
400	VT-conSC(N-S)	GLOBAL	Force	Y Proj	0	0,09943	-2,38	-2,38
400	VT-conSC(S-N)	GLOBAL	Force	Y Proj	0	0,09943	2,38	2,38
400	VL-sinSC(O-E)	GLOBAL	Force	X Proj	0	0,09943	0,28	0,28
400	VL-sinSC(E-O)	GLOBAL	Force	X Proj	0	0,09943	-0,28	-0,28
400	VL-conSC(O-E)	GLOBAL	Force	X Proj	0	0,09943	0,41	0,41
400	VL-conSC(E-O)	GLOBAL	Force	X Proj	0	0,09943	-0,41	-0,41
401	CM	GLOBAL	Force	Gravity	0	0,0994	0,04	0,04
401	VT-sinSC(N-S)	GLOBAL	Force	Y Proj	0	0,0994	-1,6	-1,6
401	VT-sinSC(S-N)	GLOBAL	Force	Y Proj	0	0,0994	1,6	1,6
401	VT-conSC(N-S)	GLOBAL	Force	Y Proj	0	0,0994	-2,38	-2,38
401	VT-conSC(S-N)	GLOBAL	Force	Y Proj	0	0,0994	2,38	2,38
401	VL-sinSC(O-E)	GLOBAL	Force	X Proj	0	0,0994	0,28	0,28
401	VL-sinSC(E-O)	GLOBAL	Force	X Proj	0	0,0994	-0,28	-0,28
401	VL-conSC(O-E)	GLOBAL	Force	X Proj	0	0,0994	0,41	0,41
401	VL-conSC(E-O)	GLOBAL	Force	X Proj	0	0,0994	-0,41	-0,41
402	CM	GLOBAL	Force	Gravity	0	0,09937	0,04	0,04
402	VT-sinSC(N-S)	GLOBAL	Force	Y Proj	0	0,09937	-1,6	-1,6
402	VT-sinSC(S-N)	GLOBAL	Force	Y Proj	0	0,09937	1,6	1,6
402	VT-conSC(N-S)	GLOBAL	Force	Y Proj	0	0,09937	-2,38	-2,38
402	VT-conSC(S-N)	GLOBAL	Force	Y Proj	0	0,09937	2,38	2,38
402	VL-sinSC(O-E)	GLOBAL	Force	X Proj	0	0,09937	0,28	0,28
402	VL-sinSC(E-O)	GLOBAL	Force	X Proj	0	0,09937	-0,28	-0,28
402	VL-conSC(O-E)	GLOBAL	Force	X Proj	0	0,09937	0,41	0,41
402	VL-conSC(E-O)	GLOBAL	Force	X Proj	0	0,09937	-0,41	-0,41
403	CM	GLOBAL	Force	Gravity	0	0,09934	0,04	0,04
403	VT-sinSC(N-S)	GLOBAL	Force	Y Proj	0	0,09934	-1,6	-1,6
403	VT-sinSC(S-N)	GLOBAL	Force	Y Proj	0	0,09934	1,6	1,6
403	VT-conSC(N-S)	GLOBAL	Force	Y Proj	0	0,09934	-2,38	-2,38



403	VT-conSC(S-N)	GLOBAL	Force	Y Proj	0	0,09934	2,38	2,38
403	VL-sinSC(O-E)	GLOBAL	Force	X Proj	0	0,09934	0,28	0,28
403	VL-sinSC(E-O)	GLOBAL	Force	X Proj	0	0,09934	-0,28	-0,28
403	VL-conSC(O-E)	GLOBAL	Force	X Proj	0	0,09934	0,41	0,41
403	VL-conSC(E-O)	GLOBAL	Force	X Proj	0	0,09934	-0,41	-0,41
404	CM	GLOBAL	Force	Gravity	0	0,09932	0,04	0,04
404	VT-sinSC(N-S)	GLOBAL	Force	Y Proj	0	0,09932	-1,6	-1,6
404	VT-sinSC(S-N)	GLOBAL	Force	Y Proj	0	0,09932	1,6	1,6
404	VT-conSC(N-S)	GLOBAL	Force	Y Proj	0	0,09932	-2,38	-2,38
404	VT-conSC(S-N)	GLOBAL	Force	Y Proj	0	0,09932	2,38	2,38
404	VL-sinSC(O-E)	GLOBAL	Force	X Proj	0	0,09932	0,28	0,28
404	VL-sinSC(E-O)	GLOBAL	Force	X Proj	0	0,09932	-0,28	-0,28
404	VL-conSC(O-E)	GLOBAL	Force	X Proj	0	0,09932	0,41	0,41
404	VL-conSC(E-O)	GLOBAL	Force	X Proj	0	0,09932	-0,41	-0,41
406	CM	GLOBAL	Force	Gravity	0	0,09932	0,04	0,04
406	VT-sinSC(N-S)	GLOBAL	Force	Y Proj	0	0,09932	-1,6	-1,6
406	VT-sinSC(S-N)	GLOBAL	Force	Y Proj	0	0,09932	1,6	1,6
406	VT-conSC(N-S)	GLOBAL	Force	Y Proj	0	0,09932	-2,38	-2,38
406	VT-conSC(S-N)	GLOBAL	Force	Y Proj	0	0,09932	2,38	2,38
406	VL-sinSC(O-E)	GLOBAL	Force	X Proj	0	0,09932	0,28	0,28
406	VL-sinSC(E-O)	GLOBAL	Force	X Proj	0	0,09932	-0,28	-0,28
406	VL-conSC(O-E)	GLOBAL	Force	X Proj	0	0,09932	0,41	0,41
406	VL-conSC(E-O)	GLOBAL	Force	X Proj	0	0,09932	-0,41	-0,41
407	CM	GLOBAL	Force	Gravity	0	0,09934	0,04	0,04
407	VT-sinSC(N-S)	GLOBAL	Force	Y Proj	0	0,09934	-1,6	-1,6
407	VT-sinSC(S-N)	GLOBAL	Force	Y Proj	0	0,09934	1,6	1,6
407	VT-conSC(N-S)	GLOBAL	Force	Y Proj	0	0,09934	-2,38	-2,38
407	VT-conSC(S-N)	GLOBAL	Force	Y Proj	0	0,09934	2,38	2,38
407	VL-sinSC(O-E)	GLOBAL	Force	X Proj	0	0,09934	0,28	0,28
407	VL-sinSC(E-O)	GLOBAL	Force	X Proj	0	0,09934	-0,28	-0,28
407	VL-conSC(O-E)	GLOBAL	Force	X Proj	0	0,09934	0,41	0,41
407	VL-conSC(E-O)	GLOBAL	Force	X Proj	0	0,09934	-0,41	-0,41
408	CM	GLOBAL	Force	Gravity	0	0,09937	0,04	0,04
408	VT-sinSC(N-S)	GLOBAL	Force	Y Proj	0	0,09937	-1,6	-1,6
408	VT-sinSC(S-N)	GLOBAL	Force	Y Proj	0	0,09937	1,6	1,6
408	VT-conSC(N-S)	GLOBAL	Force	Y Proj	0	0,09937	-2,38	-2,38
408	VT-conSC(S-N)	GLOBAL	Force	Y Proj	0	0,09937	2,38	2,38
408	VL-sinSC(O-E)	GLOBAL	Force	X Proj	0	0,09937	0,28	0,28
408	VL-sinSC(E-O)	GLOBAL	Force	X Proj	0	0,09937	-0,28	-0,28

408	VL-conSC(O-E)	GLOBAL	Force	X Proj	0	0,09937	0,41	0,41
408	VL-conSC(E-O)	GLOBAL	Force	X Proj	0	0,09937	-0,41	-0,41
409	CM	GLOBAL	Force	Gravity	0	0,0994	0,04	0,04
409	VT-sinSC(N-S)	GLOBAL	Force	Y Proj	0	0,0994	-1,6	-1,6
409	VT-sinSC(S-N)	GLOBAL	Force	Y Proj	0	0,0994	1,6	1,6
409	VT-conSC(N-S)	GLOBAL	Force	Y Proj	0	0,0994	-2,38	-2,38
409	VT-conSC(S-N)	GLOBAL	Force	Y Proj	0	0,0994	2,38	2,38
409	VL-sinSC(O-E)	GLOBAL	Force	X Proj	0	0,0994	0,28	0,28
409	VL-sinSC(E-O)	GLOBAL	Force	X Proj	0	0,0994	-0,28	-0,28
409	VL-conSC(O-E)	GLOBAL	Force	X Proj	0	0,0994	0,41	0,41
409	VL-conSC(E-O)	GLOBAL	Force	X Proj	0	0,0994	-0,41	-0,41
410	CM	GLOBAL	Force	Gravity	0	0,09943	0,04	0,04
410	VT-sinSC(N-S)	GLOBAL	Force	Y Proj	0	0,09943	-1,6	-1,6
410	VT-sinSC(S-N)	GLOBAL	Force	Y Proj	0	0,09943	1,6	1,6
410	VT-conSC(N-S)	GLOBAL	Force	Y Proj	0	0,09943	-2,38	-2,38
410	VT-conSC(S-N)	GLOBAL	Force	Y Proj	0	0,09943	2,38	2,38
410	VL-sinSC(O-E)	GLOBAL	Force	X Proj	0	0,09943	0,28	0,28
410	VL-sinSC(E-O)	GLOBAL	Force	X Proj	0	0,09943	-0,28	-0,28
410	VL-conSC(O-E)	GLOBAL	Force	X Proj	0	0,09943	0,41	0,41
410	VL-conSC(E-O)	GLOBAL	Force	X Proj	0	0,09943	-0,41	-0,41
411	CM	GLOBAL	Force	Gravity	0	0,09946	0,04	0,04
411	VT-sinSC(N-S)	GLOBAL	Force	Y Proj	0	0,09946	-1,6	-1,6
411	VT-sinSC(S-N)	GLOBAL	Force	Y Proj	0	0,09946	1,6	1,6
411	VT-conSC(N-S)	GLOBAL	Force	Y Proj	0	0,09946	-2,38	-2,38
411	VT-conSC(S-N)	GLOBAL	Force	Y Proj	0	0,09946	2,38	2,38
411	VL-sinSC(O-E)	GLOBAL	Force	X Proj	0	0,09946	0,28	0,28
411	VL-sinSC(E-O)	GLOBAL	Force	X Proj	0	0,09946	-0,28	-0,28
411	VL-conSC(O-E)	GLOBAL	Force	X Proj	0	0,09946	0,41	0,41
411	VL-conSC(E-O)	GLOBAL	Force	X Proj	0	0,09946	-0,41	-0,41
412	CM	GLOBAL	Force	Gravity	0	0,09948	0,04	0,04
412	VT-sinSC(N-S)	GLOBAL	Force	Y Proj	0	0,09948	-1,6	-1,6
412	VT-sinSC(S-N)	GLOBAL	Force	Y Proj	0	0,09948	1,6	1,6
412	VT-conSC(N-S)	GLOBAL	Force	Y Proj	0	0,09948	-2,38	-2,38
412	VT-conSC(S-N)	GLOBAL	Force	Y Proj	0	0,09948	2,38	2,38
412	VL-sinSC(O-E)	GLOBAL	Force	X Proj	0	0,09948	0,28	0,28
412	VL-sinSC(E-O)	GLOBAL	Force	X Proj	0	0,09948	-0,28	-0,28
412	VL-conSC(O-E)	GLOBAL	Force	X Proj	0	0,09948	0,41	0,41
412	VL-conSC(E-O)	GLOBAL	Force	X Proj	0	0,09948	-0,41	-0,41
413	CM	GLOBAL	Force	Gravity	0	0,09949	0,04	0,04



413	VT-sinSC(N-S)	GLOBAL	Force	Y Proj	0	0,09949	-1,6	-1,6
413	VT-sinSC(S-N)	GLOBAL	Force	Y Proj	0	0,09949	1,6	1,6
413	VT-conSC(N-S)	GLOBAL	Force	Y Proj	0	0,09949	-2,38	-2,38
413	VT-conSC(S-N)	GLOBAL	Force	Y Proj	0	0,09949	2,38	2,38
413	VL-sinSC(O-E)	GLOBAL	Force	X Proj	0	0,09949	0,28	0,28
413	VL-sinSC(E-O)	GLOBAL	Force	X Proj	0	0,09949	-0,28	-0,28
413	VL-conSC(O-E)	GLOBAL	Force	X Proj	0	0,09949	0,41	0,41
413	VL-conSC(E-O)	GLOBAL	Force	X Proj	0	0,09949	-0,41	-0,41
414	CM	GLOBAL	Force	Gravity	0	0,19164	0,04	0,04
414	VT-sinSC(N-S)	GLOBAL	Force	Y Proj	0	0,19164	-1,6	-1,6
414	VT-sinSC(S-N)	GLOBAL	Force	Y Proj	0	0,19164	1,6	1,6
414	VT-conSC(N-S)	GLOBAL	Force	Y Proj	0	0,19164	-2,38	-2,38
414	VT-conSC(S-N)	GLOBAL	Force	Y Proj	0	0,19164	2,38	2,38
414	VL-sinSC(O-E)	GLOBAL	Force	X Proj	0	0,19164	0,28	0,28
414	VL-sinSC(E-O)	GLOBAL	Force	X Proj	0	0,19164	-0,28	-0,28
414	VL-conSC(O-E)	GLOBAL	Force	X Proj	0	0,19164	0,41	0,41
414	VL-conSC(E-O)	GLOBAL	Force	X Proj	0	0,19164	-0,41	-0,41
415	CM	GLOBAL	Force	Gravity	0	0,19164	0,04	0,04
415	VT-sinSC(N-S)	GLOBAL	Force	Y Proj	0	0,19164	-1,6	-1,6
415	VT-sinSC(S-N)	GLOBAL	Force	Y Proj	0	0,19164	1,6	1,6
415	VT-conSC(N-S)	GLOBAL	Force	Y Proj	0	0,19164	-2,38	-2,38
415	VT-conSC(S-N)	GLOBAL	Force	Y Proj	0	0,19164	2,38	2,38
415	VL-sinSC(O-E)	GLOBAL	Force	X Proj	0	0,19164	0,28	0,28
415	VL-sinSC(E-O)	GLOBAL	Force	X Proj	0	0,19164	-0,28	-0,28
415	VL-conSC(O-E)	GLOBAL	Force	X Proj	0	0,19164	0,41	0,41
415	VL-conSC(E-O)	GLOBAL	Force	X Proj	0	0,19164	-0,41	-0,41
416	CM	GLOBAL	Force	Gravity	0	0,19164	0,04	0,04
416	VT-sinSC(N-S)	GLOBAL	Force	Y Proj	0	0,19164	-1,6	-1,6
416	VT-sinSC(S-N)	GLOBAL	Force	Y Proj	0	0,19164	1,6	1,6
416	VT-conSC(N-S)	GLOBAL	Force	Y Proj	0	0,19164	-2,38	-2,38
416	VT-conSC(S-N)	GLOBAL	Force	Y Proj	0	0,19164	2,38	2,38
416	VL-sinSC(O-E)	GLOBAL	Force	X Proj	0	0,19164	0,28	0,28
416	VL-sinSC(E-O)	GLOBAL	Force	X Proj	0	0,19164	-0,28	-0,28
416	VL-conSC(O-E)	GLOBAL	Force	X Proj	0	0,19164	0,41	0,41
416	VL-conSC(E-O)	GLOBAL	Force	X Proj	0	0,19164	-0,41	-0,41
417	CM	GLOBAL	Force	Gravity	0	0,19156	0,04	0,04
417	VT-sinSC(N-S)	GLOBAL	Force	Y Proj	0	0,19156	-1,6	-1,6
417	VT-sinSC(S-N)	GLOBAL	Force	Y Proj	0	0,19156	1,6	1,6
417	VT-conSC(N-S)	GLOBAL	Force	Y Proj	0	0,19156	-2,38	-2,38

417	VT-conSC(S-N)	GLOBAL	Force	Y Proj	0	0,19156	2,38	2,38
417	VL-sinSC(O-E)	GLOBAL	Force	X Proj	0	0,19156	0,28	0,28
417	VL-sinSC(E-O)	GLOBAL	Force	X Proj	0	0,19156	-0,28	-0,28
417	VL-conSC(O-E)	GLOBAL	Force	X Proj	0	0,19156	0,41	0,41
417	VL-conSC(E-O)	GLOBAL	Force	X Proj	0	0,19156	-0,41	-0,41
418	CM	GLOBAL	Force	Gravity	0	0,19143	0,04	0,04
418	VT-sinSC(N-S)	GLOBAL	Force	Y Proj	0	0,19143	-1,6	-1,6
418	VT-sinSC(S-N)	GLOBAL	Force	Y Proj	0	0,19143	1,6	1,6
418	VT-conSC(N-S)	GLOBAL	Force	Y Proj	0	0,19143	-2,38	-2,38
418	VT-conSC(S-N)	GLOBAL	Force	Y Proj	0	0,19143	2,38	2,38
418	VL-sinSC(O-E)	GLOBAL	Force	X Proj	0	0,19143	0,28	0,28
418	VL-sinSC(E-O)	GLOBAL	Force	X Proj	0	0,19143	-0,28	-0,28
418	VL-conSC(O-E)	GLOBAL	Force	X Proj	0	0,19143	0,41	0,41
418	VL-conSC(E-O)	GLOBAL	Force	X Proj	0	0,19143	-0,41	-0,41
419	CM	GLOBAL	Force	Gravity	0	0,19132	0,04	0,04
419	VT-sinSC(N-S)	GLOBAL	Force	Y Proj	0	0,19132	-1,6	-1,6
419	VT-sinSC(S-N)	GLOBAL	Force	Y Proj	0	0,19132	1,6	1,6
419	VT-conSC(N-S)	GLOBAL	Force	Y Proj	0	0,19132	-2,38	-2,38
419	VT-conSC(S-N)	GLOBAL	Force	Y Proj	0	0,19132	2,38	2,38
419	VL-sinSC(O-E)	GLOBAL	Force	X Proj	0	0,19132	0,28	0,28
419	VL-sinSC(E-O)	GLOBAL	Force	X Proj	0	0,19132	-0,28	-0,28
419	VL-conSC(O-E)	GLOBAL	Force	X Proj	0	0,19132	0,41	0,41
419	VL-conSC(E-O)	GLOBAL	Force	X Proj	0	0,19132	-0,41	-0,41
420	CM	GLOBAL	Force	Gravity	0	0,19122	0,04	0,04
420	VT-sinSC(N-S)	GLOBAL	Force	Y Proj	0	0,19122	-1,6	-1,6
420	VT-sinSC(S-N)	GLOBAL	Force	Y Proj	0	0,19122	1,6	1,6
420	VT-conSC(N-S)	GLOBAL	Force	Y Proj	0	0,19122	-2,38	-2,38
420	VT-conSC(S-N)	GLOBAL	Force	Y Proj	0	0,19122	2,38	2,38
420	VL-sinSC(O-E)	GLOBAL	Force	X Proj	0	0,19122	0,28	0,28
420	VL-sinSC(E-O)	GLOBAL	Force	X Proj	0	0,19122	-0,28	-0,28
420	VL-conSC(O-E)	GLOBAL	Force	X Proj	0	0,19122	0,41	0,41
420	VL-conSC(E-O)	GLOBAL	Force	X Proj	0	0,19122	-0,41	-0,41
421	CM	GLOBAL	Force	Gravity	0	0,19114	0,04	0,04
421	VT-sinSC(N-S)	GLOBAL	Force	Y Proj	0	0,19114	-1,6	-1,6
421	VT-sinSC(S-N)	GLOBAL	Force	Y Proj	0	0,19114	1,6	1,6
421	VT-conSC(N-S)	GLOBAL	Force	Y Proj	0	0,19114	-2,38	-2,38
421	VT-conSC(S-N)	GLOBAL	Force	Y Proj	0	0,19114	2,38	2,38
421	VL-sinSC(O-E)	GLOBAL	Force	X Proj	0	0,19114	0,28	0,28
421	VL-sinSC(E-O)	GLOBAL	Force	X Proj	0	0,19114	-0,28	-0,28



421	VL-conSC(O-E)	GLOBAL	Force	X Proj	0	0,19114	0,41	0,41
421	VL-conSC(E-O)	GLOBAL	Force	X Proj	0	0,19114	-0,41	-0,41
422	CM	GLOBAL	Force	Gravity	0	0,19107	0,04	0,04
422	VT-sinSC(N-S)	GLOBAL	Force	Y Proj	0	0,19107	-1,6	-1,6
422	VT-sinSC(S-N)	GLOBAL	Force	Y Proj	0	0,19107	1,6	1,6
422	VT-conSC(N-S)	GLOBAL	Force	Y Proj	0	0,19107	-2,38	-2,38
422	VT-conSC(S-N)	GLOBAL	Force	Y Proj	0	0,19107	2,38	2,38
422	VL-sinSC(O-E)	GLOBAL	Force	X Proj	0	0,19107	0,28	0,28
422	VL-sinSC(E-O)	GLOBAL	Force	X Proj	0	0,19107	-0,28	-0,28
422	VL-conSC(O-E)	GLOBAL	Force	X Proj	0	0,19107	0,41	0,41
422	VL-conSC(E-O)	GLOBAL	Force	X Proj	0	0,19107	-0,41	-0,41
423	CM	GLOBAL	Force	Gravity	0	0,19102	0,04	0,04
423	VT-sinSC(N-S)	GLOBAL	Force	Y Proj	0	0,19102	-1,6	-1,6
423	VT-sinSC(S-N)	GLOBAL	Force	Y Proj	0	0,19102	1,6	1,6
423	VT-conSC(N-S)	GLOBAL	Force	Y Proj	0	0,19102	-2,38	-2,38
423	VT-conSC(S-N)	GLOBAL	Force	Y Proj	0	0,19102	2,38	2,38
423	VL-sinSC(O-E)	GLOBAL	Force	X Proj	0	0,19102	0,28	0,28
423	VL-sinSC(E-O)	GLOBAL	Force	X Proj	0	0,19102	-0,28	-0,28
423	VL-conSC(O-E)	GLOBAL	Force	X Proj	0	0,19102	0,41	0,41
423	VL-conSC(E-O)	GLOBAL	Force	X Proj	0	0,19102	-0,41	-0,41
424	CM	GLOBAL	Force	Gravity	0	0,19099	0,04	0,04
424	VT-sinSC(N-S)	GLOBAL	Force	Y Proj	0	0,19099	-1,6	-1,6
424	VT-sinSC(S-N)	GLOBAL	Force	Y Proj	0	0,19099	1,6	1,6
424	VT-conSC(N-S)	GLOBAL	Force	Y Proj	0	0,19099	-2,38	-2,38
424	VT-conSC(S-N)	GLOBAL	Force	Y Proj	0	0,19099	2,38	2,38
424	VL-sinSC(O-E)	GLOBAL	Force	X Proj	0	0,19099	0,28	0,28
424	VL-sinSC(E-O)	GLOBAL	Force	X Proj	0	0,19099	-0,28	-0,28
424	VL-conSC(O-E)	GLOBAL	Force	X Proj	0	0,19099	0,41	0,41
424	VL-conSC(E-O)	GLOBAL	Force	X Proj	0	0,19099	-0,41	-0,41
425	CM	GLOBAL	Force	Gravity	0	0,75	0,04	0,04
425	VT-sinSC(N-S)	GLOBAL	Force	Y Proj	0	0,75	-1,6	-1,6
425	VT-sinSC(S-N)	GLOBAL	Force	Y Proj	0	0,75	1,6	1,6
425	VT-conSC(N-S)	GLOBAL	Force	Y Proj	0	0,75	-2,38	-2,38
425	VT-conSC(S-N)	GLOBAL	Force	Y Proj	0	0,75	2,38	2,38
425	VL-sinSC(O-E)	GLOBAL	Force	X Proj	0	0,75	0,28	0,28
425	VL-sinSC(E-O)	GLOBAL	Force	X Proj	0	0,75	-0,28	-0,28
425	VL-conSC(O-E)	GLOBAL	Force	X Proj	0	0,75	0,41	0,41
425	VL-conSC(E-O)	GLOBAL	Force	X Proj	0	0,75	-0,41	-0,41
426	CM	GLOBAL	Force	Gravity	0	0,19097	0,04	0,04

426	VT-sinSC(N-S)	GLOBAL	Force	Y Proj	0	0,19097	-1,6	-1,6
426	VT-sinSC(S-N)	GLOBAL	Force	Y Proj	0	0,19097	1,6	1,6
426	VT-conSC(N-S)	GLOBAL	Force	Y Proj	0	0,19097	-2,38	-2,38
426	VT-conSC(S-N)	GLOBAL	Force	Y Proj	0	0,19097	2,38	2,38
426	VL-sinSC(O-E)	GLOBAL	Force	X Proj	0	0,19097	0,28	0,28
426	VL-sinSC(E-O)	GLOBAL	Force	X Proj	0	0,19097	-0,28	-0,28
426	VL-conSC(O-E)	GLOBAL	Force	X Proj	0	0,19097	0,41	0,41
426	VL-conSC(E-O)	GLOBAL	Force	X Proj	0	0,19097	-0,41	-0,41
427	CM	GLOBAL	Force	Gravity	0	0,19098	0,04	0,04
427	VT-sinSC(N-S)	GLOBAL	Force	Y Proj	0	0,19098	-1,6	-1,6
427	VT-sinSC(S-N)	GLOBAL	Force	Y Proj	0	0,19098	1,6	1,6
427	VT-conSC(N-S)	GLOBAL	Force	Y Proj	0	0,19098	-2,38	-2,38
427	VT-conSC(S-N)	GLOBAL	Force	Y Proj	0	0,19098	2,38	2,38
427	VL-sinSC(O-E)	GLOBAL	Force	X Proj	0	0,19098	0,28	0,28
427	VL-sinSC(E-O)	GLOBAL	Force	X Proj	0	0,19098	-0,28	-0,28
427	VL-conSC(O-E)	GLOBAL	Force	X Proj	0	0,19098	0,41	0,41
427	VL-conSC(E-O)	GLOBAL	Force	X Proj	0	0,19098	-0,41	-0,41
428	CM	GLOBAL	Force	Gravity	0	0,19101	0,04	0,04
428	VT-sinSC(N-S)	GLOBAL	Force	Y Proj	0	0,19101	-1,6	-1,6
428	VT-sinSC(S-N)	GLOBAL	Force	Y Proj	0	0,19101	1,6	1,6
428	VT-conSC(N-S)	GLOBAL	Force	Y Proj	0	0,19101	-2,38	-2,38
428	VT-conSC(S-N)	GLOBAL	Force	Y Proj	0	0,19101	2,38	2,38
428	VL-sinSC(O-E)	GLOBAL	Force	X Proj	0	0,19101	0,28	0,28
428	VL-sinSC(E-O)	GLOBAL	Force	X Proj	0	0,19101	-0,28	-0,28
428	VL-conSC(O-E)	GLOBAL	Force	X Proj	0	0,19101	0,41	0,41
428	VL-conSC(E-O)	GLOBAL	Force	X Proj	0	0,19101	-0,41	-0,41
429	CM	GLOBAL	Force	Gravity	0	0,19106	0,04	0,04
429	VT-sinSC(N-S)	GLOBAL	Force	Y Proj	0	0,19106	-1,6	-1,6
429	VT-sinSC(S-N)	GLOBAL	Force	Y Proj	0	0,19106	1,6	1,6
429	VT-conSC(N-S)	GLOBAL	Force	Y Proj	0	0,19106	-2,38	-2,38
429	VT-conSC(S-N)	GLOBAL	Force	Y Proj	0	0,19106	2,38	2,38
429	VL-sinSC(O-E)	GLOBAL	Force	X Proj	0	0,19106	0,28	0,28
429	VL-sinSC(E-O)	GLOBAL	Force	X Proj	0	0,19106	-0,28	-0,28
429	VL-conSC(O-E)	GLOBAL	Force	X Proj	0	0,19106	0,41	0,41
429	VL-conSC(E-O)	GLOBAL	Force	X Proj	0	0,19106	-0,41	-0,41
430	CM	GLOBAL	Force	Gravity	0	0,19112	0,04	0,04
430	VT-sinSC(N-S)	GLOBAL	Force	Y Proj	0	0,19112	-1,6	-1,6
430	VT-sinSC(S-N)	GLOBAL	Force	Y Proj	0	0,19112	1,6	1,6
430	VT-conSC(N-S)	GLOBAL	Force	Y Proj	0	0,19112	-2,38	-2,38



430	VT-conSC(S-N)	GLOBAL	Force	Y Proj	0	0,19112	2,38	2,38
430	VL-sinSC(O-E)	GLOBAL	Force	X Proj	0	0,19112	0,28	0,28
430	VL-sinSC(E-O)	GLOBAL	Force	X Proj	0	0,19112	-0,28	-0,28
430	VL-conSC(O-E)	GLOBAL	Force	X Proj	0	0,19112	0,41	0,41
430	VL-conSC(E-O)	GLOBAL	Force	X Proj	0	0,19112	-0,41	-0,41
431	CM	GLOBAL	Force	Gravity	0	0,19119	0,04	0,04
431	VT-sinSC(N-S)	GLOBAL	Force	Y Proj	0	0,19119	-1,6	-1,6
431	VT-sinSC(S-N)	GLOBAL	Force	Y Proj	0	0,19119	1,6	1,6
431	VT-conSC(N-S)	GLOBAL	Force	Y Proj	0	0,19119	-2,38	-2,38
431	VT-conSC(S-N)	GLOBAL	Force	Y Proj	0	0,19119	2,38	2,38
431	VL-sinSC(O-E)	GLOBAL	Force	X Proj	0	0,19119	0,28	0,28
431	VL-sinSC(E-O)	GLOBAL	Force	X Proj	0	0,19119	-0,28	-0,28
431	VL-conSC(O-E)	GLOBAL	Force	X Proj	0	0,19119	0,41	0,41
431	VL-conSC(E-O)	GLOBAL	Force	X Proj	0	0,19119	-0,41	-0,41
432	CM	GLOBAL	Force	Gravity	0	0,19129	0,04	0,04
432	VT-sinSC(N-S)	GLOBAL	Force	Y Proj	0	0,19129	-1,6	-1,6
432	VT-sinSC(S-N)	GLOBAL	Force	Y Proj	0	0,19129	1,6	1,6
432	VT-conSC(N-S)	GLOBAL	Force	Y Proj	0	0,19129	-2,38	-2,38
432	VT-conSC(S-N)	GLOBAL	Force	Y Proj	0	0,19129	2,38	2,38
432	VL-sinSC(O-E)	GLOBAL	Force	X Proj	0	0,19129	0,28	0,28
432	VL-sinSC(E-O)	GLOBAL	Force	X Proj	0	0,19129	-0,28	-0,28
432	VL-conSC(O-E)	GLOBAL	Force	X Proj	0	0,19129	0,41	0,41
432	VL-conSC(E-O)	GLOBAL	Force	X Proj	0	0,19129	-0,41	-0,41
433	CM	GLOBAL	Force	Gravity	0	0,1914	0,04	0,04
433	VT-sinSC(N-S)	GLOBAL	Force	Y Proj	0	0,1914	-1,6	-1,6
433	VT-sinSC(S-N)	GLOBAL	Force	Y Proj	0	0,1914	1,6	1,6
433	VT-conSC(N-S)	GLOBAL	Force	Y Proj	0	0,1914	-2,38	-2,38
433	VT-conSC(S-N)	GLOBAL	Force	Y Proj	0	0,1914	2,38	2,38
433	VL-sinSC(O-E)	GLOBAL	Force	X Proj	0	0,1914	0,28	0,28
433	VL-sinSC(E-O)	GLOBAL	Force	X Proj	0	0,1914	-0,28	-0,28
433	VL-conSC(O-E)	GLOBAL	Force	X Proj	0	0,1914	0,41	0,41
433	VL-conSC(E-O)	GLOBAL	Force	X Proj	0	0,1914	-0,41	-0,41
434	CM	GLOBAL	Force	Gravity	0	0,19152	0,04	0,04
434	VT-sinSC(N-S)	GLOBAL	Force	Y Proj	0	0,19152	-1,6	-1,6
434	VT-sinSC(S-N)	GLOBAL	Force	Y Proj	0	0,19152	1,6	1,6
434	VT-conSC(N-S)	GLOBAL	Force	Y Proj	0	0,19152	-2,38	-2,38
434	VT-conSC(S-N)	GLOBAL	Force	Y Proj	0	0,19152	2,38	2,38
434	VL-sinSC(O-E)	GLOBAL	Force	X Proj	0	0,19152	0,28	0,28
434	VL-sinSC(E-O)	GLOBAL	Force	X Proj	0	0,19152	-0,28	-0,28

434	VL-conSC(O-E)	GLOBAL	Force	X Proj	0	0,19152	0,41	0,41
434	VL-conSC(E-O)	GLOBAL	Force	X Proj	0	0,19152	-0,41	-0,41
435	CM	GLOBAL	Force	Gravity	0	0,19166	0,04	0,04
435	VT-sinSC(N-S)	GLOBAL	Force	Y Proj	0	0,19166	-1,6	-1,6
435	VT-sinSC(S-N)	GLOBAL	Force	Y Proj	0	0,19166	1,6	1,6
435	VT-conSC(N-S)	GLOBAL	Force	Y Proj	0	0,19166	-2,38	-2,38
435	VT-conSC(S-N)	GLOBAL	Force	Y Proj	0	0,19166	2,38	2,38
435	VL-sinSC(O-E)	GLOBAL	Force	X Proj	0	0,19166	0,28	0,28
435	VL-sinSC(E-O)	GLOBAL	Force	X Proj	0	0,19166	-0,28	-0,28
435	VL-conSC(O-E)	GLOBAL	Force	X Proj	0	0,19166	0,41	0,41
435	VL-conSC(E-O)	GLOBAL	Force	X Proj	0	0,19166	-0,41	-0,41
436	CM	GLOBAL	Force	Gravity	0	0,19165	0,04	0,04
436	VT-sinSC(N-S)	GLOBAL	Force	Y Proj	0	0,19165	-1,6	-1,6
436	VT-sinSC(S-N)	GLOBAL	Force	Y Proj	0	0,19165	1,6	1,6
436	VT-conSC(N-S)	GLOBAL	Force	Y Proj	0	0,19165	-2,38	-2,38
436	VT-conSC(S-N)	GLOBAL	Force	Y Proj	0	0,19165	2,38	2,38
436	VL-sinSC(O-E)	GLOBAL	Force	X Proj	0	0,19165	0,28	0,28
436	VL-sinSC(E-O)	GLOBAL	Force	X Proj	0	0,19165	-0,28	-0,28
436	VL-conSC(O-E)	GLOBAL	Force	X Proj	0	0,19165	0,41	0,41
436	VL-conSC(E-O)	GLOBAL	Force	X Proj	0	0,19165	-0,41	-0,41
437	CM	GLOBAL	Force	Gravity	0	0,75	0,04	0,04
437	VT-sinSC(N-S)	GLOBAL	Force	Y Proj	0	0,75	-1,6	-1,6
437	VT-sinSC(S-N)	GLOBAL	Force	Y Proj	0	0,75	1,6	1,6
437	VT-conSC(N-S)	GLOBAL	Force	Y Proj	0	0,75	-2,38	-2,38
437	VT-conSC(S-N)	GLOBAL	Force	Y Proj	0	0,75	2,38	2,38
437	VL-sinSC(O-E)	GLOBAL	Force	X Proj	0	0,75	0,28	0,28
437	VL-sinSC(E-O)	GLOBAL	Force	X Proj	0	0,75	-0,28	-0,28
437	VL-conSC(O-E)	GLOBAL	Force	X Proj	0	0,75	0,41	0,41
437	VL-conSC(E-O)	GLOBAL	Force	X Proj	0	0,75	-0,41	-0,41
438	CM	GLOBAL	Force	Gravity	0	0,19155	0,04	0,04
438	VT-sinSC(N-S)	GLOBAL	Force	Y Proj	0	0,19155	-1,6	-1,6
438	VT-sinSC(S-N)	GLOBAL	Force	Y Proj	0	0,19155	1,6	1,6
438	VT-conSC(N-S)	GLOBAL	Force	Y Proj	0	0,19155	-2,38	-2,38
438	VT-conSC(S-N)	GLOBAL	Force	Y Proj	0	0,19155	2,38	2,38
438	VL-sinSC(O-E)	GLOBAL	Force	X Proj	0	0,19155	0,28	0,28
438	VL-sinSC(E-O)	GLOBAL	Force	X Proj	0	0,19155	-0,28	-0,28
438	VL-conSC(O-E)	GLOBAL	Force	X Proj	0	0,19155	0,41	0,41
438	VL-conSC(E-O)	GLOBAL	Force	X Proj	0	0,19155	-0,41	-0,41
439	CM	GLOBAL	Force	Gravity	0	0,19152	0,04	0,04



439	VT-sinSC(N-S)	GLOBAL	Force	Y Proj	0	0,19152	-1,6	-1,6
439	VT-sinSC(S-N)	GLOBAL	Force	Y Proj	0	0,19152	1,6	1,6
439	VT-conSC(N-S)	GLOBAL	Force	Y Proj	0	0,19152	-2,38	-2,38
439	VT-conSC(S-N)	GLOBAL	Force	Y Proj	0	0,19152	2,38	2,38
439	VL-sinSC(O-E)	GLOBAL	Force	X Proj	0	0,19152	0,28	0,28
439	VL-sinSC(E-O)	GLOBAL	Force	X Proj	0	0,19152	-0,28	-0,28
439	VL-conSC(O-E)	GLOBAL	Force	X Proj	0	0,19152	0,41	0,41
439	VL-conSC(E-O)	GLOBAL	Force	X Proj	0	0,19152	-0,41	-0,41
440	CM	GLOBAL	Force	Gravity	0	0,19151	0,04	0,04
440	VT-sinSC(N-S)	GLOBAL	Force	Y Proj	0	0,19151	-1,6	-1,6
440	VT-sinSC(S-N)	GLOBAL	Force	Y Proj	0	0,19151	1,6	1,6
440	VT-conSC(N-S)	GLOBAL	Force	Y Proj	0	0,19151	-2,38	-2,38
440	VT-conSC(S-N)	GLOBAL	Force	Y Proj	0	0,19151	2,38	2,38
440	VL-sinSC(O-E)	GLOBAL	Force	X Proj	0	0,19151	0,28	0,28
440	VL-sinSC(E-O)	GLOBAL	Force	X Proj	0	0,19151	-0,28	-0,28
440	VL-conSC(O-E)	GLOBAL	Force	X Proj	0	0,19151	0,41	0,41
440	VL-conSC(E-O)	GLOBAL	Force	X Proj	0	0,19151	-0,41	-0,41
441	CM	GLOBAL	Force	Gravity	0	0,19152	0,04	0,04
441	VT-sinSC(N-S)	GLOBAL	Force	Y Proj	0	0,19152	-1,6	-1,6
441	VT-sinSC(S-N)	GLOBAL	Force	Y Proj	0	0,19152	1,6	1,6
441	VT-conSC(N-S)	GLOBAL	Force	Y Proj	0	0,19152	-2,38	-2,38
441	VT-conSC(S-N)	GLOBAL	Force	Y Proj	0	0,19152	2,38	2,38
441	VL-sinSC(O-E)	GLOBAL	Force	X Proj	0	0,19152	0,28	0,28
441	VL-sinSC(E-O)	GLOBAL	Force	X Proj	0	0,19152	-0,28	-0,28
441	VL-conSC(O-E)	GLOBAL	Force	X Proj	0	0,19152	0,41	0,41
441	VL-conSC(E-O)	GLOBAL	Force	X Proj	0	0,19152	-0,41	-0,41
442	CM	GLOBAL	Force	Gravity	0	0,19154	0,04	0,04
442	VT-sinSC(N-S)	GLOBAL	Force	Y Proj	0	0,19154	-1,6	-1,6
442	VT-sinSC(S-N)	GLOBAL	Force	Y Proj	0	0,19154	1,6	1,6
442	VT-conSC(N-S)	GLOBAL	Force	Y Proj	0	0,19154	-2,38	-2,38
442	VT-conSC(S-N)	GLOBAL	Force	Y Proj	0	0,19154	2,38	2,38
442	VL-sinSC(O-E)	GLOBAL	Force	X Proj	0	0,19154	0,28	0,28
442	VL-sinSC(E-O)	GLOBAL	Force	X Proj	0	0,19154	-0,28	-0,28
442	VL-conSC(O-E)	GLOBAL	Force	X Proj	0	0,19154	0,41	0,41
442	VL-conSC(E-O)	GLOBAL	Force	X Proj	0	0,19154	-0,41	-0,41
443	CM	GLOBAL	Force	Gravity	0	0,19158	0,04	0,04
443	VT-sinSC(N-S)	GLOBAL	Force	Y Proj	0	0,19158	-1,6	-1,6
443	VT-sinSC(S-N)	GLOBAL	Force	Y Proj	0	0,19158	1,6	1,6
443	VT-conSC(N-S)	GLOBAL	Force	Y Proj	0	0,19158	-2,38	-2,38

443	VT-conSC(S-N)	GLOBAL	Force	Y Proj	0	0,19158	2,38	2,38
443	VL-sinSC(O-E)	GLOBAL	Force	X Proj	0	0,19158	0,28	0,28
443	VL-sinSC(E-O)	GLOBAL	Force	X Proj	0	0,19158	-0,28	-0,28
443	VL-conSC(O-E)	GLOBAL	Force	X Proj	0	0,19158	0,41	0,41
443	VL-conSC(E-O)	GLOBAL	Force	X Proj	0	0,19158	-0,41	-0,41
444	CM	GLOBAL	Force	Gravity	0	0,19163	0,04	0,04
444	VT-sinSC(N-S)	GLOBAL	Force	Y Proj	0	0,19163	-1,6	-1,6
444	VT-sinSC(S-N)	GLOBAL	Force	Y Proj	0	0,19163	1,6	1,6
444	VT-conSC(N-S)	GLOBAL	Force	Y Proj	0	0,19163	-2,38	-2,38
444	VT-conSC(S-N)	GLOBAL	Force	Y Proj	0	0,19163	2,38	2,38
444	VL-sinSC(O-E)	GLOBAL	Force	X Proj	0	0,19163	0,28	0,28
444	VL-sinSC(E-O)	GLOBAL	Force	X Proj	0	0,19163	-0,28	-0,28
444	VL-conSC(O-E)	GLOBAL	Force	X Proj	0	0,19163	0,41	0,41
444	VL-conSC(E-O)	GLOBAL	Force	X Proj	0	0,19163	-0,41	-0,41
445	CM	GLOBAL	Force	Gravity	0	0,19168	0,04	0,04
445	VT-sinSC(N-S)	GLOBAL	Force	Y Proj	0	0,19168	-1,6	-1,6
445	VT-sinSC(S-N)	GLOBAL	Force	Y Proj	0	0,19168	1,6	1,6
445	VT-conSC(N-S)	GLOBAL	Force	Y Proj	0	0,19168	-2,38	-2,38
445	VT-conSC(S-N)	GLOBAL	Force	Y Proj	0	0,19168	2,38	2,38
445	VL-sinSC(O-E)	GLOBAL	Force	X Proj	0	0,19168	0,28	0,28
445	VL-sinSC(E-O)	GLOBAL	Force	X Proj	0	0,19168	-0,28	-0,28
445	VL-conSC(O-E)	GLOBAL	Force	X Proj	0	0,19168	0,41	0,41
445	VL-conSC(E-O)	GLOBAL	Force	X Proj	0	0,19168	-0,41	-0,41
446	CM	GLOBAL	Force	Gravity	0	0,19162	0,04	0,04
446	VT-sinSC(N-S)	GLOBAL	Force	Y Proj	0	0,19162	-1,6	-1,6
446	VT-sinSC(S-N)	GLOBAL	Force	Y Proj	0	0,19162	1,6	1,6
446	VT-conSC(N-S)	GLOBAL	Force	Y Proj	0	0,19162	-2,38	-2,38
446	VT-conSC(S-N)	GLOBAL	Force	Y Proj	0	0,19162	2,38	2,38
446	VL-sinSC(O-E)	GLOBAL	Force	X Proj	0	0,19162	0,28	0,28
446	VL-sinSC(E-O)	GLOBAL	Force	X Proj	0	0,19162	-0,28	-0,28
446	VL-conSC(O-E)	GLOBAL	Force	X Proj	0	0,19162	0,41	0,41
446	VL-conSC(E-O)	GLOBAL	Force	X Proj	0	0,19162	-0,41	-0,41
447	CM	GLOBAL	Force	Gravity	0	0,19156	0,04	0,04
447	VT-sinSC(N-S)	GLOBAL	Force	Y Proj	0	0,19156	-1,6	-1,6
447	VT-sinSC(S-N)	GLOBAL	Force	Y Proj	0	0,19156	1,6	1,6
447	VT-conSC(N-S)	GLOBAL	Force	Y Proj	0	0,19156	-2,38	-2,38
447	VT-conSC(S-N)	GLOBAL	Force	Y Proj	0	0,19156	2,38	2,38
447	VL-sinSC(O-E)	GLOBAL	Force	X Proj	0	0,19156	0,28	0,28
447	VL-sinSC(E-O)	GLOBAL	Force	X Proj	0	0,19156	-0,28	-0,28



447	VL-conSC(O-E)	GLOBAL	Force	X Proj	0	0,19156	0,41	0,41
447	VL-conSC(E-O)	GLOBAL	Force	X Proj	0	0,19156	-0,41	-0,41
448	CM	GLOBAL	Force	Gravity	0	0,19151	0,04	0,04
448	VT-sinSC(N-S)	GLOBAL	Force	Y Proj	0	0,19151	-1,6	-1,6
448	VT-sinSC(S-N)	GLOBAL	Force	Y Proj	0	0,19151	1,6	1,6
448	VT-conSC(N-S)	GLOBAL	Force	Y Proj	0	0,19151	-2,38	-2,38
448	VT-conSC(S-N)	GLOBAL	Force	Y Proj	0	0,19151	2,38	2,38
448	VL-sinSC(O-E)	GLOBAL	Force	X Proj	0	0,19151	0,28	0,28
448	VL-sinSC(E-O)	GLOBAL	Force	X Proj	0	0,19151	-0,28	-0,28
448	VL-conSC(O-E)	GLOBAL	Force	X Proj	0	0,19151	0,41	0,41
448	VL-conSC(E-O)	GLOBAL	Force	X Proj	0	0,19151	-0,41	-0,41
449	CM	GLOBAL	Force	Gravity	0	0,75	0,04	0,04
449	VT-sinSC(N-S)	GLOBAL	Force	Y Proj	0	0,75	-1,6	-1,6
449	VT-sinSC(S-N)	GLOBAL	Force	Y Proj	0	0,75	1,6	1,6
449	VT-conSC(N-S)	GLOBAL	Force	Y Proj	0	0,75	-2,38	-2,38
449	VT-conSC(S-N)	GLOBAL	Force	Y Proj	0	0,75	2,38	2,38
449	VL-sinSC(O-E)	GLOBAL	Force	X Proj	0	0,75	0,28	0,28
449	VL-sinSC(E-O)	GLOBAL	Force	X Proj	0	0,75	-0,28	-0,28
449	VL-conSC(O-E)	GLOBAL	Force	X Proj	0	0,75	0,41	0,41
449	VL-conSC(E-O)	GLOBAL	Force	X Proj	0	0,75	-0,41	-0,41
450	CM	GLOBAL	Force	Gravity	0	0,19146	0,04	0,04
450	VT-sinSC(N-S)	GLOBAL	Force	Y Proj	0	0,19146	-1,6	-1,6
450	VT-sinSC(S-N)	GLOBAL	Force	Y Proj	0	0,19146	1,6	1,6
450	VT-conSC(N-S)	GLOBAL	Force	Y Proj	0	0,19146	-2,38	-2,38
450	VT-conSC(S-N)	GLOBAL	Force	Y Proj	0	0,19146	2,38	2,38
450	VL-sinSC(O-E)	GLOBAL	Force	X Proj	0	0,19146	0,28	0,28
450	VL-sinSC(E-O)	GLOBAL	Force	X Proj	0	0,19146	-0,28	-0,28
450	VL-conSC(O-E)	GLOBAL	Force	X Proj	0	0,19146	0,41	0,41
450	VL-conSC(E-O)	GLOBAL	Force	X Proj	0	0,19146	-0,41	-0,41
451	CM	GLOBAL	Force	Gravity	0	0,19145	0,04	0,04
451	VT-sinSC(N-S)	GLOBAL	Force	Y Proj	0	0,19145	-1,6	-1,6
451	VT-sinSC(S-N)	GLOBAL	Force	Y Proj	0	0,19145	1,6	1,6
451	VT-conSC(N-S)	GLOBAL	Force	Y Proj	0	0,19145	-2,38	-2,38
451	VT-conSC(S-N)	GLOBAL	Force	Y Proj	0	0,19145	2,38	2,38
451	VL-sinSC(O-E)	GLOBAL	Force	X Proj	0	0,19145	0,28	0,28
451	VL-sinSC(E-O)	GLOBAL	Force	X Proj	0	0,19145	-0,28	-0,28
451	VL-conSC(O-E)	GLOBAL	Force	X Proj	0	0,19145	0,41	0,41
451	VL-conSC(E-O)	GLOBAL	Force	X Proj	0	0,19145	-0,41	-0,41
452	CM	GLOBAL	Force	Gravity	0	0,19147	0,04	0,04

452	VT-sinSC(N-S)	GLOBAL	Force	Y Proj	0	0,19147	-1,6	-1,6
452	VT-sinSC(S-N)	GLOBAL	Force	Y Proj	0	0,19147	1,6	1,6
452	VT-conSC(N-S)	GLOBAL	Force	Y Proj	0	0,19147	-2,38	-2,38
452	VT-conSC(S-N)	GLOBAL	Force	Y Proj	0	0,19147	2,38	2,38
452	VL-sinSC(O-E)	GLOBAL	Force	X Proj	0	0,19147	0,28	0,28
452	VL-sinSC(E-O)	GLOBAL	Force	X Proj	0	0,19147	-0,28	-0,28
452	VL-conSC(O-E)	GLOBAL	Force	X Proj	0	0,19147	0,41	0,41
452	VL-conSC(E-O)	GLOBAL	Force	X Proj	0	0,19147	-0,41	-0,41
453	CM	GLOBAL	Force	Gravity	0	0,1915	0,04	0,04
453	VT-sinSC(N-S)	GLOBAL	Force	Y Proj	0	0,1915	-1,6	-1,6
453	VT-sinSC(S-N)	GLOBAL	Force	Y Proj	0	0,1915	1,6	1,6
453	VT-conSC(N-S)	GLOBAL	Force	Y Proj	0	0,1915	-2,38	-2,38
453	VT-conSC(S-N)	GLOBAL	Force	Y Proj	0	0,1915	2,38	2,38
453	VL-sinSC(O-E)	GLOBAL	Force	X Proj	0	0,1915	0,28	0,28
453	VL-sinSC(E-O)	GLOBAL	Force	X Proj	0	0,1915	-0,28	-0,28
453	VL-conSC(O-E)	GLOBAL	Force	X Proj	0	0,1915	0,41	0,41
453	VL-conSC(E-O)	GLOBAL	Force	X Proj	0	0,1915	-0,41	-0,41
454	CM	GLOBAL	Force	Gravity	0	0,19154	0,04	0,04
454	VT-sinSC(N-S)	GLOBAL	Force	Y Proj	0	0,19154	-1,6	-1,6
454	VT-sinSC(S-N)	GLOBAL	Force	Y Proj	0	0,19154	1,6	1,6
454	VT-conSC(N-S)	GLOBAL	Force	Y Proj	0	0,19154	-2,38	-2,38
454	VT-conSC(S-N)	GLOBAL	Force	Y Proj	0	0,19154	2,38	2,38
454	VL-sinSC(O-E)	GLOBAL	Force	X Proj	0	0,19154	0,28	0,28
454	VL-sinSC(E-O)	GLOBAL	Force	X Proj	0	0,19154	-0,28	-0,28
454	VL-conSC(O-E)	GLOBAL	Force	X Proj	0	0,19154	0,41	0,41
454	VL-conSC(E-O)	GLOBAL	Force	X Proj	0	0,19154	-0,41	-0,41
455	CM	GLOBAL	Force	Gravity	0	0,19161	0,04	0,04
455	VT-sinSC(N-S)	GLOBAL	Force	Y Proj	0	0,19161	-1,6	-1,6
455	VT-sinSC(S-N)	GLOBAL	Force	Y Proj	0	0,19161	1,6	1,6
455	VT-conSC(N-S)	GLOBAL	Force	Y Proj	0	0,19161	-2,38	-2,38
455	VT-conSC(S-N)	GLOBAL	Force	Y Proj	0	0,19161	2,38	2,38
455	VL-sinSC(O-E)	GLOBAL	Force	X Proj	0	0,19161	0,28	0,28
455	VL-sinSC(E-O)	GLOBAL	Force	X Proj	0	0,19161	-0,28	-0,28
455	VL-conSC(O-E)	GLOBAL	Force	X Proj	0	0,19161	0,41	0,41
455	VL-conSC(E-O)	GLOBAL	Force	X Proj	0	0,19161	-0,41	-0,41
456	CM	GLOBAL	Force	Gravity	0	0,19167	0,04	0,04
456	VT-sinSC(N-S)	GLOBAL	Force	Y Proj	0	0,19167	-1,6	-1,6
456	VT-sinSC(S-N)	GLOBAL	Force	Y Proj	0	0,19167	1,6	1,6
456	VT-conSC(N-S)	GLOBAL	Force	Y Proj	0	0,19167	-2,38	-2,38



456	VT-conSC(S-N)	GLOBAL	Force	Y Proj	0	0,19167	2,38	2,38
456	VL-sinSC(O-E)	GLOBAL	Force	X Proj	0	0,19167	0,28	0,28
456	VL-sinSC(E-O)	GLOBAL	Force	X Proj	0	0,19167	-0,28	-0,28
456	VL-conSC(O-E)	GLOBAL	Force	X Proj	0	0,19167	0,41	0,41
456	VL-conSC(E-O)	GLOBAL	Force	X Proj	0	0,19167	-0,41	-0,41
457	CM	GLOBAL	Force	Gravity	0	0,19159	0,04	0,04
457	VT-sinSC(N-S)	GLOBAL	Force	Y Proj	0	0,19159	-1,6	-1,6
457	VT-sinSC(S-N)	GLOBAL	Force	Y Proj	0	0,19159	1,6	1,6
457	VT-conSC(N-S)	GLOBAL	Force	Y Proj	0	0,19159	-2,38	-2,38
457	VT-conSC(S-N)	GLOBAL	Force	Y Proj	0	0,19159	2,38	2,38
457	VL-sinSC(O-E)	GLOBAL	Force	X Proj	0	0,19159	0,28	0,28
457	VL-sinSC(E-O)	GLOBAL	Force	X Proj	0	0,19159	-0,28	-0,28
457	VL-conSC(O-E)	GLOBAL	Force	X Proj	0	0,19159	0,41	0,41
457	VL-conSC(E-O)	GLOBAL	Force	X Proj	0	0,19159	-0,41	-0,41
458	CM	GLOBAL	Force	Gravity	0	0,19148	0,04	0,04
458	VT-sinSC(N-S)	GLOBAL	Force	Y Proj	0	0,19148	-1,6	-1,6
458	VT-sinSC(S-N)	GLOBAL	Force	Y Proj	0	0,19148	1,6	1,6
458	VT-conSC(N-S)	GLOBAL	Force	Y Proj	0	0,19148	-2,38	-2,38
458	VT-conSC(S-N)	GLOBAL	Force	Y Proj	0	0,19148	2,38	2,38
458	VL-sinSC(O-E)	GLOBAL	Force	X Proj	0	0,19148	0,28	0,28
458	VL-sinSC(E-O)	GLOBAL	Force	X Proj	0	0,19148	-0,28	-0,28
458	VL-conSC(O-E)	GLOBAL	Force	X Proj	0	0,19148	0,41	0,41
458	VL-conSC(E-O)	GLOBAL	Force	X Proj	0	0,19148	-0,41	-0,41
459	CM	GLOBAL	Force	Gravity	0	0,19138	0,04	0,04
459	VT-sinSC(N-S)	GLOBAL	Force	Y Proj	0	0,19138	-1,6	-1,6
459	VT-sinSC(S-N)	GLOBAL	Force	Y Proj	0	0,19138	1,6	1,6
459	VT-conSC(N-S)	GLOBAL	Force	Y Proj	0	0,19138	-2,38	-2,38
459	VT-conSC(S-N)	GLOBAL	Force	Y Proj	0	0,19138	2,38	2,38
459	VL-sinSC(O-E)	GLOBAL	Force	X Proj	0	0,19138	0,28	0,28
459	VL-sinSC(E-O)	GLOBAL	Force	X Proj	0	0,19138	-0,28	-0,28
459	VL-conSC(O-E)	GLOBAL	Force	X Proj	0	0,19138	0,41	0,41
459	VL-conSC(E-O)	GLOBAL	Force	X Proj	0	0,19138	-0,41	-0,41
460	CM	GLOBAL	Force	Gravity	0	0,1913	0,04	0,04
460	VT-sinSC(N-S)	GLOBAL	Force	Y Proj	0	0,1913	-1,6	-1,6
460	VT-sinSC(S-N)	GLOBAL	Force	Y Proj	0	0,1913	1,6	1,6
460	VT-conSC(N-S)	GLOBAL	Force	Y Proj	0	0,1913	-2,38	-2,38
460	VT-conSC(S-N)	GLOBAL	Force	Y Proj	0	0,1913	2,38	2,38
460	VL-sinSC(O-E)	GLOBAL	Force	X Proj	0	0,1913	0,28	0,28
460	VL-sinSC(E-O)	GLOBAL	Force	X Proj	0	0,1913	-0,28	-0,28

460	VL-conSC(O-E)	GLOBAL	Force	X Proj	0	0,1913	0,41	0,41
460	VL-conSC(E-O)	GLOBAL	Force	X Proj	0	0,1913	-0,41	-0,41
461	CM	GLOBAL	Force	Gravity	0	0,75	0,04	0,04
461	VT-sinSC(N-S)	GLOBAL	Force	Y Proj	0	0,75	-1,6	-1,6
461	VT-sinSC(S-N)	GLOBAL	Force	Y Proj	0	0,75	1,6	1,6
461	VT-conSC(N-S)	GLOBAL	Force	Y Proj	0	0,75	-2,38	-2,38
461	VT-conSC(S-N)	GLOBAL	Force	Y Proj	0	0,75	2,38	2,38
461	VL-sinSC(O-E)	GLOBAL	Force	X Proj	0	0,75	0,28	0,28
461	VL-sinSC(E-O)	GLOBAL	Force	X Proj	0	0,75	-0,28	-0,28
461	VL-conSC(O-E)	GLOBAL	Force	X Proj	0	0,75	0,41	0,41
461	VL-conSC(E-O)	GLOBAL	Force	X Proj	0	0,75	-0,41	-0,41
462	CM	GLOBAL	Force	Gravity	0	0,19119	0,04	0,04
462	VT-sinSC(N-S)	GLOBAL	Force	Y Proj	0	0,19119	-1,6	-1,6
462	VT-sinSC(S-N)	GLOBAL	Force	Y Proj	0	0,19119	1,6	1,6
462	VT-conSC(N-S)	GLOBAL	Force	Y Proj	0	0,19119	-2,38	-2,38
462	VT-conSC(S-N)	GLOBAL	Force	Y Proj	0	0,19119	2,38	2,38
462	VL-sinSC(O-E)	GLOBAL	Force	X Proj	0	0,19119	0,28	0,28
462	VL-sinSC(E-O)	GLOBAL	Force	X Proj	0	0,19119	-0,28	-0,28
462	VL-conSC(O-E)	GLOBAL	Force	X Proj	0	0,19119	0,41	0,41
462	VL-conSC(E-O)	GLOBAL	Force	X Proj	0	0,19119	-0,41	-0,41
463	CM	GLOBAL	Force	Gravity	0	0,19115	0,04	0,04
463	VT-sinSC(N-S)	GLOBAL	Force	Y Proj	0	0,19115	-1,6	-1,6
463	VT-sinSC(S-N)	GLOBAL	Force	Y Proj	0	0,19115	1,6	1,6
463	VT-conSC(N-S)	GLOBAL	Force	Y Proj	0	0,19115	-2,38	-2,38
463	VT-conSC(S-N)	GLOBAL	Force	Y Proj	0	0,19115	2,38	2,38
463	VL-sinSC(O-E)	GLOBAL	Force	X Proj	0	0,19115	0,28	0,28
463	VL-sinSC(E-O)	GLOBAL	Force	X Proj	0	0,19115	-0,28	-0,28
463	VL-conSC(O-E)	GLOBAL	Force	X Proj	0	0,19115	0,41	0,41
463	VL-conSC(E-O)	GLOBAL	Force	X Proj	0	0,19115	-0,41	-0,41
464	CM	GLOBAL	Force	Gravity	0	0,19114	0,04	0,04
464	VT-sinSC(N-S)	GLOBAL	Force	Y Proj	0	0,19114	-1,6	-1,6
464	VT-sinSC(S-N)	GLOBAL	Force	Y Proj	0	0,19114	1,6	1,6
464	VT-conSC(N-S)	GLOBAL	Force	Y Proj	0	0,19114	-2,38	-2,38
464	VT-conSC(S-N)	GLOBAL	Force	Y Proj	0	0,19114	2,38	2,38
464	VL-sinSC(O-E)	GLOBAL	Force	X Proj	0	0,19114	0,28	0,28
464	VL-sinSC(E-O)	GLOBAL	Force	X Proj	0	0,19114	-0,28	-0,28
464	VL-conSC(O-E)	GLOBAL	Force	X Proj	0	0,19114	0,41	0,41
464	VL-conSC(E-O)	GLOBAL	Force	X Proj	0	0,19114	-0,41	-0,41
465	CM	GLOBAL	Force	Gravity	0	0,19114	0,04	0,04



465	VT-sinSC(N-S)	GLOBAL	Force	Y Proj	0	0,19114	-1,6	-1,6
465	VT-sinSC(S-N)	GLOBAL	Force	Y Proj	0	0,19114	1,6	1,6
465	VT-conSC(N-S)	GLOBAL	Force	Y Proj	0	0,19114	-2,38	-2,38
465	VT-conSC(S-N)	GLOBAL	Force	Y Proj	0	0,19114	2,38	2,38
465	VL-sinSC(O-E)	GLOBAL	Force	X Proj	0	0,19114	0,28	0,28
465	VL-sinSC(E-O)	GLOBAL	Force	X Proj	0	0,19114	-0,28	-0,28
465	VL-conSC(O-E)	GLOBAL	Force	X Proj	0	0,19114	0,41	0,41
465	VL-conSC(E-O)	GLOBAL	Force	X Proj	0	0,19114	-0,41	-0,41
466	CM	GLOBAL	Force	Gravity	0	0,19115	0,04	0,04
466	VT-sinSC(N-S)	GLOBAL	Force	Y Proj	0	0,19115	-1,6	-1,6
466	VT-sinSC(S-N)	GLOBAL	Force	Y Proj	0	0,19115	1,6	1,6
466	VT-conSC(N-S)	GLOBAL	Force	Y Proj	0	0,19115	-2,38	-2,38
466	VT-conSC(S-N)	GLOBAL	Force	Y Proj	0	0,19115	2,38	2,38
466	VL-sinSC(O-E)	GLOBAL	Force	X Proj	0	0,19115	0,28	0,28
466	VL-sinSC(E-O)	GLOBAL	Force	X Proj	0	0,19115	-0,28	-0,28
466	VL-conSC(O-E)	GLOBAL	Force	X Proj	0	0,19115	0,41	0,41
466	VL-conSC(E-O)	GLOBAL	Force	X Proj	0	0,19115	-0,41	-0,41
467	CM	GLOBAL	Force	Gravity	0	0,19118	0,04	0,04
467	VT-sinSC(N-S)	GLOBAL	Force	Y Proj	0	0,19118	-1,6	-1,6
467	VT-sinSC(S-N)	GLOBAL	Force	Y Proj	0	0,19118	1,6	1,6
467	VT-conSC(N-S)	GLOBAL	Force	Y Proj	0	0,19118	-2,38	-2,38
467	VT-conSC(S-N)	GLOBAL	Force	Y Proj	0	0,19118	2,38	2,38
467	VL-sinSC(O-E)	GLOBAL	Force	X Proj	0	0,19118	0,28	0,28
467	VL-sinSC(E-O)	GLOBAL	Force	X Proj	0	0,19118	-0,28	-0,28
467	VL-conSC(O-E)	GLOBAL	Force	X Proj	0	0,19118	0,41	0,41
467	VL-conSC(E-O)	GLOBAL	Force	X Proj	0	0,19118	-0,41	-0,41
468	CM	GLOBAL	Force	Gravity	0	0,19123	0,04	0,04
468	VT-sinSC(N-S)	GLOBAL	Force	Y Proj	0	0,19123	-1,6	-1,6
468	VT-sinSC(S-N)	GLOBAL	Force	Y Proj	0	0,19123	1,6	1,6
468	VT-conSC(N-S)	GLOBAL	Force	Y Proj	0	0,19123	-2,38	-2,38
468	VT-conSC(S-N)	GLOBAL	Force	Y Proj	0	0,19123	2,38	2,38
468	VL-sinSC(O-E)	GLOBAL	Force	X Proj	0	0,19123	0,28	0,28
468	VL-sinSC(E-O)	GLOBAL	Force	X Proj	0	0,19123	-0,28	-0,28
468	VL-conSC(O-E)	GLOBAL	Force	X Proj	0	0,19123	0,41	0,41
468	VL-conSC(E-O)	GLOBAL	Force	X Proj	0	0,19123	-0,41	-0,41
469	CM	GLOBAL	Force	Gravity	0	0,19129	0,04	0,04
469	VT-sinSC(N-S)	GLOBAL	Force	Y Proj	0	0,19129	-1,6	-1,6
469	VT-sinSC(S-N)	GLOBAL	Force	Y Proj	0	0,19129	1,6	1,6
469	VT-conSC(N-S)	GLOBAL	Force	Y Proj	0	0,19129	-2,38	-2,38

469	VT-conSC(S-N)	GLOBAL	Force	Y Proj	0	0,19129	2,38	2,38
469	VL-sinSC(O-E)	GLOBAL	Force	X Proj	0	0,19129	0,28	0,28
469	VL-sinSC(E-O)	GLOBAL	Force	X Proj	0	0,19129	-0,28	-0,28
469	VL-conSC(O-E)	GLOBAL	Force	X Proj	0	0,19129	0,41	0,41
469	VL-conSC(E-O)	GLOBAL	Force	X Proj	0	0,19129	-0,41	-0,41
470	CM	GLOBAL	Force	Gravity	0	0,19137	0,04	0,04
470	VT-sinSC(N-S)	GLOBAL	Force	Y Proj	0	0,19137	-1,6	-1,6
470	VT-sinSC(S-N)	GLOBAL	Force	Y Proj	0	0,19137	1,6	1,6
470	VT-conSC(N-S)	GLOBAL	Force	Y Proj	0	0,19137	-2,38	-2,38
470	VT-conSC(S-N)	GLOBAL	Force	Y Proj	0	0,19137	2,38	2,38
470	VL-sinSC(O-E)	GLOBAL	Force	X Proj	0	0,19137	0,28	0,28
470	VL-sinSC(E-O)	GLOBAL	Force	X Proj	0	0,19137	-0,28	-0,28
470	VL-conSC(O-E)	GLOBAL	Force	X Proj	0	0,19137	0,41	0,41
470	VL-conSC(E-O)	GLOBAL	Force	X Proj	0	0,19137	-0,41	-0,41
471	CM	GLOBAL	Force	Gravity	0	0,19147	0,04	0,04
471	VT-sinSC(N-S)	GLOBAL	Force	Y Proj	0	0,19147	-1,6	-1,6
471	VT-sinSC(S-N)	GLOBAL	Force	Y Proj	0	0,19147	1,6	1,6
471	VT-conSC(N-S)	GLOBAL	Force	Y Proj	0	0,19147	-2,38	-2,38
471	VT-conSC(S-N)	GLOBAL	Force	Y Proj	0	0,19147	2,38	2,38
471	VL-sinSC(O-E)	GLOBAL	Force	X Proj	0	0,19147	0,28	0,28
471	VL-sinSC(E-O)	GLOBAL	Force	X Proj	0	0,19147	-0,28	-0,28
471	VL-conSC(O-E)	GLOBAL	Force	X Proj	0	0,19147	0,41	0,41
471	VL-conSC(E-O)	GLOBAL	Force	X Proj	0	0,19147	-0,41	-0,41
472	CM	GLOBAL	Force	Gravity	0	0,19158	0,04	0,04
472	VT-sinSC(N-S)	GLOBAL	Force	Y Proj	0	0,19158	-1,6	-1,6
472	VT-sinSC(S-N)	GLOBAL	Force	Y Proj	0	0,19158	1,6	1,6
472	VT-conSC(N-S)	GLOBAL	Force	Y Proj	0	0,19158	-2,38	-2,38
472	VT-conSC(S-N)	GLOBAL	Force	Y Proj	0	0,19158	2,38	2,38
472	VL-sinSC(O-E)	GLOBAL	Force	X Proj	0	0,19158	0,28	0,28
472	VL-sinSC(E-O)	GLOBAL	Force	X Proj	0	0,19158	-0,28	-0,28
472	VL-conSC(O-E)	GLOBAL	Force	X Proj	0	0,19158	0,41	0,41
472	VL-conSC(E-O)	GLOBAL	Force	X Proj	0	0,19158	-0,41	-0,41
473	CM	GLOBAL	Force	Gravity	0	0,09949	0,04	0,04
473	VT-sinSC(N-S)	GLOBAL	Force	Y Proj	0	0,09949	-1,6	-1,6
473	VT-sinSC(S-N)	GLOBAL	Force	Y Proj	0	0,09949	1,6	1,6
473	VT-conSC(N-S)	GLOBAL	Force	Y Proj	0	0,09949	-2,38	-2,38
473	VT-conSC(S-N)	GLOBAL	Force	Y Proj	0	0,09949	2,38	2,38
473	VL-sinSC(O-E)	GLOBAL	Force	X Proj	0	0,09949	0,28	0,28
473	VL-sinSC(E-O)	GLOBAL	Force	X Proj	0	0,09949	-0,28	-0,28



473	VL-conSC(O-E)	GLOBAL	Force	X Proj	0	0,09949	0,41	0,41
473	VL-conSC(E-O)	GLOBAL	Force	X Proj	0	0,09949	-0,41	-0,41
474	CM	GLOBAL	Force	Gravity	0	0,09948	0,04	0,04
474	VT-sinSC(N-S)	GLOBAL	Force	Y Proj	0	0,09948	-1,6	-1,6
474	VT-sinSC(S-N)	GLOBAL	Force	Y Proj	0	0,09948	1,6	1,6
474	VT-conSC(N-S)	GLOBAL	Force	Y Proj	0	0,09948	-2,38	-2,38
474	VT-conSC(S-N)	GLOBAL	Force	Y Proj	0	0,09948	2,38	2,38
474	VL-sinSC(O-E)	GLOBAL	Force	X Proj	0	0,09948	0,28	0,28
474	VL-sinSC(E-O)	GLOBAL	Force	X Proj	0	0,09948	-0,28	-0,28
474	VL-conSC(O-E)	GLOBAL	Force	X Proj	0	0,09948	0,41	0,41
474	VL-conSC(E-O)	GLOBAL	Force	X Proj	0	0,09948	-0,41	-0,41
475	CM	GLOBAL	Force	Gravity	0	0,09946	0,04	0,04
475	VT-sinSC(N-S)	GLOBAL	Force	Y Proj	0	0,09946	-1,6	-1,6
475	VT-sinSC(S-N)	GLOBAL	Force	Y Proj	0	0,09946	1,6	1,6
475	VT-conSC(N-S)	GLOBAL	Force	Y Proj	0	0,09946	-2,38	-2,38
475	VT-conSC(S-N)	GLOBAL	Force	Y Proj	0	0,09946	2,38	2,38
475	VL-sinSC(O-E)	GLOBAL	Force	X Proj	0	0,09946	0,28	0,28
475	VL-sinSC(E-O)	GLOBAL	Force	X Proj	0	0,09946	-0,28	-0,28
475	VL-conSC(O-E)	GLOBAL	Force	X Proj	0	0,09946	0,41	0,41
475	VL-conSC(E-O)	GLOBAL	Force	X Proj	0	0,09946	-0,41	-0,41
476	CM	GLOBAL	Force	Gravity	0	0,09943	0,04	0,04
476	VT-sinSC(N-S)	GLOBAL	Force	Y Proj	0	0,09943	-1,6	-1,6
476	VT-sinSC(S-N)	GLOBAL	Force	Y Proj	0	0,09943	1,6	1,6
476	VT-conSC(N-S)	GLOBAL	Force	Y Proj	0	0,09943	-2,38	-2,38
476	VT-conSC(S-N)	GLOBAL	Force	Y Proj	0	0,09943	2,38	2,38
476	VL-sinSC(O-E)	GLOBAL	Force	X Proj	0	0,09943	0,28	0,28
476	VL-sinSC(E-O)	GLOBAL	Force	X Proj	0	0,09943	-0,28	-0,28
476	VL-conSC(O-E)	GLOBAL	Force	X Proj	0	0,09943	0,41	0,41
476	VL-conSC(E-O)	GLOBAL	Force	X Proj	0	0,09943	-0,41	-0,41
477	CM	GLOBAL	Force	Gravity	0	0,0994	0,04	0,04
477	VT-sinSC(N-S)	GLOBAL	Force	Y Proj	0	0,0994	-1,6	-1,6
477	VT-sinSC(S-N)	GLOBAL	Force	Y Proj	0	0,0994	1,6	1,6
477	VT-conSC(N-S)	GLOBAL	Force	Y Proj	0	0,0994	-2,38	-2,38
477	VT-conSC(S-N)	GLOBAL	Force	Y Proj	0	0,0994	2,38	2,38
477	VL-sinSC(O-E)	GLOBAL	Force	X Proj	0	0,0994	0,28	0,28
477	VL-sinSC(E-O)	GLOBAL	Force	X Proj	0	0,0994	-0,28	-0,28
477	VL-conSC(O-E)	GLOBAL	Force	X Proj	0	0,0994	0,41	0,41
477	VL-conSC(E-O)	GLOBAL	Force	X Proj	0	0,0994	-0,41	-0,41
478	CM	GLOBAL	Force	Gravity	0	0,09937	0,04	0,04

478	VT-sinSC(N-S)	GLOBAL	Force	Y Proj	0	0,09937	-1,6	-1,6
478	VT-sinSC(S-N)	GLOBAL	Force	Y Proj	0	0,09937	1,6	1,6
478	VT-conSC(N-S)	GLOBAL	Force	Y Proj	0	0,09937	-2,38	-2,38
478	VT-conSC(S-N)	GLOBAL	Force	Y Proj	0	0,09937	2,38	2,38
478	VL-sinSC(O-E)	GLOBAL	Force	X Proj	0	0,09937	0,28	0,28
478	VL-sinSC(E-O)	GLOBAL	Force	X Proj	0	0,09937	-0,28	-0,28
478	VL-conSC(O-E)	GLOBAL	Force	X Proj	0	0,09937	0,41	0,41
478	VL-conSC(E-O)	GLOBAL	Force	X Proj	0	0,09937	-0,41	-0,41
479	CM	GLOBAL	Force	Gravity	0	0,09934	0,04	0,04
479	VT-sinSC(N-S)	GLOBAL	Force	Y Proj	0	0,09934	-1,6	-1,6
479	VT-sinSC(S-N)	GLOBAL	Force	Y Proj	0	0,09934	1,6	1,6
479	VT-conSC(N-S)	GLOBAL	Force	Y Proj	0	0,09934	-2,38	-2,38
479	VT-conSC(S-N)	GLOBAL	Force	Y Proj	0	0,09934	2,38	2,38
479	VL-sinSC(O-E)	GLOBAL	Force	X Proj	0	0,09934	0,28	0,28
479	VL-sinSC(E-O)	GLOBAL	Force	X Proj	0	0,09934	-0,28	-0,28
479	VL-conSC(O-E)	GLOBAL	Force	X Proj	0	0,09934	0,41	0,41
479	VL-conSC(E-O)	GLOBAL	Force	X Proj	0	0,09934	-0,41	-0,41
480	CM	GLOBAL	Force	Gravity	0	0,09932	0,04	0,04
480	VT-sinSC(N-S)	GLOBAL	Force	Y Proj	0	0,09932	-1,6	-1,6
480	VT-sinSC(S-N)	GLOBAL	Force	Y Proj	0	0,09932	1,6	1,6
480	VT-conSC(N-S)	GLOBAL	Force	Y Proj	0	0,09932	-2,38	-2,38
480	VT-conSC(S-N)	GLOBAL	Force	Y Proj	0	0,09932	2,38	2,38
480	VL-sinSC(O-E)	GLOBAL	Force	X Proj	0	0,09932	0,28	0,28
480	VL-sinSC(E-O)	GLOBAL	Force	X Proj	0	0,09932	-0,28	-0,28
480	VL-conSC(O-E)	GLOBAL	Force	X Proj	0	0,09932	0,41	0,41
480	VL-conSC(E-O)	GLOBAL	Force	X Proj	0	0,09932	-0,41	-0,41
481	CM	GLOBAL	Force	Gravity	0	0,09931	0,04	0,04
481	VT-sinSC(N-S)	GLOBAL	Force	Y Proj	0	0,09931	-1,6	-1,6
481	VT-sinSC(S-N)	GLOBAL	Force	Y Proj	0	0,09931	1,6	1,6
481	VT-conSC(N-S)	GLOBAL	Force	Y Proj	0	0,09931	-2,38	-2,38
481	VT-conSC(S-N)	GLOBAL	Force	Y Proj	0	0,09931	2,38	2,38
481	VL-sinSC(O-E)	GLOBAL	Force	X Proj	0	0,09931	0,28	0,28
481	VL-sinSC(E-O)	GLOBAL	Force	X Proj	0	0,09931	-0,28	-0,28
481	VL-conSC(O-E)	GLOBAL	Force	X Proj	0	0,09931	0,41	0,41
481	VL-conSC(E-O)	GLOBAL	Force	X Proj	0	0,09931	-0,41	-0,41
482	CM	GLOBAL	Force	Gravity	0	0,09932	0,04	0,04
482	VT-sinSC(N-S)	GLOBAL	Force	Y Proj	0	0,09932	-1,6	-1,6
482	VT-sinSC(S-N)	GLOBAL	Force	Y Proj	0	0,09932	1,6	1,6
482	VT-conSC(N-S)	GLOBAL	Force	Y Proj	0	0,09932	-2,38	-2,38



482	VT-conSC(S-N)	GLOBAL	Force	Y Proj	0	0,09932	2,38	2,38
482	VL-sinSC(O-E)	GLOBAL	Force	X Proj	0	0,09932	0,28	0,28
482	VL-sinSC(E-O)	GLOBAL	Force	X Proj	0	0,09932	-0,28	-0,28
482	VL-conSC(O-E)	GLOBAL	Force	X Proj	0	0,09932	0,41	0,41
482	VL-conSC(E-O)	GLOBAL	Force	X Proj	0	0,09932	-0,41	-0,41
483	CM	GLOBAL	Force	Gravity	0	0,09934	0,04	0,04
483	VT-sinSC(N-S)	GLOBAL	Force	Y Proj	0	0,09934	-1,6	-1,6
483	VT-sinSC(S-N)	GLOBAL	Force	Y Proj	0	0,09934	1,6	1,6
483	VT-conSC(N-S)	GLOBAL	Force	Y Proj	0	0,09934	-2,38	-2,38
483	VT-conSC(S-N)	GLOBAL	Force	Y Proj	0	0,09934	2,38	2,38
483	VL-sinSC(O-E)	GLOBAL	Force	X Proj	0	0,09934	0,28	0,28
483	VL-sinSC(E-O)	GLOBAL	Force	X Proj	0	0,09934	-0,28	-0,28
483	VL-conSC(O-E)	GLOBAL	Force	X Proj	0	0,09934	0,41	0,41
483	VL-conSC(E-O)	GLOBAL	Force	X Proj	0	0,09934	-0,41	-0,41
484	CM	GLOBAL	Force	Gravity	0	0,09937	0,04	0,04
484	VT-sinSC(N-S)	GLOBAL	Force	Y Proj	0	0,09937	-1,6	-1,6
484	VT-sinSC(S-N)	GLOBAL	Force	Y Proj	0	0,09937	1,6	1,6
484	VT-conSC(N-S)	GLOBAL	Force	Y Proj	0	0,09937	-2,38	-2,38
484	VT-conSC(S-N)	GLOBAL	Force	Y Proj	0	0,09937	2,38	2,38
484	VL-sinSC(O-E)	GLOBAL	Force	X Proj	0	0,09937	0,28	0,28
484	VL-sinSC(E-O)	GLOBAL	Force	X Proj	0	0,09937	-0,28	-0,28
484	VL-conSC(O-E)	GLOBAL	Force	X Proj	0	0,09937	0,41	0,41
484	VL-conSC(E-O)	GLOBAL	Force	X Proj	0	0,09937	-0,41	-0,41
485	CM	GLOBAL	Force	Gravity	0	0,0994	0,04	0,04
485	VT-sinSC(N-S)	GLOBAL	Force	Y Proj	0	0,0994	-1,6	-1,6
485	VT-sinSC(S-N)	GLOBAL	Force	Y Proj	0	0,0994	1,6	1,6
485	VT-conSC(N-S)	GLOBAL	Force	Y Proj	0	0,0994	-2,38	-2,38
485	VT-conSC(S-N)	GLOBAL	Force	Y Proj	0	0,0994	2,38	2,38
485	VL-sinSC(O-E)	GLOBAL	Force	X Proj	0	0,0994	0,28	0,28
485	VL-sinSC(E-O)	GLOBAL	Force	X Proj	0	0,0994	-0,28	-0,28
485	VL-conSC(O-E)	GLOBAL	Force	X Proj	0	0,0994	0,41	0,41
485	VL-conSC(E-O)	GLOBAL	Force	X Proj	0	0,0994	-0,41	-0,41
486	CM	GLOBAL	Force	Gravity	0	0,09943	0,04	0,04
486	VT-sinSC(N-S)	GLOBAL	Force	Y Proj	0	0,09943	-1,6	-1,6
486	VT-sinSC(S-N)	GLOBAL	Force	Y Proj	0	0,09943	1,6	1,6
486	VT-conSC(N-S)	GLOBAL	Force	Y Proj	0	0,09943	-2,38	-2,38
486	VT-conSC(S-N)	GLOBAL	Force	Y Proj	0	0,09943	2,38	2,38
486	VL-sinSC(O-E)	GLOBAL	Force	X Proj	0	0,09943	0,28	0,28
486	VL-sinSC(E-O)	GLOBAL	Force	X Proj	0	0,09943	-0,28	-0,28

486	VL-conSC(O-E)	GLOBAL	Force	X Proj	0	0,09943	0,41	0,41
486	VL-conSC(E-O)	GLOBAL	Force	X Proj	0	0,09943	-0,41	-0,41
487	CM	GLOBAL	Force	Gravity	0	0,09946	0,04	0,04
487	VT-sinSC(N-S)	GLOBAL	Force	Y Proj	0	0,09946	-1,6	-1,6
487	VT-sinSC(S-N)	GLOBAL	Force	Y Proj	0	0,09946	1,6	1,6
487	VT-conSC(N-S)	GLOBAL	Force	Y Proj	0	0,09946	-2,38	-2,38
487	VT-conSC(S-N)	GLOBAL	Force	Y Proj	0	0,09946	2,38	2,38
487	VL-sinSC(O-E)	GLOBAL	Force	X Proj	0	0,09946	0,28	0,28
487	VL-sinSC(E-O)	GLOBAL	Force	X Proj	0	0,09946	-0,28	-0,28
487	VL-conSC(O-E)	GLOBAL	Force	X Proj	0	0,09946	0,41	0,41
487	VL-conSC(E-O)	GLOBAL	Force	X Proj	0	0,09946	-0,41	-0,41
488	CM	GLOBAL	Force	Gravity	0	0,09948	0,04	0,04
488	VT-sinSC(N-S)	GLOBAL	Force	Y Proj	0	0,09948	-1,6	-1,6
488	VT-sinSC(S-N)	GLOBAL	Force	Y Proj	0	0,09948	1,6	1,6
488	VT-conSC(N-S)	GLOBAL	Force	Y Proj	0	0,09948	-2,38	-2,38
488	VT-conSC(S-N)	GLOBAL	Force	Y Proj	0	0,09948	2,38	2,38
488	VL-sinSC(O-E)	GLOBAL	Force	X Proj	0	0,09948	0,28	0,28
488	VL-sinSC(E-O)	GLOBAL	Force	X Proj	0	0,09948	-0,28	-0,28
488	VL-conSC(O-E)	GLOBAL	Force	X Proj	0	0,09948	0,41	0,41
488	VL-conSC(E-O)	GLOBAL	Force	X Proj	0	0,09948	-0,41	-0,41
489	CM	GLOBAL	Force	Gravity	0	0,09949	0,04	0,04
489	VT-sinSC(N-S)	GLOBAL	Force	Y Proj	0	0,09949	-1,6	-1,6
489	VT-sinSC(S-N)	GLOBAL	Force	Y Proj	0	0,09949	1,6	1,6
489	VT-conSC(N-S)	GLOBAL	Force	Y Proj	0	0,09949	-2,38	-2,38
489	VT-conSC(S-N)	GLOBAL	Force	Y Proj	0	0,09949	2,38	2,38
489	VL-sinSC(O-E)	GLOBAL	Force	X Proj	0	0,09949	0,28	0,28
489	VL-sinSC(E-O)	GLOBAL	Force	X Proj	0	0,09949	-0,28	-0,28
489	VL-conSC(O-E)	GLOBAL	Force	X Proj	0	0,09949	0,41	0,41
489	VL-conSC(E-O)	GLOBAL	Force	X Proj	0	0,09949	-0,41	-0,41
490	CM	GLOBAL	Force	Gravity	0	0,19152	0,04	0,04
490	VT-sinSC(N-S)	GLOBAL	Force	Y Proj	0	0,19152	-1,6	-1,6
490	VT-sinSC(S-N)	GLOBAL	Force	Y Proj	0	0,19152	1,6	1,6
490	VT-conSC(N-S)	GLOBAL	Force	Y Proj	0	0,19152	-2,38	-2,38
490	VT-conSC(S-N)	GLOBAL	Force	Y Proj	0	0,19152	2,38	2,38
490	VL-sinSC(O-E)	GLOBAL	Force	X Proj	0	0,19152	0,28	0,28
490	VL-sinSC(E-O)	GLOBAL	Force	X Proj	0	0,19152	-0,28	-0,28
490	VL-conSC(O-E)	GLOBAL	Force	X Proj	0	0,19152	0,41	0,41
490	VL-conSC(E-O)	GLOBAL	Force	X Proj	0	0,19152	-0,41	-0,41
491	CM	GLOBAL	Force	Gravity	0	0,19144	0,04	0,04



491	VT-sinSC(N-S)	GLOBAL	Force	Y Proj	0	0,19144	-1,6	-1,6
491	VT-sinSC(S-N)	GLOBAL	Force	Y Proj	0	0,19144	1,6	1,6
491	VT-conSC(N-S)	GLOBAL	Force	Y Proj	0	0,19144	-2,38	-2,38
491	VT-conSC(S-N)	GLOBAL	Force	Y Proj	0	0,19144	2,38	2,38
491	VL-sinSC(O-E)	GLOBAL	Force	X Proj	0	0,19144	0,28	0,28
491	VL-sinSC(E-O)	GLOBAL	Force	X Proj	0	0,19144	-0,28	-0,28
491	VL-conSC(O-E)	GLOBAL	Force	X Proj	0	0,19144	0,41	0,41
491	VL-conSC(E-O)	GLOBAL	Force	X Proj	0	0,19144	-0,41	-0,41
492	CM	GLOBAL	Force	Gravity	0	0,19138	0,04	0,04
492	VT-sinSC(N-S)	GLOBAL	Force	Y Proj	0	0,19138	-1,6	-1,6
492	VT-sinSC(S-N)	GLOBAL	Force	Y Proj	0	0,19138	1,6	1,6
492	VT-conSC(N-S)	GLOBAL	Force	Y Proj	0	0,19138	-2,38	-2,38
492	VT-conSC(S-N)	GLOBAL	Force	Y Proj	0	0,19138	2,38	2,38
492	VL-sinSC(O-E)	GLOBAL	Force	X Proj	0	0,19138	0,28	0,28
492	VL-sinSC(E-O)	GLOBAL	Force	X Proj	0	0,19138	-0,28	-0,28
492	VL-conSC(O-E)	GLOBAL	Force	X Proj	0	0,19138	0,41	0,41
492	VL-conSC(E-O)	GLOBAL	Force	X Proj	0	0,19138	-0,41	-0,41
493	CM	GLOBAL	Force	Gravity	0	0,19134	0,04	0,04
493	VT-sinSC(N-S)	GLOBAL	Force	Y Proj	0	0,19134	-1,6	-1,6
493	VT-sinSC(S-N)	GLOBAL	Force	Y Proj	0	0,19134	1,6	1,6
493	VT-conSC(N-S)	GLOBAL	Force	Y Proj	0	0,19134	-2,38	-2,38
493	VT-conSC(S-N)	GLOBAL	Force	Y Proj	0	0,19134	2,38	2,38
493	VL-sinSC(O-E)	GLOBAL	Force	X Proj	0	0,19134	0,28	0,28
493	VL-sinSC(E-O)	GLOBAL	Force	X Proj	0	0,19134	-0,28	-0,28
493	VL-conSC(O-E)	GLOBAL	Force	X Proj	0	0,19134	0,41	0,41
493	VL-conSC(E-O)	GLOBAL	Force	X Proj	0	0,19134	-0,41	-0,41
494	CM	GLOBAL	Force	Gravity	0	0,19132	0,04	0,04
494	VT-sinSC(N-S)	GLOBAL	Force	Y Proj	0	0,19132	-1,6	-1,6
494	VT-sinSC(S-N)	GLOBAL	Force	Y Proj	0	0,19132	1,6	1,6
494	VT-conSC(N-S)	GLOBAL	Force	Y Proj	0	0,19132	-2,38	-2,38
494	VT-conSC(S-N)	GLOBAL	Force	Y Proj	0	0,19132	2,38	2,38
494	VL-sinSC(O-E)	GLOBAL	Force	X Proj	0	0,19132	0,28	0,28
494	VL-sinSC(E-O)	GLOBAL	Force	X Proj	0	0,19132	-0,28	-0,28
494	VL-conSC(O-E)	GLOBAL	Force	X Proj	0	0,19132	0,41	0,41
494	VL-conSC(E-O)	GLOBAL	Force	X Proj	0	0,19132	-0,41	-0,41
495	CM	GLOBAL	Force	Gravity	0	0,19131	0,04	0,04
495	VT-sinSC(N-S)	GLOBAL	Force	Y Proj	0	0,19131	-1,6	-1,6
495	VT-sinSC(S-N)	GLOBAL	Force	Y Proj	0	0,19131	1,6	1,6
495	VT-conSC(N-S)	GLOBAL	Force	Y Proj	0	0,19131	-2,38	-2,38

495	VT-conSC(S-N)	GLOBAL	Force	Y Proj	0	0,19131	2,38	2,38
495	VL-sinSC(O-E)	GLOBAL	Force	X Proj	0	0,19131	0,28	0,28
495	VL-sinSC(E-O)	GLOBAL	Force	X Proj	0	0,19131	-0,28	-0,28
495	VL-conSC(O-E)	GLOBAL	Force	X Proj	0	0,19131	0,41	0,41
495	VL-conSC(E-O)	GLOBAL	Force	X Proj	0	0,19131	-0,41	-0,41
496	CM	GLOBAL	Force	Gravity	0	0,19131	0,04	0,04
496	VT-sinSC(N-S)	GLOBAL	Force	Y Proj	0	0,19131	-1,6	-1,6
496	VT-sinSC(S-N)	GLOBAL	Force	Y Proj	0	0,19131	1,6	1,6
496	VT-conSC(N-S)	GLOBAL	Force	Y Proj	0	0,19131	-2,38	-2,38
496	VT-conSC(S-N)	GLOBAL	Force	Y Proj	0	0,19131	2,38	2,38
496	VL-sinSC(O-E)	GLOBAL	Force	X Proj	0	0,19131	0,28	0,28
496	VL-sinSC(E-O)	GLOBAL	Force	X Proj	0	0,19131	-0,28	-0,28
496	VL-conSC(O-E)	GLOBAL	Force	X Proj	0	0,19131	0,41	0,41
496	VL-conSC(E-O)	GLOBAL	Force	X Proj	0	0,19131	-0,41	-0,41
497	CM	GLOBAL	Force	Gravity	0	0,19134	0,04	0,04
497	VT-sinSC(N-S)	GLOBAL	Force	Y Proj	0	0,19134	-1,6	-1,6
497	VT-sinSC(S-N)	GLOBAL	Force	Y Proj	0	0,19134	1,6	1,6
497	VT-conSC(N-S)	GLOBAL	Force	Y Proj	0	0,19134	-2,38	-2,38
497	VT-conSC(S-N)	GLOBAL	Force	Y Proj	0	0,19134	2,38	2,38
497	VL-sinSC(O-E)	GLOBAL	Force	X Proj	0	0,19134	0,28	0,28
497	VL-sinSC(E-O)	GLOBAL	Force	X Proj	0	0,19134	-0,28	-0,28
497	VL-conSC(O-E)	GLOBAL	Force	X Proj	0	0,19134	0,41	0,41
497	VL-conSC(E-O)	GLOBAL	Force	X Proj	0	0,19134	-0,41	-0,41
498	CM	GLOBAL	Force	Gravity	0	0,19137	0,04	0,04
498	VT-sinSC(N-S)	GLOBAL	Force	Y Proj	0	0,19137	-1,6	-1,6
498	VT-sinSC(S-N)	GLOBAL	Force	Y Proj	0	0,19137	1,6	1,6
498	VT-conSC(N-S)	GLOBAL	Force	Y Proj	0	0,19137	-2,38	-2,38
498	VT-conSC(S-N)	GLOBAL	Force	Y Proj	0	0,19137	2,38	2,38
498	VL-sinSC(O-E)	GLOBAL	Force	X Proj	0	0,19137	0,28	0,28
498	VL-sinSC(E-O)	GLOBAL	Force	X Proj	0	0,19137	-0,28	-0,28
498	VL-conSC(O-E)	GLOBAL	Force	X Proj	0	0,19137	0,41	0,41
498	VL-conSC(E-O)	GLOBAL	Force	X Proj	0	0,19137	-0,41	-0,41
499	CM	GLOBAL	Force	Gravity	0	0,19143	0,04	0,04
499	VT-sinSC(N-S)	GLOBAL	Force	Y Proj	0	0,19143	-1,6	-1,6
499	VT-sinSC(S-N)	GLOBAL	Force	Y Proj	0	0,19143	1,6	1,6
499	VT-conSC(N-S)	GLOBAL	Force	Y Proj	0	0,19143	-2,38	-2,38
499	VT-conSC(S-N)	GLOBAL	Force	Y Proj	0	0,19143	2,38	2,38
499	VL-sinSC(O-E)	GLOBAL	Force	X Proj	0	0,19143	0,28	0,28
499	VL-sinSC(E-O)	GLOBAL	Force	X Proj	0	0,19143	-0,28	-0,28



499	VL-conSC(O-E)	GLOBAL	Force	X Proj	0	0,19143	0,41	0,41
499	VL-conSC(E-O)	GLOBAL	Force	X Proj	0	0,19143	-0,41	-0,41
500	CM	GLOBAL	Force	Gravity	0	0,1915	0,04	0,04
500	VT-sinSC(N-S)	GLOBAL	Force	Y Proj	0	0,1915	-1,6	-1,6
500	VT-sinSC(S-N)	GLOBAL	Force	Y Proj	0	0,1915	1,6	1,6
500	VT-conSC(N-S)	GLOBAL	Force	Y Proj	0	0,1915	-2,38	-2,38
500	VT-conSC(S-N)	GLOBAL	Force	Y Proj	0	0,1915	2,38	2,38
500	VL-sinSC(O-E)	GLOBAL	Force	X Proj	0	0,1915	0,28	0,28
500	VL-sinSC(E-O)	GLOBAL	Force	X Proj	0	0,1915	-0,28	-0,28
500	VL-conSC(O-E)	GLOBAL	Force	X Proj	0	0,1915	0,41	0,41
500	VL-conSC(E-O)	GLOBAL	Force	X Proj	0	0,1915	-0,41	-0,41
501	VT-sinSC(S-N)	GLOBAL	Force	Y Proj	0	0,53888	1,6	1,6
501	VT-sinSC(N-S)	GLOBAL	Force	Y Proj	0	0,53888	-1,6	-1,6
501	VT-conSC(N-S)	GLOBAL	Force	Y Proj	0	0,53888	-2,38	-2,38
501	VT-conSC(S-N)	GLOBAL	Force	Y Proj	0	0,53888	2,38	2,38
501	VL-sinSC(E-O)	GLOBAL	Force	X Proj	0	0,53888	-0,28	-0,28
501	VL-sinSC(O-E)	GLOBAL	Force	X Proj	0	0,53888	0,28	0,28
501	VL-conSC(O-E)	GLOBAL	Force	X Proj	0	0,53888	0,41	0,41
501	VL-conSC(E-O)	GLOBAL	Force	X Proj	0	0,53888	-0,41	-0,41
502	CM	GLOBAL	Force	Gravity	0	0,19149	0,04	0,04
502	VT-sinSC(N-S)	GLOBAL	Force	Y Proj	0	0,19149	-1,6	-1,6
502	VT-sinSC(S-N)	GLOBAL	Force	Y Proj	0	0,19149	1,6	1,6
502	VT-conSC(N-S)	GLOBAL	Force	Y Proj	0	0,19149	-2,38	-2,38
502	VT-conSC(S-N)	GLOBAL	Force	Y Proj	0	0,19149	2,38	2,38
502	VL-sinSC(O-E)	GLOBAL	Force	X Proj	0	0,19149	0,28	0,28
502	VL-sinSC(E-O)	GLOBAL	Force	X Proj	0	0,19149	-0,28	-0,28
502	VL-conSC(O-E)	GLOBAL	Force	X Proj	0	0,19149	0,41	0,41
502	VL-conSC(E-O)	GLOBAL	Force	X Proj	0	0,19149	-0,41	-0,41
503	CM	GLOBAL	Force	Gravity	0	0,19142	0,04	0,04
503	VT-sinSC(N-S)	GLOBAL	Force	Y Proj	0	0,19142	-1,6	-1,6
503	VT-sinSC(S-N)	GLOBAL	Force	Y Proj	0	0,19142	1,6	1,6
503	VT-conSC(N-S)	GLOBAL	Force	Y Proj	0	0,19142	-2,38	-2,38
503	VT-conSC(S-N)	GLOBAL	Force	Y Proj	0	0,19142	2,38	2,38
503	VL-sinSC(O-E)	GLOBAL	Force	X Proj	0	0,19142	0,28	0,28
503	VL-sinSC(E-O)	GLOBAL	Force	X Proj	0	0,19142	-0,28	-0,28
503	VL-conSC(O-E)	GLOBAL	Force	X Proj	0	0,19142	0,41	0,41
503	VL-conSC(E-O)	GLOBAL	Force	X Proj	0	0,19142	-0,41	-0,41
504	CM	GLOBAL	Force	Gravity	0	0,19136	0,04	0,04
504	VT-sinSC(N-S)	GLOBAL	Force	Y Proj	0	0,19136	-1,6	-1,6

504	VT-sinSC(S-N)	GLOBAL	Force	Y Proj	0	0,19136	1,6	1,6
504	VT-conSC(N-S)	GLOBAL	Force	Y Proj	0	0,19136	-2,38	-2,38
504	VT-conSC(S-N)	GLOBAL	Force	Y Proj	0	0,19136	2,38	2,38
504	VL-sinSC(O-E)	GLOBAL	Force	X Proj	0	0,19136	0,28	0,28
504	VL-sinSC(E-O)	GLOBAL	Force	X Proj	0	0,19136	-0,28	-0,28
504	VL-conSC(O-E)	GLOBAL	Force	X Proj	0	0,19136	0,41	0,41
504	VL-conSC(E-O)	GLOBAL	Force	X Proj	0	0,19136	-0,41	-0,41
505	CM	GLOBAL	Force	Gravity	0	0,19131	0,04	0,04
505	VT-sinSC(N-S)	GLOBAL	Force	Y Proj	0	0,19131	-1,6	-1,6
505	VT-sinSC(S-N)	GLOBAL	Force	Y Proj	0	0,19131	1,6	1,6
505	VT-conSC(N-S)	GLOBAL	Force	Y Proj	0	0,19131	-2,38	-2,38
505	VT-conSC(S-N)	GLOBAL	Force	Y Proj	0	0,19131	2,38	2,38
505	VL-sinSC(O-E)	GLOBAL	Force	X Proj	0	0,19131	0,28	0,28
505	VL-sinSC(E-O)	GLOBAL	Force	X Proj	0	0,19131	-0,28	-0,28
505	VL-conSC(O-E)	GLOBAL	Force	X Proj	0	0,19131	0,41	0,41
505	VL-conSC(E-O)	GLOBAL	Force	X Proj	0	0,19131	-0,41	-0,41
506	CM	GLOBAL	Force	Gravity	0	0,19128	0,04	0,04
506	VT-sinSC(N-S)	GLOBAL	Force	Y Proj	0	0,19128	-1,6	-1,6
506	VT-sinSC(S-N)	GLOBAL	Force	Y Proj	0	0,19128	1,6	1,6
506	VT-conSC(N-S)	GLOBAL	Force	Y Proj	0	0,19128	-2,38	-2,38
506	VT-conSC(S-N)	GLOBAL	Force	Y Proj	0	0,19128	2,38	2,38
506	VL-sinSC(O-E)	GLOBAL	Force	X Proj	0	0,19128	0,28	0,28
506	VL-sinSC(E-O)	GLOBAL	Force	X Proj	0	0,19128	-0,28	-0,28
506	VL-conSC(O-E)	GLOBAL	Force	X Proj	0	0,19128	0,41	0,41
506	VL-conSC(E-O)	GLOBAL	Force	X Proj	0	0,19128	-0,41	-0,41
507	CM	GLOBAL	Force	Gravity	0	0,19127	0,04	0,04
507	VT-sinSC(N-S)	GLOBAL	Force	Y Proj	0	0,19127	-1,6	-1,6
507	VT-sinSC(S-N)	GLOBAL	Force	Y Proj	0	0,19127	1,6	1,6
507	VT-conSC(N-S)	GLOBAL	Force	Y Proj	0	0,19127	-2,38	-2,38
507	VT-conSC(S-N)	GLOBAL	Force	Y Proj	0	0,19127	2,38	2,38
507	VL-sinSC(O-E)	GLOBAL	Force	X Proj	0	0,19127	0,28	0,28
507	VL-sinSC(E-O)	GLOBAL	Force	X Proj	0	0,19127	-0,28	-0,28
507	VL-conSC(O-E)	GLOBAL	Force	X Proj	0	0,19127	0,41	0,41
507	VL-conSC(E-O)	GLOBAL	Force	X Proj	0	0,19127	-0,41	-0,41
508	CM	GLOBAL	Force	Gravity	0	0,19127	0,04	0,04
508	VT-sinSC(N-S)	GLOBAL	Force	Y Proj	0	0,19127	-1,6	-1,6
508	VT-sinSC(S-N)	GLOBAL	Force	Y Proj	0	0,19127	1,6	1,6
508	VT-conSC(N-S)	GLOBAL	Force	Y Proj	0	0,19127	-2,38	-2,38
508	VT-conSC(S-N)	GLOBAL	Force	Y Proj	0	0,19127	2,38	2,38



508	VL-sinSC(O-E)	GLOBAL	Force	X Proj	0	0,19127	0,28	0,28
508	VL-sinSC(E-O)	GLOBAL	Force	X Proj	0	0,19127	-0,28	-0,28
508	VL-conSC(O-E)	GLOBAL	Force	X Proj	0	0,19127	0,41	0,41
508	VL-conSC(E-O)	GLOBAL	Force	X Proj	0	0,19127	-0,41	-0,41
509	CM	GLOBAL	Force	Gravity	0	0,19129	0,04	0,04
509	VT-sinSC(N-S)	GLOBAL	Force	Y Proj	0	0,19129	-1,6	-1,6
509	VT-sinSC(S-N)	GLOBAL	Force	Y Proj	0	0,19129	1,6	1,6
509	VT-conSC(N-S)	GLOBAL	Force	Y Proj	0	0,19129	-2,38	-2,38
509	VT-conSC(S-N)	GLOBAL	Force	Y Proj	0	0,19129	2,38	2,38
509	VL-sinSC(O-E)	GLOBAL	Force	X Proj	0	0,19129	0,28	0,28
509	VL-sinSC(E-O)	GLOBAL	Force	X Proj	0	0,19129	-0,28	-0,28
509	VL-conSC(O-E)	GLOBAL	Force	X Proj	0	0,19129	0,41	0,41
509	VL-conSC(E-O)	GLOBAL	Force	X Proj	0	0,19129	-0,41	-0,41
510	CM	GLOBAL	Force	Gravity	0	0,19133	0,04	0,04
510	VT-sinSC(N-S)	GLOBAL	Force	Y Proj	0	0,19133	-1,6	-1,6
510	VT-sinSC(S-N)	GLOBAL	Force	Y Proj	0	0,19133	1,6	1,6
510	VT-conSC(N-S)	GLOBAL	Force	Y Proj	0	0,19133	-2,38	-2,38
510	VT-conSC(S-N)	GLOBAL	Force	Y Proj	0	0,19133	2,38	2,38
510	VL-sinSC(O-E)	GLOBAL	Force	X Proj	0	0,19133	0,28	0,28
510	VL-sinSC(E-O)	GLOBAL	Force	X Proj	0	0,19133	-0,28	-0,28
510	VL-conSC(O-E)	GLOBAL	Force	X Proj	0	0,19133	0,41	0,41
510	VL-conSC(E-O)	GLOBAL	Force	X Proj	0	0,19133	-0,41	-0,41
511	CM	GLOBAL	Force	Gravity	0	0,19138	0,04	0,04
511	VT-sinSC(N-S)	GLOBAL	Force	Y Proj	0	0,19138	-1,6	-1,6
511	VT-sinSC(S-N)	GLOBAL	Force	Y Proj	0	0,19138	1,6	1,6
511	VT-conSC(N-S)	GLOBAL	Force	Y Proj	0	0,19138	-2,38	-2,38
511	VT-conSC(S-N)	GLOBAL	Force	Y Proj	0	0,19138	2,38	2,38
511	VL-sinSC(O-E)	GLOBAL	Force	X Proj	0	0,19138	0,28	0,28
511	VL-sinSC(E-O)	GLOBAL	Force	X Proj	0	0,19138	-0,28	-0,28
511	VL-conSC(O-E)	GLOBAL	Force	X Proj	0	0,19138	0,41	0,41
511	VL-conSC(E-O)	GLOBAL	Force	X Proj	0	0,19138	-0,41	-0,41
512	CM	GLOBAL	Force	Gravity	0	0,19144	0,04	0,04
512	VT-sinSC(N-S)	GLOBAL	Force	Y Proj	0	0,19144	-1,6	-1,6
512	VT-sinSC(S-N)	GLOBAL	Force	Y Proj	0	0,19144	1,6	1,6
512	VT-conSC(N-S)	GLOBAL	Force	Y Proj	0	0,19144	-2,38	-2,38
512	VT-conSC(S-N)	GLOBAL	Force	Y Proj	0	0,19144	2,38	2,38
512	VL-sinSC(O-E)	GLOBAL	Force	X Proj	0	0,19144	0,28	0,28
512	VL-sinSC(E-O)	GLOBAL	Force	X Proj	0	0,19144	-0,28	-0,28
512	VL-conSC(O-E)	GLOBAL	Force	X Proj	0	0,19144	0,41	0,41

512	VL-conSC(E-O)	GLOBAL	Force	X Proj	0	0,19144	-0,41	-0,41
513	VT-sinSC(S-N)	GLOBAL	Force	Y Proj	0	0,53888	1,6	1,6
513	VT-sinSC(N-S)	GLOBAL	Force	Y Proj	0	0,53888	-1,6	-1,6
513	VT-conSC(N-S)	GLOBAL	Force	Y Proj	0	0,53888	-2,38	-2,38
513	VT-conSC(S-N)	GLOBAL	Force	Y Proj	0	0,53888	2,38	2,38
513	VL-sinSC(E-O)	GLOBAL	Force	X Proj	0	0,53888	-0,28	-0,28
513	VL-sinSC(O-E)	GLOBAL	Force	X Proj	0	0,53888	0,28	0,28
513	VL-conSC(O-E)	GLOBAL	Force	X Proj	0	0,53888	0,41	0,41
513	VL-conSC(E-O)	GLOBAL	Force	X Proj	0	0,53888	-0,41	-0,41
514	CM	GLOBAL	Force	Gravity	0	0,19157	0,04	0,04
514	VT-sinSC(N-S)	GLOBAL	Force	Y Proj	0	0,19157	-1,6	-1,6
514	VT-sinSC(S-N)	GLOBAL	Force	Y Proj	0	0,19157	1,6	1,6
514	VT-conSC(N-S)	GLOBAL	Force	Y Proj	0	0,19157	-2,38	-2,38
514	VT-conSC(S-N)	GLOBAL	Force	Y Proj	0	0,19157	2,38	2,38
514	VL-sinSC(O-E)	GLOBAL	Force	X Proj	0	0,19157	0,28	0,28
514	VL-sinSC(E-O)	GLOBAL	Force	X Proj	0	0,19157	-0,28	-0,28
514	VL-conSC(O-E)	GLOBAL	Force	X Proj	0	0,19157	0,41	0,41
514	VL-conSC(E-O)	GLOBAL	Force	X Proj	0	0,19157	-0,41	-0,41
515	CM	GLOBAL	Force	Gravity	0	0,19152	0,04	0,04
515	VT-sinSC(N-S)	GLOBAL	Force	Y Proj	0	0,19152	-1,6	-1,6
515	VT-sinSC(S-N)	GLOBAL	Force	Y Proj	0	0,19152	1,6	1,6
515	VT-conSC(N-S)	GLOBAL	Force	Y Proj	0	0,19152	-2,38	-2,38
515	VT-conSC(S-N)	GLOBAL	Force	Y Proj	0	0,19152	2,38	2,38
515	VL-sinSC(O-E)	GLOBAL	Force	X Proj	0	0,19152	0,28	0,28
515	VL-sinSC(E-O)	GLOBAL	Force	X Proj	0	0,19152	-0,28	-0,28
515	VL-conSC(O-E)	GLOBAL	Force	X Proj	0	0,19152	0,41	0,41
515	VL-conSC(E-O)	GLOBAL	Force	X Proj	0	0,19152	-0,41	-0,41
516	CM	GLOBAL	Force	Gravity	0	0,19148	0,04	0,04
516	VT-sinSC(N-S)	GLOBAL	Force	Y Proj	0	0,19148	-1,6	-1,6
516	VT-sinSC(S-N)	GLOBAL	Force	Y Proj	0	0,19148	1,6	1,6
516	VT-conSC(N-S)	GLOBAL	Force	Y Proj	0	0,19148	-2,38	-2,38
516	VT-conSC(S-N)	GLOBAL	Force	Y Proj	0	0,19148	2,38	2,38
516	VL-sinSC(O-E)	GLOBAL	Force	X Proj	0	0,19148	0,28	0,28
516	VL-sinSC(E-O)	GLOBAL	Force	X Proj	0	0,19148	-0,28	-0,28
516	VL-conSC(O-E)	GLOBAL	Force	X Proj	0	0,19148	0,41	0,41
516	VL-conSC(E-O)	GLOBAL	Force	X Proj	0	0,19148	-0,41	-0,41
517	CM	GLOBAL	Force	Gravity	0	0,19145	0,04	0,04
517	VT-sinSC(N-S)	GLOBAL	Force	Y Proj	0	0,19145	-1,6	-1,6
517	VT-sinSC(S-N)	GLOBAL	Force	Y Proj	0	0,19145	1,6	1,6



517	VT-conSC(N-S)	GLOBAL	Force	Y Proj	0	0,19145	-2,38	-2,38
517	VT-conSC(S-N)	GLOBAL	Force	Y Proj	0	0,19145	2,38	2,38
517	VL-sinSC(O-E)	GLOBAL	Force	X Proj	0	0,19145	0,28	0,28
517	VL-sinSC(E-O)	GLOBAL	Force	X Proj	0	0,19145	-0,28	-0,28
517	VL-conSC(O-E)	GLOBAL	Force	X Proj	0	0,19145	0,41	0,41
517	VL-conSC(E-O)	GLOBAL	Force	X Proj	0	0,19145	-0,41	-0,41
518	CM	GLOBAL	Force	Gravity	0	0,19144	0,04	0,04
518	VT-sinSC(N-S)	GLOBAL	Force	Y Proj	0	0,19144	-1,6	-1,6
518	VT-sinSC(S-N)	GLOBAL	Force	Y Proj	0	0,19144	1,6	1,6
518	VT-conSC(N-S)	GLOBAL	Force	Y Proj	0	0,19144	-2,38	-2,38
518	VT-conSC(S-N)	GLOBAL	Force	Y Proj	0	0,19144	2,38	2,38
518	VL-sinSC(O-E)	GLOBAL	Force	X Proj	0	0,19144	0,28	0,28
518	VL-sinSC(E-O)	GLOBAL	Force	X Proj	0	0,19144	-0,28	-0,28
518	VL-conSC(O-E)	GLOBAL	Force	X Proj	0	0,19144	0,41	0,41
518	VL-conSC(E-O)	GLOBAL	Force	X Proj	0	0,19144	-0,41	-0,41
519	CM	GLOBAL	Force	Gravity	0	0,19145	0,04	0,04
519	VT-sinSC(N-S)	GLOBAL	Force	Y Proj	0	0,19145	-1,6	-1,6
519	VT-sinSC(S-N)	GLOBAL	Force	Y Proj	0	0,19145	1,6	1,6
519	VT-conSC(N-S)	GLOBAL	Force	Y Proj	0	0,19145	-2,38	-2,38
519	VT-conSC(S-N)	GLOBAL	Force	Y Proj	0	0,19145	2,38	2,38
519	VL-sinSC(O-E)	GLOBAL	Force	X Proj	0	0,19145	0,28	0,28
519	VL-sinSC(E-O)	GLOBAL	Force	X Proj	0	0,19145	-0,28	-0,28
519	VL-conSC(O-E)	GLOBAL	Force	X Proj	0	0,19145	0,41	0,41
519	VL-conSC(E-O)	GLOBAL	Force	X Proj	0	0,19145	-0,41	-0,41
520	CM	GLOBAL	Force	Gravity	0	0,19147	0,04	0,04
520	VT-sinSC(N-S)	GLOBAL	Force	Y Proj	0	0,19147	-1,6	-1,6
520	VT-sinSC(S-N)	GLOBAL	Force	Y Proj	0	0,19147	1,6	1,6
520	VT-conSC(N-S)	GLOBAL	Force	Y Proj	0	0,19147	-2,38	-2,38
520	VT-conSC(S-N)	GLOBAL	Force	Y Proj	0	0,19147	2,38	2,38
520	VL-sinSC(O-E)	GLOBAL	Force	X Proj	0	0,19147	0,28	0,28
520	VL-sinSC(E-O)	GLOBAL	Force	X Proj	0	0,19147	-0,28	-0,28
520	VL-conSC(O-E)	GLOBAL	Force	X Proj	0	0,19147	0,41	0,41
520	VL-conSC(E-O)	GLOBAL	Force	X Proj	0	0,19147	-0,41	-0,41
521	CM	GLOBAL	Force	Gravity	0	0,19151	0,04	0,04
521	VT-sinSC(N-S)	GLOBAL	Force	Y Proj	0	0,19151	-1,6	-1,6
521	VT-sinSC(S-N)	GLOBAL	Force	Y Proj	0	0,19151	1,6	1,6
521	VT-conSC(N-S)	GLOBAL	Force	Y Proj	0	0,19151	-2,38	-2,38
521	VT-conSC(S-N)	GLOBAL	Force	Y Proj	0	0,19151	2,38	2,38
521	VL-sinSC(O-E)	GLOBAL	Force	X Proj	0	0,19151	0,28	0,28

521	VL-sinSC(E-O)	GLOBAL	Force	X Proj	0	0,19151	-0,28	-0,28
521	VL-conSC(O-E)	GLOBAL	Force	X Proj	0	0,19151	0,41	0,41
521	VL-conSC(E-O)	GLOBAL	Force	X Proj	0	0,19151	-0,41	-0,41
522	CM	GLOBAL	Force	Gravity	0	0,19156	0,04	0,04
522	VT-sinSC(N-S)	GLOBAL	Force	Y Proj	0	0,19156	-1,6	-1,6
522	VT-sinSC(S-N)	GLOBAL	Force	Y Proj	0	0,19156	1,6	1,6
522	VT-conSC(N-S)	GLOBAL	Force	Y Proj	0	0,19156	-2,38	-2,38
522	VT-conSC(S-N)	GLOBAL	Force	Y Proj	0	0,19156	2,38	2,38
522	VL-sinSC(O-E)	GLOBAL	Force	X Proj	0	0,19156	0,28	0,28
522	VL-sinSC(E-O)	GLOBAL	Force	X Proj	0	0,19156	-0,28	-0,28
522	VL-conSC(O-E)	GLOBAL	Force	X Proj	0	0,19156	0,41	0,41
522	VL-conSC(E-O)	GLOBAL	Force	X Proj	0	0,19156	-0,41	-0,41
523	CM	GLOBAL	Force	Gravity	0	0,19155	0,04	0,04
523	VT-sinSC(N-S)	GLOBAL	Force	Y Proj	0	0,19155	-1,6	-1,6
523	VT-sinSC(S-N)	GLOBAL	Force	Y Proj	0	0,19155	1,6	1,6
523	VT-conSC(N-S)	GLOBAL	Force	Y Proj	0	0,19155	-2,38	-2,38
523	VT-conSC(S-N)	GLOBAL	Force	Y Proj	0	0,19155	2,38	2,38
523	VL-sinSC(O-E)	GLOBAL	Force	X Proj	0	0,19155	0,28	0,28
523	VL-sinSC(E-O)	GLOBAL	Force	X Proj	0	0,19155	-0,28	-0,28
523	VL-conSC(O-E)	GLOBAL	Force	X Proj	0	0,19155	0,41	0,41
523	VL-conSC(E-O)	GLOBAL	Force	X Proj	0	0,19155	-0,41	-0,41
524	CM	GLOBAL	Force	Gravity	0	0,19148	0,04	0,04
524	VT-sinSC(N-S)	GLOBAL	Force	Y Proj	0	0,19148	-1,6	-1,6
524	VT-sinSC(S-N)	GLOBAL	Force	Y Proj	0	0,19148	1,6	1,6
524	VT-conSC(N-S)	GLOBAL	Force	Y Proj	0	0,19148	-2,38	-2,38
524	VT-conSC(S-N)	GLOBAL	Force	Y Proj	0	0,19148	2,38	2,38
524	VL-sinSC(O-E)	GLOBAL	Force	X Proj	0	0,19148	0,28	0,28
524	VL-sinSC(E-O)	GLOBAL	Force	X Proj	0	0,19148	-0,28	-0,28
524	VL-conSC(O-E)	GLOBAL	Force	X Proj	0	0,19148	0,41	0,41
524	VL-conSC(E-O)	GLOBAL	Force	X Proj	0	0,19148	-0,41	-0,41
525	VT-sinSC(S-N)	GLOBAL	Force	Y Proj	0	0,53888	1,6	1,6
525	VT-sinSC(N-S)	GLOBAL	Force	Y Proj	0	0,53888	-1,6	-1,6
525	VT-conSC(N-S)	GLOBAL	Force	Y Proj	0	0,53888	-2,38	-2,38
525	VT-conSC(S-N)	GLOBAL	Force	Y Proj	0	0,53888	2,38	2,38
525	VL-sinSC(E-O)	GLOBAL	Force	X Proj	0	0,53888	-0,28	-0,28
525	VL-sinSC(O-E)	GLOBAL	Force	X Proj	0	0,53888	0,28	0,28
525	VL-conSC(O-E)	GLOBAL	Force	X Proj	0	0,53888	0,41	0,41
525	VL-conSC(E-O)	GLOBAL	Force	X Proj	0	0,53888	-0,41	-0,41
526	CM	GLOBAL	Force	Gravity	0	0,19138	0,04	0,04



526	VT-sinSC(N-S)	GLOBAL	Force	Y Proj	0	0,19138	-1,6	-1,6
526	VT-sinSC(S-N)	GLOBAL	Force	Y Proj	0	0,19138	1,6	1,6
526	VT-conSC(N-S)	GLOBAL	Force	Y Proj	0	0,19138	-2,38	-2,38
526	VT-conSC(S-N)	GLOBAL	Force	Y Proj	0	0,19138	2,38	2,38
526	VL-sinSC(O-E)	GLOBAL	Force	X Proj	0	0,19138	0,28	0,28
526	VL-sinSC(E-O)	GLOBAL	Force	X Proj	0	0,19138	-0,28	-0,28
526	VL-conSC(O-E)	GLOBAL	Force	X Proj	0	0,19138	0,41	0,41
526	VL-conSC(E-O)	GLOBAL	Force	X Proj	0	0,19138	-0,41	-0,41
527	CM	GLOBAL	Force	Gravity	0	0,19136	0,04	0,04
527	VT-sinSC(N-S)	GLOBAL	Force	Y Proj	0	0,19136	-1,6	-1,6
527	VT-sinSC(S-N)	GLOBAL	Force	Y Proj	0	0,19136	1,6	1,6
527	VT-conSC(N-S)	GLOBAL	Force	Y Proj	0	0,19136	-2,38	-2,38
527	VT-conSC(S-N)	GLOBAL	Force	Y Proj	0	0,19136	2,38	2,38
527	VL-sinSC(O-E)	GLOBAL	Force	X Proj	0	0,19136	0,28	0,28
527	VL-sinSC(E-O)	GLOBAL	Force	X Proj	0	0,19136	-0,28	-0,28
527	VL-conSC(O-E)	GLOBAL	Force	X Proj	0	0,19136	0,41	0,41
527	VL-conSC(E-O)	GLOBAL	Force	X Proj	0	0,19136	-0,41	-0,41
528	CM	GLOBAL	Force	Gravity	0	0,19135	0,04	0,04
528	VT-sinSC(N-S)	GLOBAL	Force	Y Proj	0	0,19135	-1,6	-1,6
528	VT-sinSC(S-N)	GLOBAL	Force	Y Proj	0	0,19135	1,6	1,6
528	VT-conSC(N-S)	GLOBAL	Force	Y Proj	0	0,19135	-2,38	-2,38
528	VT-conSC(S-N)	GLOBAL	Force	Y Proj	0	0,19135	2,38	2,38
528	VL-sinSC(O-E)	GLOBAL	Force	X Proj	0	0,19135	0,28	0,28
528	VL-sinSC(E-O)	GLOBAL	Force	X Proj	0	0,19135	-0,28	-0,28
528	VL-conSC(O-E)	GLOBAL	Force	X Proj	0	0,19135	0,41	0,41
528	VL-conSC(E-O)	GLOBAL	Force	X Proj	0	0,19135	-0,41	-0,41
529	CM	GLOBAL	Force	Gravity	0	0,19136	0,04	0,04
529	VT-sinSC(N-S)	GLOBAL	Force	Y Proj	0	0,19136	-1,6	-1,6
529	VT-sinSC(S-N)	GLOBAL	Force	Y Proj	0	0,19136	1,6	1,6
529	VT-conSC(N-S)	GLOBAL	Force	Y Proj	0	0,19136	-2,38	-2,38
529	VT-conSC(S-N)	GLOBAL	Force	Y Proj	0	0,19136	2,38	2,38
529	VL-sinSC(O-E)	GLOBAL	Force	X Proj	0	0,19136	0,28	0,28
529	VL-sinSC(E-O)	GLOBAL	Force	X Proj	0	0,19136	-0,28	-0,28
529	VL-conSC(O-E)	GLOBAL	Force	X Proj	0	0,19136	0,41	0,41
529	VL-conSC(E-O)	GLOBAL	Force	X Proj	0	0,19136	-0,41	-0,41
530	CM	GLOBAL	Force	Gravity	0	0,19138	0,04	0,04
530	VT-sinSC(N-S)	GLOBAL	Force	Y Proj	0	0,19138	-1,6	-1,6
530	VT-sinSC(S-N)	GLOBAL	Force	Y Proj	0	0,19138	1,6	1,6
530	VT-conSC(N-S)	GLOBAL	Force	Y Proj	0	0,19138	-2,38	-2,38

530	VT-conSC(S-N)	GLOBAL	Force	Y Proj	0	0,19138	2,38	2,38
530	VL-sinSC(O-E)	GLOBAL	Force	X Proj	0	0,19138	0,28	0,28
530	VL-sinSC(E-O)	GLOBAL	Force	X Proj	0	0,19138	-0,28	-0,28
530	VL-conSC(O-E)	GLOBAL	Force	X Proj	0	0,19138	0,41	0,41
530	VL-conSC(E-O)	GLOBAL	Force	X Proj	0	0,19138	-0,41	-0,41
531	CM	GLOBAL	Force	Gravity	0	0,19142	0,04	0,04
531	VT-sinSC(N-S)	GLOBAL	Force	Y Proj	0	0,19142	-1,6	-1,6
531	VT-sinSC(S-N)	GLOBAL	Force	Y Proj	0	0,19142	1,6	1,6
531	VT-conSC(N-S)	GLOBAL	Force	Y Proj	0	0,19142	-2,38	-2,38
531	VT-conSC(S-N)	GLOBAL	Force	Y Proj	0	0,19142	2,38	2,38
531	VL-sinSC(O-E)	GLOBAL	Force	X Proj	0	0,19142	0,28	0,28
531	VL-sinSC(E-O)	GLOBAL	Force	X Proj	0	0,19142	-0,28	-0,28
531	VL-conSC(O-E)	GLOBAL	Force	X Proj	0	0,19142	0,41	0,41
531	VL-conSC(E-O)	GLOBAL	Force	X Proj	0	0,19142	-0,41	-0,41
532	CM	GLOBAL	Force	Gravity	0	0,19147	0,04	0,04
532	VT-sinSC(N-S)	GLOBAL	Force	Y Proj	0	0,19147	-1,6	-1,6
532	VT-sinSC(S-N)	GLOBAL	Force	Y Proj	0	0,19147	1,6	1,6
532	VT-conSC(N-S)	GLOBAL	Force	Y Proj	0	0,19147	-2,38	-2,38
532	VT-conSC(S-N)	GLOBAL	Force	Y Proj	0	0,19147	2,38	2,38
532	VL-sinSC(O-E)	GLOBAL	Force	X Proj	0	0,19147	0,28	0,28
532	VL-sinSC(E-O)	GLOBAL	Force	X Proj	0	0,19147	-0,28	-0,28
532	VL-conSC(O-E)	GLOBAL	Force	X Proj	0	0,19147	0,41	0,41
532	VL-conSC(E-O)	GLOBAL	Force	X Proj	0	0,19147	-0,41	-0,41
533	CM	GLOBAL	Force	Gravity	0	0,19154	0,04	0,04
533	VT-sinSC(N-S)	GLOBAL	Force	Y Proj	0	0,19154	-1,6	-1,6
533	VT-sinSC(S-N)	GLOBAL	Force	Y Proj	0	0,19154	1,6	1,6
533	VT-conSC(N-S)	GLOBAL	Force	Y Proj	0	0,19154	-2,38	-2,38
533	VT-conSC(S-N)	GLOBAL	Force	Y Proj	0	0,19154	2,38	2,38
533	VL-sinSC(O-E)	GLOBAL	Force	X Proj	0	0,19154	0,28	0,28
533	VL-sinSC(E-O)	GLOBAL	Force	X Proj	0	0,19154	-0,28	-0,28
533	VL-conSC(O-E)	GLOBAL	Force	X Proj	0	0,19154	0,41	0,41
533	VL-conSC(E-O)	GLOBAL	Force	X Proj	0	0,19154	-0,41	-0,41
534	CM	GLOBAL	Force	Gravity	0	0,19154	0,04	0,04
534	VT-sinSC(N-S)	GLOBAL	Force	Y Proj	0	0,19154	-1,6	-1,6
534	VT-sinSC(S-N)	GLOBAL	Force	Y Proj	0	0,19154	1,6	1,6
534	VT-conSC(N-S)	GLOBAL	Force	Y Proj	0	0,19154	-2,38	-2,38
534	VT-conSC(S-N)	GLOBAL	Force	Y Proj	0	0,19154	2,38	2,38
534	VL-sinSC(O-E)	GLOBAL	Force	X Proj	0	0,19154	0,28	0,28
534	VL-sinSC(E-O)	GLOBAL	Force	X Proj	0	0,19154	-0,28	-0,28



534	VL-conSC(O-E)	GLOBAL	Force	X Proj	0	0,19154	0,41	0,41
534	VL-conSC(E-O)	GLOBAL	Force	X Proj	0	0,19154	-0,41	-0,41
535	CM	GLOBAL	Force	Gravity	0	0,19143	0,04	0,04
535	VT-sinSC(N-S)	GLOBAL	Force	Y Proj	0	0,19143	-1,6	-1,6
535	VT-sinSC(S-N)	GLOBAL	Force	Y Proj	0	0,19143	1,6	1,6
535	VT-conSC(N-S)	GLOBAL	Force	Y Proj	0	0,19143	-2,38	-2,38
535	VT-conSC(S-N)	GLOBAL	Force	Y Proj	0	0,19143	2,38	2,38
535	VL-sinSC(O-E)	GLOBAL	Force	X Proj	0	0,19143	0,28	0,28
535	VL-sinSC(E-O)	GLOBAL	Force	X Proj	0	0,19143	-0,28	-0,28
535	VL-conSC(O-E)	GLOBAL	Force	X Proj	0	0,19143	0,41	0,41
535	VL-conSC(E-O)	GLOBAL	Force	X Proj	0	0,19143	-0,41	-0,41
536	CM	GLOBAL	Force	Gravity	0	0,19134	0,04	0,04
536	VT-sinSC(N-S)	GLOBAL	Force	Y Proj	0	0,19134	-1,6	-1,6
536	VT-sinSC(S-N)	GLOBAL	Force	Y Proj	0	0,19134	1,6	1,6
536	VT-conSC(N-S)	GLOBAL	Force	Y Proj	0	0,19134	-2,38	-2,38
536	VT-conSC(S-N)	GLOBAL	Force	Y Proj	0	0,19134	2,38	2,38
536	VL-sinSC(O-E)	GLOBAL	Force	X Proj	0	0,19134	0,28	0,28
536	VL-sinSC(E-O)	GLOBAL	Force	X Proj	0	0,19134	-0,28	-0,28
536	VL-conSC(O-E)	GLOBAL	Force	X Proj	0	0,19134	0,41	0,41
536	VL-conSC(E-O)	GLOBAL	Force	X Proj	0	0,19134	-0,41	-0,41
537	CM	GLOBAL	Force	Gravity	0	0,53851	0,04	0,04
537	VT-sinSC(S-N)	GLOBAL	Force	Y Proj	0	0,53851	1,6	1,6
537	VT-sinSC(N-S)	GLOBAL	Force	Y Proj	0	0,53851	-1,6	-1,6
537	VT-conSC(N-S)	GLOBAL	Force	Y Proj	0	0,53851	-2,38	-2,38
537	VT-conSC(S-N)	GLOBAL	Force	Y Proj	0	0,53851	2,38	2,38
537	VL-sinSC(E-O)	GLOBAL	Force	X Proj	0	0,53851	-0,28	-0,28
537	VL-sinSC(O-E)	GLOBAL	Force	X Proj	0	0,53851	0,28	0,28
537	VL-conSC(O-E)	GLOBAL	Force	X Proj	0	0,53851	0,41	0,41
537	VL-conSC(E-O)	GLOBAL	Force	X Proj	0	0,53851	-0,41	-0,41
538	CM	GLOBAL	Force	Gravity	0	0,1912	0,04	0,04
538	VT-sinSC(N-S)	GLOBAL	Force	Y Proj	0	0,1912	-1,6	-1,6
538	VT-sinSC(S-N)	GLOBAL	Force	Y Proj	0	0,1912	1,6	1,6
538	VT-conSC(N-S)	GLOBAL	Force	Y Proj	0	0,1912	-2,38	-2,38
538	VT-conSC(S-N)	GLOBAL	Force	Y Proj	0	0,1912	2,38	2,38
538	VL-sinSC(O-E)	GLOBAL	Force	X Proj	0	0,1912	0,28	0,28
538	VL-sinSC(E-O)	GLOBAL	Force	X Proj	0	0,1912	-0,28	-0,28
538	VL-conSC(O-E)	GLOBAL	Force	X Proj	0	0,1912	0,41	0,41
538	VL-conSC(E-O)	GLOBAL	Force	X Proj	0	0,1912	-0,41	-0,41
539	CM	GLOBAL	Force	Gravity	0	0,19116	0,04	0,04

539	VT-sinSC(N-S)	GLOBAL	Force	Y Proj	0	0,19116	-1,6	-1,6
539	VT-sinSC(S-N)	GLOBAL	Force	Y Proj	0	0,19116	1,6	1,6
539	VT-conSC(N-S)	GLOBAL	Force	Y Proj	0	0,19116	-2,38	-2,38
539	VT-conSC(S-N)	GLOBAL	Force	Y Proj	0	0,19116	2,38	2,38
539	VL-sinSC(O-E)	GLOBAL	Force	X Proj	0	0,19116	0,28	0,28
539	VL-sinSC(E-O)	GLOBAL	Force	X Proj	0	0,19116	-0,28	-0,28
539	VL-conSC(O-E)	GLOBAL	Force	X Proj	0	0,19116	0,41	0,41
539	VL-conSC(E-O)	GLOBAL	Force	X Proj	0	0,19116	-0,41	-0,41
540	CM	GLOBAL	Force	Gravity	0	0,19113	0,04	0,04
540	VT-sinSC(N-S)	GLOBAL	Force	Y Proj	0	0,19113	-1,6	-1,6
540	VT-sinSC(S-N)	GLOBAL	Force	Y Proj	0	0,19113	1,6	1,6
540	VT-conSC(N-S)	GLOBAL	Force	Y Proj	0	0,19113	-2,38	-2,38
540	VT-conSC(S-N)	GLOBAL	Force	Y Proj	0	0,19113	2,38	2,38
540	VL-sinSC(O-E)	GLOBAL	Force	X Proj	0	0,19113	0,28	0,28
540	VL-sinSC(E-O)	GLOBAL	Force	X Proj	0	0,19113	-0,28	-0,28
540	VL-conSC(O-E)	GLOBAL	Force	X Proj	0	0,19113	0,41	0,41
540	VL-conSC(E-O)	GLOBAL	Force	X Proj	0	0,19113	-0,41	-0,41
541	CM	GLOBAL	Force	Gravity	0	0,19112	0,04	0,04
541	VT-sinSC(N-S)	GLOBAL	Force	Y Proj	0	0,19112	-1,6	-1,6
541	VT-sinSC(S-N)	GLOBAL	Force	Y Proj	0	0,19112	1,6	1,6
541	VT-conSC(N-S)	GLOBAL	Force	Y Proj	0	0,19112	-2,38	-2,38
541	VT-conSC(S-N)	GLOBAL	Force	Y Proj	0	0,19112	2,38	2,38
541	VL-sinSC(O-E)	GLOBAL	Force	X Proj	0	0,19112	0,28	0,28
541	VL-sinSC(E-O)	GLOBAL	Force	X Proj	0	0,19112	-0,28	-0,28
541	VL-conSC(O-E)	GLOBAL	Force	X Proj	0	0,19112	0,41	0,41
541	VL-conSC(E-O)	GLOBAL	Force	X Proj	0	0,19112	-0,41	-0,41
542	CM	GLOBAL	Force	Gravity	0	0,19112	0,04	0,04
542	VT-sinSC(N-S)	GLOBAL	Force	Y Proj	0	0,19112	-1,6	-1,6
542	VT-sinSC(S-N)	GLOBAL	Force	Y Proj	0	0,19112	1,6	1,6
542	VT-conSC(N-S)	GLOBAL	Force	Y Proj	0	0,19112	-2,38	-2,38
542	VT-conSC(S-N)	GLOBAL	Force	Y Proj	0	0,19112	2,38	2,38
542	VL-sinSC(O-E)	GLOBAL	Force	X Proj	0	0,19112	0,28	0,28
542	VL-sinSC(E-O)	GLOBAL	Force	X Proj	0	0,19112	-0,28	-0,28
542	VL-conSC(O-E)	GLOBAL	Force	X Proj	0	0,19112	0,41	0,41
542	VL-conSC(E-O)	GLOBAL	Force	X Proj	0	0,19112	-0,41	-0,41
543	CM	GLOBAL	Force	Gravity	0	0,19114	0,04	0,04
543	VT-sinSC(N-S)	GLOBAL	Force	Y Proj	0	0,19114	-1,6	-1,6
543	VT-sinSC(S-N)	GLOBAL	Force	Y Proj	0	0,19114	1,6	1,6
543	VT-conSC(N-S)	GLOBAL	Force	Y Proj	0	0,19114	-2,38	-2,38



543	VT-conSC(S-N)	GLOBAL	Force	Y Proj	0	0,19114	2,38	2,38
543	VL-sinSC(O-E)	GLOBAL	Force	X Proj	0	0,19114	0,28	0,28
543	VL-sinSC(E-O)	GLOBAL	Force	X Proj	0	0,19114	-0,28	-0,28
543	VL-conSC(O-E)	GLOBAL	Force	X Proj	0	0,19114	0,41	0,41
543	VL-conSC(E-O)	GLOBAL	Force	X Proj	0	0,19114	-0,41	-0,41
544	CM	GLOBAL	Force	Gravity	0	0,19118	0,04	0,04
544	VT-sinSC(N-S)	GLOBAL	Force	Y Proj	0	0,19118	-1,6	-1,6
544	VT-sinSC(S-N)	GLOBAL	Force	Y Proj	0	0,19118	1,6	1,6
544	VT-conSC(N-S)	GLOBAL	Force	Y Proj	0	0,19118	-2,38	-2,38
544	VT-conSC(S-N)	GLOBAL	Force	Y Proj	0	0,19118	2,38	2,38
544	VL-sinSC(O-E)	GLOBAL	Force	X Proj	0	0,19118	0,28	0,28
544	VL-sinSC(E-O)	GLOBAL	Force	X Proj	0	0,19118	-0,28	-0,28
544	VL-conSC(O-E)	GLOBAL	Force	X Proj	0	0,19118	0,41	0,41
544	VL-conSC(E-O)	GLOBAL	Force	X Proj	0	0,19118	-0,41	-0,41
545	CM	GLOBAL	Force	Gravity	0	0,19123	0,04	0,04
545	VT-sinSC(N-S)	GLOBAL	Force	Y Proj	0	0,19123	-1,6	-1,6
545	VT-sinSC(S-N)	GLOBAL	Force	Y Proj	0	0,19123	1,6	1,6
545	VT-conSC(N-S)	GLOBAL	Force	Y Proj	0	0,19123	-2,38	-2,38
545	VT-conSC(S-N)	GLOBAL	Force	Y Proj	0	0,19123	2,38	2,38
545	VL-sinSC(O-E)	GLOBAL	Force	X Proj	0	0,19123	0,28	0,28
545	VL-sinSC(E-O)	GLOBAL	Force	X Proj	0	0,19123	-0,28	-0,28
545	VL-conSC(O-E)	GLOBAL	Force	X Proj	0	0,19123	0,41	0,41
545	VL-conSC(E-O)	GLOBAL	Force	X Proj	0	0,19123	-0,41	-0,41
546	CM	GLOBAL	Force	Gravity	0	0,1913	0,04	0,04
546	VT-sinSC(N-S)	GLOBAL	Force	Y Proj	0	0,1913	-1,6	-1,6
546	VT-sinSC(S-N)	GLOBAL	Force	Y Proj	0	0,1913	1,6	1,6
546	VT-conSC(N-S)	GLOBAL	Force	Y Proj	0	0,1913	-2,38	-2,38
546	VT-conSC(S-N)	GLOBAL	Force	Y Proj	0	0,1913	2,38	2,38
546	VL-sinSC(O-E)	GLOBAL	Force	X Proj	0	0,1913	0,28	0,28
546	VL-sinSC(E-O)	GLOBAL	Force	X Proj	0	0,1913	-0,28	-0,28
546	VL-conSC(O-E)	GLOBAL	Force	X Proj	0	0,1913	0,41	0,41
546	VL-conSC(E-O)	GLOBAL	Force	X Proj	0	0,1913	-0,41	-0,41
547	CM	GLOBAL	Force	Gravity	0	0,19139	0,04	0,04
547	VT-sinSC(N-S)	GLOBAL	Force	Y Proj	0	0,19139	-1,6	-1,6
547	VT-sinSC(S-N)	GLOBAL	Force	Y Proj	0	0,19139	1,6	1,6
547	VT-conSC(N-S)	GLOBAL	Force	Y Proj	0	0,19139	-2,38	-2,38
547	VT-conSC(S-N)	GLOBAL	Force	Y Proj	0	0,19139	2,38	2,38
547	VL-sinSC(O-E)	GLOBAL	Force	X Proj	0	0,19139	0,28	0,28
547	VL-sinSC(E-O)	GLOBAL	Force	X Proj	0	0,19139	-0,28	-0,28

547	VL-conSC(O-E)	GLOBAL	Force	X Proj	0	0,19139	0,41	0,41
547	VL-conSC(E-O)	GLOBAL	Force	X Proj	0	0,19139	-0,41	-0,41
548	CM	GLOBAL	Force	Gravity	0	0,19149	0,04	0,04
548	VT-sinSC(N-S)	GLOBAL	Force	Y Proj	0	0,19149	-1,6	-1,6
548	VT-sinSC(S-N)	GLOBAL	Force	Y Proj	0	0,19149	1,6	1,6
548	VT-conSC(N-S)	GLOBAL	Force	Y Proj	0	0,19149	-2,38	-2,38
548	VT-conSC(S-N)	GLOBAL	Force	Y Proj	0	0,19149	2,38	2,38
548	VL-sinSC(O-E)	GLOBAL	Force	X Proj	0	0,19149	0,28	0,28
548	VL-sinSC(E-O)	GLOBAL	Force	X Proj	0	0,19149	-0,28	-0,28
548	VL-conSC(O-E)	GLOBAL	Force	X Proj	0	0,19149	0,41	0,41
548	VL-conSC(E-O)	GLOBAL	Force	X Proj	0	0,19149	-0,41	-0,41
549	CM	GLOBAL	Force	Gravity	0	0,09949	0,04	0,04
549	VT-sinSC(N-S)	GLOBAL	Force	Y Proj	0	0,09949	-1,6	-1,6
549	VT-sinSC(S-N)	GLOBAL	Force	Y Proj	0	0,09949	1,6	1,6
549	VT-conSC(N-S)	GLOBAL	Force	Y Proj	0	0,09949	-2,38	-2,38
549	VT-conSC(S-N)	GLOBAL	Force	Y Proj	0	0,09949	2,38	2,38
549	VL-sinSC(O-E)	GLOBAL	Force	X Proj	0	0,09949	0,28	0,28
549	VL-sinSC(E-O)	GLOBAL	Force	X Proj	0	0,09949	-0,28	-0,28
549	VL-conSC(O-E)	GLOBAL	Force	X Proj	0	0,09949	0,41	0,41
549	VL-conSC(E-O)	GLOBAL	Force	X Proj	0	0,09949	-0,41	-0,41
550	CM	GLOBAL	Force	Gravity	0	0,09948	0,04	0,04
550	VT-sinSC(N-S)	GLOBAL	Force	Y Proj	0	0,09948	-1,6	-1,6
550	VT-sinSC(S-N)	GLOBAL	Force	Y Proj	0	0,09948	1,6	1,6
550	VT-conSC(N-S)	GLOBAL	Force	Y Proj	0	0,09948	-2,38	-2,38
550	VT-conSC(S-N)	GLOBAL	Force	Y Proj	0	0,09948	2,38	2,38
550	VL-sinSC(O-E)	GLOBAL	Force	X Proj	0	0,09948	0,28	0,28
550	VL-sinSC(E-O)	GLOBAL	Force	X Proj	0	0,09948	-0,28	-0,28
550	VL-conSC(O-E)	GLOBAL	Force	X Proj	0	0,09948	0,41	0,41
550	VL-conSC(E-O)	GLOBAL	Force	X Proj	0	0,09948	-0,41	-0,41
551	CM	GLOBAL	Force	Gravity	0	0,09946	0,04	0,04
551	VT-sinSC(N-S)	GLOBAL	Force	Y Proj	0	0,09946	-1,6	-1,6
551	VT-sinSC(S-N)	GLOBAL	Force	Y Proj	0	0,09946	1,6	1,6
551	VT-conSC(N-S)	GLOBAL	Force	Y Proj	0	0,09946	-2,38	-2,38
551	VT-conSC(S-N)	GLOBAL	Force	Y Proj	0	0,09946	2,38	2,38
551	VL-sinSC(O-E)	GLOBAL	Force	X Proj	0	0,09946	0,28	0,28
551	VL-sinSC(E-O)	GLOBAL	Force	X Proj	0	0,09946	-0,28	-0,28
551	VL-conSC(O-E)	GLOBAL	Force	X Proj	0	0,09946	0,41	0,41
551	VL-conSC(E-O)	GLOBAL	Force	X Proj	0	0,09946	-0,41	-0,41
552	CM	GLOBAL	Force	Gravity	0	0,09943	0,04	0,04



552	VT-sinSC(N-S)	GLOBAL	Force	Y Proj	0	0,09943	-1,6	-1,6
552	VT-sinSC(S-N)	GLOBAL	Force	Y Proj	0	0,09943	1,6	1,6
552	VT-conSC(N-S)	GLOBAL	Force	Y Proj	0	0,09943	-2,38	-2,38
552	VT-conSC(S-N)	GLOBAL	Force	Y Proj	0	0,09943	2,38	2,38
552	VL-sinSC(O-E)	GLOBAL	Force	X Proj	0	0,09943	0,28	0,28
552	VL-sinSC(E-O)	GLOBAL	Force	X Proj	0	0,09943	-0,28	-0,28
552	VL-conSC(O-E)	GLOBAL	Force	X Proj	0	0,09943	0,41	0,41
552	VL-conSC(E-O)	GLOBAL	Force	X Proj	0	0,09943	-0,41	-0,41
553	CM	GLOBAL	Force	Gravity	0	0,0994	0,04	0,04
553	VT-sinSC(N-S)	GLOBAL	Force	Y Proj	0	0,0994	-1,6	-1,6
553	VT-sinSC(S-N)	GLOBAL	Force	Y Proj	0	0,0994	1,6	1,6
553	VT-conSC(N-S)	GLOBAL	Force	Y Proj	0	0,0994	-2,38	-2,38
553	VT-conSC(S-N)	GLOBAL	Force	Y Proj	0	0,0994	2,38	2,38
553	VL-sinSC(O-E)	GLOBAL	Force	X Proj	0	0,0994	0,28	0,28
553	VL-sinSC(E-O)	GLOBAL	Force	X Proj	0	0,0994	-0,28	-0,28
553	VL-conSC(O-E)	GLOBAL	Force	X Proj	0	0,0994	0,41	0,41
553	VL-conSC(E-O)	GLOBAL	Force	X Proj	0	0,0994	-0,41	-0,41
554	CM	GLOBAL	Force	Gravity	0	0,09937	0,04	0,04
554	VT-sinSC(N-S)	GLOBAL	Force	Y Proj	0	0,09937	-1,6	-1,6
554	VT-sinSC(S-N)	GLOBAL	Force	Y Proj	0	0,09937	1,6	1,6
554	VT-conSC(N-S)	GLOBAL	Force	Y Proj	0	0,09937	-2,38	-2,38
554	VT-conSC(S-N)	GLOBAL	Force	Y Proj	0	0,09937	2,38	2,38
554	VL-sinSC(O-E)	GLOBAL	Force	X Proj	0	0,09937	0,28	0,28
554	VL-sinSC(E-O)	GLOBAL	Force	X Proj	0	0,09937	-0,28	-0,28
554	VL-conSC(O-E)	GLOBAL	Force	X Proj	0	0,09937	0,41	0,41
554	VL-conSC(E-O)	GLOBAL	Force	X Proj	0	0,09937	-0,41	-0,41
555	CM	GLOBAL	Force	Gravity	0	0,09934	0,04	0,04
555	VT-sinSC(N-S)	GLOBAL	Force	Y Proj	0	0,09934	-1,6	-1,6
555	VT-sinSC(S-N)	GLOBAL	Force	Y Proj	0	0,09934	1,6	1,6
555	VT-conSC(N-S)	GLOBAL	Force	Y Proj	0	0,09934	-2,38	-2,38
555	VT-conSC(S-N)	GLOBAL	Force	Y Proj	0	0,09934	2,38	2,38
555	VL-sinSC(O-E)	GLOBAL	Force	X Proj	0	0,09934	0,28	0,28
555	VL-sinSC(E-O)	GLOBAL	Force	X Proj	0	0,09934	-0,28	-0,28
555	VL-conSC(O-E)	GLOBAL	Force	X Proj	0	0,09934	0,41	0,41
555	VL-conSC(E-O)	GLOBAL	Force	X Proj	0	0,09934	-0,41	-0,41
556	CM	GLOBAL	Force	Gravity	0	0,09932	0,04	0,04
556	VT-sinSC(N-S)	GLOBAL	Force	Y Proj	0	0,09932	-1,6	-1,6
556	VT-sinSC(S-N)	GLOBAL	Force	Y Proj	0	0,09932	1,6	1,6
556	VT-conSC(N-S)	GLOBAL	Force	Y Proj	0	0,09932	-2,38	-2,38

556	VT-conSC(S-N)	GLOBAL	Force	Y Proj	0	0,09932	2,38	2,38
556	VL-sinSC(O-E)	GLOBAL	Force	X Proj	0	0,09932	0,28	0,28
556	VL-sinSC(E-O)	GLOBAL	Force	X Proj	0	0,09932	-0,28	-0,28
556	VL-conSC(O-E)	GLOBAL	Force	X Proj	0	0,09932	0,41	0,41
556	VL-conSC(E-O)	GLOBAL	Force	X Proj	0	0,09932	-0,41	-0,41
557	CM	GLOBAL	Force	Gravity	0	0,53851	0,04	0,04
557	VT-sinSC(S-N)	GLOBAL	Force	Y Proj	0	0,53851	1,6	1,6
557	VT-sinSC(N-S)	GLOBAL	Force	Y Proj	0	0,53851	-1,6	-1,6
557	VT-conSC(N-S)	GLOBAL	Force	Y Proj	0	0,53851	-2,38	-2,38
557	VT-conSC(S-N)	GLOBAL	Force	Y Proj	0	0,53851	2,38	2,38
557	VL-sinSC(E-O)	GLOBAL	Force	X Proj	0	0,53851	-0,28	-0,28
557	VL-sinSC(O-E)	GLOBAL	Force	X Proj	0	0,53851	0,28	0,28
557	VL-conSC(O-E)	GLOBAL	Force	X Proj	0	0,53851	0,41	0,41
557	VL-conSC(E-O)	GLOBAL	Force	X Proj	0	0,53851	-0,41	-0,41
558	CM	GLOBAL	Force	Gravity	0	0,09932	0,04	0,04
558	VT-sinSC(N-S)	GLOBAL	Force	Y Proj	0	0,09932	-1,6	-1,6
558	VT-sinSC(S-N)	GLOBAL	Force	Y Proj	0	0,09932	1,6	1,6
558	VT-conSC(N-S)	GLOBAL	Force	Y Proj	0	0,09932	-2,38	-2,38
558	VT-conSC(S-N)	GLOBAL	Force	Y Proj	0	0,09932	2,38	2,38
558	VL-sinSC(O-E)	GLOBAL	Force	X Proj	0	0,09932	0,28	0,28
558	VL-sinSC(E-O)	GLOBAL	Force	X Proj	0	0,09932	-0,28	-0,28
558	VL-conSC(O-E)	GLOBAL	Force	X Proj	0	0,09932	0,41	0,41
558	VL-conSC(E-O)	GLOBAL	Force	X Proj	0	0,09932	-0,41	-0,41
559	CM	GLOBAL	Force	Gravity	0	0,09934	0,04	0,04
559	VT-sinSC(N-S)	GLOBAL	Force	Y Proj	0	0,09934	-1,6	-1,6
559	VT-sinSC(S-N)	GLOBAL	Force	Y Proj	0	0,09934	1,6	1,6
559	VT-conSC(N-S)	GLOBAL	Force	Y Proj	0	0,09934	-2,38	-2,38
559	VT-conSC(S-N)	GLOBAL	Force	Y Proj	0	0,09934	2,38	2,38
559	VL-sinSC(O-E)	GLOBAL	Force	X Proj	0	0,09934	0,28	0,28
559	VL-sinSC(E-O)	GLOBAL	Force	X Proj	0	0,09934	-0,28	-0,28
559	VL-conSC(O-E)	GLOBAL	Force	X Proj	0	0,09934	0,41	0,41
559	VL-conSC(E-O)	GLOBAL	Force	X Proj	0	0,09934	-0,41	-0,41
560	CM	GLOBAL	Force	Gravity	0	0,09937	0,04	0,04
560	VT-sinSC(N-S)	GLOBAL	Force	Y Proj	0	0,09937	-1,6	-1,6
560	VT-sinSC(S-N)	GLOBAL	Force	Y Proj	0	0,09937	1,6	1,6
560	VT-conSC(N-S)	GLOBAL	Force	Y Proj	0	0,09937	-2,38	-2,38
560	VT-conSC(S-N)	GLOBAL	Force	Y Proj	0	0,09937	2,38	2,38
560	VL-sinSC(O-E)	GLOBAL	Force	X Proj	0	0,09937	0,28	0,28
560	VL-sinSC(E-O)	GLOBAL	Force	X Proj	0	0,09937	-0,28	-0,28



560	VL-conSC(O-E)	GLOBAL	Force	X Proj	0	0,09937	0,41	0,41
560	VL-conSC(E-O)	GLOBAL	Force	X Proj	0	0,09937	-0,41	-0,41
561	CM	GLOBAL	Force	Gravity	0	0,0994	0,04	0,04
561	VT-sinSC(N-S)	GLOBAL	Force	Y Proj	0	0,0994	-1,6	-1,6
561	VT-sinSC(S-N)	GLOBAL	Force	Y Proj	0	0,0994	1,6	1,6
561	VT-conSC(N-S)	GLOBAL	Force	Y Proj	0	0,0994	-2,38	-2,38
561	VT-conSC(S-N)	GLOBAL	Force	Y Proj	0	0,0994	2,38	2,38
561	VL-sinSC(O-E)	GLOBAL	Force	X Proj	0	0,0994	0,28	0,28
561	VL-sinSC(E-O)	GLOBAL	Force	X Proj	0	0,0994	-0,28	-0,28
561	VL-conSC(O-E)	GLOBAL	Force	X Proj	0	0,0994	0,41	0,41
561	VL-conSC(E-O)	GLOBAL	Force	X Proj	0	0,0994	-0,41	-0,41
562	CM	GLOBAL	Force	Gravity	0	0,09943	0,04	0,04
562	VT-sinSC(N-S)	GLOBAL	Force	Y Proj	0	0,09943	-1,6	-1,6
562	VT-sinSC(S-N)	GLOBAL	Force	Y Proj	0	0,09943	1,6	1,6
562	VT-conSC(N-S)	GLOBAL	Force	Y Proj	0	0,09943	-2,38	-2,38
562	VT-conSC(S-N)	GLOBAL	Force	Y Proj	0	0,09943	2,38	2,38
562	VL-sinSC(O-E)	GLOBAL	Force	X Proj	0	0,09943	0,28	0,28
562	VL-sinSC(E-O)	GLOBAL	Force	X Proj	0	0,09943	-0,28	-0,28
562	VL-conSC(O-E)	GLOBAL	Force	X Proj	0	0,09943	0,41	0,41
562	VL-conSC(E-O)	GLOBAL	Force	X Proj	0	0,09943	-0,41	-0,41
563	CM	GLOBAL	Force	Gravity	0	0,09946	0,04	0,04
563	VT-sinSC(N-S)	GLOBAL	Force	Y Proj	0	0,09946	-1,6	-1,6
563	VT-sinSC(S-N)	GLOBAL	Force	Y Proj	0	0,09946	1,6	1,6
563	VT-conSC(N-S)	GLOBAL	Force	Y Proj	0	0,09946	-2,38	-2,38
563	VT-conSC(S-N)	GLOBAL	Force	Y Proj	0	0,09946	2,38	2,38
563	VL-sinSC(O-E)	GLOBAL	Force	X Proj	0	0,09946	0,28	0,28
563	VL-sinSC(E-O)	GLOBAL	Force	X Proj	0	0,09946	-0,28	-0,28
563	VL-conSC(O-E)	GLOBAL	Force	X Proj	0	0,09946	0,41	0,41
563	VL-conSC(E-O)	GLOBAL	Force	X Proj	0	0,09946	-0,41	-0,41
564	CM	GLOBAL	Force	Gravity	0	0,09948	0,04	0,04
564	VT-sinSC(N-S)	GLOBAL	Force	Y Proj	0	0,09948	-1,6	-1,6
564	VT-sinSC(S-N)	GLOBAL	Force	Y Proj	0	0,09948	1,6	1,6
564	VT-conSC(N-S)	GLOBAL	Force	Y Proj	0	0,09948	-2,38	-2,38
564	VT-conSC(S-N)	GLOBAL	Force	Y Proj	0	0,09948	2,38	2,38
564	VL-sinSC(O-E)	GLOBAL	Force	X Proj	0	0,09948	0,28	0,28
564	VL-sinSC(E-O)	GLOBAL	Force	X Proj	0	0,09948	-0,28	-0,28
564	VL-conSC(O-E)	GLOBAL	Force	X Proj	0	0,09948	0,41	0,41
564	VL-conSC(E-O)	GLOBAL	Force	X Proj	0	0,09948	-0,41	-0,41
565	CM	GLOBAL	Force	Gravity	0	0,09949	0,04	0,04

565	VT-sinSC(N-S)	GLOBAL	Force	Y Proj	0	0,09949	-1,6	-1,6
565	VT-sinSC(S-N)	GLOBAL	Force	Y Proj	0	0,09949	1,6	1,6
565	VT-conSC(N-S)	GLOBAL	Force	Y Proj	0	0,09949	-2,38	-2,38
565	VT-conSC(S-N)	GLOBAL	Force	Y Proj	0	0,09949	2,38	2,38
565	VL-sinSC(O-E)	GLOBAL	Force	X Proj	0	0,09949	0,28	0,28
565	VL-sinSC(E-O)	GLOBAL	Force	X Proj	0	0,09949	-0,28	-0,28
565	VL-conSC(O-E)	GLOBAL	Force	X Proj	0	0,09949	0,41	0,41
565	VL-conSC(E-O)	GLOBAL	Force	X Proj	0	0,09949	-0,41	-0,41
566	CM	GLOBAL	Force	Gravity	0	1,5	0,04	0,04
566	VT-sinSC(N-S)	GLOBAL	Force	Y Proj	0	1,5	-1,6	-1,6
566	VT-sinSC(S-N)	GLOBAL	Force	Y Proj	0	1,5	1,6	1,6
566	VT-conSC(N-S)	GLOBAL	Force	Y Proj	0	1,5	-2,38	-2,38
566	VT-conSC(S-N)	GLOBAL	Force	Y Proj	0	1,5	2,38	2,38
566	VL-sinSC(O-E)	GLOBAL	Force	X Proj	0	1,5	0,28	0,28
566	VL-sinSC(E-O)	GLOBAL	Force	X Proj	0	1,5	-0,28	-0,28
566	VL-conSC(O-E)	GLOBAL	Force	X Proj	0	1,5	0,41	0,41
566	VL-conSC(E-O)	GLOBAL	Force	X Proj	0	1,5	-0,41	-0,41
567	CM	GLOBAL	Force	Gravity	0	0,53851	0,04	0,04
567	VT-sinSC(N-S)	GLOBAL	Force	Y Proj	0	0,53851	-1,6	-1,6
567	VT-sinSC(S-N)	GLOBAL	Force	Y Proj	0	0,53851	1,6	1,6
567	VT-conSC(N-S)	GLOBAL	Force	Y Proj	0	0,53851	-2,38	-2,38
567	VT-conSC(S-N)	GLOBAL	Force	Y Proj	0	0,53851	2,38	2,38
567	VL-sinSC(O-E)	GLOBAL	Force	X Proj	0	0,53851	-0,28	-0,28
567	VL-sinSC(E-O)	GLOBAL	Force	X Proj	0	0,53851	0,28	0,28
567	VL-conSC(O-E)	GLOBAL	Force	X Proj	0	0,53851	0,41	0,41
567	VL-conSC(E-O)	GLOBAL	Force	X Proj	0	0,53851	-0,41	-0,41
568	CM	GLOBAL	Force	Gravity	0	1,5	0,04	0,04
568	VT-sinSC(N-S)	GLOBAL	Force	Y Proj	0	1,5	-1,6	-1,6
568	VT-sinSC(S-N)	GLOBAL	Force	Y Proj	0	1,5	1,6	1,6
568	VT-conSC(N-S)	GLOBAL	Force	Y Proj	0	1,5	-2,38	-2,38
568	VT-conSC(S-N)	GLOBAL	Force	Y Proj	0	1,5	2,38	2,38
568	VL-sinSC(O-E)	GLOBAL	Force	X Proj	0	1,5	0,28	0,28
568	VL-sinSC(E-O)	GLOBAL	Force	X Proj	0	1,5	-0,28	-0,28
568	VL-conSC(O-E)	GLOBAL	Force	X Proj	0	1,5	0,41	0,41
568	VL-conSC(E-O)	GLOBAL	Force	X Proj	0	1,5	-0,41	-0,41
570	PPforjado	GLOBAL	Force	Gravity	0	2,5	4	4
570	SC_2	GLOBAL	Force	Gravity	0	2,5	9	9
571	PPforjado	GLOBAL	Force	Gravity	0	2,5	4	4
571	SC_2	GLOBAL	Force	Gravity	0	2,5	9	9



572	PPforjado	GLOBAL	Force	Gravity	0	2,5	4	4
572	SC_2	GLOBAL	Force	Gravity	0	2,5	9	9
573	PPforjado	GLOBAL	Force	Gravity	0	2,5	4	4
573	SC_2	GLOBAL	Force	Gravity	0	2,5	9	9
574	PPforjado	GLOBAL	Force	Gravity	0	2,5	4	4
574	SC_2	GLOBAL	Force	Gravity	0	2,5	9	9
602	PPforjado	GLOBAL	Force	Gravity	0	2,5	4	4
602	SC_6	GLOBAL	Force	Gravity	0	2,5	9	9
603	PPforjado	GLOBAL	Force	Gravity	0	2,5	4	4
603	SC_6	GLOBAL	Force	Gravity	0	2,5	9	9
604	PPforjado	GLOBAL	Force	Gravity	0	2,5	4	4
604	SC_6	GLOBAL	Force	Gravity	0	2,5	9	9
605	PPforjado	GLOBAL	Force	Gravity	0	2,5	4	4
605	SC_6	GLOBAL	Force	Gravity	0	2,5	9	9
606	PPforjado	GLOBAL	Force	Gravity	0	2,5	4	4
606	SC_6	GLOBAL	Force	Gravity	0	2,5	9	9
608	PPforjado	GLOBAL	Force	Gravity	0	2,5	4	4
608	SC_6	GLOBAL	Force	Gravity	0	2,5	9	9
609	PPforjado	GLOBAL	Force	Gravity	0	2,5	4	4
609	SC_6	GLOBAL	Force	Gravity	0	2,5	9	9
610	PPforjado	GLOBAL	Force	Gravity	0	2,5	4	4
610	SC_6	GLOBAL	Force	Gravity	0	2,5	9	9
611	PPforjado	GLOBAL	Force	Gravity	0	2,5	4	4
611	SC_6	GLOBAL	Force	Gravity	0	2,5	9	9
612	PPforjado	GLOBAL	Force	Gravity	0	2,5	4	4
612	SC_6	GLOBAL	Force	Gravity	0	2,5	9	9
613	PPforjado	GLOBAL	Force	Gravity	0	2,5	4	4
613	SC_6	GLOBAL	Force	Gravity	0	2,5	9	9
615	PPforjado	GLOBAL	Force	Gravity	0	2,5	4	4
615	SC_6	GLOBAL	Force	Gravity	0	2,5	9	9
618	VT-sinSC(N-S)	GLOBAL	Force	Y Proj	0	1,5	-1,6	-1,6
618	VT-sinSC(S-N)	GLOBAL	Force	Y Proj	0	1,5	1,6	1,6
618	VT-conSC(N-S)	GLOBAL	Force	Y Proj	0	1,5	-2,38	-2,38
618	VT-conSC(S-N)	GLOBAL	Force	Y Proj	0	1,5	2,38	2,38
618	VL-sinSC(O-E)	GLOBAL	Force	X Proj	0	1,5	0,28	0,28
618	VL-sinSC(E-O)	GLOBAL	Force	X Proj	0	1,5	-0,28	-0,28
618	VL-conSC(O-E)	GLOBAL	Force	X Proj	0	1,5	0,41	0,41
618	VL-conSC(E-O)	GLOBAL	Force	X Proj	0	1,5	-0,41	-0,41
618	CM	GLOBAL	Force	Gravity	0	1,5	0,04	0,04

622	VT-sinSC(N-S)	GLOBAL	Force	Y Proj	0	1,49887	-1,6	-1,6
622	VT-conSC(N-S)	GLOBAL	Force	Y Proj	0	1,49887	-2,38	-2,38
622	VT-conSC(S-N)	GLOBAL	Force	Y Proj	0	1,49887	2,38	2,38
622	VL-sinSC(O-E)	GLOBAL	Force	X Proj	0	1,49887	0,28	0,28
622	VL-sinSC(E-O)	GLOBAL	Force	X Proj	0	1,49887	-0,28	-0,28
622	VL-conSC(O-E)	GLOBAL	Force	X Proj	0	1,49887	0,41	0,41
622	VL-conSC(E-O)	GLOBAL	Force	X Proj	0	1,49887	-0,41	-0,41
622	CM	GLOBAL	Force	Gravity	0	1,49887	0,04	0,04
622	VT-sinSC(S-N)	GLOBAL	Force	Y Proj	0	1,49887	1,6	1,6
627	VT-sinSC(S-N)	GLOBAL	Force	Y Proj	0	0,01345	1,6	1,6
627	VT-conSC(N-S)	GLOBAL	Force	Y Proj	0	0,01345	-2,38	-2,38
627	VT-conSC(S-N)	GLOBAL	Force	Y Proj	0	0,01345	2,38	2,38
627	VL-sinSC(O-E)	GLOBAL	Force	X Proj	0	0,01345	0,28	0,28
627	VL-sinSC(E-O)	GLOBAL	Force	X Proj	0	0,01345	-0,28	-0,28
627	VL-conSC(O-E)	GLOBAL	Force	X Proj	0	0,01345	0,41	0,41
627	VL-conSC(E-O)	GLOBAL	Force	X Proj	0	0,01345	-0,41	-0,41
629	CM	GLOBAL	Force	Gravity	0	1,02686	0,04	0,04
629	VT-sinSC(N-S)	GLOBAL	Force	Y Proj	0	1,02686	-1,6	-1,6
629	VT-sinSC(S-N)	GLOBAL	Force	Y Proj	0	1,02686	1,6	1,6
629	VT-conSC(N-S)	GLOBAL	Force	Y Proj	0	1,02686	-2,38	-2,38
629	VT-conSC(S-N)	GLOBAL	Force	Y Proj	0	1,02686	2,38	2,38
629	VL-sinSC(O-E)	GLOBAL	Force	X Proj	0	1,02686	0,28	0,28
629	VL-sinSC(E-O)	GLOBAL	Force	X Proj	0	1,02686	-0,28	-0,28
629	VL-conSC(O-E)	GLOBAL	Force	X Proj	0	1,02686	0,41	0,41
629	VL-conSC(E-O)	GLOBAL	Force	X Proj	0	1,02686	-0,41	-0,41
630	CM	GLOBAL	Force	Gravity	0	0,02397	0,04	0,04
630	VT-sinSC(N-S)	GLOBAL	Force	Y Proj	0	0,02397	-1,6	-1,6
630	VT-sinSC(S-N)	GLOBAL	Force	Y Proj	0	0,02397	1,6	1,6
630	VT-conSC(N-S)	GLOBAL	Force	Y Proj	0	0,02397	-2,38	-2,38
630	VT-conSC(S-N)	GLOBAL	Force	Y Proj	0	0,02397	2,38	2,38
630	VL-sinSC(O-E)	GLOBAL	Force	X Proj	0	0,02397	0,28	0,28
630	VL-sinSC(E-O)	GLOBAL	Force	X Proj	0	0,02397	-0,28	-0,28
630	VL-conSC(O-E)	GLOBAL	Force	X Proj	0	0,02397	0,41	0,41
630	VL-conSC(E-O)	GLOBAL	Force	X Proj	0	0,02397	-0,41	-0,41
631	CM	GLOBAL	Force	Gravity	0	0,02397	0,04	0,04
631	VT-sinSC(N-S)	GLOBAL	Force	Y Proj	0	0,02397	-1,6	-1,6
631	VT-sinSC(S-N)	GLOBAL	Force	Y Proj	0	0,02397	1,6	1,6
631	VT-conSC(N-S)	GLOBAL	Force	Y Proj	0	0,02397	-2,38	-2,38
631	VT-conSC(S-N)	GLOBAL	Force	Y Proj	0	0,02397	2,38	2,38



631	VL-sinSC(O-E)	GLOBAL	Force	X Proj	0	0,02397	0,28	0,28
631	VL-sinSC(E-O)	GLOBAL	Force	X Proj	0	0,02397	-0,28	-0,28
631	VL-conSC(O-E)	GLOBAL	Force	X Proj	0	0,02397	0,41	0,41
631	VL-conSC(E-O)	GLOBAL	Force	X Proj	0	0,02397	-0,41	-0,41
632	CM	GLOBAL	Force	Gravity	0	0,02397	0,04	0,04
632	VT-sinSC(N-S)	GLOBAL	Force	Y Proj	0	0,02397	-1,6	-1,6
632	VT-sinSC(S-N)	GLOBAL	Force	Y Proj	0	0,02397	1,6	1,6
632	VT-conSC(N-S)	GLOBAL	Force	Y Proj	0	0,02397	-2,38	-2,38
632	VT-conSC(S-N)	GLOBAL	Force	Y Proj	0	0,02397	2,38	2,38
632	VL-sinSC(O-E)	GLOBAL	Force	X Proj	0	0,02397	0,28	0,28
632	VL-sinSC(E-O)	GLOBAL	Force	X Proj	0	0,02397	-0,28	-0,28
632	VL-conSC(O-E)	GLOBAL	Force	X Proj	0	0,02397	0,41	0,41
632	VL-conSC(E-O)	GLOBAL	Force	X Proj	0	0,02397	-0,41	-0,41
633	CM	GLOBAL	Force	Gravity	0	0,02397	0,04	0,04
633	VT-sinSC(N-S)	GLOBAL	Force	Y Proj	0	0,02397	-1,6	-1,6
633	VT-sinSC(S-N)	GLOBAL	Force	Y Proj	0	0,02397	1,6	1,6
633	VT-conSC(N-S)	GLOBAL	Force	Y Proj	0	0,02397	-2,38	-2,38
633	VT-conSC(S-N)	GLOBAL	Force	Y Proj	0	0,02397	2,38	2,38
633	VL-sinSC(O-E)	GLOBAL	Force	X Proj	0	0,02397	0,28	0,28
633	VL-sinSC(E-O)	GLOBAL	Force	X Proj	0	0,02397	-0,28	-0,28
633	VL-conSC(O-E)	GLOBAL	Force	X Proj	0	0,02397	0,41	0,41
633	VL-conSC(E-O)	GLOBAL	Force	X Proj	0	0,02397	-0,41	-0,41
634	CM	GLOBAL	Force	Gravity	0	0,02397	0,04	0,04
634	VT-sinSC(N-S)	GLOBAL	Force	Y Proj	0	0,02397	-1,6	-1,6
634	VT-sinSC(S-N)	GLOBAL	Force	Y Proj	0	0,02397	1,6	1,6
634	VT-conSC(N-S)	GLOBAL	Force	Y Proj	0	0,02397	-2,38	-2,38
634	VT-conSC(S-N)	GLOBAL	Force	Y Proj	0	0,02397	2,38	2,38
634	VL-sinSC(O-E)	GLOBAL	Force	X Proj	0	0,02397	0,28	0,28
634	VL-sinSC(E-O)	GLOBAL	Force	X Proj	0	0,02397	-0,28	-0,28
634	VL-conSC(O-E)	GLOBAL	Force	X Proj	0	0,02397	0,41	0,41
634	VL-conSC(E-O)	GLOBAL	Force	X Proj	0	0,02397	-0,41	-0,41
635	CM	GLOBAL	Force	Gravity	0	0,02396	0,04	0,04
635	VT-sinSC(N-S)	GLOBAL	Force	Y Proj	0	0,02396	-1,6	-1,6
635	VT-sinSC(S-N)	GLOBAL	Force	Y Proj	0	0,02396	1,6	1,6
635	VT-conSC(N-S)	GLOBAL	Force	Y Proj	0	0,02396	-2,38	-2,38
635	VT-conSC(S-N)	GLOBAL	Force	Y Proj	0	0,02396	2,38	2,38
635	VL-sinSC(O-E)	GLOBAL	Force	X Proj	0	0,02396	0,28	0,28
635	VL-sinSC(E-O)	GLOBAL	Force	X Proj	0	0,02396	-0,28	-0,28
635	VL-conSC(O-E)	GLOBAL	Force	X Proj	0	0,02396	0,41	0,41

635	VL-conSC(E-O)	GLOBAL	Force	X Proj	0	0,02396	-0,41	-0,41
636	CM	GLOBAL	Force	Gravity	0	0,02396	0,04	0,04
636	VT-sinSC(N-S)	GLOBAL	Force	Y Proj	0	0,02396	-1,6	-1,6
636	VT-sinSC(S-N)	GLOBAL	Force	Y Proj	0	0,02396	1,6	1,6
636	VT-conSC(N-S)	GLOBAL	Force	Y Proj	0	0,02396	-2,38	-2,38
636	VT-conSC(S-N)	GLOBAL	Force	Y Proj	0	0,02396	2,38	2,38
636	VL-sinSC(O-E)	GLOBAL	Force	X Proj	0	0,02396	0,28	0,28
636	VL-sinSC(E-O)	GLOBAL	Force	X Proj	0	0,02396	-0,28	-0,28
636	VL-conSC(O-E)	GLOBAL	Force	X Proj	0	0,02396	0,41	0,41
636	VL-conSC(E-O)	GLOBAL	Force	X Proj	0	0,02396	-0,41	-0,41
637	CM	GLOBAL	Force	Gravity	0	0,02396	0,04	0,04
637	VT-sinSC(N-S)	GLOBAL	Force	Y Proj	0	0,02396	-1,6	-1,6
637	VT-sinSC(S-N)	GLOBAL	Force	Y Proj	0	0,02396	1,6	1,6
637	VT-conSC(N-S)	GLOBAL	Force	Y Proj	0	0,02396	-2,38	-2,38
637	VT-conSC(S-N)	GLOBAL	Force	Y Proj	0	0,02396	2,38	2,38
637	VL-sinSC(O-E)	GLOBAL	Force	X Proj	0	0,02396	0,28	0,28
637	VL-sinSC(E-O)	GLOBAL	Force	X Proj	0	0,02396	-0,28	-0,28
637	VL-conSC(O-E)	GLOBAL	Force	X Proj	0	0,02396	0,41	0,41
637	VL-conSC(E-O)	GLOBAL	Force	X Proj	0	0,02396	-0,41	-0,41
638	CM	GLOBAL	Force	Gravity	0	0,02396	0,04	0,04
638	VT-sinSC(N-S)	GLOBAL	Force	Y Proj	0	0,02396	-1,6	-1,6
638	VT-sinSC(S-N)	GLOBAL	Force	Y Proj	0	0,02396	1,6	1,6
638	VT-conSC(N-S)	GLOBAL	Force	Y Proj	0	0,02396	-2,38	-2,38
638	VT-conSC(S-N)	GLOBAL	Force	Y Proj	0	0,02396	2,38	2,38
638	VL-sinSC(O-E)	GLOBAL	Force	X Proj	0	0,02396	0,28	0,28
638	VL-sinSC(E-O)	GLOBAL	Force	X Proj	0	0,02396	-0,28	-0,28
638	VL-conSC(O-E)	GLOBAL	Force	X Proj	0	0,02396	0,41	0,41
638	VL-conSC(E-O)	GLOBAL	Force	X Proj	0	0,02396	-0,41	-0,41
639	CM	GLOBAL	Force	Gravity	0	0,02396	0,04	0,04
639	VT-sinSC(N-S)	GLOBAL	Force	Y Proj	0	0,02396	-1,6	-1,6
639	VT-sinSC(S-N)	GLOBAL	Force	Y Proj	0	0,02396	1,6	1,6
639	VT-conSC(N-S)	GLOBAL	Force	Y Proj	0	0,02396	-2,38	-2,38
639	VT-conSC(S-N)	GLOBAL	Force	Y Proj	0	0,02396	2,38	2,38
639	VL-sinSC(O-E)	GLOBAL	Force	X Proj	0	0,02396	0,28	0,28
639	VL-sinSC(E-O)	GLOBAL	Force	X Proj	0	0,02396	-0,28	-0,28
639	VL-conSC(O-E)	GLOBAL	Force	X Proj	0	0,02396	0,41	0,41
639	VL-conSC(E-O)	GLOBAL	Force	X Proj	0	0,02396	-0,41	-0,41
640	CM	GLOBAL	Force	Gravity	0	0,02396	0,04	0,04
640	VT-sinSC(N-S)	GLOBAL	Force	Y Proj	0	0,02396	-1,6	-1,6



640	VT-sinSC(S-N)	GLOBAL	Force	Y Proj	0	0,02396	1,6	1,6
640	VT-conSC(N-S)	GLOBAL	Force	Y Proj	0	0,02396	-2,38	-2,38
640	VT-conSC(S-N)	GLOBAL	Force	Y Proj	0	0,02396	2,38	2,38
640	VL-sinSC(O-E)	GLOBAL	Force	X Proj	0	0,02396	0,28	0,28
640	VL-sinSC(E-O)	GLOBAL	Force	X Proj	0	0,02396	-0,28	-0,28
640	VL-conSC(O-E)	GLOBAL	Force	X Proj	0	0,02396	0,41	0,41
640	VL-conSC(E-O)	GLOBAL	Force	X Proj	0	0,02396	-0,41	-0,41
641	CM	GLOBAL	Force	Gravity	0	0,02396	0,04	0,04
641	VT-sinSC(N-S)	GLOBAL	Force	Y Proj	0	0,02396	-1,6	-1,6
641	VT-sinSC(S-N)	GLOBAL	Force	Y Proj	0	0,02396	1,6	1,6
641	VT-conSC(N-S)	GLOBAL	Force	Y Proj	0	0,02396	-2,38	-2,38
641	VT-conSC(S-N)	GLOBAL	Force	Y Proj	0	0,02396	2,38	2,38
641	VL-sinSC(O-E)	GLOBAL	Force	X Proj	0	0,02396	0,28	0,28
641	VL-sinSC(E-O)	GLOBAL	Force	X Proj	0	0,02396	-0,28	-0,28
641	VL-conSC(O-E)	GLOBAL	Force	X Proj	0	0,02396	0,41	0,41
641	VL-conSC(E-O)	GLOBAL	Force	X Proj	0	0,02396	-0,41	-0,41
642	CM	GLOBAL	Force	Gravity	0	0,02397	0,04	0,04
642	VT-sinSC(N-S)	GLOBAL	Force	Y Proj	0	0,02397	-1,6	-1,6
642	VT-sinSC(S-N)	GLOBAL	Force	Y Proj	0	0,02397	1,6	1,6
642	VT-conSC(N-S)	GLOBAL	Force	Y Proj	0	0,02397	-2,38	-2,38
642	VT-conSC(S-N)	GLOBAL	Force	Y Proj	0	0,02397	2,38	2,38
642	VL-sinSC(O-E)	GLOBAL	Force	X Proj	0	0,02397	0,28	0,28
642	VL-sinSC(E-O)	GLOBAL	Force	X Proj	0	0,02397	-0,28	-0,28
642	VL-conSC(O-E)	GLOBAL	Force	X Proj	0	0,02397	0,41	0,41
642	VL-conSC(E-O)	GLOBAL	Force	X Proj	0	0,02397	-0,41	-0,41
643	CM	GLOBAL	Force	Gravity	0	0,02397	0,04	0,04
643	VT-sinSC(N-S)	GLOBAL	Force	Y Proj	0	0,02397	-1,6	-1,6
643	VT-sinSC(S-N)	GLOBAL	Force	Y Proj	0	0,02397	1,6	1,6
643	VT-conSC(N-S)	GLOBAL	Force	Y Proj	0	0,02397	-2,38	-2,38
643	VT-conSC(S-N)	GLOBAL	Force	Y Proj	0	0,02397	2,38	2,38
643	VL-sinSC(O-E)	GLOBAL	Force	X Proj	0	0,02397	0,28	0,28
643	VL-sinSC(E-O)	GLOBAL	Force	X Proj	0	0,02397	-0,28	-0,28
643	VL-conSC(O-E)	GLOBAL	Force	X Proj	0	0,02397	0,41	0,41
643	VL-conSC(E-O)	GLOBAL	Force	X Proj	0	0,02397	-0,41	-0,41
644	CM	GLOBAL	Force	Gravity	0	0,02397	0,04	0,04
644	VT-sinSC(N-S)	GLOBAL	Force	Y Proj	0	0,02397	-1,6	-1,6
644	VT-sinSC(S-N)	GLOBAL	Force	Y Proj	0	0,02397	1,6	1,6
644	VT-conSC(N-S)	GLOBAL	Force	Y Proj	0	0,02397	-2,38	-2,38
644	VT-conSC(S-N)	GLOBAL	Force	Y Proj	0	0,02397	2,38	2,38

644	VL-sinSC(O-E)	GLOBAL	Force	X Proj	0	0,02397	0,28	0,28
644	VL-sinSC(E-O)	GLOBAL	Force	X Proj	0	0,02397	-0,28	-0,28
644	VL-conSC(O-E)	GLOBAL	Force	X Proj	0	0,02397	0,41	0,41
644	VL-conSC(E-O)	GLOBAL	Force	X Proj	0	0,02397	-0,41	-0,41
645	CM	GLOBAL	Force	Gravity	0	0,02397	0,04	0,04
645	VT-sinSC(N-S)	GLOBAL	Force	Y Proj	0	0,02397	-1,6	-1,6
645	VT-sinSC(S-N)	GLOBAL	Force	Y Proj	0	0,02397	1,6	1,6
645	VT-conSC(N-S)	GLOBAL	Force	Y Proj	0	0,02397	-2,38	-2,38
645	VT-conSC(S-N)	GLOBAL	Force	Y Proj	0	0,02397	2,38	2,38
645	VL-sinSC(O-E)	GLOBAL	Force	X Proj	0	0,02397	0,28	0,28
645	VL-sinSC(E-O)	GLOBAL	Force	X Proj	0	0,02397	-0,28	-0,28
645	VL-conSC(O-E)	GLOBAL	Force	X Proj	0	0,02397	0,41	0,41
645	VL-conSC(E-O)	GLOBAL	Force	X Proj	0	0,02397	-0,41	-0,41
646	CM	GLOBAL	Force	Gravity	0	0,02397	0,04	0,04
646	VT-sinSC(N-S)	GLOBAL	Force	Y Proj	0	0,02397	-1,6	-1,6
646	VT-sinSC(S-N)	GLOBAL	Force	Y Proj	0	0,02397	1,6	1,6
646	VT-conSC(N-S)	GLOBAL	Force	Y Proj	0	0,02397	-2,38	-2,38
646	VT-conSC(S-N)	GLOBAL	Force	Y Proj	0	0,02397	2,38	2,38
646	VL-sinSC(O-E)	GLOBAL	Force	X Proj	0	0,02397	0,28	0,28
646	VL-sinSC(E-O)	GLOBAL	Force	X Proj	0	0,02397	-0,28	-0,28
646	VL-conSC(O-E)	GLOBAL	Force	X Proj	0	0,02397	0,41	0,41
646	VL-conSC(E-O)	GLOBAL	Force	X Proj	0	0,02397	-0,41	-0,41
647	CM	GLOBAL	Force	Gravity	0	0,24233	0,04	0,04
647	VT-sinSC(N-S)	GLOBAL	Force	Y Proj	0	0,24233	-1,6	-1,6
647	VT-sinSC(S-N)	GLOBAL	Force	Y Proj	0	0,24233	1,6	1,6
647	VT-conSC(N-S)	GLOBAL	Force	Y Proj	0	0,24233	-2,38	-2,38
647	VT-conSC(S-N)	GLOBAL	Force	Y Proj	0	0,24233	2,38	2,38
647	VL-sinSC(O-E)	GLOBAL	Force	X Proj	0	0,24233	0,28	0,28
647	VL-sinSC(E-O)	GLOBAL	Force	X Proj	0	0,24233	-0,28	-0,28
647	VL-conSC(O-E)	GLOBAL	Force	X Proj	0	0,24233	0,41	0,41
647	VL-conSC(E-O)	GLOBAL	Force	X Proj	0	0,24233	-0,41	-0,41
648	CM	GLOBAL	Force	Gravity	0	0,24204	0,04	0,04
648	VT-sinSC(N-S)	GLOBAL	Force	Y Proj	0	0,24204	-1,6	-1,6
648	VT-sinSC(S-N)	GLOBAL	Force	Y Proj	0	0,24204	1,6	1,6
648	VT-conSC(N-S)	GLOBAL	Force	Y Proj	0	0,24204	-2,38	-2,38
648	VT-conSC(S-N)	GLOBAL	Force	Y Proj	0	0,24204	2,38	2,38
648	VL-sinSC(O-E)	GLOBAL	Force	X Proj	0	0,24204	0,28	0,28
648	VL-sinSC(E-O)	GLOBAL	Force	X Proj	0	0,24204	-0,28	-0,28
648	VL-conSC(O-E)	GLOBAL	Force	X Proj	0	0,24204	0,41	0,41



648	VL-conSC(E-O)	GLOBAL	Force	X Proj	0	0,24204	-0,41	-0,41
649	CM	GLOBAL	Force	Gravity	0	0,24179	0,04	0,04
649	VT-sinSC(N-S)	GLOBAL	Force	Y Proj	0	0,24179	-1,6	-1,6
649	VT-sinSC(S-N)	GLOBAL	Force	Y Proj	0	0,24179	1,6	1,6
649	VT-conSC(N-S)	GLOBAL	Force	Y Proj	0	0,24179	-2,38	-2,38
649	VT-conSC(S-N)	GLOBAL	Force	Y Proj	0	0,24179	2,38	2,38
649	VL-sinSC(O-E)	GLOBAL	Force	X Proj	0	0,24179	0,28	0,28
649	VL-sinSC(E-O)	GLOBAL	Force	X Proj	0	0,24179	-0,28	-0,28
649	VL-conSC(O-E)	GLOBAL	Force	X Proj	0	0,24179	0,41	0,41
649	VL-conSC(E-O)	GLOBAL	Force	X Proj	0	0,24179	-0,41	-0,41
650	CM	GLOBAL	Force	Gravity	0	0,24161	0,04	0,04
650	VT-sinSC(N-S)	GLOBAL	Force	Y Proj	0	0,24161	-1,6	-1,6
650	VT-sinSC(S-N)	GLOBAL	Force	Y Proj	0	0,24161	1,6	1,6
650	VT-conSC(N-S)	GLOBAL	Force	Y Proj	0	0,24161	-2,38	-2,38
650	VT-conSC(S-N)	GLOBAL	Force	Y Proj	0	0,24161	2,38	2,38
650	VL-sinSC(O-E)	GLOBAL	Force	X Proj	0	0,24161	0,28	0,28
650	VL-sinSC(E-O)	GLOBAL	Force	X Proj	0	0,24161	-0,28	-0,28
650	VL-conSC(O-E)	GLOBAL	Force	X Proj	0	0,24161	0,41	0,41
650	VL-conSC(E-O)	GLOBAL	Force	X Proj	0	0,24161	-0,41	-0,41
651	CM	GLOBAL	Force	Gravity	0	0,24149	0,04	0,04
651	VT-sinSC(N-S)	GLOBAL	Force	Y Proj	0	0,24149	-1,6	-1,6
651	VT-sinSC(S-N)	GLOBAL	Force	Y Proj	0	0,24149	1,6	1,6
651	VT-conSC(N-S)	GLOBAL	Force	Y Proj	0	0,24149	-2,38	-2,38
651	VT-conSC(S-N)	GLOBAL	Force	Y Proj	0	0,24149	2,38	2,38
651	VL-sinSC(O-E)	GLOBAL	Force	X Proj	0	0,24149	0,28	0,28
651	VL-sinSC(E-O)	GLOBAL	Force	X Proj	0	0,24149	-0,28	-0,28
651	VL-conSC(O-E)	GLOBAL	Force	X Proj	0	0,24149	0,41	0,41
651	VL-conSC(E-O)	GLOBAL	Force	X Proj	0	0,24149	-0,41	-0,41
652	CM	GLOBAL	Force	Gravity	0	0,24143	0,04	0,04
652	VT-sinSC(N-S)	GLOBAL	Force	Y Proj	0	0,24143	-1,6	-1,6
652	VT-sinSC(S-N)	GLOBAL	Force	Y Proj	0	0,24143	1,6	1,6
652	VT-conSC(N-S)	GLOBAL	Force	Y Proj	0	0,24143	-2,38	-2,38
652	VT-conSC(S-N)	GLOBAL	Force	Y Proj	0	0,24143	2,38	2,38
652	VL-sinSC(O-E)	GLOBAL	Force	X Proj	0	0,24143	0,28	0,28
652	VL-sinSC(E-O)	GLOBAL	Force	X Proj	0	0,24143	-0,28	-0,28
652	VL-conSC(O-E)	GLOBAL	Force	X Proj	0	0,24143	0,41	0,41
652	VL-conSC(E-O)	GLOBAL	Force	X Proj	0	0,24143	-0,41	-0,41
653	CM	GLOBAL	Force	Gravity	0	0,24143	0,04	0,04
653	VT-sinSC(N-S)	GLOBAL	Force	Y Proj	0	0,24143	-1,6	-1,6

653	VT-sinSC(S-N)	GLOBAL	Force	Y Proj	0	0,24143	1,6	1,6
653	VT-conSC(N-S)	GLOBAL	Force	Y Proj	0	0,24143	-2,38	-2,38
653	VT-conSC(S-N)	GLOBAL	Force	Y Proj	0	0,24143	2,38	2,38
653	VL-sinSC(O-E)	GLOBAL	Force	X Proj	0	0,24143	0,28	0,28
653	VL-sinSC(E-O)	GLOBAL	Force	X Proj	0	0,24143	-0,28	-0,28
653	VL-conSC(O-E)	GLOBAL	Force	X Proj	0	0,24143	0,41	0,41
653	VL-conSC(E-O)	GLOBAL	Force	X Proj	0	0,24143	-0,41	-0,41
655	CM	GLOBAL	Force	Gravity	0	0,24161	0,04	0,04
655	VT-sinSC(N-S)	GLOBAL	Force	Y Proj	0	0,24161	-1,6	-1,6
655	VT-sinSC(S-N)	GLOBAL	Force	Y Proj	0	0,24161	1,6	1,6
655	VT-conSC(N-S)	GLOBAL	Force	Y Proj	0	0,24161	-2,38	-2,38
655	VT-conSC(S-N)	GLOBAL	Force	Y Proj	0	0,24161	2,38	2,38
655	VL-sinSC(O-E)	GLOBAL	Force	X Proj	0	0,24161	0,28	0,28
655	VL-sinSC(E-O)	GLOBAL	Force	X Proj	0	0,24161	-0,28	-0,28
655	VL-conSC(O-E)	GLOBAL	Force	X Proj	0	0,24161	0,41	0,41
655	VL-conSC(E-O)	GLOBAL	Force	X Proj	0	0,24161	-0,41	-0,41
656	CM	GLOBAL	Force	Gravity	0	0,24179	0,04	0,04
656	VT-sinSC(N-S)	GLOBAL	Force	Y Proj	0	0,24179	-1,6	-1,6
656	VT-sinSC(S-N)	GLOBAL	Force	Y Proj	0	0,24179	1,6	1,6
656	VT-conSC(N-S)	GLOBAL	Force	Y Proj	0	0,24179	-2,38	-2,38
656	VT-conSC(S-N)	GLOBAL	Force	Y Proj	0	0,24179	2,38	2,38
656	VL-sinSC(O-E)	GLOBAL	Force	X Proj	0	0,24179	0,28	0,28
656	VL-sinSC(E-O)	GLOBAL	Force	X Proj	0	0,24179	-0,28	-0,28
656	VL-conSC(O-E)	GLOBAL	Force	X Proj	0	0,24179	0,41	0,41
656	VL-conSC(E-O)	GLOBAL	Force	X Proj	0	0,24179	-0,41	-0,41
657	CM	GLOBAL	Force	Gravity	0	0,24204	0,04	0,04
657	VT-sinSC(N-S)	GLOBAL	Force	Y Proj	0	0,24204	-1,6	-1,6
657	VT-sinSC(S-N)	GLOBAL	Force	Y Proj	0	0,24204	1,6	1,6
657	VT-conSC(N-S)	GLOBAL	Force	Y Proj	0	0,24204	-2,38	-2,38
657	VT-conSC(S-N)	GLOBAL	Force	Y Proj	0	0,24204	2,38	2,38
657	VL-sinSC(O-E)	GLOBAL	Force	X Proj	0	0,24204	0,28	0,28
657	VL-sinSC(E-O)	GLOBAL	Force	X Proj	0	0,24204	-0,28	-0,28
657	VL-conSC(O-E)	GLOBAL	Force	X Proj	0	0,24204	0,41	0,41
657	VL-conSC(E-O)	GLOBAL	Force	X Proj	0	0,24204	-0,41	-0,41
658	CM	GLOBAL	Force	Gravity	0	0,24235	0,04	0,04
658	VT-sinSC(N-S)	GLOBAL	Force	Y Proj	0	0,24235	-1,6	-1,6
658	VT-sinSC(S-N)	GLOBAL	Force	Y Proj	0	0,24235	1,6	1,6
658	VT-conSC(N-S)	GLOBAL	Force	Y Proj	0	0,24235	-2,38	-2,38
658	VT-conSC(S-N)	GLOBAL	Force	Y Proj	0	0,24235	2,38	2,38



658	VL-sinSC(O-E)	GLOBAL	Force	X Proj	0	0,24235	0,28	0,28
658	VL-sinSC(E-O)	GLOBAL	Force	X Proj	0	0,24235	-0,28	-0,28
658	VL-conSC(O-E)	GLOBAL	Force	X Proj	0	0,24235	0,41	0,41
658	VL-conSC(E-O)	GLOBAL	Force	X Proj	0	0,24235	-0,41	-0,41
659	CM	GLOBAL	Force	Gravity	0	0,24244	0,04	0,04
659	VT-sinSC(N-S)	GLOBAL	Force	Y Proj	0	0,24244	-1,6	-1,6
659	VT-sinSC(S-N)	GLOBAL	Force	Y Proj	0	0,24244	1,6	1,6
659	VT-conSC(N-S)	GLOBAL	Force	Y Proj	0	0,24244	-2,38	-2,38
659	VT-conSC(S-N)	GLOBAL	Force	Y Proj	0	0,24244	2,38	2,38
659	VL-sinSC(O-E)	GLOBAL	Force	X Proj	0	0,24244	0,28	0,28
659	VL-sinSC(E-O)	GLOBAL	Force	X Proj	0	0,24244	-0,28	-0,28
659	VL-conSC(O-E)	GLOBAL	Force	X Proj	0	0,24244	0,41	0,41
659	VL-conSC(E-O)	GLOBAL	Force	X Proj	0	0,24244	-0,41	-0,41
660	CM	GLOBAL	Force	Gravity	0	0,24216	0,04	0,04
660	VT-sinSC(N-S)	GLOBAL	Force	Y Proj	0	0,24216	-1,6	-1,6
660	VT-sinSC(S-N)	GLOBAL	Force	Y Proj	0	0,24216	1,6	1,6
660	VT-conSC(N-S)	GLOBAL	Force	Y Proj	0	0,24216	-2,38	-2,38
660	VT-conSC(S-N)	GLOBAL	Force	Y Proj	0	0,24216	2,38	2,38
660	VL-sinSC(O-E)	GLOBAL	Force	X Proj	0	0,24216	0,28	0,28
660	VL-sinSC(E-O)	GLOBAL	Force	X Proj	0	0,24216	-0,28	-0,28
660	VL-conSC(O-E)	GLOBAL	Force	X Proj	0	0,24216	0,41	0,41
660	VL-conSC(E-O)	GLOBAL	Force	X Proj	0	0,24216	-0,41	-0,41
661	CM	GLOBAL	Force	Gravity	0	0,24194	0,04	0,04
661	VT-sinSC(N-S)	GLOBAL	Force	Y Proj	0	0,24194	-1,6	-1,6
661	VT-sinSC(S-N)	GLOBAL	Force	Y Proj	0	0,24194	1,6	1,6
661	VT-conSC(N-S)	GLOBAL	Force	Y Proj	0	0,24194	-2,38	-2,38
661	VT-conSC(S-N)	GLOBAL	Force	Y Proj	0	0,24194	2,38	2,38
661	VL-sinSC(O-E)	GLOBAL	Force	X Proj	0	0,24194	0,28	0,28
661	VL-sinSC(E-O)	GLOBAL	Force	X Proj	0	0,24194	-0,28	-0,28
661	VL-conSC(O-E)	GLOBAL	Force	X Proj	0	0,24194	0,41	0,41
661	VL-conSC(E-O)	GLOBAL	Force	X Proj	0	0,24194	-0,41	-0,41
663	CM	GLOBAL	Force	Gravity	0	0,24168	0,04	0,04
663	VT-sinSC(N-S)	GLOBAL	Force	Y Proj	0	0,24168	-1,6	-1,6
663	VT-sinSC(S-N)	GLOBAL	Force	Y Proj	0	0,24168	1,6	1,6
663	VT-conSC(N-S)	GLOBAL	Force	Y Proj	0	0,24168	-2,38	-2,38
663	VT-conSC(S-N)	GLOBAL	Force	Y Proj	0	0,24168	2,38	2,38
663	VL-sinSC(O-E)	GLOBAL	Force	X Proj	0	0,24168	0,28	0,28
663	VL-sinSC(E-O)	GLOBAL	Force	X Proj	0	0,24168	-0,28	-0,28
663	VL-conSC(O-E)	GLOBAL	Force	X Proj	0	0,24168	0,41	0,41

663	VL-conSC(E-O)	GLOBAL	Force	X Proj	0	0,24168	-0,41	-0,41
664	CM	GLOBAL	Force	Gravity	0	0,24164	0,04	0,04
664	VT-sinSC(N-S)	GLOBAL	Force	Y Proj	0	0,24164	-1,6	-1,6
664	VT-sinSC(S-N)	GLOBAL	Force	Y Proj	0	0,24164	1,6	1,6
664	VT-conSC(N-S)	GLOBAL	Force	Y Proj	0	0,24164	-2,38	-2,38
664	VT-conSC(S-N)	GLOBAL	Force	Y Proj	0	0,24164	2,38	2,38
664	VL-sinSC(O-E)	GLOBAL	Force	X Proj	0	0,24164	0,28	0,28
664	VL-sinSC(E-O)	GLOBAL	Force	X Proj	0	0,24164	-0,28	-0,28
664	VL-conSC(O-E)	GLOBAL	Force	X Proj	0	0,24164	0,41	0,41
664	VL-conSC(E-O)	GLOBAL	Force	X Proj	0	0,24164	-0,41	-0,41
665	CM	GLOBAL	Force	Gravity	0	0,24166	0,04	0,04
665	VT-sinSC(N-S)	GLOBAL	Force	Y Proj	0	0,24166	-1,6	-1,6
665	VT-sinSC(S-N)	GLOBAL	Force	Y Proj	0	0,24166	1,6	1,6
665	VT-conSC(N-S)	GLOBAL	Force	Y Proj	0	0,24166	-2,38	-2,38
665	VT-conSC(S-N)	GLOBAL	Force	Y Proj	0	0,24166	2,38	2,38
665	VL-sinSC(O-E)	GLOBAL	Force	X Proj	0	0,24166	0,28	0,28
665	VL-sinSC(E-O)	GLOBAL	Force	X Proj	0	0,24166	-0,28	-0,28
665	VL-conSC(O-E)	GLOBAL	Force	X Proj	0	0,24166	0,41	0,41
665	VL-conSC(E-O)	GLOBAL	Force	X Proj	0	0,24166	-0,41	-0,41
666	CM	GLOBAL	Force	Gravity	0	0,24175	0,04	0,04
666	VT-sinSC(N-S)	GLOBAL	Force	Y Proj	0	0,24175	-1,6	-1,6
666	VT-sinSC(S-N)	GLOBAL	Force	Y Proj	0	0,24175	1,6	1,6
666	VT-conSC(N-S)	GLOBAL	Force	Y Proj	0	0,24175	-2,38	-2,38
666	VL-sinSC(O-E)	GLOBAL	Force	X Proj	0	0,24175	0,28	0,28
666	VL-sinSC(E-O)	GLOBAL	Force	X Proj	0	0,24175	-0,28	-0,28
666	VL-conSC(O-E)	GLOBAL	Force	X Proj	0	0,24175	0,41	0,41
666	VL-conSC(E-O)	GLOBAL	Force	X Proj	0	0,24175	-0,41	-0,41
666	VT-conSC(S-N)	GLOBAL	Force	Y Proj	0	0,24175	2,38	2,38
667	CM	GLOBAL	Force	Gravity	0	0,24189	0,04	0,04
667	VT-sinSC(N-S)	GLOBAL	Force	Y Proj	0	0,24189	-1,6	-1,6
667	VT-sinSC(S-N)	GLOBAL	Force	Y Proj	0	0,24189	1,6	1,6
667	VT-conSC(N-S)	GLOBAL	Force	Y Proj	0	0,24189	-2,38	-2,38
667	VL-sinSC(O-E)	GLOBAL	Force	X Proj	0	0,24189	0,28	0,28
667	VL-sinSC(E-O)	GLOBAL	Force	X Proj	0	0,24189	-0,28	-0,28
667	VL-conSC(O-E)	GLOBAL	Force	X Proj	0	0,24189	0,41	0,41
667	VL-conSC(E-O)	GLOBAL	Force	X Proj	0	0,24189	-0,41	-0,41
667	VT-conSC(S-N)	GLOBAL	Force	Y Proj	0	0,24189	2,38	2,38
668	CM	GLOBAL	Force	Gravity	0	0,2421	0,04	0,04
668	VT-sinSC(N-S)	GLOBAL	Force	Y Proj	0	0,2421	-1,6	-1,6



668	VT-sinSC(S-N)	GLOBAL	Force	Y Proj	0	0,2421	1,6	1,6
668	VT-conSC(N-S)	GLOBAL	Force	Y Proj	0	0,2421	-2,38	-2,38
668	VL-sinSC(O-E)	GLOBAL	Force	X Proj	0	0,2421	0,28	0,28
668	VL-sinSC(E-O)	GLOBAL	Force	X Proj	0	0,2421	-0,28	-0,28
668	VL-conSC(O-E)	GLOBAL	Force	X Proj	0	0,2421	0,41	0,41
668	VL-conSC(E-O)	GLOBAL	Force	X Proj	0	0,2421	-0,41	-0,41
668	VT-conSC(S-N)	GLOBAL	Force	Y Proj	0	0,2421	2,38	2,38
669	CM	GLOBAL	Force	Gravity	0	0,24237	0,04	0,04
669	VT-sinSC(N-S)	GLOBAL	Force	Y Proj	0	0,24237	-1,6	-1,6
669	VT-sinSC(S-N)	GLOBAL	Force	Y Proj	0	0,24237	1,6	1,6
669	VT-conSC(N-S)	GLOBAL	Force	Y Proj	0	0,24237	-2,38	-2,38
669	VL-sinSC(O-E)	GLOBAL	Force	X Proj	0	0,24237	0,28	0,28
669	VL-sinSC(E-O)	GLOBAL	Force	X Proj	0	0,24237	-0,28	-0,28
669	VL-conSC(O-E)	GLOBAL	Force	X Proj	0	0,24237	0,41	0,41
669	VL-conSC(E-O)	GLOBAL	Force	X Proj	0	0,24237	-0,41	-0,41
669	VT-conSC(S-N)	GLOBAL	Force	Y Proj	0	0,24237	2,38	2,38
672	VT-sinSC(N-S)	GLOBAL	Force	Y Proj	0	1,5	-1,6	-1,6
672	VT-sinSC(S-N)	GLOBAL	Force	Y Proj	0	1,5	1,6	1,6
672	VT-conSC(N-S)	GLOBAL	Force	Y Proj	0	1,5	-2,38	-2,38
672	VT-conSC(S-N)	GLOBAL	Force	Y Proj	0	1,5	2,38	2,38
672	VL-sinSC(O-E)	GLOBAL	Force	X Proj	0	1,5	0,28	0,28
672	VL-sinSC(E-O)	GLOBAL	Force	X Proj	0	1,5	-0,28	-0,28
672	VL-conSC(O-E)	GLOBAL	Force	X Proj	0	1,5	0,41	0,41
672	VL-conSC(E-O)	GLOBAL	Force	X Proj	0	1,5	-0,41	-0,41
672	CM	GLOBAL	Force	Gravity	0	1,5	0,04	0,04
676	VT-sinSC(N-S)	GLOBAL	Force	Y Proj	0	1,5	-1,6	-1,6
676	VT-conSC(N-S)	GLOBAL	Force	Y Proj	0	1,5	-2,38	-2,38
676	VT-conSC(S-N)	GLOBAL	Force	Y Proj	0	1,5	2,38	2,38
676	VL-sinSC(O-E)	GLOBAL	Force	X Proj	0	1,5	0,28	0,28
676	VL-sinSC(E-O)	GLOBAL	Force	X Proj	0	1,5	-0,28	-0,28
676	VL-conSC(O-E)	GLOBAL	Force	X Proj	0	1,5	0,41	0,41
676	VL-conSC(E-O)	GLOBAL	Force	X Proj	0	1,5	-0,41	-0,41
676	CM	GLOBAL	Force	Gravity	0	1,5	0,04	0,04
676	VT-sinSC(S-N)	GLOBAL	Force	Y Proj	0	1,5	1,6	1,6
682	CM	GLOBAL	Force	Gravity	0	1,0272	0,04	0,04
682	VT-sinSC(N-S)	GLOBAL	Force	Y Proj	0	1,0272	-1,6	-1,6
682	VT-sinSC(S-N)	GLOBAL	Force	Y Proj	0	1,0272	1,6	1,6
682	VT-conSC(N-S)	GLOBAL	Force	Y Proj	0	1,0272	-2,38	-2,38
682	VT-conSC(S-N)	GLOBAL	Force	Y Proj	0	1,0272	2,38	2,38

682	VL-sinSC(O-E)	GLOBAL	Force	X Proj	0	1,0272	0,28	0,28
682	VL-sinSC(E-O)	GLOBAL	Force	X Proj	0	1,0272	-0,28	-0,28
682	VL-conSC(O-E)	GLOBAL	Force	X Proj	0	1,0272	0,41	0,41
682	VL-conSC(E-O)	GLOBAL	Force	X Proj	0	1,0272	-0,41	-0,41
683	CM	GLOBAL	Force	Gravity	0	0,03244	0,04	0,04
683	VT-sinSC(N-S)	GLOBAL	Force	Y Proj	0	0,03244	-1,6	-1,6
683	VT-sinSC(S-N)	GLOBAL	Force	Y Proj	0	0,03244	1,6	1,6
683	VT-conSC(N-S)	GLOBAL	Force	Y Proj	0	0,03244	-2,38	-2,38
683	VT-conSC(S-N)	GLOBAL	Force	Y Proj	0	0,03244	2,38	2,38
683	VL-sinSC(O-E)	GLOBAL	Force	X Proj	0	0,03244	0,28	0,28
683	VL-sinSC(E-O)	GLOBAL	Force	X Proj	0	0,03244	-0,28	-0,28
683	VL-conSC(O-E)	GLOBAL	Force	X Proj	0	0,03244	0,41	0,41
683	VL-conSC(E-O)	GLOBAL	Force	X Proj	0	0,03244	-0,41	-0,41
684	CM	GLOBAL	Force	Gravity	0	0,03165	0,04	0,04
684	VT-sinSC(N-S)	GLOBAL	Force	Y Proj	0	0,03165	-1,6	-1,6
684	VT-sinSC(S-N)	GLOBAL	Force	Y Proj	0	0,03165	1,6	1,6
684	VT-conSC(N-S)	GLOBAL	Force	Y Proj	0	0,03165	-2,38	-2,38
684	VT-conSC(S-N)	GLOBAL	Force	Y Proj	0	0,03165	2,38	2,38
684	VL-sinSC(O-E)	GLOBAL	Force	X Proj	0	0,03165	0,28	0,28
684	VL-sinSC(E-O)	GLOBAL	Force	X Proj	0	0,03165	-0,28	-0,28
684	VL-conSC(O-E)	GLOBAL	Force	X Proj	0	0,03165	0,41	0,41
684	VL-conSC(E-O)	GLOBAL	Force	X Proj	0	0,03165	-0,41	-0,41
685	CM	GLOBAL	Force	Gravity	0	0,03165	0,04	0,04
685	VT-sinSC(N-S)	GLOBAL	Force	Y Proj	0	0,03165	-1,6	-1,6
685	VT-sinSC(S-N)	GLOBAL	Force	Y Proj	0	0,03165	1,6	1,6
685	VT-conSC(N-S)	GLOBAL	Force	Y Proj	0	0,03165	-2,38	-2,38
685	VT-conSC(S-N)	GLOBAL	Force	Y Proj	0	0,03165	2,38	2,38
685	VL-sinSC(O-E)	GLOBAL	Force	X Proj	0	0,03165	0,28	0,28
685	VL-sinSC(E-O)	GLOBAL	Force	X Proj	0	0,03165	-0,28	-0,28
685	VL-conSC(O-E)	GLOBAL	Force	X Proj	0	0,03165	0,41	0,41
685	VL-conSC(E-O)	GLOBAL	Force	X Proj	0	0,03165	-0,41	-0,41
686	CM	GLOBAL	Force	Gravity	0	0,03165	0,04	0,04
686	VT-sinSC(N-S)	GLOBAL	Force	Y Proj	0	0,03165	-1,6	-1,6
686	VT-sinSC(S-N)	GLOBAL	Force	Y Proj	0	0,03165	1,6	1,6
686	VT-conSC(N-S)	GLOBAL	Force	Y Proj	0	0,03165	-2,38	-2,38
686	VT-conSC(S-N)	GLOBAL	Force	Y Proj	0	0,03165	2,38	2,38
686	VL-sinSC(O-E)	GLOBAL	Force	X Proj	0	0,03165	0,28	0,28
686	VL-sinSC(E-O)	GLOBAL	Force	X Proj	0	0,03165	-0,28	-0,28
686	VL-conSC(O-E)	GLOBAL	Force	X Proj	0	0,03165	0,41	0,41



686	VL-conSC(E-O)	GLOBAL	Force	X Proj	0	0,03165	-0,41	-0,41
687	CM	GLOBAL	Force	Gravity	0	0,03165	0,04	0,04
687	VT-sinSC(N-S)	GLOBAL	Force	Y Proj	0	0,03165	-1,6	-1,6
687	VT-sinSC(S-N)	GLOBAL	Force	Y Proj	0	0,03165	1,6	1,6
687	VT-conSC(N-S)	GLOBAL	Force	Y Proj	0	0,03165	-2,38	-2,38
687	VT-conSC(S-N)	GLOBAL	Force	Y Proj	0	0,03165	2,38	2,38
687	VL-sinSC(O-E)	GLOBAL	Force	X Proj	0	0,03165	0,28	0,28
687	VL-sinSC(E-O)	GLOBAL	Force	X Proj	0	0,03165	-0,28	-0,28
687	VL-conSC(O-E)	GLOBAL	Force	X Proj	0	0,03165	0,41	0,41
687	VL-conSC(E-O)	GLOBAL	Force	X Proj	0	0,03165	-0,41	-0,41
688	CM	GLOBAL	Force	Gravity	0	0,03165	0,04	0,04
688	VT-sinSC(N-S)	GLOBAL	Force	Y Proj	0	0,03165	-1,6	-1,6
688	VT-sinSC(S-N)	GLOBAL	Force	Y Proj	0	0,03165	1,6	1,6
688	VT-conSC(N-S)	GLOBAL	Force	Y Proj	0	0,03165	-2,38	-2,38
688	VT-conSC(S-N)	GLOBAL	Force	Y Proj	0	0,03165	2,38	2,38
688	VL-sinSC(O-E)	GLOBAL	Force	X Proj	0	0,03165	0,28	0,28
688	VL-sinSC(E-O)	GLOBAL	Force	X Proj	0	0,03165	-0,28	-0,28
688	VL-conSC(O-E)	GLOBAL	Force	X Proj	0	0,03165	0,41	0,41
688	VL-conSC(E-O)	GLOBAL	Force	X Proj	0	0,03165	-0,41	-0,41
689	CM	GLOBAL	Force	Gravity	0	0,03165	0,04	0,04
689	VT-sinSC(N-S)	GLOBAL	Force	Y Proj	0	0,03165	-1,6	-1,6
689	VT-sinSC(S-N)	GLOBAL	Force	Y Proj	0	0,03165	1,6	1,6
689	VT-conSC(N-S)	GLOBAL	Force	Y Proj	0	0,03165	-2,38	-2,38
689	VT-conSC(S-N)	GLOBAL	Force	Y Proj	0	0,03165	2,38	2,38
689	VL-sinSC(O-E)	GLOBAL	Force	X Proj	0	0,03165	0,28	0,28
689	VL-sinSC(E-O)	GLOBAL	Force	X Proj	0	0,03165	-0,28	-0,28
689	VL-conSC(O-E)	GLOBAL	Force	X Proj	0	0,03165	0,41	0,41
689	VL-conSC(E-O)	GLOBAL	Force	X Proj	0	0,03165	-0,41	-0,41
690	CM	GLOBAL	Force	Gravity	0	0,03164	0,04	0,04
690	VT-sinSC(N-S)	GLOBAL	Force	Y Proj	0	0,03164	-1,6	-1,6
690	VT-sinSC(S-N)	GLOBAL	Force	Y Proj	0	0,03164	1,6	1,6
690	VT-conSC(N-S)	GLOBAL	Force	Y Proj	0	0,03164	-2,38	-2,38
690	VT-conSC(S-N)	GLOBAL	Force	Y Proj	0	0,03164	2,38	2,38
690	VL-sinSC(O-E)	GLOBAL	Force	X Proj	0	0,03164	0,28	0,28
690	VL-sinSC(E-O)	GLOBAL	Force	X Proj	0	0,03164	-0,28	-0,28
690	VL-conSC(O-E)	GLOBAL	Force	X Proj	0	0,03164	0,41	0,41
690	VL-conSC(E-O)	GLOBAL	Force	X Proj	0	0,03164	-0,41	-0,41
691	CM	GLOBAL	Force	Gravity	0	0,03164	0,04	0,04
691	VT-sinSC(N-S)	GLOBAL	Force	Y Proj	0	0,03164	-1,6	-1,6

691	VT-sinSC(S-N)	GLOBAL	Force	Y Proj	0	0,03164	1,6	1,6
691	VT-conSC(N-S)	GLOBAL	Force	Y Proj	0	0,03164	-2,38	-2,38
691	VT-conSC(S-N)	GLOBAL	Force	Y Proj	0	0,03164	2,38	2,38
691	VL-sinSC(O-E)	GLOBAL	Force	X Proj	0	0,03164	0,28	0,28
691	VL-sinSC(E-O)	GLOBAL	Force	X Proj	0	0,03164	-0,28	-0,28
691	VL-conSC(O-E)	GLOBAL	Force	X Proj	0	0,03164	0,41	0,41
691	VL-conSC(E-O)	GLOBAL	Force	X Proj	0	0,03164	-0,41	-0,41
692	CM	GLOBAL	Force	Gravity	0	0,03164	0,04	0,04
692	VT-sinSC(N-S)	GLOBAL	Force	Y Proj	0	0,03164	-1,6	-1,6
692	VT-sinSC(S-N)	GLOBAL	Force	Y Proj	0	0,03164	1,6	1,6
692	VT-conSC(N-S)	GLOBAL	Force	Y Proj	0	0,03164	-2,38	-2,38
692	VT-conSC(S-N)	GLOBAL	Force	Y Proj	0	0,03164	2,38	2,38
692	VL-sinSC(O-E)	GLOBAL	Force	X Proj	0	0,03164	0,28	0,28
692	VL-sinSC(E-O)	GLOBAL	Force	X Proj	0	0,03164	-0,28	-0,28
692	VL-conSC(O-E)	GLOBAL	Force	X Proj	0	0,03164	0,41	0,41
692	VL-conSC(E-O)	GLOBAL	Force	X Proj	0	0,03164	-0,41	-0,41
693	CM	GLOBAL	Force	Gravity	0	0,03165	0,04	0,04
693	VT-sinSC(N-S)	GLOBAL	Force	Y Proj	0	0,03165	-1,6	-1,6
693	VT-sinSC(S-N)	GLOBAL	Force	Y Proj	0	0,03165	1,6	1,6
693	VT-conSC(N-S)	GLOBAL	Force	Y Proj	0	0,03165	-2,38	-2,38
693	VT-conSC(S-N)	GLOBAL	Force	Y Proj	0	0,03165	2,38	2,38
693	VL-sinSC(O-E)	GLOBAL	Force	X Proj	0	0,03165	0,28	0,28
693	VL-sinSC(E-O)	GLOBAL	Force	X Proj	0	0,03165	-0,28	-0,28
693	VL-conSC(O-E)	GLOBAL	Force	X Proj	0	0,03165	0,41	0,41
693	VL-conSC(E-O)	GLOBAL	Force	X Proj	0	0,03165	-0,41	-0,41
694	CM	GLOBAL	Force	Gravity	0	0,03165	0,04	0,04
694	VT-sinSC(N-S)	GLOBAL	Force	Y Proj	0	0,03165	-1,6	-1,6
694	VT-sinSC(S-N)	GLOBAL	Force	Y Proj	0	0,03165	1,6	1,6
694	VT-conSC(N-S)	GLOBAL	Force	Y Proj	0	0,03165	-2,38	-2,38
694	VT-conSC(S-N)	GLOBAL	Force	Y Proj	0	0,03165	2,38	2,38
694	VL-sinSC(O-E)	GLOBAL	Force	X Proj	0	0,03165	0,28	0,28
694	VL-sinSC(E-O)	GLOBAL	Force	X Proj	0	0,03165	-0,28	-0,28
694	VL-conSC(O-E)	GLOBAL	Force	X Proj	0	0,03165	0,41	0,41
694	VL-conSC(E-O)	GLOBAL	Force	X Proj	0	0,03165	-0,41	-0,41
695	CM	GLOBAL	Force	Gravity	0	0,03165	0,04	0,04
695	VT-sinSC(N-S)	GLOBAL	Force	Y Proj	0	0,03165	-1,6	-1,6
695	VT-sinSC(S-N)	GLOBAL	Force	Y Proj	0	0,03165	1,6	1,6
695	VT-conSC(N-S)	GLOBAL	Force	Y Proj	0	0,03165	-2,38	-2,38
695	VT-conSC(S-N)	GLOBAL	Force	Y Proj	0	0,03165	2,38	2,38



695	VL-sinSC(O-E)	GLOBAL	Force	X Proj	0	0,03165	0,28	0,28
695	VL-sinSC(E-O)	GLOBAL	Force	X Proj	0	0,03165	-0,28	-0,28
695	VL-conSC(O-E)	GLOBAL	Force	X Proj	0	0,03165	0,41	0,41
695	VL-conSC(E-O)	GLOBAL	Force	X Proj	0	0,03165	-0,41	-0,41
696	CM	GLOBAL	Force	Gravity	0	0,03165	0,04	0,04
696	VT-sinSC(N-S)	GLOBAL	Force	Y Proj	0	0,03165	-1,6	-1,6
696	VT-sinSC(S-N)	GLOBAL	Force	Y Proj	0	0,03165	1,6	1,6
696	VT-conSC(N-S)	GLOBAL	Force	Y Proj	0	0,03165	-2,38	-2,38
696	VT-conSC(S-N)	GLOBAL	Force	Y Proj	0	0,03165	2,38	2,38
696	VL-sinSC(O-E)	GLOBAL	Force	X Proj	0	0,03165	0,28	0,28
696	VL-sinSC(E-O)	GLOBAL	Force	X Proj	0	0,03165	-0,28	-0,28
696	VL-conSC(O-E)	GLOBAL	Force	X Proj	0	0,03165	0,41	0,41
696	VL-conSC(E-O)	GLOBAL	Force	X Proj	0	0,03165	-0,41	-0,41
697	CM	GLOBAL	Force	Gravity	0	0,03165	0,04	0,04
697	VT-sinSC(N-S)	GLOBAL	Force	Y Proj	0	0,03165	-1,6	-1,6
697	VT-sinSC(S-N)	GLOBAL	Force	Y Proj	0	0,03165	1,6	1,6
697	VT-conSC(N-S)	GLOBAL	Force	Y Proj	0	0,03165	-2,38	-2,38
697	VT-conSC(S-N)	GLOBAL	Force	Y Proj	0	0,03165	2,38	2,38
697	VL-sinSC(O-E)	GLOBAL	Force	X Proj	0	0,03165	0,28	0,28
697	VL-sinSC(E-O)	GLOBAL	Force	X Proj	0	0,03165	-0,28	-0,28
697	VL-conSC(O-E)	GLOBAL	Force	X Proj	0	0,03165	0,41	0,41
697	VL-conSC(E-O)	GLOBAL	Force	X Proj	0	0,03165	-0,41	-0,41
698	CM	GLOBAL	Force	Gravity	0	0,03165	0,04	0,04
698	VT-sinSC(N-S)	GLOBAL	Force	Y Proj	0	0,03165	-1,6	-1,6
698	VT-sinSC(S-N)	GLOBAL	Force	Y Proj	0	0,03165	1,6	1,6
698	VT-conSC(N-S)	GLOBAL	Force	Y Proj	0	0,03165	-2,38	-2,38
698	VT-conSC(S-N)	GLOBAL	Force	Y Proj	0	0,03165	2,38	2,38
698	VL-sinSC(O-E)	GLOBAL	Force	X Proj	0	0,03165	0,28	0,28
698	VL-sinSC(E-O)	GLOBAL	Force	X Proj	0	0,03165	-0,28	-0,28
698	VL-conSC(O-E)	GLOBAL	Force	X Proj	0	0,03165	0,41	0,41
698	VL-conSC(E-O)	GLOBAL	Force	X Proj	0	0,03165	-0,41	-0,41
699	CM	GLOBAL	Force	Gravity	0	0,03165	0,04	0,04
699	VT-sinSC(N-S)	GLOBAL	Force	Y Proj	0	0,03165	-1,6	-1,6
699	VT-sinSC(S-N)	GLOBAL	Force	Y Proj	0	0,03165	1,6	1,6
699	VT-conSC(N-S)	GLOBAL	Force	Y Proj	0	0,03165	-2,38	-2,38
699	VT-conSC(S-N)	GLOBAL	Force	Y Proj	0	0,03165	2,38	2,38
699	VL-sinSC(O-E)	GLOBAL	Force	X Proj	0	0,03165	0,28	0,28
699	VL-sinSC(E-O)	GLOBAL	Force	X Proj	0	0,03165	-0,28	-0,28
699	VL-conSC(O-E)	GLOBAL	Force	X Proj	0	0,03165	0,41	0,41

699	VL-conSC(E-O)	GLOBAL	Force	X Proj	0	0,03165	-0,41	-0,41
700	CM	GLOBAL	Force	Gravity	0	0,20975	0,04	0,04
700	VT-sinSC(N-S)	GLOBAL	Force	Y Proj	0	0,20975	-1,6	-1,6
700	VT-sinSC(S-N)	GLOBAL	Force	Y Proj	0	0,20975	1,6	1,6
700	VT-conSC(N-S)	GLOBAL	Force	Y Proj	0	0,20975	-2,38	-2,38
700	VT-conSC(S-N)	GLOBAL	Force	Y Proj	0	0,20975	2,38	2,38
700	VL-sinSC(O-E)	GLOBAL	Force	X Proj	0	0,20975	0,28	0,28
700	VL-sinSC(E-O)	GLOBAL	Force	X Proj	0	0,20975	-0,28	-0,28
700	VL-conSC(O-E)	GLOBAL	Force	X Proj	0	0,20975	0,41	0,41
700	VL-conSC(E-O)	GLOBAL	Force	X Proj	0	0,20975	-0,41	-0,41
701	CM	GLOBAL	Force	Gravity	0	0,20965	0,04	0,04
701	VT-sinSC(N-S)	GLOBAL	Force	Y Proj	0	0,20965	-1,6	-1,6
701	VT-sinSC(S-N)	GLOBAL	Force	Y Proj	0	0,20965	1,6	1,6
701	VT-conSC(N-S)	GLOBAL	Force	Y Proj	0	0,20965	-2,38	-2,38
701	VT-conSC(S-N)	GLOBAL	Force	Y Proj	0	0,20965	2,38	2,38
701	VL-sinSC(O-E)	GLOBAL	Force	X Proj	0	0,20965	0,28	0,28
701	VL-sinSC(E-O)	GLOBAL	Force	X Proj	0	0,20965	-0,28	-0,28
701	VL-conSC(O-E)	GLOBAL	Force	X Proj	0	0,20965	0,41	0,41
701	VL-conSC(E-O)	GLOBAL	Force	X Proj	0	0,20965	-0,41	-0,41
702	CM	GLOBAL	Force	Gravity	0	0,20958	0,04	0,04
702	VT-sinSC(N-S)	GLOBAL	Force	Y Proj	0	0,20958	-1,6	-1,6
702	VT-sinSC(S-N)	GLOBAL	Force	Y Proj	0	0,20958	1,6	1,6
702	VT-conSC(N-S)	GLOBAL	Force	Y Proj	0	0,20958	-2,38	-2,38
702	VT-conSC(S-N)	GLOBAL	Force	Y Proj	0	0,20958	2,38	2,38
702	VL-sinSC(O-E)	GLOBAL	Force	X Proj	0	0,20958	0,28	0,28
702	VL-sinSC(E-O)	GLOBAL	Force	X Proj	0	0,20958	-0,28	-0,28
702	VL-conSC(O-E)	GLOBAL	Force	X Proj	0	0,20958	0,41	0,41
702	VL-conSC(E-O)	GLOBAL	Force	X Proj	0	0,20958	-0,41	-0,41
703	CM	GLOBAL	Force	Gravity	0	0,20953	0,04	0,04
703	VT-sinSC(N-S)	GLOBAL	Force	Y Proj	0	0,20953	-1,6	-1,6
703	VT-sinSC(S-N)	GLOBAL	Force	Y Proj	0	0,20953	1,6	1,6
703	VT-conSC(N-S)	GLOBAL	Force	Y Proj	0	0,20953	-2,38	-2,38
703	VT-conSC(S-N)	GLOBAL	Force	Y Proj	0	0,20953	2,38	2,38
703	VL-sinSC(O-E)	GLOBAL	Force	X Proj	0	0,20953	0,28	0,28
703	VL-sinSC(E-O)	GLOBAL	Force	X Proj	0	0,20953	-0,28	-0,28
703	VL-conSC(O-E)	GLOBAL	Force	X Proj	0	0,20953	0,41	0,41
703	VL-conSC(E-O)	GLOBAL	Force	X Proj	0	0,20953	-0,41	-0,41
704	CM	GLOBAL	Force	Gravity	0	0,2095	0,04	0,04
704	VT-sinSC(N-S)	GLOBAL	Force	Y Proj	0	0,2095	-1,6	-1,6



704	VT-sinSC(S-N)	GLOBAL	Force	Y Proj	0	0,2095	1,6	1,6
704	VT-conSC(N-S)	GLOBAL	Force	Y Proj	0	0,2095	-2,38	-2,38
704	VT-conSC(S-N)	GLOBAL	Force	Y Proj	0	0,2095	2,38	2,38
704	VL-sinSC(O-E)	GLOBAL	Force	X Proj	0	0,2095	0,28	0,28
704	VL-sinSC(E-O)	GLOBAL	Force	X Proj	0	0,2095	-0,28	-0,28
704	VL-conSC(O-E)	GLOBAL	Force	X Proj	0	0,2095	0,41	0,41
704	VL-conSC(E-O)	GLOBAL	Force	X Proj	0	0,2095	-0,41	-0,41
705	CM	GLOBAL	Force	Gravity	0	0,2095	0,04	0,04
705	VT-sinSC(N-S)	GLOBAL	Force	Y Proj	0	0,2095	-1,6	-1,6
705	VT-sinSC(S-N)	GLOBAL	Force	Y Proj	0	0,2095	1,6	1,6

705	VT-conSC(N-S)	GLOBAL	Force	Y Proj	0	0,2095	-2,38	-2,38
705	VT-conSC(S-N)	GLOBAL	Force	Y Proj	0	0,2095	2,38	2,38
705	VL-sinSC(O-E)	GLOBAL	Force	X Proj	0	0,2095	0,28	0,28
705	VL-sinSC(E-O)	GLOBAL	Force	X Proj	0	0,2095	-0,28	-0,28
705	VL-conSC(O-E)	GLOBAL	Force	X Proj	0	0,2095	0,41	0,41
705	VL-conSC(E-O)	GLOBAL	Force	X Proj	0	0,2095	-0,41	-0,41
706	CM	GLOBAL	Force	Gravity	0	0,20952	0,04	0,04
706	VT-sinSC(N-S)	GLOBAL	Force	Y Proj	0	0,20952	-1,6	-1,6
706	VT-sinSC(S-N)	GLOBAL	Force	Y Proj	0	0,20952	1,6	1,6
706	VT-conSC(N-S)	GLOBAL	Force	Y Proj	0	0,20952	-2,38	-2,38
706	VT-conSC(S-N)	GLOBAL	Force	Y Proj	0	0,20952	2,38	2,38
706	VL-sinSC(O-E)	GLOBAL	Force	X Proj	0	0,20952	0,28	0,28
706	VL-sinSC(E-O)	GLOBAL	Force	X Proj	0	0,20952	-0,28	-0,28
706	VL-conSC(O-E)	GLOBAL	Force	X Proj	0	0,20952	0,41	0,41
706	VL-conSC(E-O)	GLOBAL	Force	X Proj	0	0,20952	-0,41	-0,41
707	CM	GLOBAL	Force	Gravity	0	0,20956	0,04	0,04
707	VT-sinSC(N-S)	GLOBAL	Force	Y Proj	0	0,20956	-1,6	-1,6
707	VT-sinSC(S-N)	GLOBAL	Force	Y Proj	0	0,20956	1,6	1,6
707	VT-conSC(N-S)	GLOBAL	Force	Y Proj	0	0,20956	-2,38	-2,38
707	VT-conSC(S-N)	GLOBAL	Force	Y Proj	0	0,20956	2,38	2,38
707	VL-sinSC(O-E)	GLOBAL	Force	X Proj	0	0,20956	0,28	0,28
707	VL-sinSC(E-O)	GLOBAL	Force	X Proj	0	0,20956	-0,28	-0,28
707	VL-conSC(O-E)	GLOBAL	Force	X Proj	0	0,20956	0,41	0,41
707	VL-conSC(E-O)	GLOBAL	Force	X Proj	0	0,20956	-0,41	-0,41
708	CM	GLOBAL	Force	Gravity	0	0,20962	0,04	0,04
708	VT-sinSC(N-S)	GLOBAL	Force	Y Proj	0	0,20962	-1,6	-1,6
708	VT-sinSC(S-N)	GLOBAL	Force	Y Proj	0	0,20962	1,6	1,6

708	VT-conSC(N-S)	GLOBAL	Force	Y Proj	0	0,20962	-2,38	-2,38
708	VT-conSC(S-N)	GLOBAL	Force	Y Proj	0	0,20962	2,38	2,38
708	VL-sinSC(O-E)	GLOBAL	Force	X Proj	0	0,20962	0,28	0,28
708	VL-sinSC(E-O)	GLOBAL	Force	X Proj	0	0,20962	-0,28	-0,28
708	VL-conSC(O-E)	GLOBAL	Force	X Proj	0	0,20962	0,41	0,41
708	VL-conSC(E-O)	GLOBAL	Force	X Proj	0	0,20962	-0,41	-0,41
709	CM	GLOBAL	Force	Gravity	0	0,20971	0,04	0,04
709	VT-sinSC(N-S)	GLOBAL	Force	Y Proj	0	0,20971	-1,6	-1,6
709	VT-sinSC(S-N)	GLOBAL	Force	Y Proj	0	0,20971	1,6	1,6
709	VT-conSC(N-S)	GLOBAL	Force	Y Proj	0	0,20971	-2,38	-2,38
709	VT-conSC(S-N)	GLOBAL	Force	Y Proj	0	0,20971	2,38	2,38
709	VL-sinSC(O-E)	GLOBAL	Force	X Proj	0	0,20971	0,28	0,28
709	VL-sinSC(E-O)	GLOBAL	Force	X Proj	0	0,20971	-0,28	-0,28
709	VL-conSC(O-E)	GLOBAL	Force	X Proj	0	0,20971	0,41	0,41
709	VL-conSC(E-O)	GLOBAL	Force	X Proj	0	0,20971	-0,41	-0,41
710	CM	GLOBAL	Force	Gravity	0	0,20978	0,04	0,04
710	VT-sinSC(N-S)	GLOBAL	Force	Y Proj	0	0,20978	-1,6	-1,6
710	VT-sinSC(S-N)	GLOBAL	Force	Y Proj	0	0,20978	1,6	1,6
710	VT-conSC(N-S)	GLOBAL	Force	Y Proj	0	0,20978	-2,38	-2,38
710	VT-conSC(S-N)	GLOBAL	Force	Y Proj	0	0,20978	2,38	2,38
710	VL-sinSC(O-E)	GLOBAL	Force	X Proj	0	0,20978	0,28	0,28
710	VL-sinSC(E-O)	GLOBAL	Force	X Proj	0	0,20978	-0,28	-0,28
710	VL-conSC(O-E)	GLOBAL	Force	X Proj	0	0,20978	0,41	0,41
710	VL-conSC(E-O)	GLOBAL	Force	X Proj	0	0,20978	-0,41	-0,41
712	CM	GLOBAL	Force	Gravity	0	0,20965	0,04	0,04
712	VT-sinSC(N-S)	GLOBAL	Force	Y Proj	0	0,20965	-1,6	-1,6
712	VT-sinSC(S-N)	GLOBAL	Force	Y Proj	0	0,20965	1,6	1,6
712	VT-conSC(N-S)	GLOBAL	Force	Y Proj	0	0,20965	-2,38	-2,38
712	VT-conSC(S-N)	GLOBAL	Force	Y Proj	0	0,20965	2,38	2,38
712	VL-sinSC(O-E)	GLOBAL	Force	X Proj	0	0,20965	0,28	0,28
712	VL-sinSC(E-O)	GLOBAL	Force	X Proj	0	0,20965	-0,28	-0,28
712	VL-conSC(O-E)	GLOBAL	Force	X Proj	0	0,20965	0,41	0,41
712	VL-conSC(E-O)	GLOBAL	Force	X Proj	0	0,20965	-0,41	-0,41
713	CM	GLOBAL	Force	Gravity	0	0,2096	0,04	0,04
713	VT-sinSC(N-S)	GLOBAL	Force	Y Proj	0	0,2096	-1,6	-1,6
713	VT-sinSC(S-N)	GLOBAL	Force	Y Proj	0	0,2096	1,6	1,6
713	VT-conSC(N-S)	GLOBAL	Force	Y Proj	0	0,2096	-2,38	-2,38
713	VT-conSC(S-N)	GLOBAL	Force	Y Proj	0	0,2096	2,38	2,38
713	VL-sinSC(O-E)	GLOBAL	Force	X Proj	0	0,2096	0,28	0,28



713	VL-sinSC(E-O)	GLOBAL	Force	X Proj	0	0,2096	-0,28	-0,28
713	VL-conSC(O-E)	GLOBAL	Force	X Proj	0	0,2096	0,41	0,41
713	VL-conSC(E-O)	GLOBAL	Force	X Proj	0	0,2096	-0,41	-0,41
714	CM	GLOBAL	Force	Gravity	0	0,20958	0,04	0,04
714	VT-sinSC(N-S)	GLOBAL	Force	Y Proj	0	0,20958	-1,6	-1,6
714	VT-sinSC(S-N)	GLOBAL	Force	Y Proj	0	0,20958	1,6	1,6
714	VT-conSC(N-S)	GLOBAL	Force	Y Proj	0	0,20958	-2,38	-2,38
714	VT-conSC(S-N)	GLOBAL	Force	Y Proj	0	0,20958	2,38	2,38
714	VL-sinSC(O-E)	GLOBAL	Force	X Proj	0	0,20958	0,28	0,28
714	VL-sinSC(E-O)	GLOBAL	Force	X Proj	0	0,20958	-0,28	-0,28
714	VL-conSC(O-E)	GLOBAL	Force	X Proj	0	0,20958	0,41	0,41
714	VL-conSC(E-O)	GLOBAL	Force	X Proj	0	0,20958	-0,41	-0,41
715	CM	GLOBAL	Force	Gravity	0	0,20958	0,04	0,04
715	VT-sinSC(N-S)	GLOBAL	Force	Y Proj	0	0,20958	-1,6	-1,6
715	VT-sinSC(S-N)	GLOBAL	Force	Y Proj	0	0,20958	1,6	1,6
715	VT-conSC(N-S)	GLOBAL	Force	Y Proj	0	0,20958	-2,38	-2,38
715	VT-conSC(S-N)	GLOBAL	Force	Y Proj	0	0,20958	2,38	2,38
715	VL-sinSC(O-E)	GLOBAL	Force	X Proj	0	0,20958	0,28	0,28
715	VL-sinSC(E-O)	GLOBAL	Force	X Proj	0	0,20958	-0,28	-0,28
715	VL-conSC(O-E)	GLOBAL	Force	X Proj	0	0,20958	0,41	0,41
715	VL-conSC(E-O)	GLOBAL	Force	X Proj	0	0,20958	-0,41	-0,41
716	CM	GLOBAL	Force	Gravity	0	0,2096	0,04	0,04
716	VT-sinSC(N-S)	GLOBAL	Force	Y Proj	0	0,2096	-1,6	-1,6
716	VT-sinSC(S-N)	GLOBAL	Force	Y Proj	0	0,2096	1,6	1,6
716	VT-conSC(N-S)	GLOBAL	Force	Y Proj	0	0,2096	-2,38	-2,38
716	VT-conSC(S-N)	GLOBAL	Force	Y Proj	0	0,2096	2,38	2,38
716	VL-sinSC(O-E)	GLOBAL	Force	X Proj	0	0,2096	0,28	0,28
716	VL-sinSC(E-O)	GLOBAL	Force	X Proj	0	0,2096	-0,28	-0,28
716	VL-conSC(O-E)	GLOBAL	Force	X Proj	0	0,2096	0,41	0,41
716	VL-conSC(E-O)	GLOBAL	Force	X Proj	0	0,2096	-0,41	-0,41
717	CM	GLOBAL	Force	Gravity	0	0,20965	0,04	0,04
717	VT-sinSC(N-S)	GLOBAL	Force	Y Proj	0	0,20965	-1,6	-1,6
717	VT-sinSC(S-N)	GLOBAL	Force	Y Proj	0	0,20965	1,6	1,6
717	VT-conSC(N-S)	GLOBAL	Force	Y Proj	0	0,20965	-2,38	-2,38
717	VT-conSC(S-N)	GLOBAL	Force	Y Proj	0	0,20965	2,38	2,38
717	VL-sinSC(O-E)	GLOBAL	Force	X Proj	0	0,20965	0,28	0,28
717	VL-sinSC(E-O)	GLOBAL	Force	X Proj	0	0,20965	-0,28	-0,28
717	VL-conSC(O-E)	GLOBAL	Force	X Proj	0	0,20965	0,41	0,41
717	VL-conSC(E-O)	GLOBAL	Force	X Proj	0	0,20965	-0,41	-0,41

718	CM	GLOBAL	Force	Gravity	0	0,20971	0,04	0,04
718	VT-sinSC(N-S)	GLOBAL	Force	Y Proj	0	0,20971	-1,6	-1,6
718	VT-sinSC(S-N)	GLOBAL	Force	Y Proj	0	0,20971	1,6	1,6
718	VT-conSC(N-S)	GLOBAL	Force	Y Proj	0	0,20971	-2,38	-2,38
718	VT-conSC(S-N)	GLOBAL	Force	Y Proj	0	0,20971	2,38	2,38
718	VL-sinSC(O-E)	GLOBAL	Force	X Proj	0	0,20971	0,28	0,28
718	VL-sinSC(E-O)	GLOBAL	Force	X Proj	0	0,20971	-0,28	-0,28
718	VL-conSC(O-E)	GLOBAL	Force	X Proj	0	0,20971	0,41	0,41
718	VL-conSC(E-O)	GLOBAL	Force	X Proj	0	0,20971	-0,41	-0,41
719	CM	GLOBAL	Force	Gravity	0	0,20978	0,04	0,04
719	VT-sinSC(N-S)	GLOBAL	Force	Y Proj	0	0,20978	-1,6	-1,6
719	VT-sinSC(S-N)	GLOBAL	Force	Y Proj	0	0,20978	1,6	1,6
719	VT-conSC(N-S)	GLOBAL	Force	Y Proj	0	0,20978	-2,38	-2,38
719	VT-conSC(S-N)	GLOBAL	Force	Y Proj	0	0,20978	2,38	2,38
719	VL-sinSC(O-E)	GLOBAL	Force	X Proj	0	0,20978	0,28	0,28
719	VL-sinSC(E-O)	GLOBAL	Force	X Proj	0	0,20978	-0,28	-0,28
719	VL-conSC(O-E)	GLOBAL	Force	X Proj	0	0,20978	0,41	0,41
719	VL-conSC(E-O)	GLOBAL	Force	X Proj	0	0,20978	-0,41	-0,41
720	CM	GLOBAL	Force	Gravity	0	0,20966	0,04	0,04
720	VT-sinSC(N-S)	GLOBAL	Force	Y Proj	0	0,20966	-1,6	-1,6
720	VT-sinSC(S-N)	GLOBAL	Force	Y Proj	0	0,20966	1,6	1,6
720	VT-conSC(N-S)	GLOBAL	Force	Y Proj	0	0,20966	-2,38	-2,38
720	VT-conSC(S-N)	GLOBAL	Force	Y Proj	0	0,20966	2,38	2,38
720	VL-sinSC(O-E)	GLOBAL	Force	X Proj	0	0,20966	0,28	0,28
720	VL-sinSC(E-O)	GLOBAL	Force	X Proj	0	0,20966	-0,28	-0,28
720	VL-conSC(O-E)	GLOBAL	Force	X Proj	0	0,20966	0,41	0,41
720	VL-conSC(E-O)	GLOBAL	Force	X Proj	0	0,20966	-0,41	-0,41
721	CM	GLOBAL	Force	Gravity	0	0,20952	0,04	0,04
721	VT-sinSC(N-S)	GLOBAL	Force	Y Proj	0	0,20952	-1,6	-1,6
721	VT-sinSC(S-N)	GLOBAL	Force	Y Proj	0	0,20952	1,6	1,6
721	VT-conSC(N-S)	GLOBAL	Force	Y Proj	0	0,20952	-2,38	-2,38
721	VT-conSC(S-N)	GLOBAL	Force	Y Proj	0	0,20952	2,38	2,38
721	VL-sinSC(O-E)	GLOBAL	Force	X Proj	0	0,20952	0,28	0,28
721	VL-sinSC(E-O)	GLOBAL	Force	X Proj	0	0,20952	-0,28	-0,28
721	VL-conSC(O-E)	GLOBAL	Force	X Proj	0	0,20952	0,41	0,41
721	VL-conSC(E-O)	GLOBAL	Force	X Proj	0	0,20952	-0,41	-0,41
722	CM	GLOBAL	Force	Gravity	0	0,2094	0,04	0,04
722	VT-sinSC(N-S)	GLOBAL	Force	Y Proj	0	0,2094	-1,6	-1,6
722	VT-sinSC(S-N)	GLOBAL	Force	Y Proj	0	0,2094	1,6	1,6



722	VT-conSC(N-S)	GLOBAL	Force	Y Proj	0	0,2094	-2,38	-2,38
722	VT-conSC(S-N)	GLOBAL	Force	Y Proj	0	0,2094	2,38	2,38
722	VL-sinSC(O-E)	GLOBAL	Force	X Proj	0	0,2094	0,28	0,28
722	VL-sinSC(E-O)	GLOBAL	Force	X Proj	0	0,2094	-0,28	-0,28
722	VL-conSC(O-E)	GLOBAL	Force	X Proj	0	0,2094	0,41	0,41
722	VL-conSC(E-O)	GLOBAL	Force	X Proj	0	0,2094	-0,41	-0,41
724	CM	GLOBAL	Force	Gravity	0	0,20922	0,04	0,04
724	VT-sinSC(N-S)	GLOBAL	Force	Y Proj	0	0,20922	-1,6	-1,6
724	VT-sinSC(S-N)	GLOBAL	Force	Y Proj	0	0,20922	1,6	1,6
724	VT-conSC(N-S)	GLOBAL	Force	Y Proj	0	0,20922	-2,38	-2,38
724	VT-conSC(S-N)	GLOBAL	Force	Y Proj	0	0,20922	2,38	2,38
724	VL-sinSC(O-E)	GLOBAL	Force	X Proj	0	0,20922	0,28	0,28
724	VL-sinSC(E-O)	GLOBAL	Force	X Proj	0	0,20922	-0,28	-0,28
724	VL-conSC(O-E)	GLOBAL	Force	X Proj	0	0,20922	0,41	0,41
724	VL-conSC(E-O)	GLOBAL	Force	X Proj	0	0,20922	-0,41	-0,41
725	CM	GLOBAL	Force	Gravity	0	0,20917	0,04	0,04
725	VT-sinSC(N-S)	GLOBAL	Force	Y Proj	0	0,20917	-1,6	-1,6
725	VT-sinSC(S-N)	GLOBAL	Force	Y Proj	0	0,20917	1,6	1,6
725	VT-conSC(N-S)	GLOBAL	Force	Y Proj	0	0,20917	-2,38	-2,38
725	VT-conSC(S-N)	GLOBAL	Force	Y Proj	0	0,20917	2,38	2,38
725	VL-sinSC(O-E)	GLOBAL	Force	X Proj	0	0,20917	0,28	0,28
725	VL-sinSC(E-O)	GLOBAL	Force	X Proj	0	0,20917	-0,28	-0,28
725	VL-conSC(O-E)	GLOBAL	Force	X Proj	0	0,20917	0,41	0,41
725	VL-conSC(E-O)	GLOBAL	Force	X Proj	0	0,20917	-0,41	-0,41
726	CM	GLOBAL	Force	Gravity	0	0,20914	0,04	0,04
726	VT-sinSC(N-S)	GLOBAL	Force	Y Proj	0	0,20914	-1,6	-1,6
726	VT-sinSC(S-N)	GLOBAL	Force	Y Proj	0	0,20914	1,6	1,6
726	VT-conSC(N-S)	GLOBAL	Force	Y Proj	0	0,20914	-2,38	-2,38
726	VT-conSC(S-N)	GLOBAL	Force	Y Proj	0	0,20914	2,38	2,38
726	VL-sinSC(O-E)	GLOBAL	Force	X Proj	0	0,20914	0,28	0,28
726	VL-sinSC(E-O)	GLOBAL	Force	X Proj	0	0,20914	-0,28	-0,28
726	VL-conSC(O-E)	GLOBAL	Force	X Proj	0	0,20914	0,41	0,41
726	VL-conSC(E-O)	GLOBAL	Force	X Proj	0	0,20914	-0,41	-0,41
727	CM	GLOBAL	Force	Gravity	0	0,20914	0,04	0,04
727	VT-sinSC(N-S)	GLOBAL	Force	Y Proj	0	0,20914	-1,6	-1,6
727	VT-sinSC(S-N)	GLOBAL	Force	Y Proj	0	0,20914	1,6	1,6
727	VT-conSC(N-S)	GLOBAL	Force	Y Proj	0	0,20914	-2,38	-2,38
727	VT-conSC(S-N)	GLOBAL	Force	Y Proj	0	0,20914	2,38	2,38
727	VL-sinSC(O-E)	GLOBAL	Force	X Proj	0	0,20914	0,28	0,28

727	VL-sinSC(E-O)	GLOBAL	Force	X Proj	0	0,20914	-0,28	-0,28
727	VL-conSC(O-E)	GLOBAL	Force	X Proj	0	0,20914	0,41	0,41
727	VL-conSC(E-O)	GLOBAL	Force	X Proj	0	0,20914	-0,41	-0,41
728	CM	GLOBAL	Force	Gravity	0	0,20915	0,04	0,04
728	VT-sinSC(N-S)	GLOBAL	Force	Y Proj	0	0,20915	-1,6	-1,6
728	VT-sinSC(S-N)	GLOBAL	Force	Y Proj	0	0,20915	1,6	1,6
728	VT-conSC(N-S)	GLOBAL	Force	Y Proj	0	0,20915	-2,38	-2,38
728	VT-conSC(S-N)	GLOBAL	Force	Y Proj	0	0,20915	2,38	2,38
728	VL-sinSC(O-E)	GLOBAL	Force	X Proj	0	0,20915	0,28	0,28
728	VL-sinSC(E-O)	GLOBAL	Force	X Proj	0	0,20915	-0,28	-0,28
728	VL-conSC(O-E)	GLOBAL	Force	X Proj	0	0,20915	0,41	0,41
728	VL-conSC(E-O)	GLOBAL	Force	X Proj	0	0,20915	-0,41	-0,41
729	CM	GLOBAL	Force	Gravity	0	0,20919	0,04	0,04
729	VT-sinSC(N-S)	GLOBAL	Force	Y Proj	0	0,20919	-1,6	-1,6
729	VT-sinSC(S-N)	GLOBAL	Force	Y Proj	0	0,20919	1,6	1,6
729	VT-conSC(N-S)	GLOBAL	Force	Y Proj	0	0,20919	-2,38	-2,38
729	VT-conSC(S-N)	GLOBAL	Force	Y Proj	0	0,20919	2,38	2,38
729	VL-sinSC(O-E)	GLOBAL	Force	X Proj	0	0,20919	0,28	0,28
729	VL-sinSC(E-O)	GLOBAL	Force	X Proj	0	0,20919	-0,28	-0,28
729	VL-conSC(O-E)	GLOBAL	Force	X Proj	0	0,20919	0,41	0,41
729	VL-conSC(E-O)	GLOBAL	Force	X Proj	0	0,20919	-0,41	-0,41
730	CM	GLOBAL	Force	Gravity	0	0,20925	0,04	0,04
730	VT-sinSC(N-S)	GLOBAL	Force	Y Proj	0	0,20925	-1,6	-1,6
730	VT-sinSC(S-N)	GLOBAL	Force	Y Proj	0	0,20925	1,6	1,6
730	VT-conSC(N-S)	GLOBAL	Force	Y Proj	0	0,20925	-2,38	-2,38
730	VT-conSC(S-N)	GLOBAL	Force	Y Proj	0	0,20925	2,38	2,38
730	VL-sinSC(O-E)	GLOBAL	Force	X Proj	0	0,20925	0,28	0,28
730	VL-sinSC(E-O)	GLOBAL	Force	X Proj	0	0,20925	-0,28	-0,28
730	VL-conSC(O-E)	GLOBAL	Force	X Proj	0	0,20925	0,41	0,41
730	VL-conSC(E-O)	GLOBAL	Force	X Proj	0	0,20925	-0,41	-0,41
731	CM	GLOBAL	Force	Gravity	0	0,20933	0,04	0,04
731	VT-sinSC(N-S)	GLOBAL	Force	Y Proj	0	0,20933	-1,6	-1,6
731	VT-sinSC(S-N)	GLOBAL	Force	Y Proj	0	0,20933	1,6	1,6
731	VT-conSC(N-S)	GLOBAL	Force	Y Proj	0	0,20933	-2,38	-2,38
731	VT-conSC(S-N)	GLOBAL	Force	Y Proj	0	0,20933	2,38	2,38
731	VL-sinSC(O-E)	GLOBAL	Force	X Proj	0	0,20933	0,28	0,28
731	VL-sinSC(E-O)	GLOBAL	Force	X Proj	0	0,20933	-0,28	-0,28
731	VL-conSC(O-E)	GLOBAL	Force	X Proj	0	0,20933	0,41	0,41
731	VL-conSC(E-O)	GLOBAL	Force	X Proj	0	0,20933	-0,41	-0,41



732	CM	GLOBAL	Force	Gravity	0	0,20943	0,04	0,04
732	VT-sinSC(N-S)	GLOBAL	Force	Y Proj	0	0,20943	-1,6	-1,6
732	VT-sinSC(S-N)	GLOBAL	Force	Y Proj	0	0,20943	1,6	1,6
732	VT-conSC(N-S)	GLOBAL	Force	Y Proj	0	0,20943	-2,38	-2,38
732	VT-conSC(S-N)	GLOBAL	Force	Y Proj	0	0,20943	2,38	2,38
732	VL-sinSC(O-E)	GLOBAL	Force	X Proj	0	0,20943	0,28	0,28
732	VL-sinSC(E-O)	GLOBAL	Force	X Proj	0	0,20943	-0,28	-0,28
732	VL-conSC(O-E)	GLOBAL	Force	X Proj	0	0,20943	0,41	0,41
732	VL-conSC(E-O)	GLOBAL	Force	X Proj	0	0,20943	-0,41	-0,41
733	CM	GLOBAL	Force	Gravity	0	0,20956	0,04	0,04
733	VT-sinSC(N-S)	GLOBAL	Force	Y Proj	0	0,20956	-1,6	-1,6
733	VT-sinSC(S-N)	GLOBAL	Force	Y Proj	0	0,20956	1,6	1,6
733	VT-conSC(N-S)	GLOBAL	Force	Y Proj	0	0,20956	-2,38	-2,38
733	VT-conSC(S-N)	GLOBAL	Force	Y Proj	0	0,20956	2,38	2,38
733	VL-sinSC(O-E)	GLOBAL	Force	X Proj	0	0,20956	0,28	0,28
733	VL-sinSC(E-O)	GLOBAL	Force	X Proj	0	0,20956	-0,28	-0,28
733	VL-conSC(O-E)	GLOBAL	Force	X Proj	0	0,20956	0,41	0,41
733	VL-conSC(E-O)	GLOBAL	Force	X Proj	0	0,20956	-0,41	-0,41
734	CM	GLOBAL	Force	Gravity	0	0,20971	0,04	0,04
734	VT-sinSC(N-S)	GLOBAL	Force	Y Proj	0	0,20971	-1,6	-1,6
734	VT-sinSC(S-N)	GLOBAL	Force	Y Proj	0	0,20971	1,6	1,6
734	VT-conSC(N-S)	GLOBAL	Force	Y Proj	0	0,20971	-2,38	-2,38
734	VT-conSC(S-N)	GLOBAL	Force	Y Proj	0	0,20971	2,38	2,38
734	VL-sinSC(O-E)	GLOBAL	Force	X Proj	0	0,20971	0,28	0,28
734	VL-sinSC(E-O)	GLOBAL	Force	X Proj	0	0,20971	-0,28	-0,28
734	VL-conSC(O-E)	GLOBAL	Force	X Proj	0	0,20971	0,41	0,41
734	VL-conSC(E-O)	GLOBAL	Force	X Proj	0	0,20971	-0,41	-0,41
735	PPforjado	GLOBAL	Force	Gravity	0	2,5	4	4
735	SC_7	GLOBAL	Force	Gravity	0	2,5	9	9
736	PPforjado	GLOBAL	Force	Gravity	0	2,50001	4	4
736	SC_7	GLOBAL	Force	Gravity	0	2,50001	9	9
737	PPforjado	GLOBAL	Force	Gravity	0	2,50001	4	4
737	SC_7	GLOBAL	Force	Gravity	0	2,50001	9	9
738	PPforjado	GLOBAL	Force	Gravity	0	2,50002	4	4
738	SC_7	GLOBAL	Force	Gravity	0	2,50002	9	9
742	PPforjado	GLOBAL	Force	Gravity	0	2,50012	4	4
742	SC_2	GLOBAL	Force	Gravity	0	2,50012	9	9
743	CM	GLOBAL	Force	Gravity	0	0,18247	0,04	0,04
743	VT-sinSC(N-S)	GLOBAL	Force	Y Proj	0	0,18247	-1,6	-1,6

743	VT-sinSC(S-N)	GLOBAL	Force	Y Proj	0	0,18247	1,6	1,6
743	VT-conSC(N-S)	GLOBAL	Force	Y Proj	0	0,18247	-2,38	-2,38
743	VT-conSC(S-N)	GLOBAL	Force	Y Proj	0	0,18247	2,38	2,38
743	VL-sinSC(O-E)	GLOBAL	Force	X Proj	0	0,18247	0,28	0,28
743	VL-sinSC(E-O)	GLOBAL	Force	X Proj	0	0,18247	-0,28	-0,28
743	VL-conSC(O-E)	GLOBAL	Force	X Proj	0	0,18247	0,41	0,41
743	VL-conSC(E-O)	GLOBAL	Force	X Proj	0	0,18247	-0,41	-0,41
744	CM	GLOBAL	Force	Gravity	0	0,18236	0,04	0,04
744	VT-sinSC(N-S)	GLOBAL	Force	Y Proj	0	0,18236	-1,6	-1,6
744	VT-sinSC(S-N)	GLOBAL	Force	Y Proj	0	0,18236	1,6	1,6
744	VT-conSC(N-S)	GLOBAL	Force	Y Proj	0	0,18236	-2,38	-2,38
744	VT-conSC(S-N)	GLOBAL	Force	Y Proj	0	0,18236	2,38	2,38
744	VL-sinSC(O-E)	GLOBAL	Force	X Proj	0	0,18236	0,28	0,28
744	VL-sinSC(E-O)	GLOBAL	Force	X Proj	0	0,18236	-0,28	-0,28
744	VL-conSC(O-E)	GLOBAL	Force	X Proj	0	0,18236	0,41	0,41
744	VL-conSC(E-O)	GLOBAL	Force	X Proj	0	0,18236	-0,41	-0,41
745	CM	GLOBAL	Force	Gravity	0	0,18227	0,04	0,04
745	VT-sinSC(N-S)	GLOBAL	Force	Y Proj	0	0,18227	-1,6	-1,6
745	VT-sinSC(S-N)	GLOBAL	Force	Y Proj	0	0,18227	1,6	1,6
745	VT-conSC(N-S)	GLOBAL	Force	Y Proj	0	0,18227	-2,38	-2,38
745	VT-conSC(S-N)	GLOBAL	Force	Y Proj	0	0,18227	2,38	2,38
745	VL-sinSC(O-E)	GLOBAL	Force	X Proj	0	0,18227	0,28	0,28
745	VL-sinSC(E-O)	GLOBAL	Force	X Proj	0	0,18227	-0,28	-0,28
745	VL-conSC(O-E)	GLOBAL	Force	X Proj	0	0,18227	0,41	0,41
745	VL-conSC(E-O)	GLOBAL	Force	X Proj	0	0,18227	-0,41	-0,41
746	CM	GLOBAL	Force	Gravity	0	0,1822	0,04	0,04
746	VT-sinSC(N-S)	GLOBAL	Force	Y Proj	0	0,1822	-1,6	-1,6
746	VT-sinSC(S-N)	GLOBAL	Force	Y Proj	0	0,1822	1,6	1,6
746	VT-conSC(N-S)	GLOBAL	Force	Y Proj	0	0,1822	-2,38	-2,38
746	VT-conSC(S-N)	GLOBAL	Force	Y Proj	0	0,1822	2,38	2,38
746	VL-sinSC(O-E)	GLOBAL	Force	X Proj	0	0,1822	0,28	0,28
746	VL-sinSC(E-O)	GLOBAL	Force	X Proj	0	0,1822	-0,28	-0,28
746	VL-conSC(O-E)	GLOBAL	Force	X Proj	0	0,1822	0,41	0,41
746	VL-conSC(E-O)	GLOBAL	Force	X Proj	0	0,1822	-0,41	-0,41
747	CM	GLOBAL	Force	Gravity	0	0,18214	0,04	0,04
747	VT-sinSC(N-S)	GLOBAL	Force	Y Proj	0	0,18214	-1,6	-1,6
747	VT-sinSC(S-N)	GLOBAL	Force	Y Proj	0	0,18214	1,6	1,6
747	VT-conSC(N-S)	GLOBAL	Force	Y Proj	0	0,18214	-2,38	-2,38
747	VT-conSC(S-N)	GLOBAL	Force	Y Proj	0	0,18214	2,38	2,38



747	VL-sinSC(O-E)	GLOBAL	Force	X Proj	0	0,18214	0,28	0,28
747	VL-sinSC(E-O)	GLOBAL	Force	X Proj	0	0,18214	-0,28	-0,28
747	VL-conSC(O-E)	GLOBAL	Force	X Proj	0	0,18214	0,41	0,41
747	VL-conSC(E-O)	GLOBAL	Force	X Proj	0	0,18214	-0,41	-0,41
748	CM	GLOBAL	Force	Gravity	0	0,18209	0,04	0,04
748	VT-sinSC(N-S)	GLOBAL	Force	Y Proj	0	0,18209	-1,6	-1,6
748	VT-sinSC(S-N)	GLOBAL	Force	Y Proj	0	0,18209	1,6	1,6
748	VT-conSC(N-S)	GLOBAL	Force	Y Proj	0	0,18209	-2,38	-2,38
748	VT-conSC(S-N)	GLOBAL	Force	Y Proj	0	0,18209	2,38	2,38
748	VL-sinSC(O-E)	GLOBAL	Force	X Proj	0	0,18209	0,28	0,28
748	VL-sinSC(E-O)	GLOBAL	Force	X Proj	0	0,18209	-0,28	-0,28
748	VL-conSC(O-E)	GLOBAL	Force	X Proj	0	0,18209	0,41	0,41
748	VL-conSC(E-O)	GLOBAL	Force	X Proj	0	0,18209	-0,41	-0,41
749	CM	GLOBAL	Force	Gravity	0	0,18206	0,04	0,04
749	VT-sinSC(N-S)	GLOBAL	Force	Y Proj	0	0,18206	-1,6	-1,6
749	VT-sinSC(S-N)	GLOBAL	Force	Y Proj	0	0,18206	1,6	1,6
749	VT-conSC(N-S)	GLOBAL	Force	Y Proj	0	0,18206	-2,38	-2,38
749	VT-conSC(S-N)	GLOBAL	Force	Y Proj	0	0,18206	2,38	2,38
749	VL-sinSC(O-E)	GLOBAL	Force	X Proj	0	0,18206	0,28	0,28
749	VL-sinSC(E-O)	GLOBAL	Force	X Proj	0	0,18206	-0,28	-0,28
749	VL-conSC(O-E)	GLOBAL	Force	X Proj	0	0,18206	0,41	0,41
749	VL-conSC(E-O)	GLOBAL	Force	X Proj	0	0,18206	-0,41	-0,41
750	CM	GLOBAL	Force	Gravity	0	0,18203	0,04	0,04
750	VT-sinSC(N-S)	GLOBAL	Force	Y Proj	0	0,18203	-1,6	-1,6
750	VT-sinSC(S-N)	GLOBAL	Force	Y Proj	0	0,18203	1,6	1,6
750	VT-conSC(N-S)	GLOBAL	Force	Y Proj	0	0,18203	-2,38	-2,38
750	VT-conSC(S-N)	GLOBAL	Force	Y Proj	0	0,18203	2,38	2,38
750	VL-sinSC(O-E)	GLOBAL	Force	X Proj	0	0,18203	0,28	0,28
750	VL-sinSC(E-O)	GLOBAL	Force	X Proj	0	0,18203	-0,28	-0,28
750	VL-conSC(O-E)	GLOBAL	Force	X Proj	0	0,18203	0,41	0,41
750	VL-conSC(E-O)	GLOBAL	Force	X Proj	0	0,18203	-0,41	-0,41
751	CM	GLOBAL	Force	Gravity	0	0,18203	0,04	0,04
751	VT-sinSC(N-S)	GLOBAL	Force	Y Proj	0	0,18203	-1,6	-1,6
751	VT-sinSC(S-N)	GLOBAL	Force	Y Proj	0	0,18203	1,6	1,6
751	VT-conSC(N-S)	GLOBAL	Force	Y Proj	0	0,18203	-2,38	-2,38
751	VT-conSC(S-N)	GLOBAL	Force	Y Proj	0	0,18203	2,38	2,38
751	VL-sinSC(O-E)	GLOBAL	Force	X Proj	0	0,18203	0,28	0,28
751	VL-sinSC(E-O)	GLOBAL	Force	X Proj	0	0,18203	-0,28	-0,28
751	VL-conSC(O-E)	GLOBAL	Force	X Proj	0	0,18203	0,41	0,41

751	VL-conSC(E-O)	GLOBAL	Force	X Proj	0	0,18203	-0,41	-0,41
752	CM	GLOBAL	Force	Gravity	0	0,18203	0,04	0,04
752	VT-sinSC(N-S)	GLOBAL	Force	Y Proj	0	0,18203	-1,6	-1,6
752	VT-sinSC(S-N)	GLOBAL	Force	Y Proj	0	0,18203	1,6	1,6
752	VT-conSC(N-S)	GLOBAL	Force	Y Proj	0	0,18203	-2,38	-2,38
752	VT-conSC(S-N)	GLOBAL	Force	Y Proj	0	0,18203	2,38	2,38
752	VL-sinSC(O-E)	GLOBAL	Force	X Proj	0	0,18203	0,28	0,28
752	VL-sinSC(E-O)	GLOBAL	Force	X Proj	0	0,18203	-0,28	-0,28
752	VL-conSC(O-E)	GLOBAL	Force	X Proj	0	0,18203	0,41	0,41
752	VL-conSC(E-O)	GLOBAL	Force	X Proj	0	0,18203	-0,41	-0,41
753	CM	GLOBAL	Force	Gravity	0	0,18205	0,04	0,04
753	VT-sinSC(N-S)	GLOBAL	Force	Y Proj	0	0,18205	-1,6	-1,6
753	VT-sinSC(S-N)	GLOBAL	Force	Y Proj	0	0,18205	1,6	1,6
753	VT-conSC(N-S)	GLOBAL	Force	Y Proj	0	0,18205	-2,38	-2,38
753	VT-conSC(S-N)	GLOBAL	Force	Y Proj	0	0,18205	2,38	2,38
753	VL-sinSC(O-E)	GLOBAL	Force	X Proj	0	0,18205	0,28	0,28
753	VL-sinSC(E-O)	GLOBAL	Force	X Proj	0	0,18205	-0,28	-0,28
753	VL-conSC(O-E)	GLOBAL	Force	X Proj	0	0,18205	0,41	0,41
753	VL-conSC(E-O)	GLOBAL	Force	X Proj	0	0,18205	-0,41	-0,41
755	CM	GLOBAL	Force	Gravity	0	0,18213	0,04	0,04
755	VT-sinSC(N-S)	GLOBAL	Force	Y Proj	0	0,18213	-1,6	-1,6
755	VT-sinSC(S-N)	GLOBAL	Force	Y Proj	0	0,18213	1,6	1,6
755	VT-conSC(N-S)	GLOBAL	Force	Y Proj	0	0,18213	-2,38	-2,38
755	VT-conSC(S-N)	GLOBAL	Force	Y Proj	0	0,18213	2,38	2,38
755	VL-sinSC(O-E)	GLOBAL	Force	X Proj	0	0,18213	0,28	0,28
755	VL-sinSC(E-O)	GLOBAL	Force	X Proj	0	0,18213	-0,28	-0,28
755	VL-conSC(O-E)	GLOBAL	Force	X Proj	0	0,18213	0,41	0,41
755	VL-conSC(E-O)	GLOBAL	Force	X Proj	0	0,18213	-0,41	-0,41
756	CM	GLOBAL	Force	Gravity	0	0,18218	0,04	0,04
756	VT-sinSC(N-S)	GLOBAL	Force	Y Proj	0	0,18218	-1,6	-1,6
756	VT-sinSC(S-N)	GLOBAL	Force	Y Proj	0	0,18218	1,6	1,6
756	VT-conSC(N-S)	GLOBAL	Force	Y Proj	0	0,18218	-2,38	-2,38
756	VT-conSC(S-N)	GLOBAL	Force	Y Proj	0	0,18218	2,38	2,38
756	VL-sinSC(O-E)	GLOBAL	Force	X Proj	0	0,18218	0,28	0,28
756	VL-sinSC(E-O)	GLOBAL	Force	X Proj	0	0,18218	-0,28	-0,28
756	VL-conSC(O-E)	GLOBAL	Force	X Proj	0	0,18218	0,41	0,41
756	VL-conSC(E-O)	GLOBAL	Force	X Proj	0	0,18218	-0,41	-0,41
757	CM	GLOBAL	Force	Gravity	0	0,18226	0,04	0,04
757	VT-sinSC(N-S)	GLOBAL	Force	Y Proj	0	0,18226	-1,6	-1,6



757	VT-sinSC(S-N)	GLOBAL	Force	Y Proj	0	0,18226	1,6	1,6
757	VT-conSC(N-S)	GLOBAL	Force	Y Proj	0	0,18226	-2,38	-2,38
757	VT-conSC(S-N)	GLOBAL	Force	Y Proj	0	0,18226	2,38	2,38
757	VL-sinSC(O-E)	GLOBAL	Force	X Proj	0	0,18226	0,28	0,28
757	VL-sinSC(E-O)	GLOBAL	Force	X Proj	0	0,18226	-0,28	-0,28
757	VL-conSC(O-E)	GLOBAL	Force	X Proj	0	0,18226	0,41	0,41
757	VL-conSC(E-O)	GLOBAL	Force	X Proj	0	0,18226	-0,41	-0,41
758	CM	GLOBAL	Force	Gravity	0	0,18234	0,04	0,04
758	VT-sinSC(N-S)	GLOBAL	Force	Y Proj	0	0,18234	-1,6	-1,6
758	VT-sinSC(S-N)	GLOBAL	Force	Y Proj	0	0,18234	1,6	1,6
758	VT-conSC(N-S)	GLOBAL	Force	Y Proj	0	0,18234	-2,38	-2,38
758	VT-conSC(S-N)	GLOBAL	Force	Y Proj	0	0,18234	2,38	2,38
758	VL-sinSC(O-E)	GLOBAL	Force	X Proj	0	0,18234	0,28	0,28
758	VL-sinSC(E-O)	GLOBAL	Force	X Proj	0	0,18234	-0,28	-0,28
758	VL-conSC(O-E)	GLOBAL	Force	X Proj	0	0,18234	0,41	0,41
758	VL-conSC(E-O)	GLOBAL	Force	X Proj	0	0,18234	-0,41	-0,41
759	CM	GLOBAL	Force	Gravity	0	0,18244	0,04	0,04
759	VT-sinSC(N-S)	GLOBAL	Force	Y Proj	0	0,18244	-1,6	-1,6
759	VT-sinSC(S-N)	GLOBAL	Force	Y Proj	0	0,18244	1,6	1,6
759	VT-conSC(N-S)	GLOBAL	Force	Y Proj	0	0,18244	-2,38	-2,38
759	VT-conSC(S-N)	GLOBAL	Force	Y Proj	0	0,18244	2,38	2,38
759	VL-sinSC(O-E)	GLOBAL	Force	X Proj	0	0,18244	0,28	0,28
759	VL-sinSC(E-O)	GLOBAL	Force	X Proj	0	0,18244	-0,28	-0,28
759	VL-conSC(O-E)	GLOBAL	Force	X Proj	0	0,18244	0,41	0,41
759	VL-conSC(E-O)	GLOBAL	Force	X Proj	0	0,18244	-0,41	-0,41
760	CM	GLOBAL	Force	Gravity	0	0,1825	0,04	0,04
760	VT-sinSC(N-S)	GLOBAL	Force	Y Proj	0	0,1825	-1,6	-1,6
760	VT-sinSC(S-N)	GLOBAL	Force	Y Proj	0	0,1825	1,6	1,6
760	VT-conSC(N-S)	GLOBAL	Force	Y Proj	0	0,1825	-2,38	-2,38
760	VT-conSC(S-N)	GLOBAL	Force	Y Proj	0	0,1825	2,38	2,38
760	VL-sinSC(O-E)	GLOBAL	Force	X Proj	0	0,1825	0,28	0,28
760	VL-sinSC(E-O)	GLOBAL	Force	X Proj	0	0,1825	-0,28	-0,28
760	VL-conSC(O-E)	GLOBAL	Force	X Proj	0	0,1825	0,41	0,41
760	VL-conSC(E-O)	GLOBAL	Force	X Proj	0	0,1825	-0,41	-0,41
761	CM	GLOBAL	Force	Gravity	0	0,18243	0,04	0,04
761	VT-sinSC(N-S)	GLOBAL	Force	Y Proj	0	0,18243	-1,6	-1,6
761	VT-sinSC(S-N)	GLOBAL	Force	Y Proj	0	0,18243	1,6	1,6
761	VT-conSC(N-S)	GLOBAL	Force	Y Proj	0	0,18243	-2,38	-2,38
761	VT-conSC(S-N)	GLOBAL	Force	Y Proj	0	0,18243	2,38	2,38

761	VL-sinSC(O-E)	GLOBAL	Force	X Proj	0	0,18243	0,28	0,28
761	VL-sinSC(E-O)	GLOBAL	Force	X Proj	0	0,18243	-0,28	-0,28
761	VL-conSC(O-E)	GLOBAL	Force	X Proj	0	0,18243	0,41	0,41
761	VL-conSC(E-O)	GLOBAL	Force	X Proj	0	0,18243	-0,41	-0,41
762	CM	GLOBAL	Force	Gravity	0	0,18238	0,04	0,04
762	VT-sinSC(N-S)	GLOBAL	Force	Y Proj	0	0,18238	-1,6	-1,6
762	VT-sinSC(S-N)	GLOBAL	Force	Y Proj	0	0,18238	1,6	1,6
762	VT-conSC(N-S)	GLOBAL	Force	Y Proj	0	0,18238	-2,38	-2,38
762	VT-conSC(S-N)	GLOBAL	Force	Y Proj	0	0,18238	2,38	2,38
762	VL-sinSC(O-E)	GLOBAL	Force	X Proj	0	0,18238	0,28	0,28
762	VL-sinSC(E-O)	GLOBAL	Force	X Proj	0	0,18238	-0,28	-0,28
762	VL-conSC(O-E)	GLOBAL	Force	X Proj	0	0,18238	0,41	0,41
762	VL-conSC(E-O)	GLOBAL	Force	X Proj	0	0,18238	-0,41	-0,41
763	CM	GLOBAL	Force	Gravity	0	0,18233	0,04	0,04
763	VT-sinSC(N-S)	GLOBAL	Force	Y Proj	0	0,18233	-1,6	-1,6
763	VT-sinSC(S-N)	GLOBAL	Force	Y Proj	0	0,18233	1,6	1,6
763	VT-conSC(N-S)	GLOBAL	Force	Y Proj	0	0,18233	-2,38	-2,38
763	VT-conSC(S-N)	GLOBAL	Force	Y Proj	0	0,18233	2,38	2,38
763	VL-sinSC(O-E)	GLOBAL	Force	X Proj	0	0,18233	0,28	0,28
763	VL-sinSC(E-O)	GLOBAL	Force	X Proj	0	0,18233	-0,28	-0,28
763	VL-conSC(O-E)	GLOBAL	Force	X Proj	0	0,18233	0,41	0,41
763	VL-conSC(E-O)	GLOBAL	Force	X Proj	0	0,18233	-0,41	-0,41
764	CM	GLOBAL	Force	Gravity	0	0,1823	0,04	0,04
764	VT-sinSC(N-S)	GLOBAL	Force	Y Proj	0	0,1823	-1,6	-1,6
764	VT-sinSC(S-N)	GLOBAL	Force	Y Proj	0	0,1823	1,6	1,6
764	VT-conSC(N-S)	GLOBAL	Force	Y Proj	0	0,1823	-2,38	-2,38
764	VT-conSC(S-N)	GLOBAL	Force	Y Proj	0	0,1823	2,38	2,38
764	VL-sinSC(O-E)	GLOBAL	Force	X Proj	0	0,1823	0,28	0,28
764	VL-sinSC(E-O)	GLOBAL	Force	X Proj	0	0,1823	-0,28	-0,28
764	VL-conSC(O-E)	GLOBAL	Force	X Proj	0	0,1823	0,41	0,41
764	VL-conSC(E-O)	GLOBAL	Force	X Proj	0	0,1823	-0,41	-0,41
765	CM	GLOBAL	Force	Gravity	0	0,18228	0,04	0,04
765	VT-sinSC(N-S)	GLOBAL	Force	Y Proj	0	0,18228	-1,6	-1,6
765	VT-sinSC(S-N)	GLOBAL	Force	Y Proj	0	0,18228	1,6	1,6
765	VT-conSC(N-S)	GLOBAL	Force	Y Proj	0	0,18228	-2,38	-2,38
765	VT-conSC(S-N)	GLOBAL	Force	Y Proj	0	0,18228	2,38	2,38
765	VL-sinSC(O-E)	GLOBAL	Force	X Proj	0	0,18228	0,28	0,28
765	VL-sinSC(E-O)	GLOBAL	Force	X Proj	0	0,18228	-0,28	-0,28
765	VL-conSC(O-E)	GLOBAL	Force	X Proj	0	0,18228	0,41	0,41



765	VL-conSC(E-O)	GLOBAL	Force	X Proj	0	0,18228	-0,41	-0,41
767	CM	GLOBAL	Force	Gravity	0	0,18228	0,04	0,04
767	VT-sinSC(N-S)	GLOBAL	Force	Y Proj	0	0,18228	-1,6	-1,6
767	VT-sinSC(S-N)	GLOBAL	Force	Y Proj	0	0,18228	1,6	1,6
767	VT-conSC(N-S)	GLOBAL	Force	Y Proj	0	0,18228	-2,38	-2,38
767	VT-conSC(S-N)	GLOBAL	Force	Y Proj	0	0,18228	2,38	2,38
767	VL-sinSC(O-E)	GLOBAL	Force	X Proj	0	0,18228	0,28	0,28
767	VL-sinSC(E-O)	GLOBAL	Force	X Proj	0	0,18228	-0,28	-0,28
767	VL-conSC(O-E)	GLOBAL	Force	X Proj	0	0,18228	0,41	0,41
767	VL-conSC(E-O)	GLOBAL	Force	X Proj	0	0,18228	-0,41	-0,41
768	CM	GLOBAL	Force	Gravity	0	0,1823	0,04	0,04
768	VT-sinSC(N-S)	GLOBAL	Force	Y Proj	0	0,1823	-1,6	-1,6
768	VT-sinSC(S-N)	GLOBAL	Force	Y Proj	0	0,1823	1,6	1,6
768	VT-conSC(N-S)	GLOBAL	Force	Y Proj	0	0,1823	-2,38	-2,38
768	VT-conSC(S-N)	GLOBAL	Force	Y Proj	0	0,1823	2,38	2,38
768	VL-sinSC(O-E)	GLOBAL	Force	X Proj	0	0,1823	0,28	0,28
768	VL-sinSC(E-O)	GLOBAL	Force	X Proj	0	0,1823	-0,28	-0,28
768	VL-conSC(O-E)	GLOBAL	Force	X Proj	0	0,1823	0,41	0,41
768	VL-conSC(E-O)	GLOBAL	Force	X Proj	0	0,1823	-0,41	-0,41
769	CM	GLOBAL	Force	Gravity	0	0,18234	0,04	0,04
769	VT-sinSC(N-S)	GLOBAL	Force	Y Proj	0	0,18234	-1,6	-1,6
769	VT-sinSC(S-N)	GLOBAL	Force	Y Proj	0	0,18234	1,6	1,6
769	VT-conSC(N-S)	GLOBAL	Force	Y Proj	0	0,18234	-2,38	-2,38
769	VT-conSC(S-N)	GLOBAL	Force	Y Proj	0	0,18234	2,38	2,38
769	VL-sinSC(O-E)	GLOBAL	Force	X Proj	0	0,18234	0,28	0,28
769	VL-sinSC(E-O)	GLOBAL	Force	X Proj	0	0,18234	-0,28	-0,28
769	VL-conSC(O-E)	GLOBAL	Force	X Proj	0	0,18234	0,41	0,41
769	VL-conSC(E-O)	GLOBAL	Force	X Proj	0	0,18234	-0,41	-0,41
770	CM	GLOBAL	Force	Gravity	0	0,18238	0,04	0,04
770	VT-sinSC(N-S)	GLOBAL	Force	Y Proj	0	0,18238	-1,6	-1,6
770	VT-sinSC(S-N)	GLOBAL	Force	Y Proj	0	0,18238	1,6	1,6
770	VT-conSC(N-S)	GLOBAL	Force	Y Proj	0	0,18238	-2,38	-2,38
770	VT-conSC(S-N)	GLOBAL	Force	Y Proj	0	0,18238	2,38	2,38
770	VL-sinSC(O-E)	GLOBAL	Force	X Proj	0	0,18238	0,28	0,28
770	VL-sinSC(E-O)	GLOBAL	Force	X Proj	0	0,18238	-0,28	-0,28
770	VL-conSC(O-E)	GLOBAL	Force	X Proj	0	0,18238	0,41	0,41
770	VL-conSC(E-O)	GLOBAL	Force	X Proj	0	0,18238	-0,41	-0,41
771	CM	GLOBAL	Force	Gravity	0	0,18245	0,04	0,04
771	VT-sinSC(N-S)	GLOBAL	Force	Y Proj	0	0,18245	-1,6	-1,6

771	VT-sinSC(S-N)	GLOBAL	Force	Y Proj	0	0,18245	1,6	1,6
771	VT-conSC(N-S)	GLOBAL	Force	Y Proj	0	0,18245	-2,38	-2,38
771	VT-conSC(S-N)	GLOBAL	Force	Y Proj	0	0,18245	2,38	2,38
771	VL-sinSC(O-E)	GLOBAL	Force	X Proj	0	0,18245	0,28	0,28
771	VL-sinSC(E-O)	GLOBAL	Force	X Proj	0	0,18245	-0,28	-0,28
771	VL-conSC(O-E)	GLOBAL	Force	X Proj	0	0,18245	0,41	0,41
771	VL-conSC(E-O)	GLOBAL	Force	X Proj	0	0,18245	-0,41	-0,41
772	CM	GLOBAL	Force	Gravity	0	0,1825	0,04	0,04
772	VT-sinSC(N-S)	GLOBAL	Force	Y Proj	0	0,1825	-1,6	-1,6
772	VT-sinSC(S-N)	GLOBAL	Force	Y Proj	0	0,1825	1,6	1,6
772	VT-conSC(N-S)	GLOBAL	Force	Y Proj	0	0,1825	-2,38	-2,38
772	VT-conSC(S-N)	GLOBAL	Force	Y Proj	0	0,1825	2,38	2,38
772	VL-sinSC(O-E)	GLOBAL	Force	X Proj	0	0,1825	0,28	0,28
772	VL-sinSC(E-O)	GLOBAL	Force	X Proj	0	0,1825	-0,28	-0,28
772	VL-conSC(O-E)	GLOBAL	Force	X Proj	0	0,1825	0,41	0,41
772	VL-conSC(E-O)	GLOBAL	Force	X Proj	0	0,1825	-0,41	-0,41
773	CM	GLOBAL	Force	Gravity	0	0,18244	0,04	0,04
773	VT-sinSC(N-S)	GLOBAL	Force	Y Proj	0	0,18244	-1,6	-1,6
773	VT-sinSC(S-N)	GLOBAL	Force	Y Proj	0	0,18244	1,6	1,6
773	VT-conSC(N-S)	GLOBAL	Force	Y Proj	0	0,18244	-2,38	-2,38
773	VT-conSC(S-N)	GLOBAL	Force	Y Proj	0	0,18244	2,38	2,38
773	VL-sinSC(O-E)	GLOBAL	Force	X Proj	0	0,18244	0,28	0,28
773	VL-sinSC(E-O)	GLOBAL	Force	X Proj	0	0,18244	-0,28	-0,28
773	VL-conSC(O-E)	GLOBAL	Force	X Proj	0	0,18244	0,41	0,41
773	VL-conSC(E-O)	GLOBAL	Force	X Proj	0	0,18244	-0,41	-0,41
774	CM	GLOBAL	Force	Gravity	0	0,18236	0,04	0,04
774	VT-sinSC(N-S)	GLOBAL	Force	Y Proj	0	0,18236	-1,6	-1,6
774	VT-sinSC(S-N)	GLOBAL	Force	Y Proj	0	0,18236	1,6	1,6
774	VT-conSC(N-S)	GLOBAL	Force	Y Proj	0	0,18236	-2,38	-2,38
774	VT-conSC(S-N)	GLOBAL	Force	Y Proj	0	0,18236	2,38	2,38
774	VL-sinSC(O-E)	GLOBAL	Force	X Proj	0	0,18236	0,28	0,28
774	VL-sinSC(E-O)	GLOBAL	Force	X Proj	0	0,18236	-0,28	-0,28
774	VL-conSC(O-E)	GLOBAL	Force	X Proj	0	0,18236	0,41	0,41
774	VL-conSC(E-O)	GLOBAL	Force	X Proj	0	0,18236	-0,41	-0,41
775	CM	GLOBAL	Force	Gravity	0	0,18229	0,04	0,04
775	VT-sinSC(N-S)	GLOBAL	Force	Y Proj	0	0,18229	-1,6	-1,6
775	VT-sinSC(S-N)	GLOBAL	Force	Y Proj	0	0,18229	1,6	1,6
775	VT-conSC(N-S)	GLOBAL	Force	Y Proj	0	0,18229	-2,38	-2,38
775	VT-conSC(S-N)	GLOBAL	Force	Y Proj	0	0,18229	2,38	2,38



775	VL-sinSC(O-E)	GLOBAL	Force	X Proj	0	0,18229	0,28	0,28
775	VL-sinSC(E-O)	GLOBAL	Force	X Proj	0	0,18229	-0,28	-0,28
775	VL-conSC(O-E)	GLOBAL	Force	X Proj	0	0,18229	0,41	0,41
775	VL-conSC(E-O)	GLOBAL	Force	X Proj	0	0,18229	-0,41	-0,41
776	CM	GLOBAL	Force	Gravity	0	0,18224	0,04	0,04
776	VT-sinSC(N-S)	GLOBAL	Force	Y Proj	0	0,18224	-1,6	-1,6
776	VT-sinSC(S-N)	GLOBAL	Force	Y Proj	0	0,18224	1,6	1,6
776	VT-conSC(N-S)	GLOBAL	Force	Y Proj	0	0,18224	-2,38	-2,38
776	VT-conSC(S-N)	GLOBAL	Force	Y Proj	0	0,18224	2,38	2,38
776	VL-sinSC(O-E)	GLOBAL	Force	X Proj	0	0,18224	0,28	0,28
776	VL-sinSC(E-O)	GLOBAL	Force	X Proj	0	0,18224	-0,28	-0,28
776	VL-conSC(O-E)	GLOBAL	Force	X Proj	0	0,18224	0,41	0,41
776	VL-conSC(E-O)	GLOBAL	Force	X Proj	0	0,18224	-0,41	-0,41
777	CM	GLOBAL	Force	Gravity	0	0,1822	0,04	0,04
777	VT-sinSC(N-S)	GLOBAL	Force	Y Proj	0	0,1822	-1,6	-1,6
777	VT-sinSC(S-N)	GLOBAL	Force	Y Proj	0	0,1822	1,6	1,6
777	VT-conSC(N-S)	GLOBAL	Force	Y Proj	0	0,1822	-2,38	-2,38
777	VT-conSC(S-N)	GLOBAL	Force	Y Proj	0	0,1822	2,38	2,38
777	VL-sinSC(O-E)	GLOBAL	Force	X Proj	0	0,1822	0,28	0,28
777	VL-sinSC(E-O)	GLOBAL	Force	X Proj	0	0,1822	-0,28	-0,28
777	VL-conSC(O-E)	GLOBAL	Force	X Proj	0	0,1822	0,41	0,41
777	VL-conSC(E-O)	GLOBAL	Force	X Proj	0	0,1822	-0,41	-0,41
778	CM	GLOBAL	Force	Gravity	0	0,14002	0,04	0,04
778	VT-sinSC(N-S)	GLOBAL	Force	Y Proj	0	0,14002	-1,6	-1,6
778	VT-sinSC(S-N)	GLOBAL	Force	Y Proj	0	0,14002	1,6	1,6
778	VT-conSC(N-S)	GLOBAL	Force	Y Proj	0	0,14002	-2,38	-2,38
778	VT-conSC(S-N)	GLOBAL	Force	Y Proj	0	0,14002	2,38	2,38
778	VL-sinSC(O-E)	GLOBAL	Force	X Proj	0	0,14002	0,28	0,28
778	VL-sinSC(E-O)	GLOBAL	Force	X Proj	0	0,14002	-0,28	-0,28
778	VL-conSC(O-E)	GLOBAL	Force	X Proj	0	0,14002	0,41	0,41
778	VL-conSC(E-O)	GLOBAL	Force	X Proj	0	0,14002	-0,41	-0,41
779	CM	GLOBAL	Force	Gravity	0	0,13993	0,04	0,04
779	VT-sinSC(N-S)	GLOBAL	Force	Y Proj	0	0,13993	-1,6	-1,6
779	VT-sinSC(S-N)	GLOBAL	Force	Y Proj	0	0,13993	1,6	1,6
779	VT-conSC(N-S)	GLOBAL	Force	Y Proj	0	0,13993	-2,38	-2,38
779	VT-conSC(S-N)	GLOBAL	Force	Y Proj	0	0,13993	2,38	2,38
779	VL-sinSC(O-E)	GLOBAL	Force	X Proj	0	0,13993	0,28	0,28
779	VL-sinSC(E-O)	GLOBAL	Force	X Proj	0	0,13993	-0,28	-0,28
779	VL-conSC(O-E)	GLOBAL	Force	X Proj	0	0,13993	0,41	0,41

779	VL-conSC(E-O)	GLOBAL	Force	X Proj	0	0,13993	-0,41	-0,41
780	CM	GLOBAL	Force	Gravity	0	0,13985	0,04	0,04
780	VT-sinSC(N-S)	GLOBAL	Force	Y Proj	0	0,13985	-1,6	-1,6
780	VT-sinSC(S-N)	GLOBAL	Force	Y Proj	0	0,13985	1,6	1,6
780	VT-conSC(N-S)	GLOBAL	Force	Y Proj	0	0,13985	-2,38	-2,38
780	VT-conSC(S-N)	GLOBAL	Force	Y Proj	0	0,13985	2,38	2,38
780	VL-sinSC(O-E)	GLOBAL	Force	X Proj	0	0,13985	0,28	0,28
780	VL-sinSC(E-O)	GLOBAL	Force	X Proj	0	0,13985	-0,28	-0,28
780	VL-conSC(O-E)	GLOBAL	Force	X Proj	0	0,13985	0,41	0,41
780	VL-conSC(E-O)	GLOBAL	Force	X Proj	0	0,13985	-0,41	-0,41
781	CM	GLOBAL	Force	Gravity	0	0,13979	0,04	0,04
781	VT-sinSC(N-S)	GLOBAL	Force	Y Proj	0	0,13979	-1,6	-1,6
781	VT-sinSC(S-N)	GLOBAL	Force	Y Proj	0	0,13979	1,6	1,6
781	VT-conSC(N-S)	GLOBAL	Force	Y Proj	0	0,13979	-2,38	-2,38
781	VT-conSC(S-N)	GLOBAL	Force	Y Proj	0	0,13979	2,38	2,38
781	VL-sinSC(O-E)	GLOBAL	Force	X Proj	0	0,13979	0,28	0,28
781	VL-sinSC(E-O)	GLOBAL	Force	X Proj	0	0,13979	-0,28	-0,28
781	VL-conSC(O-E)	GLOBAL	Force	X Proj	0	0,13979	0,41	0,41
781	VL-conSC(E-O)	GLOBAL	Force	X Proj	0	0,13979	-0,41	-0,41
782	CM	GLOBAL	Force	Gravity	0	0,13973	0,04	0,04
782	VT-sinSC(N-S)	GLOBAL	Force	Y Proj	0	0,13973	-1,6	-1,6
782	VT-sinSC(S-N)	GLOBAL	Force	Y Proj	0	0,13973	1,6	1,6
782	VT-conSC(N-S)	GLOBAL	Force	Y Proj	0	0,13973	-2,38	-2,38
782	VT-conSC(S-N)	GLOBAL	Force	Y Proj	0	0,13973	2,38	2,38
782	VL-sinSC(O-E)	GLOBAL	Force	X Proj	0	0,13973	0,28	0,28
782	VL-sinSC(E-O)	GLOBAL	Force	X Proj	0	0,13973	-0,28	-0,28
782	VL-conSC(O-E)	GLOBAL	Force	X Proj	0	0,13973	0,41	0,41
782	VL-conSC(E-O)	GLOBAL	Force	X Proj	0	0,13973	-0,41	-0,41
783	CM	GLOBAL	Force	Gravity	0	0,13968	0,04	0,04
783	VT-sinSC(N-S)	GLOBAL	Force	Y Proj	0	0,13968	-1,6	-1,6
783	VT-sinSC(S-N)	GLOBAL	Force	Y Proj	0	0,13968	1,6	1,6
783	VT-conSC(N-S)	GLOBAL	Force	Y Proj	0	0,13968	-2,38	-2,38
783	VT-conSC(S-N)	GLOBAL	Force	Y Proj	0	0,13968	2,38	2,38
783	VL-sinSC(O-E)	GLOBAL	Force	X Proj	0	0,13968	0,28	0,28
783	VL-sinSC(E-O)	GLOBAL	Force	X Proj	0	0,13968	-0,28	-0,28
783	VL-conSC(O-E)	GLOBAL	Force	X Proj	0	0,13968	0,41	0,41
783	VL-conSC(E-O)	GLOBAL	Force	X Proj	0	0,13968	-0,41	-0,41
784	CM	GLOBAL	Force	Gravity	0	0,13965	0,04	0,04
784	VT-sinSC(N-S)	GLOBAL	Force	Y Proj	0	0,13965	-1,6	-1,6



784	VT-sinSC(S-N)	GLOBAL	Force	Y Proj	0	0,13965	1,6	1,6
784	VT-conSC(N-S)	GLOBAL	Force	Y Proj	0	0,13965	-2,38	-2,38
784	VT-conSC(S-N)	GLOBAL	Force	Y Proj	0	0,13965	2,38	2,38
784	VL-sinSC(O-E)	GLOBAL	Force	X Proj	0	0,13965	0,28	0,28
784	VL-sinSC(E-O)	GLOBAL	Force	X Proj	0	0,13965	-0,28	-0,28
784	VL-conSC(O-E)	GLOBAL	Force	X Proj	0	0,13965	0,41	0,41
784	VL-conSC(E-O)	GLOBAL	Force	X Proj	0	0,13965	-0,41	-0,41
785	CM	GLOBAL	Force	Gravity	0	0,13962	0,04	0,04
785	VT-sinSC(N-S)	GLOBAL	Force	Y Proj	0	0,13962	-1,6	-1,6
785	VT-sinSC(S-N)	GLOBAL	Force	Y Proj	0	0,13962	1,6	1,6
785	VT-conSC(N-S)	GLOBAL	Force	Y Proj	0	0,13962	-2,38	-2,38
785	VT-conSC(S-N)	GLOBAL	Force	Y Proj	0	0,13962	2,38	2,38
785	VL-sinSC(O-E)	GLOBAL	Force	X Proj	0	0,13962	0,28	0,28
785	VL-sinSC(E-O)	GLOBAL	Force	X Proj	0	0,13962	-0,28	-0,28
785	VL-conSC(O-E)	GLOBAL	Force	X Proj	0	0,13962	0,41	0,41
785	VL-conSC(E-O)	GLOBAL	Force	X Proj	0	0,13962	-0,41	-0,41
786	CM	GLOBAL	Force	Gravity	0	0,1396	0,04	0,04
786	VT-sinSC(N-S)	GLOBAL	Force	Y Proj	0	0,1396	-1,6	-1,6
786	VT-sinSC(S-N)	GLOBAL	Force	Y Proj	0	0,1396	1,6	1,6
786	VT-conSC(N-S)	GLOBAL	Force	Y Proj	0	0,1396	-2,38	-2,38
786	VT-conSC(S-N)	GLOBAL	Force	Y Proj	0	0,1396	2,38	2,38
786	VL-sinSC(O-E)	GLOBAL	Force	X Proj	0	0,1396	0,28	0,28
786	VL-sinSC(E-O)	GLOBAL	Force	X Proj	0	0,1396	-0,28	-0,28
786	VL-conSC(O-E)	GLOBAL	Force	X Proj	0	0,1396	0,41	0,41
786	VL-conSC(E-O)	GLOBAL	Force	X Proj	0	0,1396	-0,41	-0,41
787	CM	GLOBAL	Force	Gravity	0	0,1396	0,04	0,04
787	VT-sinSC(N-S)	GLOBAL	Force	Y Proj	0	0,1396	-1,6	-1,6
787	VT-sinSC(S-N)	GLOBAL	Force	Y Proj	0	0,1396	1,6	1,6
787	VT-conSC(N-S)	GLOBAL	Force	Y Proj	0	0,1396	-2,38	-2,38
787	VT-conSC(S-N)	GLOBAL	Force	Y Proj	0	0,1396	2,38	2,38
787	VL-sinSC(O-E)	GLOBAL	Force	X Proj	0	0,1396	0,28	0,28
787	VL-sinSC(E-O)	GLOBAL	Force	X Proj	0	0,1396	-0,28	-0,28
787	VL-conSC(O-E)	GLOBAL	Force	X Proj	0	0,1396	0,41	0,41
787	VL-conSC(E-O)	GLOBAL	Force	X Proj	0	0,1396	-0,41	-0,41
788	CM	GLOBAL	Force	Gravity	0	0,1396	0,04	0,04
788	VT-sinSC(N-S)	GLOBAL	Force	Y Proj	0	0,1396	-1,6	-1,6
788	VT-sinSC(S-N)	GLOBAL	Force	Y Proj	0	0,1396	1,6	1,6
788	VT-conSC(N-S)	GLOBAL	Force	Y Proj	0	0,1396	-2,38	-2,38
788	VT-conSC(S-N)	GLOBAL	Force	Y Proj	0	0,1396	2,38	2,38

788	VL-sinSC(O-E)	GLOBAL	Force	X Proj	0	0,1396	0,28	0,28
788	VL-sinSC(E-O)	GLOBAL	Force	X Proj	0	0,1396	-0,28	-0,28
788	VL-conSC(O-E)	GLOBAL	Force	X Proj	0	0,1396	0,41	0,41
788	VL-conSC(E-O)	GLOBAL	Force	X Proj	0	0,1396	-0,41	-0,41
790	CM	GLOBAL	Force	Gravity	0	0,13964	0,04	0,04
790	VT-sinSC(N-S)	GLOBAL	Force	Y Proj	0	0,13964	-1,6	-1,6
790	VT-sinSC(S-N)	GLOBAL	Force	Y Proj	0	0,13964	1,6	1,6
790	VT-conSC(N-S)	GLOBAL	Force	Y Proj	0	0,13964	-2,38	-2,38
790	VT-conSC(S-N)	GLOBAL	Force	Y Proj	0	0,13964	2,38	2,38
790	VL-sinSC(O-E)	GLOBAL	Force	X Proj	0	0,13964	0,28	0,28
790	VL-sinSC(E-O)	GLOBAL	Force	X Proj	0	0,13964	-0,28	-0,28
790	VL-conSC(O-E)	GLOBAL	Force	X Proj	0	0,13964	0,41	0,41
790	VL-conSC(E-O)	GLOBAL	Force	X Proj	0	0,13964	-0,41	-0,41
791	CM	GLOBAL	Force	Gravity	0	0,13968	0,04	0,04
791	VT-sinSC(N-S)	GLOBAL	Force	Y Proj	0	0,13968	-1,6	-1,6
791	VT-sinSC(S-N)	GLOBAL	Force	Y Proj	0	0,13968	1,6	1,6
791	VT-conSC(N-S)	GLOBAL	Force	Y Proj	0	0,13968	-2,38	-2,38
791	VT-conSC(S-N)	GLOBAL	Force	Y Proj	0	0,13968	2,38	2,38
791	VL-sinSC(O-E)	GLOBAL	Force	X Proj	0	0,13968	0,28	0,28
791	VL-sinSC(E-O)	GLOBAL	Force	X Proj	0	0,13968	-0,28	-0,28
791	VL-conSC(O-E)	GLOBAL	Force	X Proj	0	0,13968	0,41	0,41
791	VL-conSC(E-O)	GLOBAL	Force	X Proj	0	0,13968	-0,41	-0,41
792	CM	GLOBAL	Force	Gravity	0	0,13972	0,04	0,04
792	VT-sinSC(N-S)	GLOBAL	Force	Y Proj	0	0,13972	-1,6	-1,6
792	VT-sinSC(S-N)	GLOBAL	Force	Y Proj	0	0,13972	1,6	1,6
792	VT-conSC(N-S)	GLOBAL	Force	Y Proj	0	0,13972	-2,38	-2,38
792	VT-conSC(S-N)	GLOBAL	Force	Y Proj	0	0,13972	2,38	2,38
792	VL-sinSC(O-E)	GLOBAL	Force	X Proj	0	0,13972	0,28	0,28
792	VL-sinSC(E-O)	GLOBAL	Force	X Proj	0	0,13972	-0,28	-0,28
792	VL-conSC(O-E)	GLOBAL	Force	X Proj	0	0,13972	0,41	0,41
792	VL-conSC(E-O)	GLOBAL	Force	X Proj	0	0,13972	-0,41	-0,41
793	CM	GLOBAL	Force	Gravity	0	0,13978	0,04	0,04
793	VT-sinSC(N-S)	GLOBAL	Force	Y Proj	0	0,13978	-1,6	-1,6
793	VT-sinSC(S-N)	GLOBAL	Force	Y Proj	0	0,13978	1,6	1,6
793	VT-conSC(N-S)	GLOBAL	Force	Y Proj	0	0,13978	-2,38	-2,38
793	VT-conSC(S-N)	GLOBAL	Force	Y Proj	0	0,13978	2,38	2,38
793	VL-sinSC(O-E)	GLOBAL	Force	X Proj	0	0,13978	0,28	0,28
793	VL-sinSC(E-O)	GLOBAL	Force	X Proj	0	0,13978	-0,28	-0,28
793	VL-conSC(O-E)	GLOBAL	Force	X Proj	0	0,13978	0,41	0,41



793	VL-conSC(E-O)	GLOBAL	Force	X Proj	0	0,13978	-0,41	-0,41
794	CM	GLOBAL	Force	Gravity	0	0,13985	0,04	0,04
794	VT-sinSC(N-S)	GLOBAL	Force	Y Proj	0	0,13985	-1,6	-1,6
794	VT-sinSC(S-N)	GLOBAL	Force	Y Proj	0	0,13985	1,6	1,6
794	VT-conSC(N-S)	GLOBAL	Force	Y Proj	0	0,13985	-2,38	-2,38
794	VT-conSC(S-N)	GLOBAL	Force	Y Proj	0	0,13985	2,38	2,38
794	VL-sinSC(O-E)	GLOBAL	Force	X Proj	0	0,13985	0,28	0,28
794	VL-sinSC(E-O)	GLOBAL	Force	X Proj	0	0,13985	-0,28	-0,28
794	VL-conSC(O-E)	GLOBAL	Force	X Proj	0	0,13985	0,41	0,41
794	VL-conSC(E-O)	GLOBAL	Force	X Proj	0	0,13985	-0,41	-0,41
795	CM	GLOBAL	Force	Gravity	0	0,13992	0,04	0,04
795	VT-sinSC(N-S)	GLOBAL	Force	Y Proj	0	0,13992	-1,6	-1,6
795	VT-sinSC(S-N)	GLOBAL	Force	Y Proj	0	0,13992	1,6	1,6
795	VT-conSC(N-S)	GLOBAL	Force	Y Proj	0	0,13992	-2,38	-2,38
795	VT-conSC(S-N)	GLOBAL	Force	Y Proj	0	0,13992	2,38	2,38
795	VL-sinSC(O-E)	GLOBAL	Force	X Proj	0	0,13992	0,28	0,28
795	VL-sinSC(E-O)	GLOBAL	Force	X Proj	0	0,13992	-0,28	-0,28
795	VL-conSC(O-E)	GLOBAL	Force	X Proj	0	0,13992	0,41	0,41
795	VL-conSC(E-O)	GLOBAL	Force	X Proj	0	0,13992	-0,41	-0,41
796	CM	GLOBAL	Force	Gravity	0	0,14001	0,04	0,04
796	VT-sinSC(N-S)	GLOBAL	Force	Y Proj	0	0,14001	-1,6	-1,6
796	VT-sinSC(S-N)	GLOBAL	Force	Y Proj	0	0,14001	1,6	1,6
796	VT-conSC(N-S)	GLOBAL	Force	Y Proj	0	0,14001	-2,38	-2,38
796	VT-conSC(S-N)	GLOBAL	Force	Y Proj	0	0,14001	2,38	2,38
796	VL-sinSC(O-E)	GLOBAL	Force	X Proj	0	0,14001	0,28	0,28
796	VL-sinSC(E-O)	GLOBAL	Force	X Proj	0	0,14001	-0,28	-0,28
796	VL-conSC(O-E)	GLOBAL	Force	X Proj	0	0,14001	0,41	0,41
796	VL-conSC(E-O)	GLOBAL	Force	X Proj	0	0,14001	-0,41	-0,41
797	CM	GLOBAL	Force	Gravity	0	0,14004	0,04	0,04
797	VT-sinSC(N-S)	GLOBAL	Force	Y Proj	0	0,14004	-1,6	-1,6
797	VT-sinSC(S-N)	GLOBAL	Force	Y Proj	0	0,14004	1,6	1,6
797	VT-conSC(N-S)	GLOBAL	Force	Y Proj	0	0,14004	-2,38	-2,38
797	VT-conSC(S-N)	GLOBAL	Force	Y Proj	0	0,14004	2,38	2,38
797	VL-sinSC(O-E)	GLOBAL	Force	X Proj	0	0,14004	0,28	0,28
797	VL-sinSC(E-O)	GLOBAL	Force	X Proj	0	0,14004	-0,28	-0,28
797	VL-conSC(O-E)	GLOBAL	Force	X Proj	0	0,14004	0,41	0,41
797	VL-conSC(E-O)	GLOBAL	Force	X Proj	0	0,14004	-0,41	-0,41
798	CM	GLOBAL	Force	Gravity	0	0,13998	0,04	0,04
798	VT-sinSC(N-S)	GLOBAL	Force	Y Proj	0	0,13998	-1,6	-1,6

798	VT-sinSC(S-N)	GLOBAL	Force	Y Proj	0	0,13998	1,6	1,6
798	VT-conSC(N-S)	GLOBAL	Force	Y Proj	0	0,13998	-2,38	-2,38
798	VT-conSC(S-N)	GLOBAL	Force	Y Proj	0	0,13998	2,38	2,38
798	VL-sinSC(O-E)	GLOBAL	Force	X Proj	0	0,13998	0,28	0,28
798	VL-sinSC(E-O)	GLOBAL	Force	X Proj	0	0,13998	-0,28	-0,28
798	VL-conSC(O-E)	GLOBAL	Force	X Proj	0	0,13998	0,41	0,41
798	VL-conSC(E-O)	GLOBAL	Force	X Proj	0	0,13998	-0,41	-0,41
799	CM	GLOBAL	Force	Gravity	0	0,13993	0,04	0,04
799	VT-sinSC(N-S)	GLOBAL	Force	Y Proj	0	0,13993	-1,6	-1,6
799	VT-sinSC(S-N)	GLOBAL	Force	Y Proj	0	0,13993	1,6	1,6
799	VT-conSC(N-S)	GLOBAL	Force	Y Proj	0	0,13993	-2,38	-2,38
799	VT-conSC(S-N)	GLOBAL	Force	Y Proj	0	0,13993	2,38	2,38
799	VL-sinSC(O-E)	GLOBAL	Force	X Proj	0	0,13993	0,28	0,28
799	VL-sinSC(E-O)	GLOBAL	Force	X Proj	0	0,13993	-0,28	-0,28
799	VL-conSC(O-E)	GLOBAL	Force	X Proj	0	0,13993	0,41	0,41
799	VL-conSC(E-O)	GLOBAL	Force	X Proj	0	0,13993	-0,41	-0,41
800	CM	GLOBAL	Force	Gravity	0	0,13988	0,04	0,04
800	VT-sinSC(N-S)	GLOBAL	Force	Y Proj	0	0,13988	-1,6	-1,6
800	VT-sinSC(S-N)	GLOBAL	Force	Y Proj	0	0,13988	1,6	1,6
800	VT-conSC(N-S)	GLOBAL	Force	Y Proj	0	0,13988	-2,38	-2,38
800	VT-conSC(S-N)	GLOBAL	Force	Y Proj	0	0,13988	2,38	2,38
800	VL-sinSC(O-E)	GLOBAL	Force	X Proj	0	0,13988	0,28	0,28
800	VL-sinSC(E-O)	GLOBAL	Force	X Proj	0	0,13988	-0,28	-0,28
800	VL-conSC(O-E)	GLOBAL	Force	X Proj	0	0,13988	0,41	0,41
800	VL-conSC(E-O)	GLOBAL	Force	X Proj	0	0,13988	-0,41	-0,41
802	CM	GLOBAL	Force	Gravity	0	0,13983	0,04	0,04
802	VT-sinSC(N-S)	GLOBAL	Force	Y Proj	0	0,13983	-1,6	-1,6
802	VT-sinSC(S-N)	GLOBAL	Force	Y Proj	0	0,13983	1,6	1,6
802	VT-conSC(N-S)	GLOBAL	Force	Y Proj	0	0,13983	-2,38	-2,38
802	VT-conSC(S-N)	GLOBAL	Force	Y Proj	0	0,13983	2,38	2,38
802	VL-sinSC(O-E)	GLOBAL	Force	X Proj	0	0,13983	0,28	0,28
802	VL-sinSC(E-O)	GLOBAL	Force	X Proj	0	0,13983	-0,28	-0,28
802	VL-conSC(O-E)	GLOBAL	Force	X Proj	0	0,13983	0,41	0,41
802	VL-conSC(E-O)	GLOBAL	Force	X Proj	0	0,13983	-0,41	-0,41
803	CM	GLOBAL	Force	Gravity	0	0,13982	0,04	0,04
803	VT-sinSC(N-S)	GLOBAL	Force	Y Proj	0	0,13982	-1,6	-1,6
803	VT-sinSC(S-N)	GLOBAL	Force	Y Proj	0	0,13982	1,6	1,6
803	VT-conSC(N-S)	GLOBAL	Force	Y Proj	0	0,13982	-2,38	-2,38
803	VT-conSC(S-N)	GLOBAL	Force	Y Proj	0	0,13982	2,38	2,38



803	VL-sinSC(O-E)	GLOBAL	Force	X Proj	0	0,13982	0,28	0,28
803	VL-sinSC(E-O)	GLOBAL	Force	X Proj	0	0,13982	-0,28	-0,28
803	VL-conSC(O-E)	GLOBAL	Force	X Proj	0	0,13982	0,41	0,41
803	VL-conSC(E-O)	GLOBAL	Force	X Proj	0	0,13982	-0,41	-0,41
804	CM	GLOBAL	Force	Gravity	0	0,13981	0,04	0,04
804	VT-sinSC(N-S)	GLOBAL	Force	Y Proj	0	0,13981	-1,6	-1,6
804	VT-sinSC(S-N)	GLOBAL	Force	Y Proj	0	0,13981	1,6	1,6
804	VT-conSC(N-S)	GLOBAL	Force	Y Proj	0	0,13981	-2,38	-2,38
804	VT-conSC(S-N)	GLOBAL	Force	Y Proj	0	0,13981	2,38	2,38
804	VL-sinSC(O-E)	GLOBAL	Force	X Proj	0	0,13981	0,28	0,28
804	VL-sinSC(E-O)	GLOBAL	Force	X Proj	0	0,13981	-0,28	-0,28
804	VL-conSC(O-E)	GLOBAL	Force	X Proj	0	0,13981	0,41	0,41
804	VL-conSC(E-O)	GLOBAL	Force	X Proj	0	0,13981	-0,41	-0,41
805	CM	GLOBAL	Force	Gravity	0	0,13982	0,04	0,04
805	VT-sinSC(N-S)	GLOBAL	Force	Y Proj	0	0,13982	-1,6	-1,6
805	VT-sinSC(S-N)	GLOBAL	Force	Y Proj	0	0,13982	1,6	1,6
805	VT-conSC(N-S)	GLOBAL	Force	Y Proj	0	0,13982	-2,38	-2,38
805	VT-conSC(S-N)	GLOBAL	Force	Y Proj	0	0,13982	2,38	2,38
805	VL-sinSC(O-E)	GLOBAL	Force	X Proj	0	0,13982	0,28	0,28
805	VL-sinSC(E-O)	GLOBAL	Force	X Proj	0	0,13982	-0,28	-0,28
805	VL-conSC(O-E)	GLOBAL	Force	X Proj	0	0,13982	0,41	0,41
805	VL-conSC(E-O)	GLOBAL	Force	X Proj	0	0,13982	-0,41	-0,41
806	CM	GLOBAL	Force	Gravity	0	0,13984	0,04	0,04
806	VT-sinSC(N-S)	GLOBAL	Force	Y Proj	0	0,13984	-1,6	-1,6
806	VT-sinSC(S-N)	GLOBAL	Force	Y Proj	0	0,13984	1,6	1,6
806	VT-conSC(N-S)	GLOBAL	Force	Y Proj	0	0,13984	-2,38	-2,38
806	VT-conSC(S-N)	GLOBAL	Force	Y Proj	0	0,13984	2,38	2,38
806	VL-sinSC(O-E)	GLOBAL	Force	X Proj	0	0,13984	0,28	0,28
806	VL-sinSC(E-O)	GLOBAL	Force	X Proj	0	0,13984	-0,28	-0,28
806	VL-conSC(O-E)	GLOBAL	Force	X Proj	0	0,13984	0,41	0,41
806	VL-conSC(E-O)	GLOBAL	Force	X Proj	0	0,13984	-0,41	-0,41
807	CM	GLOBAL	Force	Gravity	0	0,13987	0,04	0,04
807	VT-sinSC(N-S)	GLOBAL	Force	Y Proj	0	0,13987	-1,6	-1,6
807	VT-sinSC(S-N)	GLOBAL	Force	Y Proj	0	0,13987	1,6	1,6
807	VT-conSC(N-S)	GLOBAL	Force	Y Proj	0	0,13987	-2,38	-2,38
807	VT-conSC(S-N)	GLOBAL	Force	Y Proj	0	0,13987	2,38	2,38
807	VL-sinSC(O-E)	GLOBAL	Force	X Proj	0	0,13987	0,28	0,28
807	VL-sinSC(E-O)	GLOBAL	Force	X Proj	0	0,13987	-0,28	-0,28
807	VL-conSC(O-E)	GLOBAL	Force	X Proj	0	0,13987	0,41	0,41

807	VL-conSC(E-O)	GLOBAL	Force	X Proj	0	0,13987	-0,41	-0,41
808	CM	GLOBAL	Force	Gravity	0	0,13991	0,04	0,04
808	VT-sinSC(N-S)	GLOBAL	Force	Y Proj	0	0,13991	-1,6	-1,6
808	VT-sinSC(S-N)	GLOBAL	Force	Y Proj	0	0,13991	1,6	1,6
808	VT-conSC(N-S)	GLOBAL	Force	Y Proj	0	0,13991	-2,38	-2,38
808	VT-conSC(S-N)	GLOBAL	Force	Y Proj	0	0,13991	2,38	2,38
808	VL-sinSC(O-E)	GLOBAL	Force	X Proj	0	0,13991	0,28	0,28
808	VL-sinSC(E-O)	GLOBAL	Force	X Proj	0	0,13991	-0,28	-0,28
808	VL-conSC(O-E)	GLOBAL	Force	X Proj	0	0,13991	0,41	0,41
808	VL-conSC(E-O)	GLOBAL	Force	X Proj	0	0,13991	-0,41	-0,41
809	CM	GLOBAL	Force	Gravity	0	0,13996	0,04	0,04
809	VT-sinSC(N-S)	GLOBAL	Force	Y Proj	0	0,13996	-1,6	-1,6
809	VT-sinSC(S-N)	GLOBAL	Force	Y Proj	0	0,13996	1,6	1,6
809	VT-conSC(N-S)	GLOBAL	Force	Y Proj	0	0,13996	-2,38	-2,38
809	VT-conSC(S-N)	GLOBAL	Force	Y Proj	0	0,13996	2,38	2,38
809	VL-sinSC(O-E)	GLOBAL	Force	X Proj	0	0,13996	0,28	0,28
809	VL-sinSC(E-O)	GLOBAL	Force	X Proj	0	0,13996	-0,28	-0,28
809	VL-conSC(O-E)	GLOBAL	Force	X Proj	0	0,13996	0,41	0,41
809	VL-conSC(E-O)	GLOBAL	Force	X Proj	0	0,13996	-0,41	-0,41
810	CM	GLOBAL	Force	Gravity	0	0,14002	0,04	0,04
810	VT-sinSC(N-S)	GLOBAL	Force	Y Proj	0	0,14002	-1,6	-1,6
810	VT-sinSC(S-N)	GLOBAL	Force	Y Proj	0	0,14002	1,6	1,6
810	VT-conSC(N-S)	GLOBAL	Force	Y Proj	0	0,14002	-2,38	-2,38
810	VT-conSC(S-N)	GLOBAL	Force	Y Proj	0	0,14002	2,38	2,38
810	VL-sinSC(O-E)	GLOBAL	Force	X Proj	0	0,14002	0,28	0,28
810	VL-sinSC(E-O)	GLOBAL	Force	X Proj	0	0,14002	-0,28	-0,28
810	VL-conSC(O-E)	GLOBAL	Force	X Proj	0	0,14002	0,41	0,41
810	VL-conSC(E-O)	GLOBAL	Force	X Proj	0	0,14002	-0,41	-0,41
811	CM	GLOBAL	Force	Gravity	0	0,14005	0,04	0,04
811	VT-sinSC(N-S)	GLOBAL	Force	Y Proj	0	0,14005	-1,6	-1,6
811	VT-sinSC(S-N)	GLOBAL	Force	Y Proj	0	0,14005	1,6	1,6
811	VT-conSC(N-S)	GLOBAL	Force	Y Proj	0	0,14005	-2,38	-2,38
811	VT-conSC(S-N)	GLOBAL	Force	Y Proj	0	0,14005	2,38	2,38
811	VL-sinSC(O-E)	GLOBAL	Force	X Proj	0	0,14005	0,28	0,28
811	VL-sinSC(E-O)	GLOBAL	Force	X Proj	0	0,14005	-0,28	-0,28
811	VL-conSC(O-E)	GLOBAL	Force	X Proj	0	0,14005	0,41	0,41
811	VL-conSC(E-O)	GLOBAL	Force	X Proj	0	0,14005	-0,41	-0,41
812	CM	GLOBAL	Force	Gravity	0	0,14393	0,04	0,04
812	VT-sinSC(N-S)	GLOBAL	Force	Y Proj	0	0,14393	-1,6	-1,6



812	VT-sinSC(S-N)	GLOBAL	Force	Y Proj	0	0,14393	1,6	1,6
812	VT-conSC(N-S)	GLOBAL	Force	Y Proj	0	0,14393	-2,38	-2,38
812	VT-conSC(S-N)	GLOBAL	Force	Y Proj	0	0,14393	2,38	2,38
812	VL-sinSC(O-E)	GLOBAL	Force	X Proj	0	0,14393	0,28	0,28
812	VL-sinSC(E-O)	GLOBAL	Force	X Proj	0	0,14393	-0,28	-0,28
812	VL-conSC(O-E)	GLOBAL	Force	X Proj	0	0,14393	0,41	0,41
812	VL-conSC(E-O)	GLOBAL	Force	X Proj	0	0,14393	-0,41	-0,41
820	CM	GLOBAL	Force	Gravity	0	1,5	0,04	0,04
820	VT-sinSC(N-S)	GLOBAL	Force	Y Proj	0	1,5	-1,6	-1,6
820	VT-sinSC(S-N)	GLOBAL	Force	Y Proj	0	1,5	1,6	1,6
820	VT-conSC(N-S)	GLOBAL	Force	Y Proj	0	1,5	-2,38	-2,38
820	VT-conSC(S-N)	GLOBAL	Force	Y Proj	0	1,5	2,38	2,38
820	VL-sinSC(O-E)	GLOBAL	Force	X Proj	0	1,5	0,28	0,28
820	VL-sinSC(E-O)	GLOBAL	Force	X Proj	0	1,5	-0,28	-0,28
820	VL-conSC(O-E)	GLOBAL	Force	X Proj	0	1,5	0,41	0,41
820	VL-conSC(E-O)	GLOBAL	Force	X Proj	0	1,5	-0,41	-0,41
821	CM	GLOBAL	Force	Gravity	0	0,07893	0,04	0,04
821	VT-sinSC(N-S)	GLOBAL	Force	Y Proj	0	0,07893	-1,6	-1,6
821	VT-sinSC(S-N)	GLOBAL	Force	Y Proj	0	0,07893	1,6	1,6
821	VT-conSC(N-S)	GLOBAL	Force	Y Proj	0	0,07893	-2,38	-2,38
821	VT-conSC(S-N)	GLOBAL	Force	Y Proj	0	0,07893	2,38	2,38
821	VL-sinSC(O-E)	GLOBAL	Force	X Proj	0	0,07893	0,28	0,28
821	VL-sinSC(E-O)	GLOBAL	Force	X Proj	0	0,07893	-0,28	-0,28
821	VL-conSC(O-E)	GLOBAL	Force	X Proj	0	0,07893	0,41	0,41
821	VL-conSC(E-O)	GLOBAL	Force	X Proj	0	0,07893	-0,41	-0,41
822	CM	GLOBAL	Force	Gravity	0	0,07892	0,04	0,04
822	VT-sinSC(N-S)	GLOBAL	Force	Y Proj	0	0,07892	-1,6	-1,6
822	VT-sinSC(S-N)	GLOBAL	Force	Y Proj	0	0,07892	1,6	1,6
822	VT-conSC(N-S)	GLOBAL	Force	Y Proj	0	0,07892	-2,38	-2,38
822	VT-conSC(S-N)	GLOBAL	Force	Y Proj	0	0,07892	2,38	2,38
822	VL-sinSC(O-E)	GLOBAL	Force	X Proj	0	0,07892	0,28	0,28
822	VL-sinSC(E-O)	GLOBAL	Force	X Proj	0	0,07892	-0,28	-0,28
822	VL-conSC(O-E)	GLOBAL	Force	X Proj	0	0,07892	0,41	0,41
822	VL-conSC(E-O)	GLOBAL	Force	X Proj	0	0,07892	-0,41	-0,41
823	CM	GLOBAL	Force	Gravity	0	0,07891	0,04	0,04
823	VT-sinSC(N-S)	GLOBAL	Force	Y Proj	0	0,07891	-1,6	-1,6
823	VT-sinSC(S-N)	GLOBAL	Force	Y Proj	0	0,07891	1,6	1,6
823	VT-conSC(N-S)	GLOBAL	Force	Y Proj	0	0,07891	-2,38	-2,38
823	VT-conSC(S-N)	GLOBAL	Force	Y Proj	0	0,07891	2,38	2,38

823	VL-sinSC(O-E)	GLOBAL	Force	X Proj	0	0,07891	0,28	0,28
823	VL-sinSC(E-O)	GLOBAL	Force	X Proj	0	0,07891	-0,28	-0,28
823	VL-conSC(O-E)	GLOBAL	Force	X Proj	0	0,07891	0,41	0,41
823	VL-conSC(E-O)	GLOBAL	Force	X Proj	0	0,07891	-0,41	-0,41
824	CM	GLOBAL	Force	Gravity	0	0,07889	0,04	0,04
824	VT-sinSC(N-S)	GLOBAL	Force	Y Proj	0	0,07889	-1,6	-1,6
824	VT-sinSC(S-N)	GLOBAL	Force	Y Proj	0	0,07889	1,6	1,6
824	VT-conSC(N-S)	GLOBAL	Force	Y Proj	0	0,07889	-2,38	-2,38
824	VT-conSC(S-N)	GLOBAL	Force	Y Proj	0	0,07889	2,38	2,38
824	VL-sinSC(O-E)	GLOBAL	Force	X Proj	0	0,07889	0,28	0,28
824	VL-sinSC(E-O)	GLOBAL	Force	X Proj	0	0,07889	-0,28	-0,28
824	VL-conSC(O-E)	GLOBAL	Force	X Proj	0	0,07889	0,41	0,41
824	VL-conSC(E-O)	GLOBAL	Force	X Proj	0	0,07889	-0,41	-0,41
825	CM	GLOBAL	Force	Gravity	0	0,07888	0,04	0,04
825	VT-sinSC(N-S)	GLOBAL	Force	Y Proj	0	0,07888	-1,6	-1,6
825	VT-sinSC(S-N)	GLOBAL	Force	Y Proj	0	0,07888	1,6	1,6
825	VT-conSC(N-S)	GLOBAL	Force	Y Proj	0	0,07888	-2,38	-2,38
825	VT-conSC(S-N)	GLOBAL	Force	Y Proj	0	0,07888	2,38	2,38
825	VL-sinSC(O-E)	GLOBAL	Force	X Proj	0	0,07888	0,28	0,28
825	VL-sinSC(E-O)	GLOBAL	Force	X Proj	0	0,07888	-0,28	-0,28
825	VL-conSC(O-E)	GLOBAL	Force	X Proj	0	0,07888	0,41	0,41
825	VL-conSC(E-O)	GLOBAL	Force	X Proj	0	0,07888	-0,41	-0,41
826	CM	GLOBAL	Force	Gravity	0	0,07886	0,04	0,04
826	VT-sinSC(N-S)	GLOBAL	Force	Y Proj	0	0,07886	-1,6	-1,6
826	VT-sinSC(S-N)	GLOBAL	Force	Y Proj	0	0,07886	1,6	1,6
826	VT-conSC(N-S)	GLOBAL	Force	Y Proj	0	0,07886	-2,38	-2,38
826	VT-conSC(S-N)	GLOBAL	Force	Y Proj	0	0,07886	2,38	2,38
826	VL-sinSC(O-E)	GLOBAL	Force	X Proj	0	0,07886	0,28	0,28
826	VL-sinSC(E-O)	GLOBAL	Force	X Proj	0	0,07886	-0,28	-0,28
826	VL-conSC(O-E)	GLOBAL	Force	X Proj	0	0,07886	0,41	0,41
826	VL-conSC(E-O)	GLOBAL	Force	X Proj	0	0,07886	-0,41	-0,41
827	CM	GLOBAL	Force	Gravity	0	0,07885	0,04	0,04
827	VT-sinSC(N-S)	GLOBAL	Force	Y Proj	0	0,07885	-1,6	-1,6
827	VT-sinSC(S-N)	GLOBAL	Force	Y Proj	0	0,07885	1,6	1,6
827	VT-conSC(N-S)	GLOBAL	Force	Y Proj	0	0,07885	-2,38	-2,38
827	VT-conSC(S-N)	GLOBAL	Force	Y Proj	0	0,07885	2,38	2,38
827	VL-sinSC(O-E)	GLOBAL	Force	X Proj	0	0,07885	0,28	0,28
827	VL-sinSC(E-O)	GLOBAL	Force	X Proj	0	0,07885	-0,28	-0,28
827	VL-conSC(O-E)	GLOBAL	Force	X Proj	0	0,07885	0,41	0,41



827	VL-conSC(E-O)	GLOBAL	Force	X Proj	0	0,07885	-0,41	-0,41
828	CM	GLOBAL	Force	Gravity	0	0,07884	0,04	0,04
828	VT-sinSC(N-S)	GLOBAL	Force	Y Proj	0	0,07884	-1,6	-1,6
828	VT-sinSC(S-N)	GLOBAL	Force	Y Proj	0	0,07884	1,6	1,6
828	VT-conSC(N-S)	GLOBAL	Force	Y Proj	0	0,07884	-2,38	-2,38
828	VT-conSC(S-N)	GLOBAL	Force	Y Proj	0	0,07884	2,38	2,38
828	VL-sinSC(O-E)	GLOBAL	Force	X Proj	0	0,07884	0,28	0,28
828	VL-sinSC(E-O)	GLOBAL	Force	X Proj	0	0,07884	-0,28	-0,28
828	VL-conSC(O-E)	GLOBAL	Force	X Proj	0	0,07884	0,41	0,41
828	VL-conSC(E-O)	GLOBAL	Force	X Proj	0	0,07884	-0,41	-0,41
830	CM	GLOBAL	Force	Gravity	0	0,07884	0,04	0,04
830	VT-sinSC(N-S)	GLOBAL	Force	Y Proj	0	0,07884	-1,6	-1,6
830	VT-sinSC(S-N)	GLOBAL	Force	Y Proj	0	0,07884	1,6	1,6
830	VT-conSC(N-S)	GLOBAL	Force	Y Proj	0	0,07884	-2,38	-2,38
830	VT-conSC(S-N)	GLOBAL	Force	Y Proj	0	0,07884	2,38	2,38
830	VL-sinSC(O-E)	GLOBAL	Force	X Proj	0	0,07884	0,28	0,28
830	VL-sinSC(E-O)	GLOBAL	Force	X Proj	0	0,07884	-0,28	-0,28
830	VL-conSC(O-E)	GLOBAL	Force	X Proj	0	0,07884	0,41	0,41
830	VL-conSC(E-O)	GLOBAL	Force	X Proj	0	0,07884	-0,41	-0,41
831	CM	GLOBAL	Force	Gravity	0	0,07885	0,04	0,04
831	VT-sinSC(N-S)	GLOBAL	Force	Y Proj	0	0,07885	-1,6	-1,6
831	VT-sinSC(S-N)	GLOBAL	Force	Y Proj	0	0,07885	1,6	1,6
831	VT-conSC(N-S)	GLOBAL	Force	Y Proj	0	0,07885	-2,38	-2,38
831	VT-conSC(S-N)	GLOBAL	Force	Y Proj	0	0,07885	2,38	2,38
831	VL-sinSC(O-E)	GLOBAL	Force	X Proj	0	0,07885	0,28	0,28
831	VL-sinSC(E-O)	GLOBAL	Force	X Proj	0	0,07885	-0,28	-0,28
831	VL-conSC(O-E)	GLOBAL	Force	X Proj	0	0,07885	0,41	0,41
831	VL-conSC(E-O)	GLOBAL	Force	X Proj	0	0,07885	-0,41	-0,41
832	CM	GLOBAL	Force	Gravity	0	0,07886	0,04	0,04
832	VT-sinSC(N-S)	GLOBAL	Force	Y Proj	0	0,07886	-1,6	-1,6
832	VT-sinSC(S-N)	GLOBAL	Force	Y Proj	0	0,07886	1,6	1,6
832	VT-conSC(N-S)	GLOBAL	Force	Y Proj	0	0,07886	-2,38	-2,38
832	VT-conSC(S-N)	GLOBAL	Force	Y Proj	0	0,07886	2,38	2,38
832	VL-sinSC(O-E)	GLOBAL	Force	X Proj	0	0,07886	0,28	0,28
832	VL-sinSC(E-O)	GLOBAL	Force	X Proj	0	0,07886	-0,28	-0,28
832	VL-conSC(O-E)	GLOBAL	Force	X Proj	0	0,07886	0,41	0,41
832	VL-conSC(E-O)	GLOBAL	Force	X Proj	0	0,07886	-0,41	-0,41
833	CM	GLOBAL	Force	Gravity	0	0,07888	0,04	0,04
833	VT-sinSC(N-S)	GLOBAL	Force	Y Proj	0	0,07888	-1,6	-1,6

833	VT-sinSC(S-N)	GLOBAL	Force	Y Proj	0	0,07888	1,6	1,6
833	VT-conSC(N-S)	GLOBAL	Force	Y Proj	0	0,07888	-2,38	-2,38
833	VT-conSC(S-N)	GLOBAL	Force	Y Proj	0	0,07888	2,38	2,38
833	VL-sinSC(O-E)	GLOBAL	Force	X Proj	0	0,07888	0,28	0,28
833	VL-sinSC(E-O)	GLOBAL	Force	X Proj	0	0,07888	-0,28	-0,28
833	VL-conSC(O-E)	GLOBAL	Force	X Proj	0	0,07888	0,41	0,41
833	VL-conSC(E-O)	GLOBAL	Force	X Proj	0	0,07888	-0,41	-0,41
834	CM	GLOBAL	Force	Gravity	0	0,07889	0,04	0,04
834	VT-sinSC(N-S)	GLOBAL	Force	Y Proj	0	0,07889	-1,6	-1,6
834	VT-sinSC(S-N)	GLOBAL	Force	Y Proj	0	0,07889	1,6	1,6
834	VT-conSC(N-S)	GLOBAL	Force	Y Proj	0	0,07889	-2,38	-2,38
834	VT-conSC(S-N)	GLOBAL	Force	Y Proj	0	0,07889	2,38	2,38
834	VL-sinSC(O-E)	GLOBAL	Force	X Proj	0	0,07889	0,28	0,28
834	VL-sinSC(E-O)	GLOBAL	Force	X Proj	0	0,07889	-0,28	-0,28
834	VL-conSC(O-E)	GLOBAL	Force	X Proj	0	0,07889	0,41	0,41
834	VL-conSC(E-O)	GLOBAL	Force	X Proj	0	0,07889	-0,41	-0,41
835	CM	GLOBAL	Force	Gravity	0	0,07891	0,04	0,04
835	VT-sinSC(N-S)	GLOBAL	Force	Y Proj	0	0,07891	-1,6	-1,6
835	VT-sinSC(S-N)	GLOBAL	Force	Y Proj	0	0,07891	1,6	1,6
835	VT-conSC(N-S)	GLOBAL	Force	Y Proj	0	0,07891	-2,38	-2,38
835	VT-conSC(S-N)	GLOBAL	Force	Y Proj	0	0,07891	2,38	2,38
835	VL-sinSC(O-E)	GLOBAL	Force	X Proj	0	0,07891	0,28	0,28
835	VL-sinSC(E-O)	GLOBAL	Force	X Proj	0	0,07891	-0,28	-0,28
835	VL-conSC(O-E)	GLOBAL	Force	X Proj	0	0,07891	0,41	0,41
835	VL-conSC(E-O)	GLOBAL	Force	X Proj	0	0,07891	-0,41	-0,41
836	CM	GLOBAL	Force	Gravity	0	0,07892	0,04	0,04
836	VT-sinSC(N-S)	GLOBAL	Force	Y Proj	0	0,07892	-1,6	-1,6
836	VT-sinSC(S-N)	GLOBAL	Force	Y Proj	0	0,07892	1,6	1,6
836	VT-conSC(N-S)	GLOBAL	Force	Y Proj	0	0,07892	-2,38	-2,38
836	VT-conSC(S-N)	GLOBAL	Force	Y Proj	0	0,07892	2,38	2,38
836	VL-sinSC(O-E)	GLOBAL	Force	X Proj	0	0,07892	0,28	0,28
836	VL-sinSC(E-O)	GLOBAL	Force	X Proj	0	0,07892	-0,28	-0,28
836	VL-conSC(O-E)	GLOBAL	Force	X Proj	0	0,07892	0,41	0,41
836	VL-conSC(E-O)	GLOBAL	Force	X Proj	0	0,07892	-0,41	-0,41
837	CM	GLOBAL	Force	Gravity	0	0,07892	0,04	0,04
837	VT-sinSC(N-S)	GLOBAL	Force	Y Proj	0	0,07892	-1,6	-1,6
837	VT-sinSC(S-N)	GLOBAL	Force	Y Proj	0	0,07892	1,6	1,6
837	VT-conSC(N-S)	GLOBAL	Force	Y Proj	0	0,07892	-2,38	-2,38
837	VT-conSC(S-N)	GLOBAL	Force	Y Proj	0	0,07892	2,38	2,38



837	VL-sinSC(O-E)	GLOBAL	Force	X Proj	0	0,07892	0,28	0,28
837	VL-sinSC(E-O)	GLOBAL	Force	X Proj	0	0,07892	-0,28	-0,28
837	VL-conSC(O-E)	GLOBAL	Force	X Proj	0	0,07892	0,41	0,41
837	VL-conSC(E-O)	GLOBAL	Force	X Proj	0	0,07892	-0,41	-0,41
838	CM	GLOBAL	Force	Gravity	0	0,18967	0,04	0,04
838	VT-sinSC(N-S)	GLOBAL	Force	Y Proj	0	0,18967	-1,6	-1,6
838	VT-sinSC(S-N)	GLOBAL	Force	Y Proj	0	0,18967	1,6	1,6
838	VT-conSC(N-S)	GLOBAL	Force	Y Proj	0	0,18967	-2,38	-2,38
838	VT-conSC(S-N)	GLOBAL	Force	Y Proj	0	0,18967	2,38	2,38
838	VL-sinSC(O-E)	GLOBAL	Force	X Proj	0	0,18967	0,28	0,28
838	VL-sinSC(E-O)	GLOBAL	Force	X Proj	0	0,18967	-0,28	-0,28
838	VL-conSC(O-E)	GLOBAL	Force	X Proj	0	0,18967	0,41	0,41
838	VL-conSC(E-O)	GLOBAL	Force	X Proj	0	0,18967	-0,41	-0,41
839	CM	GLOBAL	Force	Gravity	0	0,18956	0,04	0,04
839	VT-sinSC(N-S)	GLOBAL	Force	Y Proj	0	0,18956	-1,6	-1,6
839	VT-sinSC(S-N)	GLOBAL	Force	Y Proj	0	0,18956	1,6	1,6
839	VT-conSC(N-S)	GLOBAL	Force	Y Proj	0	0,18956	-2,38	-2,38
839	VT-conSC(S-N)	GLOBAL	Force	Y Proj	0	0,18956	2,38	2,38
839	VL-sinSC(O-E)	GLOBAL	Force	X Proj	0	0,18956	0,28	0,28
839	VL-sinSC(E-O)	GLOBAL	Force	X Proj	0	0,18956	-0,28	-0,28
839	VL-conSC(O-E)	GLOBAL	Force	X Proj	0	0,18956	0,41	0,41
839	VL-conSC(E-O)	GLOBAL	Force	X Proj	0	0,18956	-0,41	-0,41
840	CM	GLOBAL	Force	Gravity	0	0,18946	0,04	0,04
840	VT-sinSC(N-S)	GLOBAL	Force	Y Proj	0	0,18946	-1,6	-1,6
840	VT-sinSC(S-N)	GLOBAL	Force	Y Proj	0	0,18946	1,6	1,6
840	VT-conSC(N-S)	GLOBAL	Force	Y Proj	0	0,18946	-2,38	-2,38
840	VT-conSC(S-N)	GLOBAL	Force	Y Proj	0	0,18946	2,38	2,38
840	VL-sinSC(O-E)	GLOBAL	Force	X Proj	0	0,18946	0,28	0,28
840	VL-sinSC(E-O)	GLOBAL	Force	X Proj	0	0,18946	-0,28	-0,28
840	VL-conSC(O-E)	GLOBAL	Force	X Proj	0	0,18946	0,41	0,41
840	VL-conSC(E-O)	GLOBAL	Force	X Proj	0	0,18946	-0,41	-0,41
841	CM	GLOBAL	Force	Gravity	0	0,18939	0,04	0,04
841	VT-sinSC(N-S)	GLOBAL	Force	Y Proj	0	0,18939	-1,6	-1,6
841	VT-sinSC(S-N)	GLOBAL	Force	Y Proj	0	0,18939	1,6	1,6
841	VT-conSC(N-S)	GLOBAL	Force	Y Proj	0	0,18939	-2,38	-2,38
841	VT-conSC(S-N)	GLOBAL	Force	Y Proj	0	0,18939	2,38	2,38
841	VL-sinSC(O-E)	GLOBAL	Force	X Proj	0	0,18939	0,28	0,28
841	VL-sinSC(E-O)	GLOBAL	Force	X Proj	0	0,18939	-0,28	-0,28
841	VL-conSC(O-E)	GLOBAL	Force	X Proj	0	0,18939	0,41	0,41

841	VL-conSC(E-O)	GLOBAL	Force	X Proj	0	0,18939	-0,41	-0,41
842	CM	GLOBAL	Force	Gravity	0	0,18933	0,04	0,04
842	VT-sinSC(N-S)	GLOBAL	Force	Y Proj	0	0,18933	-1,6	-1,6
842	VT-sinSC(S-N)	GLOBAL	Force	Y Proj	0	0,18933	1,6	1,6
842	VT-conSC(N-S)	GLOBAL	Force	Y Proj	0	0,18933	-2,38	-2,38
842	VT-conSC(S-N)	GLOBAL	Force	Y Proj	0	0,18933	2,38	2,38
842	VL-sinSC(O-E)	GLOBAL	Force	X Proj	0	0,18933	0,28	0,28
842	VL-sinSC(E-O)	GLOBAL	Force	X Proj	0	0,18933	-0,28	-0,28
842	VL-conSC(O-E)	GLOBAL	Force	X Proj	0	0,18933	0,41	0,41
842	VL-conSC(E-O)	GLOBAL	Force	X Proj	0	0,18933	-0,41	-0,41
843	CM	GLOBAL	Force	Gravity	0	0,18928	0,04	0,04
843	VT-sinSC(N-S)	GLOBAL	Force	Y Proj	0	0,18928	-1,6	-1,6
843	VT-sinSC(S-N)	GLOBAL	Force	Y Proj	0	0,18928	1,6	1,6
843	VT-conSC(N-S)	GLOBAL	Force	Y Proj	0	0,18928	-2,38	-2,38
843	VT-conSC(S-N)	GLOBAL	Force	Y Proj	0	0,18928	2,38	2,38
843	VL-sinSC(O-E)	GLOBAL	Force	X Proj	0	0,18928	0,28	0,28
843	VL-sinSC(E-O)	GLOBAL	Force	X Proj	0	0,18928	-0,28	-0,28
843	VL-conSC(O-E)	GLOBAL	Force	X Proj	0	0,18928	0,41	0,41
843	VL-conSC(E-O)	GLOBAL	Force	X Proj	0	0,18928	-0,41	-0,41
844	CM	GLOBAL	Force	Gravity	0	0,18925	0,04	0,04
844	VT-sinSC(N-S)	GLOBAL	Force	Y Proj	0	0,18925	-1,6	-1,6
844	VT-sinSC(S-N)	GLOBAL	Force	Y Proj	0	0,18925	1,6	1,6
844	VT-conSC(N-S)	GLOBAL	Force	Y Proj	0	0,18925	-2,38	-2,38
844	VT-conSC(S-N)	GLOBAL	Force	Y Proj	0	0,18925	2,38	2,38
844	VL-sinSC(O-E)	GLOBAL	Force	X Proj	0	0,18925	0,28	0,28
844	VL-sinSC(E-O)	GLOBAL	Force	X Proj	0	0,18925	-0,28	-0,28
844	VL-conSC(O-E)	GLOBAL	Force	X Proj	0	0,18925	0,41	0,41
844	VL-conSC(E-O)	GLOBAL	Force	X Proj	0	0,18925	-0,41	-0,41
845	CM	GLOBAL	Force	Gravity	0	0,18924	0,04	0,04
845	VT-sinSC(N-S)	GLOBAL	Force	Y Proj	0	0,18924	-1,6	-1,6
845	VT-sinSC(S-N)	GLOBAL	Force	Y Proj	0	0,18924	1,6	1,6
845	VT-conSC(N-S)	GLOBAL	Force	Y Proj	0	0,18924	-2,38	-2,38
845	VT-conSC(S-N)	GLOBAL	Force	Y Proj	0	0,18924	2,38	2,38
845	VL-sinSC(O-E)	GLOBAL	Force	X Proj	0	0,18924	0,28	0,28
845	VL-sinSC(E-O)	GLOBAL	Force	X Proj	0	0,18924	-0,28	-0,28
845	VL-conSC(O-E)	GLOBAL	Force	X Proj	0	0,18924	0,41	0,41
845	VL-conSC(E-O)	GLOBAL	Force	X Proj	0	0,18924	-0,41	-0,41
846	CM	GLOBAL	Force	Gravity	0	0,18924	0,04	0,04
846	VT-sinSC(N-S)	GLOBAL	Force	Y Proj	0	0,18924	-1,6	-1,6



846	VT-sinSC(S-N)	GLOBAL	Force	Y Proj	0	0,18924	1,6	1,6
846	VT-conSC(N-S)	GLOBAL	Force	Y Proj	0	0,18924	-2,38	-2,38
846	VT-conSC(S-N)	GLOBAL	Force	Y Proj	0	0,18924	2,38	2,38
846	VL-sinSC(O-E)	GLOBAL	Force	X Proj	0	0,18924	0,28	0,28
846	VL-sinSC(E-O)	GLOBAL	Force	X Proj	0	0,18924	-0,28	-0,28
846	VL-conSC(O-E)	GLOBAL	Force	X Proj	0	0,18924	0,41	0,41
846	VL-conSC(E-O)	GLOBAL	Force	X Proj	0	0,18924	-0,41	-0,41
848	CM	GLOBAL	Force	Gravity	0	0,18928	0,04	0,04
848	VT-sinSC(N-S)	GLOBAL	Force	Y Proj	0	0,18928	-1,6	-1,6
848	VT-sinSC(S-N)	GLOBAL	Force	Y Proj	0	0,18928	1,6	1,6
848	VT-conSC(N-S)	GLOBAL	Force	Y Proj	0	0,18928	-2,38	-2,38
848	VT-conSC(S-N)	GLOBAL	Force	Y Proj	0	0,18928	2,38	2,38
848	VL-sinSC(O-E)	GLOBAL	Force	X Proj	0	0,18928	0,28	0,28
848	VL-sinSC(E-O)	GLOBAL	Force	X Proj	0	0,18928	-0,28	-0,28
848	VL-conSC(O-E)	GLOBAL	Force	X Proj	0	0,18928	0,41	0,41
848	VL-conSC(E-O)	GLOBAL	Force	X Proj	0	0,18928	-0,41	-0,41
849	CM	GLOBAL	Force	Gravity	0	0,18933	0,04	0,04
849	VT-sinSC(N-S)	GLOBAL	Force	Y Proj	0	0,18933	-1,6	-1,6
849	VT-sinSC(S-N)	GLOBAL	Force	Y Proj	0	0,18933	1,6	1,6
849	VT-conSC(N-S)	GLOBAL	Force	Y Proj	0	0,18933	-2,38	-2,38
849	VT-conSC(S-N)	GLOBAL	Force	Y Proj	0	0,18933	2,38	2,38
849	VL-sinSC(O-E)	GLOBAL	Force	X Proj	0	0,18933	0,28	0,28
849	VL-sinSC(E-O)	GLOBAL	Force	X Proj	0	0,18933	-0,28	-0,28
849	VL-conSC(O-E)	GLOBAL	Force	X Proj	0	0,18933	0,41	0,41
849	VL-conSC(E-O)	GLOBAL	Force	X Proj	0	0,18933	-0,41	-0,41
850	CM	GLOBAL	Force	Gravity	0	0,18939	0,04	0,04
850	VT-sinSC(N-S)	GLOBAL	Force	Y Proj	0	0,18939	-1,6	-1,6
850	VT-sinSC(S-N)	GLOBAL	Force	Y Proj	0	0,18939	1,6	1,6
850	VT-conSC(N-S)	GLOBAL	Force	Y Proj	0	0,18939	-2,38	-2,38
850	VT-conSC(S-N)	GLOBAL	Force	Y Proj	0	0,18939	2,38	2,38
850	VL-sinSC(O-E)	GLOBAL	Force	X Proj	0	0,18939	0,28	0,28
850	VL-sinSC(E-O)	GLOBAL	Force	X Proj	0	0,18939	-0,28	-0,28
850	VL-conSC(O-E)	GLOBAL	Force	X Proj	0	0,18939	0,41	0,41
850	VL-conSC(E-O)	GLOBAL	Force	X Proj	0	0,18939	-0,41	-0,41
851	CM	GLOBAL	Force	Gravity	0	0,18947	0,04	0,04
851	VT-sinSC(N-S)	GLOBAL	Force	Y Proj	0	0,18947	-1,6	-1,6
851	VT-sinSC(S-N)	GLOBAL	Force	Y Proj	0	0,18947	1,6	1,6
851	VT-conSC(N-S)	GLOBAL	Force	Y Proj	0	0,18947	-2,38	-2,38
851	VT-conSC(S-N)	GLOBAL	Force	Y Proj	0	0,18947	2,38	2,38

851	VL-sinSC(O-E)	GLOBAL	Force	X Proj	0	0,18947	0,28	0,28
851	VL-sinSC(E-O)	GLOBAL	Force	X Proj	0	0,18947	-0,28	-0,28
851	VL-conSC(O-E)	GLOBAL	Force	X Proj	0	0,18947	0,41	0,41
851	VL-conSC(E-O)	GLOBAL	Force	X Proj	0	0,18947	-0,41	-0,41
852	CM	GLOBAL	Force	Gravity	0	0,18956	0,04	0,04
852	VT-sinSC(N-S)	GLOBAL	Force	Y Proj	0	0,18956	-1,6	-1,6
852	VT-sinSC(S-N)	GLOBAL	Force	Y Proj	0	0,18956	1,6	1,6
852	VT-conSC(N-S)	GLOBAL	Force	Y Proj	0	0,18956	-2,38	-2,38
852	VT-conSC(S-N)	GLOBAL	Force	Y Proj	0	0,18956	2,38	2,38
852	VL-sinSC(O-E)	GLOBAL	Force	X Proj	0	0,18956	0,28	0,28
852	VL-sinSC(E-O)	GLOBAL	Force	X Proj	0	0,18956	-0,28	-0,28
852	VL-conSC(O-E)	GLOBAL	Force	X Proj	0	0,18956	0,41	0,41
852	VL-conSC(E-O)	GLOBAL	Force	X Proj	0	0,18956	-0,41	-0,41
853	CM	GLOBAL	Force	Gravity	0	0,18967	0,04	0,04
853	VT-sinSC(N-S)	GLOBAL	Force	Y Proj	0	0,18967	-1,6	-1,6
853	VT-sinSC(S-N)	GLOBAL	Force	Y Proj	0	0,18967	1,6	1,6
853	VT-conSC(N-S)	GLOBAL	Force	Y Proj	0	0,18967	-2,38	-2,38
853	VT-conSC(S-N)	GLOBAL	Force	Y Proj	0	0,18967	2,38	2,38
853	VL-sinSC(O-E)	GLOBAL	Force	X Proj	0	0,18967	0,28	0,28
853	VL-sinSC(E-O)	GLOBAL	Force	X Proj	0	0,18967	-0,28	-0,28
853	VL-conSC(O-E)	GLOBAL	Force	X Proj	0	0,18967	0,41	0,41
853	VL-conSC(E-O)	GLOBAL	Force	X Proj	0	0,18967	-0,41	-0,41
854	CM	GLOBAL	Force	Gravity	0	0,18973	0,04	0,04
854	VT-sinSC(N-S)	GLOBAL	Force	Y Proj	0	0,18973	-1,6	-1,6
854	VT-sinSC(S-N)	GLOBAL	Force	Y Proj	0	0,18973	1,6	1,6
854	VT-conSC(N-S)	GLOBAL	Force	Y Proj	0	0,18973	-2,38	-2,38
854	VT-conSC(S-N)	GLOBAL	Force	Y Proj	0	0,18973	2,38	2,38
854	VL-sinSC(O-E)	GLOBAL	Force	X Proj	0	0,18973	0,28	0,28
854	VL-sinSC(E-O)	GLOBAL	Force	X Proj	0	0,18973	-0,28	-0,28
854	VL-conSC(O-E)	GLOBAL	Force	X Proj	0	0,18973	0,41	0,41
854	VL-conSC(E-O)	GLOBAL	Force	X Proj	0	0,18973	-0,41	-0,41
855	CM	GLOBAL	Force	Gravity	0	0,18967	0,04	0,04
855	VT-sinSC(N-S)	GLOBAL	Force	Y Proj	0	0,18967	-1,6	-1,6
855	VT-sinSC(S-N)	GLOBAL	Force	Y Proj	0	0,18967	1,6	1,6
855	VT-conSC(N-S)	GLOBAL	Force	Y Proj	0	0,18967	-2,38	-2,38
855	VT-conSC(S-N)	GLOBAL	Force	Y Proj	0	0,18967	2,38	2,38
855	VL-sinSC(O-E)	GLOBAL	Force	X Proj	0	0,18967	0,28	0,28
855	VL-sinSC(E-O)	GLOBAL	Force	X Proj	0	0,18967	-0,28	-0,28
855	VL-conSC(O-E)	GLOBAL	Force	X Proj	0	0,18967	0,41	0,41



855	VL-conSC(E-O)	GLOBAL	Force	X Proj	0	0,18967	-0,41	-0,41
857	CM	GLOBAL	Force	Gravity	0	0,18957	0,04	0,04
857	VT-sinSC(N-S)	GLOBAL	Force	Y Proj	0	0,18957	-1,6	-1,6
857	VT-sinSC(S-N)	GLOBAL	Force	Y Proj	0	0,18957	1,6	1,6
857	VT-conSC(N-S)	GLOBAL	Force	Y Proj	0	0,18957	-2,38	-2,38
857	VT-conSC(S-N)	GLOBAL	Force	Y Proj	0	0,18957	2,38	2,38
857	VL-sinSC(O-E)	GLOBAL	Force	X Proj	0	0,18957	0,28	0,28
857	VL-sinSC(E-O)	GLOBAL	Force	X Proj	0	0,18957	-0,28	-0,28
857	VL-conSC(O-E)	GLOBAL	Force	X Proj	0	0,18957	0,41	0,41
857	VL-conSC(E-O)	GLOBAL	Force	X Proj	0	0,18957	-0,41	-0,41
858	CM	GLOBAL	Force	Gravity	0	0,18954	0,04	0,04
858	VT-sinSC(N-S)	GLOBAL	Force	Y Proj	0	0,18954	-1,6	-1,6
858	VT-sinSC(S-N)	GLOBAL	Force	Y Proj	0	0,18954	1,6	1,6
858	VT-conSC(N-S)	GLOBAL	Force	Y Proj	0	0,18954	-2,38	-2,38
858	VT-conSC(S-N)	GLOBAL	Force	Y Proj	0	0,18954	2,38	2,38
858	VL-sinSC(O-E)	GLOBAL	Force	X Proj	0	0,18954	0,28	0,28
858	VL-sinSC(E-O)	GLOBAL	Force	X Proj	0	0,18954	-0,28	-0,28
858	VL-conSC(O-E)	GLOBAL	Force	X Proj	0	0,18954	0,41	0,41
858	VL-conSC(E-O)	GLOBAL	Force	X Proj	0	0,18954	-0,41	-0,41
859	CM	GLOBAL	Force	Gravity	0	0,18953	0,04	0,04
859	VT-sinSC(N-S)	GLOBAL	Force	Y Proj	0	0,18953	-1,6	-1,6
859	VT-sinSC(S-N)	GLOBAL	Force	Y Proj	0	0,18953	1,6	1,6
859	VT-conSC(N-S)	GLOBAL	Force	Y Proj	0	0,18953	-2,38	-2,38
859	VT-conSC(S-N)	GLOBAL	Force	Y Proj	0	0,18953	2,38	2,38
859	VL-sinSC(O-E)	GLOBAL	Force	X Proj	0	0,18953	0,28	0,28
859	VL-sinSC(E-O)	GLOBAL	Force	X Proj	0	0,18953	-0,28	-0,28
859	VL-conSC(O-E)	GLOBAL	Force	X Proj	0	0,18953	0,41	0,41
859	VL-conSC(E-O)	GLOBAL	Force	X Proj	0	0,18953	-0,41	-0,41
860	CM	GLOBAL	Force	Gravity	0	0,18954	0,04	0,04
860	VT-sinSC(N-S)	GLOBAL	Force	Y Proj	0	0,18954	-1,6	-1,6
860	VT-sinSC(S-N)	GLOBAL	Force	Y Proj	0	0,18954	1,6	1,6
860	VT-conSC(N-S)	GLOBAL	Force	Y Proj	0	0,18954	-2,38	-2,38
860	VT-conSC(S-N)	GLOBAL	Force	Y Proj	0	0,18954	2,38	2,38
860	VL-sinSC(O-E)	GLOBAL	Force	X Proj	0	0,18954	0,28	0,28
860	VL-sinSC(E-O)	GLOBAL	Force	X Proj	0	0,18954	-0,28	-0,28
860	VL-conSC(O-E)	GLOBAL	Force	X Proj	0	0,18954	0,41	0,41
860	VL-conSC(E-O)	GLOBAL	Force	X Proj	0	0,18954	-0,41	-0,41
861	CM	GLOBAL	Force	Gravity	0	0,18956	0,04	0,04
861	VT-sinSC(N-S)	GLOBAL	Force	Y Proj	0	0,18956	-1,6	-1,6

861	VT-sinSC(S-N)	GLOBAL	Force	Y Proj	0	0,18956	1,6	1,6
861	VT-conSC(N-S)	GLOBAL	Force	Y Proj	0	0,18956	-2,38	-2,38
861	VT-conSC(S-N)	GLOBAL	Force	Y Proj	0	0,18956	2,38	2,38
861	VL-sinSC(O-E)	GLOBAL	Force	X Proj	0	0,18956	0,28	0,28
861	VL-sinSC(E-O)	GLOBAL	Force	X Proj	0	0,18956	-0,28	-0,28
861	VL-conSC(O-E)	GLOBAL	Force	X Proj	0	0,18956	0,41	0,41
861	VL-conSC(E-O)	GLOBAL	Force	X Proj	0	0,18956	-0,41	-0,41
862	CM	GLOBAL	Force	Gravity	0	0,18959	0,04	0,04
862	VT-sinSC(N-S)	GLOBAL	Force	Y Proj	0	0,18959	-1,6	-1,6
862	VT-sinSC(S-N)	GLOBAL	Force	Y Proj	0	0,18959	1,6	1,6
862	VT-conSC(N-S)	GLOBAL	Force	Y Proj	0	0,18959	-2,38	-2,38
862	VT-conSC(S-N)	GLOBAL	Force	Y Proj	0	0,18959	2,38	2,38
862	VL-sinSC(O-E)	GLOBAL	Force	X Proj	0	0,18959	0,28	0,28
862	VL-sinSC(E-O)	GLOBAL	Force	X Proj	0	0,18959	-0,28	-0,28
862	VL-conSC(O-E)	GLOBAL	Force	X Proj	0	0,18959	0,41	0,41
862	VL-conSC(E-O)	GLOBAL	Force	X Proj	0	0,18959	-0,41	-0,41
863	CM	GLOBAL	Force	Gravity	0	0,18964	0,04	0,04
863	VT-sinSC(N-S)	GLOBAL	Force	Y Proj	0	0,18964	-1,6	-1,6
863	VT-sinSC(S-N)	GLOBAL	Force	Y Proj	0	0,18964	1,6	1,6
863	VT-conSC(N-S)	GLOBAL	Force	Y Proj	0	0,18964	-2,38	-2,38
863	VT-conSC(S-N)	GLOBAL	Force	Y Proj	0	0,18964	2,38	2,38
863	VL-sinSC(O-E)	GLOBAL	Force	X Proj	0	0,18964	0,28	0,28
863	VL-sinSC(E-O)	GLOBAL	Force	X Proj	0	0,18964	-0,28	-0,28
863	VL-conSC(O-E)	GLOBAL	Force	X Proj	0	0,18964	0,41	0,41
863	VL-conSC(E-O)	GLOBAL	Force	X Proj	0	0,18964	-0,41	-0,41
864	CM	GLOBAL	Force	Gravity	0	0,1897	0,04	0,04
864	VT-sinSC(N-S)	GLOBAL	Force	Y Proj	0	0,1897	-1,6	-1,6
864	VT-sinSC(S-N)	GLOBAL	Force	Y Proj	0	0,1897	1,6	1,6
864	VT-conSC(N-S)	GLOBAL	Force	Y Proj	0	0,1897	-2,38	-2,38
864	VT-conSC(S-N)	GLOBAL	Force	Y Proj	0	0,1897	2,38	2,38
864	VL-sinSC(O-E)	GLOBAL	Force	X Proj	0	0,1897	0,28	0,28
864	VL-sinSC(E-O)	GLOBAL	Force	X Proj	0	0,1897	-0,28	-0,28
864	VL-conSC(O-E)	GLOBAL	Force	X Proj	0	0,1897	0,41	0,41
864	VL-conSC(E-O)	GLOBAL	Force	X Proj	0	0,1897	-0,41	-0,41
865	CM	GLOBAL	Force	Gravity	0	0,18972	0,04	0,04
865	VT-sinSC(N-S)	GLOBAL	Force	Y Proj	0	0,18972	-1,6	-1,6
865	VT-sinSC(S-N)	GLOBAL	Force	Y Proj	0	0,18972	1,6	1,6
865	VT-conSC(N-S)	GLOBAL	Force	Y Proj	0	0,18972	-2,38	-2,38
865	VT-conSC(S-N)	GLOBAL	Force	Y Proj	0	0,18972	2,38	2,38



865	VL-sinSC(O-E)	GLOBAL	Force	X Proj	0	0,18972	0,28	0,28
865	VL-sinSC(E-O)	GLOBAL	Force	X Proj	0	0,18972	-0,28	-0,28
865	VL-conSC(O-E)	GLOBAL	Force	X Proj	0	0,18972	0,41	0,41
865	VL-conSC(E-O)	GLOBAL	Force	X Proj	0	0,18972	-0,41	-0,41
867	CM	GLOBAL	Force	Gravity	0	0,18955	0,04	0,04
867	VT-sinSC(N-S)	GLOBAL	Force	Y Proj	0	0,18955	-1,6	-1,6
867	VT-sinSC(S-N)	GLOBAL	Force	Y Proj	0	0,18955	1,6	1,6
867	VT-conSC(N-S)	GLOBAL	Force	Y Proj	0	0,18955	-2,38	-2,38
867	VT-conSC(S-N)	GLOBAL	Force	Y Proj	0	0,18955	2,38	2,38
867	VL-sinSC(O-E)	GLOBAL	Force	X Proj	0	0,18955	0,28	0,28
867	VL-sinSC(E-O)	GLOBAL	Force	X Proj	0	0,18955	-0,28	-0,28
867	VL-conSC(O-E)	GLOBAL	Force	X Proj	0	0,18955	0,41	0,41
867	VL-conSC(E-O)	GLOBAL	Force	X Proj	0	0,18955	-0,41	-0,41
868	CM	GLOBAL	Force	Gravity	0	0,18949	0,04	0,04
868	VT-sinSC(N-S)	GLOBAL	Force	Y Proj	0	0,18949	-1,6	-1,6
868	VT-sinSC(S-N)	GLOBAL	Force	Y Proj	0	0,18949	1,6	1,6
868	VT-conSC(N-S)	GLOBAL	Force	Y Proj	0	0,18949	-2,38	-2,38
868	VT-conSC(S-N)	GLOBAL	Force	Y Proj	0	0,18949	2,38	2,38
868	VL-sinSC(O-E)	GLOBAL	Force	X Proj	0	0,18949	0,28	0,28
868	VL-sinSC(E-O)	GLOBAL	Force	X Proj	0	0,18949	-0,28	-0,28
868	VL-conSC(O-E)	GLOBAL	Force	X Proj	0	0,18949	0,41	0,41
868	VL-conSC(E-O)	GLOBAL	Force	X Proj	0	0,18949	-0,41	-0,41
869	CM	GLOBAL	Force	Gravity	0	0,18944	0,04	0,04
869	VT-sinSC(N-S)	GLOBAL	Force	Y Proj	0	0,18944	-1,6	-1,6
869	VT-sinSC(S-N)	GLOBAL	Force	Y Proj	0	0,18944	1,6	1,6
869	VT-conSC(N-S)	GLOBAL	Force	Y Proj	0	0,18944	-2,38	-2,38
869	VT-conSC(S-N)	GLOBAL	Force	Y Proj	0	0,18944	2,38	2,38
869	VL-sinSC(O-E)	GLOBAL	Force	X Proj	0	0,18944	0,28	0,28
869	VL-sinSC(E-O)	GLOBAL	Force	X Proj	0	0,18944	-0,28	-0,28
869	VL-conSC(O-E)	GLOBAL	Force	X Proj	0	0,18944	0,41	0,41
869	VL-conSC(E-O)	GLOBAL	Force	X Proj	0	0,18944	-0,41	-0,41
870	CM	GLOBAL	Force	Gravity	0	0,1894	0,04	0,04
870	VT-sinSC(N-S)	GLOBAL	Force	Y Proj	0	0,1894	-1,6	-1,6
870	VT-sinSC(S-N)	GLOBAL	Force	Y Proj	0	0,1894	1,6	1,6
870	VT-conSC(N-S)	GLOBAL	Force	Y Proj	0	0,1894	-2,38	-2,38
870	VT-conSC(S-N)	GLOBAL	Force	Y Proj	0	0,1894	2,38	2,38
870	VL-sinSC(O-E)	GLOBAL	Force	X Proj	0	0,1894	0,28	0,28
870	VL-sinSC(E-O)	GLOBAL	Force	X Proj	0	0,1894	-0,28	-0,28
870	VL-conSC(O-E)	GLOBAL	Force	X Proj	0	0,1894	0,41	0,41

870	VL-conSC(E-O)	GLOBAL	Force	X Proj	0	0,1894	-0,41	-0,41
871	CM	GLOBAL	Force	Gravity	0	0,18938	0,04	0,04
871	VT-sinSC(N-S)	GLOBAL	Force	Y Proj	0	0,18938	-1,6	-1,6
871	VT-sinSC(S-N)	GLOBAL	Force	Y Proj	0	0,18938	1,6	1,6
871	VT-conSC(N-S)	GLOBAL	Force	Y Proj	0	0,18938	-2,38	-2,38
871	VT-conSC(S-N)	GLOBAL	Force	Y Proj	0	0,18938	2,38	2,38
871	VL-sinSC(O-E)	GLOBAL	Force	X Proj	0	0,18938	0,28	0,28
871	VL-sinSC(E-O)	GLOBAL	Force	X Proj	0	0,18938	-0,28	-0,28
871	VL-conSC(O-E)	GLOBAL	Force	X Proj	0	0,18938	0,41	0,41
871	VL-conSC(E-O)	GLOBAL	Force	X Proj	0	0,18938	-0,41	-0,41
872	CM	GLOBAL	Force	Gravity	0	0,18938	0,04	0,04
872	VT-sinSC(N-S)	GLOBAL	Force	Y Proj	0	0,18938	-1,6	-1,6
872	VT-sinSC(S-N)	GLOBAL	Force	Y Proj	0	0,18938	1,6	1,6
872	VT-conSC(N-S)	GLOBAL	Force	Y Proj	0	0,18938	-2,38	-2,38
872	VT-conSC(S-N)	GLOBAL	Force	Y Proj	0	0,18938	2,38	2,38
872	VL-sinSC(O-E)	GLOBAL	Force	X Proj	0	0,18938	0,28	0,28
872	VL-sinSC(E-O)	GLOBAL	Force	X Proj	0	0,18938	-0,28	-0,28
872	VL-conSC(O-E)	GLOBAL	Force	X Proj	0	0,18938	0,41	0,41
872	VL-conSC(E-O)	GLOBAL	Force	X Proj	0	0,18938	-0,41	-0,41
873	CM	GLOBAL	Force	Gravity	0	0,18939	0,04	0,04
873	VT-sinSC(N-S)	GLOBAL	Force	Y Proj	0	0,18939	-1,6	-1,6
873	VT-sinSC(S-N)	GLOBAL	Force	Y Proj	0	0,18939	1,6	1,6
873	VT-conSC(N-S)	GLOBAL	Force	Y Proj	0	0,18939	-2,38	-2,38
873	VT-conSC(S-N)	GLOBAL	Force	Y Proj	0	0,18939	2,38	2,38
873	VL-sinSC(O-E)	GLOBAL	Force	X Proj	0	0,18939	0,28	0,28
873	VL-sinSC(E-O)	GLOBAL	Force	X Proj	0	0,18939	-0,28	-0,28
873	VL-conSC(O-E)	GLOBAL	Force	X Proj	0	0,18939	0,41	0,41
873	VL-conSC(E-O)	GLOBAL	Force	X Proj	0	0,18939	-0,41	-0,41
874	CM	GLOBAL	Force	Gravity	0	0,18941	0,04	0,04
874	VT-sinSC(N-S)	GLOBAL	Force	Y Proj	0	0,18941	-1,6	-1,6
874	VT-sinSC(S-N)	GLOBAL	Force	Y Proj	0	0,18941	1,6	1,6
874	VT-conSC(N-S)	GLOBAL	Force	Y Proj	0	0,18941	-2,38	-2,38
874	VT-conSC(S-N)	GLOBAL	Force	Y Proj	0	0,18941	2,38	2,38
874	VL-sinSC(O-E)	GLOBAL	Force	X Proj	0	0,18941	0,28	0,28
874	VL-sinSC(E-O)	GLOBAL	Force	X Proj	0	0,18941	-0,28	-0,28
874	VL-conSC(O-E)	GLOBAL	Force	X Proj	0	0,18941	0,41	0,41
874	VL-conSC(E-O)	GLOBAL	Force	X Proj	0	0,18941	-0,41	-0,41
876	CM	GLOBAL	Force	Gravity	0	0,18951	0,04	0,04
876	VT-sinSC(N-S)	GLOBAL	Force	Y Proj	0	0,18951	-1,6	-1,6



876	VT-sinSC(S-N)	GLOBAL	Force	Y Proj	0	0,18951	1,6	1,6
876	VT-conSC(N-S)	GLOBAL	Force	Y Proj	0	0,18951	-2,38	-2,38
876	VT-conSC(S-N)	GLOBAL	Force	Y Proj	0	0,18951	2,38	2,38
876	VL-sinSC(O-E)	GLOBAL	Force	X Proj	0	0,18951	0,28	0,28
876	VL-sinSC(E-O)	GLOBAL	Force	X Proj	0	0,18951	-0,28	-0,28
876	VL-conSC(O-E)	GLOBAL	Force	X Proj	0	0,18951	0,41	0,41
876	VL-conSC(E-O)	GLOBAL	Force	X Proj	0	0,18951	-0,41	-0,41
877	CM	GLOBAL	Force	Gravity	0	0,18958	0,04	0,04
877	VT-sinSC(N-S)	GLOBAL	Force	Y Proj	0	0,18958	-1,6	-1,6
877	VT-sinSC(S-N)	GLOBAL	Force	Y Proj	0	0,18958	1,6	1,6
877	VT-conSC(N-S)	GLOBAL	Force	Y Proj	0	0,18958	-2,38	-2,38
877	VT-conSC(S-N)	GLOBAL	Force	Y Proj	0	0,18958	2,38	2,38
877	VL-sinSC(O-E)	GLOBAL	Force	X Proj	0	0,18958	0,28	0,28
877	VL-sinSC(E-O)	GLOBAL	Force	X Proj	0	0,18958	-0,28	-0,28
877	VL-conSC(O-E)	GLOBAL	Force	X Proj	0	0,18958	0,41	0,41
877	VL-conSC(E-O)	GLOBAL	Force	X Proj	0	0,18958	-0,41	-0,41
878	CM	GLOBAL	Force	Gravity	0	0,18967	0,04	0,04
878	VT-sinSC(N-S)	GLOBAL	Force	Y Proj	0	0,18967	-1,6	-1,6
878	VT-sinSC(S-N)	GLOBAL	Force	Y Proj	0	0,18967	1,6	1,6
878	VT-conSC(N-S)	GLOBAL	Force	Y Proj	0	0,18967	-2,38	-2,38
878	VT-conSC(S-N)	GLOBAL	Force	Y Proj	0	0,18967	2,38	2,38
878	VL-sinSC(O-E)	GLOBAL	Force	X Proj	0	0,18967	0,28	0,28
878	VL-sinSC(E-O)	GLOBAL	Force	X Proj	0	0,18967	-0,28	-0,28
878	VL-conSC(O-E)	GLOBAL	Force	X Proj	0	0,18967	0,41	0,41
878	VL-conSC(E-O)	GLOBAL	Force	X Proj	0	0,18967	-0,41	-0,41
879	CM	GLOBAL	Force	Gravity	0	0,18973	0,04	0,04
879	VT-sinSC(N-S)	GLOBAL	Force	Y Proj	0	0,18973	-1,6	-1,6
879	VT-sinSC(S-N)	GLOBAL	Force	Y Proj	0	0,18973	1,6	1,6
879	VT-conSC(N-S)	GLOBAL	Force	Y Proj	0	0,18973	-2,38	-2,38
879	VT-conSC(S-N)	GLOBAL	Force	Y Proj	0	0,18973	2,38	2,38
879	VL-sinSC(O-E)	GLOBAL	Force	X Proj	0	0,18973	0,28	0,28
879	VL-sinSC(E-O)	GLOBAL	Force	X Proj	0	0,18973	-0,28	-0,28
879	VL-conSC(O-E)	GLOBAL	Force	X Proj	0	0,18973	0,41	0,41
879	VL-conSC(E-O)	GLOBAL	Force	X Proj	0	0,18973	-0,41	-0,41
880	CM	GLOBAL	Force	Gravity	0	0,1897	0,04	0,04
880	VT-sinSC(N-S)	GLOBAL	Force	Y Proj	0	0,1897	-1,6	-1,6
880	VT-sinSC(S-N)	GLOBAL	Force	Y Proj	0	0,1897	1,6	1,6
880	VT-conSC(N-S)	GLOBAL	Force	Y Proj	0	0,1897	-2,38	-2,38
880	VT-conSC(S-N)	GLOBAL	Force	Y Proj	0	0,1897	2,38	2,38

880	VL-sinSC(O-E)	GLOBAL	Force	X Proj	0	0,1897	0,28	0,28
880	VL-sinSC(E-O)	GLOBAL	Force	X Proj	0	0,1897	-0,28	-0,28
880	VL-conSC(O-E)	GLOBAL	Force	X Proj	0	0,1897	0,41	0,41
880	VL-conSC(E-O)	GLOBAL	Force	X Proj	0	0,1897	-0,41	-0,41
881	CM	GLOBAL	Force	Gravity	0	0,18969	0,04	0,04
881	VT-sinSC(N-S)	GLOBAL	Force	Y Proj	0	0,18969	-1,6	-1,6
881	VT-sinSC(S-N)	GLOBAL	Force	Y Proj	0	0,18969	1,6	1,6
881	VT-conSC(N-S)	GLOBAL	Force	Y Proj	0	0,18969	-2,38	-2,38
881	VT-conSC(S-N)	GLOBAL	Force	Y Proj	0	0,18969	2,38	2,38
881	VL-sinSC(O-E)	GLOBAL	Force	X Proj	0	0,18969	0,28	0,28
881	VL-sinSC(E-O)	GLOBAL	Force	X Proj	0	0,18969	-0,28	-0,28
881	VL-conSC(O-E)	GLOBAL	Force	X Proj	0	0,18969	0,41	0,41
881	VL-conSC(E-O)	GLOBAL	Force	X Proj	0	0,18969	-0,41	-0,41
882	CM	GLOBAL	Force	Gravity	0	0,18968	0,04	0,04
882	VT-sinSC(N-S)	GLOBAL	Force	Y Proj	0	0,18968	-1,6	-1,6
882	VT-sinSC(S-N)	GLOBAL	Force	Y Proj	0	0,18968	1,6	1,6
882	VT-conSC(N-S)	GLOBAL	Force	Y Proj	0	0,18968	-2,38	-2,38
882	VT-conSC(S-N)	GLOBAL	Force	Y Proj	0	0,18968	2,38	2,38
882	VL-sinSC(O-E)	GLOBAL	Force	X Proj	0	0,18968	0,28	0,28
882	VL-sinSC(E-O)	GLOBAL	Force	X Proj	0	0,18968	-0,28	-0,28
882	VL-conSC(O-E)	GLOBAL	Force	X Proj	0	0,18968	0,41	0,41
882	VL-conSC(E-O)	GLOBAL	Force	X Proj	0	0,18968	-0,41	-0,41
883	CM	GLOBAL	Force	Gravity	0	0,1897	0,04	0,04
883	VT-sinSC(N-S)	GLOBAL	Force	Y Proj	0	0,1897	-1,6	-1,6
883	VT-sinSC(S-N)	GLOBAL	Force	Y Proj	0	0,1897	1,6	1,6
883	VT-conSC(N-S)	GLOBAL	Force	Y Proj	0	0,1897	-2,38	-2,38
883	VT-conSC(S-N)	GLOBAL	Force	Y Proj	0	0,1897	2,38	2,38
883	VL-sinSC(O-E)	GLOBAL	Force	X Proj	0	0,1897	0,28	0,28
883	VL-sinSC(E-O)	GLOBAL	Force	X Proj	0	0,1897	-0,28	-0,28
883	VL-conSC(O-E)	GLOBAL	Force	X Proj	0	0,1897	0,41	0,41
883	VL-conSC(E-O)	GLOBAL	Force	X Proj	0	0,1897	-0,41	-0,41
884	CM	GLOBAL	Force	Gravity	0	0,18974	0,04	0,04
884	VT-sinSC(N-S)	GLOBAL	Force	Y Proj	0	0,18974	-1,6	-1,6
884	VT-sinSC(S-N)	GLOBAL	Force	Y Proj	0	0,18974	1,6	1,6
884	VT-conSC(N-S)	GLOBAL	Force	Y Proj	0	0,18974	-2,38	-2,38
884	VT-conSC(S-N)	GLOBAL	Force	Y Proj	0	0,18974	2,38	2,38
884	VL-sinSC(O-E)	GLOBAL	Force	X Proj	0	0,18974	0,28	0,28
884	VL-sinSC(E-O)	GLOBAL	Force	X Proj	0	0,18974	-0,28	-0,28
884	VL-conSC(O-E)	GLOBAL	Force	X Proj	0	0,18974	0,41	0,41



884	VL-conSC(E-O)	GLOBAL	Force	X Proj	0	0,18974	-0,41	-0,41
885	CM	GLOBAL	Force	Gravity	0	0,08225	0,04	0,04
885	VT-sinSC(N-S)	GLOBAL	Force	Y Proj	0	0,08225	-1,6	-1,6
885	VT-sinSC(S-N)	GLOBAL	Force	Y Proj	0	0,08225	1,6	1,6
885	VT-conSC(N-S)	GLOBAL	Force	Y Proj	0	0,08225	-2,38	-2,38
885	VT-conSC(S-N)	GLOBAL	Force	Y Proj	0	0,08225	2,38	2,38
885	VL-sinSC(O-E)	GLOBAL	Force	X Proj	0	0,08225	0,28	0,28
885	VL-sinSC(E-O)	GLOBAL	Force	X Proj	0	0,08225	-0,28	-0,28
885	VL-conSC(O-E)	GLOBAL	Force	X Proj	0	0,08225	0,41	0,41
885	VL-conSC(E-O)	GLOBAL	Force	X Proj	0	0,08225	-0,41	-0,41
886	CM	GLOBAL	Force	Gravity	0	0,08226	0,04	0,04
886	VT-sinSC(N-S)	GLOBAL	Force	Y Proj	0	0,08226	-1,6	-1,6
886	VT-sinSC(S-N)	GLOBAL	Force	Y Proj	0	0,08226	1,6	1,6
886	VT-conSC(N-S)	GLOBAL	Force	Y Proj	0	0,08226	-2,38	-2,38
886	VT-conSC(S-N)	GLOBAL	Force	Y Proj	0	0,08226	2,38	2,38
886	VL-sinSC(O-E)	GLOBAL	Force	X Proj	0	0,08226	0,28	0,28
886	VL-sinSC(E-O)	GLOBAL	Force	X Proj	0	0,08226	-0,28	-0,28
886	VL-conSC(O-E)	GLOBAL	Force	X Proj	0	0,08226	0,41	0,41
886	VL-conSC(E-O)	GLOBAL	Force	X Proj	0	0,08226	-0,41	-0,41
887	CM	GLOBAL	Force	Gravity	0	0,08225	0,04	0,04
887	VT-sinSC(N-S)	GLOBAL	Force	Y Proj	0	0,08225	-1,6	-1,6
887	VT-sinSC(S-N)	GLOBAL	Force	Y Proj	0	0,08225	1,6	1,6
887	VT-conSC(N-S)	GLOBAL	Force	Y Proj	0	0,08225	-2,38	-2,38
887	VT-conSC(S-N)	GLOBAL	Force	Y Proj	0	0,08225	2,38	2,38
887	VL-sinSC(O-E)	GLOBAL	Force	X Proj	0	0,08225	0,28	0,28
887	VL-sinSC(E-O)	GLOBAL	Force	X Proj	0	0,08225	-0,28	-0,28
887	VL-conSC(O-E)	GLOBAL	Force	X Proj	0	0,08225	0,41	0,41
887	VL-conSC(E-O)	GLOBAL	Force	X Proj	0	0,08225	-0,41	-0,41
888	CM	GLOBAL	Force	Gravity	0	0,08223	0,04	0,04
888	VT-sinSC(N-S)	GLOBAL	Force	Y Proj	0	0,08223	-1,6	-1,6
888	VT-sinSC(S-N)	GLOBAL	Force	Y Proj	0	0,08223	1,6	1,6
888	VT-conSC(N-S)	GLOBAL	Force	Y Proj	0	0,08223	-2,38	-2,38
888	VT-conSC(S-N)	GLOBAL	Force	Y Proj	0	0,08223	2,38	2,38
888	VL-sinSC(O-E)	GLOBAL	Force	X Proj	0	0,08223	0,28	0,28
888	VL-sinSC(E-O)	GLOBAL	Force	X Proj	0	0,08223	-0,28	-0,28
888	VL-conSC(O-E)	GLOBAL	Force	X Proj	0	0,08223	0,41	0,41
888	VL-conSC(E-O)	GLOBAL	Force	X Proj	0	0,08223	-0,41	-0,41
889	CM	GLOBAL	Force	Gravity	0	0,08222	0,04	0,04
889	VT-sinSC(N-S)	GLOBAL	Force	Y Proj	0	0,08222	-1,6	-1,6

889	VT-sinSC(S-N)	GLOBAL	Force	Y Proj	0	0,08222	1,6	1,6
889	VT-conSC(N-S)	GLOBAL	Force	Y Proj	0	0,08222	-2,38	-2,38
889	VT-conSC(S-N)	GLOBAL	Force	Y Proj	0	0,08222	2,38	2,38
889	VL-sinSC(O-E)	GLOBAL	Force	X Proj	0	0,08222	0,28	0,28
889	VL-sinSC(E-O)	GLOBAL	Force	X Proj	0	0,08222	-0,28	-0,28
889	VL-conSC(O-E)	GLOBAL	Force	X Proj	0	0,08222	0,41	0,41
889	VL-conSC(E-O)	GLOBAL	Force	X Proj	0	0,08222	-0,41	-0,41
890	CM	GLOBAL	Force	Gravity	0	0,0822	0,04	0,04
890	VT-sinSC(N-S)	GLOBAL	Force	Y Proj	0	0,0822	-1,6	-1,6
890	VT-sinSC(S-N)	GLOBAL	Force	Y Proj	0	0,0822	1,6	1,6
890	VT-conSC(N-S)	GLOBAL	Force	Y Proj	0	0,0822	-2,38	-2,38
890	VT-conSC(S-N)	GLOBAL	Force	Y Proj	0	0,0822	2,38	2,38
890	VL-sinSC(O-E)	GLOBAL	Force	X Proj	0	0,0822	0,28	0,28
890	VL-sinSC(E-O)	GLOBAL	Force	X Proj	0	0,0822	-0,28	-0,28
890	VL-conSC(O-E)	GLOBAL	Force	X Proj	0	0,0822	0,41	0,41
890	VL-conSC(E-O)	GLOBAL	Force	X Proj	0	0,0822	-0,41	-0,41
891	CM	GLOBAL	Force	Gravity	0	0,08218	0,04	0,04
891	VT-sinSC(N-S)	GLOBAL	Force	Y Proj	0	0,08218	-1,6	-1,6
891	VT-sinSC(S-N)	GLOBAL	Force	Y Proj	0	0,08218	1,6	1,6
891	VT-conSC(N-S)	GLOBAL	Force	Y Proj	0	0,08218	-2,38	-2,38
891	VT-conSC(S-N)	GLOBAL	Force	Y Proj	0	0,08218	2,38	2,38
891	VL-sinSC(O-E)	GLOBAL	Force	X Proj	0	0,08218	0,28	0,28
891	VL-sinSC(E-O)	GLOBAL	Force	X Proj	0	0,08218	-0,28	-0,28
891	VL-conSC(O-E)	GLOBAL	Force	X Proj	0	0,08218	0,41	0,41
891	VL-conSC(E-O)	GLOBAL	Force	X Proj	0	0,08218	-0,41	-0,41
892	CM	GLOBAL	Force	Gravity	0	0,08217	0,04	0,04
892	VT-sinSC(N-S)	GLOBAL	Force	Y Proj	0	0,08217	-1,6	-1,6
892	VT-sinSC(S-N)	GLOBAL	Force	Y Proj	0	0,08217	1,6	1,6
892	VT-conSC(N-S)	GLOBAL	Force	Y Proj	0	0,08217	-2,38	-2,38
892	VT-conSC(S-N)	GLOBAL	Force	Y Proj	0	0,08217	2,38	2,38
892	VL-sinSC(O-E)	GLOBAL	Force	X Proj	0	0,08217	0,28	0,28
892	VL-sinSC(E-O)	GLOBAL	Force	X Proj	0	0,08217	-0,28	-0,28
892	VL-conSC(O-E)	GLOBAL	Force	X Proj	0	0,08217	0,41	0,41
892	VL-conSC(E-O)	GLOBAL	Force	X Proj	0	0,08217	-0,41	-0,41
893	CM	GLOBAL	Force	Gravity	0	0,08217	0,04	0,04
893	VT-sinSC(N-S)	GLOBAL	Force	Y Proj	0	0,08217	-1,6	-1,6
893	VT-sinSC(S-N)	GLOBAL	Force	Y Proj	0	0,08217	1,6	1,6
893	VT-conSC(N-S)	GLOBAL	Force	Y Proj	0	0,08217	-2,38	-2,38
893	VT-conSC(S-N)	GLOBAL	Force	Y Proj	0	0,08217	2,38	2,38



893	VL-sinSC(O-E)	GLOBAL	Force	X Proj	0	0,08217	0,28	0,28
893	VL-sinSC(E-O)	GLOBAL	Force	X Proj	0	0,08217	-0,28	-0,28
893	VL-conSC(O-E)	GLOBAL	Force	X Proj	0	0,08217	0,41	0,41
893	VL-conSC(E-O)	GLOBAL	Force	X Proj	0	0,08217	-0,41	-0,41
894	CM	GLOBAL	Force	Gravity	0	0,08217	0,04	0,04
894	VT-sinSC(N-S)	GLOBAL	Force	Y Proj	0	0,08217	-1,6	-1,6
894	VT-sinSC(S-N)	GLOBAL	Force	Y Proj	0	0,08217	1,6	1,6
894	VT-conSC(N-S)	GLOBAL	Force	Y Proj	0	0,08217	-2,38	-2,38
894	VT-conSC(S-N)	GLOBAL	Force	Y Proj	0	0,08217	2,38	2,38
894	VL-sinSC(O-E)	GLOBAL	Force	X Proj	0	0,08217	0,28	0,28
894	VL-sinSC(E-O)	GLOBAL	Force	X Proj	0	0,08217	-0,28	-0,28
894	VL-conSC(O-E)	GLOBAL	Force	X Proj	0	0,08217	0,41	0,41
894	VL-conSC(E-O)	GLOBAL	Force	X Proj	0	0,08217	-0,41	-0,41
895	CM	GLOBAL	Force	Gravity	0	0,08218	0,04	0,04
895	VT-sinSC(N-S)	GLOBAL	Force	Y Proj	0	0,08218	-1,6	-1,6
895	VT-sinSC(S-N)	GLOBAL	Force	Y Proj	0	0,08218	1,6	1,6
895	VT-conSC(N-S)	GLOBAL	Force	Y Proj	0	0,08218	-2,38	-2,38
895	VT-conSC(S-N)	GLOBAL	Force	Y Proj	0	0,08218	2,38	2,38
895	VL-sinSC(O-E)	GLOBAL	Force	X Proj	0	0,08218	0,28	0,28
895	VL-sinSC(E-O)	GLOBAL	Force	X Proj	0	0,08218	-0,28	-0,28
895	VL-conSC(O-E)	GLOBAL	Force	X Proj	0	0,08218	0,41	0,41
895	VL-conSC(E-O)	GLOBAL	Force	X Proj	0	0,08218	-0,41	-0,41
896	CM	GLOBAL	Force	Gravity	0	0,0822	0,04	0,04
896	VT-sinSC(N-S)	GLOBAL	Force	Y Proj	0	0,0822	-1,6	-1,6
896	VT-sinSC(S-N)	GLOBAL	Force	Y Proj	0	0,0822	1,6	1,6
896	VT-conSC(N-S)	GLOBAL	Force	Y Proj	0	0,0822	-2,38	-2,38
896	VT-conSC(S-N)	GLOBAL	Force	Y Proj	0	0,0822	2,38	2,38
896	VL-sinSC(O-E)	GLOBAL	Force	X Proj	0	0,0822	0,28	0,28
896	VL-sinSC(E-O)	GLOBAL	Force	X Proj	0	0,0822	-0,28	-0,28
896	VL-conSC(O-E)	GLOBAL	Force	X Proj	0	0,0822	0,41	0,41
896	VL-conSC(E-O)	GLOBAL	Force	X Proj	0	0,0822	-0,41	-0,41
897	CM	GLOBAL	Force	Gravity	0	0,08222	0,04	0,04
897	VT-sinSC(N-S)	GLOBAL	Force	Y Proj	0	0,08222	-1,6	-1,6
897	VT-sinSC(S-N)	GLOBAL	Force	Y Proj	0	0,08222	1,6	1,6
897	VT-conSC(N-S)	GLOBAL	Force	Y Proj	0	0,08222	-2,38	-2,38
897	VT-conSC(S-N)	GLOBAL	Force	Y Proj	0	0,08222	2,38	2,38
897	VL-sinSC(O-E)	GLOBAL	Force	X Proj	0	0,08222	0,28	0,28
897	VL-sinSC(E-O)	GLOBAL	Force	X Proj	0	0,08222	-0,28	-0,28
897	VL-conSC(O-E)	GLOBAL	Force	X Proj	0	0,08222	0,41	0,41

897	VL-conSC(E-O)	GLOBAL	Force	X Proj	0	0,08222	-0,41	-0,41
898	CM	GLOBAL	Force	Gravity	0	0,08223	0,04	0,04
898	VT-sinSC(N-S)	GLOBAL	Force	Y Proj	0	0,08223	-1,6	-1,6
898	VT-sinSC(S-N)	GLOBAL	Force	Y Proj	0	0,08223	1,6	1,6
898	VT-conSC(N-S)	GLOBAL	Force	Y Proj	0	0,08223	-2,38	-2,38
898	VT-conSC(S-N)	GLOBAL	Force	Y Proj	0	0,08223	2,38	2,38
898	VL-sinSC(O-E)	GLOBAL	Force	X Proj	0	0,08223	0,28	0,28
898	VL-sinSC(E-O)	GLOBAL	Force	X Proj	0	0,08223	-0,28	-0,28
898	VL-conSC(O-E)	GLOBAL	Force	X Proj	0	0,08223	0,41	0,41
898	VL-conSC(E-O)	GLOBAL	Force	X Proj	0	0,08223	-0,41	-0,41
899	CM	GLOBAL	Force	Gravity	0	0,08225	0,04	0,04
899	VT-sinSC(N-S)	GLOBAL	Force	Y Proj	0	0,08225	-1,6	-1,6
899	VT-sinSC(S-N)	GLOBAL	Force	Y Proj	0	0,08225	1,6	1,6
899	VT-conSC(N-S)	GLOBAL	Force	Y Proj	0	0,08225	-2,38	-2,38
899	VT-conSC(S-N)	GLOBAL	Force	Y Proj	0	0,08225	2,38	2,38
899	VL-sinSC(O-E)	GLOBAL	Force	X Proj	0	0,08225	0,28	0,28
899	VL-sinSC(E-O)	GLOBAL	Force	X Proj	0	0,08225	-0,28	-0,28
899	VL-conSC(O-E)	GLOBAL	Force	X Proj	0	0,08225	0,41	0,41
899	VL-conSC(E-O)	GLOBAL	Force	X Proj	0	0,08225	-0,41	-0,41
900	CM	GLOBAL	Force	Gravity	0	0,08226	0,04	0,04
900	VT-sinSC(N-S)	GLOBAL	Force	Y Proj	0	0,08226	-1,6	-1,6
900	VT-sinSC(S-N)	GLOBAL	Force	Y Proj	0	0,08226	1,6	1,6
900	VT-conSC(N-S)	GLOBAL	Force	Y Proj	0	0,08226	-2,38	-2,38
900	VT-conSC(S-N)	GLOBAL	Force	Y Proj	0	0,08226	2,38	2,38
900	VL-sinSC(O-E)	GLOBAL	Force	X Proj	0	0,08226	0,28	0,28
900	VL-sinSC(E-O)	GLOBAL	Force	X Proj	0	0,08226	-0,28	-0,28
900	VL-conSC(O-E)	GLOBAL	Force	X Proj	0	0,08226	0,41	0,41
900	VL-conSC(E-O)	GLOBAL	Force	X Proj	0	0,08226	-0,41	-0,41
901	CM	GLOBAL	Force	Gravity	0	0,08227	0,04	0,04
901	VT-sinSC(N-S)	GLOBAL	Force	Y Proj	0	0,08227	-1,6	-1,6
901	VT-sinSC(S-N)	GLOBAL	Force	Y Proj	0	0,08227	1,6	1,6
901	VT-conSC(N-S)	GLOBAL	Force	Y Proj	0	0,08227	-2,38	-2,38
901	VT-conSC(S-N)	GLOBAL	Force	Y Proj	0	0,08227	2,38	2,38
901	VL-sinSC(O-E)	GLOBAL	Force	X Proj	0	0,08227	0,28	0,28
901	VL-sinSC(E-O)	GLOBAL	Force	X Proj	0	0,08227	-0,28	-0,28
901	VL-conSC(O-E)	GLOBAL	Force	X Proj	0	0,08227	0,41	0,41
901	VL-conSC(E-O)	GLOBAL	Force	X Proj	0	0,08227	-0,41	-0,41
902	CM	GLOBAL	Force	Gravity	0	0,19091	0,04	0,04
902	VT-sinSC(N-S)	GLOBAL	Force	Y Proj	0	0,19091	-1,6	-1,6



902	VT-sinSC(S-N)	GLOBAL	Force	Y Proj	0	0,19091	1,6	1,6
902	VT-conSC(N-S)	GLOBAL	Force	Y Proj	0	0,19091	-2,38	-2,38
902	VT-conSC(S-N)	GLOBAL	Force	Y Proj	0	0,19091	2,38	2,38
902	VL-sinSC(O-E)	GLOBAL	Force	X Proj	0	0,19091	0,28	0,28
902	VL-sinSC(E-O)	GLOBAL	Force	X Proj	0	0,19091	-0,28	-0,28
902	VL-conSC(O-E)	GLOBAL	Force	X Proj	0	0,19091	0,41	0,41
902	VL-conSC(E-O)	GLOBAL	Force	X Proj	0	0,19091	-0,41	-0,41
903	CM	GLOBAL	Force	Gravity	0	0,19081	0,04	0,04
903	VT-sinSC(N-S)	GLOBAL	Force	Y Proj	0	0,19081	-1,6	-1,6
903	VT-sinSC(S-N)	GLOBAL	Force	Y Proj	0	0,19081	1,6	1,6
903	VT-conSC(N-S)	GLOBAL	Force	Y Proj	0	0,19081	-2,38	-2,38
903	VT-conSC(S-N)	GLOBAL	Force	Y Proj	0	0,19081	2,38	2,38
903	VL-sinSC(O-E)	GLOBAL	Force	X Proj	0	0,19081	0,28	0,28
903	VL-sinSC(E-O)	GLOBAL	Force	X Proj	0	0,19081	-0,28	-0,28
903	VL-conSC(O-E)	GLOBAL	Force	X Proj	0	0,19081	0,41	0,41
903	VL-conSC(E-O)	GLOBAL	Force	X Proj	0	0,19081	-0,41	-0,41
904	CM	GLOBAL	Force	Gravity	0	0,19071	0,04	0,04
904	VT-sinSC(N-S)	GLOBAL	Force	Y Proj	0	0,19071	-1,6	-1,6
904	VT-sinSC(S-N)	GLOBAL	Force	Y Proj	0	0,19071	1,6	1,6
904	VT-conSC(N-S)	GLOBAL	Force	Y Proj	0	0,19071	-2,38	-2,38
904	VT-conSC(S-N)	GLOBAL	Force	Y Proj	0	0,19071	2,38	2,38
904	VL-sinSC(O-E)	GLOBAL	Force	X Proj	0	0,19071	0,28	0,28
904	VL-sinSC(E-O)	GLOBAL	Force	X Proj	0	0,19071	-0,28	-0,28
904	VL-conSC(O-E)	GLOBAL	Force	X Proj	0	0,19071	0,41	0,41
904	VL-conSC(E-O)	GLOBAL	Force	X Proj	0	0,19071	-0,41	-0,41
905	CM	GLOBAL	Force	Gravity	0	0,19064	0,04	0,04
905	VT-sinSC(N-S)	GLOBAL	Force	Y Proj	0	0,19064	-1,6	-1,6
905	VT-sinSC(S-N)	GLOBAL	Force	Y Proj	0	0,19064	1,6	1,6
905	VT-conSC(N-S)	GLOBAL	Force	Y Proj	0	0,19064	-2,38	-2,38
905	VT-conSC(S-N)	GLOBAL	Force	Y Proj	0	0,19064	2,38	2,38
905	VL-sinSC(O-E)	GLOBAL	Force	X Proj	0	0,19064	0,28	0,28
905	VL-sinSC(E-O)	GLOBAL	Force	X Proj	0	0,19064	-0,28	-0,28
905	VL-conSC(O-E)	GLOBAL	Force	X Proj	0	0,19064	0,41	0,41
905	VL-conSC(E-O)	GLOBAL	Force	X Proj	0	0,19064	-0,41	-0,41
906	CM	GLOBAL	Force	Gravity	0	0,19058	0,04	0,04
906	VT-sinSC(N-S)	GLOBAL	Force	Y Proj	0	0,19058	-1,6	-1,6
906	VT-sinSC(S-N)	GLOBAL	Force	Y Proj	0	0,19058	1,6	1,6
906	VT-conSC(N-S)	GLOBAL	Force	Y Proj	0	0,19058	-2,38	-2,38
906	VT-conSC(S-N)	GLOBAL	Force	Y Proj	0	0,19058	2,38	2,38

906	VL-sinSC(O-E)	GLOBAL	Force	X Proj	0	0,19058	0,28	0,28
906	VL-sinSC(E-O)	GLOBAL	Force	X Proj	0	0,19058	-0,28	-0,28
906	VL-conSC(O-E)	GLOBAL	Force	X Proj	0	0,19058	0,41	0,41
906	VL-conSC(E-O)	GLOBAL	Force	X Proj	0	0,19058	-0,41	-0,41
907	CM	GLOBAL	Force	Gravity	0	0,19053	0,04	0,04
907	VT-sinSC(N-S)	GLOBAL	Force	Y Proj	0	0,19053	-1,6	-1,6
907	VT-sinSC(S-N)	GLOBAL	Force	Y Proj	0	0,19053	1,6	1,6
907	VT-conSC(N-S)	GLOBAL	Force	Y Proj	0	0,19053	-2,38	-2,38
907	VT-conSC(S-N)	GLOBAL	Force	Y Proj	0	0,19053	2,38	2,38
907	VL-sinSC(O-E)	GLOBAL	Force	X Proj	0	0,19053	0,28	0,28
907	VL-sinSC(E-O)	GLOBAL	Force	X Proj	0	0,19053	-0,28	-0,28
907	VL-conSC(O-E)	GLOBAL	Force	X Proj	0	0,19053	0,41	0,41
907	VL-conSC(E-O)	GLOBAL	Force	X Proj	0	0,19053	-0,41	-0,41
908	CM	GLOBAL	Force	Gravity	0	0,1905	0,04	0,04
908	VT-sinSC(N-S)	GLOBAL	Force	Y Proj	0	0,1905	-1,6	-1,6
908	VT-sinSC(S-N)	GLOBAL	Force	Y Proj	0	0,1905	1,6	1,6
908	VT-conSC(N-S)	GLOBAL	Force	Y Proj	0	0,1905	-2,38	-2,38
908	VT-conSC(S-N)	GLOBAL	Force	Y Proj	0	0,1905	2,38	2,38
908	VL-sinSC(O-E)	GLOBAL	Force	X Proj	0	0,1905	0,28	0,28
908	VL-sinSC(E-O)	GLOBAL	Force	X Proj	0	0,1905	-0,28	-0,28
908	VL-conSC(O-E)	GLOBAL	Force	X Proj	0	0,1905	0,41	0,41
908	VL-conSC(E-O)	GLOBAL	Force	X Proj	0	0,1905	-0,41	-0,41
909	CM	GLOBAL	Force	Gravity	0	0,19049	0,04	0,04
909	VT-sinSC(N-S)	GLOBAL	Force	Y Proj	0	0,19049	-1,6	-1,6
909	VT-sinSC(S-N)	GLOBAL	Force	Y Proj	0	0,19049	1,6	1,6
909	VT-conSC(N-S)	GLOBAL	Force	Y Proj	0	0,19049	-2,38	-2,38
909	VT-conSC(S-N)	GLOBAL	Force	Y Proj	0	0,19049	2,38	2,38
909	VL-sinSC(O-E)	GLOBAL	Force	X Proj	0	0,19049	0,28	0,28
909	VL-sinSC(E-O)	GLOBAL	Force	X Proj	0	0,19049	-0,28	-0,28
909	VL-conSC(O-E)	GLOBAL	Force	X Proj	0	0,19049	0,41	0,41
909	VL-conSC(E-O)	GLOBAL	Force	X Proj	0	0,19049	-0,41	-0,41
910	CM	GLOBAL	Force	Gravity	0	0,19049	0,04	0,04
910	VT-sinSC(N-S)	GLOBAL	Force	Y Proj	0	0,19049	-1,6	-1,6
910	VT-sinSC(S-N)	GLOBAL	Force	Y Proj	0	0,19049	1,6	1,6
910	VT-conSC(N-S)	GLOBAL	Force	Y Proj	0	0,19049	-2,38	-2,38
910	VT-conSC(S-N)	GLOBAL	Force	Y Proj	0	0,19049	2,38	2,38
910	VL-sinSC(O-E)	GLOBAL	Force	X Proj	0	0,19049	0,28	0,28
910	VL-sinSC(E-O)	GLOBAL	Force	X Proj	0	0,19049	-0,28	-0,28
910	VL-conSC(O-E)	GLOBAL	Force	X Proj	0	0,19049	0,41	0,41



910	VL-conSC(E-O)	GLOBAL	Force	X Proj	0	0,19049	-0,41	-0,41
912	CM	GLOBAL	Force	Gravity	0	0,19054	0,04	0,04
912	VT-sinSC(N-S)	GLOBAL	Force	Y Proj	0	0,19054	-1,6	-1,6
912	VT-sinSC(S-N)	GLOBAL	Force	Y Proj	0	0,19054	1,6	1,6
912	VT-conSC(N-S)	GLOBAL	Force	Y Proj	0	0,19054	-2,38	-2,38
912	VT-conSC(S-N)	GLOBAL	Force	Y Proj	0	0,19054	2,38	2,38
912	VL-sinSC(O-E)	GLOBAL	Force	X Proj	0	0,19054	0,28	0,28
912	VL-sinSC(E-O)	GLOBAL	Force	X Proj	0	0,19054	-0,28	-0,28
912	VL-conSC(O-E)	GLOBAL	Force	X Proj	0	0,19054	0,41	0,41
912	VL-conSC(E-O)	GLOBAL	Force	X Proj	0	0,19054	-0,41	-0,41
913	CM	GLOBAL	Force	Gravity	0	0,19058	0,04	0,04
913	VT-sinSC(N-S)	GLOBAL	Force	Y Proj	0	0,19058	-1,6	-1,6
913	VT-sinSC(S-N)	GLOBAL	Force	Y Proj	0	0,19058	1,6	1,6
913	VT-conSC(N-S)	GLOBAL	Force	Y Proj	0	0,19058	-2,38	-2,38
913	VT-conSC(S-N)	GLOBAL	Force	Y Proj	0	0,19058	2,38	2,38
913	VL-sinSC(O-E)	GLOBAL	Force	X Proj	0	0,19058	0,28	0,28
913	VL-sinSC(E-O)	GLOBAL	Force	X Proj	0	0,19058	-0,28	-0,28
913	VL-conSC(O-E)	GLOBAL	Force	X Proj	0	0,19058	0,41	0,41
913	VL-conSC(E-O)	GLOBAL	Force	X Proj	0	0,19058	-0,41	-0,41
914	CM	GLOBAL	Force	Gravity	0	0,19065	0,04	0,04
914	VT-sinSC(N-S)	GLOBAL	Force	Y Proj	0	0,19065	-1,6	-1,6
914	VT-sinSC(S-N)	GLOBAL	Force	Y Proj	0	0,19065	1,6	1,6
914	VT-conSC(N-S)	GLOBAL	Force	Y Proj	0	0,19065	-2,38	-2,38
914	VT-conSC(S-N)	GLOBAL	Force	Y Proj	0	0,19065	2,38	2,38
914	VL-sinSC(O-E)	GLOBAL	Force	X Proj	0	0,19065	0,28	0,28
914	VL-sinSC(E-O)	GLOBAL	Force	X Proj	0	0,19065	-0,28	-0,28
914	VL-conSC(O-E)	GLOBAL	Force	X Proj	0	0,19065	0,41	0,41
914	VL-conSC(E-O)	GLOBAL	Force	X Proj	0	0,19065	-0,41	-0,41
915	CM	GLOBAL	Force	Gravity	0	0,19073	0,04	0,04
915	VT-sinSC(N-S)	GLOBAL	Force	Y Proj	0	0,19073	-1,6	-1,6
915	VT-sinSC(S-N)	GLOBAL	Force	Y Proj	0	0,19073	1,6	1,6
915	VT-conSC(N-S)	GLOBAL	Force	Y Proj	0	0,19073	-2,38	-2,38
915	VT-conSC(S-N)	GLOBAL	Force	Y Proj	0	0,19073	2,38	2,38
915	VL-sinSC(O-E)	GLOBAL	Force	X Proj	0	0,19073	0,28	0,28
915	VL-sinSC(E-O)	GLOBAL	Force	X Proj	0	0,19073	-0,28	-0,28
915	VL-conSC(O-E)	GLOBAL	Force	X Proj	0	0,19073	0,41	0,41
915	VL-conSC(E-O)	GLOBAL	Force	X Proj	0	0,19073	-0,41	-0,41
916	CM	GLOBAL	Force	Gravity	0	0,19082	0,04	0,04
916	VT-sinSC(N-S)	GLOBAL	Force	Y Proj	0	0,19082	-1,6	-1,6

916	VT-sinSC(S-N)	GLOBAL	Force	Y Proj	0	0,19082	1,6	1,6
916	VT-conSC(N-S)	GLOBAL	Force	Y Proj	0	0,19082	-2,38	-2,38
916	VT-conSC(S-N)	GLOBAL	Force	Y Proj	0	0,19082	2,38	2,38
916	VL-sinSC(O-E)	GLOBAL	Force	X Proj	0	0,19082	0,28	0,28
916	VL-sinSC(E-O)	GLOBAL	Force	X Proj	0	0,19082	-0,28	-0,28
916	VL-conSC(O-E)	GLOBAL	Force	X Proj	0	0,19082	0,41	0,41
916	VL-conSC(E-O)	GLOBAL	Force	X Proj	0	0,19082	-0,41	-0,41
917	CM	GLOBAL	Force	Gravity	0	0,19093	0,04	0,04
917	VT-sinSC(N-S)	GLOBAL	Force	Y Proj	0	0,19093	-1,6	-1,6
917	VT-sinSC(S-N)	GLOBAL	Force	Y Proj	0	0,19093	1,6	1,6
917	VT-conSC(N-S)	GLOBAL	Force	Y Proj	0	0,19093	-2,38	-2,38
917	VT-conSC(S-N)	GLOBAL	Force	Y Proj	0	0,19093	2,38	2,38
917	VL-sinSC(O-E)	GLOBAL	Force	X Proj	0	0,19093	0,28	0,28
917	VL-sinSC(E-O)	GLOBAL	Force	X Proj	0	0,19093	-0,28	-0,28
917	VL-conSC(O-E)	GLOBAL	Force	X Proj	0	0,19093	0,41	0,41
917	VL-conSC(E-O)	GLOBAL	Force	X Proj	0	0,19093	-0,41	-0,41
918	CM	GLOBAL	Force	Gravity	0	0,19098	0,04	0,04
918	VT-sinSC(N-S)	GLOBAL	Force	Y Proj	0	0,19098	-1,6	-1,6
918	VT-sinSC(S-N)	GLOBAL	Force	Y Proj	0	0,19098	1,6	1,6
918	VT-conSC(N-S)	GLOBAL	Force	Y Proj	0	0,19098	-2,38	-2,38
918	VT-conSC(S-N)	GLOBAL	Force	Y Proj	0	0,19098	2,38	2,38
918	VL-sinSC(O-E)	GLOBAL	Force	X Proj	0	0,19098	0,28	0,28
918	VL-sinSC(E-O)	GLOBAL	Force	X Proj	0	0,19098	-0,28	-0,28
918	VL-conSC(O-E)	GLOBAL	Force	X Proj	0	0,19098	0,41	0,41
918	VL-conSC(E-O)	GLOBAL	Force	X Proj	0	0,19098	-0,41	-0,41
919	CM	GLOBAL	Force	Gravity	0	0,19091	0,04	0,04
919	VT-sinSC(N-S)	GLOBAL	Force	Y Proj	0	0,19091	-1,6	-1,6
919	VT-sinSC(S-N)	GLOBAL	Force	Y Proj	0	0,19091	1,6	1,6
919	VT-conSC(N-S)	GLOBAL	Force	Y Proj	0	0,19091	-2,38	-2,38
919	VT-conSC(S-N)	GLOBAL	Force	Y Proj	0	0,19091	2,38	2,38
919	VL-sinSC(O-E)	GLOBAL	Force	X Proj	0	0,19091	0,28	0,28
919	VL-sinSC(E-O)	GLOBAL	Force	X Proj	0	0,19091	-0,28	-0,28
919	VL-conSC(O-E)	GLOBAL	Force	X Proj	0	0,19091	0,41	0,41
919	VL-conSC(E-O)	GLOBAL	Force	X Proj	0	0,19091	-0,41	-0,41
921	CM	GLOBAL	Force	Gravity	0	0,19082	0,04	0,04
921	VT-sinSC(N-S)	GLOBAL	Force	Y Proj	0	0,19082	-1,6	-1,6
921	VT-sinSC(S-N)	GLOBAL	Force	Y Proj	0	0,19082	1,6	1,6
921	VT-conSC(N-S)	GLOBAL	Force	Y Proj	0	0,19082	-2,38	-2,38
921	VT-conSC(S-N)	GLOBAL	Force	Y Proj	0	0,19082	2,38	2,38



921	VL-sinSC(O-E)	GLOBAL	Force	X Proj	0	0,19082	0,28	0,28
921	VL-sinSC(E-O)	GLOBAL	Force	X Proj	0	0,19082	-0,28	-0,28
921	VL-conSC(O-E)	GLOBAL	Force	X Proj	0	0,19082	0,41	0,41
921	VL-conSC(E-O)	GLOBAL	Force	X Proj	0	0,19082	-0,41	-0,41
922	CM	GLOBAL	Force	Gravity	0	0,19079	0,04	0,04
922	VT-sinSC(N-S)	GLOBAL	Force	Y Proj	0	0,19079	-1,6	-1,6
922	VT-sinSC(S-N)	GLOBAL	Force	Y Proj	0	0,19079	1,6	1,6
922	VT-conSC(N-S)	GLOBAL	Force	Y Proj	0	0,19079	-2,38	-2,38
922	VT-conSC(S-N)	GLOBAL	Force	Y Proj	0	0,19079	2,38	2,38
922	VL-sinSC(O-E)	GLOBAL	Force	X Proj	0	0,19079	0,28	0,28
922	VL-sinSC(E-O)	GLOBAL	Force	X Proj	0	0,19079	-0,28	-0,28
922	VL-conSC(O-E)	GLOBAL	Force	X Proj	0	0,19079	0,41	0,41
922	VL-conSC(E-O)	GLOBAL	Force	X Proj	0	0,19079	-0,41	-0,41
923	CM	GLOBAL	Force	Gravity	0	0,19079	0,04	0,04
923	VT-sinSC(N-S)	GLOBAL	Force	Y Proj	0	0,19079	-1,6	-1,6
923	VT-sinSC(S-N)	GLOBAL	Force	Y Proj	0	0,19079	1,6	1,6
923	VT-conSC(N-S)	GLOBAL	Force	Y Proj	0	0,19079	-2,38	-2,38
923	VT-conSC(S-N)	GLOBAL	Force	Y Proj	0	0,19079	2,38	2,38
923	VL-sinSC(O-E)	GLOBAL	Force	X Proj	0	0,19079	0,28	0,28
923	VL-sinSC(E-O)	GLOBAL	Force	X Proj	0	0,19079	-0,28	-0,28
923	VL-conSC(O-E)	GLOBAL	Force	X Proj	0	0,19079	0,41	0,41
923	VL-conSC(E-O)	GLOBAL	Force	X Proj	0	0,19079	-0,41	-0,41
924	CM	GLOBAL	Force	Gravity	0	0,19079	0,04	0,04
924	VT-sinSC(N-S)	GLOBAL	Force	Y Proj	0	0,19079	-1,6	-1,6
924	VT-sinSC(S-N)	GLOBAL	Force	Y Proj	0	0,19079	1,6	1,6
924	VT-conSC(N-S)	GLOBAL	Force	Y Proj	0	0,19079	-2,38	-2,38
924	VT-conSC(S-N)	GLOBAL	Force	Y Proj	0	0,19079	2,38	2,38
924	VL-sinSC(O-E)	GLOBAL	Force	X Proj	0	0,19079	0,28	0,28
924	VL-sinSC(E-O)	GLOBAL	Force	X Proj	0	0,19079	-0,28	-0,28
924	VL-conSC(O-E)	GLOBAL	Force	X Proj	0	0,19079	0,41	0,41
924	VL-conSC(E-O)	GLOBAL	Force	X Proj	0	0,19079	-0,41	-0,41
925	CM	GLOBAL	Force	Gravity	0	0,19081	0,04	0,04
925	VT-sinSC(N-S)	GLOBAL	Force	Y Proj	0	0,19081	-1,6	-1,6
925	VT-sinSC(S-N)	GLOBAL	Force	Y Proj	0	0,19081	1,6	1,6
925	VT-conSC(N-S)	GLOBAL	Force	Y Proj	0	0,19081	-2,38	-2,38
925	VT-conSC(S-N)	GLOBAL	Force	Y Proj	0	0,19081	2,38	2,38
925	VL-sinSC(O-E)	GLOBAL	Force	X Proj	0	0,19081	0,28	0,28
925	VL-sinSC(E-O)	GLOBAL	Force	X Proj	0	0,19081	-0,28	-0,28
925	VL-conSC(O-E)	GLOBAL	Force	X Proj	0	0,19081	0,41	0,41

925	VL-conSC(E-O)	GLOBAL	Force	X Proj	0	0,19081	-0,41	-0,41
926	CM	GLOBAL	Force	Gravity	0	0,19085	0,04	0,04
926	VT-sinSC(N-S)	GLOBAL	Force	Y Proj	0	0,19085	-1,6	-1,6
926	VT-sinSC(S-N)	GLOBAL	Force	Y Proj	0	0,19085	1,6	1,6
926	VT-conSC(N-S)	GLOBAL	Force	Y Proj	0	0,19085	-2,38	-2,38
926	VT-conSC(S-N)	GLOBAL	Force	Y Proj	0	0,19085	2,38	2,38
926	VL-sinSC(O-E)	GLOBAL	Force	X Proj	0	0,19085	0,28	0,28
926	VL-sinSC(E-O)	GLOBAL	Force	X Proj	0	0,19085	-0,28	-0,28
926	VL-conSC(O-E)	GLOBAL	Force	X Proj	0	0,19085	0,41	0,41
926	VL-conSC(E-O)	GLOBAL	Force	X Proj	0	0,19085	-0,41	-0,41
927	CM	GLOBAL	Force	Gravity	0	0,19091	0,04	0,04
927	VT-sinSC(N-S)	GLOBAL	Force	Y Proj	0	0,19091	-1,6	-1,6
927	VT-sinSC(S-N)	GLOBAL	Force	Y Proj	0	0,19091	1,6	1,6
927	VT-conSC(N-S)	GLOBAL	Force	Y Proj	0	0,19091	-2,38	-2,38
927	VT-conSC(S-N)	GLOBAL	Force	Y Proj	0	0,19091	2,38	2,38
927	VL-sinSC(O-E)	GLOBAL	Force	X Proj	0	0,19091	0,28	0,28
927	VL-sinSC(E-O)	GLOBAL	Force	X Proj	0	0,19091	-0,28	-0,28
927	VL-conSC(O-E)	GLOBAL	Force	X Proj	0	0,19091	0,41	0,41
927	VL-conSC(E-O)	GLOBAL	Force	X Proj	0	0,19091	-0,41	-0,41
928	CM	GLOBAL	Force	Gravity	0	0,19097	0,04	0,04
928	VT-sinSC(N-S)	GLOBAL	Force	Y Proj	0	0,19097	-1,6	-1,6
928	VT-sinSC(S-N)	GLOBAL	Force	Y Proj	0	0,19097	1,6	1,6
928	VT-conSC(N-S)	GLOBAL	Force	Y Proj	0	0,19097	-2,38	-2,38
928	VT-conSC(S-N)	GLOBAL	Force	Y Proj	0	0,19097	2,38	2,38
928	VL-sinSC(O-E)	GLOBAL	Force	X Proj	0	0,19097	0,28	0,28
928	VL-sinSC(E-O)	GLOBAL	Force	X Proj	0	0,19097	-0,28	-0,28
928	VL-conSC(O-E)	GLOBAL	Force	X Proj	0	0,19097	0,41	0,41
928	VL-conSC(E-O)	GLOBAL	Force	X Proj	0	0,19097	-0,41	-0,41
929	CM	GLOBAL	Force	Gravity	0	0,19096	0,04	0,04
929	VT-sinSC(N-S)	GLOBAL	Force	Y Proj	0	0,19096	-1,6	-1,6
929	VT-sinSC(S-N)	GLOBAL	Force	Y Proj	0	0,19096	1,6	1,6
929	VT-conSC(N-S)	GLOBAL	Force	Y Proj	0	0,19096	-2,38	-2,38
929	VT-conSC(S-N)	GLOBAL	Force	Y Proj	0	0,19096	2,38	2,38
929	VL-sinSC(O-E)	GLOBAL	Force	X Proj	0	0,19096	0,28	0,28
929	VL-sinSC(E-O)	GLOBAL	Force	X Proj	0	0,19096	-0,28	-0,28
929	VL-conSC(O-E)	GLOBAL	Force	X Proj	0	0,19096	0,41	0,41
929	VL-conSC(E-O)	GLOBAL	Force	X Proj	0	0,19096	-0,41	-0,41
931	CM	GLOBAL	Force	Gravity	0	0,19079	0,04	0,04
931	VT-sinSC(N-S)	GLOBAL	Force	Y Proj	0	0,19079	-1,6	-1,6



931	VT-sinSC(S-N)	GLOBAL	Force	Y Proj	0	0,19079	1,6	1,6
931	VT-conSC(N-S)	GLOBAL	Force	Y Proj	0	0,19079	-2,38	-2,38
931	VT-conSC(S-N)	GLOBAL	Force	Y Proj	0	0,19079	2,38	2,38
931	VL-sinSC(O-E)	GLOBAL	Force	X Proj	0	0,19079	0,28	0,28
931	VL-sinSC(E-O)	GLOBAL	Force	X Proj	0	0,19079	-0,28	-0,28
931	VL-conSC(O-E)	GLOBAL	Force	X Proj	0	0,19079	0,41	0,41
931	VL-conSC(E-O)	GLOBAL	Force	X Proj	0	0,19079	-0,41	-0,41
932	CM	GLOBAL	Force	Gravity	0	0,19073	0,04	0,04
932	VT-sinSC(N-S)	GLOBAL	Force	Y Proj	0	0,19073	-1,6	-1,6
932	VT-sinSC(S-N)	GLOBAL	Force	Y Proj	0	0,19073	1,6	1,6
932	VT-conSC(N-S)	GLOBAL	Force	Y Proj	0	0,19073	-2,38	-2,38
932	VT-conSC(S-N)	GLOBAL	Force	Y Proj	0	0,19073	2,38	2,38
932	VL-sinSC(O-E)	GLOBAL	Force	X Proj	0	0,19073	0,28	0,28
932	VL-sinSC(E-O)	GLOBAL	Force	X Proj	0	0,19073	-0,28	-0,28
932	VL-conSC(O-E)	GLOBAL	Force	X Proj	0	0,19073	0,41	0,41
932	VL-conSC(E-O)	GLOBAL	Force	X Proj	0	0,19073	-0,41	-0,41
933	CM	GLOBAL	Force	Gravity	0	0,19069	0,04	0,04
933	VT-sinSC(N-S)	GLOBAL	Force	Y Proj	0	0,19069	-1,6	-1,6
933	VT-sinSC(S-N)	GLOBAL	Force	Y Proj	0	0,19069	1,6	1,6
933	VT-conSC(N-S)	GLOBAL	Force	Y Proj	0	0,19069	-2,38	-2,38
933	VT-conSC(S-N)	GLOBAL	Force	Y Proj	0	0,19069	2,38	2,38
933	VL-sinSC(O-E)	GLOBAL	Force	X Proj	0	0,19069	0,28	0,28
933	VL-sinSC(E-O)	GLOBAL	Force	X Proj	0	0,19069	-0,28	-0,28
933	VL-conSC(O-E)	GLOBAL	Force	X Proj	0	0,19069	0,41	0,41
933	VL-conSC(E-O)	GLOBAL	Force	X Proj	0	0,19069	-0,41	-0,41
934	CM	GLOBAL	Force	Gravity	0	0,19066	0,04	0,04
934	VT-sinSC(N-S)	GLOBAL	Force	Y Proj	0	0,19066	-1,6	-1,6
934	VT-sinSC(S-N)	GLOBAL	Force	Y Proj	0	0,19066	1,6	1,6
934	VT-conSC(N-S)	GLOBAL	Force	Y Proj	0	0,19066	-2,38	-2,38
934	VT-conSC(S-N)	GLOBAL	Force	Y Proj	0	0,19066	2,38	2,38
934	VL-sinSC(O-E)	GLOBAL	Force	X Proj	0	0,19066	0,28	0,28
934	VL-sinSC(E-O)	GLOBAL	Force	X Proj	0	0,19066	-0,28	-0,28
934	VL-conSC(O-E)	GLOBAL	Force	X Proj	0	0,19066	0,41	0,41
934	VL-conSC(E-O)	GLOBAL	Force	X Proj	0	0,19066	-0,41	-0,41
935	CM	GLOBAL	Force	Gravity	0	0,19064	0,04	0,04
935	VT-sinSC(N-S)	GLOBAL	Force	Y Proj	0	0,19064	-1,6	-1,6
935	VT-sinSC(S-N)	GLOBAL	Force	Y Proj	0	0,19064	1,6	1,6
935	VT-conSC(N-S)	GLOBAL	Force	Y Proj	0	0,19064	-2,38	-2,38
935	VT-conSC(S-N)	GLOBAL	Force	Y Proj	0	0,19064	2,38	2,38

935	VL-sinSC(O-E)	GLOBAL	Force	X Proj	0	0,19064	0,28	0,28
935	VL-sinSC(E-O)	GLOBAL	Force	X Proj	0	0,19064	-0,28	-0,28
935	VL-conSC(O-E)	GLOBAL	Force	X Proj	0	0,19064	0,41	0,41
935	VL-conSC(E-O)	GLOBAL	Force	X Proj	0	0,19064	-0,41	-0,41
936	CM	GLOBAL	Force	Gravity	0	0,19065	0,04	0,04
936	VT-sinSC(N-S)	GLOBAL	Force	Y Proj	0	0,19065	-1,6	-1,6
936	VT-sinSC(S-N)	GLOBAL	Force	Y Proj	0	0,19065	1,6	1,6
936	VT-conSC(N-S)	GLOBAL	Force	Y Proj	0	0,19065	-2,38	-2,38
936	VT-conSC(S-N)	GLOBAL	Force	Y Proj	0	0,19065	2,38	2,38
936	VL-sinSC(O-E)	GLOBAL	Force	X Proj	0	0,19065	0,28	0,28
936	VL-sinSC(E-O)	GLOBAL	Force	X Proj	0	0,19065	-0,28	-0,28
936	VL-conSC(O-E)	GLOBAL	Force	X Proj	0	0,19065	0,41	0,41
936	VL-conSC(E-O)	GLOBAL	Force	X Proj	0	0,19065	-0,41	-0,41
937	CM	GLOBAL	Force	Gravity	0	0,19066	0,04	0,04
937	VT-sinSC(N-S)	GLOBAL	Force	Y Proj	0	0,19066	-1,6	-1,6
937	VT-sinSC(S-N)	GLOBAL	Force	Y Proj	0	0,19066	1,6	1,6
937	VT-conSC(N-S)	GLOBAL	Force	Y Proj	0	0,19066	-2,38	-2,38
937	VT-conSC(S-N)	GLOBAL	Force	Y Proj	0	0,19066	2,38	2,38
937	VL-sinSC(O-E)	GLOBAL	Force	X Proj	0	0,19066	0,28	0,28
937	VL-sinSC(E-O)	GLOBAL	Force	X Proj	0	0,19066	-0,28	-0,28
937	VL-conSC(O-E)	GLOBAL	Force	X Proj	0	0,19066	0,41	0,41
937	VL-conSC(E-O)	GLOBAL	Force	X Proj	0	0,19066	-0,41	-0,41
938	CM	GLOBAL	Force	Gravity	0	0,1907	0,04	0,04
938	VT-sinSC(N-S)	GLOBAL	Force	Y Proj	0	0,1907	-1,6	-1,6
938	VT-sinSC(S-N)	GLOBAL	Force	Y Proj	0	0,1907	1,6	1,6
938	VT-conSC(N-S)	GLOBAL	Force	Y Proj	0	0,1907	-2,38	-2,38
938	VT-conSC(S-N)	GLOBAL	Force	Y Proj	0	0,1907	2,38	2,38
938	VL-sinSC(O-E)	GLOBAL	Force	X Proj	0	0,1907	0,28	0,28
938	VL-sinSC(E-O)	GLOBAL	Force	X Proj	0	0,1907	-0,28	-0,28
938	VL-conSC(O-E)	GLOBAL	Force	X Proj	0	0,1907	0,41	0,41
938	VL-conSC(E-O)	GLOBAL	Force	X Proj	0	0,1907	-0,41	-0,41
940	CM	GLOBAL	Force	Gravity	0	0,19081	0,04	0,04
940	VT-sinSC(N-S)	GLOBAL	Force	Y Proj	0	0,19081	-1,6	-1,6
940	VT-sinSC(S-N)	GLOBAL	Force	Y Proj	0	0,19081	1,6	1,6
940	VT-conSC(N-S)	GLOBAL	Force	Y Proj	0	0,19081	-2,38	-2,38
940	VT-conSC(S-N)	GLOBAL	Force	Y Proj	0	0,19081	2,38	2,38
940	VL-sinSC(O-E)	GLOBAL	Force	X Proj	0	0,19081	0,28	0,28
940	VL-sinSC(E-O)	GLOBAL	Force	X Proj	0	0,19081	-0,28	-0,28
940	VL-conSC(O-E)	GLOBAL	Force	X Proj	0	0,19081	0,41	0,41



940	VL-conSC(E-O)	GLOBAL	Force	X Proj	0	0,19081	-0,41	-0,41
941	CM	GLOBAL	Force	Gravity	0	0,19089	0,04	0,04
941	VT-sinSC(N-S)	GLOBAL	Force	Y Proj	0	0,19089	-1,6	-1,6
941	VT-sinSC(S-N)	GLOBAL	Force	Y Proj	0	0,19089	1,6	1,6
941	VT-conSC(N-S)	GLOBAL	Force	Y Proj	0	0,19089	-2,38	-2,38
941	VT-conSC(S-N)	GLOBAL	Force	Y Proj	0	0,19089	2,38	2,38
941	VL-sinSC(O-E)	GLOBAL	Force	X Proj	0	0,19089	0,28	0,28
941	VL-sinSC(E-O)	GLOBAL	Force	X Proj	0	0,19089	-0,28	-0,28
941	VL-conSC(O-E)	GLOBAL	Force	X Proj	0	0,19089	0,41	0,41
941	VL-conSC(E-O)	GLOBAL	Force	X Proj	0	0,19089	-0,41	-0,41
942	CM	GLOBAL	Force	Gravity	0	0,19098	0,04	0,04
942	VT-sinSC(N-S)	GLOBAL	Force	Y Proj	0	0,19098	-1,6	-1,6
942	VT-sinSC(S-N)	GLOBAL	Force	Y Proj	0	0,19098	1,6	1,6
942	VT-conSC(N-S)	GLOBAL	Force	Y Proj	0	0,19098	-2,38	-2,38
942	VT-conSC(S-N)	GLOBAL	Force	Y Proj	0	0,19098	2,38	2,38
942	VL-sinSC(O-E)	GLOBAL	Force	X Proj	0	0,19098	0,28	0,28
942	VL-sinSC(E-O)	GLOBAL	Force	X Proj	0	0,19098	-0,28	-0,28
942	VL-conSC(O-E)	GLOBAL	Force	X Proj	0	0,19098	0,41	0,41
942	VL-conSC(E-O)	GLOBAL	Force	X Proj	0	0,19098	-0,41	-0,41
943	CM	GLOBAL	Force	Gravity	0	0,19097	0,04	0,04
943	VT-sinSC(N-S)	GLOBAL	Force	Y Proj	0	0,19097	-1,6	-1,6
943	VT-sinSC(S-N)	GLOBAL	Force	Y Proj	0	0,19097	1,6	1,6
943	VT-conSC(N-S)	GLOBAL	Force	Y Proj	0	0,19097	-2,38	-2,38
943	VT-conSC(S-N)	GLOBAL	Force	Y Proj	0	0,19097	2,38	2,38
943	VL-sinSC(O-E)	GLOBAL	Force	X Proj	0	0,19097	0,28	0,28
943	VL-sinSC(E-O)	GLOBAL	Force	X Proj	0	0,19097	-0,28	-0,28
943	VL-conSC(O-E)	GLOBAL	Force	X Proj	0	0,19097	0,41	0,41
943	VL-conSC(E-O)	GLOBAL	Force	X Proj	0	0,19097	-0,41	-0,41
944	CM	GLOBAL	Force	Gravity	0	0,19094	0,04	0,04
944	VT-sinSC(N-S)	GLOBAL	Force	Y Proj	0	0,19094	-1,6	-1,6
944	VT-sinSC(S-N)	GLOBAL	Force	Y Proj	0	0,19094	1,6	1,6
944	VT-conSC(N-S)	GLOBAL	Force	Y Proj	0	0,19094	-2,38	-2,38
944	VT-conSC(S-N)	GLOBAL	Force	Y Proj	0	0,19094	2,38	2,38
944	VL-sinSC(O-E)	GLOBAL	Force	X Proj	0	0,19094	0,28	0,28
944	VL-sinSC(E-O)	GLOBAL	Force	X Proj	0	0,19094	-0,28	-0,28
944	VL-conSC(O-E)	GLOBAL	Force	X Proj	0	0,19094	0,41	0,41
944	VL-conSC(E-O)	GLOBAL	Force	X Proj	0	0,19094	-0,41	-0,41
945	CM	GLOBAL	Force	Gravity	0	0,19092	0,04	0,04
945	VT-sinSC(N-S)	GLOBAL	Force	Y Proj	0	0,19092	-1,6	-1,6

945	VT-sinSC(S-N)	GLOBAL	Force	Y Proj	0	0,19092	1,6	1,6
945	VT-conSC(N-S)	GLOBAL	Force	Y Proj	0	0,19092	-2,38	-2,38
945	VT-conSC(S-N)	GLOBAL	Force	Y Proj	0	0,19092	2,38	2,38
945	VL-sinSC(O-E)	GLOBAL	Force	X Proj	0	0,19092	0,28	0,28
945	VL-sinSC(E-O)	GLOBAL	Force	X Proj	0	0,19092	-0,28	-0,28
945	VL-conSC(O-E)	GLOBAL	Force	X Proj	0	0,19092	0,41	0,41
945	VL-conSC(E-O)	GLOBAL	Force	X Proj	0	0,19092	-0,41	-0,41
946	CM	GLOBAL	Force	Gravity	0	0,19093	0,04	0,04
946	VT-sinSC(N-S)	GLOBAL	Force	Y Proj	0	0,19093	-1,6	-1,6
946	VT-sinSC(S-N)	GLOBAL	Force	Y Proj	0	0,19093	1,6	1,6
946	VT-conSC(N-S)	GLOBAL	Force	Y Proj	0	0,19093	-2,38	-2,38
946	VT-conSC(S-N)	GLOBAL	Force	Y Proj	0	0,19093	2,38	2,38
946	VL-sinSC(O-E)	GLOBAL	Force	X Proj	0	0,19093	0,28	0,28
946	VL-sinSC(E-O)	GLOBAL	Force	X Proj	0	0,19093	-0,28	-0,28
946	VL-conSC(O-E)	GLOBAL	Force	X Proj	0	0,19093	0,41	0,41
946	VL-conSC(E-O)	GLOBAL	Force	X Proj	0	0,19093	-0,41	-0,41
947	CM	GLOBAL	Force	Gravity	0	0,19094	0,04	0,04
947	VT-sinSC(N-S)	GLOBAL	Force	Y Proj	0	0,19094	-1,6	-1,6
947	VT-sinSC(S-N)	GLOBAL	Force	Y Proj	0	0,19094	1,6	1,6
947	VT-conSC(N-S)	GLOBAL	Force	Y Proj	0	0,19094	-2,38	-2,38
947	VT-conSC(S-N)	GLOBAL	Force	Y Proj	0	0,19094	2,38	2,38
947	VL-sinSC(O-E)	GLOBAL	Force	X Proj	0	0,19094	0,28	0,28
947	VL-sinSC(E-O)	GLOBAL	Force	X Proj	0	0,19094	-0,28	-0,28
947	VL-conSC(O-E)	GLOBAL	Force	X Proj	0	0,19094	0,41	0,41
947	VL-conSC(E-O)	GLOBAL	Force	X Proj	0	0,19094	-0,41	-0,41
948	CM	GLOBAL	Force	Gravity	0	0,191	0,04	0,04
948	VT-sinSC(N-S)	GLOBAL	Force	Y Proj	0	0,191	-1,6	-1,6
948	VT-sinSC(S-N)	GLOBAL	Force	Y Proj	0	0,191	1,6	1,6
948	VT-conSC(N-S)	GLOBAL	Force	Y Proj	0	0,191	-2,38	-2,38
948	VT-conSC(S-N)	GLOBAL	Force	Y Proj	0	0,191	2,38	2,38
948	VL-sinSC(O-E)	GLOBAL	Force	X Proj	0	0,191	0,28	0,28
948	VL-sinSC(E-O)	GLOBAL	Force	X Proj	0	0,191	-0,28	-0,28
948	VL-conSC(O-E)	GLOBAL	Force	X Proj	0	0,191	0,41	0,41
948	VL-conSC(E-O)	GLOBAL	Force	X Proj	0	0,191	-0,41	-0,41
949	CM	GLOBAL	Force	Gravity	0	1,5	0,04	0,04
949	VT-sinSC(N-S)	GLOBAL	Force	Y Proj	0	1,5	-1,6	-1,6
949	VT-sinSC(S-N)	GLOBAL	Force	Y Proj	0	1,5	1,6	1,6
949	VT-conSC(N-S)	GLOBAL	Force	Y Proj	0	1,5	-2,38	-2,38
949	VT-conSC(S-N)	GLOBAL	Force	Y Proj	0	1,5	2,38	2,38



949	VL-sinSC(O-E)	GLOBAL	Force	X Proj	0	1,5	0,28	0,28
949	VL-sinSC(E-O)	GLOBAL	Force	X Proj	0	1,5	-0,28	-0,28
949	VL-conSC(O-E)	GLOBAL	Force	X Proj	0	1,5	0,41	0,41
949	VL-conSC(E-O)	GLOBAL	Force	X Proj	0	1,5	-0,41	-0,41
951	CM	GLOBAL	Force	Gravity	0	0,31518	0,04	0,04
951	VT-sinSC(N-S)	GLOBAL	Force	Y Proj	0	0,31518	-1,6	-1,6
951	VT-sinSC(S-N)	GLOBAL	Force	Y Proj	0	0,31518	1,6	1,6
951	VT-conSC(N-S)	GLOBAL	Force	Y Proj	0	0,31518	-2,38	-2,38
951	VT-conSC(S-N)	GLOBAL	Force	Y Proj	0	0,31518	2,38	2,38
951	VL-sinSC(O-E)	GLOBAL	Force	X Proj	0	0,31518	0,28	0,28
951	VL-sinSC(E-O)	GLOBAL	Force	X Proj	0	0,31518	-0,28	-0,28
951	VL-conSC(O-E)	GLOBAL	Force	X Proj	0	0,31518	0,41	0,41
951	VL-conSC(E-O)	GLOBAL	Force	X Proj	0	0,31518	-0,41	-0,41
952	CM	GLOBAL	Force	Gravity	0	0,31494	0,04	0,04
952	VT-sinSC(N-S)	GLOBAL	Force	Y Proj	0	0,31494	-1,6	-1,6
952	VT-sinSC(S-N)	GLOBAL	Force	Y Proj	0	0,31494	1,6	1,6
952	VT-conSC(N-S)	GLOBAL	Force	Y Proj	0	0,31494	-2,38	-2,38
952	VT-conSC(S-N)	GLOBAL	Force	Y Proj	0	0,31494	2,38	2,38
952	VL-sinSC(O-E)	GLOBAL	Force	X Proj	0	0,31494	0,28	0,28
952	VL-sinSC(E-O)	GLOBAL	Force	X Proj	0	0,31494	-0,28	-0,28
952	VL-conSC(O-E)	GLOBAL	Force	X Proj	0	0,31494	0,41	0,41
952	VL-conSC(E-O)	GLOBAL	Force	X Proj	0	0,31494	-0,41	-0,41
953	CM	GLOBAL	Force	Gravity	0	0,31476	0,04	0,04
953	VT-sinSC(N-S)	GLOBAL	Force	Y Proj	0	0,31476	-1,6	-1,6
953	VT-sinSC(S-N)	GLOBAL	Force	Y Proj	0	0,31476	1,6	1,6
953	VT-conSC(N-S)	GLOBAL	Force	Y Proj	0	0,31476	-2,38	-2,38
953	VT-conSC(S-N)	GLOBAL	Force	Y Proj	0	0,31476	2,38	2,38
953	VL-sinSC(O-E)	GLOBAL	Force	X Proj	0	0,31476	0,28	0,28
953	VL-sinSC(E-O)	GLOBAL	Force	X Proj	0	0,31476	-0,28	-0,28
953	VL-conSC(O-E)	GLOBAL	Force	X Proj	0	0,31476	0,41	0,41
953	VL-conSC(E-O)	GLOBAL	Force	X Proj	0	0,31476	-0,41	-0,41
954	CM	GLOBAL	Force	Gravity	0	0,31463	0,04	0,04
954	VT-sinSC(N-S)	GLOBAL	Force	Y Proj	0	0,31463	-1,6	-1,6
954	VT-sinSC(S-N)	GLOBAL	Force	Y Proj	0	0,31463	1,6	1,6
954	VT-conSC(N-S)	GLOBAL	Force	Y Proj	0	0,31463	-2,38	-2,38
954	VT-conSC(S-N)	GLOBAL	Force	Y Proj	0	0,31463	2,38	2,38
954	VL-sinSC(O-E)	GLOBAL	Force	X Proj	0	0,31463	0,28	0,28
954	VL-sinSC(E-O)	GLOBAL	Force	X Proj	0	0,31463	-0,28	-0,28
954	VL-conSC(O-E)	GLOBAL	Force	X Proj	0	0,31463	0,41	0,41

954	VL-conSC(E-O)	GLOBAL	Force	X Proj	0	0,31463	-0,41	-0,41
955	CM	GLOBAL	Force	Gravity	0	0,31454	0,04	0,04
955	VT-sinSC(N-S)	GLOBAL	Force	Y Proj	0	0,31454	-1,6	-1,6
955	VT-sinSC(S-N)	GLOBAL	Force	Y Proj	0	0,31454	1,6	1,6
955	VT-conSC(N-S)	GLOBAL	Force	Y Proj	0	0,31454	-2,38	-2,38
955	VT-conSC(S-N)	GLOBAL	Force	Y Proj	0	0,31454	2,38	2,38
955	VL-sinSC(O-E)	GLOBAL	Force	X Proj	0	0,31454	0,28	0,28
955	VL-sinSC(E-O)	GLOBAL	Force	X Proj	0	0,31454	-0,28	-0,28
955	VL-conSC(O-E)	GLOBAL	Force	X Proj	0	0,31454	0,41	0,41
955	VL-conSC(E-O)	GLOBAL	Force	X Proj	0	0,31454	-0,41	-0,41
956	CM	GLOBAL	Force	Gravity	0	0,3145	0,04	0,04
956	VT-sinSC(N-S)	GLOBAL	Force	Y Proj	0	0,3145	-1,6	-1,6
956	VT-sinSC(S-N)	GLOBAL	Force	Y Proj	0	0,3145	1,6	1,6
956	VT-conSC(N-S)	GLOBAL	Force	Y Proj	0	0,3145	-2,38	-2,38
956	VT-conSC(S-N)	GLOBAL	Force	Y Proj	0	0,3145	2,38	2,38
956	VL-sinSC(O-E)	GLOBAL	Force	X Proj	0	0,3145	0,28	0,28
956	VL-sinSC(E-O)	GLOBAL	Force	X Proj	0	0,3145	-0,28	-0,28
956	VL-conSC(O-E)	GLOBAL	Force	X Proj	0	0,3145	0,41	0,41
956	VL-conSC(E-O)	GLOBAL	Force	X Proj	0	0,3145	-0,41	-0,41
957	CM	GLOBAL	Force	Gravity	0	0,31491	0,04	0,04
957	VT-sinSC(N-S)	GLOBAL	Force	Y Proj	0	0,31491	-1,6	-1,6
957	VT-sinSC(S-N)	GLOBAL	Force	Y Proj	0	0,31491	1,6	1,6
957	VT-conSC(N-S)	GLOBAL	Force	Y Proj	0	0,31491	-2,38	-2,38
957	VT-conSC(S-N)	GLOBAL	Force	Y Proj	0	0,31491	2,38	2,38
957	VL-sinSC(O-E)	GLOBAL	Force	X Proj	0	0,31491	0,28	0,28
957	VL-sinSC(E-O)	GLOBAL	Force	X Proj	0	0,31491	-0,28	-0,28
957	VL-conSC(O-E)	GLOBAL	Force	X Proj	0	0,31491	0,41	0,41
957	VL-conSC(E-O)	GLOBAL	Force	X Proj	0	0,31491	-0,41	-0,41
958	CM	GLOBAL	Force	Gravity	0	0,31413	0,04	0,04
958	VT-sinSC(N-S)	GLOBAL	Force	Y Proj	0	0,31413	-1,6	-1,6
958	VT-sinSC(S-N)	GLOBAL	Force	Y Proj	0	0,31413	1,6	1,6
958	VT-conSC(N-S)	GLOBAL	Force	Y Proj	0	0,31413	-2,38	-2,38
958	VT-conSC(S-N)	GLOBAL	Force	Y Proj	0	0,31413	2,38	2,38
958	VL-sinSC(O-E)	GLOBAL	Force	X Proj	0	0,31413	0,28	0,28
958	VL-sinSC(E-O)	GLOBAL	Force	X Proj	0	0,31413	-0,28	-0,28
958	VL-conSC(O-E)	GLOBAL	Force	X Proj	0	0,31413	0,41	0,41
958	VL-conSC(E-O)	GLOBAL	Force	X Proj	0	0,31413	-0,41	-0,41
959	CM	GLOBAL	Force	Gravity	0	0,31464	0,04	0,04
959	VT-sinSC(N-S)	GLOBAL	Force	Y Proj	0	0,31464	-1,6	-1,6



959	VT-sinSC(S-N)	GLOBAL	Force	Y Proj	0	0,31464	1,6	1,6
959	VT-conSC(N-S)	GLOBAL	Force	Y Proj	0	0,31464	-2,38	-2,38
959	VT-conSC(S-N)	GLOBAL	Force	Y Proj	0	0,31464	2,38	2,38
959	VL-sinSC(O-E)	GLOBAL	Force	X Proj	0	0,31464	0,28	0,28
959	VL-sinSC(E-O)	GLOBAL	Force	X Proj	0	0,31464	-0,28	-0,28
959	VL-conSC(O-E)	GLOBAL	Force	X Proj	0	0,31464	0,41	0,41
959	VL-conSC(E-O)	GLOBAL	Force	X Proj	0	0,31464	-0,41	-0,41
960	CM	GLOBAL	Force	Gravity	0	0,31478	0,04	0,04
960	VT-sinSC(N-S)	GLOBAL	Force	Y Proj	0	0,31478	-1,6	-1,6
960	VT-sinSC(S-N)	GLOBAL	Force	Y Proj	0	0,31478	1,6	1,6
960	VT-conSC(N-S)	GLOBAL	Force	Y Proj	0	0,31478	-2,38	-2,38
960	VT-conSC(S-N)	GLOBAL	Force	Y Proj	0	0,31478	2,38	2,38
960	VL-sinSC(O-E)	GLOBAL	Force	X Proj	0	0,31478	0,28	0,28
960	VL-sinSC(E-O)	GLOBAL	Force	X Proj	0	0,31478	-0,28	-0,28
960	VL-conSC(O-E)	GLOBAL	Force	X Proj	0	0,31478	0,41	0,41
960	VL-conSC(E-O)	GLOBAL	Force	X Proj	0	0,31478	-0,41	-0,41
961	CM	GLOBAL	Force	Gravity	0	0,31496	0,04	0,04
961	VT-sinSC(N-S)	GLOBAL	Force	Y Proj	0	0,31496	-1,6	-1,6
961	VT-sinSC(S-N)	GLOBAL	Force	Y Proj	0	0,31496	1,6	1,6
961	VT-conSC(N-S)	GLOBAL	Force	Y Proj	0	0,31496	-2,38	-2,38
961	VT-conSC(S-N)	GLOBAL	Force	Y Proj	0	0,31496	2,38	2,38
961	VL-sinSC(O-E)	GLOBAL	Force	X Proj	0	0,31496	0,28	0,28
961	VL-sinSC(E-O)	GLOBAL	Force	X Proj	0	0,31496	-0,28	-0,28
961	VL-conSC(O-E)	GLOBAL	Force	X Proj	0	0,31496	0,41	0,41
961	VL-conSC(E-O)	GLOBAL	Force	X Proj	0	0,31496	-0,41	-0,41
962	CM	GLOBAL	Force	Gravity	0	0,31519	0,04	0,04
962	VT-sinSC(N-S)	GLOBAL	Force	Y Proj	0	0,31519	-1,6	-1,6
962	VT-sinSC(S-N)	GLOBAL	Force	Y Proj	0	0,31519	1,6	1,6
962	VT-conSC(N-S)	GLOBAL	Force	Y Proj	0	0,31519	-2,38	-2,38
962	VT-conSC(S-N)	GLOBAL	Force	Y Proj	0	0,31519	2,38	2,38
962	VL-sinSC(O-E)	GLOBAL	Force	X Proj	0	0,31519	0,28	0,28
962	VL-sinSC(E-O)	GLOBAL	Force	X Proj	0	0,31519	-0,28	-0,28
962	VL-conSC(O-E)	GLOBAL	Force	X Proj	0	0,31519	0,41	0,41
962	VL-conSC(E-O)	GLOBAL	Force	X Proj	0	0,31519	-0,41	-0,41
963	CM	GLOBAL	Force	Gravity	0	0,31524	0,04	0,04
963	VT-sinSC(N-S)	GLOBAL	Force	Y Proj	0	0,31524	-1,6	-1,6
963	VT-sinSC(S-N)	GLOBAL	Force	Y Proj	0	0,31524	1,6	1,6
963	VT-conSC(N-S)	GLOBAL	Force	Y Proj	0	0,31524	-2,38	-2,38
963	VT-conSC(S-N)	GLOBAL	Force	Y Proj	0	0,31524	2,38	2,38

963	VL-sinSC(O-E)	GLOBAL	Force	X Proj	0	0,31524	0,28	0,28
963	VL-sinSC(E-O)	GLOBAL	Force	X Proj	0	0,31524	-0,28	-0,28
963	VL-conSC(O-E)	GLOBAL	Force	X Proj	0	0,31524	0,41	0,41
963	VL-conSC(E-O)	GLOBAL	Force	X Proj	0	0,31524	-0,41	-0,41
964	CM	GLOBAL	Force	Gravity	0	0,31451	0,04	0,04
964	VT-sinSC(N-S)	GLOBAL	Force	Y Proj	0	0,31451	-1,6	-1,6
964	VT-sinSC(S-N)	GLOBAL	Force	Y Proj	0	0,31451	1,6	1,6
964	VT-conSC(N-S)	GLOBAL	Force	Y Proj	0	0,31451	-2,38	-2,38
964	VT-conSC(S-N)	GLOBAL	Force	Y Proj	0	0,31451	2,38	2,38
964	VL-sinSC(O-E)	GLOBAL	Force	X Proj	0	0,31451	0,28	0,28
964	VL-sinSC(E-O)	GLOBAL	Force	X Proj	0	0,31451	-0,28	-0,28
964	VL-conSC(O-E)	GLOBAL	Force	X Proj	0	0,31451	0,41	0,41
964	VL-conSC(E-O)	GLOBAL	Force	X Proj	0	0,31451	-0,41	-0,41
965	CM	GLOBAL	Force	Gravity	0	0,31551	0,04	0,04
965	VT-sinSC(N-S)	GLOBAL	Force	Y Proj	0	0,31551	-1,6	-1,6
965	VT-sinSC(S-N)	GLOBAL	Force	Y Proj	0	0,31551	1,6	1,6
965	VT-conSC(N-S)	GLOBAL	Force	Y Proj	0	0,31551	-2,38	-2,38
965	VT-conSC(S-N)	GLOBAL	Force	Y Proj	0	0,31551	2,38	2,38
965	VL-sinSC(O-E)	GLOBAL	Force	X Proj	0	0,31551	0,28	0,28
965	VL-sinSC(E-O)	GLOBAL	Force	X Proj	0	0,31551	-0,28	-0,28
965	VL-conSC(O-E)	GLOBAL	Force	X Proj	0	0,31551	0,41	0,41
965	VL-conSC(E-O)	GLOBAL	Force	X Proj	0	0,31551	-0,41	-0,41
966	CM	GLOBAL	Force	Gravity	0	0,31486	0,04	0,04
966	VT-sinSC(N-S)	GLOBAL	Force	Y Proj	0	0,31486	-1,6	-1,6
966	VT-sinSC(S-N)	GLOBAL	Force	Y Proj	0	0,31486	1,6	1,6
966	VT-conSC(N-S)	GLOBAL	Force	Y Proj	0	0,31486	-2,38	-2,38
966	VT-conSC(S-N)	GLOBAL	Force	Y Proj	0	0,31486	2,38	2,38
966	VL-sinSC(O-E)	GLOBAL	Force	X Proj	0	0,31486	0,28	0,28
966	VL-sinSC(E-O)	GLOBAL	Force	X Proj	0	0,31486	-0,28	-0,28
966	VL-conSC(O-E)	GLOBAL	Force	X Proj	0	0,31486	0,41	0,41
966	VL-conSC(E-O)	GLOBAL	Force	X Proj	0	0,31486	-0,41	-0,41
967	CM	GLOBAL	Force	Gravity	0	0,31482	0,04	0,04
967	VT-sinSC(N-S)	GLOBAL	Force	Y Proj	0	0,31482	-1,6	-1,6
967	VT-sinSC(S-N)	GLOBAL	Force	Y Proj	0	0,31482	1,6	1,6
967	VT-conSC(N-S)	GLOBAL	Force	Y Proj	0	0,31482	-2,38	-2,38
967	VT-conSC(S-N)	GLOBAL	Force	Y Proj	0	0,31482	2,38	2,38
967	VL-sinSC(O-E)	GLOBAL	Force	X Proj	0	0,31482	0,28	0,28
967	VL-sinSC(E-O)	GLOBAL	Force	X Proj	0	0,31482	-0,28	-0,28
967	VL-conSC(O-E)	GLOBAL	Force	X Proj	0	0,31482	0,41	0,41



967	VL-conSC(E-O)	GLOBAL	Force	X Proj	0	0,31482	-0,41	-0,41
968	CM	GLOBAL	Force	Gravity	0	0,31482	0,04	0,04
968	VT-sinSC(N-S)	GLOBAL	Force	Y Proj	0	0,31482	-1,6	-1,6
968	VT-sinSC(S-N)	GLOBAL	Force	Y Proj	0	0,31482	1,6	1,6
968	VT-conSC(N-S)	GLOBAL	Force	Y Proj	0	0,31482	-2,38	-2,38
968	VT-conSC(S-N)	GLOBAL	Force	Y Proj	0	0,31482	2,38	2,38
968	VL-sinSC(O-E)	GLOBAL	Force	X Proj	0	0,31482	0,28	0,28
968	VL-sinSC(E-O)	GLOBAL	Force	X Proj	0	0,31482	-0,28	-0,28
968	VL-conSC(O-E)	GLOBAL	Force	X Proj	0	0,31482	0,41	0,41
968	VL-conSC(E-O)	GLOBAL	Force	X Proj	0	0,31482	-0,41	-0,41
969	CM	GLOBAL	Force	Gravity	0	0,31488	0,04	0,04
969	VT-sinSC(N-S)	GLOBAL	Force	Y Proj	0	0,31488	-1,6	-1,6
969	VT-sinSC(S-N)	GLOBAL	Force	Y Proj	0	0,31488	1,6	1,6
969	VT-conSC(N-S)	GLOBAL	Force	Y Proj	0	0,31488	-2,38	-2,38
969	VT-conSC(S-N)	GLOBAL	Force	Y Proj	0	0,31488	2,38	2,38
969	VL-sinSC(O-E)	GLOBAL	Force	X Proj	0	0,31488	0,28	0,28
969	VL-sinSC(E-O)	GLOBAL	Force	X Proj	0	0,31488	-0,28	-0,28
969	VL-conSC(O-E)	GLOBAL	Force	X Proj	0	0,31488	0,41	0,41
969	VL-conSC(E-O)	GLOBAL	Force	X Proj	0	0,31488	-0,41	-0,41
970	CM	GLOBAL	Force	Gravity	0	0,31497	0,04	0,04
970	VT-sinSC(N-S)	GLOBAL	Force	Y Proj	0	0,31497	-1,6	-1,6
970	VT-sinSC(S-N)	GLOBAL	Force	Y Proj	0	0,31497	1,6	1,6
970	VT-conSC(N-S)	GLOBAL	Force	Y Proj	0	0,31497	-2,38	-2,38
970	VT-conSC(S-N)	GLOBAL	Force	Y Proj	0	0,31497	2,38	2,38
970	VL-sinSC(O-E)	GLOBAL	Force	X Proj	0	0,31497	0,28	0,28
970	VL-sinSC(E-O)	GLOBAL	Force	X Proj	0	0,31497	-0,28	-0,28
970	VL-conSC(O-E)	GLOBAL	Force	X Proj	0	0,31497	0,41	0,41
970	VL-conSC(E-O)	GLOBAL	Force	X Proj	0	0,31497	-0,41	-0,41
971	CM	GLOBAL	Force	Gravity	0	0,3136	0,04	0,04
971	VT-sinSC(N-S)	GLOBAL	Force	Y Proj	0	0,3136	-1,6	-1,6
971	VT-sinSC(S-N)	GLOBAL	Force	Y Proj	0	0,3136	1,6	1,6
971	VT-conSC(N-S)	GLOBAL	Force	Y Proj	0	0,3136	-2,38	-2,38
971	VT-conSC(S-N)	GLOBAL	Force	Y Proj	0	0,3136	2,38	2,38
971	VL-sinSC(O-E)	GLOBAL	Force	X Proj	0	0,3136	0,28	0,28
971	VL-sinSC(E-O)	GLOBAL	Force	X Proj	0	0,3136	-0,28	-0,28
971	VL-conSC(O-E)	GLOBAL	Force	X Proj	0	0,3136	0,41	0,41
971	VL-conSC(E-O)	GLOBAL	Force	X Proj	0	0,3136	-0,41	-0,41
972	CM	GLOBAL	Force	Gravity	0	0,31679	0,04	0,04
972	VT-sinSC(N-S)	GLOBAL	Force	Y Proj	0	0,31679	-1,6	-1,6

972	VT-sinSC(S-N)	GLOBAL	Force	Y Proj	0	0,31679	1,6	1,6
972	VT-conSC(N-S)	GLOBAL	Force	Y Proj	0	0,31679	-2,38	-2,38
972	VT-conSC(S-N)	GLOBAL	Force	Y Proj	0	0,31679	2,38	2,38
972	VL-sinSC(O-E)	GLOBAL	Force	X Proj	0	0,31679	0,28	0,28
972	VL-sinSC(E-O)	GLOBAL	Force	X Proj	0	0,31679	-0,28	-0,28
972	VL-conSC(O-E)	GLOBAL	Force	X Proj	0	0,31679	0,41	0,41
972	VL-conSC(E-O)	GLOBAL	Force	X Proj	0	0,31679	-0,41	-0,41
973	CM	GLOBAL	Force	Gravity	0	0,3151	0,04	0,04
973	VT-sinSC(N-S)	GLOBAL	Force	Y Proj	0	0,3151	-1,6	-1,6
973	VT-sinSC(S-N)	GLOBAL	Force	Y Proj	0	0,3151	1,6	1,6
973	VT-conSC(N-S)	GLOBAL	Force	Y Proj	0	0,3151	-2,38	-2,38
973	VT-conSC(S-N)	GLOBAL	Force	Y Proj	0	0,3151	2,38	2,38
973	VL-sinSC(O-E)	GLOBAL	Force	X Proj	0	0,3151	0,28	0,28
973	VL-sinSC(E-O)	GLOBAL	Force	X Proj	0	0,3151	-0,28	-0,28
973	VL-conSC(O-E)	GLOBAL	Force	X Proj	0	0,3151	0,41	0,41
973	VL-conSC(E-O)	GLOBAL	Force	X Proj	0	0,3151	-0,41	-0,41
974	CM	GLOBAL	Force	Gravity	0	0,31486	0,04	0,04
974	VT-sinSC(N-S)	GLOBAL	Force	Y Proj	0	0,31486	-1,6	-1,6
974	VT-sinSC(S-N)	GLOBAL	Force	Y Proj	0	0,31486	1,6	1,6
974	VT-conSC(N-S)	GLOBAL	Force	Y Proj	0	0,31486	-2,38	-2,38
974	VT-conSC(S-N)	GLOBAL	Force	Y Proj	0	0,31486	2,38	2,38
974	VL-sinSC(O-E)	GLOBAL	Force	X Proj	0	0,31486	0,28	0,28
974	VL-sinSC(E-O)	GLOBAL	Force	X Proj	0	0,31486	-0,28	-0,28
974	VL-conSC(O-E)	GLOBAL	Force	X Proj	0	0,31486	0,41	0,41
974	VL-conSC(E-O)	GLOBAL	Force	X Proj	0	0,31486	-0,41	-0,41
975	CM	GLOBAL	Force	Gravity	0	0,31465	0,04	0,04
975	VT-sinSC(N-S)	GLOBAL	Force	Y Proj	0	0,31465	-1,6	-1,6
975	VT-sinSC(S-N)	GLOBAL	Force	Y Proj	0	0,31465	1,6	1,6
975	VT-conSC(N-S)	GLOBAL	Force	Y Proj	0	0,31465	-2,38	-2,38
975	VT-conSC(S-N)	GLOBAL	Force	Y Proj	0	0,31465	2,38	2,38
975	VL-sinSC(O-E)	GLOBAL	Force	X Proj	0	0,31465	0,28	0,28
975	VL-sinSC(E-O)	GLOBAL	Force	X Proj	0	0,31465	-0,28	-0,28
975	VL-conSC(O-E)	GLOBAL	Force	X Proj	0	0,31465	0,41	0,41
975	VL-conSC(E-O)	GLOBAL	Force	X Proj	0	0,31465	-0,41	-0,41
976	CM	GLOBAL	Force	Gravity	0	0,3145	0,04	0,04
976	VT-sinSC(N-S)	GLOBAL	Force	Y Proj	0	0,3145	-1,6	-1,6
976	VT-sinSC(S-N)	GLOBAL	Force	Y Proj	0	0,3145	1,6	1,6
976	VT-conSC(N-S)	GLOBAL	Force	Y Proj	0	0,3145	-2,38	-2,38
976	VT-conSC(S-N)	GLOBAL	Force	Y Proj	0	0,3145	2,38	2,38



976	VL-sinSC(O-E)	GLOBAL	Force	X Proj	0	0,3145	0,28	0,28
976	VL-sinSC(E-O)	GLOBAL	Force	X Proj	0	0,3145	-0,28	-0,28
976	VL-conSC(O-E)	GLOBAL	Force	X Proj	0	0,3145	0,41	0,41
976	VL-conSC(E-O)	GLOBAL	Force	X Proj	0	0,3145	-0,41	-0,41
977	CM	GLOBAL	Force	Gravity	0	0,31439	0,04	0,04
977	VT-sinSC(N-S)	GLOBAL	Force	Y Proj	0	0,31439	-1,6	-1,6
977	VT-sinSC(S-N)	GLOBAL	Force	Y Proj	0	0,31439	1,6	1,6
977	VT-conSC(N-S)	GLOBAL	Force	Y Proj	0	0,31439	-2,38	-2,38
977	VT-conSC(S-N)	GLOBAL	Force	Y Proj	0	0,31439	2,38	2,38
977	VL-sinSC(O-E)	GLOBAL	Force	X Proj	0	0,31439	0,28	0,28
977	VL-sinSC(E-O)	GLOBAL	Force	X Proj	0	0,31439	-0,28	-0,28
977	VL-conSC(O-E)	GLOBAL	Force	X Proj	0	0,31439	0,41	0,41
977	VL-conSC(E-O)	GLOBAL	Force	X Proj	0	0,31439	-0,41	-0,41
978	CM	GLOBAL	Force	Gravity	0	0,31316	0,04	0,04
978	VT-sinSC(N-S)	GLOBAL	Force	Y Proj	0	0,31316	-1,6	-1,6
978	VT-sinSC(S-N)	GLOBAL	Force	Y Proj	0	0,31316	1,6	1,6
978	VT-conSC(N-S)	GLOBAL	Force	Y Proj	0	0,31316	-2,38	-2,38
978	VT-conSC(S-N)	GLOBAL	Force	Y Proj	0	0,31316	2,38	2,38
978	VL-sinSC(O-E)	GLOBAL	Force	X Proj	0	0,31316	0,28	0,28
978	VL-sinSC(E-O)	GLOBAL	Force	X Proj	0	0,31316	-0,28	-0,28
978	VL-conSC(O-E)	GLOBAL	Force	X Proj	0	0,31316	0,41	0,41
978	VL-conSC(E-O)	GLOBAL	Force	X Proj	0	0,31316	-0,41	-0,41
979	CM	GLOBAL	Force	Gravity	0	0,31547	0,04	0,04
979	VT-sinSC(N-S)	GLOBAL	Force	Y Proj	0	0,31547	-1,6	-1,6
979	VT-sinSC(S-N)	GLOBAL	Force	Y Proj	0	0,31547	1,6	1,6
979	VT-conSC(N-S)	GLOBAL	Force	Y Proj	0	0,31547	-2,38	-2,38
979	VT-conSC(S-N)	GLOBAL	Force	Y Proj	0	0,31547	2,38	2,38
979	VL-sinSC(O-E)	GLOBAL	Force	X Proj	0	0,31547	0,28	0,28
979	VL-sinSC(E-O)	GLOBAL	Force	X Proj	0	0,31547	-0,28	-0,28
979	VL-conSC(O-E)	GLOBAL	Force	X Proj	0	0,31547	0,41	0,41
979	VL-conSC(E-O)	GLOBAL	Force	X Proj	0	0,31547	-0,41	-0,41
980	CM	GLOBAL	Force	Gravity	0	0,31433	0,04	0,04
980	VT-sinSC(N-S)	GLOBAL	Force	Y Proj	0	0,31433	-1,6	-1,6
980	VT-sinSC(S-N)	GLOBAL	Force	Y Proj	0	0,31433	1,6	1,6
980	VT-conSC(N-S)	GLOBAL	Force	Y Proj	0	0,31433	-2,38	-2,38
980	VT-conSC(S-N)	GLOBAL	Force	Y Proj	0	0,31433	2,38	2,38
980	VL-sinSC(O-E)	GLOBAL	Force	X Proj	0	0,31433	0,28	0,28
980	VL-sinSC(E-O)	GLOBAL	Force	X Proj	0	0,31433	-0,28	-0,28
980	VL-conSC(O-E)	GLOBAL	Force	X Proj	0	0,31433	0,41	0,41

980	VL-conSC(E-O)	GLOBAL	Force	X Proj	0	0,31433	-0,41	-0,41
981	CM	GLOBAL	Force	Gravity	0	0,3144	0,04	0,04
981	VT-sinSC(N-S)	GLOBAL	Force	Y Proj	0	0,3144	-1,6	-1,6
981	VT-sinSC(S-N)	GLOBAL	Force	Y Proj	0	0,3144	1,6	1,6
981	VT-conSC(N-S)	GLOBAL	Force	Y Proj	0	0,3144	-2,38	-2,38
981	VT-conSC(S-N)	GLOBAL	Force	Y Proj	0	0,3144	2,38	2,38
981	VL-sinSC(O-E)	GLOBAL	Force	X Proj	0	0,3144	0,28	0,28
981	VL-sinSC(E-O)	GLOBAL	Force	X Proj	0	0,3144	-0,28	-0,28
981	VL-conSC(O-E)	GLOBAL	Force	X Proj	0	0,3144	0,41	0,41
981	VL-conSC(E-O)	GLOBAL	Force	X Proj	0	0,3144	-0,41	-0,41
982	CM	GLOBAL	Force	Gravity	0	0,31452	0,04	0,04
982	VT-sinSC(N-S)	GLOBAL	Force	Y Proj	0	0,31452	-1,6	-1,6
982	VT-sinSC(S-N)	GLOBAL	Force	Y Proj	0	0,31452	1,6	1,6
982	VT-conSC(N-S)	GLOBAL	Force	Y Proj	0	0,31452	-2,38	-2,38
982	VT-conSC(S-N)	GLOBAL	Force	Y Proj	0	0,31452	2,38	2,38
982	VL-sinSC(O-E)	GLOBAL	Force	X Proj	0	0,31452	0,28	0,28
982	VL-sinSC(E-O)	GLOBAL	Force	X Proj	0	0,31452	-0,28	-0,28
982	VL-conSC(O-E)	GLOBAL	Force	X Proj	0	0,31452	0,41	0,41
982	VL-conSC(E-O)	GLOBAL	Force	X Proj	0	0,31452	-0,41	-0,41
983	CM	GLOBAL	Force	Gravity	0	0,31468	0,04	0,04
983	VT-sinSC(N-S)	GLOBAL	Force	Y Proj	0	0,31468	-1,6	-1,6
983	VT-sinSC(S-N)	GLOBAL	Force	Y Proj	0	0,31468	1,6	1,6
983	VT-conSC(N-S)	GLOBAL	Force	Y Proj	0	0,31468	-2,38	-2,38
983	VT-conSC(S-N)	GLOBAL	Force	Y Proj	0	0,31468	2,38	2,38
983	VL-sinSC(O-E)	GLOBAL	Force	X Proj	0	0,31468	0,28	0,28
983	VL-sinSC(E-O)	GLOBAL	Force	X Proj	0	0,31468	-0,28	-0,28
983	VL-conSC(O-E)	GLOBAL	Force	X Proj	0	0,31468	0,41	0,41
983	VL-conSC(E-O)	GLOBAL	Force	X Proj	0	0,31468	-0,41	-0,41
984	CM	GLOBAL	Force	Gravity	0	0,31489	0,04	0,04
984	VT-sinSC(N-S)	GLOBAL	Force	Y Proj	0	0,31489	-1,6	-1,6
984	VT-sinSC(S-N)	GLOBAL	Force	Y Proj	0	0,31489	1,6	1,6
984	VT-conSC(N-S)	GLOBAL	Force	Y Proj	0	0,31489	-2,38	-2,38
984	VT-conSC(S-N)	GLOBAL	Force	Y Proj	0	0,31489	2,38	2,38
984	VL-sinSC(O-E)	GLOBAL	Force	X Proj	0	0,31489	0,28	0,28
984	VL-sinSC(E-O)	GLOBAL	Force	X Proj	0	0,31489	-0,28	-0,28
984	VL-conSC(O-E)	GLOBAL	Force	X Proj	0	0,31489	0,41	0,41
984	VL-conSC(E-O)	GLOBAL	Force	X Proj	0	0,31489	-0,41	-0,41
985	CM	GLOBAL	Force	Gravity	0	0,31514	0,04	0,04
985	VT-sinSC(N-S)	GLOBAL	Force	Y Proj	0	0,31514	-1,6	-1,6



985	VT-sinSC(S-N)	GLOBAL	Force	Y Proj	0	0,31514	1,6	1,6
985	VT-conSC(N-S)	GLOBAL	Force	Y Proj	0	0,31514	-2,38	-2,38
985	VT-conSC(S-N)	GLOBAL	Force	Y Proj	0	0,31514	2,38	2,38
985	VL-sinSC(O-E)	GLOBAL	Force	X Proj	0	0,31514	0,28	0,28
985	VL-sinSC(E-O)	GLOBAL	Force	X Proj	0	0,31514	-0,28	-0,28
985	VL-conSC(O-E)	GLOBAL	Force	X Proj	0	0,31514	0,41	0,41
985	VL-conSC(E-O)	GLOBAL	Force	X Proj	0	0,31514	-0,41	-0,41
986	CM	GLOBAL	Force	Gravity	0	0,10123	0,04	0,04
986	VT-sinSC(N-S)	GLOBAL	Force	Y Proj	0	0,10123	-1,6	-1,6
986	VT-sinSC(S-N)	GLOBAL	Force	Y Proj	0	0,10123	1,6	1,6
986	VT-conSC(N-S)	GLOBAL	Force	Y Proj	0	0,10123	-2,38	-2,38
986	VT-conSC(S-N)	GLOBAL	Force	Y Proj	0	0,10123	2,38	2,38
986	VL-sinSC(O-E)	GLOBAL	Force	X Proj	0	0,10123	0,28	0,28
986	VL-sinSC(E-O)	GLOBAL	Force	X Proj	0	0,10123	-0,28	-0,28
986	VL-conSC(O-E)	GLOBAL	Force	X Proj	0	0,10123	0,41	0,41
986	VL-conSC(E-O)	GLOBAL	Force	X Proj	0	0,10123	-0,41	-0,41
987	CM	GLOBAL	Force	Gravity	0	0,10121	0,04	0,04
987	VT-sinSC(N-S)	GLOBAL	Force	Y Proj	0	0,10121	-1,6	-1,6
987	VT-sinSC(S-N)	GLOBAL	Force	Y Proj	0	0,10121	1,6	1,6
987	VT-conSC(N-S)	GLOBAL	Force	Y Proj	0	0,10121	-2,38	-2,38
987	VT-conSC(S-N)	GLOBAL	Force	Y Proj	0	0,10121	2,38	2,38
987	VL-sinSC(O-E)	GLOBAL	Force	X Proj	0	0,10121	0,28	0,28
987	VL-sinSC(E-O)	GLOBAL	Force	X Proj	0	0,10121	-0,28	-0,28
987	VL-conSC(O-E)	GLOBAL	Force	X Proj	0	0,10121	0,41	0,41
987	VL-conSC(E-O)	GLOBAL	Force	X Proj	0	0,10121	-0,41	-0,41
988	CM	GLOBAL	Force	Gravity	0	0,1012	0,04	0,04
988	VT-sinSC(N-S)	GLOBAL	Force	Y Proj	0	0,1012	-1,6	-1,6
988	VT-sinSC(S-N)	GLOBAL	Force	Y Proj	0	0,1012	1,6	1,6
988	VT-conSC(N-S)	GLOBAL	Force	Y Proj	0	0,1012	-2,38	-2,38
988	VT-conSC(S-N)	GLOBAL	Force	Y Proj	0	0,1012	2,38	2,38
988	VL-sinSC(O-E)	GLOBAL	Force	X Proj	0	0,1012	0,28	0,28
988	VL-sinSC(E-O)	GLOBAL	Force	X Proj	0	0,1012	-0,28	-0,28
988	VL-conSC(O-E)	GLOBAL	Force	X Proj	0	0,1012	0,41	0,41
988	VL-conSC(E-O)	GLOBAL	Force	X Proj	0	0,1012	-0,41	-0,41
989	CM	GLOBAL	Force	Gravity	0	0,10118	0,04	0,04
989	VT-sinSC(N-S)	GLOBAL	Force	Y Proj	0	0,10118	-1,6	-1,6
989	VT-sinSC(S-N)	GLOBAL	Force	Y Proj	0	0,10118	1,6	1,6
989	VT-conSC(N-S)	GLOBAL	Force	Y Proj	0	0,10118	-2,38	-2,38
989	VT-conSC(S-N)	GLOBAL	Force	Y Proj	0	0,10118	2,38	2,38

989	VL-sinSC(O-E)	GLOBAL	Force	X Proj	0	0,10118	0,28	0,28
989	VL-sinSC(E-O)	GLOBAL	Force	X Proj	0	0,10118	-0,28	-0,28
989	VL-conSC(O-E)	GLOBAL	Force	X Proj	0	0,10118	0,41	0,41
989	VL-conSC(E-O)	GLOBAL	Force	X Proj	0	0,10118	-0,41	-0,41
990	CM	GLOBAL	Force	Gravity	0	0,10116	0,04	0,04
990	VT-sinSC(N-S)	GLOBAL	Force	Y Proj	0	0,10116	-1,6	-1,6
990	VT-sinSC(S-N)	GLOBAL	Force	Y Proj	0	0,10116	1,6	1,6
990	VT-conSC(N-S)	GLOBAL	Force	Y Proj	0	0,10116	-2,38	-2,38
990	VT-conSC(S-N)	GLOBAL	Force	Y Proj	0	0,10116	2,38	2,38
990	VL-sinSC(O-E)	GLOBAL	Force	X Proj	0	0,10116	0,28	0,28
990	VL-sinSC(E-O)	GLOBAL	Force	X Proj	0	0,10116	-0,28	-0,28
990	VL-conSC(O-E)	GLOBAL	Force	X Proj	0	0,10116	0,41	0,41
990	VL-conSC(E-O)	GLOBAL	Force	X Proj	0	0,10116	-0,41	-0,41
991	CM	GLOBAL	Force	Gravity	0	0,10114	0,04	0,04
991	VT-sinSC(N-S)	GLOBAL	Force	Y Proj	0	0,10114	-1,6	-1,6
991	VT-sinSC(S-N)	GLOBAL	Force	Y Proj	0	0,10114	1,6	1,6
991	VT-conSC(N-S)	GLOBAL	Force	Y Proj	0	0,10114	-2,38	-2,38
991	VT-conSC(S-N)	GLOBAL	Force	Y Proj	0	0,10114	2,38	2,38
991	VL-sinSC(O-E)	GLOBAL	Force	X Proj	0	0,10114	0,28	0,28
991	VL-sinSC(E-O)	GLOBAL	Force	X Proj	0	0,10114	-0,28	-0,28
991	VL-conSC(O-E)	GLOBAL	Force	X Proj	0	0,10114	0,41	0,41
991	VL-conSC(E-O)	GLOBAL	Force	X Proj	0	0,10114	-0,41	-0,41
992	CM	GLOBAL	Force	Gravity	0	0,10112	0,04	0,04
992	VT-sinSC(N-S)	GLOBAL	Force	Y Proj	0	0,10112	-1,6	-1,6
992	VT-sinSC(S-N)	GLOBAL	Force	Y Proj	0	0,10112	1,6	1,6
992	VT-conSC(N-S)	GLOBAL	Force	Y Proj	0	0,10112	-2,38	-2,38
992	VT-conSC(S-N)	GLOBAL	Force	Y Proj	0	0,10112	2,38	2,38
992	VL-sinSC(O-E)	GLOBAL	Force	X Proj	0	0,10112	0,28	0,28
992	VL-sinSC(E-O)	GLOBAL	Force	X Proj	0	0,10112	-0,28	-0,28
992	VL-conSC(O-E)	GLOBAL	Force	X Proj	0	0,10112	0,41	0,41
992	VL-conSC(E-O)	GLOBAL	Force	X Proj	0	0,10112	-0,41	-0,41
993	CM	GLOBAL	Force	Gravity	0	0,10111	0,04	0,04
993	VT-sinSC(N-S)	GLOBAL	Force	Y Proj	0	0,10111	-1,6	-1,6
993	VT-sinSC(S-N)	GLOBAL	Force	Y Proj	0	0,10111	1,6	1,6
993	VT-conSC(N-S)	GLOBAL	Force	Y Proj	0	0,10111	-2,38	-2,38
993	VT-conSC(S-N)	GLOBAL	Force	Y Proj	0	0,10111	2,38	2,38
993	VL-sinSC(O-E)	GLOBAL	Force	X Proj	0	0,10111	0,28	0,28
993	VL-sinSC(E-O)	GLOBAL	Force	X Proj	0	0,10111	-0,28	-0,28
993	VL-conSC(O-E)	GLOBAL	Force	X Proj	0	0,10111	0,41	0,41



993	VL-conSC(E-O)	GLOBAL	Force	X Proj	0	0,10111	-0,41	-0,41
994	CM	GLOBAL	Force	Gravity	0	0,1011	0,04	0,04
994	VT-sinSC(N-S)	GLOBAL	Force	Y Proj	0	0,1011	-1,6	-1,6
994	VT-sinSC(S-N)	GLOBAL	Force	Y Proj	0	0,1011	1,6	1,6
994	VT-conSC(N-S)	GLOBAL	Force	Y Proj	0	0,1011	-2,38	-2,38
994	VT-conSC(S-N)	GLOBAL	Force	Y Proj	0	0,1011	2,38	2,38
994	VL-sinSC(O-E)	GLOBAL	Force	X Proj	0	0,1011	0,28	0,28
994	VL-sinSC(E-O)	GLOBAL	Force	X Proj	0	0,1011	-0,28	-0,28
994	VL-conSC(O-E)	GLOBAL	Force	X Proj	0	0,1011	0,41	0,41
994	VL-conSC(E-O)	GLOBAL	Force	X Proj	0	0,1011	-0,41	-0,41
995	CM	GLOBAL	Force	Gravity	0	0,10111	0,04	0,04
995	VT-sinSC(N-S)	GLOBAL	Force	Y Proj	0	0,10111	-1,6	-1,6
995	VT-sinSC(S-N)	GLOBAL	Force	Y Proj	0	0,10111	1,6	1,6
995	VT-conSC(N-S)	GLOBAL	Force	Y Proj	0	0,10111	-2,38	-2,38
995	VT-conSC(S-N)	GLOBAL	Force	Y Proj	0	0,10111	2,38	2,38
995	VL-sinSC(O-E)	GLOBAL	Force	X Proj	0	0,10111	0,28	0,28
995	VL-sinSC(E-O)	GLOBAL	Force	X Proj	0	0,10111	-0,28	-0,28
995	VL-conSC(O-E)	GLOBAL	Force	X Proj	0	0,10111	0,41	0,41
995	VL-conSC(E-O)	GLOBAL	Force	X Proj	0	0,10111	-0,41	-0,41
996	CM	GLOBAL	Force	Gravity	0	0,10112	0,04	0,04
996	VT-sinSC(N-S)	GLOBAL	Force	Y Proj	0	0,10112	-1,6	-1,6
996	VT-sinSC(S-N)	GLOBAL	Force	Y Proj	0	0,10112	1,6	1,6
996	VT-conSC(N-S)	GLOBAL	Force	Y Proj	0	0,10112	-2,38	-2,38
996	VT-conSC(S-N)	GLOBAL	Force	Y Proj	0	0,10112	2,38	2,38
996	VL-sinSC(O-E)	GLOBAL	Force	X Proj	0	0,10112	0,28	0,28
996	VL-sinSC(E-O)	GLOBAL	Force	X Proj	0	0,10112	-0,28	-0,28
996	VL-conSC(O-E)	GLOBAL	Force	X Proj	0	0,10112	0,41	0,41
996	VL-conSC(E-O)	GLOBAL	Force	X Proj	0	0,10112	-0,41	-0,41
997	CM	GLOBAL	Force	Gravity	0	0,10114	0,04	0,04
997	VT-sinSC(N-S)	GLOBAL	Force	Y Proj	0	0,10114	-1,6	-1,6
997	VT-sinSC(S-N)	GLOBAL	Force	Y Proj	0	0,10114	1,6	1,6
997	VT-conSC(N-S)	GLOBAL	Force	Y Proj	0	0,10114	-2,38	-2,38
997	VT-conSC(S-N)	GLOBAL	Force	Y Proj	0	0,10114	2,38	2,38
997	VL-sinSC(O-E)	GLOBAL	Force	X Proj	0	0,10114	0,28	0,28
997	VL-sinSC(E-O)	GLOBAL	Force	X Proj	0	0,10114	-0,28	-0,28
997	VL-conSC(O-E)	GLOBAL	Force	X Proj	0	0,10114	0,41	0,41
997	VL-conSC(E-O)	GLOBAL	Force	X Proj	0	0,10114	-0,41	-0,41
998	CM	GLOBAL	Force	Gravity	0	0,10116	0,04	0,04
998	VT-sinSC(N-S)	GLOBAL	Force	Y Proj	0	0,10116	-1,6	-1,6

998	VT-sinSC(S-N)	GLOBAL	Force	Y Proj	0	0,10116	1,6	1,6
998	VT-conSC(N-S)	GLOBAL	Force	Y Proj	0	0,10116	-2,38	-2,38
998	VT-conSC(S-N)	GLOBAL	Force	Y Proj	0	0,10116	2,38	2,38
998	VL-sinSC(O-E)	GLOBAL	Force	X Proj	0	0,10116	0,28	0,28
998	VL-sinSC(E-O)	GLOBAL	Force	X Proj	0	0,10116	-0,28	-0,28
998	VL-conSC(O-E)	GLOBAL	Force	X Proj	0	0,10116	0,41	0,41
998	VL-conSC(E-O)	GLOBAL	Force	X Proj	0	0,10116	-0,41	-0,41
999	CM	GLOBAL	Force	Gravity	0	0,10118	0,04	0,04
999	VT-sinSC(N-S)	GLOBAL	Force	Y Proj	0	0,10118	-1,6	-1,6
999	VT-sinSC(S-N)	GLOBAL	Force	Y Proj	0	0,10118	1,6	1,6
999	VT-conSC(N-S)	GLOBAL	Force	Y Proj	0	0,10118	-2,38	-2,38
999	VT-conSC(S-N)	GLOBAL	Force	Y Proj	0	0,10118	2,38	2,38
999	VL-sinSC(O-E)	GLOBAL	Force	X Proj	0	0,10118	0,28	0,28
999	VL-sinSC(E-O)	GLOBAL	Force	X Proj	0	0,10118	-0,28	-0,28
999	VL-conSC(O-E)	GLOBAL	Force	X Proj	0	0,10118	0,41	0,41
999	VL-conSC(E-O)	GLOBAL	Force	X Proj	0	0,10118	-0,41	-0,41
1000	CM	GLOBAL	Force	Gravity	0	0,1012	0,04	0,04
1000	VT-sinSC(N-S)	GLOBAL	Force	Y Proj	0	0,1012	-1,6	-1,6
1000	VT-sinSC(S-N)	GLOBAL	Force	Y Proj	0	0,1012	1,6	1,6
1000	VT-conSC(N-S)	GLOBAL	Force	Y Proj	0	0,1012	-2,38	-2,38
1000	VT-conSC(S-N)	GLOBAL	Force	Y Proj	0	0,1012	2,38	2,38
1000	VL-sinSC(O-E)	GLOBAL	Force	X Proj	0	0,1012	0,28	0,28
1000	VL-sinSC(E-O)	GLOBAL	Force	X Proj	0	0,1012	-0,28	-0,28
1000	VL-conSC(O-E)	GLOBAL	Force	X Proj	0	0,1012	0,41	0,41
1000	VL-conSC(E-O)	GLOBAL	Force	X Proj	0	0,1012	-0,41	-0,41
1001	CM	GLOBAL	Force	Gravity	0	0,10121	0,04	0,04
1001	VT-sinSC(N-S)	GLOBAL	Force	Y Proj	0	0,10121	-1,6	-1,6
1001	VT-sinSC(S-N)	GLOBAL	Force	Y Proj	0	0,10121	1,6	1,6
1001	VT-conSC(N-S)	GLOBAL	Force	Y Proj	0	0,10121	-2,38	-2,38
1001	VT-conSC(S-N)	GLOBAL	Force	Y Proj	0	0,10121	2,38	2,38
1001	VL-sinSC(O-E)	GLOBAL	Force	X Proj	0	0,10121	0,28	0,28
1001	VL-sinSC(E-O)	GLOBAL	Force	X Proj	0	0,10121	-0,28	-0,28
1001	VL-conSC(O-E)	GLOBAL	Force	X Proj	0	0,10121	0,41	0,41
1001	VL-conSC(E-O)	GLOBAL	Force	X Proj	0	0,10121	-0,41	-0,41
1002	CM	GLOBAL	Force	Gravity	0	0,10121	0,04	0,04
1002	VT-sinSC(N-S)	GLOBAL	Force	Y Proj	0	0,10121	-1,6	-1,6
1002	VT-sinSC(S-N)	GLOBAL	Force	Y Proj	0	0,10121	1,6	1,6
1002	VT-conSC(N-S)	GLOBAL	Force	Y Proj	0	0,10121	-2,38	-2,38
1002	VT-conSC(S-N)	GLOBAL	Force	Y Proj	0	0,10121	2,38	2,38



1002	VL-sinSC(O-E)	GLOBAL	Force	X Proj	0	0,10121	0,28	0,28
1002	VL-sinSC(E-O)	GLOBAL	Force	X Proj	0	0,10121	-0,28	-0,28
1002	VL-conSC(O-E)	GLOBAL	Force	X Proj	0	0,10121	0,41	0,41
1002	VL-conSC(E-O)	GLOBAL	Force	X Proj	0	0,10121	-0,41	-0,41
1003	CM	GLOBAL	Force	Gravity	0	0,3131	0,04	0,04
1003	VT-sinSC(N-S)	GLOBAL	Force	Y Proj	0	0,3131	-1,6	-1,6
1003	VT-sinSC(S-N)	GLOBAL	Force	Y Proj	0	0,3131	1,6	1,6
1003	VT-conSC(N-S)	GLOBAL	Force	Y Proj	0	0,3131	-2,38	-2,38
1003	VT-conSC(S-N)	GLOBAL	Force	Y Proj	0	0,3131	2,38	2,38
1003	VL-sinSC(O-E)	GLOBAL	Force	X Proj	0	0,3131	0,28	0,28
1003	VL-sinSC(E-O)	GLOBAL	Force	X Proj	0	0,3131	-0,28	-0,28
1003	VL-conSC(O-E)	GLOBAL	Force	X Proj	0	0,3131	0,41	0,41
1003	VL-conSC(E-O)	GLOBAL	Force	X Proj	0	0,3131	-0,41	-0,41
1004	CM	GLOBAL	Force	Gravity	0	0,31287	0,04	0,04
1004	VT-sinSC(N-S)	GLOBAL	Force	Y Proj	0	0,31287	-1,6	-1,6
1004	VT-sinSC(S-N)	GLOBAL	Force	Y Proj	0	0,31287	1,6	1,6
1004	VT-conSC(N-S)	GLOBAL	Force	Y Proj	0	0,31287	-2,38	-2,38
1004	VT-conSC(S-N)	GLOBAL	Force	Y Proj	0	0,31287	2,38	2,38
1004	VL-sinSC(O-E)	GLOBAL	Force	X Proj	0	0,31287	0,28	0,28
1004	VL-sinSC(E-O)	GLOBAL	Force	X Proj	0	0,31287	-0,28	-0,28
1004	VL-conSC(O-E)	GLOBAL	Force	X Proj	0	0,31287	0,41	0,41
1004	VL-conSC(E-O)	GLOBAL	Force	X Proj	0	0,31287	-0,41	-0,41
1005	CM	GLOBAL	Force	Gravity	0	0,3127	0,04	0,04
1005	VT-sinSC(N-S)	GLOBAL	Force	Y Proj	0	0,3127	-1,6	-1,6
1005	VT-sinSC(S-N)	GLOBAL	Force	Y Proj	0	0,3127	1,6	1,6
1005	VT-conSC(N-S)	GLOBAL	Force	Y Proj	0	0,3127	-2,38	-2,38
1005	VT-conSC(S-N)	GLOBAL	Force	Y Proj	0	0,3127	2,38	2,38
1005	VL-sinSC(O-E)	GLOBAL	Force	X Proj	0	0,3127	0,28	0,28
1005	VL-sinSC(E-O)	GLOBAL	Force	X Proj	0	0,3127	-0,28	-0,28
1005	VL-conSC(O-E)	GLOBAL	Force	X Proj	0	0,3127	0,41	0,41
1005	VL-conSC(E-O)	GLOBAL	Force	X Proj	0	0,3127	-0,41	-0,41
1006	CM	GLOBAL	Force	Gravity	0	0,31257	0,04	0,04
1006	VT-sinSC(N-S)	GLOBAL	Force	Y Proj	0	0,31257	-1,6	-1,6
1006	VT-sinSC(S-N)	GLOBAL	Force	Y Proj	0	0,31257	1,6	1,6
1006	VT-conSC(N-S)	GLOBAL	Force	Y Proj	0	0,31257	-2,38	-2,38
1006	VT-conSC(S-N)	GLOBAL	Force	Y Proj	0	0,31257	2,38	2,38
1006	VL-sinSC(O-E)	GLOBAL	Force	X Proj	0	0,31257	0,28	0,28
1006	VL-sinSC(E-O)	GLOBAL	Force	X Proj	0	0,31257	-0,28	-0,28
1006	VL-conSC(O-E)	GLOBAL	Force	X Proj	0	0,31257	0,41	0,41

1006	VL-conSC(E-O)	GLOBAL	Force	X Proj	0	0,31257	-0,41	-0,41
1007	CM	GLOBAL	Force	Gravity	0	0,31249	0,04	0,04
1007	VT-sinSC(N-S)	GLOBAL	Force	Y Proj	0	0,31249	-1,6	-1,6
1007	VT-sinSC(S-N)	GLOBAL	Force	Y Proj	0	0,31249	1,6	1,6
1007	VT-conSC(N-S)	GLOBAL	Force	Y Proj	0	0,31249	-2,38	-2,38
1007	VT-conSC(S-N)	GLOBAL	Force	Y Proj	0	0,31249	2,38	2,38
1007	VL-sinSC(O-E)	GLOBAL	Force	X Proj	0	0,31249	0,28	0,28
1007	VL-sinSC(E-O)	GLOBAL	Force	X Proj	0	0,31249	-0,28	-0,28
1007	VL-conSC(O-E)	GLOBAL	Force	X Proj	0	0,31249	0,41	0,41
1007	VL-conSC(E-O)	GLOBAL	Force	X Proj	0	0,31249	-0,41	-0,41
1008	CM	GLOBAL	Force	Gravity	0	0,31245	0,04	0,04
1008	VT-sinSC(N-S)	GLOBAL	Force	Y Proj	0	0,31245	-1,6	-1,6
1008	VT-sinSC(S-N)	GLOBAL	Force	Y Proj	0	0,31245	1,6	1,6
1008	VT-conSC(N-S)	GLOBAL	Force	Y Proj	0	0,31245	-2,38	-2,38
1008	VT-conSC(S-N)	GLOBAL	Force	Y Proj	0	0,31245	2,38	2,38
1008	VL-sinSC(O-E)	GLOBAL	Force	X Proj	0	0,31245	0,28	0,28
1008	VL-sinSC(E-O)	GLOBAL	Force	X Proj	0	0,31245	-0,28	-0,28
1008	VL-conSC(O-E)	GLOBAL	Force	X Proj	0	0,31245	0,41	0,41
1008	VL-conSC(E-O)	GLOBAL	Force	X Proj	0	0,31245	-0,41	-0,41
1009	CM	GLOBAL	Force	Gravity	0	0,31273	0,04	0,04
1009	VT-sinSC(N-S)	GLOBAL	Force	Y Proj	0	0,31273	-1,6	-1,6
1009	VT-sinSC(S-N)	GLOBAL	Force	Y Proj	0	0,31273	1,6	1,6
1009	VT-conSC(N-S)	GLOBAL	Force	Y Proj	0	0,31273	-2,38	-2,38
1009	VT-conSC(S-N)	GLOBAL	Force	Y Proj	0	0,31273	2,38	2,38
1009	VL-sinSC(O-E)	GLOBAL	Force	X Proj	0	0,31273	0,28	0,28
1009	VL-sinSC(E-O)	GLOBAL	Force	X Proj	0	0,31273	-0,28	-0,28
1009	VL-conSC(O-E)	GLOBAL	Force	X Proj	0	0,31273	0,41	0,41
1009	VL-conSC(E-O)	GLOBAL	Force	X Proj	0	0,31273	-0,41	-0,41
1010	CM	GLOBAL	Force	Gravity	0	0,31224	0,04	0,04
1010	VT-sinSC(N-S)	GLOBAL	Force	Y Proj	0	0,31224	-1,6	-1,6
1010	VT-sinSC(S-N)	GLOBAL	Force	Y Proj	0	0,31224	1,6	1,6
1010	VT-conSC(N-S)	GLOBAL	Force	Y Proj	0	0,31224	-2,38	-2,38
1010	VT-conSC(S-N)	GLOBAL	Force	Y Proj	0	0,31224	2,38	2,38
1010	VL-sinSC(O-E)	GLOBAL	Force	X Proj	0	0,31224	0,28	0,28
1010	VL-sinSC(E-O)	GLOBAL	Force	X Proj	0	0,31224	-0,28	-0,28
1010	VL-conSC(O-E)	GLOBAL	Force	X Proj	0	0,31224	0,41	0,41
1010	VL-conSC(E-O)	GLOBAL	Force	X Proj	0	0,31224	-0,41	-0,41
1011	CM	GLOBAL	Force	Gravity	0	0,31261	0,04	0,04
1011	VT-sinSC(N-S)	GLOBAL	Force	Y Proj	0	0,31261	-1,6	-1,6



1011	VT-sinSC(S-N)	GLOBAL	Force	Y Proj	0	0,31261	1,6	1,6
1011	VT-conSC(N-S)	GLOBAL	Force	Y Proj	0	0,31261	-2,38	-2,38
1011	VT-conSC(S-N)	GLOBAL	Force	Y Proj	0	0,31261	2,38	2,38
1011	VL-sinSC(O-E)	GLOBAL	Force	X Proj	0	0,31261	0,28	0,28
1011	VL-sinSC(E-O)	GLOBAL	Force	X Proj	0	0,31261	-0,28	-0,28
1011	VL-conSC(O-E)	GLOBAL	Force	X Proj	0	0,31261	0,41	0,41
1011	VL-conSC(E-O)	GLOBAL	Force	X Proj	0	0,31261	-0,41	-0,41
1012	CM	GLOBAL	Force	Gravity	0	0,31275	0,04	0,04
1012	VT-sinSC(N-S)	GLOBAL	Force	Y Proj	0	0,31275	-1,6	-1,6
1012	VT-sinSC(S-N)	GLOBAL	Force	Y Proj	0	0,31275	1,6	1,6
1012	VT-conSC(N-S)	GLOBAL	Force	Y Proj	0	0,31275	-2,38	-2,38
1012	VT-conSC(S-N)	GLOBAL	Force	Y Proj	0	0,31275	2,38	2,38
1012	VL-sinSC(O-E)	GLOBAL	Force	X Proj	0	0,31275	0,28	0,28
1012	VL-sinSC(E-O)	GLOBAL	Force	X Proj	0	0,31275	-0,28	-0,28
1012	VL-conSC(O-E)	GLOBAL	Force	X Proj	0	0,31275	0,41	0,41
1012	VL-conSC(E-O)	GLOBAL	Force	X Proj	0	0,31275	-0,41	-0,41
1013	CM	GLOBAL	Force	Gravity	0	0,31294	0,04	0,04
1013	VT-sinSC(N-S)	GLOBAL	Force	Y Proj	0	0,31294	-1,6	-1,6
1013	VT-sinSC(S-N)	GLOBAL	Force	Y Proj	0	0,31294	1,6	1,6
1013	VT-conSC(N-S)	GLOBAL	Force	Y Proj	0	0,31294	-2,38	-2,38
1013	VT-conSC(S-N)	GLOBAL	Force	Y Proj	0	0,31294	2,38	2,38
1013	VL-sinSC(O-E)	GLOBAL	Force	X Proj	0	0,31294	0,28	0,28
1013	VL-sinSC(E-O)	GLOBAL	Force	X Proj	0	0,31294	-0,28	-0,28
1013	VL-conSC(O-E)	GLOBAL	Force	X Proj	0	0,31294	0,41	0,41
1013	VL-conSC(E-O)	GLOBAL	Force	X Proj	0	0,31294	-0,41	-0,41
1014	CM	GLOBAL	Force	Gravity	0	0,31316	0,04	0,04
1014	VT-sinSC(N-S)	GLOBAL	Force	Y Proj	0	0,31316	-1,6	-1,6
1014	VT-sinSC(S-N)	GLOBAL	Force	Y Proj	0	0,31316	1,6	1,6
1014	VT-conSC(N-S)	GLOBAL	Force	Y Proj	0	0,31316	-2,38	-2,38
1014	VT-conSC(S-N)	GLOBAL	Force	Y Proj	0	0,31316	2,38	2,38
1014	VL-sinSC(O-E)	GLOBAL	Force	X Proj	0	0,31316	0,28	0,28
1014	VL-sinSC(E-O)	GLOBAL	Force	X Proj	0	0,31316	-0,28	-0,28
1014	VL-conSC(O-E)	GLOBAL	Force	X Proj	0	0,31316	0,41	0,41
1014	VL-conSC(E-O)	GLOBAL	Force	X Proj	0	0,31316	-0,41	-0,41
1015	CM	GLOBAL	Force	Gravity	0	0,3131	0,04	0,04
1015	VT-sinSC(N-S)	GLOBAL	Force	Y Proj	0	0,3131	-1,6	-1,6
1015	VT-sinSC(S-N)	GLOBAL	Force	Y Proj	0	0,3131	1,6	1,6
1015	VT-conSC(N-S)	GLOBAL	Force	Y Proj	0	0,3131	-2,38	-2,38

1015	VT-conSC(S-N)	GLOBAL	Force	Y Proj	0	0,3131	2,38	2,38
1015	VL-sinSC(O-E)	GLOBAL	Force	X Proj	0	0,3131	0,28	0,28
1015	VL-sinSC(E-O)	GLOBAL	Force	X Proj	0	0,3131	-0,28	-0,28
1015	VL-conSC(O-E)	GLOBAL	Force	X Proj	0	0,3131	0,41	0,41
1015	VL-conSC(E-O)	GLOBAL	Force	X Proj	0	0,3131	-0,41	-0,41
1016	CM	GLOBAL	Force	Gravity	0	0,3121	0,04	0,04
1016	VT-sinSC(N-S)	GLOBAL	Force	Y Proj	0	0,3121	-1,6	-1,6
1016	VT-sinSC(S-N)	GLOBAL	Force	Y Proj	0	0,3121	1,6	1,6
1016	VT-conSC(N-S)	GLOBAL	Force	Y Proj	0	0,3121	-2,38	-2,38
1016	VT-conSC(S-N)	GLOBAL	Force	Y Proj	0	0,3121	2,38	2,38
1016	VL-sinSC(O-E)	GLOBAL	Force	X Proj	0	0,3121	0,28	0,28
1016	VL-sinSC(E-O)	GLOBAL	Force	X Proj	0	0,3121	-0,28	-0,28
1016	VL-conSC(O-E)	GLOBAL	Force	X Proj	0	0,3121	0,41	0,41
1016	VL-conSC(E-O)	GLOBAL	Force	X Proj	0	0,3121	-0,41	-0,41
1017	CM	GLOBAL	Force	Gravity	0	0,31367	0,04	0,04
1017	VT-sinSC(N-S)	GLOBAL	Force	Y Proj	0	0,31367	-1,6	-1,6
1017	VT-sinSC(S-N)	GLOBAL	Force	Y Proj	0	0,31367	1,6	1,6
1017	VT-conSC(N-S)	GLOBAL	Force	Y Proj	0	0,31367	-2,38	-2,38
1017	VT-conSC(S-N)	GLOBAL	Force	Y Proj	0	0,31367	2,38	2,38
1017	VL-sinSC(O-E)	GLOBAL	Force	X Proj	0	0,31367	0,28	0,28
1017	VL-sinSC(E-O)	GLOBAL	Force	X Proj	0	0,31367	-0,28	-0,28
1017	VL-conSC(O-E)	GLOBAL	Force	X Proj	0	0,31367	0,41	0,41
1017	VL-conSC(E-O)	GLOBAL	Force	X Proj	0	0,31367	-0,41	-0,41
1018	CM	GLOBAL	Force	Gravity	0	0,31275	0,04	0,04
1018	VT-sinSC(N-S)	GLOBAL	Force	Y Proj	0	0,31275	-1,6	-1,6
1018	VT-sinSC(S-N)	GLOBAL	Force	Y Proj	0	0,31275	1,6	1,6
1018	VT-conSC(N-S)	GLOBAL	Force	Y Proj	0	0,31275	-2,38	-2,38
1018	VT-conSC(S-N)	GLOBAL	Force	Y Proj	0	0,31275	2,38	2,38
1018	VL-sinSC(O-E)	GLOBAL	Force	X Proj	0	0,31275	0,28	0,28
1018	VL-sinSC(E-O)	GLOBAL	Force	X Proj	0	0,31275	-0,28	-0,28
1018	VL-conSC(O-E)	GLOBAL	Force	X Proj	0	0,31275	0,41	0,41
1018	VL-conSC(E-O)	GLOBAL	Force	X Proj	0	0,31275	-0,41	-0,41
1019	CM	GLOBAL	Force	Gravity	0	0,31272	0,04	0,04
1019	VT-sinSC(N-S)	GLOBAL	Force	Y Proj	0	0,31272	-1,6	-1,6
1019	VT-sinSC(S-N)	GLOBAL	Force	Y Proj	0	0,31272	1,6	1,6
1019	VT-conSC(N-S)	GLOBAL	Force	Y Proj	0	0,31272	-2,38	-2,38
1019	VT-conSC(S-N)	GLOBAL	Force	Y Proj	0	0,31272	2,38	2,38
1019	VL-sinSC(O-E)	GLOBAL	Force	X Proj	0	0,31272	0,28	0,28
1019	VL-sinSC(E-O)	GLOBAL	Force	X Proj	0	0,31272	-0,28	-0,28



1019	VL-conSC(O-E)	GLOBAL	Force	X Proj	0	0,31272	0,41	0,41
1019	VL-conSC(E-O)	GLOBAL	Force	X Proj	0	0,31272	-0,41	-0,41
1020	CM	GLOBAL	Force	Gravity	0	0,31273	0,04	0,04
1020	VT-sinSC(N-S)	GLOBAL	Force	Y Proj	0	0,31273	-1,6	-1,6
1020	VT-sinSC(S-N)	GLOBAL	Force	Y Proj	0	0,31273	1,6	1,6
1020	VT-conSC(N-S)	GLOBAL	Force	Y Proj	0	0,31273	-2,38	-2,38
1020	VT-conSC(S-N)	GLOBAL	Force	Y Proj	0	0,31273	2,38	2,38
1020	VL-sinSC(O-E)	GLOBAL	Force	X Proj	0	0,31273	0,28	0,28
1020	VL-sinSC(E-O)	GLOBAL	Force	X Proj	0	0,31273	-0,28	-0,28
1020	VL-conSC(O-E)	GLOBAL	Force	X Proj	0	0,31273	0,41	0,41
1020	VL-conSC(E-O)	GLOBAL	Force	X Proj	0	0,31273	-0,41	-0,41
1021	CM	GLOBAL	Force	Gravity	0	0,31279	0,04	0,04
1021	VT-sinSC(N-S)	GLOBAL	Force	Y Proj	0	0,31279	-1,6	-1,6
1021	VT-sinSC(S-N)	GLOBAL	Force	Y Proj	0	0,31279	1,6	1,6
1021	VT-conSC(N-S)	GLOBAL	Force	Y Proj	0	0,31279	-2,38	-2,38
1021	VT-conSC(S-N)	GLOBAL	Force	Y Proj	0	0,31279	2,38	2,38
1021	VL-sinSC(O-E)	GLOBAL	Force	X Proj	0	0,31279	0,28	0,28
1021	VL-sinSC(E-O)	GLOBAL	Force	X Proj	0	0,31279	-0,28	-0,28
1021	VL-conSC(O-E)	GLOBAL	Force	X Proj	0	0,31279	0,41	0,41
1021	VL-conSC(E-O)	GLOBAL	Force	X Proj	0	0,31279	-0,41	-0,41
1022	CM	GLOBAL	Force	Gravity	0	0,31289	0,04	0,04
1022	VT-sinSC(N-S)	GLOBAL	Force	Y Proj	0	0,31289	-1,6	-1,6
1022	VT-sinSC(S-N)	GLOBAL	Force	Y Proj	0	0,31289	1,6	1,6
1022	VT-conSC(N-S)	GLOBAL	Force	Y Proj	0	0,31289	-2,38	-2,38
1022	VT-conSC(S-N)	GLOBAL	Force	Y Proj	0	0,31289	2,38	2,38
1022	VL-sinSC(O-E)	GLOBAL	Force	X Proj	0	0,31289	0,28	0,28
1022	VL-sinSC(E-O)	GLOBAL	Force	X Proj	0	0,31289	-0,28	-0,28
1022	VL-conSC(O-E)	GLOBAL	Force	X Proj	0	0,31289	0,41	0,41
1022	VL-conSC(E-O)	GLOBAL	Force	X Proj	0	0,31289	-0,41	-0,41
1023	CM	GLOBAL	Force	Gravity	0	0,31136	0,04	0,04
1023	VT-sinSC(N-S)	GLOBAL	Force	Y Proj	0	0,31136	-1,6	-1,6
1023	VT-sinSC(S-N)	GLOBAL	Force	Y Proj	0	0,31136	1,6	1,6
1023	VT-conSC(N-S)	GLOBAL	Force	Y Proj	0	0,31136	-2,38	-2,38
1023	VT-conSC(S-N)	GLOBAL	Force	Y Proj	0	0,31136	2,38	2,38
1023	VL-sinSC(O-E)	GLOBAL	Force	X Proj	0	0,31136	0,28	0,28
1023	VL-sinSC(E-O)	GLOBAL	Force	X Proj	0	0,31136	-0,28	-0,28
1023	VL-conSC(O-E)	GLOBAL	Force	X Proj	0	0,31136	0,41	0,41
1023	VL-conSC(E-O)	GLOBAL	Force	X Proj	0	0,31136	-0,41	-0,41
1024	CM	GLOBAL	Force	Gravity	0	0,31486	0,04	0,04

1024	VT-sinSC(N-S)	GLOBAL	Force	Y Proj	0	0,31486	-1,6	-1,6
1024	VT-sinSC(S-N)	GLOBAL	Force	Y Proj	0	0,31486	1,6	1,6
1024	VT-conSC(N-S)	GLOBAL	Force	Y Proj	0	0,31486	-2,38	-2,38
1024	VT-conSC(S-N)	GLOBAL	Force	Y Proj	0	0,31486	2,38	2,38
1024	VL-sinSC(O-E)	GLOBAL	Force	X Proj	0	0,31486	0,28	0,28
1024	VL-sinSC(E-O)	GLOBAL	Force	X Proj	0	0,31486	-0,28	-0,28
1024	VL-conSC(O-E)	GLOBAL	Force	X Proj	0	0,31486	0,41	0,41
1024	VL-conSC(E-O)	GLOBAL	Force	X Proj	0	0,31486	-0,41	-0,41
1025	CM	GLOBAL	Force	Gravity	0	0,31299	0,04	0,04
1025	VT-sinSC(N-S)	GLOBAL	Force	Y Proj	0	0,31299	-1,6	-1,6
1025	VT-sinSC(S-N)	GLOBAL	Force	Y Proj	0	0,31299	1,6	1,6
1025	VT-conSC(N-S)	GLOBAL	Force	Y Proj	0	0,31299	-2,38	-2,38
1025	VT-conSC(S-N)	GLOBAL	Force	Y Proj	0	0,31299	2,38	2,38
1025	VL-sinSC(O-E)	GLOBAL	Force	X Proj	0	0,31299	0,28	0,28
1025	VL-sinSC(E-O)	GLOBAL	Force	X Proj	0	0,31299	-0,28	-0,28
1025	VL-conSC(O-E)	GLOBAL	Force	X Proj	0	0,31299	0,41	0,41
1025	VL-conSC(E-O)	GLOBAL	Force	X Proj	0	0,31299	-0,41	-0,41
1026	CM	GLOBAL	Force	Gravity	0	0,31275	0,04	0,04
1026	VT-sinSC(N-S)	GLOBAL	Force	Y Proj	0	0,31275	-1,6	-1,6
1026	VT-sinSC(S-N)	GLOBAL	Force	Y Proj	0	0,31275	1,6	1,6
1026	VT-conSC(N-S)	GLOBAL	Force	Y Proj	0	0,31275	-2,38	-2,38
1026	VT-conSC(S-N)	GLOBAL	Force	Y Proj	0	0,31275	2,38	2,38
1026	VL-sinSC(O-E)	GLOBAL	Force	X Proj	0	0,31275	0,28	0,28
1026	VL-sinSC(E-O)	GLOBAL	Force	X Proj	0	0,31275	-0,28	-0,28
1026	VL-conSC(O-E)	GLOBAL	Force	X Proj	0	0,31275	0,41	0,41
1026	VL-conSC(E-O)	GLOBAL	Force	X Proj	0	0,31275	-0,41	-0,41
1027	CM	GLOBAL	Force	Gravity	0	0,31255	0,04	0,04
1027	VT-sinSC(N-S)	GLOBAL	Force	Y Proj	0	0,31255	-1,6	-1,6
1027	VT-sinSC(S-N)	GLOBAL	Force	Y Proj	0	0,31255	1,6	1,6
1027	VT-conSC(N-S)	GLOBAL	Force	Y Proj	0	0,31255	-2,38	-2,38
1027	VT-conSC(S-N)	GLOBAL	Force	Y Proj	0	0,31255	2,38	2,38
1027	VL-sinSC(O-E)	GLOBAL	Force	X Proj	0	0,31255	0,28	0,28
1027	VL-sinSC(E-O)	GLOBAL	Force	X Proj	0	0,31255	-0,28	-0,28
1027	VL-conSC(O-E)	GLOBAL	Force	X Proj	0	0,31255	0,41	0,41
1027	VL-conSC(E-O)	GLOBAL	Force	X Proj	0	0,31255	-0,41	-0,41
1028	CM	GLOBAL	Force	Gravity	0	0,3124	0,04	0,04
1028	VT-sinSC(N-S)	GLOBAL	Force	Y Proj	0	0,3124	-1,6	-1,6
1028	VT-sinSC(S-N)	GLOBAL	Force	Y Proj	0	0,3124	1,6	1,6
1028	VT-conSC(N-S)	GLOBAL	Force	Y Proj	0	0,3124	-2,38	-2,38



1028	VT-conSC(S-N)	GLOBAL	Force	Y Proj	0	0,3124	2,38	2,38
1028	VL-sinSC(O-E)	GLOBAL	Force	X Proj	0	0,3124	0,28	0,28
1028	VL-sinSC(E-O)	GLOBAL	Force	X Proj	0	0,3124	-0,28	-0,28
1028	VL-conSC(O-E)	GLOBAL	Force	X Proj	0	0,3124	0,41	0,41
1028	VL-conSC(E-O)	GLOBAL	Force	X Proj	0	0,3124	-0,41	-0,41
1029	CM	GLOBAL	Force	Gravity	0	0,3123	0,04	0,04
1029	VT-sinSC(N-S)	GLOBAL	Force	Y Proj	0	0,3123	-1,6	-1,6
1029	VT-sinSC(S-N)	GLOBAL	Force	Y Proj	0	0,3123	1,6	1,6
1029	VT-conSC(N-S)	GLOBAL	Force	Y Proj	0	0,3123	-2,38	-2,38
1029	VT-conSC(S-N)	GLOBAL	Force	Y Proj	0	0,3123	2,38	2,38
1029	VL-sinSC(O-E)	GLOBAL	Force	X Proj	0	0,3123	0,28	0,28
1029	VL-sinSC(E-O)	GLOBAL	Force	X Proj	0	0,3123	-0,28	-0,28
1029	VL-conSC(O-E)	GLOBAL	Force	X Proj	0	0,3123	0,41	0,41
1029	VL-conSC(E-O)	GLOBAL	Force	X Proj	0	0,3123	-0,41	-0,41
1030	CM	GLOBAL	Force	Gravity	0	0,31103	0,04	0,04
1030	VT-sinSC(N-S)	GLOBAL	Force	Y Proj	0	0,31103	-1,6	-1,6
1030	VT-sinSC(S-N)	GLOBAL	Force	Y Proj	0	0,31103	1,6	1,6
1030	VT-conSC(N-S)	GLOBAL	Force	Y Proj	0	0,31103	-2,38	-2,38
1030	VT-conSC(S-N)	GLOBAL	Force	Y Proj	0	0,31103	2,38	2,38
1030	VL-sinSC(O-E)	GLOBAL	Force	X Proj	0	0,31103	0,28	0,28
1030	VL-sinSC(E-O)	GLOBAL	Force	X Proj	0	0,31103	-0,28	-0,28
1030	VL-conSC(O-E)	GLOBAL	Force	X Proj	0	0,31103	0,41	0,41
1030	VL-conSC(E-O)	GLOBAL	Force	X Proj	0	0,31103	-0,41	-0,41
1031	CM	GLOBAL	Force	Gravity	0	0,31343	0,04	0,04
1031	VT-sinSC(N-S)	GLOBAL	Force	Y Proj	0	0,31343	-1,6	-1,6
1031	VT-sinSC(S-N)	GLOBAL	Force	Y Proj	0	0,31343	1,6	1,6
1031	VT-conSC(N-S)	GLOBAL	Force	Y Proj	0	0,31343	-2,38	-2,38
1031	VT-conSC(S-N)	GLOBAL	Force	Y Proj	0	0,31343	2,38	2,38
1031	VL-sinSC(O-E)	GLOBAL	Force	X Proj	0	0,31343	0,28	0,28
1031	VL-sinSC(E-O)	GLOBAL	Force	X Proj	0	0,31343	-0,28	-0,28
1031	VL-conSC(O-E)	GLOBAL	Force	X Proj	0	0,31343	0,41	0,41
1031	VL-conSC(E-O)	GLOBAL	Force	X Proj	0	0,31343	-0,41	-0,41
1032	CM	GLOBAL	Force	Gravity	0	0,31225	0,04	0,04
1032	VT-sinSC(N-S)	GLOBAL	Force	Y Proj	0	0,31225	-1,6	-1,6
1032	VT-sinSC(S-N)	GLOBAL	Force	Y Proj	0	0,31225	1,6	1,6
1032	VT-conSC(N-S)	GLOBAL	Force	Y Proj	0	0,31225	-2,38	-2,38
1032	VT-conSC(S-N)	GLOBAL	Force	Y Proj	0	0,31225	2,38	2,38
1032	VL-sinSC(O-E)	GLOBAL	Force	X Proj	0	0,31225	0,28	0,28
1032	VL-sinSC(E-O)	GLOBAL	Force	X Proj	0	0,31225	-0,28	-0,28

1032	VL-conSC(O-E)	GLOBAL	Force	X Proj	0	0,31225	0,41	0,41
1032	VL-conSC(E-O)	GLOBAL	Force	X Proj	0	0,31225	-0,41	-0,41
1033	CM	GLOBAL	Force	Gravity	0	0,31232	0,04	0,04
1033	VT-sinSC(N-S)	GLOBAL	Force	Y Proj	0	0,31232	-1,6	-1,6
1033	VT-sinSC(S-N)	GLOBAL	Force	Y Proj	0	0,31232	1,6	1,6
1033	VT-conSC(N-S)	GLOBAL	Force	Y Proj	0	0,31232	-2,38	-2,38
1033	VT-conSC(S-N)	GLOBAL	Force	Y Proj	0	0,31232	2,38	2,38
1033	VL-sinSC(O-E)	GLOBAL	Force	X Proj	0	0,31232	0,28	0,28
1033	VL-sinSC(E-O)	GLOBAL	Force	X Proj	0	0,31232	-0,28	-0,28
1033	VL-conSC(O-E)	GLOBAL	Force	X Proj	0	0,31232	0,41	0,41
1033	VL-conSC(E-O)	GLOBAL	Force	X Proj	0	0,31232	-0,41	-0,41
1034	CM	GLOBAL	Force	Gravity	0	0,31244	0,04	0,04
1034	VT-sinSC(N-S)	GLOBAL	Force	Y Proj	0	0,31244	-1,6	-1,6
1034	VT-sinSC(S-N)	GLOBAL	Force	Y Proj	0	0,31244	1,6	1,6
1034	VT-conSC(N-S)	GLOBAL	Force	Y Proj	0	0,31244	-2,38	-2,38
1034	VT-conSC(S-N)	GLOBAL	Force	Y Proj	0	0,31244	2,38	2,38
1034	VL-sinSC(O-E)	GLOBAL	Force	X Proj	0	0,31244	0,28	0,28
1034	VL-sinSC(E-O)	GLOBAL	Force	X Proj	0	0,31244	-0,28	-0,28
1034	VL-conSC(O-E)	GLOBAL	Force	X Proj	0	0,31244	0,41	0,41
1034	VL-conSC(E-O)	GLOBAL	Force	X Proj	0	0,31244	-0,41	-0,41
1035	CM	GLOBAL	Force	Gravity	0	0,3126	0,04	0,04
1035	VT-sinSC(N-S)	GLOBAL	Force	Y Proj	0	0,3126	-1,6	-1,6
1035	VT-sinSC(S-N)	GLOBAL	Force	Y Proj	0	0,3126	1,6	1,6
1035	VT-conSC(N-S)	GLOBAL	Force	Y Proj	0	0,3126	-2,38	-2,38
1035	VT-conSC(S-N)	GLOBAL	Force	Y Proj	0	0,3126	2,38	2,38
1035	VL-sinSC(O-E)	GLOBAL	Force	X Proj	0	0,3126	0,28	0,28
1035	VL-sinSC(E-O)	GLOBAL	Force	X Proj	0	0,3126	-0,28	-0,28
1035	VL-conSC(O-E)	GLOBAL	Force	X Proj	0	0,3126	0,41	0,41
1035	VL-conSC(E-O)	GLOBAL	Force	X Proj	0	0,3126	-0,41	-0,41
1036	CM	GLOBAL	Force	Gravity	0	0,31281	0,04	0,04
1036	VT-sinSC(N-S)	GLOBAL	Force	Y Proj	0	0,31281	-1,6	-1,6
1036	VT-sinSC(S-N)	GLOBAL	Force	Y Proj	0	0,31281	1,6	1,6
1036	VT-conSC(N-S)	GLOBAL	Force	Y Proj	0	0,31281	-2,38	-2,38
1036	VT-conSC(S-N)	GLOBAL	Force	Y Proj	0	0,31281	2,38	2,38
1036	VL-sinSC(O-E)	GLOBAL	Force	X Proj	0	0,31281	0,28	0,28
1036	VL-sinSC(E-O)	GLOBAL	Force	X Proj	0	0,31281	-0,28	-0,28
1036	VL-conSC(O-E)	GLOBAL	Force	X Proj	0	0,31281	0,41	0,41
1036	VL-conSC(E-O)	GLOBAL	Force	X Proj	0	0,31281	-0,41	-0,41
1037	CM	GLOBAL	Force	Gravity	0	0,31306	0,04	0,04



1037	VT-sinSC(N-S)	GLOBAL	Force	Y Proj	0	0,31306	-1,6	-1,6
1037	VT-sinSC(S-N)	GLOBAL	Force	Y Proj	0	0,31306	1,6	1,6
1037	VT-conSC(N-S)	GLOBAL	Force	Y Proj	0	0,31306	-2,38	-2,38
1037	VT-conSC(S-N)	GLOBAL	Force	Y Proj	0	0,31306	2,38	2,38
1037	VL-sinSC(O-E)	GLOBAL	Force	X Proj	0	0,31306	0,28	0,28
1037	VL-sinSC(E-O)	GLOBAL	Force	X Proj	0	0,31306	-0,28	-0,28
1037	VL-conSC(O-E)	GLOBAL	Force	X Proj	0	0,31306	0,41	0,41
1037	VL-conSC(E-O)	GLOBAL	Force	X Proj	0	0,31306	-0,41	-0,41
1038	CM	GLOBAL	Force	Gravity	0	0,0971	0,04	0,04
1038	VT-sinSC(N-S)	GLOBAL	Force	Y Proj	0	0,0971	-1,6	-1,6
1038	VT-sinSC(S-N)	GLOBAL	Force	Y Proj	0	0,0971	1,6	1,6
1038	VT-conSC(N-S)	GLOBAL	Force	Y Proj	0	0,0971	-2,38	-2,38
1038	VT-conSC(S-N)	GLOBAL	Force	Y Proj	0	0,0971	2,38	2,38
1038	VL-sinSC(O-E)	GLOBAL	Force	X Proj	0	0,0971	0,28	0,28
1038	VL-sinSC(E-O)	GLOBAL	Force	X Proj	0	0,0971	-0,28	-0,28
1038	VL-conSC(O-E)	GLOBAL	Force	X Proj	0	0,0971	0,41	0,41
1038	VL-conSC(E-O)	GLOBAL	Force	X Proj	0	0,0971	-0,41	-0,41
1039	CM	GLOBAL	Force	Gravity	0	0,0971	0,04	0,04
1039	VT-sinSC(N-S)	GLOBAL	Force	Y Proj	0	0,0971	-1,6	-1,6
1039	VT-sinSC(S-N)	GLOBAL	Force	Y Proj	0	0,0971	1,6	1,6
1039	VT-conSC(N-S)	GLOBAL	Force	Y Proj	0	0,0971	-2,38	-2,38
1039	VT-conSC(S-N)	GLOBAL	Force	Y Proj	0	0,0971	2,38	2,38
1039	VL-sinSC(O-E)	GLOBAL	Force	X Proj	0	0,0971	0,28	0,28
1039	VL-sinSC(E-O)	GLOBAL	Force	X Proj	0	0,0971	-0,28	-0,28
1039	VL-conSC(O-E)	GLOBAL	Force	X Proj	0	0,0971	0,41	0,41
1039	VL-conSC(E-O)	GLOBAL	Force	X Proj	0	0,0971	-0,41	-0,41
1040	CM	GLOBAL	Force	Gravity	0	0,09709	0,04	0,04
1040	VT-sinSC(N-S)	GLOBAL	Force	Y Proj	0	0,09709	-1,6	-1,6
1040	VT-sinSC(S-N)	GLOBAL	Force	Y Proj	0	0,09709	1,6	1,6
1040	VT-conSC(N-S)	GLOBAL	Force	Y Proj	0	0,09709	-2,38	-2,38
1040	VT-conSC(S-N)	GLOBAL	Force	Y Proj	0	0,09709	2,38	2,38
1040	VL-sinSC(O-E)	GLOBAL	Force	X Proj	0	0,09709	0,28	0,28
1040	VL-sinSC(E-O)	GLOBAL	Force	X Proj	0	0,09709	-0,28	-0,28
1040	VL-conSC(O-E)	GLOBAL	Force	X Proj	0	0,09709	0,41	0,41
1040	VL-conSC(E-O)	GLOBAL	Force	X Proj	0	0,09709	-0,41	-0,41
1041	CM	GLOBAL	Force	Gravity	0	0,09707	0,04	0,04
1041	VT-sinSC(N-S)	GLOBAL	Force	Y Proj	0	0,09707	-1,6	-1,6
1041	VT-sinSC(S-N)	GLOBAL	Force	Y Proj	0	0,09707	1,6	1,6
1041	VT-conSC(N-S)	GLOBAL	Force	Y Proj	0	0,09707	-2,38	-2,38

1041	VT-conSC(S-N)	GLOBAL	Force	Y Proj	0	0,09707	2,38	2,38
1041	VL-sinSC(O-E)	GLOBAL	Force	X Proj	0	0,09707	0,28	0,28
1041	VL-sinSC(E-O)	GLOBAL	Force	X Proj	0	0,09707	-0,28	-0,28
1041	VL-conSC(O-E)	GLOBAL	Force	X Proj	0	0,09707	0,41	0,41
1041	VL-conSC(E-O)	GLOBAL	Force	X Proj	0	0,09707	-0,41	-0,41
1042	CM	GLOBAL	Force	Gravity	0	0,09706	0,04	0,04
1042	VT-sinSC(N-S)	GLOBAL	Force	Y Proj	0	0,09706	-1,6	-1,6
1042	VT-sinSC(S-N)	GLOBAL	Force	Y Proj	0	0,09706	1,6	1,6
1042	VT-conSC(N-S)	GLOBAL	Force	Y Proj	0	0,09706	-2,38	-2,38
1042	VT-conSC(S-N)	GLOBAL	Force	Y Proj	0	0,09706	2,38	2,38
1042	VL-sinSC(O-E)	GLOBAL	Force	X Proj	0	0,09706	0,28	0,28
1042	VL-sinSC(E-O)	GLOBAL	Force	X Proj	0	0,09706	-0,28	-0,28
1042	VL-conSC(O-E)	GLOBAL	Force	X Proj	0	0,09706	0,41	0,41
1042	VL-conSC(E-O)	GLOBAL	Force	X Proj	0	0,09706	-0,41	-0,41
1043	CM	GLOBAL	Force	Gravity	0	0,09704	0,04	0,04
1043	VT-sinSC(N-S)	GLOBAL	Force	Y Proj	0	0,09704	-1,6	-1,6
1043	VT-sinSC(S-N)	GLOBAL	Force	Y Proj	0	0,09704	1,6	1,6
1043	VT-conSC(N-S)	GLOBAL	Force	Y Proj	0	0,09704	-2,38	-2,38
1043	VT-conSC(S-N)	GLOBAL	Force	Y Proj	0	0,09704	2,38	2,38
1043	VL-sinSC(O-E)	GLOBAL	Force	X Proj	0	0,09704	0,28	0,28
1043	VL-sinSC(E-O)	GLOBAL	Force	X Proj	0	0,09704	-0,28	-0,28
1043	VL-conSC(O-E)	GLOBAL	Force	X Proj	0	0,09704	0,41	0,41
1043	VL-conSC(E-O)	GLOBAL	Force	X Proj	0	0,09704	-0,41	-0,41
1044	CM	GLOBAL	Force	Gravity	0	0,09702	0,04	0,04
1044	VT-sinSC(N-S)	GLOBAL	Force	Y Proj	0	0,09702	-1,6	-1,6
1044	VT-sinSC(S-N)	GLOBAL	Force	Y Proj	0	0,09702	1,6	1,6
1044	VT-conSC(N-S)	GLOBAL	Force	Y Proj	0	0,09702	-2,38	-2,38
1044	VT-conSC(S-N)	GLOBAL	Force	Y Proj	0	0,09702	2,38	2,38
1044	VL-sinSC(O-E)	GLOBAL	Force	X Proj	0	0,09702	0,28	0,28
1044	VL-sinSC(E-O)	GLOBAL	Force	X Proj	0	0,09702	-0,28	-0,28
1044	VL-conSC(O-E)	GLOBAL	Force	X Proj	0	0,09702	0,41	0,41
1044	VL-conSC(E-O)	GLOBAL	Force	X Proj	0	0,09702	-0,41	-0,41
1045	CM	GLOBAL	Force	Gravity	0	0,09701	0,04	0,04
1045	VT-sinSC(N-S)	GLOBAL	Force	Y Proj	0	0,09701	-1,6	-1,6
1045	VT-sinSC(S-N)	GLOBAL	Force	Y Proj	0	0,09701	1,6	1,6
1045	VT-conSC(N-S)	GLOBAL	Force	Y Proj	0	0,09701	-2,38	-2,38
1045	VT-conSC(S-N)	GLOBAL	Force	Y Proj	0	0,09701	2,38	2,38
1045	VL-sinSC(O-E)	GLOBAL	Force	X Proj	0	0,09701	0,28	0,28
1045	VL-sinSC(E-O)	GLOBAL	Force	X Proj	0	0,09701	-0,28	-0,28



1045	VL-conSC(O-E)	GLOBAL	Force	X Proj	0	0,09701	0,41	0,41
1045	VL-conSC(E-O)	GLOBAL	Force	X Proj	0	0,09701	-0,41	-0,41
1047	CM	GLOBAL	Force	Gravity	0	0,09701	0,04	0,04
1047	VT-sinSC(N-S)	GLOBAL	Force	Y Proj	0	0,09701	-1,6	-1,6
1047	VT-sinSC(S-N)	GLOBAL	Force	Y Proj	0	0,09701	1,6	1,6
1047	VT-conSC(N-S)	GLOBAL	Force	Y Proj	0	0,09701	-2,38	-2,38
1047	VT-conSC(S-N)	GLOBAL	Force	Y Proj	0	0,09701	2,38	2,38
1047	VL-sinSC(O-E)	GLOBAL	Force	X Proj	0	0,09701	0,28	0,28
1047	VL-sinSC(E-O)	GLOBAL	Force	X Proj	0	0,09701	-0,28	-0,28
1047	VL-conSC(O-E)	GLOBAL	Force	X Proj	0	0,09701	0,41	0,41
1047	VL-conSC(E-O)	GLOBAL	Force	X Proj	0	0,09701	-0,41	-0,41
1048	CM	GLOBAL	Force	Gravity	0	0,09702	0,04	0,04
1048	VT-sinSC(N-S)	GLOBAL	Force	Y Proj	0	0,09702	-1,6	-1,6
1048	VT-sinSC(S-N)	GLOBAL	Force	Y Proj	0	0,09702	1,6	1,6
1048	VT-conSC(N-S)	GLOBAL	Force	Y Proj	0	0,09702	-2,38	-2,38
1048	VT-conSC(S-N)	GLOBAL	Force	Y Proj	0	0,09702	2,38	2,38
1048	VL-sinSC(O-E)	GLOBAL	Force	X Proj	0	0,09702	0,28	0,28
1048	VL-sinSC(E-O)	GLOBAL	Force	X Proj	0	0,09702	-0,28	-0,28
1048	VL-conSC(O-E)	GLOBAL	Force	X Proj	0	0,09702	0,41	0,41
1048	VL-conSC(E-O)	GLOBAL	Force	X Proj	0	0,09702	-0,41	-0,41
1049	CM	GLOBAL	Force	Gravity	0	0,09704	0,04	0,04
1049	VT-sinSC(N-S)	GLOBAL	Force	Y Proj	0	0,09704	-1,6	-1,6
1049	VT-sinSC(S-N)	GLOBAL	Force	Y Proj	0	0,09704	1,6	1,6
1049	VT-conSC(N-S)	GLOBAL	Force	Y Proj	0	0,09704	-2,38	-2,38
1049	VT-conSC(S-N)	GLOBAL	Force	Y Proj	0	0,09704	2,38	2,38
1049	VL-sinSC(O-E)	GLOBAL	Force	X Proj	0	0,09704	0,28	0,28
1049	VL-sinSC(E-O)	GLOBAL	Force	X Proj	0	0,09704	-0,28	-0,28
1049	VL-conSC(O-E)	GLOBAL	Force	X Proj	0	0,09704	0,41	0,41
1049	VL-conSC(E-O)	GLOBAL	Force	X Proj	0	0,09704	-0,41	-0,41
1050	CM	GLOBAL	Force	Gravity	0	0,09706	0,04	0,04
1050	VT-sinSC(N-S)	GLOBAL	Force	Y Proj	0	0,09706	-1,6	-1,6
1050	VT-sinSC(S-N)	GLOBAL	Force	Y Proj	0	0,09706	1,6	1,6
1050	VT-conSC(N-S)	GLOBAL	Force	Y Proj	0	0,09706	-2,38	-2,38
1050	VT-conSC(S-N)	GLOBAL	Force	Y Proj	0	0,09706	2,38	2,38
1050	VL-sinSC(O-E)	GLOBAL	Force	X Proj	0	0,09706	0,28	0,28
1050	VL-sinSC(E-O)	GLOBAL	Force	X Proj	0	0,09706	-0,28	-0,28
1050	VL-conSC(O-E)	GLOBAL	Force	X Proj	0	0,09706	0,41	0,41
1050	VL-conSC(E-O)	GLOBAL	Force	X Proj	0	0,09706	-0,41	-0,41
1051	CM	GLOBAL	Force	Gravity	0	0,09707	0,04	0,04

1051	VT-sinSC(N-S)	GLOBAL	Force	Y Proj	0	0,09707	-1,6	-1,6
1051	VT-sinSC(S-N)	GLOBAL	Force	Y Proj	0	0,09707	1,6	1,6
1051	VT-conSC(N-S)	GLOBAL	Force	Y Proj	0	0,09707	-2,38	-2,38
1051	VT-conSC(S-N)	GLOBAL	Force	Y Proj	0	0,09707	2,38	2,38
1051	VL-sinSC(O-E)	GLOBAL	Force	X Proj	0	0,09707	0,28	0,28
1051	VL-sinSC(E-O)	GLOBAL	Force	X Proj	0	0,09707	-0,28	-0,28
1051	VL-conSC(O-E)	GLOBAL	Force	X Proj	0	0,09707	0,41	0,41
1051	VL-conSC(E-O)	GLOBAL	Force	X Proj	0	0,09707	-0,41	-0,41
1052	CM	GLOBAL	Force	Gravity	0	0,09709	0,04	0,04
1052	VT-sinSC(N-S)	GLOBAL	Force	Y Proj	0	0,09709	-1,6	-1,6
1052	VT-sinSC(S-N)	GLOBAL	Force	Y Proj	0	0,09709	1,6	1,6
1052	VT-conSC(N-S)	GLOBAL	Force	Y Proj	0	0,09709	-2,38	-2,38
1052	VT-conSC(S-N)	GLOBAL	Force	Y Proj	0	0,09709	2,38	2,38
1052	VL-sinSC(O-E)	GLOBAL	Force	X Proj	0	0,09709	0,28	0,28
1052	VL-sinSC(E-O)	GLOBAL	Force	X Proj	0	0,09709	-0,28	-0,28
1052	VL-conSC(O-E)	GLOBAL	Force	X Proj	0	0,09709	0,41	0,41
1052	VL-conSC(E-O)	GLOBAL	Force	X Proj	0	0,09709	-0,41	-0,41
1053	CM	GLOBAL	Force	Gravity	0	0,0971	0,04	0,04
1053	VT-sinSC(N-S)	GLOBAL	Force	Y Proj	0	0,0971	-1,6	-1,6
1053	VT-sinSC(S-N)	GLOBAL	Force	Y Proj	0	0,0971	1,6	1,6
1053	VT-conSC(N-S)	GLOBAL	Force	Y Proj	0	0,0971	-2,38	-2,38
1053	VT-conSC(S-N)	GLOBAL	Force	Y Proj	0	0,0971	2,38	2,38
1053	VL-sinSC(O-E)	GLOBAL	Force	X Proj	0	0,0971	0,28	0,28
1053	VL-sinSC(E-O)	GLOBAL	Force	X Proj	0	0,0971	-0,28	-0,28
1053	VL-conSC(O-E)	GLOBAL	Force	X Proj	0	0,0971	0,41	0,41
1053	VL-conSC(E-O)	GLOBAL	Force	X Proj	0	0,0971	-0,41	-0,41
1054	CM	GLOBAL	Force	Gravity	0	0,09711	0,04	0,04
1054	VT-sinSC(N-S)	GLOBAL	Force	Y Proj	0	0,09711	-1,6	-1,6
1054	VT-sinSC(S-N)	GLOBAL	Force	Y Proj	0	0,09711	1,6	1,6
1054	VT-conSC(N-S)	GLOBAL	Force	Y Proj	0	0,09711	-2,38	-2,38
1054	VT-conSC(S-N)	GLOBAL	Force	Y Proj	0	0,09711	2,38	2,38
1054	VL-sinSC(O-E)	GLOBAL	Force	X Proj	0	0,09711	0,28	0,28
1054	VL-sinSC(E-O)	GLOBAL	Force	X Proj	0	0,09711	-0,28	-0,28
1054	VL-conSC(O-E)	GLOBAL	Force	X Proj	0	0,09711	0,41	0,41
1054	VL-conSC(E-O)	GLOBAL	Force	X Proj	0	0,09711	-0,41	-0,41
1057	PPforjado	GLOBAL	Force	Gravity	0	2,5	4	4
1057	SC_3	GLOBAL	Force	Gravity	0	2,5	8	8
1058	PPforjado	GLOBAL	Force	Gravity	0	2,5	4	4
1058	SC_3	GLOBAL	Force	Gravity	0	2,5	8	8



1059	CM	GLOBAL	Force	Gravity	0	0,26727	0,04	0,04
1059	VT-sinSC(N-S)	GLOBAL	Force	Y Proj	0	0,26727	-1,6	-1,6
1059	VT-sinSC(S-N)	GLOBAL	Force	Y Proj	0	0,26727	1,6	1,6
1059	VT-conSC(N-S)	GLOBAL	Force	Y Proj	0	0,26727	-2,38	-2,38
1059	VT-conSC(S-N)	GLOBAL	Force	Y Proj	0	0,26727	2,38	2,38
1059	VL-sinSC(O-E)	GLOBAL	Force	X Proj	0	0,26727	0,28	0,28
1059	VL-sinSC(E-O)	GLOBAL	Force	X Proj	0	0,26727	-0,28	-0,28
1059	VL-conSC(O-E)	GLOBAL	Force	X Proj	0	0,26727	0,41	0,41
1059	VL-conSC(E-O)	GLOBAL	Force	X Proj	0	0,26727	-0,41	-0,41
1060	CM	GLOBAL	Force	Gravity	0	0,26706	0,04	0,04
1060	VT-sinSC(N-S)	GLOBAL	Force	Y Proj	0	0,26706	-1,6	-1,6
1060	VT-sinSC(S-N)	GLOBAL	Force	Y Proj	0	0,26706	1,6	1,6
1060	VT-conSC(N-S)	GLOBAL	Force	Y Proj	0	0,26706	-2,38	-2,38
1060	VT-conSC(S-N)	GLOBAL	Force	Y Proj	0	0,26706	2,38	2,38
1060	VL-sinSC(O-E)	GLOBAL	Force	X Proj	0	0,26706	0,28	0,28
1060	VL-sinSC(E-O)	GLOBAL	Force	X Proj	0	0,26706	-0,28	-0,28
1060	VL-conSC(O-E)	GLOBAL	Force	X Proj	0	0,26706	0,41	0,41
1060	VL-conSC(E-O)	GLOBAL	Force	X Proj	0	0,26706	-0,41	-0,41
1061	CM	GLOBAL	Force	Gravity	0	0,26689	0,04	0,04
1061	VT-sinSC(N-S)	GLOBAL	Force	Y Proj	0	0,26689	-1,6	-1,6
1061	VT-sinSC(S-N)	GLOBAL	Force	Y Proj	0	0,26689	1,6	1,6
1061	VT-conSC(N-S)	GLOBAL	Force	Y Proj	0	0,26689	-2,38	-2,38
1061	VT-conSC(S-N)	GLOBAL	Force	Y Proj	0	0,26689	2,38	2,38
1061	VL-sinSC(O-E)	GLOBAL	Force	X Proj	0	0,26689	0,28	0,28
1061	VL-sinSC(E-O)	GLOBAL	Force	X Proj	0	0,26689	-0,28	-0,28
1061	VL-conSC(O-E)	GLOBAL	Force	X Proj	0	0,26689	0,41	0,41
1061	VL-conSC(E-O)	GLOBAL	Force	X Proj	0	0,26689	-0,41	-0,41
1062	CM	GLOBAL	Force	Gravity	0	0,26677	0,04	0,04
1062	VT-sinSC(N-S)	GLOBAL	Force	Y Proj	0	0,26677	-1,6	-1,6
1062	VT-sinSC(S-N)	GLOBAL	Force	Y Proj	0	0,26677	1,6	1,6
1062	VT-conSC(N-S)	GLOBAL	Force	Y Proj	0	0,26677	-2,38	-2,38
1062	VT-conSC(S-N)	GLOBAL	Force	Y Proj	0	0,26677	2,38	2,38
1062	VL-sinSC(O-E)	GLOBAL	Force	X Proj	0	0,26677	0,28	0,28
1062	VL-sinSC(E-O)	GLOBAL	Force	X Proj	0	0,26677	-0,28	-0,28
1062	VL-conSC(O-E)	GLOBAL	Force	X Proj	0	0,26677	0,41	0,41
1062	VL-conSC(E-O)	GLOBAL	Force	X Proj	0	0,26677	-0,41	-0,41
1063	CM	GLOBAL	Force	Gravity	0	0,26669	0,04	0,04
1063	VT-sinSC(N-S)	GLOBAL	Force	Y Proj	0	0,26669	-1,6	-1,6
1063	VT-sinSC(S-N)	GLOBAL	Force	Y Proj	0	0,26669	1,6	1,6

1063	VT-conSC(N-S)	GLOBAL	Force	Y Proj	0	0,26669	-2,38	-2,38
1063	VT-conSC(S-N)	GLOBAL	Force	Y Proj	0	0,26669	2,38	2,38
1063	VL-sinSC(O-E)	GLOBAL	Force	X Proj	0	0,26669	0,28	0,28
1063	VL-sinSC(E-O)	GLOBAL	Force	X Proj	0	0,26669	-0,28	-0,28
1063	VL-conSC(O-E)	GLOBAL	Force	X Proj	0	0,26669	0,41	0,41
1063	VL-conSC(E-O)	GLOBAL	Force	X Proj	0	0,26669	-0,41	-0,41
1065	CM	GLOBAL	Force	Gravity	0	0,26665	0,04	0,04
1065	VT-sinSC(N-S)	GLOBAL	Force	Y Proj	0	0,26665	-1,6	-1,6
1065	VT-sinSC(S-N)	GLOBAL	Force	Y Proj	0	0,26665	1,6	1,6
1065	VT-conSC(N-S)	GLOBAL	Force	Y Proj	0	0,26665	-2,38	-2,38
1065	VT-conSC(S-N)	GLOBAL	Force	Y Proj	0	0,26665	2,38	2,38
1065	VL-sinSC(O-E)	GLOBAL	Force	X Proj	0	0,26665	0,28	0,28
1065	VL-sinSC(E-O)	GLOBAL	Force	X Proj	0	0,26665	-0,28	-0,28
1065	VL-conSC(O-E)	GLOBAL	Force	X Proj	0	0,26665	0,41	0,41
1065	VL-conSC(E-O)	GLOBAL	Force	X Proj	0	0,26665	-0,41	-0,41
1066	CM	GLOBAL	Force	Gravity	0	0,26669	0,04	0,04
1066	VT-sinSC(N-S)	GLOBAL	Force	Y Proj	0	0,26669	-1,6	-1,6
1066	VT-sinSC(S-N)	GLOBAL	Force	Y Proj	0	0,26669	1,6	1,6
1066	VT-conSC(N-S)	GLOBAL	Force	Y Proj	0	0,26669	-2,38	-2,38
1066	VT-conSC(S-N)	GLOBAL	Force	Y Proj	0	0,26669	2,38	2,38
1066	VL-sinSC(O-E)	GLOBAL	Force	X Proj	0	0,26669	0,28	0,28
1066	VL-sinSC(E-O)	GLOBAL	Force	X Proj	0	0,26669	-0,28	-0,28
1066	VL-conSC(O-E)	GLOBAL	Force	X Proj	0	0,26669	0,41	0,41
1066	VL-conSC(E-O)	GLOBAL	Force	X Proj	0	0,26669	-0,41	-0,41
1067	CM	GLOBAL	Force	Gravity	0	0,26678	0,04	0,04
1067	VT-sinSC(N-S)	GLOBAL	Force	Y Proj	0	0,26678	-1,6	-1,6
1067	VT-sinSC(S-N)	GLOBAL	Force	Y Proj	0	0,26678	1,6	1,6
1067	VT-conSC(N-S)	GLOBAL	Force	Y Proj	0	0,26678	-2,38	-2,38
1067	VT-conSC(S-N)	GLOBAL	Force	Y Proj	0	0,26678	2,38	2,38
1067	VL-sinSC(O-E)	GLOBAL	Force	X Proj	0	0,26678	0,28	0,28
1067	VL-sinSC(E-O)	GLOBAL	Force	X Proj	0	0,26678	-0,28	-0,28
1067	VL-conSC(O-E)	GLOBAL	Force	X Proj	0	0,26678	0,41	0,41
1067	VL-conSC(E-O)	GLOBAL	Force	X Proj	0	0,26678	-0,41	-0,41
1068	CM	GLOBAL	Force	Gravity	0	0,26691	0,04	0,04
1068	VT-sinSC(N-S)	GLOBAL	Force	Y Proj	0	0,26691	-1,6	-1,6
1068	VT-sinSC(S-N)	GLOBAL	Force	Y Proj	0	0,26691	1,6	1,6
1068	VT-conSC(N-S)	GLOBAL	Force	Y Proj	0	0,26691	-2,38	-2,38
1068	VT-conSC(S-N)	GLOBAL	Force	Y Proj	0	0,26691	2,38	2,38
1068	VL-sinSC(O-E)	GLOBAL	Force	X Proj	0	0,26691	0,28	0,28



1068	VL-sinSC(E-O)	GLOBAL	Force	X Proj	0	0,26691	-0,28	-0,28
1068	VL-conSC(O-E)	GLOBAL	Force	X Proj	0	0,26691	0,41	0,41
1068	VL-conSC(E-O)	GLOBAL	Force	X Proj	0	0,26691	-0,41	-0,41
1069	CM	GLOBAL	Force	Gravity	0	0,26708	0,04	0,04
1069	VT-sinSC(N-S)	GLOBAL	Force	Y Proj	0	0,26708	-1,6	-1,6
1069	VT-sinSC(S-N)	GLOBAL	Force	Y Proj	0	0,26708	1,6	1,6
1069	VT-conSC(N-S)	GLOBAL	Force	Y Proj	0	0,26708	-2,38	-2,38
1069	VT-conSC(S-N)	GLOBAL	Force	Y Proj	0	0,26708	2,38	2,38
1069	VL-sinSC(O-E)	GLOBAL	Force	X Proj	0	0,26708	0,28	0,28
1069	VL-sinSC(E-O)	GLOBAL	Force	X Proj	0	0,26708	-0,28	-0,28
1069	VL-conSC(O-E)	GLOBAL	Force	X Proj	0	0,26708	0,41	0,41
1069	VL-conSC(E-O)	GLOBAL	Force	X Proj	0	0,26708	-0,41	-0,41
1071	CM	GLOBAL	Force	Gravity	0	0,26729	0,04	0,04
1071	VT-sinSC(N-S)	GLOBAL	Force	Y Proj	0	0,26729	-1,6	-1,6
1071	VT-sinSC(S-N)	GLOBAL	Force	Y Proj	0	0,26729	1,6	1,6
1071	VT-conSC(N-S)	GLOBAL	Force	Y Proj	0	0,26729	-2,38	-2,38
1071	VT-conSC(S-N)	GLOBAL	Force	Y Proj	0	0,26729	2,38	2,38
1071	VL-sinSC(O-E)	GLOBAL	Force	X Proj	0	0,26729	0,28	0,28
1071	VL-sinSC(E-O)	GLOBAL	Force	X Proj	0	0,26729	-0,28	-0,28
1071	VL-conSC(O-E)	GLOBAL	Force	X Proj	0	0,26729	0,41	0,41
1071	VL-conSC(E-O)	GLOBAL	Force	X Proj	0	0,26729	-0,41	-0,41
1072	CM	GLOBAL	Force	Gravity	0	0,2671	0,04	0,04
1072	VT-sinSC(N-S)	GLOBAL	Force	Y Proj	0	0,2671	-1,6	-1,6
1072	VT-sinSC(S-N)	GLOBAL	Force	Y Proj	0	0,2671	1,6	1,6
1072	VT-conSC(N-S)	GLOBAL	Force	Y Proj	0	0,2671	-2,38	-2,38
1072	VT-conSC(S-N)	GLOBAL	Force	Y Proj	0	0,2671	2,38	2,38
1072	VL-sinSC(O-E)	GLOBAL	Force	X Proj	0	0,2671	0,28	0,28
1072	VL-sinSC(E-O)	GLOBAL	Force	X Proj	0	0,2671	-0,28	-0,28
1072	VL-conSC(O-E)	GLOBAL	Force	X Proj	0	0,2671	0,41	0,41
1072	VL-conSC(E-O)	GLOBAL	Force	X Proj	0	0,2671	-0,41	-0,41
1073	CM	GLOBAL	Force	Gravity	0	0,26695	0,04	0,04
1073	VT-sinSC(N-S)	GLOBAL	Force	Y Proj	0	0,26695	-1,6	-1,6
1073	VT-sinSC(S-N)	GLOBAL	Force	Y Proj	0	0,26695	1,6	1,6
1073	VT-conSC(N-S)	GLOBAL	Force	Y Proj	0	0,26695	-2,38	-2,38
1073	VT-conSC(S-N)	GLOBAL	Force	Y Proj	0	0,26695	2,38	2,38
1073	VL-sinSC(O-E)	GLOBAL	Force	X Proj	0	0,26695	0,28	0,28
1073	VL-sinSC(E-O)	GLOBAL	Force	X Proj	0	0,26695	-0,28	-0,28
1073	VL-conSC(O-E)	GLOBAL	Force	X Proj	0	0,26695	0,41	0,41
1073	VL-conSC(E-O)	GLOBAL	Force	X Proj	0	0,26695	-0,41	-0,41

1074	CM	GLOBAL	Force	Gravity	0	0,26684	0,04	0,04
1074	VT-sinSC(N-S)	GLOBAL	Force	Y Proj	0	0,26684	-1,6	-1,6
1074	VT-sinSC(S-N)	GLOBAL	Force	Y Proj	0	0,26684	1,6	1,6
1074	VT-conSC(N-S)	GLOBAL	Force	Y Proj	0	0,26684	-2,38	-2,38
1074	VT-conSC(S-N)	GLOBAL	Force	Y Proj	0	0,26684	2,38	2,38
1074	VL-sinSC(O-E)	GLOBAL	Force	X Proj	0	0,26684	0,28	0,28
1074	VL-sinSC(E-O)	GLOBAL	Force	X Proj	0	0,26684	-0,28	-0,28
1074	VL-conSC(O-E)	GLOBAL	Force	X Proj	0	0,26684	0,41	0,41
1074	VL-conSC(E-O)	GLOBAL	Force	X Proj	0	0,26684	-0,41	-0,41
1075	CM	GLOBAL	Force	Gravity	0	0,26678	0,04	0,04
1075	VT-sinSC(N-S)	GLOBAL	Force	Y Proj	0	0,26678	-1,6	-1,6
1075	VT-sinSC(S-N)	GLOBAL	Force	Y Proj	0	0,26678	1,6	1,6
1075	VT-conSC(N-S)	GLOBAL	Force	Y Proj	0	0,26678	-2,38	-2,38
1075	VT-conSC(S-N)	GLOBAL	Force	Y Proj	0	0,26678	2,38	2,38
1075	VL-sinSC(O-E)	GLOBAL	Force	X Proj	0	0,26678	0,28	0,28
1075	VL-sinSC(E-O)	GLOBAL	Force	X Proj	0	0,26678	-0,28	-0,28
1075	VL-conSC(O-E)	GLOBAL	Force	X Proj	0	0,26678	0,41	0,41
1075	VL-conSC(E-O)	GLOBAL	Force	X Proj	0	0,26678	-0,41	-0,41
1077	CM	GLOBAL	Force	Gravity	0	0,26678	0,04	0,04
1077	VT-sinSC(N-S)	GLOBAL	Force	Y Proj	0	0,26678	-1,6	-1,6
1077	VT-sinSC(S-N)	GLOBAL	Force	Y Proj	0	0,26678	1,6	1,6
1077	VT-conSC(N-S)	GLOBAL	Force	Y Proj	0	0,26678	-2,38	-2,38
1077	VT-conSC(S-N)	GLOBAL	Force	Y Proj	0	0,26678	2,38	2,38
1077	VL-sinSC(O-E)	GLOBAL	Force	X Proj	0	0,26678	0,28	0,28
1077	VL-sinSC(E-O)	GLOBAL	Force	X Proj	0	0,26678	-0,28	-0,28
1077	VL-conSC(O-E)	GLOBAL	Force	X Proj	0	0,26678	0,41	0,41
1077	VL-conSC(E-O)	GLOBAL	Force	X Proj	0	0,26678	-0,41	-0,41
1078	CM	GLOBAL	Force	Gravity	0	0,26684	0,04	0,04
1078	VT-sinSC(N-S)	GLOBAL	Force	Y Proj	0	0,26684	-1,6	-1,6
1078	VT-sinSC(S-N)	GLOBAL	Force	Y Proj	0	0,26684	1,6	1,6
1078	VT-conSC(N-S)	GLOBAL	Force	Y Proj	0	0,26684	-2,38	-2,38
1078	VT-conSC(S-N)	GLOBAL	Force	Y Proj	0	0,26684	2,38	2,38
1078	VL-sinSC(O-E)	GLOBAL	Force	X Proj	0	0,26684	0,28	0,28
1078	VL-sinSC(E-O)	GLOBAL	Force	X Proj	0	0,26684	-0,28	-0,28
1078	VL-conSC(O-E)	GLOBAL	Force	X Proj	0	0,26684	0,41	0,41
1078	VL-conSC(E-O)	GLOBAL	Force	X Proj	0	0,26684	-0,41	-0,41
1079	CM	GLOBAL	Force	Gravity	0	0,26694	0,04	0,04
1079	VT-sinSC(N-S)	GLOBAL	Force	Y Proj	0	0,26694	-1,6	-1,6
1079	VT-sinSC(S-N)	GLOBAL	Force	Y Proj	0	0,26694	1,6	1,6



1079	VT-conSC(N-S)	GLOBAL	Force	Y Proj	0	0,26694	-2,38	-2,38
1079	VT-conSC(S-N)	GLOBAL	Force	Y Proj	0	0,26694	2,38	2,38
1079	VL-sinSC(O-E)	GLOBAL	Force	X Proj	0	0,26694	0,28	0,28
1079	VL-sinSC(E-O)	GLOBAL	Force	X Proj	0	0,26694	-0,28	-0,28
1079	VL-conSC(O-E)	GLOBAL	Force	X Proj	0	0,26694	0,41	0,41
1079	VL-conSC(E-O)	GLOBAL	Force	X Proj	0	0,26694	-0,41	-0,41
1080	CM	GLOBAL	Force	Gravity	0	0,26709	0,04	0,04
1080	VT-sinSC(N-S)	GLOBAL	Force	Y Proj	0	0,26709	-1,6	-1,6
1080	VT-sinSC(S-N)	GLOBAL	Force	Y Proj	0	0,26709	1,6	1,6
1080	VT-conSC(N-S)	GLOBAL	Force	Y Proj	0	0,26709	-2,38	-2,38
1080	VT-conSC(S-N)	GLOBAL	Force	Y Proj	0	0,26709	2,38	2,38
1080	VL-sinSC(O-E)	GLOBAL	Force	X Proj	0	0,26709	0,28	0,28
1080	VL-sinSC(E-O)	GLOBAL	Force	X Proj	0	0,26709	-0,28	-0,28
1080	VL-conSC(O-E)	GLOBAL	Force	X Proj	0	0,26709	0,41	0,41
1080	VL-conSC(E-O)	GLOBAL	Force	X Proj	0	0,26709	-0,41	-0,41
1081	CM	GLOBAL	Force	Gravity	0	0,26728	0,04	0,04
1081	VT-sinSC(N-S)	GLOBAL	Force	Y Proj	0	0,26728	-1,6	-1,6
1081	VT-sinSC(S-N)	GLOBAL	Force	Y Proj	0	0,26728	1,6	1,6
1081	VT-conSC(N-S)	GLOBAL	Force	Y Proj	0	0,26728	-2,38	-2,38
1081	VT-conSC(S-N)	GLOBAL	Force	Y Proj	0	0,26728	2,38	2,38
1081	VL-sinSC(O-E)	GLOBAL	Force	X Proj	0	0,26728	0,28	0,28
1081	VL-sinSC(E-O)	GLOBAL	Force	X Proj	0	0,26728	-0,28	-0,28
1081	VL-conSC(O-E)	GLOBAL	Force	X Proj	0	0,26728	0,41	0,41
1081	VL-conSC(E-O)	GLOBAL	Force	X Proj	0	0,26728	-0,41	-0,41
1082	CM	GLOBAL	Force	Gravity	0	0,32863	0,04	0,04
1082	VT-sinSC(N-S)	GLOBAL	Force	Y Proj	0	0,32863	-1,6	-1,6
1082	VT-sinSC(S-N)	GLOBAL	Force	Y Proj	0	0,32863	1,6	1,6
1082	VT-conSC(N-S)	GLOBAL	Force	Y Proj	0	0,32863	-2,38	-2,38
1082	VT-conSC(S-N)	GLOBAL	Force	Y Proj	0	0,32863	2,38	2,38
1082	VL-sinSC(O-E)	GLOBAL	Force	X Proj	0	0,32863	0,28	0,28
1082	VL-sinSC(E-O)	GLOBAL	Force	X Proj	0	0,32863	-0,28	-0,28
1082	VL-conSC(O-E)	GLOBAL	Force	X Proj	0	0,32863	0,41	0,41
1082	VL-conSC(E-O)	GLOBAL	Force	X Proj	0	0,32863	-0,41	-0,41
1083	CM	GLOBAL	Force	Gravity	0	0,32842	0,04	0,04
1083	VT-sinSC(N-S)	GLOBAL	Force	Y Proj	0	0,32842	-1,6	-1,6
1083	VT-sinSC(S-N)	GLOBAL	Force	Y Proj	0	0,32842	1,6	1,6
1083	VT-conSC(N-S)	GLOBAL	Force	Y Proj	0	0,32842	-2,38	-2,38
1083	VT-conSC(S-N)	GLOBAL	Force	Y Proj	0	0,32842	2,38	2,38
1083	VL-sinSC(O-E)	GLOBAL	Force	X Proj	0	0,32842	0,28	0,28

1083	VL-sinSC(E-O)	GLOBAL	Force	X Proj	0	0,32842	-0,28	-0,28
1083	VL-conSC(O-E)	GLOBAL	Force	X Proj	0	0,32842	0,41	0,41
1083	VL-conSC(E-O)	GLOBAL	Force	X Proj	0	0,32842	-0,41	-0,41
1084	CM	GLOBAL	Force	Gravity	0	0,32825	0,04	0,04
1084	VT-sinSC(N-S)	GLOBAL	Force	Y Proj	0	0,32825	-1,6	-1,6
1084	VT-sinSC(S-N)	GLOBAL	Force	Y Proj	0	0,32825	1,6	1,6
1084	VT-conSC(N-S)	GLOBAL	Force	Y Proj	0	0,32825	-2,38	-2,38
1084	VT-conSC(S-N)	GLOBAL	Force	Y Proj	0	0,32825	2,38	2,38
1084	VL-sinSC(O-E)	GLOBAL	Force	X Proj	0	0,32825	0,28	0,28
1084	VL-sinSC(E-O)	GLOBAL	Force	X Proj	0	0,32825	-0,28	-0,28
1084	VL-conSC(O-E)	GLOBAL	Force	X Proj	0	0,32825	0,41	0,41
1084	VL-conSC(E-O)	GLOBAL	Force	X Proj	0	0,32825	-0,41	-0,41
1085	CM	GLOBAL	Force	Gravity	0	0,32813	0,04	0,04
1085	VT-sinSC(N-S)	GLOBAL	Force	Y Proj	0	0,32813	-1,6	-1,6
1085	VT-sinSC(S-N)	GLOBAL	Force	Y Proj	0	0,32813	1,6	1,6
1085	VT-conSC(N-S)	GLOBAL	Force	Y Proj	0	0,32813	-2,38	-2,38
1085	VT-conSC(S-N)	GLOBAL	Force	Y Proj	0	0,32813	2,38	2,38
1085	VL-sinSC(O-E)	GLOBAL	Force	X Proj	0	0,32813	0,28	0,28
1085	VL-sinSC(E-O)	GLOBAL	Force	X Proj	0	0,32813	-0,28	-0,28
1085	VL-conSC(O-E)	GLOBAL	Force	X Proj	0	0,32813	0,41	0,41
1085	VL-conSC(E-O)	GLOBAL	Force	X Proj	0	0,32813	-0,41	-0,41
1086	CM	GLOBAL	Force	Gravity	0	0,32807	0,04	0,04
1086	VT-sinSC(N-S)	GLOBAL	Force	Y Proj	0	0,32807	-1,6	-1,6
1086	VT-sinSC(S-N)	GLOBAL	Force	Y Proj	0	0,32807	1,6	1,6
1086	VT-conSC(N-S)	GLOBAL	Force	Y Proj	0	0,32807	-2,38	-2,38
1086	VT-conSC(S-N)	GLOBAL	Force	Y Proj	0	0,32807	2,38	2,38
1086	VL-sinSC(O-E)	GLOBAL	Force	X Proj	0	0,32807	0,28	0,28
1086	VL-sinSC(E-O)	GLOBAL	Force	X Proj	0	0,32807	-0,28	-0,28
1086	VL-conSC(O-E)	GLOBAL	Force	X Proj	0	0,32807	0,41	0,41
1086	VL-conSC(E-O)	GLOBAL	Force	X Proj	0	0,32807	-0,41	-0,41
1088	CM	GLOBAL	Force	Gravity	0	0,32809	0,04	0,04
1088	VT-sinSC(N-S)	GLOBAL	Force	Y Proj	0	0,32809	-1,6	-1,6
1088	VT-sinSC(S-N)	GLOBAL	Force	Y Proj	0	0,32809	1,6	1,6
1088	VT-conSC(N-S)	GLOBAL	Force	Y Proj	0	0,32809	-2,38	-2,38
1088	VT-conSC(S-N)	GLOBAL	Force	Y Proj	0	0,32809	2,38	2,38
1088	VL-sinSC(O-E)	GLOBAL	Force	X Proj	0	0,32809	0,28	0,28
1088	VL-sinSC(E-O)	GLOBAL	Force	X Proj	0	0,32809	-0,28	-0,28
1088	VL-conSC(O-E)	GLOBAL	Force	X Proj	0	0,32809	0,41	0,41
1088	VL-conSC(E-O)	GLOBAL	Force	X Proj	0	0,32809	-0,41	-0,41



1089	CM	GLOBAL	Force	Gravity	0	0,32818	0,04	0,04
1089	VT-sinSC(N-S)	GLOBAL	Force	Y Proj	0	0,32818	-1,6	-1,6
1089	VT-sinSC(S-N)	GLOBAL	Force	Y Proj	0	0,32818	1,6	1,6
1089	VT-conSC(N-S)	GLOBAL	Force	Y Proj	0	0,32818	-2,38	-2,38
1089	VT-conSC(S-N)	GLOBAL	Force	Y Proj	0	0,32818	2,38	2,38
1089	VL-sinSC(O-E)	GLOBAL	Force	X Proj	0	0,32818	0,28	0,28
1089	VL-sinSC(E-O)	GLOBAL	Force	X Proj	0	0,32818	-0,28	-0,28
1089	VL-conSC(O-E)	GLOBAL	Force	X Proj	0	0,32818	0,41	0,41
1089	VL-conSC(E-O)	GLOBAL	Force	X Proj	0	0,32818	-0,41	-0,41
1090	CM	GLOBAL	Force	Gravity	0	0,32832	0,04	0,04
1090	VT-sinSC(N-S)	GLOBAL	Force	Y Proj	0	0,32832	-1,6	-1,6
1090	VT-sinSC(S-N)	GLOBAL	Force	Y Proj	0	0,32832	1,6	1,6
1090	VT-conSC(N-S)	GLOBAL	Force	Y Proj	0	0,32832	-2,38	-2,38
1090	VT-conSC(S-N)	GLOBAL	Force	Y Proj	0	0,32832	2,38	2,38
1090	VL-sinSC(O-E)	GLOBAL	Force	X Proj	0	0,32832	0,28	0,28
1090	VL-sinSC(E-O)	GLOBAL	Force	X Proj	0	0,32832	-0,28	-0,28
1090	VL-conSC(O-E)	GLOBAL	Force	X Proj	0	0,32832	0,41	0,41
1090	VL-conSC(E-O)	GLOBAL	Force	X Proj	0	0,32832	-0,41	-0,41
1091	CM	GLOBAL	Force	Gravity	0	0,32851	0,04	0,04
1091	VT-sinSC(N-S)	GLOBAL	Force	Y Proj	0	0,32851	-1,6	-1,6
1091	VT-sinSC(S-N)	GLOBAL	Force	Y Proj	0	0,32851	1,6	1,6
1091	VT-conSC(N-S)	GLOBAL	Force	Y Proj	0	0,32851	-2,38	-2,38
1091	VT-conSC(S-N)	GLOBAL	Force	Y Proj	0	0,32851	2,38	2,38
1091	VL-sinSC(O-E)	GLOBAL	Force	X Proj	0	0,32851	0,28	0,28
1091	VL-sinSC(E-O)	GLOBAL	Force	X Proj	0	0,32851	-0,28	-0,28
1091	VL-conSC(O-E)	GLOBAL	Force	X Proj	0	0,32851	0,41	0,41
1091	VL-conSC(E-O)	GLOBAL	Force	X Proj	0	0,32851	-0,41	-0,41
1092	CM	GLOBAL	Force	Gravity	0	0,32871	0,04	0,04
1092	VT-sinSC(N-S)	GLOBAL	Force	Y Proj	0	0,32871	-1,6	-1,6
1092	VT-sinSC(S-N)	GLOBAL	Force	Y Proj	0	0,32871	1,6	1,6
1092	VT-conSC(N-S)	GLOBAL	Force	Y Proj	0	0,32871	-2,38	-2,38
1092	VT-conSC(S-N)	GLOBAL	Force	Y Proj	0	0,32871	2,38	2,38
1092	VL-sinSC(O-E)	GLOBAL	Force	X Proj	0	0,32871	0,28	0,28
1092	VL-sinSC(E-O)	GLOBAL	Force	X Proj	0	0,32871	-0,28	-0,28
1092	VL-conSC(O-E)	GLOBAL	Force	X Proj	0	0,32871	0,41	0,41
1092	VL-conSC(E-O)	GLOBAL	Force	X Proj	0	0,32871	-0,41	-0,41
1094	CM	GLOBAL	Force	Gravity	0	0,32826	0,04	0,04
1094	VT-sinSC(N-S)	GLOBAL	Force	Y Proj	0	0,32826	-1,6	-1,6
1094	VT-sinSC(S-N)	GLOBAL	Force	Y Proj	0	0,32826	1,6	1,6

1094	VT-conSC(N-S)	GLOBAL	Force	Y Proj	0	0,32826	-2,38	-2,38
1094	VT-conSC(S-N)	GLOBAL	Force	Y Proj	0	0,32826	2,38	2,38
1094	VL-sinSC(O-E)	GLOBAL	Force	X Proj	0	0,32826	0,28	0,28
1094	VL-sinSC(E-O)	GLOBAL	Force	X Proj	0	0,32826	-0,28	-0,28
1094	VL-conSC(O-E)	GLOBAL	Force	X Proj	0	0,32826	0,41	0,41
1094	VL-conSC(E-O)	GLOBAL	Force	X Proj	0	0,32826	-0,41	-0,41
1095	CM	GLOBAL	Force	Gravity	0	0,32806	0,04	0,04
1095	VT-sinSC(N-S)	GLOBAL	Force	Y Proj	0	0,32806	-1,6	-1,6
1095	VT-sinSC(S-N)	GLOBAL	Force	Y Proj	0	0,32806	1,6	1,6
1095	VT-conSC(N-S)	GLOBAL	Force	Y Proj	0	0,32806	-2,38	-2,38
1095	VT-conSC(S-N)	GLOBAL	Force	Y Proj	0	0,32806	2,38	2,38
1095	VL-sinSC(O-E)	GLOBAL	Force	X Proj	0	0,32806	0,28	0,28
1095	VL-sinSC(E-O)	GLOBAL	Force	X Proj	0	0,32806	-0,28	-0,28
1095	VL-conSC(O-E)	GLOBAL	Force	X Proj	0	0,32806	0,41	0,41
1095	VL-conSC(E-O)	GLOBAL	Force	X Proj	0	0,32806	-0,41	-0,41
1096	CM	GLOBAL	Force	Gravity	0	0,32792	0,04	0,04
1096	VT-sinSC(N-S)	GLOBAL	Force	Y Proj	0	0,32792	-1,6	-1,6
1096	VT-sinSC(S-N)	GLOBAL	Force	Y Proj	0	0,32792	1,6	1,6
1096	VT-conSC(N-S)	GLOBAL	Force	Y Proj	0	0,32792	-2,38	-2,38
1096	VT-conSC(S-N)	GLOBAL	Force	Y Proj	0	0,32792	2,38	2,38
1096	VL-sinSC(O-E)	GLOBAL	Force	X Proj	0	0,32792	0,28	0,28
1096	VL-sinSC(E-O)	GLOBAL	Force	X Proj	0	0,32792	-0,28	-0,28
1096	VL-conSC(O-E)	GLOBAL	Force	X Proj	0	0,32792	0,41	0,41
1096	VL-conSC(E-O)	GLOBAL	Force	X Proj	0	0,32792	-0,41	-0,41
1097	CM	GLOBAL	Force	Gravity	0	0,32783	0,04	0,04
1097	VT-sinSC(N-S)	GLOBAL	Force	Y Proj	0	0,32783	-1,6	-1,6
1097	VT-sinSC(S-N)	GLOBAL	Force	Y Proj	0	0,32783	1,6	1,6
1097	VT-conSC(N-S)	GLOBAL	Force	Y Proj	0	0,32783	-2,38	-2,38
1097	VT-conSC(S-N)	GLOBAL	Force	Y Proj	0	0,32783	2,38	2,38
1097	VL-sinSC(O-E)	GLOBAL	Force	X Proj	0	0,32783	0,28	0,28
1097	VL-sinSC(E-O)	GLOBAL	Force	X Proj	0	0,32783	-0,28	-0,28
1097	VL-conSC(O-E)	GLOBAL	Force	X Proj	0	0,32783	0,41	0,41
1097	VL-conSC(E-O)	GLOBAL	Force	X Proj	0	0,32783	-0,41	-0,41
1098	CM	GLOBAL	Force	Gravity	0	0,32778	0,04	0,04
1098	VT-sinSC(N-S)	GLOBAL	Force	Y Proj	0	0,32778	-1,6	-1,6
1098	VT-sinSC(S-N)	GLOBAL	Force	Y Proj	0	0,32778	1,6	1,6
1098	VT-conSC(N-S)	GLOBAL	Force	Y Proj	0	0,32778	-2,38	-2,38
1098	VT-conSC(S-N)	GLOBAL	Force	Y Proj	0	0,32778	2,38	2,38
1098	VL-sinSC(O-E)	GLOBAL	Force	X Proj	0	0,32778	0,28	0,28



1098	VL-sinSC(E-O)	GLOBAL	Force	X Proj	0	0,32778	-0,28	-0,28
1098	VL-conSC(O-E)	GLOBAL	Force	X Proj	0	0,32778	0,41	0,41
1098	VL-conSC(E-O)	GLOBAL	Force	X Proj	0	0,32778	-0,41	-0,41
1100	CM	GLOBAL	Force	Gravity	0	0,32785	0,04	0,04
1100	VT-sinSC(N-S)	GLOBAL	Force	Y Proj	0	0,32785	-1,6	-1,6
1100	VT-sinSC(S-N)	GLOBAL	Force	Y Proj	0	0,32785	1,6	1,6
1100	VT-conSC(N-S)	GLOBAL	Force	Y Proj	0	0,32785	-2,38	-2,38
1100	VT-conSC(S-N)	GLOBAL	Force	Y Proj	0	0,32785	2,38	2,38
1100	VL-sinSC(O-E)	GLOBAL	Force	X Proj	0	0,32785	0,28	0,28
1100	VL-sinSC(E-O)	GLOBAL	Force	X Proj	0	0,32785	-0,28	-0,28
1100	VL-conSC(O-E)	GLOBAL	Force	X Proj	0	0,32785	0,41	0,41
1100	VL-conSC(E-O)	GLOBAL	Force	X Proj	0	0,32785	-0,41	-0,41
1101	CM	GLOBAL	Force	Gravity	0	0,32796	0,04	0,04
1101	VT-sinSC(N-S)	GLOBAL	Force	Y Proj	0	0,32796	-1,6	-1,6
1101	VT-sinSC(S-N)	GLOBAL	Force	Y Proj	0	0,32796	1,6	1,6
1101	VT-conSC(N-S)	GLOBAL	Force	Y Proj	0	0,32796	-2,38	-2,38
1101	VT-conSC(S-N)	GLOBAL	Force	Y Proj	0	0,32796	2,38	2,38
1101	VL-sinSC(O-E)	GLOBAL	Force	X Proj	0	0,32796	0,28	0,28
1101	VL-sinSC(E-O)	GLOBAL	Force	X Proj	0	0,32796	-0,28	-0,28
1101	VL-conSC(O-E)	GLOBAL	Force	X Proj	0	0,32796	0,41	0,41
1101	VL-conSC(E-O)	GLOBAL	Force	X Proj	0	0,32796	-0,41	-0,41
1102	CM	GLOBAL	Force	Gravity	0	0,32813	0,04	0,04
1102	VT-sinSC(N-S)	GLOBAL	Force	Y Proj	0	0,32813	-1,6	-1,6
1102	VT-sinSC(S-N)	GLOBAL	Force	Y Proj	0	0,32813	1,6	1,6
1102	VT-conSC(N-S)	GLOBAL	Force	Y Proj	0	0,32813	-2,38	-2,38
1102	VT-conSC(S-N)	GLOBAL	Force	Y Proj	0	0,32813	2,38	2,38
1102	VL-sinSC(O-E)	GLOBAL	Force	X Proj	0	0,32813	0,28	0,28
1102	VL-sinSC(E-O)	GLOBAL	Force	X Proj	0	0,32813	-0,28	-0,28
1102	VL-conSC(O-E)	GLOBAL	Force	X Proj	0	0,32813	0,41	0,41
1102	VL-conSC(E-O)	GLOBAL	Force	X Proj	0	0,32813	-0,41	-0,41
1103	CM	GLOBAL	Force	Gravity	0	0,32834	0,04	0,04
1103	VT-sinSC(S-N)	GLOBAL	Force	Y Proj	0	0,32834	1,6	1,6
1103	VT-conSC(N-S)	GLOBAL	Force	Y Proj	0	0,32834	-2,38	-2,38
1103	VT-conSC(S-N)	GLOBAL	Force	Y Proj	0	0,32834	2,38	2,38
1103	VL-sinSC(O-E)	GLOBAL	Force	X Proj	0	0,32834	0,28	0,28
1103	VL-sinSC(E-O)	GLOBAL	Force	X Proj	0	0,32834	-0,28	-0,28
1103	VL-conSC(O-E)	GLOBAL	Force	X Proj	0	0,32834	0,41	0,41
1103	VL-conSC(E-O)	GLOBAL	Force	X Proj	0	0,32834	-0,41	-0,41
1104	CM	GLOBAL	Force	Gravity	0	0,32861	0,04	0,04

1104	VT-sinSC(S-N)	GLOBAL	Force	Y Proj	0	0,32861	1,6	1,6
1104	VT-conSC(N-S)	GLOBAL	Force	Y Proj	0	0,32861	-2,38	-2,38
1104	VT-conSC(S-N)	GLOBAL	Force	Y Proj	0	0,32861	2,38	2,38
1104	VL-sinSC(O-E)	GLOBAL	Force	X Proj	0	0,32861	0,28	0,28
1104	VL-sinSC(E-O)	GLOBAL	Force	X Proj	0	0,32861	-0,28	-0,28
1104	VL-conSC(O-E)	GLOBAL	Force	X Proj	0	0,32861	0,41	0,41
1104	VL-conSC(E-O)	GLOBAL	Force	X Proj	0	0,32861	-0,41	-0,41
1105	PPforjado	GLOBAL	Force	Gravity	0	2,49986	4	4
1105	SC_3	GLOBAL	Force	Gravity	0	2,49986	8	8
1106	PPforjado	GLOBAL	Force	Gravity	0	2,49981	4	4
1106	SC_3	GLOBAL	Force	Gravity	0	2,49981	8	8
1107	PPforjado	GLOBAL	Force	Gravity	0	2,49986	4	4
1107	SC_3	GLOBAL	Force	Gravity	0	2,49986	8	8
1108	CM	GLOBAL	Force	Gravity	0	0,75	0,04	0,04
1108	VT-sinSC(N-S)	GLOBAL	Force	Y Proj	0	0,75	-1,6	-1,6
1108	VT-conSC(N-S)	GLOBAL	Force	Y Proj	0	0,75	-2,38	-2,38
1108	VT-conSC(S-N)	GLOBAL	Force	Y Proj	0	0,75	2,38	2,38
1108	VL-sinSC(O-E)	GLOBAL	Force	X Proj	0	0,75	0,28	0,28
1108	VL-sinSC(E-O)	GLOBAL	Force	X Proj	0	0,75	-0,28	-0,28
1108	VL-conSC(O-E)	GLOBAL	Force	X Proj	0	0,75	0,41	0,41
1108	VL-conSC(E-O)	GLOBAL	Force	X Proj	0	0,75	-0,41	-0,41
1108	VT-sinSC(S-N)	GLOBAL	Force	Y Proj	0	0,75	1,6	1,6
1111	VT-sinSC(N-S)	GLOBAL	Force	Y Proj	0	1,97909	-1,6	-1,6
1111	VT-sinSC(S-N)	GLOBAL	Force	Y Proj	0	1,97909	1,6	1,6
1111	VT-conSC(N-S)	GLOBAL	Force	Y Proj	0	1,97909	-2,38	-2,38
1111	VT-conSC(S-N)	GLOBAL	Force	Y Proj	0	1,97909	2,38	2,38
1111	VL-sinSC(O-E)	GLOBAL	Force	X Proj	0	1,97909	0,28	0,28
1111	VL-sinSC(E-O)	GLOBAL	Force	X Proj	0	1,97909	-0,28	-0,28
1111	VL-conSC(O-E)	GLOBAL	Force	X Proj	0	1,97909	0,41	0,41
1111	VL-conSC(E-O)	GLOBAL	Force	X Proj	0	1,97909	-0,41	-0,41
1111	CM	GLOBAL	Force	Gravity	0	1,97909	0,04	0,04
1112	VT-sinSC(N-S)	GLOBAL	Force	Y Proj	0	1,97909	-1,6	-1,6
1112	VT-sinSC(S-N)	GLOBAL	Force	Y Proj	0	1,97909	1,6	1,6
1112	VT-conSC(N-S)	GLOBAL	Force	Y Proj	0	1,97909	-2,38	-2,38
1112	VT-conSC(S-N)	GLOBAL	Force	Y Proj	0	1,97909	2,38	2,38
1112	VL-sinSC(O-E)	GLOBAL	Force	X Proj	0	1,97909	0,28	0,28
1112	VL-sinSC(E-O)	GLOBAL	Force	X Proj	0	1,97909	-0,28	-0,28
1112	VL-conSC(O-E)	GLOBAL	Force	X Proj	0	1,97909	0,41	0,41
1112	VL-conSC(E-O)	GLOBAL	Force	X Proj	0	1,97909	-0,41	-0,41



1112	CM	GLOBAL	Force	Gravity	0	1,97909	0,04	0,04
1113	VT-sinSC(N-S)	GLOBAL	Force	Y Proj	0	1,97909	-1,6	-1,6
1113	VT-sinSC(S-N)	GLOBAL	Force	Y Proj	0	1,97909	1,6	1,6
1113	VT-conSC(N-S)	GLOBAL	Force	Y Proj	0	1,97909	-2,38	-2,38
1113	VT-conSC(S-N)	GLOBAL	Force	Y Proj	0	1,97909	2,38	2,38
1113	VL-sinSC(O-E)	GLOBAL	Force	X Proj	0	1,97909	0,28	0,28
1113	VL-sinSC(E-O)	GLOBAL	Force	X Proj	0	1,97909	-0,28	-0,28
1113	VL-conSC(O-E)	GLOBAL	Force	X Proj	0	1,97909	0,41	0,41
1113	VL-conSC(E-O)	GLOBAL	Force	X Proj	0	1,97909	-0,41	-0,41
1113	CM	GLOBAL	Force	Gravity	0	1,97909	0,04	0,04
1114	VT-sinSC(N-S)	GLOBAL	Force	Y Proj	0	1,97909	-1,6	-1,6
1114	VT-sinSC(S-N)	GLOBAL	Force	Y Proj	0	1,97909	1,6	1,6
1114	VT-conSC(N-S)	GLOBAL	Force	Y Proj	0	1,97909	-2,38	-2,38
1114	VT-conSC(S-N)	GLOBAL	Force	Y Proj	0	1,97909	2,38	2,38
1114	VL-sinSC(O-E)	GLOBAL	Force	X Proj	0	1,97909	0,28	0,28
1114	VL-sinSC(E-O)	GLOBAL	Force	X Proj	0	1,97909	-0,28	-0,28
1114	VL-conSC(O-E)	GLOBAL	Force	X Proj	0	1,97909	0,41	0,41
1114	VL-conSC(E-O)	GLOBAL	Force	X Proj	0	1,97909	-0,41	-0,41
1114	CM	GLOBAL	Force	Gravity	0	1,97909	0,04	0,04
1115	VT-sinSC(N-S)	GLOBAL	Force	Y Proj	0	1,97909	-1,6	-1,6
1115	VT-sinSC(S-N)	GLOBAL	Force	Y Proj	0	1,97909	1,6	1,6
1115	VT-conSC(N-S)	GLOBAL	Force	Y Proj	0	1,97909	-2,38	-2,38
1115	VT-conSC(S-N)	GLOBAL	Force	Y Proj	0	1,97909	2,38	2,38
1115	VL-sinSC(O-E)	GLOBAL	Force	X Proj	0	1,97909	0,28	0,28
1115	VL-sinSC(E-O)	GLOBAL	Force	X Proj	0	1,97909	-0,28	-0,28
1115	VL-conSC(O-E)	GLOBAL	Force	X Proj	0	1,97909	0,41	0,41
1115	VL-conSC(E-O)	GLOBAL	Force	X Proj	0	1,97909	-0,41	-0,41
1115	CM	GLOBAL	Force	Gravity	0	1,97909	0,04	0,04
1116	VT-sinSC(N-S)	GLOBAL	Force	Y Proj	0	1,97909	-1,6	-1,6
1116	VT-sinSC(S-N)	GLOBAL	Force	Y Proj	0	1,97909	1,6	1,6
1116	VT-conSC(N-S)	GLOBAL	Force	Y Proj	0	1,97909	-2,38	-2,38
1116	VT-conSC(S-N)	GLOBAL	Force	Y Proj	0	1,97909	2,38	2,38
1116	VL-sinSC(O-E)	GLOBAL	Force	X Proj	0	1,97909	0,28	0,28
1116	VL-sinSC(E-O)	GLOBAL	Force	X Proj	0	1,97909	-0,28	-0,28
1116	VL-conSC(O-E)	GLOBAL	Force	X Proj	0	1,97909	0,41	0,41
1116	VL-conSC(E-O)	GLOBAL	Force	X Proj	0	1,97909	-0,41	-0,41
1116	CM	GLOBAL	Force	Gravity	0	1,97909	0,04	0,04
1117	VT-sinSC(N-S)	GLOBAL	Force	Y Proj	0	1,97909	-1,6	-1,6
1117	VT-sinSC(S-N)	GLOBAL	Force	Y Proj	0	1,97909	1,6	1,6

1117	VT-conSC(N-S)	GLOBAL	Force	Y Proj	0	1,97909	-2,38	-2,38
1117	VT-conSC(S-N)	GLOBAL	Force	Y Proj	0	1,97909	2,38	2,38
1117	VL-sinSC(O-E)	GLOBAL	Force	X Proj	0	1,97909	0,28	0,28
1117	VL-sinSC(E-O)	GLOBAL	Force	X Proj	0	1,97909	-0,28	-0,28
1117	VL-conSC(O-E)	GLOBAL	Force	X Proj	0	1,97909	0,41	0,41
1117	VL-conSC(E-O)	GLOBAL	Force	X Proj	0	1,97909	-0,41	-0,41
1117	CM	GLOBAL	Force	Gravity	0	1,97909	0,04	0,04
1118	VT-sinSC(N-S)	GLOBAL	Force	Y Proj	0	1,97909	-1,6	-1,6
1118	VT-sinSC(S-N)	GLOBAL	Force	Y Proj	0	1,97909	1,6	1,6
1118	VT-conSC(N-S)	GLOBAL	Force	Y Proj	0	1,97909	-2,38	-2,38
1118	VT-conSC(S-N)	GLOBAL	Force	Y Proj	0	1,97909	2,38	2,38
1118	VL-sinSC(O-E)	GLOBAL	Force	X Proj	0	1,97909	0,28	0,28
1118	VL-sinSC(E-O)	GLOBAL	Force	X Proj	0	1,97909	-0,28	-0,28
1118	VL-conSC(O-E)	GLOBAL	Force	X Proj	0	1,97909	0,41	0,41
1118	VL-conSC(E-O)	GLOBAL	Force	X Proj	0	1,97909	-0,41	-0,41
1118	CM	GLOBAL	Force	Gravity	0	1,97909	0,04	0,04
1119	VT-sinSC(N-S)	GLOBAL	Force	Y Proj	0	1,97909	-1,6	-1,6
1119	VT-sinSC(S-N)	GLOBAL	Force	Y Proj	0	1,97909	1,6	1,6
1119	VT-conSC(N-S)	GLOBAL	Force	Y Proj	0	1,97909	-2,38	-2,38
1119	VT-conSC(S-N)	GLOBAL	Force	Y Proj	0	1,97909	2,38	2,38
1119	VL-sinSC(O-E)	GLOBAL	Force	X Proj	0	1,97909	0,28	0,28
1119	VL-sinSC(E-O)	GLOBAL	Force	X Proj	0	1,97909	-0,28	-0,28
1119	VL-conSC(O-E)	GLOBAL	Force	X Proj	0	1,97909	0,41	0,41
1119	VL-conSC(E-O)	GLOBAL	Force	X Proj	0	1,97909	-0,41	-0,41
1119	CM	GLOBAL	Force	Gravity	0	1,97909	0,04	0,04
1120	VT-sinSC(N-S)	GLOBAL	Force	Y Proj	0	1,97909	-1,6	-1,6
1120	VT-sinSC(S-N)	GLOBAL	Force	Y Proj	0	1,97909	1,6	1,6
1120	VT-conSC(N-S)	GLOBAL	Force	Y Proj	0	1,97909	-2,38	-2,38
1120	VT-conSC(S-N)	GLOBAL	Force	Y Proj	0	1,97909	2,38	2,38
1120	VL-sinSC(O-E)	GLOBAL	Force	X Proj	0	1,97909	0,28	0,28
1120	VL-sinSC(E-O)	GLOBAL	Force	X Proj	0	1,97909	-0,28	-0,28
1120	VL-conSC(O-E)	GLOBAL	Force	X Proj	0	1,97909	0,41	0,41
1120	VL-conSC(E-O)	GLOBAL	Force	X Proj	0	1,97909	-0,41	-0,41
1120	CM	GLOBAL	Force	Gravity	0	1,97909	0,04	0,04
1121	VT-sinSC(N-S)	GLOBAL	Force	Y Proj	0	1,97909	-1,6	-1,6
1121	VT-sinSC(S-N)	GLOBAL	Force	Y Proj	0	1,97909	1,6	1,6
1121	VT-conSC(N-S)	GLOBAL	Force	Y Proj	0	1,97909	-2,38	-2,38
1121	VT-conSC(S-N)	GLOBAL	Force	Y Proj	0	1,97909	2,38	2,38
1121	VL-sinSC(O-E)	GLOBAL	Force	X Proj	0	1,97909	0,28	0,28



1121	VL-sinSC(E-O)	GLOBAL	Force	X Proj	0	1,97909	-0,28	-0,28
1121	VL-conSC(O-E)	GLOBAL	Force	X Proj	0	1,97909	0,41	0,41
1121	VL-conSC(E-O)	GLOBAL	Force	X Proj	0	1,97909	-0,41	-0,41
1121	CM	GLOBAL	Force	Gravity	0	1,97909	0,04	0,04
1122	VT-sinSC(N-S)	GLOBAL	Force	Y Proj	0	1,97909	-1,6	-1,6
1122	VT-sinSC(S-N)	GLOBAL	Force	Y Proj	0	1,97909	1,6	1,6
1122	VT-conSC(N-S)	GLOBAL	Force	Y Proj	0	1,97909	-2,38	-2,38
1122	VT-conSC(S-N)	GLOBAL	Force	Y Proj	0	1,97909	2,38	2,38
1122	VL-sinSC(O-E)	GLOBAL	Force	X Proj	0	1,97909	0,28	0,28
1122	VL-sinSC(E-O)	GLOBAL	Force	X Proj	0	1,97909	-0,28	-0,28
1122	VL-conSC(O-E)	GLOBAL	Force	X Proj	0	1,97909	0,41	0,41
1122	VL-conSC(E-O)	GLOBAL	Force	X Proj	0	1,97909	-0,41	-0,41
1122	CM	GLOBAL	Force	Gravity	0	1,97909	0,04	0,04
1123	VT-sinSC(N-S)	GLOBAL	Force	Y Proj	0	1,97909	-1,6	-1,6
1123	VT-sinSC(S-N)	GLOBAL	Force	Y Proj	0	1,97909	1,6	1,6
1123	VT-conSC(N-S)	GLOBAL	Force	Y Proj	0	1,97909	-2,38	-2,38
1123	VT-conSC(S-N)	GLOBAL	Force	Y Proj	0	1,97909	2,38	2,38
1123	VL-sinSC(O-E)	GLOBAL	Force	X Proj	0	1,97909	0,28	0,28
1123	VL-sinSC(E-O)	GLOBAL	Force	X Proj	0	1,97909	-0,28	-0,28
1123	VL-conSC(O-E)	GLOBAL	Force	X Proj	0	1,97909	0,41	0,41
1123	VL-conSC(E-O)	GLOBAL	Force	X Proj	0	1,97909	-0,41	-0,41
1123	CM	GLOBAL	Force	Gravity	0	1,97909	0,04	0,04
1124	CM	GLOBAL	Force	Gravity	0	0,75	0,04	0,04
1124	VT-sinSC(N-S)	GLOBAL	Force	Y Proj	0	0,75	-1,6	-1,6
1124	VT-conSC(N-S)	GLOBAL	Force	Y Proj	0	0,75	-2,38	-2,38
1124	VT-conSC(S-N)	GLOBAL	Force	Y Proj	0	0,75	2,38	2,38
1124	VL-sinSC(O-E)	GLOBAL	Force	X Proj	0	0,75	0,28	0,28
1124	VL-sinSC(E-O)	GLOBAL	Force	X Proj	0	0,75	-0,28	-0,28
1124	VL-conSC(O-E)	GLOBAL	Force	X Proj	0	0,75	0,41	0,41
1124	VL-conSC(E-O)	GLOBAL	Force	X Proj	0	0,75	-0,41	-0,41
1124	VT-sinSC(S-N)	GLOBAL	Force	Y Proj	0	0,75	1,6	1,6
1128	VT-sinSC(N-S)	GLOBAL	Force	Y Proj	0	1,97909	-1,6	-1,6
1128	VT-sinSC(S-N)	GLOBAL	Force	Y Proj	0	1,97909	1,6	1,6
1128	VT-conSC(N-S)	GLOBAL	Force	Y Proj	0	1,97909	-2,38	-2,38
1128	VT-conSC(S-N)	GLOBAL	Force	Y Proj	0	1,97909	2,38	2,38
1128	VL-sinSC(O-E)	GLOBAL	Force	X Proj	0	1,97909	0,28	0,28
1128	VL-sinSC(E-O)	GLOBAL	Force	X Proj	0	1,97909	-0,28	-0,28
1128	VL-conSC(O-E)	GLOBAL	Force	X Proj	0	1,97909	0,41	0,41
1128	VL-conSC(E-O)	GLOBAL	Force	X Proj	0	1,97909	-0,41	-0,41

1128	CM	GLOBAL	Force	Gravity	0	1,97909	0,04	0,04
1129	VT-sinSC(N-S)	GLOBAL	Force	Y Proj	0	1,97909	-1,6	-1,6
1129	VT-sinSC(S-N)	GLOBAL	Force	Y Proj	0	1,97909	1,6	1,6
1129	VT-conSC(N-S)	GLOBAL	Force	Y Proj	0	1,97909	-2,38	-2,38
1129	VT-conSC(S-N)	GLOBAL	Force	Y Proj	0	1,97909	2,38	2,38
1129	VL-sinSC(O-E)	GLOBAL	Force	X Proj	0	1,97909	0,28	0,28
1129	VL-sinSC(E-O)	GLOBAL	Force	X Proj	0	1,97909	-0,28	-0,28
1129	VL-conSC(O-E)	GLOBAL	Force	X Proj	0	1,97909	0,41	0,41
1129	VL-conSC(E-O)	GLOBAL	Force	X Proj	0	1,97909	-0,41	-0,41
1129	CM	GLOBAL	Force	Gravity	0	1,97909	0,04	0,04
1130	VT-sinSC(N-S)	GLOBAL	Force	Y Proj	0	1,97909	-1,6	-1,6
1130	VT-sinSC(S-N)	GLOBAL	Force	Y Proj	0	1,97909	1,6	1,6
1130	VT-conSC(N-S)	GLOBAL	Force	Y Proj	0	1,97909	-2,38	-2,38
1130	VT-conSC(S-N)	GLOBAL	Force	Y Proj	0	1,97909	2,38	2,38
1130	VL-sinSC(O-E)	GLOBAL	Force	X Proj	0	1,97909	0,28	0,28
1130	VL-sinSC(E-O)	GLOBAL	Force	X Proj	0	1,97909	-0,28	-0,28
1130	VL-conSC(O-E)	GLOBAL	Force	X Proj	0	1,97909	0,41	0,41
1130	VL-conSC(E-O)	GLOBAL	Force	X Proj	0	1,97909	-0,41	-0,41
1130	CM	GLOBAL	Force	Gravity	0	1,97909	0,04	0,04
1131	VT-sinSC(N-S)	GLOBAL	Force	Y Proj	0	1,97909	-1,6	-1,6
1131	VT-sinSC(S-N)	GLOBAL	Force	Y Proj	0	1,97909	1,6	1,6
1131	VT-conSC(N-S)	GLOBAL	Force	Y Proj	0	1,97909	-2,38	-2,38
1131	VT-conSC(S-N)	GLOBAL	Force	Y Proj	0	1,97909	2,38	2,38
1131	VL-sinSC(O-E)	GLOBAL	Force	X Proj	0	1,97909	0,28	0,28
1131	VL-sinSC(E-O)	GLOBAL	Force	X Proj	0	1,97909	-0,28	-0,28
1131	VL-conSC(O-E)	GLOBAL	Force	X Proj	0	1,97909	0,41	0,41
1131	VL-conSC(E-O)	GLOBAL	Force	X Proj	0	1,97909	-0,41	-0,41
1131	CM	GLOBAL	Force	Gravity	0	1,97909	0,04	0,04
1132	PPforjado	GLOBAL	Force	Gravity	0	2,5	4	4
1132	SC_6	GLOBAL	Force	Gravity	0	2,5	9	9
1134	CM	GLOBAL	Force	Gravity	0	0,73655	0,04	0,04
1134	VT-sinSC(N-S)	GLOBAL	Force	Y Proj	0	0,73655	-1,6	-1,6
1134	VT-sinSC(S-N)	GLOBAL	Force	Y Proj	0	0,73655	1,6	1,6
1134	VT-conSC(N-S)	GLOBAL	Force	Y Proj	0	0,73655	-2,38	-2,38
1134	VT-conSC(S-N)	GLOBAL	Force	Y Proj	0	0,73655	2,38	2,38
1134	VL-sinSC(O-E)	GLOBAL	Force	X Proj	0	0,73655	0,28	0,28
1134	VL-sinSC(E-O)	GLOBAL	Force	X Proj	0	0,73655	-0,28	-0,28
1134	VL-conSC(O-E)	GLOBAL	Force	X Proj	0	0,73655	0,41	0,41
1134	VL-conSC(E-O)	GLOBAL	Force	X Proj	0	0,73655	-0,41	-0,41



1136	CM	GLOBAL	Force	Gravity	0	0,75	0,04	0,04
1136	VT-sinSC(N-S)	GLOBAL	Force	Y Proj	0	0,75	-1,6	-1,6
1136	VT-sinSC(S-N)	GLOBAL	Force	Y Proj	0	0,75	1,6	1,6
1136	VT-conSC(N-S)	GLOBAL	Force	Y Proj	0	0,75	-2,38	-2,38
1136	VT-conSC(S-N)	GLOBAL	Force	Y Proj	0	0,75	2,38	2,38
1136	VL-sinSC(O-E)	GLOBAL	Force	X Proj	0	0,75	0,28	0,28
1136	VL-sinSC(E-O)	GLOBAL	Force	X Proj	0	0,75	-0,28	-0,28
1136	VL-conSC(O-E)	GLOBAL	Force	X Proj	0	0,75	0,41	0,41
1136	VL-conSC(E-O)	GLOBAL	Force	X Proj	0	0,75	-0,41	-0,41
1137	CM	GLOBAL	Force	Gravity	0	1,99563	0,04	0,04
1137	VT-sinSC(N-S)	GLOBAL	Force	Y Proj	0	1,99563	-1,6	-1,6
1137	VT-sinSC(S-N)	GLOBAL	Force	Y Proj	0	1,99563	1,6	1,6
1137	VT-conSC(N-S)	GLOBAL	Force	Y Proj	0	1,99563	-2,38	-2,38
1137	VT-conSC(S-N)	GLOBAL	Force	Y Proj	0	1,99563	2,38	2,38
1137	VL-sinSC(O-E)	GLOBAL	Force	X Proj	0	1,99563	0,28	0,28
1137	VL-sinSC(E-O)	GLOBAL	Force	X Proj	0	1,99563	-0,28	-0,28
1137	VL-conSC(O-E)	GLOBAL	Force	X Proj	0	1,99563	0,41	0,41
1137	VL-conSC(E-O)	GLOBAL	Force	X Proj	0	1,99563	-0,41	-0,41
1138	CM	GLOBAL	Force	Gravity	0	2,00908	0,04	0,04
1138	VT-sinSC(N-S)	GLOBAL	Force	Y Proj	0	2,00908	-1,6	-1,6
1138	VT-sinSC(S-N)	GLOBAL	Force	Y Proj	0	2,00908	1,6	1,6
1138	VT-conSC(N-S)	GLOBAL	Force	Y Proj	0	2,00908	-2,38	-2,38
1138	VT-conSC(S-N)	GLOBAL	Force	Y Proj	0	2,00908	2,38	2,38
1138	VL-sinSC(O-E)	GLOBAL	Force	X Proj	0	2,00908	0,28	0,28
1138	VL-sinSC(E-O)	GLOBAL	Force	X Proj	0	2,00908	-0,28	-0,28
1138	VL-conSC(O-E)	GLOBAL	Force	X Proj	0	2,00908	0,41	0,41
1138	VL-conSC(E-O)	GLOBAL	Force	X Proj	0	2,00908	-0,41	-0,41
1139	CM	GLOBAL	Force	Gravity	0	2,00908	0,04	0,04
1139	VT-sinSC(N-S)	GLOBAL	Force	Y Proj	0	2,00908	-1,6	-1,6
1139	VT-sinSC(S-N)	GLOBAL	Force	Y Proj	0	2,00908	1,6	1,6
1139	VT-conSC(N-S)	GLOBAL	Force	Y Proj	0	2,00908	-2,38	-2,38
1139	VT-conSC(S-N)	GLOBAL	Force	Y Proj	0	2,00908	2,38	2,38
1139	VL-sinSC(O-E)	GLOBAL	Force	X Proj	0	2,00908	0,28	0,28
1139	VL-sinSC(E-O)	GLOBAL	Force	X Proj	0	2,00908	-0,28	-0,28
1139	VL-conSC(O-E)	GLOBAL	Force	X Proj	0	2,00908	0,41	0,41
1139	VL-conSC(E-O)	GLOBAL	Force	X Proj	0	2,00908	-0,41	-0,41
1140	CM	GLOBAL	Force	Gravity	0	2,00908	0,04	0,04
1140	VT-sinSC(N-S)	GLOBAL	Force	Y Proj	0	2,00908	-1,6	-1,6
1140	VT-sinSC(S-N)	GLOBAL	Force	Y Proj	0	2,00908	1,6	1,6

1140	VT-conSC(N-S)	GLOBAL	Force	Y Proj	0	2,00908	-2,38	-2,38
1140	VT-conSC(S-N)	GLOBAL	Force	Y Proj	0	2,00908	2,38	2,38
1140	VL-sinSC(O-E)	GLOBAL	Force	X Proj	0	2,00908	0,28	0,28
1140	VL-sinSC(E-O)	GLOBAL	Force	X Proj	0	2,00908	-0,28	-0,28
1140	VL-conSC(O-E)	GLOBAL	Force	X Proj	0	2,00908	0,41	0,41
1140	VL-conSC(E-O)	GLOBAL	Force	X Proj	0	2,00908	-0,41	-0,41
1141	CM	GLOBAL	Force	Gravity	0	2,00908	0,04	0,04
1141	VT-sinSC(N-S)	GLOBAL	Force	Y Proj	0	2,00908	-1,6	-1,6
1141	VT-sinSC(S-N)	GLOBAL	Force	Y Proj	0	2,00908	1,6	1,6
1141	VT-conSC(N-S)	GLOBAL	Force	Y Proj	0	2,00908	-2,38	-2,38
1141	VT-conSC(S-N)	GLOBAL	Force	Y Proj	0	2,00908	2,38	2,38
1141	VL-sinSC(O-E)	GLOBAL	Force	X Proj	0	2,00908	0,28	0,28
1141	VL-sinSC(E-O)	GLOBAL	Force	X Proj	0	2,00908	-0,28	-0,28
1141	VL-conSC(O-E)	GLOBAL	Force	X Proj	0	2,00908	0,41	0,41
1141	VL-conSC(E-O)	GLOBAL	Force	X Proj	0	2,00908	-0,41	-0,41
1142	CM	GLOBAL	Force	Gravity	0	2,00639	0,04	0,04
1142	VT-sinSC(N-S)	GLOBAL	Force	Y Proj	0	2,00639	-1,6	-1,6
1142	VT-sinSC(S-N)	GLOBAL	Force	Y Proj	0	2,00639	1,6	1,6
1142	VT-conSC(N-S)	GLOBAL	Force	Y Proj	0	2,00639	-2,38	-2,38
1142	VT-conSC(S-N)	GLOBAL	Force	Y Proj	0	2,00639	2,38	2,38
1142	VL-sinSC(O-E)	GLOBAL	Force	X Proj	0	2,00639	0,28	0,28
1142	VL-sinSC(E-O)	GLOBAL	Force	X Proj	0	2,00639	-0,28	-0,28
1142	VL-conSC(O-E)	GLOBAL	Force	X Proj	0	2,00639	0,41	0,41
1142	VL-conSC(E-O)	GLOBAL	Force	X Proj	0	2,00639	-0,41	-0,41
1143	CM	GLOBAL	Force	Gravity	0	2,00639	0,04	0,04
1143	VT-sinSC(N-S)	GLOBAL	Force	Y Proj	0	2,00639	-1,6	-1,6
1143	VT-sinSC(S-N)	GLOBAL	Force	Y Proj	0	2,00639	1,6	1,6
1143	VT-conSC(N-S)	GLOBAL	Force	Y Proj	0	2,00639	-2,38	-2,38
1143	VT-conSC(S-N)	GLOBAL	Force	Y Proj	0	2,00639	2,38	2,38
1143	VL-sinSC(O-E)	GLOBAL	Force	X Proj	0	2,00639	0,28	0,28
1143	VL-sinSC(E-O)	GLOBAL	Force	X Proj	0	2,00639	-0,28	-0,28
1143	VL-conSC(O-E)	GLOBAL	Force	X Proj	0	2,00639	0,41	0,41
1143	VL-conSC(E-O)	GLOBAL	Force	X Proj	0	2,00639	-0,41	-0,41
1144	CM	GLOBAL	Force	Gravity	0	2,00639	0,04	0,04
1144	VT-sinSC(N-S)	GLOBAL	Force	Y Proj	0	2,00639	-1,6	-1,6
1144	VT-sinSC(S-N)	GLOBAL	Force	Y Proj	0	2,00639	1,6	1,6
1144	VT-conSC(N-S)	GLOBAL	Force	Y Proj	0	2,00639	-2,38	-2,38
1144	VT-conSC(S-N)	GLOBAL	Force	Y Proj	0	2,00639	2,38	2,38
1144	VL-sinSC(O-E)	GLOBAL	Force	X Proj	0	2,00639	0,28	0,28



1144	VL-sinSC(E-O)	GLOBAL	Force	X Proj	0	2,00639	-0,28	-0,28
1144	VL-conSC(O-E)	GLOBAL	Force	X Proj	0	2,00639	0,41	0,41
1144	VL-conSC(E-O)	GLOBAL	Force	X Proj	0	2,00639	-0,41	-0,41
1145	CM	GLOBAL	Force	Gravity	0	2,00639	0,04	0,04
1145	VT-sinSC(N-S)	GLOBAL	Force	Y Proj	0	2,00639	-1,6	-1,6
1145	VT-sinSC(S-N)	GLOBAL	Force	Y Proj	0	2,00639	1,6	1,6
1145	VT-conSC(N-S)	GLOBAL	Force	Y Proj	0	2,00639	-2,38	-2,38
1145	VT-conSC(S-N)	GLOBAL	Force	Y Proj	0	2,00639	2,38	2,38
1145	VL-sinSC(O-E)	GLOBAL	Force	X Proj	0	2,00639	0,28	0,28
1145	VL-sinSC(E-O)	GLOBAL	Force	X Proj	0	2,00639	-0,28	-0,28
1145	VL-conSC(O-E)	GLOBAL	Force	X Proj	0	2,00639	0,41	0,41
1145	VL-conSC(E-O)	GLOBAL	Force	X Proj	0	2,00639	-0,41	-0,41
1146	CM	GLOBAL	Force	Gravity	0	2,00526	0,04	0,04
1146	VT-sinSC(N-S)	GLOBAL	Force	Y Proj	0	2,00526	-1,6	-1,6
1146	VT-sinSC(S-N)	GLOBAL	Force	Y Proj	0	2,00526	1,6	1,6
1146	VT-conSC(N-S)	GLOBAL	Force	Y Proj	0	2,00526	-2,38	-2,38
1146	VT-conSC(S-N)	GLOBAL	Force	Y Proj	0	2,00526	2,38	2,38
1146	VL-sinSC(O-E)	GLOBAL	Force	X Proj	0	2,00526	0,28	0,28
1146	VL-sinSC(E-O)	GLOBAL	Force	X Proj	0	2,00526	-0,28	-0,28
1146	VL-conSC(O-E)	GLOBAL	Force	X Proj	0	2,00526	0,41	0,41
1146	VL-conSC(E-O)	GLOBAL	Force	X Proj	0	2,00526	-0,41	-0,41
1147	CM	GLOBAL	Force	Gravity	0	0,16216	0,04	0,04
1147	VT-sinSC(N-S)	GLOBAL	Force	Y Proj	0	0,16216	-1,6	-1,6
1147	VT-sinSC(S-N)	GLOBAL	Force	Y Proj	0	0,16216	1,6	1,6
1147	VT-conSC(N-S)	GLOBAL	Force	Y Proj	0	0,16216	-2,38	-2,38
1147	VT-conSC(S-N)	GLOBAL	Force	Y Proj	0	0,16216	2,38	2,38
1147	VL-sinSC(O-E)	GLOBAL	Force	X Proj	0	0,16216	0,28	0,28
1147	VL-sinSC(E-O)	GLOBAL	Force	X Proj	0	0,16216	-0,28	-0,28
1147	VL-conSC(O-E)	GLOBAL	Force	X Proj	0	0,16216	0,41	0,41
1147	VL-conSC(E-O)	GLOBAL	Force	X Proj	0	0,16216	-0,41	-0,41
1148	CM	GLOBAL	Force	Gravity	0	0,07933	0,04	0,04
1148	VT-sinSC(N-S)	GLOBAL	Force	Y Proj	0	0,07933	-1,6	-1,6
1148	VT-sinSC(S-N)	GLOBAL	Force	Y Proj	0	0,07933	1,6	1,6
1148	VT-conSC(N-S)	GLOBAL	Force	Y Proj	0	0,07933	-2,38	-2,38
1148	VT-conSC(S-N)	GLOBAL	Force	Y Proj	0	0,07933	2,38	2,38
1148	VL-sinSC(O-E)	GLOBAL	Force	X Proj	0	0,07933	0,28	0,28
1148	VL-sinSC(E-O)	GLOBAL	Force	X Proj	0	0,07933	-0,28	-0,28
1148	VL-conSC(O-E)	GLOBAL	Force	X Proj	0	0,07933	0,41	0,41
1148	VL-conSC(E-O)	GLOBAL	Force	X Proj	0	0,07933	-0,41	-0,41

1149	CM	GLOBAL	Force	Gravity	0	0,13855	0,04	0,04
1149	VT-sinSC(N-S)	GLOBAL	Force	Y Proj	0	0,13855	-1,6	-1,6
1149	VT-sinSC(S-N)	GLOBAL	Force	Y Proj	0	0,13855	1,6	1,6
1149	VT-conSC(N-S)	GLOBAL	Force	Y Proj	0	0,13855	-2,38	-2,38
1149	VT-conSC(S-N)	GLOBAL	Force	Y Proj	0	0,13855	2,38	2,38
1149	VL-sinSC(O-E)	GLOBAL	Force	X Proj	0	0,13855	0,28	0,28
1149	VL-sinSC(E-O)	GLOBAL	Force	X Proj	0	0,13855	-0,28	-0,28
1149	VL-conSC(O-E)	GLOBAL	Force	X Proj	0	0,13855	0,41	0,41
1149	VL-conSC(E-O)	GLOBAL	Force	X Proj	0	0,13855	-0,41	-0,41
1150	CM	GLOBAL	Force	Gravity	0	0,07117	0,04	0,04
1150	VT-sinSC(N-S)	GLOBAL	Force	Y Proj	0	0,07117	-1,6	-1,6
1150	VT-sinSC(S-N)	GLOBAL	Force	Y Proj	0	0,07117	1,6	1,6
1150	VT-conSC(N-S)	GLOBAL	Force	Y Proj	0	0,07117	-2,38	-2,38
1150	VT-conSC(S-N)	GLOBAL	Force	Y Proj	0	0,07117	2,38	2,38
1150	VL-sinSC(O-E)	GLOBAL	Force	X Proj	0	0,07117	0,28	0,28
1150	VL-sinSC(E-O)	GLOBAL	Force	X Proj	0	0,07117	-0,28	-0,28
1150	VL-conSC(O-E)	GLOBAL	Force	X Proj	0	0,07117	0,41	0,41
1150	VL-conSC(E-O)	GLOBAL	Force	X Proj	0	0,07117	-0,41	-0,41
1151	CM	GLOBAL	Force	Gravity	0	0,0806	0,04	0,04
1151	VT-sinSC(N-S)	GLOBAL	Force	Y Proj	0	0,0806	-1,6	-1,6
1151	VT-sinSC(S-N)	GLOBAL	Force	Y Proj	0	0,0806	1,6	1,6
1151	VT-conSC(N-S)	GLOBAL	Force	Y Proj	0	0,0806	-2,38	-2,38
1151	VT-conSC(S-N)	GLOBAL	Force	Y Proj	0	0,0806	2,38	2,38
1151	VL-sinSC(O-E)	GLOBAL	Force	X Proj	0	0,0806	0,28	0,28
1151	VL-sinSC(E-O)	GLOBAL	Force	X Proj	0	0,0806	-0,28	-0,28
1151	VL-conSC(O-E)	GLOBAL	Force	X Proj	0	0,0806	0,41	0,41
1151	VL-conSC(E-O)	GLOBAL	Force	X Proj	0	0,0806	-0,41	-0,41
1152	CM	GLOBAL	Force	Gravity	0	0,16118	0,04	0,04
1152	VT-sinSC(N-S)	GLOBAL	Force	Y Proj	0	0,16118	-1,6	-1,6
1152	VT-sinSC(S-N)	GLOBAL	Force	Y Proj	0	0,16118	1,6	1,6
1152	VT-conSC(N-S)	GLOBAL	Force	Y Proj	0	0,16118	-2,38	-2,38
1152	VT-conSC(S-N)	GLOBAL	Force	Y Proj	0	0,16118	2,38	2,38
1152	VL-sinSC(O-E)	GLOBAL	Force	X Proj	0	0,16118	0,28	0,28
1152	VL-sinSC(E-O)	GLOBAL	Force	X Proj	0	0,16118	-0,28	-0,28
1152	VL-conSC(O-E)	GLOBAL	Force	X Proj	0	0,16118	0,41	0,41
1152	VL-conSC(E-O)	GLOBAL	Force	X Proj	0	0,16118	-0,41	-0,41
1153	CM	GLOBAL	Force	Gravity	0	0,06735	0,04	0,04
1153	VT-sinSC(N-S)	GLOBAL	Force	Y Proj	0	0,06735	-1,6	-1,6
1153	VT-sinSC(S-N)	GLOBAL	Force	Y Proj	0	0,06735	1,6	1,6



1153	VT-conSC(N-S)	GLOBAL	Force	Y Proj	0	0,06735	-2,38	-2,38
1153	VT-conSC(S-N)	GLOBAL	Force	Y Proj	0	0,06735	2,38	2,38
1153	VL-sinSC(O-E)	GLOBAL	Force	X Proj	0	0,06735	0,28	0,28
1153	VL-sinSC(E-O)	GLOBAL	Force	X Proj	0	0,06735	-0,28	-0,28
1153	VL-conSC(O-E)	GLOBAL	Force	X Proj	0	0,06735	0,41	0,41
1153	VL-conSC(E-O)	GLOBAL	Force	X Proj	0	0,06735	-0,41	-0,41
1154	CM	GLOBAL	Force	Gravity	0	0,14195	0,04	0,04
1154	VT-sinSC(N-S)	GLOBAL	Force	Y Proj	0	0,14195	-1,6	-1,6
1154	VT-sinSC(S-N)	GLOBAL	Force	Y Proj	0	0,14195	1,6	1,6
1154	VT-conSC(N-S)	GLOBAL	Force	Y Proj	0	0,14195	-2,38	-2,38
1154	VT-conSC(S-N)	GLOBAL	Force	Y Proj	0	0,14195	2,38	2,38
1154	VL-sinSC(O-E)	GLOBAL	Force	X Proj	0	0,14195	0,28	0,28
1154	VL-sinSC(E-O)	GLOBAL	Force	X Proj	0	0,14195	-0,28	-0,28
1154	VL-conSC(O-E)	GLOBAL	Force	X Proj	0	0,14195	0,41	0,41
1154	VL-conSC(E-O)	GLOBAL	Force	X Proj	0	0,14195	-0,41	-0,41
1201	CM	GLOBAL	Force	Gravity	0	2,10071	0,04	0,04
1201	VT-sinSC(S-N)	GLOBAL	Force	Y Proj	0	2,10071	1,6	1,6
1201	VT-sinSC(N-S)	GLOBAL	Force	Y Proj	0	2,10071	-1,6	-1,6
1201	VT-conSC(N-S)	GLOBAL	Force	Y Proj	0	2,10071	-2,38	-2,38
1201	VT-conSC(S-N)	GLOBAL	Force	Y Proj	0	2,10071	2,38	2,38
1201	VL-sinSC(E-O)	GLOBAL	Force	X Proj	0	2,10071	-0,28	-0,28
1201	VL-sinSC(O-E)	GLOBAL	Force	X Proj	0	2,10071	0,28	0,28
1201	VL-conSC(O-E)	GLOBAL	Force	X Proj	0	2,10071	0,41	0,41
1201	VL-conSC(E-O)	GLOBAL	Force	X Proj	0	2,10071	-0,41	-0,41
1202	CM	GLOBAL	Force	Gravity	0	2,10071	0,04	0,04
1202	VT-sinSC(S-N)	GLOBAL	Force	Y Proj	0	2,10071	1,6	1,6
1202	VT-sinSC(N-S)	GLOBAL	Force	Y Proj	0	2,10071	-1,6	-1,6
1202	VT-conSC(N-S)	GLOBAL	Force	Y Proj	0	2,10071	-2,38	-2,38
1202	VT-conSC(S-N)	GLOBAL	Force	Y Proj	0	2,10071	2,38	2,38
1202	VL-sinSC(E-O)	GLOBAL	Force	X Proj	0	2,10071	-0,28	-0,28
1202	VL-sinSC(O-E)	GLOBAL	Force	X Proj	0	2,10071	0,28	0,28
1202	VL-conSC(O-E)	GLOBAL	Force	X Proj	0	2,10071	0,41	0,41
1202	VL-conSC(E-O)	GLOBAL	Force	X Proj	0	2,10071	-0,41	-0,41
1203	CM	GLOBAL	Force	Gravity	0	2,10071	0,04	0,04
1203	VT-sinSC(S-N)	GLOBAL	Force	Y Proj	0	2,10071	1,6	1,6
1203	VT-sinSC(N-S)	GLOBAL	Force	Y Proj	0	2,10071	-1,6	-1,6
1203	VT-conSC(N-S)	GLOBAL	Force	Y Proj	0	2,10071	-2,38	-2,38
1203	VT-conSC(S-N)	GLOBAL	Force	Y Proj	0	2,10071	2,38	2,38
1203	VL-sinSC(E-O)	GLOBAL	Force	X Proj	0	2,10071	-0,28	-0,28

1203	VL-sinSC(O-E)	GLOBAL	Force	X Proj	0	2,10071	0,28	0,28
1203	VL-conSC(O-E)	GLOBAL	Force	X Proj	0	2,10071	0,41	0,41
1203	VL-conSC(E-O)	GLOBAL	Force	X Proj	0	2,10071	-0,41	-0,41
1204	CM	GLOBAL	Force	Gravity	0	2,10071	0,04	0,04
1204	VT-sinSC(S-N)	GLOBAL	Force	Y Proj	0	2,10071	1,6	1,6
1204	VT-sinSC(N-S)	GLOBAL	Force	Y Proj	0	2,10071	-1,6	-1,6
1204	VT-conSC(N-S)	GLOBAL	Force	Y Proj	0	2,10071	-2,38	-2,38
1204	VT-conSC(S-N)	GLOBAL	Force	Y Proj	0	2,10071	2,38	2,38
1204	VL-sinSC(E-O)	GLOBAL	Force	X Proj	0	2,10071	-0,28	-0,28
1204	VL-sinSC(O-E)	GLOBAL	Force	X Proj	0	2,10071	0,28	0,28
1204	VL-conSC(O-E)	GLOBAL	Force	X Proj	0	2,10071	0,41	0,41
1204	VL-conSC(E-O)	GLOBAL	Force	X Proj	0	2,10071	-0,41	-0,41
1206	CM	GLOBAL	Force	Gravity	0	2,10071	0,04	0,04
1206	VT-sinSC(S-N)	GLOBAL	Force	Y Proj	0	2,10071	1,6	1,6
1206	VT-sinSC(N-S)	GLOBAL	Force	Y Proj	0	2,10071	-1,6	-1,6
1206	VT-conSC(N-S)	GLOBAL	Force	Y Proj	0	2,10071	-2,38	-2,38
1206	VT-conSC(S-N)	GLOBAL	Force	Y Proj	0	2,10071	2,38	2,38
1206	VL-sinSC(E-O)	GLOBAL	Force	X Proj	0	2,10071	-0,28	-0,28
1206	VL-sinSC(O-E)	GLOBAL	Force	X Proj	0	2,10071	0,28	0,28
1206	VL-conSC(O-E)	GLOBAL	Force	X Proj	0	2,10071	0,41	0,41
1206	VL-conSC(E-O)	GLOBAL	Force	X Proj	0	2,10071	-0,41	-0,41
1207	PPforjado	GLOBAL	Force	Gravity	0	2,5	4	4
1207	SC_2	GLOBAL	Force	Gravity	0	2,5	9	9
1208	CM	GLOBAL	Force	Gravity	0	2,10071	0,04	0,04
1208	VT-sinSC(S-N)	GLOBAL	Force	Y Proj	0	2,10071	1,6	1,6
1208	VT-sinSC(N-S)	GLOBAL	Force	Y Proj	0	2,10071	-1,6	-1,6
1208	VT-conSC(N-S)	GLOBAL	Force	Y Proj	0	2,10071	-2,38	-2,38
1208	VT-conSC(S-N)	GLOBAL	Force	Y Proj	0	2,10071	2,38	2,38
1208	VL-sinSC(E-O)	GLOBAL	Force	X Proj	0	2,10071	-0,28	-0,28
1208	VL-sinSC(O-E)	GLOBAL	Force	X Proj	0	2,10071	0,28	0,28
1208	VL-conSC(O-E)	GLOBAL	Force	X Proj	0	2,10071	0,41	0,41
1208	VL-conSC(E-O)	GLOBAL	Force	X Proj	0	2,10071	-0,41	-0,41
1209	CM	GLOBAL	Force	Gravity	0	2,10071	0,04	0,04
1209	VT-sinSC(S-N)	GLOBAL	Force	Y Proj	0	2,10071	1,6	1,6
1209	VT-sinSC(N-S)	GLOBAL	Force	Y Proj	0	2,10071	-1,6	-1,6
1209	VT-conSC(N-S)	GLOBAL	Force	Y Proj	0	2,10071	-2,38	-2,38
1209	VT-conSC(S-N)	GLOBAL	Force	Y Proj	0	2,10071	2,38	2,38
1209	VL-sinSC(E-O)	GLOBAL	Force	X Proj	0	2,10071	-0,28	-0,28
1209	VL-sinSC(O-E)	GLOBAL	Force	X Proj	0	2,10071	0,28	0,28



1209	VL-conSC(O-E)	GLOBAL	Force	X Proj	0	2,10071	0,41	0,41
1209	VL-conSC(E-O)	GLOBAL	Force	X Proj	0	2,10071	-0,41	-0,41
1210	CM	GLOBAL	Force	Gravity	0	2,10071	0,04	0,04
1210	VT-sinSC(S-N)	GLOBAL	Force	Y Proj	0	2,10071	1,6	1,6
1210	VT-sinSC(N-S)	GLOBAL	Force	Y Proj	0	2,10071	-1,6	-1,6
1210	VT-conSC(N-S)	GLOBAL	Force	Y Proj	0	2,10071	-2,38	-2,38
1210	VT-conSC(S-N)	GLOBAL	Force	Y Proj	0	2,10071	2,38	2,38
1210	VL-sinSC(E-O)	GLOBAL	Force	X Proj	0	2,10071	-0,28	-0,28
1210	VL-sinSC(O-E)	GLOBAL	Force	X Proj	0	2,10071	0,28	0,28
1210	VL-conSC(O-E)	GLOBAL	Force	X Proj	0	2,10071	0,41	0,41
1210	VL-conSC(E-O)	GLOBAL	Force	X Proj	0	2,10071	-0,41	-0,41
1211	CM	GLOBAL	Force	Gravity	0	2,10071	0,04	0,04
1211	VT-sinSC(S-N)	GLOBAL	Force	Y Proj	0	2,10071	1,6	1,6
1211	VT-sinSC(N-S)	GLOBAL	Force	Y Proj	0	2,10071	-1,6	-1,6
1211	VT-conSC(N-S)	GLOBAL	Force	Y Proj	0	2,10071	-2,38	-2,38
1211	VT-conSC(S-N)	GLOBAL	Force	Y Proj	0	2,10071	2,38	2,38
1211	VL-sinSC(E-O)	GLOBAL	Force	X Proj	0	2,10071	-0,28	-0,28
1211	VL-sinSC(O-E)	GLOBAL	Force	X Proj	0	2,10071	0,28	0,28
1211	VL-conSC(O-E)	GLOBAL	Force	X Proj	0	2,10071	0,41	0,41
1211	VL-conSC(E-O)	GLOBAL	Force	X Proj	0	2,10071	-0,41	-0,41
1212	CM	GLOBAL	Force	Gravity	0	2,10071	0,04	0,04
1212	VT-sinSC(S-N)	GLOBAL	Force	Y Proj	0	2,10071	1,6	1,6
1212	VT-sinSC(N-S)	GLOBAL	Force	Y Proj	0	2,10071	-1,6	-1,6
1212	VT-conSC(N-S)	GLOBAL	Force	Y Proj	0	2,10071	-2,38	-2,38
1212	VT-conSC(S-N)	GLOBAL	Force	Y Proj	0	2,10071	2,38	2,38
1212	VL-sinSC(E-O)	GLOBAL	Force	X Proj	0	2,10071	-0,28	-0,28
1212	VL-sinSC(O-E)	GLOBAL	Force	X Proj	0	2,10071	0,28	0,28
1212	VL-conSC(O-E)	GLOBAL	Force	X Proj	0	2,10071	0,41	0,41
1212	VL-conSC(E-O)	GLOBAL	Force	X Proj	0	2,10071	-0,41	-0,41
1213	CM	GLOBAL	Force	Gravity	0	2,10071	0,04	0,04
1213	VT-sinSC(S-N)	GLOBAL	Force	Y Proj	0	2,10071	1,6	1,6
1213	VT-sinSC(N-S)	GLOBAL	Force	Y Proj	0	2,10071	-1,6	-1,6
1213	VT-conSC(N-S)	GLOBAL	Force	Y Proj	0	2,10071	-2,38	-2,38
1213	VT-conSC(S-N)	GLOBAL	Force	Y Proj	0	2,10071	2,38	2,38
1213	VL-sinSC(E-O)	GLOBAL	Force	X Proj	0	2,10071	-0,28	-0,28
1213	VL-sinSC(O-E)	GLOBAL	Force	X Proj	0	2,10071	0,28	0,28
1213	VL-conSC(O-E)	GLOBAL	Force	X Proj	0	2,10071	0,41	0,41
1213	VL-conSC(E-O)	GLOBAL	Force	X Proj	0	2,10071	-0,41	-0,41
1214	CM	GLOBAL	Force	Gravity	0	2,10071	0,04	0,04

1214	VT-sinSC(S-N)	GLOBAL	Force	Y Proj	0	2,10071	1,6	1,6
1214	VT-sinSC(N-S)	GLOBAL	Force	Y Proj	0	2,10071	-1,6	-1,6
1214	VT-conSC(N-S)	GLOBAL	Force	Y Proj	0	2,10071	-2,38	-2,38
1214	VT-conSC(S-N)	GLOBAL	Force	Y Proj	0	2,10071	2,38	2,38
1214	VL-sinSC(E-O)	GLOBAL	Force	X Proj	0	2,10071	-0,28	-0,28
1214	VL-sinSC(O-E)	GLOBAL	Force	X Proj	0	2,10071	0,28	0,28
1214	VL-conSC(O-E)	GLOBAL	Force	X Proj	0	2,10071	0,41	0,41
1214	VL-conSC(E-O)	GLOBAL	Force	X Proj	0	2,10071	-0,41	-0,41
1215	CM	GLOBAL	Force	Gravity	0	2,10071	0,04	0,04
1215	VT-sinSC(S-N)	GLOBAL	Force	Y Proj	0	2,10071	1,6	1,6
1215	VT-sinSC(N-S)	GLOBAL	Force	Y Proj	0	2,10071	-1,6	-1,6
1215	VT-conSC(N-S)	GLOBAL	Force	Y Proj	0	2,10071	-2,38	-2,38
1215	VT-conSC(S-N)	GLOBAL	Force	Y Proj	0	2,10071	2,38	2,38
1215	VL-sinSC(E-O)	GLOBAL	Force	X Proj	0	2,10071	-0,28	-0,28
1215	VL-sinSC(O-E)	GLOBAL	Force	X Proj	0	2,10071	0,28	0,28
1215	VL-conSC(O-E)	GLOBAL	Force	X Proj	0	2,10071	0,41	0,41
1215	VL-conSC(E-O)	GLOBAL	Force	X Proj	0	2,10071	-0,41	-0,41
1216	CM	GLOBAL	Force	Gravity	0	2,10071	0,04	0,04
1216	VT-sinSC(S-N)	GLOBAL	Force	Y Proj	0	2,10071	1,6	1,6
1216	VT-sinSC(N-S)	GLOBAL	Force	Y Proj	0	2,10071	-1,6	-1,6
1216	VT-conSC(N-S)	GLOBAL	Force	Y Proj	0	2,10071	-2,38	-2,38
1216	VT-conSC(S-N)	GLOBAL	Force	Y Proj	0	2,10071	2,38	2,38
1216	VL-sinSC(E-O)	GLOBAL	Force	X Proj	0	2,10071	-0,28	-0,28
1216	VL-sinSC(O-E)	GLOBAL	Force	X Proj	0	2,10071	0,28	0,28
1216	VL-conSC(O-E)	GLOBAL	Force	X Proj	0	2,10071	0,41	0,41
1216	VL-conSC(E-O)	GLOBAL	Force	X Proj	0	2,10071	-0,41	-0,41
1217	PPforjado	GLOBAL	Force	Gravity	0	2,49998	4	4
1217	SC_4	GLOBAL	Force	Gravity	0	2,49998	9	9
1218	PPforjado	GLOBAL	Force	Gravity	0	2,49999	4	4
1218	SC_4	GLOBAL	Force	Gravity	0	2,49999	9	9
1219	PPforjado	GLOBAL	Force	Gravity	0	2,49999	4	4
1219	SC_4	GLOBAL	Force	Gravity	0	2,49999	9	9
1220	PPforjado	GLOBAL	Force	Gravity	0	2,49999	4	4
1220	SC_4	GLOBAL	Force	Gravity	0	2,49999	9	9
1221	CM	GLOBAL	Force	Gravity	0	1,96523	0,04	0,04
1221	VT-sinSC(N-S)	GLOBAL	Force	Y Proj	0	1,96523	-1,6	-1,6
1221	VT-sinSC(S-N)	GLOBAL	Force	Y Proj	0	1,96523	1,6	1,6
1221	VT-conSC(N-S)	GLOBAL	Force	Y Proj	0	1,96523	-2,38	-2,38
1221	VT-conSC(S-N)	GLOBAL	Force	Y Proj	0	1,96523	2,38	2,38



1221	VL-sinSC(O-E)	GLOBAL	Force	X Proj	0	1,96523	0,28	0,28
1221	VL-sinSC(E-O)	GLOBAL	Force	X Proj	0	1,96523	-0,28	-0,28
1221	VL-conSC(O-E)	GLOBAL	Force	X Proj	0	1,96523	0,41	0,41
1221	VL-conSC(E-O)	GLOBAL	Force	X Proj	0	1,96523	-0,41	-0,41
1222	CM	GLOBAL	Force	Gravity	0	1,96523	0,04	0,04
1222	VT-sinSC(N-S)	GLOBAL	Force	Y Proj	0	1,96523	-1,6	-1,6
1222	VT-sinSC(S-N)	GLOBAL	Force	Y Proj	0	1,96523	1,6	1,6
1222	VT-conSC(N-S)	GLOBAL	Force	Y Proj	0	1,96523	-2,38	-2,38
1222	VT-conSC(S-N)	GLOBAL	Force	Y Proj	0	1,96523	2,38	2,38
1222	VL-sinSC(O-E)	GLOBAL	Force	X Proj	0	1,96523	0,28	0,28
1222	VL-sinSC(E-O)	GLOBAL	Force	X Proj	0	1,96523	-0,28	-0,28
1222	VL-conSC(O-E)	GLOBAL	Force	X Proj	0	1,96523	0,41	0,41
1222	VL-conSC(E-O)	GLOBAL	Force	X Proj	0	1,96523	-0,41	-0,41
1223	CM	GLOBAL	Force	Gravity	0	1,96523	0,04	0,04
1223	VT-sinSC(N-S)	GLOBAL	Force	Y Proj	0	1,96523	-1,6	-1,6
1223	VT-sinSC(S-N)	GLOBAL	Force	Y Proj	0	1,96523	1,6	1,6
1223	VT-conSC(N-S)	GLOBAL	Force	Y Proj	0	1,96523	-2,38	-2,38
1223	VT-conSC(S-N)	GLOBAL	Force	Y Proj	0	1,96523	2,38	2,38
1223	VL-sinSC(O-E)	GLOBAL	Force	X Proj	0	1,96523	0,28	0,28
1223	VL-sinSC(E-O)	GLOBAL	Force	X Proj	0	1,96523	-0,28	-0,28
1223	VL-conSC(O-E)	GLOBAL	Force	X Proj	0	1,96523	0,41	0,41
1223	VL-conSC(E-O)	GLOBAL	Force	X Proj	0	1,96523	-0,41	-0,41
1224	CM	GLOBAL	Force	Gravity	0	1,96523	0,04	0,04
1224	VT-sinSC(N-S)	GLOBAL	Force	Y Proj	0	1,96523	-1,6	-1,6
1224	VT-sinSC(S-N)	GLOBAL	Force	Y Proj	0	1,96523	1,6	1,6
1224	VT-conSC(N-S)	GLOBAL	Force	Y Proj	0	1,96523	-2,38	-2,38
1224	VT-conSC(S-N)	GLOBAL	Force	Y Proj	0	1,96523	2,38	2,38
1224	VL-sinSC(O-E)	GLOBAL	Force	X Proj	0	1,96523	0,28	0,28
1224	VL-sinSC(E-O)	GLOBAL	Force	X Proj	0	1,96523	-0,28	-0,28
1224	VL-conSC(O-E)	GLOBAL	Force	X Proj	0	1,96523	0,41	0,41
1224	VL-conSC(E-O)	GLOBAL	Force	X Proj	0	1,96523	-0,41	-0,41
1225	CM	GLOBAL	Force	Gravity	0	1,96523	0,04	0,04
1225	VT-sinSC(N-S)	GLOBAL	Force	Y Proj	0	1,96523	-1,6	-1,6
1225	VT-sinSC(S-N)	GLOBAL	Force	Y Proj	0	1,96523	1,6	1,6
1225	VT-conSC(N-S)	GLOBAL	Force	Y Proj	0	1,96523	-2,38	-2,38
1225	VT-conSC(S-N)	GLOBAL	Force	Y Proj	0	1,96523	2,38	2,38
1225	VL-sinSC(O-E)	GLOBAL	Force	X Proj	0	1,96523	0,28	0,28
1225	VL-sinSC(E-O)	GLOBAL	Force	X Proj	0	1,96523	-0,28	-0,28
1225	VL-conSC(O-E)	GLOBAL	Force	X Proj	0	1,96523	0,41	0,41

1225	VL-conSC(E-O)	GLOBAL	Force	X Proj	0	1,96523	-0,41	-0,41
1226	CM	GLOBAL	Force	Gravity	0	1,96523	0,04	0,04
1226	VT-sinSC(N-S)	GLOBAL	Force	Y Proj	0	1,96523	-1,6	-1,6
1226	VT-sinSC(S-N)	GLOBAL	Force	Y Proj	0	1,96523	1,6	1,6
1226	VT-conSC(N-S)	GLOBAL	Force	Y Proj	0	1,96523	-2,38	-2,38
1226	VT-conSC(S-N)	GLOBAL	Force	Y Proj	0	1,96523	2,38	2,38
1226	VL-sinSC(O-E)	GLOBAL	Force	X Proj	0	1,96523	0,28	0,28
1226	VL-sinSC(E-O)	GLOBAL	Force	X Proj	0	1,96523	-0,28	-0,28
1226	VL-conSC(O-E)	GLOBAL	Force	X Proj	0	1,96523	0,41	0,41
1226	VL-conSC(E-O)	GLOBAL	Force	X Proj	0	1,96523	-0,41	-0,41
1227	CM	GLOBAL	Force	Gravity	0	1,96523	0,04	0,04
1227	VT-sinSC(N-S)	GLOBAL	Force	Y Proj	0	1,96523	-1,6	-1,6
1227	VT-sinSC(S-N)	GLOBAL	Force	Y Proj	0	1,96523	1,6	1,6
1227	VT-conSC(N-S)	GLOBAL	Force	Y Proj	0	1,96523	-2,38	-2,38
1227	VT-conSC(S-N)	GLOBAL	Force	Y Proj	0	1,96523	2,38	2,38
1227	VL-sinSC(O-E)	GLOBAL	Force	X Proj	0	1,96523	0,28	0,28
1227	VL-sinSC(E-O)	GLOBAL	Force	X Proj	0	1,96523	-0,28	-0,28
1227	VL-conSC(O-E)	GLOBAL	Force	X Proj	0	1,96523	0,41	0,41
1227	VL-conSC(E-O)	GLOBAL	Force	X Proj	0	1,96523	-0,41	-0,41
1228	CM	GLOBAL	Force	Gravity	0	1,96523	0,04	0,04
1228	VT-sinSC(N-S)	GLOBAL	Force	Y Proj	0	1,96523	-1,6	-1,6
1228	VT-sinSC(S-N)	GLOBAL	Force	Y Proj	0	1,96523	1,6	1,6
1228	VT-conSC(N-S)	GLOBAL	Force	Y Proj	0	1,96523	-2,38	-2,38
1228	VT-conSC(S-N)	GLOBAL	Force	Y Proj	0	1,96523	2,38	2,38
1228	VL-sinSC(O-E)	GLOBAL	Force	X Proj	0	1,96523	0,28	0,28
1228	VL-sinSC(E-O)	GLOBAL	Force	X Proj	0	1,96523	-0,28	-0,28
1228	VL-conSC(O-E)	GLOBAL	Force	X Proj	0	1,96523	0,41	0,41
1228	VL-conSC(E-O)	GLOBAL	Force	X Proj	0	1,96523	-0,41	-0,41
1229	CM	GLOBAL	Force	Gravity	0	1,96523	0,04	0,04
1229	VT-sinSC(N-S)	GLOBAL	Force	Y Proj	0	1,96523	-1,6	-1,6
1229	VT-sinSC(S-N)	GLOBAL	Force	Y Proj	0	1,96523	1,6	1,6
1229	VT-conSC(N-S)	GLOBAL	Force	Y Proj	0	1,96523	-2,38	-2,38
1229	VT-conSC(S-N)	GLOBAL	Force	Y Proj	0	1,96523	2,38	2,38
1229	VL-sinSC(O-E)	GLOBAL	Force	X Proj	0	1,96523	0,28	0,28
1229	VL-sinSC(E-O)	GLOBAL	Force	X Proj	0	1,96523	-0,28	-0,28
1229	VL-conSC(O-E)	GLOBAL	Force	X Proj	0	1,96523	0,41	0,41
1229	VL-conSC(E-O)	GLOBAL	Force	X Proj	0	1,96523	-0,41	-0,41
1230	CM	GLOBAL	Force	Gravity	0	1,96523	0,04	0,04
1230	VT-sinSC(N-S)	GLOBAL	Force	Y Proj	0	1,96523	-1,6	-1,6



1230	VT-sinSC(S-N)	GLOBAL	Force	Y Proj	0	1,96523	1,6	1,6
1230	VT-conSC(N-S)	GLOBAL	Force	Y Proj	0	1,96523	-2,38	-2,38
1230	VT-conSC(S-N)	GLOBAL	Force	Y Proj	0	1,96523	2,38	2,38
1230	VL-sinSC(O-E)	GLOBAL	Force	X Proj	0	1,96523	0,28	0,28
1230	VL-sinSC(E-O)	GLOBAL	Force	X Proj	0	1,96523	-0,28	-0,28
1230	VL-conSC(O-E)	GLOBAL	Force	X Proj	0	1,96523	0,41	0,41
1230	VL-conSC(E-O)	GLOBAL	Force	X Proj	0	1,96523	-0,41	-0,41
1231	CM	GLOBAL	Force	Gravity	0	1,96523	0,04	0,04
1231	VT-sinSC(N-S)	GLOBAL	Force	Y Proj	0	1,96523	-1,6	-1,6
1231	VT-sinSC(S-N)	GLOBAL	Force	Y Proj	0	1,96523	1,6	1,6
1231	VT-conSC(N-S)	GLOBAL	Force	Y Proj	0	1,96523	-2,38	-2,38
1231	VT-conSC(S-N)	GLOBAL	Force	Y Proj	0	1,96523	2,38	2,38
1231	VL-sinSC(O-E)	GLOBAL	Force	X Proj	0	1,96523	0,28	0,28
1231	VL-sinSC(E-O)	GLOBAL	Force	X Proj	0	1,96523	-0,28	-0,28
1231	VL-conSC(O-E)	GLOBAL	Force	X Proj	0	1,96523	0,41	0,41
1231	VL-conSC(E-O)	GLOBAL	Force	X Proj	0	1,96523	-0,41	-0,41
1232	CM	GLOBAL	Force	Gravity	0	1,96523	0,04	0,04
1232	VT-sinSC(N-S)	GLOBAL	Force	Y Proj	0	1,96523	-1,6	-1,6
1232	VT-sinSC(S-N)	GLOBAL	Force	Y Proj	0	1,96523	1,6	1,6
1232	VT-conSC(N-S)	GLOBAL	Force	Y Proj	0	1,96523	-2,38	-2,38
1232	VT-conSC(S-N)	GLOBAL	Force	Y Proj	0	1,96523	2,38	2,38
1232	VL-sinSC(O-E)	GLOBAL	Force	X Proj	0	1,96523	0,28	0,28
1232	VL-sinSC(E-O)	GLOBAL	Force	X Proj	0	1,96523	-0,28	-0,28
1232	VL-conSC(O-E)	GLOBAL	Force	X Proj	0	1,96523	0,41	0,41
1232	VL-conSC(E-O)	GLOBAL	Force	X Proj	0	1,96523	-0,41	-0,41
1233	CM	GLOBAL	Force	Gravity	0	2,18598	0,04	0,04
1233	VT-sinSC(N-S)	GLOBAL	Force	Y Proj	0	2,18598	-1,6	-1,6
1233	VT-sinSC(S-N)	GLOBAL	Force	Y Proj	0	2,18598	1,6	1,6
1233	VT-conSC(N-S)	GLOBAL	Force	Y Proj	0	2,18598	-2,38	-2,38
1233	VT-conSC(S-N)	GLOBAL	Force	Y Proj	0	2,18598	2,38	2,38
1233	VL-sinSC(O-E)	GLOBAL	Force	X Proj	0	2,18598	0,28	0,28
1233	VL-sinSC(E-O)	GLOBAL	Force	X Proj	0	2,18598	-0,28	-0,28
1233	VL-conSC(O-E)	GLOBAL	Force	X Proj	0	2,18598	0,41	0,41
1233	VL-conSC(E-O)	GLOBAL	Force	X Proj	0	2,18598	-0,41	-0,41
1234	CM	GLOBAL	Force	Gravity	0	2,18598	0,04	0,04
1234	VT-sinSC(N-S)	GLOBAL	Force	Y Proj	0	2,18598	-1,6	-1,6
1234	VT-sinSC(S-N)	GLOBAL	Force	Y Proj	0	2,18598	1,6	1,6
1234	VT-conSC(N-S)	GLOBAL	Force	Y Proj	0	2,18598	-2,38	-2,38
1234	VT-conSC(S-N)	GLOBAL	Force	Y Proj	0	2,18598	2,38	2,38

1234	VL-sinSC(O-E)	GLOBAL	Force	X Proj	0	2,18598	0,28	0,28
1234	VL-sinSC(E-O)	GLOBAL	Force	X Proj	0	2,18598	-0,28	-0,28
1234	VL-conSC(O-E)	GLOBAL	Force	X Proj	0	2,18598	0,41	0,41
1234	VL-conSC(E-O)	GLOBAL	Force	X Proj	0	2,18598	-0,41	-0,41
1235	CM	GLOBAL	Force	Gravity	0	2,186	0,04	0,04
1235	VT-sinSC(N-S)	GLOBAL	Force	Y Proj	0	2,186	-1,6	-1,6
1235	VT-sinSC(S-N)	GLOBAL	Force	Y Proj	0	2,186	1,6	1,6
1235	VT-conSC(N-S)	GLOBAL	Force	Y Proj	0	2,186	-2,38	-2,38
1235	VT-conSC(S-N)	GLOBAL	Force	Y Proj	0	2,186	2,38	2,38
1235	VL-sinSC(O-E)	GLOBAL	Force	X Proj	0	2,186	0,28	0,28
1235	VL-sinSC(E-O)	GLOBAL	Force	X Proj	0	2,186	-0,28	-0,28
1235	VL-conSC(O-E)	GLOBAL	Force	X Proj	0	2,186	0,41	0,41
1235	VL-conSC(E-O)	GLOBAL	Force	X Proj	0	2,186	-0,41	-0,41
1236	CM	GLOBAL	Force	Gravity	0	2,186	0,04	0,04
1236	VT-sinSC(N-S)	GLOBAL	Force	Y Proj	0	2,186	-1,6	-1,6
1236	VT-sinSC(S-N)	GLOBAL	Force	Y Proj	0	2,186	1,6	1,6
1236	VT-conSC(N-S)	GLOBAL	Force	Y Proj	0	2,186	-2,38	-2,38
1236	VT-conSC(S-N)	GLOBAL	Force	Y Proj	0	2,186	2,38	2,38
1236	VL-sinSC(O-E)	GLOBAL	Force	X Proj	0	2,186	0,28	0,28
1236	VL-sinSC(E-O)	GLOBAL	Force	X Proj	0	2,186	-0,28	-0,28
1236	VL-conSC(O-E)	GLOBAL	Force	X Proj	0	2,186	0,41	0,41
1236	VL-conSC(E-O)	GLOBAL	Force	X Proj	0	2,186	-0,41	-0,41
1237	CM	GLOBAL	Force	Gravity	0	0,06157	0,04	0,04
1237	VT-sinSC(N-S)	GLOBAL	Force	Y Proj	0	0,06157	-1,6	-1,6
1237	VT-sinSC(S-N)	GLOBAL	Force	Y Proj	0	0,06157	1,6	1,6
1237	VT-conSC(N-S)	GLOBAL	Force	Y Proj	0	0,06157	-2,38	-2,38
1237	VT-conSC(S-N)	GLOBAL	Force	Y Proj	0	0,06157	2,38	2,38
1237	VL-sinSC(O-E)	GLOBAL	Force	X Proj	0	0,06157	0,28	0,28
1237	VL-sinSC(E-O)	GLOBAL	Force	X Proj	0	0,06157	-0,28	-0,28
1237	VL-conSC(O-E)	GLOBAL	Force	X Proj	0	0,06157	0,41	0,41
1237	VL-conSC(E-O)	GLOBAL	Force	X Proj	0	0,06157	-0,41	-0,41
1238	CM	GLOBAL	Force	Gravity	0	0,1207	0,04	0,04
1238	VT-sinSC(N-S)	GLOBAL	Force	Y Proj	0	0,1207	-1,6	-1,6
1238	VT-sinSC(S-N)	GLOBAL	Force	Y Proj	0	0,1207	1,6	1,6
1238	VT-conSC(N-S)	GLOBAL	Force	Y Proj	0	0,1207	-2,38	-2,38
1238	VT-conSC(S-N)	GLOBAL	Force	Y Proj	0	0,1207	2,38	2,38
1238	VL-sinSC(O-E)	GLOBAL	Force	X Proj	0	0,1207	0,28	0,28
1238	VL-sinSC(E-O)	GLOBAL	Force	X Proj	0	0,1207	-0,28	-0,28
1238	VL-conSC(O-E)	GLOBAL	Force	X Proj	0	0,1207	0,41	0,41



1238	VL-conSC(E-O)	GLOBAL	Force	X Proj	0	0,1207	-0,41	-0,41
1239	CM	GLOBAL	Force	Gravity	0	0,05009	0,04	0,04
1239	VT-sinSC(N-S)	GLOBAL	Force	Y Proj	0	0,05009	-1,6	-1,6
1239	VT-sinSC(S-N)	GLOBAL	Force	Y Proj	0	0,05009	1,6	1,6
1239	VT-conSC(N-S)	GLOBAL	Force	Y Proj	0	0,05009	-2,38	-2,38
1239	VT-conSC(S-N)	GLOBAL	Force	Y Proj	0	0,05009	2,38	2,38
1239	VL-sinSC(O-E)	GLOBAL	Force	X Proj	0	0,05009	0,28	0,28
1239	VL-sinSC(E-O)	GLOBAL	Force	X Proj	0	0,05009	-0,28	-0,28
1239	VL-conSC(O-E)	GLOBAL	Force	X Proj	0	0,05009	0,41	0,41
1239	VL-conSC(E-O)	GLOBAL	Force	X Proj	0	0,05009	-0,41	-0,41
1240	CM	GLOBAL	Force	Gravity	0	0,08976	0,04	0,04
1240	VT-sinSC(N-S)	GLOBAL	Force	Y Proj	0	0,08976	-1,6	-1,6
1240	VT-sinSC(S-N)	GLOBAL	Force	Y Proj	0	0,08976	1,6	1,6
1240	VT-conSC(N-S)	GLOBAL	Force	Y Proj	0	0,08976	-2,38	-2,38
1240	VT-conSC(S-N)	GLOBAL	Force	Y Proj	0	0,08976	2,38	2,38
1240	VL-sinSC(O-E)	GLOBAL	Force	X Proj	0	0,08976	0,28	0,28
1240	VL-sinSC(E-O)	GLOBAL	Force	X Proj	0	0,08976	-0,28	-0,28
1240	VL-conSC(O-E)	GLOBAL	Force	X Proj	0	0,08976	0,41	0,41
1240	VL-conSC(E-O)	GLOBAL	Force	X Proj	0	0,08976	-0,41	-0,41
1241	CM	GLOBAL	Force	Gravity	0	0,12275	0,04	0,04
1241	VT-sinSC(N-S)	GLOBAL	Force	Y Proj	0	0,12275	-1,6	-1,6
1241	VT-sinSC(S-N)	GLOBAL	Force	Y Proj	0	0,12275	1,6	1,6
1241	VT-conSC(N-S)	GLOBAL	Force	Y Proj	0	0,12275	-2,38	-2,38
1241	VT-conSC(S-N)	GLOBAL	Force	Y Proj	0	0,12275	2,38	2,38
1241	VL-sinSC(O-E)	GLOBAL	Force	X Proj	0	0,12275	0,28	0,28
1241	VL-sinSC(E-O)	GLOBAL	Force	X Proj	0	0,12275	-0,28	-0,28
1241	VL-conSC(O-E)	GLOBAL	Force	X Proj	0	0,12275	0,41	0,41
1241	VL-conSC(E-O)	GLOBAL	Force	X Proj	0	0,12275	-0,41	-0,41
1242	CM	GLOBAL	Force	Gravity	0	0,05934	0,04	0,04
1242	VT-sinSC(N-S)	GLOBAL	Force	Y Proj	0	0,05934	-1,6	-1,6
1242	VT-sinSC(S-N)	GLOBAL	Force	Y Proj	0	0,05934	1,6	1,6
1242	VT-conSC(N-S)	GLOBAL	Force	Y Proj	0	0,05934	-2,38	-2,38
1242	VT-conSC(S-N)	GLOBAL	Force	Y Proj	0	0,05934	2,38	2,38
1242	VL-sinSC(O-E)	GLOBAL	Force	X Proj	0	0,05934	0,28	0,28
1242	VL-sinSC(E-O)	GLOBAL	Force	X Proj	0	0,05934	-0,28	-0,28
1242	VL-conSC(O-E)	GLOBAL	Force	X Proj	0	0,05934	0,41	0,41
1242	VL-conSC(E-O)	GLOBAL	Force	X Proj	0	0,05934	-0,41	-0,41
1243	CM	GLOBAL	Force	Gravity	0	0,09554	0,04	0,04
1243	VT-sinSC(N-S)	GLOBAL	Force	Y Proj	0	0,09554	-1,6	-1,6

1243	VT-sinSC(S-N)	GLOBAL	Force	Y Proj	0	0,09554	1,6	1,6
1243	VT-conSC(N-S)	GLOBAL	Force	Y Proj	0	0,09554	-2,38	-2,38
1243	VT-conSC(S-N)	GLOBAL	Force	Y Proj	0	0,09554	2,38	2,38
1243	VL-sinSC(O-E)	GLOBAL	Force	X Proj	0	0,09554	0,28	0,28
1243	VL-sinSC(E-O)	GLOBAL	Force	X Proj	0	0,09554	-0,28	-0,28
1243	VL-conSC(O-E)	GLOBAL	Force	X Proj	0	0,09554	0,41	0,41
1243	VL-conSC(E-O)	GLOBAL	Force	X Proj	0	0,09554	-0,41	-0,41
1244	CM	GLOBAL	Force	Gravity	0	0,04408	0,04	0,04
1244	VT-sinSC(N-S)	GLOBAL	Force	Y Proj	0	0,04408	-1,6	-1,6
1244	VT-sinSC(S-N)	GLOBAL	Force	Y Proj	0	0,04408	1,6	1,6
1244	VT-conSC(N-S)	GLOBAL	Force	Y Proj	0	0,04408	-2,38	-2,38
1244	VT-conSC(S-N)	GLOBAL	Force	Y Proj	0	0,04408	2,38	2,38
1244	VL-sinSC(O-E)	GLOBAL	Force	X Proj	0	0,04408	0,28	0,28
1244	VL-sinSC(E-O)	GLOBAL	Force	X Proj	0	0,04408	-0,28	-0,28
1244	VL-conSC(O-E)	GLOBAL	Force	X Proj	0	0,04408	0,41	0,41
1244	VL-conSC(E-O)	GLOBAL	Force	X Proj	0	0,04408	-0,41	-0,41
1245	CM	GLOBAL	Force	Gravity	0	0,03806	0,04	0,04
1245	VT-sinSC(N-S)	GLOBAL	Force	Y Proj	0	0,03806	-1,6	-1,6
1245	VT-sinSC(S-N)	GLOBAL	Force	Y Proj	0	0,03806	1,6	1,6
1245	VT-conSC(N-S)	GLOBAL	Force	Y Proj	0	0,03806	-2,38	-2,38
1245	VT-conSC(S-N)	GLOBAL	Force	Y Proj	0	0,03806	2,38	2,38
1245	VL-sinSC(O-E)	GLOBAL	Force	X Proj	0	0,03806	0,28	0,28
1245	VL-sinSC(E-O)	GLOBAL	Force	X Proj	0	0,03806	-0,28	-0,28
1245	VL-conSC(O-E)	GLOBAL	Force	X Proj	0	0,03806	0,41	0,41
1245	VL-conSC(E-O)	GLOBAL	Force	X Proj	0	0,03806	-0,41	-0,41
1246	CM	GLOBAL	Force	Gravity	0	0,03806	0,04	0,04
1246	VT-sinSC(N-S)	GLOBAL	Force	Y Proj	0	0,03806	-1,6	-1,6
1246	VT-sinSC(S-N)	GLOBAL	Force	Y Proj	0	0,03806	1,6	1,6
1246	VT-conSC(N-S)	GLOBAL	Force	Y Proj	0	0,03806	-2,38	-2,38
1246	VT-conSC(S-N)	GLOBAL	Force	Y Proj	0	0,03806	2,38	2,38
1246	VL-sinSC(O-E)	GLOBAL	Force	X Proj	0	0,03806	0,28	0,28
1246	VL-sinSC(E-O)	GLOBAL	Force	X Proj	0	0,03806	-0,28	-0,28
1246	VL-conSC(O-E)	GLOBAL	Force	X Proj	0	0,03806	0,41	0,41
1246	VL-conSC(E-O)	GLOBAL	Force	X Proj	0	0,03806	-0,41	-0,41
1247	CM	GLOBAL	Force	Gravity	0	0,04966	0,04	0,04
1247	VT-sinSC(N-S)	GLOBAL	Force	Y Proj	0	0,04966	-1,6	-1,6
1247	VT-sinSC(S-N)	GLOBAL	Force	Y Proj	0	0,04966	1,6	1,6
1247	VT-conSC(N-S)	GLOBAL	Force	Y Proj	0	0,04966	-2,38	-2,38
1247	VT-conSC(S-N)	GLOBAL	Force	Y Proj	0	0,04966	2,38	2,38



1247	VL-sinSC(O-E)	GLOBAL	Force	X Proj	0	0,04966	0,28	0,28
1247	VL-sinSC(E-O)	GLOBAL	Force	X Proj	0	0,04966	-0,28	-0,28
1247	VL-conSC(O-E)	GLOBAL	Force	X Proj	0	0,04966	0,41	0,41
1247	VL-conSC(E-O)	GLOBAL	Force	X Proj	0	0,04966	-0,41	-0,41
1248	CM	GLOBAL	Force	Gravity	0	0,04966	0,04	0,04
1248	VT-sinSC(N-S)	GLOBAL	Force	Y Proj	0	0,04966	-1,6	-1,6
1248	VT-sinSC(S-N)	GLOBAL	Force	Y Proj	0	0,04966	1,6	1,6
1248	VT-conSC(N-S)	GLOBAL	Force	Y Proj	0	0,04966	-2,38	-2,38
1248	VT-conSC(S-N)	GLOBAL	Force	Y Proj	0	0,04966	2,38	2,38
1248	VL-sinSC(O-E)	GLOBAL	Force	X Proj	0	0,04966	0,28	0,28
1248	VL-sinSC(E-O)	GLOBAL	Force	X Proj	0	0,04966	-0,28	-0,28
1248	VL-conSC(O-E)	GLOBAL	Force	X Proj	0	0,04966	0,41	0,41
1248	VL-conSC(E-O)	GLOBAL	Force	X Proj	0	0,04966	-0,41	-0,41
1249	CM	GLOBAL	Force	Gravity	0	0,10763	0,04	0,04
1249	VT-sinSC(N-S)	GLOBAL	Force	Y Proj	0	0,10763	-1,6	-1,6
1249	VT-sinSC(S-N)	GLOBAL	Force	Y Proj	0	0,10763	1,6	1,6
1249	VT-conSC(N-S)	GLOBAL	Force	Y Proj	0	0,10763	-2,38	-2,38
1249	VT-conSC(S-N)	GLOBAL	Force	Y Proj	0	0,10763	2,38	2,38
1249	VL-sinSC(O-E)	GLOBAL	Force	X Proj	0	0,10763	0,28	0,28
1249	VL-sinSC(E-O)	GLOBAL	Force	X Proj	0	0,10763	-0,28	-0,28
1249	VL-conSC(O-E)	GLOBAL	Force	X Proj	0	0,10763	0,41	0,41
1249	VL-conSC(E-O)	GLOBAL	Force	X Proj	0	0,10763	-0,41	-0,41
1250	CM	GLOBAL	Force	Gravity	0	0,07635	0,04	0,04
1250	VT-sinSC(N-S)	GLOBAL	Force	Y Proj	0	0,07635	-1,6	-1,6
1250	VT-sinSC(S-N)	GLOBAL	Force	Y Proj	0	0,07635	1,6	1,6
1250	VT-conSC(N-S)	GLOBAL	Force	Y Proj	0	0,07635	-2,38	-2,38
1250	VT-conSC(S-N)	GLOBAL	Force	Y Proj	0	0,07635	2,38	2,38
1250	VL-sinSC(O-E)	GLOBAL	Force	X Proj	0	0,07635	0,28	0,28
1250	VL-sinSC(E-O)	GLOBAL	Force	X Proj	0	0,07635	-0,28	-0,28
1250	VL-conSC(O-E)	GLOBAL	Force	X Proj	0	0,07635	0,41	0,41
1250	VL-conSC(E-O)	GLOBAL	Force	X Proj	0	0,07635	-0,41	-0,41
1251	CM	GLOBAL	Force	Gravity	0	0,03647	0,04	0,04
1251	VT-sinSC(N-S)	GLOBAL	Force	Y Proj	0	0,03647	-1,6	-1,6
1251	VT-sinSC(S-N)	GLOBAL	Force	Y Proj	0	0,03647	1,6	1,6
1251	VT-conSC(N-S)	GLOBAL	Force	Y Proj	0	0,03647	-2,38	-2,38
1251	VT-conSC(S-N)	GLOBAL	Force	Y Proj	0	0,03647	2,38	2,38
1251	VL-sinSC(O-E)	GLOBAL	Force	X Proj	0	0,03647	0,28	0,28
1251	VL-sinSC(E-O)	GLOBAL	Force	X Proj	0	0,03647	-0,28	-0,28
1251	VL-conSC(O-E)	GLOBAL	Force	X Proj	0	0,03647	0,41	0,41

1251	VL-conSC(E-O)	GLOBAL	Force	X Proj	0	0,03647	-0,41	-0,41
1252	CM	GLOBAL	Force	Gravity	0	0,1548	0,04	0,04
1252	VT-sinSC(N-S)	GLOBAL	Force	Y Proj	0	0,1548	-1,6	-1,6
1252	VT-sinSC(S-N)	GLOBAL	Force	Y Proj	0	0,1548	1,6	1,6
1252	VT-conSC(N-S)	GLOBAL	Force	Y Proj	0	0,1548	-2,38	-2,38
1252	VT-conSC(S-N)	GLOBAL	Force	Y Proj	0	0,1548	2,38	2,38
1252	VL-sinSC(O-E)	GLOBAL	Force	X Proj	0	0,1548	0,28	0,28
1252	VL-sinSC(E-O)	GLOBAL	Force	X Proj	0	0,1548	-0,28	-0,28
1252	VL-conSC(O-E)	GLOBAL	Force	X Proj	0	0,1548	0,41	0,41
1252	VL-conSC(E-O)	GLOBAL	Force	X Proj	0	0,1548	-0,41	-0,41
1253	CM	GLOBAL	Force	Gravity	0	0,03387	0,04	0,04
1253	VT-sinSC(N-S)	GLOBAL	Force	Y Proj	0	0,03387	-1,6	-1,6
1253	VT-sinSC(S-N)	GLOBAL	Force	Y Proj	0	0,03387	1,6	1,6
1253	VT-conSC(N-S)	GLOBAL	Force	Y Proj	0	0,03387	-2,38	-2,38
1253	VT-conSC(S-N)	GLOBAL	Force	Y Proj	0	0,03387	2,38	2,38
1253	VL-sinSC(O-E)	GLOBAL	Force	X Proj	0	0,03387	0,28	0,28
1253	VL-sinSC(E-O)	GLOBAL	Force	X Proj	0	0,03387	-0,28	-0,28
1253	VL-conSC(O-E)	GLOBAL	Force	X Proj	0	0,03387	0,41	0,41
1253	VL-conSC(E-O)	GLOBAL	Force	X Proj	0	0,03387	-0,41	-0,41
1254	CM	GLOBAL	Force	Gravity	0	0,15073	0,04	0,04
1254	VT-sinSC(N-S)	GLOBAL	Force	Y Proj	0	0,15073	-1,6	-1,6
1254	VT-sinSC(S-N)	GLOBAL	Force	Y Proj	0	0,15073	1,6	1,6
1254	VT-conSC(N-S)	GLOBAL	Force	Y Proj	0	0,15073	-2,38	-2,38
1254	VT-conSC(S-N)	GLOBAL	Force	Y Proj	0	0,15073	2,38	2,38
1254	VL-sinSC(O-E)	GLOBAL	Force	X Proj	0	0,15073	0,28	0,28
1254	VL-sinSC(E-O)	GLOBAL	Force	X Proj	0	0,15073	-0,28	-0,28
1254	VL-conSC(O-E)	GLOBAL	Force	X Proj	0	0,15073	0,41	0,41
1254	VL-conSC(E-O)	GLOBAL	Force	X Proj	0	0,15073	-0,41	-0,41
1255	CM	GLOBAL	Force	Gravity	0	0,07517	0,04	0,04
1255	VT-sinSC(N-S)	GLOBAL	Force	Y Proj	0	0,07517	-1,6	-1,6
1255	VT-sinSC(S-N)	GLOBAL	Force	Y Proj	0	0,07517	1,6	1,6
1255	VT-conSC(N-S)	GLOBAL	Force	Y Proj	0	0,07517	-2,38	-2,38
1255	VT-conSC(S-N)	GLOBAL	Force	Y Proj	0	0,07517	2,38	2,38
1255	VL-sinSC(O-E)	GLOBAL	Force	X Proj	0	0,07517	0,28	0,28
1255	VL-sinSC(E-O)	GLOBAL	Force	X Proj	0	0,07517	-0,28	-0,28
1255	VL-conSC(O-E)	GLOBAL	Force	X Proj	0	0,07517	0,41	0,41
1255	VL-conSC(E-O)	GLOBAL	Force	X Proj	0	0,07517	-0,41	-0,41
1256	CM	GLOBAL	Force	Gravity	0	0,11625	0,04	0,04
1256	VT-sinSC(N-S)	GLOBAL	Force	Y Proj	0	0,11625	-1,6	-1,6



1256	VT-sinSC(S-N)	GLOBAL	Force	Y Proj	0	0,11625	1,6	1,6
1256	VT-conSC(N-S)	GLOBAL	Force	Y Proj	0	0,11625	-2,38	-2,38
1256	VT-conSC(S-N)	GLOBAL	Force	Y Proj	0	0,11625	2,38	2,38
1256	VL-sinSC(O-E)	GLOBAL	Force	X Proj	0	0,11625	0,28	0,28
1256	VL-sinSC(E-O)	GLOBAL	Force	X Proj	0	0,11625	-0,28	-0,28
1256	VL-conSC(O-E)	GLOBAL	Force	X Proj	0	0,11625	0,41	0,41
1256	VL-conSC(E-O)	GLOBAL	Force	X Proj	0	0,11625	-0,41	-0,41
1257	CM	GLOBAL	Force	Gravity	0	0,14614	0,04	0,04
1257	VT-sinSC(N-S)	GLOBAL	Force	Y Proj	0	0,14614	-1,6	-1,6
1257	VT-sinSC(S-N)	GLOBAL	Force	Y Proj	0	0,14614	1,6	1,6
1257	VT-conSC(N-S)	GLOBAL	Force	Y Proj	0	0,14614	-2,38	-2,38
1257	VT-conSC(S-N)	GLOBAL	Force	Y Proj	0	0,14614	2,38	2,38
1257	VL-sinSC(O-E)	GLOBAL	Force	X Proj	0	0,14614	0,28	0,28
1257	VL-sinSC(E-O)	GLOBAL	Force	X Proj	0	0,14614	-0,28	-0,28
1257	VL-conSC(O-E)	GLOBAL	Force	X Proj	0	0,14614	0,41	0,41
1257	VL-conSC(E-O)	GLOBAL	Force	X Proj	0	0,14614	-0,41	-0,41
1258	CM	GLOBAL	Force	Gravity	0	0,03838	0,04	0,04
1258	VT-sinSC(N-S)	GLOBAL	Force	Y Proj	0	0,03838	-1,6	-1,6
1258	VT-sinSC(S-N)	GLOBAL	Force	Y Proj	0	0,03838	1,6	1,6
1258	VT-conSC(N-S)	GLOBAL	Force	Y Proj	0	0,03838	-2,38	-2,38
1258	VT-conSC(S-N)	GLOBAL	Force	Y Proj	0	0,03838	2,38	2,38
1258	VL-sinSC(O-E)	GLOBAL	Force	X Proj	0	0,03838	0,28	0,28
1258	VL-sinSC(E-O)	GLOBAL	Force	X Proj	0	0,03838	-0,28	-0,28
1258	VL-conSC(O-E)	GLOBAL	Force	X Proj	0	0,03838	0,41	0,41
1258	VL-conSC(E-O)	GLOBAL	Force	X Proj	0	0,03838	-0,41	-0,41
1259	CM	GLOBAL	Force	Gravity	0	0,11488	0,04	0,04
1259	VT-sinSC(N-S)	GLOBAL	Force	Y Proj	0	0,11488	-1,6	-1,6
1259	VT-sinSC(S-N)	GLOBAL	Force	Y Proj	0	0,11488	1,6	1,6
1259	VT-conSC(N-S)	GLOBAL	Force	Y Proj	0	0,11488	-2,38	-2,38
1259	VT-conSC(S-N)	GLOBAL	Force	Y Proj	0	0,11488	2,38	2,38
1259	VL-sinSC(O-E)	GLOBAL	Force	X Proj	0	0,11488	0,28	0,28
1259	VL-sinSC(E-O)	GLOBAL	Force	X Proj	0	0,11488	-0,28	-0,28
1259	VL-conSC(O-E)	GLOBAL	Force	X Proj	0	0,11488	0,41	0,41
1259	VL-conSC(E-O)	GLOBAL	Force	X Proj	0	0,11488	-0,41	-0,41
1260	CM	GLOBAL	Force	Gravity	0	0,07664	0,04	0,04
1260	VT-sinSC(N-S)	GLOBAL	Force	Y Proj	0	0,07664	-1,6	-1,6
1260	VT-sinSC(S-N)	GLOBAL	Force	Y Proj	0	0,07664	1,6	1,6
1260	VT-conSC(N-S)	GLOBAL	Force	Y Proj	0	0,07664	-2,38	-2,38
1260	VT-conSC(S-N)	GLOBAL	Force	Y Proj	0	0,07664	2,38	2,38

1260	VL-sinSC(O-E)	GLOBAL	Force	X Proj	0	0,07664	0,28	0,28
1260	VL-sinSC(E-O)	GLOBAL	Force	X Proj	0	0,07664	-0,28	-0,28
1260	VL-conSC(O-E)	GLOBAL	Force	X Proj	0	0,07664	0,41	0,41
1260	VL-conSC(E-O)	GLOBAL	Force	X Proj	0	0,07664	-0,41	-0,41
1261	CM	GLOBAL	Force	Gravity	0	0,07167	0,04	0,04
1261	VT-sinSC(N-S)	GLOBAL	Force	Y Proj	0	0,07167	-1,6	-1,6
1261	VT-sinSC(S-N)	GLOBAL	Force	Y Proj	0	0,07167	1,6	1,6
1261	VT-conSC(N-S)	GLOBAL	Force	Y Proj	0	0,07167	-2,38	-2,38
1261	VT-conSC(S-N)	GLOBAL	Force	Y Proj	0	0,07167	2,38	2,38
1261	VL-sinSC(O-E)	GLOBAL	Force	X Proj	0	0,07167	0,28	0,28
1261	VL-sinSC(E-O)	GLOBAL	Force	X Proj	0	0,07167	-0,28	-0,28
1261	VL-conSC(O-E)	GLOBAL	Force	X Proj	0	0,07167	0,41	0,41
1261	VL-conSC(E-O)	GLOBAL	Force	X Proj	0	0,07167	-0,41	-0,41
1262	CM	GLOBAL	Force	Gravity	0	0,11286	0,04	0,04
1262	VT-sinSC(N-S)	GLOBAL	Force	Y Proj	0	0,11286	-1,6	-1,6
1262	VT-sinSC(S-N)	GLOBAL	Force	Y Proj	0	0,11286	1,6	1,6
1262	VT-conSC(N-S)	GLOBAL	Force	Y Proj	0	0,11286	-2,38	-2,38
1262	VT-conSC(S-N)	GLOBAL	Force	Y Proj	0	0,11286	2,38	2,38
1262	VL-sinSC(O-E)	GLOBAL	Force	X Proj	0	0,11286	0,28	0,28
1262	VL-sinSC(E-O)	GLOBAL	Force	X Proj	0	0,11286	-0,28	-0,28
1262	VL-conSC(O-E)	GLOBAL	Force	X Proj	0	0,11286	0,41	0,41
1262	VL-conSC(E-O)	GLOBAL	Force	X Proj	0	0,11286	-0,41	-0,41
1263	CM	GLOBAL	Force	Gravity	0	0,15301	0,04	0,04
1263	VT-sinSC(N-S)	GLOBAL	Force	Y Proj	0	0,15301	-1,6	-1,6
1263	VT-sinSC(S-N)	GLOBAL	Force	Y Proj	0	0,15301	1,6	1,6
1263	VT-conSC(N-S)	GLOBAL	Force	Y Proj	0	0,15301	-2,38	-2,38
1263	VT-conSC(S-N)	GLOBAL	Force	Y Proj	0	0,15301	2,38	2,38
1263	VL-sinSC(O-E)	GLOBAL	Force	X Proj	0	0,15301	0,28	0,28
1263	VL-sinSC(E-O)	GLOBAL	Force	X Proj	0	0,15301	-0,28	-0,28
1263	VL-conSC(O-E)	GLOBAL	Force	X Proj	0	0,15301	0,41	0,41
1263	VL-conSC(E-O)	GLOBAL	Force	X Proj	0	0,15301	-0,41	-0,41
1264	CM	GLOBAL	Force	Gravity	0	0,03855	0,04	0,04
1264	VT-sinSC(N-S)	GLOBAL	Force	Y Proj	0	0,03855	-1,6	-1,6
1264	VT-sinSC(S-N)	GLOBAL	Force	Y Proj	0	0,03855	1,6	1,6
1264	VT-conSC(N-S)	GLOBAL	Force	Y Proj	0	0,03855	-2,38	-2,38
1264	VT-conSC(S-N)	GLOBAL	Force	Y Proj	0	0,03855	2,38	2,38
1264	VL-sinSC(O-E)	GLOBAL	Force	X Proj	0	0,03855	0,28	0,28
1264	VL-sinSC(E-O)	GLOBAL	Force	X Proj	0	0,03855	-0,28	-0,28
1264	VL-conSC(O-E)	GLOBAL	Force	X Proj	0	0,03855	0,41	0,41



1264	VL-conSC(E-O)	GLOBAL	Force	X Proj	0	0,03855	-0,41	-0,41
1265	CM	GLOBAL	Force	Gravity	0	0,02822	0,04	0,04
1265	VT-sinSC(N-S)	GLOBAL	Force	Y Proj	0	0,02822	-1,6	-1,6
1265	VT-sinSC(S-N)	GLOBAL	Force	Y Proj	0	0,02822	1,6	1,6
1265	VT-conSC(N-S)	GLOBAL	Force	Y Proj	0	0,02822	-2,38	-2,38
1265	VT-conSC(S-N)	GLOBAL	Force	Y Proj	0	0,02822	2,38	2,38
1265	VL-sinSC(O-E)	GLOBAL	Force	X Proj	0	0,02822	0,28	0,28
1265	VL-sinSC(E-O)	GLOBAL	Force	X Proj	0	0,02822	-0,28	-0,28
1265	VL-conSC(O-E)	GLOBAL	Force	X Proj	0	0,02822	0,41	0,41
1265	VL-conSC(E-O)	GLOBAL	Force	X Proj	0	0,02822	-0,41	-0,41
1266	CM	GLOBAL	Force	Gravity	0	0,11859	0,04	0,04
1266	VT-sinSC(N-S)	GLOBAL	Force	Y Proj	0	0,11859	-1,6	-1,6
1266	VT-sinSC(S-N)	GLOBAL	Force	Y Proj	0	0,11859	1,6	1,6
1266	VT-conSC(N-S)	GLOBAL	Force	Y Proj	0	0,11859	-2,38	-2,38
1266	VT-conSC(S-N)	GLOBAL	Force	Y Proj	0	0,11859	2,38	2,38
1266	VL-sinSC(O-E)	GLOBAL	Force	X Proj	0	0,11859	0,28	0,28
1266	VL-sinSC(E-O)	GLOBAL	Force	X Proj	0	0,11859	-0,28	-0,28
1266	VL-conSC(O-E)	GLOBAL	Force	X Proj	0	0,11859	0,41	0,41
1266	VL-conSC(E-O)	GLOBAL	Force	X Proj	0	0,11859	-0,41	-0,41
1267	CM	GLOBAL	Force	Gravity	0	0,03687	0,04	0,04
1267	VT-sinSC(N-S)	GLOBAL	Force	Y Proj	0	0,03687	-1,6	-1,6
1267	VT-sinSC(S-N)	GLOBAL	Force	Y Proj	0	0,03687	1,6	1,6
1267	VT-conSC(N-S)	GLOBAL	Force	Y Proj	0	0,03687	-2,38	-2,38
1267	VT-conSC(S-N)	GLOBAL	Force	Y Proj	0	0,03687	2,38	2,38
1267	VL-sinSC(O-E)	GLOBAL	Force	X Proj	0	0,03687	0,28	0,28
1267	VL-sinSC(E-O)	GLOBAL	Force	X Proj	0	0,03687	-0,28	-0,28
1267	VL-conSC(O-E)	GLOBAL	Force	X Proj	0	0,03687	0,41	0,41
1267	VL-conSC(E-O)	GLOBAL	Force	X Proj	0	0,03687	-0,41	-0,41
1268	CM	GLOBAL	Force	Gravity	0	0,15436	0,04	0,04
1268	VT-sinSC(N-S)	GLOBAL	Force	Y Proj	0	0,15436	-1,6	-1,6
1268	VT-sinSC(S-N)	GLOBAL	Force	Y Proj	0	0,15436	1,6	1,6
1268	VT-conSC(N-S)	GLOBAL	Force	Y Proj	0	0,15436	-2,38	-2,38
1268	VT-conSC(S-N)	GLOBAL	Force	Y Proj	0	0,15436	2,38	2,38
1268	VL-sinSC(O-E)	GLOBAL	Force	X Proj	0	0,15436	0,28	0,28
1268	VL-sinSC(E-O)	GLOBAL	Force	X Proj	0	0,15436	-0,28	-0,28
1268	VL-conSC(O-E)	GLOBAL	Force	X Proj	0	0,15436	0,41	0,41
1268	VL-conSC(E-O)	GLOBAL	Force	X Proj	0	0,15436	-0,41	-0,41
1269	CM	GLOBAL	Force	Gravity	0	0,05894	0,04	0,04
1269	VT-sinSC(N-S)	GLOBAL	Force	Y Proj	0	0,05894	-1,6	-1,6

1269	VT-sinSC(S-N)	GLOBAL	Force	Y Proj	0	0,05894	1,6	1,6
1269	VT-conSC(N-S)	GLOBAL	Force	Y Proj	0	0,05894	-2,38	-2,38
1269	VT-conSC(S-N)	GLOBAL	Force	Y Proj	0	0,05894	2,38	2,38
1269	VL-sinSC(O-E)	GLOBAL	Force	X Proj	0	0,05894	0,28	0,28
1269	VL-sinSC(E-O)	GLOBAL	Force	X Proj	0	0,05894	-0,28	-0,28
1269	VL-conSC(O-E)	GLOBAL	Force	X Proj	0	0,05894	0,41	0,41
1269	VL-conSC(E-O)	GLOBAL	Force	X Proj	0	0,05894	-0,41	-0,41
1270	CM	GLOBAL	Force	Gravity	0	0,08809	0,04	0,04
1270	VT-sinSC(N-S)	GLOBAL	Force	Y Proj	0	0,08809	-1,6	-1,6
1270	VT-sinSC(S-N)	GLOBAL	Force	Y Proj	0	0,08809	1,6	1,6
1270	VT-conSC(N-S)	GLOBAL	Force	Y Proj	0	0,08809	-2,38	-2,38
1270	VT-conSC(S-N)	GLOBAL	Force	Y Proj	0	0,08809	2,38	2,38
1270	VL-sinSC(O-E)	GLOBAL	Force	X Proj	0	0,08809	0,28	0,28
1270	VL-sinSC(E-O)	GLOBAL	Force	X Proj	0	0,08809	-0,28	-0,28
1270	VL-conSC(O-E)	GLOBAL	Force	X Proj	0	0,08809	0,41	0,41
1270	VL-conSC(E-O)	GLOBAL	Force	X Proj	0	0,08809	-0,41	-0,41
1271	CM	GLOBAL	Force	Gravity	0	0,07653	0,04	0,04
1271	VT-sinSC(N-S)	GLOBAL	Force	Y Proj	0	0,07653	-1,6	-1,6
1271	VT-sinSC(S-N)	GLOBAL	Force	Y Proj	0	0,07653	1,6	1,6
1271	VT-conSC(N-S)	GLOBAL	Force	Y Proj	0	0,07653	-2,38	-2,38
1271	VT-conSC(S-N)	GLOBAL	Force	Y Proj	0	0,07653	2,38	2,38
1271	VL-sinSC(O-E)	GLOBAL	Force	X Proj	0	0,07653	0,28	0,28
1271	VL-sinSC(E-O)	GLOBAL	Force	X Proj	0	0,07653	-0,28	-0,28
1271	VL-conSC(O-E)	GLOBAL	Force	X Proj	0	0,07653	0,41	0,41
1271	VL-conSC(E-O)	GLOBAL	Force	X Proj	0	0,07653	-0,41	-0,41
1272	CM	GLOBAL	Force	Gravity	0	0,11495	0,04	0,04
1272	VT-sinSC(N-S)	GLOBAL	Force	Y Proj	0	0,11495	-1,6	-1,6
1272	VT-sinSC(S-N)	GLOBAL	Force	Y Proj	0	0,11495	1,6	1,6
1272	VT-conSC(N-S)	GLOBAL	Force	Y Proj	0	0,11495	-2,38	-2,38
1272	VT-conSC(S-N)	GLOBAL	Force	Y Proj	0	0,11495	2,38	2,38
1272	VL-sinSC(O-E)	GLOBAL	Force	X Proj	0	0,11495	0,28	0,28
1272	VL-sinSC(E-O)	GLOBAL	Force	X Proj	0	0,11495	-0,28	-0,28
1272	VL-conSC(O-E)	GLOBAL	Force	X Proj	0	0,11495	0,41	0,41
1272	VL-conSC(E-O)	GLOBAL	Force	X Proj	0	0,11495	-0,41	-0,41
1273	CM	GLOBAL	Force	Gravity	0	0,09037	0,04	0,04
1273	VT-sinSC(N-S)	GLOBAL	Force	Y Proj	0	0,09037	-1,6	-1,6
1273	VT-sinSC(S-N)	GLOBAL	Force	Y Proj	0	0,09037	1,6	1,6
1273	VT-conSC(N-S)	GLOBAL	Force	Y Proj	0	0,09037	-2,38	-2,38
1273	VT-conSC(S-N)	GLOBAL	Force	Y Proj	0	0,09037	2,38	2,38



1273	VL-sinSC(O-E)	GLOBAL	Force	X Proj	0	0,09037	0,28	0,28
1273	VL-sinSC(E-O)	GLOBAL	Force	X Proj	0	0,09037	-0,28	-0,28
1273	VL-conSC(O-E)	GLOBAL	Force	X Proj	0	0,09037	0,41	0,41
1273	VL-conSC(E-O)	GLOBAL	Force	X Proj	0	0,09037	-0,41	-0,41
1274	CM	GLOBAL	Force	Gravity	0	0,05672	0,04	0,04
1274	VT-sinSC(N-S)	GLOBAL	Force	Y Proj	0	0,05672	-1,6	-1,6
1274	VT-sinSC(S-N)	GLOBAL	Force	Y Proj	0	0,05672	1,6	1,6
1274	VT-conSC(N-S)	GLOBAL	Force	Y Proj	0	0,05672	-2,38	-2,38
1274	VT-conSC(S-N)	GLOBAL	Force	Y Proj	0	0,05672	2,38	2,38
1274	VL-sinSC(O-E)	GLOBAL	Force	X Proj	0	0,05672	0,28	0,28
1274	VL-sinSC(E-O)	GLOBAL	Force	X Proj	0	0,05672	-0,28	-0,28
1274	VL-conSC(O-E)	GLOBAL	Force	X Proj	0	0,05672	0,41	0,41
1274	VL-conSC(E-O)	GLOBAL	Force	X Proj	0	0,05672	-0,41	-0,41
1275	CM	GLOBAL	Force	Gravity	0	0,11706	0,04	0,04
1275	VT-sinSC(N-S)	GLOBAL	Force	Y Proj	0	0,11706	-1,6	-1,6
1275	VT-sinSC(S-N)	GLOBAL	Force	Y Proj	0	0,11706	1,6	1,6
1275	VT-conSC(N-S)	GLOBAL	Force	Y Proj	0	0,11706	-2,38	-2,38
1275	VT-conSC(S-N)	GLOBAL	Force	Y Proj	0	0,11706	2,38	2,38
1275	VL-sinSC(O-E)	GLOBAL	Force	X Proj	0	0,11706	0,28	0,28
1275	VL-sinSC(E-O)	GLOBAL	Force	X Proj	0	0,11706	-0,28	-0,28
1275	VL-conSC(O-E)	GLOBAL	Force	X Proj	0	0,11706	0,41	0,41
1275	VL-conSC(E-O)	GLOBAL	Force	X Proj	0	0,11706	-0,41	-0,41
1276	CM	GLOBAL	Force	Gravity	0	0,07453	0,04	0,04
1276	VT-sinSC(N-S)	GLOBAL	Force	Y Proj	0	0,07453	-1,6	-1,6
1276	VT-sinSC(S-N)	GLOBAL	Force	Y Proj	0	0,07453	1,6	1,6
1276	VT-conSC(N-S)	GLOBAL	Force	Y Proj	0	0,07453	-2,38	-2,38
1276	VT-conSC(S-N)	GLOBAL	Force	Y Proj	0	0,07453	2,38	2,38
1276	VL-sinSC(O-E)	GLOBAL	Force	X Proj	0	0,07453	0,28	0,28
1276	VL-sinSC(E-O)	GLOBAL	Force	X Proj	0	0,07453	-0,28	-0,28
1276	VL-conSC(O-E)	GLOBAL	Force	X Proj	0	0,07453	0,41	0,41
1276	VL-conSC(E-O)	GLOBAL	Force	X Proj	0	0,07453	-0,41	-0,41
1277	CM	GLOBAL	Force	Gravity	0	0,11875	0,04	0,04
1277	VT-sinSC(N-S)	GLOBAL	Force	Y Proj	0	0,11875	-1,6	-1,6
1277	VT-sinSC(S-N)	GLOBAL	Force	Y Proj	0	0,11875	1,6	1,6
1277	VT-conSC(N-S)	GLOBAL	Force	Y Proj	0	0,11875	-2,38	-2,38
1277	VT-conSC(S-N)	GLOBAL	Force	Y Proj	0	0,11875	2,38	2,38
1277	VL-sinSC(O-E)	GLOBAL	Force	X Proj	0	0,11875	0,28	0,28
1277	VL-sinSC(E-O)	GLOBAL	Force	X Proj	0	0,11875	-0,28	-0,28
1277	VL-conSC(O-E)	GLOBAL	Force	X Proj	0	0,11875	0,41	0,41

1277	VL-conSC(E-O)	GLOBAL	Force	X Proj	0	0,11875	-0,41	-0,41
1278	CM	GLOBAL	Force	Gravity	0	0,02783	0,04	0,04
1278	VT-sinSC(N-S)	GLOBAL	Force	Y Proj	0	0,02783	-1,6	-1,6
1278	VT-sinSC(S-N)	GLOBAL	Force	Y Proj	0	0,02783	1,6	1,6
1278	VT-conSC(N-S)	GLOBAL	Force	Y Proj	0	0,02783	-2,38	-2,38
1278	VT-conSC(S-N)	GLOBAL	Force	Y Proj	0	0,02783	2,38	2,38
1278	VL-sinSC(O-E)	GLOBAL	Force	X Proj	0	0,02783	0,28	0,28
1278	VL-sinSC(E-O)	GLOBAL	Force	X Proj	0	0,02783	-0,28	-0,28
1278	VL-conSC(O-E)	GLOBAL	Force	X Proj	0	0,02783	0,41	0,41
1278	VL-conSC(E-O)	GLOBAL	Force	X Proj	0	0,02783	-0,41	-0,41
1279	CM	GLOBAL	Force	Gravity	0	0,15359	0,04	0,04
1279	VT-sinSC(N-S)	GLOBAL	Force	Y Proj	0	0,15359	-1,6	-1,6
1279	VT-sinSC(S-N)	GLOBAL	Force	Y Proj	0	0,15359	1,6	1,6
1279	VT-conSC(N-S)	GLOBAL	Force	Y Proj	0	0,15359	-2,38	-2,38
1279	VT-conSC(S-N)	GLOBAL	Force	Y Proj	0	0,15359	2,38	2,38
1279	VL-sinSC(O-E)	GLOBAL	Force	X Proj	0	0,15359	0,28	0,28
1279	VL-sinSC(E-O)	GLOBAL	Force	X Proj	0	0,15359	-0,28	-0,28
1279	VL-conSC(O-E)	GLOBAL	Force	X Proj	0	0,15359	0,41	0,41
1279	VL-conSC(E-O)	GLOBAL	Force	X Proj	0	0,15359	-0,41	-0,41
1280	CM	GLOBAL	Force	Gravity	0	0,03738	0,04	0,04
1280	VT-sinSC(N-S)	GLOBAL	Force	Y Proj	0	0,03738	-1,6	-1,6
1280	VT-sinSC(S-N)	GLOBAL	Force	Y Proj	0	0,03738	1,6	1,6
1280	VT-conSC(N-S)	GLOBAL	Force	Y Proj	0	0,03738	-2,38	-2,38
1280	VT-conSC(S-N)	GLOBAL	Force	Y Proj	0	0,03738	2,38	2,38
1280	VL-sinSC(O-E)	GLOBAL	Force	X Proj	0	0,03738	0,28	0,28
1280	VL-sinSC(E-O)	GLOBAL	Force	X Proj	0	0,03738	-0,28	-0,28
1280	VL-conSC(O-E)	GLOBAL	Force	X Proj	0	0,03738	0,41	0,41
1280	VL-conSC(E-O)	GLOBAL	Force	X Proj	0	0,03738	-0,41	-0,41
1281	CM	GLOBAL	Force	Gravity	0	0,03808	0,04	0,04
1281	VT-sinSC(N-S)	GLOBAL	Force	Y Proj	0	0,03808	-1,6	-1,6
1281	VT-sinSC(S-N)	GLOBAL	Force	Y Proj	0	0,03808	1,6	1,6
1281	VT-conSC(N-S)	GLOBAL	Force	Y Proj	0	0,03808	-2,38	-2,38
1281	VT-conSC(S-N)	GLOBAL	Force	Y Proj	0	0,03808	2,38	2,38
1281	VL-sinSC(O-E)	GLOBAL	Force	X Proj	0	0,03808	0,28	0,28
1281	VL-sinSC(E-O)	GLOBAL	Force	X Proj	0	0,03808	-0,28	-0,28
1281	VL-conSC(O-E)	GLOBAL	Force	X Proj	0	0,03808	0,41	0,41
1281	VL-conSC(E-O)	GLOBAL	Force	X Proj	0	0,03808	-0,41	-0,41
1282	CM	GLOBAL	Force	Gravity	0	0,03803	0,04	0,04
1282	VT-sinSC(N-S)	GLOBAL	Force	Y Proj	0	0,03803	-1,6	-1,6



1282	VT-sinSC(S-N)	GLOBAL	Force	Y Proj	0	0,03803	1,6	1,6
1282	VT-conSC(N-S)	GLOBAL	Force	Y Proj	0	0,03803	-2,38	-2,38
1282	VT-conSC(S-N)	GLOBAL	Force	Y Proj	0	0,03803	2,38	2,38
1282	VL-sinSC(O-E)	GLOBAL	Force	X Proj	0	0,03803	0,28	0,28
1282	VL-sinSC(E-O)	GLOBAL	Force	X Proj	0	0,03803	-0,28	-0,28
1282	VL-conSC(O-E)	GLOBAL	Force	X Proj	0	0,03803	0,41	0,41
1282	VL-conSC(E-O)	GLOBAL	Force	X Proj	0	0,03803	-0,41	-0,41
1283	CM	GLOBAL	Force	Gravity	0	0,04966	0,04	0,04
1283	VT-sinSC(N-S)	GLOBAL	Force	Y Proj	0	0,04966	-1,6	-1,6
1283	VT-sinSC(S-N)	GLOBAL	Force	Y Proj	0	0,04966	1,6	1,6
1283	VT-conSC(N-S)	GLOBAL	Force	Y Proj	0	0,04966	-2,38	-2,38
1283	VT-conSC(S-N)	GLOBAL	Force	Y Proj	0	0,04966	2,38	2,38
1283	VL-sinSC(O-E)	GLOBAL	Force	X Proj	0	0,04966	0,28	0,28
1283	VL-sinSC(E-O)	GLOBAL	Force	X Proj	0	0,04966	-0,28	-0,28
1283	VL-conSC(O-E)	GLOBAL	Force	X Proj	0	0,04966	0,41	0,41
1283	VL-conSC(E-O)	GLOBAL	Force	X Proj	0	0,04966	-0,41	-0,41
1284	CM	GLOBAL	Force	Gravity	0	0,04966	0,04	0,04
1284	VT-sinSC(N-S)	GLOBAL	Force	Y Proj	0	0,04966	-1,6	-1,6
1284	VT-sinSC(S-N)	GLOBAL	Force	Y Proj	0	0,04966	1,6	1,6
1284	VT-conSC(N-S)	GLOBAL	Force	Y Proj	0	0,04966	-2,38	-2,38
1284	VT-conSC(S-N)	GLOBAL	Force	Y Proj	0	0,04966	2,38	2,38
1284	VL-sinSC(O-E)	GLOBAL	Force	X Proj	0	0,04966	0,28	0,28
1284	VL-sinSC(E-O)	GLOBAL	Force	X Proj	0	0,04966	-0,28	-0,28
1284	VL-conSC(O-E)	GLOBAL	Force	X Proj	0	0,04966	0,41	0,41
1284	VL-conSC(E-O)	GLOBAL	Force	X Proj	0	0,04966	-0,41	-0,41
1285	CM	GLOBAL	Force	Gravity	0	0,10745	0,04	0,04
1285	VT-sinSC(N-S)	GLOBAL	Force	Y Proj	0	0,10745	-1,6	-1,6
1285	VT-sinSC(S-N)	GLOBAL	Force	Y Proj	0	0,10745	1,6	1,6
1285	VT-conSC(N-S)	GLOBAL	Force	Y Proj	0	0,10745	-2,38	-2,38
1285	VT-conSC(S-N)	GLOBAL	Force	Y Proj	0	0,10745	2,38	2,38
1285	VL-sinSC(O-E)	GLOBAL	Force	X Proj	0	0,10745	0,28	0,28
1285	VL-sinSC(E-O)	GLOBAL	Force	X Proj	0	0,10745	-0,28	-0,28
1285	VL-conSC(O-E)	GLOBAL	Force	X Proj	0	0,10745	0,41	0,41
1285	VL-conSC(E-O)	GLOBAL	Force	X Proj	0	0,10745	-0,41	-0,41
1286	CM	GLOBAL	Force	Gravity	0	0,07618	0,04	0,04
1286	VT-sinSC(N-S)	GLOBAL	Force	Y Proj	0	0,07618	-1,6	-1,6
1286	VT-sinSC(S-N)	GLOBAL	Force	Y Proj	0	0,07618	1,6	1,6
1286	VT-conSC(N-S)	GLOBAL	Force	Y Proj	0	0,07618	-2,38	-2,38
1286	VT-conSC(S-N)	GLOBAL	Force	Y Proj	0	0,07618	2,38	2,38

1286	VL-sinSC(O-E)	GLOBAL	Force	X Proj	0	0,07618	0,28	0,28
1286	VL-sinSC(E-O)	GLOBAL	Force	X Proj	0	0,07618	-0,28	-0,28
1286	VL-conSC(O-E)	GLOBAL	Force	X Proj	0	0,07618	0,41	0,41
1286	VL-conSC(E-O)	GLOBAL	Force	X Proj	0	0,07618	-0,41	-0,41
1287	CM	GLOBAL	Force	Gravity	0	0,03637	0,04	0,04
1287	VT-sinSC(N-S)	GLOBAL	Force	Y Proj	0	0,03637	-1,6	-1,6
1287	VT-sinSC(S-N)	GLOBAL	Force	Y Proj	0	0,03637	1,6	1,6
1287	VT-conSC(N-S)	GLOBAL	Force	Y Proj	0	0,03637	-2,38	-2,38
1287	VT-conSC(S-N)	GLOBAL	Force	Y Proj	0	0,03637	2,38	2,38
1287	VL-sinSC(O-E)	GLOBAL	Force	X Proj	0	0,03637	0,28	0,28
1287	VL-sinSC(E-O)	GLOBAL	Force	X Proj	0	0,03637	-0,28	-0,28
1287	VL-conSC(O-E)	GLOBAL	Force	X Proj	0	0,03637	0,41	0,41
1287	VL-conSC(E-O)	GLOBAL	Force	X Proj	0	0,03637	-0,41	-0,41
1288	CM	GLOBAL	Force	Gravity	0	0,15453	0,04	0,04
1288	VT-sinSC(N-S)	GLOBAL	Force	Y Proj	0	0,15453	-1,6	-1,6
1288	VT-sinSC(S-N)	GLOBAL	Force	Y Proj	0	0,15453	1,6	1,6
1288	VT-conSC(N-S)	GLOBAL	Force	Y Proj	0	0,15453	-2,38	-2,38
1288	VT-conSC(S-N)	GLOBAL	Force	Y Proj	0	0,15453	2,38	2,38
1288	VL-sinSC(O-E)	GLOBAL	Force	X Proj	0	0,15453	0,28	0,28
1288	VL-sinSC(E-O)	GLOBAL	Force	X Proj	0	0,15453	-0,28	-0,28
1288	VL-conSC(O-E)	GLOBAL	Force	X Proj	0	0,15453	0,41	0,41
1288	VL-conSC(E-O)	GLOBAL	Force	X Proj	0	0,15453	-0,41	-0,41
1289	CM	GLOBAL	Force	Gravity	0	0,03383	0,04	0,04
1289	VT-sinSC(N-S)	GLOBAL	Force	Y Proj	0	0,03383	-1,6	-1,6
1289	VT-sinSC(S-N)	GLOBAL	Force	Y Proj	0	0,03383	1,6	1,6
1289	VT-conSC(N-S)	GLOBAL	Force	Y Proj	0	0,03383	-2,38	-2,38
1289	VT-conSC(S-N)	GLOBAL	Force	Y Proj	0	0,03383	2,38	2,38
1289	VL-sinSC(O-E)	GLOBAL	Force	X Proj	0	0,03383	0,28	0,28
1289	VL-sinSC(E-O)	GLOBAL	Force	X Proj	0	0,03383	-0,28	-0,28
1289	VL-conSC(O-E)	GLOBAL	Force	X Proj	0	0,03383	0,41	0,41
1289	VL-conSC(E-O)	GLOBAL	Force	X Proj	0	0,03383	-0,41	-0,41
1290	CM	GLOBAL	Force	Gravity	0	0,15042	0,04	0,04
1290	VT-sinSC(N-S)	GLOBAL	Force	Y Proj	0	0,15042	-1,6	-1,6
1290	VT-sinSC(S-N)	GLOBAL	Force	Y Proj	0	0,15042	1,6	1,6
1290	VT-conSC(N-S)	GLOBAL	Force	Y Proj	0	0,15042	-2,38	-2,38
1290	VT-conSC(S-N)	GLOBAL	Force	Y Proj	0	0,15042	2,38	2,38
1290	VL-sinSC(O-E)	GLOBAL	Force	X Proj	0	0,15042	0,28	0,28
1290	VL-sinSC(E-O)	GLOBAL	Force	X Proj	0	0,15042	-0,28	-0,28
1290	VL-conSC(O-E)	GLOBAL	Force	X Proj	0	0,15042	0,41	0,41



1290	VL-conSC(E-O)	GLOBAL	Force	X Proj	0	0,15042	-0,41	-0,41
1291	CM	GLOBAL	Force	Gravity	0	0,075	0,04	0,04
1291	VT-sinSC(N-S)	GLOBAL	Force	Y Proj	0	0,075	-1,6	-1,6
1291	VT-sinSC(S-N)	GLOBAL	Force	Y Proj	0	0,075	1,6	1,6
1291	VT-conSC(N-S)	GLOBAL	Force	Y Proj	0	0,075	-2,38	-2,38
1291	VT-conSC(S-N)	GLOBAL	Force	Y Proj	0	0,075	2,38	2,38
1291	VL-sinSC(O-E)	GLOBAL	Force	X Proj	0	0,075	0,28	0,28
1291	VL-sinSC(E-O)	GLOBAL	Force	X Proj	0	0,075	-0,28	-0,28
1291	VL-conSC(O-E)	GLOBAL	Force	X Proj	0	0,075	0,41	0,41
1291	VL-conSC(E-O)	GLOBAL	Force	X Proj	0	0,075	-0,41	-0,41
1292	CM	GLOBAL	Force	Gravity	0	0,11606	0,04	0,04
1292	VT-sinSC(N-S)	GLOBAL	Force	Y Proj	0	0,11606	-1,6	-1,6
1292	VT-sinSC(S-N)	GLOBAL	Force	Y Proj	0	0,11606	1,6	1,6
1292	VT-conSC(N-S)	GLOBAL	Force	Y Proj	0	0,11606	-2,38	-2,38
1292	VT-conSC(S-N)	GLOBAL	Force	Y Proj	0	0,11606	2,38	2,38
1292	VL-sinSC(O-E)	GLOBAL	Force	X Proj	0	0,11606	0,28	0,28
1292	VL-sinSC(E-O)	GLOBAL	Force	X Proj	0	0,11606	-0,28	-0,28
1292	VL-conSC(O-E)	GLOBAL	Force	X Proj	0	0,11606	0,41	0,41
1292	VL-conSC(E-O)	GLOBAL	Force	X Proj	0	0,11606	-0,41	-0,41
1293	CM	GLOBAL	Force	Gravity	0	0,14592	0,04	0,04
1293	VT-sinSC(N-S)	GLOBAL	Force	Y Proj	0	0,14592	-1,6	-1,6
1293	VT-sinSC(S-N)	GLOBAL	Force	Y Proj	0	0,14592	1,6	1,6
1293	VT-conSC(N-S)	GLOBAL	Force	Y Proj	0	0,14592	-2,38	-2,38
1293	VT-conSC(S-N)	GLOBAL	Force	Y Proj	0	0,14592	2,38	2,38
1293	VL-sinSC(O-E)	GLOBAL	Force	X Proj	0	0,14592	0,28	0,28
1293	VL-sinSC(E-O)	GLOBAL	Force	X Proj	0	0,14592	-0,28	-0,28
1293	VL-conSC(O-E)	GLOBAL	Force	X Proj	0	0,14592	0,41	0,41
1293	VL-conSC(E-O)	GLOBAL	Force	X Proj	0	0,14592	-0,41	-0,41
1294	CM	GLOBAL	Force	Gravity	0	0,03827	0,04	0,04
1294	VT-sinSC(N-S)	GLOBAL	Force	Y Proj	0	0,03827	-1,6	-1,6
1294	VT-sinSC(S-N)	GLOBAL	Force	Y Proj	0	0,03827	1,6	1,6
1294	VT-conSC(N-S)	GLOBAL	Force	Y Proj	0	0,03827	-2,38	-2,38
1294	VT-conSC(S-N)	GLOBAL	Force	Y Proj	0	0,03827	2,38	2,38
1294	VL-sinSC(O-E)	GLOBAL	Force	X Proj	0	0,03827	0,28	0,28
1294	VL-sinSC(E-O)	GLOBAL	Force	X Proj	0	0,03827	-0,28	-0,28
1294	VL-conSC(O-E)	GLOBAL	Force	X Proj	0	0,03827	0,41	0,41
1294	VL-conSC(E-O)	GLOBAL	Force	X Proj	0	0,03827	-0,41	-0,41
1295	CM	GLOBAL	Force	Gravity	0	0,11463	0,04	0,04
1295	VT-sinSC(N-S)	GLOBAL	Force	Y Proj	0	0,11463	-1,6	-1,6

1295	VT-sinSC(S-N)	GLOBAL	Force	Y Proj	0	0,11463	1,6	1,6
1295	VT-conSC(N-S)	GLOBAL	Force	Y Proj	0	0,11463	-2,38	-2,38
1295	VT-conSC(S-N)	GLOBAL	Force	Y Proj	0	0,11463	2,38	2,38
1295	VL-sinSC(O-E)	GLOBAL	Force	X Proj	0	0,11463	0,28	0,28
1295	VL-sinSC(E-O)	GLOBAL	Force	X Proj	0	0,11463	-0,28	-0,28
1295	VL-conSC(O-E)	GLOBAL	Force	X Proj	0	0,11463	0,41	0,41
1295	VL-conSC(E-O)	GLOBAL	Force	X Proj	0	0,11463	-0,41	-0,41
1296	CM	GLOBAL	Force	Gravity	0	0,07655	0,04	0,04
1296	VT-sinSC(N-S)	GLOBAL	Force	Y Proj	0	0,07655	-1,6	-1,6
1296	VT-sinSC(S-N)	GLOBAL	Force	Y Proj	0	0,07655	1,6	1,6
1296	VT-conSC(N-S)	GLOBAL	Force	Y Proj	0	0,07655	-2,38	-2,38
1296	VT-conSC(S-N)	GLOBAL	Force	Y Proj	0	0,07655	2,38	2,38
1296	VL-sinSC(O-E)	GLOBAL	Force	X Proj	0	0,07655	0,28	0,28
1296	VL-sinSC(E-O)	GLOBAL	Force	X Proj	0	0,07655	-0,28	-0,28
1296	VL-conSC(O-E)	GLOBAL	Force	X Proj	0	0,07655	0,41	0,41
1296	VL-conSC(E-O)	GLOBAL	Force	X Proj	0	0,07655	-0,41	-0,41
1297	CM	GLOBAL	Force	Gravity	0	0,07148	0,04	0,04
1297	VT-sinSC(N-S)	GLOBAL	Force	Y Proj	0	0,07148	-1,6	-1,6
1297	VT-sinSC(S-N)	GLOBAL	Force	Y Proj	0	0,07148	1,6	1,6
1297	VT-conSC(N-S)	GLOBAL	Force	Y Proj	0	0,07148	-2,38	-2,38
1297	VT-conSC(S-N)	GLOBAL	Force	Y Proj	0	0,07148	2,38	2,38
1297	VL-sinSC(O-E)	GLOBAL	Force	X Proj	0	0,07148	0,28	0,28
1297	VL-sinSC(E-O)	GLOBAL	Force	X Proj	0	0,07148	-0,28	-0,28
1297	VL-conSC(O-E)	GLOBAL	Force	X Proj	0	0,07148	0,41	0,41
1297	VL-conSC(E-O)	GLOBAL	Force	X Proj	0	0,07148	-0,41	-0,41
1298	CM	GLOBAL	Force	Gravity	0	0,11267	0,04	0,04
1298	VT-sinSC(N-S)	GLOBAL	Force	Y Proj	0	0,11267	-1,6	-1,6
1298	VT-sinSC(S-N)	GLOBAL	Force	Y Proj	0	0,11267	1,6	1,6
1298	VT-conSC(N-S)	GLOBAL	Force	Y Proj	0	0,11267	-2,38	-2,38
1298	VT-conSC(S-N)	GLOBAL	Force	Y Proj	0	0,11267	2,38	2,38
1298	VL-sinSC(O-E)	GLOBAL	Force	X Proj	0	0,11267	0,28	0,28
1298	VL-sinSC(E-O)	GLOBAL	Force	X Proj	0	0,11267	-0,28	-0,28
1298	VL-conSC(O-E)	GLOBAL	Force	X Proj	0	0,11267	0,41	0,41
1298	VL-conSC(E-O)	GLOBAL	Force	X Proj	0	0,11267	-0,41	-0,41
1299	CM	GLOBAL	Force	Gravity	0	0,15257	0,04	0,04
1299	VT-sinSC(N-S)	GLOBAL	Force	Y Proj	0	0,15257	-1,6	-1,6
1299	VT-sinSC(S-N)	GLOBAL	Force	Y Proj	0	0,15257	1,6	1,6
1299	VT-conSC(N-S)	GLOBAL	Force	Y Proj	0	0,15257	-2,38	-2,38
1299	VT-conSC(S-N)	GLOBAL	Force	Y Proj	0	0,15257	2,38	2,38



1299	VL-sinSC(O-E)	GLOBAL	Force	X Proj	0	0,15257	0,28	0,28
1299	VL-sinSC(E-O)	GLOBAL	Force	X Proj	0	0,15257	-0,28	-0,28
1299	VL-conSC(O-E)	GLOBAL	Force	X Proj	0	0,15257	0,41	0,41
1299	VL-conSC(E-O)	GLOBAL	Force	X Proj	0	0,15257	-0,41	-0,41
1300	CM	GLOBAL	Force	Gravity	0	0,03863	0,04	0,04
1300	VT-sinSC(N-S)	GLOBAL	Force	Y Proj	0	0,03863	-1,6	-1,6
1300	VT-sinSC(S-N)	GLOBAL	Force	Y Proj	0	0,03863	1,6	1,6
1300	VT-conSC(N-S)	GLOBAL	Force	Y Proj	0	0,03863	-2,38	-2,38
1300	VT-conSC(S-N)	GLOBAL	Force	Y Proj	0	0,03863	2,38	2,38
1300	VL-sinSC(O-E)	GLOBAL	Force	X Proj	0	0,03863	0,28	0,28
1300	VL-sinSC(E-O)	GLOBAL	Force	X Proj	0	0,03863	-0,28	-0,28
1300	VL-conSC(O-E)	GLOBAL	Force	X Proj	0	0,03863	0,41	0,41
1300	VL-conSC(E-O)	GLOBAL	Force	X Proj	0	0,03863	-0,41	-0,41
1301	CM	GLOBAL	Force	Gravity	0	2,00639	0,04	0,04
1301	VT-sinSC(N-S)	GLOBAL	Force	Y Proj	0	2,00639	-1,6	-1,6
1301	VT-sinSC(S-N)	GLOBAL	Force	Y Proj	0	2,00639	1,6	1,6
1301	VT-conSC(N-S)	GLOBAL	Force	Y Proj	0	2,00639	-2,38	-2,38
1301	VT-conSC(S-N)	GLOBAL	Force	Y Proj	0	2,00639	2,38	2,38
1301	VL-sinSC(O-E)	GLOBAL	Force	X Proj	0	2,00639	0,28	0,28
1301	VL-sinSC(E-O)	GLOBAL	Force	X Proj	0	2,00639	-0,28	-0,28
1301	VL-conSC(O-E)	GLOBAL	Force	X Proj	0	2,00639	0,41	0,41
1301	VL-conSC(E-O)	GLOBAL	Force	X Proj	0	2,00639	-0,41	-0,41
1302	CM	GLOBAL	Force	Gravity	0	2,00639	0,04	0,04
1302	VT-sinSC(N-S)	GLOBAL	Force	Y Proj	0	2,00639	-1,6	-1,6
1302	VT-sinSC(S-N)	GLOBAL	Force	Y Proj	0	2,00639	1,6	1,6
1302	VT-conSC(N-S)	GLOBAL	Force	Y Proj	0	2,00639	-2,38	-2,38
1302	VT-conSC(S-N)	GLOBAL	Force	Y Proj	0	2,00639	2,38	2,38
1302	VL-sinSC(O-E)	GLOBAL	Force	X Proj	0	2,00639	0,28	0,28
1302	VL-sinSC(E-O)	GLOBAL	Force	X Proj	0	2,00639	-0,28	-0,28
1302	VL-conSC(O-E)	GLOBAL	Force	X Proj	0	2,00639	0,41	0,41
1302	VL-conSC(E-O)	GLOBAL	Force	X Proj	0	2,00639	-0,41	-0,41
1303	CM	GLOBAL	Force	Gravity	0	2,00639	0,04	0,04
1303	VT-sinSC(N-S)	GLOBAL	Force	Y Proj	0	2,00639	-1,6	-1,6
1303	VT-sinSC(S-N)	GLOBAL	Force	Y Proj	0	2,00639	1,6	1,6
1303	VT-conSC(N-S)	GLOBAL	Force	Y Proj	0	2,00639	-2,38	-2,38
1303	VT-conSC(S-N)	GLOBAL	Force	Y Proj	0	2,00639	2,38	2,38
1303	VL-sinSC(O-E)	GLOBAL	Force	X Proj	0	2,00639	0,28	0,28
1303	VL-sinSC(E-O)	GLOBAL	Force	X Proj	0	2,00639	-0,28	-0,28
1303	VL-conSC(O-E)	GLOBAL	Force	X Proj	0	2,00639	0,41	0,41

1303	VL-conSC(E-O)	GLOBAL	Force	X Proj	0	2,00639	-0,41	-0,41
1304	CM	GLOBAL	Force	Gravity	0	2,00639	0,04	0,04
1304	VT-sinSC(N-S)	GLOBAL	Force	Y Proj	0	2,00639	-1,6	-1,6
1304	VT-sinSC(S-N)	GLOBAL	Force	Y Proj	0	2,00639	1,6	1,6
1304	VT-conSC(N-S)	GLOBAL	Force	Y Proj	0	2,00639	-2,38	-2,38
1304	VT-conSC(S-N)	GLOBAL	Force	Y Proj	0	2,00639	2,38	2,38
1304	VL-sinSC(O-E)	GLOBAL	Force	X Proj	0	2,00639	0,28	0,28
1304	VL-sinSC(E-O)	GLOBAL	Force	X Proj	0	2,00639	-0,28	-0,28
1304	VL-conSC(O-E)	GLOBAL	Force	X Proj	0	2,00639	0,41	0,41
1304	VL-conSC(E-O)	GLOBAL	Force	X Proj	0	2,00639	-0,41	-0,41
1305	CM	GLOBAL	Force	Gravity	0	2,00639	0,04	0,04
1305	VT-sinSC(N-S)	GLOBAL	Force	Y Proj	0	2,00639	-1,6	-1,6
1305	VT-sinSC(S-N)	GLOBAL	Force	Y Proj	0	2,00639	1,6	1,6
1305	VT-conSC(N-S)	GLOBAL	Force	Y Proj	0	2,00639	-2,38	-2,38
1305	VT-conSC(S-N)	GLOBAL	Force	Y Proj	0	2,00639	2,38	2,38
1305	VL-sinSC(O-E)	GLOBAL	Force	X Proj	0	2,00639	0,28	0,28
1305	VL-sinSC(E-O)	GLOBAL	Force	X Proj	0	2,00639	-0,28	-0,28
1305	VL-conSC(O-E)	GLOBAL	Force	X Proj	0	2,00639	0,41	0,41
1305	VL-conSC(E-O)	GLOBAL	Force	X Proj	0	2,00639	-0,41	-0,41
1306	CM	GLOBAL	Force	Gravity	0	2,00639	0,04	0,04
1306	VT-sinSC(N-S)	GLOBAL	Force	Y Proj	0	2,00639	-1,6	-1,6
1306	VT-sinSC(S-N)	GLOBAL	Force	Y Proj	0	2,00639	1,6	1,6
1306	VT-conSC(N-S)	GLOBAL	Force	Y Proj	0	2,00639	-2,38	-2,38
1306	VT-conSC(S-N)	GLOBAL	Force	Y Proj	0	2,00639	2,38	2,38
1306	VL-sinSC(O-E)	GLOBAL	Force	X Proj	0	2,00639	0,28	0,28
1306	VL-sinSC(E-O)	GLOBAL	Force	X Proj	0	2,00639	-0,28	-0,28
1306	VL-conSC(O-E)	GLOBAL	Force	X Proj	0	2,00639	0,41	0,41
1306	VL-conSC(E-O)	GLOBAL	Force	X Proj	0	2,00639	-0,41	-0,41
1307	CM	GLOBAL	Force	Gravity	0	2,00639	0,04	0,04
1307	VT-sinSC(N-S)	GLOBAL	Force	Y Proj	0	2,00639	-1,6	-1,6
1307	VT-sinSC(S-N)	GLOBAL	Force	Y Proj	0	2,00639	1,6	1,6
1307	VT-conSC(N-S)	GLOBAL	Force	Y Proj	0	2,00639	-2,38	-2,38
1307	VT-conSC(S-N)	GLOBAL	Force	Y Proj	0	2,00639	2,38	2,38
1307	VL-sinSC(O-E)	GLOBAL	Force	X Proj	0	2,00639	0,28	0,28
1307	VL-sinSC(E-O)	GLOBAL	Force	X Proj	0	2,00639	-0,28	-0,28
1307	VL-conSC(O-E)	GLOBAL	Force	X Proj	0	2,00639	0,41	0,41
1307	VL-conSC(E-O)	GLOBAL	Force	X Proj	0	2,00639	-0,41	-0,41
1308	CM	GLOBAL	Force	Gravity	0	2,00639	0,04	0,04
1308	VT-sinSC(N-S)	GLOBAL	Force	Y Proj	0	2,00639	-1,6	-1,6



1308	VT-sinSC(S-N)	GLOBAL	Force	Y Proj	0	2,00639	1,6	1,6
1308	VT-conSC(N-S)	GLOBAL	Force	Y Proj	0	2,00639	-2,38	-2,38
1308	VT-conSC(S-N)	GLOBAL	Force	Y Proj	0	2,00639	2,38	2,38
1308	VL-sinSC(O-E)	GLOBAL	Force	X Proj	0	2,00639	0,28	0,28
1308	VL-sinSC(E-O)	GLOBAL	Force	X Proj	0	2,00639	-0,28	-0,28
1308	VL-conSC(O-E)	GLOBAL	Force	X Proj	0	2,00639	0,41	0,41
1308	VL-conSC(E-O)	GLOBAL	Force	X Proj	0	2,00639	-0,41	-0,41
1309	CM	GLOBAL	Force	Gravity	0	2,00639	0,04	0,04
1309	VT-sinSC(N-S)	GLOBAL	Force	Y Proj	0	2,00639	-1,6	-1,6
1309	VT-sinSC(S-N)	GLOBAL	Force	Y Proj	0	2,00639	1,6	1,6
1309	VT-conSC(N-S)	GLOBAL	Force	Y Proj	0	2,00639	-2,38	-2,38
1309	VT-conSC(S-N)	GLOBAL	Force	Y Proj	0	2,00639	2,38	2,38
1309	VL-sinSC(O-E)	GLOBAL	Force	X Proj	0	2,00639	0,28	0,28
1309	VL-sinSC(E-O)	GLOBAL	Force	X Proj	0	2,00639	-0,28	-0,28
1309	VL-conSC(O-E)	GLOBAL	Force	X Proj	0	2,00639	0,41	0,41
1309	VL-conSC(E-O)	GLOBAL	Force	X Proj	0	2,00639	-0,41	-0,41
1310	CM	GLOBAL	Force	Gravity	0	2,00639	0,04	0,04
1310	VT-sinSC(N-S)	GLOBAL	Force	Y Proj	0	2,00639	-1,6	-1,6
1310	VT-sinSC(S-N)	GLOBAL	Force	Y Proj	0	2,00639	1,6	1,6
1310	VT-conSC(N-S)	GLOBAL	Force	Y Proj	0	2,00639	-2,38	-2,38
1310	VT-conSC(S-N)	GLOBAL	Force	Y Proj	0	2,00639	2,38	2,38
1310	VL-sinSC(O-E)	GLOBAL	Force	X Proj	0	2,00639	0,28	0,28
1310	VL-sinSC(E-O)	GLOBAL	Force	X Proj	0	2,00639	-0,28	-0,28
1310	VL-conSC(O-E)	GLOBAL	Force	X Proj	0	2,00639	0,41	0,41
1310	VL-conSC(E-O)	GLOBAL	Force	X Proj	0	2,00639	-0,41	-0,41
1311	PPforjado	GLOBAL	Force	Gravity	0	2,49999	4	4
1311	SC_4	GLOBAL	Force	Gravity	0	2,49999	9	9
1312	PPforjado	GLOBAL	Force	Gravity	0	2,5	4	4
1312	SC_4	GLOBAL	Force	Gravity	0	2,5	9	9
1313	CM	GLOBAL	Force	Gravity	0	2,04369	0,04	0,04
1313	VT-sinSC(S-N)	GLOBAL	Force	Y Proj	0	2,04369	1,6	1,6
1313	VT-sinSC(N-S)	GLOBAL	Force	Y Proj	0	2,04369	-1,6	-1,6
1313	VT-conSC(N-S)	GLOBAL	Force	Y Proj	0	2,04369	-2,38	-2,38
1313	VT-conSC(S-N)	GLOBAL	Force	Y Proj	0	2,04369	2,38	2,38
1313	VL-sinSC(E-O)	GLOBAL	Force	X Proj	0	2,04369	-0,28	-0,28
1313	VL-sinSC(O-E)	GLOBAL	Force	X Proj	0	2,04369	0,28	0,28
1313	VL-conSC(O-E)	GLOBAL	Force	X Proj	0	2,04369	0,41	0,41
1313	VL-conSC(E-O)	GLOBAL	Force	X Proj	0	2,04369	-0,41	-0,41
1314	CM	GLOBAL	Force	Gravity	0	2,04369	0,04	0,04

1314	VT-sinSC(S-N)	GLOBAL	Force	Y Proj	0	2,04369	1,6	1,6
1314	VT-sinSC(N-S)	GLOBAL	Force	Y Proj	0	2,04369	-1,6	-1,6
1314	VT-conSC(N-S)	GLOBAL	Force	Y Proj	0	2,04369	-2,38	-2,38
1314	VT-conSC(S-N)	GLOBAL	Force	Y Proj	0	2,04369	2,38	2,38
1314	VL-sinSC(E-O)	GLOBAL	Force	X Proj	0	2,04369	-0,28	-0,28
1314	VL-sinSC(O-E)	GLOBAL	Force	X Proj	0	2,04369	0,28	0,28
1314	VL-conSC(O-E)	GLOBAL	Force	X Proj	0	2,04369	0,41	0,41
1314	VL-conSC(E-O)	GLOBAL	Force	X Proj	0	2,04369	-0,41	-0,41
1315	CM	GLOBAL	Force	Gravity	0	2,04369	0,04	0,04
1315	VT-sinSC(S-N)	GLOBAL	Force	Y Proj	0	2,04369	1,6	1,6
1315	VT-sinSC(N-S)	GLOBAL	Force	Y Proj	0	2,04369	-1,6	-1,6
1315	VT-conSC(N-S)	GLOBAL	Force	Y Proj	0	2,04369	-2,38	-2,38
1315	VT-conSC(S-N)	GLOBAL	Force	Y Proj	0	2,04369	2,38	2,38
1315	VL-sinSC(E-O)	GLOBAL	Force	X Proj	0	2,04369	-0,28	-0,28
1315	VL-sinSC(O-E)	GLOBAL	Force	X Proj	0	2,04369	0,28	0,28
1315	VL-conSC(O-E)	GLOBAL	Force	X Proj	0	2,04369	0,41	0,41
1315	VL-conSC(E-O)	GLOBAL	Force	X Proj	0	2,04369	-0,41	-0,41
1316	CM	GLOBAL	Force	Gravity	0	2,04369	0,04	0,04
1316	VT-sinSC(S-N)	GLOBAL	Force	Y Proj	0	2,04369	1,6	1,6
1316	VT-sinSC(N-S)	GLOBAL	Force	Y Proj	0	2,04369	-1,6	-1,6
1316	VT-conSC(N-S)	GLOBAL	Force	Y Proj	0	2,04369	-2,38	-2,38
1316	VT-conSC(S-N)	GLOBAL	Force	Y Proj	0	2,04369	2,38	2,38
1316	VL-sinSC(E-O)	GLOBAL	Force	X Proj	0	2,04369	-0,28	-0,28
1316	VL-sinSC(O-E)	GLOBAL	Force	X Proj	0	2,04369	0,28	0,28
1316	VL-conSC(O-E)	GLOBAL	Force	X Proj	0	2,04369	0,41	0,41
1316	VL-conSC(E-O)	GLOBAL	Force	X Proj	0	2,04369	-0,41	-0,41
1317	CM	GLOBAL	Force	Gravity	0	2,04369	0,04	0,04
1317	VT-sinSC(S-N)	GLOBAL	Force	Y Proj	0	2,04369	1,6	1,6
1317	VT-sinSC(N-S)	GLOBAL	Force	Y Proj	0	2,04369	-1,6	-1,6
1317	VT-conSC(N-S)	GLOBAL	Force	Y Proj	0	2,04369	-2,38	-2,38
1317	VT-conSC(S-N)	GLOBAL	Force	Y Proj	0	2,04369	2,38	2,38
1317	VL-sinSC(E-O)	GLOBAL	Force	X Proj	0	2,04369	-0,28	-0,28
1317	VL-sinSC(O-E)	GLOBAL	Force	X Proj	0	2,04369	0,28	0,28
1317	VL-conSC(O-E)	GLOBAL	Force	X Proj	0	2,04369	0,41	0,41
1317	VL-conSC(E-O)	GLOBAL	Force	X Proj	0	2,04369	-0,41	-0,41
1318	CM	GLOBAL	Force	Gravity	0	2,04369	0,04	0,04
1318	VT-sinSC(S-N)	GLOBAL	Force	Y Proj	0	2,04369	1,6	1,6
1318	VT-sinSC(N-S)	GLOBAL	Force	Y Proj	0	2,04369	-1,6	-1,6
1318	VT-conSC(N-S)	GLOBAL	Force	Y Proj	0	2,04369	-2,38	-2,38



1318	VT-conSC(S-N)	GLOBAL	Force	Y Proj	0	2,04369	2,38	2,38
1318	VL-sinSC(E-O)	GLOBAL	Force	X Proj	0	2,04369	-0,28	-0,28
1318	VL-sinSC(O-E)	GLOBAL	Force	X Proj	0	2,04369	0,28	0,28
1318	VL-conSC(O-E)	GLOBAL	Force	X Proj	0	2,04369	0,41	0,41
1318	VL-conSC(E-O)	GLOBAL	Force	X Proj	0	2,04369	-0,41	-0,41
1319	CM	GLOBAL	Force	Gravity	0	2,04369	0,04	0,04
1319	VT-sinSC(S-N)	GLOBAL	Force	Y Proj	0	2,04369	1,6	1,6
1319	VT-sinSC(N-S)	GLOBAL	Force	Y Proj	0	2,04369	-1,6	-1,6
1319	VT-conSC(N-S)	GLOBAL	Force	Y Proj	0	2,04369	-2,38	-2,38
1319	VT-conSC(S-N)	GLOBAL	Force	Y Proj	0	2,04369	2,38	2,38
1319	VL-sinSC(E-O)	GLOBAL	Force	X Proj	0	2,04369	-0,28	-0,28
1319	VL-sinSC(O-E)	GLOBAL	Force	X Proj	0	2,04369	0,28	0,28
1319	VL-conSC(O-E)	GLOBAL	Force	X Proj	0	2,04369	0,41	0,41
1319	VL-conSC(E-O)	GLOBAL	Force	X Proj	0	2,04369	-0,41	-0,41
1320	CM	GLOBAL	Force	Gravity	0	2,04369	0,04	0,04
1320	VT-sinSC(S-N)	GLOBAL	Force	Y Proj	0	2,04369	1,6	1,6
1320	VT-sinSC(N-S)	GLOBAL	Force	Y Proj	0	2,04369	-1,6	-1,6
1320	VT-conSC(N-S)	GLOBAL	Force	Y Proj	0	2,04369	-2,38	-2,38
1320	VT-conSC(S-N)	GLOBAL	Force	Y Proj	0	2,04369	2,38	2,38
1320	VL-sinSC(E-O)	GLOBAL	Force	X Proj	0	2,04369	-0,28	-0,28
1320	VL-sinSC(O-E)	GLOBAL	Force	X Proj	0	2,04369	0,28	0,28
1320	VL-conSC(O-E)	GLOBAL	Force	X Proj	0	2,04369	0,41	0,41
1320	VL-conSC(E-O)	GLOBAL	Force	X Proj	0	2,04369	-0,41	-0,41
1321	CM	GLOBAL	Force	Gravity	0	2,04369	0,04	0,04
1321	VT-sinSC(S-N)	GLOBAL	Force	Y Proj	0	2,04369	1,6	1,6
1321	VT-sinSC(N-S)	GLOBAL	Force	Y Proj	0	2,04369	-1,6	-1,6
1321	VT-conSC(N-S)	GLOBAL	Force	Y Proj	0	2,04369	-2,38	-2,38
1321	VT-conSC(S-N)	GLOBAL	Force	Y Proj	0	2,04369	2,38	2,38
1321	VL-sinSC(E-O)	GLOBAL	Force	X Proj	0	2,04369	-0,28	-0,28
1321	VL-sinSC(O-E)	GLOBAL	Force	X Proj	0	2,04369	0,28	0,28
1321	VL-conSC(O-E)	GLOBAL	Force	X Proj	0	2,04369	0,41	0,41
1321	VL-conSC(E-O)	GLOBAL	Force	X Proj	0	2,04369	-0,41	-0,41
1322	CM	GLOBAL	Force	Gravity	0	1,58413	0,04	0,04
1322	VT-sinSC(N-S)	GLOBAL	Force	Y Proj	0	1,58413	-1,6	-1,6
1322	VT-sinSC(S-N)	GLOBAL	Force	Y Proj	0	1,58413	1,6	1,6
1322	VT-conSC(N-S)	GLOBAL	Force	Y Proj	0	1,58413	-2,38	-2,38
1322	VT-conSC(S-N)	GLOBAL	Force	Y Proj	0	1,58413	2,38	2,38
1322	VL-sinSC(O-E)	GLOBAL	Force	X Proj	0	1,58413	0,28	0,28
1322	VL-sinSC(E-O)	GLOBAL	Force	X Proj	0	1,58413	-0,28	-0,28

1322	VL-conSC(O-E)	GLOBAL	Force	X Proj	0	1,58413	0,41	0,41
1322	VL-conSC(E-O)	GLOBAL	Force	X Proj	0	1,58413	-0,41	-0,41
1323	CM	GLOBAL	Force	Gravity	0	1,58411	0,04	0,04
1323	VT-sinSC(N-S)	GLOBAL	Force	Y Proj	0	1,58411	-1,6	-1,6
1323	VT-sinSC(S-N)	GLOBAL	Force	Y Proj	0	1,58411	1,6	1,6
1323	VT-conSC(N-S)	GLOBAL	Force	Y Proj	0	1,58411	-2,38	-2,38
1323	VT-conSC(S-N)	GLOBAL	Force	Y Proj	0	1,58411	2,38	2,38
1323	VL-sinSC(O-E)	GLOBAL	Force	X Proj	0	1,58411	0,28	0,28
1323	VL-sinSC(E-O)	GLOBAL	Force	X Proj	0	1,58411	-0,28	-0,28
1323	VL-conSC(O-E)	GLOBAL	Force	X Proj	0	1,58411	0,41	0,41
1323	VL-conSC(E-O)	GLOBAL	Force	X Proj	0	1,58411	-0,41	-0,41
1324	CM	GLOBAL	Force	Gravity	0	1,58411	0,04	0,04
1324	VT-sinSC(N-S)	GLOBAL	Force	Y Proj	0	1,58411	-1,6	-1,6
1324	VT-sinSC(S-N)	GLOBAL	Force	Y Proj	0	1,58411	1,6	1,6
1324	VT-conSC(N-S)	GLOBAL	Force	Y Proj	0	1,58411	-2,38	-2,38
1324	VT-conSC(S-N)	GLOBAL	Force	Y Proj	0	1,58411	2,38	2,38
1324	VL-sinSC(O-E)	GLOBAL	Force	X Proj	0	1,58411	0,28	0,28
1324	VL-sinSC(E-O)	GLOBAL	Force	X Proj	0	1,58411	-0,28	-0,28
1324	VL-conSC(O-E)	GLOBAL	Force	X Proj	0	1,58411	0,41	0,41
1324	VL-conSC(E-O)	GLOBAL	Force	X Proj	0	1,58411	-0,41	-0,41
1325	CM	GLOBAL	Force	Gravity	0	1,58413	0,04	0,04
1325	VT-sinSC(N-S)	GLOBAL	Force	Y Proj	0	1,58413	-1,6	-1,6
1325	VT-sinSC(S-N)	GLOBAL	Force	Y Proj	0	1,58413	1,6	1,6
1325	VT-conSC(N-S)	GLOBAL	Force	Y Proj	0	1,58413	-2,38	-2,38
1325	VT-conSC(S-N)	GLOBAL	Force	Y Proj	0	1,58413	2,38	2,38
1325	VL-sinSC(O-E)	GLOBAL	Force	X Proj	0	1,58413	0,28	0,28
1325	VL-sinSC(E-O)	GLOBAL	Force	X Proj	0	1,58413	-0,28	-0,28
1325	VL-conSC(O-E)	GLOBAL	Force	X Proj	0	1,58413	0,41	0,41
1325	VL-conSC(E-O)	GLOBAL	Force	X Proj	0	1,58413	-0,41	-0,41
1326	CM	GLOBAL	Force	Gravity	0	0,20017	0,04	0,04
1326	VT-sinSC(N-S)	GLOBAL	Force	Y Proj	0	0,20017	-1,6	-1,6
1326	VT-sinSC(S-N)	GLOBAL	Force	Y Proj	0	0,20017	1,6	1,6
1326	VT-conSC(N-S)	GLOBAL	Force	Y Proj	0	0,20017	-2,38	-2,38
1326	VT-conSC(S-N)	GLOBAL	Force	Y Proj	0	0,20017	2,38	2,38
1326	VL-sinSC(O-E)	GLOBAL	Force	X Proj	0	0,20017	0,28	0,28
1326	VL-sinSC(E-O)	GLOBAL	Force	X Proj	0	0,20017	-0,28	-0,28
1326	VL-conSC(O-E)	GLOBAL	Force	X Proj	0	0,20017	0,41	0,41
1326	VL-conSC(E-O)	GLOBAL	Force	X Proj	0	0,20017	-0,41	-0,41
1327	CM	GLOBAL	Force	Gravity	0	0,06648	0,04	0,04



1327	VT-sinSC(N-S)	GLOBAL	Force	Y Proj	0	0,06648	-1,6	-1,6
1327	VT-sinSC(S-N)	GLOBAL	Force	Y Proj	0	0,06648	1,6	1,6
1327	VT-conSC(N-S)	GLOBAL	Force	Y Proj	0	0,06648	-2,38	-2,38
1327	VT-conSC(S-N)	GLOBAL	Force	Y Proj	0	0,06648	2,38	2,38
1327	VL-sinSC(O-E)	GLOBAL	Force	X Proj	0	0,06648	0,28	0,28
1327	VL-sinSC(E-O)	GLOBAL	Force	X Proj	0	0,06648	-0,28	-0,28
1327	VL-conSC(O-E)	GLOBAL	Force	X Proj	0	0,06648	0,41	0,41
1327	VL-conSC(E-O)	GLOBAL	Force	X Proj	0	0,06648	-0,41	-0,41
1328	CM	GLOBAL	Force	Gravity	0	0,08159	0,04	0,04
1328	VT-sinSC(N-S)	GLOBAL	Force	Y Proj	0	0,08159	-1,6	-1,6
1328	VT-sinSC(S-N)	GLOBAL	Force	Y Proj	0	0,08159	1,6	1,6
1328	VT-conSC(N-S)	GLOBAL	Force	Y Proj	0	0,08159	-2,38	-2,38
1328	VT-conSC(S-N)	GLOBAL	Force	Y Proj	0	0,08159	2,38	2,38
1328	VL-sinSC(O-E)	GLOBAL	Force	X Proj	0	0,08159	0,28	0,28
1328	VL-sinSC(E-O)	GLOBAL	Force	X Proj	0	0,08159	-0,28	-0,28
1328	VL-conSC(O-E)	GLOBAL	Force	X Proj	0	0,08159	0,41	0,41
1328	VL-conSC(E-O)	GLOBAL	Force	X Proj	0	0,08159	-0,41	-0,41
1329	CM	GLOBAL	Force	Gravity	0	0,24621	0,04	0,04
1329	VT-sinSC(N-S)	GLOBAL	Force	Y Proj	0	0,24621	-1,6	-1,6
1329	VT-sinSC(S-N)	GLOBAL	Force	Y Proj	0	0,24621	1,6	1,6
1329	VT-conSC(N-S)	GLOBAL	Force	Y Proj	0	0,24621	-2,38	-2,38
1329	VT-conSC(S-N)	GLOBAL	Force	Y Proj	0	0,24621	2,38	2,38
1329	VL-sinSC(O-E)	GLOBAL	Force	X Proj	0	0,24621	0,28	0,28
1329	VL-sinSC(E-O)	GLOBAL	Force	X Proj	0	0,24621	-0,28	-0,28
1329	VL-conSC(O-E)	GLOBAL	Force	X Proj	0	0,24621	0,41	0,41
1329	VL-conSC(E-O)	GLOBAL	Force	X Proj	0	0,24621	-0,41	-0,41
1330	CM	GLOBAL	Force	Gravity	0	0,13425	0,04	0,04
1330	VT-sinSC(N-S)	GLOBAL	Force	Y Proj	0	0,13425	-1,6	-1,6
1330	VT-sinSC(S-N)	GLOBAL	Force	Y Proj	0	0,13425	1,6	1,6
1330	VT-conSC(N-S)	GLOBAL	Force	Y Proj	0	0,13425	-2,38	-2,38
1330	VT-conSC(S-N)	GLOBAL	Force	Y Proj	0	0,13425	2,38	2,38
1330	VL-sinSC(O-E)	GLOBAL	Force	X Proj	0	0,13425	0,28	0,28
1330	VL-sinSC(E-O)	GLOBAL	Force	X Proj	0	0,13425	-0,28	-0,28
1330	VL-conSC(O-E)	GLOBAL	Force	X Proj	0	0,13425	0,41	0,41
1330	VL-conSC(E-O)	GLOBAL	Force	X Proj	0	0,13425	-0,41	-0,41
1331	CM	GLOBAL	Force	Gravity	0	0,13305	0,04	0,04
1331	VT-sinSC(N-S)	GLOBAL	Force	Y Proj	0	0,13305	-1,6	-1,6
1331	VT-sinSC(S-N)	GLOBAL	Force	Y Proj	0	0,13305	1,6	1,6
1331	VT-conSC(N-S)	GLOBAL	Force	Y Proj	0	0,13305	-2,38	-2,38

1331	VT-conSC(S-N)	GLOBAL	Force	Y Proj	0	0,13305	2,38	2,38
1331	VL-sinSC(O-E)	GLOBAL	Force	X Proj	0	0,13305	0,28	0,28
1331	VL-sinSC(E-O)	GLOBAL	Force	X Proj	0	0,13305	-0,28	-0,28
1331	VL-conSC(O-E)	GLOBAL	Force	X Proj	0	0,13305	0,41	0,41
1331	VL-conSC(E-O)	GLOBAL	Force	X Proj	0	0,13305	-0,41	-0,41
1332	CM	GLOBAL	Force	Gravity	0	0,16283	0,04	0,04
1332	VT-sinSC(N-S)	GLOBAL	Force	Y Proj	0	0,16283	-1,6	-1,6
1332	VT-sinSC(S-N)	GLOBAL	Force	Y Proj	0	0,16283	1,6	1,6
1332	VT-conSC(N-S)	GLOBAL	Force	Y Proj	0	0,16283	-2,38	-2,38
1332	VT-conSC(S-N)	GLOBAL	Force	Y Proj	0	0,16283	2,38	2,38
1332	VL-sinSC(O-E)	GLOBAL	Force	X Proj	0	0,16283	0,28	0,28
1332	VL-sinSC(E-O)	GLOBAL	Force	X Proj	0	0,16283	-0,28	-0,28
1332	VL-conSC(O-E)	GLOBAL	Force	X Proj	0	0,16283	0,41	0,41
1332	VL-conSC(E-O)	GLOBAL	Force	X Proj	0	0,16283	-0,41	-0,41
1333	CM	GLOBAL	Force	Gravity	0	0,16567	0,04	0,04
1333	VT-sinSC(N-S)	GLOBAL	Force	Y Proj	0	0,16567	-1,6	-1,6
1333	VT-sinSC(S-N)	GLOBAL	Force	Y Proj	0	0,16567	1,6	1,6
1333	VT-conSC(N-S)	GLOBAL	Force	Y Proj	0	0,16567	-2,38	-2,38
1333	VT-conSC(S-N)	GLOBAL	Force	Y Proj	0	0,16567	2,38	2,38
1333	VL-sinSC(O-E)	GLOBAL	Force	X Proj	0	0,16567	0,28	0,28
1333	VL-sinSC(E-O)	GLOBAL	Force	X Proj	0	0,16567	-0,28	-0,28
1333	VL-conSC(O-E)	GLOBAL	Force	X Proj	0	0,16567	0,41	0,41
1333	VL-conSC(E-O)	GLOBAL	Force	X Proj	0	0,16567	-0,41	-0,41
1334	CM	GLOBAL	Force	Gravity	0	0,06684	0,04	0,04
1334	VT-sinSC(N-S)	GLOBAL	Force	Y Proj	0	0,06684	-1,6	-1,6
1334	VT-sinSC(S-N)	GLOBAL	Force	Y Proj	0	0,06684	1,6	1,6
1334	VT-conSC(N-S)	GLOBAL	Force	Y Proj	0	0,06684	-2,38	-2,38
1334	VT-conSC(S-N)	GLOBAL	Force	Y Proj	0	0,06684	2,38	2,38
1334	VL-sinSC(O-E)	GLOBAL	Force	X Proj	0	0,06684	0,28	0,28
1334	VL-sinSC(E-O)	GLOBAL	Force	X Proj	0	0,06684	-0,28	-0,28
1334	VL-conSC(O-E)	GLOBAL	Force	X Proj	0	0,06684	0,41	0,41
1334	VL-conSC(E-O)	GLOBAL	Force	X Proj	0	0,06684	-0,41	-0,41
1335	CM	GLOBAL	Force	Gravity	0	0,19991	0,04	0,04
1335	VT-sinSC(N-S)	GLOBAL	Force	Y Proj	0	0,19991	-1,6	-1,6
1335	VT-sinSC(S-N)	GLOBAL	Force	Y Proj	0	0,19991	1,6	1,6
1335	VT-conSC(N-S)	GLOBAL	Force	Y Proj	0	0,19991	-2,38	-2,38
1335	VT-conSC(S-N)	GLOBAL	Force	Y Proj	0	0,19991	2,38	2,38
1335	VL-sinSC(O-E)	GLOBAL	Force	X Proj	0	0,19991	0,28	0,28
1335	VL-sinSC(E-O)	GLOBAL	Force	X Proj	0	0,19991	-0,28	-0,28



1335	VL-conSC(O-E)	GLOBAL	Force	X Proj	0	0,19991	0,41	0,41
1335	VL-conSC(E-O)	GLOBAL	Force	X Proj	0	0,19991	-0,41	-0,41
1336	CM	GLOBAL	Force	Gravity	0	0,2456	0,04	0,04
1336	VT-sinSC(N-S)	GLOBAL	Force	Y Proj	0	0,2456	-1,6	-1,6
1336	VT-sinSC(S-N)	GLOBAL	Force	Y Proj	0	0,2456	1,6	1,6
1336	VT-conSC(N-S)	GLOBAL	Force	Y Proj	0	0,2456	-2,38	-2,38
1336	VT-conSC(S-N)	GLOBAL	Force	Y Proj	0	0,2456	2,38	2,38
1336	VL-sinSC(O-E)	GLOBAL	Force	X Proj	0	0,2456	0,28	0,28
1336	VL-sinSC(E-O)	GLOBAL	Force	X Proj	0	0,2456	-0,28	-0,28
1336	VL-conSC(O-E)	GLOBAL	Force	X Proj	0	0,2456	0,41	0,41
1336	VL-conSC(E-O)	GLOBAL	Force	X Proj	0	0,2456	-0,41	-0,41
1337	CM	GLOBAL	Force	Gravity	0	0,08246	0,04	0,04
1337	VT-sinSC(N-S)	GLOBAL	Force	Y Proj	0	0,08246	-1,6	-1,6
1337	VT-sinSC(S-N)	GLOBAL	Force	Y Proj	0	0,08246	1,6	1,6
1337	VT-conSC(N-S)	GLOBAL	Force	Y Proj	0	0,08246	-2,38	-2,38
1337	VT-conSC(S-N)	GLOBAL	Force	Y Proj	0	0,08246	2,38	2,38
1337	VL-sinSC(O-E)	GLOBAL	Force	X Proj	0	0,08246	0,28	0,28
1337	VL-sinSC(E-O)	GLOBAL	Force	X Proj	0	0,08246	-0,28	-0,28
1337	VL-conSC(O-E)	GLOBAL	Force	X Proj	0	0,08246	0,41	0,41
1337	VL-conSC(E-O)	GLOBAL	Force	X Proj	0	0,08246	-0,41	-0,41
1338	CM	GLOBAL	Force	Gravity	0	0,03941	0,04	0,04
1338	VT-sinSC(N-S)	GLOBAL	Force	Y Proj	0	0,03941	-1,6	-1,6
1338	VT-sinSC(S-N)	GLOBAL	Force	Y Proj	0	0,03941	1,6	1,6
1338	VT-conSC(N-S)	GLOBAL	Force	Y Proj	0	0,03941	-2,38	-2,38
1338	VT-conSC(S-N)	GLOBAL	Force	Y Proj	0	0,03941	2,38	2,38
1338	VL-sinSC(O-E)	GLOBAL	Force	X Proj	0	0,03941	0,28	0,28
1338	VL-sinSC(E-O)	GLOBAL	Force	X Proj	0	0,03941	-0,28	-0,28
1338	VL-conSC(O-E)	GLOBAL	Force	X Proj	0	0,03941	0,41	0,41
1338	VL-conSC(E-O)	GLOBAL	Force	X Proj	0	0,03941	-0,41	-0,41
1339	CM	GLOBAL	Force	Gravity	0	0,03942	0,04	0,04
1339	VT-sinSC(N-S)	GLOBAL	Force	Y Proj	0	0,03942	-1,6	-1,6
1339	VT-sinSC(S-N)	GLOBAL	Force	Y Proj	0	0,03942	1,6	1,6
1339	VT-conSC(N-S)	GLOBAL	Force	Y Proj	0	0,03942	-2,38	-2,38
1339	VT-conSC(S-N)	GLOBAL	Force	Y Proj	0	0,03942	2,38	2,38
1339	VL-sinSC(O-E)	GLOBAL	Force	X Proj	0	0,03942	0,28	0,28
1339	VL-sinSC(E-O)	GLOBAL	Force	X Proj	0	0,03942	-0,28	-0,28
1339	VL-conSC(O-E)	GLOBAL	Force	X Proj	0	0,03942	0,41	0,41
1339	VL-conSC(E-O)	GLOBAL	Force	X Proj	0	0,03942	-0,41	-0,41
1340	CM	GLOBAL	Force	Gravity	0	0,04851	0,04	0,04

1340	VT-sinSC(N-S)	GLOBAL	Force	Y Proj	0	0,04851	-1,6	-1,6
1340	VT-sinSC(S-N)	GLOBAL	Force	Y Proj	0	0,04851	1,6	1,6
1340	VT-conSC(N-S)	GLOBAL	Force	Y Proj	0	0,04851	-2,38	-2,38
1340	VT-conSC(S-N)	GLOBAL	Force	Y Proj	0	0,04851	2,38	2,38
1340	VL-sinSC(O-E)	GLOBAL	Force	X Proj	0	0,04851	0,28	0,28
1340	VL-sinSC(E-O)	GLOBAL	Force	X Proj	0	0,04851	-0,28	-0,28
1340	VL-conSC(O-E)	GLOBAL	Force	X Proj	0	0,04851	0,41	0,41
1340	VL-conSC(E-O)	GLOBAL	Force	X Proj	0	0,04851	-0,41	-0,41
1341	CM	GLOBAL	Force	Gravity	0	0,0485	0,04	0,04
1341	VT-sinSC(N-S)	GLOBAL	Force	Y Proj	0	0,0485	-1,6	-1,6
1341	VT-sinSC(S-N)	GLOBAL	Force	Y Proj	0	0,0485	1,6	1,6
1341	VT-conSC(N-S)	GLOBAL	Force	Y Proj	0	0,0485	-2,38	-2,38
1341	VT-conSC(S-N)	GLOBAL	Force	Y Proj	0	0,0485	2,38	2,38
1341	VL-sinSC(O-E)	GLOBAL	Force	X Proj	0	0,0485	0,28	0,28
1341	VL-sinSC(E-O)	GLOBAL	Force	X Proj	0	0,0485	-0,28	-0,28
1341	VL-conSC(O-E)	GLOBAL	Force	X Proj	0	0,0485	0,41	0,41
1341	VL-conSC(E-O)	GLOBAL	Force	X Proj	0	0,0485	-0,41	-0,41
1342	CM	GLOBAL	Force	Gravity	0	0,07705	0,04	0,04
1342	VT-sinSC(N-S)	GLOBAL	Force	Y Proj	0	0,07705	-1,6	-1,6
1342	VT-sinSC(S-N)	GLOBAL	Force	Y Proj	0	0,07705	1,6	1,6
1342	VT-conSC(N-S)	GLOBAL	Force	Y Proj	0	0,07705	-2,38	-2,38
1342	VT-conSC(S-N)	GLOBAL	Force	Y Proj	0	0,07705	2,38	2,38
1342	VL-sinSC(O-E)	GLOBAL	Force	X Proj	0	0,07705	0,28	0,28
1342	VL-sinSC(E-O)	GLOBAL	Force	X Proj	0	0,07705	-0,28	-0,28
1342	VL-conSC(O-E)	GLOBAL	Force	X Proj	0	0,07705	0,41	0,41
1342	VL-conSC(E-O)	GLOBAL	Force	X Proj	0	0,07705	-0,41	-0,41
1343	CM	GLOBAL	Force	Gravity	0	0,1122	0,04	0,04
1343	VT-sinSC(N-S)	GLOBAL	Force	Y Proj	0	0,1122	-1,6	-1,6
1343	VT-sinSC(S-N)	GLOBAL	Force	Y Proj	0	0,1122	1,6	1,6
1343	VT-conSC(N-S)	GLOBAL	Force	Y Proj	0	0,1122	-2,38	-2,38
1343	VT-conSC(S-N)	GLOBAL	Force	Y Proj	0	0,1122	2,38	2,38
1343	VL-sinSC(O-E)	GLOBAL	Force	X Proj	0	0,1122	0,28	0,28
1343	VL-sinSC(E-O)	GLOBAL	Force	X Proj	0	0,1122	-0,28	-0,28
1343	VL-conSC(O-E)	GLOBAL	Force	X Proj	0	0,1122	0,41	0,41
1343	VL-conSC(E-O)	GLOBAL	Force	X Proj	0	0,1122	-0,41	-0,41
1344	CM	GLOBAL	Force	Gravity	0	0,15316	0,04	0,04
1344	VT-sinSC(N-S)	GLOBAL	Force	Y Proj	0	0,15316	-1,6	-1,6
1344	VT-sinSC(S-N)	GLOBAL	Force	Y Proj	0	0,15316	1,6	1,6
1344	VT-conSC(N-S)	GLOBAL	Force	Y Proj	0	0,15316	-2,38	-2,38



1344	VT-conSC(S-N)	GLOBAL	Force	Y Proj	0	0,15316	2,38	2,38
1344	VL-sinSC(O-E)	GLOBAL	Force	X Proj	0	0,15316	0,28	0,28
1344	VL-sinSC(E-O)	GLOBAL	Force	X Proj	0	0,15316	-0,28	-0,28
1344	VL-conSC(O-E)	GLOBAL	Force	X Proj	0	0,15316	0,41	0,41
1344	VL-conSC(E-O)	GLOBAL	Force	X Proj	0	0,15316	-0,41	-0,41
1345	CM	GLOBAL	Force	Gravity	0	0,03645	0,04	0,04
1345	VT-sinSC(N-S)	GLOBAL	Force	Y Proj	0	0,03645	-1,6	-1,6
1345	VT-sinSC(S-N)	GLOBAL	Force	Y Proj	0	0,03645	1,6	1,6
1345	VT-conSC(N-S)	GLOBAL	Force	Y Proj	0	0,03645	-2,38	-2,38
1345	VT-conSC(S-N)	GLOBAL	Force	Y Proj	0	0,03645	2,38	2,38
1345	VL-sinSC(O-E)	GLOBAL	Force	X Proj	0	0,03645	0,28	0,28
1345	VL-sinSC(E-O)	GLOBAL	Force	X Proj	0	0,03645	-0,28	-0,28
1345	VL-conSC(O-E)	GLOBAL	Force	X Proj	0	0,03645	0,41	0,41
1345	VL-conSC(E-O)	GLOBAL	Force	X Proj	0	0,03645	-0,41	-0,41
1346	CM	GLOBAL	Force	Gravity	0	0,03861	0,04	0,04
1346	VT-sinSC(N-S)	GLOBAL	Force	Y Proj	0	0,03861	-1,6	-1,6
1346	VT-sinSC(S-N)	GLOBAL	Force	Y Proj	0	0,03861	1,6	1,6
1346	VT-conSC(N-S)	GLOBAL	Force	Y Proj	0	0,03861	-2,38	-2,38
1346	VT-conSC(S-N)	GLOBAL	Force	Y Proj	0	0,03861	2,38	2,38
1346	VL-sinSC(O-E)	GLOBAL	Force	X Proj	0	0,03861	0,28	0,28
1346	VL-sinSC(E-O)	GLOBAL	Force	X Proj	0	0,03861	-0,28	-0,28
1346	VL-conSC(O-E)	GLOBAL	Force	X Proj	0	0,03861	0,41	0,41
1346	VL-conSC(E-O)	GLOBAL	Force	X Proj	0	0,03861	-0,41	-0,41
1347	CM	GLOBAL	Force	Gravity	0	0,15102	0,04	0,04
1347	VT-sinSC(N-S)	GLOBAL	Force	Y Proj	0	0,15102	-1,6	-1,6
1347	VT-sinSC(S-N)	GLOBAL	Force	Y Proj	0	0,15102	1,6	1,6
1347	VT-conSC(N-S)	GLOBAL	Force	Y Proj	0	0,15102	-2,38	-2,38
1347	VT-conSC(S-N)	GLOBAL	Force	Y Proj	0	0,15102	2,38	2,38
1347	VL-sinSC(O-E)	GLOBAL	Force	X Proj	0	0,15102	0,28	0,28
1347	VL-sinSC(E-O)	GLOBAL	Force	X Proj	0	0,15102	-0,28	-0,28
1347	VL-conSC(O-E)	GLOBAL	Force	X Proj	0	0,15102	0,41	0,41
1347	VL-conSC(E-O)	GLOBAL	Force	X Proj	0	0,15102	-0,41	-0,41
1348	CM	GLOBAL	Force	Gravity	0	0,115	0,04	0,04
1348	VT-sinSC(N-S)	GLOBAL	Force	Y Proj	0	0,115	-1,6	-1,6
1348	VT-sinSC(S-N)	GLOBAL	Force	Y Proj	0	0,115	1,6	1,6
1348	VT-conSC(N-S)	GLOBAL	Force	Y Proj	0	0,115	-2,38	-2,38
1348	VT-conSC(S-N)	GLOBAL	Force	Y Proj	0	0,115	2,38	2,38
1348	VL-sinSC(O-E)	GLOBAL	Force	X Proj	0	0,115	0,28	0,28
1348	VL-sinSC(E-O)	GLOBAL	Force	X Proj	0	0,115	-0,28	-0,28

1348	VL-conSC(O-E)	GLOBAL	Force	X Proj	0	0,115	0,41	0,41
1348	VL-conSC(E-O)	GLOBAL	Force	X Proj	0	0,115	-0,41	-0,41
1349	CM	GLOBAL	Force	Gravity	0	0,07446	0,04	0,04
1349	VT-sinSC(N-S)	GLOBAL	Force	Y Proj	0	0,07446	-1,6	-1,6
1349	VT-sinSC(S-N)	GLOBAL	Force	Y Proj	0	0,07446	1,6	1,6
1349	VT-conSC(N-S)	GLOBAL	Force	Y Proj	0	0,07446	-2,38	-2,38
1349	VT-conSC(S-N)	GLOBAL	Force	Y Proj	0	0,07446	2,38	2,38
1349	VL-sinSC(O-E)	GLOBAL	Force	X Proj	0	0,07446	0,28	0,28
1349	VL-sinSC(E-O)	GLOBAL	Force	X Proj	0	0,07446	-0,28	-0,28
1349	VL-conSC(O-E)	GLOBAL	Force	X Proj	0	0,07446	0,41	0,41
1349	VL-conSC(E-O)	GLOBAL	Force	X Proj	0	0,07446	-0,41	-0,41
1350	CM	GLOBAL	Force	Gravity	0	0,07761	0,04	0,04
1350	VT-sinSC(N-S)	GLOBAL	Force	Y Proj	0	0,07761	-1,6	-1,6
1350	VT-sinSC(S-N)	GLOBAL	Force	Y Proj	0	0,07761	1,6	1,6
1350	VT-conSC(N-S)	GLOBAL	Force	Y Proj	0	0,07761	-2,38	-2,38
1350	VT-conSC(S-N)	GLOBAL	Force	Y Proj	0	0,07761	2,38	2,38
1350	VL-sinSC(O-E)	GLOBAL	Force	X Proj	0	0,07761	0,28	0,28
1350	VL-sinSC(E-O)	GLOBAL	Force	X Proj	0	0,07761	-0,28	-0,28
1350	VL-conSC(O-E)	GLOBAL	Force	X Proj	0	0,07761	0,41	0,41
1350	VL-conSC(E-O)	GLOBAL	Force	X Proj	0	0,07761	-0,41	-0,41
1351	CM	GLOBAL	Force	Gravity	0	0,11289	0,04	0,04
1351	VT-sinSC(N-S)	GLOBAL	Force	Y Proj	0	0,11289	-1,6	-1,6
1351	VT-sinSC(S-N)	GLOBAL	Force	Y Proj	0	0,11289	1,6	1,6
1351	VT-conSC(N-S)	GLOBAL	Force	Y Proj	0	0,11289	-2,38	-2,38
1351	VT-conSC(S-N)	GLOBAL	Force	Y Proj	0	0,11289	2,38	2,38
1351	VL-sinSC(O-E)	GLOBAL	Force	X Proj	0	0,11289	0,28	0,28
1351	VL-sinSC(E-O)	GLOBAL	Force	X Proj	0	0,11289	-0,28	-0,28
1351	VL-conSC(O-E)	GLOBAL	Force	X Proj	0	0,11289	0,41	0,41
1351	VL-conSC(E-O)	GLOBAL	Force	X Proj	0	0,11289	-0,41	-0,41
1352	CM	GLOBAL	Force	Gravity	0	0,15423	0,04	0,04
1352	VT-sinSC(N-S)	GLOBAL	Force	Y Proj	0	0,15423	-1,6	-1,6
1352	VT-sinSC(S-N)	GLOBAL	Force	Y Proj	0	0,15423	1,6	1,6
1352	VT-conSC(N-S)	GLOBAL	Force	Y Proj	0	0,15423	-2,38	-2,38
1352	VT-conSC(S-N)	GLOBAL	Force	Y Proj	0	0,15423	2,38	2,38
1352	VL-sinSC(O-E)	GLOBAL	Force	X Proj	0	0,15423	0,28	0,28
1352	VL-sinSC(E-O)	GLOBAL	Force	X Proj	0	0,15423	-0,28	-0,28
1352	VL-conSC(O-E)	GLOBAL	Force	X Proj	0	0,15423	0,41	0,41
1352	VL-conSC(E-O)	GLOBAL	Force	X Proj	0	0,15423	-0,41	-0,41
1353	CM	GLOBAL	Force	Gravity	0	0,03662	0,04	0,04



1353	VT-sinSC(N-S)	GLOBAL	Force	Y Proj	0	0,03662	-1,6	-1,6
1353	VT-sinSC(S-N)	GLOBAL	Force	Y Proj	0	0,03662	1,6	1,6
1353	VT-conSC(N-S)	GLOBAL	Force	Y Proj	0	0,03662	-2,38	-2,38
1353	VT-conSC(S-N)	GLOBAL	Force	Y Proj	0	0,03662	2,38	2,38
1353	VL-sinSC(O-E)	GLOBAL	Force	X Proj	0	0,03662	0,28	0,28
1353	VL-sinSC(E-O)	GLOBAL	Force	X Proj	0	0,03662	-0,28	-0,28
1353	VL-conSC(O-E)	GLOBAL	Force	X Proj	0	0,03662	0,41	0,41
1353	VL-conSC(E-O)	GLOBAL	Force	X Proj	0	0,03662	-0,41	-0,41
1354	CM	GLOBAL	Force	Gravity	0	0,03895	0,04	0,04
1354	VT-sinSC(N-S)	GLOBAL	Force	Y Proj	0	0,03895	-1,6	-1,6
1354	VT-sinSC(S-N)	GLOBAL	Force	Y Proj	0	0,03895	1,6	1,6
1354	VT-conSC(N-S)	GLOBAL	Force	Y Proj	0	0,03895	-2,38	-2,38
1354	VT-conSC(S-N)	GLOBAL	Force	Y Proj	0	0,03895	2,38	2,38
1354	VL-sinSC(O-E)	GLOBAL	Force	X Proj	0	0,03895	0,28	0,28
1354	VL-sinSC(E-O)	GLOBAL	Force	X Proj	0	0,03895	-0,28	-0,28
1354	VL-conSC(O-E)	GLOBAL	Force	X Proj	0	0,03895	0,41	0,41
1354	VL-conSC(E-O)	GLOBAL	Force	X Proj	0	0,03895	-0,41	-0,41
1355	CM	GLOBAL	Force	Gravity	0	0,15192	0,04	0,04
1355	VT-sinSC(N-S)	GLOBAL	Force	Y Proj	0	0,15192	-1,6	-1,6
1355	VT-sinSC(S-N)	GLOBAL	Force	Y Proj	0	0,15192	1,6	1,6
1355	VT-conSC(N-S)	GLOBAL	Force	Y Proj	0	0,15192	-2,38	-2,38
1355	VT-conSC(S-N)	GLOBAL	Force	Y Proj	0	0,15192	2,38	2,38
1355	VL-sinSC(O-E)	GLOBAL	Force	X Proj	0	0,15192	0,28	0,28
1355	VL-sinSC(E-O)	GLOBAL	Force	X Proj	0	0,15192	-0,28	-0,28
1355	VL-conSC(O-E)	GLOBAL	Force	X Proj	0	0,15192	0,41	0,41
1355	VL-conSC(E-O)	GLOBAL	Force	X Proj	0	0,15192	-0,41	-0,41
1356	CM	GLOBAL	Force	Gravity	0	0,11583	0,04	0,04
1356	VT-sinSC(N-S)	GLOBAL	Force	Y Proj	0	0,11583	-1,6	-1,6
1356	VT-sinSC(S-N)	GLOBAL	Force	Y Proj	0	0,11583	1,6	1,6
1356	VT-conSC(N-S)	GLOBAL	Force	Y Proj	0	0,11583	-2,38	-2,38
1356	VT-conSC(S-N)	GLOBAL	Force	Y Proj	0	0,11583	2,38	2,38
1356	VL-sinSC(O-E)	GLOBAL	Force	X Proj	0	0,11583	0,28	0,28
1356	VL-sinSC(E-O)	GLOBAL	Force	X Proj	0	0,11583	-0,28	-0,28
1356	VL-conSC(O-E)	GLOBAL	Force	X Proj	0	0,11583	0,41	0,41
1356	VL-conSC(E-O)	GLOBAL	Force	X Proj	0	0,11583	-0,41	-0,41
1357	CM	GLOBAL	Force	Gravity	0	0,07492	0,04	0,04
1357	VT-sinSC(N-S)	GLOBAL	Force	Y Proj	0	0,07492	-1,6	-1,6
1357	VT-sinSC(S-N)	GLOBAL	Force	Y Proj	0	0,07492	1,6	1,6
1357	VT-conSC(N-S)	GLOBAL	Force	Y Proj	0	0,07492	-2,38	-2,38

1357	VT-conSC(S-N)	GLOBAL	Force	Y Proj	0	0,07492	2,38	2,38
1357	VL-sinSC(O-E)	GLOBAL	Force	X Proj	0	0,07492	0,28	0,28
1357	VL-sinSC(E-O)	GLOBAL	Force	X Proj	0	0,07492	-0,28	-0,28
1357	VL-conSC(O-E)	GLOBAL	Force	X Proj	0	0,07492	0,41	0,41
1357	VL-conSC(E-O)	GLOBAL	Force	X Proj	0	0,07492	-0,41	-0,41
1358	PPforjado	GLOBAL	Force	Gravity	0	2,5	4	4
1358	SC_3	GLOBAL	Force	Gravity	0	2,5	8	8
1359	CM	GLOBAL	Force	Gravity	0	2,04369	0,04	0,04
1359	VT-sinSC(S-N)	GLOBAL	Force	Y Proj	0	2,04369	1,6	1,6
1359	VT-sinSC(N-S)	GLOBAL	Force	Y Proj	0	2,04369	-1,6	-1,6
1359	VT-conSC(N-S)	GLOBAL	Force	Y Proj	0	2,04369	-2,38	-2,38
1359	VT-conSC(S-N)	GLOBAL	Force	Y Proj	0	2,04369	2,38	2,38
1359	VL-sinSC(E-O)	GLOBAL	Force	X Proj	0	2,04369	-0,28	-0,28
1359	VL-sinSC(O-E)	GLOBAL	Force	X Proj	0	2,04369	0,28	0,28
1359	VL-conSC(O-E)	GLOBAL	Force	X Proj	0	2,04369	0,41	0,41
1359	VL-conSC(E-O)	GLOBAL	Force	X Proj	0	2,04369	-0,41	-0,41
1360	CM	GLOBAL	Force	Gravity	0	2,04369	0,04	0,04
1360	VT-sinSC(S-N)	GLOBAL	Force	Y Proj	0	2,04369	1,6	1,6
1360	VT-sinSC(N-S)	GLOBAL	Force	Y Proj	0	2,04369	-1,6	-1,6
1360	VT-conSC(N-S)	GLOBAL	Force	Y Proj	0	2,04369	-2,38	-2,38
1360	VT-conSC(S-N)	GLOBAL	Force	Y Proj	0	2,04369	2,38	2,38
1360	VL-sinSC(E-O)	GLOBAL	Force	X Proj	0	2,04369	-0,28	-0,28
1360	VL-sinSC(O-E)	GLOBAL	Force	X Proj	0	2,04369	0,28	0,28
1360	VL-conSC(O-E)	GLOBAL	Force	X Proj	0	2,04369	0,41	0,41
1360	VL-conSC(E-O)	GLOBAL	Force	X Proj	0	2,04369	-0,41	-0,41
1361	CM	GLOBAL	Force	Gravity	0	2,04369	0,04	0,04
1361	VT-sinSC(S-N)	GLOBAL	Force	Y Proj	0	2,04369	1,6	1,6
1361	VT-sinSC(N-S)	GLOBAL	Force	Y Proj	0	2,04369	-1,6	-1,6
1361	VT-conSC(N-S)	GLOBAL	Force	Y Proj	0	2,04369	-2,38	-2,38
1361	VT-conSC(S-N)	GLOBAL	Force	Y Proj	0	2,04369	2,38	2,38
1361	VL-sinSC(E-O)	GLOBAL	Force	X Proj	0	2,04369	-0,28	-0,28
1361	VL-sinSC(O-E)	GLOBAL	Force	X Proj	0	2,04369	0,28	0,28
1361	VL-conSC(O-E)	GLOBAL	Force	X Proj	0	2,04369	0,41	0,41
1361	VL-conSC(E-O)	GLOBAL	Force	X Proj	0	2,04369	-0,41	-0,41
1362	CM	GLOBAL	Force	Gravity	0	2,04369	0,04	0,04
1362	VT-sinSC(S-N)	GLOBAL	Force	Y Proj	0	2,04369	1,6	1,6
1362	VT-sinSC(N-S)	GLOBAL	Force	Y Proj	0	2,04369	-1,6	-1,6
1362	VT-conSC(N-S)	GLOBAL	Force	Y Proj	0	2,04369	-2,38	-2,38
1362	VT-conSC(S-N)	GLOBAL	Force	Y Proj	0	2,04369	2,38	2,38



1362	VL-sinSC(E-O)	GLOBAL	Force	X Proj	0	2,04369	-0,28	-0,28
1362	VL-sinSC(O-E)	GLOBAL	Force	X Proj	0	2,04369	0,28	0,28
1362	VL-conSC(O-E)	GLOBAL	Force	X Proj	0	2,04369	0,41	0,41
1362	VL-conSC(E-O)	GLOBAL	Force	X Proj	0	2,04369	-0,41	-0,41
1363	CM	GLOBAL	Force	Gravity	0	2,04369	0,04	0,04
1363	VT-sinSC(S-N)	GLOBAL	Force	Y Proj	0	2,04369	1,6	1,6
1363	VT-sinSC(N-S)	GLOBAL	Force	Y Proj	0	2,04369	-1,6	-1,6
1363	VT-conSC(N-S)	GLOBAL	Force	Y Proj	0	2,04369	-2,38	-2,38
1363	VT-conSC(S-N)	GLOBAL	Force	Y Proj	0	2,04369	2,38	2,38
1363	VL-sinSC(E-O)	GLOBAL	Force	X Proj	0	2,04369	-0,28	-0,28
1363	VL-sinSC(O-E)	GLOBAL	Force	X Proj	0	2,04369	0,28	0,28
1363	VL-conSC(O-E)	GLOBAL	Force	X Proj	0	2,04369	0,41	0,41
1363	VL-conSC(E-O)	GLOBAL	Force	X Proj	0	2,04369	-0,41	-0,41
1364	PPforjado	GLOBAL	Force	Gravity	0	2,5	4	4
1364	SC_4	GLOBAL	Force	Gravity	0	2,5	9	9
1365	PPforjado	GLOBAL	Force	Gravity	0	2,5	4	4
1365	SC_4	GLOBAL	Force	Gravity	0	2,5	9	9
1366	PPforjado	GLOBAL	Force	Gravity	0	2,5	4	4
1366	SC_4	GLOBAL	Force	Gravity	0	2,5	9	9
1367	PPforjado	GLOBAL	Force	Gravity	0	2,5	4	4
1367	SC_4	GLOBAL	Force	Gravity	0	2,5	9	9
1368	PPforjado	GLOBAL	Force	Gravity	0	2,5	4	4
1368	SC_4	GLOBAL	Force	Gravity	0	2,5	9	9
1369	PPforjado	GLOBAL	Force	Gravity	0	2,5	4	4
1369	SC_4	GLOBAL	Force	Gravity	0	2,5	9	9
1372	CM	GLOBAL	Force	Gravity	0	2,091	0,04	0,04
1372	VT-sinSC(S-N)	GLOBAL	Force	Y Proj	0	2,091	1,6	1,6
1372	VT-sinSC(N-S)	GLOBAL	Force	Y Proj	0	2,091	-1,6	-1,6
1372	VT-conSC(N-S)	GLOBAL	Force	Y Proj	0	2,091	-2,38	-2,38
1372	VT-conSC(S-N)	GLOBAL	Force	Y Proj	0	2,091	2,38	2,38
1372	VL-sinSC(E-O)	GLOBAL	Force	X Proj	0	2,091	-0,28	-0,28
1372	VL-sinSC(O-E)	GLOBAL	Force	X Proj	0	2,091	0,28	0,28
1372	VL-conSC(O-E)	GLOBAL	Force	X Proj	0	2,091	0,41	0,41
1372	VL-conSC(E-O)	GLOBAL	Force	X Proj	0	2,091	-0,41	-0,41
1374	PPforjado	GLOBAL	Force	Gravity	0	2,50429	4	4
1374	SC_3	GLOBAL	Force	Gravity	0	2,50429	8	8
1375	CM	GLOBAL	Force	Gravity	0	1,72314	0,04	0,04
1375	VT-sinSC(S-N)	GLOBAL	Force	Y Proj	0	1,72314	1,6	1,6
1375	VT-sinSC(N-S)	GLOBAL	Force	Y Proj	0	1,72314	-1,6	-1,6

1375	VT-conSC(N-S)	GLOBAL	Force	Y Proj	0	1,72314	-2,38	-2,38
1375	VT-conSC(S-N)	GLOBAL	Force	Y Proj	0	1,72314	2,38	2,38
1375	VL-sinSC(E-O)	GLOBAL	Force	X Proj	0	1,72314	-0,28	-0,28
1375	VL-sinSC(O-E)	GLOBAL	Force	X Proj	0	1,72314	0,28	0,28
1375	VL-conSC(O-E)	GLOBAL	Force	X Proj	0	1,72314	0,41	0,41
1375	VL-conSC(E-O)	GLOBAL	Force	X Proj	0	1,72314	-0,41	-0,41
1376	CM	GLOBAL	Force	Gravity	0	1,72314	0,04	0,04
1376	VT-sinSC(S-N)	GLOBAL	Force	Y Proj	0	1,72314	1,6	1,6
1376	VT-sinSC(N-S)	GLOBAL	Force	Y Proj	0	1,72314	-1,6	-1,6
1376	VT-conSC(N-S)	GLOBAL	Force	Y Proj	0	1,72314	-2,38	-2,38
1376	VT-conSC(S-N)	GLOBAL	Force	Y Proj	0	1,72314	2,38	2,38
1376	VL-sinSC(E-O)	GLOBAL	Force	X Proj	0	1,72314	-0,28	-0,28
1376	VL-sinSC(O-E)	GLOBAL	Force	X Proj	0	1,72314	0,28	0,28
1376	VL-conSC(O-E)	GLOBAL	Force	X Proj	0	1,72314	0,41	0,41
1376	VL-conSC(E-O)	GLOBAL	Force	X Proj	0	1,72314	-0,41	-0,41
1377	CM	GLOBAL	Force	Gravity	0	1,72314	0,04	0,04
1377	VT-sinSC(S-N)	GLOBAL	Force	Y Proj	0	1,72314	1,6	1,6
1377	VT-sinSC(N-S)	GLOBAL	Force	Y Proj	0	1,72314	-1,6	-1,6
1377	VT-conSC(N-S)	GLOBAL	Force	Y Proj	0	1,72314	-2,38	-2,38
1377	VT-conSC(S-N)	GLOBAL	Force	Y Proj	0	1,72314	2,38	2,38
1377	VL-sinSC(E-O)	GLOBAL	Force	X Proj	0	1,72314	-0,28	-0,28
1377	VL-sinSC(O-E)	GLOBAL	Force	X Proj	0	1,72314	0,28	0,28
1377	VL-conSC(O-E)	GLOBAL	Force	X Proj	0	1,72314	0,41	0,41
1377	VL-conSC(E-O)	GLOBAL	Force	X Proj	0	1,72314	-0,41	-0,41
1378	CM	GLOBAL	Force	Gravity	0	1,72314	0,04	0,04
1378	VT-sinSC(S-N)	GLOBAL	Force	Y Proj	0	1,72314	1,6	1,6
1378	VT-sinSC(N-S)	GLOBAL	Force	Y Proj	0	1,72314	-1,6	-1,6
1378	VT-conSC(N-S)	GLOBAL	Force	Y Proj	0	1,72314	-2,38	-2,38
1378	VT-conSC(S-N)	GLOBAL	Force	Y Proj	0	1,72314	2,38	2,38
1378	VL-sinSC(E-O)	GLOBAL	Force	X Proj	0	1,72314	-0,28	-0,28
1378	VL-sinSC(O-E)	GLOBAL	Force	X Proj	0	1,72314	0,28	0,28
1378	VL-conSC(O-E)	GLOBAL	Force	X Proj	0	1,72314	0,41	0,41
1378	VL-conSC(E-O)	GLOBAL	Force	X Proj	0	1,72314	-0,41	-0,41
1379	CM	GLOBAL	Force	Gravity	0	1,72314	0,04	0,04
1379	VT-sinSC(S-N)	GLOBAL	Force	Y Proj	0	1,72314	1,6	1,6
1379	VT-sinSC(N-S)	GLOBAL	Force	Y Proj	0	1,72314	-1,6	-1,6
1379	VT-conSC(N-S)	GLOBAL	Force	Y Proj	0	1,72314	-2,38	-2,38
1379	VT-conSC(S-N)	GLOBAL	Force	Y Proj	0	1,72314	2,38	2,38
1379	VL-sinSC(E-O)	GLOBAL	Force	X Proj	0	1,72314	-0,28	-0,28



1379	VL-sinSC(O-E)	GLOBAL	Force	X Proj	0	1,72314	0,28	0,28
1379	VL-conSC(O-E)	GLOBAL	Force	X Proj	0	1,72314	0,41	0,41
1379	VL-conSC(E-O)	GLOBAL	Force	X Proj	0	1,72314	-0,41	-0,41
1380	CM	GLOBAL	Force	Gravity	0	1,72315	0,04	0,04
1380	VT-sinSC(S-N)	GLOBAL	Force	Y Proj	0	1,72315	1,6	1,6
1380	VT-sinSC(N-S)	GLOBAL	Force	Y Proj	0	1,72315	-1,6	-1,6
1380	VT-conSC(N-S)	GLOBAL	Force	Y Proj	0	1,72315	-2,38	-2,38
1380	VT-conSC(S-N)	GLOBAL	Force	Y Proj	0	1,72315	2,38	2,38
1380	VL-sinSC(E-O)	GLOBAL	Force	X Proj	0	1,72315	-0,28	-0,28
1380	VL-sinSC(O-E)	GLOBAL	Force	X Proj	0	1,72315	0,28	0,28
1380	VL-conSC(O-E)	GLOBAL	Force	X Proj	0	1,72315	0,41	0,41
1380	VL-conSC(E-O)	GLOBAL	Force	X Proj	0	1,72315	-0,41	-0,41
1381	CM	GLOBAL	Force	Gravity	0	1,72315	0,04	0,04
1381	VT-sinSC(S-N)	GLOBAL	Force	Y Proj	0	1,72315	1,6	1,6
1381	VT-sinSC(N-S)	GLOBAL	Force	Y Proj	0	1,72315	-1,6	-1,6
1381	VT-conSC(N-S)	GLOBAL	Force	Y Proj	0	1,72315	-2,38	-2,38
1381	VT-conSC(S-N)	GLOBAL	Force	Y Proj	0	1,72315	2,38	2,38
1381	VL-sinSC(E-O)	GLOBAL	Force	X Proj	0	1,72315	-0,28	-0,28
1381	VL-sinSC(O-E)	GLOBAL	Force	X Proj	0	1,72315	0,28	0,28
1381	VL-conSC(O-E)	GLOBAL	Force	X Proj	0	1,72315	0,41	0,41
1381	VL-conSC(E-O)	GLOBAL	Force	X Proj	0	1,72315	-0,41	-0,41
1382	CM	GLOBAL	Force	Gravity	0	1,72315	0,04	0,04
1382	VT-sinSC(S-N)	GLOBAL	Force	Y Proj	0	1,72315	1,6	1,6
1382	VT-sinSC(N-S)	GLOBAL	Force	Y Proj	0	1,72315	-1,6	-1,6
1382	VT-conSC(N-S)	GLOBAL	Force	Y Proj	0	1,72315	-2,38	-2,38
1382	VT-conSC(S-N)	GLOBAL	Force	Y Proj	0	1,72315	2,38	2,38
1382	VL-sinSC(E-O)	GLOBAL	Force	X Proj	0	1,72315	-0,28	-0,28
1382	VL-sinSC(O-E)	GLOBAL	Force	X Proj	0	1,72315	0,28	0,28
1382	VL-conSC(O-E)	GLOBAL	Force	X Proj	0	1,72315	0,41	0,41
1382	VL-conSC(E-O)	GLOBAL	Force	X Proj	0	1,72315	-0,41	-0,41
1383	CM	GLOBAL	Force	Gravity	0	1,72315	0,04	0,04
1383	VT-sinSC(S-N)	GLOBAL	Force	Y Proj	0	1,72315	1,6	1,6
1383	VT-sinSC(N-S)	GLOBAL	Force	Y Proj	0	1,72315	-1,6	-1,6
1383	VT-conSC(N-S)	GLOBAL	Force	Y Proj	0	1,72315	-2,38	-2,38
1383	VT-conSC(S-N)	GLOBAL	Force	Y Proj	0	1,72315	2,38	2,38
1383	VL-sinSC(E-O)	GLOBAL	Force	X Proj	0	1,72315	-0,28	-0,28
1383	VL-sinSC(O-E)	GLOBAL	Force	X Proj	0	1,72315	0,28	0,28
1383	VL-conSC(O-E)	GLOBAL	Force	X Proj	0	1,72315	0,41	0,41
1383	VL-conSC(E-O)	GLOBAL	Force	X Proj	0	1,72315	-0,41	-0,41

1384	CM	GLOBAL	Force	Gravity	0	1,72315	0,04	0,04
1384	VT-sinSC(S-N)	GLOBAL	Force	Y Proj	0	1,72315	1,6	1,6
1384	VT-sinSC(N-S)	GLOBAL	Force	Y Proj	0	1,72315	-1,6	-1,6
1384	VT-conSC(N-S)	GLOBAL	Force	Y Proj	0	1,72315	-2,38	-2,38
1384	VT-conSC(S-N)	GLOBAL	Force	Y Proj	0	1,72315	2,38	2,38
1384	VL-sinSC(E-O)	GLOBAL	Force	X Proj	0	1,72315	-0,28	-0,28
1384	VL-sinSC(O-E)	GLOBAL	Force	X Proj	0	1,72315	0,28	0,28
1384	VL-conSC(O-E)	GLOBAL	Force	X Proj	0	1,72315	0,41	0,41
1384	VL-conSC(E-O)	GLOBAL	Force	X Proj	0	1,72315	-0,41	-0,41
1385	PPforjado	GLOBAL	Force	Gravity	0	2,50017	4	4
1385	SC_3	GLOBAL	Force	Gravity	0	2,50017	8	8
1386	PPforjado	GLOBAL	Force	Gravity	0	2,50068	4	4
1386	SC_3	GLOBAL	Force	Gravity	0	2,50068	8	8
1387	PPforjado	GLOBAL	Force	Gravity	0	2,50154	4	4
1387	SC_3	GLOBAL	Force	Gravity	0	2,50154	8	8
1388	PPforjado	GLOBAL	Force	Gravity	0	2,50275	4	4
1388	SC_3	GLOBAL	Force	Gravity	0	2,50275	8	8
1389	CM	GLOBAL	Force	Gravity	0	1,7678	0,04	0,04
1389	VT-sinSC(N-S)	GLOBAL	Force	Y Proj	0	1,7678	-1,6	-1,6
1389	VT-conSC(N-S)	GLOBAL	Force	Y Proj	0	1,7678	-2,38	-2,38
1389	VT-conSC(S-N)	GLOBAL	Force	Y Proj	0	1,7678	2,38	2,38
1389	VL-sinSC(E-O)	GLOBAL	Force	X Proj	0	1,7678	-0,28	-0,28
1389	VL-sinSC(O-E)	GLOBAL	Force	X Proj	0	1,7678	0,28	0,28
1389	VL-conSC(O-E)	GLOBAL	Force	X Proj	0	1,7678	0,41	0,41
1389	VL-conSC(E-O)	GLOBAL	Force	X Proj	0	1,7678	-0,41	-0,41
1389	VT-sinSC(S-N)	GLOBAL	Force	Y Proj	0	1,7678	1,6	1,6
1390	CM	GLOBAL	Force	Gravity	0	1,7678	0,04	0,04
1390	VT-sinSC(N-S)	GLOBAL	Force	Y Proj	0	1,7678	-1,6	-1,6
1390	VT-conSC(N-S)	GLOBAL	Force	Y Proj	0	1,7678	-2,38	-2,38
1390	VT-conSC(S-N)	GLOBAL	Force	Y Proj	0	1,7678	2,38	2,38
1390	VL-sinSC(E-O)	GLOBAL	Force	X Proj	0	1,7678	-0,28	-0,28
1390	VL-sinSC(O-E)	GLOBAL	Force	X Proj	0	1,7678	0,28	0,28
1390	VL-conSC(O-E)	GLOBAL	Force	X Proj	0	1,7678	0,41	0,41
1390	VL-conSC(E-O)	GLOBAL	Force	X Proj	0	1,7678	-0,41	-0,41
1390	VT-sinSC(S-N)	GLOBAL	Force	Y Proj	0	1,7678	1,6	1,6
1391	CM	GLOBAL	Force	Gravity	0	1,7678	0,04	0,04
1391	VT-sinSC(N-S)	GLOBAL	Force	Y Proj	0	1,7678	-1,6	-1,6
1391	VT-conSC(N-S)	GLOBAL	Force	Y Proj	0	1,7678	-2,38	-2,38
1391	VT-conSC(S-N)	GLOBAL	Force	Y Proj	0	1,7678	2,38	2,38



1391	VL-sinSC(E-O)	GLOBAL	Force	X Proj	0	1,7678	-0,28	-0,28
1391	VL-sinSC(O-E)	GLOBAL	Force	X Proj	0	1,7678	0,28	0,28
1391	VL-conSC(O-E)	GLOBAL	Force	X Proj	0	1,7678	0,41	0,41
1391	VL-conSC(E-O)	GLOBAL	Force	X Proj	0	1,7678	-0,41	-0,41
1391	VT-sinSC(S-N)	GLOBAL	Force	Y Proj	0	1,7678	1,6	1,6
1392	CM	GLOBAL	Force	Gravity	0	1,7678	0,04	0,04
1392	VT-sinSC(N-S)	GLOBAL	Force	Y Proj	0	1,7678	-1,6	-1,6
1392	VT-conSC(N-S)	GLOBAL	Force	Y Proj	0	1,7678	-2,38	-2,38
1392	VT-conSC(S-N)	GLOBAL	Force	Y Proj	0	1,7678	2,38	2,38
1392	VL-sinSC(E-O)	GLOBAL	Force	X Proj	0	1,7678	-0,28	-0,28
1392	VL-sinSC(O-E)	GLOBAL	Force	X Proj	0	1,7678	0,28	0,28
1392	VL-conSC(O-E)	GLOBAL	Force	X Proj	0	1,7678	0,41	0,41
1392	VL-conSC(E-O)	GLOBAL	Force	X Proj	0	1,7678	-0,41	-0,41
1392	VT-sinSC(S-N)	GLOBAL	Force	Y Proj	0	1,7678	1,6	1,6
1393	CM	GLOBAL	Force	Gravity	0	1,7678	0,04	0,04
1393	VT-sinSC(N-S)	GLOBAL	Force	Y Proj	0	1,7678	-1,6	-1,6
1393	VT-conSC(N-S)	GLOBAL	Force	Y Proj	0	1,7678	-2,38	-2,38
1393	VT-conSC(S-N)	GLOBAL	Force	Y Proj	0	1,7678	2,38	2,38
1393	VL-sinSC(E-O)	GLOBAL	Force	X Proj	0	1,7678	-0,28	-0,28
1393	VL-sinSC(O-E)	GLOBAL	Force	X Proj	0	1,7678	0,28	0,28
1393	VL-conSC(O-E)	GLOBAL	Force	X Proj	0	1,7678	0,41	0,41
1393	VL-conSC(E-O)	GLOBAL	Force	X Proj	0	1,7678	-0,41	-0,41
1393	VT-sinSC(S-N)	GLOBAL	Force	Y Proj	0	1,7678	1,6	1,6
1394	CM	GLOBAL	Force	Gravity	0	1,7678	0,04	0,04
1394	VT-sinSC(N-S)	GLOBAL	Force	Y Proj	0	1,7678	-1,6	-1,6
1394	VT-conSC(N-S)	GLOBAL	Force	Y Proj	0	1,7678	-2,38	-2,38
1394	VT-conSC(S-N)	GLOBAL	Force	Y Proj	0	1,7678	2,38	2,38
1394	VL-sinSC(E-O)	GLOBAL	Force	X Proj	0	1,7678	-0,28	-0,28
1394	VL-sinSC(O-E)	GLOBAL	Force	X Proj	0	1,7678	0,28	0,28
1394	VL-conSC(O-E)	GLOBAL	Force	X Proj	0	1,7678	0,41	0,41
1394	VL-conSC(E-O)	GLOBAL	Force	X Proj	0	1,7678	-0,41	-0,41
1394	VT-sinSC(S-N)	GLOBAL	Force	Y Proj	0	1,7678	1,6	1,6
1395	CM	GLOBAL	Force	Gravity	0	1,7678	0,04	0,04
1395	VT-sinSC(N-S)	GLOBAL	Force	Y Proj	0	1,7678	-1,6	-1,6
1395	VT-conSC(N-S)	GLOBAL	Force	Y Proj	0	1,7678	-2,38	-2,38
1395	VT-conSC(S-N)	GLOBAL	Force	Y Proj	0	1,7678	2,38	2,38
1395	VL-sinSC(E-O)	GLOBAL	Force	X Proj	0	1,7678	-0,28	-0,28
1395	VL-sinSC(O-E)	GLOBAL	Force	X Proj	0	1,7678	0,28	0,28
1395	VL-conSC(O-E)	GLOBAL	Force	X Proj	0	1,7678	0,41	0,41

1395	VL-conSC(E-O)	GLOBAL	Force	X Proj	0	1,7678	-0,41	-0,41
1395	VT-sinSC(S-N)	GLOBAL	Force	Y Proj	0	1,7678	1,6	1,6
1396	CM	GLOBAL	Force	Gravity	0	1,7678	0,04	0,04
1396	VT-sinSC(N-S)	GLOBAL	Force	Y Proj	0	1,7678	-1,6	-1,6
1396	VT-conSC(N-S)	GLOBAL	Force	Y Proj	0	1,7678	-2,38	-2,38
1396	VT-conSC(S-N)	GLOBAL	Force	Y Proj	0	1,7678	2,38	2,38
1396	VL-sinSC(E-O)	GLOBAL	Force	X Proj	0	1,7678	-0,28	-0,28
1396	VL-sinSC(O-E)	GLOBAL	Force	X Proj	0	1,7678	0,28	0,28
1396	VL-conSC(O-E)	GLOBAL	Force	X Proj	0	1,7678	0,41	0,41
1396	VL-conSC(E-O)	GLOBAL	Force	X Proj	0	1,7678	-0,41	-0,41
1396	VT-sinSC(S-N)	GLOBAL	Force	Y Proj	0	1,7678	1,6	1,6
1397	CM	GLOBAL	Force	Gravity	0	1,7678	0,04	0,04
1397	VT-sinSC(N-S)	GLOBAL	Force	Y Proj	0	1,7678	-1,6	-1,6
1397	VT-conSC(N-S)	GLOBAL	Force	Y Proj	0	1,7678	-2,38	-2,38
1397	VT-conSC(S-N)	GLOBAL	Force	Y Proj	0	1,7678	2,38	2,38
1397	VL-sinSC(E-O)	GLOBAL	Force	X Proj	0	1,7678	-0,28	-0,28
1397	VL-sinSC(O-E)	GLOBAL	Force	X Proj	0	1,7678	0,28	0,28
1397	VL-conSC(O-E)	GLOBAL	Force	X Proj	0	1,7678	0,41	0,41
1397	VL-conSC(E-O)	GLOBAL	Force	X Proj	0	1,7678	-0,41	-0,41
1397	VT-sinSC(S-N)	GLOBAL	Force	Y Proj	0	1,7678	1,6	1,6
1398	CM	GLOBAL	Force	Gravity	0	1,7678	0,04	0,04
1398	VT-sinSC(N-S)	GLOBAL	Force	Y Proj	0	1,7678	-1,6	-1,6
1398	VT-conSC(N-S)	GLOBAL	Force	Y Proj	0	1,7678	-2,38	-2,38
1398	VT-conSC(S-N)	GLOBAL	Force	Y Proj	0	1,7678	2,38	2,38
1398	VL-sinSC(E-O)	GLOBAL	Force	X Proj	0	1,7678	-0,28	-0,28
1398	VL-sinSC(O-E)	GLOBAL	Force	X Proj	0	1,7678	0,28	0,28
1398	VL-conSC(O-E)	GLOBAL	Force	X Proj	0	1,7678	0,41	0,41
1398	VL-conSC(E-O)	GLOBAL	Force	X Proj	0	1,7678	-0,41	-0,41
1398	VT-sinSC(S-N)	GLOBAL	Force	Y Proj	0	1,7678	1,6	1,6
1399	CM	GLOBAL	Force	Gravity	0	1,7678	0,04	0,04
1399	VT-sinSC(N-S)	GLOBAL	Force	Y Proj	0	1,7678	-1,6	-1,6
1399	VT-conSC(N-S)	GLOBAL	Force	Y Proj	0	1,7678	-2,38	-2,38
1399	VT-conSC(S-N)	GLOBAL	Force	Y Proj	0	1,7678	2,38	2,38
1399	VL-sinSC(E-O)	GLOBAL	Force	X Proj	0	1,7678	-0,28	-0,28
1399	VL-sinSC(O-E)	GLOBAL	Force	X Proj	0	1,7678	0,28	0,28
1399	VL-conSC(O-E)	GLOBAL	Force	X Proj	0	1,7678	0,41	0,41
1399	VL-conSC(E-O)	GLOBAL	Force	X Proj	0	1,7678	-0,41	-0,41
1399	VT-sinSC(S-N)	GLOBAL	Force	Y Proj	0	1,7678	1,6	1,6
1400	CM	GLOBAL	Force	Gravity	0	1,7678	0,04	0,04



1400	VT-sinSC(N-S)	GLOBAL	Force	Y Proj	0	1,7678	-1,6	-1,6
1400	VT-conSC(N-S)	GLOBAL	Force	Y Proj	0	1,7678	-2,38	-2,38
1400	VT-conSC(S-N)	GLOBAL	Force	Y Proj	0	1,7678	2,38	2,38
1400	VL-sinSC(E-O)	GLOBAL	Force	X Proj	0	1,7678	-0,28	-0,28
1400	VL-sinSC(O-E)	GLOBAL	Force	X Proj	0	1,7678	0,28	0,28
1400	VL-conSC(O-E)	GLOBAL	Force	X Proj	0	1,7678	0,41	0,41
1400	VL-conSC(E-O)	GLOBAL	Force	X Proj	0	1,7678	-0,41	-0,41
1400	VT-sinSC(S-N)	GLOBAL	Force	Y Proj	0	1,7678	1,6	1,6
1401	CM	GLOBAL	Force	Gravity	0	1,7678	0,04	0,04
1401	VT-sinSC(N-S)	GLOBAL	Force	Y Proj	0	1,7678	-1,6	-1,6
1401	VT-conSC(N-S)	GLOBAL	Force	Y Proj	0	1,7678	-2,38	-2,38
1401	VT-conSC(S-N)	GLOBAL	Force	Y Proj	0	1,7678	2,38	2,38
1401	VL-sinSC(E-O)	GLOBAL	Force	X Proj	0	1,7678	-0,28	-0,28
1401	VL-sinSC(O-E)	GLOBAL	Force	X Proj	0	1,7678	0,28	0,28
1401	VL-conSC(O-E)	GLOBAL	Force	X Proj	0	1,7678	0,41	0,41
1401	VL-conSC(E-O)	GLOBAL	Force	X Proj	0	1,7678	-0,41	-0,41
1401	VT-sinSC(S-N)	GLOBAL	Force	Y Proj	0	1,7678	1,6	1,6
1402	CM	GLOBAL	Force	Gravity	0	1,7678	0,04	0,04
1402	VT-sinSC(N-S)	GLOBAL	Force	Y Proj	0	1,7678	-1,6	-1,6
1402	VT-conSC(N-S)	GLOBAL	Force	Y Proj	0	1,7678	-2,38	-2,38
1402	VT-conSC(S-N)	GLOBAL	Force	Y Proj	0	1,7678	2,38	2,38
1402	VL-sinSC(E-O)	GLOBAL	Force	X Proj	0	1,7678	-0,28	-0,28
1402	VL-sinSC(O-E)	GLOBAL	Force	X Proj	0	1,7678	0,28	0,28
1402	VL-conSC(O-E)	GLOBAL	Force	X Proj	0	1,7678	0,41	0,41
1402	VL-conSC(E-O)	GLOBAL	Force	X Proj	0	1,7678	-0,41	-0,41
1402	VT-sinSC(S-N)	GLOBAL	Force	Y Proj	0	1,7678	1,6	1,6
1403	CM	GLOBAL	Force	Gravity	0	1,7678	0,04	0,04
1403	VT-sinSC(N-S)	GLOBAL	Force	Y Proj	0	1,7678	-1,6	-1,6
1403	VT-conSC(N-S)	GLOBAL	Force	Y Proj	0	1,7678	-2,38	-2,38
1403	VT-conSC(S-N)	GLOBAL	Force	Y Proj	0	1,7678	2,38	2,38
1403	VL-sinSC(E-O)	GLOBAL	Force	X Proj	0	1,7678	-0,28	-0,28
1403	VL-sinSC(O-E)	GLOBAL	Force	X Proj	0	1,7678	0,28	0,28
1403	VL-conSC(O-E)	GLOBAL	Force	X Proj	0	1,7678	0,41	0,41
1403	VL-conSC(E-O)	GLOBAL	Force	X Proj	0	1,7678	-0,41	-0,41
1403	VT-sinSC(S-N)	GLOBAL	Force	Y Proj	0	1,7678	1,6	1,6
1404	CM	GLOBAL	Force	Gravity	0	1,7678	0,04	0,04
1404	VT-sinSC(N-S)	GLOBAL	Force	Y Proj	0	1,7678	-1,6	-1,6
1404	VT-conSC(N-S)	GLOBAL	Force	Y Proj	0	1,7678	-2,38	-2,38
1404	VT-conSC(S-N)	GLOBAL	Force	Y Proj	0	1,7678	2,38	2,38

1404	VL-sinSC(E-O)	GLOBAL	Force	X Proj	0	1,7678	-0,28	-0,28
1404	VL-sinSC(O-E)	GLOBAL	Force	X Proj	0	1,7678	0,28	0,28
1404	VL-conSC(O-E)	GLOBAL	Force	X Proj	0	1,7678	0,41	0,41
1404	VL-conSC(E-O)	GLOBAL	Force	X Proj	0	1,7678	-0,41	-0,41
1404	VT-sinSC(S-N)	GLOBAL	Force	Y Proj	0	1,7678	1,6	1,6
1405	CM	GLOBAL	Force	Gravity	0	1,7678	0,04	0,04
1405	VT-sinSC(N-S)	GLOBAL	Force	Y Proj	0	1,7678	-1,6	-1,6
1405	VT-conSC(N-S)	GLOBAL	Force	Y Proj	0	1,7678	-2,38	-2,38
1405	VT-conSC(S-N)	GLOBAL	Force	Y Proj	0	1,7678	2,38	2,38
1405	VL-sinSC(E-O)	GLOBAL	Force	X Proj	0	1,7678	-0,28	-0,28
1405	VL-sinSC(O-E)	GLOBAL	Force	X Proj	0	1,7678	0,28	0,28
1405	VL-conSC(O-E)	GLOBAL	Force	X Proj	0	1,7678	0,41	0,41
1405	VL-conSC(E-O)	GLOBAL	Force	X Proj	0	1,7678	-0,41	-0,41
1405	VT-sinSC(S-N)	GLOBAL	Force	Y Proj	0	1,7678	1,6	1,6
1406	CM	GLOBAL	Force	Gravity	0	1,7678	0,04	0,04
1406	VT-sinSC(N-S)	GLOBAL	Force	Y Proj	0	1,7678	-1,6	-1,6
1406	VT-conSC(N-S)	GLOBAL	Force	Y Proj	0	1,7678	-2,38	-2,38
1406	VT-conSC(S-N)	GLOBAL	Force	Y Proj	0	1,7678	2,38	2,38
1406	VL-sinSC(E-O)	GLOBAL	Force	X Proj	0	1,7678	-0,28	-0,28
1406	VL-sinSC(O-E)	GLOBAL	Force	X Proj	0	1,7678	0,28	0,28
1406	VL-conSC(O-E)	GLOBAL	Force	X Proj	0	1,7678	0,41	0,41
1406	VL-conSC(E-O)	GLOBAL	Force	X Proj	0	1,7678	-0,41	-0,41
1406	VT-sinSC(S-N)	GLOBAL	Force	Y Proj	0	1,7678	1,6	1,6
1407	CM	GLOBAL	Force	Gravity	0	1,8124	0,04	0,04
1407	VT-sinSC(N-S)	GLOBAL	Force	Y Proj	0	1,8124	-1,6	-1,6
1407	VT-conSC(N-S)	GLOBAL	Force	Y Proj	0	1,8124	-2,38	-2,38
1407	VT-conSC(S-N)	GLOBAL	Force	Y Proj	0	1,8124	2,38	2,38
1407	VL-sinSC(E-O)	GLOBAL	Force	X Proj	0	1,8124	-0,28	-0,28
1407	VL-sinSC(O-E)	GLOBAL	Force	X Proj	0	1,8124	0,28	0,28
1407	VL-conSC(O-E)	GLOBAL	Force	X Proj	0	1,8124	0,41	0,41
1407	VL-conSC(E-O)	GLOBAL	Force	X Proj	0	1,8124	-0,41	-0,41
1407	VT-sinSC(S-N)	GLOBAL	Force	Y Proj	0	1,8124	1,6	1,6
1408	CM	GLOBAL	Force	Gravity	0	1,8124	0,04	0,04
1408	VT-sinSC(N-S)	GLOBAL	Force	Y Proj	0	1,8124	-1,6	-1,6
1408	VT-conSC(N-S)	GLOBAL	Force	Y Proj	0	1,8124	-2,38	-2,38
1408	VT-conSC(S-N)	GLOBAL	Force	Y Proj	0	1,8124	2,38	2,38
1408	VL-sinSC(E-O)	GLOBAL	Force	X Proj	0	1,8124	-0,28	-0,28
1408	VL-sinSC(O-E)	GLOBAL	Force	X Proj	0	1,8124	0,28	0,28
1408	VL-conSC(O-E)	GLOBAL	Force	X Proj	0	1,8124	0,41	0,41



1408	VL-conSC(E-O)	GLOBAL	Force	X Proj	0	1,8124	-0,41	-0,41
1408	VT-sinSC(S-N)	GLOBAL	Force	Y Proj	0	1,8124	1,6	1,6
1409	CM	GLOBAL	Force	Gravity	0	1,8124	0,04	0,04
1409	VT-sinSC(N-S)	GLOBAL	Force	Y Proj	0	1,8124	-1,6	-1,6
1409	VT-conSC(N-S)	GLOBAL	Force	Y Proj	0	1,8124	-2,38	-2,38
1409	VT-conSC(S-N)	GLOBAL	Force	Y Proj	0	1,8124	2,38	2,38
1409	VL-sinSC(E-O)	GLOBAL	Force	X Proj	0	1,8124	-0,28	-0,28
1409	VL-sinSC(O-E)	GLOBAL	Force	X Proj	0	1,8124	0,28	0,28
1409	VL-conSC(O-E)	GLOBAL	Force	X Proj	0	1,8124	0,41	0,41
1409	VL-conSC(E-O)	GLOBAL	Force	X Proj	0	1,8124	-0,41	-0,41
1409	VT-sinSC(S-N)	GLOBAL	Force	Y Proj	0	1,8124	1,6	1,6
1410	CM	GLOBAL	Force	Gravity	0	1,8124	0,04	0,04
1410	VT-sinSC(N-S)	GLOBAL	Force	Y Proj	0	1,8124	-1,6	-1,6
1410	VT-conSC(N-S)	GLOBAL	Force	Y Proj	0	1,8124	-2,38	-2,38
1410	VT-conSC(S-N)	GLOBAL	Force	Y Proj	0	1,8124	2,38	2,38
1410	VL-sinSC(E-O)	GLOBAL	Force	X Proj	0	1,8124	-0,28	-0,28
1410	VL-sinSC(O-E)	GLOBAL	Force	X Proj	0	1,8124	0,28	0,28
1410	VL-conSC(O-E)	GLOBAL	Force	X Proj	0	1,8124	0,41	0,41
1410	VL-conSC(E-O)	GLOBAL	Force	X Proj	0	1,8124	-0,41	-0,41
1410	VT-sinSC(S-N)	GLOBAL	Force	Y Proj	0	1,8124	1,6	1,6
1411	CM	GLOBAL	Force	Gravity	0	1,8124	0,04	0,04
1411	VT-sinSC(N-S)	GLOBAL	Force	Y Proj	0	1,8124	-1,6	-1,6
1411	VT-conSC(N-S)	GLOBAL	Force	Y Proj	0	1,8124	-2,38	-2,38
1411	VT-conSC(S-N)	GLOBAL	Force	Y Proj	0	1,8124	2,38	2,38
1411	VL-sinSC(E-O)	GLOBAL	Force	X Proj	0	1,8124	-0,28	-0,28
1411	VL-sinSC(O-E)	GLOBAL	Force	X Proj	0	1,8124	0,28	0,28
1411	VL-conSC(O-E)	GLOBAL	Force	X Proj	0	1,8124	0,41	0,41
1411	VL-conSC(E-O)	GLOBAL	Force	X Proj	0	1,8124	-0,41	-0,41
1411	VT-sinSC(S-N)	GLOBAL	Force	Y Proj	0	1,8124	1,6	1,6
1412	CM	GLOBAL	Force	Gravity	0	1,8124	0,04	0,04
1412	VT-sinSC(N-S)	GLOBAL	Force	Y Proj	0	1,8124	-1,6	-1,6
1412	VT-conSC(N-S)	GLOBAL	Force	Y Proj	0	1,8124	-2,38	-2,38
1412	VT-conSC(S-N)	GLOBAL	Force	Y Proj	0	1,8124	2,38	2,38
1412	VL-sinSC(E-O)	GLOBAL	Force	X Proj	0	1,8124	-0,28	-0,28
1412	VL-sinSC(O-E)	GLOBAL	Force	X Proj	0	1,8124	0,28	0,28
1412	VL-conSC(O-E)	GLOBAL	Force	X Proj	0	1,8124	0,41	0,41
1412	VL-conSC(E-O)	GLOBAL	Force	X Proj	0	1,8124	-0,41	-0,41
1412	VT-sinSC(S-N)	GLOBAL	Force	Y Proj	0	1,8124	1,6	1,6
1413	CM	GLOBAL	Force	Gravity	0	1,8124	0,04	0,04

1413	VT-sinSC(N-S)	GLOBAL	Force	Y Proj	0	1,8124	-1,6	-1,6
1413	VT-conSC(N-S)	GLOBAL	Force	Y Proj	0	1,8124	-2,38	-2,38
1413	VT-conSC(S-N)	GLOBAL	Force	Y Proj	0	1,8124	2,38	2,38
1413	VL-sinSC(E-O)	GLOBAL	Force	X Proj	0	1,8124	-0,28	-0,28
1413	VL-sinSC(O-E)	GLOBAL	Force	X Proj	0	1,8124	0,28	0,28
1413	VL-conSC(O-E)	GLOBAL	Force	X Proj	0	1,8124	0,41	0,41
1413	VL-conSC(E-O)	GLOBAL	Force	X Proj	0	1,8124	-0,41	-0,41
1413	VT-sinSC(S-N)	GLOBAL	Force	Y Proj	0	1,8124	1,6	1,6
1414	CM	GLOBAL	Force	Gravity	0	1,8124	0,04	0,04
1414	VT-sinSC(N-S)	GLOBAL	Force	Y Proj	0	1,8124	-1,6	-1,6
1414	VT-conSC(N-S)	GLOBAL	Force	Y Proj	0	1,8124	-2,38	-2,38
1414	VT-conSC(S-N)	GLOBAL	Force	Y Proj	0	1,8124	2,38	2,38
1414	VL-sinSC(E-O)	GLOBAL	Force	X Proj	0	1,8124	-0,28	-0,28
1414	VL-sinSC(O-E)	GLOBAL	Force	X Proj	0	1,8124	0,28	0,28
1414	VL-conSC(O-E)	GLOBAL	Force	X Proj	0	1,8124	0,41	0,41
1414	VL-conSC(E-O)	GLOBAL	Force	X Proj	0	1,8124	-0,41	-0,41
1414	VT-sinSC(S-N)	GLOBAL	Force	Y Proj	0	1,8124	1,6	1,6
1415	CM	GLOBAL	Force	Gravity	0	1,8124	0,04	0,04
1415	VT-sinSC(N-S)	GLOBAL	Force	Y Proj	0	1,8124	-1,6	-1,6
1415	VT-conSC(N-S)	GLOBAL	Force	Y Proj	0	1,8124	-2,38	-2,38
1415	VT-conSC(S-N)	GLOBAL	Force	Y Proj	0	1,8124	2,38	2,38
1415	VL-sinSC(E-O)	GLOBAL	Force	X Proj	0	1,8124	-0,28	-0,28
1415	VL-sinSC(O-E)	GLOBAL	Force	X Proj	0	1,8124	0,28	0,28
1415	VL-conSC(O-E)	GLOBAL	Force	X Proj	0	1,8124	0,41	0,41
1415	VL-conSC(E-O)	GLOBAL	Force	X Proj	0	1,8124	-0,41	-0,41
1415	VT-sinSC(S-N)	GLOBAL	Force	Y Proj	0	1,8124	1,6	1,6
1416	CM	GLOBAL	Force	Gravity	0	1,81252	0,04	0,04
1416	VT-sinSC(N-S)	GLOBAL	Force	Y Proj	0	1,81252	-1,6	-1,6
1416	VT-conSC(N-S)	GLOBAL	Force	Y Proj	0	1,81252	-2,38	-2,38
1416	VT-conSC(S-N)	GLOBAL	Force	Y Proj	0	1,81252	2,38	2,38
1416	VL-sinSC(E-O)	GLOBAL	Force	X Proj	0	1,81252	-0,28	-0,28
1416	VL-sinSC(O-E)	GLOBAL	Force	X Proj	0	1,81252	0,28	0,28
1416	VL-conSC(O-E)	GLOBAL	Force	X Proj	0	1,81252	0,41	0,41
1416	VL-conSC(E-O)	GLOBAL	Force	X Proj	0	1,81252	-0,41	-0,41
1416	VT-sinSC(S-N)	GLOBAL	Force	Y Proj	0	1,81252	1,6	1,6
1417	CM	GLOBAL	Force	Gravity	0	1,81252	0,04	0,04
1417	VT-sinSC(N-S)	GLOBAL	Force	Y Proj	0	1,81252	-1,6	-1,6
1417	VT-conSC(N-S)	GLOBAL	Force	Y Proj	0	1,81252	-2,38	-2,38
1417	VT-conSC(S-N)	GLOBAL	Force	Y Proj	0	1,81252	2,38	2,38



1417	VL-sinSC(E-O)	GLOBAL	Force	X Proj	0	1,81252	-0,28	-0,28
1417	VL-sinSC(O-E)	GLOBAL	Force	X Proj	0	1,81252	0,28	0,28
1417	VL-conSC(O-E)	GLOBAL	Force	X Proj	0	1,81252	0,41	0,41
1417	VL-conSC(E-O)	GLOBAL	Force	X Proj	0	1,81252	-0,41	-0,41
1417	VT-sinSC(S-N)	GLOBAL	Force	Y Proj	0	1,81252	1,6	1,6
1418	CM	GLOBAL	Force	Gravity	0	1,81252	0,04	0,04
1418	VT-sinSC(N-S)	GLOBAL	Force	Y Proj	0	1,81252	-1,6	-1,6
1418	VT-conSC(N-S)	GLOBAL	Force	Y Proj	0	1,81252	-2,38	-2,38
1418	VT-conSC(S-N)	GLOBAL	Force	Y Proj	0	1,81252	2,38	2,38
1418	VL-sinSC(E-O)	GLOBAL	Force	X Proj	0	1,81252	-0,28	-0,28
1418	VL-sinSC(O-E)	GLOBAL	Force	X Proj	0	1,81252	0,28	0,28
1418	VL-conSC(O-E)	GLOBAL	Force	X Proj	0	1,81252	0,41	0,41
1418	VL-conSC(E-O)	GLOBAL	Force	X Proj	0	1,81252	-0,41	-0,41
1418	VT-sinSC(S-N)	GLOBAL	Force	Y Proj	0	1,81252	1,6	1,6
1419	CM	GLOBAL	Force	Gravity	0	1,81252	0,04	0,04
1419	VT-sinSC(N-S)	GLOBAL	Force	Y Proj	0	1,81252	-1,6	-1,6
1419	VT-conSC(N-S)	GLOBAL	Force	Y Proj	0	1,81252	-2,38	-2,38
1419	VT-conSC(S-N)	GLOBAL	Force	Y Proj	0	1,81252	2,38	2,38
1419	VL-sinSC(E-O)	GLOBAL	Force	X Proj	0	1,81252	-0,28	-0,28
1419	VL-sinSC(O-E)	GLOBAL	Force	X Proj	0	1,81252	0,28	0,28
1419	VL-conSC(O-E)	GLOBAL	Force	X Proj	0	1,81252	0,41	0,41
1419	VL-conSC(E-O)	GLOBAL	Force	X Proj	0	1,81252	-0,41	-0,41
1419	VT-sinSC(S-N)	GLOBAL	Force	Y Proj	0	1,81252	1,6	1,6
1420	CM	GLOBAL	Force	Gravity	0	1,81252	0,04	0,04
1420	VT-sinSC(N-S)	GLOBAL	Force	Y Proj	0	1,81252	-1,6	-1,6
1420	VT-conSC(N-S)	GLOBAL	Force	Y Proj	0	1,81252	-2,38	-2,38
1420	VT-conSC(S-N)	GLOBAL	Force	Y Proj	0	1,81252	2,38	2,38
1420	VL-sinSC(E-O)	GLOBAL	Force	X Proj	0	1,81252	-0,28	-0,28
1420	VL-sinSC(O-E)	GLOBAL	Force	X Proj	0	1,81252	0,28	0,28
1420	VL-conSC(O-E)	GLOBAL	Force	X Proj	0	1,81252	0,41	0,41
1420	VL-conSC(E-O)	GLOBAL	Force	X Proj	0	1,81252	-0,41	-0,41
1420	VT-sinSC(S-N)	GLOBAL	Force	Y Proj	0	1,81252	1,6	1,6
1421	CM	GLOBAL	Force	Gravity	0	1,81252	0,04	0,04
1421	VT-sinSC(N-S)	GLOBAL	Force	Y Proj	0	1,81252	-1,6	-1,6
1421	VT-conSC(N-S)	GLOBAL	Force	Y Proj	0	1,81252	-2,38	-2,38
1421	VT-conSC(S-N)	GLOBAL	Force	Y Proj	0	1,81252	2,38	2,38
1421	VL-sinSC(E-O)	GLOBAL	Force	X Proj	0	1,81252	-0,28	-0,28
1421	VL-sinSC(O-E)	GLOBAL	Force	X Proj	0	1,81252	0,28	0,28
1421	VL-conSC(O-E)	GLOBAL	Force	X Proj	0	1,81252	0,41	0,41

1421	VL-conSC(E-O)	GLOBAL	Force	X Proj	0	1,81252	-0,41	-0,41
1421	VT-sinSC(S-N)	GLOBAL	Force	Y Proj	0	1,81252	1,6	1,6
1422	CM	GLOBAL	Force	Gravity	0	1,81252	0,04	0,04
1422	VT-sinSC(N-S)	GLOBAL	Force	Y Proj	0	1,81252	-1,6	-1,6
1422	VT-conSC(N-S)	GLOBAL	Force	Y Proj	0	1,81252	-2,38	-2,38
1422	VT-conSC(S-N)	GLOBAL	Force	Y Proj	0	1,81252	2,38	2,38
1422	VL-sinSC(E-O)	GLOBAL	Force	X Proj	0	1,81252	-0,28	-0,28
1422	VL-sinSC(O-E)	GLOBAL	Force	X Proj	0	1,81252	0,28	0,28
1422	VL-conSC(O-E)	GLOBAL	Force	X Proj	0	1,81252	0,41	0,41
1422	VL-conSC(E-O)	GLOBAL	Force	X Proj	0	1,81252	-0,41	-0,41
1422	VT-sinSC(S-N)	GLOBAL	Force	Y Proj	0	1,81252	1,6	1,6
1423	CM	GLOBAL	Force	Gravity	0	1,81252	0,04	0,04
1423	VT-sinSC(N-S)	GLOBAL	Force	Y Proj	0	1,81252	-1,6	-1,6
1423	VT-conSC(N-S)	GLOBAL	Force	Y Proj	0	1,81252	-2,38	-2,38
1423	VT-conSC(S-N)	GLOBAL	Force	Y Proj	0	1,81252	2,38	2,38
1423	VL-sinSC(E-O)	GLOBAL	Force	X Proj	0	1,81252	-0,28	-0,28
1423	VL-sinSC(O-E)	GLOBAL	Force	X Proj	0	1,81252	0,28	0,28
1423	VL-conSC(O-E)	GLOBAL	Force	X Proj	0	1,81252	0,41	0,41
1423	VL-conSC(E-O)	GLOBAL	Force	X Proj	0	1,81252	-0,41	-0,41
1423	VT-sinSC(S-N)	GLOBAL	Force	Y Proj	0	1,81252	1,6	1,6
1424	CM	GLOBAL	Force	Gravity	0	1,81252	0,04	0,04
1424	VT-sinSC(N-S)	GLOBAL	Force	Y Proj	0	1,81252	-1,6	-1,6
1424	VT-conSC(N-S)	GLOBAL	Force	Y Proj	0	1,81252	-2,38	-2,38
1424	VT-conSC(S-N)	GLOBAL	Force	Y Proj	0	1,81252	2,38	2,38
1424	VL-sinSC(E-O)	GLOBAL	Force	X Proj	0	1,81252	-0,28	-0,28
1424	VL-sinSC(O-E)	GLOBAL	Force	X Proj	0	1,81252	0,28	0,28
1424	VL-conSC(O-E)	GLOBAL	Force	X Proj	0	1,81252	0,41	0,41
1424	VL-conSC(E-O)	GLOBAL	Force	X Proj	0	1,81252	-0,41	-0,41
1424	VT-sinSC(S-N)	GLOBAL	Force	Y Proj	0	1,81252	1,6	1,6
1425	PPforjado	GLOBAL	Force	Gravity	0	2,5	4	4
1425	SC_5	GLOBAL	Force	Gravity	0	2,5	9	9
1426	PPforjado	GLOBAL	Force	Gravity	0	2,5	4	4
1426	SC_5	GLOBAL	Force	Gravity	0	2,5	9	9
1427	PPforjado	GLOBAL	Force	Gravity	0	2,5	4	4
1427	SC_5	GLOBAL	Force	Gravity	0	2,5	9	9
1428	PPforjado	GLOBAL	Force	Gravity	0	2,5	4	4
1428	SC_5	GLOBAL	Force	Gravity	0	2,5	9	9
1429	PPforjado	GLOBAL	Force	Gravity	0	2,5	4	4
1429	SC_5	GLOBAL	Force	Gravity	0	2,5	9	9



1430	Ppforjado	GLOBAL	Force	Gravity	0	2,5	4	4
1430	SC_5	GLOBAL	Force	Gravity	0	2,5	9	9
1431	Ppforjado	GLOBAL	Force	Gravity	0	2,5	4	4
1431	SC_5	GLOBAL	Force	Gravity	0	2,5	9	9
1432	Ppforjado	GLOBAL	Force	Gravity	0	2,5	4	4
1432	SC_5	GLOBAL	Force	Gravity	0	2,5	9	9
1433	Ppforjado	GLOBAL	Force	Gravity	0	2,5	4	4
1433	SC_5	GLOBAL	Force	Gravity	0	2,5	9	9
1434	Ppforjado	GLOBAL	Force	Gravity	0	2,5	4	4
1434	SC_5	GLOBAL	Force	Gravity	0	2,5	9	9
1435	Ppforjado	GLOBAL	Force	Gravity	0	2,5	4	4
1435	SC_5	GLOBAL	Force	Gravity	0	2,5	9	9
1436	Ppforjado	GLOBAL	Force	Gravity	0	2,5	4	4
1436	SC_5	GLOBAL	Force	Gravity	0	2,5	9	9
1437	Ppforjado	GLOBAL	Force	Gravity	0	2,5	4	4
1437	SC_5	GLOBAL	Force	Gravity	0	2,5	9	9
1438	Ppforjado	GLOBAL	Force	Gravity	0	2,5	4	4
1438	SC_5	GLOBAL	Force	Gravity	0	2,5	9	9
1439	Ppforjado	GLOBAL	Force	Gravity	0	2,5	4	4
1439	SC_5	GLOBAL	Force	Gravity	0	2,5	9	9
1440	Ppforjado	GLOBAL	Force	Gravity	0	2,5	4	4
1440	SC_5	GLOBAL	Force	Gravity	0	2,5	9	9
1456	Ppforjado	GLOBAL	Force	Gravity	0	1,25	4	4
1456	Ppforjado	GLOBAL	Force	Gravity	1,25	2,5	4	4
1456	SC_2	GLOBAL	Force	Gravity	0	2,5	9	9
1458	Ppforjado	GLOBAL	Force	Gravity	0	1,25	4	4
1458	Ppforjado	GLOBAL	Force	Gravity	1,25	2,5	4	4
1458	SC_2	GLOBAL	Force	Gravity	0	2,5	9	9
1460	Ppforjado	GLOBAL	Force	Gravity	0	1,25	4	4
1460	Ppforjado	GLOBAL	Force	Gravity	1,25	2,5	4	4
1460	SC_2	GLOBAL	Force	Gravity	0	2,5	9	9
1555	SC_6	GLOBAL	Force	Gravity	0	2,5	9	9
1555	Ppforjado	GLOBAL	Force	Gravity	0	2,5	4	4

CARGAS TÉRMICAS

TABLE: Frame Loads - Temperature					
Frame	LoadPat	Type	Temp	TempGrad2	JtPattern
Text	Text	Text	C	C/m	Text
3	TU-DIL	Temperature	42,544		None
3	TU-CON	Temperature	-29,106		None
4	TU-DIL	Temperature	42,544		None
4	TU-CON	Temperature	-29,106		None
5	TU-DIL	Temperature	42,544		None
5	TU-CON	Temperature	-29,106		None
6	TU-DIL	Temperature	42,544		None
6	TU-CON	Temperature	-29,106		None
7	TU-DIL	Temperature	42,544		None
7	TU-CON	Temperature	-29,106		None
10	TU-DIL	Temperature	42,544		None
10	TU-CON	Temperature	-29,106		None
13	TU-DIL	Temperature	42,544		None
13	TU-CON	Temperature	-29,106		None
14	TU-DIL	Temperature	42,544		None
14	TU-CON	Temperature	-29,106		None
16	TU-DIL	Temperature	42,544		None
16	TU-CON	Temperature	-29,106		None
19	TU-DIL	Temperature	42,544		None
19	TU-CON	Temperature	-29,106		None
20	TU-DIL	Temperature	42,544		None
20	TU-CON	Temperature	-29,106		None
21	TU-DIL	Temperature	42,544		None
21	TU-CON	Temperature	-29,106		None
23	TU-DIL	Temperature	42,544		None
23	TU-CON	Temperature	-29,106		None
24	TU-DIL	Temperature	42,544		None
24	TU-CON	Temperature	-29,106		None
25	TU-DIL	Temperature	42,544		None
25	TU-CON	Temperature	-29,106		None
26	TU-DIL	Temperature	42,544		None
26	TU-CON	Temperature	-29,106		None
31	TU-DIL	Temperature	42,544		None
31	TU-CON	Temperature	-29,106		None



32	TU-DIL	Temperature	42,544		None
32	TU-CON	Temperature	-29,106		None
33	TU-DIL	Temperature	42,544		None
33	TU-CON	Temperature	-29,106		None
34	TU-DIL	Temperature	42,544		None
34	TU-CON	Temperature	-29,106		None
36	TU-DIL	Temperature	42,544		None
36	TU-CON	Temperature	-29,106		None
37	TU-DIL	Temperature	42,544		None
37	TU-CON	Temperature	-29,106		None
38	TU-DIL	Temperature	42,544		None
38	TU-CON	Temperature	-29,106		None
40	TU-DIL	Temperature	42,544		None
40	TU-CON	Temperature	-29,106		None
42	TU-DIL	Temperature	42,544		None
42	TU-CON	Temperature	-29,106		None
44	TU-DIL	Temperature	42,544		None
44	TU-CON	Temperature	-29,106		None
45	TU-DIL	Temperature	42,544		None
45	TU-CON	Temperature	-29,106		None
46	TU-DIL	Temperature	42,544		None
46	TU-CON	Temperature	-29,106		None
47	TU-DIL	Temperature	42,544		None
47	TU-CON	Temperature	-29,106		None
48	TU-DIL	Temperature	42,544		None
48	TU-CON	Temperature	-29,106		None
49	TU-DIL	Temperature	42,544		None
49	TU-CON	Temperature	-29,106		None
50	TU-DIL	Temperature	42,544		None
50	TU-CON	Temperature	-29,106		None
51	TU-DIL	Temperature	42,544		None
51	TU-CON	Temperature	-29,106		None
51	GV-POS	Gradient2		18	None
51	GV-NEG	Gradient2		-13	None
53	TU-DIL	Temperature	42,544		None
53	TU-CON	Temperature	-29,106		None
53	GV-POS	Gradient2		18	None
53	GV-NEG	Gradient2		-13	None
55	TU-DIL	Temperature	42,544		None

55	TU-CON	Temperature	-29,106		None
56	TU-DIL	Temperature	42,544		None
56	TU-CON	Temperature	-29,106		None
57	TU-DIL	Temperature	42,544		None
57	TU-CON	Temperature	-29,106		None
58	TU-DIL	Temperature	42,544		None
58	TU-CON	Temperature	-29,106		None
63	TU-DIL	Temperature	42,544		None
63	TU-CON	Temperature	-29,106		None
64	TU-DIL	Temperature	42,544		None
64	TU-CON	Temperature	-29,106		None
65	TU-DIL	Temperature	42,544		None
65	TU-CON	Temperature	-29,106		None
66	TU-DIL	Temperature	42,544		None
66	TU-CON	Temperature	-29,106		None
67	TU-DIL	Temperature	42,544		None
67	TU-CON	Temperature	-29,106		None
67	GV-POS	Gradient2		18	None
67	GV-NEG	Gradient2		-13	None
68	TU-DIL	Temperature	42,544		None
68	TU-CON	Temperature	-29,106		None
68	GV-POS	Gradient2		18	None
68	GV-NEG	Gradient2		-13	None
69	TU-DIL	Temperature	42,544		None
69	TU-CON	Temperature	-29,106		None
69	GV-POS	Gradient2		18	None
69	GV-NEG	Gradient2		-13	None
70	TU-DIL	Temperature	42,544		None
70	TU-CON	Temperature	-29,106		None
70	GV-POS	Gradient2		18	None
70	GV-NEG	Gradient2		-13	None
71	TU-DIL	Temperature	42,544		None
71	TU-CON	Temperature	-29,106		None
71	GV-POS	Gradient2		18	None
71	GV-NEG	Gradient2		-13	None
72	TU-DIL	Temperature	42,544		None
72	TU-CON	Temperature	-29,106		None
72	GV-POS	Gradient2		18	None
72	GV-NEG	Gradient2		-13	None



73	TU-DIL	Temperature	42,544		None
73	TU-CON	Temperature	-29,106		None
73	GV-POS	Gradient2		18	None
73	GV-NEG	Gradient2		-13	None
74	TU-DIL	Temperature	42,544		None
74	TU-CON	Temperature	-29,106		None
74	GV-POS	Gradient2		18	None
74	GV-NEG	Gradient2		-13	None
75	TU-DIL	Temperature	42,544		None
75	TU-CON	Temperature	-29,106		None
75	GV-POS	Gradient2		18	None
75	GV-NEG	Gradient2		-13	None
76	TU-DIL	Temperature	42,544		None
76	TU-CON	Temperature	-29,106		None
76	GV-POS	Gradient2		18	None
76	GV-NEG	Gradient2		-13	None
77	TU-DIL	Temperature	42,544		None
77	TU-CON	Temperature	-29,106		None
77	GV-POS	Gradient2		18	None
77	GV-NEG	Gradient2		-13	None
78	TU-DIL	Temperature	42,544		None
78	TU-CON	Temperature	-29,106		None
79	TU-DIL	Temperature	42,544		None
79	TU-CON	Temperature	-29,106		None
80	TU-DIL	Temperature	42,544		None
80	TU-CON	Temperature	-29,106		None
81	TU-DIL	Temperature	42,544		None
81	TU-CON	Temperature	-29,106		None
83	TU-DIL	Temperature	42,544		None
83	TU-CON	Temperature	-29,106		None
84	TU-DIL	Temperature	42,544		None
84	TU-CON	Temperature	-29,106		None
85	TU-DIL	Temperature	42,544		None
85	TU-CON	Temperature	-29,106		None
86	TU-DIL	Temperature	42,544		None
86	TU-CON	Temperature	-29,106		None
87	TU-DIL	Temperature	42,544		None
87	TU-CON	Temperature	-29,106		None
88	TU-DIL	Temperature	42,544		None

88	TU-CON	Temperature	-29,106		None
89	TU-DIL	Temperature	42,544		None
89	TU-CON	Temperature	-29,106		None
90	TU-DIL	Temperature	42,544		None
90	TU-CON	Temperature	-29,106		None
91	TU-DIL	Temperature	42,544		None
91	TU-CON	Temperature	-29,106		None
94	TU-DIL	Temperature	42,544		None
94	TU-CON	Temperature	-29,106		None
95	TU-DIL	Temperature	42,544		None
95	TU-CON	Temperature	-29,106		None
96	TU-DIL	Temperature	42,544		None
96	TU-CON	Temperature	-29,106		None
97	TU-DIL	Temperature	42,544		None
97	TU-CON	Temperature	-29,106		None
98	TU-DIL	Temperature	42,544		None
98	TU-CON	Temperature	-29,106		None
98	GV-POS	Gradient2		18	None
98	GV-NEG	Gradient2		-13	None
99	TU-DIL	Temperature	42,544		None
99	TU-CON	Temperature	-29,106		None
99	GV-POS	Gradient2		18	None
99	GV-NEG	Gradient2		-13	None
100	TU-DIL	Temperature	42,544		None
100	TU-CON	Temperature	-29,106		None
100	GV-POS	Gradient2		18	None
100	GV-NEG	Gradient2		-13	None
101	TU-DIL	Temperature	42,544		None
101	TU-CON	Temperature	-29,106		None
101	GV-POS	Gradient2		18	None
101	GV-NEG	Gradient2		-13	None
102	TU-DIL	Temperature	42,544		None
102	TU-CON	Temperature	-29,106		None
102	GV-POS	Gradient2		18	None
102	GV-NEG	Gradient2		-13	None
103	TU-DIL	Temperature	42,544		None
103	TU-CON	Temperature	-29,106		None
103	GV-POS	Gradient2		18	None
103	GV-NEG	Gradient2		-13	None



104	TU-DIL	Temperature	42,544		None
104	TU-CON	Temperature	-29,106		None
104	GV-POS	Gradient2		18	None
104	GV-NEG	Gradient2		-13	None
105	TU-DIL	Temperature	42,544		None
105	TU-CON	Temperature	-29,106		None
105	GV-POS	Gradient2		18	None
105	GV-NEG	Gradient2		-13	None
106	TU-DIL	Temperature	42,544		None
106	TU-CON	Temperature	-29,106		None
106	GV-POS	Gradient2		18	None
106	GV-NEG	Gradient2		-13	None
107	TU-DIL	Temperature	42,544		None
107	TU-CON	Temperature	-29,106		None
107	GV-POS	Gradient2		18	None
107	GV-NEG	Gradient2		-13	None
108	TU-DIL	Temperature	42,544		None
108	TU-CON	Temperature	-29,106		None
108	GV-POS	Gradient2		18	None
108	GV-NEG	Gradient2		-13	None
109	TU-DIL	Temperature	42,544		None
109	TU-CON	Temperature	-29,106		None
109	GV-POS	Gradient2		18	None
109	GV-NEG	Gradient2		-13	None
110	TU-DIL	Temperature	42,544		None
110	TU-CON	Temperature	-29,106		None
110	GV-POS	Gradient2		18	None
110	GV-NEG	Gradient2		-13	None
111	TU-DIL	Temperature	42,544		None
111	TU-CON	Temperature	-29,106		None
111	GV-POS	Gradient2		18	None
111	GV-NEG	Gradient2		-13	None
112	TU-DIL	Temperature	42,544		None
112	TU-CON	Temperature	-29,106		None
112	GV-POS	Gradient2		18	None
112	GV-NEG	Gradient2		-13	None
113	TU-DIL	Temperature	42,544		None
113	TU-CON	Temperature	-29,106		None
113	GV-POS	Gradient2		18	None

113	GV-NEG	Gradient2		-13	None
114	TU-DIL	Temperature	42,544		None
114	TU-CON	Temperature	-29,106		None
114	GV-POS	Gradient2		18	None
114	GV-NEG	Gradient2		-13	None
115	TU-DIL	Temperature	42,544		None
115	TU-CON	Temperature	-29,106		None
115	GV-POS	Gradient2		18	None
115	GV-NEG	Gradient2		-13	None
116	TU-DIL	Temperature	42,544		None
116	TU-CON	Temperature	-29,106		None
116	GV-POS	Gradient2		18	None
116	GV-NEG	Gradient2		-13	None
117	TU-DIL	Temperature	42,544		None
117	TU-CON	Temperature	-29,106		None
117	GV-POS	Gradient2		18	None
117	GV-NEG	Gradient2		-13	None
118	TU-DIL	Temperature	42,544		None
118	TU-CON	Temperature	-29,106		None
118	GV-POS	Gradient2		18	None
118	GV-NEG	Gradient2		-13	None
119	TU-DIL	Temperature	42,544		None
119	TU-CON	Temperature	-29,106		None
119	GV-POS	Gradient2		18	None
119	GV-NEG	Gradient2		-13	None
120	TU-DIL	Temperature	42,544		None
120	TU-CON	Temperature	-29,106		None
120	GV-POS	Gradient2		18	None
120	GV-NEG	Gradient2		-13	None
121	TU-DIL	Temperature	42,544		None
121	TU-CON	Temperature	-29,106		None
121	GV-POS	Gradient2		18	None
121	GV-NEG	Gradient2		-13	None
122	TU-DIL	Temperature	42,544		None
122	TU-CON	Temperature	-29,106		None
122	GV-POS	Gradient2		18	None
122	GV-NEG	Gradient2		-13	None
123	TU-DIL	Temperature	42,544		None
123	TU-CON	Temperature	-29,106		None



123	GV-POS	Gradient2		18	None
123	GV-NEG	Gradient2		-13	None
124	TU-DIL	Temperature	42,544		None
124	TU-CON	Temperature	-29,106		None
124	GV-POS	Gradient2		18	None
124	GV-NEG	Gradient2		-13	None
125	TU-DIL	Temperature	42,544		None
125	TU-CON	Temperature	-29,106		None
126	TU-DIL	Temperature	42,544		None
126	TU-CON	Temperature	-29,106		None
126	GV-POS	Gradient2		18	None
126	GV-NEG	Gradient2		-13	None
127	TU-DIL	Temperature	42,544		None
127	TU-CON	Temperature	-29,106		None
127	GV-POS	Gradient2		18	None
127	GV-NEG	Gradient2		-13	None
128	TU-DIL	Temperature	42,544		None
128	TU-CON	Temperature	-29,106		None
128	GV-POS	Gradient2		18	None
128	GV-NEG	Gradient2		-13	None
129	TU-DIL	Temperature	42,544		None
129	TU-CON	Temperature	-29,106		None
129	GV-POS	Gradient2		18	None
129	GV-NEG	Gradient2		-13	None
130	TU-DIL	Temperature	42,544		None
130	TU-CON	Temperature	-29,106		None
130	GV-POS	Gradient2		18	None
130	GV-NEG	Gradient2		-13	None
131	TU-DIL	Temperature	42,544		None
131	TU-CON	Temperature	-29,106		None
131	GV-POS	Gradient2		18	None
131	GV-NEG	Gradient2		-13	None
132	TU-DIL	Temperature	42,544		None
132	TU-CON	Temperature	-29,106		None
132	GV-POS	Gradient2		18	None
132	GV-NEG	Gradient2		-13	None
133	TU-DIL	Temperature	42,544		None
133	TU-CON	Temperature	-29,106		None
133	GV-POS	Gradient2		18	None

133	GV-NEG	Gradient2		-13	None
134	TU-DIL	Temperature	42,544		None
134	TU-CON	Temperature	-29,106		None
135	TU-DIL	Temperature	42,544		None
135	TU-CON	Temperature	-29,106		None
135	GV-POS	Gradient2		18	None
135	GV-NEG	Gradient2		-13	None
136	TU-DIL	Temperature	42,544		None
136	TU-CON	Temperature	-29,106		None
136	GV-POS	Gradient2		18	None
136	GV-NEG	Gradient2		-13	None
137	TU-DIL	Temperature	42,544		None
137	TU-CON	Temperature	-29,106		None
137	GV-POS	Gradient2		18	None
137	GV-NEG	Gradient2		-13	None
138	TU-DIL	Temperature	42,544		None
138	TU-CON	Temperature	-29,106		None
138	GV-POS	Gradient2		18	None
138	GV-NEG	Gradient2		-13	None
139	TU-DIL	Temperature	42,544		None
139	TU-CON	Temperature	-29,106		None
139	GV-POS	Gradient2		18	None
139	GV-NEG	Gradient2		-13	None
140	TU-DIL	Temperature	42,544		None
140	TU-CON	Temperature	-29,106		None
140	GV-POS	Gradient2		18	None
140	GV-NEG	Gradient2		-13	None
141	TU-DIL	Temperature	42,544		None
141	TU-CON	Temperature	-29,106		None
141	GV-POS	Gradient2		18	None
141	GV-NEG	Gradient2		-13	None
142	TU-DIL	Temperature	42,544		None
142	TU-CON	Temperature	-29,106		None
142	GV-POS	Gradient2		18	None
142	GV-NEG	Gradient2		-13	None
143	TU-DIL	Temperature	42,544		None
143	TU-CON	Temperature	-29,106		None
143	GV-POS	Gradient2		18	None
143	GV-NEG	Gradient2		-13	None



145	TU-DIL	Temperature	42,544		None
145	TU-CON	Temperature	-29,106		None
145	GV-POS	Gradient2		18	None
145	GV-NEG	Gradient2		-13	None
146	TU-DIL	Temperature	42,544		None
146	TU-CON	Temperature	-29,106		None
146	GV-POS	Gradient2		18	None
146	GV-NEG	Gradient2		-13	None
147	TU-DIL	Temperature	42,544		None
147	TU-CON	Temperature	-29,106		None
147	GV-POS	Gradient2		18	None
147	GV-NEG	Gradient2		-13	None
148	TU-DIL	Temperature	42,544		None
148	TU-CON	Temperature	-29,106		None
148	GV-POS	Gradient2		18	None
148	GV-NEG	Gradient2		-13	None
149	TU-DIL	Temperature	42,544		None
149	TU-CON	Temperature	-29,106		None
149	GV-POS	Gradient2		18	None
149	GV-NEG	Gradient2		-13	None
150	TU-DIL	Temperature	42,544		None
150	TU-CON	Temperature	-29,106		None
150	GV-POS	Gradient2		18	None
150	GV-NEG	Gradient2		-13	None
151	TU-DIL	Temperature	42,544		None
151	TU-CON	Temperature	-29,106		None
151	GV-POS	Gradient2		18	None
151	GV-NEG	Gradient2		-13	None
152	TU-DIL	Temperature	42,544		None
152	TU-CON	Temperature	-29,106		None
152	GV-POS	Gradient2		18	None
152	GV-NEG	Gradient2		-13	None
153	TU-DIL	Temperature	42,544		None
153	TU-CON	Temperature	-29,106		None
154	TU-DIL	Temperature	42,544		None
154	TU-CON	Temperature	-29,106		None
154	GV-POS	Gradient2		18	None
154	GV-NEG	Gradient2		-13	None
155	TU-DIL	Temperature	42,544		None

155	TU-CON	Temperature	-29,106		None
155	GV-POS	Gradient2		18	None
155	GV-NEG	Gradient2		-13	None
156	TU-DIL	Temperature	42,544		None
156	TU-CON	Temperature	-29,106		None
156	GV-POS	Gradient2		18	None
156	GV-NEG	Gradient2		-13	None
157	TU-DIL	Temperature	42,544		None
157	TU-CON	Temperature	-29,106		None
157	GV-POS	Gradient2		18	None
157	GV-NEG	Gradient2		-13	None
158	TU-DIL	Temperature	42,544		None
158	TU-CON	Temperature	-29,106		None
158	GV-POS	Gradient2		18	None
158	GV-NEG	Gradient2		-13	None
159	TU-DIL	Temperature	42,544		None
159	TU-CON	Temperature	-29,106		None
159	GV-POS	Gradient2		18	None
159	GV-NEG	Gradient2		-13	None
160	TU-DIL	Temperature	42,544		None
160	TU-CON	Temperature	-29,106		None
160	GV-POS	Gradient2		18	None
160	GV-NEG	Gradient2		-13	None
161	TU-DIL	Temperature	42,544		None
161	TU-CON	Temperature	-29,106		None
161	GV-POS	Gradient2		18	None
161	GV-NEG	Gradient2		-13	None
162	TU-DIL	Temperature	42,544		None
162	TU-CON	Temperature	-29,106		None
162	GV-POS	Gradient2		18	None
162	GV-NEG	Gradient2		-13	None
163	TU-DIL	Temperature	42,544		None
163	TU-CON	Temperature	-29,106		None
163	GV-POS	Gradient2		18	None
163	GV-NEG	Gradient2		-13	None
164	TU-DIL	Temperature	42,544		None
164	TU-CON	Temperature	-29,106		None
164	GV-POS	Gradient2		18	None
164	GV-NEG	Gradient2		-13	None



165	TU-DIL	Temperature	42,544		None
165	TU-CON	Temperature	-29,106		None
165	GV-POS	Gradient2		18	None
165	GV-NEG	Gradient2		-13	None
166	TU-DIL	Temperature	42,544		None
166	TU-CON	Temperature	-29,106		None
166	GV-POS	Gradient2		18	None
166	GV-NEG	Gradient2		-13	None
167	TU-DIL	Temperature	42,544		None
167	TU-CON	Temperature	-29,106		None
167	GV-POS	Gradient2		18	None
167	GV-NEG	Gradient2		-13	None
168	TU-DIL	Temperature	42,544		None
168	TU-CON	Temperature	-29,106		None
168	GV-POS	Gradient2		18	None
168	GV-NEG	Gradient2		-13	None
169	TU-DIL	Temperature	42,544		None
169	TU-CON	Temperature	-29,106		None
169	GV-POS	Gradient2		18	None
169	GV-NEG	Gradient2		-13	None
170	TU-DIL	Temperature	42,544		None
170	TU-CON	Temperature	-29,106		None
170	GV-POS	Gradient2		18	None
170	GV-NEG	Gradient2		-13	None
171	TU-DIL	Temperature	42,544		None
171	TU-CON	Temperature	-29,106		None
171	GV-POS	Gradient2		18	None
171	GV-NEG	Gradient2		-13	None
172	TU-DIL	Temperature	42,544		None
172	TU-CON	Temperature	-29,106		None
172	GV-POS	Gradient2		18	None
172	GV-NEG	Gradient2		-13	None
173	TU-DIL	Temperature	42,544		None
173	TU-CON	Temperature	-29,106		None
173	GV-POS	Gradient2		18	None
173	GV-NEG	Gradient2		-13	None
174	TU-DIL	Temperature	42,544		None
174	TU-CON	Temperature	-29,106		None
174	GV-POS	Gradient2		18	None

174	GV-NEG	Gradient2		-13	None
175	TU-DIL	Temperature	42,544		None
175	TU-CON	Temperature	-29,106		None
175	GV-POS	Gradient2		18	None
175	GV-NEG	Gradient2		-13	None
176	TU-DIL	Temperature	42,544		None
176	TU-CON	Temperature	-29,106		None
176	GV-POS	Gradient2		18	None
176	GV-NEG	Gradient2		-13	None
177	TU-DIL	Temperature	42,544		None
177	TU-CON	Temperature	-29,106		None
177	GV-POS	Gradient2		18	None
177	GV-NEG	Gradient2		-13	None
178	TU-DIL	Temperature	42,544		None
178	TU-CON	Temperature	-29,106		None
178	GV-POS	Gradient2		18	None
178	GV-NEG	Gradient2		-13	None
179	TU-DIL	Temperature	42,544		None
179	TU-CON	Temperature	-29,106		None
179	GV-POS	Gradient2		18	None
179	GV-NEG	Gradient2		-13	None
180	TU-DIL	Temperature	42,544		None
180	TU-CON	Temperature	-29,106		None
180	GV-POS	Gradient2		18	None
180	GV-NEG	Gradient2		-13	None
181	TU-DIL	Temperature	42,544		None
181	TU-CON	Temperature	-29,106		None
181	GV-POS	Gradient2		18	None
181	GV-NEG	Gradient2		-13	None
182	TU-DIL	Temperature	42,544		None
182	TU-CON	Temperature	-29,106		None
182	GV-POS	Gradient2		18	None
182	GV-NEG	Gradient2		-13	None
183	TU-DIL	Temperature	42,544		None
183	TU-CON	Temperature	-29,106		None
183	GV-POS	Gradient2		18	None
183	GV-NEG	Gradient2		-13	None
184	TU-DIL	Temperature	42,544		None
184	TU-CON	Temperature	-29,106		None



184	GV-POS	Gradient2		18	None
184	GV-NEG	Gradient2		-13	None
185	TU-DIL	Temperature	42,544		None
185	TU-CON	Temperature	-29,106		None
185	GV-POS	Gradient2		18	None
185	GV-NEG	Gradient2		-13	None
186	TU-DIL	Temperature	42,544		None
186	TU-CON	Temperature	-29,106		None
186	GV-POS	Gradient2		18	None
186	GV-NEG	Gradient2		-13	None
187	TU-DIL	Temperature	42,544		None
187	TU-CON	Temperature	-29,106		None
187	GV-POS	Gradient2		18	None
187	GV-NEG	Gradient2		-13	None
188	TU-DIL	Temperature	42,544		None
188	TU-CON	Temperature	-29,106		None
188	GV-POS	Gradient2		18	None
188	GV-NEG	Gradient2		-13	None
189	TU-DIL	Temperature	42,544		None
189	TU-CON	Temperature	-29,106		None
189	GV-POS	Gradient2		18	None
189	GV-NEG	Gradient2		-13	None
190	TU-DIL	Temperature	42,544		None
190	TU-CON	Temperature	-29,106		None
190	GV-POS	Gradient2		18	None
190	GV-NEG	Gradient2		-13	None
191	TU-DIL	Temperature	42,544		None
191	TU-CON	Temperature	-29,106		None
191	GV-POS	Gradient2		18	None
191	GV-NEG	Gradient2		-13	None
192	TU-DIL	Temperature	42,544		None
192	TU-CON	Temperature	-29,106		None
192	GV-POS	Gradient2		18	None
192	GV-NEG	Gradient2		-13	None
193	TU-DIL	Temperature	42,544		None
193	TU-CON	Temperature	-29,106		None
193	GV-POS	Gradient2		18	None
193	GV-NEG	Gradient2		-13	None
194	TU-DIL	Temperature	42,544		None

194	TU-CON	Temperature	-29,106		None
194	GV-POS	Gradient2		18	None
194	GV-NEG	Gradient2		-13	None
195	TU-DIL	Temperature	42,544		None
195	TU-CON	Temperature	-29,106		None
195	GV-POS	Gradient2		18	None
195	GV-NEG	Gradient2		-13	None
196	TU-DIL	Temperature	42,544		None
196	TU-CON	Temperature	-29,106		None
196	GV-POS	Gradient2		18	None
196	GV-NEG	Gradient2		-13	None
197	TU-DIL	Temperature	42,544		None
197	TU-CON	Temperature	-29,106		None
197	GV-POS	Gradient2		18	None
197	GV-NEG	Gradient2		-13	None
198	TU-DIL	Temperature	42,544		None
198	TU-CON	Temperature	-29,106		None
198	GV-POS	Gradient2		18	None
198	GV-NEG	Gradient2		-13	None
199	TU-DIL	Temperature	42,544		None
199	TU-CON	Temperature	-29,106		None
199	GV-POS	Gradient2		18	None
199	GV-NEG	Gradient2		-13	None
200	TU-DIL	Temperature	42,544		None
200	TU-CON	Temperature	-29,106		None
200	GV-POS	Gradient2		18	None
200	GV-NEG	Gradient2		-13	None
201	TU-DIL	Temperature	42,544		None
201	TU-CON	Temperature	-29,106		None
201	GV-POS	Gradient2		18	None
201	GV-NEG	Gradient2		-13	None
202	TU-DIL	Temperature	42,544		None
202	TU-CON	Temperature	-29,106		None
202	GV-POS	Gradient2		18	None
202	GV-NEG	Gradient2		-13	None
203	TU-DIL	Temperature	42,544		None
203	TU-CON	Temperature	-29,106		None
203	GV-POS	Gradient2		18	None
203	GV-NEG	Gradient2		-13	None



204	TU-DIL	Temperature	42,544		None
204	TU-CON	Temperature	-29,106		None
204	GV-POS	Gradient2		18	None
204	GV-NEG	Gradient2		-13	None
205	TU-DIL	Temperature	42,544		None
205	TU-CON	Temperature	-29,106		None
205	GV-POS	Gradient2		18	None
205	GV-NEG	Gradient2		-13	None
206	TU-DIL	Temperature	42,544		None
206	TU-CON	Temperature	-29,106		None
206	GV-POS	Gradient2		18	None
206	GV-NEG	Gradient2		-13	None
207	TU-DIL	Temperature	42,544		None
207	TU-CON	Temperature	-29,106		None
207	GV-POS	Gradient2		18	None
207	GV-NEG	Gradient2		-13	None
208	TU-DIL	Temperature	42,544		None
208	TU-CON	Temperature	-29,106		None
208	GV-POS	Gradient2		18	None
208	GV-NEG	Gradient2		-13	None
209	TU-DIL	Temperature	42,544		None
209	TU-CON	Temperature	-29,106		None
209	GV-POS	Gradient2		18	None
209	GV-NEG	Gradient2		-13	None
210	TU-DIL	Temperature	42,544		None
210	TU-CON	Temperature	-29,106		None
210	GV-POS	Gradient2		18	None
210	GV-NEG	Gradient2		-13	None
211	TU-DIL	Temperature	42,544		None
211	TU-CON	Temperature	-29,106		None
211	GV-POS	Gradient2		18	None
211	GV-NEG	Gradient2		-13	None
212	TU-DIL	Temperature	42,544		None
212	TU-CON	Temperature	-29,106		None
212	GV-POS	Gradient2		18	None
212	GV-NEG	Gradient2		-13	None
213	TU-DIL	Temperature	42,544		None
213	TU-CON	Temperature	-29,106		None
213	GV-POS	Gradient2		18	None

213	GV-NEG	Gradient2		-13	None
214	TU-DIL	Temperature	42,544		None
214	TU-CON	Temperature	-29,106		None
214	GV-POS	Gradient2		18	None
214	GV-NEG	Gradient2		-13	None
216	TU-DIL	Temperature	42,544		None
216	TU-CON	Temperature	-29,106		None
216	GV-POS	Gradient2		18	None
216	GV-NEG	Gradient2		-13	None
217	TU-DIL	Temperature	42,544		None
217	TU-CON	Temperature	-29,106		None
217	GV-POS	Gradient2		18	None
217	GV-NEG	Gradient2		-13	None
218	TU-DIL	Temperature	42,544		None
218	TU-CON	Temperature	-29,106		None
218	GV-POS	Gradient2		18	None
218	GV-NEG	Gradient2		-13	None
219	TU-DIL	Temperature	42,544		None
219	TU-CON	Temperature	-29,106		None
219	GV-POS	Gradient2		18	None
219	GV-NEG	Gradient2		-13	None
220	TU-DIL	Temperature	42,544		None
220	TU-CON	Temperature	-29,106		None
220	GV-POS	Gradient2		18	None
220	GV-NEG	Gradient2		-13	None
221	TU-DIL	Temperature	42,544		None
221	TU-CON	Temperature	-29,106		None
221	GV-POS	Gradient2		18	None
221	GV-NEG	Gradient2		-13	None
222	TU-DIL	Temperature	42,544		None
222	TU-CON	Temperature	-29,106		None
222	GV-POS	Gradient2		18	None
222	GV-NEG	Gradient2		-13	None
223	TU-DIL	Temperature	42,544		None
223	TU-CON	Temperature	-29,106		None
223	GV-POS	Gradient2		18	None
223	GV-NEG	Gradient2		-13	None
224	TU-DIL	Temperature	42,544		None
224	TU-CON	Temperature	-29,106		None



224	GV-POS	Gradient2		18	None
224	GV-NEG	Gradient2		-13	None
225	TU-DIL	Temperature	42,544		None
225	TU-CON	Temperature	-29,106		None
225	GV-POS	Gradient2		18	None
225	GV-NEG	Gradient2		-13	None
226	TU-DIL	Temperature	42,544		None
226	TU-CON	Temperature	-29,106		None
226	GV-POS	Gradient2		18	None
226	GV-NEG	Gradient2		-13	None
228	TU-DIL	Temperature	42,544		None
228	TU-CON	Temperature	-29,106		None
228	GV-POS	Gradient2		18	None
228	GV-NEG	Gradient2		-13	None
229	TU-DIL	Temperature	42,544		None
229	TU-CON	Temperature	-29,106		None
229	GV-POS	Gradient2		18	None
229	GV-NEG	Gradient2		-13	None
230	TU-DIL	Temperature	42,544		None
230	TU-CON	Temperature	-29,106		None
230	GV-POS	Gradient2		18	None
230	GV-NEG	Gradient2		-13	None
231	TU-DIL	Temperature	42,544		None
231	TU-CON	Temperature	-29,106		None
231	GV-POS	Gradient2		18	None
231	GV-NEG	Gradient2		-13	None
232	TU-DIL	Temperature	42,544		None
232	TU-CON	Temperature	-29,106		None
232	GV-POS	Gradient2		18	None
232	GV-NEG	Gradient2		-13	None
233	TU-DIL	Temperature	42,544		None
233	TU-CON	Temperature	-29,106		None
233	GV-POS	Gradient2		18	None
233	GV-NEG	Gradient2		-13	None
234	TU-DIL	Temperature	42,544		None
234	TU-CON	Temperature	-29,106		None
234	GV-POS	Gradient2		18	None
234	GV-NEG	Gradient2		-13	None
235	TU-DIL	Temperature	42,544		None

235	TU-CON	Temperature	-29,106		None
235	GV-POS	Gradient2		18	None
235	GV-NEG	Gradient2		-13	None
236	TU-DIL	Temperature	42,544		None
236	TU-CON	Temperature	-29,106		None
236	GV-POS	Gradient2		18	None
236	GV-NEG	Gradient2		-13	None
237	TU-DIL	Temperature	42,544		None
237	TU-CON	Temperature	-29,106		None
237	GV-POS	Gradient2		18	None
237	GV-NEG	Gradient2		-13	None
238	TU-DIL	Temperature	42,544		None
238	TU-CON	Temperature	-29,106		None
238	GV-POS	Gradient2		18	None
238	GV-NEG	Gradient2		-13	None
239	TU-DIL	Temperature	42,544		None
239	TU-CON	Temperature	-29,106		None
239	GV-POS	Gradient2		18	None
239	GV-NEG	Gradient2		-13	None
240	TU-DIL	Temperature	42,544		None
240	TU-CON	Temperature	-29,106		None
240	GV-POS	Gradient2		18	None
240	GV-NEG	Gradient2		-13	None
241	TU-DIL	Temperature	42,544		None
241	TU-CON	Temperature	-29,106		None
241	GV-POS	Gradient2		18	None
241	GV-NEG	Gradient2		-13	None
242	TU-DIL	Temperature	42,544		None
242	TU-CON	Temperature	-29,106		None
242	GV-POS	Gradient2		18	None
242	GV-NEG	Gradient2		-13	None
243	TU-DIL	Temperature	42,544		None
243	TU-CON	Temperature	-29,106		None
243	GV-POS	Gradient2		18	None
243	GV-NEG	Gradient2		-13	None
244	TU-DIL	Temperature	42,544		None
244	TU-CON	Temperature	-29,106		None
244	GV-POS	Gradient2		18	None
244	GV-NEG	Gradient2		-13	None



245	TU-DIL	Temperature	42,544		None
245	TU-CON	Temperature	-29,106		None
245	GV-POS	Gradient2		18	None
245	GV-NEG	Gradient2		-13	None
246	TU-DIL	Temperature	42,544		None
246	TU-CON	Temperature	-29,106		None
246	GV-POS	Gradient2		18	None
246	GV-NEG	Gradient2		-13	None
247	TU-DIL	Temperature	42,544		None
247	TU-CON	Temperature	-29,106		None
247	GV-POS	Gradient2		18	None
247	GV-NEG	Gradient2		-13	None
248	TU-DIL	Temperature	42,544		None
248	TU-CON	Temperature	-29,106		None
248	GV-POS	Gradient2		18	None
248	GV-NEG	Gradient2		-13	None
249	TU-DIL	Temperature	42,544		None
249	TU-CON	Temperature	-29,106		None
249	GV-POS	Gradient2		18	None
249	GV-NEG	Gradient2		-13	None
250	TU-DIL	Temperature	42,544		None
250	TU-CON	Temperature	-29,106		None
250	GV-POS	Gradient2		18	None
250	GV-NEG	Gradient2		-13	None
251	TU-DIL	Temperature	42,544		None
251	TU-CON	Temperature	-29,106		None
251	GV-POS	Gradient2		18	None
251	GV-NEG	Gradient2		-13	None
252	TU-DIL	Temperature	42,544		None
252	TU-CON	Temperature	-29,106		None
252	GV-POS	Gradient2		18	None
252	GV-NEG	Gradient2		-13	None
253	TU-DIL	Temperature	42,544		None
253	TU-CON	Temperature	-29,106		None
253	GV-POS	Gradient2		18	None
253	GV-NEG	Gradient2		-13	None
254	TU-DIL	Temperature	42,544		None
254	TU-CON	Temperature	-29,106		None
254	GV-POS	Gradient2		18	None

254	GV-NEG	Gradient2		-13	None
255	TU-DIL	Temperature	42,544		None
255	TU-CON	Temperature	-29,106		None
255	GV-POS	Gradient2		18	None
255	GV-NEG	Gradient2		-13	None
256	TU-DIL	Temperature	42,544		None
256	TU-CON	Temperature	-29,106		None
256	GV-POS	Gradient2		18	None
256	GV-NEG	Gradient2		-13	None
257	TU-DIL	Temperature	42,544		None
257	TU-CON	Temperature	-29,106		None
257	GV-POS	Gradient2		18	None
257	GV-NEG	Gradient2		-13	None
258	TU-DIL	Temperature	42,544		None
258	TU-CON	Temperature	-29,106		None
258	GV-POS	Gradient2		18	None
258	GV-NEG	Gradient2		-13	None
259	TU-DIL	Temperature	42,544		None
259	TU-CON	Temperature	-29,106		None
259	GV-POS	Gradient2		18	None
259	GV-NEG	Gradient2		-13	None
260	TU-DIL	Temperature	42,544		None
260	TU-CON	Temperature	-29,106		None
260	GV-POS	Gradient2		18	None
260	GV-NEG	Gradient2		-13	None
261	TU-DIL	Temperature	42,544		None
261	TU-CON	Temperature	-29,106		None
261	GV-POS	Gradient2		18	None
261	GV-NEG	Gradient2		-13	None
262	TU-DIL	Temperature	42,544		None
262	TU-CON	Temperature	-29,106		None
262	GV-POS	Gradient2		18	None
262	GV-NEG	Gradient2		-13	None
263	TU-DIL	Temperature	42,544		None
263	TU-CON	Temperature	-29,106		None
263	GV-POS	Gradient2		18	None
263	GV-NEG	Gradient2		-13	None
264	TU-DIL	Temperature	42,544		None
264	TU-CON	Temperature	-29,106		None



264	GV-POS	Gradient2		18	None
264	GV-NEG	Gradient2		-13	None
265	TU-DIL	Temperature	42,544		None
265	TU-CON	Temperature	-29,106		None
266	TU-DIL	Temperature	42,544		None
266	TU-CON	Temperature	-29,106		None
266	GV-POS	Gradient2		18	None
266	GV-NEG	Gradient2		-13	None
267	TU-DIL	Temperature	42,544		None
267	TU-CON	Temperature	-29,106		None
267	GV-POS	Gradient2		18	None
267	GV-NEG	Gradient2		-13	None
268	TU-DIL	Temperature	42,544		None
268	TU-CON	Temperature	-29,106		None
268	GV-POS	Gradient2		18	None
268	GV-NEG	Gradient2		-13	None
269	TU-DIL	Temperature	42,544		None
269	TU-CON	Temperature	-29,106		None
269	GV-POS	Gradient2		18	None
269	GV-NEG	Gradient2		-13	None
270	TU-DIL	Temperature	42,544		None
270	TU-CON	Temperature	-29,106		None
270	GV-POS	Gradient2		18	None
270	GV-NEG	Gradient2		-13	None
271	TU-DIL	Temperature	42,544		None
271	TU-CON	Temperature	-29,106		None
271	GV-POS	Gradient2		18	None
271	GV-NEG	Gradient2		-13	None
272	TU-DIL	Temperature	42,544		None
272	TU-CON	Temperature	-29,106		None
272	GV-POS	Gradient2		18	None
272	GV-NEG	Gradient2		-13	None
273	TU-DIL	Temperature	42,544		None
273	TU-CON	Temperature	-29,106		None
273	GV-POS	Gradient2		18	None
273	GV-NEG	Gradient2		-13	None
275	TU-DIL	Temperature	42,544		None
275	TU-CON	Temperature	-29,106		None
275	GV-POS	Gradient2		18	None

275	GV-NEG	Gradient2		-13	None
276	TU-DIL	Temperature	42,544		None
276	TU-CON	Temperature	-29,106		None
276	GV-POS	Gradient2		18	None
276	GV-NEG	Gradient2		-13	None
277	TU-DIL	Temperature	42,544		None
277	TU-CON	Temperature	-29,106		None
277	GV-POS	Gradient2		18	None
277	GV-NEG	Gradient2		-13	None
278	TU-DIL	Temperature	42,544		None
278	TU-CON	Temperature	-29,106		None
278	GV-POS	Gradient2		18	None
278	GV-NEG	Gradient2		-13	None
279	TU-DIL	Temperature	42,544		None
279	TU-CON	Temperature	-29,106		None
279	GV-POS	Gradient2		18	None
279	GV-NEG	Gradient2		-13	None
280	TU-DIL	Temperature	42,544		None
280	TU-CON	Temperature	-29,106		None
280	GV-POS	Gradient2		18	None
280	GV-NEG	Gradient2		-13	None
281	TU-DIL	Temperature	42,544		None
281	TU-CON	Temperature	-29,106		None
281	GV-POS	Gradient2		18	None
281	GV-NEG	Gradient2		-13	None
282	TU-DIL	Temperature	42,544		None
282	TU-CON	Temperature	-29,106		None
282	GV-POS	Gradient2		18	None
282	GV-NEG	Gradient2		-13	None
283	TU-DIL	Temperature	42,544		None
283	TU-CON	Temperature	-29,106		None
283	GV-POS	Gradient2		18	None
283	GV-NEG	Gradient2		-13	None
284	TU-DIL	Temperature	42,544		None
284	TU-CON	Temperature	-29,106		None
285	TU-DIL	Temperature	42,544		None
285	TU-CON	Temperature	-29,106		None
285	GV-POS	Gradient2		18	None
285	GV-NEG	Gradient2		-13	None



286	TU-DIL	Temperature	42,544		None
286	TU-CON	Temperature	-29,106		None
286	GV-POS	Gradient2		18	None
286	GV-NEG	Gradient2		-13	None
287	TU-DIL	Temperature	42,544		None
287	TU-CON	Temperature	-29,106		None
287	GV-POS	Gradient2		18	None
287	GV-NEG	Gradient2		-13	None
288	TU-DIL	Temperature	42,544		None
288	TU-CON	Temperature	-29,106		None
288	GV-POS	Gradient2		18	None
288	GV-NEG	Gradient2		-13	None
289	TU-DIL	Temperature	42,544		None
289	TU-CON	Temperature	-29,106		None
289	GV-POS	Gradient2		18	None
289	GV-NEG	Gradient2		-13	None
290	TU-DIL	Temperature	42,544		None
290	TU-CON	Temperature	-29,106		None
290	GV-POS	Gradient2		18	None
290	GV-NEG	Gradient2		-13	None
291	TU-DIL	Temperature	42,544		None
291	TU-CON	Temperature	-29,106		None
291	GV-POS	Gradient2		18	None
291	GV-NEG	Gradient2		-13	None
292	TU-DIL	Temperature	42,544		None
292	TU-CON	Temperature	-29,106		None
292	GV-POS	Gradient2		18	None
292	GV-NEG	Gradient2		-13	None
293	TU-DIL	Temperature	42,544		None
293	TU-CON	Temperature	-29,106		None
294	TU-DIL	Temperature	42,544		None
294	TU-CON	Temperature	-29,106		None
294	GV-POS	Gradient2		18	None
294	GV-NEG	Gradient2		-13	None
295	TU-DIL	Temperature	42,544		None
295	TU-CON	Temperature	-29,106		None
295	GV-POS	Gradient2		18	None
295	GV-NEG	Gradient2		-13	None
296	TU-DIL	Temperature	42,544		None

296	TU-CON	Temperature	-29,106		None
296	GV-POS	Gradient2		18	None
296	GV-NEG	Gradient2		-13	None
297	TU-DIL	Temperature	42,544		None
297	TU-CON	Temperature	-29,106		None
297	GV-POS	Gradient2		18	None
297	GV-NEG	Gradient2		-13	None
298	TU-DIL	Temperature	42,544		None
298	TU-CON	Temperature	-29,106		None
298	GV-POS	Gradient2		18	None
298	GV-NEG	Gradient2		-13	None
299	TU-DIL	Temperature	42,544		None
299	TU-CON	Temperature	-29,106		None
299	GV-POS	Gradient2		18	None
299	GV-NEG	Gradient2		-13	None
300	TU-DIL	Temperature	42,544		None
300	TU-CON	Temperature	-29,106		None
300	GV-POS	Gradient2		18	None
300	GV-NEG	Gradient2		-13	None
301	TU-DIL	Temperature	42,544		None
301	TU-CON	Temperature	-29,106		None
301	GV-POS	Gradient2		18	None
301	GV-NEG	Gradient2		-13	None
302	TU-DIL	Temperature	42,544		None
302	TU-CON	Temperature	-29,106		None
302	GV-POS	Gradient2		18	None
302	GV-NEG	Gradient2		-13	None
303	TU-DIL	Temperature	42,544		None
303	TU-CON	Temperature	-29,106		None
303	GV-POS	Gradient2		18	None
303	GV-NEG	Gradient2		-13	None
304	TU-DIL	Temperature	42,544		None
304	TU-CON	Temperature	-29,106		None
304	GV-POS	Gradient2		18	None
304	GV-NEG	Gradient2		-13	None
305	TU-DIL	Temperature	42,544		None
305	TU-CON	Temperature	-29,106		None
305	GV-POS	Gradient2		18	None
305	GV-NEG	Gradient2		-13	None



306	TU-DIL	Temperature	42,544		None
306	TU-CON	Temperature	-29,106		None
306	GV-POS	Gradient2		18	None
306	GV-NEG	Gradient2		-13	None
307	TU-DIL	Temperature	42,544		None
307	TU-CON	Temperature	-29,106		None
307	GV-POS	Gradient2		18	None
307	GV-NEG	Gradient2		-13	None
308	TU-DIL	Temperature	42,544		None
308	TU-CON	Temperature	-29,106		None
308	GV-POS	Gradient2		18	None
308	GV-NEG	Gradient2		-13	None
309	TU-DIL	Temperature	42,544		None
309	TU-CON	Temperature	-29,106		None
309	GV-POS	Gradient2		18	None
309	GV-NEG	Gradient2		-13	None
310	TU-DIL	Temperature	42,544		None
310	TU-CON	Temperature	-29,106		None
310	GV-POS	Gradient2		18	None
310	GV-NEG	Gradient2		-13	None
311	TU-DIL	Temperature	42,544		None
311	TU-CON	Temperature	-29,106		None
312	TU-DIL	Temperature	42,544		None
312	TU-CON	Temperature	-29,106		None
312	GV-POS	Gradient2		18	None
312	GV-NEG	Gradient2		-13	None
313	TU-DIL	Temperature	42,544		None
313	TU-CON	Temperature	-29,106		None
313	GV-POS	Gradient2		18	None
313	GV-NEG	Gradient2		-13	None
314	TU-DIL	Temperature	42,544		None
314	TU-CON	Temperature	-29,106		None
314	GV-POS	Gradient2		18	None
314	GV-NEG	Gradient2		-13	None
315	TU-DIL	Temperature	42,544		None
315	TU-CON	Temperature	-29,106		None
315	GV-POS	Gradient2		18	None
315	GV-NEG	Gradient2		-13	None
316	TU-DIL	Temperature	42,544		None

316	TU-CON	Temperature	-29,106		None
316	GV-POS	Gradient2		18	None
316	GV-NEG	Gradient2		-13	None
317	TU-DIL	Temperature	42,544		None
317	TU-CON	Temperature	-29,106		None
317	GV-POS	Gradient2		18	None
317	GV-NEG	Gradient2		-13	None
318	TU-DIL	Temperature	42,544		None
318	TU-CON	Temperature	-29,106		None
318	GV-POS	Gradient2		18	None
318	GV-NEG	Gradient2		-13	None
319	TU-DIL	Temperature	42,544		None
319	TU-CON	Temperature	-29,106		None
319	GV-POS	Gradient2		18	None
319	GV-NEG	Gradient2		-13	None
320	TU-DIL	Temperature	42,544		None
320	TU-CON	Temperature	-29,106		None
320	GV-POS	Gradient2		18	None
320	GV-NEG	Gradient2		-13	None
321	TU-DIL	Temperature	42,544		None
321	TU-CON	Temperature	-29,106		None
321	GV-POS	Gradient2		18	None
321	GV-NEG	Gradient2		-13	None
322	TU-DIL	Temperature	42,544		None
322	TU-CON	Temperature	-29,106		None
322	GV-POS	Gradient2		18	None
322	GV-NEG	Gradient2		-13	None
323	TU-DIL	Temperature	42,544		None
323	TU-CON	Temperature	-29,106		None
323	GV-POS	Gradient2		18	None
323	GV-NEG	Gradient2		-13	None
324	TU-DIL	Temperature	42,544		None
324	TU-CON	Temperature	-29,106		None
324	GV-POS	Gradient2		18	None
324	GV-NEG	Gradient2		-13	None
325	TU-DIL	Temperature	42,544		None
325	TU-CON	Temperature	-29,106		None
325	GV-POS	Gradient2		18	None
325	GV-NEG	Gradient2		-13	None



326	TU-DIL	Temperature	42,544		None
326	TU-CON	Temperature	-29,106		None
326	GV-POS	Gradient2		18	None
326	GV-NEG	Gradient2		-13	None
327	TU-DIL	Temperature	42,544		None
327	TU-CON	Temperature	-29,106		None
327	GV-POS	Gradient2		18	None
327	GV-NEG	Gradient2		-13	None
328	TU-DIL	Temperature	42,544		None
328	TU-CON	Temperature	-29,106		None
328	GV-POS	Gradient2		18	None
328	GV-NEG	Gradient2		-13	None
329	TU-DIL	Temperature	42,544		None
329	TU-CON	Temperature	-29,106		None
329	GV-POS	Gradient2		18	None
329	GV-NEG	Gradient2		-13	None
330	TU-DIL	Temperature	42,544		None
330	TU-CON	Temperature	-29,106		None
330	GV-POS	Gradient2		18	None
330	GV-NEG	Gradient2		-13	None
331	TU-DIL	Temperature	42,544		None
331	TU-CON	Temperature	-29,106		None
331	GV-POS	Gradient2		18	None
331	GV-NEG	Gradient2		-13	None
332	TU-DIL	Temperature	42,544		None
332	TU-CON	Temperature	-29,106		None
332	GV-POS	Gradient2		18	None
332	GV-NEG	Gradient2		-13	None
333	TU-DIL	Temperature	42,544		None
333	TU-CON	Temperature	-29,106		None
333	GV-POS	Gradient2		18	None
333	GV-NEG	Gradient2		-13	None
334	TU-DIL	Temperature	42,544		None
334	TU-CON	Temperature	-29,106		None
334	GV-POS	Gradient2		18	None
334	GV-NEG	Gradient2		-13	None
335	TU-DIL	Temperature	42,544		None
335	TU-CON	Temperature	-29,106		None
335	GV-POS	Gradient2		18	None

335	GV-NEG	Gradient2		-13	None
336	TU-DIL	Temperature	42,544		None
336	TU-CON	Temperature	-29,106		None
336	GV-POS	Gradient2		18	None
336	GV-NEG	Gradient2		-13	None
337	TU-DIL	Temperature	42,544		None
337	TU-CON	Temperature	-29,106		None
337	GV-POS	Gradient2		18	None
337	GV-NEG	Gradient2		-13	None
338	TU-DIL	Temperature	42,544		None
338	TU-CON	Temperature	-29,106		None
338	GV-POS	Gradient2		18	None
338	GV-NEG	Gradient2		-13	None
339	TU-DIL	Temperature	42,544		None
339	TU-CON	Temperature	-29,106		None
339	GV-POS	Gradient2		18	None
339	GV-NEG	Gradient2		-13	None
340	TU-DIL	Temperature	42,544		None
340	TU-CON	Temperature	-29,106		None
340	GV-POS	Gradient2		18	None
340	GV-NEG	Gradient2		-13	None
341	TU-DIL	Temperature	42,544		None
341	TU-CON	Temperature	-29,106		None
341	GV-POS	Gradient2		18	None
341	GV-NEG	Gradient2		-13	None
342	TU-DIL	Temperature	42,544		None
342	TU-CON	Temperature	-29,106		None
342	GV-POS	Gradient2		18	None
342	GV-NEG	Gradient2		-13	None
343	TU-DIL	Temperature	42,544		None
343	TU-CON	Temperature	-29,106		None
343	GV-POS	Gradient2		18	None
343	GV-NEG	Gradient2		-13	None
344	TU-DIL	Temperature	42,544		None
344	TU-CON	Temperature	-29,106		None
344	GV-POS	Gradient2		18	None
344	GV-NEG	Gradient2		-13	None
345	TU-DIL	Temperature	42,544		None
345	TU-CON	Temperature	-29,106		None



345	GV-POS	Gradient2		18	None
345	GV-NEG	Gradient2		-13	None
346	TU-DIL	Temperature	42,544		None
346	TU-CON	Temperature	-29,106		None
346	GV-POS	Gradient2		18	None
346	GV-NEG	Gradient2		-13	None
347	TU-DIL	Temperature	42,544		None
347	TU-CON	Temperature	-29,106		None
347	GV-POS	Gradient2		18	None
347	GV-NEG	Gradient2		-13	None
348	TU-DIL	Temperature	42,544		None
348	TU-CON	Temperature	-29,106		None
348	GV-POS	Gradient2		18	None
348	GV-NEG	Gradient2		-13	None
350	TU-DIL	Temperature	42,544		None
350	TU-CON	Temperature	-29,106		None
350	GV-POS	Gradient2		18	None
350	GV-NEG	Gradient2		-13	None
351	TU-DIL	Temperature	42,544		None
351	TU-CON	Temperature	-29,106		None
351	GV-POS	Gradient2		18	None
351	GV-NEG	Gradient2		-13	None
352	TU-DIL	Temperature	42,544		None
352	TU-CON	Temperature	-29,106		None
352	GV-POS	Gradient2		18	None
352	GV-NEG	Gradient2		-13	None
353	TU-DIL	Temperature	42,544		None
353	TU-CON	Temperature	-29,106		None
353	GV-POS	Gradient2		18	None
353	GV-NEG	Gradient2		-13	None
354	TU-DIL	Temperature	42,544		None
354	TU-CON	Temperature	-29,106		None
354	GV-POS	Gradient2		18	None
354	GV-NEG	Gradient2		-13	None
355	TU-DIL	Temperature	42,544		None
355	TU-CON	Temperature	-29,106		None
355	GV-POS	Gradient2		18	None
355	GV-NEG	Gradient2		-13	None
356	TU-DIL	Temperature	42,544		None

356	TU-CON	Temperature	-29,106		None
356	GV-POS	Gradient2		18	None
356	GV-NEG	Gradient2		-13	None
357	TU-DIL	Temperature	42,544		None
357	TU-CON	Temperature	-29,106		None
357	GV-POS	Gradient2		18	None
357	GV-NEG	Gradient2		-13	None
358	TU-DIL	Temperature	42,544		None
358	TU-CON	Temperature	-29,106		None
358	GV-POS	Gradient2		18	None
358	GV-NEG	Gradient2		-13	None
359	TU-DIL	Temperature	42,544		None
359	TU-CON	Temperature	-29,106		None
359	GV-POS	Gradient2		18	None
359	GV-NEG	Gradient2		-13	None
360	TU-DIL	Temperature	42,544		None
360	TU-CON	Temperature	-29,106		None
360	GV-POS	Gradient2		18	None
360	GV-NEG	Gradient2		-13	None
362	TU-DIL	Temperature	42,544		None
362	TU-CON	Temperature	-29,106		None
362	GV-POS	Gradient2		18	None
362	GV-NEG	Gradient2		-13	None
363	TU-DIL	Temperature	42,544		None
363	TU-CON	Temperature	-29,106		None
363	GV-POS	Gradient2		18	None
363	GV-NEG	Gradient2		-13	None
364	TU-DIL	Temperature	42,544		None
364	TU-CON	Temperature	-29,106		None
364	GV-POS	Gradient2		18	None
364	GV-NEG	Gradient2		-13	None
365	TU-DIL	Temperature	42,544		None
365	TU-CON	Temperature	-29,106		None
365	GV-POS	Gradient2		18	None
365	GV-NEG	Gradient2		-13	None
366	TU-DIL	Temperature	42,544		None
366	TU-CON	Temperature	-29,106		None
366	GV-POS	Gradient2		18	None
366	GV-NEG	Gradient2		-13	None



367	TU-DIL	Temperature	42,544		None
367	TU-CON	Temperature	-29,106		None
367	GV-POS	Gradient2		18	None
367	GV-NEG	Gradient2		-13	None
368	TU-DIL	Temperature	42,544		None
368	TU-CON	Temperature	-29,106		None
368	GV-POS	Gradient2		18	None
368	GV-NEG	Gradient2		-13	None
369	TU-DIL	Temperature	42,544		None
369	TU-CON	Temperature	-29,106		None
369	GV-POS	Gradient2		18	None
369	GV-NEG	Gradient2		-13	None
370	TU-DIL	Temperature	42,544		None
370	TU-CON	Temperature	-29,106		None
370	GV-POS	Gradient2		18	None
370	GV-NEG	Gradient2		-13	None
371	TU-DIL	Temperature	42,544		None
371	TU-CON	Temperature	-29,106		None
371	GV-POS	Gradient2		18	None
371	GV-NEG	Gradient2		-13	None
372	TU-DIL	Temperature	42,544		None
372	TU-CON	Temperature	-29,106		None
372	GV-POS	Gradient2		18	None
372	GV-NEG	Gradient2		-13	None
373	TU-DIL	Temperature	42,544		None
373	TU-CON	Temperature	-29,106		None
374	TU-DIL	Temperature	42,544		None
374	TU-CON	Temperature	-29,106		None
374	GV-POS	Gradient2		18	None
374	GV-NEG	Gradient2		-13	None
375	TU-DIL	Temperature	42,544		None
375	TU-CON	Temperature	-29,106		None
375	GV-POS	Gradient2		18	None
375	GV-NEG	Gradient2		-13	None
376	TU-DIL	Temperature	42,544		None
376	TU-CON	Temperature	-29,106		None
376	GV-POS	Gradient2		18	None
376	GV-NEG	Gradient2		-13	None
377	TU-DIL	Temperature	42,544		None

377	TU-CON	Temperature	-29,106		None
377	GV-POS	Gradient2		18	None
377	GV-NEG	Gradient2		-13	None
378	TU-DIL	Temperature	42,544		None
378	TU-CON	Temperature	-29,106		None
378	GV-POS	Gradient2		18	None
378	GV-NEG	Gradient2		-13	None
379	TU-DIL	Temperature	42,544		None
379	TU-CON	Temperature	-29,106		None
379	GV-POS	Gradient2		18	None
379	GV-NEG	Gradient2		-13	None
380	TU-DIL	Temperature	42,544		None
380	TU-CON	Temperature	-29,106		None
380	GV-POS	Gradient2		18	None
380	GV-NEG	Gradient2		-13	None
381	TU-DIL	Temperature	42,544		None
381	TU-CON	Temperature	-29,106		None
381	GV-POS	Gradient2		18	None
381	GV-NEG	Gradient2		-13	None
382	TU-DIL	Temperature	42,544		None
382	TU-CON	Temperature	-29,106		None
382	GV-POS	Gradient2		18	None
382	GV-NEG	Gradient2		-13	None
383	TU-DIL	Temperature	42,544		None
383	TU-CON	Temperature	-29,106		None
383	GV-POS	Gradient2		18	None
383	GV-NEG	Gradient2		-13	None
384	TU-DIL	Temperature	42,544		None
384	TU-CON	Temperature	-29,106		None
384	GV-POS	Gradient2		18	None
384	GV-NEG	Gradient2		-13	None
385	TU-DIL	Temperature	42,544		None
385	TU-CON	Temperature	-29,106		None
386	TU-DIL	Temperature	42,544		None
386	TU-CON	Temperature	-29,106		None
386	GV-POS	Gradient2		18	None
386	GV-NEG	Gradient2		-13	None
387	TU-DIL	Temperature	42,544		None
387	TU-CON	Temperature	-29,106		None



387	GV-POS	Gradient2		18	None
387	GV-NEG	Gradient2		-13	None
388	TU-DIL	Temperature	42,544		None
388	TU-CON	Temperature	-29,106		None
388	GV-POS	Gradient2		18	None
388	GV-NEG	Gradient2		-13	None
389	TU-DIL	Temperature	42,544		None
389	TU-CON	Temperature	-29,106		None
389	GV-POS	Gradient2		18	None
389	GV-NEG	Gradient2		-13	None
390	TU-DIL	Temperature	42,544		None
390	TU-CON	Temperature	-29,106		None
390	GV-POS	Gradient2		18	None
390	GV-NEG	Gradient2		-13	None
391	TU-DIL	Temperature	42,544		None
391	TU-CON	Temperature	-29,106		None
391	GV-POS	Gradient2		18	None
391	GV-NEG	Gradient2		-13	None
392	TU-DIL	Temperature	42,544		None
392	TU-CON	Temperature	-29,106		None
392	GV-POS	Gradient2		18	None
392	GV-NEG	Gradient2		-13	None
393	TU-DIL	Temperature	42,544		None
393	TU-CON	Temperature	-29,106		None
393	GV-POS	Gradient2		18	None
393	GV-NEG	Gradient2		-13	None
394	TU-DIL	Temperature	42,544		None
394	TU-CON	Temperature	-29,106		None
394	GV-POS	Gradient2		18	None
394	GV-NEG	Gradient2		-13	None
395	TU-DIL	Temperature	42,544		None
395	TU-CON	Temperature	-29,106		None
395	GV-POS	Gradient2		18	None
395	GV-NEG	Gradient2		-13	None
396	TU-DIL	Temperature	42,544		None
396	TU-CON	Temperature	-29,106		None
396	GV-POS	Gradient2		18	None
396	GV-NEG	Gradient2		-13	None
397	TU-DIL	Temperature	42,544		None

397	TU-CON	Temperature	-29,106		None
397	GV-POS	Gradient2		18	None
397	GV-NEG	Gradient2		-13	None
398	TU-DIL	Temperature	42,544		None
398	TU-CON	Temperature	-29,106		None
398	GV-POS	Gradient2		18	None
398	GV-NEG	Gradient2		-13	None
399	TU-DIL	Temperature	42,544		None
399	TU-CON	Temperature	-29,106		None
399	GV-POS	Gradient2		18	None
399	GV-NEG	Gradient2		-13	None
400	TU-DIL	Temperature	42,544		None
400	TU-CON	Temperature	-29,106		None
400	GV-POS	Gradient2		18	None
400	GV-NEG	Gradient2		-13	None
401	TU-DIL	Temperature	42,544		None
401	TU-CON	Temperature	-29,106		None
401	GV-POS	Gradient2		18	None
401	GV-NEG	Gradient2		-13	None
402	TU-DIL	Temperature	42,544		None
402	TU-CON	Temperature	-29,106		None
402	GV-POS	Gradient2		18	None
402	GV-NEG	Gradient2		-13	None
403	TU-DIL	Temperature	42,544		None
403	TU-CON	Temperature	-29,106		None
403	GV-POS	Gradient2		18	None
403	GV-NEG	Gradient2		-13	None
404	TU-DIL	Temperature	42,544		None
404	TU-CON	Temperature	-29,106		None
404	GV-POS	Gradient2		18	None
404	GV-NEG	Gradient2		-13	None
406	TU-DIL	Temperature	42,544		None
406	TU-CON	Temperature	-29,106		None
406	GV-POS	Gradient2		18	None
406	GV-NEG	Gradient2		-13	None
407	TU-DIL	Temperature	42,544		None
407	TU-CON	Temperature	-29,106		None
407	GV-POS	Gradient2		18	None
407	GV-NEG	Gradient2		-13	None



408	TU-DIL	Temperature	42,544		None
408	TU-CON	Temperature	-29,106		None
408	GV-POS	Gradient2		18	None
408	GV-NEG	Gradient2		-13	None
409	TU-DIL	Temperature	42,544		None
409	TU-CON	Temperature	-29,106		None
409	GV-POS	Gradient2		18	None
409	GV-NEG	Gradient2		-13	None
410	TU-DIL	Temperature	42,544		None
410	TU-CON	Temperature	-29,106		None
410	GV-POS	Gradient2		18	None
410	GV-NEG	Gradient2		-13	None
411	TU-DIL	Temperature	42,544		None
411	TU-CON	Temperature	-29,106		None
411	GV-POS	Gradient2		18	None
411	GV-NEG	Gradient2		-13	None
412	TU-DIL	Temperature	42,544		None
412	TU-CON	Temperature	-29,106		None
412	GV-POS	Gradient2		18	None
412	GV-NEG	Gradient2		-13	None
413	TU-DIL	Temperature	42,544		None
413	TU-CON	Temperature	-29,106		None
413	GV-POS	Gradient2		18	None
413	GV-NEG	Gradient2		-13	None
414	TU-DIL	Temperature	42,544		None
414	TU-CON	Temperature	-29,106		None
414	GV-POS	Gradient2		18	None
414	GV-NEG	Gradient2		-13	None
415	TU-DIL	Temperature	42,544		None
415	TU-CON	Temperature	-29,106		None
415	GV-POS	Gradient2		18	None
415	GV-NEG	Gradient2		-13	None
416	TU-DIL	Temperature	42,544		None
416	TU-CON	Temperature	-29,106		None
416	GV-POS	Gradient2		18	None
416	GV-NEG	Gradient2		-13	None
417	TU-DIL	Temperature	42,544		None
417	TU-CON	Temperature	-29,106		None
417	GV-POS	Gradient2		18	None

417	GV-NEG	Gradient2		-13	None
418	TU-DIL	Temperature	42,544		None
418	TU-CON	Temperature	-29,106		None
418	GV-POS	Gradient2		18	None
418	GV-NEG	Gradient2		-13	None
419	TU-DIL	Temperature	42,544		None
419	TU-CON	Temperature	-29,106		None
419	GV-POS	Gradient2		18	None
419	GV-NEG	Gradient2		-13	None
420	TU-DIL	Temperature	42,544		None
420	TU-CON	Temperature	-29,106		None
420	GV-POS	Gradient2		18	None
420	GV-NEG	Gradient2		-13	None
421	TU-DIL	Temperature	42,544		None
421	TU-CON	Temperature	-29,106		None
421	GV-POS	Gradient2		18	None
421	GV-NEG	Gradient2		-13	None
422	TU-DIL	Temperature	42,544		None
422	TU-CON	Temperature	-29,106		None
422	GV-POS	Gradient2		18	None
422	GV-NEG	Gradient2		-13	None
423	TU-DIL	Temperature	42,544		None
423	TU-CON	Temperature	-29,106		None
423	GV-POS	Gradient2		18	None
423	GV-NEG	Gradient2		-13	None
424	TU-DIL	Temperature	42,544		None
424	TU-CON	Temperature	-29,106		None
424	GV-POS	Gradient2		18	None
424	GV-NEG	Gradient2		-13	None
425	TU-DIL	Temperature	42,544		None
425	TU-CON	Temperature	-29,106		None
425	GV-POS	Gradient2		18	None
425	GV-NEG	Gradient2		-13	None
426	TU-DIL	Temperature	42,544		None
426	TU-CON	Temperature	-29,106		None
426	GV-POS	Gradient2		18	None
426	GV-NEG	Gradient2		-13	None
427	TU-DIL	Temperature	42,544		None
427	TU-CON	Temperature	-29,106		None



427	GV-POS	Gradient2		18	None
427	GV-NEG	Gradient2		-13	None
428	TU-DIL	Temperature	42,544		None
428	TU-CON	Temperature	-29,106		None
428	GV-POS	Gradient2		18	None
428	GV-NEG	Gradient2		-13	None
429	TU-DIL	Temperature	42,544		None
429	TU-CON	Temperature	-29,106		None
429	GV-POS	Gradient2		18	None
429	GV-NEG	Gradient2		-13	None
430	TU-DIL	Temperature	42,544		None
430	TU-CON	Temperature	-29,106		None
430	GV-POS	Gradient2		18	None
430	GV-NEG	Gradient2		-13	None
431	TU-DIL	Temperature	42,544		None
431	TU-CON	Temperature	-29,106		None
431	GV-POS	Gradient2		18	None
431	GV-NEG	Gradient2		-13	None
432	TU-DIL	Temperature	42,544		None
432	TU-CON	Temperature	-29,106		None
432	GV-POS	Gradient2		18	None
432	GV-NEG	Gradient2		-13	None
433	TU-DIL	Temperature	42,544		None
433	TU-CON	Temperature	-29,106		None
433	GV-POS	Gradient2		18	None
433	GV-NEG	Gradient2		-13	None
434	TU-DIL	Temperature	42,544		None
434	TU-CON	Temperature	-29,106		None
434	GV-POS	Gradient2		18	None
434	GV-NEG	Gradient2		-13	None
435	TU-DIL	Temperature	42,544		None
435	TU-CON	Temperature	-29,106		None
435	GV-POS	Gradient2		18	None
435	GV-NEG	Gradient2		-13	None
436	TU-DIL	Temperature	42,544		None
436	TU-CON	Temperature	-29,106		None
436	GV-POS	Gradient2		18	None
436	GV-NEG	Gradient2		-13	None
437	TU-DIL	Temperature	42,544		None

437	TU-CON	Temperature	-29,106		None
437	GV-POS	Gradient2		18	None
437	GV-NEG	Gradient2		-13	None
438	TU-DIL	Temperature	42,544		None
438	TU-CON	Temperature	-29,106		None
438	GV-POS	Gradient2		18	None
438	GV-NEG	Gradient2		-13	None
439	TU-DIL	Temperature	42,544		None
439	TU-CON	Temperature	-29,106		None
439	GV-POS	Gradient2		18	None
439	GV-NEG	Gradient2		-13	None
440	TU-DIL	Temperature	42,544		None
440	TU-CON	Temperature	-29,106		None
440	GV-POS	Gradient2		18	None
440	GV-NEG	Gradient2		-13	None
441	TU-DIL	Temperature	42,544		None
441	TU-CON	Temperature	-29,106		None
441	GV-POS	Gradient2		18	None
441	GV-NEG	Gradient2		-13	None
442	TU-DIL	Temperature	42,544		None
442	TU-CON	Temperature	-29,106		None
442	GV-POS	Gradient2		18	None
442	GV-NEG	Gradient2		-13	None
443	TU-DIL	Temperature	42,544		None
443	TU-CON	Temperature	-29,106		None
443	GV-POS	Gradient2		18	None
443	GV-NEG	Gradient2		-13	None
444	TU-DIL	Temperature	42,544		None
444	TU-CON	Temperature	-29,106		None
444	GV-POS	Gradient2		18	None
444	GV-NEG	Gradient2		-13	None
445	TU-DIL	Temperature	42,544		None
445	TU-CON	Temperature	-29,106		None
445	GV-POS	Gradient2		18	None
445	GV-NEG	Gradient2		-13	None
446	TU-DIL	Temperature	42,544		None
446	TU-CON	Temperature	-29,106		None
446	GV-POS	Gradient2		18	None
446	GV-NEG	Gradient2		-13	None



447	TU-DIL	Temperature	42,544		None
447	TU-CON	Temperature	-29,106		None
447	GV-POS	Gradient2		18	None
447	GV-NEG	Gradient2		-13	None
448	TU-DIL	Temperature	42,544		None
448	TU-CON	Temperature	-29,106		None
448	GV-POS	Gradient2		18	None
448	GV-NEG	Gradient2		-13	None
449	TU-DIL	Temperature	42,544		None
449	TU-CON	Temperature	-29,106		None
449	GV-POS	Gradient2		18	None
449	GV-NEG	Gradient2		-13	None
450	TU-DIL	Temperature	42,544		None
450	TU-CON	Temperature	-29,106		None
450	GV-POS	Gradient2		18	None
450	GV-NEG	Gradient2		-13	None
451	TU-DIL	Temperature	42,544		None
451	TU-CON	Temperature	-29,106		None
451	GV-POS	Gradient2		18	None
451	GV-NEG	Gradient2		-13	None
452	TU-DIL	Temperature	42,544		None
452	TU-CON	Temperature	-29,106		None
452	GV-POS	Gradient2		18	None
452	GV-NEG	Gradient2		-13	None
453	TU-DIL	Temperature	42,544		None
453	TU-CON	Temperature	-29,106		None
453	GV-POS	Gradient2		18	None
453	GV-NEG	Gradient2		-13	None
454	TU-DIL	Temperature	42,544		None
454	TU-CON	Temperature	-29,106		None
454	GV-POS	Gradient2		18	None
454	GV-NEG	Gradient2		-13	None
455	TU-DIL	Temperature	42,544		None
455	TU-CON	Temperature	-29,106		None
455	GV-POS	Gradient2		18	None
455	GV-NEG	Gradient2		-13	None
456	TU-DIL	Temperature	42,544		None
456	TU-CON	Temperature	-29,106		None
456	GV-POS	Gradient2		18	None

456	GV-NEG	Gradient2		-13	None
457	TU-DIL	Temperature	42,544		None
457	TU-CON	Temperature	-29,106		None
457	GV-POS	Gradient2		18	None
457	GV-NEG	Gradient2		-13	None
458	TU-DIL	Temperature	42,544		None
458	TU-CON	Temperature	-29,106		None
458	GV-POS	Gradient2		18	None
458	GV-NEG	Gradient2		-13	None
459	TU-DIL	Temperature	42,544		None
459	TU-CON	Temperature	-29,106		None
459	GV-POS	Gradient2		18	None
459	GV-NEG	Gradient2		-13	None
460	TU-DIL	Temperature	42,544		None
460	TU-CON	Temperature	-29,106		None
460	GV-POS	Gradient2		18	None
460	GV-NEG	Gradient2		-13	None
461	TU-DIL	Temperature	42,544		None
461	TU-CON	Temperature	-29,106		None
461	GV-POS	Gradient2		18	None
461	GV-NEG	Gradient2		-13	None
462	TU-DIL	Temperature	42,544		None
462	TU-CON	Temperature	-29,106		None
462	GV-POS	Gradient2		18	None
462	GV-NEG	Gradient2		-13	None
463	TU-DIL	Temperature	42,544		None
463	TU-CON	Temperature	-29,106		None
463	GV-POS	Gradient2		18	None
463	GV-NEG	Gradient2		-13	None
464	TU-DIL	Temperature	42,544		None
464	TU-CON	Temperature	-29,106		None
464	GV-POS	Gradient2		18	None
464	GV-NEG	Gradient2		-13	None
465	TU-DIL	Temperature	42,544		None
465	TU-CON	Temperature	-29,106		None
465	GV-POS	Gradient2		18	None
465	GV-NEG	Gradient2		-13	None
466	TU-DIL	Temperature	42,544		None
466	TU-CON	Temperature	-29,106		None



466	GV-POS	Gradient2		18	None
466	GV-NEG	Gradient2		-13	None
467	TU-DIL	Temperature	42,544		None
467	TU-CON	Temperature	-29,106		None
467	GV-POS	Gradient2		18	None
467	GV-NEG	Gradient2		-13	None
468	TU-DIL	Temperature	42,544		None
468	TU-CON	Temperature	-29,106		None
468	GV-POS	Gradient2		18	None
468	GV-NEG	Gradient2		-13	None
469	TU-DIL	Temperature	42,544		None
469	TU-CON	Temperature	-29,106		None
469	GV-POS	Gradient2		18	None
469	GV-NEG	Gradient2		-13	None
470	TU-DIL	Temperature	42,544		None
470	TU-CON	Temperature	-29,106		None
470	GV-POS	Gradient2		18	None
470	GV-NEG	Gradient2		-13	None
471	TU-DIL	Temperature	42,544		None
471	TU-CON	Temperature	-29,106		None
471	GV-POS	Gradient2		18	None
471	GV-NEG	Gradient2		-13	None
472	TU-DIL	Temperature	42,544		None
472	TU-CON	Temperature	-29,106		None
472	GV-POS	Gradient2		18	None
472	GV-NEG	Gradient2		-13	None
473	TU-DIL	Temperature	42,544		None
473	TU-CON	Temperature	-29,106		None
473	GV-POS	Gradient2		18	None
473	GV-NEG	Gradient2		-13	None
474	TU-DIL	Temperature	42,544		None
474	TU-CON	Temperature	-29,106		None
474	GV-POS	Gradient2		18	None
474	GV-NEG	Gradient2		-13	None
475	TU-DIL	Temperature	42,544		None
475	TU-CON	Temperature	-29,106		None
475	GV-POS	Gradient2		18	None
475	GV-NEG	Gradient2		-13	None
476	TU-DIL	Temperature	42,544		None

476	TU-CON	Temperature	-29,106		None
476	GV-POS	Gradient2		18	None
476	GV-NEG	Gradient2		-13	None
477	TU-DIL	Temperature	42,544		None
477	TU-CON	Temperature	-29,106		None
477	GV-POS	Gradient2		18	None
477	GV-NEG	Gradient2		-13	None
478	TU-DIL	Temperature	42,544		None
478	TU-CON	Temperature	-29,106		None
478	GV-POS	Gradient2		18	None
478	GV-NEG	Gradient2		-13	None
479	TU-DIL	Temperature	42,544		None
479	TU-CON	Temperature	-29,106		None
479	GV-POS	Gradient2		18	None
479	GV-NEG	Gradient2		-13	None
480	TU-DIL	Temperature	42,544		None
480	TU-CON	Temperature	-29,106		None
480	GV-POS	Gradient2		18	None
480	GV-NEG	Gradient2		-13	None
481	TU-DIL	Temperature	42,544		None
481	TU-CON	Temperature	-29,106		None
481	GV-POS	Gradient2		18	None
481	GV-NEG	Gradient2		-13	None
482	TU-DIL	Temperature	42,544		None
482	TU-CON	Temperature	-29,106		None
482	GV-POS	Gradient2		18	None
482	GV-NEG	Gradient2		-13	None
483	TU-DIL	Temperature	42,544		None
483	TU-CON	Temperature	-29,106		None
483	GV-POS	Gradient2		18	None
483	GV-NEG	Gradient2		-13	None
484	TU-DIL	Temperature	42,544		None
484	TU-CON	Temperature	-29,106		None
484	GV-POS	Gradient2		18	None
484	GV-NEG	Gradient2		-13	None
485	TU-DIL	Temperature	42,544		None
485	TU-CON	Temperature	-29,106		None
485	GV-POS	Gradient2		18	None
485	GV-NEG	Gradient2		-13	None



486	TU-DIL	Temperature	42,544		None
486	TU-CON	Temperature	-29,106		None
486	GV-POS	Gradient2		18	None
486	GV-NEG	Gradient2		-13	None
487	TU-DIL	Temperature	42,544		None
487	TU-CON	Temperature	-29,106		None
487	GV-POS	Gradient2		18	None
487	GV-NEG	Gradient2		-13	None
488	TU-DIL	Temperature	42,544		None
488	TU-CON	Temperature	-29,106		None
488	GV-POS	Gradient2		18	None
488	GV-NEG	Gradient2		-13	None
489	TU-DIL	Temperature	42,544		None
489	TU-CON	Temperature	-29,106		None
489	GV-POS	Gradient2		18	None
489	GV-NEG	Gradient2		-13	None
490	TU-DIL	Temperature	42,544		None
490	TU-CON	Temperature	-29,106		None
490	GV-POS	Gradient2		18	None
490	GV-NEG	Gradient2		-13	None
491	TU-DIL	Temperature	42,544		None
491	TU-CON	Temperature	-29,106		None
491	GV-POS	Gradient2		18	None
491	GV-NEG	Gradient2		-13	None
492	TU-DIL	Temperature	42,544		None
492	TU-CON	Temperature	-29,106		None
492	GV-POS	Gradient2		18	None
492	GV-NEG	Gradient2		-13	None
493	TU-DIL	Temperature	42,544		None
493	TU-CON	Temperature	-29,106		None
493	GV-POS	Gradient2		18	None
493	GV-NEG	Gradient2		-13	None
494	TU-DIL	Temperature	42,544		None
494	TU-CON	Temperature	-29,106		None
494	GV-POS	Gradient2		18	None
494	GV-NEG	Gradient2		-13	None
495	TU-DIL	Temperature	42,544		None
495	TU-CON	Temperature	-29,106		None
495	GV-POS	Gradient2		18	None

495	GV-NEG	Gradient2		-13	None
496	TU-DIL	Temperature	42,544		None
496	TU-CON	Temperature	-29,106		None
496	GV-POS	Gradient2		18	None
496	GV-NEG	Gradient2		-13	None
497	TU-DIL	Temperature	42,544		None
497	TU-CON	Temperature	-29,106		None
497	GV-POS	Gradient2		18	None
497	GV-NEG	Gradient2		-13	None
498	TU-DIL	Temperature	42,544		None
498	TU-CON	Temperature	-29,106		None
498	GV-POS	Gradient2		18	None
498	GV-NEG	Gradient2		-13	None
499	TU-DIL	Temperature	42,544		None
499	TU-CON	Temperature	-29,106		None
499	GV-POS	Gradient2		18	None
499	GV-NEG	Gradient2		-13	None
500	TU-DIL	Temperature	42,544		None
500	TU-CON	Temperature	-29,106		None
500	GV-POS	Gradient2		18	None
500	GV-NEG	Gradient2		-13	None
501	TU-DIL	Temperature	42,544		None
501	TU-CON	Temperature	-29,106		None
502	TU-DIL	Temperature	42,544		None
502	TU-CON	Temperature	-29,106		None
502	GV-POS	Gradient2		18	None
502	GV-NEG	Gradient2		-13	None
503	TU-DIL	Temperature	42,544		None
503	TU-CON	Temperature	-29,106		None
503	GV-POS	Gradient2		18	None
503	GV-NEG	Gradient2		-13	None
504	TU-DIL	Temperature	42,544		None
504	TU-CON	Temperature	-29,106		None
504	GV-POS	Gradient2		18	None
504	GV-NEG	Gradient2		-13	None
505	TU-DIL	Temperature	42,544		None
505	TU-CON	Temperature	-29,106		None
505	GV-POS	Gradient2		18	None
505	GV-NEG	Gradient2		-13	None



506	TU-DIL	Temperature	42,544		None
506	TU-CON	Temperature	-29,106		None
506	GV-POS	Gradient2		18	None
506	GV-NEG	Gradient2		-13	None
507	TU-DIL	Temperature	42,544		None
507	TU-CON	Temperature	-29,106		None
507	GV-POS	Gradient2		18	None
507	GV-NEG	Gradient2		-13	None
508	TU-DIL	Temperature	42,544		None
508	TU-CON	Temperature	-29,106		None
508	GV-POS	Gradient2		18	None
508	GV-NEG	Gradient2		-13	None
509	TU-DIL	Temperature	42,544		None
509	TU-CON	Temperature	-29,106		None
509	GV-POS	Gradient2		18	None
509	GV-NEG	Gradient2		-13	None
510	TU-DIL	Temperature	42,544		None
510	TU-CON	Temperature	-29,106		None
510	GV-POS	Gradient2		18	None
510	GV-NEG	Gradient2		-13	None
511	TU-DIL	Temperature	42,544		None
511	TU-CON	Temperature	-29,106		None
511	GV-POS	Gradient2		18	None
511	GV-NEG	Gradient2		-13	None
512	TU-DIL	Temperature	42,544		None
512	TU-CON	Temperature	-29,106		None
512	GV-POS	Gradient2		18	None
512	GV-NEG	Gradient2		-13	None
513	TU-DIL	Temperature	42,544		None
513	TU-CON	Temperature	-29,106		None
514	TU-DIL	Temperature	42,544		None
514	TU-CON	Temperature	-29,106		None
514	GV-POS	Gradient2		18	None
514	GV-NEG	Gradient2		-13	None
515	TU-DIL	Temperature	42,544		None
515	TU-CON	Temperature	-29,106		None
515	GV-POS	Gradient2		18	None
515	GV-NEG	Gradient2		-13	None
516	TU-DIL	Temperature	42,544		None

516	TU-CON	Temperature	-29,106		None
516	GV-POS	Gradient2		18	None
516	GV-NEG	Gradient2		-13	None
517	TU-DIL	Temperature	42,544		None
517	TU-CON	Temperature	-29,106		None
517	GV-POS	Gradient2		18	None
517	GV-NEG	Gradient2		-13	None
518	TU-DIL	Temperature	42,544		None
518	TU-CON	Temperature	-29,106		None
518	GV-NEG	Gradient2		-13	None
519	TU-DIL	Temperature	42,544		None
519	TU-CON	Temperature	-29,106		None
519	GV-NEG	Gradient2		-13	None
520	TU-DIL	Temperature	42,544		None
520	TU-CON	Temperature	-29,106		None
520	GV-NEG	Gradient2		-13	None
521	TU-DIL	Temperature	42,544		None
521	TU-CON	Temperature	-29,106		None
521	GV-NEG	Gradient2		-13	None
522	TU-DIL	Temperature	42,544		None
522	TU-CON	Temperature	-29,106		None
522	GV-NEG	Gradient2		-13	None
523	TU-DIL	Temperature	42,544		None
523	TU-CON	Temperature	-29,106		None
523	GV-NEG	Gradient2		-13	None
524	TU-DIL	Temperature	42,544		None
524	TU-CON	Temperature	-29,106		None
524	GV-NEG	Gradient2		-13	None
525	TU-DIL	Temperature	42,544		None
525	TU-CON	Temperature	-29,106		None
526	TU-DIL	Temperature	42,544		None
526	TU-CON	Temperature	-29,106		None
526	GV-NEG	Gradient2		-13	None
527	TU-DIL	Temperature	42,544		None
527	TU-CON	Temperature	-29,106		None
527	GV-NEG	Gradient2		-13	None
528	TU-DIL	Temperature	42,544		None
528	TU-CON	Temperature	-29,106		None
528	GV-NEG	Gradient2		-13	None



529	TU-DIL	Temperature	42,544		None
529	TU-CON	Temperature	-29,106		None
529	GV-NEG	Gradient2		-13	None
530	TU-DIL	Temperature	42,544		None
530	TU-CON	Temperature	-29,106		None
530	GV-NEG	Gradient2		-13	None
531	TU-DIL	Temperature	42,544		None
531	TU-CON	Temperature	-29,106		None
531	GV-NEG	Gradient2		-13	None
532	TU-DIL	Temperature	42,544		None
532	TU-CON	Temperature	-29,106		None
532	GV-NEG	Gradient2		-13	None
533	TU-DIL	Temperature	42,544		None
533	TU-CON	Temperature	-29,106		None
533	GV-NEG	Gradient2		-13	None
534	TU-DIL	Temperature	42,544		None
534	TU-CON	Temperature	-29,106		None
534	GV-NEG	Gradient2		-13	None
535	TU-DIL	Temperature	42,544		None
535	TU-CON	Temperature	-29,106		None
535	GV-POS	Gradient2		18	None
535	GV-NEG	Gradient2		-13	None
536	TU-DIL	Temperature	42,544		None
536	TU-CON	Temperature	-29,106		None
536	GV-POS	Gradient2		18	None
536	GV-NEG	Gradient2		-13	None
537	TU-DIL	Temperature	42,544		None
537	TU-CON	Temperature	-29,106		None
537	GV-POS	Gradient2		18	None
537	GV-NEG	Gradient2		-13	None
538	TU-DIL	Temperature	42,544		None
538	TU-CON	Temperature	-29,106		None
538	GV-POS	Gradient2		18	None
538	GV-NEG	Gradient2		-13	None
539	TU-DIL	Temperature	42,544		None
539	TU-CON	Temperature	-29,106		None
539	GV-POS	Gradient2		18	None
539	GV-NEG	Gradient2		-13	None
540	TU-DIL	Temperature	42,544		None

540	TU-CON	Temperature	-29,106		None
540	GV-POS	Gradient2		18	None
540	GV-NEG	Gradient2		-13	None
541	TU-DIL	Temperature	42,544		None
541	TU-CON	Temperature	-29,106		None
541	GV-POS	Gradient2		18	None
541	GV-NEG	Gradient2		-13	None
542	TU-DIL	Temperature	42,544		None
542	TU-CON	Temperature	-29,106		None
542	GV-POS	Gradient2		18	None
542	GV-NEG	Gradient2		-13	None
543	TU-DIL	Temperature	42,544		None
543	TU-CON	Temperature	-29,106		None
543	GV-POS	Gradient2		18	None
543	GV-NEG	Gradient2		-13	None
544	TU-DIL	Temperature	42,544		None
544	TU-CON	Temperature	-29,106		None
544	GV-POS	Gradient2		18	None
544	GV-NEG	Gradient2		-13	None
545	TU-DIL	Temperature	42,544		None
545	TU-CON	Temperature	-29,106		None
545	GV-POS	Gradient2		18	None
545	GV-NEG	Gradient2		-13	None
546	TU-DIL	Temperature	42,544		None
546	TU-CON	Temperature	-29,106		None
546	GV-POS	Gradient2		18	None
546	GV-NEG	Gradient2		-13	None
547	TU-DIL	Temperature	42,544		None
547	TU-CON	Temperature	-29,106		None
547	GV-POS	Gradient2		18	None
547	GV-NEG	Gradient2		-13	None
548	TU-DIL	Temperature	42,544		None
548	TU-CON	Temperature	-29,106		None
548	GV-POS	Gradient2		18	None
548	GV-NEG	Gradient2		-13	None
549	TU-DIL	Temperature	42,544		None
549	TU-CON	Temperature	-29,106		None
549	GV-POS	Gradient2		18	None
549	GV-NEG	Gradient2		-13	None



550	TU-DIL	Temperature	42,544		None
550	TU-CON	Temperature	-29,106		None
550	GV-POS	Gradient2		18	None
550	GV-NEG	Gradient2		-13	None
551	TU-DIL	Temperature	42,544		None
551	TU-CON	Temperature	-29,106		None
551	GV-POS	Gradient2		18	None
551	GV-NEG	Gradient2		-13	None
552	TU-DIL	Temperature	42,544		None
552	TU-CON	Temperature	-29,106		None
552	GV-POS	Gradient2		18	None
552	GV-NEG	Gradient2		-13	None
553	TU-DIL	Temperature	42,544		None
553	TU-CON	Temperature	-29,106		None
553	GV-POS	Gradient2		18	None
553	GV-NEG	Gradient2		-13	None
554	TU-DIL	Temperature	42,544		None
554	TU-CON	Temperature	-29,106		None
554	GV-POS	Gradient2		18	None
554	GV-NEG	Gradient2		-13	None
555	TU-DIL	Temperature	42,544		None
555	TU-CON	Temperature	-29,106		None
555	GV-POS	Gradient2		18	None
555	GV-NEG	Gradient2		-13	None
556	TU-DIL	Temperature	42,544		None
556	TU-CON	Temperature	-29,106		None
556	GV-POS	Gradient2		18	None
556	GV-NEG	Gradient2		-13	None
557	TU-DIL	Temperature	42,544		None
557	TU-CON	Temperature	-29,106		None
557	GV-POS	Gradient2		18	None
557	GV-NEG	Gradient2		-13	None
558	TU-DIL	Temperature	42,544		None
558	TU-CON	Temperature	-29,106		None
558	GV-POS	Gradient2		18	None
558	GV-NEG	Gradient2		-13	None
559	TU-DIL	Temperature	42,544		None
559	TU-CON	Temperature	-29,106		None
559	GV-POS	Gradient2		18	None

559	GV-NEG	Gradient2		-13	None
560	TU-DIL	Temperature	42,544		None
560	TU-CON	Temperature	-29,106		None
560	GV-POS	Gradient2		18	None
560	GV-NEG	Gradient2		-13	None
561	TU-DIL	Temperature	42,544		None
561	TU-CON	Temperature	-29,106		None
561	GV-POS	Gradient2		18	None
561	GV-NEG	Gradient2		-13	None
562	TU-DIL	Temperature	42,544		None
562	TU-CON	Temperature	-29,106		None
562	GV-POS	Gradient2		18	None
562	GV-NEG	Gradient2		-13	None
563	TU-DIL	Temperature	42,544		None
563	TU-CON	Temperature	-29,106		None
563	GV-POS	Gradient2		18	None
563	GV-NEG	Gradient2		-13	None
564	TU-DIL	Temperature	42,544		None
564	TU-CON	Temperature	-29,106		None
564	GV-POS	Gradient2		18	None
564	GV-NEG	Gradient2		-13	None
565	TU-DIL	Temperature	42,544		None
565	TU-CON	Temperature	-29,106		None
565	GV-POS	Gradient2		18	None
565	GV-NEG	Gradient2		-13	None
566	TU-DIL	Temperature	42,544		None
566	TU-CON	Temperature	-29,106		None
566	GV-POS	Gradient2		18	None
566	GV-NEG	Gradient2		-13	None
567	TU-DIL	Temperature	42,544		None
567	TU-CON	Temperature	-29,106		None
567	GV-POS	Gradient2		18	None
567	GV-NEG	Gradient2		-13	None
568	TU-DIL	Temperature	42,544		None
568	TU-CON	Temperature	-29,106		None
568	GV-POS	Gradient2		18	None
568	GV-NEG	Gradient2		-13	None
570	TU-DIL	Temperature	42,544		None
570	TU-CON	Temperature	-29,106		None



571	TU-DIL	Temperature	42,544		None
571	TU-CON	Temperature	-29,106		None
572	TU-DIL	Temperature	42,544		None
572	TU-CON	Temperature	-29,106		None
573	TU-DIL	Temperature	42,544		None
573	TU-CON	Temperature	-29,106		None
574	TU-DIL	Temperature	42,544		None
574	TU-CON	Temperature	-29,106		None
602	TU-DIL	Temperature	42,544		None
602	TU-CON	Temperature	-29,106		None
603	TU-DIL	Temperature	42,544		None
603	TU-CON	Temperature	-29,106		None
604	TU-DIL	Temperature	42,544		None
604	TU-CON	Temperature	-29,106		None
605	TU-DIL	Temperature	42,544		None
605	TU-CON	Temperature	-29,106		None
606	TU-DIL	Temperature	42,544		None
606	TU-CON	Temperature	-29,106		None
608	TU-DIL	Temperature	42,544		None
608	TU-CON	Temperature	-29,106		None
609	TU-DIL	Temperature	42,544		None
609	TU-CON	Temperature	-29,106		None
610	TU-DIL	Temperature	42,544		None
610	TU-CON	Temperature	-29,106		None
611	TU-DIL	Temperature	42,544		None
611	TU-CON	Temperature	-29,106		None
612	TU-DIL	Temperature	42,544		None
612	TU-CON	Temperature	-29,106		None
613	TU-DIL	Temperature	42,544		None
613	TU-CON	Temperature	-29,106		None
615	TU-DIL	Temperature	42,544		None
615	TU-CON	Temperature	-29,106		None
618	TU-DIL	Temperature	42,544		None
618	TU-CON	Temperature	-29,106		None
618	GV-POS	Gradient2		18	None
618	GV-NEG	Gradient2		-13	None
622	TU-DIL	Temperature	42,544		None
622	TU-CON	Temperature	-29,106		None
622	GV-POS	Gradient2		18	None

622	GV-NEG	Gradient2		-13	None
627	TU-DIL	Temperature	42,544		None
627	TU-CON	Temperature	-29,106		None
627	GV-POS	Gradient2		18	None
627	GV-NEG	Gradient2		-13	None
629	TU-DIL	Temperature	42,544		None
629	TU-CON	Temperature	-29,106		None
629	GV-POS	Gradient2		18	None
629	GV-NEG	Gradient2		-13	None
630	TU-DIL	Temperature	42,544		None
630	TU-CON	Temperature	-29,106		None
630	GV-POS	Gradient2		18	None
630	GV-NEG	Gradient2		-13	None
631	TU-DIL	Temperature	42,544		None
631	TU-CON	Temperature	-29,106		None
631	GV-POS	Gradient2		18	None
631	GV-NEG	Gradient2		-13	None
632	TU-DIL	Temperature	42,544		None
632	TU-CON	Temperature	-29,106		None
632	GV-POS	Gradient2		18	None
632	GV-NEG	Gradient2		-13	None
633	TU-DIL	Temperature	42,544		None
633	TU-CON	Temperature	-29,106		None
633	GV-POS	Gradient2		18	None
633	GV-NEG	Gradient2		-13	None
634	TU-DIL	Temperature	42,544		None
634	TU-CON	Temperature	-29,106		None
634	GV-POS	Gradient2		18	None
634	GV-NEG	Gradient2		-13	None
635	TU-DIL	Temperature	42,544		None
635	TU-CON	Temperature	-29,106		None
635	GV-POS	Gradient2		18	None
635	GV-NEG	Gradient2		-13	None
636	TU-DIL	Temperature	42,544		None
636	TU-CON	Temperature	-29,106		None
636	GV-POS	Gradient2		18	None
636	GV-NEG	Gradient2		-13	None
637	TU-DIL	Temperature	42,544		None
637	TU-CON	Temperature	-29,106		None



637	GV-POS	Gradient2		18	None
637	GV-NEG	Gradient2		-13	None
638	TU-DIL	Temperature	42,544		None
638	TU-CON	Temperature	-29,106		None
638	GV-POS	Gradient2		18	None
638	GV-NEG	Gradient2		-13	None
639	TU-DIL	Temperature	42,544		None
639	TU-CON	Temperature	-29,106		None
639	GV-POS	Gradient2		18	None
639	GV-NEG	Gradient2		-13	None
640	TU-DIL	Temperature	42,544		None
640	TU-CON	Temperature	-29,106		None
640	GV-POS	Gradient2		18	None
640	GV-NEG	Gradient2		-13	None
641	TU-DIL	Temperature	42,544		None
641	TU-CON	Temperature	-29,106		None
641	GV-POS	Gradient2		18	None
641	GV-NEG	Gradient2		-13	None
642	TU-DIL	Temperature	42,544		None
642	TU-CON	Temperature	-29,106		None
642	GV-POS	Gradient2		18	None
642	GV-NEG	Gradient2		-13	None
643	TU-DIL	Temperature	42,544		None
643	TU-CON	Temperature	-29,106		None
643	GV-POS	Gradient2		18	None
643	GV-NEG	Gradient2		-13	None
644	TU-DIL	Temperature	42,544		None
644	TU-CON	Temperature	-29,106		None
644	GV-POS	Gradient2		18	None
644	GV-NEG	Gradient2		-13	None
645	TU-DIL	Temperature	42,544		None
645	TU-CON	Temperature	-29,106		None
645	GV-POS	Gradient2		18	None
645	GV-NEG	Gradient2		-13	None
646	TU-DIL	Temperature	42,544		None
646	TU-CON	Temperature	-29,106		None
646	GV-POS	Gradient2		18	None
646	GV-NEG	Gradient2		-13	None
647	TU-DIL	Temperature	42,544		None

647	TU-CON	Temperature	-29,106		None
647	GV-POS	Gradient2		18	None
647	GV-NEG	Gradient2		-13	None
648	TU-DIL	Temperature	42,544		None
648	TU-CON	Temperature	-29,106		None
648	GV-POS	Gradient2		18	None
648	GV-NEG	Gradient2		-13	None
649	TU-DIL	Temperature	42,544		None
649	TU-CON	Temperature	-29,106		None
649	GV-POS	Gradient2		18	None
649	GV-NEG	Gradient2		-13	None
650	TU-DIL	Temperature	42,544		None
650	TU-CON	Temperature	-29,106		None
650	GV-POS	Gradient2		18	None
650	GV-NEG	Gradient2		-13	None
651	TU-DIL	Temperature	42,544		None
651	TU-CON	Temperature	-29,106		None
651	GV-POS	Gradient2		18	None
651	GV-NEG	Gradient2		-13	None
652	TU-DIL	Temperature	42,544		None
652	TU-CON	Temperature	-29,106		None
652	GV-POS	Gradient2		18	None
652	GV-NEG	Gradient2		-13	None
653	TU-DIL	Temperature	42,544		None
653	TU-CON	Temperature	-29,106		None
653	GV-POS	Gradient2		18	None
653	GV-NEG	Gradient2		-13	None
655	TU-DIL	Temperature	42,544		None
655	TU-CON	Temperature	-29,106		None
655	GV-POS	Gradient2		18	None
655	GV-NEG	Gradient2		-13	None
656	TU-DIL	Temperature	42,544		None
656	TU-CON	Temperature	-29,106		None
656	GV-POS	Gradient2		18	None
656	GV-NEG	Gradient2		-13	None
657	TU-DIL	Temperature	42,544		None
657	TU-CON	Temperature	-29,106		None
657	GV-POS	Gradient2		18	None
657	GV-NEG	Gradient2		-13	None



658	TU-DIL	Temperature	42,544		None
658	TU-CON	Temperature	-29,106		None
658	GV-POS	Gradient2		18	None
658	GV-NEG	Gradient2		-13	None
659	TU-DIL	Temperature	42,544		None
659	TU-CON	Temperature	-29,106		None
659	GV-POS	Gradient2		18	None
659	GV-NEG	Gradient2		-13	None
660	TU-DIL	Temperature	42,544		None
660	TU-CON	Temperature	-29,106		None
660	GV-POS	Gradient2		18	None
660	GV-NEG	Gradient2		-13	None
661	TU-DIL	Temperature	42,544		None
661	TU-CON	Temperature	-29,106		None
661	GV-POS	Gradient2		18	None
661	GV-NEG	Gradient2		-13	None
663	TU-DIL	Temperature	42,544		None
663	TU-CON	Temperature	-29,106		None
663	GV-POS	Gradient2		18	None
663	GV-NEG	Gradient2		-13	None
664	TU-DIL	Temperature	42,544		None
664	TU-CON	Temperature	-29,106		None
664	GV-POS	Gradient2		18	None
664	GV-NEG	Gradient2		-13	None
665	TU-DIL	Temperature	42,544		None
665	TU-CON	Temperature	-29,106		None
665	GV-POS	Gradient2		18	None
665	GV-NEG	Gradient2		-13	None
666	TU-DIL	Temperature	42,544		None
666	TU-CON	Temperature	-29,106		None
666	GV-POS	Gradient2		18	None
666	GV-NEG	Gradient2		-13	None
667	TU-DIL	Temperature	42,544		None
667	TU-CON	Temperature	-29,106		None
667	GV-POS	Gradient2		18	None
667	GV-NEG	Gradient2		-13	None
668	TU-DIL	Temperature	42,544		None
668	TU-CON	Temperature	-29,106		None
668	GV-POS	Gradient2		18	None

668	GV-NEG	Gradient2		-13	None
669	TU-DIL	Temperature	42,544		None
669	TU-CON	Temperature	-29,106		None
669	GV-POS	Gradient2		18	None
669	GV-NEG	Gradient2		-13	None
672	TU-DIL	Temperature	42,544		None
672	TU-CON	Temperature	-29,106		None
672	GV-POS	Gradient2		18	None
672	GV-NEG	Gradient2		-13	None
676	TU-DIL	Temperature	42,544		None
676	TU-CON	Temperature	-29,106		None
676	GV-POS	Gradient2		18	None
676	GV-NEG	Gradient2		-13	None
682	TU-DIL	Temperature	42,544		None
682	TU-CON	Temperature	-29,106		None
682	GV-POS	Gradient2		18	None
682	GV-NEG	Gradient2		-13	None
683	TU-DIL	Temperature	42,544		None
683	TU-CON	Temperature	-29,106		None
683	GV-POS	Gradient2		18	None
683	GV-NEG	Gradient2		-13	None
684	TU-DIL	Temperature	42,544		None
684	TU-CON	Temperature	-29,106		None
684	GV-POS	Gradient2		18	None
684	GV-NEG	Gradient2		-13	None
685	TU-DIL	Temperature	42,544		None
685	TU-CON	Temperature	-29,106		None
685	GV-POS	Gradient2		18	None
685	GV-NEG	Gradient2		-13	None
686	TU-DIL	Temperature	42,544		None
686	TU-CON	Temperature	-29,106		None
686	GV-POS	Gradient2		18	None
686	GV-NEG	Gradient2		-13	None
687	TU-DIL	Temperature	42,544		None
687	TU-CON	Temperature	-29,106		None
687	GV-POS	Gradient2		18	None
687	GV-NEG	Gradient2		-13	None
688	TU-DIL	Temperature	42,544		None
688	TU-CON	Temperature	-29,106		None



688	GV-POS	Gradient2		18	None
688	GV-NEG	Gradient2		-13	None
689	TU-DIL	Temperature	42,544		None
689	TU-CON	Temperature	-29,106		None
689	GV-POS	Gradient2		18	None
689	GV-NEG	Gradient2		-13	None
690	TU-DIL	Temperature	42,544		None
690	TU-CON	Temperature	-29,106		None
690	GV-POS	Gradient2		18	None
690	GV-NEG	Gradient2		-13	None
691	TU-DIL	Temperature	42,544		None
691	TU-CON	Temperature	-29,106		None
691	GV-POS	Gradient2		18	None
691	GV-NEG	Gradient2		-13	None
692	TU-DIL	Temperature	42,544		None
692	TU-CON	Temperature	-29,106		None
692	GV-POS	Gradient2		18	None
692	GV-NEG	Gradient2		-13	None
693	TU-DIL	Temperature	42,544		None
693	TU-CON	Temperature	-29,106		None
693	GV-POS	Gradient2		18	None
693	GV-NEG	Gradient2		-13	None
694	TU-DIL	Temperature	42,544		None
694	TU-CON	Temperature	-29,106		None
694	GV-POS	Gradient2		18	None
694	GV-NEG	Gradient2		-13	None
695	TU-DIL	Temperature	42,544		None
695	TU-CON	Temperature	-29,106		None
695	GV-POS	Gradient2		18	None
695	GV-NEG	Gradient2		-13	None
696	TU-DIL	Temperature	42,544		None
696	TU-CON	Temperature	-29,106		None
696	GV-POS	Gradient2		18	None
696	GV-NEG	Gradient2		-13	None
697	TU-DIL	Temperature	42,544		None
697	TU-CON	Temperature	-29,106		None
697	GV-POS	Gradient2		18	None
697	GV-NEG	Gradient2		-13	None
698	TU-DIL	Temperature	42,544		None

698	TU-CON	Temperature	-29,106		None
698	GV-POS	Gradient2		18	None
698	GV-NEG	Gradient2		-13	None
699	TU-DIL	Temperature	42,544		None
699	TU-CON	Temperature	-29,106		None
699	GV-POS	Gradient2		18	None
699	GV-NEG	Gradient2		-13	None
700	TU-DIL	Temperature	42,544		None
700	TU-CON	Temperature	-29,106		None
700	GV-POS	Gradient2		18	None
700	GV-NEG	Gradient2		-13	None
701	TU-DIL	Temperature	42,544		None
701	TU-CON	Temperature	-29,106		None
701	GV-POS	Gradient2		18	None
701	GV-NEG	Gradient2		-13	None
702	TU-DIL	Temperature	42,544		None
702	TU-CON	Temperature	-29,106		None
702	GV-POS	Gradient2		18	None
702	GV-NEG	Gradient2		-13	None
703	TU-DIL	Temperature	42,544		None
703	TU-CON	Temperature	-29,106		None
703	GV-POS	Gradient2		18	None
703	GV-NEG	Gradient2		-13	None
704	TU-DIL	Temperature	42,544		None
704	TU-CON	Temperature	-29,106		None
704	GV-POS	Gradient2		18	None
704	GV-NEG	Gradient2		-13	None
705	TU-DIL	Temperature	42,544		None
705	TU-CON	Temperature	-29,106		None
705	GV-POS	Gradient2		18	None
705	GV-NEG	Gradient2		-13	None
706	TU-DIL	Temperature	42,544		None
706	TU-CON	Temperature	-29,106		None
706	GV-POS	Gradient2		18	None
706	GV-NEG	Gradient2		-13	None
707	TU-DIL	Temperature	42,544		None
707	TU-CON	Temperature	-29,106		None
707	GV-POS	Gradient2		18	None
707	GV-NEG	Gradient2		-13	None



708	TU-DIL	Temperature	42,544		None
708	TU-CON	Temperature	-29,106		None
708	GV-POS	Gradient2		18	None
708	GV-NEG	Gradient2		-13	None
709	TU-DIL	Temperature	42,544		None
709	TU-CON	Temperature	-29,106		None
709	GV-POS	Gradient2		18	None
709	GV-NEG	Gradient2		-13	None
710	TU-DIL	Temperature	42,544		None
710	TU-CON	Temperature	-29,106		None
710	GV-POS	Gradient2		18	None
710	GV-NEG	Gradient2		-13	None
712	TU-DIL	Temperature	42,544		None
712	TU-CON	Temperature	-29,106		None
712	GV-POS	Gradient2		18	None
712	GV-NEG	Gradient2		-13	None
713	TU-DIL	Temperature	42,544		None
713	TU-CON	Temperature	-29,106		None
713	GV-POS	Gradient2		18	None
713	GV-NEG	Gradient2		-13	None
714	TU-DIL	Temperature	42,544		None
714	TU-CON	Temperature	-29,106		None
714	GV-POS	Gradient2		18	None
714	GV-NEG	Gradient2		-13	None
715	TU-DIL	Temperature	42,544		None
715	TU-CON	Temperature	-29,106		None
715	GV-POS	Gradient2		18	None
715	GV-NEG	Gradient2		-13	None
716	TU-DIL	Temperature	42,544		None
716	TU-CON	Temperature	-29,106		None
716	GV-POS	Gradient2		18	None
716	GV-NEG	Gradient2		-13	None
717	TU-DIL	Temperature	42,544		None
717	TU-CON	Temperature	-29,106		None
717	GV-POS	Gradient2		18	None
717	GV-NEG	Gradient2		-13	None
718	TU-DIL	Temperature	42,544		None
718	TU-CON	Temperature	-29,106		None
718	GV-POS	Gradient2		18	None

718	GV-NEG	Gradient2		-13	None
719	TU-DIL	Temperature	42,544		None
719	TU-CON	Temperature	-29,106		None
719	GV-POS	Gradient2		18	None
719	GV-NEG	Gradient2		-13	None
720	TU-DIL	Temperature	42,544		None
720	TU-CON	Temperature	-29,106		None
720	GV-POS	Gradient2		18	None
720	GV-NEG	Gradient2		-13	None
721	TU-DIL	Temperature	42,544		None
721	TU-CON	Temperature	-29,106		None
721	GV-POS	Gradient2		18	None
721	GV-NEG	Gradient2		-13	None
722	TU-DIL	Temperature	42,544		None
722	TU-CON	Temperature	-29,106		None
722	GV-POS	Gradient2		18	None
722	GV-NEG	Gradient2		-13	None
724	TU-DIL	Temperature	42,544		None
724	TU-CON	Temperature	-29,106		None
724	GV-POS	Gradient2		18	None
724	GV-NEG	Gradient2		-13	None
725	TU-DIL	Temperature	42,544		None
725	TU-CON	Temperature	-29,106		None
725	GV-POS	Gradient2		18	None
725	GV-NEG	Gradient2		-13	None
726	TU-DIL	Temperature	42,544		None
726	TU-CON	Temperature	-29,106		None
726	GV-POS	Gradient2		18	None
726	GV-NEG	Gradient2		-13	None
727	TU-DIL	Temperature	42,544		None
727	TU-CON	Temperature	-29,106		None
727	GV-POS	Gradient2		18	None
727	GV-NEG	Gradient2		-13	None
728	TU-DIL	Temperature	42,544		None
728	TU-CON	Temperature	-29,106		None
728	GV-POS	Gradient2		18	None
728	GV-NEG	Gradient2		-13	None
729	TU-DIL	Temperature	42,544		None
729	TU-CON	Temperature	-29,106		None



729	GV-POS	Gradient2		18	None
729	GV-NEG	Gradient2		-13	None
730	TU-DIL	Temperature	42,544		None
730	TU-CON	Temperature	-29,106		None
730	GV-POS	Gradient2		18	None
730	GV-NEG	Gradient2		-13	None
731	TU-DIL	Temperature	42,544		None
731	TU-CON	Temperature	-29,106		None
731	GV-POS	Gradient2		18	None
731	GV-NEG	Gradient2		-13	None
732	TU-DIL	Temperature	42,544		None
732	TU-CON	Temperature	-29,106		None
732	GV-POS	Gradient2		18	None
732	GV-NEG	Gradient2		-13	None
733	TU-DIL	Temperature	42,544		None
733	TU-CON	Temperature	-29,106		None
733	GV-POS	Gradient2		18	None
733	GV-NEG	Gradient2		-13	None
734	TU-DIL	Temperature	42,544		None
734	TU-CON	Temperature	-29,106		None
734	GV-POS	Gradient2		18	None
734	GV-NEG	Gradient2		-13	None
735	TU-DIL	Temperature	42,544		None
735	TU-CON	Temperature	-29,106		None
736	TU-DIL	Temperature	42,544		None
736	TU-CON	Temperature	-29,106		None
737	TU-DIL	Temperature	42,544		None
737	TU-CON	Temperature	-29,106		None
738	TU-DIL	Temperature	42,544		None
738	TU-CON	Temperature	-29,106		None
742	TU-DIL	Temperature	42,544		None
742	TU-CON	Temperature	-29,106		None
743	TU-DIL	Temperature	42,544		None
743	TU-CON	Temperature	-29,106		None
743	GV-POS	Gradient2		18	None
743	GV-NEG	Gradient2		-13	None
744	TU-DIL	Temperature	42,544		None
744	TU-CON	Temperature	-29,106		None
744	GV-POS	Gradient2		18	None

744	GV-NEG	Gradient2		-13	None
745	TU-DIL	Temperature	42,544		None
745	TU-CON	Temperature	-29,106		None
745	GV-POS	Gradient2		18	None
745	GV-NEG	Gradient2		-13	None
746	TU-DIL	Temperature	42,544		None
746	TU-CON	Temperature	-29,106		None
746	GV-POS	Gradient2		18	None
746	GV-NEG	Gradient2		-13	None
747	TU-DIL	Temperature	42,544		None
747	TU-CON	Temperature	-29,106		None
747	GV-POS	Gradient2		18	None
747	GV-NEG	Gradient2		-13	None
748	TU-DIL	Temperature	42,544		None
748	TU-CON	Temperature	-29,106		None
748	GV-POS	Gradient2		18	None
748	GV-NEG	Gradient2		-13	None
749	TU-DIL	Temperature	42,544		None
749	TU-CON	Temperature	-29,106		None
749	GV-POS	Gradient2		18	None
749	GV-NEG	Gradient2		-13	None
750	TU-DIL	Temperature	42,544		None
750	TU-CON	Temperature	-29,106		None
750	GV-POS	Gradient2		18	None
750	GV-NEG	Gradient2		-13	None
751	TU-DIL	Temperature	42,544		None
751	TU-CON	Temperature	-29,106		None
751	GV-POS	Gradient2		18	None
751	GV-NEG	Gradient2		-13	None
752	TU-DIL	Temperature	42,544		None
752	TU-CON	Temperature	-29,106		None
752	GV-POS	Gradient2		18	None
752	GV-NEG	Gradient2		-13	None
753	TU-DIL	Temperature	42,544		None
753	TU-CON	Temperature	-29,106		None
753	GV-POS	Gradient2		18	None
753	GV-NEG	Gradient2		-13	None
755	TU-DIL	Temperature	42,544		None
755	TU-CON	Temperature	-29,106		None



755	GV-POS	Gradient2		18	None
755	GV-NEG	Gradient2		-13	None
756	TU-DIL	Temperature	42,544		None
756	TU-CON	Temperature	-29,106		None
756	GV-POS	Gradient2		18	None
756	GV-NEG	Gradient2		-13	None
757	TU-DIL	Temperature	42,544		None
757	TU-CON	Temperature	-29,106		None
757	GV-POS	Gradient2		18	None
757	GV-NEG	Gradient2		-13	None
758	TU-DIL	Temperature	42,544		None
758	TU-CON	Temperature	-29,106		None
758	GV-POS	Gradient2		18	None
758	GV-NEG	Gradient2		-13	None
759	TU-DIL	Temperature	42,544		None
759	TU-CON	Temperature	-29,106		None
759	GV-POS	Gradient2		18	None
759	GV-NEG	Gradient2		-13	None
760	TU-DIL	Temperature	42,544		None
760	TU-CON	Temperature	-29,106		None
760	GV-POS	Gradient2		18	None
760	GV-NEG	Gradient2		-13	None
761	TU-DIL	Temperature	42,544		None
761	TU-CON	Temperature	-29,106		None
761	GV-POS	Gradient2		18	None
761	GV-NEG	Gradient2		-13	None
762	TU-DIL	Temperature	42,544		None
762	TU-CON	Temperature	-29,106		None
762	GV-POS	Gradient2		18	None
762	GV-NEG	Gradient2		-13	None
763	TU-DIL	Temperature	42,544		None
763	TU-CON	Temperature	-29,106		None
763	GV-POS	Gradient2		18	None
763	GV-NEG	Gradient2		-13	None
764	TU-DIL	Temperature	42,544		None
764	TU-CON	Temperature	-29,106		None
764	GV-POS	Gradient2		18	None
764	GV-NEG	Gradient2		-13	None
765	TU-DIL	Temperature	42,544		None

765	TU-CON	Temperature	-29,106		None
765	GV-POS	Gradient2		18	None
765	GV-NEG	Gradient2		-13	None
767	TU-DIL	Temperature	42,544		None
767	TU-CON	Temperature	-29,106		None
767	GV-POS	Gradient2		18	None
767	GV-NEG	Gradient2		-13	None
768	TU-DIL	Temperature	42,544		None
768	TU-CON	Temperature	-29,106		None
768	GV-POS	Gradient2		18	None
768	GV-NEG	Gradient2		-13	None
769	TU-DIL	Temperature	42,544		None
769	TU-CON	Temperature	-29,106		None
769	GV-POS	Gradient2		18	None
769	GV-NEG	Gradient2		-13	None
770	TU-DIL	Temperature	42,544		None
770	TU-CON	Temperature	-29,106		None
770	GV-POS	Gradient2		18	None
770	GV-NEG	Gradient2		-13	None
771	TU-DIL	Temperature	42,544		None
771	TU-CON	Temperature	-29,106		None
771	GV-POS	Gradient2		18	None
771	GV-NEG	Gradient2		-13	None
772	TU-DIL	Temperature	42,544		None
772	TU-CON	Temperature	-29,106		None
772	GV-POS	Gradient2		18	None
772	GV-NEG	Gradient2		-13	None
773	TU-DIL	Temperature	42,544		None
773	TU-CON	Temperature	-29,106		None
773	GV-POS	Gradient2		18	None
773	GV-NEG	Gradient2		-13	None
774	TU-DIL	Temperature	42,544		None
774	TU-CON	Temperature	-29,106		None
774	GV-POS	Gradient2		18	None
774	GV-NEG	Gradient2		-13	None
775	TU-DIL	Temperature	42,544		None
775	TU-CON	Temperature	-29,106		None
775	GV-POS	Gradient2		18	None
775	GV-NEG	Gradient2		-13	None



776	TU-DIL	Temperature	42,544		None
776	TU-CON	Temperature	-29,106		None
776	GV-POS	Gradient2		18	None
776	GV-NEG	Gradient2		-13	None
777	TU-DIL	Temperature	42,544		None
777	TU-CON	Temperature	-29,106		None
777	GV-POS	Gradient2		18	None
777	GV-NEG	Gradient2		-13	None
778	TU-DIL	Temperature	42,544		None
778	TU-CON	Temperature	-29,106		None
778	GV-POS	Gradient2		18	None
778	GV-NEG	Gradient2		-13	None
779	TU-DIL	Temperature	42,544		None
779	TU-CON	Temperature	-29,106		None
779	GV-POS	Gradient2		18	None
779	GV-NEG	Gradient2		-13	None
780	TU-DIL	Temperature	42,544		None
780	TU-CON	Temperature	-29,106		None
780	GV-POS	Gradient2		18	None
780	GV-NEG	Gradient2		-13	None
781	TU-DIL	Temperature	42,544		None
781	TU-CON	Temperature	-29,106		None
781	GV-POS	Gradient2		18	None
781	GV-NEG	Gradient2		-13	None
782	TU-DIL	Temperature	42,544		None
782	TU-CON	Temperature	-29,106		None
782	GV-POS	Gradient2		18	None
782	GV-NEG	Gradient2		-13	None
783	TU-DIL	Temperature	42,544		None
783	TU-CON	Temperature	-29,106		None
783	GV-POS	Gradient2		18	None
783	GV-NEG	Gradient2		-13	None
784	TU-DIL	Temperature	42,544		None
784	TU-CON	Temperature	-29,106		None
784	GV-POS	Gradient2		18	None
784	GV-NEG	Gradient2		-13	None
785	TU-DIL	Temperature	42,544		None
785	TU-CON	Temperature	-29,106		None
785	GV-POS	Gradient2		18	None

785	GV-NEG	Gradient2		-13	None
786	TU-DIL	Temperature	42,544		None
786	TU-CON	Temperature	-29,106		None
786	GV-POS	Gradient2		18	None
786	GV-NEG	Gradient2		-13	None
787	TU-DIL	Temperature	42,544		None
787	TU-CON	Temperature	-29,106		None
787	GV-POS	Gradient2		18	None
787	GV-NEG	Gradient2		-13	None
788	TU-DIL	Temperature	42,544		None
788	TU-CON	Temperature	-29,106		None
788	GV-POS	Gradient2		18	None
788	GV-NEG	Gradient2		-13	None
790	TU-DIL	Temperature	42,544		None
790	TU-CON	Temperature	-29,106		None
790	GV-POS	Gradient2		18	None
790	GV-NEG	Gradient2		-13	None
791	TU-DIL	Temperature	42,544		None
791	TU-CON	Temperature	-29,106		None
791	GV-POS	Gradient2		18	None
791	GV-NEG	Gradient2		-13	None
792	TU-DIL	Temperature	42,544		None
792	TU-CON	Temperature	-29,106		None
792	GV-POS	Gradient2		18	None
792	GV-NEG	Gradient2		-13	None
793	TU-DIL	Temperature	42,544		None
793	TU-CON	Temperature	-29,106		None
793	GV-POS	Gradient2		18	None
793	GV-NEG	Gradient2		-13	None
794	TU-DIL	Temperature	42,544		None
794	TU-CON	Temperature	-29,106		None
794	GV-POS	Gradient2		18	None
794	GV-NEG	Gradient2		-13	None
795	TU-DIL	Temperature	42,544		None
795	TU-CON	Temperature	-29,106		None
795	GV-POS	Gradient2		18	None
795	GV-NEG	Gradient2		-13	None
796	TU-DIL	Temperature	42,544		None
796	TU-CON	Temperature	-29,106		None



796	GV-POS	Gradient2		18	None
796	GV-NEG	Gradient2		-13	None
797	TU-DIL	Temperature	42,544		None
797	TU-CON	Temperature	-29,106		None
797	GV-POS	Gradient2		18	None
797	GV-NEG	Gradient2		-13	None
798	TU-DIL	Temperature	42,544		None
798	TU-CON	Temperature	-29,106		None
798	GV-POS	Gradient2		18	None
798	GV-NEG	Gradient2		-13	None
799	TU-DIL	Temperature	42,544		None
799	TU-CON	Temperature	-29,106		None
799	GV-POS	Gradient2		18	None
799	GV-NEG	Gradient2		-13	None
800	TU-DIL	Temperature	42,544		None
800	TU-CON	Temperature	-29,106		None
800	GV-POS	Gradient2		18	None
800	GV-NEG	Gradient2		-13	None
802	TU-DIL	Temperature	42,544		None
802	TU-CON	Temperature	-29,106		None
802	GV-POS	Gradient2		18	None
802	GV-NEG	Gradient2		-13	None
803	TU-DIL	Temperature	42,544		None
803	TU-CON	Temperature	-29,106		None
803	GV-POS	Gradient2		18	None
803	GV-NEG	Gradient2		-13	None
804	TU-DIL	Temperature	42,544		None
804	TU-CON	Temperature	-29,106		None
804	GV-POS	Gradient2		18	None
804	GV-NEG	Gradient2		-13	None
805	TU-DIL	Temperature	42,544		None
805	TU-CON	Temperature	-29,106		None
805	GV-POS	Gradient2		18	None
805	GV-NEG	Gradient2		-13	None
806	TU-DIL	Temperature	42,544		None
806	TU-CON	Temperature	-29,106		None
806	GV-POS	Gradient2		18	None
806	GV-NEG	Gradient2		-13	None
807	TU-DIL	Temperature	42,544		None

807	TU-CON	Temperature	-29,106		None
807	GV-POS	Gradient2		18	None
807	GV-NEG	Gradient2		-13	None
808	TU-DIL	Temperature	42,544		None
808	TU-CON	Temperature	-29,106		None
808	GV-POS	Gradient2		18	None
808	GV-NEG	Gradient2		-13	None
809	TU-DIL	Temperature	42,544		None
809	TU-CON	Temperature	-29,106		None
809	GV-POS	Gradient2		18	None
809	GV-NEG	Gradient2		-13	None
810	TU-DIL	Temperature	42,544		None
810	TU-CON	Temperature	-29,106		None
810	GV-POS	Gradient2		18	None
810	GV-NEG	Gradient2		-13	None
811	TU-DIL	Temperature	42,544		None
811	TU-CON	Temperature	-29,106		None
811	GV-POS	Gradient2		18	None
811	GV-NEG	Gradient2		-13	None
812	TU-DIL	Temperature	42,544		None
812	TU-CON	Temperature	-29,106		None
812	GV-POS	Gradient2		18	None
812	GV-NEG	Gradient2		-13	None
820	TU-DIL	Temperature	42,544		None
820	TU-CON	Temperature	-29,106		None
820	GV-POS	Gradient2		18	None
820	GV-NEG	Gradient2		-13	None
821	TU-DIL	Temperature	42,544		None
821	TU-CON	Temperature	-29,106		None
821	GV-POS	Gradient2		18	None
821	GV-NEG	Gradient2		-13	None
822	TU-DIL	Temperature	42,544		None
822	TU-CON	Temperature	-29,106		None
822	GV-POS	Gradient2		18	None
822	GV-NEG	Gradient2		-13	None
823	TU-DIL	Temperature	42,544		None
823	TU-CON	Temperature	-29,106		None
823	GV-POS	Gradient2		18	None
823	GV-NEG	Gradient2		-13	None



824	TU-DIL	Temperature	42,544		None
824	TU-CON	Temperature	-29,106		None
824	GV-POS	Gradient2		18	None
824	GV-NEG	Gradient2		-13	None
825	TU-DIL	Temperature	42,544		None
825	TU-CON	Temperature	-29,106		None
825	GV-POS	Gradient2		18	None
825	GV-NEG	Gradient2		-13	None
826	TU-DIL	Temperature	42,544		None
826	TU-CON	Temperature	-29,106		None
826	GV-POS	Gradient2		18	None
826	GV-NEG	Gradient2		-13	None
827	TU-DIL	Temperature	42,544		None
827	TU-CON	Temperature	-29,106		None
827	GV-POS	Gradient2		18	None
827	GV-NEG	Gradient2		-13	None
828	TU-DIL	Temperature	42,544		None
828	TU-CON	Temperature	-29,106		None
828	GV-POS	Gradient2		18	None
828	GV-NEG	Gradient2		-13	None
830	TU-DIL	Temperature	42,544		None
830	TU-CON	Temperature	-29,106		None
830	GV-POS	Gradient2		18	None
830	GV-NEG	Gradient2		-13	None
831	TU-DIL	Temperature	42,544		None
831	TU-CON	Temperature	-29,106		None
831	GV-POS	Gradient2		18	None
831	GV-NEG	Gradient2		-13	None
832	TU-DIL	Temperature	42,544		None
832	TU-CON	Temperature	-29,106		None
832	GV-POS	Gradient2		18	None
832	GV-NEG	Gradient2		-13	None
833	TU-DIL	Temperature	42,544		None
833	TU-CON	Temperature	-29,106		None
833	GV-POS	Gradient2		18	None
833	GV-NEG	Gradient2		-13	None
834	TU-DIL	Temperature	42,544		None
834	TU-CON	Temperature	-29,106		None
834	GV-POS	Gradient2		18	None

834	GV-NEG	Gradient2		-13	None
835	TU-DIL	Temperature	42,544		None
835	TU-CON	Temperature	-29,106		None
835	GV-POS	Gradient2		18	None
835	GV-NEG	Gradient2		-13	None
836	TU-DIL	Temperature	42,544		None
836	TU-CON	Temperature	-29,106		None
836	GV-POS	Gradient2		18	None
836	GV-NEG	Gradient2		-13	None
837	TU-DIL	Temperature	42,544		None
837	TU-CON	Temperature	-29,106		None
837	GV-POS	Gradient2		18	None
837	GV-NEG	Gradient2		-13	None
838	TU-DIL	Temperature	42,544		None
838	TU-CON	Temperature	-29,106		None
838	GV-POS	Gradient2		18	None
838	GV-NEG	Gradient2		-13	None
839	TU-DIL	Temperature	42,544		None
839	TU-CON	Temperature	-29,106		None
839	GV-POS	Gradient2		18	None
839	GV-NEG	Gradient2		-13	None
840	TU-DIL	Temperature	42,544		None
840	TU-CON	Temperature	-29,106		None
840	GV-POS	Gradient2		18	None
840	GV-NEG	Gradient2		-13	None
841	TU-DIL	Temperature	42,544		None
841	TU-CON	Temperature	-29,106		None
841	GV-POS	Gradient2		18	None
841	GV-NEG	Gradient2		-13	None
842	TU-DIL	Temperature	42,544		None
842	TU-CON	Temperature	-29,106		None
842	GV-POS	Gradient2		18	None
842	GV-NEG	Gradient2		-13	None
843	TU-DIL	Temperature	42,544		None
843	TU-CON	Temperature	-29,106		None
843	GV-POS	Gradient2		18	None
843	GV-NEG	Gradient2		-13	None
844	TU-DIL	Temperature	42,544		None
844	TU-CON	Temperature	-29,106		None



844	GV-POS	Gradient2		18	None
844	GV-NEG	Gradient2		-13	None
845	TU-DIL	Temperature	42,544		None
845	TU-CON	Temperature	-29,106		None
845	GV-POS	Gradient2		18	None
845	GV-NEG	Gradient2		-13	None
846	TU-DIL	Temperature	42,544		None
846	TU-CON	Temperature	-29,106		None
846	GV-POS	Gradient2		18	None
846	GV-NEG	Gradient2		-13	None
848	TU-DIL	Temperature	42,544		None
848	TU-CON	Temperature	-29,106		None
848	GV-POS	Gradient2		18	None
848	GV-NEG	Gradient2		-13	None
849	TU-DIL	Temperature	42,544		None
849	TU-CON	Temperature	-29,106		None
849	GV-POS	Gradient2		18	None
849	GV-NEG	Gradient2		-13	None
850	TU-DIL	Temperature	42,544		None
850	TU-CON	Temperature	-29,106		None
850	GV-POS	Gradient2		18	None
850	GV-NEG	Gradient2		-13	None
851	TU-DIL	Temperature	42,544		None
851	TU-CON	Temperature	-29,106		None
851	GV-POS	Gradient2		18	None
851	GV-NEG	Gradient2		-13	None
852	TU-DIL	Temperature	42,544		None
852	TU-CON	Temperature	-29,106		None
852	GV-POS	Gradient2		18	None
852	GV-NEG	Gradient2		-13	None
853	TU-DIL	Temperature	42,544		None
853	TU-CON	Temperature	-29,106		None
853	GV-POS	Gradient2		18	None
853	GV-NEG	Gradient2		-13	None
854	TU-DIL	Temperature	42,544		None
854	TU-CON	Temperature	-29,106		None
854	GV-POS	Gradient2		18	None
854	GV-NEG	Gradient2		-13	None
855	TU-DIL	Temperature	42,544		None

855	TU-CON	Temperature	-29,106		None
855	GV-POS	Gradient2		18	None
855	GV-NEG	Gradient2		-13	None
857	TU-DIL	Temperature	42,544		None
857	TU-CON	Temperature	-29,106		None
857	GV-POS	Gradient2		18	None
857	GV-NEG	Gradient2		-13	None
858	TU-DIL	Temperature	42,544		None
858	TU-CON	Temperature	-29,106		None
858	GV-POS	Gradient2		18	None
858	GV-NEG	Gradient2		-13	None
859	TU-DIL	Temperature	42,544		None
859	TU-CON	Temperature	-29,106		None
859	GV-POS	Gradient2		18	None
859	GV-NEG	Gradient2		-13	None
860	TU-DIL	Temperature	42,544		None
860	TU-CON	Temperature	-29,106		None
860	GV-POS	Gradient2		18	None
860	GV-NEG	Gradient2		-13	None
861	TU-DIL	Temperature	42,544		None
861	TU-CON	Temperature	-29,106		None
861	GV-POS	Gradient2		18	None
861	GV-NEG	Gradient2		-13	None
862	TU-DIL	Temperature	42,544		None
862	TU-CON	Temperature	-29,106		None
862	GV-POS	Gradient2		18	None
862	GV-NEG	Gradient2		-13	None
863	TU-DIL	Temperature	42,544		None
863	TU-CON	Temperature	-29,106		None
863	GV-POS	Gradient2		18	None
863	GV-NEG	Gradient2		-13	None
864	TU-DIL	Temperature	42,544		None
864	TU-CON	Temperature	-29,106		None
864	GV-POS	Gradient2		18	None
864	GV-NEG	Gradient2		-13	None
865	TU-DIL	Temperature	42,544		None
865	TU-CON	Temperature	-29,106		None
865	GV-POS	Gradient2		18	None
865	GV-NEG	Gradient2		-13	None



867	TU-DIL	Temperature	42,544		None
867	TU-CON	Temperature	-29,106		None
867	GV-POS	Gradient2		18	None
867	GV-NEG	Gradient2		-13	None
868	TU-DIL	Temperature	42,544		None
868	TU-CON	Temperature	-29,106		None
868	GV-POS	Gradient2		18	None
868	GV-NEG	Gradient2		-13	None
869	TU-DIL	Temperature	42,544		None
869	TU-CON	Temperature	-29,106		None
869	GV-POS	Gradient2		18	None
869	GV-NEG	Gradient2		-13	None
870	TU-DIL	Temperature	42,544		None
870	TU-CON	Temperature	-29,106		None
870	GV-POS	Gradient2		18	None
870	GV-NEG	Gradient2		-13	None
871	TU-DIL	Temperature	42,544		None
871	TU-CON	Temperature	-29,106		None
871	GV-POS	Gradient2		18	None
871	GV-NEG	Gradient2		-13	None
872	TU-DIL	Temperature	42,544		None
872	TU-CON	Temperature	-29,106		None
872	GV-POS	Gradient2		18	None
872	GV-NEG	Gradient2		-13	None
873	TU-DIL	Temperature	42,544		None
873	TU-CON	Temperature	-29,106		None
873	GV-POS	Gradient2		18	None
873	GV-NEG	Gradient2		-13	None
874	TU-DIL	Temperature	42,544		None
874	TU-CON	Temperature	-29,106		None
874	GV-POS	Gradient2		18	None
874	GV-NEG	Gradient2		-13	None
876	TU-DIL	Temperature	42,544		None
876	TU-CON	Temperature	-29,106		None
876	GV-POS	Gradient2		18	None
876	GV-NEG	Gradient2		-13	None
877	TU-DIL	Temperature	42,544		None
877	TU-CON	Temperature	-29,106		None
877	GV-POS	Gradient2		18	None

877	GV-NEG	Gradient2		-13	None
878	TU-DIL	Temperature	42,544		None
878	TU-CON	Temperature	-29,106		None
878	GV-POS	Gradient2		18	None
878	GV-NEG	Gradient2		-13	None
879	TU-DIL	Temperature	42,544		None
879	TU-CON	Temperature	-29,106		None
879	GV-POS	Gradient2		18	None
879	GV-NEG	Gradient2		-13	None
880	TU-DIL	Temperature	42,544		None
880	TU-CON	Temperature	-29,106		None
880	GV-POS	Gradient2		18	None
880	GV-NEG	Gradient2		-13	None
881	TU-DIL	Temperature	42,544		None
881	TU-CON	Temperature	-29,106		None
881	GV-POS	Gradient2		18	None
881	GV-NEG	Gradient2		-13	None
882	TU-DIL	Temperature	42,544		None
882	TU-CON	Temperature	-29,106		None
882	GV-POS	Gradient2		18	None
882	GV-NEG	Gradient2		-13	None
883	TU-DIL	Temperature	42,544		None
883	TU-CON	Temperature	-29,106		None
883	GV-POS	Gradient2		18	None
883	GV-NEG	Gradient2		-13	None
884	TU-DIL	Temperature	42,544		None
884	TU-CON	Temperature	-29,106		None
884	GV-POS	Gradient2		18	None
884	GV-NEG	Gradient2		-13	None
885	TU-DIL	Temperature	42,544		None
885	TU-CON	Temperature	-29,106		None
885	GV-POS	Gradient2		18	None
885	GV-NEG	Gradient2		-13	None
886	TU-DIL	Temperature	42,544		None
886	TU-CON	Temperature	-29,106		None
886	GV-POS	Gradient2		18	None
886	GV-NEG	Gradient2		-13	None
887	TU-DIL	Temperature	42,544		None
887	TU-CON	Temperature	-29,106		None



887	GV-POS	Gradient2		18	None
887	GV-NEG	Gradient2		-13	None
888	TU-DIL	Temperature	42,544		None
888	TU-CON	Temperature	-29,106		None
888	GV-POS	Gradient2		18	None
888	GV-NEG	Gradient2		-13	None
889	TU-DIL	Temperature	42,544		None
889	TU-CON	Temperature	-29,106		None
889	GV-POS	Gradient2		18	None
889	GV-NEG	Gradient2		-13	None
890	TU-DIL	Temperature	42,544		None
890	TU-CON	Temperature	-29,106		None
890	GV-POS	Gradient2		18	None
890	GV-NEG	Gradient2		-13	None
891	TU-DIL	Temperature	42,544		None
891	TU-CON	Temperature	-29,106		None
891	GV-POS	Gradient2		18	None
891	GV-NEG	Gradient2		-13	None
892	TU-DIL	Temperature	42,544		None
892	TU-CON	Temperature	-29,106		None
892	GV-POS	Gradient2		18	None
892	GV-NEG	Gradient2		-13	None
893	TU-DIL	Temperature	42,544		None
893	TU-CON	Temperature	-29,106		None
893	GV-POS	Gradient2		18	None
893	GV-NEG	Gradient2		-13	None
894	TU-DIL	Temperature	42,544		None
894	TU-CON	Temperature	-29,106		None
894	GV-POS	Gradient2		18	None
894	GV-NEG	Gradient2		-13	None
895	TU-DIL	Temperature	42,544		None
895	TU-CON	Temperature	-29,106		None
895	GV-POS	Gradient2		18	None
895	GV-NEG	Gradient2		-13	None
896	TU-DIL	Temperature	42,544		None
896	TU-CON	Temperature	-29,106		None
896	GV-POS	Gradient2		18	None
896	GV-NEG	Gradient2		-13	None
897	TU-DIL	Temperature	42,544		None

897	TU-CON	Temperature	-29,106		None
897	GV-POS	Gradient2		18	None
897	GV-NEG	Gradient2		-13	None
898	TU-DIL	Temperature	42,544		None
898	TU-CON	Temperature	-29,106		None
898	GV-POS	Gradient2		18	None
898	GV-NEG	Gradient2		-13	None
899	TU-DIL	Temperature	42,544		None
899	TU-CON	Temperature	-29,106		None
899	GV-POS	Gradient2		18	None
899	GV-NEG	Gradient2		-13	None
900	TU-DIL	Temperature	42,544		None
900	TU-CON	Temperature	-29,106		None
900	GV-POS	Gradient2		18	None
900	GV-NEG	Gradient2		-13	None
901	TU-DIL	Temperature	42,544		None
901	TU-CON	Temperature	-29,106		None
901	GV-POS	Gradient2		18	None
901	GV-NEG	Gradient2		-13	None
902	TU-DIL	Temperature	42,544		None
902	TU-CON	Temperature	-29,106		None
902	GV-POS	Gradient2		18	None
902	GV-NEG	Gradient2		-13	None
903	TU-DIL	Temperature	42,544		None
903	TU-CON	Temperature	-29,106		None
903	GV-POS	Gradient2		18	None
903	GV-NEG	Gradient2		-13	None
904	TU-DIL	Temperature	42,544		None
904	TU-CON	Temperature	-29,106		None
904	GV-POS	Gradient2		18	None
904	GV-NEG	Gradient2		-13	None
905	TU-DIL	Temperature	42,544		None
905	TU-CON	Temperature	-29,106		None
905	GV-POS	Gradient2		18	None
905	GV-NEG	Gradient2		-13	None
906	TU-DIL	Temperature	42,544		None
906	TU-CON	Temperature	-29,106		None
906	GV-POS	Gradient2		18	None
906	GV-NEG	Gradient2		-13	None



907	TU-DIL	Temperature	42,544		None
907	TU-CON	Temperature	-29,106		None
907	GV-POS	Gradient2		18	None
907	GV-NEG	Gradient2		-13	None
908	TU-DIL	Temperature	42,544		None
908	TU-CON	Temperature	-29,106		None
908	GV-POS	Gradient2		18	None
908	GV-NEG	Gradient2		-13	None
909	TU-DIL	Temperature	42,544		None
909	TU-CON	Temperature	-29,106		None
909	GV-POS	Gradient2		18	None
909	GV-NEG	Gradient2		-13	None
910	TU-DIL	Temperature	42,544		None
910	TU-CON	Temperature	-29,106		None
910	GV-POS	Gradient2		18	None
910	GV-NEG	Gradient2		-13	None
912	TU-DIL	Temperature	42,544		None
912	TU-CON	Temperature	-29,106		None
912	GV-POS	Gradient2		18	None
912	GV-NEG	Gradient2		-13	None
913	TU-DIL	Temperature	42,544		None
913	TU-CON	Temperature	-29,106		None
913	GV-POS	Gradient2		18	None
913	GV-NEG	Gradient2		-13	None
914	TU-DIL	Temperature	42,544		None
914	TU-CON	Temperature	-29,106		None
914	GV-POS	Gradient2		18	None
914	GV-NEG	Gradient2		-13	None
915	TU-DIL	Temperature	42,544		None
915	TU-CON	Temperature	-29,106		None
915	GV-POS	Gradient2		18	None
915	GV-NEG	Gradient2		-13	None
916	TU-DIL	Temperature	42,544		None
916	TU-CON	Temperature	-29,106		None
916	GV-POS	Gradient2		18	None
916	GV-NEG	Gradient2		-13	None
917	TU-DIL	Temperature	42,544		None
917	TU-CON	Temperature	-29,106		None
917	GV-POS	Gradient2		18	None

917	GV-NEG	Gradient2		-13	None
918	TU-DIL	Temperature	42,544		None
918	TU-CON	Temperature	-29,106		None
918	GV-POS	Gradient2		18	None
918	GV-NEG	Gradient2		-13	None
919	TU-DIL	Temperature	42,544		None
919	TU-CON	Temperature	-29,106		None
919	GV-POS	Gradient2		18	None
919	GV-NEG	Gradient2		-13	None
921	TU-DIL	Temperature	42,544		None
921	TU-CON	Temperature	-29,106		None
921	GV-POS	Gradient2		18	None
921	GV-NEG	Gradient2		-13	None
922	TU-DIL	Temperature	42,544		None
922	TU-CON	Temperature	-29,106		None
922	GV-POS	Gradient2		18	None
922	GV-NEG	Gradient2		-13	None
923	TU-DIL	Temperature	42,544		None
923	TU-CON	Temperature	-29,106		None
923	GV-POS	Gradient2		18	None
923	GV-NEG	Gradient2		-13	None
924	TU-DIL	Temperature	42,544		None
924	TU-CON	Temperature	-29,106		None
924	GV-POS	Gradient2		18	None
924	GV-NEG	Gradient2		-13	None
925	TU-DIL	Temperature	42,544		None
925	TU-CON	Temperature	-29,106		None
925	GV-POS	Gradient2		18	None
925	GV-NEG	Gradient2		-13	None
926	TU-DIL	Temperature	42,544		None
926	TU-CON	Temperature	-29,106		None
926	GV-POS	Gradient2		18	None
926	GV-NEG	Gradient2		-13	None
927	TU-DIL	Temperature	42,544		None
927	TU-CON	Temperature	-29,106		None
927	GV-POS	Gradient2		18	None
927	GV-NEG	Gradient2		-13	None
928	TU-DIL	Temperature	42,544		None
928	TU-CON	Temperature	-29,106		None



928	GV-POS	Gradient2		18	None
928	GV-NEG	Gradient2		-13	None
929	TU-DIL	Temperature	42,544		None
929	TU-CON	Temperature	-29,106		None
929	GV-POS	Gradient2		18	None
929	GV-NEG	Gradient2		-13	None
931	TU-DIL	Temperature	42,544		None
931	TU-CON	Temperature	-29,106		None
931	GV-POS	Gradient2		18	None
931	GV-NEG	Gradient2		-13	None
932	TU-DIL	Temperature	42,544		None
932	TU-CON	Temperature	-29,106		None
932	GV-POS	Gradient2		18	None
932	GV-NEG	Gradient2		-13	None
933	TU-DIL	Temperature	42,544		None
933	TU-CON	Temperature	-29,106		None
933	GV-POS	Gradient2		18	None
933	GV-NEG	Gradient2		-13	None
934	TU-DIL	Temperature	42,544		None
934	TU-CON	Temperature	-29,106		None
934	GV-POS	Gradient2		18	None
934	GV-NEG	Gradient2		-13	None
935	TU-DIL	Temperature	42,544		None
935	TU-CON	Temperature	-29,106		None
935	GV-POS	Gradient2		18	None
935	GV-NEG	Gradient2		-13	None
936	TU-DIL	Temperature	42,544		None
936	TU-CON	Temperature	-29,106		None
936	GV-POS	Gradient2		18	None
936	GV-NEG	Gradient2		-13	None
937	TU-DIL	Temperature	42,544		None
937	TU-CON	Temperature	-29,106		None
937	GV-POS	Gradient2		18	None
937	GV-NEG	Gradient2		-13	None
938	TU-DIL	Temperature	42,544		None
938	TU-CON	Temperature	-29,106		None
938	GV-POS	Gradient2		18	None
938	GV-NEG	Gradient2		-13	None
940	TU-DIL	Temperature	42,544		None

940	TU-CON	Temperature	-29,106		None
940	GV-POS	Gradient2		18	None
940	GV-NEG	Gradient2		-13	None
941	TU-DIL	Temperature	42,544		None
941	TU-CON	Temperature	-29,106		None
941	GV-POS	Gradient2		18	None
941	GV-NEG	Gradient2		-13	None
942	TU-DIL	Temperature	42,544		None
942	TU-CON	Temperature	-29,106		None
942	GV-POS	Gradient2		18	None
942	GV-NEG	Gradient2		-13	None
943	TU-DIL	Temperature	42,544		None
943	TU-CON	Temperature	-29,106		None
943	GV-POS	Gradient2		18	None
943	GV-NEG	Gradient2		-13	None
944	TU-DIL	Temperature	42,544		None
944	TU-CON	Temperature	-29,106		None
944	GV-POS	Gradient2		18	None
944	GV-NEG	Gradient2		-13	None
945	TU-DIL	Temperature	42,544		None
945	TU-CON	Temperature	-29,106		None
945	GV-POS	Gradient2		18	None
945	GV-NEG	Gradient2		-13	None
946	TU-DIL	Temperature	42,544		None
946	TU-CON	Temperature	-29,106		None
946	GV-POS	Gradient2		18	None
946	GV-NEG	Gradient2		-13	None
947	TU-DIL	Temperature	42,544		None
947	TU-CON	Temperature	-29,106		None
947	GV-POS	Gradient2		18	None
947	GV-NEG	Gradient2		-13	None
948	TU-DIL	Temperature	42,544		None
948	TU-CON	Temperature	-29,106		None
948	GV-POS	Gradient2		18	None
948	GV-NEG	Gradient2		-13	None
949	TU-DIL	Temperature	42,544		None
949	TU-CON	Temperature	-29,106		None
949	GV-POS	Gradient2		18	None
949	GV-NEG	Gradient2		-13	None



951	TU-DIL	Temperature	42,544		None
951	TU-CON	Temperature	-29,106		None
951	GV-POS	Gradient2		18	None
951	GV-NEG	Gradient2		-13	None
952	TU-DIL	Temperature	42,544		None
952	TU-CON	Temperature	-29,106		None
952	GV-POS	Gradient2		18	None
952	GV-NEG	Gradient2		-13	None
953	TU-DIL	Temperature	42,544		None
953	TU-CON	Temperature	-29,106		None
953	GV-POS	Gradient2		18	None
953	GV-NEG	Gradient2		-13	None
954	TU-DIL	Temperature	42,544		None
954	TU-CON	Temperature	-29,106		None
954	GV-POS	Gradient2		18	None
954	GV-NEG	Gradient2		-13	None
955	TU-DIL	Temperature	42,544		None
955	TU-CON	Temperature	-29,106		None
955	GV-POS	Gradient2		18	None
955	GV-NEG	Gradient2		-13	None
956	TU-DIL	Temperature	42,544		None
956	TU-CON	Temperature	-29,106		None
956	GV-POS	Gradient2		18	None
956	GV-NEG	Gradient2		-13	None
957	TU-DIL	Temperature	42,544		None
957	TU-CON	Temperature	-29,106		None
957	GV-POS	Gradient2		18	None
957	GV-NEG	Gradient2		-13	None
958	TU-DIL	Temperature	42,544		None
958	TU-CON	Temperature	-29,106		None
958	GV-POS	Gradient2		18	None
958	GV-NEG	Gradient2		-13	None
959	TU-DIL	Temperature	42,544		None
959	TU-CON	Temperature	-29,106		None
959	GV-POS	Gradient2		18	None
959	GV-NEG	Gradient2		-13	None
960	TU-DIL	Temperature	42,544		None
960	TU-CON	Temperature	-29,106		None
960	GV-POS	Gradient2		18	None

960	GV-NEG	Gradient2		-13	None
961	TU-DIL	Temperature	42,544		None
961	TU-CON	Temperature	-29,106		None
961	GV-POS	Gradient2		18	None
961	GV-NEG	Gradient2		-13	None
962	TU-DIL	Temperature	42,544		None
962	TU-CON	Temperature	-29,106		None
962	GV-POS	Gradient2		18	None
962	GV-NEG	Gradient2		-13	None
963	TU-DIL	Temperature	42,544		None
963	TU-CON	Temperature	-29,106		None
963	GV-POS	Gradient2		18	None
963	GV-NEG	Gradient2		-13	None
964	TU-DIL	Temperature	42,544		None
964	TU-CON	Temperature	-29,106		None
964	GV-POS	Gradient2		18	None
964	GV-NEG	Gradient2		-13	None
965	TU-DIL	Temperature	42,544		None
965	TU-CON	Temperature	-29,106		None
965	GV-POS	Gradient2		18	None
965	GV-NEG	Gradient2		-13	None
966	TU-DIL	Temperature	42,544		None
966	TU-CON	Temperature	-29,106		None
966	GV-POS	Gradient2		18	None
966	GV-NEG	Gradient2		-13	None
967	TU-DIL	Temperature	42,544		None
967	TU-CON	Temperature	-29,106		None
967	GV-POS	Gradient2		18	None
967	GV-NEG	Gradient2		-13	None
968	TU-DIL	Temperature	42,544		None
968	TU-CON	Temperature	-29,106		None
968	GV-POS	Gradient2		18	None
968	GV-NEG	Gradient2		-13	None
969	TU-DIL	Temperature	42,544		None
969	TU-CON	Temperature	-29,106		None
969	GV-POS	Gradient2		18	None
969	GV-NEG	Gradient2		-13	None
970	TU-DIL	Temperature	42,544		None
970	TU-CON	Temperature	-29,106		None



970	GV-POS	Gradient2		18	None
970	GV-NEG	Gradient2		-13	None
971	TU-DIL	Temperature	42,544		None
971	TU-CON	Temperature	-29,106		None
971	GV-POS	Gradient2		18	None
971	GV-NEG	Gradient2		-13	None
972	TU-DIL	Temperature	42,544		None
972	TU-CON	Temperature	-29,106		None
972	GV-POS	Gradient2		18	None
972	GV-NEG	Gradient2		-13	None
973	TU-DIL	Temperature	42,544		None
973	TU-CON	Temperature	-29,106		None
973	GV-POS	Gradient2		18	None
973	GV-NEG	Gradient2		-13	None
974	TU-DIL	Temperature	42,544		None
974	TU-CON	Temperature	-29,106		None
974	GV-POS	Gradient2		18	None
974	GV-NEG	Gradient2		-13	None
975	TU-DIL	Temperature	42,544		None
975	TU-CON	Temperature	-29,106		None
975	GV-POS	Gradient2		18	None
975	GV-NEG	Gradient2		-13	None
976	TU-DIL	Temperature	42,544		None
976	TU-CON	Temperature	-29,106		None
976	GV-POS	Gradient2		18	None
976	GV-NEG	Gradient2		-13	None
977	TU-DIL	Temperature	42,544		None
977	TU-CON	Temperature	-29,106		None
977	GV-POS	Gradient2		18	None
977	GV-NEG	Gradient2		-13	None
978	TU-DIL	Temperature	42,544		None
978	TU-CON	Temperature	-29,106		None
978	GV-POS	Gradient2		18	None
978	GV-NEG	Gradient2		-13	None
979	TU-DIL	Temperature	42,544		None
979	TU-CON	Temperature	-29,106		None
979	GV-POS	Gradient2		18	None
979	GV-NEG	Gradient2		-13	None
980	TU-DIL	Temperature	42,544		None

980	TU-CON	Temperature	-29,106		None
980	GV-POS	Gradient2		18	None
980	GV-NEG	Gradient2		-13	None
981	TU-DIL	Temperature	42,544		None
981	TU-CON	Temperature	-29,106		None
981	GV-POS	Gradient2		18	None
981	GV-NEG	Gradient2		-13	None
982	TU-DIL	Temperature	42,544		None
982	TU-CON	Temperature	-29,106		None
982	GV-POS	Gradient2		18	None
982	GV-NEG	Gradient2		-13	None
983	TU-DIL	Temperature	42,544		None
983	TU-CON	Temperature	-29,106		None
983	GV-POS	Gradient2		18	None
983	GV-NEG	Gradient2		-13	None
984	TU-DIL	Temperature	42,544		None
984	TU-CON	Temperature	-29,106		None
984	GV-POS	Gradient2		18	None
984	GV-NEG	Gradient2		-13	None
985	TU-DIL	Temperature	42,544		None
985	TU-CON	Temperature	-29,106		None
985	GV-POS	Gradient2		18	None
985	GV-NEG	Gradient2		-13	None
986	TU-DIL	Temperature	42,544		None
986	TU-CON	Temperature	-29,106		None
986	GV-POS	Gradient2		18	None
986	GV-NEG	Gradient2		-13	None
987	TU-DIL	Temperature	42,544		None
987	TU-CON	Temperature	-29,106		None
987	GV-POS	Gradient2		18	None
987	GV-NEG	Gradient2		-13	None
988	TU-DIL	Temperature	42,544		None
988	TU-CON	Temperature	-29,106		None
988	GV-POS	Gradient2		18	None
988	GV-NEG	Gradient2		-13	None
989	TU-DIL	Temperature	42,544		None
989	TU-CON	Temperature	-29,106		None
989	GV-POS	Gradient2		18	None
989	GV-NEG	Gradient2		-13	None



990	TU-DIL	Temperature	42,544		None
990	TU-CON	Temperature	-29,106		None
990	GV-POS	Gradient2		18	None
990	GV-NEG	Gradient2		-13	None
991	TU-DIL	Temperature	42,544		None
991	TU-CON	Temperature	-29,106		None
991	GV-POS	Gradient2		18	None
991	GV-NEG	Gradient2		-13	None
992	TU-DIL	Temperature	42,544		None
992	TU-CON	Temperature	-29,106		None
992	GV-POS	Gradient2		18	None
992	GV-NEG	Gradient2		-13	None
993	TU-DIL	Temperature	42,544		None
993	TU-CON	Temperature	-29,106		None
993	GV-POS	Gradient2		18	None
993	GV-NEG	Gradient2		-13	None
994	TU-DIL	Temperature	42,544		None
994	TU-CON	Temperature	-29,106		None
994	GV-POS	Gradient2		18	None
994	GV-NEG	Gradient2		-13	None
995	TU-DIL	Temperature	42,544		None
995	TU-CON	Temperature	-29,106		None
995	GV-POS	Gradient2		18	None
995	GV-NEG	Gradient2		-13	None
996	TU-DIL	Temperature	42,544		None
996	TU-CON	Temperature	-29,106		None
996	GV-POS	Gradient2		18	None
996	GV-NEG	Gradient2		-13	None
997	TU-DIL	Temperature	42,544		None
997	TU-CON	Temperature	-29,106		None
997	GV-POS	Gradient2		18	None
997	GV-NEG	Gradient2		-13	None
998	TU-DIL	Temperature	42,544		None
998	TU-CON	Temperature	-29,106		None
998	GV-POS	Gradient2		18	None
998	GV-NEG	Gradient2		-13	None
999	TU-DIL	Temperature	42,544		None
999	TU-CON	Temperature	-29,106		None
999	GV-POS	Gradient2		18	None

999	GV-NEG	Gradient2		-13	None
1000	TU-DIL	Temperature	42,544		None
1000	TU-CON	Temperature	-29,106		None
1000	GV-POS	Gradient2		18	None
1000	GV-NEG	Gradient2		-13	None
1001	TU-DIL	Temperature	42,544		None
1001	TU-CON	Temperature	-29,106		None
1001	GV-POS	Gradient2		18	None
1001	GV-NEG	Gradient2		-13	None
1002	TU-DIL	Temperature	42,544		None
1002	TU-CON	Temperature	-29,106		None
1002	GV-POS	Gradient2		18	None
1002	GV-NEG	Gradient2		-13	None
1003	TU-DIL	Temperature	42,544		None
1003	TU-CON	Temperature	-29,106		None
1003	GV-POS	Gradient2		18	None
1003	GV-NEG	Gradient2		-13	None
1004	TU-DIL	Temperature	42,544		None
1004	TU-CON	Temperature	-29,106		None
1004	GV-POS	Gradient2		18	None
1004	GV-NEG	Gradient2		-13	None
1005	TU-DIL	Temperature	42,544		None
1005	TU-CON	Temperature	-29,106		None
1005	GV-POS	Gradient2		18	None
1005	GV-NEG	Gradient2		-13	None
1006	TU-DIL	Temperature	42,544		None
1006	TU-CON	Temperature	-29,106		None
1006	GV-POS	Gradient2		18	None
1006	GV-NEG	Gradient2		-13	None
1007	TU-DIL	Temperature	42,544		None
1007	TU-CON	Temperature	-29,106		None
1007	GV-POS	Gradient2		18	None
1007	GV-NEG	Gradient2		-13	None
1008	TU-DIL	Temperature	42,544		None
1008	TU-CON	Temperature	-29,106		None
1008	GV-POS	Gradient2		18	None
1008	GV-NEG	Gradient2		-13	None
1009	TU-DIL	Temperature	42,544		None
1009	TU-CON	Temperature	-29,106		None



1009	GV-POS	Gradient2		18	None
1009	GV-NEG	Gradient2		-13	None
1010	TU-DIL	Temperature	42,544		None
1010	TU-CON	Temperature	-29,106		None
1010	GV-POS	Gradient2		18	None
1010	GV-NEG	Gradient2		-13	None
1011	TU-DIL	Temperature	42,544		None
1011	TU-CON	Temperature	-29,106		None
1011	GV-POS	Gradient2		18	None
1011	GV-NEG	Gradient2		-13	None
1012	TU-DIL	Temperature	42,544		None
1012	TU-CON	Temperature	-29,106		None
1012	GV-POS	Gradient2		18	None
1012	GV-NEG	Gradient2		-13	None
1013	TU-DIL	Temperature	42,544		None
1013	TU-CON	Temperature	-29,106		None
1013	GV-POS	Gradient2		18	None
1013	GV-NEG	Gradient2		-13	None
1014	TU-DIL	Temperature	42,544		None
1014	TU-CON	Temperature	-29,106		None
1014	GV-POS	Gradient2		18	None
1014	GV-NEG	Gradient2		-13	None
1015	TU-DIL	Temperature	42,544		None
1015	TU-CON	Temperature	-29,106		None
1015	GV-POS	Gradient2		18	None
1015	GV-NEG	Gradient2		-13	None
1016	TU-DIL	Temperature	42,544		None
1016	TU-CON	Temperature	-29,106		None
1016	GV-POS	Gradient2		18	None
1016	GV-NEG	Gradient2		-13	None
1017	TU-DIL	Temperature	42,544		None
1017	TU-CON	Temperature	-29,106		None
1017	GV-POS	Gradient2		18	None
1017	GV-NEG	Gradient2		-13	None
1018	TU-DIL	Temperature	42,544		None
1018	TU-CON	Temperature	-29,106		None
1018	GV-POS	Gradient2		18	None
1018	GV-NEG	Gradient2		-13	None
1019	TU-DIL	Temperature	42,544		None

1019	TU-CON	Temperature	-29,106		None
1019	GV-POS	Gradient2		18	None
1019	GV-NEG	Gradient2		-13	None
1020	TU-DIL	Temperature	42,544		None
1020	TU-CON	Temperature	-29,106		None
1020	GV-POS	Gradient2		18	None
1020	GV-NEG	Gradient2		-13	None
1021	TU-DIL	Temperature	42,544		None
1021	TU-CON	Temperature	-29,106		None
1021	GV-POS	Gradient2		18	None
1021	GV-NEG	Gradient2		-13	None
1022	TU-DIL	Temperature	42,544		None
1022	TU-CON	Temperature	-29,106		None
1022	GV-POS	Gradient2		18	None
1022	GV-NEG	Gradient2		-13	None
1023	TU-DIL	Temperature	42,544		None
1023	TU-CON	Temperature	-29,106		None
1023	GV-POS	Gradient2		18	None
1023	GV-NEG	Gradient2		-13	None
1024	TU-DIL	Temperature	42,544		None
1024	TU-CON	Temperature	-29,106		None
1024	GV-POS	Gradient2		18	None
1024	GV-NEG	Gradient2		-13	None
1025	TU-DIL	Temperature	42,544		None
1025	TU-CON	Temperature	-29,106		None
1025	GV-POS	Gradient2		18	None
1025	GV-NEG	Gradient2		-13	None
1026	TU-DIL	Temperature	42,544		None
1026	TU-CON	Temperature	-29,106		None
1026	GV-POS	Gradient2		18	None
1026	GV-NEG	Gradient2		-13	None
1027	TU-DIL	Temperature	42,544		None
1027	TU-CON	Temperature	-29,106		None
1027	GV-POS	Gradient2		18	None
1027	GV-NEG	Gradient2		-13	None
1028	TU-DIL	Temperature	42,544		None
1028	TU-CON	Temperature	-29,106		None
1028	GV-POS	Gradient2		18	None
1028	GV-NEG	Gradient2		-13	None



1029	TU-DIL	Temperature	42,544		None
1029	TU-CON	Temperature	-29,106		None
1029	GV-POS	Gradient2		18	None
1029	GV-NEG	Gradient2		-13	None
1030	TU-DIL	Temperature	42,544		None
1030	TU-CON	Temperature	-29,106		None
1030	GV-POS	Gradient2		18	None
1030	GV-NEG	Gradient2		-13	None
1031	TU-DIL	Temperature	42,544		None
1031	TU-CON	Temperature	-29,106		None
1031	GV-POS	Gradient2		18	None
1031	GV-NEG	Gradient2		-13	None
1032	TU-DIL	Temperature	42,544		None
1032	TU-CON	Temperature	-29,106		None
1032	GV-POS	Gradient2		18	None
1032	GV-NEG	Gradient2		-13	None
1033	TU-DIL	Temperature	42,544		None
1033	TU-CON	Temperature	-29,106		None
1033	GV-POS	Gradient2		18	None
1033	GV-NEG	Gradient2		-13	None
1034	TU-DIL	Temperature	42,544		None
1034	TU-CON	Temperature	-29,106		None
1034	GV-POS	Gradient2		18	None
1034	GV-NEG	Gradient2		-13	None
1035	TU-DIL	Temperature	42,544		None
1035	TU-CON	Temperature	-29,106		None
1035	GV-POS	Gradient2		18	None
1035	GV-NEG	Gradient2		-13	None
1036	TU-DIL	Temperature	42,544		None
1036	TU-CON	Temperature	-29,106		None
1036	GV-POS	Gradient2		18	None
1036	GV-NEG	Gradient2		-13	None
1037	TU-DIL	Temperature	42,544		None
1037	TU-CON	Temperature	-29,106		None
1037	GV-POS	Gradient2		18	None
1037	GV-NEG	Gradient2		-13	None
1038	TU-DIL	Temperature	42,544		None
1038	TU-CON	Temperature	-29,106		None
1038	GV-POS	Gradient2		18	None

1038	GV-NEG	Gradient2		-13	None
1039	TU-DIL	Temperature	42,544		None
1039	TU-CON	Temperature	-29,106		None
1039	GV-POS	Gradient2		18	None
1039	GV-NEG	Gradient2		-13	None
1040	TU-DIL	Temperature	42,544		None
1040	TU-CON	Temperature	-29,106		None
1040	GV-POS	Gradient2		18	None
1040	GV-NEG	Gradient2		-13	None
1041	TU-DIL	Temperature	42,544		None
1041	TU-CON	Temperature	-29,106		None
1041	GV-POS	Gradient2		18	None
1041	GV-NEG	Gradient2		-13	None
1042	TU-DIL	Temperature	42,544		None
1042	TU-CON	Temperature	-29,106		None
1042	GV-POS	Gradient2		18	None
1042	GV-NEG	Gradient2		-13	None
1043	TU-DIL	Temperature	42,544		None
1043	TU-CON	Temperature	-29,106		None
1043	GV-POS	Gradient2		18	None
1043	GV-NEG	Gradient2		-13	None
1044	TU-DIL	Temperature	42,544		None
1044	TU-CON	Temperature	-29,106		None
1044	GV-POS	Gradient2		18	None
1044	GV-NEG	Gradient2		-13	None
1045	TU-DIL	Temperature	42,544		None
1045	TU-CON	Temperature	-29,106		None
1045	GV-POS	Gradient2		18	None
1045	GV-NEG	Gradient2		-13	None
1047	TU-DIL	Temperature	42,544		None
1047	TU-CON	Temperature	-29,106		None
1047	GV-POS	Gradient2		18	None
1047	GV-NEG	Gradient2		-13	None
1048	TU-DIL	Temperature	42,544		None
1048	TU-CON	Temperature	-29,106		None
1048	GV-POS	Gradient2		18	None
1048	GV-NEG	Gradient2		-13	None
1049	TU-DIL	Temperature	42,544		None
1049	TU-CON	Temperature	-29,106		None



1049	GV-POS	Gradient2		18	None
1049	GV-NEG	Gradient2		-13	None
1050	TU-DIL	Temperature	42,544		None
1050	TU-CON	Temperature	-29,106		None
1050	GV-POS	Gradient2		18	None
1050	GV-NEG	Gradient2		-13	None
1051	TU-DIL	Temperature	42,544		None
1051	TU-CON	Temperature	-29,106		None
1051	GV-POS	Gradient2		18	None
1051	GV-NEG	Gradient2		-13	None
1052	TU-DIL	Temperature	42,544		None
1052	TU-CON	Temperature	-29,106		None
1052	GV-POS	Gradient2		18	None
1052	GV-NEG	Gradient2		-13	None
1053	TU-DIL	Temperature	42,544		None
1053	TU-CON	Temperature	-29,106		None
1053	GV-POS	Gradient2		18	None
1053	GV-NEG	Gradient2		-13	None
1054	TU-DIL	Temperature	42,544		None
1054	TU-CON	Temperature	-29,106		None
1054	GV-POS	Gradient2		18	None
1054	GV-NEG	Gradient2		-13	None
1057	TU-DIL	Temperature	42,544		None
1057	TU-CON	Temperature	-29,106		None
1058	TU-DIL	Temperature	42,544		None
1058	TU-CON	Temperature	-29,106		None
1059	TU-DIL	Temperature	42,544		None
1059	TU-CON	Temperature	-29,106		None
1059	GV-POS	Gradient2		18	None
1059	GV-NEG	Gradient2		-13	None
1060	TU-DIL	Temperature	42,544		None
1060	TU-CON	Temperature	-29,106		None
1060	GV-POS	Gradient2		18	None
1060	GV-NEG	Gradient2		-13	None
1061	TU-DIL	Temperature	42,544		None
1061	TU-CON	Temperature	-29,106		None
1061	GV-POS	Gradient2		18	None
1061	GV-NEG	Gradient2		-13	None
1062	TU-DIL	Temperature	42,544		None

1062	TU-CON	Temperature	-29,106		None
1062	GV-POS	Gradient2		18	None
1062	GV-NEG	Gradient2		-13	None
1063	TU-DIL	Temperature	42,544		None
1063	TU-CON	Temperature	-29,106		None
1063	GV-POS	Gradient2		18	None
1063	GV-NEG	Gradient2		-13	None
1065	TU-DIL	Temperature	42,544		None
1065	TU-CON	Temperature	-29,106		None
1065	GV-POS	Gradient2		18	None
1065	GV-NEG	Gradient2		-13	None
1066	TU-DIL	Temperature	42,544		None
1066	TU-CON	Temperature	-29,106		None
1066	GV-POS	Gradient2		18	None
1066	GV-NEG	Gradient2		-13	None
1067	TU-DIL	Temperature	42,544		None
1067	TU-CON	Temperature	-29,106		None
1067	GV-POS	Gradient2		18	None
1067	GV-NEG	Gradient2		-13	None
1068	TU-DIL	Temperature	42,544		None
1068	TU-CON	Temperature	-29,106		None
1068	GV-POS	Gradient2		18	None
1068	GV-NEG	Gradient2		-13	None
1069	TU-DIL	Temperature	42,544		None
1069	TU-CON	Temperature	-29,106		None
1069	GV-POS	Gradient2		18	None
1069	GV-NEG	Gradient2		-13	None
1071	TU-DIL	Temperature	42,544		None
1071	TU-CON	Temperature	-29,106		None
1071	GV-POS	Gradient2		18	None
1071	GV-NEG	Gradient2		-13	None
1072	TU-DIL	Temperature	42,544		None
1072	TU-CON	Temperature	-29,106		None
1072	GV-POS	Gradient2		18	None
1072	GV-NEG	Gradient2		-13	None
1073	TU-DIL	Temperature	42,544		None
1073	TU-CON	Temperature	-29,106		None
1073	GV-POS	Gradient2		18	None
1073	GV-NEG	Gradient2		-13	None



1074	TU-DIL	Temperature	42,544		None
1074	TU-CON	Temperature	-29,106		None
1074	GV-POS	Gradient2		18	None
1074	GV-NEG	Gradient2		-13	None
1075	TU-DIL	Temperature	42,544		None
1075	TU-CON	Temperature	-29,106		None
1075	GV-POS	Gradient2		18	None
1075	GV-NEG	Gradient2		-13	None
1077	TU-DIL	Temperature	42,544		None
1077	TU-CON	Temperature	-29,106		None
1077	GV-POS	Gradient2		18	None
1077	GV-NEG	Gradient2		-13	None
1078	TU-DIL	Temperature	42,544		None
1078	TU-CON	Temperature	-29,106		None
1078	GV-POS	Gradient2		18	None
1078	GV-NEG	Gradient2		-13	None
1079	TU-DIL	Temperature	42,544		None
1079	TU-CON	Temperature	-29,106		None
1079	GV-POS	Gradient2		18	None
1079	GV-NEG	Gradient2		-13	None
1080	TU-DIL	Temperature	42,544		None
1080	TU-CON	Temperature	-29,106		None
1080	GV-POS	Gradient2		18	None
1080	GV-NEG	Gradient2		-13	None
1081	TU-DIL	Temperature	42,544		None
1081	TU-CON	Temperature	-29,106		None
1081	GV-POS	Gradient2		18	None
1081	GV-NEG	Gradient2		-13	None
1082	TU-DIL	Temperature	42,544		None
1082	TU-CON	Temperature	-29,106		None
1082	GV-POS	Gradient2		18	None
1082	GV-NEG	Gradient2		-13	None
1083	TU-DIL	Temperature	42,544		None
1083	TU-CON	Temperature	-29,106		None
1083	GV-POS	Gradient2		18	None
1083	GV-NEG	Gradient2		-13	None
1084	TU-DIL	Temperature	42,544		None
1084	TU-CON	Temperature	-29,106		None
1084	GV-POS	Gradient2		18	None

1084	GV-NEG	Gradient2		-13	None
1085	TU-DIL	Temperature	42,544		None
1085	TU-CON	Temperature	-29,106		None
1085	GV-POS	Gradient2		18	None
1085	GV-NEG	Gradient2		-13	None
1086	TU-DIL	Temperature	42,544		None
1086	TU-CON	Temperature	-29,106		None
1086	GV-POS	Gradient2		18	None
1086	GV-NEG	Gradient2		-13	None
1088	TU-DIL	Temperature	42,544		None
1088	TU-CON	Temperature	-29,106		None
1088	GV-POS	Gradient2		18	None
1088	GV-NEG	Gradient2		-13	None
1089	TU-DIL	Temperature	42,544		None
1089	TU-CON	Temperature	-29,106		None
1089	GV-POS	Gradient2		18	None
1089	GV-NEG	Gradient2		-13	None
1090	TU-DIL	Temperature	42,544		None
1090	TU-CON	Temperature	-29,106		None
1090	GV-POS	Gradient2		18	None
1090	GV-NEG	Gradient2		-13	None
1091	TU-DIL	Temperature	42,544		None
1091	TU-CON	Temperature	-29,106		None
1091	GV-POS	Gradient2		18	None
1091	GV-NEG	Gradient2		-13	None
1092	TU-DIL	Temperature	42,544		None
1092	TU-CON	Temperature	-29,106		None
1092	GV-POS	Gradient2		18	None
1092	GV-NEG	Gradient2		-13	None
1094	TU-DIL	Temperature	42,544		None
1094	TU-CON	Temperature	-29,106		None
1094	GV-POS	Gradient2		18	None
1094	GV-NEG	Gradient2		-13	None
1095	TU-DIL	Temperature	42,544		None
1095	TU-CON	Temperature	-29,106		None
1095	GV-POS	Gradient2		18	None
1095	GV-NEG	Gradient2		-13	None
1096	TU-DIL	Temperature	42,544		None
1096	TU-CON	Temperature	-29,106		None



1096	GV-POS	Gradient2		18	None
1096	GV-NEG	Gradient2		-13	None
1097	TU-DIL	Temperature	42,544		None
1097	TU-CON	Temperature	-29,106		None
1097	GV-POS	Gradient2		18	None
1097	GV-NEG	Gradient2		-13	None
1098	TU-DIL	Temperature	42,544		None
1098	TU-CON	Temperature	-29,106		None
1098	GV-POS	Gradient2		18	None
1098	GV-NEG	Gradient2		-13	None
1100	TU-DIL	Temperature	42,544		None
1100	TU-CON	Temperature	-29,106		None
1100	GV-POS	Gradient2		18	None
1100	GV-NEG	Gradient2		-13	None
1101	TU-DIL	Temperature	42,544		None
1101	TU-CON	Temperature	-29,106		None
1101	GV-POS	Gradient2		18	None
1101	GV-NEG	Gradient2		-13	None
1102	TU-DIL	Temperature	42,544		None
1102	TU-CON	Temperature	-29,106		None
1102	GV-POS	Gradient2		18	None
1102	GV-NEG	Gradient2		-13	None
1103	TU-DIL	Temperature	42,544		None
1103	TU-CON	Temperature	-29,106		None
1103	GV-POS	Gradient2		18	None
1103	GV-NEG	Gradient2		-13	None
1104	TU-DIL	Temperature	42,544		None
1104	TU-CON	Temperature	-29,106		None
1104	GV-POS	Gradient2		18	None
1104	GV-NEG	Gradient2		-13	None
1105	TU-DIL	Temperature	42,544		None
1105	TU-CON	Temperature	-29,106		None
1106	TU-DIL	Temperature	42,544		None
1106	TU-CON	Temperature	-29,106		None
1107	TU-DIL	Temperature	42,544		None
1107	TU-CON	Temperature	-29,106		None
1108	TU-DIL	Temperature	42,544		None
1108	TU-CON	Temperature	-29,106		None
1108	GV-POS	Gradient2		18	None

1108	GV-NEG	Gradient2		-13	None
1111	TU-DIL	Temperature	42,544		None
1111	TU-CON	Temperature	-29,106		None
1111	GV-POS	Gradient2		18	None
1111	GV-NEG	Gradient2		-13	None
1112	TU-DIL	Temperature	42,544		None
1112	TU-CON	Temperature	-29,106		None
1112	GV-POS	Gradient2		18	None
1112	GV-NEG	Gradient2		-13	None
1113	TU-DIL	Temperature	42,544		None
1113	TU-CON	Temperature	-29,106		None
1113	GV-POS	Gradient2		18	None
1113	GV-NEG	Gradient2		-13	None
1114	TU-DIL	Temperature	42,544		None
1114	TU-CON	Temperature	-29,106		None
1114	GV-POS	Gradient2		18	None
1114	GV-NEG	Gradient2		-13	None
1115	TU-DIL	Temperature	42,544		None
1115	TU-CON	Temperature	-29,106		None
1115	GV-POS	Gradient2		18	None
1115	GV-NEG	Gradient2		-13	None
1116	TU-DIL	Temperature	42,544		None
1116	TU-CON	Temperature	-29,106		None
1116	GV-POS	Gradient2		18	None
1116	GV-NEG	Gradient2		-13	None
1117	TU-DIL	Temperature	42,544		None
1117	TU-CON	Temperature	-29,106		None
1117	GV-POS	Gradient2		18	None
1117	GV-NEG	Gradient2		-13	None
1118	TU-DIL	Temperature	42,544		None
1118	TU-CON	Temperature	-29,106		None
1118	GV-POS	Gradient2		18	None
1118	GV-NEG	Gradient2		-13	None
1119	TU-DIL	Temperature	42,544		None
1119	TU-CON	Temperature	-29,106		None
1119	GV-POS	Gradient2		18	None
1119	GV-NEG	Gradient2		-13	None
1120	TU-DIL	Temperature	42,544		None
1120	TU-CON	Temperature	-29,106		None



1120	GV-POS	Gradient2		18	None
1120	GV-NEG	Gradient2		-13	None
1121	TU-DIL	Temperature	42,544		None
1121	TU-CON	Temperature	-29,106		None
1121	GV-POS	Gradient2		18	None
1121	GV-NEG	Gradient2		-13	None
1122	TU-DIL	Temperature	42,544		None
1122	TU-CON	Temperature	-29,106		None
1122	GV-POS	Gradient2		18	None
1122	GV-NEG	Gradient2		-13	None
1123	TU-DIL	Temperature	42,544		None
1123	TU-CON	Temperature	-29,106		None
1123	GV-POS	Gradient2		18	None
1123	GV-NEG	Gradient2		-13	None
1124	TU-DIL	Temperature	42,544		None
1124	TU-CON	Temperature	-29,106		None
1124	GV-POS	Gradient2		18	None
1124	GV-NEG	Gradient2		-13	None
1128	TU-DIL	Temperature	42,544		None
1128	TU-CON	Temperature	-29,106		None
1128	GV-POS	Gradient2		18	None
1128	GV-NEG	Gradient2		-13	None
1129	TU-DIL	Temperature	42,544		None
1129	TU-CON	Temperature	-29,106		None
1129	GV-POS	Gradient2		18	None
1129	GV-NEG	Gradient2		-13	None
1130	TU-DIL	Temperature	42,544		None
1130	TU-CON	Temperature	-29,106		None
1130	GV-POS	Gradient2		18	None
1130	GV-NEG	Gradient2		-13	None
1131	TU-DIL	Temperature	42,544		None
1131	TU-CON	Temperature	-29,106		None
1131	GV-POS	Gradient2		18	None
1131	GV-NEG	Gradient2		-13	None
1132	TU-DIL	Temperature	42,544		None
1132	TU-CON	Temperature	-29,106		None
1134	TU-DIL	Temperature	42,544		None
1134	TU-CON	Temperature	-29,106		None
1134	GV-POS	Gradient2		18	None

1134	GV-NEG	Gradient2		-13	None
1136	TU-DIL	Temperature	42,544		None
1136	TU-CON	Temperature	-29,106		None
1136	GV-POS	Gradient2		18	None
1136	GV-NEG	Gradient2		-13	None
1137	TU-DIL	Temperature	42,544		None
1137	TU-CON	Temperature	-29,106		None
1137	GV-POS	Gradient2		18	None
1137	GV-NEG	Gradient2		-13	None
1138	TU-DIL	Temperature	42,544		None
1138	TU-CON	Temperature	-29,106		None
1138	GV-POS	Gradient2		18	None
1138	GV-NEG	Gradient2		-13	None
1139	TU-DIL	Temperature	42,544		None
1139	TU-CON	Temperature	-29,106		None
1139	GV-POS	Gradient2		18	None
1139	GV-NEG	Gradient2		-13	None
1140	TU-DIL	Temperature	42,544		None
1140	TU-CON	Temperature	-29,106		None
1140	GV-POS	Gradient2		18	None
1140	GV-NEG	Gradient2		-13	None
1141	TU-DIL	Temperature	42,544		None
1141	TU-CON	Temperature	-29,106		None
1141	GV-POS	Gradient2		18	None
1141	GV-NEG	Gradient2		-13	None
1142	TU-DIL	Temperature	42,544		None
1142	TU-CON	Temperature	-29,106		None
1142	GV-POS	Gradient2		18	None
1142	GV-NEG	Gradient2		-13	None
1143	TU-DIL	Temperature	42,544		None
1143	TU-CON	Temperature	-29,106		None
1143	GV-POS	Gradient2		18	None
1143	GV-NEG	Gradient2		-13	None
1144	TU-DIL	Temperature	42,544		None
1144	TU-CON	Temperature	-29,106		None
1144	GV-POS	Gradient2		18	None
1144	GV-NEG	Gradient2		-13	None
1145	TU-DIL	Temperature	42,544		None
1145	TU-CON	Temperature	-29,106		None



1145	GV-POS	Gradient2		18	None
1145	GV-NEG	Gradient2		-13	None
1146	TU-DIL	Temperature	42,544		None
1146	TU-CON	Temperature	-29,106		None
1146	GV-POS	Gradient2		18	None
1146	GV-NEG	Gradient2		-13	None
1147	TU-DIL	Temperature	42,544		None
1147	TU-CON	Temperature	-29,106		None
1147	GV-POS	Gradient2		18	None
1147	GV-NEG	Gradient2		-13	None
1148	TU-DIL	Temperature	42,544		None
1148	TU-CON	Temperature	-29,106		None
1148	GV-POS	Gradient2		18	None
1148	GV-NEG	Gradient2		-13	None
1149	TU-DIL	Temperature	42,544		None
1149	TU-CON	Temperature	-29,106		None
1149	GV-POS	Gradient2		18	None
1149	GV-NEG	Gradient2		-13	None
1150	TU-DIL	Temperature	42,544		None
1150	TU-CON	Temperature	-29,106		None
1150	GV-POS	Gradient2		18	None
1150	GV-NEG	Gradient2		-13	None
1151	TU-DIL	Temperature	42,544		None
1151	TU-CON	Temperature	-29,106		None
1151	GV-POS	Gradient2		18	None
1151	GV-NEG	Gradient2		-13	None
1152	TU-DIL	Temperature	42,544		None
1152	TU-CON	Temperature	-29,106		None
1152	GV-POS	Gradient2		18	None
1152	GV-NEG	Gradient2		-13	None
1153	TU-DIL	Temperature	42,544		None
1153	TU-CON	Temperature	-29,106		None
1153	GV-POS	Gradient2		18	None
1153	GV-NEG	Gradient2		-13	None
1154	TU-DIL	Temperature	42,544		None
1154	TU-CON	Temperature	-29,106		None
1154	GV-POS	Gradient2		18	None
1154	GV-NEG	Gradient2		-13	None
1201	TU-DIL	Temperature	42,544		None

1201	TU-CON	Temperature	-29,106		None
1201	GV-POS	Gradient2		18	None
1201	GV-NEG	Gradient2		-13	None
1202	TU-DIL	Temperature	42,544		None
1202	TU-CON	Temperature	-29,106		None
1202	GV-POS	Gradient2		18	None
1202	GV-NEG	Gradient2		-13	None
1203	TU-DIL	Temperature	42,544		None
1203	TU-CON	Temperature	-29,106		None
1203	GV-POS	Gradient2		18	None
1203	GV-NEG	Gradient2		-13	None
1204	TU-DIL	Temperature	42,544		None
1204	TU-CON	Temperature	-29,106		None
1204	GV-POS	Gradient2		18	None
1204	GV-NEG	Gradient2		-13	None
1206	TU-DIL	Temperature	42,544		None
1206	TU-CON	Temperature	-29,106		None
1206	GV-POS	Gradient2		18	None
1206	GV-NEG	Gradient2		-13	None
1207	TU-DIL	Temperature	42,544		None
1207	TU-CON	Temperature	-29,106		None
1208	TU-DIL	Temperature	42,544		None
1208	TU-CON	Temperature	-29,106		None
1208	GV-POS	Gradient2		18	None
1208	GV-NEG	Gradient2		-13	None
1209	TU-DIL	Temperature	42,544		None
1209	TU-CON	Temperature	-29,106		None
1209	GV-POS	Gradient2		18	None
1209	GV-NEG	Gradient2		-13	None
1210	TU-DIL	Temperature	42,544		None
1210	TU-CON	Temperature	-29,106		None
1210	GV-POS	Gradient2		18	None
1210	GV-NEG	Gradient2		-13	None
1211	TU-DIL	Temperature	42,544		None
1211	TU-CON	Temperature	-29,106		None
1211	GV-POS	Gradient2		18	None
1211	GV-NEG	Gradient2		-13	None
1212	TU-DIL	Temperature	42,544		None
1212	TU-CON	Temperature	-29,106		None



1212	GV-POS	Gradient2		18	None
1212	GV-NEG	Gradient2		-13	None
1213	TU-DIL	Temperature	42,544		None
1213	TU-CON	Temperature	-29,106		None
1213	GV-POS	Gradient2		18	None
1213	GV-NEG	Gradient2		-13	None
1214	TU-DIL	Temperature	42,544		None
1214	TU-CON	Temperature	-29,106		None
1214	GV-POS	Gradient2		18	None
1214	GV-NEG	Gradient2		-13	None
1215	TU-DIL	Temperature	42,544		None
1215	TU-CON	Temperature	-29,106		None
1215	GV-POS	Gradient2		18	None
1215	GV-NEG	Gradient2		-13	None
1216	TU-DIL	Temperature	42,544		None
1216	TU-CON	Temperature	-29,106		None
1216	GV-POS	Gradient2		18	None
1216	GV-NEG	Gradient2		-13	None
1217	TU-DIL	Temperature	42,544		None
1217	TU-CON	Temperature	-29,106		None
1218	TU-DIL	Temperature	42,544		None
1218	TU-CON	Temperature	-29,106		None
1219	TU-DIL	Temperature	42,544		None
1219	TU-CON	Temperature	-29,106		None
1220	TU-DIL	Temperature	42,544		None
1220	TU-CON	Temperature	-29,106		None
1221	TU-DIL	Temperature	42,544		None
1221	TU-CON	Temperature	-29,106		None
1221	GV-POS	Gradient2		18	None
1221	GV-NEG	Gradient2		-13	None
1222	TU-DIL	Temperature	42,544		None
1222	TU-CON	Temperature	-29,106		None
1222	GV-POS	Gradient2		18	None
1222	GV-NEG	Gradient2		-13	None
1223	TU-DIL	Temperature	42,544		None
1223	TU-CON	Temperature	-29,106		None
1223	GV-POS	Gradient2		18	None
1223	GV-NEG	Gradient2		-13	None
1224	TU-DIL	Temperature	42,544		None

1224	TU-CON	Temperature	-29,106		None
1224	GV-POS	Gradient2		18	None
1224	GV-NEG	Gradient2		-13	None
1225	TU-DIL	Temperature	42,544		None
1225	TU-CON	Temperature	-29,106		None
1225	GV-POS	Gradient2		18	None
1225	GV-NEG	Gradient2		-13	None
1226	TU-DIL	Temperature	42,544		None
1226	TU-CON	Temperature	-29,106		None
1226	GV-POS	Gradient2		18	None
1226	GV-NEG	Gradient2		-13	None
1227	TU-DIL	Temperature	42,544		None
1227	TU-CON	Temperature	-29,106		None
1227	GV-POS	Gradient2		18	None
1227	GV-NEG	Gradient2		-13	None
1228	TU-DIL	Temperature	42,544		None
1228	TU-CON	Temperature	-29,106		None
1228	GV-POS	Gradient2		18	None
1228	GV-NEG	Gradient2		-13	None
1229	TU-DIL	Temperature	42,544		None
1229	TU-CON	Temperature	-29,106		None
1229	GV-POS	Gradient2		18	None
1229	GV-NEG	Gradient2		-13	None
1230	TU-DIL	Temperature	42,544		None
1230	TU-CON	Temperature	-29,106		None
1230	GV-POS	Gradient2		18	None
1230	GV-NEG	Gradient2		-13	None
1231	TU-DIL	Temperature	42,544		None
1231	TU-CON	Temperature	-29,106		None
1231	GV-POS	Gradient2		18	None
1231	GV-NEG	Gradient2		-13	None
1232	TU-DIL	Temperature	42,544		None
1232	TU-CON	Temperature	-29,106		None
1232	GV-POS	Gradient2		18	None
1232	GV-NEG	Gradient2		-13	None
1233	TU-DIL	Temperature	42,544		None
1233	TU-CON	Temperature	-29,106		None
1233	GV-POS	Gradient2		18	None
1233	GV-NEG	Gradient2		-13	None



1234	TU-DIL	Temperature	42,544		None
1234	TU-CON	Temperature	-29,106		None
1234	GV-POS	Gradient2		18	None
1234	GV-NEG	Gradient2		-13	None
1235	TU-DIL	Temperature	42,544		None
1235	TU-CON	Temperature	-29,106		None
1235	GV-POS	Gradient2		18	None
1235	GV-NEG	Gradient2		-13	None
1236	TU-DIL	Temperature	42,544		None
1236	TU-CON	Temperature	-29,106		None
1236	GV-POS	Gradient2		18	None
1236	GV-NEG	Gradient2		-13	None
1237	TU-DIL	Temperature	42,544		None
1237	TU-CON	Temperature	-29,106		None
1237	GV-POS	Gradient2		18	None
1237	GV-NEG	Gradient2		-13	None
1238	TU-DIL	Temperature	42,544		None
1238	TU-CON	Temperature	-29,106		None
1238	GV-POS	Gradient2		18	None
1238	GV-NEG	Gradient2		-13	None
1239	TU-DIL	Temperature	42,544		None
1239	TU-CON	Temperature	-29,106		None
1239	GV-POS	Gradient2		18	None
1239	GV-NEG	Gradient2		-13	None
1240	TU-DIL	Temperature	42,544		None
1240	TU-CON	Temperature	-29,106		None
1240	GV-POS	Gradient2		18	None
1240	GV-NEG	Gradient2		-13	None
1241	TU-DIL	Temperature	42,544		None
1241	TU-CON	Temperature	-29,106		None
1241	GV-POS	Gradient2		18	None
1241	GV-NEG	Gradient2		-13	None
1242	TU-DIL	Temperature	42,544		None
1242	TU-CON	Temperature	-29,106		None
1242	GV-POS	Gradient2		18	None
1242	GV-NEG	Gradient2		-13	None
1243	TU-DIL	Temperature	42,544		None
1243	TU-CON	Temperature	-29,106		None
1243	GV-POS	Gradient2		18	None

1243	GV-NEG	Gradient2		-13	None
1244	TU-DIL	Temperature	42,544		None
1244	TU-CON	Temperature	-29,106		None
1244	GV-POS	Gradient2		18	None
1244	GV-NEG	Gradient2		-13	None
1245	TU-DIL	Temperature	42,544		None
1245	TU-CON	Temperature	-29,106		None
1245	GV-POS	Gradient2		18	None
1245	GV-NEG	Gradient2		-13	None
1246	TU-DIL	Temperature	42,544		None
1246	TU-CON	Temperature	-29,106		None
1246	GV-POS	Gradient2		18	None
1246	GV-NEG	Gradient2		-13	None
1247	TU-DIL	Temperature	42,544		None
1247	TU-CON	Temperature	-29,106		None
1247	GV-POS	Gradient2		18	None
1247	GV-NEG	Gradient2		-13	None
1248	TU-DIL	Temperature	42,544		None
1248	TU-CON	Temperature	-29,106		None
1248	GV-POS	Gradient2		18	None
1248	GV-NEG	Gradient2		-13	None
1249	TU-DIL	Temperature	42,544		None
1249	TU-CON	Temperature	-29,106		None
1249	GV-POS	Gradient2		18	None
1249	GV-NEG	Gradient2		-13	None
1250	TU-DIL	Temperature	42,544		None
1250	TU-CON	Temperature	-29,106		None
1250	GV-POS	Gradient2		18	None
1250	GV-NEG	Gradient2		-13	None
1251	TU-DIL	Temperature	42,544		None
1251	TU-CON	Temperature	-29,106		None
1251	GV-POS	Gradient2		18	None
1251	GV-NEG	Gradient2		-13	None
1252	TU-DIL	Temperature	42,544		None
1252	TU-CON	Temperature	-29,106		None
1252	GV-POS	Gradient2		18	None
1252	GV-NEG	Gradient2		-13	None
1253	TU-DIL	Temperature	42,544		None
1253	TU-CON	Temperature	-29,106		None



1253	GV-POS	Gradient2		18	None
1253	GV-NEG	Gradient2		-13	None
1254	TU-DIL	Temperature	42,544		None
1254	TU-CON	Temperature	-29,106		None
1254	GV-POS	Gradient2		18	None
1254	GV-NEG	Gradient2		-13	None
1255	TU-DIL	Temperature	42,544		None
1255	TU-CON	Temperature	-29,106		None
1255	GV-NEG	Gradient2		-13	None
1256	TU-DIL	Temperature	42,544		None
1256	TU-CON	Temperature	-29,106		None
1256	GV-NEG	Gradient2		-13	None
1257	TU-DIL	Temperature	42,544		None
1257	TU-CON	Temperature	-29,106		None
1257	GV-POS	Gradient2		18	None
1257	GV-NEG	Gradient2		-13	None
1258	TU-DIL	Temperature	42,544		None
1258	TU-CON	Temperature	-29,106		None
1258	GV-POS	Gradient2		18	None
1258	GV-NEG	Gradient2		-13	None
1259	TU-DIL	Temperature	42,544		None
1259	TU-CON	Temperature	-29,106		None
1259	GV-POS	Gradient2		18	None
1259	GV-NEG	Gradient2		-13	None
1260	TU-DIL	Temperature	42,544		None
1260	TU-CON	Temperature	-29,106		None
1260	GV-POS	Gradient2		18	None
1260	GV-NEG	Gradient2		-13	None
1261	TU-DIL	Temperature	42,544		None
1261	TU-CON	Temperature	-29,106		None
1261	GV-POS	Gradient2		18	None
1261	GV-NEG	Gradient2		-13	None
1262	TU-DIL	Temperature	42,544		None
1262	TU-CON	Temperature	-29,106		None
1262	GV-POS	Gradient2		18	None
1262	GV-NEG	Gradient2		-13	None
1263	TU-DIL	Temperature	42,544		None
1263	TU-CON	Temperature	-29,106		None
1263	GV-POS	Gradient2		18	None

1263	GV-NEG	Gradient2		-13	None
1264	TU-DIL	Temperature	42,544		None
1264	TU-CON	Temperature	-29,106		None
1264	GV-POS	Gradient2		18	None
1264	GV-NEG	Gradient2		-13	None
1265	TU-DIL	Temperature	42,544		None
1265	TU-CON	Temperature	-29,106		None
1265	GV-POS	Gradient2		18	None
1265	GV-NEG	Gradient2		-13	None
1266	TU-DIL	Temperature	42,544		None
1266	TU-CON	Temperature	-29,106		None
1266	GV-POS	Gradient2		18	None
1266	GV-NEG	Gradient2		-13	None
1267	TU-DIL	Temperature	42,544		None
1267	TU-CON	Temperature	-29,106		None
1267	GV-POS	Gradient2		18	None
1267	GV-NEG	Gradient2		-13	None
1268	TU-DIL	Temperature	42,544		None
1268	TU-CON	Temperature	-29,106		None
1268	GV-POS	Gradient2		18	None
1268	GV-NEG	Gradient2		-13	None
1269	TU-DIL	Temperature	42,544		None
1269	TU-CON	Temperature	-29,106		None
1269	GV-POS	Gradient2		18	None
1269	GV-NEG	Gradient2		-13	None
1270	TU-DIL	Temperature	42,544		None
1270	TU-CON	Temperature	-29,106		None
1270	GV-POS	Gradient2		18	None
1270	GV-NEG	Gradient2		-13	None
1271	TU-DIL	Temperature	42,544		None
1271	TU-CON	Temperature	-29,106		None
1271	GV-POS	Gradient2		18	None
1271	GV-NEG	Gradient2		-13	None
1272	TU-DIL	Temperature	42,544		None
1272	TU-CON	Temperature	-29,106		None
1272	GV-POS	Gradient2		18	None
1272	GV-NEG	Gradient2		-13	None
1273	TU-DIL	Temperature	42,544		None
1273	TU-CON	Temperature	-29,106		None



1273	GV-POS	Gradient2		18	None
1273	GV-NEG	Gradient2		-13	None
1274	TU-DIL	Temperature	42,544		None
1274	TU-CON	Temperature	-29,106		None
1274	GV-POS	Gradient2		18	None
1274	GV-NEG	Gradient2		-13	None
1275	TU-DIL	Temperature	42,544		None
1275	TU-CON	Temperature	-29,106		None
1275	GV-POS	Gradient2		18	None
1275	GV-NEG	Gradient2		-13	None
1276	TU-DIL	Temperature	42,544		None
1276	TU-CON	Temperature	-29,106		None
1276	GV-POS	Gradient2		18	None
1276	GV-NEG	Gradient2		-13	None
1277	TU-DIL	Temperature	42,544		None
1277	TU-CON	Temperature	-29,106		None
1277	GV-POS	Gradient2		18	None
1277	GV-NEG	Gradient2		-13	None
1278	TU-DIL	Temperature	42,544		None
1278	TU-CON	Temperature	-29,106		None
1278	GV-POS	Gradient2		18	None
1278	GV-NEG	Gradient2		-13	None
1279	TU-DIL	Temperature	42,544		None
1279	TU-CON	Temperature	-29,106		None
1279	GV-POS	Gradient2		18	None
1279	GV-NEG	Gradient2		-13	None
1280	TU-DIL	Temperature	42,544		None
1280	TU-CON	Temperature	-29,106		None
1280	GV-POS	Gradient2		18	None
1280	GV-NEG	Gradient2		-13	None
1281	TU-DIL	Temperature	42,544		None
1281	TU-CON	Temperature	-29,106		None
1281	GV-POS	Gradient2		18	None
1281	GV-NEG	Gradient2		-13	None
1282	TU-DIL	Temperature	42,544		None
1282	TU-CON	Temperature	-29,106		None
1282	GV-POS	Gradient2		18	None
1282	GV-NEG	Gradient2		-13	None
1283	TU-DIL	Temperature	42,544		None

1283	TU-CON	Temperature	-29,106		None
1283	GV-POS	Gradient2		18	None
1283	GV-NEG	Gradient2		-13	None
1284	TU-DIL	Temperature	42,544		None
1284	TU-CON	Temperature	-29,106		None
1284	GV-POS	Gradient2		18	None
1284	GV-NEG	Gradient2		-13	None
1285	TU-DIL	Temperature	42,544		None
1285	TU-CON	Temperature	-29,106		None
1285	GV-POS	Gradient2		18	None
1285	GV-NEG	Gradient2		-13	None
1286	TU-DIL	Temperature	42,544		None
1286	TU-CON	Temperature	-29,106		None
1286	GV-POS	Gradient2		18	None
1286	GV-NEG	Gradient2		-13	None
1287	TU-DIL	Temperature	42,544		None
1287	TU-CON	Temperature	-29,106		None
1287	GV-POS	Gradient2		18	None
1287	GV-NEG	Gradient2		-13	None
1288	TU-DIL	Temperature	42,544		None
1288	TU-CON	Temperature	-29,106		None
1288	GV-POS	Gradient2		18	None
1288	GV-NEG	Gradient2		-13	None
1289	TU-DIL	Temperature	42,544		None
1289	TU-CON	Temperature	-29,106		None
1289	GV-POS	Gradient2		18	None
1289	GV-NEG	Gradient2		-13	None
1290	TU-DIL	Temperature	42,544		None
1290	TU-CON	Temperature	-29,106		None
1290	GV-POS	Gradient2		18	None
1290	GV-NEG	Gradient2		-13	None
1291	TU-DIL	Temperature	42,544		None
1291	TU-CON	Temperature	-29,106		None
1291	GV-POS	Gradient2		18	None
1291	GV-NEG	Gradient2		-13	None
1292	TU-DIL	Temperature	42,544		None
1292	TU-CON	Temperature	-29,106		None
1292	GV-POS	Gradient2		18	None
1292	GV-NEG	Gradient2		-13	None



1293	TU-DIL	Temperature	42,544		None
1293	TU-CON	Temperature	-29,106		None
1293	GV-POS	Gradient2		18	None
1293	GV-NEG	Gradient2		-13	None
1294	TU-DIL	Temperature	42,544		None
1294	TU-CON	Temperature	-29,106		None
1294	GV-POS	Gradient2		18	None
1294	GV-NEG	Gradient2		-13	None
1295	TU-DIL	Temperature	42,544		None
1295	TU-CON	Temperature	-29,106		None
1295	GV-POS	Gradient2		18	None
1295	GV-NEG	Gradient2		-13	None
1296	TU-DIL	Temperature	42,544		None
1296	TU-CON	Temperature	-29,106		None
1296	GV-POS	Gradient2		18	None
1296	GV-NEG	Gradient2		-13	None
1297	TU-DIL	Temperature	42,544		None
1297	TU-CON	Temperature	-29,106		None
1297	GV-POS	Gradient2		18	None
1297	GV-NEG	Gradient2		-13	None
1298	TU-DIL	Temperature	42,544		None
1298	TU-CON	Temperature	-29,106		None
1298	GV-POS	Gradient2		18	None
1298	GV-NEG	Gradient2		-13	None
1299	TU-DIL	Temperature	42,544		None
1299	TU-CON	Temperature	-29,106		None
1299	GV-POS	Gradient2		18	None
1299	GV-NEG	Gradient2		-13	None
1300	TU-DIL	Temperature	42,544		None
1300	TU-CON	Temperature	-29,106		None
1300	GV-POS	Gradient2		18	None
1300	GV-NEG	Gradient2		-13	None
1301	TU-DIL	Temperature	42,544		None
1301	TU-CON	Temperature	-29,106		None
1301	GV-POS	Gradient2		18	None
1301	GV-NEG	Gradient2		-13	None
1302	TU-DIL	Temperature	42,544		None
1302	TU-CON	Temperature	-29,106		None
1302	GV-POS	Gradient2		18	None

1302	GV-NEG	Gradient2		-13	None
1303	TU-DIL	Temperature	42,544		None
1303	TU-CON	Temperature	-29,106		None
1303	GV-POS	Gradient2		18	None
1303	GV-NEG	Gradient2		-13	None
1304	TU-DIL	Temperature	42,544		None
1304	TU-CON	Temperature	-29,106		None
1304	GV-POS	Gradient2		18	None
1304	GV-NEG	Gradient2		-13	None
1305	TU-DIL	Temperature	42,544		None
1305	TU-CON	Temperature	-29,106		None
1305	GV-POS	Gradient2		18	None
1305	GV-NEG	Gradient2		-13	None
1306	TU-DIL	Temperature	42,544		None
1306	TU-CON	Temperature	-29,106		None
1306	GV-POS	Gradient2		18	None
1306	GV-NEG	Gradient2		-13	None
1307	TU-DIL	Temperature	42,544		None
1307	TU-CON	Temperature	-29,106		None
1307	GV-POS	Gradient2		18	None
1307	GV-NEG	Gradient2		-13	None
1308	TU-DIL	Temperature	42,544		None
1308	TU-CON	Temperature	-29,106		None
1308	GV-POS	Gradient2		18	None
1308	GV-NEG	Gradient2		-13	None
1309	TU-DIL	Temperature	42,544		None
1309	TU-CON	Temperature	-29,106		None
1309	GV-POS	Gradient2		18	None
1309	GV-NEG	Gradient2		-13	None
1310	TU-DIL	Temperature	42,544		None
1310	TU-CON	Temperature	-29,106		None
1310	GV-POS	Gradient2		18	None
1310	GV-NEG	Gradient2		-13	None
1311	TU-DIL	Temperature	42,544		None
1311	TU-CON	Temperature	-29,106		None
1312	TU-DIL	Temperature	42,544		None
1312	TU-CON	Temperature	-29,106		None
1313	TU-DIL	Temperature	42,544		None
1313	TU-CON	Temperature	-29,106		None



1313	GV-POS	Gradient2		18	None
1313	GV-NEG	Gradient2		-13	None
1314	TU-DIL	Temperature	42,544		None
1314	TU-CON	Temperature	-29,106		None
1314	GV-POS	Gradient2		18	None
1314	GV-NEG	Gradient2		-13	None
1315	TU-DIL	Temperature	42,544		None
1315	TU-CON	Temperature	-29,106		None
1315	GV-POS	Gradient2		18	None
1315	GV-NEG	Gradient2		-13	None
1316	TU-DIL	Temperature	42,544		None
1316	TU-CON	Temperature	-29,106		None
1316	GV-POS	Gradient2		18	None
1316	GV-NEG	Gradient2		-13	None
1317	TU-DIL	Temperature	42,544		None
1317	TU-CON	Temperature	-29,106		None
1317	GV-POS	Gradient2		18	None
1317	GV-NEG	Gradient2		-13	None
1318	TU-DIL	Temperature	42,544		None
1318	TU-CON	Temperature	-29,106		None
1318	GV-POS	Gradient2		18	None
1318	GV-NEG	Gradient2		-13	None
1319	TU-DIL	Temperature	42,544		None
1319	TU-CON	Temperature	-29,106		None
1319	GV-POS	Gradient2		18	None
1319	GV-NEG	Gradient2		-13	None
1320	TU-DIL	Temperature	42,544		None
1320	TU-CON	Temperature	-29,106		None
1320	GV-POS	Gradient2		18	None
1320	GV-NEG	Gradient2		-13	None
1321	TU-DIL	Temperature	42,544		None
1321	TU-CON	Temperature	-29,106		None
1321	GV-POS	Gradient2		18	None
1321	GV-NEG	Gradient2		-13	None
1322	TU-DIL	Temperature	42,544		None
1322	TU-CON	Temperature	-29,106		None
1322	GV-POS	Gradient2		18	None
1322	GV-NEG	Gradient2		-13	None
1323	TU-DIL	Temperature	42,544		None

1323	TU-CON	Temperature	-29,106		None
1323	GV-POS	Gradient2		18	None
1323	GV-NEG	Gradient2		-13	None
1324	TU-DIL	Temperature	42,544		None
1324	TU-CON	Temperature	-29,106		None
1324	GV-POS	Gradient2		18	None
1324	GV-NEG	Gradient2		-13	None
1325	TU-DIL	Temperature	42,544		None
1325	TU-CON	Temperature	-29,106		None
1325	GV-POS	Gradient2		18	None
1325	GV-NEG	Gradient2		-13	None
1326	TU-DIL	Temperature	42,544		None
1326	TU-CON	Temperature	-29,106		None
1326	GV-POS	Gradient2		18	None
1326	GV-NEG	Gradient2		-13	None
1327	TU-DIL	Temperature	42,544		None
1327	TU-CON	Temperature	-29,106		None
1327	GV-POS	Gradient2		18	None
1327	GV-NEG	Gradient2		-13	None
1328	TU-DIL	Temperature	42,544		None
1328	TU-CON	Temperature	-29,106		None
1328	GV-POS	Gradient2		18	None
1328	GV-NEG	Gradient2		-13	None
1329	TU-DIL	Temperature	42,544		None
1329	TU-CON	Temperature	-29,106		None
1329	GV-POS	Gradient2		18	None
1329	GV-NEG	Gradient2		-13	None
1330	TU-DIL	Temperature	42,544		None
1330	TU-CON	Temperature	-29,106		None
1330	GV-POS	Gradient2		18	None
1330	GV-NEG	Gradient2		-13	None
1331	TU-DIL	Temperature	42,544		None
1331	TU-CON	Temperature	-29,106		None
1331	GV-POS	Gradient2		18	None
1331	GV-NEG	Gradient2		-13	None
1332	TU-DIL	Temperature	42,544		None
1332	TU-CON	Temperature	-29,106		None
1332	GV-POS	Gradient2		18	None
1332	GV-NEG	Gradient2		-13	None



1333	TU-DIL	Temperature	42,544		None
1333	TU-CON	Temperature	-29,106		None
1333	GV-POS	Gradient2		18	None
1333	GV-NEG	Gradient2		-13	None
1334	TU-DIL	Temperature	42,544		None
1334	TU-CON	Temperature	-29,106		None
1334	GV-POS	Gradient2		18	None
1334	GV-NEG	Gradient2		-13	None
1335	TU-DIL	Temperature	42,544		None
1335	TU-CON	Temperature	-29,106		None
1335	GV-POS	Gradient2		18	None
1335	GV-NEG	Gradient2		-13	None
1336	TU-DIL	Temperature	42,544		None
1336	TU-CON	Temperature	-29,106		None
1336	GV-POS	Gradient2		18	None
1336	GV-NEG	Gradient2		-13	None
1337	TU-DIL	Temperature	42,544		None
1337	TU-CON	Temperature	-29,106		None
1337	GV-POS	Gradient2		18	None
1337	GV-NEG	Gradient2		-13	None
1338	TU-DIL	Temperature	42,544		None
1338	TU-CON	Temperature	-29,106		None
1338	GV-POS	Gradient2		18	None
1338	GV-NEG	Gradient2		-13	None
1339	TU-DIL	Temperature	42,544		None
1339	TU-CON	Temperature	-29,106		None
1339	GV-POS	Gradient2		18	None
1339	GV-NEG	Gradient2		-13	None
1340	TU-DIL	Temperature	42,544		None
1340	TU-CON	Temperature	-29,106		None
1340	GV-POS	Gradient2		18	None
1340	GV-NEG	Gradient2		-13	None
1341	TU-DIL	Temperature	42,544		None
1341	TU-CON	Temperature	-29,106		None
1341	GV-POS	Gradient2		18	None
1341	GV-NEG	Gradient2		-13	None
1342	TU-DIL	Temperature	42,544		None
1342	TU-CON	Temperature	-29,106		None
1342	GV-POS	Gradient2		18	None

1342	GV-NEG	Gradient2		-13	None
1343	TU-DIL	Temperature	42,544		None
1343	TU-CON	Temperature	-29,106		None
1343	GV-POS	Gradient2		18	None
1343	GV-NEG	Gradient2		-13	None
1344	TU-DIL	Temperature	42,544		None
1344	TU-CON	Temperature	-29,106		None
1344	GV-POS	Gradient2		18	None
1344	GV-NEG	Gradient2		-13	None
1345	TU-DIL	Temperature	42,544		None
1345	TU-CON	Temperature	-29,106		None
1345	GV-POS	Gradient2		18	None
1345	GV-NEG	Gradient2		-13	None
1346	TU-DIL	Temperature	42,544		None
1346	TU-CON	Temperature	-29,106		None
1346	GV-POS	Gradient2		18	None
1346	GV-NEG	Gradient2		-13	None
1347	TU-DIL	Temperature	42,544		None
1347	TU-CON	Temperature	-29,106		None
1347	GV-POS	Gradient2		18	None
1347	GV-NEG	Gradient2		-13	None
1348	TU-DIL	Temperature	42,544		None
1348	TU-CON	Temperature	-29,106		None
1348	GV-POS	Gradient2		18	None
1348	GV-NEG	Gradient2		-13	None
1349	TU-DIL	Temperature	42,544		None
1349	TU-CON	Temperature	-29,106		None
1349	GV-POS	Gradient2		18	None
1349	GV-NEG	Gradient2		-13	None
1350	TU-DIL	Temperature	42,544		None
1350	TU-CON	Temperature	-29,106		None
1350	GV-POS	Gradient2		18	None
1350	GV-NEG	Gradient2		-13	None
1351	TU-DIL	Temperature	42,544		None
1351	TU-CON	Temperature	-29,106		None
1351	GV-POS	Gradient2		18	None
1351	GV-NEG	Gradient2		-13	None
1352	TU-DIL	Temperature	42,544		None
1352	TU-CON	Temperature	-29,106		None



1352	GV-POS	Gradient2		18	None
1352	GV-NEG	Gradient2		-13	None
1353	TU-DIL	Temperature	42,544		None
1353	TU-CON	Temperature	-29,106		None
1353	GV-POS	Gradient2		18	None
1353	GV-NEG	Gradient2		-13	None
1354	TU-DIL	Temperature	42,544		None
1354	TU-CON	Temperature	-29,106		None
1354	GV-POS	Gradient2		18	None
1354	GV-NEG	Gradient2		-13	None
1355	TU-DIL	Temperature	42,544		None
1355	TU-CON	Temperature	-29,106		None
1355	GV-POS	Gradient2		18	None
1355	GV-NEG	Gradient2		-13	None
1356	TU-DIL	Temperature	42,544		None
1356	TU-CON	Temperature	-29,106		None
1356	GV-POS	Gradient2		18	None
1356	GV-NEG	Gradient2		-13	None
1357	TU-DIL	Temperature	42,544		None
1357	TU-CON	Temperature	-29,106		None
1357	GV-POS	Gradient2		18	None
1357	GV-NEG	Gradient2		-13	None
1358	TU-DIL	Temperature	42,544		None
1358	TU-CON	Temperature	-29,106		None
1359	TU-DIL	Temperature	42,544		None
1359	TU-CON	Temperature	-29,106		None
1359	GV-POS	Gradient2		18	None
1359	GV-NEG	Gradient2		-13	None
1360	TU-DIL	Temperature	42,544		None
1360	TU-CON	Temperature	-29,106		None
1360	GV-POS	Gradient2		18	None
1360	GV-NEG	Gradient2		-13	None
1361	TU-DIL	Temperature	42,544		None
1361	TU-CON	Temperature	-29,106		None
1361	GV-POS	Gradient2		18	None
1361	GV-NEG	Gradient2		-13	None
1362	TU-DIL	Temperature	42,544		None
1362	TU-CON	Temperature	-29,106		None
1362	GV-POS	Gradient2		18	None

1362	GV-NEG	Gradient2		-13	None
1363	TU-DIL	Temperature	42,544		None
1363	TU-CON	Temperature	-29,106		None
1363	GV-POS	Gradient2		18	None
1363	GV-NEG	Gradient2		-13	None
1364	TU-DIL	Temperature	42,544		None
1364	TU-CON	Temperature	-29,106		None
1365	TU-DIL	Temperature	42,544		None
1365	TU-CON	Temperature	-29,106		None
1366	TU-DIL	Temperature	42,544		None
1366	TU-CON	Temperature	-29,106		None
1367	TU-DIL	Temperature	42,544		None
1367	TU-CON	Temperature	-29,106		None
1368	TU-DIL	Temperature	42,544		None
1368	TU-CON	Temperature	-29,106		None
1369	TU-DIL	Temperature	42,544		None
1369	TU-CON	Temperature	-29,106		None
1372	TU-DIL	Temperature	42,544		None
1372	TU-CON	Temperature	-29,106		None
1372	GV-POS	Gradient2		18	None
1372	GV-NEG	Gradient2		-13	None
1374	TU-DIL	Temperature	42,544		None
1374	TU-CON	Temperature	-29,106		None
1375	TU-DIL	Temperature	42,544		None
1375	TU-CON	Temperature	-29,106		None
1375	GV-POS	Gradient2		18	None
1375	GV-NEG	Gradient2		-13	None
1376	TU-DIL	Temperature	42,544		None
1376	TU-CON	Temperature	-29,106		None
1376	GV-POS	Gradient2		18	None
1376	GV-NEG	Gradient2		-13	None
1377	TU-DIL	Temperature	42,544		None
1377	TU-CON	Temperature	-29,106		None
1377	GV-POS	Gradient2		18	None
1377	GV-NEG	Gradient2		-13	None
1378	TU-DIL	Temperature	42,544		None
1378	TU-CON	Temperature	-29,106		None
1378	GV-POS	Gradient2		18	None
1378	GV-NEG	Gradient2		-13	None



1379	TU-DIL	Temperature	42,544		None
1379	TU-CON	Temperature	-29,106		None
1379	GV-POS	Gradient2		18	None
1379	GV-NEG	Gradient2		-13	None
1380	TU-DIL	Temperature	42,544		None
1380	TU-CON	Temperature	-29,106		None
1380	GV-POS	Gradient2		18	None
1380	GV-NEG	Gradient2		-13	None
1381	TU-DIL	Temperature	42,544		None
1381	TU-CON	Temperature	-29,106		None
1381	GV-POS	Gradient2		18	None
1381	GV-NEG	Gradient2		-13	None
1382	TU-DIL	Temperature	42,544		None
1382	TU-CON	Temperature	-29,106		None
1382	GV-POS	Gradient2		18	None
1382	GV-NEG	Gradient2		-13	None
1383	TU-DIL	Temperature	42,544		None
1383	TU-CON	Temperature	-29,106		None
1383	GV-POS	Gradient2		18	None
1383	GV-NEG	Gradient2		-13	None
1384	TU-DIL	Temperature	42,544		None
1384	TU-CON	Temperature	-29,106		None
1384	GV-POS	Gradient2		18	None
1384	GV-NEG	Gradient2		-13	None
1385	TU-DIL	Temperature	42,544		None
1385	TU-CON	Temperature	-29,106		None
1386	TU-DIL	Temperature	42,544		None
1386	TU-CON	Temperature	-29,106		None
1387	TU-DIL	Temperature	42,544		None
1387	TU-CON	Temperature	-29,106		None
1388	TU-DIL	Temperature	42,544		None
1388	TU-CON	Temperature	-29,106		None
1389	TU-DIL	Temperature	42,544		None
1389	TU-CON	Temperature	-29,106		None
1389	GV-POS	Gradient2		18	None
1389	GV-NEG	Gradient2		-13	None
1390	TU-DIL	Temperature	42,544		None
1390	TU-CON	Temperature	-29,106		None
1390	GV-POS	Gradient2		18	None

1390	GV-NEG	Gradient2		-13	None
1391	TU-DIL	Temperature	42,544		None
1391	TU-CON	Temperature	-29,106		None
1391	GV-POS	Gradient2		18	None
1391	GV-NEG	Gradient2		-13	None
1392	TU-DIL	Temperature	42,544		None
1392	TU-CON	Temperature	-29,106		None
1392	GV-POS	Gradient2		18	None
1392	GV-NEG	Gradient2		-13	None
1393	TU-DIL	Temperature	42,544		None
1393	TU-CON	Temperature	-29,106		None
1393	GV-POS	Gradient2		18	None
1393	GV-NEG	Gradient2		-13	None
1394	TU-DIL	Temperature	42,544		None
1394	TU-CON	Temperature	-29,106		None
1394	GV-POS	Gradient2		18	None
1394	GV-NEG	Gradient2		-13	None
1395	TU-DIL	Temperature	42,544		None
1395	TU-CON	Temperature	-29,106		None
1395	GV-POS	Gradient2		18	None
1395	GV-NEG	Gradient2		-13	None
1396	TU-DIL	Temperature	42,544		None
1396	TU-CON	Temperature	-29,106		None
1396	GV-POS	Gradient2		18	None
1396	GV-NEG	Gradient2		-13	None
1397	TU-DIL	Temperature	42,544		None
1397	TU-CON	Temperature	-29,106		None
1397	GV-POS	Gradient2		18	None
1397	GV-NEG	Gradient2		-13	None
1398	TU-DIL	Temperature	42,544		None
1398	TU-CON	Temperature	-29,106		None
1398	GV-POS	Gradient2		18	None
1398	GV-NEG	Gradient2		-13	None
1399	TU-DIL	Temperature	42,544		None
1399	TU-CON	Temperature	-29,106		None
1399	GV-POS	Gradient2		18	None
1399	GV-NEG	Gradient2		-13	None
1400	TU-DIL	Temperature	42,544		None
1400	TU-CON	Temperature	-29,106		None



1400	GV-POS	Gradient2		18	None
1400	GV-NEG	Gradient2		-13	None
1401	TU-DIL	Temperature	42,544		None
1401	TU-CON	Temperature	-29,106		None
1401	GV-POS	Gradient2		18	None
1401	GV-NEG	Gradient2		-13	None
1402	TU-DIL	Temperature	42,544		None
1402	TU-CON	Temperature	-29,106		None
1402	GV-POS	Gradient2		18	None
1402	GV-NEG	Gradient2		-13	None
1403	TU-DIL	Temperature	42,544		None
1403	TU-CON	Temperature	-29,106		None
1403	GV-POS	Gradient2		18	None
1403	GV-NEG	Gradient2		-13	None
1404	TU-DIL	Temperature	42,544		None
1404	TU-CON	Temperature	-29,106		None
1404	GV-POS	Gradient2		18	None
1404	GV-NEG	Gradient2		-13	None
1405	TU-DIL	Temperature	42,544		None
1405	TU-CON	Temperature	-29,106		None
1405	GV-POS	Gradient2		18	None
1405	GV-NEG	Gradient2		-13	None
1406	TU-DIL	Temperature	42,544		None
1406	TU-CON	Temperature	-29,106		None
1406	GV-POS	Gradient2		18	None
1406	GV-NEG	Gradient2		-13	None
1407	TU-DIL	Temperature	42,544		None
1407	TU-CON	Temperature	-29,106		None
1407	GV-POS	Gradient2		18	None
1407	GV-NEG	Gradient2		-13	None
1408	TU-DIL	Temperature	42,544		None
1408	TU-CON	Temperature	-29,106		None
1408	GV-POS	Gradient2		18	None
1408	GV-NEG	Gradient2		-13	None
1409	TU-DIL	Temperature	42,544		None
1409	TU-CON	Temperature	-29,106		None
1409	GV-POS	Gradient2		18	None
1409	GV-NEG	Gradient2		-13	None
1410	TU-DIL	Temperature	42,544		None

1410	TU-CON	Temperature	-29,106		None
1410	GV-POS	Gradient2		18	None
1410	GV-NEG	Gradient2		-13	None
1411	TU-DIL	Temperature	42,544		None
1411	TU-CON	Temperature	-29,106		None
1411	GV-POS	Gradient2		18	None
1411	GV-NEG	Gradient2		-13	None
1412	TU-DIL	Temperature	42,544		None
1412	TU-CON	Temperature	-29,106		None
1412	GV-POS	Gradient2		18	None
1412	GV-NEG	Gradient2		-13	None
1413	TU-DIL	Temperature	42,544		None
1413	TU-CON	Temperature	-29,106		None
1413	GV-POS	Gradient2		18	None
1413	GV-NEG	Gradient2		-13	None
1414	TU-DIL	Temperature	42,544		None
1414	TU-CON	Temperature	-29,106		None
1414	GV-POS	Gradient2		18	None
1414	GV-NEG	Gradient2		-13	None
1415	TU-DIL	Temperature	42,544		None
1415	TU-CON	Temperature	-29,106		None
1415	GV-POS	Gradient2		18	None
1415	GV-NEG	Gradient2		-13	None
1416	TU-DIL	Temperature	42,544		None
1416	TU-CON	Temperature	-29,106		None
1416	GV-POS	Gradient2		18	None
1416	GV-NEG	Gradient2		-13	None
1417	TU-DIL	Temperature	42,544		None
1417	TU-CON	Temperature	-29,106		None
1417	GV-POS	Gradient2		18	None
1417	GV-NEG	Gradient2		-13	None
1418	TU-DIL	Temperature	42,544		None
1418	TU-CON	Temperature	-29,106		None
1418	GV-POS	Gradient2		18	None
1418	GV-NEG	Gradient2		-13	None
1419	TU-DIL	Temperature	42,544		None
1419	TU-CON	Temperature	-29,106		None
1419	GV-POS	Gradient2		18	None
1419	GV-NEG	Gradient2		-13	None



1420	TU-DIL	Temperature	42,544		None
1420	TU-CON	Temperature	-29,106		None
1420	GV-POS	Gradient2		18	None
1420	GV-NEG	Gradient2		-13	None
1421	TU-DIL	Temperature	42,544		None
1421	TU-CON	Temperature	-29,106		None
1421	GV-POS	Gradient2		18	None
1421	GV-NEG	Gradient2		-13	None
1422	TU-DIL	Temperature	42,544		None
1422	TU-CON	Temperature	-29,106		None
1422	GV-POS	Gradient2		18	None
1422	GV-NEG	Gradient2		-13	None
1423	TU-DIL	Temperature	42,544		None
1423	TU-CON	Temperature	-29,106		None
1423	GV-POS	Gradient2		18	None
1423	GV-NEG	Gradient2		-13	None
1424	TU-DIL	Temperature	42,544		None
1424	TU-CON	Temperature	-29,106		None
1424	GV-POS	Gradient2		18	None
1424	GV-NEG	Gradient2		-13	None
1425	TU-DIL	Temperature	42,544		None
1425	TU-CON	Temperature	-29,106		None
1426	TU-DIL	Temperature	42,544		None
1426	TU-CON	Temperature	-29,106		None
1427	TU-DIL	Temperature	42,544		None
1427	TU-CON	Temperature	-29,106		None
1428	TU-DIL	Temperature	42,544		None
1428	TU-CON	Temperature	-29,106		None
1429	TU-DIL	Temperature	42,544		None
1429	TU-CON	Temperature	-29,106		None
1430	TU-DIL	Temperature	42,544		None
1430	TU-CON	Temperature	-29,106		None
1431	TU-DIL	Temperature	42,544		None
1431	TU-CON	Temperature	-29,106		None
1432	TU-DIL	Temperature	42,544		None
1432	TU-CON	Temperature	-29,106		None

1433	TU-DIL	Temperature	42,544		None
1433	TU-CON	Temperature	-29,106		None
1434	TU-DIL	Temperature	42,544		None
1434	TU-CON	Temperature	-29,106		None
1435	TU-DIL	Temperature	42,544		None
1435	TU-CON	Temperature	-29,106		None
1436	TU-DIL	Temperature	42,544		None
1436	TU-CON	Temperature	-29,106		None
1437	TU-DIL	Temperature	42,544		None
1437	TU-CON	Temperature	-29,106		None
1438	TU-DIL	Temperature	42,544		None
1438	TU-CON	Temperature	-29,106		None
1439	TU-DIL	Temperature	42,544		None
1439	TU-CON	Temperature	-29,106		None
1440	TU-DIL	Temperature	42,544		None
1440	TU-CON	Temperature	-29,106		None
1456	TU-DIL	Temperature	42,544		None
1456	TU-CON	Temperature	-29,106		None
1458	TU-DIL	Temperature	42,544		None
1458	TU-CON	Temperature	-29,106		None
1460	TU-DIL	Temperature	42,544		None
1460	TU-CON	Temperature	-29,106		None
1555	TU-DIL	Temperature	42,544		None
1555	TU-CON	Temperature	-29,106		None



APÉNDICE III: RESULTADOS



REACCIONES EN LOS NUDOS

TABLE: Joint Reactions								
Joint	OutputCase	StepType	F1	F2	F3	M1	M2	M3
Text	Text	Text	KN	KN	KN	KN-m	KN-m	KN-m
1	Env_ELU	Max	106,505	76,959	586,55	240,5718	273,3494	15,9671
1	Env_ELU	Min	-40,502	-62,026	152,913	-283,0865	-150,8515	-14,4667
3	Env_ELU	Max	102,895	68,948	544,476	259,3415	276,2185	15,8897
3	Env_ELU	Min	-43,175	-71,537	112,094	-270,7307	-159,1122	-14,5574
20	Env_ELU	Max	24,016	88,036	651,079	257,1985	50,7284	5,9924
20	Env_ELU	Min	-84,803	-76,828	163,077	-282,1336	-132,891	-6,544
22	Env_ELU	Max	24,501	78,191	609,684	274,7386	50,2085	5,9503
22	Env_ELU	Min	-74,429	-86,738	127,892	-265,626	-112,9565	-6,5974
32	Env_ELU	Max	92,728	66,567	507,439	167,7303	261,3803	12,5662
32	Env_ELU	Min	-116,232	-50,938	144,991	-220,4764	-337,3521	-16,4694
34	Env_ELU	Max	91,344	59,254	387,965	179,9968	261,2321	12,5905
34	Env_ELU	Min	-132,507	-57,867	41,845	-203,1699	-367,679	-16,4384
52	Env_ELU	Max	132,552	58,266	521,407	145,4144	415,1184	25,7309
52	Env_ELU	Min	-92,195	-54,533	174,003	-199,4921	-286,0223	-25,5378
54	Env_ELU	Max	125,7	31,519	364,663	146,3014	414,6446	19,9457
54	Env_ELU	Min	-96,316	-56,364	51,983	-143,7291	-302,0354	-19,9218
56	Env_ELU	Max	12,238	48,769	310,84	32,2035	26,0401	0,9394
56	Env_ELU	Min	-6,182	-6,489	84,181	-92,0562	-21,3406	-1,5165
58	Env_ELU	Max	8,877	36,201	628,836	41,5369	24,6946	1,2529
58	Env_ELU	Min	-11,222	-13,432	218,463	-71,7799	-29,3447	-2,1754
68	Env_ELU	Max	36,265	66,288	273,408	109,5122	50,5115	4,8987
68	Env_ELU	Min	-16,936	-40,29	46,599	-146,5183	-55,2663	-3,8756
76	Env_ELU	Max	24,54	56,019	786,608	115,2361	32,6886	6,0156
76	Env_ELU	Min	-20,954	-44,378	281,633	-128,6091	-59,4073	-4,6412
A0	Env_ELU	Max	19,464	54,113	349,523	217,9649	77,3542	10,7041
A0	Env_ELU	Min	-21,625	-56,755	120,733	-227,9835	-78,2743	-7,3317

D0	Env_ELU	Max	24,081	59,277	490,85	224,6919	86,8297	3,1028
D0	Env_ELU	Min	-6,49	-59,773	144,755	-227,5175	-41,8291	-4,9652
19.1	Env_ELU	Max	2,28	24,12	446,212	143,249	35,8758	0,6354
19.1	Env_ELU	Min	-68,556	-20,38	-243,634	-168,9517	-173,3965	-1,0595
50.1	Env_ELU	Max	8,347	24,942	197,553	1,4984	0,409	0
50.1	Env_ELU	Min	-12,217	-30,58	77,475	-1,2222	-0,5986	0
51.1	Env_ELU	Max	8,347	24,942	92,81	1,4984	0,409	0
51.1	Env_ELU	Min	-12,217	-30,58	40,701	-1,2222	-0,5986	0
74.1	Env_ELU	Max	6,854	22,443	2,048	1,5487	0,3358	0
74.1	Env_ELU	Min	-13,929	-31,607	-34,166	-1,0997	-0,6825	0
75.1	Env_ELU	Max	6,854	22,443	276,042	1,5487	0,3358	0
75.1	Env_ELU	Min	-13,929	-31,607	110,092	-1,0997	-0,6825	0
78.1	Env_ELU	Max	90,152	31,132	38,057	1,1979	4,4174	0
78.1	Env_ELU	Min	-122,579	-24,447	-4,767	-1,5255	-6,0064	0
79.1	Env_ELU	Max	90,152	31,132	219,079	1,1979	4,4174	0
79.1	Env_ELU	Min	-122,579	-24,447	19,234	-1,5255	-6,0064	0
87.1	Env_ELU	Max	58,915	24,176	735,565	145,9344	152,2758	2,6254
87.1	Env_ELU	Min	16,74	-20,931	23,42	-169,1596	14,3331	-2,4288

DESPLAZAMIENTOS EN LOS NUDOS PARA ENVOLVENTE DE ELU

TABLE: Joint Displacements								
Joint	OutputCase	StepType	U1	U2	U3	R1	R2	R3
Text	Text	Text	m	m	m	Radians	Radians	Radians
1	Env_ELU	Max	0,00000	0,00000	0,00000	0,00000	0,00000	0,00000
1	Env_ELU	Min	0,00000	0,00000	0,00000	0,00000	0,00000	0,00000
2	Env_ELU	Max	0,00635	0,01782	-0,00010	0,00263	0,00275	0,00099
2	Env_ELU	Min	-0,00660	-0,01992	-0,00038	-0,00277	-0,00007	-0,00108
3	Env_ELU	Max	0,00000	0,00000	0,00000	0,00000	0,00000	0,00000
3	Env_ELU	Min	0,00000	0,00000	0,00000	0,00000	0,00000	0,00000
4	Env_ELU	Max	0,00642	0,01781	-0,00008	0,00327	0,00259	0,00100
4	Env_ELU	Min	-0,00669	-0,02045	-0,00036	-0,00222	-0,00011	-0,00108
5	Env_ELU	Max	0,01106	0,01866	0,00889	0,00257	0,00048	0,00072
5	Env_ELU	Min	-0,01317	-0,02991	-0,01332	-0,00041	-0,00058	-0,00079
6	Env_ELU	Max	0,01091	0,01866	0,00802	0,00081	0,00041	0,00069
6	Env_ELU	Min	-0,01297	-0,02939	-0,01340	-0,00176	-0,00066	-0,00082
7	Env_ELU	Max	0,01158	0,01734	0,00889	0,00261	0,00083	0,00105
7	Env_ELU	Min	-0,01393	-0,02952	-0,01315	-0,00041	-0,00049	-0,00105
8	Env_ELU	Max	0,01141	0,01735	0,00774	0,00089	0,00073	0,00103



8	Env_ELU	Min	-0,01371	-0,02898	-0,01317	-0,00161	-0,00055	-0,00109
9	Env_ELU	Max	0,00667	0,01729	0,00154	0,00291	0,00220	0,00049
9	Env_ELU	Min	-0,00706	-0,02021	-0,00055	-0,00183	-0,00049	-0,00058
10	Env_ELU	Max	0,00660	0,01730	0,00151	0,00218	0,00225	0,00047
10	Env_ELU	Min	-0,00697	-0,01968	-0,00043	-0,00247	-0,00040	-0,00059
11	Env_ELU	Max	0,00617	0,01885	-0,00031	0,00303	0,00308	0,00167
11	Env_ELU	Min	-0,00632	-0,02127	-0,00245	-0,00183	0,00025	-0,00170
12	Env_ELU	Max	0,00610	0,01885	-0,00034	0,00228	0,00334	0,00164
12	Env_ELU	Min	-0,00623	-0,02075	-0,00269	-0,00249	0,00028	-0,00172
13	Env_ELU	Max	0,00889	0,02125	0,00017	0,00018	0,00039	0,00308
13	Env_ELU	Min	-0,00439	-0,02526	-0,00010	-0,00134	-0,00009	-0,00298
14	Env_ELU	Max	0,00865	0,02293	-0,00015	0,00022	-0,00170	0,00336
14	Env_ELU	Min	-0,00422	-0,02692	-0,00036	-0,00140	-0,00674	-0,00318
15	Env_ELU	Max	0,00013	0,02199	0,00572	0,00189	0,00183	0,00108
15	Env_ELU	Min	-0,00245	-0,02301	-0,00305	-0,00266	-0,00242	-0,00112
16	Env_ELU	Max	0,01147	0,02345	-0,00018	0,00094	0,00930	0,00339
16	Env_ELU	Min	-0,01805	-0,02693	-0,00051	-0,00032	0,00237	-0,00373
17	Env_ELU	Max	0,00914	0,01978	0,00034	0,00044	0,00007	0,00257
17	Env_ELU	Min	-0,00457	-0,02369	-0,00007	-0,00153	-0,00046	-0,00233
18	Env_ELU	Max	0,00882	0,02148	0,00175	0,00469	-0,00105	0,00277
18	Env_ELU	Min	-0,00432	-0,02538	0,00044	0,00133	-0,00368	-0,00263
19	Env_ELU	Max	0,00855	0,02293	0,00017	0,00471	-0,00119	0,00298
19	Env_ELU	Min	-0,00414	-0,02692	-0,00050	0,00131	-0,00392	-0,00280
20	Env_ELU	Max	0,00000	0,00000	0,00000	0,00000	0,00000	0,00000
20	Env_ELU	Min	0,00000	0,00000	0,00000	0,00000	0,00000	0,00000
21	Env_ELU	Max	0,00034	0,02119	-0,00016	0,00287	0,00057	0,00058
21	Env_ELU	Min	-0,00269	-0,02216	-0,00059	-0,00325	-0,00394	-0,00053
22	Env_ELU	Max	0,00000	0,00000	0,00000	0,00000	0,00000	0,00000
22	Env_ELU	Min	0,00000	0,00000	0,00000	0,00000	0,00000	0,00000
23	Env_ELU	Max	0,00010	0,02119	-0,00013	0,00359	0,00065	0,00058
23	Env_ELU	Min	-0,00260	-0,02232	-0,00055	-0,00259	-0,00361	-0,00052
24	Env_ELU	Max	0,00025	0,02192	-0,00007	0,00322	0,00017	0,00140
24	Env_ELU	Min	-0,00281	-0,02310	-0,00349	-0,00201	-0,00432	-0,00131
25	Env_ELU	Max	0,00049	0,02193	-0,00016	0,00237	0,00008	0,00138
25	Env_ELU	Min	-0,00291	-0,02288	-0,00380	-0,00279	-0,00472	-0,00133
26	Env_ELU	Max	0,00834	0,06138	-0,02618	0,00203	-0,00054	0,00095
26	Env_ELU	Min	-0,00697	-0,06311	-0,08207	0,00006	-0,00190	-0,00068
27	Env_ELU	Max	0,00776	0,06140	-0,02361	0,00698	-0,00030	0,00100
27	Env_ELU	Min	-0,00701	-0,06362	-0,08126	0,00171	-0,00119	-0,00063

28	Env_ELU	Max	0,00666	0,05501	-0,01824	0,00134	0,00140	0,00074
28	Env_ELU	Min	0,00147	-0,05698	-0,05986	-0,00077	0,00045	-0,00072
29	Env_ELU	Max	0,00620	0,05500	-0,01704	0,00534	0,00092	0,00078
29	Env_ELU	Min	0,00132	-0,05751	-0,05175	0,00095	0,00033	-0,00068
30	Env_ELU	Max	0,00667	0,05572	-0,01887	0,00135	0,00041	0,00019
30	Env_ELU	Min	0,00155	-0,05761	-0,06098	-0,00069	0,00000	-0,00014
31	Env_ELU	Max	0,00619	0,05573	-0,01753	0,00557	0,00020	0,00032
31	Env_ELU	Min	0,00141	-0,05813	-0,05198	0,00100	-0,00040	-0,00010
32	Env_ELU	Max	0,00000	0,00000	0,00000	0,00000	0,00000	0,00000
32	Env_ELU	Min	0,00000	0,00000	0,00000	0,00000	0,00000	0,00000
33	Env_ELU	Max	0,01316	0,01352	-0,00014	0,00265	0,00103	0,00145
33	Env_ELU	Min	-0,00981	-0,01805	-0,00046	-0,00196	-0,00176	-0,00110
34	Env_ELU	Max	0,00000	0,00000	0,00000	0,00000	0,00000	0,00000
34	Env_ELU	Min	0,00000	0,00000	0,00000	0,00000	0,00000	0,00000
35	Env_ELU	Max	0,01331	0,01352	-0,00005	0,00285	0,00047	0,00144
35	Env_ELU	Min	-0,01004	-0,01728	-0,00035	-0,00149	-0,00176	-0,00111
36	Env_ELU	Max	0,01353	0,01286	0,00085	0,00246	0,00120	0,00113
36	Env_ELU	Min	-0,01006	-0,01781	-0,00117	-0,00154	-0,00138	-0,00103
37	Env_ELU	Max	0,01368	0,01285	0,00082	0,00265	0,00051	0,00112
37	Env_ELU	Min	-0,01030	-0,01705	-0,00046	-0,00106	-0,00137	-0,00103
38	Env_ELU	Max	0,01132	0,00419	0,00103	0,00227	0,00204	0,00199
38	Env_ELU	Min	-0,01495	-0,01110	-0,00064	-0,00002	-0,00148	-0,00195
39	Env_ELU	Max	0,01206	0,00406	0,00201	0,00328	0,00210	0,00161
39	Env_ELU	Min	-0,01590	-0,01122	-0,00045	0,00025	-0,00162	-0,00155
40	Env_ELU	Max	0,01037	0,00400	0,00000	0,00245	0,00165	0,00104
40	Env_ELU	Min	-0,01423	-0,00933	-0,00159	0,00031	-0,00207	-0,00138
41	Env_ELU	Max	0,01120	0,00385	0,00018	0,00338	0,00178	0,00080
41	Env_ELU	Min	-0,01531	-0,00935	-0,00268	0,00062	-0,00243	-0,00107
42	Env_ELU	Max	0,00448	0,00548	0,00030	-0,00054	0,00156	0,00060
42	Env_ELU	Min	-0,00305	-0,00515	-0,00090	-0,00401	-0,00108	-0,00022
43	Env_ELU	Max	0,00416	0,00547	0,00140	-0,00135	0,00224	0,00045
43	Env_ELU	Min	-0,00311	-0,00591	-0,00103	-0,00514	-0,00106	-0,00014
44	Env_ELU	Max	0,00423	0,00518	0,00018	-0,00051	0,00227	0,00024
44	Env_ELU	Min	-0,00238	-0,00495	-0,00203	-0,00372	-0,00056	-0,00048
45	Env_ELU	Max	0,00381	0,00565	0,00024	-0,00120	0,00292	0,00015
45	Env_ELU	Min	-0,00226	-0,00571	-0,00256	-0,00467	-0,00034	-0,00036
46	Env_ELU	Max	0,00388	0,00278	-0,00864	0,00376	0,00599	-0,00013
46	Env_ELU	Min	-0,00155	-0,00728	-0,04143	0,00102	0,00214	-0,00041
47	Env_ELU	Max	0,00294	0,00284	-0,00254	0,00326	0,00578	-0,00010



47	Env_ELU	Min	-0,00081	-0,00653	-0,02704	0,00088	0,00210	-0,00040
48	Env_ELU	Max	0,00424	0,00226	-0,00807	0,00380	0,00479	0,00007
48	Env_ELU	Min	-0,00142	-0,00689	-0,03988	0,00127	0,00165	-0,00031
49	Env_ELU	Max	0,00345	0,00272	-0,00223	0,00344	0,00545	0,00008
49	Env_ELU	Min	-0,00065	-0,00616	-0,02640	0,00112	0,00201	-0,00037
50	Env_ELU	Max	0,00139	0,00346	-0,00002	0,00549	0,00046	0,00082
50	Env_ELU	Min	-0,00089	-0,00271	-0,00005	0,00103	-0,00161	-0,00048
51	Env_ELU	Max	0,00139	0,00346	-0,00001	0,00522	0,00297	0,00021
51	Env_ELU	Min	-0,00089	-0,00271	-0,00002	0,00059	0,00047	-0,00025
52	Env_ELU	Max	0,00000	0,00000	0,00000	0,00000	0,00000	0,00000
52	Env_ELU	Min	0,00000	0,00000	0,00000	0,00000	0,00000	0,00000
53	Env_ELU	Max	0,01082	0,00400	-0,00010	0,00235	0,00183	0,00148
53	Env_ELU	Min	-0,01451	-0,01009	-0,00030	0,00004	-0,00200	-0,00155
54	Env_ELU	Max	0,00000	0,00000	0,00000	0,00000	0,00000	0,00000
54	Env_ELU	Min	0,00000	0,00000	0,00000	0,00000	0,00000	0,00000
55	Env_ELU	Max	0,01161	0,00386	-0,00003	0,00319	0,00189	0,00115
55	Env_ELU	Min	-0,01551	-0,01015	-0,00020	0,00026	-0,00237	-0,00120
56	Env_ELU	Max	0,00000	0,00000	0,00000	0,00000	0,00000	0,00000
56	Env_ELU	Min	0,00000	0,00000	0,00000	0,00000	0,00000	0,00000
57	Env_ELU	Max	0,00399	0,00564	-0,00009	-0,00103	0,00256	0,00029
57	Env_ELU	Min	-0,00269	-0,00569	-0,00030	-0,00469	-0,00071	-0,00017
58	Env_ELU	Max	0,00000	0,00000	0,00000	0,00000	0,00000	0,00000
58	Env_ELU	Min	0,00000	0,00000	0,00000	0,00000	0,00000	0,00000
59	Env_ELU	Max	0,00437	0,00533	-0,00022	-0,00039	0,00190	0,00041
59	Env_ELU	Min	-0,00272	-0,00495	-0,00063	-0,00377	-0,00082	-0,00023
60	Env_ELU	Max	0,00646	0,02106	0,00331	-0,00028	0,00082	0,00099
60	Env_ELU	Min	-0,00155	-0,01888	-0,00829	-0,00107	-0,00031	0,00033
61	Env_ELU	Max	0,00720	0,02093	0,00632	-0,00132	0,00225	0,00108
61	Env_ELU	Min	-0,00199	-0,01957	-0,00608	-0,00346	0,00040	0,00037
62	Env_ELU	Max	0,00822	0,02140	0,00745	-0,00162	0,00248	0,00110
62	Env_ELU	Min	-0,00111	-0,01943	-0,00470	-0,00404	0,00052	0,00038
63	Env_ELU	Max	0,00744	0,02149	0,00402	-0,00056	0,00086	0,00098
63	Env_ELU	Min	-0,00069	-0,01876	-0,00709	-0,00161	-0,00021	0,00033
64	Env_ELU	Max	0,01008	0,01409	0,00158	-0,00002	0,00397	0,00125
64	Env_ELU	Min	0,00142	-0,01235	0,00024	-0,00417	0,00157	-0,00138
65	Env_ELU	Max	0,01023	0,01414	0,00396	-0,00079	0,00610	0,00108
65	Env_ELU	Min	0,00121	-0,01315	0,00128	-0,00511	0,00229	-0,00111
66	Env_ELU	Max	0,01025	0,01248	-0,00184	-0,00009	0,00717	0,00050
66	Env_ELU	Min	0,00079	-0,01251	-0,00540	-0,00424	0,00268	-0,00093

67	Env_ELU	Max	0,01012	0,01244	-0,00153	0,00058	0,00498	0,00060
67	Env_ELU	Min	0,00101	-0,01173	-0,00369	-0,00332	0,00208	-0,00116
68	Env_ELU	Max	0,00000	0,00000	0,00000	0,00000	0,00000	0,00000
68	Env_ELU	Min	0,00000	0,00000	0,00000	0,00000	0,00000	0,00000
69	Env_ELU	Max	0,01028	0,01327	-0,00005	-0,00011	0,00653	0,00077
69	Env_ELU	Min	0,00097	-0,01267	-0,00029	-0,00444	0,00241	-0,00101
70	Env_ELU	Max	0,00824	0,00298	-0,02293	0,01041	0,01028	0,00021
70	Env_ELU	Min	-0,00054	-0,01137	-0,05139	0,00322	0,00385	-0,00147
71	Env_ELU	Max	0,00749	0,00236	-0,03683	0,01259	0,01444	0,00012
71	Env_ELU	Min	-0,00161	-0,01271	-0,08207	0,00345	0,00504	-0,00141
72	Env_ELU	Max	0,00955	0,00153	-0,02399	0,01118	0,01081	0,00031
72	Env_ELU	Min	-0,00036	-0,01090	-0,05296	0,00378	0,00401	-0,00126
73	Env_ELU	Max	0,00877	0,00123	-0,03934	0,01434	0,01537	0,00009
73	Env_ELU	Min	-0,00145	-0,01235	-0,08207	0,00440	0,00537	-0,00135
74	Env_ELU	Max	0,00160	0,00359	0,00001	0,01023	0,00679	0,00071
74	Env_ELU	Min	-0,00072	-0,00242	0,00000	0,00494	0,00242	-0,00027
75	Env_ELU	Max	0,00160	0,00359	-0,00003	0,01647	0,01017	0,00102
75	Env_ELU	Min	-0,00072	-0,00242	-0,00006	0,00711	0,00352	-0,00078
76	Env_ELU	Max	0,00000	0,00000	0,00000	0,00000	0,00000	0,00000
76	Env_ELU	Min	0,00000	0,00000	0,00000	0,00000	0,00000	0,00000
77	Env_ELU	Max	0,01013	0,01322	-0,00031	0,00048	0,00444	0,00091
77	Env_ELU	Min	0,00118	-0,01189	-0,00084	-0,00366	0,00177	-0,00124
78	Env_ELU	Max	0,01357	0,00271	0,00000	0,00517	0,00090	0,00406
78	Env_ELU	Min	-0,01006	-0,00346	-0,00001	0,00040	-0,00071	-0,00314
79	Env_ELU	Max	0,01357	0,00271	-0,00001	0,00846	0,00057	0,00345
79	Env_ELU	Min	-0,01006	-0,00346	-0,00005	-0,00022	-0,00160	-0,00277
80	Env_ELU	Max	0,00884	0,06197	-0,02705	0,00230	0,00002	0,00041
80	Env_ELU	Min	-0,00770	-0,06417	-0,08207	0,00016	-0,00072	-0,00012
81	Env_ELU	Max	0,00826	0,06196	-0,02422	0,00734	0,00067	0,00047
81	Env_ELU	Min	-0,00773	-0,06470	-0,08158	0,00186	-0,00042	-0,00007
82	Env_ELU	Max	0,00016	0,02199	0,00529	0,00280	0,00189	0,00108
82	Env_ELU	Min	-0,00248	-0,02304	-0,00318	-0,00177	-0,00224	-0,00111
83	Env_ELU	Max	0,00626	0,00571	-0,00315	0,00122	-0,00023	0,00020
83	Env_ELU	Min	-0,01282	-0,00815	-0,03495	-0,00049	-0,00745	-0,00003
84	Env_ELU	Max	0,00556	0,00562	-0,00284	0,00133	-0,00042	0,00037
84	Env_ELU	Min	-0,01151	-0,00840	-0,01956	-0,00018	-0,00588	-0,00002
85	Env_ELU	Max	0,00579	0,00558	-0,00310	0,00142	-0,00047	0,00018
85	Env_ELU	Min	-0,01203	-0,00806	-0,02025	0,00005	-0,00612	-0,00013
86	Env_ELU	Max	0,00657	0,00566	-0,00380	0,00157	-0,00033	0,00006



86	Env_ELU	Min	-0,01333	-0,00764	-0,03668	-0,00014	-0,00780	-0,00017
87	Env_ELU	Max	0,01127	0,02345	-0,00008	0,00573	0,00450	0,00322
87	Env_ELU	Min	-0,01782	-0,02693	-0,00082	0,00157	0,00130	-0,00303
88	Env_ELU	Max	0,00272	0,01954	0,00020	0,00500	-0,00084	0,00009
88	Env_ELU	Min	-0,00348	-0,02318	-0,00034	-0,00422	-0,00236	-0,00005
89	Env_ELU	Max	0,00276	0,01983	-0,00001	0,00500	0,00275	0,00020
89	Env_ELU	Min	-0,00352	-0,02319	-0,00056	-0,00427	0,00058	-0,00021
90	Env_ELU	Max	0,00909	0,02010	0,00366	0,00468	-0,00092	0,00260
90	Env_ELU	Min	-0,00451	-0,02394	0,00096	0,00133	-0,00348	-0,00249
91	Env_ELU	Max	0,00334	0,01771	0,00017	0,00269	-0,00009	0,00043
91	Env_ELU	Min	-0,00369	-0,02184	-0,00010	-0,00115	-0,00048	-0,00065
92	Env_ELU	Max	0,00323	0,00346	-0,00795	0,00321	0,00640	-0,00014
92	Env_ELU	Min	-0,00099	-0,00782	-0,03928	0,00051	0,00236	-0,00065
93	Env_ELU	Max	0,00304	0,00330	-0,00225	0,00278	0,00556	-0,00012
93	Env_ELU	Min	-0,00057	-0,00700	-0,02520	0,00044	0,00183	-0,00062
94	Env_ELU	Max	0,00236	0,00413	-0,00571	0,00181	0,00576	-0,00010
94	Env_ELU	Min	-0,00076	-0,00786	-0,03222	-0,00028	0,00205	-0,00083
95	Env_ELU	Max	0,00301	0,00374	-0,00137	0,00176	0,00483	-0,00004
95	Env_ELU	Min	-0,00047	-0,00704	-0,02055	-0,00023	0,00128	-0,00091
96	Env_ELU	Max	0,00228	0,00468	-0,00280	0,00018	0,00467	-0,00001
96	Env_ELU	Min	-0,00072	-0,00736	-0,02206	-0,00165	0,00132	-0,00088
97	Env_ELU	Max	0,00294	0,00409	-0,00030	0,00039	0,00392	0,00005
97	Env_ELU	Min	-0,00046	-0,00656	-0,01414	-0,00110	0,00065	-0,00108
98	Env_ELU	Max	0,00282	0,00508	-0,00041	-0,00084	0,00377	0,00008
98	Env_ELU	Min	-0,00105	-0,00648	-0,01130	-0,00362	0,00049	-0,00073
99	Env_ELU	Max	0,00349	0,00441	0,00039	-0,00024	0,00308	0,00012
99	Env_ELU	Min	-0,00130	-0,00569	-0,00743	-0,00278	0,00004	-0,00101
A0	Env_ELU	Max	0,00000	0,00000	0,00000	0,00000	0,00000	0,00000
A0	Env_ELU	Min	0,00000	0,00000	0,00000	0,00000	0,00000	0,00000
D0	Env_ELU	Max	0,00000	0,00000	0,00000	0,00000	0,00000	0,00000
D0	Env_ELU	Min	0,00000	0,00000	0,00000	0,00000	0,00000	0,00000
100	Env_ELU	Max	0,00470	0,00606	0,00266	-0,00133	0,00151	0,00082
100	Env_ELU	Min	-0,00463	-0,00684	-0,00504	-0,00531	-0,00191	-0,00001
101	Env_ELU	Max	0,00481	0,00607	0,00088	-0,00040	0,00084	0,00095
101	Env_ELU	Min	-0,00428	-0,00614	-0,00346	-0,00379	-0,00171	-0,00009
102	Env_ELU	Max	0,00494	0,00625	0,00036	0,00006	0,00052	0,00105
102	Env_ELU	Min	-0,00586	-0,00730	-0,00767	-0,00274	-0,00264	0,00010
103	Env_ELU	Max	0,00521	0,00624	0,00211	-0,00069	0,00096	0,00086
103	Env_ELU	Min	-0,00653	-0,00785	-0,01164	-0,00433	-0,00290	0,00012

104	Env_ELU	Max	0,00566	0,00612	0,00051	0,00011	0,00055	0,00069
104	Env_ELU	Min	-0,00868	-0,00844	-0,02078	-0,00288	-0,00462	0,00017
105	Env_ELU	Max	0,00522	0,00610	-0,00076	0,00054	0,00016	0,00093
105	Env_ELU	Min	-0,00773	-0,00811	-0,01256	-0,00154	-0,00390	0,00020
106	Env_ELU	Max	0,00598	0,00589	-0,00149	0,00078	0,00010	0,00043
106	Env_ELU	Min	-0,01085	-0,00849	-0,02923	-0,00150	-0,00628	0,00009
107	Env_ELU	Max	0,00541	0,00584	-0,00195	0,00092	-0,00019	0,00071
107	Env_ELU	Min	-0,00968	-0,00845	-0,01684	-0,00059	-0,00507	0,00011
108	Env_ELU	Max	0,00704	0,00558	-0,00379	0,00182	-0,00019	-0,00012
108	Env_ELU	Min	-0,01433	-0,00712	-0,03504	0,00026	-0,00741	-0,00047
109	Env_ELU	Max	0,00617	0,00553	-0,00294	0,00140	-0,00032	0,00001
109	Env_ELU	Min	-0,01303	-0,00770	-0,01912	0,00031	-0,00585	-0,00044
110	Env_ELU	Max	0,00773	0,00541	-0,00284	0,00206	0,00023	-0,00016
110	Env_ELU	Min	-0,01467	-0,00666	-0,02942	0,00064	-0,00613	-0,00070
111	Env_ELU	Max	0,00681	0,00542	-0,00222	0,00144	0,00005	-0,00010
111	Env_ELU	Min	-0,01344	-0,00734	-0,01592	0,00048	-0,00498	-0,00081
112	Env_ELU	Max	0,00867	0,00502	-0,00140	0,00262	0,00081	-0,00007
112	Env_ELU	Min	-0,01468	-0,00633	-0,02101	0,00093	-0,00440	-0,00089
113	Env_ELU	Max	0,00774	0,00509	-0,00119	0,00182	0,00057	-0,00004
113	Env_ELU	Min	-0,01351	-0,00704	-0,01128	0,00058	-0,00372	-0,00113
114	Env_ELU	Max	0,00984	0,00439	-0,00015	0,00320	0,00138	0,00023
114	Env_ELU	Min	-0,01476	-0,00745	-0,01126	0,00101	-0,00311	-0,00102
115	Env_ELU	Max	0,00894	0,00451	-0,00028	0,00230	0,00113	0,00029
115	Env_ELU	Min	-0,01363	-0,00759	-0,00614	0,00061	-0,00253	-0,00134
116	Env_ELU	Max	0,00000	0,00000	0,00000	0,00000	0,00000	0,00000
116	Env_ELU	Min	0,00000	0,00000	0,00000	0,00000	0,00000	0,00000
117	Env_ELU	Max	0,00335	0,01768	0,00034	0,00264	0,00006	0,00032
117	Env_ELU	Min	-0,00370	-0,02170	-0,00007	-0,00111	-0,00034	-0,00048
118	Env_ELU	Max	0,00273	0,01952	0,00175	0,00500	-0,00098	0,00008
118	Env_ELU	Min	-0,00349	-0,02314	0,00044	-0,00423	-0,00345	-0,00005
119	Env_ELU	Max	0,00274	0,01952	0,00366	0,00499	-0,00084	0,00008
119	Env_ELU	Min	-0,00349	-0,02310	0,00096	-0,00423	-0,00321	-0,00006
120	Env_ELU	Max	0,01181	0,01991	0,00055	0,00044	0,00030	0,00275
120	Env_ELU	Min	-0,01854	-0,02362	-0,00008	-0,00109	0,00001	-0,00260
121	Env_ELU	Max	0,01164	0,02159	0,00037	0,00061	0,00007	0,00335
121	Env_ELU	Min	-0,01830	-0,02521	-0,00014	-0,00063	-0,00052	-0,00323
122	Env_ELU	Max	0,00939	0,01880	0,00051	0,00073	0,00018	0,00134
122	Env_ELU	Min	-0,00474	-0,02258	-0,00007	-0,00177	-0,00036	-0,00117
123	Env_ELU	Max	0,01198	0,01871	0,00052	0,00047	0,00024	0,00153



123	Env_ELU	Min	-0,01878	-0,02249	-0,00007	-0,00165	-0,00015	-0,00144
124	Env_ELU	Max	0,00274	0,01955	0,00525	0,00499	0,00011	0,00010
124	Env_ELU	Min	-0,00350	-0,02308	0,00136	-0,00423	-0,00021	-0,00010
125	Env_ELU	Max	0,00275	0,01955	0,00525	0,00499	0,00032	0,00010
125	Env_ELU	Min	-0,00350	-0,02308	0,00136	-0,00423	0,00001	-0,00011
126	Env_ELU	Max	0,00335	0,01764	0,00052	0,00258	0,00020	0,00026
126	Env_ELU	Min	-0,00370	-0,02156	-0,00007	-0,00108	-0,00022	-0,00035
127	Env_ELU	Max	0,01827	0,01084	0,00106	0,00565	0,00076	0,00072
127	Env_ELU	Min	-0,01396	-0,01961	-0,00850	0,00032	0,00026	-0,00086
128	Env_ELU	Max	0,01750	0,01170	0,00129	0,00677	0,00155	0,00069
128	Env_ELU	Min	-0,01397	-0,02034	-0,02188	-0,00066	0,00040	-0,00082
129	Env_ELU	Max	0,01829	0,01131	0,00070	0,00831	0,00113	0,00090
129	Env_ELU	Min	-0,01451	-0,01923	-0,02387	-0,00063	0,00028	-0,00096
130	Env_ELU	Max	0,01897	0,01044	0,00039	0,00608	0,00070	0,00131
130	Env_ELU	Min	-0,01444	-0,01839	-0,00942	0,00025	0,00008	-0,00112
131	Env_ELU	Max	0,01751	0,00441	-0,00031	0,00570	0,00087	0,00381
131	Env_ELU	Min	-0,01320	-0,00786	-0,00536	0,00028	-0,00046	-0,00296
132	Env_ELU	Max	0,01772	0,00445	-0,00022	0,00929	0,00068	0,00290
132	Env_ELU	Min	-0,01363	-0,00873	-0,01374	-0,00035	-0,00087	-0,00242
133	Env_ELU	Max	0,01923	0,00813	-0,00019	0,00614	0,00079	0,00258
133	Env_ELU	Min	-0,01459	-0,01395	-0,00866	0,00022	-0,00018	-0,00197
134	Env_ELU	Max	0,01893	0,00897	0,00003	0,00954	0,00077	0,00162
134	Env_ELU	Min	-0,01488	-0,01487	-0,02218	-0,00050	-0,00015	-0,00147
135	Env_ELU	Max	0,00335	0,01764	0,00051	0,00258	0,00020	0,00026
135	Env_ELU	Min	-0,00370	-0,02157	-0,00007	-0,00108	-0,00022	-0,00035
136	Env_ELU	Max	0,00480	0,00213	-0,01483	0,01658	0,01192	0,00071
136	Env_ELU	Min	-0,00126	-0,00390	-0,03473	0,00682	0,00416	-0,00069
137	Env_ELU	Max	0,00372	0,00264	-0,00836	0,01044	0,00789	0,00088
137	Env_ELU	Min	-0,00047	-0,00319	-0,01740	0,00477	0,00282	-0,00042
138	Env_ELU	Max	0,00676	0,00096	-0,02680	0,01659	0,01401	0,00026
138	Env_ELU	Min	-0,00166	-0,00606	-0,06363	0,00647	0,00493	-0,00062
139	Env_ELU	Max	0,00592	0,00182	-0,01530	0,01086	0,00929	0,00084
139	Env_ELU	Min	-0,00065	-0,00488	-0,03229	0,00464	0,00335	-0,00056
140	Env_ELU	Max	0,00765	0,00127	-0,02040	0,01130	0,01042	0,00067
140	Env_ELU	Min	-0,00078	-0,00677	-0,04369	0,00450	0,00379	-0,00062
141	Env_ELU	Max	0,00012	-0,00164	-0,03509	0,00241	0,00109	-0,00003
141	Env_ELU	Min	0,00012	-0,00164	-0,08453	0,00242	0,00109	-0,00003
142	Env_ELU	Max	0,00012	-0,00165	-0,02333	0,00243	0,00109	-0,00003
142	Env_ELU	Min	0,00012	-0,00165	-0,05073	0,00244	0,00109	-0,00003

143	Env_ELU	Max	0,00012	-0,00165	-0,03926	0,00245	0,00110	-0,00003
143	Env_ELU	Min	0,00011	-0,00165	-0,08207	0,00246	0,00110	-0,00003
144	Env_ELU	Max	0,00011	-0,00165	-0,03113	0,00247	0,00110	-0,00003
144	Env_ELU	Min	0,00011	-0,00165	-0,08062	0,00247	0,00110	-0,00003
145	Env_ELU	Max	0,00011	-0,00166	-0,01994	0,00248	0,00111	-0,00003
145	Env_ELU	Min	0,00010	-0,00166	-0,04552	0,00249	0,00111	-0,00003
146	Env_ELU	Max	0,00010	-0,00166	-0,02358	0,00250	0,00111	-0,00003
146	Env_ELU	Min	0,00010	-0,00166	-0,06270	0,00251	0,00111	-0,00003
147	Env_ELU	Max	0,00010	-0,00166	-0,01555	0,00252	0,00112	-0,00003
147	Env_ELU	Min	0,00010	-0,00167	-0,03630	0,00253	0,00112	-0,00003
148	Env_ELU	Max	0,00009	-0,00167	-0,01543	0,00254	0,00112	-0,00003
148	Env_ELU	Min	0,00009	-0,00167	-0,04229	0,00254	0,00112	-0,00003
149	Env_ELU	Max	0,00009	-0,00167	-0,01045	0,00255	0,00113	-0,00003
149	Env_ELU	Min	0,00009	-0,00167	-0,02510	0,00256	0,00113	-0,00003
150	Env_ELU	Max	0,00008	-0,00167	-0,00785	0,00257	0,00113	-0,00003
150	Env_ELU	Min	0,00008	-0,00168	-0,02230	0,00258	0,00113	-0,00003
151	Env_ELU	Max	0,00008	-0,00168	-0,00549	0,00259	0,00114	-0,00003
151	Env_ELU	Min	0,00008	-0,00168	-0,01362	0,00260	0,00114	-0,00003
152	Env_ELU	Max	0,00007	-0,00168	-0,00178	0,00261	0,00114	-0,00003
152	Env_ELU	Min	0,00007	-0,00168	-0,01116	0,00262	0,00114	-0,00003
153	Env_ELU	Max	0,00007	-0,00169	-0,00019	0,00262	0,00115	-0,00003
153	Env_ELU	Min	0,00007	-0,00169	-0,00765	0,00263	0,00115	-0,00003
154	Env_ELU	Max	0,00007	-0,00169	-0,00065	0,00264	0,00115	-0,00003
154	Env_ELU	Min	0,00006	-0,00169	-0,01442	0,00265	0,00115	-0,00003
155	Env_ELU	Max	0,00006	-0,00169	-0,00368	0,00266	0,00116	-0,00003
155	Env_ELU	Min	0,00006	-0,00170	-0,02115	0,00267	0,00116	-0,00003
156	Env_ELU	Max	0,00006	-0,00170	-0,00121	0,00268	0,00116	-0,00003
156	Env_ELU	Min	0,00005	-0,00170	-0,01994	0,00269	0,00116	-0,00003
157	Env_ELU	Max	0,00005	-0,00170	-0,00546	0,00270	0,00117	-0,00003
157	Env_ELU	Min	0,00005	-0,00170	-0,02946	0,00270	0,00117	-0,00003
158	Env_ELU	Max	0,00005	-0,00170	-0,00175	0,00271	0,00117	-0,00003
158	Env_ELU	Min	0,00005	-0,00171	-0,02396	0,00272	0,00118	-0,00003
159	Env_ELU	Max	0,00004	-0,00171	-0,00696	0,00273	0,00118	-0,00003
159	Env_ELU	Min	0,00004	-0,00171	-0,03576	0,00274	0,00118	-0,00003
160	Env_ELU	Max	0,00004	-0,00171	-0,00245	0,00275	0,00118	-0,00003
160	Env_ELU	Min	0,00004	-0,00171	-0,02696	0,00276	0,00119	-0,00003
161	Env_ELU	Max	0,00003	-0,00172	-0,00246	0,00277	0,00119	-0,00003
161	Env_ELU	Min	0,00003	-0,00172	-0,02697	0,00277	0,00119	-0,00003
162	Env_ELU	Max	0,00003	-0,00172	-0,00247	0,00278	0,00119	-0,00003



162	Env_ELU	Min	0,00003	-0,00172	-0,02698	0,00279	0,00120	-0,00003
163	Env_ELU	Max	0,00003	-0,00172	-0,00247	0,00280	0,00120	-0,00003
163	Env_ELU	Min	0,00002	-0,00172	-0,02699	0,00281	0,00120	-0,00003
164	Env_ELU	Max	0,00002	-0,00173	-0,00248	0,00282	0,00120	-0,00003
164	Env_ELU	Min	0,00002	-0,00173	-0,02700	0,00283	0,00121	-0,00003
165	Env_ELU	Max	0,00002	-0,00173	-0,00249	0,00284	0,00121	-0,00003
165	Env_ELU	Min	0,00001	-0,00173	-0,02701	0,00285	0,00121	-0,00003
166	Env_ELU	Max	0,00001	-0,00173	-0,00249	0,00285	0,00121	-0,00003
166	Env_ELU	Min	0,00001	-0,00174	-0,02702	0,00286	0,00122	-0,00003
167	Env_ELU	Max	0,00001	-0,00174	-0,00250	0,00287	0,00122	-0,00004
167	Env_ELU	Min	0,00000	-0,00174	-0,02703	0,00288	0,00122	-0,00004
168	Env_ELU	Max	0,00000	-0,00174	-0,00250	0,00289	0,00122	-0,00004
168	Env_ELU	Min	0,00000	-0,00174	-0,02703	0,00290	0,00123	-0,00004
169	Env_ELU	Max	0,00000	-0,00174	-0,00251	0,00291	0,00123	-0,00004
169	Env_ELU	Min	0,00000	-0,00175	-0,02704	0,00292	0,00123	-0,00004
170	Env_ELU	Max	-0,00001	-0,00175	-0,00251	0,00293	0,00123	-0,00004
170	Env_ELU	Min	-0,00001	-0,00175	-0,02704	0,00293	0,00124	-0,00004
171	Env_ELU	Max	-0,00001	-0,00175	-0,00252	0,00294	0,00124	-0,00004
171	Env_ELU	Min	-0,00001	-0,00175	-0,02704	0,00295	0,00124	-0,00004
172	Env_ELU	Max	-0,00002	-0,00176	-0,00252	0,00296	0,00124	-0,00004
172	Env_ELU	Min	-0,00002	-0,00176	-0,02705	0,00297	0,00125	-0,00004
173	Env_ELU	Max	-0,00002	-0,00176	-0,00253	0,00298	0,00125	-0,00004
173	Env_ELU	Min	-0,00002	-0,00176	-0,02705	0,00299	0,00125	-0,00004
174	Env_ELU	Max	-0,00002	-0,00176	-0,00253	0,00300	0,00125	-0,00004
174	Env_ELU	Min	-0,00003	-0,00177	-0,02704	0,00300	0,00126	-0,00004
175	Env_ELU	Max	-0,00003	-0,00177	-0,00253	0,00301	0,00126	-0,00004
175	Env_ELU	Min	-0,00003	-0,00177	-0,02704	0,00302	0,00126	-0,00004
176	Env_ELU	Max	-0,00003	-0,00177	-0,00254	0,00303	0,00126	-0,00004
176	Env_ELU	Min	-0,00004	-0,00177	-0,02704	0,00304	0,00127	-0,00004
177	Env_ELU	Max	-0,00004	-0,00177	-0,00255	0,00305	0,00127	-0,00004
177	Env_ELU	Min	-0,00004	-0,00178	-0,02700	0,00306	0,00127	-0,00004
178	Env_ELU	Max	-0,00004	-0,00178	-0,00254	0,00307	0,00127	-0,00004
178	Env_ELU	Min	-0,00004	-0,00178	-0,02692	0,00308	0,00128	-0,00004
179	Env_ELU	Max	-0,00005	-0,00178	-0,00253	0,00308	0,00128	-0,00004
179	Env_ELU	Min	-0,00005	-0,00178	-0,02680	0,00309	0,00128	-0,00004
180	Env_ELU	Max	-0,00005	-0,00179	-0,00251	0,00310	0,00129	-0,00004
180	Env_ELU	Min	-0,00005	-0,00179	-0,02665	0,00311	0,00129	-0,00004
181	Env_ELU	Max	-0,00006	-0,00179	-0,00248	0,00312	0,00129	-0,00004
181	Env_ELU	Min	-0,00006	-0,00179	-0,02646	0,00313	0,00129	-0,00004

182	Env_ELU	Max	-0,00006	-0,00179	-0,00244	0,00314	0,00130	-0,00004
182	Env_ELU	Min	-0,00006	-0,00179	-0,02623	0,00315	0,00130	-0,00004
183	Env_ELU	Max	-0,00007	-0,00180	-0,00240	0,00316	0,00130	-0,00004
183	Env_ELU	Min	-0,00007	-0,00180	-0,02597	0,00316	0,00130	-0,00004
184	Env_ELU	Max	-0,00007	-0,00180	-0,00234	0,00317	0,00131	-0,00004
184	Env_ELU	Min	-0,00007	-0,00180	-0,02567	0,00318	0,00131	-0,00004
185	Env_ELU	Max	-0,00007	-0,00180	-0,00228	0,00319	0,00131	-0,00004
185	Env_ELU	Min	-0,00008	-0,00181	-0,02534	0,00320	0,00131	-0,00004
186	Env_ELU	Max	-0,00008	-0,00181	-0,00221	0,00321	0,00132	-0,00004
186	Env_ELU	Min	-0,00008	-0,00181	-0,02498	0,00322	0,00132	-0,00004
187	Env_ELU	Max	-0,00008	-0,00181	-0,00213	0,00323	0,00132	-0,00004
187	Env_ELU	Min	-0,00009	-0,00181	-0,02458	0,00323	0,00132	-0,00004
188	Env_ELU	Max	-0,00009	-0,00182	-0,00205	0,00324	0,00133	-0,00004
188	Env_ELU	Min	-0,00009	-0,00182	-0,02416	0,00325	0,00133	-0,00004
189	Env_ELU	Max	-0,00009	-0,00182	-0,00196	0,00326	0,00133	-0,00004
189	Env_ELU	Min	-0,00009	-0,00182	-0,02370	0,00327	0,00133	-0,00004
190	Env_ELU	Max	-0,00010	-0,00182	-0,00187	0,00328	0,00134	-0,00004
190	Env_ELU	Min	-0,00010	-0,00182	-0,02322	0,00329	0,00134	-0,00004
191	Env_ELU	Max	-0,00010	-0,00183	-0,00177	0,00330	0,00134	-0,00004
191	Env_ELU	Min	-0,00010	-0,00183	-0,02271	0,00331	0,00134	-0,00004
192	Env_ELU	Max	-0,00011	-0,00183	-0,00167	0,00331	0,00135	-0,00004
192	Env_ELU	Min	-0,00011	-0,00183	-0,02217	0,00332	0,00135	-0,00004
193	Env_ELU	Max	-0,00011	-0,00183	-0,00156	0,00333	0,00135	-0,00004
193	Env_ELU	Min	-0,00011	-0,00184	-0,02161	0,00334	0,00135	-0,00004
194	Env_ELU	Max	-0,00011	-0,00184	-0,00145	0,00335	0,00136	-0,00004
194	Env_ELU	Min	-0,00012	-0,00184	-0,02103	0,00336	0,00136	-0,00004
195	Env_ELU	Max	-0,00012	-0,00184	-0,00134	0,00337	0,00136	-0,00004
195	Env_ELU	Min	-0,00012	-0,00184	-0,02042	0,00338	0,00136	-0,00004
196	Env_ELU	Max	-0,00012	-0,00184	-0,00123	0,00339	0,00137	-0,00004
196	Env_ELU	Min	-0,00013	-0,00185	-0,01980	0,00339	0,00137	-0,00004
197	Env_ELU	Max	-0,00013	-0,00185	-0,00111	0,00340	0,00137	-0,00005
197	Env_ELU	Min	-0,00013	-0,00185	-0,01915	0,00341	0,00137	-0,00005
198	Env_ELU	Max	-0,00013	-0,00185	-0,00100	0,00342	0,00138	-0,00005
198	Env_ELU	Min	-0,00014	-0,00185	-0,01849	0,00343	0,00138	-0,00005
199	Env_ELU	Max	-0,00014	-0,00186	-0,00088	0,00344	0,00138	-0,00005
199	Env_ELU	Min	-0,00014	-0,00186	-0,01781	0,00345	0,00138	-0,00005
200	Env_ELU	Max	-0,00014	-0,00186	-0,00076	0,00346	0,00139	-0,00005
200	Env_ELU	Min	-0,00014	-0,00186	-0,01712	0,00346	0,00139	-0,00005
201	Env_ELU	Max	-0,00015	-0,00186	-0,00065	0,00347	0,00139	-0,00005



201	Env_ELU	Min	-0,00015	-0,00187	-0,01642	0,00348	0,00139	-0,00005
202	Env_ELU	Max	-0,00015	-0,00187	-0,00054	0,00349	0,00140	-0,00005
202	Env_ELU	Min	-0,00015	-0,00187	-0,01572	0,00350	0,00140	-0,00005
203	Env_ELU	Max	-0,00016	-0,00187	-0,00043	0,00351	0,00140	-0,00005
203	Env_ELU	Min	-0,00016	-0,00187	-0,01500	0,00352	0,00141	-0,00005
204	Env_ELU	Max	-0,00016	-0,00187	-0,00032	0,00353	0,00141	-0,00005
204	Env_ELU	Min	-0,00016	-0,00188	-0,01428	0,00354	0,00141	-0,00005
205	Env_ELU	Max	-0,00016	-0,00188	-0,00022	0,00354	0,00141	-0,00005
205	Env_ELU	Min	-0,00017	-0,00188	-0,01355	0,00355	0,00142	-0,00005
206	Env_ELU	Max	-0,00017	-0,00188	-0,00012	0,00356	0,00142	-0,00005
206	Env_ELU	Min	-0,00017	-0,00188	-0,01282	0,00357	0,00142	-0,00005
207	Env_ELU	Max	-0,00017	-0,00189	-0,00003	0,00358	0,00142	-0,00005
207	Env_ELU	Min	-0,00018	-0,00189	-0,01209	0,00359	0,00143	-0,00005
208	Env_ELU	Max	-0,00018	-0,00189	0,00006	0,00360	0,00143	-0,00005
208	Env_ELU	Min	-0,00018	-0,00189	-0,01136	0,00361	0,00143	-0,00005
209	Env_ELU	Max	-0,00018	-0,00189	0,00014	0,00362	0,00143	-0,00005
209	Env_ELU	Min	-0,00019	-0,00189	-0,01063	0,00362	0,00144	-0,00005
210	Env_ELU	Max	-0,00019	-0,00190	0,00021	0,00363	0,00144	-0,00005
210	Env_ELU	Min	-0,00019	-0,00190	-0,00992	0,00364	0,00144	-0,00005
211	Env_ELU	Max	-0,00019	-0,00190	0,00027	0,00365	0,00144	-0,00005
211	Env_ELU	Min	-0,00019	-0,00190	-0,00921	0,00366	0,00145	-0,00005
212	Env_ELU	Max	-0,00020	-0,00190	0,00033	0,00367	0,00145	-0,00005
212	Env_ELU	Min	-0,00020	-0,00191	-0,00851	0,00368	0,00145	-0,00005
213	Env_ELU	Max	-0,00020	-0,00191	0,00037	0,00369	0,00145	-0,00005
213	Env_ELU	Min	-0,00020	-0,00191	-0,00783	0,00370	0,00146	-0,00005
214	Env_ELU	Max	-0,00021	-0,00191	0,00041	0,00370	0,00146	-0,00005
214	Env_ELU	Min	-0,00021	-0,00191	-0,00716	0,00371	0,00146	-0,00005
215	Env_ELU	Max	-0,00021	-0,00191	0,00043	0,00372	0,00146	-0,00005
215	Env_ELU	Min	-0,00021	-0,00192	-0,00650	0,00373	0,00147	-0,00005
216	Env_ELU	Max	-0,00021	-0,00192	0,00045	0,00374	0,00147	-0,00005
216	Env_ELU	Min	-0,00022	-0,00192	-0,00586	0,00375	0,00147	-0,00005
217	Env_ELU	Max	-0,00022	-0,00192	0,00045	0,00376	0,00147	-0,00005
217	Env_ELU	Min	-0,00022	-0,00192	-0,00524	0,00377	0,00148	-0,00005
218	Env_ELU	Max	-0,00022	-0,00193	0,00044	0,00377	0,00148	-0,00005
218	Env_ELU	Min	-0,00023	-0,00193	-0,00464	0,00378	0,00148	-0,00005
219	Env_ELU	Max	-0,00023	-0,00193	0,00041	0,00379	0,00148	-0,00005
219	Env_ELU	Min	-0,00023	-0,00193	-0,00406	0,00380	0,00149	-0,00005
220	Env_ELU	Max	-0,00023	-0,00193	0,00038	0,00381	0,00149	-0,00005
220	Env_ELU	Min	-0,00023	-0,00194	-0,00351	0,00382	0,00149	-0,00005

221	Env_ELU	Max	-0,00024	-0,00194	0,00033	0,00383	0,00149	-0,00005
221	Env_ELU	Min	-0,00024	-0,00194	-0,00299	0,00384	0,00150	-0,00005
222	Env_ELU	Max	-0,00024	-0,00194	0,00026	0,00385	0,00150	-0,00005
222	Env_ELU	Min	-0,00024	-0,00194	-0,00250	0,00385	0,00150	-0,00005
223	Env_ELU	Max	-0,00025	-0,00194	0,00014	0,00386	0,00150	-0,00005
223	Env_ELU	Min	-0,00025	-0,00195	-0,00185	0,00387	0,00151	-0,00005
224	Env_ELU	Max	-0,00025	-0,00195	0,00010	0,00388	0,00151	-0,00005
224	Env_ELU	Min	-0,00025	-0,00195	-0,00167	0,00389	0,00151	-0,00005
225	Env_ELU	Max	-0,00026	-0,00195	0,00006	0,00390	0,00151	-0,00005
225	Env_ELU	Min	-0,00026	-0,00195	-0,00149	0,00391	0,00152	-0,00005
226	Env_ELU	Max	-0,00026	-0,00196	0,00001	0,00392	0,00152	-0,00005
226	Env_ELU	Min	-0,00026	-0,00196	-0,00132	0,00393	0,00152	-0,00005
227	Env_ELU	Max	-0,00026	-0,00196	-0,00004	0,00393	0,00153	-0,00006
227	Env_ELU	Min	-0,00027	-0,00196	-0,00115	0,00394	0,00153	-0,00006
228	Env_ELU	Max	-0,00027	-0,00196	-0,00009	0,00395	0,00153	-0,00006
228	Env_ELU	Min	-0,00027	-0,00196	-0,00099	0,00396	0,00153	-0,00006
229	Env_ELU	Max	-0,00027	-0,00197	-0,00015	0,00397	0,00154	-0,00006
229	Env_ELU	Min	-0,00028	-0,00197	-0,00084	0,00398	0,00154	-0,00006
230	Env_ELU	Max	-0,00028	-0,00197	-0,00020	0,00399	0,00154	-0,00006
230	Env_ELU	Min	-0,00028	-0,00197	-0,00069	0,00400	0,00154	-0,00006
231	Env_ELU	Max	-0,00028	-0,00197	-0,00024	0,00400	0,00155	-0,00006
231	Env_ELU	Min	-0,00028	-0,00198	-0,00058	0,00401	0,00155	-0,00006
232	Env_ELU	Max	-0,00029	-0,00198	-0,00019	0,00402	0,00155	-0,00006
232	Env_ELU	Min	-0,00029	-0,00198	-0,00056	0,00403	0,00155	-0,00006
233	Env_ELU	Max	-0,00029	-0,00198	-0,00012	0,00404	0,00156	-0,00006
233	Env_ELU	Min	-0,00029	-0,00198	-0,00058	0,00405	0,00156	-0,00006
234	Env_ELU	Max	-0,00030	-0,00199	-0,00004	0,00406	0,00156	-0,00006
234	Env_ELU	Min	-0,00030	-0,00199	-0,00061	0,00407	0,00156	-0,00006
235	Env_ELU	Max	-0,00030	-0,00199	0,00003	0,00408	0,00157	-0,00006
235	Env_ELU	Min	-0,00030	-0,00199	-0,00065	0,00408	0,00157	-0,00006
236	Env_ELU	Max	-0,00030	-0,00199	0,00010	0,00409	0,00157	-0,00006
236	Env_ELU	Min	-0,00031	-0,00199	-0,00069	0,00410	0,00157	-0,00006
237	Env_ELU	Max	-0,00031	-0,00200	0,00017	0,00411	0,00158	-0,00006
237	Env_ELU	Min	-0,00031	-0,00200	-0,00073	0,00412	0,00158	-0,00006
238	Env_ELU	Max	-0,00031	-0,00200	0,00023	0,00413	0,00158	-0,00006
238	Env_ELU	Min	-0,00032	-0,00200	-0,00082	0,00414	0,00158	-0,00006
239	Env_ELU	Max	-0,00032	-0,00200	0,00040	0,00415	0,00159	-0,00006
239	Env_ELU	Min	-0,00032	-0,00201	-0,00108	0,00416	0,00159	-0,00006
240	Env_ELU	Max	-0,00032	-0,00201	0,00049	0,00416	0,00159	-0,00006



240	Env_ELU	Min	-0,00033	-0,00201	-0,00126	0,00417	0,00159	-0,00006
241	Env_ELU	Max	-0,00033	-0,00201	0,00058	0,00418	0,00160	-0,00006
241	Env_ELU	Min	-0,00033	-0,00201	-0,00145	0,00419	0,00160	-0,00006
242	Env_ELU	Max	-0,00033	-0,00201	0,00065	0,00420	0,00160	-0,00006
242	Env_ELU	Min	-0,00033	-0,00202	-0,00165	0,00421	0,00160	-0,00006
243	Env_ELU	Max	-0,00034	-0,00202	0,00071	0,00422	0,00161	-0,00006
243	Env_ELU	Min	-0,00034	-0,00202	-0,00185	0,00423	0,00161	-0,00006
244	Env_ELU	Max	-0,00034	-0,00202	0,00076	0,00423	0,00161	-0,00006
244	Env_ELU	Min	-0,00034	-0,00202	-0,00207	0,00424	0,00161	-0,00006
245	Env_ELU	Max	-0,00035	-0,00203	0,00080	0,00425	0,00162	-0,00006
245	Env_ELU	Min	-0,00035	-0,00203	-0,00229	0,00426	0,00162	-0,00006
246	Env_ELU	Max	-0,00035	-0,00203	0,00083	0,00427	0,00162	-0,00006
246	Env_ELU	Min	-0,00035	-0,00203	-0,00252	0,00428	0,00162	-0,00006
247	Env_ELU	Max	-0,00035	-0,00203	0,00086	0,00429	0,00163	-0,00006
247	Env_ELU	Min	-0,00036	-0,00204	-0,00276	0,00430	0,00163	-0,00006
248	Env_ELU	Max	-0,00036	-0,00204	0,00087	0,00431	0,00163	-0,00006
248	Env_ELU	Min	-0,00036	-0,00204	-0,00300	0,00431	0,00164	-0,00006
249	Env_ELU	Max	-0,00036	-0,00204	0,00088	0,00432	0,00164	-0,00006
249	Env_ELU	Min	-0,00037	-0,00204	-0,00325	0,00433	0,00164	-0,00006
250	Env_ELU	Max	-0,00037	-0,00204	0,00087	0,00434	0,00164	-0,00006
250	Env_ELU	Min	-0,00037	-0,00205	-0,00351	0,00435	0,00165	-0,00006
251	Env_ELU	Max	-0,00037	-0,00205	0,00087	0,00436	0,00165	-0,00006
251	Env_ELU	Min	-0,00037	-0,00205	-0,00377	0,00437	0,00165	-0,00006
252	Env_ELU	Max	-0,00038	-0,00205	0,00085	0,00438	0,00165	-0,00006
252	Env_ELU	Min	-0,00038	-0,00205	-0,00405	0,00439	0,00166	-0,00006
253	Env_ELU	Max	-0,00038	-0,00206	0,00083	0,00439	0,00166	-0,00006
253	Env_ELU	Min	-0,00038	-0,00206	-0,00438	0,00440	0,00166	-0,00006
254	Env_ELU	Max	-0,00039	-0,00206	0,00079	0,00441	0,00166	-0,00006
254	Env_ELU	Min	-0,00039	-0,00206	-0,00473	0,00442	0,00167	-0,00006
255	Env_ELU	Max	-0,00039	-0,00206	0,00076	0,00443	0,00167	-0,00006
255	Env_ELU	Min	-0,00039	-0,00206	-0,00509	0,00444	0,00167	-0,00006
256	Env_ELU	Max	-0,00040	-0,00207	0,00071	0,00445	0,00167	-0,00006
256	Env_ELU	Min	-0,00040	-0,00207	-0,00546	0,00446	0,00168	-0,00006
257	Env_ELU	Max	-0,00040	-0,00207	0,00066	0,00446	0,00168	-0,00006
257	Env_ELU	Min	-0,00040	-0,00207	-0,00583	0,00447	0,00168	-0,00007
258	Env_ELU	Max	-0,00040	-0,00207	0,00060	0,00448	0,00168	-0,00007
258	Env_ELU	Min	-0,00041	-0,00208	-0,00622	0,00449	0,00169	-0,00007
259	Env_ELU	Max	-0,00041	-0,00208	0,00054	0,00450	0,00169	-0,00007
259	Env_ELU	Min	-0,00041	-0,00208	-0,00661	0,00451	0,00169	-0,00007

260	Env_ELU	Max	-0,00041	-0,00208	0,00047	0,00452	0,00169	-0,00007
260	Env_ELU	Min	-0,00042	-0,00208	-0,00701	0,00453	0,00170	-0,00007
261	Env_ELU	Max	-0,00042	-0,00209	0,00040	0,00454	0,00170	-0,00007
261	Env_ELU	Min	-0,00042	-0,00209	-0,00741	0,00454	0,00170	-0,00007
262	Env_ELU	Max	-0,00042	-0,00209	0,00033	0,00455	0,00170	-0,00007
262	Env_ELU	Min	-0,00042	-0,00209	-0,00782	0,00456	0,00171	-0,00007
263	Env_ELU	Max	-0,00043	-0,00209	0,00025	0,00457	0,00171	-0,00007
263	Env_ELU	Min	-0,00043	-0,00209	-0,00823	0,00458	0,00171	-0,00007
264	Env_ELU	Max	-0,00043	-0,00210	0,00016	0,00459	0,00171	-0,00007
264	Env_ELU	Min	-0,00043	-0,00210	-0,00865	0,00460	0,00172	-0,00007
265	Env_ELU	Max	-0,00044	-0,00210	0,00008	0,00461	0,00172	-0,00007
265	Env_ELU	Min	-0,00044	-0,00210	-0,00906	0,00462	0,00172	-0,00007
266	Env_ELU	Max	-0,00044	-0,00210	-0,00002	0,00462	0,00172	-0,00007
266	Env_ELU	Min	-0,00044	-0,00211	-0,00948	0,00463	0,00173	-0,00007
267	Env_ELU	Max	-0,00044	-0,00211	-0,00011	0,00464	0,00173	-0,00007
267	Env_ELU	Min	-0,00045	-0,00211	-0,00990	0,00465	0,00173	-0,00007
268	Env_ELU	Max	-0,00045	-0,00211	-0,00020	0,00466	0,00173	-0,00007
268	Env_ELU	Min	-0,00045	-0,00211	-0,01032	0,00467	0,00174	-0,00007
269	Env_ELU	Max	-0,00045	-0,00211	-0,00030	0,00468	0,00174	-0,00007
269	Env_ELU	Min	-0,00046	-0,00212	-0,01074	0,00469	0,00174	-0,00007
270	Env_ELU	Max	-0,00046	-0,00212	-0,00040	0,00469	0,00174	-0,00007
270	Env_ELU	Min	-0,00046	-0,00212	-0,01116	0,00470	0,00175	-0,00007
271	Env_ELU	Max	-0,00046	-0,00212	-0,00051	0,00471	0,00175	-0,00007
271	Env_ELU	Min	-0,00047	-0,00212	-0,01157	0,00472	0,00175	-0,00007
272	Env_ELU	Max	-0,00047	-0,00213	-0,00061	0,00473	0,00176	-0,00007
272	Env_ELU	Min	-0,00047	-0,00213	-0,01198	0,00474	0,00176	-0,00007
273	Env_ELU	Max	-0,00047	-0,00213	-0,00071	0,00475	0,00176	-0,00007
273	Env_ELU	Min	-0,00047	-0,00213	-0,01239	0,00476	0,00176	-0,00007
274	Env_ELU	Max	-0,00048	-0,00213	-0,00082	0,00477	0,00177	-0,00007
274	Env_ELU	Min	-0,00048	-0,00213	-0,01280	0,00477	0,00177	-0,00007
275	Env_ELU	Max	-0,00048	-0,00214	-0,00092	0,00478	0,00177	-0,00007
275	Env_ELU	Min	-0,00048	-0,00214	-0,01320	0,00479	0,00177	-0,00007
276	Env_ELU	Max	-0,00049	-0,00214	-0,00103	0,00480	0,00178	-0,00007
276	Env_ELU	Min	-0,00049	-0,00214	-0,01359	0,00481	0,00178	-0,00007
277	Env_ELU	Max	-0,00049	-0,00214	-0,00113	0,00482	0,00178	-0,00007
277	Env_ELU	Min	-0,00049	-0,00215	-0,01398	0,00483	0,00178	-0,00007
278	Env_ELU	Max	-0,00049	-0,00215	-0,00124	0,00484	0,00179	-0,00007
278	Env_ELU	Min	-0,00050	-0,00215	-0,01436	0,00485	0,00179	-0,00007
279	Env_ELU	Max	-0,00050	-0,00215	-0,00134	0,00485	0,00179	-0,00007



279	Env_ELU	Min	-0,00050	-0,00215	-0,01473	0,00486	0,00179	-0,00007
280	Env_ELU	Max	-0,00050	-0,00216	-0,00144	0,00487	0,00180	-0,00007
280	Env_ELU	Min	-0,00051	-0,00216	-0,01510	0,00488	0,00180	-0,00007
281	Env_ELU	Max	-0,00051	-0,00216	-0,00155	0,00489	0,00180	-0,00007
281	Env_ELU	Min	-0,00051	-0,00216	-0,01545	0,00490	0,00180	-0,00007
282	Env_ELU	Max	-0,00051	-0,00216	-0,00165	0,00491	0,00181	-0,00007
282	Env_ELU	Min	-0,00051	-0,00216	-0,01580	0,00492	0,00181	-0,00007
283	Env_ELU	Max	-0,00052	-0,00217	-0,00174	0,00492	0,00181	-0,00007
283	Env_ELU	Min	-0,00052	-0,00217	-0,01614	0,00493	0,00181	-0,00007
284	Env_ELU	Max	-0,00052	-0,00217	-0,00184	0,00494	0,00182	-0,00007
284	Env_ELU	Min	-0,00052	-0,00217	-0,01646	0,00495	0,00182	-0,00007
285	Env_ELU	Max	-0,00053	-0,00217	-0,00194	0,00496	0,00182	-0,00007
285	Env_ELU	Min	-0,00053	-0,00218	-0,01678	0,00497	0,00182	-0,00007
286	Env_ELU	Max	-0,00053	-0,00218	-0,00203	0,00498	0,00183	-0,00007
286	Env_ELU	Min	-0,00053	-0,00218	-0,01708	0,00499	0,00183	-0,00007
287	Env_ELU	Max	-0,00054	-0,00218	-0,00212	0,00500	0,00183	-0,00007
287	Env_ELU	Min	-0,00054	-0,00218	-0,01738	0,00500	0,00183	-0,00008
288	Env_ELU	Max	-0,00054	-0,00218	-0,00221	0,00501	0,00184	-0,00008
288	Env_ELU	Min	-0,00054	-0,00219	-0,01766	0,00502	0,00184	-0,00008
289	Env_ELU	Max	-0,00054	-0,00219	-0,00229	0,00503	0,00184	-0,00008
289	Env_ELU	Min	-0,00055	-0,00219	-0,01792	0,00504	0,00184	-0,00008
290	Env_ELU	Max	-0,00055	-0,00219	-0,00237	0,00505	0,00185	-0,00008
290	Env_ELU	Min	-0,00055	-0,00219	-0,01818	0,00506	0,00185	-0,00008
291	Env_ELU	Max	-0,00055	-0,00220	-0,00245	0,00507	0,00185	-0,00008
291	Env_ELU	Min	-0,00056	-0,00220	-0,01842	0,00508	0,00185	-0,00008
292	Env_ELU	Max	-0,00056	-0,00220	-0,00252	0,00508	0,00186	-0,00008
292	Env_ELU	Min	-0,00056	-0,00220	-0,01864	0,00509	0,00186	-0,00008
293	Env_ELU	Max	-0,00056	-0,00220	-0,00260	0,00510	0,00186	-0,00008
293	Env_ELU	Min	-0,00056	-0,00221	-0,01886	0,00511	0,00186	-0,00008
294	Env_ELU	Max	-0,00057	-0,00221	-0,00266	0,00512	0,00187	-0,00008
294	Env_ELU	Min	-0,00057	-0,00221	-0,01905	0,00513	0,00187	-0,00008
295	Env_ELU	Max	-0,00057	-0,00221	-0,00273	0,00514	0,00187	-0,00008
295	Env_ELU	Min	-0,00057	-0,00221	-0,01924	0,00515	0,00188	-0,00008
296	Env_ELU	Max	-0,00058	-0,00221	-0,00279	0,00515	0,00188	-0,00008
296	Env_ELU	Min	-0,00058	-0,00222	-0,01941	0,00516	0,00188	-0,00008
297	Env_ELU	Max	-0,00058	-0,00222	-0,00287	0,00517	0,00188	-0,00008
297	Env_ELU	Min	-0,00058	-0,00222	-0,01963	0,00518	0,00189	-0,00008
298	Env_ELU	Max	-0,00058	-0,00222	-0,00289	0,00519	0,00189	-0,00008
298	Env_ELU	Min	-0,00059	-0,00222	-0,01970	0,00520	0,00189	-0,00008

299	Env_ELU	Max	-0,00059	-0,00223	-0,00291	0,00521	0,00189	-0,00008
299	Env_ELU	Min	-0,00059	-0,00223	-0,01976	0,00522	0,00190	-0,00008
300	Env_ELU	Max	-0,00059	-0,00223	-0,00294	0,00523	0,00190	-0,00008
300	Env_ELU	Min	-0,00060	-0,00223	-0,01983	0,00523	0,00190	-0,00008
301	Env_ELU	Max	-0,00060	-0,00223	-0,00296	0,00524	0,00190	-0,00008
301	Env_ELU	Min	-0,00060	-0,00223	-0,01989	0,00525	0,00191	-0,00008
302	Env_ELU	Max	-0,00060	-0,00224	-0,00298	0,00526	0,00191	-0,00008
302	Env_ELU	Min	-0,00061	-0,00224	-0,01995	0,00527	0,00191	-0,00008
303	Env_ELU	Max	-0,00061	-0,00224	-0,00299	0,00528	0,00191	-0,00008
303	Env_ELU	Min	-0,00061	-0,00224	-0,02000	0,00529	0,00192	-0,00008
304	Env_ELU	Max	-0,00061	-0,00224	-0,00301	0,00530	0,00192	-0,00008
304	Env_ELU	Min	-0,00061	-0,00225	-0,02004	0,00531	0,00192	-0,00008
305	Env_ELU	Max	-0,00062	-0,00225	-0,00302	0,00531	0,00192	-0,00008
305	Env_ELU	Min	-0,00062	-0,00225	-0,02009	0,00532	0,00193	-0,00008
306	Env_ELU	Max	-0,00062	-0,00225	-0,00304	0,00533	0,00193	-0,00008
306	Env_ELU	Min	-0,00062	-0,00225	-0,02012	0,00534	0,00193	-0,00008
307	Env_ELU	Max	-0,00063	-0,00226	-0,00305	0,00535	0,00193	-0,00008
307	Env_ELU	Min	-0,00063	-0,00226	-0,02015	0,00536	0,00194	-0,00008
308	Env_ELU	Max	-0,00063	-0,00226	-0,00306	0,00537	0,00194	-0,00008
308	Env_ELU	Min	-0,00063	-0,00226	-0,02017	0,00538	0,00194	-0,00008
309	Env_ELU	Max	-0,00063	-0,00226	-0,00307	0,00538	0,00194	-0,00008
309	Env_ELU	Min	-0,00064	-0,00226	-0,02019	0,00539	0,00195	-0,00008
310	Env_ELU	Max	-0,00064	-0,00227	-0,00308	0,00540	0,00195	-0,00008
310	Env_ELU	Min	-0,00064	-0,00227	-0,02021	0,00541	0,00195	-0,00008
311	Env_ELU	Max	-0,00064	-0,00227	-0,00309	0,00542	0,00195	-0,00008
311	Env_ELU	Min	-0,00065	-0,00227	-0,02023	0,00543	0,00196	-0,00008
312	Env_ELU	Max	-0,00065	-0,00227	-0,00310	0,00544	0,00196	-0,00008
312	Env_ELU	Min	-0,00065	-0,00228	-0,02024	0,00545	0,00196	-0,00008
313	Env_ELU	Max	-0,00065	-0,00228	-0,00312	0,00546	0,00196	-0,00008
313	Env_ELU	Min	-0,00065	-0,00228	-0,02024	0,00546	0,00197	-0,00008
314	Env_ELU	Max	-0,00066	-0,00228	-0,00312	0,00547	0,00197	-0,00008
314	Env_ELU	Min	-0,00066	-0,00228	-0,02020	0,00548	0,00197	-0,00008
315	Env_ELU	Max	-0,00066	-0,00228	-0,00312	0,00549	0,00197	-0,00008
315	Env_ELU	Min	-0,00066	-0,00229	-0,02013	0,00550	0,00198	-0,00008
316	Env_ELU	Max	-0,00067	-0,00229	-0,00311	0,00551	0,00198	-0,00008
316	Env_ELU	Min	-0,00067	-0,00229	-0,02004	0,00552	0,00198	-0,00008
317	Env_ELU	Max	-0,00067	-0,00229	-0,00310	0,00553	0,00198	-0,00008
317	Env_ELU	Min	-0,00067	-0,00229	-0,01993	0,00554	0,00199	-0,00009
318	Env_ELU	Max	-0,00068	-0,00230	-0,00307	0,00554	0,00199	-0,00009



318	Env_ELU	Min	-0,00068	-0,00230	-0,01978	0,00555	0,00199	-0,00009
319	Env_ELU	Max	-0,00068	-0,00230	-0,00304	0,00556	0,00200	-0,00009
319	Env_ELU	Min	-0,00068	-0,00230	-0,01962	0,00557	0,00200	-0,00009
320	Env_ELU	Max	-0,00068	-0,00230	-0,00301	0,00558	0,00200	-0,00009
320	Env_ELU	Min	-0,00069	-0,00230	-0,01943	0,00559	0,00200	-0,00009
321	Env_ELU	Max	-0,00069	-0,00231	-0,00296	0,00560	0,00201	-0,00009
321	Env_ELU	Min	-0,00069	-0,00231	-0,01921	0,00561	0,00201	-0,00009
322	Env_ELU	Max	-0,00069	-0,00231	-0,00291	0,00561	0,00201	-0,00009
322	Env_ELU	Min	-0,00070	-0,00231	-0,01897	0,00562	0,00201	-0,00009
323	Env_ELU	Max	-0,00070	-0,00231	-0,00285	0,00563	0,00202	-0,00009
323	Env_ELU	Min	-0,00070	-0,00232	-0,01870	0,00564	0,00202	-0,00009
324	Env_ELU	Max	-0,00070	-0,00232	-0,00279	0,00565	0,00202	-0,00009
324	Env_ELU	Min	-0,00070	-0,00232	-0,01842	0,00566	0,00202	-0,00009
325	Env_ELU	Max	-0,00071	-0,00232	-0,00272	0,00567	0,00203	-0,00009
325	Env_ELU	Min	-0,00071	-0,00232	-0,01811	0,00568	0,00203	-0,00009
326	Env_ELU	Max	-0,00071	-0,00233	-0,00264	0,00569	0,00203	-0,00009
326	Env_ELU	Min	-0,00071	-0,00233	-0,01778	0,00569	0,00203	-0,00009
327	Env_ELU	Max	-0,00072	-0,00233	-0,00256	0,00570	0,00204	-0,00009
327	Env_ELU	Min	-0,00072	-0,00233	-0,01742	0,00571	0,00204	-0,00009
328	Env_ELU	Max	-0,00072	-0,00233	-0,00248	0,00572	0,00204	-0,00009
328	Env_ELU	Min	-0,00072	-0,00233	-0,01705	0,00573	0,00204	-0,00009
329	Env_ELU	Max	-0,00073	-0,00234	-0,00239	0,00574	0,00205	-0,00009
329	Env_ELU	Min	-0,00073	-0,00234	-0,01666	0,00575	0,00205	-0,00009
330	Env_ELU	Max	-0,00073	-0,00234	-0,00229	0,00576	0,00205	-0,00009
330	Env_ELU	Min	-0,00073	-0,00234	-0,01626	0,00577	0,00205	-0,00009
331	Env_ELU	Max	-0,00073	-0,00234	-0,00219	0,00577	0,00206	-0,00009
331	Env_ELU	Min	-0,00074	-0,00235	-0,01583	0,00578	0,00206	-0,00009
332	Env_ELU	Max	-0,00074	-0,00235	-0,00209	0,00579	0,00206	-0,00009
332	Env_ELU	Min	-0,00074	-0,00235	-0,01538	0,00580	0,00206	-0,00009
333	Env_ELU	Max	-0,00074	-0,00235	-0,00199	0,00581	0,00207	-0,00009
333	Env_ELU	Min	-0,00075	-0,00235	-0,01492	0,00582	0,00207	-0,00009
334	Env_ELU	Max	-0,00075	-0,00235	-0,00188	0,00583	0,00207	-0,00009
334	Env_ELU	Min	-0,00075	-0,00236	-0,01445	0,00584	0,00207	-0,00009
335	Env_ELU	Max	-0,00075	-0,00236	-0,00177	0,00584	0,00208	-0,00009
335	Env_ELU	Min	-0,00075	-0,00236	-0,01396	0,00585	0,00208	-0,00009
336	Env_ELU	Max	-0,00076	-0,00236	-0,00166	0,00586	0,00208	-0,00009
336	Env_ELU	Min	-0,00076	-0,00236	-0,01347	0,00587	0,00208	-0,00009
337	Env_ELU	Max	-0,00076	-0,00237	-0,00154	0,00588	0,00209	-0,00009
337	Env_ELU	Min	-0,00076	-0,00237	-0,01296	0,00589	0,00209	-0,00009

338	Env_ELU	Max	-0,00077	-0,00237	-0,00143	0,00590	0,00209	-0,00009
338	Env_ELU	Min	-0,00077	-0,00237	-0,01244	0,00591	0,00209	-0,00009
339	Env_ELU	Max	-0,00077	-0,00237	-0,00132	0,00592	0,00210	-0,00009
339	Env_ELU	Min	-0,00077	-0,00238	-0,01191	0,00592	0,00210	-0,00009
340	Env_ELU	Max	-0,00077	-0,00238	-0,00121	0,00593	0,00210	-0,00009
340	Env_ELU	Min	-0,00078	-0,00238	-0,01138	0,00594	0,00211	-0,00009
341	Env_ELU	Max	-0,00078	-0,00238	-0,00110	0,00595	0,00211	-0,00009
341	Env_ELU	Min	-0,00078	-0,00238	-0,01083	0,00596	0,00211	-0,00009
342	Env_ELU	Max	-0,00078	-0,00238	-0,00099	0,00597	0,00211	-0,00009
342	Env_ELU	Min	-0,00079	-0,00239	-0,01029	0,00598	0,00212	-0,00009
343	Env_ELU	Max	-0,00079	-0,00239	-0,00088	0,00599	0,00212	-0,00009
343	Env_ELU	Min	-0,00079	-0,00239	-0,00974	0,00600	0,00212	-0,00009
344	Env_ELU	Max	-0,00079	-0,00239	-0,00077	0,00600	0,00212	-0,00009
344	Env_ELU	Min	-0,00080	-0,00239	-0,00918	0,00601	0,00213	-0,00009
345	Env_ELU	Max	-0,00080	-0,00240	-0,00067	0,00602	0,00213	-0,00009
345	Env_ELU	Min	-0,00080	-0,00240	-0,00863	0,00603	0,00213	-0,00009
346	Env_ELU	Max	-0,00080	-0,00240	-0,00058	0,00604	0,00213	-0,00009
346	Env_ELU	Min	-0,00080	-0,00240	-0,00808	0,00605	0,00214	-0,00009
347	Env_ELU	Max	-0,00081	-0,00240	-0,00049	0,00606	0,00214	-0,00009
347	Env_ELU	Min	-0,00081	-0,00240	-0,00753	0,00607	0,00214	-0,00010
348	Env_ELU	Max	-0,00081	-0,00241	-0,00040	0,00607	0,00214	-0,00010
348	Env_ELU	Min	-0,00081	-0,00241	-0,00699	0,00608	0,00215	-0,00010
349	Env_ELU	Max	-0,00082	-0,00241	-0,00032	0,00609	0,00215	-0,00010
349	Env_ELU	Min	-0,00082	-0,00241	-0,00645	0,00610	0,00215	-0,00010
350	Env_ELU	Max	-0,00082	-0,00241	-0,00025	0,00611	0,00215	-0,00010
350	Env_ELU	Min	-0,00082	-0,00242	-0,00592	0,00612	0,00216	-0,00010
351	Env_ELU	Max	-0,00082	-0,00242	-0,00018	0,00613	0,00216	-0,00010
351	Env_ELU	Min	-0,00083	-0,00242	-0,00539	0,00614	0,00216	-0,00010
352	Env_ELU	Max	-0,00083	-0,00242	-0,00013	0,00615	0,00216	-0,00010
352	Env_ELU	Min	-0,00083	-0,00242	-0,00487	0,00615	0,00217	-0,00010
353	Env_ELU	Max	-0,00083	-0,00243	-0,00008	0,00616	0,00217	-0,00010
353	Env_ELU	Min	-0,00084	-0,00243	-0,00436	0,00617	0,00217	-0,00010
354	Env_ELU	Max	-0,00084	-0,00243	-0,00004	0,00618	0,00217	-0,00010
354	Env_ELU	Min	-0,00084	-0,00243	-0,00387	0,00619	0,00218	-0,00010
355	Env_ELU	Max	-0,00084	-0,00243	-0,00001	0,00620	0,00218	-0,00010
355	Env_ELU	Min	-0,00084	-0,00243	-0,00338	0,00621	0,00218	-0,00010
356	Env_ELU	Max	-0,00085	-0,00244	0,00001	0,00622	0,00218	-0,00010
356	Env_ELU	Min	-0,00085	-0,00244	-0,00291	0,00623	0,00219	-0,00010
357	Env_ELU	Max	-0,00085	-0,00244	0,00002	0,00623	0,00219	-0,00010



357	Env_ELU	Min	-0,00085	-0,00244	-0,00245	0,00624	0,00219	-0,00010
358	Env_ELU	Max	-0,00086	-0,00244	0,00001	0,00625	0,00219	-0,00010
358	Env_ELU	Min	-0,00086	-0,00245	-0,00201	0,00626	0,00220	-0,00010
359	Env_ELU	Max	-0,00086	-0,00245	-0,00001	0,00627	0,00220	-0,00010
359	Env_ELU	Min	-0,00086	-0,00245	-0,00142	0,00628	0,00220	-0,00010
360	Env_ELU	Max	-0,00087	-0,00245	-0,00002	0,00629	0,00220	-0,00010
360	Env_ELU	Min	-0,00087	-0,00245	-0,00125	0,00630	0,00221	-0,00010
361	Env_ELU	Max	-0,00087	-0,00245	-0,00004	0,00631	0,00221	-0,00010
361	Env_ELU	Min	-0,00087	-0,00246	-0,00109	0,00631	0,00221	-0,00010
362	Env_ELU	Max	-0,00087	-0,00246	-0,00005	0,00632	0,00221	-0,00010
362	Env_ELU	Min	-0,00088	-0,00246	-0,00093	0,00633	0,00222	-0,00010
363	Env_ELU	Max	-0,00088	-0,00246	-0,00007	0,00634	0,00222	-0,00010
363	Env_ELU	Min	-0,00088	-0,00246	-0,00078	0,00635	0,00222	-0,00010
364	Env_ELU	Max	-0,00088	-0,00247	-0,00008	0,00636	0,00223	-0,00010
364	Env_ELU	Min	-0,00089	-0,00247	-0,00062	0,00637	0,00223	-0,00010
365	Env_ELU	Max	-0,00089	-0,00247	-0,00010	0,00638	0,00223	-0,00010
365	Env_ELU	Min	-0,00089	-0,00247	-0,00047	0,00638	0,00223	-0,00010
366	Env_ELU	Max	-0,00089	-0,00247	-0,00011	0,00639	0,00224	-0,00010
366	Env_ELU	Min	-0,00089	-0,00247	-0,00033	0,00640	0,00224	-0,00010
367	Env_ELU	Max	-0,00090	-0,00248	-0,00003	0,00641	0,00224	-0,00010
367	Env_ELU	Min	-0,00090	-0,00248	-0,00031	0,00642	0,00224	-0,00010
368	Env_ELU	Max	-0,00090	-0,00248	0,00011	0,00643	0,00225	-0,00010
368	Env_ELU	Min	-0,00090	-0,00248	-0,00034	0,00644	0,00225	-0,00010
369	Env_ELU	Max	-0,00091	-0,00248	0,00024	0,00645	0,00225	-0,00010
369	Env_ELU	Min	-0,00091	-0,00249	-0,00037	0,00646	0,00225	-0,00010
370	Env_ELU	Max	-0,00091	-0,00249	0,00037	0,00646	0,00226	-0,00010
370	Env_ELU	Min	-0,00091	-0,00249	-0,00041	0,00647	0,00226	-0,00010
371	Env_ELU	Max	-0,00091	-0,00249	0,00051	0,00648	0,00226	-0,00010
371	Env_ELU	Min	-0,00092	-0,00249	-0,00045	0,00649	0,00226	-0,00010
372	Env_ELU	Max	-0,00092	-0,00250	0,00064	0,00650	0,00227	-0,00010
372	Env_ELU	Min	-0,00092	-0,00250	-0,00049	0,00651	0,00227	-0,00010
373	Env_ELU	Max	-0,00092	-0,00250	0,00077	0,00652	0,00227	-0,00010
373	Env_ELU	Min	-0,00093	-0,00250	-0,00054	0,00653	0,00227	-0,00010
374	Env_ELU	Max	-0,00093	-0,00250	0,00090	0,00654	0,00228	-0,00010
374	Env_ELU	Min	-0,00093	-0,00250	-0,00058	0,00654	0,00228	-0,00010
375	Env_ELU	Max	-0,00093	-0,00251	-0,00846	0,00655	0,00228	-0,00010
375	Env_ELU	Min	-0,00094	-0,00251	-0,04101	0,00656	0,00228	-0,00010
376	Env_ELU	Max	-0,00094	-0,00251	-0,00847	0,00657	0,00229	-0,00010
376	Env_ELU	Min	-0,00094	-0,00251	-0,04105	0,00658	0,00229	-0,00010

377	Env_ELU	Max	-0,00094	-0,00251	-0,00849	0,00659	0,00229	-0,00010
377	Env_ELU	Min	-0,00094	-0,00252	-0,04108	0,00660	0,00229	-0,00011
378	Env_ELU	Max	-0,00095	-0,00252	-0,00850	0,00661	0,00230	-0,00011
378	Env_ELU	Min	-0,00095	-0,00252	-0,04112	0,00661	0,00230	-0,00011
379	Env_ELU	Max	-0,00095	-0,00252	-0,00851	0,00662	0,00230	-0,00011
379	Env_ELU	Min	-0,00095	-0,00252	-0,04115	0,00663	0,00230	-0,00011
380	Env_ELU	Max	-0,00096	-0,00252	-0,00853	0,00664	0,00231	-0,00011
380	Env_ELU	Min	-0,00096	-0,00253	-0,04118	0,00665	0,00231	-0,00011
381	Env_ELU	Max	-0,00096	-0,00253	-0,00854	0,00666	0,00231	-0,00011
381	Env_ELU	Min	-0,00096	-0,00253	-0,04121	0,00667	0,00231	-0,00011
382	Env_ELU	Max	-0,00096	-0,00253	-0,00855	0,00668	0,00232	-0,00011
382	Env_ELU	Min	-0,00097	-0,00253	-0,04124	0,00669	0,00232	-0,00011
383	Env_ELU	Max	-0,00097	-0,00254	-0,00856	0,00669	0,00232	-0,00011
383	Env_ELU	Min	-0,00097	-0,00254	-0,04127	0,00670	0,00232	-0,00011
384	Env_ELU	Max	-0,00097	-0,00254	-0,00857	0,00671	0,00233	-0,00011
384	Env_ELU	Min	-0,00098	-0,00254	-0,04130	0,00672	0,00233	-0,00011
385	Env_ELU	Max	-0,00098	-0,00254	-0,00858	0,00673	0,00233	-0,00011
385	Env_ELU	Min	-0,00098	-0,00255	-0,04132	0,00674	0,00233	-0,00011
386	Env_ELU	Max	-0,00098	-0,00255	-0,00859	0,00675	0,00234	-0,00011
386	Env_ELU	Min	-0,00098	-0,00255	-0,04134	0,00676	0,00234	-0,00011
387	Env_ELU	Max	-0,00099	-0,00255	-0,00860	0,00677	0,00234	-0,00011
387	Env_ELU	Min	-0,00099	-0,00255	-0,04136	0,00677	0,00235	-0,00011
388	Env_ELU	Max	-0,00099	-0,00255	-0,00861	0,00678	0,00235	-0,00011
388	Env_ELU	Min	-0,00099	-0,00256	-0,04138	0,00679	0,00235	-0,00011
389	Env_ELU	Max	-0,00100	-0,00256	-0,00862	0,00680	0,00235	-0,00011
389	Env_ELU	Min	-0,00100	-0,00256	-0,04139	0,00681	0,00236	-0,00011
390	Env_ELU	Max	-0,00100	-0,00256	-0,00862	0,00682	0,00236	-0,00011
390	Env_ELU	Min	-0,00100	-0,00256	-0,04141	0,00683	0,00236	-0,00011
391	Env_ELU	Max	-0,00101	-0,00257	-0,00863	0,00684	0,00236	-0,00011
391	Env_ELU	Min	-0,00101	-0,00257	-0,04142	0,00684	0,00237	-0,00011
392	Env_ELU	Max	-0,00101	-0,00257	-0,00865	0,00685	0,00237	-0,00011
392	Env_ELU	Min	-0,00101	-0,00257	-0,04146	0,00686	0,00237	-0,00011
393	Env_ELU	Max	-0,00101	-0,00257	-0,00865	0,00687	0,00237	-0,00011
393	Env_ELU	Min	-0,00102	-0,00257	-0,04145	0,00688	0,00238	-0,00011
394	Env_ELU	Max	-0,00102	-0,00258	-0,00863	0,00689	0,00238	-0,00011
394	Env_ELU	Min	-0,00102	-0,00258	-0,04140	0,00690	0,00238	-0,00011
395	Env_ELU	Max	-0,00102	-0,00258	-0,00861	0,00691	0,00238	-0,00011
395	Env_ELU	Min	-0,00103	-0,00258	-0,04131	0,00692	0,00239	-0,00011
396	Env_ELU	Max	-0,00103	-0,00258	-0,00857	0,00692	0,00239	-0,00011



396	Env_ELU	Min	-0,00103	-0,00259	-0,04118	0,00693	0,00239	-0,00011
397	Env_ELU	Max	-0,00103	-0,00259	-0,00851	0,00694	0,00239	-0,00011
397	Env_ELU	Min	-0,00103	-0,00259	-0,04101	0,00695	0,00240	-0,00011
398	Env_ELU	Max	-0,00104	-0,00259	-0,00845	0,00696	0,00240	-0,00011
398	Env_ELU	Min	-0,00104	-0,00259	-0,04081	0,00697	0,00240	-0,00011
399	Env_ELU	Max	-0,00104	-0,00260	-0,00837	0,00698	0,00240	-0,00011
399	Env_ELU	Min	-0,00104	-0,00260	-0,04056	0,00699	0,00241	-0,00011
400	Env_ELU	Max	-0,00105	-0,00260	-0,00827	0,00700	0,00241	-0,00011
400	Env_ELU	Min	-0,00105	-0,00260	-0,04028	0,00700	0,00241	-0,00011
401	Env_ELU	Max	-0,00105	-0,00260	-0,00817	0,00701	0,00241	-0,00011
401	Env_ELU	Min	-0,00105	-0,00260	-0,03995	0,00702	0,00242	-0,00011
402	Env_ELU	Max	-0,00105	-0,00261	-0,00805	0,00703	0,00242	-0,00011
402	Env_ELU	Min	-0,00106	-0,00261	-0,03959	0,00704	0,00242	-0,00011
403	Env_ELU	Max	-0,00106	-0,00261	-0,00792	0,00705	0,00242	-0,00011
403	Env_ELU	Min	-0,00106	-0,00261	-0,03920	0,00706	0,00243	-0,00011
404	Env_ELU	Max	-0,00106	-0,00261	-0,00778	0,00707	0,00243	-0,00011
404	Env_ELU	Min	-0,00107	-0,00262	-0,03876	0,00707	0,00243	-0,00011
405	Env_ELU	Max	-0,00107	-0,00262	-0,00763	0,00708	0,00243	-0,00011
405	Env_ELU	Min	-0,00107	-0,00262	-0,03829	0,00709	0,00244	-0,00011
406	Env_ELU	Max	-0,00107	-0,00262	-0,00747	0,00710	0,00244	-0,00011
406	Env_ELU	Min	-0,00108	-0,00262	-0,03779	0,00711	0,00244	-0,00011
407	Env_ELU	Max	-0,00108	-0,00262	-0,00730	0,00712	0,00244	-0,00011
407	Env_ELU	Min	-0,00108	-0,00263	-0,03725	0,00713	0,00245	-0,00012
408	Env_ELU	Max	-0,00108	-0,00263	-0,00711	0,00714	0,00245	-0,00012
408	Env_ELU	Min	-0,00108	-0,00263	-0,03669	0,00715	0,00245	-0,00012
409	Env_ELU	Max	-0,00109	-0,00263	-0,00692	0,00715	0,00246	-0,00012
409	Env_ELU	Min	-0,00109	-0,00263	-0,03609	0,00716	0,00246	-0,00012
410	Env_ELU	Max	-0,00109	-0,00264	-0,00672	0,00717	0,00246	-0,00012
410	Env_ELU	Min	-0,00109	-0,00264	-0,03546	0,00718	0,00246	-0,00012
411	Env_ELU	Max	-0,00110	-0,00264	-0,00652	0,00719	0,00247	-0,00012
411	Env_ELU	Min	-0,00110	-0,00264	-0,03481	0,00720	0,00247	-0,00012
412	Env_ELU	Max	-0,00110	-0,00264	-0,00630	0,00721	0,00247	-0,00012
412	Env_ELU	Min	-0,00110	-0,00264	-0,03412	0,00722	0,00247	-0,00012
413	Env_ELU	Max	-0,00110	-0,00265	-0,00608	0,00723	0,00248	-0,00012
413	Env_ELU	Min	-0,00111	-0,00265	-0,03341	0,00723	0,00248	-0,00012
414	Env_ELU	Max	-0,00111	-0,00265	-0,00585	0,00724	0,00248	-0,00012
414	Env_ELU	Min	-0,00111	-0,00265	-0,03268	0,00725	0,00248	-0,00012
415	Env_ELU	Max	-0,00111	-0,00265	-0,00562	0,00726	0,00249	-0,00012
415	Env_ELU	Min	-0,00112	-0,00266	-0,03192	0,00727	0,00249	-0,00012

416	Env_ELU	Max	-0,00112	-0,00266	-0,00538	0,00728	0,00249	-0,00012
416	Env_ELU	Min	-0,00112	-0,00266	-0,03113	0,00729	0,00249	-0,00012
417	Env_ELU	Max	-0,00112	-0,00266	-0,00514	0,00730	0,00250	-0,00012
417	Env_ELU	Min	-0,00112	-0,00266	-0,03033	0,00730	0,00250	-0,00012
418	Env_ELU	Max	-0,00113	-0,00267	-0,00489	0,00731	0,00250	-0,00012
418	Env_ELU	Min	-0,00113	-0,00267	-0,02951	0,00732	0,00250	-0,00012
419	Env_ELU	Max	-0,00113	-0,00267	-0,00464	0,00733	0,00251	-0,00012
419	Env_ELU	Min	-0,00113	-0,00267	-0,02867	0,00734	0,00251	-0,00012
420	Env_ELU	Max	-0,00114	-0,00267	-0,00439	0,00735	0,00251	-0,00012
420	Env_ELU	Min	-0,00114	-0,00267	-0,02781	0,00736	0,00251	-0,00012
421	Env_ELU	Max	-0,00114	-0,00268	-0,00414	0,00737	0,00252	-0,00012
421	Env_ELU	Min	-0,00114	-0,00268	-0,02694	0,00738	0,00252	-0,00012
422	Env_ELU	Max	-0,00115	-0,00268	-0,00389	0,00738	0,00252	-0,00012
422	Env_ELU	Min	-0,00115	-0,00268	-0,02606	0,00739	0,00252	-0,00012
423	Env_ELU	Max	-0,00115	-0,00268	-0,00364	0,00740	0,00253	-0,00012
423	Env_ELU	Min	-0,00115	-0,00269	-0,02516	0,00741	0,00253	-0,00012
424	Env_ELU	Max	-0,00115	-0,00269	-0,00339	0,00742	0,00253	-0,00012
424	Env_ELU	Min	-0,00116	-0,00269	-0,02425	0,00743	0,00253	-0,00012
425	Env_ELU	Max	-0,00116	-0,00269	-0,00314	0,00744	0,00254	-0,00012
425	Env_ELU	Min	-0,00116	-0,00269	-0,02334	0,00745	0,00254	-0,00012
426	Env_ELU	Max	-0,00116	-0,00269	-0,00289	0,00746	0,00254	-0,00012
426	Env_ELU	Min	-0,00117	-0,00270	-0,02242	0,00746	0,00254	-0,00012
427	Env_ELU	Max	-0,00117	-0,00270	-0,00265	0,00747	0,00255	-0,00012
427	Env_ELU	Min	-0,00117	-0,00270	-0,02149	0,00748	0,00255	-0,00012
428	Env_ELU	Max	-0,00117	-0,00270	-0,00241	0,00749	0,00255	-0,00012
428	Env_ELU	Min	-0,00117	-0,00270	-0,02057	0,00750	0,00255	-0,00012
429	Env_ELU	Max	-0,00118	-0,00271	-0,00218	0,00751	0,00256	-0,00012
429	Env_ELU	Min	-0,00118	-0,00271	-0,01964	0,00752	0,00256	-0,00012
430	Env_ELU	Max	-0,00118	-0,00271	-0,00195	0,00753	0,00256	-0,00012
430	Env_ELU	Min	-0,00118	-0,00271	-0,01870	0,00753	0,00256	-0,00012
431	Env_ELU	Max	-0,00119	-0,00271	-0,00173	0,00754	0,00257	-0,00012
431	Env_ELU	Min	-0,00119	-0,00272	-0,01778	0,00755	0,00257	-0,00012
432	Env_ELU	Max	-0,00119	-0,00272	-0,00152	0,00756	0,00257	-0,00012
432	Env_ELU	Min	-0,00119	-0,00272	-0,01685	0,00757	0,00258	-0,00012
433	Env_ELU	Max	-0,00120	-0,00272	-0,00132	0,00758	0,00258	-0,00012
433	Env_ELU	Min	-0,00120	-0,00272	-0,01593	0,00759	0,00258	-0,00012
434	Env_ELU	Max	-0,00120	-0,00272	-0,00112	0,00760	0,00258	-0,00012
434	Env_ELU	Min	-0,00120	-0,00273	-0,01502	0,00761	0,00259	-0,00012
435	Env_ELU	Max	-0,00120	-0,00273	-0,00093	0,00761	0,00259	-0,00012



435	Env_ELU	Min	-0,00121	-0,00273	-0,01411	0,00762	0,00259	-0,00012
436	Env_ELU	Max	-0,00121	-0,00273	-0,00076	0,00763	0,00259	-0,00012
436	Env_ELU	Min	-0,00121	-0,00273	-0,01322	0,00764	0,00260	-0,00012
437	Env_ELU	Max	-0,00121	-0,00274	-0,00059	0,00765	0,00260	-0,00012
437	Env_ELU	Min	-0,00122	-0,00274	-0,01233	0,00766	0,00260	-0,00013
438	Env_ELU	Max	-0,00122	-0,00274	-0,00044	0,00767	0,00260	-0,00013
438	Env_ELU	Min	-0,00122	-0,00274	-0,01146	0,00768	0,00261	-0,00013
439	Env_ELU	Max	-0,00122	-0,00274	-0,00030	0,00769	0,00261	-0,00013
439	Env_ELU	Min	-0,00122	-0,00274	-0,01061	0,00769	0,00261	-0,00013
440	Env_ELU	Max	-0,00123	-0,00275	-0,00018	0,00770	0,00261	-0,00013
440	Env_ELU	Min	-0,00123	-0,00275	-0,00977	0,00771	0,00262	-0,00013
441	Env_ELU	Max	-0,00123	-0,00275	-0,00006	0,00772	0,00262	-0,00013
441	Env_ELU	Min	-0,00123	-0,00275	-0,00895	0,00773	0,00262	-0,00013
442	Env_ELU	Max	-0,00124	-0,00275	0,00004	0,00774	0,00262	-0,00013
442	Env_ELU	Min	-0,00124	-0,00276	-0,00814	0,00775	0,00263	-0,00013
443	Env_ELU	Max	-0,00124	-0,00276	0,00012	0,00776	0,00263	-0,00013
443	Env_ELU	Min	-0,00124	-0,00276	-0,00736	0,00776	0,00263	-0,00013
444	Env_ELU	Max	-0,00124	-0,00276	0,00019	0,00777	0,00263	-0,00013
444	Env_ELU	Min	-0,00125	-0,00276	-0,00660	0,00778	0,00264	-0,00013
445	Env_ELU	Max	-0,00125	-0,00277	0,00024	0,00779	0,00264	-0,00013
445	Env_ELU	Min	-0,00125	-0,00277	-0,00586	0,00780	0,00264	-0,00013
446	Env_ELU	Max	-0,00125	-0,00277	0,00028	0,00781	0,00264	-0,00013
446	Env_ELU	Min	-0,00126	-0,00277	-0,00515	0,00782	0,00265	-0,00013
447	Env_ELU	Max	-0,00126	-0,00277	0,00029	0,00783	0,00265	-0,00013
447	Env_ELU	Min	-0,00126	-0,00277	-0,00446	0,00784	0,00265	-0,00013
448	Env_ELU	Max	-0,00126	-0,00278	0,00029	0,00784	0,00265	-0,00013
448	Env_ELU	Min	-0,00127	-0,00278	-0,00380	0,00785	0,00266	-0,00013
449	Env_ELU	Max	-0,00127	-0,00278	0,00028	0,00786	0,00266	-0,00013
449	Env_ELU	Min	-0,00127	-0,00278	-0,00317	0,00787	0,00266	-0,00013
450	Env_ELU	Max	-0,00127	-0,00278	0,00021	0,00788	0,00266	-0,00013
450	Env_ELU	Min	-0,00127	-0,00279	-0,00226	0,00789	0,00267	-0,00013
451	Env_ELU	Max	-0,00128	-0,00279	0,00017	0,00790	0,00267	-0,00013
451	Env_ELU	Min	-0,00128	-0,00279	-0,00197	0,00791	0,00267	-0,00013
452	Env_ELU	Max	-0,00128	-0,00279	0,00013	0,00792	0,00267	-0,00013
452	Env_ELU	Min	-0,00128	-0,00279	-0,00168	0,00792	0,00268	-0,00013
453	Env_ELU	Max	-0,00129	-0,00279	0,00009	0,00793	0,00268	-0,00013
453	Env_ELU	Min	-0,00129	-0,00280	-0,00139	0,00794	0,00268	-0,00013
454	Env_ELU	Max	-0,00129	-0,00280	0,00004	0,00795	0,00268	-0,00013
454	Env_ELU	Min	-0,00129	-0,00280	-0,00112	0,00796	0,00269	-0,00013

455	Env_ELU	Max	-0,00129	-0,00280	-0,00001	0,00797	0,00269	-0,00013
455	Env_ELU	Min	-0,00130	-0,00280	-0,00085	0,00798	0,00269	-0,00013
456	Env_ELU	Max	-0,00130	-0,00281	-0,00007	0,00799	0,00270	-0,00013
456	Env_ELU	Min	-0,00130	-0,00281	-0,00059	0,00799	0,00270	-0,00013
457	Env_ELU	Max	-0,00130	-0,00281	-0,00013	0,00800	0,00270	-0,00013
457	Env_ELU	Min	-0,00131	-0,00281	-0,00035	0,00801	0,00270	-0,00013
458	Env_ELU	Max	-0,00131	-0,00281	-0,00001	0,00802	0,00271	-0,00013
458	Env_ELU	Min	-0,00131	-0,00281	-0,00029	0,00803	0,00271	-0,00013
459	Env_ELU	Max	-0,00131	-0,00282	0,00013	0,00804	0,00271	-0,00013
459	Env_ELU	Min	-0,00131	-0,00282	-0,00030	0,00805	0,00271	-0,00013
460	Env_ELU	Max	-0,00132	-0,00282	0,00031	0,00806	0,00272	-0,00013
460	Env_ELU	Min	-0,00132	-0,00282	-0,00039	0,00807	0,00272	-0,00013
461	Env_ELU	Max	-0,00132	-0,00282	0,00051	0,00807	0,00272	-0,00013
461	Env_ELU	Min	-0,00132	-0,00283	-0,00048	0,00808	0,00272	-0,00013
462	Env_ELU	Max	-0,00133	-0,00283	0,00070	0,00809	0,00273	-0,00013
462	Env_ELU	Min	-0,00133	-0,00283	-0,00058	0,00810	0,00273	-0,00013
463	Env_ELU	Max	-0,00133	-0,00283	0,00089	0,00811	0,00273	-0,00013
463	Env_ELU	Min	-0,00133	-0,00283	-0,00069	0,00812	0,00273	-0,00013
464	Env_ELU	Max	-0,00134	-0,00284	0,00106	0,00813	0,00274	-0,00013
464	Env_ELU	Min	-0,00134	-0,00284	-0,00080	0,00814	0,00274	-0,00013
465	Env_ELU	Max	-0,00134	-0,00284	0,00123	0,00815	0,00274	-0,00013
465	Env_ELU	Min	-0,00134	-0,00284	-0,00091	0,00815	0,00274	-0,00013
466	Env_ELU	Max	-0,00134	-0,00284	0,00168	0,00816	0,00275	-0,00013
466	Env_ELU	Min	-0,00135	-0,00284	-0,00128	0,00817	0,00275	-0,00013
467	Env_ELU	Max	-0,00135	-0,00285	0,00192	0,00818	0,00275	-0,00013
467	Env_ELU	Min	-0,00135	-0,00285	-0,00154	0,00819	0,00275	-0,00014
468	Env_ELU	Max	-0,00135	-0,00285	0,00213	0,00820	0,00276	-0,00014
468	Env_ELU	Min	-0,00136	-0,00285	-0,00182	0,00821	0,00276	-0,00014
469	Env_ELU	Max	-0,00136	-0,00285	0,00231	0,00822	0,00276	-0,00014
469	Env_ELU	Min	-0,00136	-0,00286	-0,00212	0,00822	0,00276	-0,00014
470	Env_ELU	Max	-0,00136	-0,00286	0,00246	0,00823	0,00277	-0,00014
470	Env_ELU	Min	-0,00136	-0,00286	-0,00244	0,00824	0,00277	-0,00014
471	Env_ELU	Max	-0,00137	-0,00286	0,00257	0,00825	0,00277	-0,00014
471	Env_ELU	Min	-0,00137	-0,00286	-0,00277	0,00826	0,00277	-0,00014
472	Env_ELU	Max	-0,00137	-0,00286	0,00266	0,00827	0,00278	-0,00014
472	Env_ELU	Min	-0,00137	-0,00287	-0,00312	0,00828	0,00278	-0,00014
473	Env_ELU	Max	-0,00138	-0,00287	0,00271	0,00829	0,00278	-0,00014
473	Env_ELU	Min	-0,00138	-0,00287	-0,00349	0,00830	0,00278	-0,00014
474	Env_ELU	Max	-0,00138	-0,00287	0,00274	0,00830	0,00279	-0,00014



474	Env_ELU	Min	-0,00138	-0,00287	-0,00388	0,00831	0,00279	-0,00014
475	Env_ELU	Max	-0,00138	-0,00288	0,00274	0,00832	0,00279	-0,00014
475	Env_ELU	Min	-0,00139	-0,00288	-0,00428	0,00833	0,00279	-0,00014
476	Env_ELU	Max	-0,00139	-0,00288	0,00270	0,00834	0,00280	-0,00014
476	Env_ELU	Min	-0,00139	-0,00288	-0,00469	0,00835	0,00280	-0,00014
477	Env_ELU	Max	-0,00139	-0,00288	0,00264	0,00836	0,00280	-0,00014
477	Env_ELU	Min	-0,00140	-0,00289	-0,00512	0,00837	0,00280	-0,00014
478	Env_ELU	Max	-0,00140	-0,00289	0,00256	0,00838	0,00281	-0,00014
478	Env_ELU	Min	-0,00140	-0,00289	-0,00557	0,00838	0,00281	-0,00014
479	Env_ELU	Max	-0,00140	-0,00289	0,00255	0,00839	0,00281	-0,00014
479	Env_ELU	Min	-0,00141	-0,00289	-0,00602	0,00840	0,00282	-0,00014
480	Env_ELU	Max	-0,00141	-0,00289	0,00255	0,00841	0,00282	-0,00014
480	Env_ELU	Min	-0,00141	-0,00290	-0,00649	0,00842	0,00282	-0,00014
481	Env_ELU	Max	-0,00141	-0,00290	0,00254	0,00843	0,00282	-0,00014
481	Env_ELU	Min	-0,00141	-0,00290	-0,00697	0,00844	0,00283	-0,00014
482	Env_ELU	Max	-0,00142	-0,00290	0,00252	0,00845	0,00283	-0,00014
482	Env_ELU	Min	-0,00142	-0,00290	-0,00746	0,00845	0,00283	-0,00014
483	Env_ELU	Max	-0,00142	-0,00291	0,00249	0,00846	0,00283	-0,00014
483	Env_ELU	Min	-0,00142	-0,00291	-0,00796	0,00847	0,00284	-0,00014
484	Env_ELU	Max	-0,00143	-0,00291	0,00245	0,00848	0,00284	-0,00014
484	Env_ELU	Min	-0,00143	-0,00291	-0,00848	0,00849	0,00284	-0,00014
485	Env_ELU	Max	-0,00143	-0,00291	0,00239	0,00850	0,00284	-0,00014
485	Env_ELU	Min	-0,00143	-0,00291	-0,00906	0,00851	0,00285	-0,00014
486	Env_ELU	Max	-0,00143	-0,00292	0,00233	0,00852	0,00285	-0,00014
486	Env_ELU	Min	-0,00144	-0,00292	-0,00975	0,00853	0,00285	-0,00014
487	Env_ELU	Max	-0,00144	-0,00292	0,00225	0,00853	0,00285	-0,00014
487	Env_ELU	Min	-0,00144	-0,00292	-0,01046	0,00854	0,00286	-0,00014
488	Env_ELU	Max	-0,00144	-0,00292	0,00217	0,00855	0,00286	-0,00014
488	Env_ELU	Min	-0,00145	-0,00293	-0,01119	0,00856	0,00286	-0,00014
489	Env_ELU	Max	-0,00145	-0,00293	0,00207	0,00857	0,00286	-0,00014
489	Env_ELU	Min	-0,00145	-0,00293	-0,01192	0,00858	0,00287	-0,00014
490	Env_ELU	Max	-0,00145	-0,00293	0,00197	0,00859	0,00287	-0,00014
490	Env_ELU	Min	-0,00145	-0,00293	-0,01267	0,00860	0,00287	-0,00014
491	Env_ELU	Max	-0,00146	-0,00294	0,00186	0,00861	0,00287	-0,00014
491	Env_ELU	Min	-0,00146	-0,00294	-0,01343	0,00861	0,00288	-0,00014
492	Env_ELU	Max	-0,00146	-0,00294	0,00174	0,00862	0,00288	-0,00014
492	Env_ELU	Min	-0,00146	-0,00294	-0,01420	0,00863	0,00288	-0,00014
493	Env_ELU	Max	-0,00147	-0,00294	0,00162	0,00864	0,00288	-0,00014
493	Env_ELU	Min	-0,00147	-0,00294	-0,01497	0,00865	0,00289	-0,00014

494	Env_ELU	Max	-0,00147	-0,00295	0,00148	0,00866	0,00289	-0,00014
494	Env_ELU	Min	-0,00147	-0,00295	-0,01575	0,00867	0,00289	-0,00014
495	Env_ELU	Max	-0,00148	-0,00295	0,00135	0,00868	0,00289	-0,00014
495	Env_ELU	Min	-0,00148	-0,00295	-0,01653	0,00868	0,00290	-0,00014
496	Env_ELU	Max	-0,00148	-0,00295	0,00120	0,00869	0,00290	-0,00014
496	Env_ELU	Min	-0,00148	-0,00296	-0,01732	0,00870	0,00290	-0,00014
497	Env_ELU	Max	-0,00148	-0,00296	0,00105	0,00871	0,00290	-0,00014
497	Env_ELU	Min	-0,00149	-0,00296	-0,01811	0,00872	0,00291	-0,00015
498	Env_ELU	Max	-0,00149	-0,00296	0,00090	0,00873	0,00291	-0,00015
498	Env_ELU	Min	-0,00149	-0,00296	-0,01890	0,00874	0,00291	-0,00015
499	Env_ELU	Max	-0,00149	-0,00296	0,00074	0,00875	0,00291	-0,00015
499	Env_ELU	Min	-0,00150	-0,00297	-0,01968	0,00876	0,00292	-0,00015
500	Env_ELU	Max	-0,00150	-0,00297	0,00058	0,00876	0,00292	-0,00015
500	Env_ELU	Min	-0,00150	-0,00297	-0,02046	0,00877	0,00292	-0,00015
501	Env_ELU	Max	-0,00150	-0,00297	0,00042	0,00878	0,00293	-0,00015
501	Env_ELU	Min	-0,00150	-0,00297	-0,02124	0,00879	0,00293	-0,00015
502	Env_ELU	Max	-0,00151	-0,00298	0,00025	0,00880	0,00293	-0,00015
502	Env_ELU	Min	-0,00151	-0,00298	-0,02201	0,00881	0,00293	-0,00015
503	Env_ELU	Max	-0,00151	-0,00298	0,00008	0,00882	0,00294	-0,00015
503	Env_ELU	Min	-0,00151	-0,00298	-0,02278	0,00883	0,00294	-0,00015
504	Env_ELU	Max	-0,00152	-0,00298	-0,00009	0,00884	0,00294	-0,00015
504	Env_ELU	Min	-0,00152	-0,00299	-0,02353	0,00884	0,00294	-0,00015
505	Env_ELU	Max	-0,00152	-0,00299	-0,00026	0,00885	0,00295	-0,00015
505	Env_ELU	Min	-0,00152	-0,00299	-0,02428	0,00886	0,00295	-0,00015
506	Env_ELU	Max	-0,00152	-0,00299	-0,00044	0,00887	0,00295	-0,00015
506	Env_ELU	Min	-0,00153	-0,00299	-0,02501	0,00888	0,00295	-0,00015
507	Env_ELU	Max	-0,00153	-0,00299	-0,00061	0,00889	0,00296	-0,00015
507	Env_ELU	Min	-0,00153	-0,00300	-0,02573	0,00890	0,00296	-0,00015
508	Env_ELU	Max	-0,00153	-0,00300	-0,00078	0,00891	0,00296	-0,00015
508	Env_ELU	Min	-0,00154	-0,00300	-0,02644	0,00891	0,00296	-0,00015
509	Env_ELU	Max	-0,00154	-0,00300	-0,00095	0,00892	0,00297	-0,00015
509	Env_ELU	Min	-0,00154	-0,00300	-0,02714	0,00893	0,00297	-0,00015
510	Env_ELU	Max	-0,00154	-0,00301	-0,00112	0,00894	0,00297	-0,00015
510	Env_ELU	Min	-0,00155	-0,00301	-0,02781	0,00895	0,00297	-0,00015
511	Env_ELU	Max	-0,00155	-0,00301	-0,00129	0,00896	0,00298	-0,00015
511	Env_ELU	Min	-0,00155	-0,00301	-0,02847	0,00897	0,00298	-0,00015
512	Env_ELU	Max	-0,00155	-0,00301	-0,00146	0,00898	0,00298	-0,00015
512	Env_ELU	Min	-0,00155	-0,00301	-0,02911	0,00899	0,00298	-0,00015
513	Env_ELU	Max	-0,00156	-0,00302	-0,00162	0,00899	0,00299	-0,00015



513	Env_ELU	Min	-0,00156	-0,00302	-0,02973	0,00900	0,00299	-0,00015
514	Env_ELU	Max	-0,00156	-0,00302	-0,00178	0,00901	0,00299	-0,00015
514	Env_ELU	Min	-0,00156	-0,00302	-0,03032	0,00902	0,00299	-0,00015
515	Env_ELU	Max	-0,00157	-0,00302	-0,00194	0,00903	0,00300	-0,00015
515	Env_ELU	Min	-0,00157	-0,00303	-0,03090	0,00904	0,00300	-0,00015
516	Env_ELU	Max	-0,00157	-0,00303	-0,00209	0,00905	0,00300	-0,00015
516	Env_ELU	Min	-0,00157	-0,00303	-0,03145	0,00906	0,00300	-0,00015
517	Env_ELU	Max	-0,00157	-0,00303	-0,00224	0,00907	0,00301	-0,00015
517	Env_ELU	Min	-0,00158	-0,00303	-0,03198	0,00907	0,00301	-0,00015
518	Env_ELU	Max	-0,00158	-0,00303	-0,00239	0,00908	0,00301	-0,00015
518	Env_ELU	Min	-0,00158	-0,00304	-0,03249	0,00909	0,00301	-0,00015
519	Env_ELU	Max	-0,00158	-0,00304	-0,00253	0,00910	0,00302	-0,00015
519	Env_ELU	Min	-0,00159	-0,00304	-0,03296	0,00911	0,00302	-0,00015
520	Env_ELU	Max	-0,00159	-0,00304	-0,00267	0,00912	0,00302	-0,00015
520	Env_ELU	Min	-0,00159	-0,00304	-0,03342	0,00913	0,00302	-0,00015
521	Env_ELU	Max	-0,00159	-0,00305	-0,00280	0,00914	0,00303	-0,00015
521	Env_ELU	Min	-0,00159	-0,00305	-0,03384	0,00915	0,00303	-0,00015
522	Env_ELU	Max	-0,00160	-0,00305	-0,00292	0,00915	0,00303	-0,00015
522	Env_ELU	Min	-0,00160	-0,00305	-0,03424	0,00916	0,00303	-0,00015
523	Env_ELU	Max	-0,00160	-0,00305	-0,00304	0,00917	0,00304	-0,00015
523	Env_ELU	Min	-0,00160	-0,00306	-0,03461	0,00918	0,00304	-0,00015
524	Env_ELU	Max	-0,00161	-0,00306	-0,00321	0,00919	0,00304	-0,00015
524	Env_ELU	Min	-0,00161	-0,00306	-0,03511	0,00920	0,00305	-0,00015
525	Env_ELU	Max	-0,00161	-0,00306	-0,00326	0,00921	0,00305	-0,00015
525	Env_ELU	Min	-0,00161	-0,00306	-0,03527	0,00922	0,00305	-0,00015
526	Env_ELU	Max	-0,00162	-0,00306	-0,00331	0,00922	0,00305	-0,00015
526	Env_ELU	Min	-0,00162	-0,00307	-0,03542	0,00923	0,00306	-0,00015
527	Env_ELU	Max	-0,00162	-0,00307	-0,00335	0,00924	0,00306	-0,00015
527	Env_ELU	Min	-0,00162	-0,00307	-0,03556	0,00925	0,00306	-0,00016
528	Env_ELU	Max	-0,00162	-0,00307	-0,00340	0,00926	0,00306	-0,00016
528	Env_ELU	Min	-0,00163	-0,00307	-0,03570	0,00927	0,00307	-0,00016
529	Env_ELU	Max	-0,00163	-0,00308	-0,00344	0,00928	0,00307	-0,00016
529	Env_ELU	Min	-0,00163	-0,00308	-0,03583	0,00929	0,00307	-0,00016
530	Env_ELU	Max	-0,00163	-0,00308	-0,00349	0,00930	0,00307	-0,00016
530	Env_ELU	Min	-0,00164	-0,00308	-0,03596	0,00930	0,00308	-0,00016
531	Env_ELU	Max	-0,00164	-0,00308	-0,00353	0,00931	0,00308	-0,00016
531	Env_ELU	Min	-0,00164	-0,00308	-0,03607	0,00932	0,00308	-0,00016
532	Env_ELU	Max	-0,00164	-0,00309	-0,00356	0,00933	0,00308	-0,00016
532	Env_ELU	Min	-0,00164	-0,00309	-0,03617	0,00934	0,00309	-0,00016

533	Env_ELU	Max	-0,00165	-0,00309	-0,00360	0,00935	0,00309	-0,00016
533	Env_ELU	Min	-0,00165	-0,00309	-0,03626	0,00936	0,00309	-0,00016
534	Env_ELU	Max	-0,00165	-0,00309	-0,00363	0,00937	0,00309	-0,00016
534	Env_ELU	Min	-0,00165	-0,00310	-0,03634	0,00938	0,00310	-0,00016
535	Env_ELU	Max	-0,00166	-0,00310	-0,00367	0,00938	0,00310	-0,00016
535	Env_ELU	Min	-0,00166	-0,00310	-0,03641	0,00939	0,00310	-0,00016
536	Env_ELU	Max	-0,00166	-0,00310	-0,00370	0,00940	0,00310	-0,00016
536	Env_ELU	Min	-0,00166	-0,00310	-0,03648	0,00941	0,00311	-0,00016
537	Env_ELU	Max	-0,00166	-0,00311	-0,00372	0,00942	0,00311	-0,00016
537	Env_ELU	Min	-0,00167	-0,00311	-0,03653	0,00943	0,00311	-0,00016
538	Env_ELU	Max	-0,00167	-0,00311	-0,00375	0,00944	0,00311	-0,00016
538	Env_ELU	Min	-0,00167	-0,00311	-0,03659	0,00945	0,00312	-0,00016
539	Env_ELU	Max	-0,00167	-0,00311	-0,00377	0,00945	0,00312	-0,00016
539	Env_ELU	Min	-0,00168	-0,00311	-0,03663	0,00946	0,00312	-0,00016
540	Env_ELU	Max	-0,00168	-0,00312	-0,00384	0,00947	0,00312	-0,00016
540	Env_ELU	Min	-0,00168	-0,00312	-0,03671	0,00948	0,00313	-0,00016
541	Env_ELU	Max	-0,00168	-0,00312	-0,00387	0,00949	0,00313	-0,00016
541	Env_ELU	Min	-0,00169	-0,00312	-0,03671	0,00950	0,00313	-0,00016
542	Env_ELU	Max	-0,00169	-0,00312	-0,00390	0,00951	0,00313	-0,00016
542	Env_ELU	Min	-0,00169	-0,00313	-0,03668	0,00952	0,00314	-0,00016
543	Env_ELU	Max	-0,00169	-0,00313	-0,00391	0,00953	0,00314	-0,00016
543	Env_ELU	Min	-0,00169	-0,00313	-0,03661	0,00953	0,00314	-0,00016
544	Env_ELU	Max	-0,00170	-0,00313	-0,00392	0,00954	0,00314	-0,00016
544	Env_ELU	Min	-0,00170	-0,00313	-0,03652	0,00955	0,00315	-0,00016
545	Env_ELU	Max	-0,00170	-0,00313	-0,00393	0,00956	0,00315	-0,00016
545	Env_ELU	Min	-0,00170	-0,00314	-0,03639	0,00957	0,00315	-0,00016
546	Env_ELU	Max	-0,00171	-0,00314	-0,00392	0,00958	0,00315	-0,00016
546	Env_ELU	Min	-0,00171	-0,00314	-0,03623	0,00959	0,00316	-0,00016
547	Env_ELU	Max	-0,00171	-0,00314	-0,00391	0,00960	0,00316	-0,00016
547	Env_ELU	Min	-0,00171	-0,00314	-0,03604	0,00961	0,00316	-0,00016
548	Env_ELU	Max	-0,00171	-0,00315	-0,00389	0,00961	0,00317	-0,00016
548	Env_ELU	Min	-0,00172	-0,00315	-0,03582	0,00962	0,00317	-0,00016
549	Env_ELU	Max	-0,00172	-0,00315	-0,00386	0,00963	0,00317	-0,00016
549	Env_ELU	Min	-0,00172	-0,00315	-0,03557	0,00964	0,00317	-0,00016
550	Env_ELU	Max	-0,00172	-0,00315	-0,00382	0,00965	0,00318	-0,00016
550	Env_ELU	Min	-0,00173	-0,00316	-0,03529	0,00966	0,00318	-0,00016
551	Env_ELU	Max	-0,00173	-0,00316	-0,00378	0,00967	0,00318	-0,00016
551	Env_ELU	Min	-0,00173	-0,00316	-0,03498	0,00968	0,00318	-0,00016
552	Env_ELU	Max	-0,00173	-0,00316	-0,00373	0,00968	0,00319	-0,00016



552	Env_ELU	Min	-0,00174	-0,00316	-0,03463	0,00969	0,00319	-0,00016
553	Env_ELU	Max	-0,00174	-0,00316	-0,00367	0,00970	0,00319	-0,00016
553	Env_ELU	Min	-0,00174	-0,00317	-0,03426	0,00971	0,00319	-0,00016
554	Env_ELU	Max	-0,00174	-0,00317	-0,00361	0,00972	0,00320	-0,00016
554	Env_ELU	Min	-0,00174	-0,00317	-0,03387	0,00973	0,00320	-0,00016
555	Env_ELU	Max	-0,00175	-0,00317	-0,00354	0,00974	0,00320	-0,00016
555	Env_ELU	Min	-0,00175	-0,00317	-0,03344	0,00975	0,00320	-0,00016
556	Env_ELU	Max	-0,00175	-0,00318	-0,00347	0,00976	0,00321	-0,00016
556	Env_ELU	Min	-0,00175	-0,00318	-0,03299	0,00976	0,00321	-0,00016
557	Env_ELU	Max	-0,00176	-0,00318	-0,00339	0,00977	0,00321	-0,00016
557	Env_ELU	Min	-0,00176	-0,00318	-0,03252	0,00978	0,00321	-0,00016
558	Env_ELU	Max	-0,00176	-0,00318	-0,00330	0,00979	0,00322	-0,00017
558	Env_ELU	Min	-0,00176	-0,00318	-0,03202	0,00980	0,00322	-0,00017
559	Env_ELU	Max	-0,00176	-0,00319	-0,00321	0,00981	0,00322	-0,00017
559	Env_ELU	Min	-0,00177	-0,00319	-0,03149	0,00982	0,00322	-0,00017
560	Env_ELU	Max	-0,00177	-0,00319	-0,00311	0,00983	0,00323	-0,00017
560	Env_ELU	Min	-0,00177	-0,00319	-0,03094	0,00984	0,00323	-0,00017
561	Env_ELU	Max	-0,00177	-0,00319	-0,00301	0,00984	0,00323	-0,00017
561	Env_ELU	Min	-0,00178	-0,00320	-0,03038	0,00985	0,00323	-0,00017
562	Env_ELU	Max	-0,00178	-0,00320	-0,00291	0,00986	0,00324	-0,00017
562	Env_ELU	Min	-0,00178	-0,00320	-0,02978	0,00987	0,00324	-0,00017
563	Env_ELU	Max	-0,00178	-0,00320	-0,00280	0,00988	0,00324	-0,00017
563	Env_ELU	Min	-0,00178	-0,00320	-0,02917	0,00989	0,00324	-0,00017
564	Env_ELU	Max	-0,00179	-0,00320	-0,00268	0,00990	0,00325	-0,00017
564	Env_ELU	Min	-0,00179	-0,00321	-0,02854	0,00991	0,00325	-0,00017
565	Env_ELU	Max	-0,00179	-0,00321	-0,00257	0,00991	0,00325	-0,00017
565	Env_ELU	Min	-0,00179	-0,00321	-0,02789	0,00992	0,00325	-0,00017
566	Env_ELU	Max	-0,00180	-0,00321	-0,00245	0,00993	0,00326	-0,00017
566	Env_ELU	Min	-0,00180	-0,00321	-0,02723	0,00994	0,00326	-0,00017
567	Env_ELU	Max	-0,00180	-0,00322	-0,00233	0,00995	0,00326	-0,00017
567	Env_ELU	Min	-0,00180	-0,00322	-0,02655	0,00996	0,00326	-0,00017
568	Env_ELU	Max	-0,00181	-0,00322	-0,00221	0,00997	0,00327	-0,00017
568	Env_ELU	Min	-0,00181	-0,00322	-0,02585	0,00998	0,00327	-0,00017
569	Env_ELU	Max	-0,00181	-0,00322	-0,00208	0,00999	0,00327	-0,00017
569	Env_ELU	Min	-0,00181	-0,00323	-0,02513	0,00999	0,00328	-0,00017
570	Env_ELU	Max	-0,00181	-0,00323	-0,00196	0,01000	0,00328	-0,00017
570	Env_ELU	Min	-0,00182	-0,00323	-0,02440	0,01001	0,00328	-0,00017
571	Env_ELU	Max	-0,00182	-0,00323	-0,00183	0,01002	0,00328	-0,00017
571	Env_ELU	Min	-0,00182	-0,00323	-0,02365	0,01003	0,00329	-0,00017

572	Env_ELU	Max	-0,00182	-0,00323	-0,00170	0,01004	0,00329	-0,00017
572	Env_ELU	Min	-0,00183	-0,00324	-0,02288	0,01005	0,00329	-0,00017
573	Env_ELU	Max	-0,00183	-0,00324	-0,00158	0,01006	0,00329	-0,00017
573	Env_ELU	Min	-0,00183	-0,00324	-0,02211	0,01007	0,00330	-0,00017
574	Env_ELU	Max	-0,00183	-0,00324	-0,00145	0,01007	0,00330	-0,00017
574	Env_ELU	Min	-0,00183	-0,00324	-0,02132	0,01008	0,00330	-0,00017
575	Env_ELU	Max	-0,00184	-0,00325	-0,00133	0,01009	0,00330	-0,00017
575	Env_ELU	Min	-0,00184	-0,00325	-0,02052	0,01010	0,00331	-0,00017
576	Env_ELU	Max	-0,00184	-0,00325	-0,00121	0,01011	0,00331	-0,00017
576	Env_ELU	Min	-0,00184	-0,00325	-0,01971	0,01012	0,00331	-0,00017
577	Env_ELU	Max	-0,00185	-0,00325	-0,00109	0,01013	0,00331	-0,00017
577	Env_ELU	Min	-0,00185	-0,00325	-0,01890	0,01014	0,00332	-0,00017
578	Env_ELU	Max	-0,00185	-0,00326	-0,00097	0,01014	0,00332	-0,00017
578	Env_ELU	Min	-0,00185	-0,00326	-0,01807	0,01015	0,00332	-0,00017
579	Env_ELU	Max	-0,00185	-0,00326	-0,00085	0,01016	0,00332	-0,00017
579	Env_ELU	Min	-0,00186	-0,00326	-0,01724	0,01017	0,00333	-0,00017
580	Env_ELU	Max	-0,00186	-0,00326	-0,00074	0,01018	0,00333	-0,00017
580	Env_ELU	Min	-0,00186	-0,00327	-0,01641	0,01019	0,00333	-0,00017
581	Env_ELU	Max	-0,00186	-0,00327	-0,00063	0,01020	0,00333	-0,00017
581	Env_ELU	Min	-0,00187	-0,00327	-0,01558	0,01021	0,00334	-0,00017
582	Env_ELU	Max	-0,00187	-0,00327	-0,00053	0,01022	0,00334	-0,00017
582	Env_ELU	Min	-0,00187	-0,00327	-0,01474	0,01022	0,00334	-0,00017
583	Env_ELU	Max	-0,00187	-0,00328	-0,00043	0,01023	0,00334	-0,00017
583	Env_ELU	Min	-0,00188	-0,00328	-0,01390	0,01024	0,00335	-0,00017
584	Env_ELU	Max	-0,00188	-0,00328	-0,00034	0,01025	0,00335	-0,00017
584	Env_ELU	Min	-0,00188	-0,00328	-0,01307	0,01026	0,00335	-0,00017
585	Env_ELU	Max	-0,00188	-0,00328	-0,00025	0,01027	0,00335	-0,00017
585	Env_ELU	Min	-0,00188	-0,00328	-0,01224	0,01028	0,00336	-0,00017
586	Env_ELU	Max	-0,00189	-0,00329	-0,00017	0,01029	0,00336	-0,00017
586	Env_ELU	Min	-0,00189	-0,00329	-0,01142	0,01030	0,00336	-0,00017
587	Env_ELU	Max	-0,00189	-0,00329	-0,00009	0,01030	0,00336	-0,00017
587	Env_ELU	Min	-0,00189	-0,00329	-0,01061	0,01031	0,00337	-0,00017
588	Env_ELU	Max	-0,00190	-0,00329	-0,00003	0,01032	0,00337	-0,00018
588	Env_ELU	Min	-0,00190	-0,00330	-0,00981	0,01033	0,00337	-0,00018
589	Env_ELU	Max	-0,00190	-0,00330	0,00003	0,01034	0,00337	-0,00018
589	Env_ELU	Min	-0,00190	-0,00330	-0,00902	0,01035	0,00338	-0,00018
590	Env_ELU	Max	-0,00190	-0,00330	0,00009	0,01036	0,00338	-0,00018
590	Env_ELU	Min	-0,00191	-0,00330	-0,00825	0,01037	0,00338	-0,00018
591	Env_ELU	Max	-0,00191	-0,00330	0,00013	0,01037	0,00338	-0,00018



591	Env_ELU	Min	-0,00191	-0,00331	-0,00749	0,01038	0,00339	-0,00018
592	Env_ELU	Max	-0,00191	-0,00331	0,00017	0,01039	0,00339	-0,00018
592	Env_ELU	Min	-0,00192	-0,00331	-0,00675	0,01040	0,00339	-0,00018
593	Env_ELU	Max	-0,00192	-0,00331	0,00019	0,01041	0,00340	-0,00018
593	Env_ELU	Min	-0,00192	-0,00331	-0,00602	0,01042	0,00340	-0,00018
594	Env_ELU	Max	-0,00192	-0,00332	0,00021	0,01043	0,00340	-0,00018
594	Env_ELU	Min	-0,00192	-0,00332	-0,00531	0,01044	0,00340	-0,00018
595	Env_ELU	Max	-0,00193	-0,00332	0,00022	0,01045	0,00341	-0,00018
595	Env_ELU	Min	-0,00193	-0,00332	-0,00462	0,01045	0,00341	-0,00018
596	Env_ELU	Max	-0,00193	-0,00332	0,00021	0,01046	0,00341	-0,00018
596	Env_ELU	Min	-0,00193	-0,00333	-0,00395	0,01047	0,00341	-0,00018
597	Env_ELU	Max	-0,00194	-0,00333	0,00020	0,01048	0,00342	-0,00018
597	Env_ELU	Min	-0,00194	-0,00333	-0,00330	0,01049	0,00342	-0,00018
598	Env_ELU	Max	-0,00194	-0,00333	0,00016	0,01050	0,00342	-0,00018
598	Env_ELU	Min	-0,00194	-0,00333	-0,00236	0,01051	0,00342	-0,00018
599	Env_ELU	Max	-0,00195	-0,00333	0,00014	0,01052	0,00343	-0,00018
599	Env_ELU	Min	-0,00195	-0,00334	-0,00205	0,01053	0,00343	-0,00018
600	Env_ELU	Max	-0,00195	-0,00334	0,00012	0,01053	0,00343	-0,00018
600	Env_ELU	Min	-0,00195	-0,00334	-0,00175	0,01054	0,00343	-0,00018
601	Env_ELU	Max	-0,00195	-0,00334	0,00010	0,01055	0,00344	-0,00018
601	Env_ELU	Min	-0,00196	-0,00334	-0,00145	0,01056	0,00344	-0,00018
602	Env_ELU	Max	-0,00196	-0,00335	0,00008	0,01057	0,00344	-0,00018
602	Env_ELU	Min	-0,00196	-0,00335	-0,00116	0,01058	0,00344	-0,00018
603	Env_ELU	Max	-0,00196	-0,00335	0,00005	0,01059	0,00345	-0,00018
603	Env_ELU	Min	-0,00197	-0,00335	-0,00088	0,01060	0,00345	-0,00018
604	Env_ELU	Max	-0,00197	-0,00335	0,00002	0,01060	0,00345	-0,00018
604	Env_ELU	Min	-0,00197	-0,00335	-0,00060	0,01061	0,00345	-0,00018
605	Env_ELU	Max	-0,00197	-0,00336	-0,00002	0,01062	0,00346	-0,00018
605	Env_ELU	Min	-0,00197	-0,00336	-0,00033	0,01063	0,00346	-0,00018
606	Env_ELU	Max	-0,00198	-0,00336	0,00003	0,01064	0,00346	-0,00018
606	Env_ELU	Min	-0,00198	-0,00336	-0,00015	0,01065	0,00346	-0,00018
607	Env_ELU	Max	-0,00198	-0,00336	0,00029	0,01066	0,00347	-0,00018
607	Env_ELU	Min	-0,00198	-0,00337	-0,00013	0,01067	0,00347	-0,00018
608	Env_ELU	Max	-0,00199	-0,00337	0,00055	0,01068	0,00347	-0,00018
608	Env_ELU	Min	-0,00199	-0,00337	-0,00015	0,01068	0,00347	-0,00018
609	Env_ELU	Max	-0,00199	-0,00337	0,00081	0,01069	0,00348	-0,00018
609	Env_ELU	Min	-0,00199	-0,00337	-0,00020	0,01070	0,00348	-0,00018
610	Env_ELU	Max	-0,00199	-0,00337	0,00106	0,01071	0,00348	-0,00018
610	Env_ELU	Min	-0,00200	-0,00338	-0,00025	0,01072	0,00348	-0,00018

611	Env_ELU	Max	-0,00200	-0,00338	0,00130	0,01073	0,00349	-0,00018
611	Env_ELU	Min	-0,00200	-0,00338	-0,00030	0,01074	0,00349	-0,00018
612	Env_ELU	Max	-0,00200	-0,00338	0,00154	0,01075	0,00349	-0,00018
612	Env_ELU	Min	-0,00201	-0,00338	-0,00035	0,01076	0,00349	-0,00018
613	Env_ELU	Max	-0,00201	-0,00339	0,00178	0,01076	0,00350	-0,00018
613	Env_ELU	Min	-0,00201	-0,00339	-0,00040	0,01077	0,00350	-0,00018
614	Env_ELU	Max	-0,00201	-0,00339	0,00485	0,01078	0,00350	-0,00018
614	Env_ELU	Min	-0,00202	-0,00339	-0,00208	0,01079	0,00350	-0,00018
615	Env_ELU	Max	-0,00202	-0,00339	0,00490	0,01080	0,00351	-0,00018
615	Env_ELU	Min	-0,00202	-0,00340	-0,00238	0,01081	0,00351	-0,00018
616	Env_ELU	Max	-0,00202	-0,00340	0,00685	0,01082	0,00351	-0,00018
616	Env_ELU	Min	-0,00202	-0,00340	-0,00485	0,01083	0,00352	-0,00018
617	Env_ELU	Max	-0,00203	-0,00340	0,00677	0,01083	0,00352	-0,00018
617	Env_ELU	Min	-0,00203	-0,00340	-0,00508	0,01084	0,00352	-0,00018
618	Env_ELU	Max	-0,00203	-0,00340	0,00790	0,01085	0,00352	-0,00019
618	Env_ELU	Min	-0,00203	-0,00341	-0,00792	0,01086	0,00353	-0,00019
619	Env_ELU	Max	-0,00204	-0,00341	0,00793	0,01087	0,00353	-0,00019
619	Env_ELU	Min	-0,00204	-0,00341	-0,00791	0,01088	0,00353	-0,00019
620	Env_ELU	Max	-0,00204	-0,00341	0,00829	0,01089	0,00353	-0,00019
620	Env_ELU	Min	-0,00204	-0,00341	-0,01066	0,01090	0,00354	-0,00019
621	Env_ELU	Max	-0,00204	-0,00342	0,00855	0,01091	0,00354	-0,00019
621	Env_ELU	Min	-0,00205	-0,00342	-0,01055	0,01091	0,00354	-0,00019
622	Env_ELU	Max	-0,00205	-0,00342	0,00829	0,01092	0,00354	-0,00019
622	Env_ELU	Min	-0,00205	-0,00342	-0,01259	0,01093	0,00355	-0,00019
623	Env_ELU	Max	-0,00205	-0,00342	0,00881	0,01094	0,00355	-0,00019
623	Env_ELU	Min	-0,00206	-0,00342	-0,01247	0,01095	0,00355	-0,00019
624	Env_ELU	Max	-0,00206	-0,00343	0,00359	0,01096	0,00355	-0,00019
624	Env_ELU	Min	-0,00206	-0,00343	0,00094	0,01097	0,00356	-0,00019
625	Env_ELU	Max	-0,00206	-0,00343	0,00157	0,01098	0,00356	-0,00019
625	Env_ELU	Min	-0,00206	-0,00343	0,00039	0,01099	0,00356	-0,00019
626	Env_ELU	Max	-0,00207	-0,00343	0,00055	0,01099	0,00356	-0,00019
626	Env_ELU	Min	-0,00207	-0,00344	-0,00008	0,01100	0,00357	-0,00019
627	Env_ELU	Max	-0,00207	-0,00344	0,00037	0,01101	0,00357	-0,00019
627	Env_ELU	Min	-0,00207	-0,00344	-0,00014	0,01102	0,00357	-0,00019
628	Env_ELU	Max	-0,00208	-0,00344	0,00359	0,01103	0,00357	-0,00019
628	Env_ELU	Min	-0,00208	-0,00344	0,00094	0,01104	0,00358	-0,00019
629	Env_ELU	Max	-0,00208	-0,00345	0,00157	0,01105	0,00358	-0,00019
629	Env_ELU	Min	-0,00208	-0,00345	0,00039	0,01106	0,00358	-0,00019
678	Env_ELU	Max	-0,00209	-0,00345	0,00127	0,01106	0,00358	-0,00019



678	Env_ELU	Min	-0,00209	-0,00345	-0,00483	0,01107	0,00359	-0,00019
679	Env_ELU	Max	-0,00209	-0,00345	0,00058	0,01108	0,00359	-0,00019
679	Env_ELU	Min	-0,00209	-0,00345	-0,00487	0,01109	0,00359	-0,00019
680	Env_ELU	Max	-0,00209	-0,00346	0,00206	0,01110	0,00359	-0,00019
680	Env_ELU	Min	-0,00210	-0,00346	-0,01046	0,01111	0,00360	-0,00019
681	Env_ELU	Max	-0,00210	-0,00346	0,00098	0,01112	0,00360	-0,00019
681	Env_ELU	Min	-0,00210	-0,00346	-0,01055	0,01113	0,00360	-0,00019
682	Env_ELU	Max	-0,00210	-0,00346	0,00257	0,01114	0,00360	-0,00019
682	Env_ELU	Min	-0,00211	-0,00347	-0,01632	0,01114	0,00361	-0,00019
683	Env_ELU	Max	-0,00211	-0,00347	0,00132	0,01115	0,00361	-0,00019
683	Env_ELU	Min	-0,00211	-0,00347	-0,01646	0,01116	0,00361	-0,00019
684	Env_ELU	Max	-0,00211	-0,00347	0,00305	0,01117	0,00361	-0,00019
684	Env_ELU	Min	-0,00211	-0,00347	-0,02171	0,01118	0,00362	-0,00019
685	Env_ELU	Max	-0,00212	-0,00347	0,00179	0,01119	0,00362	-0,00019
685	Env_ELU	Min	-0,00212	-0,00348	-0,02189	0,01120	0,00362	-0,00019
686	Env_ELU	Max	-0,00212	-0,00348	0,00462	0,01121	0,00362	-0,00019
686	Env_ELU	Min	-0,00212	-0,00348	-0,02893	0,01122	0,00363	-0,00019
687	Env_ELU	Max	-0,00213	-0,00348	0,00348	0,01122	0,00363	-0,00019
687	Env_ELU	Min	-0,00213	-0,00348	-0,02919	0,01123	0,00363	-0,00019
688	Env_ELU	Max	-0,00213	-0,00349	0,00580	0,01124	0,00364	-0,00019
688	Env_ELU	Min	-0,00213	-0,00349	-0,03012	0,01125	0,00364	-0,00019
689	Env_ELU	Max	-0,00213	-0,00349	0,00474	0,01126	0,00364	-0,00019
689	Env_ELU	Min	-0,00214	-0,00349	-0,03043	0,01127	0,00364	-0,00019
690	Env_ELU	Max	-0,00214	-0,00349	0,00719	0,01128	0,00365	-0,00019
690	Env_ELU	Min	-0,00214	-0,00350	-0,02952	0,01129	0,00365	-0,00019
691	Env_ELU	Max	-0,00214	-0,00350	0,00619	0,01129	0,00365	-0,00019
691	Env_ELU	Min	-0,00215	-0,00350	-0,02996	0,01130	0,00365	-0,00019
692	Env_ELU	Max	-0,00215	-0,00350	0,00862	0,01131	0,00366	-0,00019
692	Env_ELU	Min	-0,00215	-0,00350	-0,02728	0,01132	0,00366	-0,00019
693	Env_ELU	Max	-0,00215	-0,00350	0,00767	0,01133	0,00366	-0,00019
693	Env_ELU	Min	-0,00216	-0,00351	-0,02773	0,01134	0,00366	-0,00019
694	Env_ELU	Max	-0,00216	-0,00351	0,00987	0,01135	0,00367	-0,00019
694	Env_ELU	Min	-0,00216	-0,00351	-0,02356	0,01136	0,00367	-0,00019
695	Env_ELU	Max	-0,00216	-0,00351	0,00903	0,01137	0,00367	-0,00019
695	Env_ELU	Min	-0,00216	-0,00351	-0,02397	0,01137	0,00367	-0,00019
696	Env_ELU	Max	-0,00217	-0,00352	0,01077	0,01138	0,00368	-0,00020
696	Env_ELU	Min	-0,00217	-0,00352	-0,01867	0,01139	0,00368	-0,00020
697	Env_ELU	Max	-0,00217	-0,00352	0,00993	0,01140	0,00368	-0,00020
697	Env_ELU	Min	-0,00217	-0,00352	-0,01903	0,01141	0,00368	-0,00020

698	Env_ELU	Max	-0,00218	-0,00352	0,01071	0,01142	0,00369	-0,00020
698	Env_ELU	Min	-0,00218	-0,00352	-0,01313	0,01143	0,00369	-0,00020
699	Env_ELU	Max	-0,00218	-0,00353	0,00991	0,01144	0,00369	-0,00020
699	Env_ELU	Min	-0,00218	-0,00353	-0,01344	0,01145	0,00369	-0,00020
700	Env_ELU	Max	-0,00218	-0,00353	0,00921	0,01145	0,00370	-0,00020
700	Env_ELU	Min	-0,00219	-0,00353	-0,00764	0,01146	0,00370	-0,00020
701	Env_ELU	Max	-0,00219	-0,00353	0,00853	0,01147	0,00370	-0,00020
701	Env_ELU	Min	-0,00219	-0,00354	-0,00787	0,01148	0,00370	-0,00020
704	Env_ELU	Max	-0,00219	-0,00354	0,00370	0,01149	0,00371	-0,00020
704	Env_ELU	Min	-0,00220	-0,00354	-0,02604	0,01150	0,00371	-0,00020
705	Env_ELU	Max	-0,00220	-0,00354	0,00249	0,01151	0,00371	-0,00020
705	Env_ELU	Min	-0,00220	-0,00354	-0,02627	0,01152	0,00371	-0,00020
709	Env_ELU	Max	-0,00220	-0,00354	0,00080	0,01152	0,00372	-0,00020
709	Env_ELU	Min	-0,00221	-0,00355	-0,00046	0,01153	0,00372	-0,00020
710	Env_ELU	Max	-0,00221	-0,00355	0,00057	0,01154	0,00372	-0,00020
710	Env_ELU	Min	-0,00221	-0,00355	-0,00922	0,01155	0,00372	-0,00020
711	Env_ELU	Max	-0,00221	-0,00355	0,00056	0,01156	0,00373	-0,00020
711	Env_ELU	Min	-0,00221	-0,00355	-0,00924	0,01157	0,00373	-0,00020
712	Env_ELU	Max	-0,00222	-0,00356	0,00055	0,01158	0,00373	-0,00020
712	Env_ELU	Min	-0,00222	-0,00356	-0,00925	0,01159	0,00373	-0,00020
713	Env_ELU	Max	-0,00222	-0,00356	0,00054	0,01160	0,00374	-0,00020
713	Env_ELU	Min	-0,00222	-0,00356	-0,00926	0,01160	0,00374	-0,00020
714	Env_ELU	Max	-0,00223	-0,00356	0,00053	0,01161	0,00374	-0,00020
714	Env_ELU	Min	-0,00223	-0,00357	-0,00928	0,01162	0,00375	-0,00020
715	Env_ELU	Max	-0,00223	-0,00357	0,00052	0,01163	0,00375	-0,00020
715	Env_ELU	Min	-0,00223	-0,00357	-0,00929	0,01164	0,00375	-0,00020
716	Env_ELU	Max	-0,00223	-0,00357	0,00050	0,01165	0,00375	-0,00020
716	Env_ELU	Min	-0,00224	-0,00357	-0,00931	0,01166	0,00376	-0,00020
717	Env_ELU	Max	-0,00224	-0,00357	0,00049	0,01167	0,00376	-0,00020
717	Env_ELU	Min	-0,00224	-0,00358	-0,00932	0,01168	0,00376	-0,00020
718	Env_ELU	Max	-0,00224	-0,00358	0,00048	0,01168	0,00376	-0,00020
718	Env_ELU	Min	-0,00225	-0,00358	-0,00933	0,01169	0,00377	-0,00020
719	Env_ELU	Max	-0,00225	-0,00358	0,00047	0,01170	0,00377	-0,00020
719	Env_ELU	Min	-0,00225	-0,00358	-0,00934	0,01171	0,00377	-0,00020
720	Env_ELU	Max	-0,00225	-0,00359	0,00046	0,01172	0,00377	-0,00020
720	Env_ELU	Min	-0,00225	-0,00359	-0,00935	0,01173	0,00378	-0,00020
721	Env_ELU	Max	-0,00226	-0,00359	0,00045	0,01174	0,00378	-0,00020
721	Env_ELU	Min	-0,00226	-0,00359	-0,00936	0,01175	0,00378	-0,00020
722	Env_ELU	Max	-0,00226	-0,00359	0,00044	0,01176	0,00378	-0,00020



722	Env_ELU	Min	-0,00226	-0,00359	-0,00937	0,01176	0,00379	-0,00020
723	Env_ELU	Max	-0,00227	-0,00360	0,00043	0,01177	0,00379	-0,00020
723	Env_ELU	Min	-0,00227	-0,00360	-0,00938	0,01178	0,00379	-0,00020
724	Env_ELU	Max	-0,00227	-0,00360	0,00042	0,01179	0,00379	-0,00020
724	Env_ELU	Min	-0,00227	-0,00360	-0,00939	0,01180	0,00380	-0,00020
725	Env_ELU	Max	-0,00228	-0,00360	0,00041	0,01181	0,00380	-0,00020
725	Env_ELU	Min	-0,00228	-0,00361	-0,00940	0,01182	0,00380	-0,00020
726	Env_ELU	Max	-0,00228	-0,00361	0,00040	0,01183	0,00380	-0,00020
726	Env_ELU	Min	-0,00228	-0,00361	-0,00941	0,01183	0,00381	-0,00020
727	Env_ELU	Max	-0,00228	-0,00361	0,00029	0,01184	0,00381	-0,00020
727	Env_ELU	Min	-0,00229	-0,00361	-0,00947	0,01185	0,00381	-0,00020
728	Env_ELU	Max	-0,00229	-0,00362	0,00019	0,01186	0,00381	-0,00020
728	Env_ELU	Min	-0,00229	-0,00362	-0,00948	0,01187	0,00382	-0,00020
729	Env_ELU	Max	-0,00229	-0,00362	0,00011	0,01188	0,00382	-0,00020
729	Env_ELU	Min	-0,00230	-0,00362	-0,00944	0,01189	0,00382	-0,00020
730	Env_ELU	Max	-0,00230	-0,00362	0,00003	0,01190	0,00382	-0,00020
730	Env_ELU	Min	-0,00230	-0,00362	-0,00936	0,01191	0,00383	-0,00020
731	Env_ELU	Max	-0,00230	-0,00363	-0,00004	0,01191	0,00383	-0,00021
731	Env_ELU	Min	-0,00230	-0,00363	-0,00923	0,01192	0,00383	-0,00021
732	Env_ELU	Max	-0,00231	-0,00363	-0,00010	0,01193	0,00383	-0,00021
732	Env_ELU	Min	-0,00231	-0,00363	-0,00905	0,01194	0,00384	-0,00021
733	Env_ELU	Max	-0,00231	-0,00363	-0,00016	0,01195	0,00384	-0,00021
733	Env_ELU	Min	-0,00231	-0,00364	-0,00883	0,01196	0,00384	-0,00021
734	Env_ELU	Max	-0,00232	-0,00364	-0,00021	0,01197	0,00384	-0,00021
734	Env_ELU	Min	-0,00232	-0,00364	-0,00857	0,01198	0,00385	-0,00021
735	Env_ELU	Max	-0,00232	-0,00364	-0,00025	0,01199	0,00385	-0,00021
735	Env_ELU	Min	-0,00232	-0,00364	-0,00826	0,01199	0,00385	-0,00021
736	Env_ELU	Max	-0,00232	-0,00364	-0,00028	0,01200	0,00385	-0,00021
736	Env_ELU	Min	-0,00233	-0,00365	-0,00791	0,01201	0,00386	-0,00021
737	Env_ELU	Max	-0,00233	-0,00365	-0,00030	0,01202	0,00386	-0,00021
737	Env_ELU	Min	-0,00233	-0,00365	-0,00752	0,01203	0,00386	-0,00021
738	Env_ELU	Max	-0,00233	-0,00365	-0,00032	0,01204	0,00387	-0,00021
738	Env_ELU	Min	-0,00234	-0,00365	-0,00709	0,01205	0,00387	-0,00021
739	Env_ELU	Max	-0,00234	-0,00366	-0,00032	0,01206	0,00387	-0,00021
739	Env_ELU	Min	-0,00234	-0,00366	-0,00661	0,01206	0,00387	-0,00021
740	Env_ELU	Max	-0,00234	-0,00366	-0,00032	0,01207	0,00388	-0,00021
740	Env_ELU	Min	-0,00235	-0,00366	-0,00610	0,01208	0,00388	-0,00021
741	Env_ELU	Max	-0,00235	-0,00366	-0,00032	0,01209	0,00388	-0,00021
741	Env_ELU	Min	-0,00235	-0,00367	-0,00555	0,01210	0,00388	-0,00021

742	Env_ELU	Max	-0,00235	-0,00367	-0,00030	0,01211	0,00389	-0,00021
742	Env_ELU	Min	-0,00235	-0,00367	-0,00497	0,01212	0,00389	-0,00021
743	Env_ELU	Max	-0,00236	-0,00367	-0,00028	0,01213	0,00389	-0,00021
743	Env_ELU	Min	-0,00236	-0,00367	-0,00435	0,01214	0,00389	-0,00021
744	Env_ELU	Max	-0,00236	-0,00367	-0,00025	0,01214	0,00390	-0,00021
744	Env_ELU	Min	-0,00236	-0,00368	-0,00370	0,01215	0,00390	-0,00021
745	Env_ELU	Max	-0,00237	-0,00368	-0,00021	0,01216	0,00390	-0,00021
745	Env_ELU	Min	-0,00237	-0,00368	-0,00302	0,01217	0,00390	-0,00021
746	Env_ELU	Max	-0,00237	-0,00368	-0,00017	0,01218	0,00391	-0,00021
746	Env_ELU	Min	-0,00237	-0,00368	-0,00231	0,01219	0,00391	-0,00021
747	Env_ELU	Max	-0,00237	-0,00369	-0,00012	0,01220	0,00391	-0,00021
747	Env_ELU	Min	-0,00238	-0,00369	-0,00157	0,01221	0,00391	-0,00021
748	Env_ELU	Max	-0,00238	-0,00369	-0,00007	0,01222	0,00392	-0,00021
748	Env_ELU	Min	-0,00238	-0,00369	-0,00080	0,01222	0,00392	-0,00021
752	Env_ELU	Max	-0,00238	-0,00369	0,00089	0,01223	0,00392	-0,00021
752	Env_ELU	Min	-0,00239	-0,00369	-0,02334	0,01224	0,00392	-0,00021
753	Env_ELU	Max	-0,00239	-0,00370	0,00088	0,01225	0,00393	-0,00021
753	Env_ELU	Min	-0,00239	-0,00370	-0,02338	0,01226	0,00393	-0,00021
754	Env_ELU	Max	-0,00239	-0,00370	0,00087	0,01227	0,00393	-0,00021
754	Env_ELU	Min	-0,00239	-0,00370	-0,02341	0,01228	0,00393	-0,00021
755	Env_ELU	Max	-0,00240	-0,00370	0,00086	0,01229	0,00394	-0,00021
755	Env_ELU	Min	-0,00240	-0,00371	-0,02345	0,01229	0,00394	-0,00021
756	Env_ELU	Max	-0,00240	-0,00371	0,00085	0,01230	0,00394	-0,00021
756	Env_ELU	Min	-0,00240	-0,00371	-0,02349	0,01231	0,00394	-0,00021
757	Env_ELU	Max	-0,00241	-0,00371	0,00084	0,01232	0,00395	-0,00021
757	Env_ELU	Min	-0,00241	-0,00371	-0,02352	0,01233	0,00395	-0,00021
758	Env_ELU	Max	-0,00241	-0,00371	0,00083	0,01234	0,00395	-0,00021
758	Env_ELU	Min	-0,00241	-0,00372	-0,02356	0,01235	0,00395	-0,00021
759	Env_ELU	Max	-0,00242	-0,00372	0,00081	0,01236	0,00396	-0,00021
759	Env_ELU	Min	-0,00242	-0,00372	-0,02359	0,01237	0,00396	-0,00021
760	Env_ELU	Max	-0,00242	-0,00372	0,00080	0,01237	0,00396	-0,00021
760	Env_ELU	Min	-0,00242	-0,00372	-0,02362	0,01238	0,00396	-0,00021
761	Env_ELU	Max	-0,00242	-0,00373	0,00079	0,01239	0,00397	-0,00021
761	Env_ELU	Min	-0,00243	-0,00373	-0,02366	0,01240	0,00397	-0,00021
762	Env_ELU	Max	-0,00243	-0,00373	0,00078	0,01241	0,00397	-0,00021
762	Env_ELU	Min	-0,00243	-0,00373	-0,02368	0,01242	0,00397	-0,00021
763	Env_ELU	Max	-0,00243	-0,00373	0,00077	0,01243	0,00398	-0,00021
763	Env_ELU	Min	-0,00244	-0,00374	-0,02371	0,01244	0,00398	-0,00021
764	Env_ELU	Max	-0,00244	-0,00374	0,00076	0,01245	0,00398	-0,00022



764	Env_ELU	Min	-0,00244	-0,00374	-0,02374	0,01245	0,00399	-0,00022
765	Env_ELU	Max	-0,00244	-0,00374	0,00075	0,01246	0,00399	-0,00022
765	Env_ELU	Min	-0,00244	-0,00374	-0,02377	0,01247	0,00399	-0,00022
766	Env_ELU	Max	-0,00245	-0,00374	0,00074	0,01248	0,00399	-0,00022
766	Env_ELU	Min	-0,00245	-0,00375	-0,02379	0,01249	0,00400	-0,00022
767	Env_ELU	Max	-0,00245	-0,00375	0,00073	0,01250	0,00400	-0,00022
767	Env_ELU	Min	-0,00245	-0,00375	-0,02382	0,01251	0,00400	-0,00022
768	Env_ELU	Max	-0,00246	-0,00375	0,00072	0,01252	0,00400	-0,00022
768	Env_ELU	Min	-0,00246	-0,00375	-0,02384	0,01252	0,00401	-0,00022
769	Env_ELU	Max	-0,00246	-0,00376	0,00064	0,01253	0,00401	-0,00022
769	Env_ELU	Min	-0,00246	-0,00376	-0,02399	0,01254	0,00401	-0,00022
770	Env_ELU	Max	-0,00246	-0,00376	0,00057	0,01255	0,00401	-0,00022
770	Env_ELU	Min	-0,00247	-0,00376	-0,02407	0,01256	0,00402	-0,00022
771	Env_ELU	Max	-0,00247	-0,00376	0,00051	0,01257	0,00402	-0,00022
771	Env_ELU	Min	-0,00247	-0,00376	-0,02409	0,01258	0,00402	-0,00022
772	Env_ELU	Max	-0,00247	-0,00377	0,00044	0,01259	0,00402	-0,00022
772	Env_ELU	Min	-0,00248	-0,00377	-0,02407	0,01260	0,00403	-0,00022
773	Env_ELU	Max	-0,00248	-0,00377	0,00038	0,01260	0,00403	-0,00022
773	Env_ELU	Min	-0,00248	-0,00377	-0,02399	0,01261	0,00403	-0,00022
774	Env_ELU	Max	-0,00248	-0,00377	0,00032	0,01262	0,00403	-0,00022
774	Env_ELU	Min	-0,00249	-0,00378	-0,02386	0,01263	0,00404	-0,00022
775	Env_ELU	Max	-0,00249	-0,00378	0,00027	0,01264	0,00404	-0,00022
775	Env_ELU	Min	-0,00249	-0,00378	-0,02369	0,01265	0,00404	-0,00022
776	Env_ELU	Max	-0,00249	-0,00378	0,00021	0,01266	0,00404	-0,00022
776	Env_ELU	Min	-0,00249	-0,00378	-0,02346	0,01267	0,00405	-0,00022
777	Env_ELU	Max	-0,00250	-0,00379	0,00016	0,01268	0,00405	-0,00022
777	Env_ELU	Min	-0,00250	-0,00379	-0,02318	0,01268	0,00405	-0,00022
778	Env_ELU	Max	-0,00250	-0,00379	0,00011	0,01269	0,00405	-0,00022
778	Env_ELU	Min	-0,00250	-0,00379	-0,02284	0,01270	0,00406	-0,00022
779	Env_ELU	Max	-0,00251	-0,00379	0,00006	0,01271	0,00406	-0,00022
779	Env_ELU	Min	-0,00251	-0,00379	-0,02246	0,01272	0,00406	-0,00022
780	Env_ELU	Max	-0,00251	-0,00380	0,00002	0,01273	0,00406	-0,00022
780	Env_ELU	Min	-0,00251	-0,00380	-0,02203	0,01274	0,00407	-0,00022
781	Env_ELU	Max	-0,00251	-0,00380	-0,00002	0,01275	0,00407	-0,00022
781	Env_ELU	Min	-0,00252	-0,00380	-0,02154	0,01275	0,00407	-0,00022
782	Env_ELU	Max	-0,00252	-0,00380	-0,00006	0,01276	0,00407	-0,00022
782	Env_ELU	Min	-0,00252	-0,00381	-0,02100	0,01277	0,00408	-0,00022
783	Env_ELU	Max	-0,00252	-0,00381	-0,00009	0,01278	0,00408	-0,00022
783	Env_ELU	Min	-0,00253	-0,00381	-0,02041	0,01279	0,00408	-0,00022

784	Env_ELU	Max	-0,00253	-0,00381	-0,00012	0,01280	0,00408	-0,00022
784	Env_ELU	Min	-0,00253	-0,00381	-0,01978	0,01281	0,00409	-0,00022
785	Env_ELU	Max	-0,00253	-0,00381	-0,00014	0,01282	0,00409	-0,00022
785	Env_ELU	Min	-0,00253	-0,00382	-0,01910	0,01283	0,00409	-0,00022
786	Env_ELU	Max	-0,00254	-0,00382	-0,00017	0,01283	0,00410	-0,00022
786	Env_ELU	Min	-0,00254	-0,00382	-0,01837	0,01284	0,00410	-0,00022
787	Env_ELU	Max	-0,00254	-0,00382	-0,00018	0,01285	0,00410	-0,00022
787	Env_ELU	Min	-0,00254	-0,00382	-0,01759	0,01286	0,00410	-0,00022
788	Env_ELU	Max	-0,00255	-0,00383	-0,00020	0,01287	0,00411	-0,00022
788	Env_ELU	Min	-0,00255	-0,00383	-0,01677	0,01288	0,00411	-0,00022
789	Env_ELU	Max	-0,00255	-0,00383	-0,00021	0,01289	0,00411	-0,00022
789	Env_ELU	Min	-0,00255	-0,00383	-0,01590	0,01290	0,00411	-0,00022
790	Env_ELU	Max	-0,00256	-0,00383	-0,00022	0,01291	0,00412	-0,00022
790	Env_ELU	Min	-0,00256	-0,00384	-0,01500	0,01291	0,00412	-0,00022
791	Env_ELU	Max	-0,00256	-0,00384	-0,00022	0,01292	0,00412	-0,00022
791	Env_ELU	Min	-0,00256	-0,00384	-0,01405	0,01293	0,00412	-0,00022
792	Env_ELU	Max	-0,00256	-0,00384	-0,00022	0,01294	0,00413	-0,00022
792	Env_ELU	Min	-0,00257	-0,00384	-0,01307	0,01295	0,00413	-0,00022
793	Env_ELU	Max	-0,00257	-0,00384	-0,00022	0,01296	0,00413	-0,00022
793	Env_ELU	Min	-0,00257	-0,00385	-0,01204	0,01297	0,00413	-0,00022
794	Env_ELU	Max	-0,00257	-0,00385	-0,00021	0,01298	0,00414	-0,00023
794	Env_ELU	Min	-0,00258	-0,00385	-0,01098	0,01298	0,00414	-0,00023
795	Env_ELU	Max	-0,00258	-0,00385	-0,00020	0,01299	0,00414	-0,00023
795	Env_ELU	Min	-0,00258	-0,00385	-0,00988	0,01300	0,00414	-0,00023
796	Env_ELU	Max	-0,00258	-0,00386	-0,00019	0,01301	0,00415	-0,00023
796	Env_ELU	Min	-0,00258	-0,00386	-0,00875	0,01302	0,00415	-0,00023
797	Env_ELU	Max	-0,00259	-0,00386	-0,00017	0,01303	0,00415	-0,00023
797	Env_ELU	Min	-0,00259	-0,00386	-0,00759	0,01304	0,00415	-0,00023
798	Env_ELU	Max	-0,00259	-0,00386	-0,00015	0,01305	0,00416	-0,00023
798	Env_ELU	Min	-0,00259	-0,00386	-0,00640	0,01306	0,00416	-0,00023
799	Env_ELU	Max	-0,00260	-0,00387	-0,00013	0,01306	0,00416	-0,00023
799	Env_ELU	Min	-0,00260	-0,00387	-0,00518	0,01307	0,00416	-0,00023
800	Env_ELU	Max	-0,00260	-0,00387	-0,00010	0,01308	0,00417	-0,00023
800	Env_ELU	Min	-0,00260	-0,00387	-0,00393	0,01309	0,00417	-0,00023
801	Env_ELU	Max	-0,00260	-0,00387	-0,00007	0,01310	0,00417	-0,00023
801	Env_ELU	Min	-0,00261	-0,00388	-0,00266	0,01311	0,00417	-0,00023
802	Env_ELU	Max	-0,00261	-0,00388	-0,00004	0,01312	0,00418	-0,00023
802	Env_ELU	Min	-0,00261	-0,00388	-0,00137	0,01313	0,00418	-0,00023
803	Env_ELU	Max	-0,00261	-0,00388	0,00214	0,01314	0,00418	-0,00023



803	Env_ELU	Min	-0,00262	-0,00388	-0,01822	0,01314	0,00418	-0,00023
804	Env_ELU	Max	-0,00262	-0,00389	0,00199	0,01315	0,00419	-0,00023
804	Env_ELU	Min	-0,00262	-0,00389	-0,00677	0,01316	0,00419	-0,00023
805	Env_ELU	Max	-0,00262	-0,00389	0,00289	0,01317	0,00419	-0,00023
805	Env_ELU	Min	-0,00263	-0,00389	-0,01376	0,01318	0,00419	-0,00023
806	Env_ELU	Max	-0,00263	-0,00389	0,00271	0,01319	0,00420	-0,00023
806	Env_ELU	Min	-0,00263	-0,00389	-0,00477	0,01320	0,00420	-0,00023
807	Env_ELU	Max	-0,00263	-0,00390	0,00322	0,01321	0,00420	-0,00023
807	Env_ELU	Min	-0,00263	-0,00390	-0,00897	0,01321	0,00420	-0,00023
808	Env_ELU	Max	-0,00264	-0,00390	0,00309	0,01322	0,00421	-0,00023
808	Env_ELU	Min	-0,00264	-0,00390	-0,00286	0,01323	0,00421	-0,00023
809	Env_ELU	Max	-0,00264	-0,00390	0,00271	0,01324	0,00421	-0,00023
809	Env_ELU	Min	-0,00264	-0,00391	-0,00450	0,01325	0,00422	-0,00023
810	Env_ELU	Max	-0,00265	-0,00391	0,00263	0,01326	0,00422	-0,00023
810	Env_ELU	Min	-0,00265	-0,00391	-0,00161	0,01327	0,00422	-0,00023
811	Env_ELU	Max	-0,00265	-0,00391	0,00839	0,01328	0,00422	-0,00023
811	Env_ELU	Min	-0,00265	-0,00391	-0,00857	0,01329	0,00423	-0,00023
812	Env_ELU	Max	-0,00265	-0,00391	0,00609	0,01329	0,00423	-0,00023
812	Env_ELU	Min	-0,00266	-0,00392	-0,00834	0,01330	0,00423	-0,00023
813	Env_ELU	Max	-0,00266	-0,00392	0,00707	0,01331	0,00423	-0,00023
813	Env_ELU	Min	-0,00266	-0,00392	-0,01144	0,01332	0,00424	-0,00023
814	Env_ELU	Max	-0,00266	-0,00392	0,00874	0,01333	0,00424	-0,00023
814	Env_ELU	Min	-0,00267	-0,00392	-0,01156	0,01334	0,00424	-0,00023
815	Env_ELU	Max	-0,00267	-0,00393	0,00243	0,01335	0,00424	-0,00023
815	Env_ELU	Min	-0,00267	-0,00393	-0,00056	0,01336	0,00425	-0,00023
816	Env_ELU	Max	-0,00267	-0,00393	0,00283	0,01337	0,00425	-0,00023
816	Env_ELU	Min	-0,00268	-0,00393	-0,00068	0,01337	0,00425	-0,00023
817	Env_ELU	Max	-0,00268	-0,00393	0,00321	0,01338	0,00425	-0,00023
817	Env_ELU	Min	-0,00268	-0,00393	-0,00080	0,01339	0,00426	-0,00023
818	Env_ELU	Max	-0,00268	-0,00394	0,00358	0,01340	0,00426	-0,00023
818	Env_ELU	Min	-0,00268	-0,00394	-0,00092	0,01341	0,00426	-0,00023
819	Env_ELU	Max	-0,00269	-0,00394	0,00394	0,01342	0,00426	-0,00023
819	Env_ELU	Min	-0,00269	-0,00394	-0,00105	0,01343	0,00427	-0,00023
820	Env_ELU	Max	-0,00269	-0,00394	0,00427	0,01344	0,00427	-0,00023
820	Env_ELU	Min	-0,00269	-0,00395	-0,00118	0,01344	0,00427	-0,00023
821	Env_ELU	Max	-0,00270	-0,00395	0,00459	0,01345	0,00427	-0,00023
821	Env_ELU	Min	-0,00270	-0,00395	-0,00131	0,01346	0,00428	-0,00023
822	Env_ELU	Max	-0,00270	-0,00395	0,00490	0,01347	0,00428	-0,00023
822	Env_ELU	Min	-0,00270	-0,00395	-0,00145	0,01348	0,00428	-0,00023

823	Env_ELU	Max	-0,00270	-0,00396	0,00519	0,01349	0,00428	-0,00023
823	Env_ELU	Min	-0,00271	-0,00396	-0,00159	0,01350	0,00429	-0,00023
824	Env_ELU	Max	-0,00271	-0,00396	0,00546	0,01351	0,00429	-0,00024
824	Env_ELU	Min	-0,00271	-0,00396	-0,00173	0,01352	0,00429	-0,00024
825	Env_ELU	Max	-0,00271	-0,00396	0,00572	0,01352	0,00429	-0,00024
825	Env_ELU	Min	-0,00272	-0,00396	-0,00187	0,01353	0,00430	-0,00024
826	Env_ELU	Max	-0,00272	-0,00397	0,00597	0,01354	0,00430	-0,00024
826	Env_ELU	Min	-0,00272	-0,00397	-0,00204	0,01355	0,00430	-0,00024
827	Env_ELU	Max	-0,00272	-0,00397	0,00620	0,01356	0,00430	-0,00024
827	Env_ELU	Min	-0,00272	-0,00397	-0,00226	0,01357	0,00431	-0,00024
828	Env_ELU	Max	-0,00273	-0,00397	0,00641	0,01358	0,00431	-0,00024
828	Env_ELU	Min	-0,00273	-0,00398	-0,00250	0,01359	0,00431	-0,00024
829	Env_ELU	Max	-0,00273	-0,00398	0,00661	0,01360	0,00431	-0,00024
829	Env_ELU	Min	-0,00273	-0,00398	-0,00274	0,01360	0,00432	-0,00024
830	Env_ELU	Max	-0,00274	-0,00398	0,00680	0,01361	0,00432	-0,00024
830	Env_ELU	Min	-0,00274	-0,00398	-0,00300	0,01362	0,00432	-0,00024
831	Env_ELU	Max	-0,00274	-0,00398	0,00697	0,01363	0,00432	-0,00024
831	Env_ELU	Min	-0,00274	-0,00399	-0,00326	0,01364	0,00433	-0,00024
832	Env_ELU	Max	-0,00275	-0,00399	0,00712	0,01365	0,00433	-0,00024
832	Env_ELU	Min	-0,00275	-0,00399	-0,00352	0,01366	0,00433	-0,00024
833	Env_ELU	Max	-0,00275	-0,00399	0,00727	0,01367	0,00434	-0,00024
833	Env_ELU	Min	-0,00275	-0,00399	-0,00380	0,01367	0,00434	-0,00024
834	Env_ELU	Max	-0,00275	-0,00400	0,00739	0,01368	0,00434	-0,00024
834	Env_ELU	Min	-0,00276	-0,00400	-0,00408	0,01369	0,00434	-0,00024
835	Env_ELU	Max	-0,00276	-0,00400	0,00751	0,01370	0,00435	-0,00024
835	Env_ELU	Min	-0,00276	-0,00400	-0,00436	0,01371	0,00435	-0,00024
836	Env_ELU	Max	-0,00276	-0,00400	0,00761	0,01372	0,00435	-0,00024
836	Env_ELU	Min	-0,00277	-0,00401	-0,00465	0,01373	0,00435	-0,00024
837	Env_ELU	Max	-0,00277	-0,00401	0,00770	0,01374	0,00436	-0,00024
837	Env_ELU	Min	-0,00277	-0,00401	-0,00494	0,01375	0,00436	-0,00024
838	Env_ELU	Max	-0,00277	-0,00401	0,00777	0,01375	0,00436	-0,00024
838	Env_ELU	Min	-0,00277	-0,00401	-0,00524	0,01376	0,00436	-0,00024
839	Env_ELU	Max	-0,00278	-0,00401	0,00784	0,01377	0,00437	-0,00024
839	Env_ELU	Min	-0,00278	-0,00402	-0,00554	0,01378	0,00437	-0,00024
840	Env_ELU	Max	-0,00278	-0,00402	0,00789	0,01379	0,00437	-0,00024
840	Env_ELU	Min	-0,00278	-0,00402	-0,00584	0,01380	0,00437	-0,00024
841	Env_ELU	Max	-0,00279	-0,00402	0,00793	0,01381	0,00438	-0,00024
841	Env_ELU	Min	-0,00279	-0,00402	-0,00614	0,01382	0,00438	-0,00024
842	Env_ELU	Max	-0,00279	-0,00403	0,00795	0,01383	0,00438	-0,00024



842	Env_ELU	Min	-0,00279	-0,00403	-0,00645	0,01383	0,00438	-0,00024
843	Env_ELU	Max	-0,00279	-0,00403	0,00802	0,01384	0,00439	-0,00024
843	Env_ELU	Min	-0,00280	-0,00403	-0,00675	0,01385	0,00439	-0,00024
844	Env_ELU	Max	-0,00280	-0,00403	0,00810	0,01386	0,00439	-0,00024
844	Env_ELU	Min	-0,00280	-0,00403	-0,00706	0,01387	0,00439	-0,00024
845	Env_ELU	Max	-0,00280	-0,00404	0,00817	0,01388	0,00440	-0,00024
845	Env_ELU	Min	-0,00281	-0,00404	-0,00736	0,01389	0,00440	-0,00024
846	Env_ELU	Max	-0,00281	-0,00404	0,00823	0,01390	0,00440	-0,00024
846	Env_ELU	Min	-0,00281	-0,00404	-0,00767	0,01390	0,00440	-0,00024
847	Env_ELU	Max	-0,00281	-0,00404	0,00829	0,01391	0,00441	-0,00024
847	Env_ELU	Min	-0,00282	-0,00405	-0,00797	0,01392	0,00441	-0,00024
848	Env_ELU	Max	-0,00282	-0,00405	0,00834	0,01393	0,00441	-0,00024
848	Env_ELU	Min	-0,00282	-0,00405	-0,00827	0,01394	0,00441	-0,00024
849	Env_ELU	Max	-0,00282	-0,00405	0,00126	0,01395	0,00442	-0,00024
849	Env_ELU	Min	-0,00282	-0,00405	-0,00075	0,01396	0,00442	-0,00024
850	Env_ELU	Max	-0,00283	-0,00406	0,00148	0,01397	0,00442	-0,00024
850	Env_ELU	Min	-0,00283	-0,00406	-0,00087	0,01398	0,00442	-0,00024
851	Env_ELU	Max	-0,00283	-0,00406	0,00169	0,01398	0,00443	-0,00024
851	Env_ELU	Min	-0,00283	-0,00406	-0,00100	0,01399	0,00443	-0,00024
852	Env_ELU	Max	-0,00284	-0,00406	0,00189	0,01400	0,00443	-0,00024
852	Env_ELU	Min	-0,00284	-0,00406	-0,00115	0,01401	0,00443	-0,00024
853	Env_ELU	Max	-0,00284	-0,00407	0,00208	0,01402	0,00444	-0,00024
853	Env_ELU	Min	-0,00284	-0,00407	-0,00130	0,01403	0,00444	-0,00024
854	Env_ELU	Max	-0,00284	-0,00407	0,00228	0,01404	0,00444	-0,00025
854	Env_ELU	Min	-0,00285	-0,00407	-0,00147	0,01405	0,00444	-0,00025
855	Env_ELU	Max	-0,00285	-0,00407	0,00248	0,01406	0,00445	-0,00025
855	Env_ELU	Min	-0,00285	-0,00408	-0,00164	0,01406	0,00445	-0,00025
856	Env_ELU	Max	-0,00285	-0,00408	0,00267	0,01407	0,00445	-0,00025
856	Env_ELU	Min	-0,00286	-0,00408	-0,00183	0,01408	0,00446	-0,00025
857	Env_ELU	Max	-0,00286	-0,00408	0,00285	0,01409	0,00446	-0,00025
857	Env_ELU	Min	-0,00286	-0,00408	-0,00202	0,01410	0,00446	-0,00025
858	Env_ELU	Max	-0,00286	-0,00408	0,00303	0,01411	0,00446	-0,00025
858	Env_ELU	Min	-0,00286	-0,00409	-0,00222	0,01412	0,00447	-0,00025
859	Env_ELU	Max	-0,00287	-0,00409	0,00320	0,01413	0,00447	-0,00025
859	Env_ELU	Min	-0,00287	-0,00409	-0,00243	0,01413	0,00447	-0,00025
860	Env_ELU	Max	-0,00287	-0,00409	0,00337	0,01414	0,00447	-0,00025
860	Env_ELU	Min	-0,00287	-0,00409	-0,00265	0,01415	0,00448	-0,00025
861	Env_ELU	Max	-0,00288	-0,00410	0,00354	0,01416	0,00448	-0,00025
861	Env_ELU	Min	-0,00288	-0,00410	-0,00287	0,01417	0,00448	-0,00025

862	Env_ELU	Max	-0,00288	-0,00410	0,00370	0,01418	0,00448	-0,00025
862	Env_ELU	Min	-0,00288	-0,00410	-0,00309	0,01419	0,00449	-0,00025
863	Env_ELU	Max	-0,00289	-0,00410	0,00385	0,01420	0,00449	-0,00025
863	Env_ELU	Min	-0,00289	-0,00410	-0,00333	0,01421	0,00449	-0,00025
864	Env_ELU	Max	-0,00289	-0,00411	0,00400	0,01421	0,00449	-0,00025
864	Env_ELU	Min	-0,00289	-0,00411	-0,00356	0,01422	0,00450	-0,00025
865	Env_ELU	Max	-0,00289	-0,00411	0,00415	0,01423	0,00450	-0,00025
865	Env_ELU	Min	-0,00290	-0,00411	-0,00381	0,01424	0,00450	-0,00025
866	Env_ELU	Max	-0,00290	-0,00411	0,00429	0,01425	0,00450	-0,00025
866	Env_ELU	Min	-0,00290	-0,00412	-0,00405	0,01426	0,00451	-0,00025
867	Env_ELU	Max	-0,00290	-0,00412	0,00443	0,01427	0,00451	-0,00025
867	Env_ELU	Min	-0,00291	-0,00412	-0,00430	0,01428	0,00451	-0,00025
868	Env_ELU	Max	-0,00291	-0,00412	0,00456	0,01429	0,00451	-0,00025
868	Env_ELU	Min	-0,00291	-0,00412	-0,00455	0,01429	0,00452	-0,00025
869	Env_ELU	Max	-0,00291	-0,00413	0,00469	0,01430	0,00452	-0,00025
869	Env_ELU	Min	-0,00291	-0,00413	-0,00481	0,01431	0,00452	-0,00025
870	Env_ELU	Max	-0,00292	-0,00413	0,00481	0,01432	0,00452	-0,00025
870	Env_ELU	Min	-0,00292	-0,00413	-0,00507	0,01433	0,00453	-0,00025
871	Env_ELU	Max	-0,00292	-0,00413	0,00493	0,01434	0,00453	-0,00025
871	Env_ELU	Min	-0,00292	-0,00413	-0,00532	0,01435	0,00453	-0,00025
872	Env_ELU	Max	-0,00293	-0,00414	0,00505	0,01436	0,00453	-0,00025
872	Env_ELU	Min	-0,00293	-0,00414	-0,00558	0,01437	0,00454	-0,00025
873	Env_ELU	Max	-0,00293	-0,00414	0,00516	0,01437	0,00454	-0,00025
873	Env_ELU	Min	-0,00293	-0,00414	-0,00584	0,01438	0,00454	-0,00025
874	Env_ELU	Max	-0,00293	-0,00414	0,00527	0,01439	0,00454	-0,00025
874	Env_ELU	Min	-0,00294	-0,00415	-0,00610	0,01440	0,00455	-0,00025
875	Env_ELU	Max	-0,00294	-0,00415	0,00537	0,01441	0,00455	-0,00025
875	Env_ELU	Min	-0,00294	-0,00415	-0,00635	0,01442	0,00455	-0,00025
876	Env_ELU	Max	-0,00294	-0,00415	0,00547	0,01443	0,00455	-0,00025
876	Env_ELU	Min	-0,00295	-0,00415	-0,00661	0,01444	0,00456	-0,00025
877	Env_ELU	Max	-0,00295	-0,00415	0,00557	0,01444	0,00456	-0,00025
877	Env_ELU	Min	-0,00295	-0,00416	-0,00686	0,01445	0,00456	-0,00025
878	Env_ELU	Max	-0,00295	-0,00416	0,00566	0,01446	0,00457	-0,00025
878	Env_ELU	Min	-0,00296	-0,00416	-0,00711	0,01447	0,00457	-0,00025
879	Env_ELU	Max	-0,00296	-0,00416	0,00575	0,01448	0,00457	-0,00025
879	Env_ELU	Min	-0,00296	-0,00416	-0,00736	0,01449	0,00457	-0,00025
880	Env_ELU	Max	-0,00296	-0,00417	0,00584	0,01450	0,00458	-0,00025
880	Env_ELU	Min	-0,00296	-0,00417	-0,00761	0,01451	0,00458	-0,00025
881	Env_ELU	Max	-0,00297	-0,00417	0,00593	0,01452	0,00458	-0,00025



881	Env_ELU	Min	-0,00297	-0,00417	-0,00785	0,01452	0,00458	-0,00025
882	Env_ELU	Max	-0,00297	-0,00417	0,00601	0,01453	0,00459	-0,00025
882	Env_ELU	Min	-0,00297	-0,00418	-0,00809	0,01454	0,00459	-0,00025
883	Env_ELU	Max	-0,00298	-0,00418	0,00332	0,01455	0,00459	-0,00025
883	Env_ELU	Min	-0,00298	-0,00418	-0,00258	0,01456	0,00459	-0,00025
884	Env_ELU	Max	-0,00298	-0,00418	0,00589	0,01457	0,00460	-0,00026
884	Env_ELU	Min	-0,00298	-0,00418	-0,00197	0,01458	0,00460	-0,00026
885	Env_ELU	Max	-0,00298	-0,00418	0,00497	0,01459	0,00460	-0,00026
885	Env_ELU	Min	-0,00299	-0,00419	-0,00542	0,01460	0,00460	-0,00026
886	Env_ELU	Max	-0,00299	-0,00419	0,00772	0,01460	0,00461	-0,00026
886	Env_ELU	Min	-0,00299	-0,00419	-0,00504	0,01461	0,00461	-0,00026
895	Env_ELU	Max	-0,00299	-0,00419	0,00133	0,01462	0,00461	-0,00026
895	Env_ELU	Min	-0,00300	-0,00419	0,00017	0,01463	0,00461	-0,00026
896	Env_ELU	Max	-0,00300	-0,00420	0,00108	0,01464	0,00462	-0,00026
896	Env_ELU	Min	-0,00300	-0,00420	0,00010	0,01465	0,00462	-0,00026
897	Env_ELU	Max	-0,00300	-0,00420	0,00083	0,01466	0,00462	-0,00026
897	Env_ELU	Min	-0,00300	-0,00420	0,00002	0,01467	0,00462	-0,00026
898	Env_ELU	Max	-0,00301	-0,00420	0,00056	0,01467	0,00463	-0,00026
898	Env_ELU	Min	-0,00301	-0,00420	-0,00005	0,01468	0,00463	-0,00026
899	Env_ELU	Max	-0,00301	-0,00421	0,00032	0,01469	0,00463	-0,00026
899	Env_ELU	Min	-0,00301	-0,00421	-0,00013	0,01470	0,00463	-0,00026
900	Env_ELU	Max	-0,00302	-0,00421	0,00015	0,01471	0,00464	-0,00026
900	Env_ELU	Min	-0,00302	-0,00421	-0,00029	0,01472	0,00464	-0,00026
901	Env_ELU	Max	-0,00302	-0,00421	-0,00003	0,01473	0,00464	-0,00026
901	Env_ELU	Min	-0,00302	-0,00422	-0,00050	0,01474	0,00464	-0,00026
902	Env_ELU	Max	-0,00303	-0,00422	-0,00022	0,01475	0,00465	-0,00026
902	Env_ELU	Min	-0,00303	-0,00422	-0,00073	0,01475	0,00465	-0,00026
903	Env_ELU	Max	-0,00303	-0,00422	-0,00040	0,01476	0,00465	-0,00026
903	Env_ELU	Min	-0,00303	-0,00422	-0,00097	0,01477	0,00465	-0,00026
904	Env_ELU	Max	-0,00303	-0,00423	-0,00058	0,01478	0,00466	-0,00026
904	Env_ELU	Min	-0,00304	-0,00423	-0,00123	0,01479	0,00466	-0,00026
905	Env_ELU	Max	-0,00304	-0,00423	-0,00074	0,01480	0,00466	-0,00026
905	Env_ELU	Min	-0,00304	-0,00423	-0,00154	0,01481	0,00466	-0,00026
906	Env_ELU	Max	-0,00304	-0,00423	-0,00086	0,01482	0,00467	-0,00026
906	Env_ELU	Min	-0,00305	-0,00423	-0,00187	0,01483	0,00467	-0,00026
907	Env_ELU	Max	-0,00305	-0,00424	-0,00099	0,01483	0,00467	-0,00026
907	Env_ELU	Min	-0,00305	-0,00424	-0,00222	0,01484	0,00467	-0,00026
908	Env_ELU	Max	-0,00305	-0,00424	-0,00112	0,01485	0,00468	-0,00026
908	Env_ELU	Min	-0,00305	-0,00424	-0,00258	0,01486	0,00468	-0,00026

909	Env_ELU	Max	-0,00306	-0,00424	-0,00126	0,01487	0,00468	-0,00026
909	Env_ELU	Min	-0,00306	-0,00425	-0,00294	0,01488	0,00469	-0,00026
910	Env_ELU	Max	-0,00306	-0,00425	-0,00139	0,01489	0,00469	-0,00026
910	Env_ELU	Min	-0,00306	-0,00425	-0,00331	0,01490	0,00469	-0,00026
911	Env_ELU	Max	-0,00307	-0,00425	-0,00188	0,01490	0,00469	-0,00026
911	Env_ELU	Min	-0,00307	-0,00425	-0,00462	0,01491	0,00470	-0,00026
912	Env_ELU	Max	-0,00307	-0,00425	-0,00225	0,01492	0,00470	-0,00026
912	Env_ELU	Min	-0,00307	-0,00426	-0,00558	0,01493	0,00470	-0,00026
913	Env_ELU	Max	-0,00307	-0,00426	-0,00263	0,01494	0,00470	-0,00026
913	Env_ELU	Min	-0,00308	-0,00426	-0,00658	0,01495	0,00471	-0,00026
914	Env_ELU	Max	-0,00308	-0,00426	-0,00303	0,01496	0,00471	-0,00026
914	Env_ELU	Min	-0,00308	-0,00426	-0,00760	0,01497	0,00471	-0,00026
915	Env_ELU	Max	-0,00308	-0,00427	-0,00345	0,01498	0,00471	-0,00026
915	Env_ELU	Min	-0,00309	-0,00427	-0,00866	0,01498	0,00472	-0,00026
916	Env_ELU	Max	-0,00309	-0,00427	-0,00389	0,01499	0,00472	-0,00026
916	Env_ELU	Min	-0,00309	-0,00427	-0,00975	0,01500	0,00472	-0,00026
917	Env_ELU	Max	-0,00309	-0,00427	-0,00434	0,01501	0,00472	-0,00026
917	Env_ELU	Min	-0,00310	-0,00427	-0,01086	0,01502	0,00473	-0,00026
918	Env_ELU	Max	-0,00310	-0,00428	-0,00481	0,01503	0,00473	-0,00026
918	Env_ELU	Min	-0,00310	-0,00428	-0,01199	0,01504	0,00473	-0,00026
919	Env_ELU	Max	-0,00310	-0,00428	-0,00529	0,01505	0,00473	-0,00026
919	Env_ELU	Min	-0,00310	-0,00428	-0,01315	0,01506	0,00474	-0,00026
920	Env_ELU	Max	-0,00311	-0,00428	-0,00578	0,01506	0,00474	-0,00026
920	Env_ELU	Min	-0,00311	-0,00429	-0,01432	0,01507	0,00474	-0,00026
921	Env_ELU	Max	-0,00311	-0,00429	-0,00628	0,01508	0,00474	-0,00026
921	Env_ELU	Min	-0,00311	-0,00429	-0,01550	0,01509	0,00475	-0,00026
922	Env_ELU	Max	-0,00312	-0,00429	-0,00679	0,01510	0,00475	-0,00026
922	Env_ELU	Min	-0,00312	-0,00429	-0,01670	0,01511	0,00475	-0,00027
923	Env_ELU	Max	-0,00312	-0,00430	-0,00731	0,01512	0,00475	-0,00027
923	Env_ELU	Min	-0,00312	-0,00430	-0,01792	0,01513	0,00476	-0,00027
924	Env_ELU	Max	-0,00312	-0,00430	-0,00783	0,01513	0,00476	-0,00027
924	Env_ELU	Min	-0,00313	-0,00430	-0,01914	0,01514	0,00476	-0,00027
925	Env_ELU	Max	-0,00313	-0,00430	-0,00837	0,01515	0,00476	-0,00027
925	Env_ELU	Min	-0,00313	-0,00430	-0,02037	0,01516	0,00477	-0,00027
926	Env_ELU	Max	-0,00313	-0,00431	-0,00891	0,01517	0,00477	-0,00027
926	Env_ELU	Min	-0,00314	-0,00431	-0,02161	0,01518	0,00477	-0,00027
927	Env_ELU	Max	-0,00314	-0,00431	-0,00946	0,01519	0,00477	-0,00027
927	Env_ELU	Min	-0,00314	-0,00431	-0,02285	0,01520	0,00478	-0,00027
928	Env_ELU	Max	-0,00314	-0,00431	-0,01001	0,01521	0,00478	-0,00027



928	Env_ELU	Min	-0,00314	-0,00432	-0,02410	0,01521	0,00478	-0,00027
929	Env_ELU	Max	-0,00315	-0,00432	-0,01056	0,01522	0,00478	-0,00027
929	Env_ELU	Min	-0,00315	-0,00432	-0,02534	0,01523	0,00479	-0,00027
930	Env_ELU	Max	-0,00315	-0,00432	-0,01111	0,01524	0,00479	-0,00027
930	Env_ELU	Min	-0,00315	-0,00432	-0,02657	0,01525	0,00479	-0,00027
931	Env_ELU	Max	-0,00316	-0,00432	-0,01166	0,01526	0,00479	-0,00027
931	Env_ELU	Min	-0,00316	-0,00433	-0,02780	0,01527	0,00480	-0,00027
932	Env_ELU	Max	-0,00316	-0,00433	-0,01221	0,01528	0,00480	-0,00027
932	Env_ELU	Min	-0,00316	-0,00433	-0,02902	0,01529	0,00480	-0,00027
933	Env_ELU	Max	-0,00317	-0,00433	-0,01276	0,01529	0,00481	-0,00027
933	Env_ELU	Min	-0,00317	-0,00433	-0,03023	0,01530	0,00481	-0,00027
934	Env_ELU	Max	-0,00317	-0,00434	-0,01330	0,01531	0,00481	-0,00027
934	Env_ELU	Min	-0,00317	-0,00434	-0,03143	0,01532	0,00481	-0,00027
935	Env_ELU	Max	-0,00317	-0,00434	-0,01385	0,01533	0,00482	-0,00027
935	Env_ELU	Min	-0,00318	-0,00434	-0,03262	0,01534	0,00482	-0,00027
936	Env_ELU	Max	-0,00318	-0,00434	-0,01438	0,01535	0,00482	-0,00027
936	Env_ELU	Min	-0,00318	-0,00435	-0,03379	0,01536	0,00482	-0,00027
937	Env_ELU	Max	-0,00318	-0,00435	-0,01492	0,01536	0,00483	-0,00027
937	Env_ELU	Min	-0,00319	-0,00435	-0,03494	0,01537	0,00483	-0,00027
938	Env_ELU	Max	-0,00319	-0,00435	-0,01544	0,01538	0,00483	-0,00027
938	Env_ELU	Min	-0,00319	-0,00435	-0,03607	0,01539	0,00483	-0,00027
939	Env_ELU	Max	-0,00319	-0,00435	-0,01596	0,01540	0,00484	-0,00027
939	Env_ELU	Min	-0,00319	-0,00436	-0,03718	0,01541	0,00484	-0,00027
940	Env_ELU	Max	-0,00320	-0,00436	-0,01646	0,01542	0,00484	-0,00027
940	Env_ELU	Min	-0,00320	-0,00436	-0,03826	0,01543	0,00484	-0,00027
941	Env_ELU	Max	-0,00320	-0,00436	-0,01696	0,01544	0,00485	-0,00027
941	Env_ELU	Min	-0,00320	-0,00436	-0,03932	0,01544	0,00485	-0,00027
942	Env_ELU	Max	-0,00321	-0,00437	-0,01745	0,01545	0,00485	-0,00027
942	Env_ELU	Min	-0,00321	-0,00437	-0,04034	0,01546	0,00485	-0,00027
943	Env_ELU	Max	-0,00321	-0,00437	-0,01792	0,01547	0,00486	-0,00027
943	Env_ELU	Min	-0,00321	-0,00437	-0,04134	0,01548	0,00486	-0,00027
944	Env_ELU	Max	-0,00322	-0,00437	-0,01838	0,01549	0,00486	-0,00027
944	Env_ELU	Min	-0,00322	-0,00437	-0,04231	0,01550	0,00486	-0,00027
945	Env_ELU	Max	-0,00322	-0,00438	-0,01883	0,01551	0,00487	-0,00027
945	Env_ELU	Min	-0,00322	-0,00438	-0,04325	0,01552	0,00487	-0,00027
946	Env_ELU	Max	-0,00322	-0,00438	-0,01927	0,01552	0,00487	-0,00027
946	Env_ELU	Min	-0,00323	-0,00438	-0,04415	0,01553	0,00487	-0,00027
947	Env_ELU	Max	-0,00323	-0,00438	-0,01969	0,01554	0,00488	-0,00027
947	Env_ELU	Min	-0,00323	-0,00439	-0,04501	0,01555	0,00488	-0,00027

948	Env_ELU	Max	-0,00323	-0,00439	-0,02010	0,01556	0,00488	-0,00027
948	Env_ELU	Min	-0,00324	-0,00439	-0,04584	0,01557	0,00488	-0,00027
949	Env_ELU	Max	-0,00324	-0,00439	-0,02048	0,01558	0,00489	-0,00027
949	Env_ELU	Min	-0,00324	-0,00439	-0,04663	0,01559	0,00489	-0,00027
950	Env_ELU	Max	-0,00324	-0,00440	-0,02086	0,01559	0,00489	-0,00027
950	Env_ELU	Min	-0,00324	-0,00440	-0,04738	0,01560	0,00489	-0,00027
951	Env_ELU	Max	-0,00325	-0,00440	-0,02121	0,01561	0,00490	-0,00027
951	Env_ELU	Min	-0,00325	-0,00440	-0,04808	0,01562	0,00490	-0,00027
952	Env_ELU	Max	-0,00325	-0,00440	-0,02154	0,01563	0,00490	-0,00027
952	Env_ELU	Min	-0,00325	-0,00440	-0,04875	0,01564	0,00490	-0,00028
953	Env_ELU	Max	-0,00326	-0,00441	-0,02186	0,01565	0,00491	-0,00028
953	Env_ELU	Min	-0,00326	-0,00441	-0,04937	0,01566	0,00491	-0,00028
954	Env_ELU	Max	-0,00326	-0,00441	-0,02216	0,01567	0,00491	-0,00028
954	Env_ELU	Min	-0,00326	-0,00441	-0,04994	0,01567	0,00492	-0,00028
955	Env_ELU	Max	-0,00326	-0,00441	-0,02243	0,01568	0,00492	-0,00028
955	Env_ELU	Min	-0,00327	-0,00442	-0,05047	0,01569	0,00492	-0,00028
956	Env_ELU	Max	-0,00327	-0,00442	-0,02269	0,01570	0,00492	-0,00028
956	Env_ELU	Min	-0,00327	-0,00442	-0,05095	0,01571	0,00493	-0,00028
957	Env_ELU	Max	-0,00327	-0,00442	-0,02302	0,01572	0,00493	-0,00028
957	Env_ELU	Min	-0,00328	-0,00442	-0,05154	0,01573	0,00493	-0,00028
958	Env_ELU	Max	-0,00328	-0,00442	-0,02311	0,01574	0,00493	-0,00028
958	Env_ELU	Min	-0,00328	-0,00443	-0,05169	0,01575	0,00494	-0,00028
959	Env_ELU	Max	-0,00328	-0,00443	-0,02320	0,01575	0,00494	-0,00028
959	Env_ELU	Min	-0,00329	-0,00443	-0,05184	0,01576	0,00494	-0,00028
960	Env_ELU	Max	-0,00329	-0,00443	-0,02328	0,01577	0,00494	-0,00028
960	Env_ELU	Min	-0,00329	-0,00443	-0,05199	0,01578	0,00495	-0,00028
961	Env_ELU	Max	-0,00329	-0,00444	-0,02336	0,01579	0,00495	-0,00028
961	Env_ELU	Min	-0,00329	-0,00444	-0,05213	0,01580	0,00495	-0,00028
962	Env_ELU	Max	-0,00330	-0,00444	-0,02344	0,01581	0,00495	-0,00028
962	Env_ELU	Min	-0,00330	-0,00444	-0,05225	0,01582	0,00496	-0,00028
963	Env_ELU	Max	-0,00330	-0,00444	-0,02352	0,01582	0,00496	-0,00028
963	Env_ELU	Min	-0,00330	-0,00444	-0,05237	0,01583	0,00496	-0,00028
964	Env_ELU	Max	-0,00331	-0,00445	-0,02358	0,01584	0,00496	-0,00028
964	Env_ELU	Min	-0,00331	-0,00445	-0,05248	0,01585	0,00497	-0,00028
965	Env_ELU	Max	-0,00331	-0,00445	-0,02365	0,01586	0,00497	-0,00028
965	Env_ELU	Min	-0,00331	-0,00445	-0,05257	0,01587	0,00497	-0,00028
966	Env_ELU	Max	-0,00331	-0,00445	-0,02370	0,01588	0,00497	-0,00028
966	Env_ELU	Min	-0,00332	-0,00446	-0,05265	0,01589	0,00498	-0,00028
967	Env_ELU	Max	-0,00332	-0,00446	-0,02376	0,01590	0,00498	-0,00028



967	Env_ELU	Min	-0,00332	-0,00446	-0,05272	0,01590	0,00498	-0,00028
968	Env_ELU	Max	-0,00332	-0,00446	-0,02380	0,01591	0,00498	-0,00028
968	Env_ELU	Min	-0,00333	-0,00446	-0,05278	0,01592	0,00499	-0,00028
969	Env_ELU	Max	-0,00333	-0,00447	-0,02385	0,01593	0,00499	-0,00028
969	Env_ELU	Min	-0,00333	-0,00447	-0,05282	0,01594	0,00499	-0,00028
970	Env_ELU	Max	-0,00333	-0,00447	-0,02389	0,01595	0,00499	-0,00028
970	Env_ELU	Min	-0,00333	-0,00447	-0,05286	0,01596	0,00500	-0,00028
971	Env_ELU	Max	-0,00334	-0,00447	-0,02392	0,01597	0,00500	-0,00028
971	Env_ELU	Min	-0,00334	-0,00447	-0,05290	0,01598	0,00500	-0,00028
972	Env_ELU	Max	-0,00334	-0,00448	-0,02396	0,01598	0,00500	-0,00028
972	Env_ELU	Min	-0,00334	-0,00448	-0,05293	0,01599	0,00501	-0,00028
973	Env_ELU	Max	-0,00335	-0,00448	-0,02403	0,01600	0,00501	-0,00028
973	Env_ELU	Min	-0,00335	-0,00448	-0,05295	0,01601	0,00501	-0,00028
974	Env_ELU	Max	-0,00335	-0,00448	-0,02404	0,01602	0,00501	-0,00028
974	Env_ELU	Min	-0,00335	-0,00449	-0,05289	0,01603	0,00502	-0,00028
975	Env_ELU	Max	-0,00336	-0,00449	-0,02403	0,01604	0,00502	-0,00028
975	Env_ELU	Min	-0,00336	-0,00449	-0,05278	0,01605	0,00502	-0,00028
976	Env_ELU	Max	-0,00336	-0,00449	-0,02399	0,01605	0,00502	-0,00028
976	Env_ELU	Min	-0,00336	-0,00449	-0,05261	0,01606	0,00503	-0,00028
977	Env_ELU	Max	-0,00336	-0,00449	-0,02392	0,01607	0,00503	-0,00028
977	Env_ELU	Min	-0,00337	-0,00450	-0,05238	0,01608	0,00503	-0,00028
978	Env_ELU	Max	-0,00337	-0,00450	-0,02383	0,01609	0,00504	-0,00028
978	Env_ELU	Min	-0,00337	-0,00450	-0,05210	0,01610	0,00504	-0,00028
979	Env_ELU	Max	-0,00337	-0,00450	-0,02372	0,01611	0,00504	-0,00028
979	Env_ELU	Min	-0,00338	-0,00450	-0,05177	0,01612	0,00504	-0,00028
980	Env_ELU	Max	-0,00338	-0,00451	-0,02358	0,01613	0,00505	-0,00028
980	Env_ELU	Min	-0,00338	-0,00451	-0,05138	0,01613	0,00505	-0,00028
981	Env_ELU	Max	-0,00338	-0,00451	-0,02341	0,01614	0,00505	-0,00028
981	Env_ELU	Min	-0,00338	-0,00451	-0,05093	0,01615	0,00505	-0,00028
982	Env_ELU	Max	-0,00339	-0,00451	-0,02322	0,01616	0,00506	-0,00028
982	Env_ELU	Min	-0,00339	-0,00452	-0,05043	0,01617	0,00506	-0,00029
983	Env_ELU	Max	-0,00339	-0,00452	-0,02300	0,01618	0,00506	-0,00029
983	Env_ELU	Min	-0,00339	-0,00452	-0,04987	0,01619	0,00506	-0,00029
984	Env_ELU	Max	-0,00340	-0,00452	-0,02275	0,01620	0,00507	-0,00029
984	Env_ELU	Min	-0,00340	-0,00452	-0,04926	0,01621	0,00507	-0,00029
985	Env_ELU	Max	-0,00340	-0,00452	-0,02248	0,01621	0,00507	-0,00029
985	Env_ELU	Min	-0,00340	-0,00453	-0,04860	0,01622	0,00507	-0,00029
986	Env_ELU	Max	-0,00340	-0,00453	-0,02218	0,01623	0,00508	-0,00029
986	Env_ELU	Min	-0,00341	-0,00453	-0,04788	0,01624	0,00508	-0,00029

987	Env_ELU	Max	-0,00341	-0,00453	-0,02186	0,01625	0,00508	-0,00029
987	Env_ELU	Min	-0,00341	-0,00453	-0,04710	0,01626	0,00508	-0,00029
988	Env_ELU	Max	-0,00341	-0,00454	-0,02151	0,01627	0,00509	-0,00029
988	Env_ELU	Min	-0,00342	-0,00454	-0,04628	0,01628	0,00509	-0,00029
989	Env_ELU	Max	-0,00342	-0,00454	-0,02114	0,01628	0,00509	-0,00029
989	Env_ELU	Min	-0,00342	-0,00454	-0,04540	0,01629	0,00509	-0,00029
990	Env_ELU	Max	-0,00342	-0,00454	-0,02074	0,01630	0,00510	-0,00029
990	Env_ELU	Min	-0,00343	-0,00454	-0,04448	0,01631	0,00510	-0,00029
991	Env_ELU	Max	-0,00343	-0,00455	-0,02032	0,01632	0,00510	-0,00029
991	Env_ELU	Min	-0,00343	-0,00455	-0,04350	0,01633	0,00510	-0,00029
992	Env_ELU	Max	-0,00343	-0,00455	-0,01987	0,01634	0,00511	-0,00029
992	Env_ELU	Min	-0,00343	-0,00455	-0,04247	0,01635	0,00511	-0,00029
993	Env_ELU	Max	-0,00344	-0,00455	-0,01940	0,01636	0,00511	-0,00029
993	Env_ELU	Min	-0,00344	-0,00456	-0,04139	0,01636	0,00511	-0,00029
994	Env_ELU	Max	-0,00344	-0,00456	-0,01890	0,01637	0,00512	-0,00029
994	Env_ELU	Min	-0,00344	-0,00456	-0,04027	0,01638	0,00512	-0,00029
995	Env_ELU	Max	-0,00345	-0,00456	-0,01838	0,01639	0,00512	-0,00029
995	Env_ELU	Min	-0,00345	-0,00456	-0,03910	0,01640	0,00512	-0,00029
996	Env_ELU	Max	-0,00345	-0,00457	-0,01784	0,01641	0,00513	-0,00029
996	Env_ELU	Min	-0,00345	-0,00457	-0,03788	0,01642	0,00513	-0,00029
997	Env_ELU	Max	-0,00345	-0,00457	-0,01727	0,01643	0,00513	-0,00029
997	Env_ELU	Min	-0,00346	-0,00457	-0,03662	0,01644	0,00513	-0,00029
998	Env_ELU	Max	-0,00346	-0,00457	-0,01668	0,01644	0,00514	-0,00029
998	Env_ELU	Min	-0,00346	-0,00457	-0,03532	0,01645	0,00514	-0,00029
999	Env_ELU	Max	-0,00346	-0,00458	-0,01607	0,01646	0,00514	-0,00029
999	Env_ELU	Min	-0,00347	-0,00458	-0,03397	0,01647	0,00514	-0,00029
1000	Env_ELU	Max	-0,00347	-0,00458	-0,01544	0,01648	0,00515	-0,00029
1000	Env_ELU	Min	-0,00347	-0,00458	-0,03258	0,01649	0,00515	-0,00029
1001	Env_ELU	Max	-0,00347	-0,00458	-0,01478	0,01650	0,00515	-0,00029
1001	Env_ELU	Min	-0,00347	-0,00459	-0,03115	0,01651	0,00516	-0,00029
1002	Env_ELU	Max	-0,00348	-0,00459	-0,01411	0,01651	0,00516	-0,00029
1002	Env_ELU	Min	-0,00348	-0,00459	-0,02968	0,01652	0,00516	-0,00029
1003	Env_ELU	Max	-0,00348	-0,00459	-0,01342	0,01653	0,00516	-0,00029
1003	Env_ELU	Min	-0,00348	-0,00459	-0,02818	0,01654	0,00517	-0,00029
1004	Env_ELU	Max	-0,00349	-0,00459	-0,01270	0,01655	0,00517	-0,00029
1004	Env_ELU	Min	-0,00349	-0,00460	-0,02664	0,01656	0,00517	-0,00029
1005	Env_ELU	Max	-0,00349	-0,00460	-0,01197	0,01657	0,00517	-0,00029
1005	Env_ELU	Min	-0,00349	-0,00460	-0,02506	0,01658	0,00518	-0,00029
1006	Env_ELU	Max	-0,00350	-0,00460	-0,01122	0,01659	0,00518	-0,00029



1006	Env_ELU	Min	-0,00350	-0,00460	-0,02345	0,01659	0,00518	-0,00029
1007	Env_ELU	Max	-0,00350	-0,00461	-0,01045	0,01660	0,00518	-0,00029
1007	Env_ELU	Min	-0,00350	-0,00461	-0,02181	0,01661	0,00519	-0,00029
1008	Env_ELU	Max	-0,00350	-0,00461	-0,00966	0,01662	0,00519	-0,00029
1008	Env_ELU	Min	-0,00351	-0,00461	-0,02014	0,01663	0,00519	-0,00029
1009	Env_ELU	Max	-0,00351	-0,00461	-0,00886	0,01664	0,00519	-0,00029
1009	Env_ELU	Min	-0,00351	-0,00461	-0,01845	0,01665	0,00520	-0,00029
1010	Env_ELU	Max	-0,00351	-0,00462	-0,00804	0,01666	0,00520	-0,00029
1010	Env_ELU	Min	-0,00352	-0,00462	-0,01672	0,01667	0,00520	-0,00029
1011	Env_ELU	Max	-0,00352	-0,00462	-0,00720	0,01667	0,00520	-0,00029
1011	Env_ELU	Min	-0,00352	-0,00462	-0,01497	0,01668	0,00521	-0,00029
1012	Env_ELU	Max	-0,00352	-0,00462	-0,00635	0,01669	0,00521	-0,00029
1012	Env_ELU	Min	-0,00352	-0,00463	-0,01319	0,01670	0,00521	-0,00030
1013	Env_ELU	Max	-0,00353	-0,00463	-0,00549	0,01671	0,00521	-0,00030
1013	Env_ELU	Min	-0,00353	-0,00463	-0,01138	0,01672	0,00522	-0,00030
1014	Env_ELU	Max	-0,00353	-0,00463	-0,00460	0,01673	0,00522	-0,00030
1014	Env_ELU	Min	-0,00353	-0,00463	-0,00954	0,01674	0,00522	-0,00030
1015	Env_ELU	Max	-0,00354	-0,00464	-0,00371	0,01674	0,00522	-0,00030
1015	Env_ELU	Min	-0,00354	-0,00464	-0,00768	0,01675	0,00523	-0,00030
1016	Env_ELU	Max	-0,00354	-0,00464	-0,00280	0,01676	0,00523	-0,00030
1016	Env_ELU	Min	-0,00354	-0,00464	-0,00579	0,01677	0,00523	-0,00030
1017	Env_ELU	Max	-0,00354	-0,00464	-0,00188	0,01678	0,00523	-0,00030
1017	Env_ELU	Min	-0,00355	-0,00464	-0,00388	0,01679	0,00524	-0,00030
1018	Env_ELU	Max	-0,00355	-0,00465	-0,00095	0,01680	0,00524	-0,00030
1018	Env_ELU	Min	-0,00355	-0,00465	-0,00195	0,01681	0,00524	-0,00030
1019	Env_ELU	Max	-0,00355	-0,00465	-0,00227	0,01682	0,00524	-0,00030
1019	Env_ELU	Min	-0,00356	-0,00465	-0,00527	0,01682	0,00525	-0,00030
1020	Env_ELU	Max	-0,00356	-0,00465	-0,00448	0,01683	0,00525	-0,00030
1020	Env_ELU	Min	-0,00356	-0,00466	-0,01040	0,01684	0,00525	-0,00030
1021	Env_ELU	Max	-0,00356	-0,00466	-0,00665	0,01685	0,00525	-0,00030
1021	Env_ELU	Min	-0,00357	-0,00466	-0,01546	0,01686	0,00526	-0,00030
1022	Env_ELU	Max	-0,00357	-0,00466	-0,00877	0,01687	0,00526	-0,00030
1022	Env_ELU	Min	-0,00357	-0,00466	-0,02043	0,01688	0,00526	-0,00030
1023	Env_ELU	Max	-0,00357	-0,00466	-0,01084	0,01689	0,00526	-0,00030
1023	Env_ELU	Min	-0,00357	-0,00467	-0,02530	0,01690	0,00527	-0,00030
1024	Env_ELU	Max	-0,00358	-0,00467	-0,01286	0,01690	0,00527	-0,00030
1024	Env_ELU	Min	-0,00358	-0,00467	-0,03007	0,01691	0,00527	-0,00030
1025	Env_ELU	Max	-0,00358	-0,00467	-0,01673	0,01692	0,00528	-0,00030
1025	Env_ELU	Min	-0,00358	-0,00467	-0,03926	0,01693	0,00528	-0,00030

1026	Env_ELU	Max	-0,00359	-0,00468	-0,01857	0,01694	0,00528	-0,00030
1026	Env_ELU	Min	-0,00359	-0,00468	-0,04367	0,01695	0,00528	-0,00030
1027	Env_ELU	Max	-0,00359	-0,00468	-0,02036	0,01696	0,00529	-0,00030
1027	Env_ELU	Min	-0,00359	-0,00468	-0,04796	0,01697	0,00529	-0,00030
1028	Env_ELU	Max	-0,00359	-0,00468	-0,02207	0,01697	0,00529	-0,00030
1028	Env_ELU	Min	-0,00360	-0,00469	-0,05210	0,01698	0,00529	-0,00030
1029	Env_ELU	Max	-0,00360	-0,00469	-0,02372	0,01699	0,00530	-0,00030
1029	Env_ELU	Min	-0,00360	-0,00469	-0,05610	0,01700	0,00530	-0,00030
1030	Env_ELU	Max	-0,00360	-0,00469	-0,02530	0,01701	0,00530	-0,00030
1030	Env_ELU	Min	-0,00361	-0,00469	-0,05995	0,01702	0,00530	-0,00030
1031	Env_ELU	Max	-0,00361	-0,00469	-0,02822	0,01703	0,00531	-0,00030
1031	Env_ELU	Min	-0,00361	-0,00470	-0,06716	0,01704	0,00531	-0,00030
1032	Env_ELU	Max	-0,00361	-0,00470	-0,02957	0,01705	0,00531	-0,00030
1032	Env_ELU	Min	-0,00361	-0,00470	-0,07050	0,01705	0,00531	-0,00030
1033	Env_ELU	Max	-0,00362	-0,00470	-0,03084	0,01706	0,00532	-0,00030
1033	Env_ELU	Min	-0,00362	-0,00470	-0,07367	0,01707	0,00532	-0,00030
1034	Env_ELU	Max	-0,00362	-0,00471	-0,03203	0,01708	0,00532	-0,00030
1034	Env_ELU	Min	-0,00362	-0,00471	-0,07667	0,01709	0,00532	-0,00030
1035	Env_ELU	Max	-0,00363	-0,00471	-0,03313	0,01710	0,00533	-0,00030
1035	Env_ELU	Min	-0,00363	-0,00471	-0,07948	0,01711	0,00533	-0,00030
1036	Env_ELU	Max	-0,00363	-0,00471	-0,03415	0,01712	0,00533	-0,00030
1036	Env_ELU	Min	-0,00363	-0,00471	-0,08211	0,01713	0,00533	-0,00030
1038	Env_ELU	Max	-0,00364	-0,00472	-0,03594	0,01713	0,00534	-0,00030
1038	Env_ELU	Min	-0,00364	-0,00472	-0,08679	0,01714	0,00534	-0,00030
1039	Env_ELU	Max	-0,00364	-0,00472	-0,03671	0,01715	0,00534	-0,00030
1039	Env_ELU	Min	-0,00364	-0,00472	-0,08883	0,01716	0,00534	-0,00030
1040	Env_ELU	Max	-0,00364	-0,00472	-0,03739	0,01717	0,00535	-0,00030
1040	Env_ELU	Min	-0,00365	-0,00473	-0,08207	0,01718	0,00535	-0,00030
1041	Env_ELU	Max	-0,00365	-0,00473	-0,03799	0,01719	0,00535	-0,00030
1041	Env_ELU	Min	-0,00365	-0,00473	-0,08207	0,01720	0,00535	-0,00030
1042	Env_ELU	Max	-0,00365	-0,00473	-0,03849	0,01721	0,00536	-0,00030
1042	Env_ELU	Min	-0,00366	-0,00473	-0,08207	0,01721	0,00536	-0,00030
1043	Env_ELU	Max	-0,00366	-0,00474	-0,03892	0,01722	0,00536	-0,00030
1043	Env_ELU	Min	-0,00366	-0,00474	-0,08207	0,01723	0,00536	-0,00031
1045	Env_ELU	Max	-0,00366	-0,00474	-0,03951	0,01724	0,00537	-0,00031
1045	Env_ELU	Min	-0,00366	-0,00474	-0,08207	0,01725	0,00537	-0,00031
1046	Env_ELU	Max	-0,00367	-0,00474	-0,03968	0,01726	0,00537	-0,00031
1046	Env_ELU	Min	-0,00367	-0,00474	-0,08207	0,01727	0,00537	-0,00031
1047	Env_ELU	Max	-0,00367	-0,00475	-0,03977	0,01728	0,00538	-0,00031



1047	Env_ELU	Min	-0,00367	-0,00475	-0,08207	0,01728	0,00538	-0,00031
1048	Env_ELU	Max	-0,00368	-0,00475	-0,03978	0,01729	0,00538	-0,00031
1048	Env_ELU	Min	-0,00368	-0,00475	-0,08207	0,01730	0,00539	-0,00031
1049	Env_ELU	Max	-0,00368	-0,00475	-0,03971	0,01731	0,00539	-0,00031
1049	Env_ELU	Min	-0,00368	-0,00476	-0,08207	0,01732	0,00539	-0,00031
1050	Env_ELU	Max	-0,00369	-0,00476	-0,03956	0,01733	0,00539	-0,00031
1050	Env_ELU	Min	-0,00369	-0,00476	-0,08207	0,01734	0,00540	-0,00031
1051	Env_ELU	Max	-0,00369	-0,00476	-0,03924	0,01735	0,00540	-0,00031
1051	Env_ELU	Min	-0,00369	-0,00476	-0,08207	0,01736	0,00540	-0,00031
1052	Env_ELU	Max	-0,00369	-0,00476	-0,03914	0,01736	0,00540	-0,00031
1052	Env_ELU	Min	-0,00370	-0,00477	-0,08207	0,01737	0,00541	-0,00031
1053	Env_ELU	Max	-0,00370	-0,00477	-0,03903	0,01738	0,00541	-0,00031
1053	Env_ELU	Min	-0,00370	-0,00477	-0,08207	0,01739	0,00541	-0,00031
1054	Env_ELU	Max	-0,00370	-0,00477	-0,03892	0,01740	0,00541	-0,00031
1054	Env_ELU	Min	-0,00371	-0,00477	-0,08207	0,01741	0,00542	-0,00031
1055	Env_ELU	Max	-0,00371	-0,00478	-0,03881	0,01742	0,00542	-0,00031
1055	Env_ELU	Min	-0,00371	-0,00478	-0,08207	0,01743	0,00542	-0,00031
1056	Env_ELU	Max	-0,00371	-0,00478	-0,03868	0,01744	0,00542	-0,00031
1056	Env_ELU	Min	-0,00371	-0,00478	-0,08207	0,01744	0,00543	-0,00031
1057	Env_ELU	Max	-0,00372	-0,00478	-0,03855	0,01745	0,00543	-0,00031
1057	Env_ELU	Min	-0,00372	-0,00478	-0,08207	0,01746	0,00543	-0,00031
1058	Env_ELU	Max	-0,00372	-0,00479	-0,03841	0,01747	0,00543	-0,00031
1058	Env_ELU	Min	-0,00372	-0,00479	-0,08207	0,01748	0,00544	-0,00031
1059	Env_ELU	Max	-0,00373	-0,00479	-0,03826	0,01749	0,00544	-0,00031
1059	Env_ELU	Min	-0,00373	-0,00479	-0,08207	0,01750	0,00544	-0,00031
1060	Env_ELU	Max	-0,00373	-0,00479	-0,03811	0,01751	0,00544	-0,00031
1060	Env_ELU	Min	-0,00373	-0,00480	-0,08207	0,01751	0,00545	-0,00031
1061	Env_ELU	Max	-0,00373	-0,00480	-0,03794	0,01752	0,00545	-0,00031
1061	Env_ELU	Min	-0,00374	-0,00480	-0,08207	0,01753	0,00545	-0,00031
1062	Env_ELU	Max	-0,00374	-0,00480	-0,03777	0,01754	0,00545	-0,00031
1062	Env_ELU	Min	-0,00374	-0,00480	-0,08207	0,01755	0,00546	-0,00031
1063	Env_ELU	Max	-0,00374	-0,00481	-0,03759	0,01756	0,00546	-0,00031
1063	Env_ELU	Min	-0,00375	-0,00481	-0,08207	0,01757	0,00546	-0,00031
1064	Env_ELU	Max	-0,00375	-0,00481	-0,03740	0,01758	0,00546	-0,00031
1064	Env_ELU	Min	-0,00375	-0,00481	-0,08207	0,01759	0,00547	-0,00031
1065	Env_ELU	Max	-0,00375	-0,00481	-0,03722	0,01759	0,00547	-0,00031
1065	Env_ELU	Min	-0,00376	-0,00481	-0,08207	0,01760	0,00547	-0,00031
1066	Env_ELU	Max	-0,00376	-0,00482	-0,03702	0,01761	0,00547	-0,00031
1066	Env_ELU	Min	-0,00376	-0,00482	-0,08207	0,01762	0,00548	-0,00031

1067	Env_ELU	Max	-0,00376	-0,00482	-0,03617	0,01763	0,00548	-0,00031
1067	Env_ELU	Min	-0,00376	-0,00482	-0,08207	0,01764	0,00548	-0,00031
1068	Env_ELU	Max	-0,00377	-0,00482	-0,03545	0,01765	0,00548	-0,00031
1068	Env_ELU	Min	-0,00377	-0,00483	-0,08207	0,01766	0,00549	-0,00031
1069	Env_ELU	Max	-0,00377	-0,00483	-0,03468	0,01767	0,00549	-0,00031
1069	Env_ELU	Min	-0,00377	-0,00483	-0,08865	0,01767	0,00549	-0,00031
1070	Env_ELU	Max	-0,00378	-0,00483	-0,03386	0,01768	0,00549	-0,00031
1070	Env_ELU	Min	-0,00378	-0,00483	-0,08683	0,01769	0,00550	-0,00031
1071	Env_ELU	Max	-0,00378	-0,00483	-0,03300	0,01770	0,00550	-0,00031
1071	Env_ELU	Min	-0,00378	-0,00484	-0,08488	0,01771	0,00550	-0,00031
1072	Env_ELU	Max	-0,00378	-0,00484	-0,03208	0,01772	0,00551	-0,00031
1072	Env_ELU	Min	-0,00379	-0,00484	-0,08281	0,01773	0,00551	-0,00031
1073	Env_ELU	Max	-0,00379	-0,00484	-0,03014	0,01774	0,00551	-0,00031
1073	Env_ELU	Min	-0,00379	-0,00484	-0,07832	0,01774	0,00551	-0,00031
1074	Env_ELU	Max	-0,00379	-0,00485	-0,02911	0,01775	0,00552	-0,00031
1074	Env_ELU	Min	-0,00380	-0,00485	-0,07592	0,01776	0,00552	-0,00032
1075	Env_ELU	Max	-0,00380	-0,00485	-0,02805	0,01777	0,00552	-0,00032
1075	Env_ELU	Min	-0,00380	-0,00485	-0,07343	0,01778	0,00552	-0,00032
1076	Env_ELU	Max	-0,00380	-0,00485	-0,02697	0,01779	0,00553	-0,00032
1076	Env_ELU	Min	-0,00380	-0,00486	-0,07085	0,01780	0,00553	-0,00032
1077	Env_ELU	Max	-0,00381	-0,00486	-0,02586	0,01781	0,00553	-0,00032
1077	Env_ELU	Min	-0,00381	-0,00486	-0,06820	0,01782	0,00553	-0,00032
1078	Env_ELU	Max	-0,00381	-0,00486	-0,02473	0,01782	0,00554	-0,00032
1078	Env_ELU	Min	-0,00381	-0,00486	-0,06547	0,01783	0,00554	-0,00032
1079	Env_ELU	Max	-0,00382	-0,00486	-0,02242	0,01784	0,00554	-0,00032
1079	Env_ELU	Min	-0,00382	-0,00487	-0,05986	0,01785	0,00554	-0,00032
1080	Env_ELU	Max	-0,00382	-0,00487	-0,02126	0,01786	0,00555	-0,00032
1080	Env_ELU	Min	-0,00382	-0,00487	-0,05698	0,01787	0,00555	-0,00032
1081	Env_ELU	Max	-0,00383	-0,00487	-0,02009	0,01788	0,00555	-0,00032
1081	Env_ELU	Min	-0,00383	-0,00487	-0,05407	0,01789	0,00555	-0,00032
1082	Env_ELU	Max	-0,00383	-0,00488	-0,01891	0,01790	0,00556	-0,00032
1082	Env_ELU	Min	-0,00383	-0,00488	-0,05114	0,01790	0,00556	-0,00032
1083	Env_ELU	Max	-0,00383	-0,00488	-0,01774	0,01791	0,00556	-0,00032
1083	Env_ELU	Min	-0,00384	-0,00488	-0,04819	0,01792	0,00556	-0,00032
1084	Env_ELU	Max	-0,00384	-0,00488	-0,01658	0,01793	0,00557	-0,00032
1084	Env_ELU	Min	-0,00384	-0,00488	-0,04523	0,01794	0,00557	-0,00032
1086	Env_ELU	Max	-0,00384	-0,00489	-0,01428	0,01795	0,00557	-0,00032
1086	Env_ELU	Min	-0,00385	-0,00489	-0,03932	0,01796	0,00557	-0,00032
1087	Env_ELU	Max	-0,00385	-0,00489	-0,01315	0,01797	0,00558	-0,00032



1087	Env_ELU	Min	-0,00385	-0,00489	-0,03638	0,01797	0,00558	-0,00032
1088	Env_ELU	Max	-0,00385	-0,00489	-0,01204	0,01798	0,00558	-0,00032
1088	Env_ELU	Min	-0,00385	-0,00490	-0,03348	0,01799	0,00558	-0,00032
1089	Env_ELU	Max	-0,00386	-0,00490	-0,01095	0,01800	0,00559	-0,00032
1089	Env_ELU	Min	-0,00386	-0,00490	-0,03061	0,01801	0,00559	-0,00032
1090	Env_ELU	Max	-0,00386	-0,00490	-0,00989	0,01802	0,00559	-0,00032
1090	Env_ELU	Min	-0,00386	-0,00490	-0,02778	0,01803	0,00559	-0,00032
1091	Env_ELU	Max	-0,00387	-0,00491	-0,00885	0,01804	0,00560	-0,00032
1091	Env_ELU	Min	-0,00387	-0,00491	-0,02500	0,01805	0,00560	-0,00032
1093	Env_ELU	Max	-0,00387	-0,00491	-0,00688	0,01805	0,00560	-0,00032
1093	Env_ELU	Min	-0,00387	-0,00491	-0,01963	0,01806	0,00560	-0,00032
1094	Env_ELU	Max	-0,00387	-0,00491	-0,00594	0,01807	0,00561	-0,00032
1094	Env_ELU	Min	-0,00388	-0,00491	-0,01705	0,01808	0,00561	-0,00032
1095	Env_ELU	Max	-0,00388	-0,00492	-0,00504	0,01809	0,00561	-0,00032
1095	Env_ELU	Min	-0,00388	-0,00492	-0,01454	0,01810	0,00561	-0,00032
1096	Env_ELU	Max	-0,00388	-0,00492	-0,00418	0,01811	0,00562	-0,00032
1096	Env_ELU	Min	-0,00389	-0,00492	-0,01212	0,01812	0,00562	-0,00032
1097	Env_ELU	Max	-0,00389	-0,00492	-0,00336	0,01813	0,00562	-0,00032
1097	Env_ELU	Min	-0,00389	-0,00493	-0,00978	0,01813	0,00563	-0,00032
1098	Env_ELU	Max	-0,00389	-0,00493	-0,00258	0,01814	0,00563	-0,00032
1098	Env_ELU	Min	-0,00390	-0,00493	-0,00754	0,01815	0,00563	-0,00032
1099	Env_ELU	Max	-0,00390	-0,00493	-0,00162	0,01816	0,00563	-0,00032
1099	Env_ELU	Min	-0,00390	-0,00493	-0,00476	0,01817	0,00564	-0,00032
1100	Env_ELU	Max	-0,00390	-0,00493	-0,00141	0,01818	0,00564	-0,00032
1100	Env_ELU	Min	-0,00390	-0,00494	-0,00413	0,01819	0,00564	-0,00032
1101	Env_ELU	Max	-0,00391	-0,00494	-0,00120	0,01820	0,00564	-0,00032
1101	Env_ELU	Min	-0,00391	-0,00494	-0,00351	0,01820	0,00565	-0,00032
1102	Env_ELU	Max	-0,00391	-0,00494	-0,00099	0,01821	0,00565	-0,00032
1102	Env_ELU	Min	-0,00391	-0,00494	-0,00290	0,01822	0,00565	-0,00032
1103	Env_ELU	Max	-0,00392	-0,00495	-0,00078	0,01823	0,00565	-0,00032
1103	Env_ELU	Min	-0,00392	-0,00495	-0,00230	0,01824	0,00566	-0,00032
1104	Env_ELU	Max	-0,00392	-0,00495	-0,00058	0,01825	0,00566	-0,00032
1104	Env_ELU	Min	-0,00392	-0,00495	-0,00171	0,01826	0,00566	-0,00032
1105	Env_ELU	Max	-0,00392	-0,00495	-0,00037	0,01827	0,00566	-0,00032
1105	Env_ELU	Min	-0,00393	-0,00496	-0,00113	0,01828	0,00567	-0,00032
1106	Env_ELU	Max	-0,00393	-0,00496	-0,00016	0,01828	0,00567	-0,00032
1106	Env_ELU	Min	-0,00393	-0,00496	-0,00056	0,01829	0,00567	-0,00033
1107	Env_ELU	Max	-0,00393	-0,00496	0,00008	0,01830	0,00567	-0,00033
1107	Env_ELU	Min	-0,00394	-0,00496	-0,00007	0,01831	0,00568	-0,00033

1108	Env_ELU	Max	-0,00394	-0,00496	0,00052	0,01832	0,00568	-0,00033
1108	Env_ELU	Min	-0,00394	-0,00497	0,00017	0,01833	0,00568	-0,00033
1109	Env_ELU	Max	-0,00394	-0,00497	0,00104	0,01834	0,00568	-0,00033
1109	Env_ELU	Min	-0,00394	-0,00497	0,00034	0,01835	0,00569	-0,00033
1110	Env_ELU	Max	-0,00395	-0,00497	0,00155	0,01836	0,00569	-0,00033
1110	Env_ELU	Min	-0,00395	-0,00497	0,00051	0,01836	0,00569	-0,00033
1111	Env_ELU	Max	-0,00395	-0,00498	0,00205	0,01837	0,00569	-0,00033
1111	Env_ELU	Min	-0,00395	-0,00498	0,00067	0,01838	0,00570	-0,00033
1112	Env_ELU	Max	-0,00396	-0,00498	0,00254	0,01839	0,00570	-0,00033
1112	Env_ELU	Min	-0,00396	-0,00498	0,00083	0,01840	0,00570	-0,00033
1113	Env_ELU	Max	-0,00396	-0,00498	0,00302	0,01841	0,00570	-0,00033
1113	Env_ELU	Min	-0,00396	-0,00498	0,00098	0,01842	0,00571	-0,00033
1114	Env_ELU	Max	-0,00397	-0,00499	0,00350	0,01843	0,00571	-0,00033
1114	Env_ELU	Min	-0,00397	-0,00499	0,00113	0,01843	0,00571	-0,00033
1115	Env_ELU	Max	-0,00397	-0,00499	0,00528	0,01844	0,00571	-0,00033
1115	Env_ELU	Min	-0,00397	-0,00499	-0,00329	0,01845	0,00572	-0,00033
1116	Env_ELU	Max	-0,00397	-0,00499	0,01197	0,01846	0,00572	-0,00033
1116	Env_ELU	Min	-0,00398	-0,00500	-0,00062	0,01847	0,00572	-0,00033
1117	Env_ELU	Max	-0,00398	-0,00500	0,00936	0,01848	0,00572	-0,00033
1117	Env_ELU	Min	-0,00398	-0,00500	-0,00281	0,01849	0,00573	-0,00033
1118	Env_ELU	Max	-0,00398	-0,00500	0,00469	0,01850	0,00573	-0,00033
1118	Env_ELU	Min	-0,00399	-0,00500	-0,00511	0,01851	0,00573	-0,00033
1119	Env_ELU	Max	-0,00399	-0,00500	0,00535	0,01851	0,00574	-0,00033
1119	Env_ELU	Min	-0,00399	-0,00501	-0,00295	0,01852	0,00574	-0,00033
1120	Env_ELU	Max	-0,00399	-0,00501	0,00541	0,01853	0,00574	-0,00033
1120	Env_ELU	Min	-0,00399	-0,00501	-0,00262	0,01854	0,00574	-0,00033
1121	Env_ELU	Max	-0,00400	-0,00501	0,00546	0,01855	0,00575	-0,00033
1121	Env_ELU	Min	-0,00400	-0,00501	-0,00229	0,01856	0,00575	-0,00033
1122	Env_ELU	Max	-0,00400	-0,00502	0,00559	0,01857	0,00575	-0,00033
1122	Env_ELU	Min	-0,00400	-0,00502	-0,00197	0,01858	0,00575	-0,00033
1123	Env_ELU	Max	-0,00401	-0,00502	0,00579	0,01859	0,00576	-0,00033
1123	Env_ELU	Min	-0,00401	-0,00502	-0,00166	0,01859	0,00576	-0,00033
1124	Env_ELU	Max	-0,00401	-0,00502	0,00595	0,01860	0,00576	-0,00033
1124	Env_ELU	Min	-0,00401	-0,00503	-0,00136	0,01861	0,00576	-0,00033
1125	Env_ELU	Max	-0,00401	-0,00503	0,00609	0,01862	0,00577	-0,00033
1125	Env_ELU	Min	-0,00402	-0,00503	-0,00107	0,01863	0,00577	-0,00033
1126	Env_ELU	Max	-0,00402	-0,00503	0,00620	0,01864	0,00577	-0,00033
1126	Env_ELU	Min	-0,00402	-0,00503	-0,00079	0,01865	0,00577	-0,00033
1127	Env_ELU	Max	-0,00402	-0,00503	0,00626	0,01866	0,00578	-0,00033



1127	Env_ELU	Min	-0,00403	-0,00504	-0,00053	0,01866	0,00578	-0,00033
1128	Env_ELU	Max	-0,00403	-0,00504	0,00629	0,01867	0,00578	-0,00033
1128	Env_ELU	Min	-0,00403	-0,00504	-0,00029	0,01868	0,00578	-0,00033
1129	Env_ELU	Max	-0,00403	-0,00504	0,00627	0,01869	0,00579	-0,00033
1129	Env_ELU	Min	-0,00404	-0,00504	-0,00006	0,01870	0,00579	-0,00033
1130	Env_ELU	Max	-0,00404	-0,00505	0,00621	0,01871	0,00579	-0,00033
1130	Env_ELU	Min	-0,00404	-0,00505	0,00014	0,01872	0,00579	-0,00033
1131	Env_ELU	Max	-0,00404	-0,00505	0,00609	0,01873	0,00580	-0,00033
1131	Env_ELU	Min	-0,00404	-0,00505	0,00031	0,01874	0,00580	-0,00033
1132	Env_ELU	Max	-0,00405	-0,00505	0,00593	0,01874	0,00580	-0,00033
1132	Env_ELU	Min	-0,00405	-0,00505	0,00046	0,01875	0,00580	-0,00033
1133	Env_ELU	Max	-0,00405	-0,00506	0,00571	0,01876	0,00581	-0,00033
1133	Env_ELU	Min	-0,00405	-0,00506	0,00058	0,01877	0,00581	-0,00033
1134	Env_ELU	Max	-0,00406	-0,00506	0,00543	0,01878	0,00581	-0,00033
1134	Env_ELU	Min	-0,00406	-0,00506	0,00066	0,01879	0,00581	-0,00033
1135	Env_ELU	Max	-0,00406	-0,00506	0,00508	0,01880	0,00582	-0,00033
1135	Env_ELU	Min	-0,00406	-0,00507	0,00072	0,01881	0,00582	-0,00033
1136	Env_ELU	Max	-0,00406	-0,00507	0,00468	0,01882	0,00582	-0,00033
1136	Env_ELU	Min	-0,00407	-0,00507	0,00074	0,01882	0,00582	-0,00034
1137	Env_ELU	Max	-0,00407	-0,00507	0,00421	0,01883	0,00583	-0,00034
1137	Env_ELU	Min	-0,00407	-0,00507	0,00072	0,01884	0,00583	-0,00034
1138	Env_ELU	Max	-0,00407	-0,00508	0,00366	0,01885	0,00583	-0,00034
1138	Env_ELU	Min	-0,00408	-0,00508	0,00066	0,01886	0,00583	-0,00034
1139	Env_ELU	Max	-0,00408	-0,00508	0,00305	0,01887	0,00584	-0,00034
1139	Env_ELU	Min	-0,00408	-0,00508	0,00056	0,01888	0,00584	-0,00034
1140	Env_ELU	Max	-0,00408	-0,00508	0,00235	0,01889	0,00584	-0,00034
1140	Env_ELU	Min	-0,00408	-0,00508	0,00042	0,01889	0,00584	-0,00034
1141	Env_ELU	Max	-0,00409	-0,00509	0,00544	0,01890	0,00585	-0,00034
1141	Env_ELU	Min	-0,00409	-0,00509	0,00172	0,01891	0,00585	-0,00034
1142	Env_ELU	Max	-0,00409	-0,00509	0,00680	0,01892	0,00585	-0,00034
1142	Env_ELU	Min	-0,00409	-0,00509	0,00211	0,01893	0,00586	-0,00034
1143	Env_ELU	Max	-0,00410	-0,00509	0,00804	0,01894	0,00586	-0,00034
1143	Env_ELU	Min	-0,00410	-0,00510	0,00245	0,01895	0,00586	-0,00034
1144	Env_ELU	Max	-0,00410	-0,00510	0,00916	0,01896	0,00586	-0,00034
1144	Env_ELU	Min	-0,00410	-0,00510	0,00273	0,01897	0,00587	-0,00034
1145	Env_ELU	Max	-0,00411	-0,00510	0,01016	0,01897	0,00587	-0,00034
1145	Env_ELU	Min	-0,00411	-0,00510	0,00295	0,01898	0,00587	-0,00034
1146	Env_ELU	Max	-0,00411	-0,00510	0,01105	0,01899	0,00587	-0,00034
1146	Env_ELU	Min	-0,00411	-0,00511	0,00312	0,01900	0,00588	-0,00034

1147	Env_ELU	Max	-0,00411	-0,00511	0,01182	0,01901	0,00588	-0,00034
1147	Env_ELU	Min	-0,00412	-0,00511	0,00324	0,01902	0,00588	-0,00034
1148	Env_ELU	Max	-0,00412	-0,00511	0,01249	0,01903	0,00588	-0,00034
1148	Env_ELU	Min	-0,00412	-0,00511	0,00330	0,01904	0,00589	-0,00034
1149	Env_ELU	Max	-0,00412	-0,00512	0,01306	0,01905	0,00589	-0,00034
1149	Env_ELU	Min	-0,00413	-0,00512	0,00332	0,01905	0,00589	-0,00034
1150	Env_ELU	Max	-0,00413	-0,00512	0,01352	0,01906	0,00589	-0,00034
1150	Env_ELU	Min	-0,00413	-0,00512	0,00328	0,01907	0,00590	-0,00034
1151	Env_ELU	Max	-0,00413	-0,00512	0,01388	0,01908	0,00590	-0,00034
1151	Env_ELU	Min	-0,00413	-0,00513	0,00320	0,01909	0,00590	-0,00034
1152	Env_ELU	Max	-0,00414	-0,00513	0,01415	0,01910	0,00590	-0,00034
1152	Env_ELU	Min	-0,00414	-0,00513	0,00307	0,01911	0,00591	-0,00034
1153	Env_ELU	Max	-0,00414	-0,00513	0,01432	0,01912	0,00591	-0,00034
1153	Env_ELU	Min	-0,00414	-0,00513	0,00290	0,01912	0,00591	-0,00034
1154	Env_ELU	Max	-0,00415	-0,00513	0,01441	0,01913	0,00591	-0,00034
1154	Env_ELU	Min	-0,00415	-0,00514	0,00269	0,01914	0,00592	-0,00034
1155	Env_ELU	Max	-0,00415	-0,00514	0,01442	0,01915	0,00592	-0,00034
1155	Env_ELU	Min	-0,00415	-0,00514	0,00244	0,01916	0,00592	-0,00034
1156	Env_ELU	Max	-0,00415	-0,00514	0,01434	0,01917	0,00592	-0,00034
1156	Env_ELU	Min	-0,00416	-0,00514	0,00216	0,01918	0,00593	-0,00034
1157	Env_ELU	Max	-0,00416	-0,00515	0,01419	0,01919	0,00593	-0,00034
1157	Env_ELU	Min	-0,00416	-0,00515	0,00184	0,01920	0,00593	-0,00034
1158	Env_ELU	Max	-0,00416	-0,00515	0,01397	0,01920	0,00593	-0,00034
1158	Env_ELU	Min	-0,00417	-0,00515	0,00149	0,01921	0,00594	-0,00034
1159	Env_ELU	Max	-0,00417	-0,00515	0,01369	0,01922	0,00594	-0,00034
1159	Env_ELU	Min	-0,00417	-0,00515	0,00112	0,01923	0,00594	-0,00034
1160	Env_ELU	Max	-0,00417	-0,00516	0,01334	0,01924	0,00594	-0,00034
1160	Env_ELU	Min	-0,00418	-0,00516	0,00071	0,01925	0,00595	-0,00034
1161	Env_ELU	Max	-0,00418	-0,00516	0,01294	0,01926	0,00595	-0,00034
1161	Env_ELU	Min	-0,00418	-0,00516	0,00029	0,01927	0,00595	-0,00034
1162	Env_ELU	Max	-0,00418	-0,00516	0,01248	0,01928	0,00595	-0,00034
1162	Env_ELU	Min	-0,00418	-0,00517	-0,00016	0,01928	0,00596	-0,00034
1163	Env_ELU	Max	-0,00419	-0,00517	0,01083	0,01929	0,00596	-0,00034
1163	Env_ELU	Min	-0,00419	-0,00517	0,00308	0,01930	0,00596	-0,00034
1164	Env_ELU	Max	-0,00419	-0,00517	0,00499	0,01931	0,00596	-0,00034
1164	Env_ELU	Min	-0,00419	-0,00517	0,00072	0,01932	0,00597	-0,00034
1165	Env_ELU	Max	-0,00420	-0,00517	0,01402	0,01933	0,00597	-0,00034
1165	Env_ELU	Min	-0,00420	-0,00518	0,00314	0,01934	0,00597	-0,00034
1166	Env_ELU	Max	-0,00420	-0,00518	0,00624	0,01935	0,00598	-0,00034



1166	Env_ELU	Min	-0,00420	-0,00518	0,00004	0,01935	0,00598	-0,00035
1167	Env_ELU	Max	-0,00420	-0,00518	0,01414	0,01936	0,00598	-0,00035
1167	Env_ELU	Min	-0,00421	-0,00518	0,00176	0,01937	0,00598	-0,00035
1168	Env_ELU	Max	-0,00421	-0,00519	0,00591	0,01938	0,00599	-0,00035
1168	Env_ELU	Min	-0,00421	-0,00519	-0,00143	0,01939	0,00599	-0,00035
1195	Env_ELU	Max	-0,00421	-0,00519	-0,01874	0,01940	0,00599	-0,00035
1195	Env_ELU	Min	-0,00422	-0,00519	-0,05995	0,01941	0,00599	-0,00035
1196	Env_ELU	Max	-0,00422	-0,00519	-0,01747	0,01942	0,00600	-0,00035
1196	Env_ELU	Min	-0,00422	-0,00520	-0,05588	0,01943	0,00600	-0,00035
1197	Env_ELU	Max	-0,00422	-0,00520	-0,01516	0,01943	0,00600	-0,00035
1197	Env_ELU	Min	-0,00423	-0,00520	-0,04893	0,01944	0,00600	-0,00035
1198	Env_ELU	Max	-0,00423	-0,00520	-0,01197	0,01945	0,00601	-0,00035
1198	Env_ELU	Min	-0,00423	-0,00520	-0,03939	0,01946	0,00601	-0,00035
1199	Env_ELU	Max	-0,00423	-0,00520	-0,00817	0,01947	0,00601	-0,00035
1199	Env_ELU	Min	-0,00423	-0,00521	-0,02770	0,01948	0,00601	-0,00035
1200	Env_ELU	Max	-0,00424	-0,00521	-0,00410	0,01949	0,00602	-0,00035
1200	Env_ELU	Min	-0,00424	-0,00521	-0,01443	0,01950	0,00602	-0,00035
1201	Env_ELU	Max	-0,00424	-0,00521	-0,01720	0,01951	0,00602	-0,00035
1201	Env_ELU	Min	-0,00424	-0,00521	-0,04986	0,01951	0,00602	-0,00035
1202	Env_ELU	Max	-0,00425	-0,00522	-0,01579	0,01952	0,00603	-0,00035
1202	Env_ELU	Min	-0,00425	-0,00522	-0,04500	0,01953	0,00603	-0,00035
1203	Env_ELU	Max	-0,00425	-0,00522	-0,01341	0,01954	0,00603	-0,00035
1203	Env_ELU	Min	-0,00425	-0,00522	-0,03825	0,01955	0,00603	-0,00035
1204	Env_ELU	Max	-0,00425	-0,00522	-0,01028	0,01956	0,00604	-0,00035
1204	Env_ELU	Min	-0,00426	-0,00522	-0,02958	0,01957	0,00604	-0,00035
1205	Env_ELU	Max	-0,00426	-0,00523	-0,00671	0,01958	0,00604	-0,00035
1205	Env_ELU	Min	-0,00426	-0,00523	-0,01967	0,01958	0,00604	-0,00035
1206	Env_ELU	Max	-0,00426	-0,00523	-0,00314	0,01959	0,00605	-0,00035
1206	Env_ELU	Min	-0,00427	-0,00523	-0,00949	0,01960	0,00605	-0,00035
1207	Env_ELU	Max	-0,00427	-0,00523	-0,00177	0,01961	0,00605	-0,00035
1207	Env_ELU	Min	-0,00427	-0,00524	-0,01097	0,01962	0,00605	-0,00035
1208	Env_ELU	Max	-0,00427	-0,00524	-0,00439	0,01963	0,00606	-0,00035
1208	Env_ELU	Min	-0,00427	-0,00524	-0,02089	0,01964	0,00606	-0,00035
1209	Env_ELU	Max	-0,00428	-0,00524	-0,00763	0,01965	0,00606	-0,00035
1209	Env_ELU	Min	-0,00428	-0,00524	-0,03126	0,01966	0,00606	-0,00035
1210	Env_ELU	Max	-0,00428	-0,00525	-0,01099	0,01966	0,00607	-0,00035
1210	Env_ELU	Min	-0,00428	-0,00525	-0,04107	0,01967	0,00607	-0,00035
1211	Env_ELU	Max	-0,00429	-0,00525	-0,01408	0,01968	0,00607	-0,00035
1211	Env_ELU	Min	-0,00429	-0,00525	-0,04950	0,01969	0,00607	-0,00035

1212	Env_ELU	Max	-0,00429	-0,00525	-0,01657	0,01970	0,00608	-0,00035
1212	Env_ELU	Min	-0,00429	-0,00525	-0,05592	0,01971	0,00608	-0,00035
1213	Env_ELU	Max	-0,00430	-0,00526	-0,00166	0,01972	0,00608	-0,00035
1213	Env_ELU	Min	-0,00430	-0,00526	-0,01004	0,01973	0,00608	-0,00035
1214	Env_ELU	Max	-0,00430	-0,00526	-0,00415	0,01974	0,00609	-0,00035
1214	Env_ELU	Min	-0,00430	-0,00526	-0,01899	0,01974	0,00609	-0,00035
1215	Env_ELU	Max	-0,00430	-0,00526	-0,00723	0,01975	0,00609	-0,00035
1215	Env_ELU	Min	-0,00431	-0,00527	-0,02822	0,01976	0,00610	-0,00035
1216	Env_ELU	Max	-0,00431	-0,00527	-0,01041	0,01977	0,00610	-0,00035
1216	Env_ELU	Min	-0,00431	-0,00527	-0,03679	0,01978	0,00610	-0,00035
1217	Env_ELU	Max	-0,00431	-0,00527	-0,01330	0,01979	0,00610	-0,00035
1217	Env_ELU	Min	-0,00432	-0,00527	-0,04395	0,01980	0,00611	-0,00035
1218	Env_ELU	Max	-0,00432	-0,00527	-0,01559	0,01981	0,00611	-0,00035
1218	Env_ELU	Min	-0,00432	-0,00528	-0,04907	0,01982	0,00611	-0,00035
1220	Env_ELU	Max	-0,00432	-0,00528	0,00129	0,01982	0,00611	-0,00035
1220	Env_ELU	Min	-0,00432	-0,00528	-0,00352	0,01983	0,00612	-0,00035
1221	Env_ELU	Max	-0,00433	-0,00528	0,00071	0,01984	0,00612	-0,00035
1221	Env_ELU	Min	-0,00433	-0,00528	-0,00357	0,01985	0,00612	-0,00035
1222	Env_ELU	Max	-0,00433	-0,00529	0,00138	0,01986	0,00612	-0,00035
1222	Env_ELU	Min	-0,00433	-0,00529	-0,00620	0,01987	0,00613	-0,00035
1223	Env_ELU	Max	-0,00434	-0,00529	0,00199	0,01988	0,00613	-0,00035
1223	Env_ELU	Min	-0,00434	-0,00529	-0,00796	0,01989	0,00613	-0,00036
1224	Env_ELU	Max	-0,00434	-0,00529	0,00262	0,01989	0,00613	-0,00036
1224	Env_ELU	Min	-0,00434	-0,00530	-0,00868	0,01990	0,00614	-0,00036
1225	Env_ELU	Max	-0,00434	-0,00530	0,00225	0,01991	0,00614	-0,00036
1225	Env_ELU	Min	-0,00435	-0,00530	-0,00557	0,01992	0,00614	-0,00036
1226	Env_ELU	Max	-0,00435	-0,00530	0,00315	0,01993	0,00614	-0,00036
1226	Env_ELU	Min	-0,00435	-0,00530	-0,00687	0,01994	0,00615	-0,00036
1227	Env_ELU	Max	-0,00435	-0,00530	0,00411	0,01995	0,00615	-0,00036
1227	Env_ELU	Min	-0,00436	-0,00531	-0,00738	0,01996	0,00615	-0,00036
1228	Env_ELU	Max	-0,00436	-0,00531	0,00516	0,01997	0,00615	-0,00036
1228	Env_ELU	Min	-0,00436	-0,00531	-0,00710	0,01997	0,00616	-0,00036
1229	Env_ELU	Max	-0,00436	-0,00531	-0,02201	0,01998	0,00616	-0,00036
1229	Env_ELU	Min	-0,00437	-0,00531	-0,07847	0,01999	0,00616	-0,00036
1230	Env_ELU	Max	-0,00437	-0,00532	-0,01960	0,02000	0,00616	-0,00036
1230	Env_ELU	Min	-0,00437	-0,00532	-0,07320	0,02001	0,00617	-0,00036
1231	Env_ELU	Max	-0,00437	-0,00532	-0,01654	0,02002	0,00617	-0,00036
1231	Env_ELU	Min	-0,00437	-0,00532	-0,06572	0,02003	0,00617	-0,00036
1232	Env_ELU	Max	-0,00438	-0,00532	-0,01305	0,02004	0,00617	-0,00036



1232	Env_ELU	Min	-0,00438	-0,00532	-0,05642	0,02005	0,00618	-0,00036
1233	Env_ELU	Max	-0,00438	-0,00533	-0,00939	0,02005	0,00618	-0,00036
1233	Env_ELU	Min	-0,00438	-0,00533	-0,04580	0,02006	0,00618	-0,00036
1234	Env_ELU	Max	-0,00439	-0,00533	-0,00588	0,02007	0,00618	-0,00036
1234	Env_ELU	Min	-0,00439	-0,00533	-0,03443	0,02008	0,00619	-0,00036
1235	Env_ELU	Max	-0,00439	-0,00533	-0,00287	0,02009	0,00619	-0,00036
1235	Env_ELU	Min	-0,00439	-0,00534	-0,02304	0,02010	0,00619	-0,00036
1236	Env_ELU	Max	-0,00439	-0,00534	-0,00078	0,02011	0,00619	-0,00036
1236	Env_ELU	Min	-0,00440	-0,00534	-0,01245	0,02012	0,00620	-0,00036
1237	Env_ELU	Max	-0,00440	-0,00534	-0,02426	0,02012	0,00620	-0,00036
1237	Env_ELU	Min	-0,00440	-0,00534	-0,08894	0,02013	0,00620	-0,00036
1238	Env_ELU	Max	-0,00440	-0,00534	-0,02154	0,02014	0,00621	-0,00036
1238	Env_ELU	Min	-0,00441	-0,00535	-0,08221	0,02015	0,00621	-0,00036
1239	Env_ELU	Max	-0,00441	-0,00535	-0,01818	0,02016	0,00621	-0,00036
1239	Env_ELU	Min	-0,00441	-0,00535	-0,07329	0,02017	0,00621	-0,00036
1240	Env_ELU	Max	-0,00441	-0,00535	-0,01438	0,02018	0,00622	-0,00036
1240	Env_ELU	Min	-0,00441	-0,00535	-0,06257	0,02019	0,00622	-0,00036
1241	Env_ELU	Max	-0,00442	-0,00536	-0,01043	0,02020	0,00622	-0,00036
1241	Env_ELU	Min	-0,00442	-0,00536	-0,05057	0,02020	0,00622	-0,00036
1242	Env_ELU	Max	-0,00442	-0,00536	-0,00663	0,02021	0,00623	-0,00036
1242	Env_ELU	Min	-0,00442	-0,00536	-0,03790	0,02022	0,00623	-0,00036
1243	Env_ELU	Max	-0,00443	-0,00536	-0,00337	0,02023	0,00623	-0,00036
1243	Env_ELU	Min	-0,00443	-0,00537	-0,02530	0,02024	0,00623	-0,00036
1244	Env_ELU	Max	-0,00443	-0,00537	-0,00105	0,02025	0,00624	-0,00036
1244	Env_ELU	Min	-0,00443	-0,00537	-0,01361	0,02026	0,00624	-0,00036
1245	Env_ELU	Max	-0,00444	-0,00537	-0,00474	0,02027	0,00624	-0,00036
1245	Env_ELU	Min	-0,00444	-0,00537	-0,01739	0,02028	0,00624	-0,00036
1246	Env_ELU	Max	-0,00444	-0,00537	-0,00945	0,02028	0,00625	-0,00036
1246	Env_ELU	Min	-0,00444	-0,00538	-0,03378	0,02029	0,00625	-0,00036
1247	Env_ELU	Max	-0,00444	-0,00538	-0,01403	0,02030	0,00625	-0,00036
1247	Env_ELU	Min	-0,00445	-0,00538	-0,04904	0,02031	0,00625	-0,00036
1248	Env_ELU	Max	-0,00445	-0,00538	-0,01820	0,02032	0,00626	-0,00036
1248	Env_ELU	Min	-0,00445	-0,00538	-0,06267	0,02033	0,00626	-0,00036
1249	Env_ELU	Max	-0,00445	-0,00539	-0,02176	0,02034	0,00626	-0,00036
1249	Env_ELU	Min	-0,00446	-0,00539	-0,07427	0,02035	0,00626	-0,00036
1250	Env_ELU	Max	-0,00446	-0,00539	-0,02452	0,02035	0,00627	-0,00036
1250	Env_ELU	Min	-0,00446	-0,00539	-0,08350	0,02036	0,00627	-0,00036
1251	Env_ELU	Max	-0,00446	-0,00539	-0,02637	0,02037	0,00627	-0,00036
1251	Env_ELU	Min	-0,00446	-0,00539	-0,08207	0,02038	0,00627	-0,00036

1252	Env_ELU	Max	-0,00447	-0,00540	-0,02722	0,02039	0,00628	-0,00036
1252	Env_ELU	Min	-0,00447	-0,00540	-0,08207	0,02040	0,00628	-0,00036
1253	Env_ELU	Max	-0,00447	-0,00540	-0,00314	0,02041	0,00628	-0,00036
1253	Env_ELU	Min	-0,00447	-0,00540	-0,01019	0,02042	0,00628	-0,00036
1254	Env_ELU	Max	-0,00448	-0,00540	-0,00680	0,02043	0,00629	-0,00037
1254	Env_ELU	Min	-0,00448	-0,00541	-0,02156	0,02043	0,00629	-0,00037
1255	Env_ELU	Max	-0,00448	-0,00541	-0,01075	0,02044	0,00629	-0,00037
1255	Env_ELU	Min	-0,00448	-0,00541	-0,03385	0,02045	0,00629	-0,00037
1256	Env_ELU	Max	-0,00448	-0,00541	-0,01462	0,02046	0,00630	-0,00037
1256	Env_ELU	Min	-0,00449	-0,00541	-0,04604	0,02047	0,00630	-0,00037
1257	Env_ELU	Max	-0,00449	-0,00542	-0,01811	0,02048	0,00630	-0,00037
1257	Env_ELU	Min	-0,00449	-0,00542	-0,05730	0,02049	0,00630	-0,00037
1258	Env_ELU	Max	-0,00449	-0,00542	-0,02096	0,02050	0,00631	-0,00037
1258	Env_ELU	Min	-0,00450	-0,00542	-0,06692	0,02051	0,00631	-0,00037
1259	Env_ELU	Max	-0,00450	-0,00542	-0,02299	0,02051	0,00631	-0,00037
1259	Env_ELU	Min	-0,00450	-0,00542	-0,07440	0,02052	0,00631	-0,00037
1260	Env_ELU	Max	-0,00450	-0,00543	-0,02410	0,02053	0,00632	-0,00037
1260	Env_ELU	Min	-0,00451	-0,00543	-0,07936	0,02054	0,00632	-0,00037
14.1	Env_ELU	Max	-0,00451	-0,00543	-0,00009	0,02055	0,00632	-0,00037
14.1	Env_ELU	Min	-0,00451	-0,00543	-0,00026	0,02056	0,00633	-0,00037
16.1	Env_ELU	Max	-0,00451	-0,00543	-0,00011	0,02057	0,00633	-0,00037
16.1	Env_ELU	Min	-0,00451	-0,00544	-0,00037	0,02058	0,00633	-0,00037
19.1	Env_ELU	Max	-0,00452	-0,00544	0,00000	0,02058	0,00633	-0,00037
19.1	Env_ELU	Min	-0,00452	-0,00544	0,00000	0,02059	0,00634	-0,00037
50.1	Env_ELU	Max	-0,00452	-0,00544	0,00000	0,02060	0,00634	-0,00037
50.1	Env_ELU	Min	-0,00452	-0,00544	0,00000	0,02061	0,00634	-0,00037
51.1	Env_ELU	Max	-0,00453	-0,00544	0,00000	0,02062	0,00634	-0,00037
51.1	Env_ELU	Min	-0,00453	-0,00545	0,00000	0,02063	0,00635	-0,00037
74.1	Env_ELU	Max	-0,00453	-0,00545	0,00000	0,02064	0,00635	-0,00037
74.1	Env_ELU	Min	-0,00453	-0,00545	0,00000	0,02065	0,00635	-0,00037
75.1	Env_ELU	Max	-0,00453	-0,00545	0,00000	0,02066	0,00635	-0,00037
75.1	Env_ELU	Min	-0,00454	-0,00545	0,00000	0,02066	0,00636	-0,00037
78.1	Env_ELU	Max	-0,00454	-0,00546	0,00000	0,02067	0,00636	-0,00037
78.1	Env_ELU	Min	-0,00454	-0,00546	0,00000	0,02068	0,00636	-0,00037
79.1	Env_ELU	Max	-0,00454	-0,00546	0,00000	0,02069	0,00636	-0,00037
79.1	Env_ELU	Min	-0,00455	-0,00546	0,00000	0,02070	0,00637	-0,00037
87.1	Env_ELU	Max	-0,00455	-0,00546	0,00000	0,02071	0,00637	-0,00037
87.1	Env_ELU	Min	-0,00455	-0,00547	0,00000	0,02072	0,00637	-0,00037
121.1	Env_ELU	Max	-0,00455	-0,00547	0,00525	0,02073	0,00637	-0,00037



121.1	Env_ELU	Min	-0,00455	-0,00547	0,00136	0,02074	0,00638	-0,00037
121.2	Env_ELU	Max	-0,00456	-0,00547	0,00525	0,02074	0,00638	-0,00037
121.2	Env_ELU	Min	-0,00456	-0,00547	0,00136	0,02075	0,00638	-0,00037

ESFUERZOS EN BARRAS PARA ELU

TABLE: Element Forces - Frames									
Frame	Station	OutputCase	StepType	P	V2	V3	T	M2	M3
Text	m	Text	Text	KN	KN	KN	KN-m	KN-m	KN-m
1	0,00	Env_ELU	Max	-152,913	40,502	62,026	14,467	240,572	150,852
1	3,00	Env_ELU	Max	-142,898	40,502	62,026	14,467	54,494	87,347
1	6,00	Env_ELU	Max	-132,884	40,502	62,026	14,467	178,668	400,821
1	0,00	Env_ELU	Min	-586,550	-106,505	-76,959	-15,967	-283,087	-273,349
1	3,00	Env_ELU	Min	-576,536	-106,505	-76,959	-15,967	-52,209	-2,716
1	6,00	Env_ELU	Min	-566,521	-106,505	-76,959	-15,967	-131,584	-118,183
2	0,00	Env_ELU	Max	-112,094	43,175	71,537	14,557	259,342	159,112
2	3,00	Env_ELU	Max	-102,079	43,175	71,537	14,557	44,729	82,443
2	6,00	Env_ELU	Max	-92,064	43,175	71,537	14,557	142,956	385,587
2	0,00	Env_ELU	Min	-544,476	-102,895	-68,948	-15,890	-270,731	-276,219
2	3,00	Env_ELU	Min	-534,461	-102,895	-68,948	-15,890	-63,887	-3,703
2	6,00	Env_ELU	Min	-524,447	-102,895	-68,948	-15,890	-169,883	-128,379
3	0,00	Env_ELU	Max	14,791	-7,317	6,510	0,183	8,090	-1,322
3	0,50	Env_ELU	Max	14,791	-4,341	6,510	0,183	4,835	4,025
3	1,00	Env_ELU	Max	14,791	-1,366	6,510	0,183	1,580	9,196
3	1,50	Env_ELU	Max	14,791	3,292	6,510	0,183	1,646	10,110
3	2,00	Env_ELU	Max	14,791	12,342	6,510	0,183	5,038	6,562
3	2,50	Env_ELU	Max	14,791	21,393	6,510	0,183	8,430	1,053
3	0,00	Env_ELU	Min	4,250	-24,682	-6,785	-0,039	-8,532	-6,824
3	0,50	Env_ELU	Min	4,250	-15,631	-6,785	-0,039	-5,139	0,561
3	1,00	Env_ELU	Min	4,250	-6,581	-6,785	-0,039	-1,747	2,909
3	1,50	Env_ELU	Min	4,250	-0,246	-6,785	-0,039	-1,675	2,958
3	2,00	Env_ELU	Min	4,250	2,729	-6,785	-0,039	-4,929	1,409
3	2,50	Env_ELU	Min	4,250	5,705	-6,785	-0,039	-8,184	-2,734
4	0,00	Env_ELU	Max	-3,465	-7,466	8,180	0,212	10,184	-1,579
4	0,50	Env_ELU	Max	-3,465	-4,490	8,180	0,212	6,094	3,422
4	1,00	Env_ELU	Max	-3,465	-1,515	8,180	0,212	2,004	8,816
4	1,50	Env_ELU	Max	-3,465	2,889	8,180	0,212	2,204	9,957
4	2,00	Env_ELU	Max	-3,465	11,939	8,180	0,212	6,743	6,639
4	2,50	Env_ELU	Max	-3,465	20,990	8,180	0,212	11,283	1,074

4	0,00	Env_ELU	Min	-16,088	-25,316	-9,079	-0,064	-11,414	-7,857
4	0,50	Env_ELU	Min	-16,088	-16,265	-9,079	-0,064	-6,875	0,423
4	1,00	Env_ELU	Min	-16,088	-7,215	-9,079	-0,064	-2,335	2,811
4	1,50	Env_ELU	Min	-16,088	-0,313	-9,079	-0,064	-2,086	2,869
4	2,00	Env_ELU	Min	-16,088	2,663	-9,079	-0,064	-6,176	1,395
4	2,50	Env_ELU	Min	-16,088	5,638	-9,079	-0,064	-10,266	-2,355
5	0,00	Env_ELU	Max	-3,706	10,501	4,302	0,112	5,345	20,393
5	0,50	Env_ELU	Max	-3,706	13,477	4,302	0,112	3,194	14,399
5	1,00	Env_ELU	Max	-3,706	16,452	4,302	0,112	1,043	8,992
5	1,50	Env_ELU	Max	-3,706	19,428	4,302	0,112	1,074	10,124
5	2,00	Env_ELU	Max	-3,706	22,403	4,302	0,112	3,255	17,024
5	2,50	Env_ELU	Max	-3,706	30,196	4,302	0,112	5,436	24,652
5	0,00	Env_ELU	Min	-12,581	-33,347	-4,362	-0,173	-5,468	-28,364
5	0,50	Env_ELU	Min	-12,581	-25,670	-4,362	-0,173	-3,287	-14,785
5	1,00	Env_ELU	Min	-12,581	-22,694	-4,362	-0,173	-1,106	-2,694
5	1,50	Env_ELU	Min	-12,581	-19,719	-4,362	-0,173	-1,109	-2,054
5	2,00	Env_ELU	Min	-12,581	-16,743	-4,362	-0,173	-3,260	-12,512
5	2,50	Env_ELU	Min	-12,581	-13,768	-4,362	-0,173	-5,411	-24,457
6	0,00	Env_ELU	Max	7,273	11,071	13,114	0,002	16,352	21,143
6	0,50	Env_ELU	Max	7,273	14,046	13,114	0,002	9,795	14,864
6	1,00	Env_ELU	Max	7,273	17,022	13,114	0,002	3,238	9,138
6	1,50	Env_ELU	Max	7,273	19,997	13,114	0,002	3,428	10,298
6	2,00	Env_ELU	Max	7,273	22,973	13,114	0,002	10,358	17,592
6	2,50	Env_ELU	Max	7,273	29,073	13,114	0,002	17,289	25,583
6	0,00	Env_ELU	Min	0,876	-34,068	-13,861	-0,248	-17,363	-29,250
6	0,50	Env_ELU	Min	0,876	-26,396	-13,861	-0,248	-10,433	-15,308
6	1,00	Env_ELU	Min	0,876	-23,421	-13,861	-0,248	-3,503	-2,854
6	1,50	Env_ELU	Min	0,876	-20,445	-13,861	-0,248	-3,320	-2,158
6	2,00	Env_ELU	Min	0,876	-17,470	-13,861	-0,248	-9,877	-12,901
6	2,50	Env_ELU	Min	0,876	-14,494	-13,861	-0,248	-16,434	-25,131
7	0,00	Env_ELU	Max	15,480	-13,282	5,457	0,103	7,090	-9,023
7	0,50	Env_ELU	Max	15,480	-10,306	5,457	0,103	4,361	-3,126
7	1,00	Env_ELU	Max	15,480	-7,331	5,457	0,103	1,633	1,667
7	1,50	Env_ELU	Max	15,480	-4,355	5,457	0,103	0,230	14,625
7	2,00	Env_ELU	Max	15,480	-1,380	5,457	0,103	1,003	27,133
7	2,50	Env_ELU	Max	15,480	1,596	5,457	0,103	1,776	35,116
7	0,00	Env_ELU	Min	-1,503	-56,692	-1,546	-0,525	-2,089	-50,049
7	0,50	Env_ELU	Min	-1,503	-47,642	-1,546	-0,525	-1,316	-23,966
7	1,00	Env_ELU	Min	-1,503	-38,591	-1,546	-0,525	-0,543	-2,932



7	1,50	Env_ELU	Min	-1,503	-29,541	-1,546	-0,525	-1,096	4,205
7	2,00	Env_ELU	Min	-1,503	-20,490	-1,546	-0,525	-3,824	5,639
7	2,50	Env_ELU	Min	-1,503	-12,279	-1,546	-0,525	-6,553	5,585
8	0,00	Env_ELU	Max	-144,755	6,490	59,773	4,965	224,692	41,829
8	3,48	Env_ELU	Max	-133,154	6,490	59,773	4,965	16,981	30,210
8	6,95	Env_ELU	Max	-121,554	6,490	59,773	4,965	195,753	94,453
8	0,00	Env_ELU	Min	-490,850	-24,081	-59,277	-3,103	-227,518	-86,830
8	3,48	Env_ELU	Min	-479,250	-24,081	-59,277	-3,103	-40,363	-17,456
8	6,95	Env_ELU	Min	-467,649	-24,081	-59,277	-3,103	-190,729	-17,944
10	0,00	Env_ELU	Max	572,083	-8,546	25,878	3,261	33,392	-1,154
10	0,50	Env_ELU	Max	572,083	-5,570	25,878	3,261	20,454	2,375
10	1,00	Env_ELU	Max	572,083	-2,595	25,878	3,261	7,515	10,893
10	1,50	Env_ELU	Max	572,083	0,381	25,878	3,261	5,641	17,131
10	2,00	Env_ELU	Max	572,083	3,891	25,878	3,261	18,278	21,183
10	2,50	Env_ELU	Max	572,083	12,942	25,878	3,261	30,914	20,710
10	0,00	Env_ELU	Min	-836,217	-39,780	-25,274	0,062	-32,270	-22,175
10	0,50	Env_ELU	Min	-836,217	-30,730	-25,274	0,062	-19,633	-4,548
10	1,00	Env_ELU	Min	-836,217	-21,679	-25,274	0,062	-6,996	2,023
10	1,50	Env_ELU	Min	-836,217	-12,629	-25,274	0,062	-6,372	4,970
10	2,00	Env_ELU	Min	-836,217	-3,713	-25,274	0,062	-18,957	4,035
10	2,50	Env_ELU	Min	-836,217	-0,738	-25,274	0,062	-31,543	1,613
11	0,00	Env_ELU	Max	-163,077	84,803	76,828	6,544	257,199	132,891
11	2,70	Env_ELU	Max	-157,142	84,803	76,828	6,544	49,762	14,116
11	5,40	Env_ELU	Max	-151,208	84,803	76,828	6,544	193,259	78,959
11	0,00	Env_ELU	Min	-651,079	-24,016	-88,036	-5,992	-282,134	-50,728
11	2,70	Env_ELU	Min	-645,145	-24,016	-88,036	-5,992	-44,437	-96,077
11	5,40	Env_ELU	Min	-639,210	-24,016	-88,036	-5,992	-157,675	-325,045
12	0,00	Env_ELU	Max	-127,892	74,429	86,738	6,597	274,739	112,957
12	2,70	Env_ELU	Max	-121,957	74,429	86,738	6,597	40,545	15,943
12	5,40	Env_ELU	Max	-116,023	74,429	86,738	6,597	156,603	82,095
12	0,00	Env_ELU	Min	-609,684	-24,501	-78,191	-5,950	-265,626	-50,209
12	2,70	Env_ELU	Min	-603,749	-24,501	-78,191	-5,950	-54,511	-88,002
12	5,40	Env_ELU	Min	-597,815	-24,501	-78,191	-5,950	-193,649	-288,960
13	0,00	Env_ELU	Max	-3,932	13,031	11,399	0,406	14,218	23,779
13	0,50	Env_ELU	Max	-3,932	16,007	11,399	0,406	8,518	16,520
13	1,00	Env_ELU	Max	-3,932	18,982	11,399	0,406	2,819	9,947
13	1,50	Env_ELU	Max	-3,932	21,958	11,399	0,406	2,800	10,994
13	2,00	Env_ELU	Max	-3,932	24,933	11,399	0,406	8,478	18,322
13	2,50	Env_ELU	Max	-3,932	30,089	11,399	0,406	14,157	26,678

13	0,00	Env_ELU	Min	-13,433	-34,598	-11,357	0,058	-14,236	-29,979
13	0,50	Env_ELU	Min	-13,433	-27,126	-11,357	0,058	-8,557	-15,672
13	1,00	Env_ELU	Min	-13,433	-24,150	-11,357	0,058	-2,879	-3,078
13	1,50	Env_ELU	Min	-13,433	-21,175	-11,357	0,058	-2,881	-2,463
13	2,00	Env_ELU	Min	-13,433	-18,199	-11,357	0,058	-8,581	-14,186
13	2,50	Env_ELU	Min	-13,433	-15,224	-11,357	0,058	-14,280	-27,396
14	0,00	Env_ELU	Max	10,739	-13,415	7,970	0,553	10,182	-9,203
14	0,50	Env_ELU	Max	10,739	-10,440	7,970	0,553	6,197	-3,239
14	1,00	Env_ELU	Max	10,739	-7,464	7,970	0,553	2,212	2,474
14	1,50	Env_ELU	Max	10,739	-4,489	7,970	0,553	0,026	14,494
14	2,00	Env_ELU	Max	10,739	-1,513	7,970	0,553	0,385	25,162
14	2,50	Env_ELU	Max	10,739	3,633	7,970	0,553	0,744	31,305
14	0,00	Env_ELU	Min	-3,048	-53,012	-0,718	-0,231	-1,050	-44,660
14	0,50	Env_ELU	Min	-3,048	-43,962	-0,718	-0,231	-0,692	-20,417
14	1,00	Env_ELU	Min	-3,048	-34,912	-0,718	-0,231	-0,333	-1,934
14	1,50	Env_ELU	Min	-3,047	-25,861	-0,718	-0,231	-1,774	4,225
14	2,00	Env_ELU	Min	-3,047	-16,811	-0,718	-0,231	-5,759	5,725
14	2,50	Env_ELU	Min	-3,047	-10,249	-0,718	-0,231	-9,744	5,738
16	0,00	Env_ELU	Max	12,139	-11,106	8,610	1,072	11,081	-7,040
16	0,50	Env_ELU	Max	12,140	-8,131	8,610	1,072	6,776	-2,231
16	1,00	Env_ELU	Max	12,140	-5,155	8,610	1,072	2,472	3,279
16	1,50	Env_ELU	Max	12,140	-2,180	8,610	1,072	-0,194	12,178
16	2,00	Env_ELU	Max	12,140	1,548	8,610	1,072	-0,494	18,078
16	2,50	Env_ELU	Max	12,140	10,598	8,610	1,072	-0,795	19,453
16	0,00	Env_ELU	Min	-4,797	-43,476	0,601	-0,049	0,709	-32,671
16	0,50	Env_ELU	Min	-4,797	-34,426	0,601	-0,049	0,408	-13,196
16	1,00	Env_ELU	Min	-4,796	-25,375	0,601	-0,049	0,107	-0,415
16	1,50	Env_ELU	Min	-4,796	-16,325	0,601	-0,049	-1,833	2,924
16	2,00	Env_ELU	Min	-4,796	-8,247	0,601	-0,049	-6,138	3,270
16	2,50	Env_ELU	Min	-4,796	-5,272	0,601	-0,049	-10,443	2,129
17	0,00	Env_ELU	Max	-144,991	116,232	50,938	16,469	167,730	337,352
17	2,70	Env_ELU	Max	-139,056	116,232	50,938	16,469	30,198	26,166
17	5,40	Env_ELU	Max	-133,122	116,232	50,938	16,469	138,986	241,948
17	0,00	Env_ELU	Min	-507,439	-92,728	-66,567	-12,566	-220,476	-261,380
17	2,70	Env_ELU	Min	-501,505	-92,728	-66,567	-12,566	-40,745	-43,677
17	5,40	Env_ELU	Min	-495,570	-92,728	-66,567	-12,566	-107,335	-317,763
18	0,00	Env_ELU	Max	-41,845	132,507	57,867	16,438	179,997	367,679
18	2,70	Env_ELU	Max	-35,910	132,507	57,867	16,438	23,755	12,182
18	5,40	Env_ELU	Max	-29,976	132,507	57,867	16,438	116,799	232,027



18	0,00	Env_ELU	Min	-387,965	-91,344	-59,254	-12,591	-203,170	-261,232
18	2,70	Env_ELU	Min	-382,030	-91,344	-59,254	-12,591	-43,185	-43,313
18	5,40	Env_ELU	Min	-376,096	-91,344	-59,254	-12,591	-132,487	-351,643
19	0,00	Env_ELU	Max	-1,664	6,808	9,871	0,032	12,374	15,802
19	0,50	Env_ELU	Max	-1,664	9,846	9,871	0,032	7,439	11,639
19	1,00	Env_ELU	Max	-1,664	12,884	9,871	0,032	2,503	8,077
19	1,50	Env_ELU	Max	-1,664	15,922	9,871	0,032	2,481	10,292
19	2,00	Env_ELU	Max	-1,664	18,959	9,871	0,032	7,437	17,561
19	2,50	Env_ELU	Max	-1,664	25,719	9,871	0,032	12,393	26,115
19	0,00	Env_ELU	Min	-10,506	-34,788	-9,912	-1,142	-12,387	-31,843
19	0,50	Env_ELU	Min	-10,506	-27,740	-9,912	-1,142	-7,431	-17,214
19	1,00	Env_ELU	Min	-10,506	-24,702	-9,912	-1,142	-2,475	-4,103
19	1,50	Env_ELU	Min	-10,506	-21,664	-9,912	-1,142	-2,432	-1,245
19	2,00	Env_ELU	Min	-10,506	-18,627	-9,912	-1,142	-7,368	-9,965
19	2,50	Env_ELU	Min	-10,506	-15,589	-9,912	-1,142	-12,304	-20,204
20	0,00	Env_ELU	Max	12,213	-2,018	14,802	0,064	19,231	4,540
20	0,50	Env_ELU	Max	12,213	0,957	14,802	0,064	11,830	4,805
20	1,00	Env_ELU	Max	12,213	3,933	14,802	0,064	4,428	4,298
20	1,50	Env_ELU	Max	12,213	6,908	14,802	0,064	2,540	10,983
20	2,00	Env_ELU	Max	12,213	9,884	14,802	0,064	9,097	17,770
20	2,50	Env_ELU	Max	12,213	16,026	14,802	0,064	15,653	21,501
20	0,00	Env_ELU	Min	-5,459	-45,435	-13,113	-0,674	-17,129	-36,899
20	0,50	Env_ELU	Min	-5,459	-36,385	-13,113	-0,674	-10,573	-16,444
20	1,00	Env_ELU	Min	-5,459	-27,334	-13,113	-0,674	-4,016	-3,203
20	1,50	Env_ELU	Min	-5,459	-18,284	-13,113	-0,674	-2,973	0,872
20	2,00	Env_ELU	Min	-5,459	-14,981	-13,113	-0,674	-10,374	-3,326
20	2,50	Env_ELU	Min	-5,459	-12,006	-13,113	-0,674	-17,775	-9,012
21	0,00	Env_ELU	Max	5,087	-1,465	7,232	0,045	9,511	4,883
21	0,50	Env_ELU	Max	5,087	1,511	7,232	0,045	5,894	4,871
21	1,00	Env_ELU	Max	5,087	4,486	7,232	0,045	2,278	3,658
21	1,50	Env_ELU	Max	5,087	7,462	7,232	0,045	1,716	11,230
21	2,00	Env_ELU	Max	5,087	10,437	7,232	0,045	6,292	18,857
21	2,50	Env_ELU	Max	5,087	15,171	7,232	0,045	10,869	21,959
21	0,00	Env_ELU	Min	-10,818	-46,932	-9,154	-0,985	-12,015	-38,833
21	0,50	Env_ELU	Min	-10,818	-37,881	-9,154	-0,985	-7,438	-17,675
21	1,00	Env_ELU	Min	-10,818	-28,831	-9,154	-0,985	-2,861	-3,243
21	1,50	Env_ELU	Min	-10,818	-19,780	-9,154	-0,985	-1,338	0,385
21	2,00	Env_ELU	Min	-10,818	-14,704	-9,154	-0,985	-4,954	-4,090
21	2,50	Env_ELU	Min	-10,818	-11,729	-9,154	-0,985	-8,570	-10,052

23	0,00	Env_ELU	Max	1,540	-13,248	2,778	-0,197	3,642	-9,189
23	0,50	Env_ELU	Max	1,540	-10,272	2,778	-0,197	2,253	-3,309
23	1,00	Env_ELU	Max	1,540	-7,297	2,778	-0,197	0,863	1,247
23	1,50	Env_ELU	Max	1,540	-4,321	2,778	-0,197	0,757	14,132
23	2,00	Env_ELU	Max	1,540	-1,345	2,778	-0,197	2,697	26,562
23	2,50	Env_ELU	Max	1,540	1,630	2,778	-0,197	4,637	34,466
23	0,00	Env_ELU	Min	-6,336	-56,537	-3,880	-0,669	-5,064	-50,310
23	0,50	Env_ELU	Min	-6,336	-47,486	-3,880	-0,669	-3,124	-24,304
23	1,00	Env_ELU	Min	-6,336	-38,436	-3,880	-0,669	-1,184	-3,126
23	1,50	Env_ELU	Min	-6,336	-29,385	-3,880	-0,669	-0,526	3,987
23	2,00	Env_ELU	Min	-6,336	-20,335	-3,880	-0,669	-1,915	5,404
23	2,50	Env_ELU	Min	-6,336	-12,181	-3,880	-0,669	-3,304	5,333
24	0,00	Env_ELU	Max	9,359	-4,273	0,489	0,386	0,683	-0,593
24	0,50	Env_ELU	Max	9,359	-1,297	0,489	0,386	0,438	3,495
24	1,00	Env_ELU	Max	9,359	1,910	0,489	0,386	0,194	5,735
24	1,50	Env_ELU	Max	9,359	10,961	0,489	0,386	0,115	3,506
24	2,00	Env_ELU	Max	9,359	20,011	0,489	0,386	0,328	-0,631
24	2,50	Env_ELU	Max	9,359	29,062	0,489	0,386	0,540	-4,075
24	0,00	Env_ELU	Min	-3,883	-18,168	-0,425	0,022	-0,523	-3,409
24	0,50	Env_ELU	Min	-3,883	-9,118	-0,425	0,022	-0,310	0,706
24	1,00	Env_ELU	Min	-3,883	-0,551	-0,425	0,022	-0,098	0,682
24	1,50	Env_ELU	Min	-3,883	2,424	-0,425	0,022	-0,055	-0,901
24	2,00	Env_ELU	Min	-3,883	5,400	-0,425	0,022	-0,295	-6,322
24	2,50	Env_ELU	Min	-3,883	8,375	-0,425	0,022	-0,540	-18,591
25	0,00	Env_ELU	Max	2,459	-5,644	2,028	0,663	2,554	-1,519
25	0,50	Env_ELU	Max	2,459	-2,669	2,028	0,663	1,540	3,387
25	1,00	Env_ELU	Max	2,459	0,307	2,028	0,663	0,526	6,608
25	1,50	Env_ELU	Max	2,459	8,195	2,028	0,663	0,137	5,303
25	2,00	Env_ELU	Max	2,459	17,246	2,028	0,663	0,476	0,091
25	2,50	Env_ELU	Max	2,459	26,296	2,028	0,663	0,814	-3,167
25	0,00	Env_ELU	Min	-4,009	-20,016	-0,676	0,203	-0,877	-4,439
25	0,50	Env_ELU	Min	-4,009	-10,966	-0,676	0,203	-0,539	0,425
25	1,00	Env_ELU	Min	-4,009	-1,915	-0,676	0,203	-0,201	1,016
25	1,50	Env_ELU	Min	-4,009	2,052	-0,676	0,203	-0,502	0,118
25	2,00	Env_ELU	Min	-4,009	5,027	-0,676	0,203	-1,502	-2,695
25	2,50	Env_ELU	Min	-4,009	8,003	-0,676	0,203	-2,517	-13,581
26	0,00	Env_ELU	Max	572,108	2,985	3,901	1,797	3,985	20,851
26	0,50	Env_ELU	Max	572,108	6,939	3,901	1,797	2,035	19,775
26	1,00	Env_ELU	Max	572,108	15,990	3,901	1,797	0,639	14,287



26	1,50	Env_ELU	Max	572,108	25,040	3,901	1,797	1,376	5,113
26	2,00	Env_ELU	Max	572,108	34,091	3,901	1,797	2,554	-3,680
26	2,50	Env_ELU	Max	572,108	43,142	3,901	1,797	3,733	-10,257
26	0,00	Env_ELU	Min	-836,245	-4,686	-2,358	0,621	-2,508	7,751
26	0,50	Env_ELU	Min	-836,245	2,740	-2,358	0,621	-1,546	7,062
26	1,00	Env_ELU	Min	-836,245	5,716	-2,358	0,621	-0,674	4,636
26	1,50	Env_ELU	Min	-836,245	8,691	-2,358	0,621	-2,358	-0,158
26	2,00	Env_ELU	Min	-836,245	11,667	-2,358	0,621	-4,231	-11,129
26	2,50	Env_ELU	Min	-836,245	14,642	-2,358	0,621	-6,104	-30,437
27	0,00	Env_ELU	Max	-174,003	81,056	69,040	25,538	203,811	233,650
27	2,60	Env_ELU	Max	-165,341	81,056	69,040	25,538	24,653	23,310
27	5,19	Env_ELU	Max	-156,678	81,056	69,040	25,538	72,464	231,415
27	0,00	Env_ELU	Min	-521,407	-119,399	-49,125	-25,731	-182,496	-388,269
27	2,60	Env_ELU	Min	-512,744	-119,399	-49,125	-25,731	-58,088	-78,427
27	5,19	Env_ELU	Min	-504,082	-119,399	-49,125	-25,731	-154,505	-187,029
28	0,00	Env_ELU	Max	-51,983	85,242	86,726	19,922	244,730	246,601
28	2,60	Env_ELU	Max	-43,320	85,242	86,726	19,922	19,677	25,398
28	5,19	Env_ELU	Max	-34,657	85,242	86,726	19,922	69,111	146,417
28	0,00	Env_ELU	Min	-364,663	-92,725	-49,380	-19,946	-187,172	-334,826
28	2,60	Env_ELU	Min	-356,000	-92,725	-49,380	-19,946	-70,259	-107,380
28	5,19	Env_ELU	Min	-347,337	-92,725	-49,380	-19,946	-209,394	-198,194
29	0,00	Env_ELU	Max	-84,181	6,182	6,489	1,517	32,204	21,341
29	2,05	Env_ELU	Max	-81,074	6,182	6,489	1,517	39,630	22,027
29	4,09	Env_ELU	Max	-77,966	6,182	6,489	1,517	118,260	42,006
29	0,00	Env_ELU	Min	-310,840	-12,238	-48,769	-0,939	-92,056	-26,040
29	2,05	Env_ELU	Min	-307,733	-12,238	-48,769	-0,939	7,677	-7,212
29	4,09	Env_ELU	Min	-304,625	-12,238	-48,769	-0,939	5,664	-10,765
30	0,00	Env_ELU	Max	-218,463	11,222	13,432	2,175	41,537	29,345
30	2,05	Env_ELU	Max	-215,355	11,222	13,432	2,175	32,110	16,521
30	4,09	Env_ELU	Max	-212,247	11,222	13,432	2,175	82,000	23,034
30	0,00	Env_ELU	Min	-628,836	-8,877	-36,201	-1,253	-71,780	-24,695
30	2,05	Env_ELU	Min	-625,728	-8,877	-36,201	-1,253	2,250	-8,054
30	4,09	Env_ELU	Min	-622,621	-8,877	-36,201	-1,253	-13,401	-16,553
31	0,00	Env_ELU	Max	18,806	-6,211	6,492	0,703	8,283	0,362
31	0,50	Env_ELU	Max	18,806	-3,236	6,492	0,703	5,037	6,703
31	1,00	Env_ELU	Max	18,806	-0,260	6,492	0,703	1,791	9,657
31	1,50	Env_ELU	Max	18,806	6,717	6,492	0,703	-0,471	8,593
31	2,00	Env_ELU	Max	18,806	15,093	6,492	0,703	-1,542	3,344
31	2,50	Env_ELU	Max	18,806	23,468	6,492	0,703	-2,613	-1,730

31	0,00	Env_ELU	Min	6,172	-19,081	2,142	0,234	2,742	-1,391
31	0,50	Env_ELU	Min	6,172	-10,705	2,142	0,234	1,671	2,085
31	1,00	Env_ELU	Min	6,172	-2,330	2,142	0,234	0,600	3,238
31	1,50	Env_ELU	Min	6,172	1,986	2,142	0,234	-1,455	2,776
31	2,00	Env_ELU	Min	6,172	4,962	2,142	0,234	-4,701	0,813
31	2,50	Env_ELU	Min	6,172	7,937	2,142	0,234	-7,947	-6,752
32	0,00	Env_ELU	Max	-6,337	-5,388	6,655	0,611	8,521	1,504
32	0,50	Env_ELU	Max	-6,337	-2,412	6,655	0,611	5,194	7,778
32	1,00	Env_ELU	Max	-6,337	0,563	6,655	0,611	1,866	10,113
32	1,50	Env_ELU	Max	-6,337	7,893	6,655	0,611	-0,487	8,697
32	2,00	Env_ELU	Max	-6,337	16,268	6,655	0,611	-1,618	3,314
32	2,50	Env_ELU	Max	-6,337	24,644	6,655	0,611	-2,750	-1,781
32	0,00	Env_ELU	Min	-19,484	-18,762	2,263	0,232	2,908	-0,762
32	0,50	Env_ELU	Min	-19,484	-10,387	2,263	0,232	1,777	2,242
32	1,00	Env_ELU	Min	-19,484	-2,011	2,263	0,232	0,645	3,461
32	1,50	Env_ELU	Min	-19,484	2,025	2,263	0,232	-1,462	2,756
32	2,00	Env_ELU	Min	-19,484	5,000	2,263	0,232	-4,789	0,342
32	2,50	Env_ELU	Min	-19,484	7,976	2,263	0,232	-8,117	-8,007
33	0,00	Env_ELU	Max	18,842	24,724	10,783	-0,665	13,080	51,251
33	0,50	Env_ELU	Max	18,842	33,162	10,783	-0,665	7,688	36,779
33	1,00	Env_ELU	Max	18,842	41,600	10,783	-0,665	2,296	18,126
33	1,50	Env_ELU	Max	18,842	50,038	10,783	-0,665	3,554	2,426
33	2,00	Env_ELU	Max	18,842	58,475	10,783	-0,665	9,473	-1,391
33	2,50	Env_ELU	Max	18,842	66,913	10,783	-0,665	15,393	-6,727
33	0,00	Env_ELU	Min	4,448	-2,998	-11,839	-1,824	-14,204	4,764
33	0,50	Env_ELU	Min	4,448	0,040	-11,839	-1,824	-8,285	5,503
33	1,00	Env_ELU	Min	4,448	3,078	-11,839	-1,824	-2,365	4,724
33	1,50	Env_ELU	Min	4,448	6,115	-11,839	-1,824	-3,096	-4,821
33	2,00	Env_ELU	Min	4,448	9,153	-11,839	-1,824	-8,487	-31,949
33	2,50	Env_ELU	Min	4,448	12,191	-11,839	-1,824	-13,879	-63,296
34	0,00	Env_ELU	Max	3,233	26,390	4,792	-0,577	5,748	52,844
34	0,50	Env_ELU	Max	3,233	34,827	4,792	-0,577	3,352	37,540
34	1,00	Env_ELU	Max	3,233	43,265	4,792	-0,577	0,956	18,044
34	1,50	Env_ELU	Max	3,233	51,703	4,792	-0,577	2,869	1,829
34	2,00	Env_ELU	Max	3,233	60,141	4,792	-0,577	7,632	-2,419
34	2,50	Env_ELU	Max	3,233	68,578	4,792	-0,577	12,395	-8,185
34	0,00	Env_ELU	Min	-8,113	-2,137	-9,526	-2,211	-11,420	5,459
34	0,50	Env_ELU	Min	-8,113	0,901	-9,526	-2,211	-6,657	5,768
34	1,00	Env_ELU	Min	-8,113	3,939	-9,526	-2,211	-1,894	4,558



34	1,50	Env_ELU	Min	-8,113	6,977	-9,526	-2,211	-1,440	-5,725
34	2,00	Env_ELU	Min	-8,113	10,014	-9,526	-2,211	-3,835	-33,686
34	2,50	Env_ELU	Min	-8,113	13,052	-9,526	-2,211	-6,231	-65,866
35	0,00	Env_ELU	Max	-46,599	25,694	33,381	3,876	99,077	71,848
35	2,20	Env_ELU	Max	-43,256	25,694	33,381	3,876	42,115	46,814
35	4,40	Env_ELU	Max	-39,913	25,694	33,381	3,876	145,155	119,165
35	0,00	Env_ELU	Min	-273,408	-42,710	-64,295	-4,899	-137,742	-68,761
35	2,20	Env_ELU	Min	-270,065	-42,710	-64,295	-4,899	3,706	15,321
35	4,40	Env_ELU	Min	-266,721	-42,710	-64,295	-4,899	-47,798	-41,206
36	0,00	Env_ELU	Max	3,793	-5,109	5,356	-0,902	6,302	-1,866
36	0,50	Env_ELU	Max	3,793	-2,071	5,356	-0,902	3,624	0,029
36	1,00	Env_ELU	Max	3,793	0,967	5,356	-0,902	0,946	0,404
36	1,50	Env_ELU	Max	3,793	7,488	5,356	-0,902	2,295	-0,739
36	2,00	Env_ELU	Max	3,793	15,925	5,356	-0,902	6,354	-3,401
36	2,50	Env_ELU	Max	3,793	24,363	5,356	-0,902	10,412	-7,582
36	0,00	Env_ELU	Min	-26,007	-19,621	-8,117	-2,343	-9,881	-15,521
36	0,50	Env_ELU	Min	-26,007	-11,183	-8,117	-2,343	-5,822	-7,820
36	1,00	Env_ELU	Min	-26,007	-2,745	-8,117	-2,343	-1,764	-4,464
36	1,50	Env_ELU	Min	-26,007	2,027	-8,117	-2,343	-1,732	-5,091
36	2,00	Env_ELU	Min	-26,007	5,065	-8,117	-2,343	-4,410	-10,055
36	2,50	Env_ELU	Min	-26,007	8,103	-8,117	-2,343	-7,088	-19,238
37	0,00	Env_ELU	Max	36,466	-7,780	6,973	-0,618	8,095	-6,265
37	0,50	Env_ELU	Max	36,466	-4,743	6,973	-0,618	4,609	-3,043
37	1,00	Env_ELU	Max	36,466	-1,705	6,973	-0,618	1,123	-1,266
37	1,50	Env_ELU	Max	36,466	2,529	6,973	-0,618	1,979	-1,007
37	2,00	Env_ELU	Max	36,466	10,967	6,973	-0,618	5,696	-2,267
37	2,50	Env_ELU	Max	36,466	19,404	6,973	-0,618	9,414	-5,046
37	0,00	Env_ELU	Min	9,128	-23,448	-7,435	-1,260	-9,174	-22,736
37	0,50	Env_ELU	Min	9,128	-15,010	-7,435	-1,260	-5,456	-13,124
37	1,00	Env_ELU	Min	9,128	-6,573	-7,435	-1,260	-1,739	-7,731
37	1,50	Env_ELU	Min	9,128	0,343	-7,435	-1,260	-2,364	-6,557
37	2,00	Env_ELU	Min	9,128	3,381	-7,435	-1,260	-5,850	-9,602
37	2,50	Env_ELU	Min	9,128	6,419	-7,435	-1,260	-9,336	-16,865
38	0,00	Env_ELU	Max	10,548	-8,361	7,655	1,285	9,913	-4,696
38	0,50	Env_ELU	Max	10,548	-5,385	7,655	1,285	6,103	-1,259
38	1,00	Env_ELU	Max	10,548	-2,410	7,655	1,285	2,308	3,857
38	1,50	Env_ELU	Max	10,548	0,566	7,655	1,285	-0,353	8,984
38	2,00	Env_ELU	Max	10,548	8,965	7,655	1,285	-1,173	9,769
38	2,50	Env_ELU	Max	10,548	18,015	7,655	1,285	-1,993	7,381

38	0,00	Env_ELU	Min	-6,819	-33,245	1,640	0,114	2,107	-20,519
38	0,50	Env_ELU	Min	-6,820	-24,195	1,640	0,114	1,287	-6,160
38	1,00	Env_ELU	Min	-6,820	-15,145	1,640	0,114	0,467	0,503
38	1,50	Env_ELU	Min	-6,820	-6,094	1,640	0,114	-1,569	1,149
38	2,00	Env_ELU	Min	-6,820	-2,867	1,640	0,114	-5,396	0,123
38	2,50	Env_ELU	Min	-6,820	0,108	1,640	0,114	-9,224	-3,149
39	0,00	Env_ELU	Max	-281,633	29,770	39,443	4,641	107,809	76,597
39	2,20	Env_ELU	Max	-278,290	29,770	39,443	4,641	34,188	32,192
39	4,40	Env_ELU	Max	-274,946	29,770	39,443	4,641	120,758	88,040
39	0,00	Env_ELU	Min	-786,608	-31,873	-52,103	-6,016	-117,087	-52,203
39	2,20	Env_ELU	Min	-783,264	-31,873	-52,103	-6,016	-2,461	10,903
39	4,40	Env_ELU	Min	-779,921	-31,873	-52,103	-6,016	-65,739	-54,590
40	0,00	Env_ELU	Max	701,382	-5,732	38,879	3,478	47,278	0,666
40	0,50	Env_ELU	Max	701,382	-2,694	38,879	3,478	27,838	2,773
40	1,00	Env_ELU	Max	701,382	0,344	38,879	3,478	8,398	3,360
40	1,50	Env_ELU	Max	701,382	3,382	38,879	3,478	8,367	12,074
40	2,00	Env_ELU	Max	701,382	6,419	38,879	3,478	23,451	30,499
40	2,50	Env_ELU	Max	701,382	9,457	38,879	3,478	38,534	44,368
40	0,00	Env_ELU	Min	-1025,204	-68,745	-30,167	-0,273	-36,883	-70,540
40	0,50	Env_ELU	Min	-1025,204	-59,633	-30,167	-0,273	-21,800	-38,446
40	1,00	Env_ELU	Min	-1025,204	-50,520	-30,167	-0,273	-6,716	-11,123
40	1,50	Env_ELU	Min	-1025,204	-41,407	-30,167	-0,273	-11,041	2,429
40	2,00	Env_ELU	Min	-1025,204	-32,294	-30,167	-0,273	-30,481	-0,021
40	2,50	Env_ELU	Min	-1025,204	-26,464	-30,167	-0,273	-49,921	-3,990
41	0,00	Env_ELU	Max	131,182	59,318	14,192	5,424	6,890	1,604
41	0,03	Env_ELU	Max	131,182	59,399	14,192	5,424	6,464	1,708
41	0,00	Env_ELU	Min	-176,273	-57,111	-13,125	-5,268	-17,641	-36,469
41	0,03	Env_ELU	Min	-176,273	-57,030	-13,125	-5,268	-17,303	-37,740
42	0,00	Env_ELU	Max	9,419	-6,246	6,114	1,136	8,129	-3,103
42	0,50	Env_ELU	Max	9,419	-3,270	6,114	1,136	5,072	-0,524
42	1,00	Env_ELU	Max	9,419	-0,295	6,114	1,136	2,015	4,838
42	1,50	Env_ELU	Max	9,419	5,555	6,114	1,136	-0,357	6,028
42	2,00	Env_ELU	Max	9,419	14,605	6,114	1,136	-1,092	2,889
42	2,50	Env_ELU	Max	9,419	23,656	6,114	1,136	-1,823	1,309
42	0,00	Env_ELU	Min	-8,174	-25,220	1,463	0,198	1,835	-11,482
42	0,50	Env_ELU	Min	-8,174	-16,169	1,463	0,198	1,103	-1,502
42	1,00	Env_ELU	Min	-8,174	-7,119	1,463	0,198	0,372	-0,014
42	1,50	Env_ELU	Min	-8,174	-1,303	1,463	0,198	-1,107	-0,471
42	2,00	Env_ELU	Min	-8,174	1,672	1,463	0,198	-4,107	-2,513



42	2,50	Env_ELU	Min	-8,174	4,648	1,463	0,198	-7,162	-11,882
44	0,00	Env_ELU	Max	16,605	-5,138	4,268	0,686	5,664	-2,053
44	0,50	Env_ELU	Max	16,605	-2,163	4,268	0,686	3,530	1,375
44	1,00	Env_ELU	Max	16,605	0,813	4,268	0,686	1,396	5,002
44	1,50	Env_ELU	Max	16,605	8,467	4,268	0,686	-0,166	4,103
44	2,00	Env_ELU	Max	16,605	17,517	4,268	0,686	-0,513	0,353
44	2,50	Env_ELU	Max	16,605	26,568	4,268	0,686	-0,860	-2,669
44	0,00	Env_ELU	Min	-9,070	-20,829	0,694	0,191	0,876	-7,393
44	0,50	Env_ELU	Min	-9,070	-11,779	0,694	0,191	0,529	-0,848
44	1,00	Env_ELU	Min	-9,070	-2,728	0,694	0,191	0,181	-0,424
44	1,50	Env_ELU	Min	-9,070	1,507	0,694	0,191	-0,738	-1,513
44	2,00	Env_ELU	Min	-9,070	4,483	0,694	0,191	-2,872	-5,831
44	2,50	Env_ELU	Min	-9,070	7,459	0,694	0,191	-5,006	-16,852
45	0,00	Env_ELU	Max	-0,230	10,059	13,138	0,016	16,429	19,821
45	0,50	Env_ELU	Max	-0,230	13,097	13,138	0,016	9,860	14,032
45	1,00	Env_ELU	Max	-0,230	16,134	13,138	0,016	3,291	8,229
45	1,50	Env_ELU	Max	-0,230	19,172	13,138	0,016	2,664	10,462
45	2,00	Env_ELU	Max	-0,230	22,210	13,138	0,016	7,983	20,511
45	2,50	Env_ELU	Max	-0,230	27,161	13,138	0,016	13,303	30,999
45	0,00	Env_ELU	Min	-5,511	-36,236	-10,638	-0,926	-13,293	-36,632
45	0,50	Env_ELU	Min	-5,511	-31,609	-10,638	-0,926	-7,974	-20,068
45	1,00	Env_ELU	Min	-5,511	-28,571	-10,638	-0,926	-2,655	-5,023
45	1,50	Env_ELU	Min	-5,511	-25,533	-10,638	-0,926	-3,279	-2,102
45	2,00	Env_ELU	Min	-5,511	-22,496	-10,638	-0,926	-9,848	-12,448
45	2,50	Env_ELU	Min	-5,511	-19,458	-10,638	-0,926	-16,417	-24,312
46	0,00	Env_ELU	Max	-0,637	17,361	4,465	0,317	5,578	29,012
46	0,50	Env_ELU	Max	-0,637	20,337	4,465	0,317	3,345	19,587
46	1,00	Env_ELU	Max	-0,637	23,312	4,465	0,317	1,112	9,892
46	1,50	Env_ELU	Max	-0,637	26,288	4,465	0,317	1,108	10,911
46	2,00	Env_ELU	Max	-0,637	29,263	4,465	0,317	3,339	21,367
46	2,50	Env_ELU	Max	-0,637	32,239	4,465	0,317	5,570	31,862
46	0,00	Env_ELU	Min	-7,062	-36,133	-4,461	0,072	-5,583	-35,492
46	0,50	Env_ELU	Min	-7,062	-31,405	-4,461	0,072	-3,353	-19,046
46	1,00	Env_ELU	Min	-7,062	-28,429	-4,461	0,072	-1,122	-4,352
46	1,50	Env_ELU	Min	-7,062	-25,454	-4,461	0,072	-1,121	-3,725
46	2,00	Env_ELU	Min	-7,062	-22,478	-4,461	0,072	-3,353	-17,613
46	2,50	Env_ELU	Min	-7,062	-19,503	-4,461	0,072	-5,586	-32,989
47	0,00	Env_ELU	Max	572,167	-12,718	25,848	-0,947	32,649	-6,834
47	0,50	Env_ELU	Max	572,167	-9,742	25,848	-0,947	19,725	-1,219

47	1,00	Env_ELU	Max	572,167	-6,767	25,848	-0,947	6,801	8,410
47	1,50	Env_ELU	Max	572,167	-3,791	25,848	-0,947	5,983	19,313
47	2,00	Env_ELU	Max	572,167	-0,816	25,848	-0,947	18,227	27,616
47	2,50	Env_ELU	Max	572,167	4,447	25,848	-0,947	31,068	31,394
47	0,00	Env_ELU	Min	-836,315	-48,283	-25,953	-4,882	-33,815	-32,747
47	0,50	Env_ELU	Min	-836,315	-39,232	-25,953	-4,882	-20,838	-10,868
47	1,00	Env_ELU	Min	-836,315	-30,182	-25,953	-4,882	-7,862	0,619
47	1,50	Env_ELU	Min	-836,315	-21,131	-25,953	-4,882	-6,123	5,548
47	2,00	Env_ELU	Min	-836,315	-12,081	-25,953	-4,882	-19,047	6,700
47	2,50	Env_ELU	Min	-836,315	-7,754	-25,953	-4,882	-31,971	6,364
48	0,00	Env_ELU	Max	-2,186	13,883	7,395	0,007	9,232	24,468
48	0,50	Env_ELU	Max	-2,186	16,858	7,395	0,007	5,535	16,783
48	1,00	Env_ELU	Max	-2,186	19,834	7,395	0,007	1,837	8,875
48	1,50	Env_ELU	Max	-2,186	22,809	7,395	0,007	2,096	10,049
48	2,00	Env_ELU	Max	-2,186	25,785	7,395	0,007	6,307	19,644
48	2,50	Env_ELU	Max	-2,186	30,306	7,395	0,007	10,518	29,117
48	0,00	Env_ELU	Min	-9,911	-35,323	-8,422	-0,177	-10,538	-33,125
48	0,50	Env_ELU	Min	-9,911	-29,360	-8,422	-0,177	-6,327	-17,701
48	1,00	Env_ELU	Min	-9,911	-26,384	-8,422	-0,177	-2,115	-3,765
48	1,50	Env_ELU	Min	-9,911	-23,409	-8,422	-0,177	-1,860	-3,051
48	2,00	Env_ELU	Min	-9,911	-20,433	-8,422	-0,177	-5,558	-15,199
48	2,50	Env_ELU	Min	-9,911	-17,458	-8,422	-0,177	-9,255	-28,835
49	0,00	Env_ELU	Max	10,223	1,979	10,599	0,036	13,864	9,005
49	0,50	Env_ELU	Max	10,223	4,954	10,599	0,036	8,565	7,271
49	1,00	Env_ELU	Max	10,223	7,930	10,599	0,036	3,265	4,239
49	1,50	Env_ELU	Max	10,223	10,905	10,599	0,036	2,015	11,023
49	2,00	Env_ELU	Max	10,223	13,881	10,599	0,036	7,313	18,339
49	2,50	Env_ELU	Max	10,223	18,756	10,599	0,036	12,611	23,381
49	0,00	Env_ELU	Min	-19,462	-46,308	-10,595	-0,801	-13,878	-38,074
49	0,50	Env_ELU	Min	-19,462	-37,257	-10,595	-0,801	-8,580	-17,183
49	1,00	Env_ELU	Min	-19,462	-28,206	-10,595	-0,801	-3,283	-3,579
49	1,50	Env_ELU	Min	-19,462	-19,461	-10,595	-0,801	-2,035	-0,658
49	2,00	Env_ELU	Min	-19,462	-16,486	-10,595	-0,801	-7,334	-6,855
49	2,50	Env_ELU	Min	-19,462	-13,510	-10,595	-0,801	-12,634	-14,539
50	0,00	Env_ELU	Max	2,310	-11,590	4,038	-0,066	5,278	-7,197
50	0,50	Env_ELU	Max	2,310	-8,614	4,038	-0,066	3,259	-2,145
50	1,00	Env_ELU	Max	2,310	-5,638	4,038	-0,066	1,239	1,557
50	1,50	Env_ELU	Max	2,310	-2,662	4,038	-0,066	0,321	13,933
50	2,00	Env_ELU	Max	2,310	0,314	4,038	-0,066	1,207	25,878



50	2,50	Env_ELU	Max	2,310	3,290	4,038	-0,066	2,093	33,296
50	0,00	Env_ELU	Min	-10,315	-55,567	-1,772	-0,590	-2,338	-49,060
50	0,50	Env_ELU	Min	-10,315	-46,516	-1,772	-0,590	-1,451	-23,536
50	1,00	Env_ELU	Min	-10,315	-37,464	-1,772	-0,590	-0,565	-2,985
50	1,50	Env_ELU	Min	-10,315	-28,412	-1,772	-0,590	-0,780	3,494
50	2,00	Env_ELU	Min	-10,315	-19,360	-1,772	-0,590	-2,799	4,081
50	2,50	Env_ELU	Min	-10,315	-11,872	-1,772	-0,590	-4,819	3,180
51	0,00	Env_ELU	Max	182,456	210,707	30,706	65,755	37,630	-50,281
51	0,49	Env_ELU	Max	182,456	212,391	31,894	65,755	53,070	-94,185
51	0,99	Env_ELU	Max	182,456	214,075	33,083	65,755	69,098	-138,922
51	1,48	Env_ELU	Max	182,456	215,758	34,271	65,755	85,713	-184,492
51	1,98	Env_ELU	Max	182,456	217,442	35,459	65,755	102,917	-230,895
51	0,00	Env_ELU	Min	-233,563	60,705	-30,612	-13,323	-28,251	-647,968
51	0,49	Env_ELU	Min	-233,563	62,389	-31,800	-13,323	-43,737	-740,841
51	0,99	Env_ELU	Min	-233,563	64,073	-32,988	-13,323	-59,812	-834,546
51	1,48	Env_ELU	Min	-233,563	65,756	-34,177	-13,323	-76,474	-929,084
51	1,98	Env_ELU	Min	-233,563	67,440	-35,365	-13,323	-93,724	-1024,455
52	0,00	Env_ELU	Max	243,634	68,556	20,380	1,060	143,249	173,397
52	3,48	Env_ELU	Max	255,235	68,556	20,380	1,060	72,430	-22,568
52	6,95	Env_ELU	Max	266,835	68,556	20,380	1,060	1,610	-20,033
52	0,00	Env_ELU	Min	-446,212	-2,280	-24,120	-0,635	-168,952	-35,876
52	3,48	Env_ELU	Min	-434,612	-2,280	-24,120	-0,635	-85,136	-64,835
52	6,95	Env_ELU	Min	-423,012	-2,280	-24,120	-0,635	-1,694	-303,067
53	0,00	Env_ELU	Max	184,886	176,844	25,930	44,928	10,239	91,633
53	0,49	Env_ELU	Max	184,886	178,528	27,118	44,928	13,887	57,478
53	0,99	Env_ELU	Max	184,886	180,211	28,307	44,928	27,474	22,491
53	1,48	Env_ELU	Max	184,886	181,895	29,495	44,928	41,650	-13,330
53	1,98	Env_ELU	Max	184,886	183,579	30,683	44,928	56,413	-49,983
53	0,00	Env_ELU	Min	-237,802	49,394	-25,680	-3,271	-9,366	-333,148
53	0,49	Env_ELU	Min	-237,802	51,077	-26,868	-3,271	-7,793	-410,532
53	0,99	Env_ELU	Min	-237,802	52,761	-28,056	-3,271	-21,505	-488,749
53	1,48	Env_ELU	Min	-237,802	54,445	-29,244	-3,271	-35,804	-567,799
53	1,98	Env_ELU	Min	-237,802	56,128	-30,432	-3,271	-50,691	-647,682
55	0,00	Env_ELU	Max	13,076	-4,585	0,480	-0,009	0,667	-1,341
55	0,50	Env_ELU	Max	13,076	-1,609	0,480	-0,009	0,427	1,328
55	1,00	Env_ELU	Max	13,077	1,367	0,480	-0,009	0,187	3,939
55	1,50	Env_ELU	Max	13,077	9,630	0,480	-0,009	0,590	3,226
55	2,00	Env_ELU	Max	13,077	18,681	0,480	-0,009	1,696	0,601
55	2,50	Env_ELU	Max	13,077	27,732	0,480	-0,009	2,814	-1,799

55	0,00	Env_ELU	Min	-1,276	-21,201	-2,236	-0,475	-2,777	-8,211
55	0,50	Env_ELU	Min	-1,276	-12,150	-2,236	-0,475	-1,659	-1,127
55	1,00	Env_ELU	Min	-1,276	-3,098	-2,236	-0,475	-0,541	0,267
55	1,50	Env_ELU	Min	-1,276	0,336	-2,236	-0,475	-0,084	-1,160
55	2,00	Env_ELU	Min	-1,276	3,312	-2,236	-0,475	-0,318	-6,365
55	2,50	Env_ELU	Min	-1,276	6,288	-2,236	-0,475	-0,553	-17,969
56	0,00	Env_ELU	Max	12,598	-7,105	1,203	-0,163	1,604	-3,969
56	0,50	Env_ELU	Max	12,598	-4,129	1,203	-0,163	1,002	-1,160
56	1,00	Env_ELU	Max	12,598	-1,154	1,203	-0,163	0,401	2,298
56	1,50	Env_ELU	Max	12,598	3,069	1,203	-0,163	1,011	5,580
56	2,00	Env_ELU	Max	12,598	12,119	1,203	-0,163	3,420	4,738
56	2,50	Env_ELU	Max	12,598	21,169	1,203	-0,163	5,828	4,176
56	0,00	Env_ELU	Min	-0,006	-29,991	-4,817	-1,056	-6,214	-19,042
56	0,50	Env_ELU	Min	-0,006	-20,940	-4,817	-1,056	-3,806	-6,309
56	1,00	Env_ELU	Min	-0,006	-11,890	-4,817	-1,056	-1,397	-0,267
56	1,50	Env_ELU	Min	-0,006	-4,394	-4,817	-1,056	-0,201	-0,008
56	2,00	Env_ELU	Min	-0,006	-1,419	-4,817	-1,056	-0,803	-1,662
56	2,50	Env_ELU	Min	-0,006	1,557	-4,817	-1,056	-1,404	-9,181
57	0,00	Env_ELU	Max	12,832	-10,604	1,821	-0,233	2,385	-7,316
57	0,50	Env_ELU	Max	12,831	-7,628	1,821	-0,233	1,474	-2,758
57	1,00	Env_ELU	Max	12,831	-4,653	1,821	-0,233	0,564	1,493
57	1,50	Env_ELU	Max	12,831	-1,677	1,821	-0,233	1,282	9,227
57	2,00	Env_ELU	Max	12,831	3,160	1,821	-0,233	4,577	14,170
57	2,50	Env_ELU	Max	12,831	12,210	1,821	-0,233	7,873	14,588
57	0,00	Env_ELU	Min	0,361	-41,561	-6,591	-1,307	-8,604	-32,750
57	0,50	Env_ELU	Min	0,361	-32,511	-6,591	-1,307	-5,309	-14,233
57	1,00	Env_ELU	Min	0,361	-23,461	-6,591	-1,307	-2,014	-1,452
57	1,50	Env_ELU	Min	0,361	-14,411	-6,591	-1,307	-0,347	1,895
57	2,00	Env_ELU	Min	0,361	-7,300	-6,591	-1,307	-1,257	1,989
57	2,50	Env_ELU	Min	0,361	-4,325	-6,591	-1,307	-2,168	0,597
58	0,00	Env_ELU	Max	18,952	-13,717	2,237	-0,236	2,895	-10,167
58	0,50	Env_ELU	Max	18,953	-10,741	2,237	-0,236	1,777	-4,052
58	1,00	Env_ELU	Max	18,953	-7,765	2,237	-0,236	0,658	1,056
58	1,50	Env_ELU	Max	18,954	-4,789	2,237	-0,236	1,208	12,647
58	2,00	Env_ELU	Max	18,954	-1,813	2,237	-0,236	4,521	22,916
58	2,50	Env_ELU	Max	18,955	4,066	2,237	-0,236	7,834	28,659
58	0,00	Env_ELU	Min	1,242	-52,216	-6,626	-1,145	-8,732	-45,316
58	0,50	Env_ELU	Min	1,242	-43,164	-6,626	-1,145	-5,419	-21,469
58	1,00	Env_ELU	Min	1,242	-34,113	-6,626	-1,145	-2,105	-2,623



58	1,50	Env_ELU	Min	1,242	-25,061	-6,626	-1,145	-0,460	3,677
58	2,00	Env_ELU	Min	1,243	-16,010	-6,626	-1,145	-1,579	5,330
58	2,50	Env_ELU	Min	1,243	-9,834	-6,626	-1,145	-2,697	5,494
61	0,00	Env_ELU	Max	175,586	388,334	2,148	0,711	13,538	-190,982
61	0,03	Env_ELU	Max	175,586	388,415	2,148	0,711	13,487	-191,080
61	0,00	Env_ELU	Min	-225,302	-157,958	-1,348	-1,085	-13,147	-829,824
61	0,03	Env_ELU	Min	-225,302	-157,877	-1,348	-1,085	-13,139	-835,093
63	0,00	Env_ELU	Max	12,075	-5,278	0,614	0,112	1,024	-2,775
63	0,50	Env_ELU	Max	12,075	-2,302	0,614	0,112	0,717	-0,220
63	1,00	Env_ELU	Max	12,075	0,673	0,614	0,112	0,410	3,818
63	1,50	Env_ELU	Max	12,075	6,971	0,614	0,112	0,442	4,017
63	2,00	Env_ELU	Max	12,075	16,022	0,614	0,112	1,324	0,743
63	2,50	Env_ELU	Max	12,075	25,073	0,614	0,112	2,222	-1,892
63	0,00	Env_ELU	Min	-10,665	-23,025	-1,795	-0,386	-2,265	-10,295
63	0,50	Env_ELU	Min	-10,665	-13,974	-1,795	-0,386	-1,368	-1,518
63	1,00	Env_ELU	Min	-10,665	-4,923	-1,795	-0,386	-0,526	-0,548
63	1,50	Env_ELU	Min	-10,665	0,730	-1,795	-0,386	0,007	-1,629
63	2,00	Env_ELU	Min	-10,665	3,705	-1,795	-0,386	-0,204	-4,959
63	2,50	Env_ELU	Min	-10,665	6,681	-1,795	-0,386	-0,512	-15,234
64	0,00	Env_ELU	Max	11,472	-6,863	0,298	0,008	0,527	-3,884
64	0,50	Env_ELU	Max	11,473	-3,887	0,298	0,008	0,378	-1,196
64	1,00	Env_ELU	Max	11,473	-0,912	0,298	0,008	0,229	2,653
64	1,50	Env_ELU	Max	11,473	2,661	0,298	0,008	0,884	5,758
64	2,00	Env_ELU	Max	11,473	11,712	0,298	0,008	3,023	4,419
64	2,50	Env_ELU	Max	11,473	20,762	0,298	0,008	5,162	2,459
64	0,00	Env_ELU	Min	-10,076	-28,998	-4,278	-0,854	-5,532	-17,375
64	0,50	Env_ELU	Min	-10,076	-19,948	-4,278	-0,854	-3,394	-5,139
64	1,00	Env_ELU	Min	-10,076	-10,897	-4,278	-0,854	-1,257	-0,316
64	1,50	Env_ELU	Min	-10,076	-2,619	-4,278	-0,854	0,080	-0,591
64	2,00	Env_ELU	Min	-10,076	0,357	-4,278	-0,854	-0,069	-2,353
64	2,50	Env_ELU	Min	-10,076	3,332	-4,278	-0,854	-0,219	-8,868
65	0,00	Env_ELU	Max	12,877	-8,241	0,483	0,000	0,699	-4,827
65	0,50	Env_ELU	Max	12,877	-5,266	0,483	0,000	0,458	-1,450
65	1,00	Env_ELU	Max	12,877	-2,290	0,483	0,000	0,216	1,973
65	1,50	Env_ELU	Max	12,877	0,685	0,483	0,000	1,205	8,162
65	2,00	Env_ELU	Max	12,877	6,425	0,483	0,000	4,424	10,763
65	2,50	Env_ELU	Max	12,877	15,475	0,483	0,000	7,642	8,839
65	0,00	Env_ELU	Min	-10,384	-36,878	-6,437	-1,242	-8,450	-26,791
65	0,50	Env_ELU	Min	-10,384	-27,828	-6,437	-1,242	-5,232	-10,615

65	1,00	Env_ELU	Min	-10,384	-18,778	-6,437	-1,242	-2,014	-0,711
65	1,50	Env_ELU	Min	-10,384	-9,727	-6,437	-1,242	-0,026	0,840
65	2,00	Env_ELU	Min	-10,384	-4,556	-6,437	-1,242	-0,267	-0,246
65	2,50	Env_ELU	Min	-10,384	-1,581	-6,437	-1,242	-0,509	-2,820
66	0,00	Env_ELU	Max	16,256	-6,623	2,188	0,028	2,853	-1,906
66	0,50	Env_ELU	Max	16,256	-3,647	2,188	0,028	1,759	0,662
66	1,00	Env_ELU	Max	16,256	-0,671	2,188	0,028	0,664	2,561
66	1,50	Env_ELU	Max	16,256	2,304	2,188	0,028	1,489	10,329
66	2,00	Env_ELU	Max	16,256	5,280	2,188	0,028	5,558	16,595
66	2,50	Env_ELU	Max	16,257	12,675	2,188	0,028	9,628	18,334
66	0,00	Env_ELU	Min	-11,190	-44,209	-8,138	-1,371	-10,720	-35,624
66	0,50	Env_ELU	Min	-11,189	-35,158	-8,138	-1,371	-6,650	-15,780
66	1,00	Env_ELU	Min	-11,189	-26,107	-8,138	-1,371	-2,581	-2,050
66	1,50	Env_ELU	Min	-11,189	-17,055	-8,138	-1,371	-0,430	1,333
66	2,00	Env_ELU	Min	-11,189	-9,936	-8,138	-1,371	-1,524	-0,563
66	2,50	Env_ELU	Min	-11,189	-6,961	-8,138	-1,371	-2,619	-3,947
67	0,00	Env_ELU	Max	186,218	144,396	21,163	32,357	25,402	289,643
67	0,49	Env_ELU	Max	186,218	146,080	22,352	32,357	14,637	217,783
67	0,99	Env_ELU	Max	186,218	147,763	23,540	32,357	6,744	145,694
67	1,48	Env_ELU	Max	186,218	149,447	24,728	32,357	12,458	119,148
67	1,98	Env_ELU	Max	186,218	151,131	25,916	32,357	24,895	91,769
67	0,00	Env_ELU	Min	-240,471	35,087	-20,978	2,294	-27,865	-101,049
67	0,49	Env_ELU	Min	-240,471	36,770	-22,167	2,294	-17,370	-142,551
67	0,99	Env_ELU	Min	-240,471	38,454	-23,355	2,294	-6,288	-205,198
67	1,48	Env_ELU	Min	-240,471	40,137	-24,543	2,294	-8,657	-268,678
67	1,98	Env_ELU	Min	-240,471	41,821	-25,731	2,294	-21,186	-332,991
68	0,00	Env_ELU	Max	186,837	112,743	16,413	22,317	36,609	519,441
68	0,49	Env_ELU	Max	186,837	114,426	17,601	22,317	28,194	463,243
68	0,99	Env_ELU	Max	186,837	116,110	18,789	22,317	19,192	406,211
68	1,48	Env_ELU	Max	186,837	117,794	19,977	22,317	9,602	348,347
68	1,98	Env_ELU	Max	186,837	119,477	21,165	22,317	4,525	289,649
68	0,00	Env_ELU	Min	-242,119	20,310	-16,222	3,285	-38,040	-14,826
68	0,49	Env_ELU	Min	-242,119	21,993	-17,410	3,285	-29,898	-33,593
68	0,99	Env_ELU	Min	-242,119	23,677	-18,598	3,285	-21,168	-55,233
68	1,48	Env_ELU	Min	-242,119	25,361	-19,787	3,285	-11,850	-77,706
68	1,98	Env_ELU	Min	-242,119	27,044	-20,975	3,285	-3,566	-101,012
69	0,00	Env_ELU	Max	186,994	81,764	11,660	14,492	41,897	687,903
69	0,49	Env_ELU	Max	186,994	83,447	12,848	14,492	35,834	647,032
69	0,99	Env_ELU	Max	186,994	85,131	14,036	14,492	29,183	605,328



69	1,48	Env_ELU	Max	186,994	86,815	15,224	14,492	21,944	562,791
69	1,98	Env_ELU	Max	186,994	88,498	16,413	14,492	14,117	519,421
69	0,00	Env_ELU	Min	-243,104	5,538	-11,469	2,268	-42,651	2,830
69	0,49	Env_ELU	Min	-243,104	7,221	-12,657	2,268	-36,861	-0,326
69	0,99	Env_ELU	Min	-243,104	8,905	-13,845	2,268	-30,482	-4,316
69	1,48	Env_ELU	Min	-243,104	10,589	-15,033	2,268	-23,516	-9,138
69	1,98	Env_ELU	Min	-243,104	12,272	-16,222	2,268	-15,961	-14,794
70	0,00	Env_ELU	Max	191,596	51,311	6,907	8,439	43,109	796,087
70	0,49	Env_ELU	Max	191,597	52,995	8,095	8,439	39,398	770,283
70	0,99	Env_ELU	Max	191,597	54,678	9,283	8,439	35,098	743,646
70	1,48	Env_ELU	Max	191,598	56,362	10,472	8,439	30,211	716,176
70	1,98	Env_ELU	Max	191,598	58,046	11,660	8,439	24,736	687,874
70	0,00	Env_ELU	Min	-243,659	-9,186	-6,716	-0,139	-43,415	-8,671
70	0,49	Env_ELU	Min	-243,659	-7,503	-7,904	-0,139	-39,976	-4,542
70	0,99	Env_ELU	Min	-243,659	-5,819	-9,093	-0,139	-35,949	-1,247
70	1,48	Env_ELU	Min	-243,659	-4,136	-10,281	-0,139	-31,335	1,216
70	1,98	Env_ELU	Min	-243,659	-2,452	-11,469	-0,139	-26,132	2,846
71	0,00	Env_ELU	Max	199,560	21,241	2,154	4,042	41,333	844,757
71	0,49	Env_ELU	Max	199,561	22,924	3,342	4,042	39,973	833,832
71	0,99	Env_ELU	Max	199,561	24,608	4,531	4,042	38,025	822,073
71	1,48	Env_ELU	Max	199,562	26,291	5,719	4,042	35,490	809,481
71	1,98	Env_ELU	Max	199,562	27,975	6,907	4,042	32,366	796,056
71	0,00	Env_ELU	Min	-243,935	-23,871	-1,963	-1,631	-41,336	-49,244
71	0,49	Env_ELU	Min	-243,935	-22,188	-3,152	-1,631	-40,248	-37,849
71	0,99	Env_ELU	Min	-243,935	-20,504	-4,340	-1,631	-38,573	-27,288
71	1,48	Env_ELU	Min	-243,935	-18,821	-5,528	-1,631	-36,309	-17,559
71	1,98	Env_ELU	Min	-243,935	-17,137	-6,716	-1,631	-33,458	-8,664
72	0,00	Env_ELU	Max	201,891	-7,158	3,149	1,830	37,102	834,426
72	0,49	Env_ELU	Max	201,892	-5,474	1,961	1,830	38,094	838,252
72	0,99	Env_ELU	Max	201,892	-3,791	0,772	1,830	38,497	841,244
72	1,48	Env_ELU	Max	201,893	-2,107	0,966	1,830	38,313	843,404
72	1,98	Env_ELU	Max	201,894	-0,423	2,154	1,830	37,541	844,731
72	0,00	Env_ELU	Min	-244,029	-38,561	-2,599	-2,601	-36,890	-118,891
72	0,49	Env_ELU	Min	-244,029	-36,877	-1,410	-2,601	-38,154	-100,229
72	0,99	Env_ELU	Min	-244,029	-35,193	-0,222	-2,601	-38,830	-82,400
72	1,48	Env_ELU	Min	-244,029	-33,510	-0,775	-2,601	-38,918	-65,404
72	1,98	Env_ELU	Min	-244,029	-31,826	-1,963	-2,601	-38,419	-49,240
73	0,00	Env_ELU	Max	198,555	-21,830	7,902	0,620	30,500	765,397
73	0,49	Env_ELU	Max	198,555	-20,146	6,713	0,620	33,843	783,899

73	0,99	Env_ELU	Max	198,556	-18,462	5,525	0,620	36,599	801,567
73	1,48	Env_ELU	Max	198,556	-16,779	4,337	0,620	38,766	818,403
73	1,98	Env_ELU	Max	198,557	-15,095	3,149	0,620	40,346	834,405
73	0,00	Env_ELU	Min	-244,007	-59,359	-7,351	-4,615	-30,123	-217,751
73	0,49	Env_ELU	Min	-244,007	-57,675	-6,163	-4,615	-33,739	-191,786
73	0,99	Env_ELU	Min	-244,007	-55,992	-4,975	-4,615	-36,766	-166,654
73	1,48	Env_ELU	Min	-244,007	-54,308	-3,787	-4,615	-39,206	-142,355
73	1,98	Env_ELU	Min	-244,007	-52,624	-2,599	-4,615	-41,058	-118,889
74	0,00	Env_ELU	Max	189,855	-36,355	12,654	0,160	21,175	637,810
74	0,49	Env_ELU	Max	189,856	-34,671	11,466	0,160	26,870	670,952
74	0,99	Env_ELU	Max	189,856	-32,988	10,278	0,160	31,977	703,261
74	1,48	Env_ELU	Max	189,857	-31,304	9,090	0,160	36,496	734,738
74	1,98	Env_ELU	Max	189,858	-29,621	7,902	0,160	40,427	765,381
74	0,00	Env_ELU	Min	-243,911	-89,471	-12,104	-8,200	-20,774	-346,131
74	0,49	Env_ELU	Min	-243,911	-87,787	-10,916	-8,200	-26,621	-312,787
74	0,99	Env_ELU	Min	-243,911	-86,104	-9,728	-8,200	-32,000	-280,275
74	1,48	Env_ELU	Min	-243,911	-84,420	-8,539	-8,200	-36,791	-248,597
74	1,98	Env_ELU	Min	-243,911	-82,736	-7,351	-8,200	-40,995	-217,752
75	0,00	Env_ELU	Max	184,374	-50,839	17,407	1,102	8,274	451,674
75	0,49	Env_ELU	Max	184,374	-49,156	16,219	1,102	16,320	499,454
75	0,99	Env_ELU	Max	184,374	-47,472	15,031	1,102	23,779	546,401
75	1,48	Env_ELU	Max	184,374	-45,789	13,842	1,102	30,649	592,515
75	1,98	Env_ELU	Max	184,374	-44,105	12,654	1,102	36,932	637,796
75	0,00	Env_ELU	Min	-243,767	-119,732	-16,857	-12,784	-7,898	-504,526
75	0,49	Env_ELU	Min	-243,767	-118,049	-15,669	-12,784	-16,039	-463,680
75	0,99	Env_ELU	Min	-243,767	-116,365	-14,480	-12,784	-23,652	-423,666
75	1,48	Env_ELU	Min	-243,767	-114,681	-13,292	-12,784	-30,794	-384,485
75	1,98	Env_ELU	Min	-243,767	-112,998	-12,104	-12,784	-37,349	-346,137
76	0,00	Env_ELU	Max	183,794	-65,360	22,160	4,355	10,576	206,907
76	0,49	Env_ELU	Max	183,794	-63,676	20,972	4,355	0,685	269,345
76	0,99	Env_ELU	Max	183,794	-61,992	19,784	4,355	10,487	330,950
76	1,48	Env_ELU	Max	183,794	-60,309	18,596	4,355	19,709	391,722
76	1,98	Env_ELU	Max	183,794	-58,625	17,407	4,355	28,344	451,661
76	0,00	Env_ELU	Min	-243,596	-150,251	-21,610	-19,102	-9,722	-693,626
76	0,49	Env_ELU	Min	-243,596	-148,567	-20,422	-19,102	-0,375	-645,107
76	0,99	Env_ELU	Min	-243,596	-146,884	-19,234	-19,102	-10,280	-597,421
76	1,48	Env_ELU	Min	-243,596	-145,200	-18,046	-19,102	-19,672	-550,568
76	1,98	Env_ELU	Min	-243,596	-143,516	-16,857	-19,102	-28,578	-504,548
77	0,00	Env_ELU	Max	183,245	-75,466	26,856	11,086	36,266	-87,825



77	0,49	Env_ELU	Max	183,245	-73,782	25,668	11,086	23,272	-19,499
77	0,99	Env_ELU	Max	183,245	-72,099	24,480	11,086	10,867	56,800
77	1,48	Env_ELU	Max	183,245	-70,415	23,291	11,086	1,213	132,265
77	1,98	Env_ELU	Max	183,245	-68,732	22,103	11,086	12,195	206,898
77	0,00	Env_ELU	Min	-243,412	-183,082	-26,356	-28,186	-35,262	-914,268
77	0,49	Env_ELU	Min	-243,412	-181,398	-25,167	-28,186	-22,516	-857,869
77	0,99	Env_ELU	Min	-243,412	-179,714	-23,979	-28,186	-10,358	-802,304
77	1,48	Env_ELU	Min	-243,412	-178,031	-22,791	-28,186	-0,997	-747,571
77	1,98	Env_ELU	Min	-243,412	-176,347	-21,603	-28,186	-12,181	-693,672
78	0,00	Env_ELU	Max	11,948	-7,614	7,297	0,109	9,061	-1,109
78	0,50	Env_ELU	Max	11,948	-4,576	7,297	0,109	5,412	1,939
78	1,00	Env_ELU	Max	11,948	-1,539	7,297	0,109	1,763	4,270
78	1,50	Env_ELU	Max	11,948	1,499	7,297	0,109	1,830	6,544
78	2,00	Env_ELU	Max	11,948	9,121	7,297	0,109	5,347	4,262
78	2,50	Env_ELU	Max	11,948	18,233	7,297	0,109	8,863	0,086
78	0,00	Env_ELU	Min	-26,382	-30,216	-7,033	-0,919	-8,718	-21,218
78	0,50	Env_ELU	Min	-26,382	-21,104	-7,033	-0,919	-5,202	-8,388
78	1,00	Env_ELU	Min	-26,382	-11,991	-7,033	-0,919	-1,686	-3,605
78	1,50	Env_ELU	Min	-26,382	-3,943	-7,033	-0,919	-1,930	-1,148
78	2,00	Env_ELU	Min	-26,382	-0,905	-7,033	-0,919	-5,534	-0,466
78	2,50	Env_ELU	Min	-26,382	2,133	-7,033	-0,919	-9,183	-3,198
79	0,00	Env_ELU	Max	34,980	-7,755	13,823	0,073	16,382	-1,436
79	0,50	Env_ELU	Max	34,980	-4,717	13,823	0,073	9,470	1,682
79	1,00	Env_ELU	Max	34,980	-1,679	13,823	0,073	2,559	3,281
79	1,50	Env_ELU	Max	34,980	1,359	13,823	0,073	2,641	6,001
79	2,00	Env_ELU	Max	34,980	5,669	13,823	0,073	7,208	5,444
79	2,50	Env_ELU	Max	34,980	14,782	13,823	0,073	11,775	2,356
79	0,00	Env_ELU	Min	-17,114	-36,033	-9,135	-0,369	-11,061	-30,773
79	0,50	Env_ELU	Min	-17,114	-26,921	-9,135	-0,369	-6,494	-15,034
79	1,00	Env_ELU	Min	-17,114	-17,808	-9,135	-0,369	-1,927	-5,788
79	1,50	Env_ELU	Min	-17,114	-8,695	-9,135	-0,369	-4,352	-1,776
79	2,00	Env_ELU	Min	-17,114	-3,878	-9,135	-0,369	-11,264	0,606
79	2,50	Env_ELU	Min	-17,114	-0,841	-9,135	-0,369	-18,175	-1,036
80	0,00	Env_ELU	Max	26,318	-7,140	36,739	2,644	43,943	-1,060
80	0,50	Env_ELU	Max	26,318	-4,102	36,739	2,644	25,571	1,752
80	1,00	Env_ELU	Max	26,318	-1,064	36,739	2,644	7,199	3,043
80	1,50	Env_ELU	Max	26,318	1,974	36,739	2,644	8,094	6,904
80	2,00	Env_ELU	Max	26,318	5,013	36,739	2,644	21,875	16,950
80	2,50	Env_ELU	Max	26,318	8,051	36,739	2,644	35,657	23,303

80	0,00	Env_ELU	Min	-23,046	-53,718	-27,559	-0,164	-33,251	-54,040
80	0,50	Env_ELU	Min	-23,046	-44,604	-27,559	-0,164	-19,469	-29,456
80	1,00	Env_ELU	Min	-23,046	-35,490	-27,559	-0,164	-5,688	-9,635
80	1,50	Env_ELU	Min	-23,046	-26,376	-27,559	-0,164	-11,174	0,728
80	2,00	Env_ELU	Min	-23,046	-17,261	-27,559	-0,164	-29,546	1,069
80	2,50	Env_ELU	Min	-23,046	-14,084	-27,559	-0,164	-47,918	-2,198
81	0,00	Env_ELU	Max	16,585	-7,794	24,069	1,173	28,000	-1,739
81	0,50	Env_ELU	Max	16,585	-4,756	24,069	1,173	15,964	1,399
81	1,00	Env_ELU	Max	16,585	-1,718	24,069	1,173	3,928	3,017
81	1,50	Env_ELU	Max	16,584	1,321	24,069	1,173	5,498	5,639
81	2,00	Env_ELU	Max	16,584	4,359	24,069	1,173	14,221	9,080
81	2,50	Env_ELU	Max	16,584	10,574	24,069	1,173	22,944	10,759
81	0,00	Env_ELU	Min	-17,039	-44,369	-17,444	-0,070	-20,671	-43,209
81	0,50	Env_ELU	Min	-17,039	-35,255	-17,444	-0,070	-11,948	-23,300
81	1,00	Env_ELU	Min	-17,040	-26,141	-17,444	-0,070	-3,225	-8,364
81	1,50	Env_ELU	Min	-17,040	-17,027	-17,444	-0,070	-8,108	-1,702
81	2,00	Env_ELU	Min	-17,040	-9,362	-17,444	-0,070	-20,144	1,179
81	2,50	Env_ELU	Min	-17,040	-6,324	-17,444	-0,070	-32,180	-1,243
82	0,00	Env_ELU	Max	-23,420	-16,740	20,931	2,429	145,934	-14,333
82	3,48	Env_ELU	Max	-11,820	-16,740	20,931	2,429	73,198	76,424
82	6,95	Env_ELU	Max	-0,219	-16,740	20,931	2,429	0,733	259,113
82	0,00	Env_ELU	Min	-735,565	-58,915	-24,176	-2,625	-169,160	-152,276
82	3,48	Env_ELU	Min	-723,965	-58,915	-24,176	-2,625	-85,148	14,348
82	6,95	Env_ELU	Min	-712,365	-58,915	-24,176	-2,625	-1,136	99,955
83	0,00	Env_ELU	Max	23,165	-23,051	10,804	6,284	13,186	-25,542
83	0,50	Env_ELU	Max	23,165	-20,013	10,804	6,284	7,783	-14,774
83	1,00	Env_ELU	Max	23,165	-16,975	10,804	6,284	2,380	-5,526
83	1,50	Env_ELU	Max	23,165	-13,936	10,804	6,284	0,625	6,234
83	2,00	Env_ELU	Max	23,165	-10,898	10,804	6,284	2,937	23,986
83	2,50	Env_ELU	Max	23,165	-7,860	10,804	6,284	5,248	38,356
83	0,00	Env_ELU	Min	-20,159	-66,711	-4,622	1,980	-6,309	-75,695
83	0,50	Env_ELU	Min	-20,159	-58,272	-4,622	1,980	-3,998	-44,444
83	1,00	Env_ELU	Min	-20,159	-49,833	-4,622	1,980	-1,686	-17,414
83	1,50	Env_ELU	Min	-20,160	-41,393	-4,622	1,980	-3,023	1,283
83	2,00	Env_ELU	Min	-20,160	-32,954	-4,622	1,980	-8,426	8,413
83	2,50	Env_ELU	Min	-20,160	-24,515	-4,622	1,980	-13,828	13,103
84	0,00	Env_ELU	Max	24,370	-17,101	10,052	4,594	11,359	-18,940
84	0,50	Env_ELU	Max	24,370	-14,063	10,052	4,594	6,332	-11,144
84	1,00	Env_ELU	Max	24,370	-11,025	10,052	4,594	1,306	-4,867



84	1,50	Env_ELU	Max	24,370	-7,987	10,052	4,594	0,905	0,637
84	2,00	Env_ELU	Max	24,370	-4,949	10,052	4,594	2,852	7,107
84	2,50	Env_ELU	Max	24,370	-0,259	10,052	4,594	4,798	11,157
84	0,00	Env_ELU	Min	-9,154	-47,132	-3,893	1,348	-4,935	-53,937
84	0,50	Env_ELU	Min	-9,154	-38,693	-3,893	1,348	-2,988	-32,479
84	1,00	Env_ELU	Min	-9,154	-30,254	-3,893	1,348	-1,042	-15,240
84	1,50	Env_ELU	Min	-9,154	-21,816	-3,893	1,348	-3,720	-3,298
84	2,00	Env_ELU	Min	-9,154	-13,377	-3,893	1,348	-8,747	2,380
84	2,50	Env_ELU	Min	-9,154	-7,134	-3,893	1,348	-13,773	4,439
85	0,00	Env_ELU	Max	13,588	-13,149	9,160	2,565	10,390	-14,592
85	0,50	Env_ELU	Max	13,588	-10,110	9,160	2,565	5,810	-8,622
85	1,00	Env_ELU	Max	13,588	-7,072	9,160	2,565	1,229	-4,145
85	1,50	Env_ELU	Max	13,588	-4,034	9,160	2,565	0,727	-1,187
85	2,00	Env_ELU	Max	13,588	-0,115	9,160	2,565	2,541	0,253
85	2,50	Env_ELU	Max	13,588	8,323	9,160	2,565	4,356	0,173
85	0,00	Env_ELU	Min	-6,234	-35,480	-3,629	0,617	-4,717	-40,590
85	0,50	Env_ELU	Min	-6,234	-27,041	-3,629	0,617	-2,903	-24,958
85	1,00	Env_ELU	Min	-6,234	-18,603	-3,629	0,617	-1,097	-13,546
85	1,50	Env_ELU	Min	-6,234	-10,164	-3,629	0,617	-3,351	-6,355
85	2,00	Env_ELU	Min	-6,234	-3,020	-3,629	0,617	-7,932	-3,622
85	2,50	Env_ELU	Min	-6,234	0,018	-3,629	0,617	-12,512	-4,643
86	0,00	Env_ELU	Max	10,392	-10,353	8,638	0,523	9,696	-10,676
86	0,50	Env_ELU	Max	10,392	-7,314	8,638	0,523	5,376	-6,151
86	1,00	Env_ELU	Max	10,393	-4,276	8,638	0,523	1,056	-2,987
86	1,50	Env_ELU	Max	10,393	-1,238	8,638	0,523	1,068	-1,341
86	2,00	Env_ELU	Max	10,393	5,687	8,638	0,523	3,801	-1,215
86	2,50	Env_ELU	Max	10,393	14,126	8,638	0,523	6,534	-2,608
86	0,00	Env_ELU	Min	-11,635	-28,466	-5,465	-0,075	-7,130	-31,206
86	0,50	Env_ELU	Min	-11,635	-20,027	-5,465	-0,075	-4,397	-19,081
86	1,00	Env_ELU	Min	-11,635	-11,587	-5,465	-0,075	-1,665	-11,176
86	1,50	Env_ELU	Min	-11,635	-3,148	-5,465	-0,075	-3,264	-7,492
86	2,00	Env_ELU	Min	-11,635	0,876	-5,465	-0,075	-7,583	-8,027
86	2,50	Env_ELU	Min	-11,635	3,914	-5,465	-0,075	-11,903	-12,786
87	0,00	Env_ELU	Max	19,427	-0,449	2,684	-1,062	3,185	5,261
87	0,50	Env_ELU	Max	19,427	2,589	2,684	-1,062	1,843	6,665
87	1,00	Env_ELU	Max	19,427	7,400	2,684	-1,062	0,501	5,084
87	1,50	Env_ELU	Max	19,426	15,839	2,684	-1,062	2,479	-0,665
87	2,00	Env_ELU	Max	19,426	24,278	2,684	-1,062	7,030	-5,643
87	2,50	Env_ELU	Max	19,426	32,717	2,684	-1,062	11,582	-10,441

87	0,00	Env_ELU	Min	1,563	-13,592	-9,102	-3,238	-11,176	-4,494
87	0,50	Env_ELU	Min	1,563	-5,153	-9,102	-3,238	-6,632	-1,836
87	1,00	Env_ELU	Min	1,563	1,315	-9,102	-3,238	-2,158	-1,824
87	1,50	Env_ELU	Min	1,563	4,353	-9,102	-3,238	-0,929	-3,332
87	2,00	Env_ELU	Min	1,563	7,391	-9,102	-3,238	-2,183	-11,111
87	2,50	Env_ELU	Min	1,563	10,430	-9,102	-3,238	-3,525	-25,019
88	0,00	Env_ELU	Max	11,317	5,623	1,352	-1,009	1,675	19,853
88	0,50	Env_ELU	Max	11,317	9,732	1,352	-1,009	0,999	17,097
88	1,00	Env_ELU	Max	11,317	18,171	1,352	-1,009	0,323	10,133
88	1,50	Env_ELU	Max	11,317	26,609	1,352	-1,009	3,049	-1,037
88	2,00	Env_ELU	Max	11,317	35,048	1,352	-1,009	8,256	-5,943
88	2,50	Env_ELU	Max	11,317	43,487	1,352	-1,009	13,463	-11,731
88	0,00	Env_ELU	Min	-3,156	-5,932	-10,413	-3,560	-12,572	2,015
88	0,50	Env_ELU	Min	-3,156	0,940	-10,413	-3,560	-7,365	2,304
88	1,00	Env_ELU	Min	-3,156	3,978	-10,413	-3,560	-2,158	1,008
88	1,50	Env_ELU	Min	-3,156	7,017	-10,413	-3,560	-0,353	-1,936
88	2,00	Env_ELU	Min	-3,156	10,055	-10,413	-3,560	-1,029	-16,491
88	2,50	Env_ELU	Min	-3,156	13,093	-10,413	-3,560	-1,705	-36,127
89	0,00	Env_ELU	Max	12,526	13,443	0,525	-0,821	0,712	36,515
89	0,50	Env_ELU	Max	12,526	21,882	0,525	-0,821	0,449	27,683
89	1,00	Env_ELU	Max	12,526	30,321	0,525	-0,821	0,186	14,648
89	1,50	Env_ELU	Max	12,526	38,759	0,525	-0,821	3,497	-0,506
89	2,00	Env_ELU	Max	12,526	47,198	0,525	-0,821	9,277	-6,033
89	2,50	Env_ELU	Max	12,526	55,636	0,525	-0,821	15,057	-13,079
89	0,00	Env_ELU	Min	-1,511	0,419	-11,559	-3,375	-13,843	6,959
89	0,50	Env_ELU	Min	-1,511	3,457	-11,559	-3,375	-8,063	5,990
89	1,00	Env_ELU	Min	-1,511	6,495	-11,559	-3,375	-2,283	3,501
89	1,50	Env_ELU	Min	-1,511	9,533	-11,559	-3,375	-0,076	-2,641
89	2,00	Env_ELU	Min	-1,511	12,571	-11,559	-3,375	-0,339	-24,132
89	2,50	Env_ELU	Min	-1,511	15,610	-11,559	-3,375	-0,602	-49,843
90	0,00	Env_ELU	Max	17,971	23,832	1,225	-0,628	1,558	49,912
90	0,50	Env_ELU	Max	17,971	32,271	1,225	-0,628	0,945	35,884
90	1,00	Env_ELU	Max	17,971	40,710	1,225	-0,628	0,333	17,658
90	1,50	Env_ELU	Max	17,971	49,149	1,225	-0,628	3,558	0,502
90	2,00	Env_ELU	Max	17,972	57,588	1,225	-0,628	9,151	-5,489
90	2,50	Env_ELU	Max	17,972	66,027	1,225	-0,628	14,743	-12,999
90	0,00	Env_ELU	Min	1,157	1,346	-11,183	-2,845	-13,219	9,359
90	0,50	Env_ELU	Min	1,157	4,384	-11,183	-2,845	-7,627	7,926
90	1,00	Env_ELU	Min	1,157	7,423	-11,183	-2,845	-2,034	4,974



90	1,50	Env_ELU	Min	1,157	10,461	-11,183	-2,845	-0,280	-4,832
90	2,00	Env_ELU	Min	1,157	13,499	-11,183	-2,845	-0,893	-31,521
90	2,50	Env_ELU	Min	1,157	16,537	-11,183	-2,845	-1,505	-62,429
91	0,00	Env_ELU	Max	2,940	24,410	7,581	-0,621	9,136	50,297
91	0,50	Env_ELU	Max	2,940	32,848	7,581	-0,621	5,346	35,982
91	1,00	Env_ELU	Max	2,940	41,286	7,581	-0,621	1,555	17,477
91	1,50	Env_ELU	Max	2,940	49,724	7,581	-0,621	3,105	2,549
91	2,00	Env_ELU	Max	2,940	58,162	7,581	-0,621	8,322	-0,078
91	2,50	Env_ELU	Max	2,940	66,599	7,581	-0,621	13,540	-4,224
91	0,00	Env_ELU	Min	-9,153	-5,378	-10,435	-1,999	-12,548	1,317
91	0,50	Env_ELU	Min	-9,153	-2,341	-10,435	-1,999	-7,331	3,246
91	1,00	Env_ELU	Min	-9,153	0,697	-10,435	-1,999	-2,113	3,657
91	1,50	Env_ELU	Min	-9,153	3,735	-10,435	-1,999	-2,235	-5,304
91	2,00	Env_ELU	Min	-9,153	6,773	-10,435	-1,999	-6,026	-32,275
91	2,50	Env_ELU	Min	-9,153	9,811	-10,435	-1,999	-9,816	-63,465
94	0,00	Env_ELU	Max	17,976	-1,350	4,266	1,723	4,899	10,089
94	0,50	Env_ELU	Max	17,976	1,625	4,266	1,723	2,766	13,252
94	1,00	Env_ELU	Max	17,976	7,467	4,266	1,723	0,633	12,073
94	1,50	Env_ELU	Max	17,976	16,517	4,266	1,723	0,811	6,745
94	2,00	Env_ELU	Max	17,976	25,568	4,266	1,723	1,885	-1,566
94	2,50	Env_ELU	Max	17,976	34,618	4,266	1,723	2,959	-6,672
94	0,00	Env_ELU	Min	-26,472	-12,152	-2,148	0,599	-2,411	3,865
94	0,50	Env_ELU	Min	-26,472	-3,102	-2,148	0,599	-1,337	4,641
94	1,00	Env_ELU	Min	-26,472	2,772	-2,148	0,599	-0,492	3,674
94	1,50	Env_ELU	Min	-26,472	5,748	-2,148	0,599	-1,725	0,809
94	2,00	Env_ELU	Min	-26,472	8,723	-2,148	0,599	-3,849	-4,952
94	2,50	Env_ELU	Min	-26,472	11,699	-2,148	0,599	-5,972	-19,999
95	0,00	Env_ELU	Max	15,024	-4,239	4,366	1,529	5,488	2,577
95	0,50	Env_ELU	Max	15,024	-1,263	4,366	1,529	3,305	8,661
95	1,00	Env_ELU	Max	15,024	1,730	4,366	1,529	1,122	10,279
95	1,50	Env_ELU	Max	15,024	10,781	4,366	1,529	0,302	7,544
95	2,00	Env_ELU	Max	15,024	19,831	4,366	1,529	1,256	0,288
95	2,50	Env_ELU	Max	15,024	28,882	4,366	1,529	2,211	-4,308
95	0,00	Env_ELU	Min	-10,261	-17,190	-1,909	0,542	-2,562	1,050
95	0,50	Env_ELU	Min	-10,261	-8,139	-1,909	0,542	-1,608	2,733
95	1,00	Env_ELU	Min	-10,261	0,751	-1,909	0,542	-0,653	2,857
95	1,50	Env_ELU	Min	-10,261	3,726	-1,909	0,542	-1,106	1,319
95	2,00	Env_ELU	Min	-10,261	6,702	-1,909	0,542	-3,243	-1,712
95	2,50	Env_ELU	Min	-10,261	9,677	-1,909	0,542	-5,426	-13,312

96	0,00	Env_ELU	Max	1,047	-5,898	4,096	1,270	5,082	-0,335
96	0,50	Env_ELU	Max	1,047	-2,923	4,096	1,270	3,034	5,657
96	1,00	Env_ELU	Max	1,047	0,053	4,096	1,270	0,986	8,865
96	1,50	Env_ELU	Max	1,047	7,520	4,096	1,270	0,314	7,589
96	2,00	Env_ELU	Max	1,047	16,570	4,096	1,270	1,123	1,788
96	2,50	Env_ELU	Max	1,047	25,621	4,096	1,270	1,932	-2,975
96	0,00	Env_ELU	Min	-1,416	-20,084	-1,618	0,467	-2,113	-2,695
96	0,50	Env_ELU	Min	-1,416	-11,033	-1,618	0,467	-1,304	1,322
96	1,00	Env_ELU	Min	-1,416	-1,983	-1,618	0,467	-0,495	2,107
96	1,50	Env_ELU	Min	-1,416	2,485	-1,618	0,467	-1,094	1,364
96	2,00	Env_ELU	Min	-1,416	5,461	-1,618	0,467	-3,110	-0,866
96	2,50	Env_ELU	Min	-1,416	8,436	-1,618	0,467	-5,158	-10,049
97	0,00	Env_ELU	Max	0,908	-6,379	3,368	0,978	4,220	-1,417
97	0,50	Env_ELU	Max	0,908	-3,404	3,368	0,978	2,536	3,923
97	1,00	Env_ELU	Max	0,908	-0,428	3,368	0,978	0,852	7,654
97	1,50	Env_ELU	Max	0,908	6,607	3,368	0,978	0,243	6,861
97	2,00	Env_ELU	Max	0,908	15,658	3,368	0,978	0,858	1,542
97	2,50	Env_ELU	Max	0,908	24,708	3,368	0,978	1,473	-2,598
97	0,00	Env_ELU	Min	-1,219	-21,039	-1,230	0,361	-1,601	-4,855
97	0,50	Env_ELU	Min	-1,219	-11,988	-1,230	0,361	-0,986	0,524
97	1,00	Env_ELU	Min	-1,219	-2,938	-1,230	0,361	-0,372	1,497
97	1,50	Env_ELU	Min	-1,219	1,933	-1,230	0,361	-0,875	0,983
97	2,00	Env_ELU	Min	-1,219	4,908	-1,230	0,361	-2,516	-1,019
97	2,50	Env_ELU	Min	-1,219	7,884	-1,230	0,361	-4,199	-10,052
98	0,00	Env_ELU	Max	35,472	36,406	2,153	-7,007	11,769	423,670
98	0,45	Env_ELU	Max	35,472	37,936	2,153	-7,007	13,378	407,711
98	0,90	Env_ELU	Max	35,472	39,466	2,153	-7,007	14,987	391,064
98	0,00	Env_ELU	Min	1,851	14,155	-4,112	-21,887	-3,218	195,729
98	0,45	Env_ELU	Min	1,447	15,685	-4,112	-21,887	-4,186	188,090
98	0,90	Env_ELU	Min	1,043	17,216	-4,112	-21,887	-5,154	179,762
99	0,00	Env_ELU	Max	35,440	39,466	1,949	-5,183	14,987	391,266
99	0,03	Env_ELU	Max	35,440	39,569	1,949	-5,183	15,097	390,120
99	0,00	Env_ELU	Min	1,045	17,216	-4,324	-17,918	-5,154	179,824
99	0,03	Env_ELU	Min	1,018	17,319	-4,324	-17,918	-5,214	179,238
100	0,00	Env_ELU	Max	35,438	39,569	1,936	-5,066	15,097	390,131
100	0,03	Env_ELU	Max	35,438	39,673	1,936	-5,066	15,206	388,981
100	0,00	Env_ELU	Min	1,018	17,319	-4,338	-17,664	-5,214	179,241
100	0,03	Env_ELU	Min	0,990	17,422	-4,338	-17,664	-5,272	178,652
101	0,00	Env_ELU	Max	35,434	39,673	1,910	-4,833	15,206	389,004



101	0,03	Env_ELU	Max	35,434	39,776	1,910	-4,833	15,317	387,851
101	0,00	Env_ELU	Min	0,990	17,422	-4,365	-17,157	-5,272	178,658
101	0,03	Env_ELU	Min	0,963	17,525	-4,365	-17,157	-5,330	178,066
102	0,00	Env_ELU	Max	35,427	39,776	1,871	-4,485	15,317	387,884
102	0,03	Env_ELU	Max	35,427	39,879	1,871	-4,485	15,427	386,728
102	0,00	Env_ELU	Min	0,963	17,525	-4,406	-16,398	-5,330	178,075
102	0,03	Env_ELU	Min	0,935	17,628	-4,406	-16,398	-5,387	177,480
103	0,00	Env_ELU	Max	35,418	39,879	1,818	-4,022	15,427	386,770
103	0,03	Env_ELU	Max	35,418	39,982	1,818	-4,022	15,537	385,611
103	0,00	Env_ELU	Min	0,936	17,628	-4,460	-15,390	-5,387	177,491
103	0,03	Env_ELU	Min	0,908	17,731	-4,460	-15,390	-5,442	176,893
104	0,00	Env_ELU	Max	35,407	39,982	1,753	-3,445	15,537	385,659
104	0,03	Env_ELU	Max	35,407	40,085	1,753	-3,445	15,649	384,497
104	0,00	Env_ELU	Min	0,909	17,731	-4,528	-14,133	-5,442	176,905
104	0,03	Env_ELU	Min	0,880	17,834	-4,528	-14,133	-5,495	176,303
105	0,00	Env_ELU	Max	35,393	40,085	1,674	-2,755	15,649	384,549
105	0,03	Env_ELU	Max	35,393	40,188	1,674	-2,755	15,760	383,384
105	0,00	Env_ELU	Min	0,882	17,834	-4,622	-12,628	-5,495	176,315
105	0,03	Env_ELU	Min	0,853	17,938	-4,622	-12,628	-5,546	175,711
106	0,00	Env_ELU	Max	35,375	40,188	1,582	-1,953	15,760	383,438
106	0,03	Env_ELU	Max	35,375	40,291	1,582	-1,953	15,872	382,270
106	0,00	Env_ELU	Min	0,855	17,938	-4,763	-10,878	-5,546	175,722
106	0,03	Env_ELU	Min	0,826	18,041	-4,769	-10,878	-5,594	175,114
107	0,00	Env_ELU	Max	35,354	40,291	1,478	-1,044	15,872	382,321
107	0,03	Env_ELU	Max	35,354	40,394	1,478	-1,044	15,985	381,150
107	0,00	Env_ELU	Min	0,828	18,041	-4,922	-9,188	-5,594	175,122
107	0,03	Env_ELU	Min	0,799	18,144	-4,928	-9,188	-5,638	174,511
108	0,00	Env_ELU	Max	35,333	40,394	1,373	-0,139	15,985	381,191
108	0,03	Env_ELU	Max	35,333	40,497	1,373	-0,139	16,099	380,016
108	0,00	Env_ELU	Min	0,800	18,144	-5,082	-8,193	-5,638	174,514
108	0,03	Env_ELU	Min	0,771	18,247	-5,088	-8,193	-5,680	173,900
109	0,00	Env_ELU	Max	35,313	40,497	1,281	0,655	16,099	380,044
109	0,03	Env_ELU	Max	35,313	40,601	1,281	0,655	16,213	378,866
109	0,00	Env_ELU	Min	0,773	18,247	-5,231	-7,321	-5,680	173,899
109	0,03	Env_ELU	Min	0,744	18,350	-5,238	-7,321	-5,719	173,282
110	0,00	Env_ELU	Max	35,295	40,601	1,203	1,507	16,213	378,884
110	0,03	Env_ELU	Max	35,295	40,704	1,203	1,507	16,327	377,703
110	0,00	Env_ELU	Min	0,745	18,350	-5,366	-6,575	-5,719	173,278
110	0,03	Env_ELU	Min	0,715	18,453	-5,373	-6,575	-5,755	172,658

111	0,00	Env_ELU	Max	35,280	40,704	1,137	2,708	16,327	377,713
111	0,03	Env_ELU	Max	35,280	40,807	1,137	2,708	16,443	376,529
111	0,00	Env_ELU	Min	0,717	18,453	-5,480	-5,955	-5,755	172,652
111	0,03	Env_ELU	Min	0,687	18,556	-5,487	-5,955	-5,790	172,029
112	0,00	Env_ELU	Max	35,268	40,807	1,084	3,665	16,443	376,534
112	0,03	Env_ELU	Max	35,268	40,910	1,084	3,665	16,558	375,347
112	0,00	Env_ELU	Min	0,688	18,556	-5,572	-5,461	-5,790	172,023
112	0,03	Env_ELU	Min	0,658	18,659	-5,579	-5,461	-5,823	171,397
113	0,00	Env_ELU	Max	35,258	40,910	1,045	4,380	16,558	375,349
113	0,03	Env_ELU	Max	35,258	41,013	1,045	4,380	16,674	374,159
113	0,00	Env_ELU	Min	0,659	18,659	-5,643	-5,091	-5,823	171,392
113	0,03	Env_ELU	Min	0,629	18,762	-5,650	-5,091	-5,854	170,762
114	0,00	Env_ELU	Max	35,252	41,013	1,019	4,856	16,674	374,159
114	0,03	Env_ELU	Max	35,252	41,116	1,019	4,856	16,790	372,966
114	0,00	Env_ELU	Min	0,630	18,762	-5,693	-4,846	-5,854	170,759
114	0,03	Env_ELU	Min	0,600	18,866	-5,700	-4,846	-5,885	170,126
115	0,00	Env_ELU	Max	35,249	41,116	1,006	5,092	16,790	372,966
115	0,03	Env_ELU	Max	35,249	41,219	1,006	5,092	16,905	371,769
115	0,00	Env_ELU	Min	0,600	18,866	-5,721	-4,723	-5,885	170,124
115	0,03	Env_ELU	Min	0,571	18,969	-5,728	-4,723	-5,916	169,488
116	0,00	Env_ELU	Max	41,612	55,786	3,881	14,142	16,890	372,003
116	0,09	Env_ELU	Max	41,647	56,102	3,881	14,142	17,179	367,134
116	0,18	Env_ELU	Max	41,681	56,419	3,881	14,142	17,469	362,237
116	0,00	Env_ELU	Min	2,879	21,623	-3,475	-0,766	-5,378	169,412
116	0,09	Env_ELU	Min	2,819	21,925	-3,424	-0,766	-5,623	167,045
116	0,18	Env_ELU	Min	2,760	22,226	-3,372	-0,766	-5,868	164,648
117	0,00	Env_ELU	Max	41,608	56,494	3,163	21,978	17,863	361,924
117	0,09	Env_ELU	Max	41,642	56,811	3,163	21,978	18,160	356,991
117	0,18	Env_ELU	Max	41,675	57,127	3,163	21,978	18,457	352,029
117	0,00	Env_ELU	Min	2,616	22,283	-3,368	3,324	-5,440	164,447
117	0,09	Env_ELU	Min	2,553	22,584	-3,312	3,324	-5,642	162,020
117	0,18	Env_ELU	Min	2,490	22,885	-3,256	3,324	-5,845	159,564
118	0,00	Env_ELU	Max	41,592	57,199	2,443	29,571	18,822	351,539
118	0,09	Env_ELU	Max	41,625	57,516	2,443	29,571	19,127	346,541
118	0,18	Env_ELU	Max	41,658	57,832	2,443	29,571	19,432	341,516
118	0,00	Env_ELU	Min	2,351	22,941	-3,305	7,320	-5,448	159,280
118	0,09	Env_ELU	Min	2,285	23,242	-3,305	7,320	-5,608	156,793
118	0,18	Env_ELU	Min	2,219	23,543	-3,305	7,320	-5,768	154,276
119	0,00	Env_ELU	Max	41,565	57,900	1,721	36,916	19,770	340,852



119	0,09	Env_ELU	Max	41,597	58,216	1,721	36,916	20,082	335,791
119	0,18	Env_ELU	Max	41,629	58,533	1,721	36,916	20,394	330,701
119	0,00	Env_ELU	Min	2,086	23,596	-3,386	11,218	-5,399	153,913
119	0,09	Env_ELU	Min	2,018	23,898	-3,386	11,218	-5,517	151,366
119	0,18	Env_ELU	Min	1,949	24,199	-3,386	11,218	-5,634	148,788
120	0,00	Env_ELU	Max	41,526	58,596	0,999	44,006	20,707	329,869
120	0,09	Env_ELU	Max	41,558	58,912	0,999	44,006	21,026	324,743
120	0,18	Env_ELU	Max	41,590	59,229	0,999	44,006	21,345	319,588
120	0,00	Env_ELU	Min	1,823	24,250	-3,464	15,015	-5,292	148,348
120	0,09	Env_ELU	Min	1,752	24,551	-3,464	15,015	-5,367	145,740
120	0,18	Env_ELU	Min	1,681	24,853	-3,464	15,015	-5,442	143,102
121	0,00	Env_ELU	Max	41,478	59,288	0,505	50,836	21,636	318,594
121	0,09	Env_ELU	Max	41,509	59,604	0,505	50,836	21,962	313,402
121	0,18	Env_ELU	Max	41,540	59,921	0,505	50,836	22,289	308,182
121	0,00	Env_ELU	Min	1,562	24,902	-3,541	18,705	-5,123	142,588
121	0,09	Env_ELU	Min	1,488	25,203	-3,541	18,705	-5,156	139,919
121	0,18	Env_ELU	Min	1,415	25,505	-3,541	18,705	-5,188	137,220
122	0,00	Env_ELU	Max	41,419	59,975	0,144	57,399	22,558	307,030
122	0,09	Env_ELU	Max	41,450	60,292	0,189	57,399	22,892	301,773
122	0,18	Env_ELU	Max	41,480	60,609	0,268	57,399	23,225	296,488
122	0,00	Env_ELU	Min	1,303	25,551	-3,800	22,284	-4,891	136,635
122	0,09	Env_ELU	Min	1,228	25,853	-3,800	22,284	-4,881	133,905
122	0,18	Env_ELU	Min	1,152	26,155	-3,800	22,284	-4,871	131,145
123	0,00	Env_ELU	Max	41,351	60,659	0,036	63,689	23,476	295,182
123	0,09	Env_ELU	Max	41,381	60,976	0,119	63,689	23,817	289,862
123	0,18	Env_ELU	Max	41,411	61,293	0,202	63,689	24,157	284,513
123	0,00	Env_ELU	Min	1,049	26,198	-4,323	25,748	-4,594	130,491
123	0,09	Env_ELU	Min	0,972	26,501	-4,323	25,748	-4,541	127,700
123	0,18	Env_ELU	Min	0,895	26,803	-4,323	25,748	-4,489	124,880
124	0,00	Env_ELU	Max	41,271	61,339	-0,024	69,695	24,647	283,062
124	0,09	Env_ELU	Max	41,301	61,656	0,063	69,695	25,093	277,682
124	0,18	Env_ELU	Max	41,330	61,973	0,151	69,695	25,539	272,275
124	0,00	Env_ELU	Min	0,800	26,844	-4,844	29,090	-4,231	124,161
124	0,09	Env_ELU	Min	0,721	27,146	-4,844	29,090	-4,135	121,220
124	0,18	Env_ELU	Min	0,642	27,448	-4,844	29,090	-4,040	118,217
125	0,00	Env_ELU	Max	74,577	-69,371	8,173	1,985	6,255	-34,886
125	0,27	Env_ELU	Max	74,577	-69,167	8,820	1,985	4,904	-16,222
125	0,54	Env_ELU	Max	74,577	-68,963	9,467	1,985	5,998	21,956
125	0,00	Env_ELU	Min	-118,607	-346,221	-12,268	-1,720	-5,866	-165,513

125	0,27	Env_ELU	Min	-118,607	-346,017	-12,915	-1,720	-4,558	-72,253
125	0,54	Env_ELU	Min	-118,607	-345,813	-13,562	-1,720	-4,546	-0,839
126	0,00	Env_ELU	Max	43,892	83,470	7,301	88,452	28,981	255,457
126	0,09	Env_ELU	Max	43,921	83,782	7,257	88,452	28,324	248,208
126	0,18	Env_ELU	Max	43,949	84,093	7,214	88,452	27,666	240,931
126	0,00	Env_ELU	Min	1,809	33,820	-1,366	37,409	-3,919	109,504
126	0,09	Env_ELU	Min	1,728	34,132	-1,269	37,409	-4,009	105,596
126	0,18	Env_ELU	Min	1,647	34,444	-1,172	37,409	-4,099	101,599
127	0,00	Env_ELU	Max	43,954	84,133	6,575	93,552	28,041	238,939
127	0,09	Env_ELU	Max	43,982	84,444	6,575	93,552	27,436	231,633
127	0,18	Env_ELU	Max	44,011	84,756	6,575	93,552	26,831	224,298
127	0,00	Env_ELU	Min	1,624	34,448	-1,372	40,032	-3,904	100,627
127	0,09	Env_ELU	Min	1,542	34,760	-1,270	40,032	-3,953	96,600
127	0,18	Env_ELU	Min	1,461	35,072	-1,168	40,032	-4,001	92,544
128	0,00	Env_ELU	Max	44,005	84,793	6,002	98,257	27,171	222,194
128	0,09	Env_ELU	Max	44,033	85,105	6,002	98,257	26,619	214,830
128	0,18	Env_ELU	Max	44,061	85,416	6,002	98,257	26,067	207,438
128	0,00	Env_ELU	Min	1,447	35,076	-1,362	42,335	-3,824	91,523
128	0,09	Env_ELU	Min	1,364	35,388	-1,255	42,335	-3,831	87,437
128	0,18	Env_ELU	Min	1,282	35,699	-1,148	42,335	-3,838	83,321
129	0,00	Env_ELU	Max	44,045	85,451	5,426	102,564	26,373	205,228
129	0,09	Env_ELU	Max	44,072	85,762	5,426	102,564	25,874	197,806
129	0,18	Env_ELU	Max	44,100	86,074	5,426	102,564	25,375	190,354
129	0,00	Env_ELU	Min	1,277	35,703	-1,337	44,458	-3,679	82,257
129	0,09	Env_ELU	Min	1,194	36,015	-1,225	44,458	-3,644	78,110
129	0,18	Env_ELU	Min	1,111	36,326	-1,113	44,458	-3,610	73,935
130	0,00	Env_ELU	Max	44,074	86,106	5,142	106,467	25,651	188,048
130	0,09	Env_ELU	Max	44,101	86,417	5,142	106,467	25,205	180,566
130	0,18	Env_ELU	Max	44,129	86,729	5,142	106,467	24,759	173,055
130	0,00	Env_ELU	Min	1,116	36,329	-1,297	46,402	-3,466	72,830
130	0,09	Env_ELU	Min	1,033	36,641	-1,180	46,402	-3,390	68,624
130	0,18	Env_ELU	Min	0,950	36,953	-1,063	46,402	-3,314	64,388
131	0,00	Env_ELU	Max	44,093	86,758	5,008	109,963	25,006	170,660
131	0,09	Env_ELU	Max	44,120	87,070	5,008	109,963	24,613	163,117
131	0,18	Env_ELU	Max	44,147	87,381	5,008	109,963	24,221	155,547
131	0,00	Env_ELU	Min	0,965	36,955	-1,278	48,165	-3,187	63,249
131	0,09	Env_ELU	Min	0,882	37,267	-1,278	48,165	-3,069	58,981
131	0,18	Env_ELU	Min	0,799	37,579	-1,278	48,165	-2,952	54,684
132	0,00	Env_ELU	Max	44,101	87,408	4,871	113,048	24,440	153,070



132	0,09	Env_ELU	Max	44,128	87,719	4,871	113,048	24,101	145,467
132	0,18	Env_ELU	Max	44,155	88,031	4,871	113,048	23,762	137,835
132	0,00	Env_ELU	Min	0,824	37,580	-1,727	49,744	-2,838	53,515
132	0,09	Env_ELU	Min	0,742	37,892	-1,727	49,744	-2,679	49,186
132	0,18	Env_ELU	Min	0,660	38,204	-1,727	49,744	-2,520	44,828
133	0,00	Env_ELU	Max	44,100	88,055	4,732	115,717	23,955	135,285
133	0,09	Env_ELU	Max	44,127	88,367	4,732	115,717	23,670	127,620
133	0,18	Env_ELU	Max	44,153	88,679	4,732	115,717	23,385	119,926
133	0,00	Env_ELU	Min	0,696	38,205	-2,177	51,134	-2,421	43,634
133	0,09	Env_ELU	Min	0,614	38,517	-2,177	51,134	-2,221	39,243
133	0,18	Env_ELU	Min	0,532	38,829	-2,177	51,134	-2,020	34,823
134	0,00	Env_ELU	Max	74,577	49,912	9,467	1,985	5,998	21,956
134	0,27	Env_ELU	Max	74,577	50,116	10,114	1,985	8,134	8,480
134	0,54	Env_ELU	Max	74,577	50,320	10,761	1,985	10,444	-1,031
134	0,00	Env_ELU	Min	-118,607	4,537	-13,562	-1,720	-4,546	-0,839
134	0,27	Env_ELU	Min	-118,607	4,741	-14,209	-1,720	-7,184	-2,089
134	0,54	Env_ELU	Min	-118,607	4,945	-14,857	-1,720	-9,996	-5,731
135	0,00	Env_ELU	Max	49,452	119,101	13,620	138,585	29,653	97,066
135	0,09	Env_ELU	Max	49,526	119,413	13,620	138,585	28,398	86,820
135	0,18	Env_ELU	Max	49,600	119,726	13,620	138,585	27,143	76,546
135	0,00	Env_ELU	Min	3,695	46,260	-0,862	57,052	-2,275	22,603
135	0,09	Env_ELU	Min	3,615	46,572	-0,721	57,052	-2,278	16,860
135	0,18	Env_ELU	Min	3,535	46,885	-0,580	57,052	-2,281	11,087
136	0,00	Env_ELU	Max	49,817	119,724	12,921	139,810	27,248	73,477
136	0,09	Env_ELU	Max	49,890	120,037	12,921	139,810	26,057	63,167
136	0,18	Env_ELU	Max	49,964	120,349	12,921	139,810	24,865	52,830
136	0,00	Env_ELU	Min	3,636	46,873	-0,717	57,811	-2,230	9,610
136	0,09	Env_ELU	Min	3,558	47,186	-0,571	57,811	-2,194	3,803
136	0,18	Env_ELU	Min	3,480	47,499	-0,425	57,811	-2,158	-2,034
137	0,00	Env_ELU	Max	50,164	120,347	12,216	140,469	24,935	49,732
137	0,09	Env_ELU	Max	50,237	120,659	12,216	140,469	23,809	39,811
137	0,18	Env_ELU	Max	50,309	120,972	12,216	140,469	22,683	34,228
137	0,00	Env_ELU	Min	3,590	47,487	-0,811	58,129	-2,126	-3,513
137	0,09	Env_ELU	Min	3,514	47,800	-0,811	58,129	-2,052	-9,378
137	0,18	Env_ELU	Min	3,437	48,113	-0,811	58,129	-1,977	-15,272
138	0,00	Env_ELU	Max	50,495	120,967	11,505	140,587	22,719	32,724
138	0,09	Env_ELU	Max	50,566	121,280	11,505	140,587	21,659	28,025
138	0,18	Env_ELU	Max	50,638	121,592	11,505	140,587	20,599	23,297
138	0,00	Env_ELU	Min	3,558	48,100	-1,231	58,163	-1,963	-16,746

138	0,09	Env_ELU	Min	3,484	48,413	-1,231	58,163	-1,850	-22,667
138	0,18	Env_ELU	Min	3,409	48,725	-1,231	58,163	-1,737	-28,618
139	0,00	Env_ELU	Max	50,810	121,585	10,788	140,268	20,603	21,782
139	0,09	Env_ELU	Max	50,880	121,897	10,788	140,268	19,610	17,029
139	0,18	Env_ELU	Max	50,951	122,209	10,788	140,268	18,616	12,248
139	0,00	Env_ELU	Min	3,542	48,712	-1,650	57,950	-1,741	-30,080
139	0,09	Env_ELU	Min	3,469	49,025	-1,650	57,950	-1,589	-36,059
139	0,18	Env_ELU	Min	3,396	49,337	-1,650	57,950	-1,437	-46,652
140	0,00	Env_ELU	Max	51,109	122,200	10,504	139,382	18,589	10,726
140	0,09	Env_ELU	Max	51,178	122,512	10,504	139,382	17,662	5,919
140	0,18	Env_ELU	Max	51,248	122,824	10,504	139,382	16,735	1,084
140	0,00	Env_ELU	Min	3,542	49,323	-2,069	57,488	-1,459	-49,692
140	0,09	Env_ELU	Min	3,472	49,635	-2,069	57,488	-1,268	-60,674
140	0,18	Env_ELU	Min	3,401	49,948	-2,069	57,488	-1,077	-71,686
141	0,00	Env_ELU	Max	51,391	122,812	10,218	137,928	16,676	-0,439
141	0,09	Env_ELU	Max	51,460	123,125	10,218	137,928	15,816	-5,301
141	0,18	Env_ELU	Max	51,528	123,437	10,218	137,928	14,956	-10,191
141	0,00	Env_ELU	Min	3,559	49,933	-2,486	56,775	-1,117	-74,693
141	0,09	Env_ELU	Min	3,491	50,245	-2,486	56,775	-0,888	-85,731
141	0,18	Env_ELU	Min	3,423	50,557	-2,486	56,775	-0,660	-96,976
142	0,00	Env_ELU	Max	51,658	123,422	9,927	135,904	14,864	-11,711
142	0,09	Env_ELU	Max	51,725	123,735	9,927	135,904	14,071	-16,628
142	0,18	Env_ELU	Max	51,792	124,047	9,927	135,904	13,278	-21,573
142	0,00	Env_ELU	Min	3,594	50,541	-2,902	55,809	-0,718	-100,028
142	0,09	Env_ELU	Min	3,529	50,854	-2,902	55,809	-0,451	-111,408
142	0,18	Env_ELU	Min	3,464	51,166	-2,902	55,809	-0,183	-122,817
143	0,00	Env_ELU	Max	51,908	124,030	9,631	133,473	13,152	-23,084
143	0,09	Env_ELU	Max	51,974	124,342	9,631	133,473	12,427	-28,057
143	0,18	Env_ELU	Max	52,040	124,654	9,631	133,473	11,703	-33,058
143	0,00	Env_ELU	Min	3,648	51,149	-3,317	54,588	-0,261	-125,813
143	0,09	Env_ELU	Min	3,585	51,461	-3,317	54,588	0,045	-137,250
143	0,18	Env_ELU	Min	3,523	51,774	-3,317	54,588	0,350	-148,717
144	0,00	Env_ELU	Max	-120,733	21,625	56,755	7,332	217,965	78,274
144	3,48	Env_ELU	Max	-109,132	21,625	56,755	7,332	20,740	12,483
144	6,95	Env_ELU	Max	-97,532	21,625	56,755	7,332	174,957	57,924
144	0,00	Env_ELU	Min	-349,523	-19,464	-54,113	-10,704	-227,984	-77,354
144	3,48	Env_ELU	Min	-337,922	-19,464	-54,113	-10,704	-46,180	-22,117
144	6,95	Env_ELU	Min	-326,322	-19,464	-54,113	-10,704	-176,485	-85,934
145	0,00	Env_ELU	Max	59,580	166,496	19,032	158,119	18,010	-49,239



145	0,09	Env_ELU	Max	59,643	166,809	19,032	158,119	16,256	-55,650
145	0,18	Env_ELU	Max	59,707	167,121	19,032	158,119	14,502	-62,089
145	0,00	Env_ELU	Min	8,619	62,545	-1,602	58,842	-0,502	-185,469
145	0,09	Env_ELU	Min	8,563	62,857	-1,602	58,842	-0,354	-200,829
145	0,18	Env_ELU	Min	8,508	63,170	-1,602	58,842	-0,206	-216,218
146	0,00	Env_ELU	Max	60,079	167,076	18,135	153,447	14,253	-63,809
146	0,09	Env_ELU	Max	60,141	167,389	18,135	153,447	12,581	-70,277
146	0,18	Env_ELU	Max	60,204	167,701	18,135	153,447	10,909	-76,773
146	0,00	Env_ELU	Min	8,803	63,134	-1,973	56,738	-0,351	-219,691
146	0,09	Env_ELU	Min	8,751	63,447	-1,973	56,738	-0,169	-235,112
146	0,18	Env_ELU	Min	8,698	63,760	-1,973	56,738	0,013	-250,563
147	0,00	Env_ELU	Max	60,551	167,657	17,230	148,018	10,600	-78,456
147	0,09	Env_ELU	Max	60,612	167,969	17,230	148,018	9,012	-84,974
147	0,18	Env_ELU	Max	60,673	168,282	17,230	148,018	7,424	-91,520
147	0,00	Env_ELU	Min	9,002	63,724	-2,343	54,326	-0,166	-253,915
147	0,09	Env_ELU	Min	8,953	64,037	-2,343	54,326	0,050	-269,383
147	0,18	Env_ELU	Min	8,905	64,349	-2,343	54,326	0,052	-284,878
148	0,00	Env_ELU	Max	61,007	168,234	16,411	141,837	7,063	-93,157
148	0,09	Env_ELU	Max	61,066	168,546	16,411	141,837	5,561	-99,721
148	0,18	Env_ELU	Max	61,126	168,858	16,411	141,837	4,286	-105,947
148	0,00	Env_ELU	Min	9,221	64,312	-2,712	51,605	-0,149	-288,091
148	0,09	Env_ELU	Min	9,177	64,624	-2,712	51,605	-0,666	-303,596
148	0,18	Env_ELU	Min	9,132	64,936	-2,712	51,605	-1,205	-319,129
149	0,00	Env_ELU	Max	61,453	168,805	15,920	134,909	3,818	-107,238
149	0,09	Env_ELU	Max	61,511	169,116	15,920	134,909	2,968	-113,222
149	0,18	Env_ELU	Max	61,569	169,428	15,920	134,909	2,551	-119,236
149	0,00	Env_ELU	Min	9,465	64,896	-3,079	48,577	-1,410	-322,184
149	0,09	Env_ELU	Min	9,425	65,208	-3,079	48,577	-1,897	-337,728
149	0,18	Env_ELU	Min	9,384	65,520	-3,079	48,577	-2,385	-353,301
150	0,00	Env_ELU	Max	61,891	169,369	15,422	127,467	2,294	-120,465
150	0,09	Env_ELU	Max	61,947	169,680	15,422	127,467	1,966	-126,498
150	0,18	Env_ELU	Max	62,004	169,992	15,422	127,467	1,638	-132,561
150	0,00	Env_ELU	Min	9,735	65,477	-3,444	45,243	-2,617	-356,182
150	0,09	Env_ELU	Min	9,698	65,789	-3,444	45,243	-3,052	-371,768
150	0,18	Env_ELU	Min	9,662	66,100	-3,444	45,243	-4,294	-387,381
151	0,00	Env_ELU	Max	62,320	169,926	14,916	119,898	1,351	-133,722
151	0,09	Env_ELU	Max	62,375	170,238	14,916	119,898	1,304	-139,806
151	0,18	Env_ELU	Max	62,430	170,549	14,916	119,898	1,653	-145,918
151	0,00	Env_ELU	Min	10,030	66,054	-3,807	41,603	-4,534	-390,073

151	0,09	Env_ELU	Min	9,998	66,366	-3,807	41,603	-5,904	-405,700
151	0,18	Env_ELU	Min	9,966	66,677	-3,807	41,603	-7,275	-421,357
152	0,00	Env_ELU	Max	62,740	170,477	14,404	111,633	1,319	-147,005
152	0,09	Env_ELU	Max	62,793	170,789	14,404	111,633	1,701	-153,138
152	0,18	Env_ELU	Max	62,847	171,100	14,404	111,633	2,084	-159,300
152	0,00	Env_ELU	Min	10,273	66,628	-4,167	37,657	-7,542	-423,843
152	0,09	Env_ELU	Min	10,246	66,939	-4,167	37,657	-8,865	-439,514
152	0,18	Env_ELU	Min	10,218	67,250	-4,167	37,657	-10,188	-455,214
153	0,00	Env_ELU	Max	74,577	-4,153	10,761	1,985	10,444	-1,031
153	0,27	Env_ELU	Max	74,577	-3,949	11,408	1,985	13,656	0,060
153	0,54	Env_ELU	Max	74,577	-3,745	12,055	1,985	17,921	2,957
153	0,00	Env_ELU	Min	-118,607	-15,237	-14,857	-1,720	-9,996	-5,731
153	0,27	Env_ELU	Min	-118,607	-15,033	-15,504	-1,720	-12,983	-1,708
153	0,54	Env_ELU	Min	-118,607	-14,829	-16,151	-1,720	-16,144	0,763
154	0,00	Env_ELU	Max	71,635	223,441	29,522	133,219	3,585	-175,497
154	0,09	Env_ELU	Max	71,686	223,752	29,522	133,219	2,943	-182,947
154	0,18	Env_ELU	Max	71,736	224,063	29,522	133,219	2,320	-190,426
154	0,00	Env_ELU	Min	13,065	81,000	-1,918	38,676	-7,096	-496,607
154	0,09	Env_ELU	Min	13,047	81,311	-1,918	38,676	-9,018	-517,133
154	0,18	Env_ELU	Min	13,029	81,622	-1,918	38,676	-10,958	-537,688
155	0,00	Env_ELU	Max	72,480	223,937	28,419	121,525	2,002	-191,473
155	0,09	Env_ELU	Max	72,529	224,247	28,419	121,525	1,473	-198,971
155	0,18	Env_ELU	Max	72,578	224,558	28,419	121,525	1,551	-206,499
155	0,00	Env_ELU	Min	13,355	81,532	-2,224	33,715	-11,374	-540,460
155	0,09	Env_ELU	Min	13,342	81,843	-2,224	33,715	-13,317	-561,031
155	0,18	Env_ELU	Min	13,329	82,154	-2,224	33,715	-15,280	-581,630
156	0,00	Env_ELU	Max	73,320	224,424	27,303	108,925	1,053	-207,439
156	0,09	Env_ELU	Max	73,368	224,735	27,303	108,925	1,285	-214,987
156	0,18	Env_ELU	Max	73,415	225,046	27,303	108,925	1,517	-222,563
156	0,00	Env_ELU	Min	13,681	82,058	-2,528	28,392	-15,744	-584,119
156	0,09	Env_ELU	Min	13,673	82,369	-2,528	28,392	-18,028	-604,737
156	0,18	Env_ELU	Min	13,665	82,680	-2,528	28,392	-20,481	-625,383
157	0,00	Env_ELU	Max	74,156	224,903	26,172	96,497	0,956	-223,391
157	0,09	Env_ELU	Max	74,202	225,214	26,172	96,497	1,216	-230,988
157	0,18	Env_ELU	Max	74,247	225,525	26,172	96,497	1,476	-238,614
157	0,00	Env_ELU	Min	14,042	82,580	-2,832	22,711	-21,493	-627,567
157	0,09	Env_ELU	Min	14,039	82,891	-2,832	22,711	-23,850	-648,233
157	0,18	Env_ELU	Min	14,037	83,202	-2,832	22,711	-26,208	-668,928
158	0,00	Env_ELU	Max	74,986	225,374	25,029	83,188	0,846	-239,320



158	0,09	Env_ELU	Max	75,030	225,685	25,029	83,188	1,134	-246,967
158	0,18	Env_ELU	Max	75,075	225,996	25,029	83,188	1,422	-254,644
158	0,00	Env_ELU	Min	14,439	83,096	-3,134	16,672	-27,340	-670,786
158	0,09	Env_ELU	Min	14,442	83,407	-3,134	16,672	-29,600	-691,503
158	0,18	Env_ELU	Min	14,445	83,718	-3,134	16,672	-31,861	-712,250
159	0,00	Env_ELU	Max	75,811	225,836	23,873	69,002	0,717	-255,220
159	0,09	Env_ELU	Max	75,854	226,147	23,873	69,002	1,033	-262,919
159	0,18	Env_ELU	Max	75,897	226,458	23,873	69,002	1,349	-270,646
159	0,00	Env_ELU	Min	14,873	83,608	-3,435	10,277	-33,122	-713,760
159	0,09	Env_ELU	Min	14,881	83,919	-3,435	10,277	-35,286	-734,530
159	0,18	Env_ELU	Min	14,889	84,230	-3,435	10,277	-37,449	-755,330
160	0,00	Env_ELU	Max	76,630	226,290	22,704	53,943	0,562	-271,085
160	0,09	Env_ELU	Max	76,672	226,601	22,704	53,943	0,906	-278,835
160	0,18	Env_ELU	Max	76,714	226,913	22,704	53,943	1,249	-286,614
160	0,00	Env_ELU	Min	15,343	84,114	-3,734	3,527	-38,850	-756,472
160	0,09	Env_ELU	Min	15,357	84,425	-3,734	3,527	-40,914	-777,297
160	0,18	Env_ELU	Min	15,371	84,736	-3,734	3,527	-42,979	-798,152
161	0,00	Env_ELU	Max	77,444	226,736	22,371	38,015	0,375	-286,908
161	0,09	Env_ELU	Max	77,484	227,047	22,592	38,015	0,746	-294,711
161	0,18	Env_ELU	Max	77,524	227,359	22,812	38,015	1,117	-302,542
161	0,00	Env_ELU	Min	15,850	84,615	-4,032	-3,576	-44,531	-798,904
161	0,09	Env_ELU	Min	15,869	84,926	-4,032	-3,576	-46,496	-819,787
161	0,18	Env_ELU	Min	15,889	85,238	-4,032	-3,576	-48,461	-840,699
162	0,00	Env_ELU	Max	78,251	227,173	22,562	22,772	0,149	-302,683
162	0,09	Env_ELU	Max	78,290	227,485	22,783	22,772	0,548	-310,538
162	0,18	Env_ELU	Max	78,329	227,797	23,004	22,772	0,946	-318,422
162	0,00	Env_ELU	Min	16,394	85,111	-4,327	-12,220	-50,176	-841,040
162	0,09	Env_ELU	Min	16,419	85,422	-4,327	-12,220	-52,040	-861,983
162	0,18	Env_ELU	Min	16,444	85,734	-4,327	-12,220	-53,904	-882,955
163	0,00	Env_ELU	Max	57,088	290,334	17,175	35,349	-3,246	-318,859
163	0,08	Env_ELU	Max	57,088	290,593	17,175	35,349	-2,847	-326,771
163	0,00	Env_ELU	Min	0,246	103,600	-5,231	-18,545	-51,309	-884,321
163	0,08	Env_ELU	Min	0,243	103,859	-5,231	-18,545	-52,299	-906,466
164	0,00	Env_ELU	Max	57,109	290,593	17,112	34,025	-2,847	-326,775
164	0,08	Env_ELU	Max	57,109	290,853	17,112	34,025	-2,447	-334,707
164	0,00	Env_ELU	Min	0,254	103,859	-5,248	-19,134	-52,299	-906,509
164	0,08	Env_ELU	Min	0,253	104,119	-5,248	-19,134	-53,283	-928,672
165	0,00	Env_ELU	Max	57,152	290,853	16,984	31,309	-2,447	-334,713
165	0,08	Env_ELU	Max	57,152	291,112	16,984	31,309	-2,044	-342,662

165	0,00	Env_ELU	Min	0,275	104,119	-5,282	-20,339	-53,283	-928,752
165	0,08	Env_ELU	Min	0,274	104,378	-5,282	-20,339	-54,253	-950,930
166	0,00	Env_ELU	Max	57,215	291,112	16,793	28,308	-2,044	-342,665
166	0,08	Env_ELU	Max	57,215	291,371	16,882	28,308	-1,638	-350,632
166	0,00	Env_ELU	Min	0,308	104,378	-5,334	-22,186	-54,253	-951,031
166	0,08	Env_ELU	Min	0,308	104,637	-5,334	-22,186	-55,203	-973,224
167	0,00	Env_ELU	Max	57,296	291,371	16,797	25,772	-1,638	-350,623
167	0,08	Env_ELU	Max	57,296	291,631	16,980	25,772	-1,226	-358,607
167	0,00	Env_ELU	Min	0,355	104,637	-5,403	-24,702	-55,203	-973,324
167	0,08	Env_ELU	Min	0,356	104,897	-5,403	-24,702	-56,127	-995,530
168	0,00	Env_ELU	Max	57,395	291,631	16,874	22,520	-1,226	-358,575
168	0,08	Env_ELU	Max	57,395	291,890	17,057	22,520	-0,808	-366,577
168	0,00	Env_ELU	Min	0,416	104,897	-5,489	-27,914	-56,127	-995,597
168	0,08	Env_ELU	Min	0,419	105,156	-5,489	-27,914	-57,017	-1017,816
169	0,00	Env_ELU	Max	57,509	291,890	16,927	18,520	-0,808	-366,506
169	0,08	Env_ELU	Max	57,509	292,149	17,110	18,520	-0,382	-374,526
169	0,00	Env_ELU	Min	0,493	105,156	-5,592	-31,848	-57,017	-1017,810
169	0,08	Env_ELU	Min	0,497	105,415	-5,606	-31,848	-57,868	-1040,042
170	0,00	Env_ELU	Max	57,635	292,149	16,957	13,739	-0,382	-374,399
170	0,08	Env_ELU	Max	57,635	292,408	17,139	13,739	0,052	-382,437
170	0,00	Env_ELU	Min	0,586	105,415	-6,040	-36,528	-57,868	-1039,913
170	0,08	Env_ELU	Min	0,592	105,674	-6,223	-36,528	-58,673	-1062,160
171	0,00	Env_ELU	Max	66,209	96,771	18,748	4,795	49,318	-62,401
171	0,27	Env_ELU	Max	66,209	97,689	18,101	4,795	44,350	-88,617
171	0,54	Env_ELU	Max	66,209	98,606	17,453	4,795	39,557	-115,081
171	0,00	Env_ELU	Min	-113,736	-555,156	-14,722	-3,134	-41,295	-1103,341
171	0,27	Env_ELU	Min	-113,736	-554,238	-14,075	-3,134	-37,413	-953,777
171	0,54	Env_ELU	Min	-113,736	-553,321	-13,427	-3,134	-33,705	-804,460
172	0,00	Env_ELU	Max	61,773	-93,001	7,855	68,784	2,076	-379,931
172	0,08	Env_ELU	Max	61,773	-92,742	7,673	68,784	1,485	-372,726
172	0,00	Env_ELU	Min	-16,180	-274,387	-29,264	11,814	-58,062	-1060,173
172	0,08	Env_ELU	Min	-16,169	-274,128	-29,082	11,814	-55,849	-1039,297
173	0,00	Env_ELU	Max	61,529	-92,742	7,127	57,230	1,485	-372,913
173	0,08	Env_ELU	Max	61,529	-92,483	6,945	57,230	0,950	-365,726
173	0,00	Env_ELU	Min	-16,448	-274,128	-29,159	7,270	-55,849	-1039,993
173	0,08	Env_ELU	Min	-16,435	-273,868	-28,977	7,270	-54,095	-1019,133
174	0,00	Env_ELU	Max	61,313	-92,483	6,476	47,525	0,950	-365,848
174	0,08	Env_ELU	Max	61,313	-92,224	6,295	47,525	0,464	-358,679
174	0,00	Env_ELU	Min	-16,670	-273,868	-29,041	3,458	-54,095	-1019,623



174	0,08	Env_ELU	Min	-16,655	-273,609	-28,859	3,458	-52,299	-998,777
175	0,00	Env_ELU	Max	61,129	-92,224	5,904	39,604	0,464	-358,755
175	0,08	Env_ELU	Max	61,129	-91,965	5,723	39,604	0,021	-351,604
175	0,00	Env_ELU	Min	-16,848	-273,609	-28,910	0,351	-52,299	-999,113
175	0,08	Env_ELU	Min	-16,832	-273,350	-28,729	0,351	-50,467	-978,280
176	0,00	Env_ELU	Max	60,980	-91,965	5,410	33,439	0,021	-351,647
176	0,08	Env_ELU	Max	60,980	-91,706	5,229	33,439	-0,385	-344,514
176	0,00	Env_ELU	Min	-16,985	-273,350	-28,768	-2,079	-50,467	-978,502
176	0,08	Env_ELU	Min	-16,968	-273,091	-28,587	-2,079	-48,608	-957,683
177	0,00	Env_ELU	Max	60,866	-91,706	4,995	30,468	-0,385	-344,537
177	0,08	Env_ELU	Max	60,866	-91,446	4,813	30,468	-0,758	-337,421
177	0,00	Env_ELU	Min	-17,081	-273,091	-28,616	-3,860	-48,608	-957,823
177	0,08	Env_ELU	Min	-17,062	-272,832	-28,434	-3,860	-46,727	-937,019
178	0,00	Env_ELU	Max	60,789	-91,446	4,657	28,767	-0,758	-337,432
178	0,08	Env_ELU	Max	60,789	-91,187	4,476	28,767	-0,451	-330,335
178	0,00	Env_ELU	Min	-17,137	-272,832	-28,453	-5,020	-46,727	-937,100
178	0,08	Env_ELU	Min	-17,118	-272,572	-28,272	-5,020	-44,832	-916,311
179	0,00	Env_ELU	Max	60,750	-91,187	4,398	27,935	-0,451	-330,339
179	0,08	Env_ELU	Max	60,750	-90,927	4,217	27,935	0,006	-323,261
179	0,00	Env_ELU	Min	-17,155	-272,572	-28,282	-5,586	-44,832	-916,348
179	0,08	Env_ELU	Min	-17,136	-272,313	-28,114	-5,586	-42,930	-895,577
180	0,00	Env_ELU	Max	40,220	-81,556	13,312	50,256	1,204	-323,230
180	0,07	Env_ELU	Max	40,224	-81,307	13,138	50,256	0,231	-317,239
180	0,15	Env_ELU	Max	40,229	-81,058	12,965	50,256	0,060	-311,266
180	0,00	Env_ELU	Min	-36,626	-217,417	-25,012	4,321	-43,480	-896,753
180	0,07	Env_ELU	Min	-36,575	-217,168	-24,839	4,321	-42,200	-880,768
180	0,15	Env_ELU	Min	-36,524	-216,919	-24,665	4,321	-41,319	-864,801
181	0,00	Env_ELU	Max	40,647	-80,994	12,070	35,160	-0,827	-311,272
181	0,07	Env_ELU	Max	40,648	-80,745	11,898	35,160	-0,602	-305,322
181	0,15	Env_ELU	Max	40,648	-80,496	11,725	35,160	-0,377	-299,391
181	0,00	Env_ELU	Min	-36,678	-216,889	-24,685	-1,537	-42,809	-865,478
181	0,07	Env_ELU	Min	-36,624	-216,640	-24,513	-1,537	-41,859	-849,532
181	0,15	Env_ELU	Min	-36,571	-216,391	-24,340	-1,537	-40,908	-833,605
182	0,00	Env_ELU	Max	41,024	-80,436	10,828	23,806	-1,198	-299,301
182	0,07	Env_ELU	Max	41,021	-80,187	10,656	23,806	-0,975	-293,397
182	0,15	Env_ELU	Max	41,019	-79,939	10,485	23,806	-0,752	-287,510
182	0,00	Env_ELU	Min	-36,737	-216,360	-24,353	-7,171	-42,291	-834,014
182	0,07	Env_ELU	Min	-36,681	-216,112	-24,182	-7,171	-41,272	-818,117
182	0,15	Env_ELU	Min	-36,625	-215,863	-24,010	-7,171	-40,253	-802,238

183	0,00	Env_ELU	Max	41,361	-79,880	9,585	15,711	-1,515	-287,329
183	0,07	Env_ELU	Max	41,355	-79,632	9,415	15,711	-1,294	-281,470
183	0,15	Env_ELU	Max	41,349	-79,383	9,245	15,711	-1,073	-275,628
183	0,00	Env_ELU	Min	-36,791	-215,832	-24,017	-12,578	-41,536	-802,390
183	0,07	Env_ELU	Min	-36,733	-215,583	-23,846	-12,578	-40,449	-786,542
183	0,15	Env_ELU	Min	-36,674	-215,334	-23,676	-12,578	-39,363	-770,713
184	0,00	Env_ELU	Max	41,662	-79,326	8,344	7,925	-1,781	-275,360
184	0,07	Env_ELU	Max	41,652	-79,077	8,175	7,925	-1,562	-269,545
184	0,15	Env_ELU	Max	41,643	-78,829	8,006	7,925	-1,344	-263,748
184	0,00	Env_ELU	Min	-36,837	-215,302	-23,676	-23,514	-40,551	-770,619
184	0,07	Env_ELU	Min	-36,776	-215,054	-23,507	-23,514	-39,398	-754,820
184	0,15	Env_ELU	Min	-36,715	-214,805	-23,338	-23,514	-38,244	-739,040
185	0,00	Env_ELU	Max	41,926	-78,772	7,104	0,448	-1,999	-263,397
185	0,07	Env_ELU	Max	41,913	-78,524	6,937	0,448	-1,782	-257,626
185	0,15	Env_ELU	Max	41,900	-78,275	6,769	0,448	-1,566	-251,872
185	0,00	Env_ELU	Min	-36,873	-214,773	-23,332	-34,776	-39,344	-738,709
185	0,07	Env_ELU	Min	-36,810	-214,525	-23,165	-34,776	-38,123	-722,958
185	0,15	Env_ELU	Min	-36,747	-214,276	-22,997	-34,776	-36,903	-707,224
186	0,00	Env_ELU	Max	42,153	-78,219	5,867	-6,721	-2,172	-251,442
186	0,07	Env_ELU	Max	42,137	-77,971	5,701	-6,721	-1,958	-245,714
186	0,15	Env_ELU	Max	42,121	-77,722	5,534	-6,721	-1,744	-240,004
186	0,00	Env_ELU	Min	-36,901	-214,244	-22,985	-45,539	-37,919	-706,668
186	0,07	Env_ELU	Min	-36,836	-213,995	-22,819	-45,539	-36,632	-690,962
186	0,15	Env_ELU	Min	-36,770	-213,747	-22,653	-45,539	-35,345	-675,274
187	0,00	Env_ELU	Max	42,344	-77,667	4,632	-13,581	-2,303	-239,498
187	0,07	Env_ELU	Max	42,325	-77,418	4,468	-13,581	-2,092	-233,812
187	0,15	Env_ELU	Max	42,307	-77,170	4,303	-13,581	-1,880	-228,145
187	0,00	Env_ELU	Min	-36,921	-213,714	-22,635	-55,802	-36,282	-674,503
187	0,07	Env_ELU	Min	-36,853	-213,466	-22,470	-55,802	-34,929	-658,841
187	0,15	Env_ELU	Min	-36,785	-213,218	-22,306	-55,802	-33,576	-643,198
188	0,00	Env_ELU	Max	42,500	-77,116	3,401	-20,133	-2,396	-227,568
188	0,07	Env_ELU	Max	42,478	-76,868	3,238	-20,133	-2,187	-221,924
188	0,15	Env_ELU	Max	42,456	-76,619	3,075	-20,133	-1,977	-216,298
188	0,00	Env_ELU	Min	-36,932	-213,185	-22,282	-65,564	-34,439	-642,222
188	0,07	Env_ELU	Min	-36,861	-212,936	-22,119	-65,564	-33,020	-626,603
188	0,15	Env_ELU	Min	-36,791	-212,688	-21,956	-65,564	-31,655	-611,002
189	0,00	Env_ELU	Max	42,620	-76,567	2,174	-26,378	-2,452	-215,654
189	0,07	Env_ELU	Max	42,595	-76,318	2,013	-26,378	-2,246	-210,052
189	0,15	Env_ELU	Max	42,570	-76,070	1,851	-26,378	-2,039	-204,467



189	0,00	Env_ELU	Min	-36,934	-212,655	-21,928	-74,832	-32,432	-609,831
189	0,07	Env_ELU	Min	-36,861	-212,407	-21,766	-74,832	-31,006	-594,254
189	0,15	Env_ELU	Min	-36,789	-212,158	-21,605	-74,832	-29,580	-578,695
190	0,00	Env_ELU	Max	42,704	-76,019	0,951	-32,314	-2,475	-203,759
190	0,07	Env_ELU	Max	42,677	-75,770	0,792	-32,314	-2,271	-198,197
190	0,15	Env_ELU	Max	42,649	-75,522	0,632	-32,314	-1,687	-192,653
190	0,00	Env_ELU	Min	-36,928	-212,125	-21,697	-84,107	-30,294	-577,340
190	0,07	Env_ELU	Min	-36,853	-211,877	-21,626	-84,107	-28,795	-561,803
190	0,15	Env_ELU	Min	-36,778	-211,629	-21,555	-84,107	-27,297	-546,284
191	0,00	Env_ELU	Max	66,209	227,594	17,453	4,795	39,557	-115,081
191	0,27	Env_ELU	Max	66,209	228,511	16,806	4,795	34,938	-143,755
191	0,54	Env_ELU	Max	66,209	229,429	16,158	4,795	30,494	-143,998
191	0,00	Env_ELU	Min	-113,736	-336,679	-13,427	-3,134	-33,705	-804,460
191	0,27	Env_ELU	Min	-113,736	-335,762	-12,780	-3,134	-30,172	-713,805
191	0,54	Env_ELU	Min	-113,736	-334,844	-12,132	-3,134	-26,814	-653,342
192	0,00	Env_ELU	Max	45,387	-60,949	6,338	-19,112	-3,511	-180,060
192	0,07	Env_ELU	Max	45,354	-60,700	6,183	-19,112	-3,232	-175,602
192	0,15	Env_ELU	Max	45,320	-60,452	6,027	-19,112	-2,953	-171,162
192	0,00	Env_ELU	Min	-41,499	-157,696	-18,946	-67,872	-30,494	-514,249
192	0,07	Env_ELU	Min	-41,420	-157,448	-18,791	-67,872	-29,536	-502,700
192	0,15	Env_ELU	Min	-41,341	-157,200	-18,635	-67,872	-28,578	-491,169
193	0,00	Env_ELU	Max	45,486	-60,417	5,117	-24,223	-3,320	-170,455
193	0,07	Env_ELU	Max	45,450	-60,169	4,963	-24,223	-3,048	-166,035
193	0,15	Env_ELU	Max	45,414	-59,920	4,810	-24,223	-2,622	-161,633
193	0,00	Env_ELU	Min	-41,545	-157,176	-18,467	-75,264	-29,179	-490,113
193	0,07	Env_ELU	Min	-41,464	-156,928	-18,313	-75,264	-28,246	-478,601
193	0,15	Env_ELU	Min	-41,383	-156,680	-18,160	-75,264	-27,332	-467,106
194	0,00	Env_ELU	Max	45,552	-59,887	3,900	-29,099	-3,038	-160,874
194	0,07	Env_ELU	Max	45,513	-59,638	3,749	-29,099	-1,913	-156,492
194	0,15	Env_ELU	Max	45,475	-59,390	3,597	-29,099	-0,800	-152,129
194	0,00	Env_ELU	Min	-41,579	-156,656	-17,987	-82,274	-27,878	-465,901
194	0,07	Env_ELU	Min	-41,495	-156,408	-17,836	-82,274	-26,899	-454,424
194	0,15	Env_ELU	Min	-41,412	-156,159	-17,684	-82,274	-25,921	-442,964
195	0,00	Env_ELU	Max	45,586	-59,357	2,688	-33,740	-1,189	-151,321
195	0,07	Env_ELU	Max	45,545	-59,108	2,538	-33,740	-0,129	-146,977
195	0,15	Env_ELU	Max	45,504	-58,860	2,389	-33,740	0,919	-142,650
195	0,00	Env_ELU	Min	-41,600	-156,136	-17,559	-88,901	-26,427	-441,617
195	0,07	Env_ELU	Min	-41,514	-155,887	-17,492	-88,901	-25,385	-430,174
195	0,15	Env_ELU	Min	-41,429	-155,639	-17,426	-88,901	-24,343	-418,749

196	0,00	Env_ELU	Max	45,588	-58,828	1,481	-38,147	0,555	-141,798
196	0,07	Env_ELU	Max	45,544	-58,580	1,334	-38,147	1,549	-137,248
196	0,15	Env_ELU	Max	45,501	-58,331	1,187	-38,147	2,532	-132,645
196	0,00	Env_ELU	Min	-41,609	-155,615	-17,609	-95,146	-24,813	-417,268
196	0,07	Env_ELU	Min	-41,521	-155,367	-17,544	-95,146	-23,707	-405,858
196	0,15	Env_ELU	Min	-41,434	-155,118	-17,478	-95,146	-22,602	-394,467
197	0,00	Env_ELU	Max	45,558	-58,301	0,280	-42,133	2,192	-131,819
197	0,07	Env_ELU	Max	45,512	-58,052	0,135	-42,133	3,120	-127,234
197	0,15	Env_ELU	Max	45,467	-57,803	-0,010	-42,133	4,038	-122,669
197	0,00	Env_ELU	Min	-41,605	-155,095	-17,657	-101,007	-23,038	-392,858
197	0,07	Env_ELU	Min	-41,516	-154,846	-17,592	-101,007	-21,868	-381,481
197	0,15	Env_ELU	Min	-41,426	-154,597	-17,528	-101,007	-20,699	-370,122
198	0,00	Env_ELU	Max	45,497	-57,774	-0,915	-45,427	3,721	-121,802
198	0,07	Env_ELU	Max	45,449	-57,525	-1,057	-45,427	4,584	-117,254
198	0,15	Env_ELU	Max	45,402	-57,276	-1,200	-45,427	5,437	-112,725
198	0,00	Env_ELU	Min	-41,589	-154,574	-17,702	-106,485	-21,103	-368,394
198	0,07	Env_ELU	Min	-41,498	-154,325	-17,639	-106,485	-20,079	-357,048
198	0,15	Env_ELU	Min	-41,407	-154,076	-17,575	-106,485	-19,239	-345,721
199	0,00	Env_ELU	Max	45,405	-57,249	-2,103	-48,507	5,141	-111,820
199	0,07	Env_ELU	Max	45,356	-56,999	-2,243	-48,507	5,939	-107,309
199	0,15	Env_ELU	Max	45,306	-56,750	-2,383	-48,507	6,727	-102,816
199	0,00	Env_ELU	Min	-41,561	-154,053	-18,302	-111,579	-19,642	-343,880
199	0,07	Env_ELU	Min	-41,468	-153,804	-18,302	-111,579	-18,732	-332,565
199	0,15	Env_ELU	Min	-41,375	-153,554	-18,302	-111,579	-17,817	-321,268
200	0,00	Env_ELU	Max	45,283	-56,724	-3,110	-51,372	6,450	-101,877
200	0,07	Env_ELU	Max	45,231	-56,474	-3,110	-51,372	7,184	-97,401
200	0,15	Env_ELU	Max	45,180	-56,225	-3,110	-51,372	7,907	-92,945
200	0,00	Env_ELU	Min	-41,521	-153,531	-19,029	-116,288	-18,190	-319,324
200	0,07	Env_ELU	Min	-41,426	-153,282	-19,029	-116,288	-17,205	-308,038
200	0,15	Env_ELU	Min	-41,331	-153,032	-19,029	-116,288	-16,215	-296,771
201	0,00	Env_ELU	Max	45,133	-56,199	-3,019	-53,899	7,652	-91,975
201	0,07	Env_ELU	Max	45,080	-55,949	-3,019	-53,899	8,321	-87,537
201	0,15	Env_ELU	Max	45,026	-55,700	-3,019	-53,899	8,980	-83,119
201	0,00	Env_ELU	Min	-41,465	-153,009	-19,751	-120,612	-16,554	-294,730
201	0,07	Env_ELU	Min	-41,369	-152,760	-19,751	-120,612	-15,723	-283,479
201	0,15	Env_ELU	Min	-41,273	-152,510	-19,751	-120,612	-15,380	-272,246
202	0,00	Env_ELU	Max	44,958	-55,673	-2,926	-55,377	8,747	-82,122
202	0,07	Env_ELU	Max	44,903	-55,424	-2,926	-55,377	9,351	-77,725
202	0,15	Env_ELU	Max	44,848	-55,175	-2,926	-55,377	9,945	-73,348



202	0,00	Env_ELU	Min	-41,392	-152,487	-20,467	-124,753	-15,484	-270,117
202	0,07	Env_ELU	Min	-41,294	-152,237	-20,467	-124,753	-15,066	-258,909
202	0,15	Env_ELU	Min	-41,196	-151,988	-20,467	-124,753	-14,638	-247,718
203	0,00	Env_ELU	Max	66,209	-266,531	16,158	4,795	30,494	-143,998
203	0,27	Env_ELU	Max	66,209	-265,614	15,510	4,795	26,225	-72,257
203	0,54	Env_ELU	Max	66,209	-264,696	14,863	4,795	22,130	-0,762
203	0,00	Env_ELU	Min	-113,736	-1206,981	-12,132	-3,134	-26,814	-653,342
203	0,27	Env_ELU	Min	-113,736	-1206,064	-11,485	-3,134	-23,630	-328,025
203	0,54	Env_ELU	Min	-113,736	-1205,146	-10,837	-3,134	-20,620	-2,956
204	0,00	Env_ELU	Max	45,358	-43,173	1,700	-43,845	4,378	-63,376
204	0,07	Env_ELU	Max	45,300	-42,924	1,573	-43,845	5,199	-60,176
204	0,15	Env_ELU	Max	45,242	-42,674	1,446	-43,845	6,011	-56,995
204	0,00	Env_ELU	Min	-45,756	-107,532	-13,122	-107,307	-15,993	-223,656
204	0,07	Env_ELU	Min	-45,655	-107,282	-13,066	-107,307	-15,550	-215,758
204	0,15	Env_ELU	Min	-45,555	-107,033	-13,010	-107,307	-15,103	-207,878
205	0,00	Env_ELU	Max	45,270	-42,661	0,576	-45,710	5,822	-56,144
205	0,07	Env_ELU	Max	45,211	-42,412	0,452	-45,710	6,572	-52,982
205	0,15	Env_ELU	Max	45,151	-42,163	0,328	-45,710	7,313	-49,840
205	0,00	Env_ELU	Min	-45,729	-107,018	-13,001	-110,204	-15,334	-206,116
205	0,07	Env_ELU	Min	-45,627	-106,769	-12,946	-110,204	-14,827	-198,257
205	0,15	Env_ELU	Min	-45,525	-106,520	-12,891	-110,204	-14,425	-190,416
206	0,00	Env_ELU	Max	45,157	-42,150	-0,540	-47,418	7,137	-48,972
206	0,07	Env_ELU	Max	45,096	-41,901	-0,661	-47,418	7,816	-45,849
206	0,15	Env_ELU	Max	45,035	-41,651	-0,781	-47,418	8,485	-42,745
206	0,00	Env_ELU	Min	-45,686	-106,504	-12,880	-112,815	-14,527	-188,593
206	0,07	Env_ELU	Min	-45,583	-106,255	-12,826	-112,815	-14,446	-180,771
206	0,15	Env_ELU	Min	-45,480	-106,006	-12,772	-112,815	-14,393	-172,968
207	0,00	Env_ELU	Max	45,019	-41,639	-1,646	-48,718	8,322	-41,862
207	0,07	Env_ELU	Max	44,957	-41,390	-1,764	-48,718	8,930	-38,777
207	0,15	Env_ELU	Max	44,895	-41,141	-1,882	-48,718	9,530	-35,711
207	0,00	Env_ELU	Min	-45,626	-105,990	-12,758	-115,143	-14,450	-171,089
207	0,07	Env_ELU	Min	-45,522	-105,741	-12,706	-115,143	-14,325	-163,305
207	0,15	Env_ELU	Min	-45,418	-105,492	-12,653	-115,143	-14,191	-155,538
208	0,00	Env_ELU	Max	44,857	-41,129	-2,744	-49,347	9,379	-34,817
208	0,07	Env_ELU	Max	44,794	-40,879	-2,859	-49,347	9,917	-31,769
208	0,15	Env_ELU	Max	44,731	-40,630	-2,973	-49,347	10,446	-28,741
208	0,00	Env_ELU	Min	-45,551	-105,476	-12,961	-117,189	-14,240	-153,610
208	0,07	Env_ELU	Min	-45,446	-105,227	-12,961	-117,189	-14,034	-145,862
208	0,15	Env_ELU	Min	-45,341	-104,977	-12,961	-117,189	-13,819	-138,132

209	0,00	Env_ELU	Max	44,671	-40,619	-2,850	-49,851	10,307	-27,837
209	0,07	Env_ELU	Max	44,607	-40,369	-2,850	-49,851	10,775	-24,827
209	0,15	Env_ELU	Max	44,543	-40,120	-2,850	-49,851	11,235	-21,836
209	0,00	Env_ELU	Min	-45,460	-104,961	-13,506	-118,952	-13,860	-136,159
209	0,07	Env_ELU	Min	-45,354	-104,712	-13,506	-118,952	-13,574	-128,447
209	0,15	Env_ELU	Min	-45,248	-104,463	-13,506	-118,952	-13,280	-120,753
210	0,00	Env_ELU	Max	44,462	-40,109	-2,706	-50,232	11,107	-20,924
210	0,07	Env_ELU	Max	44,397	-39,859	-2,706	-50,232	11,506	-17,952
210	0,15	Env_ELU	Max	44,332	-39,610	-2,706	-50,232	11,898	-14,998
210	0,00	Env_ELU	Min	-45,354	-104,446	-14,046	-120,435	-13,313	-118,741
210	0,07	Env_ELU	Min	-45,247	-104,197	-14,046	-120,435	-12,948	-111,064
210	0,15	Env_ELU	Min	-45,140	-103,947	-14,046	-120,435	-12,575	-103,406
211	0,00	Env_ELU	Max	44,230	-39,599	-2,562	-50,490	11,781	-14,082
211	0,07	Env_ELU	Max	44,164	-39,350	-2,562	-50,490	12,111	-11,147
211	0,15	Env_ELU	Max	44,099	-39,100	-2,562	-50,490	12,434	-8,231
211	0,00	Env_ELU	Min	-45,232	-103,931	-14,582	-121,638	-12,601	-101,360
211	0,07	Env_ELU	Min	-45,124	-103,682	-14,582	-121,638	-12,157	-93,721
211	0,15	Env_ELU	Min	-45,017	-103,432	-14,582	-121,638	-11,706	-86,100
212	0,00	Env_ELU	Max	43,976	-39,090	-2,417	-50,627	12,328	-7,313
212	0,07	Env_ELU	Max	43,910	-38,841	-2,417	-50,627	12,591	-4,417
212	0,15	Env_ELU	Max	43,844	-38,591	-2,417	-50,627	12,845	-1,541
212	0,00	Env_ELU	Min	-45,095	-103,415	-15,113	-122,710	-11,724	-84,026
212	0,07	Env_ELU	Min	-44,987	-103,166	-15,113	-122,710	-11,203	-76,428
212	0,15	Env_ELU	Min	-44,879	-102,916	-15,113	-122,710	-10,674	-68,848
213	0,00	Env_ELU	Max	43,700	-38,581	-2,270	-50,644	12,750	-0,623
213	0,07	Env_ELU	Max	43,634	-38,332	-2,270	-50,644	13,210	2,234
213	0,15	Env_ELU	Max	43,567	-38,082	-2,270	-50,644	13,722	5,072
213	0,00	Env_ELU	Min	-44,944	-102,900	-15,639	-123,825	-10,685	-66,753
213	0,07	Env_ELU	Min	-44,835	-102,650	-15,639	-123,825	-10,088	-59,195
213	0,15	Env_ELU	Min	-44,727	-102,401	-15,639	-123,825	-9,483	-51,656
214	0,00	Env_ELU	Max	43,403	-38,073	-1,786	-50,544	13,681	5,987
214	0,07	Env_ELU	Max	43,336	-37,824	-1,690	-50,544	14,162	8,805
214	0,15	Env_ELU	Max	43,269	-37,574	-1,593	-50,544	14,635	11,604
214	0,00	Env_ELU	Min	-44,778	-102,383	-16,170	-124,637	-9,487	-49,545
214	0,07	Env_ELU	Min	-44,669	-102,134	-16,170	-124,637	-8,814	-42,027
214	0,15	Env_ELU	Min	-44,560	-101,885	-16,170	-124,637	-8,133	-37,472
215	0,00	Env_ELU	Max	58,019	364,531	13,008	5,324	27,920	172,432
215	0,27	Env_ELU	Max	58,019	365,260	13,008	5,324	24,415	82,396
215	0,54	Env_ELU	Max	58,019	365,988	13,008	5,324	20,910	26,635



215	0,00	Env_ELU	Min	-58,962	2,364	-11,265	-4,855	-35,854	-73,865
215	0,27	Env_ELU	Min	-58,962	3,092	-11,265	-4,855	-32,818	-74,600
215	0,54	Env_ELU	Min	-58,962	3,820	-11,265	-4,855	-29,783	-75,531
216	0,00	Env_ELU	Max	42,235	-26,468	-1,068	-42,952	8,810	18,227
216	0,07	Env_ELU	Max	42,168	-26,211	-1,158	-42,952	9,300	20,163
216	0,15	Env_ELU	Max	42,101	-25,954	-1,248	-42,952	9,784	22,080
216	0,00	Env_ELU	Min	-47,936	-67,675	-9,043	-107,426	-9,016	-28,360
216	0,07	Env_ELU	Min	-47,827	-67,426	-9,003	-107,426	-8,934	-25,380
216	0,15	Env_ELU	Min	-47,717	-67,177	-8,963	-107,426	-8,846	-22,418
217	0,00	Env_ELU	Max	42,061	-25,969	-2,036	-42,548	9,729	22,854
217	0,07	Env_ELU	Max	41,994	-25,712	-2,123	-42,548	10,148	26,103
217	0,15	Env_ELU	Max	41,927	-25,455	-2,210	-42,548	10,561	30,441
217	0,00	Env_ELU	Min	-47,843	-67,162	-8,789	-107,078	-8,829	-21,494
217	0,07	Env_ELU	Min	-47,734	-66,913	-8,750	-107,078	-8,676	-18,552
217	0,15	Env_ELU	Min	-47,624	-66,664	-8,711	-107,078	-8,517	-15,627
218	0,00	Env_ELU	Max	41,869	-25,471	-2,907	-42,063	10,513	32,264
218	0,07	Env_ELU	Max	41,802	-25,214	-2,907	-42,063	10,862	36,584
218	0,15	Env_ELU	Max	41,736	-24,958	-2,907	-42,063	11,205	40,886
218	0,00	Env_ELU	Min	-47,735	-66,649	-8,535	-106,539	-8,496	-14,699
218	0,07	Env_ELU	Min	-47,625	-66,400	-8,514	-106,539	-8,272	-11,794
218	0,15	Env_ELU	Min	-47,516	-66,150	-8,507	-106,539	-8,043	-8,907
219	0,00	Env_ELU	Max	41,659	-24,974	-2,720	-41,498	11,163	42,696
219	0,07	Env_ELU	Max	41,593	-24,717	-2,720	-41,498	11,442	46,980
219	0,15	Env_ELU	Max	41,526	-24,460	-2,720	-41,498	11,715	51,246
219	0,00	Env_ELU	Min	-47,612	-66,135	-8,793	-105,809	-8,017	-7,976
219	0,07	Env_ELU	Min	-47,502	-65,886	-8,793	-105,809	-7,724	-5,108
219	0,15	Env_ELU	Min	-47,392	-65,636	-8,793	-105,809	-7,425	-2,258
220	0,00	Env_ELU	Max	41,432	-24,478	-2,531	-40,856	11,681	53,039
220	0,07	Env_ELU	Max	41,366	-24,221	-2,531	-40,856	11,911	57,288
220	0,15	Env_ELU	Max	41,300	-23,964	-2,531	-40,856	12,192	61,519
220	0,00	Env_ELU	Min	-47,473	-65,620	-9,159	-104,892	-7,393	-1,326
220	0,07	Env_ELU	Min	-47,364	-65,371	-9,159	-104,892	-7,031	1,505
220	0,15	Env_ELU	Min	-47,254	-65,122	-9,159	-104,892	-6,664	4,317
221	0,00	Env_ELU	Max	41,188	-23,982	-1,949	-40,136	12,198	63,292
221	0,07	Env_ELU	Max	41,123	-23,725	-1,875	-40,136	12,443	67,506
221	0,15	Env_ELU	Max	41,057	-23,468	-1,800	-40,136	12,682	71,708
221	0,00	Env_ELU	Min	-47,321	-65,105	-9,522	-103,788	-6,627	5,249
221	0,07	Env_ELU	Min	-47,211	-64,856	-9,522	-103,788	-6,197	8,042
221	0,15	Env_ELU	Min	-47,102	-64,606	-9,522	-103,788	-5,762	10,818

222	0,00	Env_ELU	Max	40,928	-23,486	-1,020	-39,342	12,695	73,533
222	0,07	Env_ELU	Max	40,864	-23,229	-0,948	-39,342	12,899	77,801
222	0,15	Env_ELU	Max	40,799	-22,971	-0,877	-39,342	13,098	82,050
222	0,00	Env_ELU	Min	-47,153	-64,590	-9,883	-102,780	-5,719	11,746
222	0,07	Env_ELU	Min	-47,044	-64,340	-9,883	-102,780	-5,222	14,502
222	0,15	Env_ELU	Min	-46,935	-64,091	-9,884	-102,780	-4,719	17,240
223	0,00	Env_ELU	Max	40,654	-22,989	-0,100	-38,474	13,119	83,848
223	0,07	Env_ELU	Max	40,590	-22,732	-0,031	-38,474	13,282	88,076
223	0,15	Env_ELU	Max	40,526	-22,475	0,037	-38,474	13,440	92,286
223	0,00	Env_ELU	Min	-46,970	-64,073	-10,326	-101,599	-4,669	18,164
223	0,07	Env_ELU	Min	-46,862	-63,824	-10,357	-101,599	-4,106	20,880
223	0,15	Env_ELU	Min	-46,753	-63,575	-10,387	-101,599	-3,537	23,578
224	0,00	Env_ELU	Max	40,363	-22,494	0,811	-37,537	13,467	94,052
224	0,07	Env_ELU	Max	40,300	-22,237	0,876	-37,537	13,799	98,241
224	0,15	Env_ELU	Max	40,238	-21,980	0,941	-37,537	14,314	102,411
224	0,00	Env_ELU	Min	-46,775	-63,557	-10,937	-100,223	-3,484	24,494
224	0,07	Env_ELU	Min	-46,667	-63,308	-10,966	-100,223	-2,855	27,170
224	0,15	Env_ELU	Min	-46,559	-63,059	-10,995	-100,223	-2,221	29,829
225	0,00	Env_ELU	Max	40,058	-22,002	1,711	-36,530	14,369	104,142
225	0,07	Env_ELU	Max	39,996	-21,745	1,773	-36,530	14,868	108,292
225	0,15	Env_ELU	Max	39,934	-21,488	1,835	-36,530	15,365	112,423
225	0,00	Env_ELU	Min	-46,567	-63,040	-11,557	-98,653	-2,163	30,736
225	0,07	Env_ELU	Min	-46,460	-62,791	-11,585	-98,653	-1,470	33,372
225	0,15	Env_ELU	Min	-46,353	-62,542	-11,612	-98,653	-0,773	35,991
226	0,00	Env_ELU	Max	39,737	-21,511	2,601	-35,458	15,432	114,116
226	0,07	Env_ELU	Max	39,676	-21,255	2,660	-35,458	15,913	118,226
226	0,15	Env_ELU	Max	39,616	-20,998	2,720	-35,458	16,393	122,319
226	0,00	Env_ELU	Min	-46,349	-62,522	-12,169	-96,893	-0,710	36,887
226	0,07	Env_ELU	Min	-46,242	-62,274	-12,195	-96,893	0,046	39,484
226	0,15	Env_ELU	Min	-46,136	-62,025	-12,222	-96,893	0,807	42,063
227	0,00	Env_ELU	Max	58,019	22,533	13,008	5,324	20,910	26,635
227	0,27	Env_ELU	Max	58,019	23,261	13,008	5,324	17,405	20,466
227	0,54	Env_ELU	Max	58,019	23,989	13,008	5,324	13,900	14,100
227	0,00	Env_ELU	Min	-58,962	-73,864	-11,265	-4,855	-29,783	-75,531
227	0,27	Env_ELU	Min	-58,962	-73,136	-11,265	-4,855	-26,748	-56,109
227	0,54	Env_ELU	Min	-58,962	-72,408	-11,265	-4,855	-23,712	-36,884
228	0,00	Env_ELU	Max	38,091	-12,592	-2,190	-29,219	11,179	131,971
228	0,07	Env_ELU	Max	38,033	-12,336	-2,190	-29,219	11,739	134,371
228	0,15	Env_ELU	Max	37,975	-12,080	-2,190	-29,219	12,296	136,752



228	0,00	Env_ELU	Min	-48,133	-36,650	-8,339	-80,841	-0,708	47,843
228	0,07	Env_ELU	Min	-48,029	-36,404	-8,339	-80,841	-0,522	49,591
228	0,15	Env_ELU	Min	-47,924	-36,159	-8,339	-80,841	-0,333	51,322
229	0,00	Env_ELU	Max	37,908	-12,123	-1,971	-27,988	12,408	138,143
229	0,07	Env_ELU	Max	37,851	-11,866	-1,971	-27,988	12,942	140,506
229	0,15	Env_ELU	Max	37,795	-11,610	-1,971	-27,988	13,475	142,850
229	0,00	Env_ELU	Min	-48,011	-36,122	-8,567	-78,622	-0,252	52,072
229	0,07	Env_ELU	Min	-47,907	-35,877	-8,567	-78,622	-0,008	53,780
229	0,15	Env_ELU	Min	-47,803	-35,631	-8,567	-78,622	0,240	55,470
230	0,00	Env_ELU	Max	37,713	-11,655	-1,750	-26,718	13,597	144,194
230	0,07	Env_ELU	Max	37,658	-11,399	-1,750	-26,718	14,107	146,520
230	0,15	Env_ELU	Max	37,604	-11,143	-1,750	-26,718	14,615	148,828
230	0,00	Env_ELU	Min	-47,876	-35,592	-8,792	-76,289	0,325	56,202
230	0,07	Env_ELU	Min	-47,773	-35,347	-8,792	-76,289	0,627	57,869
230	0,15	Env_ELU	Min	-47,670	-35,102	-8,792	-76,289	0,933	59,519
231	0,00	Env_ELU	Max	37,507	-11,189	-1,019	-25,411	14,747	150,123
231	0,07	Env_ELU	Max	37,455	-10,933	-0,974	-25,411	15,233	152,412
231	0,15	Env_ELU	Max	37,402	-10,677	-0,929	-25,411	15,717	154,683
231	0,00	Env_ELU	Min	-47,728	-35,062	-9,014	-73,844	1,023	60,232
231	0,07	Env_ELU	Min	-47,626	-34,817	-9,014	-73,844	1,382	61,859
231	0,15	Env_ELU	Min	-47,524	-34,572	-9,014	-73,844	1,745	63,468
232	0,00	Env_ELU	Max	37,291	-10,725	-0,125	-24,070	15,861	155,927
232	0,07	Env_ELU	Max	37,241	-10,469	-0,082	-24,070	16,322	158,180
232	0,15	Env_ELU	Max	37,190	-10,213	-0,040	-24,070	16,782	160,415
232	0,00	Env_ELU	Min	-47,567	-34,530	-9,233	-71,290	1,840	64,162
232	0,07	Env_ELU	Min	-47,466	-34,285	-9,233	-71,290	2,256	65,747
232	0,15	Env_ELU	Min	-47,366	-34,040	-9,233	-71,290	2,674	67,316
233	0,00	Env_ELU	Max	37,065	-10,263	0,762	-22,696	16,939	161,606
233	0,07	Env_ELU	Max	37,017	-10,007	0,802	-22,696	17,605	163,823
233	0,15	Env_ELU	Max	36,968	-9,751	0,841	-22,696	18,298	166,022
233	0,00	Env_ELU	Min	-47,394	-33,996	-9,450	-68,628	2,775	67,988
233	0,07	Env_ELU	Min	-47,295	-33,751	-9,450	-68,628	3,247	69,534
233	0,15	Env_ELU	Min	-47,195	-33,506	-9,450	-68,628	3,721	71,061
234	0,00	Env_ELU	Max	36,830	-9,802	1,640	-21,291	18,487	167,159
234	0,07	Env_ELU	Max	36,783	-9,546	1,677	-21,291	19,196	169,340
234	0,15	Env_ELU	Max	36,736	-9,290	1,715	-21,291	19,905	171,502
234	0,00	Env_ELU	Min	-47,209	-33,461	-9,663	-65,861	3,828	71,712
234	0,07	Env_ELU	Min	-47,111	-33,216	-9,663	-65,861	4,354	73,040
234	0,15	Env_ELU	Min	-47,012	-32,971	-9,663	-65,861	4,884	74,180

235	0,00	Env_ELU	Max	36,585	-9,343	2,510	-19,858	20,109	172,583
235	0,07	Env_ELU	Max	36,541	-9,087	2,545	-19,858	20,834	174,728
235	0,15	Env_ELU	Max	36,496	-8,831	2,580	-19,858	21,559	176,855
235	0,00	Env_ELU	Min	-47,011	-32,924	-9,958	-62,991	4,997	74,666
235	0,07	Env_ELU	Min	-46,915	-32,679	-9,958	-62,991	5,072	75,786
235	0,15	Env_ELU	Min	-46,818	-32,434	-9,958	-62,991	5,119	76,888
236	0,00	Env_ELU	Max	36,332	-8,885	3,373	-18,397	21,778	177,878
236	0,07	Env_ELU	Max	36,290	-8,629	3,405	-18,397	22,518	179,987
236	0,15	Env_ELU	Max	36,247	-8,373	3,437	-18,397	23,259	182,078
236	0,00	Env_ELU	Min	-46,802	-32,386	-10,296	-60,020	5,220	77,349
236	0,07	Env_ELU	Min	-46,706	-32,141	-10,296	-60,020	5,251	78,431
236	0,15	Env_ELU	Min	-46,611	-31,895	-10,296	-60,020	5,282	79,495
237	0,00	Env_ELU	Max	36,071	-8,428	4,227	-16,912	23,495	183,042
237	0,07	Env_ELU	Max	36,031	-8,172	4,257	-16,912	24,251	185,115
237	0,15	Env_ELU	Max	35,991	-7,916	4,287	-16,912	25,007	187,171
237	0,00	Env_ELU	Min	-46,581	-31,846	-10,631	-56,951	5,391	79,931
237	0,07	Env_ELU	Min	-46,486	-31,601	-10,631	-56,951	5,406	80,975
237	0,15	Env_ELU	Min	-46,392	-31,355	-10,631	-56,951	5,420	82,001
238	0,00	Env_ELU	Max	35,802	-7,971	5,073	-15,403	25,261	188,073
238	0,07	Env_ELU	Max	35,764	-7,715	5,101	-15,403	26,033	190,111
238	0,15	Env_ELU	Max	35,727	-7,459	5,128	-15,403	26,804	192,131
238	0,00	Env_ELU	Min	-46,347	-31,305	-10,962	-53,785	5,538	82,411
238	0,07	Env_ELU	Min	-46,254	-31,059	-10,962	-53,785	5,537	83,418
238	0,15	Env_ELU	Min	-46,162	-30,814	-10,962	-53,785	5,535	84,407
239	0,00	Env_ELU	Max	34,902	2,960	5,988	-9,195	27,076	194,008
239	0,08	Env_ELU	Max	34,840	3,219	6,012	-9,195	26,672	194,576
239	0,00	Env_ELU	Min	-45,624	-15,441	-3,431	-38,151	7,077	85,184
239	0,08	Env_ELU	Min	-45,561	-15,181	-3,431	-38,151	7,325	85,712
240	0,00	Env_ELU	Max	34,840	3,219	6,058	-9,051	26,672	194,635
240	0,08	Env_ELU	Max	34,779	3,478	6,082	-9,051	26,269	195,183
240	0,00	Env_ELU	Min	-45,566	-15,181	-3,425	-37,842	7,325	85,740
240	0,08	Env_ELU	Min	-45,504	-14,922	-3,425	-37,842	7,571	86,243
241	0,00	Env_ELU	Max	34,779	3,478	6,172	-8,765	26,269	195,299
241	0,08	Env_ELU	Max	34,717	3,738	6,196	-8,765	25,868	195,827
241	0,00	Env_ELU	Min	-45,512	-14,922	-3,413	-37,220	7,571	86,299
241	0,08	Env_ELU	Min	-45,450	-14,663	-3,413	-37,220	7,814	86,780
242	0,00	Env_ELU	Max	34,717	3,738	6,331	-8,336	25,868	195,998
242	0,08	Env_ELU	Max	34,656	3,997	6,354	-8,336	25,470	196,506
242	0,00	Env_ELU	Min	-45,461	-14,663	-3,395	-36,282	7,814	86,862



242	0,08	Env_ELU	Min	-45,401	-14,403	-3,395	-36,282	8,053	87,010
243	0,00	Env_ELU	Max	34,654	3,997	6,534	-7,766	25,470	196,726
243	0,08	Env_ELU	Max	34,595	4,256	6,556	-7,766	25,075	197,214
243	0,00	Env_ELU	Min	-45,413	-14,403	-3,371	-35,022	8,053	87,062
243	0,08	Env_ELU	Min	-45,354	-14,144	-3,371	-35,022	8,284	86,748
244	0,00	Env_ELU	Max	34,590	4,256	6,780	-7,056	25,075	197,478
244	0,08	Env_ELU	Max	34,531	4,515	6,801	-7,056	24,685	197,946
244	0,00	Env_ELU	Min	-45,367	-14,144	-3,341	-33,438	8,284	86,809
244	0,08	Env_ELU	Min	-45,308	-13,885	-3,341	-33,438	8,507	86,475
245	0,00	Env_ELU	Max	34,522	4,515	7,069	-6,205	24,685	198,245
245	0,08	Env_ELU	Max	34,465	4,774	7,089	-6,205	24,301	198,694
245	0,00	Env_ELU	Min	-45,319	-13,885	-3,304	-31,524	8,507	86,540
245	0,08	Env_ELU	Min	-45,262	-13,626	-3,304	-31,524	8,514	86,186
246	0,00	Env_ELU	Max	34,450	4,774	7,400	-5,215	24,301	199,018
246	0,08	Env_ELU	Max	34,395	5,034	7,419	-5,215	23,923	199,447
246	0,00	Env_ELU	Min	-45,270	-13,626	-3,261	-29,277	8,514	86,252
246	0,08	Env_ELU	Min	-45,214	-13,367	-3,261	-29,277	8,439	85,879
247	0,00	Env_ELU	Max	34,372	5,034	7,771	-4,094	23,923	199,784
247	0,08	Env_ELU	Max	34,318	5,292	7,788	-4,094	23,734	200,193
247	0,00	Env_ELU	Min	-45,215	-13,367	-3,212	-26,706	8,439	85,939
247	0,08	Env_ELU	Min	-45,161	-13,108	-3,212	-26,706	8,366	85,546
248	0,00	Env_ELU	Max	34,289	5,292	8,138	-2,977	23,734	200,496
248	0,08	Env_ELU	Max	34,238	5,552	8,154	-2,977	23,661	200,886
248	0,00	Env_ELU	Min	-45,155	-13,108	-3,162	-24,119	8,366	85,592
248	0,08	Env_ELU	Min	-45,103	-12,849	-3,162	-24,119	8,296	85,180
249	0,00	Env_ELU	Max	34,207	5,552	8,459	-1,999	23,661	201,124
249	0,08	Env_ELU	Max	34,157	5,811	8,474	-1,999	23,582	201,494
249	0,00	Env_ELU	Min	-45,090	-12,849	-3,118	-21,833	8,296	85,208
249	0,08	Env_ELU	Min	-45,040	-12,590	-3,118	-21,833	8,228	84,776
250	0,00	Env_ELU	Max	34,128	5,811	8,735	-1,165	23,582	201,676
250	0,08	Env_ELU	Max	34,079	6,070	8,749	-1,165	23,498	202,027
250	0,00	Env_ELU	Min	-45,025	-12,590	-3,189	-19,864	8,228	84,791
250	0,08	Env_ELU	Min	-44,976	-12,331	-3,203	-19,864	8,163	84,339
251	0,00	Env_ELU	Max	34,052	6,070	8,965	-0,474	23,498	202,164
251	0,08	Env_ELU	Max	34,005	6,329	8,978	-0,474	23,411	202,495
251	0,00	Env_ELU	Min	-44,960	-12,331	-3,482	-18,217	8,163	84,346
251	0,08	Env_ELU	Min	-44,913	-12,072	-3,495	-18,217	8,101	83,873
252	0,00	Env_ELU	Max	33,981	6,329	9,150	0,075	23,411	202,595
252	0,08	Env_ELU	Max	33,935	6,588	9,162	0,075	23,320	202,906

252	0,00	Env_ELU	Min	-44,897	-12,072	-3,717	-16,895	8,101	83,875
252	0,08	Env_ELU	Min	-44,851	-11,812	-3,730	-16,895	8,041	83,383
253	0,00	Env_ELU	Max	33,916	6,588	9,291	0,485	23,320	202,975
253	0,08	Env_ELU	Max	33,871	6,848	9,303	0,485	23,370	203,480
253	0,00	Env_ELU	Min	-44,838	-11,812	-3,896	-15,899	8,041	83,381
253	0,08	Env_ELU	Min	-44,793	-11,553	-3,908	-15,899	7,727	82,869
254	0,00	Env_ELU	Max	33,858	6,848	9,388	0,756	23,370	203,531
254	0,08	Env_ELU	Max	33,813	7,107	9,400	0,756	23,527	204,194
254	0,00	Env_ELU	Min	-44,783	-11,553	-4,019	-15,234	7,727	82,867
254	0,08	Env_ELU	Min	-44,739	-11,293	-4,031	-15,234	7,011	82,335
255	0,00	Env_ELU	Max	33,806	7,107	9,442	0,890	23,527	204,219
255	0,08	Env_ELU	Max	33,761	7,366	9,454	0,890	23,684	204,862
255	0,00	Env_ELU	Min	-44,734	-11,293	-4,086	-14,900	7,011	82,334
255	0,08	Env_ELU	Min	-44,689	-11,034	-4,098	-14,900	6,290	81,782
256	0,00	Env_ELU	Max	34,672	18,679	1,363	4,623	21,977	205,443
256	0,09	Env_ELU	Max	34,654	18,994	1,350	4,623	22,092	204,200
256	0,18	Env_ELU	Max	34,636	19,309	1,338	4,623	22,206	202,929
256	0,00	Env_ELU	Min	-45,639	-0,353	-3,426	-9,015	3,449	81,741
256	0,09	Env_ELU	Min	-45,552	-0,046	-3,413	-9,015	3,757	80,796
256	0,18	Env_ELU	Min	-45,464	0,260	-3,401	-9,015	4,064	79,821
257	0,00	Env_ELU	Max	34,629	19,362	0,594	8,352	22,674	202,911
257	0,09	Env_ELU	Max	34,614	19,677	0,584	8,352	22,763	201,616
257	0,18	Env_ELU	Max	34,599	19,991	0,574	8,352	22,852	200,292
257	0,00	Env_ELU	Min	-45,525	0,195	-2,707	-6,562	4,373	79,667
257	0,09	Env_ELU	Min	-45,442	0,502	-2,697	-6,562	4,623	78,655
257	0,18	Env_ELU	Min	-45,359	0,809	-2,687	-6,562	4,871	77,614
258	0,00	Env_ELU	Max	34,575	20,042	-0,169	12,345	23,291	200,173
258	0,09	Env_ELU	Max	34,563	20,356	-0,177	12,345	23,355	198,825
258	0,18	Env_ELU	Max	34,552	20,671	-0,185	12,345	23,419	197,448
258	0,00	Env_ELU	Min	-45,398	0,747	-2,079	-4,112	5,166	77,420
258	0,09	Env_ELU	Min	-45,320	1,055	-2,071	-4,112	5,357	76,342
258	0,18	Env_ELU	Min	-45,243	1,363	-2,063	-4,112	5,548	75,235
259	0,00	Env_ELU	Max	34,511	20,718	0,090	16,246	23,830	197,228
259	0,09	Env_ELU	Max	34,503	21,033	0,090	16,246	23,869	195,827
259	0,18	Env_ELU	Max	34,495	21,347	0,090	16,246	23,908	194,397
259	0,00	Env_ELU	Min	-45,259	1,304	-1,998	-1,668	5,829	75,003
259	0,09	Env_ELU	Min	-45,186	1,612	-1,998	-1,668	5,963	73,859
259	0,18	Env_ELU	Min	-45,113	1,920	-1,998	-1,668	6,096	72,686
260	0,00	Env_ELU	Max	34,438	21,392	1,026	20,052	24,295	194,078



260	0,09	Env_ELU	Max	34,433	21,706	1,031	20,052	24,308	192,623
260	0,18	Env_ELU	Max	34,428	22,021	1,036	20,052	24,397	191,139
260	0,00	Env_ELU	Min	-45,108	1,865	-2,274	0,766	6,364	72,416
260	0,09	Env_ELU	Min	-45,040	2,174	-2,274	0,766	6,441	71,207
260	0,18	Env_ELU	Min	-44,972	2,483	-2,274	0,766	6,518	69,968
261	0,00	Env_ELU	Max	34,355	22,063	2,045	23,757	24,742	190,724
261	0,09	Env_ELU	Max	34,354	22,377	2,049	23,757	24,902	189,214
261	0,18	Env_ELU	Max	34,352	22,691	2,053	23,757	25,063	187,676
261	0,00	Env_ELU	Min	-44,944	2,431	-2,549	3,187	6,775	69,662
261	0,09	Env_ELU	Min	-44,880	2,740	-2,549	3,187	6,795	68,387
261	0,18	Env_ELU	Min	-44,817	3,050	-2,549	3,187	6,815	67,083
262	0,00	Env_ELU	Max	34,264	22,731	3,060	27,357	25,387	187,166
262	0,09	Env_ELU	Max	34,266	23,045	3,063	27,357	25,570	185,601
262	0,18	Env_ELU	Max	34,267	23,359	3,065	27,357	25,752	184,008
262	0,00	Env_ELU	Min	-44,766	3,001	-3,165	5,591	7,061	66,741
262	0,09	Env_ELU	Min	-44,707	3,311	-3,167	5,591	7,025	65,402
262	0,18	Env_ELU	Min	-44,648	3,621	-3,170	5,591	6,988	64,033
263	0,00	Env_ELU	Max	34,164	23,396	4,071	30,847	26,059	183,404
263	0,09	Env_ELU	Max	34,168	23,710	4,072	30,847	26,263	181,785
263	0,18	Env_ELU	Max	34,173	24,025	4,074	30,847	26,467	180,137
263	0,00	Env_ELU	Min	-44,575	3,576	-3,901	7,974	7,226	63,657
263	0,09	Env_ELU	Min	-44,520	3,887	-3,903	7,974	7,133	62,252
263	0,18	Env_ELU	Min	-44,464	4,197	-3,905	7,974	7,041	60,819
264	0,00	Env_ELU	Max	34,054	24,059	5,076	34,221	26,757	179,441
264	0,09	Env_ELU	Max	34,061	24,373	5,077	34,221	26,983	177,768
264	0,18	Env_ELU	Max	34,067	24,687	5,078	34,221	27,208	176,067
264	0,00	Env_ELU	Min	-44,369	4,155	-4,633	10,332	7,269	60,410
264	0,09	Env_ELU	Min	-44,317	4,466	-4,634	10,332	7,121	58,943
264	0,18	Env_ELU	Min	-44,264	4,776	-4,635	10,332	6,973	57,447
265	0,00	Env_ELU	Max	25,780	-5,599	7,032	0,783	8,705	2,179
265	0,50	Env_ELU	Max	25,780	-2,624	7,032	0,783	5,189	9,895
265	1,00	Env_ELU	Max	25,780	0,352	7,032	0,783	1,673	13,170
265	1,50	Env_ELU	Max	25,780	7,195	7,032	0,783	1,738	12,137
265	2,00	Env_ELU	Max	25,780	16,245	7,032	0,783	5,380	6,747
265	2,50	Env_ELU	Max	25,780	25,296	7,032	0,783	9,022	-0,662
265	0,00	Env_ELU	Min	8,264	-20,898	-7,284	0,158	-9,188	-0,033
265	0,50	Env_ELU	Min	8,264	-11,848	-7,284	0,158	-5,546	2,817
265	1,00	Env_ELU	Min	8,264	-2,797	-7,284	0,158	-1,904	4,179
265	1,50	Env_ELU	Min	8,264	1,739	-7,284	0,158	-1,843	3,709

265	2,00	Env_ELU	Min	8,264	4,715	-7,284	0,158	-5,359	1,302
265	2,50	Env_ELU	Min	8,264	7,690	-7,284	0,158	-8,875	-4,495
266	0,00	Env_ELU	Max	36,183	47,487	7,214	50,895	30,060	168,114
266	0,09	Env_ELU	Max	36,191	47,800	7,214	50,895	29,494	164,383
266	0,18	Env_ELU	Max	36,200	48,113	7,214	50,895	28,928	160,623
266	0,00	Env_ELU	Min	-43,454	10,635	-3,592	18,154	6,431	52,345
266	0,09	Env_ELU	Min	-43,405	10,945	-3,592	18,154	6,330	50,054
266	0,18	Env_ELU	Min	-43,356	11,256	-3,592	18,154	6,229	47,735
267	0,00	Env_ELU	Max	36,294	48,128	7,064	54,184	29,144	159,460
267	0,09	Env_ELU	Max	36,302	48,441	7,064	54,184	28,603	155,675
267	0,18	Env_ELU	Max	36,310	48,754	7,064	54,184	28,062	151,862
267	0,00	Env_ELU	Min	-43,442	11,222	-2,595	19,962	6,427	47,153
267	0,09	Env_ELU	Min	-43,393	11,533	-2,596	19,962	6,270	44,802
267	0,18	Env_ELU	Min	-43,345	11,843	-2,596	19,962	6,113	42,422
268	0,00	Env_ELU	Max	36,390	48,768	6,911	57,262	28,256	150,622
268	0,09	Env_ELU	Max	36,395	49,081	6,911	57,262	27,741	146,783
268	0,18	Env_ELU	Max	36,401	49,394	6,911	57,262	27,226	142,916
268	0,00	Env_ELU	Min	-43,407	11,811	-1,600	21,681	6,302	41,820
268	0,09	Env_ELU	Min	-43,357	12,121	-1,601	21,681	6,089	39,409
268	0,18	Env_ELU	Min	-43,307	12,432	-1,602	21,681	5,877	36,970
269	0,00	Env_ELU	Max	36,466	49,406	6,754	60,126	27,400	141,604
269	0,09	Env_ELU	Max	36,469	49,719	6,754	60,126	27,077	137,711
269	0,18	Env_ELU	Max	36,473	50,033	6,754	60,126	26,779	133,788
269	0,00	Env_ELU	Min	-43,347	12,401	-0,605	23,307	6,058	36,350
269	0,09	Env_ELU	Min	-43,295	12,711	-0,607	23,307	5,789	33,879
269	0,18	Env_ELU	Min	-43,243	13,022	-0,608	23,307	5,521	31,379
270	0,00	Env_ELU	Max	36,522	50,043	6,594	62,772	26,956	132,409
270	0,09	Env_ELU	Max	36,522	50,357	6,594	62,772	26,636	128,460
270	0,18	Env_ELU	Max	36,522	50,670	6,594	62,772	26,317	124,483
270	0,00	Env_ELU	Min	-43,259	12,993	0,327	24,837	5,695	30,743
270	0,09	Env_ELU	Min	-43,205	13,303	0,327	24,837	5,372	28,212
270	0,18	Env_ELU	Min	-43,150	13,613	0,327	24,837	5,048	25,652
271	0,00	Env_ELU	Max	36,558	50,679	6,431	65,197	26,476	123,041
271	0,09	Env_ELU	Max	36,554	50,993	6,431	65,197	26,135	119,036
271	0,18	Env_ELU	Max	36,550	51,307	6,431	65,197	25,794	115,002
271	0,00	Env_ELU	Min	-43,143	13,585	0,601	26,269	5,216	25,003
271	0,09	Env_ELU	Min	-43,085	13,895	0,601	26,269	4,837	22,411
271	0,18	Env_ELU	Min	-43,027	14,205	0,601	26,269	4,459	19,791
272	0,00	Env_ELU	Max	36,571	51,315	6,264	67,398	25,936	113,502



272	0,09	Env_ELU	Max	36,563	51,628	6,264	67,398	25,574	109,440
272	0,18	Env_ELU	Max	36,555	51,942	6,264	67,398	25,212	105,350
272	0,00	Env_ELU	Min	-42,997	14,179	0,875	27,583	4,621	19,131
272	0,09	Env_ELU	Min	-42,935	14,489	0,875	27,583	4,188	16,479
272	0,18	Env_ELU	Min	-42,874	14,798	0,875	27,583	3,755	13,797
273	0,00	Env_ELU	Max	36,562	51,949	6,094	69,546	25,339	103,796
273	0,09	Env_ELU	Max	36,550	52,263	6,094	69,546	24,956	99,678
273	0,18	Env_ELU	Max	36,538	52,577	6,094	69,546	24,573	95,530
273	0,00	Env_ELU	Min	-42,820	14,774	0,666	28,565	3,911	13,130
273	0,09	Env_ELU	Min	-42,754	15,084	0,673	28,565	3,424	10,416
273	0,18	Env_ELU	Min	-42,689	15,393	0,679	28,565	2,938	7,674
274	0,00	Env_ELU	Max	58,019	54,346	13,008	5,324	13,900	14,100
274	0,27	Env_ELU	Max	58,019	55,074	13,008	5,324	10,395	-0,512
274	0,54	Env_ELU	Max	58,019	55,802	13,008	5,324	6,891	-1,859
274	0,00	Env_ELU	Min	-58,962	-57,643	-11,265	-4,855	-23,712	-36,884
274	0,27	Env_ELU	Min	-58,962	-56,915	-11,265	-4,855	-20,677	-26,726
274	0,54	Env_ELU	Min	-58,962	-56,187	-11,265	-4,855	-17,642	-34,537
275	0,00	Env_ELU	Max	40,604	80,248	11,722	87,778	30,651	83,578
275	0,09	Env_ELU	Max	40,583	80,562	11,722	87,778	30,081	81,453
275	0,18	Env_ELU	Max	40,563	80,877	11,722	87,778	29,512	79,299
275	0,00	Env_ELU	Min	-40,781	22,867	-4,802	35,296	2,204	-0,015
275	0,09	Env_ELU	Min	-40,708	23,176	-4,811	35,296	2,135	-3,753
275	0,18	Env_ELU	Min	-40,635	23,485	-4,821	35,296	2,067	-7,520
276	0,00	Env_ELU	Max	40,780	80,865	11,473	89,140	29,578	78,240
276	0,09	Env_ELU	Max	40,756	81,180	11,473	89,140	28,996	76,057
276	0,18	Env_ELU	Max	40,731	81,495	11,473	89,140	28,415	73,845
276	0,00	Env_ELU	Min	-40,739	23,477	-3,854	35,123	2,203	-8,339
276	0,09	Env_ELU	Min	-40,662	23,786	-3,866	35,123	2,081	-12,137
276	0,18	Env_ELU	Min	-40,584	24,095	-3,877	35,123	1,570	-15,965
277	0,00	Env_ELU	Max	40,933	81,482	11,218	90,316	28,454	72,748
277	0,09	Env_ELU	Max	40,904	81,797	11,218	90,316	27,861	70,509
277	0,18	Env_ELU	Max	40,875	82,112	11,218	90,316	27,268	68,241
277	0,00	Env_ELU	Min	-40,666	24,087	-2,911	34,759	1,613	-16,774
277	0,09	Env_ELU	Min	-40,585	24,395	-2,925	34,759	0,788	-20,630
277	0,18	Env_ELU	Min	-40,503	24,704	-2,939	34,759	-0,038	-24,514
278	0,00	Env_ELU	Max	41,062	82,098	10,957	91,142	27,283	67,110
278	0,09	Env_ELU	Max	41,029	82,413	10,957	91,142	26,679	64,816
278	0,18	Env_ELU	Max	40,996	82,728	10,957	91,142	26,075	62,493
278	0,00	Env_ELU	Min	-40,562	24,697	-1,973	34,204	-0,005	-25,310

278	0,09	Env_ELU	Min	-40,477	25,005	-1,990	34,204	-0,798	-29,221
278	0,18	Env_ELU	Min	-40,391	25,313	-2,006	34,204	-1,591	-33,161
279	0,00	Env_ELU	Max	41,168	82,712	10,691	91,615	26,066	61,330
279	0,09	Env_ELU	Max	41,131	83,028	10,691	91,615	25,451	58,980
279	0,18	Env_ELU	Max	41,094	83,343	10,691	91,615	24,837	56,602
279	0,00	Env_ELU	Min	-40,427	25,307	-1,043	33,454	-1,567	-33,939
279	0,09	Env_ELU	Min	-40,337	25,614	-1,062	33,454	-2,328	-38,189
279	0,18	Env_ELU	Min	-40,248	25,922	-1,081	33,454	-3,088	-45,865
280	0,00	Env_ELU	Max	41,252	83,325	10,420	91,733	24,803	55,411
280	0,09	Env_ELU	Max	41,211	83,641	10,420	91,733	24,178	53,006
280	0,18	Env_ELU	Max	41,170	83,956	10,420	91,733	23,553	50,572
280	0,00	Env_ELU	Min	-40,260	25,917	-0,120	32,509	-3,074	-47,739
280	0,09	Env_ELU	Min	-40,166	26,224	-0,142	32,509	-3,801	-55,442
280	0,18	Env_ELU	Min	-40,073	26,531	-0,164	32,509	-4,528	-63,173
281	0,00	Env_ELU	Max	41,314	83,937	10,144	91,494	23,495	49,356
281	0,09	Env_ELU	Max	41,270	84,252	10,144	91,494	22,860	46,894
281	0,18	Env_ELU	Max	41,225	84,568	10,144	91,494	22,225	44,405
281	0,00	Env_ELU	Min	-40,062	26,527	0,794	31,366	-4,525	-65,016
281	0,09	Env_ELU	Min	-39,965	26,834	0,769	31,366	-5,219	-72,774
281	0,18	Env_ELU	Min	-39,868	27,141	0,744	31,366	-5,913	-80,561
282	0,00	Env_ELU	Max	41,356	84,547	9,862	90,896	22,142	43,166
282	0,09	Env_ELU	Max	41,308	84,862	9,862	90,896	21,497	40,648
282	0,18	Env_ELU	Max	41,259	85,178	9,862	90,896	20,852	38,102
282	0,00	Env_ELU	Min	-39,833	27,138	1,695	30,024	-5,919	-82,365
282	0,09	Env_ELU	Min	-39,732	27,444	1,670	30,024	-6,580	-90,179
282	0,18	Env_ELU	Min	-39,631	27,751	1,642	30,024	-7,240	-98,023
283	0,00	Env_ELU	Max	41,376	85,155	9,576	89,938	20,743	36,845
283	0,09	Env_ELU	Max	41,325	85,471	9,576	89,938	20,088	34,270
283	0,18	Env_ELU	Max	41,273	85,787	9,576	89,938	19,433	31,668
283	0,00	Env_ELU	Min	-39,574	27,749	1,904	28,480	-7,257	-99,779
283	0,09	Env_ELU	Min	-39,469	28,055	1,904	28,480	-7,884	-107,651
283	0,18	Env_ELU	Min	-39,365	28,361	1,904	28,480	-8,510	-115,552
284	0,00	Env_ELU	Max	-8,135	-5,189	2,566	0,754	3,122	3,544
284	0,50	Env_ELU	Max	-8,135	-2,213	2,566	0,754	1,839	10,775
284	1,00	Env_ELU	Max	-8,135	0,762	2,566	0,754	0,556	13,510
284	1,50	Env_ELU	Max	-8,135	8,171	2,566	0,754	0,586	12,032
284	2,00	Env_ELU	Max	-8,135	17,221	2,566	0,754	1,923	6,241
284	2,50	Env_ELU	Max	-8,135	26,272	2,566	0,754	3,260	-1,109
284	0,00	Env_ELU	Min	-25,381	-20,096	-2,674	0,146	-3,425	0,583



284	0,50	Env_ELU	Min	-25,381	-11,046	-2,674	0,146	-2,088	3,204
284	1,00	Env_ELU	Min	-25,381	-1,995	-2,674	0,146	-0,751	4,333
284	1,50	Env_ELU	Min	-25,381	2,198	-2,674	0,146	-0,727	3,645
284	2,00	Env_ELU	Min	-25,381	5,173	-2,674	0,146	-2,010	1,033
284	2,50	Env_ELU	Min	-25,381	8,149	-2,674	0,146	-3,293	-5,573
285	0,00	Env_ELU	Max	47,074	122,305	16,566	108,605	28,023	21,302
285	0,09	Env_ELU	Max	47,016	122,618	16,583	108,605	27,121	17,763
285	0,18	Env_ELU	Max	46,958	122,931	16,601	108,605	26,218	14,197
285	0,00	Env_ELU	Min	-35,988	38,170	-6,093	33,554	-10,442	-141,148
285	0,09	Env_ELU	Min	-35,877	38,476	-6,131	33,554	-11,622	-152,200
285	0,18	Env_ELU	Min	-35,766	38,782	-6,170	33,554	-12,803	-163,282
286	0,00	Env_ELU	Max	47,327	122,906	16,032	106,267	26,014	12,763
286	0,09	Env_ELU	Max	47,266	123,219	16,051	106,267	25,115	9,165
286	0,18	Env_ELU	Max	47,205	123,532	16,070	106,267	24,217	5,538
286	0,00	Env_ELU	Min	-35,865	38,793	-5,270	31,288	-12,860	-165,350
286	0,09	Env_ELU	Min	-35,750	39,098	-5,312	31,288	-14,005	-176,462
286	0,18	Env_ELU	Min	-35,635	39,404	-5,355	31,288	-15,151	-187,603
287	0,00	Env_ELU	Max	47,556	123,506	15,495	103,417	23,964	4,100
287	0,09	Env_ELU	Max	47,492	123,819	15,515	103,417	23,071	0,446
287	0,18	Env_ELU	Max	47,429	124,132	15,536	103,417	22,375	-3,236
287	0,00	Env_ELU	Min	-35,715	39,414	-4,456	28,760	-15,227	-189,578
287	0,09	Env_ELU	Min	-35,597	39,719	-4,502	28,760	-16,336	-200,738
287	0,18	Env_ELU	Min	-35,480	40,025	-4,548	28,760	-17,445	-211,928
288	0,00	Env_ELU	Max	47,765	124,105	14,963	100,057	22,247	-4,673
288	0,09	Env_ELU	Max	47,699	124,418	14,978	100,057	22,098	-8,381
288	0,18	Env_ELU	Max	47,633	124,731	15,000	100,057	21,948	-12,116
288	0,00	Env_ELU	Min	-35,537	40,035	-3,652	25,974	-17,537	-213,795
288	0,09	Env_ELU	Min	-35,416	40,340	-3,702	25,974	-18,609	-224,997
288	0,18	Env_ELU	Min	-35,296	40,645	-3,753	25,974	-19,681	-236,229
289	0,00	Env_ELU	Max	47,959	124,701	14,544	96,188	21,800	-13,547
289	0,09	Env_ELU	Max	47,891	125,014	14,544	96,188	21,943	-17,308
289	0,18	Env_ELU	Max	47,823	125,326	14,544	96,188	22,214	-21,098
289	0,00	Env_ELU	Min	-35,327	40,657	-2,860	22,929	-19,788	-237,976
289	0,09	Env_ELU	Min	-35,204	40,961	-2,914	22,929	-20,821	-249,223
289	0,18	Env_ELU	Min	-35,080	41,265	-2,969	22,929	-21,855	-260,498
290	0,00	Env_ELU	Max	48,139	125,294	14,117	91,812	22,149	-22,518
290	0,09	Env_ELU	Max	48,069	125,606	14,117	91,812	22,343	-26,334
290	0,18	Env_ELU	Max	47,999	125,919	14,117	91,812	22,543	-30,178
290	0,00	Env_ELU	Min	-35,086	41,280	-2,079	19,626	-21,978	-262,113

290	0,09	Env_ELU	Min	-34,961	41,583	-2,138	19,626	-22,974	-273,404
290	0,18	Env_ELU	Min	-34,835	41,886	-2,197	19,626	-23,970	-284,724
291	0,00	Env_ELU	Max	48,305	125,884	13,684	86,929	22,461	-31,583
291	0,09	Env_ELU	Max	48,233	126,196	13,684	86,929	22,585	-35,454
291	0,18	Env_ELU	Max	48,161	126,508	13,684	86,929	22,714	-39,353
291	0,00	Env_ELU	Min	-34,815	41,902	-1,311	16,065	-24,111	-286,197
291	0,09	Env_ELU	Min	-34,687	42,205	-1,375	16,065	-25,068	-297,533
291	0,18	Env_ELU	Min	-34,559	42,508	-1,438	16,065	-26,025	-308,898
292	0,00	Env_ELU	Max	48,458	126,471	13,245	81,541	22,613	-40,739
292	0,09	Env_ELU	Max	48,384	126,783	13,245	81,541	22,667	-44,665
292	0,18	Env_ELU	Max	48,311	127,094	13,245	81,541	22,728	-48,620
292	0,00	Env_ELU	Min	-34,514	42,526	-0,557	12,247	-26,186	-310,216
292	0,09	Env_ELU	Min	-34,384	42,828	-0,624	12,247	-27,104	-321,599
292	0,18	Env_ELU	Min	-34,253	43,130	-0,692	12,247	-28,023	-333,011
293	0,00	Env_ELU	Max	22,029	-5,651	1,078	-0,033	1,271	3,232
293	0,50	Env_ELU	Max	22,029	-2,675	1,078	-0,033	0,732	10,467
293	1,00	Env_ELU	Max	22,029	0,300	1,078	-0,033	0,193	13,176
293	1,50	Env_ELU	Max	22,029	8,158	1,078	-0,033	0,362	11,898
293	2,00	Env_ELU	Max	22,029	17,209	1,078	-0,033	1,234	6,384
293	2,50	Env_ELU	Max	22,029	26,259	1,078	-0,033	2,106	-0,469
293	0,00	Env_ELU	Min	7,037	-20,647	-1,743	-0,541	-2,253	-0,249
293	0,50	Env_ELU	Min	7,037	-11,597	-1,743	-0,541	-1,381	2,683
293	1,00	Env_ELU	Min	7,037	-2,546	-1,743	-0,541	-0,510	4,126
293	1,50	Env_ELU	Min	7,037	1,576	-1,743	-0,541	-0,360	3,600
293	2,00	Env_ELU	Min	7,037	4,552	-1,743	-0,541	-0,885	1,218
293	2,50	Env_ELU	Min	7,037	7,527	-1,743	-0,541	-1,424	-5,849
294	0,00	Env_ELU	Max	54,439	171,069	24,994	97,839	30,246	-61,375
294	0,09	Env_ELU	Max	54,363	171,380	25,028	97,839	31,202	-66,360
294	0,18	Env_ELU	Max	54,287	171,692	25,062	97,839	32,165	-71,373
294	0,00	Env_ELU	Min	-28,206	54,052	-10,356	13,974	-33,501	-362,167
294	0,09	Env_ELU	Min	-28,072	54,354	-10,432	13,974	-35,152	-377,147
294	0,18	Env_ELU	Min	-27,937	54,655	-10,509	13,974	-36,802	-392,156
295	0,00	Env_ELU	Max	54,939	171,618	24,294	90,666	32,013	-72,817
295	0,09	Env_ELU	Max	54,862	171,929	24,330	90,666	32,911	-77,860
295	0,18	Env_ELU	Max	54,785	172,241	24,366	90,666	33,816	-82,931
295	0,00	Env_ELU	Min	-28,036	54,688	-9,722	9,290	-37,034	-393,572
295	0,09	Env_ELU	Min	-27,899	54,989	-9,803	9,290	-38,649	-408,597
295	0,18	Env_ELU	Min	-27,762	55,290	-9,885	9,290	-40,264	-423,651
296	0,00	Env_ELU	Max	55,428	172,161	23,588	82,821	33,630	-84,337



296	0,09	Env_ELU	Max	55,351	172,473	23,626	82,821	34,470	-89,439
296	0,18	Env_ELU	Max	55,273	172,784	23,665	82,821	35,319	-94,569
296	0,00	Env_ELU	Min	-27,835	55,324	-9,098	4,294	-40,526	-424,855
296	0,09	Env_ELU	Min	-27,697	55,625	-9,184	4,294	-42,104	-439,927
296	0,18	Env_ELU	Min	-27,559	55,926	-9,270	4,294	-43,683	-455,028
297	0,00	Env_ELU	Max	55,908	172,700	22,876	74,306	35,094	-95,930
297	0,09	Env_ELU	Max	55,830	173,011	22,917	74,306	35,878	-101,092
297	0,18	Env_ELU	Max	55,752	173,323	22,958	74,306	36,671	-106,282
297	0,00	Env_ELU	Min	-27,606	55,960	-8,483	-1,013	-43,978	-456,294
297	0,09	Env_ELU	Min	-27,466	56,261	-8,574	-1,013	-45,519	-472,196
297	0,18	Env_ELU	Min	-27,326	56,562	-8,666	-1,013	-47,061	-488,127
298	0,00	Env_ELU	Max	56,379	173,233	22,160	65,123	36,404	-107,593
298	0,09	Env_ELU	Max	56,301	173,545	22,203	65,123	37,134	-112,816
298	0,18	Env_ELU	Max	56,223	173,856	22,246	65,123	37,872	-118,066
298	0,00	Env_ELU	Min	-27,348	56,597	-7,879	-6,630	-47,392	-489,235
298	0,09	Env_ELU	Min	-27,207	56,898	-7,975	-6,630	-48,896	-505,193
298	0,18	Env_ELU	Min	-27,066	57,198	-8,071	-6,630	-50,400	-521,179
299	0,00	Env_ELU	Max	56,842	173,761	21,439	55,731	37,559	-119,321
299	0,09	Env_ELU	Max	56,764	174,073	21,484	55,731	38,235	-124,605
299	0,18	Env_ELU	Max	56,686	174,384	21,529	55,731	38,919	-129,916
299	0,00	Env_ELU	Min	-27,062	57,235	-7,285	-12,555	-50,769	-522,030
299	0,09	Env_ELU	Min	-26,920	57,535	-7,386	-12,555	-52,235	-538,044
299	0,18	Env_ELU	Min	-26,777	57,835	-7,487	-12,555	-53,701	-554,087
300	0,00	Env_ELU	Max	57,298	174,284	20,713	52,843	38,556	-131,110
300	0,09	Env_ELU	Max	57,220	174,595	20,761	52,843	39,178	-136,456
300	0,18	Env_ELU	Max	57,143	174,907	20,808	52,843	39,811	-141,830
300	0,00	Env_ELU	Min	-26,748	57,872	-6,702	-18,788	-54,113	-554,665
300	0,09	Env_ELU	Min	-26,605	58,172	-6,808	-18,788	-55,540	-570,738
300	0,18	Env_ELU	Min	-26,461	58,472	-6,914	-18,788	-56,968	-586,840
301	0,00	Env_ELU	Max	57,746	174,800	19,984	49,692	39,392	-142,955
301	0,09	Env_ELU	Max	57,670	175,112	20,033	49,692	39,963	-148,364
301	0,18	Env_ELU	Max	57,593	175,424	20,083	49,692	40,543	-153,801
301	0,00	Env_ELU	Min	-26,408	58,509	-6,130	-25,328	-57,424	-587,128
301	0,09	Env_ELU	Min	-26,263	58,809	-6,242	-25,328	-58,812	-603,261
301	0,18	Env_ELU	Min	-26,119	59,109	-6,353	-25,328	-60,201	-619,423
302	0,00	Env_ELU	Max	58,189	175,311	19,250	46,277	40,065	-154,852
302	0,09	Env_ELU	Max	58,113	175,624	19,302	46,277	40,585	-160,325
302	0,18	Env_ELU	Max	58,037	175,936	19,353	46,277	41,115	-165,826
302	0,00	Env_ELU	Min	-26,040	59,147	-5,570	-32,173	-60,706	-619,404

302	0,09	Env_ELU	Min	-25,895	59,447	-5,686	-32,173	-62,054	-635,600
302	0,18	Env_ELU	Min	-25,750	59,746	-5,802	-32,173	-63,403	-651,824
303	0,00	Env_ELU	Max	50,577	225,482	20,740	60,416	46,575	-168,173
303	0,08	Env_ELU	Max	50,486	225,741	20,841	60,416	47,441	-173,331
303	0,00	Env_ELU	Min	-27,659	65,703	-11,308	-39,338	-72,480	-652,341
303	0,08	Env_ELU	Min	-27,568	65,963	-11,409	-39,338	-73,215	-669,542
304	0,00	Env_ELU	Max	50,520	225,741	20,759	59,986	47,441	-173,405
304	0,08	Env_ELU	Max	50,429	226,001	20,860	59,986	48,311	-178,582
304	0,00	Env_ELU	Min	-27,587	65,963	-11,364	-39,884	-73,215	-669,558
304	0,08	Env_ELU	Min	-27,496	66,222	-11,465	-39,884	-73,948	-686,777
305	0,00	Env_ELU	Max	50,497	226,001	20,695	59,097	48,311	-178,729
305	0,08	Env_ELU	Max	50,406	226,260	20,797	59,097	49,182	-183,925
305	0,00	Env_ELU	Min	-27,533	66,222	-11,375	-41,001	-73,948	-686,804
305	0,08	Env_ELU	Min	-27,442	66,482	-11,477	-41,001	-74,677	-704,040
306	0,00	Env_ELU	Max	50,507	226,260	20,550	57,721	49,182	-184,143
306	0,08	Env_ELU	Max	50,416	226,519	20,652	57,721	50,050	-189,357
306	0,00	Env_ELU	Min	-27,498	66,482	-11,342	-42,713	-74,677	-704,067
306	0,08	Env_ELU	Min	-27,408	66,741	-11,445	-42,713	-75,401	-721,318
307	0,00	Env_ELU	Max	50,551	226,519	20,322	55,830	50,050	-189,640
307	0,08	Env_ELU	Max	50,460	226,779	20,426	55,830	50,912	-194,872
307	0,00	Env_ELU	Min	-27,482	66,741	-11,265	-45,047	-75,401	-721,327
307	0,08	Env_ELU	Min	-27,391	67,000	-11,369	-45,047	-76,119	-738,593
308	0,00	Env_ELU	Max	50,626	226,779	20,012	53,394	50,912	-195,214
308	0,08	Env_ELU	Max	50,535	227,038	20,117	53,394	51,765	-200,465
308	0,00	Env_ELU	Min	-27,484	67,000	-11,145	-48,026	-76,119	-738,559
308	0,08	Env_ELU	Min	-27,393	67,259	-11,250	-48,026	-76,828	-755,840
309	0,00	Env_ELU	Max	50,731	227,038	19,619	50,382	51,765	-200,858
309	0,08	Env_ELU	Max	50,641	227,297	19,727	50,382	52,605	-206,126
309	0,00	Env_ELU	Min	-27,503	67,259	-10,980	-51,674	-76,828	-755,733
309	0,08	Env_ELU	Min	-27,413	67,518	-11,088	-51,674	-77,527	-773,028
310	0,00	Env_ELU	Max	50,864	227,297	19,144	46,766	52,605	-206,560
310	0,08	Env_ELU	Max	50,774	227,556	19,253	46,766	53,429	-211,848
310	0,00	Env_ELU	Min	-27,538	67,518	-10,772	-56,015	-77,527	-772,811
310	0,08	Env_ELU	Min	-27,448	67,777	-10,881	-56,015	-78,213	-790,121
311	0,00	Env_ELU	Max	-7,161	-6,264	5,929	-0,033	7,337	1,733
311	0,50	Env_ELU	Max	-7,161	-3,289	5,929	-0,033	4,372	9,492
311	1,00	Env_ELU	Max	-7,161	-0,313	5,929	-0,033	1,408	12,756
311	1,50	Env_ELU	Max	-7,161	7,109	5,929	-0,033	1,586	11,849
311	2,00	Env_ELU	Max	-7,161	16,159	5,929	-0,033	4,904	6,614



311	2,50	Env_ELU	Max	-7,161	25,210	5,929	-0,033	8,223	-0,520
311	0,00	Env_ELU	Min	-22,416	-21,206	-6,637	-0,581	-8,370	-0,349
311	0,50	Env_ELU	Min	-22,416	-12,155	-6,637	-0,581	-5,052	2,593
311	1,00	Env_ELU	Min	-22,416	-3,105	-6,637	-0,581	-1,733	4,046
311	1,50	Env_ELU	Min	-22,416	1,556	-6,637	-0,581	-1,557	3,744
311	2,00	Env_ELU	Min	-22,416	4,532	-6,637	-0,581	-4,522	1,669
311	2,50	Env_ELU	Min	-22,416	7,507	-6,637	-0,581	-7,486	-4,725
312	0,00	Env_ELU	Max	108,154	-63,753	60,184	119,326	90,036	-174,940
312	0,08	Env_ELU	Max	108,065	-63,494	60,184	119,326	86,719	-169,633
312	0,00	Env_ELU	Min	-144,869	-245,259	-85,289	-50,457	-114,669	-835,088
312	0,08	Env_ELU	Min	-144,780	-245,000	-85,289	-50,457	-108,177	-816,666
313	0,00	Env_ELU	Max	107,973	-63,494	59,018	113,970	86,719	-169,204
313	0,08	Env_ELU	Max	107,885	-63,235	59,018	113,970	83,388	-163,916
313	0,00	Env_ELU	Min	-145,225	-245,000	-84,057	-52,683	-108,177	-817,839
313	0,08	Env_ELU	Min	-145,137	-244,741	-84,057	-52,683	-101,778	-799,433
314	0,00	Env_ELU	Max	107,796	-63,235	58,014	109,456	83,388	-163,531
314	0,08	Env_ELU	Max	107,709	-62,976	58,014	109,456	80,045	-158,261
314	0,00	Env_ELU	Min	-145,503	-244,741	-82,992	-54,519	-101,778	-800,353
314	0,08	Env_ELU	Min	-145,416	-244,482	-82,992	-54,519	-95,457	-781,962
315	0,00	Env_ELU	Max	107,627	-62,976	57,173	105,762	80,045	-157,928
315	0,08	Env_ELU	Max	107,540	-62,717	57,173	105,762	76,694	-152,676
315	0,00	Env_ELU	Min	-145,711	-244,482	-82,099	-55,991	-95,457	-782,670
315	0,08	Env_ELU	Min	-145,624	-244,222	-82,099	-55,991	-89,203	-764,292
316	0,00	Env_ELU	Max	107,471	-62,717	56,498	102,860	76,694	-152,403
316	0,08	Env_ELU	Max	107,384	-62,457	56,498	102,860	73,339	-147,169
316	0,00	Env_ELU	Min	-145,854	-244,222	-81,381	-57,122	-89,203	-764,820
316	0,08	Env_ELU	Min	-145,768	-243,963	-81,381	-57,122	-83,002	-746,457
317	0,00	Env_ELU	Max	107,330	-62,457	55,990	100,726	73,339	-146,960
317	0,08	Env_ELU	Max	107,243	-62,198	55,990	100,726	69,984	-141,745
317	0,00	Env_ELU	Min	-145,937	-243,963	-80,841	-57,937	-83,002	-746,832
317	0,08	Env_ELU	Min	-145,850	-243,704	-80,841	-57,937	-76,840	-728,483
318	0,00	Env_ELU	Max	107,206	-62,198	55,651	99,331	69,984	-141,604
318	0,08	Env_ELU	Max	107,120	-61,939	55,651	99,331	66,631	-136,407
318	0,00	Env_ELU	Min	-145,961	-243,704	-80,480	-58,457	-76,840	-728,723
318	0,08	Env_ELU	Min	-145,875	-243,444	-80,480	-58,457	-70,705	-710,391
319	0,00	Env_ELU	Max	107,101	-61,939	55,482	98,647	66,631	-136,336
319	0,08	Env_ELU	Max	107,015	-61,679	55,482	98,647	63,284	-131,159
319	0,00	Env_ELU	Min	-145,930	-243,444	-80,299	-58,707	-70,705	-710,508
319	0,08	Env_ELU	Min	-145,843	-243,185	-80,299	-58,707	-64,583	-692,194

320	0,00	Env_ELU	Max	21,012	26,273	2,538	-29,419	12,766	704,902
320	0,45	Env_ELU	Max	20,605	27,812	2,538	-29,419	13,840	695,576
320	0,90	Env_ELU	Max	20,199	29,351	2,538	-29,419	14,914	685,554
320	0,00	Env_ELU	Min	-73,012	6,570	-4,143	-94,531	-1,904	273,109
320	0,45	Env_ELU	Min	-72,830	8,109	-4,143	-94,531	-2,286	265,071
320	0,90	Env_ELU	Min	-72,649	9,648	-4,143	-94,531	-2,667	256,336
321	0,00	Env_ELU	Max	20,223	29,351	2,999	-26,826	14,914	686,475
321	0,04	Env_ELU	Max	20,186	29,486	2,999	-26,826	14,982	685,565
321	0,00	Env_ELU	Min	-72,652	9,648	-3,669	-87,594	-2,667	256,621
321	0,04	Env_ELU	Min	-72,636	9,783	-3,669	-87,594	-2,705	255,823
322	0,00	Env_ELU	Max	20,188	29,486	3,028	-26,659	14,982	685,622
322	0,04	Env_ELU	Max	20,152	29,620	3,028	-26,659	15,048	684,707
322	0,00	Env_ELU	Min	-72,636	9,783	-3,638	-87,147	-2,705	255,841
322	0,04	Env_ELU	Min	-72,619	9,917	-3,638	-87,147	-2,743	255,038
323	0,00	Env_ELU	Max	20,154	29,620	3,088	-26,326	15,048	684,820
323	0,04	Env_ELU	Max	20,118	29,755	3,088	-26,326	15,111	683,899
323	0,00	Env_ELU	Min	-72,619	9,917	-3,577	-86,254	-2,743	255,073
323	0,04	Env_ELU	Min	-72,603	10,052	-3,577	-86,254	-2,782	254,265
324	0,00	Env_ELU	Max	20,123	29,755	3,177	-25,829	15,111	684,067
324	0,04	Env_ELU	Max	20,086	29,889	3,177	-25,829	15,169	683,141
324	0,00	Env_ELU	Min	-72,602	10,052	-3,485	-84,915	-2,782	254,316
324	0,04	Env_ELU	Min	-72,586	10,187	-3,485	-84,915	-2,821	253,503
325	0,00	Env_ELU	Max	20,092	29,889	3,296	-25,167	15,169	683,360
325	0,04	Env_ELU	Max	20,055	30,024	3,296	-25,167	15,258	682,429
325	0,00	Env_ELU	Min	-72,585	10,187	-3,363	-83,132	-2,821	253,569
325	0,04	Env_ELU	Min	-72,569	10,321	-3,363	-83,132	-2,862	252,751
326	0,00	Env_ELU	Max	20,062	30,024	3,444	-24,342	15,258	682,697
326	0,04	Env_ELU	Max	20,026	30,159	3,444	-24,342	15,385	681,760
326	0,00	Env_ELU	Min	-72,566	10,321	-3,210	-80,906	-2,862	252,832
326	0,04	Env_ELU	Min	-72,550	10,456	-3,210	-80,906	-2,904	252,008
327	0,00	Env_ELU	Max	20,034	30,159	3,622	-23,356	15,385	682,072
327	0,04	Env_ELU	Max	19,997	30,293	3,622	-23,356	15,504	681,130
327	0,00	Env_ELU	Min	-72,546	10,456	-3,026	-78,236	-2,904	252,101
327	0,04	Env_ELU	Min	-72,530	10,590	-3,026	-78,236	-2,947	251,272
328	0,00	Env_ELU	Max	20,006	30,293	3,830	-22,208	15,504	681,481
328	0,04	Env_ELU	Max	19,969	30,428	3,830	-22,208	15,616	680,534
328	0,00	Env_ELU	Min	-72,524	10,590	-2,812	-75,124	-2,947	251,377
328	0,04	Env_ELU	Min	-72,507	10,725	-2,812	-75,124	-2,993	250,542
329	0,00	Env_ELU	Max	19,979	30,428	4,066	-20,906	15,616	680,915



329	0,04	Env_ELU	Max	19,941	30,563	4,066	-20,906	15,717	679,962
329	0,00	Env_ELU	Min	-72,499	10,725	-2,632	-71,589	-2,993	250,654
329	0,04	Env_ELU	Min	-72,482	10,860	-2,632	-71,589	-3,041	249,815
330	0,00	Env_ELU	Max	19,951	30,563	4,301	-19,609	15,717	680,325
330	0,04	Env_ELU	Max	19,913	30,697	4,301	-19,609	15,809	679,368
330	0,00	Env_ELU	Min	-72,472	10,860	-2,457	-68,056	-3,041	249,920
330	0,04	Env_ELU	Min	-72,455	10,994	-2,457	-68,056	-3,091	249,075
331	0,00	Env_ELU	Max	19,921	30,697	4,509	-18,471	15,809	679,671
331	0,04	Env_ELU	Max	19,883	30,832	4,509	-18,471	15,893	678,708
331	0,00	Env_ELU	Min	-72,445	10,994	-2,303	-64,952	-3,091	249,162
331	0,04	Env_ELU	Min	-72,428	11,129	-2,303	-64,952	-3,143	248,312
332	0,00	Env_ELU	Max	19,890	30,832	4,686	-17,498	15,893	678,957
332	0,04	Env_ELU	Max	19,851	30,966	4,686	-17,498	15,969	677,989
332	0,00	Env_ELU	Min	-72,418	11,129	-2,170	-62,295	-3,143	248,382
332	0,04	Env_ELU	Min	-72,401	11,263	-2,170	-62,295	-3,196	247,526
333	0,00	Env_ELU	Max	19,857	30,966	4,834	-16,691	15,969	678,189
333	0,04	Env_ELU	Max	19,818	31,101	4,834	-16,691	16,039	677,215
333	0,00	Env_ELU	Min	-72,391	11,263	-2,060	-60,083	-3,196	247,582
333	0,04	Env_ELU	Min	-72,374	11,398	-2,060	-60,083	-3,251	246,721
334	0,00	Env_ELU	Max	19,823	31,101	4,953	-16,047	16,039	677,370
334	0,04	Env_ELU	Max	19,784	31,236	4,953	-16,047	16,104	676,391
334	0,00	Env_ELU	Min	-72,366	11,398	-1,972	-58,315	-3,251	246,764
334	0,04	Env_ELU	Min	-72,349	11,533	-1,972	-58,315	-3,308	245,897
335	0,00	Env_ELU	Max	19,787	31,236	5,041	-15,566	16,104	676,503
335	0,04	Env_ELU	Max	19,748	31,370	5,041	-15,566	16,166	675,519
335	0,00	Env_ELU	Min	-72,343	11,533	-1,924	-56,992	-3,308	245,928
335	0,04	Env_ELU	Min	-72,325	11,667	-1,905	-56,992	-3,365	245,057
336	0,00	Env_ELU	Max	19,750	31,370	5,101	-15,246	16,166	675,593
336	0,04	Env_ELU	Max	19,711	31,505	5,101	-15,246	16,225	674,603
336	0,00	Env_ELU	Min	-72,321	11,667	-1,909	-56,110	-3,365	245,077
336	0,04	Env_ELU	Min	-72,304	11,802	-1,889	-56,110	-3,422	244,200
337	0,00	Env_ELU	Max	19,712	31,505	5,130	-15,087	16,225	674,639
337	0,04	Env_ELU	Max	19,673	31,639	5,130	-15,087	16,283	673,644
337	0,00	Env_ELU	Min	-72,301	11,802	-1,892	-55,670	-3,422	244,209
337	0,04	Env_ELU	Min	-72,284	11,937	-1,872	-55,670	-3,480	243,327
338	0,00	Env_ELU	Max	22,367	62,382	1,935	-14,911	13,663	674,434
338	0,10	Env_ELU	Max	22,298	62,706	1,988	-14,911	13,801	668,723
338	0,19	Env_ELU	Max	22,229	63,030	2,041	-14,911	13,938	662,980
338	0,00	Env_ELU	Min	-67,434	26,076	-4,163	-63,916	-4,959	243,394

338	0,10	Env_ELU	Min	-67,363	26,400	-4,187	-63,916	-4,922	240,611
338	0,19	Env_ELU	Min	-67,292	26,724	-4,210	-63,916	-4,885	237,797
339	0,00	Env_ELU	Max	22,198	62,969	1,960	-10,695	14,447	663,994
339	0,10	Env_ELU	Max	22,126	63,293	2,016	-10,695	14,505	658,232
339	0,19	Env_ELU	Max	22,054	63,617	2,072	-10,695	14,563	652,439
339	0,00	Env_ELU	Min	-67,456	26,673	-2,923	-52,131	-4,453	238,027
339	0,10	Env_ELU	Min	-67,385	26,997	-2,948	-52,131	-4,434	235,179
339	0,19	Env_ELU	Min	-67,314	27,321	-2,973	-52,131	-4,416	232,299
340	0,00	Env_ELU	Max	22,020	63,557	1,994	-6,577	15,046	653,243
340	0,10	Env_ELU	Max	21,946	63,881	2,054	-6,577	15,024	647,430
340	0,19	Env_ELU	Max	21,871	64,205	2,114	-6,577	15,003	641,585
340	0,00	Env_ELU	Min	-67,451	27,271	-1,852	-40,534	-4,008	232,455
340	0,10	Env_ELU	Min	-67,380	27,595	-1,852	-40,534	-4,009	229,541
340	0,19	Env_ELU	Min	-67,308	27,919	-1,852	-40,534	-4,009	226,594
341	0,00	Env_ELU	Max	21,835	64,147	2,039	-2,561	15,460	642,185
341	0,10	Env_ELU	Max	21,758	64,471	2,102	-2,561	15,360	636,319
341	0,19	Env_ELU	Max	21,682	64,795	2,165	-2,561	15,259	630,422
341	0,00	Env_ELU	Min	-67,420	27,870	-1,028	-29,132	-3,624	226,678
341	0,10	Env_ELU	Min	-67,348	28,194	-1,028	-29,132	-3,644	223,698
341	0,19	Env_ELU	Min	-67,276	28,518	-1,028	-29,132	-3,663	220,686
342	0,00	Env_ELU	Max	21,643	64,739	2,176	1,351	15,692	630,820
342	0,10	Env_ELU	Max	21,564	65,063	2,176	1,351	15,512	624,902
342	0,19	Env_ELU	Max	21,485	65,387	2,227	1,351	15,333	618,952
342	0,00	Env_ELU	Min	-67,362	28,472	-0,215	-17,928	-3,300	220,699
342	0,10	Env_ELU	Min	-67,290	28,796	-0,215	-17,928	-3,338	217,653
342	0,19	Env_ELU	Min	-67,218	29,119	-0,215	-17,928	-3,376	214,575
343	0,00	Env_ELU	Max	21,444	65,333	3,030	5,154	15,743	619,153
343	0,10	Env_ELU	Max	21,363	65,657	3,030	5,154	15,484	613,181
343	0,19	Env_ELU	Max	21,283	65,981	3,030	5,154	15,225	607,177
343	0,00	Env_ELU	Min	-67,278	29,075	-0,064	-6,929	-3,034	214,519
343	0,10	Env_ELU	Min	-67,205	29,399	0,006	-6,929	-3,091	211,407
343	0,19	Env_ELU	Min	-67,133	29,722	0,077	-6,929	-3,148	208,263
344	0,00	Env_ELU	Max	21,240	65,929	4,182	8,867	15,615	607,185
344	0,10	Env_ELU	Max	21,157	66,253	4,182	8,867	15,277	601,158
344	0,19	Env_ELU	Max	21,075	66,577	4,182	8,867	14,939	595,100
344	0,00	Env_ELU	Min	-67,167	29,679	-0,255	3,310	-2,824	208,141
344	0,10	Env_ELU	Min	-67,094	30,003	-0,181	3,310	-2,900	204,962
344	0,19	Env_ELU	Min	-67,021	30,327	-0,107	3,310	-2,976	201,752
345	0,00	Env_ELU	Max	21,031	66,527	5,334	17,400	15,309	594,918



345	0,10	Env_ELU	Max	20,946	66,851	5,334	17,400	14,892	588,836
345	0,19	Env_ELU	Max	20,862	67,175	5,334	17,400	14,475	582,723
345	0,00	Env_ELU	Min	-67,029	30,286	-0,435	8,207	-2,671	201,565
345	0,10	Env_ELU	Min	-66,956	30,610	-0,357	8,207	-2,765	198,320
345	0,19	Env_ELU	Min	-66,883	30,934	-0,278	8,207	-2,860	195,044
346	0,00	Env_ELU	Max	20,817	67,128	6,484	26,647	14,827	582,356
346	0,10	Env_ELU	Max	20,731	67,452	6,484	26,647	14,330	576,217
346	0,19	Env_ELU	Max	20,645	67,776	6,484	26,647	13,834	570,048
346	0,00	Env_ELU	Min	-66,865	30,895	-0,603	12,997	-2,572	194,794
346	0,10	Env_ELU	Min	-66,792	31,219	-0,521	12,997	-2,685	191,483
346	0,19	Env_ELU	Min	-66,719	31,543	-0,439	12,997	-2,799	188,140
347	0,00	Env_ELU	Max	20,599	67,731	7,632	36,291	14,169	569,499
347	0,10	Env_ELU	Max	20,512	68,056	7,632	36,291	13,594	563,304
347	0,19	Env_ELU	Max	20,425	68,380	7,632	36,291	13,019	557,077
347	0,00	Env_ELU	Min	-66,675	31,506	-0,759	17,468	-2,526	187,829
347	0,10	Env_ELU	Min	-66,601	31,830	-0,673	17,468	-2,658	184,451
347	0,19	Env_ELU	Min	-66,528	32,155	-0,587	17,468	-2,790	181,042
348	0,00	Env_ELU	Max	20,379	68,337	8,779	46,002	13,347	556,352
348	0,10	Env_ELU	Max	20,290	68,662	8,779	46,002	12,684	550,098
348	0,19	Env_ELU	Max	20,201	68,986	8,779	46,002	12,030	543,813
348	0,00	Env_ELU	Min	-66,458	32,119	-0,903	21,247	-2,532	180,672
348	0,10	Env_ELU	Min	-66,384	32,444	-0,813	21,247	-2,683	177,228
348	0,19	Env_ELU	Min	-66,311	32,768	-0,723	21,247	-2,835	173,752
349	0,00	Env_ELU	Max	107,956	510,637	8,350	0,465	0,635	301,756
349	0,27	Env_ELU	Max	107,956	511,366	8,350	0,465	2,053	163,974
349	0,54	Env_ELU	Max	107,956	512,094	8,350	0,465	4,350	28,832
349	0,00	Env_ELU	Min	-110,266	67,344	-8,519	-0,603	-1,060	25,432
349	0,27	Env_ELU	Min	-110,266	68,072	-8,519	-0,603	-1,890	7,176
349	0,54	Env_ELU	Min	-110,266	68,801	-8,519	-0,603	-4,141	-11,277
350	0,00	Env_ELU	Max	20,855	94,414	0,399	47,433	13,771	528,815
350	0,10	Env_ELU	Max	20,764	94,738	0,497	47,433	13,875	519,792
350	0,19	Env_ELU	Max	20,674	95,062	0,594	47,433	13,980	510,738
350	0,00	Env_ELU	Min	-65,761	42,716	-2,627	24,811	-3,337	165,583
350	0,10	Env_ELU	Min	-65,687	43,040	-2,671	24,811	-3,246	161,413
350	0,19	Env_ELU	Min	-65,613	43,364	-2,715	24,811	-3,154	157,212
351	0,00	Env_ELU	Max	20,643	95,022	0,569	55,918	14,259	509,827
351	0,10	Env_ELU	Max	20,552	95,346	0,670	55,918	14,282	500,749
351	0,19	Env_ELU	Max	20,461	95,671	0,772	55,918	14,304	491,641
351	0,00	Env_ELU	Min	-65,721	43,339	-1,430	28,765	-2,937	156,712

351	0,10	Env_ELU	Min	-65,647	43,655	-1,475	28,765	-2,864	152,479
351	0,19	Env_ELU	Min	-65,574	43,971	-1,521	28,765	-2,791	148,214
352	0,00	Env_ELU	Max	20,430	95,631	0,750	64,454	14,685	490,571
352	0,10	Env_ELU	Max	20,338	95,956	0,856	64,454	14,650	481,438
352	0,19	Env_ELU	Max	20,246	96,280	0,962	64,454	14,614	472,275
352	0,00	Env_ELU	Min	-65,656	43,931	-0,747	31,854	-2,588	147,666
352	0,10	Env_ELU	Min	-65,583	44,247	-0,769	31,854	-2,533	143,370
352	0,19	Env_ELU	Min	-65,509	44,564	-0,790	31,854	-2,478	139,042
353	0,00	Env_ELU	Max	20,216	96,242	1,729	72,642	15,148	471,052
353	0,10	Env_ELU	Max	20,124	96,566	1,729	72,642	15,000	461,864
353	0,19	Env_ELU	Max	20,031	96,890	1,729	72,642	14,852	452,644
353	0,00	Env_ELU	Min	-65,566	44,526	-0,393	34,597	-2,289	138,448
353	0,10	Env_ELU	Min	-65,493	44,842	-0,393	34,597	-2,252	134,088
353	0,19	Env_ELU	Min	-65,419	45,158	-0,405	34,597	-2,214	129,696
354	0,00	Env_ELU	Max	20,001	96,854	2,835	80,478	15,355	451,276
354	0,10	Env_ELU	Max	19,909	97,178	2,835	80,478	15,094	442,030
354	0,19	Env_ELU	Max	19,816	97,502	2,835	80,478	14,833	432,754
354	0,00	Env_ELU	Min	-65,451	45,122	-0,276	36,896	-2,039	129,060
354	0,10	Env_ELU	Min	-65,378	45,438	-0,205	36,896	-2,019	124,636
354	0,19	Env_ELU	Min	-65,305	45,754	-0,205	36,896	-1,999	120,180
355	0,00	Env_ELU	Max	19,787	97,467	3,940	87,958	15,307	431,246
355	0,10	Env_ELU	Max	19,694	97,791	3,940	87,958	14,934	421,943
355	0,19	Env_ELU	Max	19,601	98,115	3,940	87,958	14,561	412,608
355	0,00	Env_ELU	Min	-65,311	45,720	-0,343	39,025	-1,837	119,505
355	0,10	Env_ELU	Min	-65,238	46,037	-0,225	39,025	-1,835	115,016
355	0,19	Env_ELU	Min	-65,165	46,353	-0,107	39,025	-1,833	110,496
356	0,00	Env_ELU	Max	19,573	98,082	5,084	95,078	15,007	410,968
356	0,10	Env_ELU	Max	19,480	98,406	5,084	95,078	14,522	401,605
356	0,19	Env_ELU	Max	19,388	98,730	5,084	95,078	14,036	392,212
356	0,00	Env_ELU	Min	-65,146	46,321	-0,398	40,981	-1,683	109,785
356	0,10	Env_ELU	Min	-65,073	46,637	-0,276	40,981	-1,699	105,232
356	0,19	Env_ELU	Min	-65,001	46,954	-0,154	40,981	-1,715	100,647
357	0,00	Env_ELU	Max	19,360	98,698	6,259	101,995	14,456	390,445
357	0,10	Env_ELU	Max	19,268	99,022	6,259	101,995	13,858	381,024
357	0,19	Env_ELU	Max	19,175	99,346	6,259	101,995	13,261	371,571
357	0,00	Env_ELU	Min	-64,956	46,924	-0,441	42,763	-1,577	99,902
357	0,10	Env_ELU	Min	-64,884	47,240	-0,315	42,763	-1,611	95,284
357	0,19	Env_ELU	Min	-64,812	47,557	-0,188	42,763	-1,645	90,635
358	0,00	Env_ELU	Max	19,150	99,316	7,432	108,586	13,655	369,684



358	0,10	Env_ELU	Max	19,057	99,640	7,432	108,586	12,945	360,202
358	0,19	Env_ELU	Max	18,965	99,964	7,432	108,586	12,236	350,688
358	0,00	Env_ELU	Min	-64,742	47,529	-0,471	44,367	-1,518	89,859
358	0,10	Env_ELU	Min	-64,670	47,845	-0,341	44,367	-1,570	85,177
358	0,19	Env_ELU	Min	-64,598	48,162	-0,211	44,367	-1,622	80,463
359	0,00	Env_ELU	Max	18,941	99,948	8,603	114,806	12,606	348,688
359	0,10	Env_ELU	Max	18,850	100,275	8,603	114,806	11,784	339,144
359	0,19	Env_ELU	Max	18,758	100,603	8,603	114,806	10,962	329,569
359	0,00	Env_ELU	Min	-64,504	48,136	-0,489	45,791	-1,506	79,660
359	0,10	Env_ELU	Min	-64,432	48,453	-0,355	45,791	-1,575	74,912
359	0,19	Env_ELU	Min	-64,361	48,770	-0,221	45,791	-1,645	70,132
360	0,00	Env_ELU	Max	18,736	100,587	9,772	120,650	11,310	327,463
360	0,10	Env_ELU	Max	18,645	100,915	9,772	120,650	10,376	317,856
360	0,19	Env_ELU	Max	18,554	101,242	9,772	120,650	9,442	308,219
360	0,00	Env_ELU	Min	-64,241	48,746	-0,496	47,031	-1,540	69,305
360	0,10	Env_ELU	Min	-64,170	49,063	-0,357	47,031	-1,628	64,491
360	0,19	Env_ELU	Min	-64,099	49,380	-0,219	47,031	-1,715	59,646
361	0,00	Env_ELU	Max	107,956	226,517	8,350	0,465	4,350	28,832
361	0,27	Env_ELU	Max	107,956	227,245	8,350	0,465	6,647	-13,049
361	0,54	Env_ELU	Max	107,956	227,974	8,350	0,465	8,944	-35,095
361	0,00	Env_ELU	Min	-110,266	50,021	-8,519	-0,603	-4,141	-11,277
361	0,27	Env_ELU	Min	-110,266	50,750	-8,519	-0,603	-6,393	-43,016
361	0,54	Env_ELU	Min	-110,266	51,479	-8,519	-0,603	-8,644	-96,549
362	0,00	Env_ELU	Max	19,076	123,062	1,757	121,666	14,019	283,905
362	0,10	Env_ELU	Max	18,987	123,386	1,903	121,666	13,851	272,124
362	0,19	Env_ELU	Max	18,898	123,711	2,049	121,666	13,718	260,312
362	0,00	Env_ELU	Min	-65,545	52,636	-1,827	53,166	-2,735	48,122
362	0,10	Env_ELU	Min	-65,475	52,960	-1,827	53,166	-2,562	43,033
362	0,19	Env_ELU	Min	-65,405	53,285	-1,827	53,166	-2,388	37,913
363	0,00	Env_ELU	Max	18,882	123,698	2,685	126,280	13,995	258,091
363	0,10	Env_ELU	Max	18,794	124,023	2,685	126,280	13,837	246,253
363	0,19	Env_ELU	Max	18,706	124,347	2,685	126,280	13,679	234,384
363	0,00	Env_ELU	Min	-65,439	53,284	-1,646	53,832	-2,316	36,959
363	0,10	Env_ELU	Min	-65,370	53,608	-1,646	53,832	-2,159	31,808
363	0,19	Env_ELU	Min	-65,300	53,933	-1,646	53,832	-2,002	26,625
364	0,00	Env_ELU	Max	18,693	124,336	3,616	130,431	13,930	232,084
364	0,10	Env_ELU	Max	18,607	124,660	3,616	130,431	13,653	220,188
364	0,19	Env_ELU	Max	18,520	124,985	3,616	130,431	13,377	208,260
364	0,00	Env_ELU	Min	-65,309	53,932	-1,479	54,298	-1,941	25,661

364	0,10	Env_ELU	Min	-65,240	54,256	-1,479	54,298	-1,800	20,447
364	0,19	Env_ELU	Min	-65,171	54,581	-1,479	54,298	-1,658	15,202
365	0,00	Env_ELU	Max	18,510	124,974	4,546	134,116	13,601	205,892
365	0,10	Env_ELU	Max	18,424	125,299	4,546	134,116	13,206	193,936
365	0,19	Env_ELU	Max	18,339	125,623	4,546	134,116	12,811	181,949
365	0,00	Env_ELU	Min	-65,155	54,580	-1,312	54,560	-1,608	14,231
365	0,10	Env_ELU	Min	-65,086	54,904	-1,312	54,560	-1,483	8,955
365	0,19	Env_ELU	Min	-65,018	55,229	-1,312	54,560	-1,357	3,646
366	0,00	Env_ELU	Max	18,332	125,614	5,475	137,331	13,010	179,521
366	0,10	Env_ELU	Max	18,248	125,939	5,475	137,331	12,496	167,504
366	0,19	Env_ELU	Max	18,165	126,263	5,475	137,331	11,982	155,456
366	0,00	Env_ELU	Min	-64,976	55,228	-1,145	54,616	-1,318	2,673
366	0,10	Env_ELU	Min	-64,908	55,552	-1,145	54,616	-1,209	-2,667
366	0,19	Env_ELU	Min	-64,841	55,877	-1,145	54,616	-1,100	-8,038
367	0,00	Env_ELU	Max	18,161	126,255	6,618	140,074	12,156	152,976
367	0,10	Env_ELU	Max	18,079	126,579	6,618	140,074	11,524	140,897
367	0,19	Env_ELU	Max	17,997	126,904	6,618	140,074	10,891	128,788
367	0,00	Env_ELU	Min	-64,773	55,876	-0,977	54,464	-1,072	-9,010
367	0,10	Env_ELU	Min	-64,706	56,201	-0,977	54,464	-0,978	-14,414
367	0,19	Env_ELU	Min	-64,640	56,525	-0,977	54,464	-0,885	-19,849
368	0,00	Env_ELU	Max	17,997	126,897	7,856	142,342	11,041	126,264
368	0,10	Env_ELU	Max	17,917	127,221	7,856	142,342	10,290	114,123
368	0,19	Env_ELU	Max	17,837	127,546	7,856	142,342	9,539	101,950
368	0,00	Env_ELU	Min	-64,547	56,525	-0,809	54,103	-0,868	-20,817
368	0,10	Env_ELU	Min	-64,481	56,849	-0,809	54,103	-0,791	-26,284
368	0,19	Env_ELU	Min	-64,415	57,174	-0,809	54,103	-0,713	-31,783
369	0,00	Env_ELU	Max	17,841	127,540	9,092	144,132	9,664	99,391
369	0,10	Env_ELU	Max	17,763	127,864	9,092	144,132	8,795	87,186
369	0,19	Env_ELU	Max	17,685	128,189	9,092	144,132	7,926	74,950
369	0,00	Env_ELU	Min	-64,296	57,174	-0,641	53,529	-0,707	-32,742
369	0,10	Env_ELU	Min	-64,231	57,498	-0,641	53,529	-0,646	-38,274
369	0,19	Env_ELU	Min	-64,166	57,823	-0,641	53,529	-0,585	-43,837
370	0,00	Env_ELU	Max	17,693	128,184	10,325	145,442	8,025	72,365
370	0,10	Env_ELU	Max	17,617	128,509	10,325	145,442	7,038	60,095
370	0,19	Env_ELU	Max	17,541	128,833	10,325	145,442	6,051	47,794
370	0,00	Env_ELU	Min	-64,023	57,823	-0,472	52,740	-0,591	-44,785
370	0,10	Env_ELU	Min	-63,958	58,147	-0,472	52,740	-0,545	-50,381
370	0,19	Env_ELU	Min	-63,894	58,472	-0,472	52,740	-0,500	-56,009
371	0,00	Env_ELU	Max	17,553	128,829	11,555	146,268	6,125	45,191



371	0,10	Env_ELU	Max	17,480	129,154	11,555	146,268	5,020	32,861
371	0,19	Env_ELU	Max	17,406	129,478	11,555	146,268	3,916	20,499
371	0,00	Env_ELU	Min	-63,726	58,472	-0,304	51,735	-0,518	-56,941
371	0,10	Env_ELU	Min	-63,663	58,797	-0,304	51,735	-0,489	-62,599
371	0,19	Env_ELU	Min	-63,599	59,121	-0,304	51,735	-0,460	-68,290
372	0,00	Env_ELU	Max	17,423	129,475	12,781	146,609	3,964	17,889
372	0,10	Env_ELU	Max	17,351	129,800	12,781	146,609	2,935	5,502
372	0,19	Env_ELU	Max	17,280	130,124	12,781	146,609	2,358	-2,537
372	0,00	Env_ELU	Min	-63,406	59,122	-0,135	50,511	-0,489	-69,201
372	0,10	Env_ELU	Min	-63,344	59,446	-0,135	50,511	-0,809	-74,921
372	0,19	Env_ELU	Min	-63,282	59,771	-0,135	50,511	-1,310	-80,672
373	0,00	Env_ELU	Max	572,108	-4,727	16,020	-0,763	17,921	1,986
373	0,50	Env_ELU	Max	572,108	-1,752	16,020	-0,763	9,910	9,066
373	1,00	Env_ELU	Max	572,108	1,224	16,020	-0,763	1,900	13,842
373	1,50	Env_ELU	Max	572,108	5,336	16,020	-0,763	5,915	14,769
373	2,00	Env_ELU	Max	572,108	14,387	16,020	-0,763	13,268	11,215
373	2,50	Env_ELU	Max	572,108	23,437	16,020	-0,763	20,620	3,135
373	0,00	Env_ELU	Min	-836,245	-24,568	-14,706	-2,957	-16,144	-1,719
373	0,50	Env_ELU	Min	-836,245	-15,518	-14,706	-2,957	-8,791	2,738
373	1,00	Env_ELU	Min	-836,245	-6,467	-14,706	-2,957	-1,438	3,697
373	1,50	Env_ELU	Min	-836,245	1,188	-14,706	-2,957	-6,110	2,381
373	2,00	Env_ELU	Min	-836,245	4,164	-14,706	-2,957	-14,120	-0,462
373	2,50	Env_ELU	Min	-836,245	7,139	-14,706	-2,957	-22,130	-4,794
374	0,00	Env_ELU	Max	17,634	143,372	3,938	148,880	7,925	-17,736
374	0,10	Env_ELU	Max	17,568	143,696	3,938	148,880	7,658	-24,584
374	0,19	Env_ELU	Max	17,502	144,020	4,085	148,880	7,418	-31,463
374	0,00	Env_ELU	Min	-66,094	56,185	-2,320	59,178	-1,748	-99,094
374	0,10	Env_ELU	Min	-66,034	56,509	-2,320	59,178	-1,527	-111,334
374	0,19	Env_ELU	Min	-65,974	56,833	-2,320	59,178	-1,305	-123,605
375	0,00	Env_ELU	Max	17,527	144,037	4,962	147,704	7,388	-32,818
375	0,10	Env_ELU	Max	17,464	144,362	4,962	147,704	7,022	-39,728
375	0,19	Env_ELU	Max	17,400	144,686	4,962	147,704	6,655	-46,668
375	0,00	Env_ELU	Min	-65,926	56,838	-2,183	57,313	-1,367	-126,026
375	0,10	Env_ELU	Min	-65,867	57,162	-2,183	57,313	-1,158	-138,328
375	0,19	Env_ELU	Min	-65,808	57,487	-2,183	57,313	-0,950	-150,660
376	0,00	Env_ELU	Max	17,430	144,704	5,984	145,991	6,595	-48,010
376	0,10	Env_ELU	Max	17,370	145,029	5,984	145,991	6,102	-54,982
376	0,19	Env_ELU	Max	17,310	145,353	5,984	145,991	5,609	-61,985
376	0,00	Env_ELU	Min	-65,732	57,492	-2,044	55,235	-1,024	-153,037

376	0,10	Env_ELU	Min	-65,674	57,816	-2,044	55,235	-0,829	-165,402
376	0,19	Env_ELU	Min	-65,616	58,140	-2,044	55,235	-0,634	-177,797
377	0,00	Env_ELU	Max	17,346	145,372	7,004	143,740	5,519	-63,308
377	0,10	Env_ELU	Max	17,289	145,697	7,004	143,740	4,899	-70,344
377	0,19	Env_ELU	Max	17,231	146,021	7,004	143,740	4,279	-77,043
377	0,00	Env_ELU	Min	-65,514	58,146	-1,906	52,941	-0,720	-180,121
377	0,10	Env_ELU	Min	-65,457	58,470	-1,906	52,941	-0,538	-192,549
377	0,19	Env_ELU	Min	-65,400	58,794	-1,906	52,941	-0,356	-205,009
378	0,00	Env_ELU	Max	17,273	146,042	8,022	140,949	4,157	-78,369
378	0,10	Env_ELU	Max	17,219	146,366	8,022	140,949	3,411	-84,685
378	0,19	Env_ELU	Max	17,165	146,690	8,022	140,949	2,665	-91,032
378	0,00	Env_ELU	Min	-65,271	58,799	-1,766	50,431	-0,456	-207,271
378	0,10	Env_ELU	Min	-65,215	59,124	-1,766	50,431	-0,320	-219,765
378	0,19	Env_ELU	Min	-65,160	59,448	-1,766	50,431	-0,575	-232,289
379	0,00	Env_ELU	Max	17,212	146,712	9,133	137,617	2,510	-92,331
379	0,10	Env_ELU	Max	17,161	147,037	9,133	137,617	1,920	-98,712
379	0,19	Env_ELU	Max	17,111	147,361	9,133	137,617	1,512	-105,123
379	0,00	Env_ELU	Min	-65,003	59,454	-1,626	47,703	-0,673	-234,482
379	0,10	Env_ELU	Min	-64,949	59,778	-1,626	47,703	-0,975	-247,041
379	0,19	Env_ELU	Min	-64,895	60,102	-1,626	47,703	-1,278	-259,632
380	0,00	Env_ELU	Max	17,164	147,384	10,451	133,742	1,382	-106,391
380	0,10	Env_ELU	Max	17,117	147,708	10,451	133,742	1,133	-112,837
380	0,19	Env_ELU	Max	17,069	148,033	10,451	133,742	0,885	-119,314
380	0,00	Env_ELU	Min	-64,711	60,108	-1,486	44,754	-1,392	-261,745
380	0,10	Env_ELU	Min	-64,658	60,432	-1,486	44,754	-1,743	-274,372
380	0,19	Env_ELU	Min	-64,605	60,757	-1,486	44,754	-2,094	-287,030
381	0,00	Env_ELU	Max	17,129	148,057	11,766	129,323	0,737	-120,546
381	0,10	Env_ELU	Max	17,085	148,382	11,766	129,323	0,446	-127,058
381	0,19	Env_ELU	Max	17,041	148,706	11,766	129,323	0,345	-133,601
381	0,00	Env_ELU	Min	-64,395	60,763	-1,345	41,584	-2,224	-289,056
381	0,10	Env_ELU	Min	-64,343	61,087	-1,345	41,584	-3,211	-301,751
381	0,19	Env_ELU	Min	-64,291	61,412	-1,345	41,584	-4,304	-314,477
382	0,00	Env_ELU	Max	17,106	148,730	13,077	124,360	0,182	-134,792
382	0,10	Env_ELU	Max	17,066	149,054	13,077	124,360	0,297	-141,368
382	0,19	Env_ELU	Max	17,026	149,379	13,077	124,360	0,412	-147,974
382	0,00	Env_ELU	Min	-64,057	61,417	-1,203	38,192	-4,582	-316,407
382	0,10	Env_ELU	Min	-64,006	61,742	-1,203	38,192	-5,793	-329,221
382	0,19	Env_ELU	Min	-63,956	62,066	-1,203	38,192	-7,003	-342,588
383	0,00	Env_ELU	Max	17,097	149,403	14,383	118,856	0,233	-149,118



383	0,10	Env_ELU	Max	17,061	149,728	14,383	118,856	0,334	-155,755
383	0,19	Env_ELU	Max	17,024	150,052	14,383	118,856	0,436	-162,421
383	0,00	Env_ELU	Min	-63,695	62,072	-1,061	34,578	-7,320	-344,435
383	0,10	Env_ELU	Min	-63,646	62,396	-1,061	34,578	-8,648	-357,827
383	0,19	Env_ELU	Min	-63,597	62,721	-1,061	34,578	-9,975	-371,250
384	0,00	Env_ELU	Max	17,104	150,079	15,685	112,812	0,239	-163,515
384	0,10	Env_ELU	Max	17,072	150,403	15,685	112,812	0,327	-170,212
384	0,19	Env_ELU	Max	17,039	150,727	15,685	112,812	0,415	-176,940
384	0,00	Env_ELU	Min	-63,305	62,727	-0,919	30,743	-10,330	-372,980
384	0,10	Env_ELU	Min	-63,258	63,051	-0,919	30,743	-11,774	-386,429
384	0,19	Env_ELU	Min	-63,210	63,375	-0,919	30,743	-13,218	-399,909
385	0,00	Env_ELU	Max	572,108	-6,336	15,567	3,625	17,231	0,708
385	0,50	Env_ELU	Max	572,108	-3,360	15,567	3,625	9,448	8,409
385	1,00	Env_ELU	Max	572,108	-0,384	15,567	3,625	1,664	14,759
385	1,50	Env_ELU	Max	572,108	2,720	15,567	3,625	5,926	17,240
385	2,00	Env_ELU	Max	572,108	11,771	15,567	3,625	13,344	15,194
385	2,50	Env_ELU	Max	572,108	20,821	15,567	3,625	20,859	8,624
385	0,00	Env_ELU	Min	-836,245	-27,587	-15,031	0,674	-16,717	-3,777
385	0,50	Env_ELU	Min	-836,245	-18,536	-15,031	0,674	-9,202	2,409
385	1,00	Env_ELU	Min	-836,245	-9,486	-15,031	0,674	-1,686	4,068
385	1,50	Env_ELU	Min	-836,245	-1,401	-15,031	0,674	-6,119	3,516
385	2,00	Env_ELU	Min	-836,245	1,574	-15,031	0,674	-13,903	1,477
385	2,50	Env_ELU	Min	-836,245	4,550	-15,031	0,674	-21,687	-2,050
386	0,00	Env_ELU	Max	17,647	155,956	3,776	117,118	-0,442	-191,548
386	0,10	Env_ELU	Max	17,622	156,279	3,994	117,118	-0,060	-197,935
386	0,19	Env_ELU	Max	17,597	156,603	4,212	117,118	0,342	-204,351
386	0,00	Env_ELU	Min	-67,643	54,174	-3,886	40,590	-6,585	-429,361
386	0,10	Env_ELU	Min	-67,619	54,498	-4,104	40,590	-6,556	-442,689
386	0,19	Env_ELU	Min	-67,596	54,822	-4,323	40,590	-6,637	-456,049
387	0,00	Env_ELU	Max	17,673	156,668	4,437	109,498	0,138	-205,494
387	0,10	Env_ELU	Max	17,652	156,991	4,657	109,498	0,460	-211,946
387	0,19	Env_ELU	Max	17,631	157,315	4,877	109,498	0,803	-218,428
387	0,00	Env_ELU	Min	-67,443	54,834	-3,501	36,138	-6,995	-457,799
387	0,10	Env_ELU	Min	-67,420	55,158	-3,501	36,138	-7,344	-471,190
387	0,19	Env_ELU	Min	-67,396	55,481	-3,704	36,138	-7,799	-484,612
388	0,00	Env_ELU	Max	17,715	157,382	5,313	101,364	0,579	-219,504
388	0,10	Env_ELU	Max	17,698	157,706	5,323	101,364	0,842	-226,021
388	0,19	Env_ELU	Max	17,681	158,030	5,545	101,364	1,126	-232,569
388	0,00	Env_ELU	Min	-67,206	55,494	-3,395	31,488	-8,099	-486,212

388	0,10	Env_ELU	Min	-67,182	55,818	-3,395	31,488	-8,596	-499,666
388	0,19	Env_ELU	Min	-67,158	56,142	-3,395	31,488	-9,115	-513,151
389	0,00	Env_ELU	Max	17,773	158,100	6,417	92,718	0,878	-233,575
389	0,10	Env_ELU	Max	17,761	158,423	6,417	92,718	1,083	-240,159
389	0,19	Env_ELU	Max	17,748	158,747	6,417	92,718	1,308	-246,774
389	0,00	Env_ELU	Min	-66,931	56,155	-3,288	26,639	-9,444	-514,593
389	0,10	Env_ELU	Min	-66,907	56,478	-3,288	26,639	-10,005	-528,111
389	0,19	Env_ELU	Min	-66,882	56,802	-3,288	26,639	-10,587	-541,661
390	0,00	Env_ELU	Max	17,849	158,820	7,519	83,558	1,037	-247,704
390	0,10	Env_ELU	Max	17,841	159,143	7,519	83,558	1,183	-254,356
390	0,19	Env_ELU	Max	17,832	159,467	7,519	83,558	1,362	-261,039
390	0,00	Env_ELU	Min	-66,618	56,815	-3,181	21,591	-10,947	-542,935
390	0,10	Env_ELU	Min	-66,594	57,139	-3,181	21,591	-11,572	-556,519
390	0,19	Env_ELU	Min	-66,569	57,463	-3,181	21,591	-12,218	-570,135
391	0,00	Env_ELU	Max	17,942	159,542	8,618	73,885	1,052	-261,889
391	0,10	Env_ELU	Max	17,938	159,865	8,618	73,885	1,334	-268,609
391	0,19	Env_ELU	Max	17,933	160,189	8,618	73,885	1,627	-275,361
391	0,00	Env_ELU	Min	-66,267	57,476	-3,072	16,342	-12,611	-571,232
391	0,10	Env_ELU	Min	-66,242	57,800	-3,072	16,342	-13,300	-584,883
391	0,19	Env_ELU	Min	-66,217	58,124	-3,072	16,342	-14,011	-598,565
392	0,00	Env_ELU	Max	18,052	160,267	9,715	63,700	1,280	-276,126
392	0,10	Env_ELU	Max	18,052	160,590	9,715	63,700	1,563	-282,916
392	0,19	Env_ELU	Max	18,053	160,914	9,715	63,700	1,845	-289,737
392	0,00	Env_ELU	Min	-65,878	58,138	-2,962	10,892	-14,439	-599,476
392	0,10	Env_ELU	Min	-65,853	58,461	-2,962	10,892	-15,193	-614,404
392	0,19	Env_ELU	Min	-65,827	58,785	-2,962	10,892	-15,968	-629,597
393	0,00	Env_ELU	Max	18,180	160,993	10,809	53,002	1,470	-290,413
393	0,10	Env_ELU	Max	18,185	161,317	10,809	53,002	1,742	-297,274
393	0,19	Env_ELU	Max	18,189	161,641	10,809	53,002	2,014	-304,165
393	0,00	Env_ELU	Min	-65,451	58,799	-2,852	5,240	-16,434	-630,459
393	0,10	Env_ELU	Min	-65,425	59,123	-2,852	5,240	-17,252	-645,695
393	0,19	Env_ELU	Min	-65,399	59,447	-2,852	5,240	-18,242	-660,962
394	0,00	Env_ELU	Max	18,326	161,722	11,899	41,793	1,608	-304,748
394	0,10	Env_ELU	Max	18,335	162,046	11,899	41,793	1,870	-310,993
394	0,19	Env_ELU	Max	18,344	162,370	11,899	41,793	2,131	-316,840
394	0,00	Env_ELU	Min	-64,986	59,461	-2,740	-0,614	-18,728	-661,617
394	0,10	Env_ELU	Min	-64,959	59,785	-2,740	-0,614	-19,864	-676,927
394	0,19	Env_ELU	Min	-64,932	60,109	-2,740	-0,614	-21,000	-692,269
395	0,00	Env_ELU	Max	18,490	162,452	12,986	30,073	1,692	-317,157



395	0,10	Env_ELU	Max	18,504	162,776	12,986	30,073	1,943	-323,038
395	0,19	Env_ELU	Max	18,517	163,100	12,986	30,073	2,194	-328,951
395	0,00	Env_ELU	Min	-64,482	60,123	-2,628	-6,671	-21,530	-692,707
395	0,10	Env_ELU	Min	-64,455	60,447	-2,628	-6,671	-22,770	-708,094
395	0,19	Env_ELU	Min	-64,428	60,771	-2,628	-6,671	-24,010	-723,511
396	0,00	Env_ELU	Max	18,673	163,185	14,070	18,558	1,720	-329,166
396	0,10	Env_ELU	Max	18,691	163,509	14,070	18,558	1,961	-335,113
396	0,19	Env_ELU	Max	18,709	163,833	14,070	18,558	2,201	-341,090
396	0,00	Env_ELU	Min	-63,940	60,785	-2,514	-12,931	-24,708	-723,722
396	0,10	Env_ELU	Min	-63,912	61,109	-2,514	-12,931	-25,934	-739,186
396	0,19	Env_ELU	Min	-63,884	61,433	-2,514	-12,931	-27,275	-754,681
397	0,00	Env_ELU	Max	16,302	159,229	20,852	25,045	-0,994	-341,307
397	0,10	Env_ELU	Max	16,299	159,567	20,852	25,045	-1,157	-346,340
397	0,00	Env_ELU	Min	-80,015	48,225	-1,843	-20,147	-24,646	-754,352
397	0,10	Env_ELU	Min	-80,015	48,564	-1,843	-20,147	-26,694	-770,021
398	0,00	Env_ELU	Max	16,308	159,567	20,983	24,466	-1,157	-346,374
398	0,10	Env_ELU	Max	16,306	159,906	20,983	24,466	-0,975	-351,440
398	0,00	Env_ELU	Min	-79,981	48,564	-1,836	-20,824	-26,694	-770,026
398	0,10	Env_ELU	Min	-79,981	48,902	-1,836	-20,824	-28,755	-785,728
399	0,00	Env_ELU	Max	16,326	159,906	21,244	23,286	-0,975	-351,505
399	0,10	Env_ELU	Max	16,324	160,244	21,244	23,286	-0,794	-356,603
399	0,00	Env_ELU	Min	-79,912	48,902	-1,823	-22,208	-28,755	-785,732
399	0,10	Env_ELU	Min	-79,912	49,240	-1,823	-22,208	-30,839	-801,465
400	0,00	Env_ELU	Max	16,355	160,244	21,636	21,485	-0,794	-356,694
400	0,10	Env_ELU	Max	16,354	160,583	21,636	21,485	-0,614	-361,825
400	0,00	Env_ELU	Min	-79,807	49,240	-1,802	-24,327	-30,839	-801,455
400	0,10	Env_ELU	Min	-79,807	49,579	-1,802	-24,327	-32,959	-817,217
401	0,00	Env_ELU	Max	16,396	160,583	22,158	19,040	-0,614	-361,932
401	0,10	Env_ELU	Max	16,397	160,921	22,158	19,040	-0,438	-367,095
401	0,00	Env_ELU	Min	-79,663	49,579	-1,775	-27,212	-32,959	-817,174
401	0,10	Env_ELU	Min	-79,663	49,917	-1,775	-27,212	-35,128	-832,965
402	0,00	Env_ELU	Max	16,451	160,921	22,810	15,929	-0,438	-367,207
402	0,10	Env_ELU	Max	16,454	161,259	22,810	15,929	-0,265	-372,402
402	0,00	Env_ELU	Min	-79,479	49,917	-1,741	-30,891	-35,128	-832,860
402	0,10	Env_ELU	Min	-79,479	50,255	-1,741	-30,891	-37,357	-848,680
403	0,00	Env_ELU	Max	16,519	161,259	23,591	12,130	-0,265	-372,504
403	0,10	Env_ELU	Max	16,524	161,597	23,591	12,130	-0,096	-377,731
403	0,00	Env_ELU	Min	-79,251	50,255	-1,699	-35,395	-37,357	-848,480
403	0,10	Env_ELU	Min	-79,251	50,593	-1,699	-35,395	-39,658	-864,329

404	0,00	Env_ELU	Max	16,601	161,597	24,499	7,620	-0,096	-377,805
404	0,10	Env_ELU	Max	16,609	161,935	24,499	7,620	0,068	-383,064
404	0,00	Env_ELU	Min	-78,975	50,593	-1,651	-40,751	-39,658	-863,991
404	0,10	Env_ELU	Min	-78,975	50,931	-1,651	-40,751	-42,043	-879,870
405	0,00	Env_ELU	Max	107,956	1356,238	8,350	0,465	8,944	-35,095
405	0,27	Env_ELU	Max	107,956	1356,967	8,350	0,465	11,241	-114,704
405	0,54	Env_ELU	Max	107,956	1357,695	8,350	0,465	13,537	-194,509
405	0,00	Env_ELU	Min	-110,266	294,887	-8,519	-0,603	-8,644	-96,549
405	0,27	Env_ELU	Min	-110,266	295,615	-8,519	-0,603	-10,896	-462,331
405	0,54	Env_ELU	Min	-110,266	296,344	-8,519	-0,603	-13,147	-828,309
406	0,00	Env_ELU	Max	13,133	-38,339	7,648	89,685	-0,277	-366,138
406	0,10	Env_ELU	Max	13,147	-38,001	7,410	89,685	-1,025	-360,690
406	0,00	Env_ELU	Min	-69,933	-139,502	-17,675	21,905	-42,301	-862,905
406	0,10	Env_ELU	Min	-69,933	-139,164	-17,438	21,905	-41,301	-849,190
407	0,00	Env_ELU	Max	12,984	-38,001	7,986	80,278	-1,025	-360,917
407	0,10	Env_ELU	Max	13,001	-37,663	7,749	80,278	-1,807	-355,501
407	0,00	Env_ELU	Min	-70,035	-139,164	-17,275	17,763	-41,301	-850,059
407	0,10	Env_ELU	Min	-70,035	-138,826	-17,038	17,763	-40,378	-836,374
408	0,00	Env_ELU	Max	12,863	-37,663	8,242	72,323	-1,807	-355,658
408	0,10	Env_ELU	Max	12,882	-37,325	8,005	72,323	-2,614	-350,274
408	0,00	Env_ELU	Min	-70,115	-138,826	-16,897	14,266	-40,378	-837,030
408	0,10	Env_ELU	Min	-70,115	-138,488	-16,660	14,266	-39,518	-823,375
409	0,00	Env_ELU	Max	12,767	-37,325	8,414	65,788	-2,614	-350,379
409	0,10	Env_ELU	Max	12,788	-36,986	8,178	65,788	-3,133	-345,027
409	0,00	Env_ELU	Min	-70,176	-138,488	-16,542	11,397	-39,518	-823,860
409	0,10	Env_ELU	Min	-70,176	-138,150	-16,305	11,397	-38,713	-810,235
410	0,00	Env_ELU	Max	12,698	-36,986	8,505	60,634	-3,133	-345,094
410	0,10	Env_ELU	Max	12,720	-36,648	8,268	60,634	-3,089	-339,773
410	0,00	Env_ELU	Min	-70,222	-138,150	-16,210	9,137	-38,713	-810,582
410	0,10	Env_ELU	Min	-70,222	-137,811	-15,974	9,137	-37,950	-796,987
411	0,00	Env_ELU	Max	12,653	-36,648	8,514	56,826	-3,089	-339,814
411	0,10	Env_ELU	Max	12,677	-36,310	8,277	56,826	-3,046	-334,526
411	0,00	Env_ELU	Min	-70,254	-137,811	-15,902	7,469	-37,950	-797,225
411	0,10	Env_ELU	Min	-70,254	-137,473	-15,665	7,469	-37,220	-783,659
412	0,00	Env_ELU	Max	12,633	-36,310	8,441	54,324	-3,046	-334,549
412	0,10	Env_ELU	Max	12,658	-35,971	8,204	54,324	-3,004	-329,293
412	0,00	Env_ELU	Min	-70,275	-137,473	-15,618	6,375	-37,220	-783,808
412	0,10	Env_ELU	Min	-70,275	-137,134	-15,381	6,375	-36,511	-770,273
413	0,00	Env_ELU	Max	12,636	-35,971	8,286	53,092	-3,004	-329,303



413	0,10	Env_ELU	Max	12,661	-35,633	8,050	53,092	-2,962	-324,081
413	0,00	Env_ELU	Min	-70,285	-137,134	-15,357	5,837	-36,511	-770,344
413	0,10	Env_ELU	Min	-70,285	-136,796	-15,121	5,837	-35,819	-756,842
414	0,00	Env_ELU	Max	13,556	-47,183	-1,040	64,535	-3,224	-324,068
414	0,10	Env_ELU	Max	13,614	-46,858	-1,266	64,535	-2,909	-318,776
414	0,19	Env_ELU	Max	13,673	-46,533	-1,492	64,535	-2,594	-313,516
414	0,00	Env_ELU	Min	-79,963	-129,078	-19,696	13,730	-35,050	-757,845
414	0,10	Env_ELU	Min	-79,936	-128,753	-19,696	13,730	-33,163	-745,504
414	0,19	Env_ELU	Min	-79,908	-128,428	-19,696	13,730	-31,276	-733,194
415	0,00	Env_ELU	Max	13,547	-46,545	-0,574	52,307	-3,145	-313,704
415	0,10	Env_ELU	Max	13,609	-46,220	-0,799	52,307	-2,830	-308,467
415	0,19	Env_ELU	Max	13,670	-45,895	-1,024	52,307	-2,514	-303,261
415	0,00	Env_ELU	Min	-80,030	-128,533	-18,541	8,146	-32,440	-733,826
415	0,10	Env_ELU	Min	-80,003	-128,208	-18,541	8,146	-30,663	-721,538
415	0,19	Env_ELU	Min	-79,976	-127,883	-18,541	8,146	-28,887	-709,786
416	0,00	Env_ELU	Max	13,541	-45,906	-0,104	40,413	-3,032	-303,352
416	0,10	Env_ELU	Max	13,606	-45,581	-0,328	40,413	-2,717	-298,168
416	0,19	Env_ELU	Max	13,671	-45,256	-0,551	40,413	-2,401	-293,016
416	0,00	Env_ELU	Min	-80,089	-127,982	-17,416	2,705	-29,971	-710,490
416	0,10	Env_ELU	Min	-80,063	-127,657	-17,380	2,705	-28,305	-699,582
416	0,19	Env_ELU	Min	-80,036	-127,333	-17,380	2,705	-26,640	-688,705
417	0,00	Env_ELU	Max	13,536	-45,265	0,370	29,744	-2,886	-293,012
417	0,10	Env_ELU	Max	13,604	-44,940	0,148	29,744	-2,571	-287,886
417	0,19	Env_ELU	Max	13,672	-44,616	-0,074	29,744	-2,255	-282,792
417	0,00	Env_ELU	Min	-80,147	-127,423	-16,606	-3,678	-27,648	-689,191
417	0,10	Env_ELU	Min	-80,121	-127,098	-16,507	-3,678	-26,096	-678,346
417	0,19	Env_ELU	Min	-80,095	-126,773	-16,408	-3,678	-24,543	-667,532
418	0,00	Env_ELU	Max	13,535	-44,624	0,848	23,453	-2,711	-282,696
418	0,10	Env_ELU	Max	13,606	-44,299	0,628	23,453	-2,397	-277,629
418	0,19	Env_ELU	Max	13,678	-43,975	0,408	23,453	-2,082	-272,594
418	0,00	Env_ELU	Min	-80,197	-126,857	-15,792	-9,813	-25,483	-667,806
418	0,10	Env_ELU	Min	-80,171	-126,533	-15,694	-9,813	-24,043	-657,027
418	0,19	Env_ELU	Min	-80,145	-126,208	-15,596	-9,813	-22,603	-646,279
419	0,00	Env_ELU	Max	13,539	-43,983	1,331	17,320	-2,511	-272,410
419	0,10	Env_ELU	Max	13,614	-43,658	1,113	17,320	-2,196	-267,402
419	0,19	Env_ELU	Max	13,688	-43,334	0,894	17,320	-1,882	-262,426
419	0,00	Env_ELU	Min	-80,233	-126,290	-14,976	-16,348	-23,479	-646,348
419	0,10	Env_ELU	Min	-80,208	-125,966	-14,879	-16,348	-22,152	-635,635
419	0,19	Env_ELU	Min	-80,183	-125,641	-14,782	-16,348	-20,826	-624,952

420	0,00	Env_ELU	Max	13,548	-43,342	1,818	11,344	-2,286	-262,156
420	0,10	Env_ELU	Max	13,626	-43,017	1,602	11,344	-1,972	-257,207
420	0,19	Env_ELU	Max	13,704	-42,693	1,385	11,344	-1,658	-252,290
420	0,00	Env_ELU	Min	-80,256	-125,721	-14,158	-27,256	-21,640	-624,823
420	0,10	Env_ELU	Min	-80,231	-125,396	-14,062	-27,256	-20,427	-614,173
420	0,19	Env_ELU	Min	-80,206	-125,072	-13,965	-27,256	-19,214	-603,554
421	0,00	Env_ELU	Max	13,563	-42,700	2,311	5,523	-2,039	-251,938
421	0,10	Env_ELU	Max	13,644	-42,376	2,096	5,523	-1,726	-247,048
421	0,19	Env_ELU	Max	13,725	-42,052	1,882	5,523	-1,412	-242,188
421	0,00	Env_ELU	Min	-80,265	-125,149	-13,339	-37,724	-19,972	-603,234
421	0,10	Env_ELU	Min	-80,241	-124,825	-13,243	-37,724	-18,872	-592,647
421	0,19	Env_ELU	Min	-80,216	-124,500	-13,148	-37,724	-17,779	-582,091
422	0,00	Env_ELU	Max	13,583	-42,059	2,808	-0,144	-1,771	-241,758
422	0,10	Env_ELU	Max	13,667	-41,735	2,596	-0,144	-1,458	-236,926
422	0,19	Env_ELU	Max	13,752	-41,410	2,383	-0,144	-1,146	-232,125
422	0,00	Env_ELU	Min	-80,261	-124,574	-12,669	-47,751	-18,477	-581,586
422	0,10	Env_ELU	Min	-80,237	-124,250	-12,457	-47,751	-17,561	-571,062
422	0,19	Env_ELU	Min	-80,213	-123,926	-12,329	-47,751	-16,650	-560,568
423	0,00	Env_ELU	Max	13,608	-41,417	3,311	-5,658	-1,484	-231,619
423	0,10	Env_ELU	Max	13,696	-41,093	3,101	-5,658	-1,172	-226,845
423	0,19	Env_ELU	Max	13,783	-40,769	2,891	-5,658	-0,495	-222,103
423	0,00	Env_ELU	Min	-80,243	-123,997	-12,016	-57,337	-17,293	-559,886
423	0,10	Env_ELU	Min	-80,219	-123,673	-11,806	-57,337	-16,502	-549,423
423	0,19	Env_ELU	Min	-80,195	-123,349	-11,596	-57,337	-15,712	-538,991
424	0,00	Env_ELU	Max	13,639	-40,775	3,819	-11,019	-0,877	-221,524
424	0,10	Env_ELU	Max	13,729	-40,451	3,612	-11,019	0,131	-216,808
424	0,19	Env_ELU	Max	13,820	-40,127	3,404	-11,019	1,119	-212,123
424	0,00	Env_ELU	Min	-80,211	-123,417	-11,366	-66,483	-16,307	-538,137
424	0,10	Env_ELU	Min	-80,188	-123,093	-11,158	-66,483	-15,638	-527,735
424	0,19	Env_ELU	Min	-80,164	-122,769	-10,951	-66,483	-14,968	-517,363
425	0,00	Env_ELU	Max	86,095	221,340	27,316	67,051	87,636	0,316
425	0,38	Env_ELU	Max	86,095	222,616	28,216	67,051	97,766	-8,421
425	0,75	Env_ELU	Max	86,095	223,892	29,117	67,051	108,233	-17,636
425	0,00	Env_ELU	Min	-122,899	22,660	-26,563	-70,578	-71,417	-1211,995
425	0,38	Env_ELU	Min	-122,899	23,936	-27,463	-70,578	-81,829	-1292,000
425	0,75	Env_ELU	Min	-122,899	25,212	-28,364	-70,578	-92,579	-1372,483
426	0,00	Env_ELU	Max	19,908	-49,352	-2,154	-1,182	-2,346	-201,510
426	0,10	Env_ELU	Max	20,005	-49,028	-2,154	-1,182	-2,141	-196,453
426	0,19	Env_ELU	Max	20,101	-48,704	-2,154	-1,182	-1,935	-191,427



426	0,00	Env_ELU	Min	-74,165	-119,659	-15,377	-64,636	-20,503	-494,864
426	0,10	Env_ELU	Min	-74,142	-119,335	-15,377	-64,636	-19,043	-484,193
426	0,19	Env_ELU	Min	-74,119	-119,011	-15,377	-64,636	-17,583	-473,552
427	0,00	Env_ELU	Max	20,012	-48,709	-2,189	-6,065	-2,217	-190,893
427	0,10	Env_ELU	Max	20,112	-48,385	-2,189	-6,065	-2,008	-185,894
427	0,19	Env_ELU	Max	20,211	-48,061	-2,189	-6,065	-1,799	-180,927
427	0,00	Env_ELU	Min	-74,286	-119,048	-14,288	-72,492	-18,070	-472,691
427	0,10	Env_ELU	Min	-74,264	-118,724	-14,288	-72,492	-16,722	-462,079
427	0,19	Env_ELU	Min	-74,241	-118,399	-14,288	-72,492	-15,374	-451,497
428	0,00	Env_ELU	Max	20,118	-48,065	-1,868	-10,773	-2,064	-180,334
428	0,10	Env_ELU	Max	20,220	-47,741	-2,065	-10,773	-1,783	-175,394
428	0,19	Env_ELU	Max	20,322	-47,416	-2,223	-10,773	-1,095	-170,485
428	0,00	Env_ELU	Min	-74,395	-118,434	-13,193	-79,922	-15,824	-450,493
428	0,10	Env_ELU	Min	-74,373	-118,109	-13,193	-79,922	-14,588	-439,939
428	0,19	Env_ELU	Min	-74,350	-117,785	-13,193	-79,922	-13,352	-429,417
429	0,00	Env_ELU	Max	20,226	-47,420	-1,307	-15,306	-1,398	-169,838
429	0,10	Env_ELU	Max	20,330	-47,096	-1,502	-15,306	-0,688	-164,956
429	0,19	Env_ELU	Max	20,435	-46,771	-1,696	-15,306	0,003	-160,106
429	0,00	Env_ELU	Min	-74,491	-117,817	-12,095	-86,925	-13,768	-428,275
429	0,10	Env_ELU	Min	-74,469	-117,492	-12,095	-86,925	-12,644	-417,780
429	0,19	Env_ELU	Min	-74,447	-117,168	-12,095	-86,925	-11,521	-407,316
430	0,00	Env_ELU	Max	20,335	-46,774	-0,737	-19,667	-0,283	-159,406
430	0,10	Env_ELU	Max	20,442	-46,450	-0,929	-19,667	0,430	-154,582
430	0,19	Env_ELU	Max	20,549	-46,126	-1,120	-19,667	1,125	-149,790
430	0,00	Env_ELU	Min	-74,574	-117,197	-11,215	-93,502	-11,904	-406,044
430	0,10	Env_ELU	Min	-74,552	-116,872	-11,130	-93,502	-10,893	-395,606
430	0,19	Env_ELU	Min	-74,530	-116,548	-11,045	-93,502	-10,080	-385,199
431	0,00	Env_ELU	Max	20,444	-46,128	-0,157	-23,855	0,854	-149,041
431	0,10	Env_ELU	Max	20,554	-45,804	-0,346	-23,855	1,572	-144,276
431	0,19	Env_ELU	Max	20,664	-45,479	-0,534	-23,855	2,272	-139,542
431	0,00	Env_ELU	Min	-74,644	-116,574	-10,533	-99,653	-10,450	-383,804
431	0,10	Env_ELU	Min	-74,622	-116,249	-10,449	-99,653	-9,833	-373,423
431	0,19	Env_ELU	Min	-74,601	-115,925	-10,365	-99,653	-9,207	-363,073
432	0,00	Env_ELU	Max	20,555	-45,481	0,432	-27,873	2,015	-138,747
432	0,10	Env_ELU	Max	20,667	-45,156	0,247	-27,873	2,738	-134,040
432	0,19	Env_ELU	Max	20,779	-44,832	0,062	-27,873	3,443	-129,364
432	0,00	Env_ELU	Min	-74,701	-115,948	-9,851	-105,380	-9,551	-361,560
432	0,10	Env_ELU	Min	-74,679	-115,623	-9,768	-105,380	-9,024	-351,903
432	0,19	Env_ELU	Min	-74,657	-115,298	-9,685	-105,380	-8,490	-342,351

433	0,00	Env_ELU	Max	20,666	-44,833	1,032	-31,722	3,199	-128,526
433	0,10	Env_ELU	Max	20,781	-44,508	0,850	-31,722	3,928	-123,877
433	0,19	Env_ELU	Max	20,896	-44,183	0,667	-31,722	4,639	-119,260
433	0,00	Env_ELU	Min	-74,744	-115,319	-9,169	-110,681	-8,808	-340,956
433	0,10	Env_ELU	Min	-74,722	-114,994	-9,088	-110,681	-8,392	-331,429
433	0,19	Env_ELU	Min	-74,701	-114,669	-9,007	-110,681	-8,465	-321,932
434	0,00	Env_ELU	Max	20,778	-44,184	1,641	-35,402	4,407	-118,381
434	0,10	Env_ELU	Max	20,895	-43,859	1,462	-35,402	5,142	-113,791
434	0,19	Env_ELU	Max	21,012	-43,534	1,283	-35,402	5,860	-109,232
434	0,00	Env_ELU	Min	-74,773	-114,686	-8,489	-115,558	-8,587	-320,433
434	0,10	Env_ELU	Min	-74,752	-114,361	-8,409	-115,558	-8,736	-310,961
434	0,19	Env_ELU	Min	-74,730	-114,036	-8,329	-115,558	-8,867	-301,520
435	0,00	Env_ELU	Max	20,890	-43,534	2,261	-38,914	5,640	-108,316
435	0,10	Env_ELU	Max	21,010	-43,209	2,085	-38,914	6,383	-103,784
435	0,19	Env_ELU	Max	21,129	-42,884	1,910	-38,914	7,108	-99,283
435	0,00	Env_ELU	Min	-74,788	-114,051	-7,835	-120,010	-8,979	-299,921
435	0,10	Env_ELU	Min	-74,767	-113,725	-7,732	-120,010	-9,188	-290,504
435	0,19	Env_ELU	Min	-74,745	-113,400	-7,654	-120,010	-9,379	-281,119
436	0,00	Env_ELU	Max	21,005	-42,884	2,890	-41,667	6,901	-98,333
436	0,10	Env_ELU	Max	21,126	-42,559	2,718	-41,667	7,651	-93,176
436	0,19	Env_ELU	Max	21,247	-42,233	2,546	-41,667	8,384	-87,615
436	0,00	Env_ELU	Min	-74,783	-113,415	-7,913	-124,037	-9,479	-279,428
436	0,10	Env_ELU	Min	-74,762	-113,090	-7,740	-124,037	-9,748	-270,073
436	0,19	Env_ELU	Min	-74,741	-112,764	-7,568	-124,037	-10,000	-260,750
437	0,00	Env_ELU	Max	132,479	-68,202	43,134	70,509	124,120	-228,835
437	0,38	Env_ELU	Max	132,479	-66,926	42,233	70,509	108,114	-198,619
437	0,75	Env_ELU	Max	132,479	-65,650	41,332	70,509	92,445	-168,882
437	0,00	Env_ELU	Min	-225,810	-270,249	-39,425	-46,811	-116,392	-1414,067
437	0,38	Env_ELU	Min	-225,810	-268,973	-38,524	-46,811	-101,776	-1322,769
437	0,75	Env_ELU	Min	-225,810	-267,697	-37,624	-46,811	-87,499	-1231,949
438	0,00	Env_ELU	Max	27,157	-45,864	-1,713	-33,286	2,590	-75,147
438	0,10	Env_ELU	Max	27,282	-45,532	-1,713	-33,286	2,907	-70,012
438	0,19	Env_ELU	Max	27,407	-45,200	-1,713	-33,286	3,208	-64,909
438	0,00	Env_ELU	Min	-66,820	-102,718	-13,258	-121,730	-12,634	-239,240
438	0,10	Env_ELU	Min	-66,799	-102,393	-13,258	-121,730	-11,585	-230,140
438	0,19	Env_ELU	Min	-66,778	-102,068	-13,258	-121,730	-10,530	-221,072
439	0,00	Env_ELU	Max	27,356	-45,205	-1,782	-35,542	3,032	-63,664
439	0,10	Env_ELU	Max	27,483	-44,873	-1,782	-35,542	3,370	-58,590
439	0,19	Env_ELU	Max	27,609	-44,541	-1,782	-35,542	3,692	-53,548



439	0,00	Env_ELU	Min	-66,986	-102,065	-12,199	-124,549	-10,712	-219,495
439	0,10	Env_ELU	Min	-66,965	-101,739	-12,199	-124,549	-9,750	-210,459
439	0,19	Env_ELU	Min	-66,944	-101,414	-12,199	-124,549	-8,781	-201,455
440	0,00	Env_ELU	Max	27,553	-44,544	-1,851	-37,633	3,527	-52,286
440	0,10	Env_ELU	Max	27,680	-44,212	-1,851	-37,633	3,887	-47,276
440	0,19	Env_ELU	Max	27,808	-43,880	-1,851	-37,633	4,232	-42,296
440	0,00	Env_ELU	Min	-67,137	-101,410	-11,206	-126,979	-8,944	-199,812
440	0,10	Env_ELU	Min	-67,116	-101,085	-11,206	-126,979	-8,108	-190,840
440	0,19	Env_ELU	Min	-67,095	-100,759	-11,206	-126,979	-7,691	-181,899
441	0,00	Env_ELU	Max	27,746	-43,881	-1,920	-39,559	4,077	-41,021
441	0,10	Env_ELU	Max	27,875	-43,549	-1,920	-39,559	4,459	-36,072
441	0,19	Env_ELU	Max	28,004	-43,217	-1,920	-39,559	4,827	-31,155
441	0,00	Env_ELU	Min	-67,273	-100,754	-10,209	-129,024	-7,744	-180,198
441	0,10	Env_ELU	Min	-67,252	-100,428	-10,209	-129,024	-7,408	-171,288
441	0,19	Env_ELU	Min	-67,231	-100,103	-10,209	-129,024	-7,056	-162,409
442	0,00	Env_ELU	Max	27,935	-43,217	-1,987	-41,322	4,712	-29,869
442	0,10	Env_ELU	Max	28,066	-42,885	-1,987	-41,322	5,207	-24,983
442	0,19	Env_ELU	Max	28,196	-42,553	-1,987	-41,322	5,777	-20,128
442	0,00	Env_ELU	Min	-67,394	-100,096	-9,209	-130,685	-7,101	-160,655
442	0,10	Env_ELU	Min	-67,373	-99,771	-9,209	-130,685	-6,830	-151,807
442	0,19	Env_ELU	Min	-67,352	-99,446	-9,209	-130,685	-6,545	-142,990
443	0,00	Env_ELU	Max	28,121	-42,551	-2,047	-42,925	5,723	-18,835
443	0,10	Env_ELU	Max	28,252	-42,218	-2,054	-42,925	6,281	-14,011
443	0,19	Env_ELU	Max	28,384	-41,886	-2,054	-42,925	6,824	-9,218
443	0,00	Env_ELU	Min	-67,499	-99,437	-8,206	-131,963	-6,582	-141,189
443	0,10	Env_ELU	Min	-67,478	-99,112	-8,206	-131,963	-6,379	-132,402
443	0,19	Env_ELU	Min	-67,457	-98,786	-8,206	-131,963	-6,162	-123,647
444	0,00	Env_ELU	Max	28,302	-41,883	-1,331	-44,368	6,781	-7,921
444	0,10	Env_ELU	Max	28,435	-41,550	-1,473	-44,368	7,313	-3,158
444	0,19	Env_ELU	Max	28,568	-41,218	-1,614	-44,368	7,833	1,574
444	0,00	Env_ELU	Min	-67,590	-98,776	-7,527	-132,861	-6,190	-121,804
444	0,10	Env_ELU	Min	-67,569	-98,451	-7,464	-132,861	-6,055	-113,078
444	0,19	Env_ELU	Min	-67,548	-98,125	-7,401	-132,861	-5,907	-104,383
445	0,00	Env_ELU	Max	28,478	-41,213	-0,603	-45,655	7,799	2,871
445	0,10	Env_ELU	Max	28,612	-40,880	-0,740	-45,655	8,308	7,572
445	0,19	Env_ELU	Max	28,746	-40,547	-0,878	-45,655	8,803	12,242
445	0,00	Env_ELU	Min	-67,664	-98,114	-7,025	-133,381	-5,928	-102,506
445	0,10	Env_ELU	Min	-67,643	-97,788	-6,964	-133,381	-5,863	-94,786
445	0,19	Env_ELU	Min	-67,622	-97,463	-6,902	-133,381	-5,786	-90,480

446	0,00	Env_ELU	Max	28,650	-40,541	0,138	-46,785	8,780	13,536
446	0,10	Env_ELU	Max	28,785	-40,208	0,004	-46,785	9,265	18,173
446	0,19	Env_ELU	Max	28,919	-39,876	-0,129	-46,785	9,738	22,778
446	0,00	Env_ELU	Min	-67,723	-97,450	-6,526	-133,524	-5,797	-89,586
446	0,10	Env_ELU	Min	-67,702	-97,125	-6,466	-133,524	-5,804	-85,313
446	0,19	Env_ELU	Min	-67,681	-96,800	-6,407	-133,524	-5,798	-81,070
447	0,00	Env_ELU	Max	28,816	-39,868	0,890	-47,762	9,724	24,066
447	0,10	Env_ELU	Max	28,951	-39,535	0,761	-47,762	10,188	28,638
447	0,19	Env_ELU	Max	29,086	-39,202	0,631	-47,762	10,639	36,940
447	0,00	Env_ELU	Min	-67,766	-96,785	-6,030	-133,293	-5,803	-80,150
447	0,10	Env_ELU	Min	-67,745	-96,460	-5,972	-133,293	-5,882	-75,939
447	0,19	Env_ELU	Min	-67,724	-96,135	-5,914	-133,293	-5,948	-71,758
448	0,00	Env_ELU	Max	28,976	-39,193	1,654	-48,586	10,634	39,236
448	0,10	Env_ELU	Max	29,112	-38,860	1,529	-48,586	11,076	48,302
448	0,19	Env_ELU	Max	29,247	-38,527	1,403	-48,586	11,506	57,336
448	0,00	Env_ELU	Min	-67,793	-96,119	-6,014	-132,691	-5,945	-70,816
448	0,10	Env_ELU	Min	-67,772	-95,794	-5,889	-132,691	-6,097	-66,667
448	0,19	Env_ELU	Min	-67,751	-95,469	-5,763	-132,691	-6,238	-62,548
449	0,00	Env_ELU	Max	102,844	241,425	20,929	81,780	83,660	-39,194
449	0,38	Env_ELU	Max	102,844	242,701	21,830	81,780	96,295	-62,102
449	0,75	Env_ELU	Max	102,844	243,977	22,730	81,780	109,267	-85,488
449	0,00	Env_ELU	Min	-129,820	60,449	-33,242	-55,501	-74,972	-1306,490
449	0,38	Env_ELU	Min	-129,820	61,725	-34,143	-55,501	-82,989	-1397,264
449	0,75	Env_ELU	Min	-129,820	63,001	-35,043	-55,501	-91,344	-1488,516
450	0,00	Env_ELU	Max	34,075	-33,938	0,063	-43,276	5,793	76,648
450	0,10	Env_ELU	Max	34,211	-33,605	0,181	-43,276	5,844	83,907
450	0,19	Env_ELU	Max	34,347	-33,273	0,298	-43,276	6,069	91,135
450	0,00	Env_ELU	Min	-59,927	-78,935	-10,857	-132,502	-7,377	-52,789
450	0,10	Env_ELU	Min	-59,957	-78,614	-10,857	-132,502	-6,716	-48,743
450	0,19	Env_ELU	Min	-59,987	-78,292	-10,857	-132,502	-6,044	-44,728
451	0,00	Env_ELU	Max	34,333	-33,246	-0,363	-43,666	6,090	93,418
451	0,10	Env_ELU	Max	34,470	-32,914	-0,250	-43,666	6,415	100,611
451	0,19	Env_ELU	Max	34,606	-32,581	-0,137	-43,666	6,729	107,774
451	0,00	Env_ELU	Min	-60,179	-78,278	-9,884	-130,915	-6,020	-43,864
451	0,10	Env_ELU	Min	-60,209	-77,956	-9,884	-130,915	-5,433	-39,878
451	0,19	Env_ELU	Min	-60,239	-77,634	-9,884	-130,915	-4,836	-35,922
452	0,00	Env_ELU	Max	34,583	-32,553	-0,801	-43,918	6,759	110,023
452	0,10	Env_ELU	Max	34,719	-32,220	-0,692	-43,918	7,077	117,151
452	0,19	Env_ELU	Max	34,855	-31,888	-0,583	-43,918	7,384	124,249



452	0,00	Env_ELU	Min	-60,418	-77,620	-8,908	-129,026	-4,805	-35,046
452	0,10	Env_ELU	Min	-60,448	-77,298	-8,908	-129,026	-4,294	-31,119
452	0,19	Env_ELU	Min	-60,477	-76,976	-8,908	-129,026	-3,772	-27,223
453	0,00	Env_ELU	Max	34,822	-31,858	-1,252	-44,033	7,423	126,459
453	0,10	Env_ELU	Max	34,958	-31,525	-1,147	-44,033	7,734	133,523
453	0,19	Env_ELU	Max	35,095	-31,192	-1,042	-44,033	8,036	140,556
453	0,00	Env_ELU	Min	-60,644	-76,961	-7,974	-126,837	-3,735	-26,336
453	0,10	Env_ELU	Min	-60,673	-76,640	-7,974	-126,837	-3,301	-22,469
453	0,19	Env_ELU	Min	-60,702	-76,318	-7,974	-126,837	-2,857	-18,632
454	0,00	Env_ELU	Max	35,052	-31,160	-1,444	-43,998	8,083	142,722
454	0,10	Env_ELU	Max	35,188	-30,827	-1,444	-43,998	8,391	149,722
454	0,19	Env_ELU	Max	35,324	-30,495	-1,444	-43,998	8,688	156,691
454	0,00	Env_ELU	Min	-60,855	-76,303	-7,082	-124,352	-2,812	-17,738
454	0,10	Env_ELU	Min	-60,884	-75,981	-7,082	-124,352	-2,456	-13,929
454	0,19	Env_ELU	Min	-60,914	-75,659	-7,082	-124,352	-2,091	-10,150
455	0,00	Env_ELU	Max	35,271	-30,461	-1,541	-43,747	8,744	158,808
455	0,10	Env_ELU	Max	35,407	-30,128	-1,541	-43,747	9,048	165,745
455	0,19	Env_ELU	Max	35,543	-29,795	-1,541	-43,747	9,342	172,650
455	0,00	Env_ELU	Min	-61,053	-75,643	-6,187	-121,572	-2,040	-9,252
455	0,10	Env_ELU	Min	-61,082	-75,321	-6,187	-121,572	-1,763	-5,501
455	0,19	Env_ELU	Min	-61,110	-74,999	-6,187	-121,572	-1,478	-1,781
456	0,00	Env_ELU	Max	35,480	-29,760	-1,637	-43,364	9,407	174,713
456	0,10	Env_ELU	Max	35,615	-29,427	-1,637	-43,364	9,708	181,586
456	0,19	Env_ELU	Max	35,750	-29,094	-1,637	-43,364	10,000	188,428
456	0,00	Env_ELU	Min	-61,236	-74,983	-5,289	-118,502	-1,419	-0,881
456	0,10	Env_ELU	Min	-61,264	-74,661	-5,289	-118,502	-1,224	2,812
456	0,19	Env_ELU	Min	-61,292	-74,339	-5,289	-118,502	-1,020	6,474
457	0,00	Env_ELU	Max	35,679	-29,059	-1,134	-42,854	10,077	190,432
457	0,10	Env_ELU	Max	35,813	-28,726	-1,223	-42,854	10,376	197,236
457	0,19	Env_ELU	Max	35,948	-28,393	-1,312	-42,854	10,667	204,009
457	0,00	Env_ELU	Min	-61,402	-74,323	-4,847	-115,144	-0,952	7,372
457	0,10	Env_ELU	Min	-61,429	-74,001	-4,808	-115,144	-0,840	11,004
457	0,19	Env_ELU	Min	-61,457	-73,679	-4,768	-115,144	-0,718	14,606
458	0,00	Env_ELU	Max	35,866	-28,355	-0,266	-42,218	10,753	205,948
458	0,10	Env_ELU	Max	35,999	-28,022	-0,351	-42,218	11,051	212,682
458	0,19	Env_ELU	Max	36,133	-27,690	-0,436	-42,218	11,461	219,385
458	0,00	Env_ELU	Min	-61,553	-73,662	-4,527	-111,505	-0,644	15,499
458	0,10	Env_ELU	Min	-61,580	-73,341	-4,489	-111,505	-0,614	19,070
458	0,19	Env_ELU	Min	-61,607	-73,019	-4,452	-111,505	-0,577	22,610

459	0,00	Env_ELU	Max	36,039	-27,649	0,613	-41,300	11,590	221,283
459	0,10	Env_ELU	Max	36,171	-27,316	0,533	-41,300	11,992	228,116
459	0,19	Env_ELU	Max	36,304	-26,984	0,452	-41,300	12,389	234,918
459	0,00	Env_ELU	Min	-61,691	-73,001	-4,211	-107,589	-0,496	23,496
459	0,10	Env_ELU	Min	-61,717	-72,680	-4,175	-107,589	-0,551	27,006
459	0,19	Env_ELU	Min	-61,744	-72,358	-4,139	-107,589	-0,598	30,486
460	0,00	Env_ELU	Max	36,199	-26,939	1,504	-39,625	12,535	236,781
460	0,10	Env_ELU	Max	36,330	-26,607	1,427	-39,625	12,906	243,545
460	0,19	Env_ELU	Max	36,462	-26,274	1,350	-39,625	13,274	250,278
460	0,00	Env_ELU	Min	-61,815	-72,340	-4,728	-103,401	-0,511	31,362
460	0,10	Env_ELU	Min	-61,840	-72,018	-4,651	-103,401	-0,651	34,812
460	0,19	Env_ELU	Min	-61,866	-71,697	-4,574	-103,401	-0,784	38,231
461	0,00	Env_ELU	Max	138,893	-82,831	39,712	51,654	125,283	-387,892
461	0,38	Env_ELU	Max	138,893	-81,555	38,812	51,654	110,681	-340,329
461	0,75	Env_ELU	Max	138,893	-80,279	37,911	51,654	96,417	-293,245
461	0,00	Env_ELU	Min	-225,238	-290,417	-42,311	-63,778	-115,043	-1550,290
461	0,38	Env_ELU	Min	-225,238	-289,141	-41,411	-63,778	-99,345	-1448,760
461	0,75	Env_ELU	Min	-225,238	-287,865	-40,510	-63,778	-83,985	-1347,708
462	0,00	Env_ELU	Max	40,034	-18,594	3,274	-37,927	7,527	262,719
462	0,10	Env_ELU	Max	40,163	-18,262	3,344	-37,927	7,211	267,152
462	0,19	Env_ELU	Max	40,292	-17,930	3,413	-37,927	6,955	271,554
462	0,00	Env_ELU	Min	-59,120	-50,439	-6,439	-105,476	-2,057	45,676
462	0,10	Env_ELU	Min	-59,202	-50,118	-6,470	-105,476	-1,466	48,587
462	0,19	Env_ELU	Min	-59,285	-49,797	-6,501	-105,476	-0,869	51,467
463	0,00	Env_ELU	Max	40,299	-17,865	3,155	-36,640	7,139	273,377
463	0,10	Env_ELU	Max	40,427	-17,533	3,221	-36,640	7,286	277,742
463	0,19	Env_ELU	Max	40,554	-17,201	3,286	-36,640	7,431	282,077
463	0,00	Env_ELU	Min	-59,404	-49,784	-5,568	-100,639	-0,765	52,279
463	0,10	Env_ELU	Min	-59,484	-49,463	-5,597	-100,639	-0,260	55,132
463	0,19	Env_ELU	Min	-59,565	-49,142	-5,626	-100,639	0,251	57,955
464	0,00	Env_ELU	Max	40,549	-17,132	3,023	-34,645	7,630	283,811
464	0,10	Env_ELU	Max	40,675	-16,800	3,085	-34,645	7,759	288,109
464	0,19	Env_ELU	Max	40,802	-16,469	3,147	-34,645	7,885	292,375
464	0,00	Env_ELU	Min	-59,669	-49,129	-4,690	-95,620	0,361	58,750
464	0,10	Env_ELU	Min	-59,747	-48,808	-4,717	-95,620	0,780	61,547
464	0,19	Env_ELU	Min	-59,825	-48,487	-4,745	-95,620	1,204	64,313
465	0,00	Env_ELU	Max	40,783	-16,397	2,880	-32,583	8,101	294,018
465	0,10	Env_ELU	Max	40,908	-16,065	2,938	-32,583	8,212	298,248
465	0,19	Env_ELU	Max	41,033	-15,733	2,997	-32,583	8,321	302,448



465	0,00	Env_ELU	Min	-59,913	-48,473	-3,958	-90,420	1,321	65,088
465	0,10	Env_ELU	Min	-59,989	-48,152	-3,958	-90,420	1,651	67,829
465	0,19	Env_ELU	Min	-60,065	-47,831	-3,958	-90,420	1,988	70,540
466	0,00	Env_ELU	Max	41,002	-15,658	2,725	-30,458	8,555	303,995
466	0,10	Env_ELU	Max	41,125	-15,326	2,780	-30,458	8,649	308,158
466	0,19	Env_ELU	Max	41,248	-14,994	2,835	-30,458	8,740	312,290
466	0,00	Env_ELU	Min	-60,137	-47,817	-3,568	-85,044	2,112	71,293
466	0,10	Env_ELU	Min	-60,211	-47,496	-3,568	-85,044	2,353	73,978
466	0,19	Env_ELU	Min	-60,284	-47,175	-3,568	-85,044	2,600	76,633
467	0,00	Env_ELU	Max	41,204	-14,916	2,559	-28,272	8,994	313,740
467	0,10	Env_ELU	Max	41,325	-14,584	2,610	-28,272	9,070	317,836
467	0,19	Env_ELU	Max	41,447	-14,252	2,662	-28,272	9,248	321,901
467	0,00	Env_ELU	Min	-60,340	-47,160	-3,177	-79,496	2,732	77,363
467	0,10	Env_ELU	Min	-60,411	-46,839	-3,177	-79,496	2,884	79,993
467	0,19	Env_ELU	Min	-60,482	-46,518	-3,177	-79,496	3,005	82,593
468	0,00	Env_ELU	Max	41,390	-14,170	2,381	-26,029	9,481	323,250
468	0,10	Env_ELU	Max	41,509	-13,838	2,429	-26,029	9,740	327,279
468	0,19	Env_ELU	Max	41,629	-13,507	2,478	-26,029	9,999	331,278
468	0,00	Env_ELU	Min	-60,521	-46,503	-2,786	-74,635	3,125	83,297
468	0,10	Env_ELU	Min	-60,589	-46,182	-2,786	-74,635	3,119	85,872
468	0,19	Env_ELU	Min	-60,657	-45,861	-2,786	-74,635	3,117	88,417
469	0,00	Env_ELU	Max	41,559	-13,422	2,501	-23,731	10,253	332,523
469	0,10	Env_ELU	Max	41,677	-13,090	2,501	-23,731	10,483	336,485
469	0,19	Env_ELU	Max	41,794	-12,758	2,501	-23,731	10,713	340,417
469	0,00	Env_ELU	Min	-60,679	-45,845	-2,405	-69,674	3,247	89,094
469	0,10	Env_ELU	Min	-60,744	-45,524	-2,405	-69,674	3,215	91,615
469	0,19	Env_ELU	Min	-60,810	-45,203	-2,405	-69,674	3,186	94,051
470	0,00	Env_ELU	Max	41,711	-12,670	3,021	-21,381	10,988	341,556
470	0,10	Env_ELU	Max	41,827	-12,338	3,021	-21,381	11,189	345,452
470	0,19	Env_ELU	Max	41,943	-12,006	3,021	-21,381	11,390	349,316
470	0,00	Env_ELU	Min	-60,814	-45,186	-2,946	-64,536	3,326	94,545
470	0,10	Env_ELU	Min	-60,877	-44,865	-2,904	-64,536	3,268	96,391
470	0,19	Env_ELU	Min	-60,940	-44,544	-2,862	-64,536	3,051	98,205
471	0,00	Env_ELU	Max	41,846	-11,915	3,824	-18,982	11,688	350,347
471	0,10	Env_ELU	Max	41,960	-11,584	3,824	-18,982	11,860	354,176
471	0,19	Env_ELU	Max	42,074	-11,252	3,824	-18,982	12,032	357,974
471	0,00	Env_ELU	Min	-60,926	-44,527	-3,644	-59,226	3,282	98,668
471	0,10	Env_ELU	Min	-60,986	-44,206	-3,605	-59,226	2,943	100,452
471	0,19	Env_ELU	Min	-61,045	-43,884	-3,567	-59,226	2,604	102,204

472	0,00	Env_ELU	Max	41,963	-11,158	4,707	-16,536	12,355	358,894
472	0,10	Env_ELU	Max	42,075	-10,826	4,707	-16,536	12,498	362,656
472	0,19	Env_ELU	Max	42,187	-10,494	4,707	-16,536	12,640	366,386
472	0,00	Env_ELU	Min	-61,014	-43,867	-4,351	-53,746	2,849	102,635
472	0,10	Env_ELU	Min	-61,071	-43,546	-4,315	-53,746	2,459	104,356
472	0,19	Env_ELU	Min	-61,127	-43,224	-4,279	-53,746	2,068	106,046
473	0,00	Env_ELU	Max	45,830	-7,194	3,480	-17,122	12,962	367,289
473	0,10	Env_ELU	Max	45,911	-6,855	3,512	-17,122	13,179	368,878
473	0,00	Env_ELU	Min	-58,775	-18,841	-10,551	-57,008	1,554	106,514
473	0,10	Env_ELU	Min	-58,856	-18,502	-10,551	-57,008	2,333	107,509
474	0,00	Env_ELU	Max	45,917	-6,855	3,437	-16,891	13,179	368,967
474	0,10	Env_ELU	Max	45,998	-6,517	3,468	-16,891	13,394	370,522
474	0,00	Env_ELU	Min	-58,866	-18,502	-10,476	-56,483	2,333	107,546
474	0,10	Env_ELU	Min	-58,947	-18,164	-10,476	-56,483	3,108	108,508
475	0,00	Env_ELU	Max	46,009	-6,517	3,317	-16,427	13,394	370,697
475	0,10	Env_ELU	Max	46,089	-6,178	3,348	-16,427	13,604	372,219
475	0,00	Env_ELU	Min	-58,968	-18,164	-10,328	-55,427	3,108	108,582
475	0,10	Env_ELU	Min	-59,048	-17,825	-10,328	-55,427	3,873	109,510
476	0,00	Env_ELU	Max	46,105	-6,178	3,122	-15,728	13,604	372,474
476	0,10	Env_ELU	Max	46,184	-5,840	3,152	-15,728	13,807	373,961
476	0,00	Env_ELU	Min	-59,078	-17,825	-10,105	-53,832	3,873	109,618
476	0,10	Env_ELU	Min	-59,157	-17,487	-10,105	-53,832	4,467	110,512
477	0,00	Env_ELU	Max	46,204	-5,840	2,850	-14,790	13,807	374,287
477	0,10	Env_ELU	Max	46,282	-5,502	2,879	-14,790	14,000	375,741
477	0,00	Env_ELU	Min	-59,195	-17,487	-9,807	-51,690	4,467	110,652
477	0,10	Env_ELU	Min	-59,273	-17,149	-9,807	-51,690	4,781	111,512
478	0,00	Env_ELU	Max	46,304	-5,502	2,500	-13,612	14,000	376,126
478	0,10	Env_ELU	Max	46,380	-5,163	2,527	-13,612	14,346	377,545
478	0,00	Env_ELU	Min	-59,317	-17,149	-9,434	-48,994	4,781	111,681
478	0,10	Env_ELU	Min	-59,394	-16,810	-9,434	-48,994	5,085	112,507
479	0,00	Env_ELU	Max	46,403	-5,163	2,071	-12,191	14,346	377,975
479	0,10	Env_ELU	Max	46,477	-4,825	2,097	-12,191	14,850	379,360
479	0,00	Env_ELU	Min	-59,442	-16,810	-8,991	-45,736	5,085	112,699
479	0,10	Env_ELU	Min	-59,517	-16,472	-8,991	-45,736	5,376	113,492
480	0,00	Env_ELU	Max	46,498	-4,825	1,564	-10,525	14,850	379,815
480	0,10	Env_ELU	Max	46,571	-4,487	1,588	-10,525	15,327	381,166
480	0,00	Env_ELU	Min	-59,566	-16,472	-8,521	-41,909	5,376	113,703
480	0,10	Env_ELU	Min	-59,638	-16,134	-8,521	-41,909	5,651	114,461
481	0,00	Env_ELU	Max	46,588	-4,487	0,980	-8,622	15,327	381,622



481	0,10	Env_ELU	Max	46,658	-4,149	1,003	-8,622	15,842	382,940
481	0,00	Env_ELU	Min	-59,685	-16,134	-7,984	-37,528	5,651	114,683
481	0,10	Env_ELU	Min	-59,755	-15,796	-7,984	-37,528	5,818	115,408
482	0,00	Env_ELU	Max	46,667	-4,149	0,773	-6,712	15,842	383,331
482	0,10	Env_ELU	Max	46,734	-3,811	0,773	-6,712	16,581	384,615
482	0,00	Env_ELU	Min	-59,792	-15,796	-7,446	-33,120	5,818	115,610
482	0,10	Env_ELU	Min	-59,859	-15,458	-7,446	-33,120	5,741	116,301
483	0,00	Env_ELU	Max	46,736	-3,811	0,691	-5,028	16,581	384,905
483	0,10	Env_ELU	Max	46,801	-3,473	0,691	-5,028	17,274	386,156
483	0,00	Env_ELU	Min	-59,883	-15,458	-6,973	-29,222	5,741	116,463
483	0,10	Env_ELU	Min	-59,948	-15,120	-6,973	-29,222	5,672	117,121
484	0,00	Env_ELU	Max	46,798	-3,473	0,620	-3,580	17,274	386,364
484	0,10	Env_ELU	Max	46,861	-3,135	0,620	-3,580	17,927	387,582
484	0,00	Env_ELU	Min	-59,963	-15,120	-6,566	-25,864	5,672	117,247
484	0,10	Env_ELU	Min	-60,026	-14,782	-6,566	-25,864	5,611	117,871
485	0,00	Env_ELU	Max	46,855	-3,135	0,562	-2,372	17,927	387,726
485	0,10	Env_ELU	Max	46,917	-2,797	0,562	-2,372	18,546	388,911
485	0,00	Env_ELU	Min	-60,034	-14,782	-6,412	-23,054	5,611	117,968
485	0,10	Env_ELU	Min	-60,096	-14,444	-6,395	-23,054	5,555	118,559
486	0,00	Env_ELU	Max	46,910	-2,797	0,520	-1,404	18,546	389,008
486	0,10	Env_ELU	Max	46,970	-2,459	0,520	-1,404	19,138	390,159
486	0,00	Env_ELU	Min	-60,099	-14,444	-6,523	-20,796	5,555	118,630
486	0,10	Env_ELU	Min	-60,160	-14,106	-6,507	-20,796	5,504	119,188
487	0,00	Env_ELU	Max	46,964	-2,459	0,526	-0,677	19,138	390,220
487	0,10	Env_ELU	Max	47,023	-2,120	0,526	-0,677	19,710	391,338
487	0,00	Env_ELU	Min	-60,161	-14,106	-6,604	-19,096	5,504	119,238
487	0,10	Env_ELU	Min	-60,220	-13,767	-6,588	-19,096	5,456	119,762
488	0,00	Env_ELU	Max	47,018	-2,120	0,530	-0,192	19,710	391,374
488	0,10	Env_ELU	Max	47,077	-1,782	0,530	-0,192	20,268	392,459
488	0,00	Env_ELU	Min	-60,220	-13,767	-6,652	-17,959	5,456	119,794
488	0,10	Env_ELU	Min	-60,278	-13,429	-6,637	-17,959	5,411	120,285
489	0,00	Env_ELU	Max	47,074	-1,782	0,532	0,051	20,268	392,475
489	0,10	Env_ELU	Max	47,132	-1,443	0,532	0,051	20,820	393,526
489	0,00	Env_ELU	Min	-60,278	-13,429	-6,669	-17,388	5,411	120,300
489	0,10	Env_ELU	Min	-60,336	-13,090	-6,654	-17,388	5,367	120,757
490	0,00	Env_ELU	Max	47,816	21,637	6,379	-1,301	17,312	393,567
490	0,10	Env_ELU	Max	47,897	21,962	6,392	-1,301	17,187	391,644
490	0,19	Env_ELU	Max	47,978	22,287	6,404	-1,301	17,061	389,691
490	0,00	Env_ELU	Min	-59,216	-3,135	-4,575	-23,673	4,861	120,839

490	0,10	Env_ELU	Min	-59,242	-2,814	-4,588	-23,673	4,847	120,476
490	0,19	Env_ELU	Min	-59,268	-2,494	-4,600	-23,673	4,471	120,082
491	0,00	Env_ELU	Max	48,055	22,216	6,022	1,312	17,669	389,916
491	0,10	Env_ELU	Max	48,132	22,541	6,033	1,312	17,475	387,938
491	0,19	Env_ELU	Max	48,209	22,865	6,043	1,312	17,282	385,929
491	0,00	Env_ELU	Min	-59,360	-2,422	-3,527	-17,459	4,695	120,227
491	0,10	Env_ELU	Min	-59,383	-2,101	-3,537	-17,459	4,343	119,802
491	0,19	Env_ELU	Min	-59,406	-1,781	-3,548	-17,459	3,990	119,346
492	0,00	Env_ELU	Max	48,270	22,797	5,658	3,880	17,861	386,032
492	0,10	Env_ELU	Max	48,342	23,122	5,667	3,880	17,599	383,998
492	0,19	Env_ELU	Max	48,415	23,446	5,676	3,880	17,338	381,934
492	0,00	Env_ELU	Min	-59,480	-1,710	-2,472	-12,614	4,206	119,452
492	0,10	Env_ELU	Min	-59,499	-1,390	-2,481	-12,614	3,935	118,965
492	0,19	Env_ELU	Min	-59,519	-1,069	-2,490	-12,614	3,662	118,447
493	0,00	Env_ELU	Max	48,460	23,380	5,288	6,401	17,890	381,915
493	0,10	Env_ELU	Max	48,528	23,705	5,295	6,401	17,561	379,826
493	0,19	Env_ELU	Max	48,597	24,029	5,302	6,401	17,232	377,706
493	0,00	Env_ELU	Min	-59,574	-1,001	-1,412	-10,245	3,871	118,516
493	0,10	Env_ELU	Min	-59,591	-0,680	-1,420	-10,245	3,680	117,967
493	0,19	Env_ELU	Min	-59,607	-0,359	-1,427	-10,245	3,489	117,387
494	0,00	Env_ELU	Max	48,626	23,966	4,911	11,430	17,758	377,567
494	0,10	Env_ELU	Max	48,690	24,290	4,917	11,430	17,362	375,422
494	0,19	Env_ELU	Max	48,755	24,615	4,923	11,430	16,966	373,245
494	0,00	Env_ELU	Min	-59,643	-0,293	-0,518	-7,871	3,691	117,418
494	0,10	Env_ELU	Min	-59,656	0,029	-0,518	-7,871	3,581	116,807
494	0,19	Env_ELU	Min	-59,670	0,350	-0,518	-7,871	3,471	116,165
495	0,00	Env_ELU	Max	48,767	24,554	4,849	17,886	17,468	372,989
495	0,10	Env_ELU	Max	48,828	24,878	4,849	17,886	17,004	370,787
495	0,19	Env_ELU	Max	48,889	25,203	4,849	17,886	16,626	368,554
495	0,00	Env_ELU	Min	-59,686	0,414	-0,506	-5,495	3,666	116,159
495	0,10	Env_ELU	Min	-59,696	0,735	-0,506	-5,495	3,639	115,486
495	0,19	Env_ELU	Min	-59,707	1,057	-0,506	-5,495	3,611	114,782
496	0,00	Env_ELU	Max	48,885	25,144	5,553	24,250	17,042	368,181
496	0,10	Env_ELU	Max	48,942	25,469	5,553	24,250	16,748	365,922
496	0,19	Env_ELU	Max	48,999	25,793	5,553	24,250	16,455	363,632
496	0,00	Env_ELU	Min	-59,704	1,118	-0,611	-3,120	3,799	114,739
496	0,10	Env_ELU	Min	-59,711	1,440	-0,611	-3,120	3,853	114,003
496	0,19	Env_ELU	Min	-59,718	1,762	-0,611	-3,120	3,907	113,237
497	0,00	Env_ELU	Max	48,979	25,737	6,255	30,519	16,853	363,144



497	0,10	Env_ELU	Max	49,032	26,062	6,255	30,519	16,482	360,827
497	0,19	Env_ELU	Max	49,085	26,387	6,255	30,519	16,111	358,480
497	0,00	Env_ELU	Min	-59,695	1,821	-1,432	-0,748	4,089	113,158
497	0,10	Env_ELU	Min	-59,700	2,143	-1,429	-0,748	4,226	112,360
497	0,19	Env_ELU	Min	-59,704	2,466	-1,426	-0,748	4,363	111,532
498	0,00	Env_ELU	Max	49,049	26,333	6,955	36,690	16,492	357,878
498	0,10	Env_ELU	Max	49,099	26,658	6,955	36,690	16,044	355,504
498	0,19	Env_ELU	Max	49,148	26,983	6,955	36,690	15,595	353,099
498	0,00	Env_ELU	Min	-59,661	2,521	-2,295	1,618	4,539	111,416
498	0,10	Env_ELU	Min	-59,663	2,844	-2,293	1,618	4,686	110,557
498	0,19	Env_ELU	Min	-59,664	3,167	-2,291	1,618	4,438	109,666
499	0,00	Env_ELU	Max	49,096	26,932	7,653	42,760	15,961	352,386
499	0,10	Env_ELU	Max	49,143	27,256	7,653	42,760	15,435	349,954
499	0,19	Env_ELU	Max	49,189	27,581	7,653	42,760	14,919	347,490
499	0,00	Env_ELU	Min	-59,601	3,220	-3,161	3,975	4,690	109,515
499	0,10	Env_ELU	Min	-59,600	3,543	-3,160	3,975	4,408	108,593
499	0,19	Env_ELU	Min	-59,598	3,866	-3,158	3,975	4,125	107,640
500	0,00	Env_ELU	Max	49,121	27,533	8,349	48,723	15,261	346,667
500	0,10	Env_ELU	Max	49,165	27,858	8,349	48,723	15,078	344,176
500	0,19	Env_ELU	Max	49,208	28,183	8,349	48,723	14,908	341,653
500	0,00	Env_ELU	Min	-59,516	3,916	-4,028	6,320	4,370	107,454
500	0,10	Env_ELU	Min	-59,512	4,239	-4,027	6,320	4,126	106,470
500	0,19	Env_ELU	Min	-59,508	4,563	-4,026	6,320	3,882	105,454



APÉNDICE IV: CIMENTACIONES Y ESTRIBOS



1. CÁLCULO DE ZAPATAS Y PLACAS DE ANCLAJE

ZAPATA 1

REACCIONES EN BASE DE PILAS:

Elemento\Reacción	N(KN)	M2(KNm)	M3(KNm)	Q2(KN)	Q3(KN)	T(KNm)
Pila 1	628,84	71,78	29,34	11,22	36,2	2,18
Pila 2	310,84	92,06	26,04	12,24	48,77	1,52

PLACAS DE ANCLAJE:

Comprobación	Valores	Estado
Referencia: Zapata 1 -Placa base: Ancho X: 350 mm Ancho Y: 350 mm Espesor: 15 mm -Pernos: 4Ø16 mm L=20 cm Gancho a 180 grados -Disposición: Posición X: Centrada Posición Y: Centrada -Rigidizadores: Paralelos X: 2(100x50x4.0) Paralelos Y: -		
Separación mínima entre pernos: <i>3 diámetros</i>	Mínimo: 48 mm Calculado: 291 mm	Cumple
Separación mínima pernos-borde: <i>1.5 diámetros</i>	Mínimo: 24 mm Calculado: 30 mm	Cumple
Esbeltez de rigidizadores: - Paralelos a X:	Máximo: 50 Calculado: 49.4	Cumple
Longitud mínima del perno: <i>Se calcula la longitud de anclaje necesaria por adherencia.</i>	Mínimo: 16 cm Calculado: 20 cm	Cumple
Anclaje perno en hormigón: - Tracción: - Cortante: - Tracción + Cortante:	Máximo: 40.15 kN Calculado: 0 kN Máximo: 28.11 kN Calculado: 19.03 kN Máximo: 40.15 kN Calculado: 27.18 kN	Cumple Cumple Cumple
Tracción en vástago de pernos:	Máximo: 64.32 kN Calculado: 0 kN	Cumple
Tensión de Von Mises en vástago de pernos:	Máximo: 400 MPa Calculado: 153.698 MPa	Cumple
Aplastamiento perno en placa: <i>Límite del cortante en un perno actuando contra la placa</i>	Máximo: 132 kN Calculado: 16.05 kN	Cumple
Tensión de Von Mises en secciones globales: - Derecha: - Izquierda:	Máximo: 275 MPa Calculado: 122.199 MPa Calculado: 125.721 MPa	Cumple Cumple

Comprobación	Valores	Estado
Referencia: Zapata 1 -Placa base: Ancho X: 350 mm Ancho Y: 350 mm Espesor: 15 mm -Pernos: 4Ø16 mm L=20 cm Gancho a 180 grados -Disposición: Posición X: Centrada Posición Y: Centrada -Rigidizadores: Paralelos X: 2(100x50x4.0) Paralelos Y: -		
- Arriba:	Calculado: 270.217 MPa	Cumple
- Abajo:	Calculado: 274.099 MPa	Cumple
Flecha global equivalente: <i>Limitación de la deformabilidad de los vuelos</i>		
	Mínimo: 250	
- Derecha:	Calculado: 23732.1	Cumple
- Izquierda:	Calculado: 19381.4	Cumple
- Arriba:	Calculado: 687.788	Cumple
- Abajo:	Calculado: 687.788	Cumple
Tensión de Von Mises local: <i>Tensión por tracción de pernos sobre placas en voladizo</i>		
	Máximo: 275 MPa Calculado: 0 MPa	Cumple
Se cumplen todas las comprobaciones		
Información adicional: - Relación rotura pésima sección de hormigón: 0.234		

CIMENTACIÓN:

Comprobación	Valores	Estado
Referencia: Zapata 1 Dimensiones: 405 x 85 x 55 Armados: Xi:Ø16c/18 Yi:Ø12c/22 Xs:Ø12c/17 Ys:Ø12c/22		
Tensiones sobre el terreno: <i>Criterio de CYPE Ingenieros</i>		
- Tensión media en situaciones persistentes:	Máximo: 0.5 MPa Calculado: 0.295575 MPa	Cumple
- Tensión máxima en situaciones persistentes:	Máximo: 0.624995 MPa Calculado: 0.592818 MPa	Cumple
Vuelco de la zapata: <i>Si el % de reserva de seguridad es mayor que cero, quiere decir que los coeficientes de seguridad al vuelco son mayores que los valores estrictos exigidos para todas las combinaciones de equilibrio.</i>		
- En dirección X:	Reserva seguridad: 81.3 %	Cumple
- En dirección Y:	Reserva seguridad: 51741.3 %	Cumple
Flexión en la zapata:		
- En dirección X:	Momento: 154.51 kN·m	Cumple
- En dirección Y:	Momento: 46.46 kN·m	Cumple



Referencia: Zapata 1		
Dimensiones: 405 x 85 x 55		
Armados: Xi:Ø16c/18 Yi:Ø12c/22 Xs:Ø12c/17 Ys:Ø12c/22		
Comprobación	Valores	Estado
Cortante en la zapata:		
- En dirección X:	Cortante: 215.04 kN	Cumple
- En dirección Y:	Cortante: 0.00 kN	Cumple
Compresión oblicua en la zapata:		
- Situaciones persistentes: <i>Criterio de CYPE Ingenieros</i>	Máximo: 6000 kN/m ² Calculado: 1492.4 kN/m ²	Cumple
Canto mínimo: <i>Artículo 58.8.1 (norma EHE-08)</i>	Mínimo: 25 cm Calculado: 55 cm	Cumple
Espacio para anclar arranques en cimentación:	Mínimo: 25 cm	
- N1:	Calculado: 48 cm	Cumple
- N3:	Calculado: 48 cm	Cumple
Cuantía geométrica mínima: <i>Artículo 42.3.5 (norma EHE-08)</i>	Mínimo: 0.0009	
- Armado inferior dirección X:	Calculado: 0.0021	Cumple
- Armado superior dirección X:	Calculado: 0.0013	Cumple
- Armado inferior dirección Y:	Calculado: 0.001	Cumple
- Armado superior dirección Y:	Calculado: 0.001	Cumple
Cuantía mínima necesaria por flexión: <i>Artículo 42.3.2 (norma EHE-08)</i>		
- Armado inferior dirección X:	Mínimo: 0.0019 Calculado: 0.0021	Cumple
- Armado inferior dirección Y:	Mínimo: 0.0002 Calculado: 0.001	Cumple
- Armado superior dirección X:	Mínimo: 0.0013 Calculado: 0.0013	Cumple
Diámetro mínimo de las barras: <i>Recomendación del Artículo 58.8.2 (norma EHE-08)</i>	Mínimo: 12 mm	
- Parrilla inferior:	Calculado: 12 mm	Cumple
- Parrilla superior:	Calculado: 12 mm	Cumple
Separación máxima entre barras: <i>Artículo 58.8.2 (norma EHE-08)</i>	Máximo: 30 cm	
- Armado inferior dirección X:	Calculado: 18 cm	Cumple
- Armado inferior dirección Y:	Calculado: 22 cm	Cumple
- Armado superior dirección X:	Calculado: 17 cm	Cumple

Referencia: Zapata 1		
Dimensiones: 405 x 85 x 55		
Armados: Xi:Ø16c/18 Yi:Ø12c/22 Xs:Ø12c/17 Ys:Ø12c/22		
Comprobación	Valores	Estado
- Armado superior dirección Y:	Calculado: 22 cm	Cumple
Separación mínima entre barras: <i>Recomendación del libro "Cálculo de estructuras de cimentación", J. Calavera. ed. INTEMAC, 1991</i>	Mínimo: 10 cm	
- Armado inferior dirección X:	Calculado: 18 cm	Cumple
- Armado inferior dirección Y:	Calculado: 22 cm	Cumple
- Armado superior dirección X:	Calculado: 17 cm	Cumple
- Armado superior dirección Y:	Calculado: 22 cm	Cumple
Longitud de anclaje: <i>Criterio del libro "Cálculo de estructuras de cimentación", J. Calavera. ed. INTEMAC, 1991</i>		
- Armado inf. dirección X hacia der:	Mínimo: 16 cm Calculado: 16 cm	Cumple
- Armado inf. dirección X hacia izq:	Mínimo: 54 cm Calculado: 54 cm	Cumple
- Armado inf. dirección Y hacia arriba:	Mínimo: 15 cm Calculado: 15 cm	Cumple
- Armado inf. dirección Y hacia abajo:	Mínimo: 15 cm Calculado: 15 cm	Cumple
- Armado sup. dirección X hacia der:	Mínimo: 34 cm Calculado: 154 cm	Cumple
- Armado sup. dirección X hacia izq:	Mínimo: 33 cm Calculado: 168 cm	Cumple
- Armado sup. dirección Y hacia arriba:	Mínimo: 15 cm Calculado: 15 cm	Cumple
- Armado sup. dirección Y hacia abajo:	Mínimo: 15 cm Calculado: 15 cm	Cumple
Longitud mínima de las patillas:		
- Armado inf. dirección X hacia der:	Mínimo: 16 cm Calculado: 16 cm	Cumple
- Armado inf. dirección X hacia izq:	Mínimo: 16 cm Calculado: 16 cm	Cumple
- Armado inf. dirección Y hacia arriba:	Mínimo: 12 cm Calculado: 15 cm	Cumple
- Armado inf. dirección Y hacia abajo:	Mínimo: 12 cm Calculado: 15 cm	Cumple
- Armado sup. dirección X hacia der:	Mínimo: 12 cm Calculado: 15 cm	Cumple



Referencia: Zapata 1		
Dimensiones: 405 x 85 x 55		
Armados: Xi:Ø16c/18 Yi:Ø12c/22 Xs:Ø12c/17 Ys:Ø12c/22		
Comprobación	Valores	Estado
- Armado sup. dirección X hacia izq:	Mínimo: 12 cm Calculado: 15 cm	Cumple
- Armado sup. dirección Y hacia arriba:	Mínimo: 12 cm Calculado: 15 cm	Cumple
- Armado sup. dirección Y hacia abajo:	Mínimo: 12 cm Calculado: 15 cm	Cumple
Se cumplen todas las comprobaciones		
Información adicional:		
- Zapata de tipo rígido (Criterio de CYPE Ingenieros)		
- Relación rotura pésima (En dirección X): 0.99		
- Relación rotura pésima (En dirección Y): 0.13		
- Cortante de agotamiento (En dirección X): 237.60 kN		
- Cortante de agotamiento (En dirección Y): 0.00 kN		

ZAPATA 2

REACCIONES EN BASE DE PILAS:

Elemento\Reacción	N(KN)	M2(KNm)	M3(KNm)	Q2(KN)	Q3(KN)	T(KNm)
Pila 3	521,40	203,8	388,26	119,39	69,04	25,73
Pila 4	364,66	244,72	334,81	92,72	86,72	19,94

PLACAS DE ANCLAJE:

Referencia: Zapata 2		
-Placa base: Ancho X: 700 mm Ancho Y: 800 mm Espesor: 45 mm		
-Pernos: 8Ø40 mm L=75 cm Gancho a 180 grados		
-Disposición: Posición X: Centrada Posición Y: Centrada		
-Rigidizadores: Paralelos X: 2(250x45x12.0) Paralelos Y: 2(250x45x12.0)		
Comprobación	Valores	Estado
Separación mínima entre pernos: <i>3 diámetros</i>	Mínimo: 120 mm Calculado: 280 mm	Cumple
Separación mínima pernos-borde: <i>1.5 diámetros</i>	Mínimo: 60 mm Calculado: 70 mm	Cumple
Esbeltez de rigidizadores:	Máximo: 50	
- Paralelos a X:	Calculado: 47.1	Cumple
- Paralelos a Y:	Calculado: 46.2	Cumple

Referencia: Zapata 2		
-Placa base: Ancho X: 700 mm Ancho Y: 800 mm Espesor: 45 mm		
-Pernos: 8Ø40 mm L=75 cm Gancho a 180 grados		
-Disposición: Posición X: Centrada Posición Y: Centrada		
-Rigidizadores: Paralelos X: 2(250x45x12.0) Paralelos Y: 2(250x45x12.0)		
Comprobación	Valores	Estado
Longitud mínima del perno: <i>Se calcula la longitud de anclaje necesaria por adherencia.</i>	Mínimo: 40 cm Calculado: 75 cm	Cumple
Anclaje perno en hormigón:		
- Tracción:	Máximo: 376.44 kN Calculado: 310.25 kN	Cumple
- Cortante:	Máximo: 263.51 kN Calculado: 42.85 kN	Cumple
- Tracción + Cortante:	Máximo: 376.44 kN Calculado: 371.46 kN	Cumple
Tracción en vástago de pernos:	Máximo: 403.2 kN Calculado: 258.53 kN	Cumple
Tensión de Von Mises en vástago de pernos:	Máximo: 400 MPa Calculado: 205.946 MPa	Cumple
Aplastamiento perno en placa: <i>Límite del cortante en un perno actuando contra la placa</i>	Máximo: 990 kN Calculado: 36.15 kN	Cumple
Tensión de Von Mises en secciones globales:	Máximo: 275 MPa	
- Derecha:	Calculado: 151.718 MPa	Cumple
- Izquierda:	Calculado: 86.566 MPa	Cumple
- Arriba:	Calculado: 205.628 MPa	Cumple
- Abajo:	Calculado: 124.342 MPa	Cumple
Flecha global equivalente: <i>Limitación de la deformabilidad de los vuelos</i>	Mínimo: 250	
- Derecha:	Calculado: 9133.29	Cumple
- Izquierda:	Calculado: 11793.3	Cumple
- Arriba:	Calculado: 6854.62	Cumple
- Abajo:	Calculado: 8481.11	Cumple
Tensión de Von Mises local: <i>Tensión por tracción de pernos sobre placas en voladizo</i>	Máximo: 275 MPa Calculado: 218.892 MPa	Cumple
Se cumplen todas las comprobaciones		
Información adicional:		
- Relación rotura pésima sección de hormigón: 0.319		
- Punto de tensión local máxima: (-0.152, -0.2)		

CIMENTACIÓN:



Referencia: Zapata 2		
Dimensiones: 380 x 180 x 100		
Armados: Xi:Ø12c/12.5 Yi:Ø12c/12.5 Xs:Ø16c/20 Ys:Ø12c/12.5		
Comprobación	Valores	Estado
Tensiones sobre el terreno: <i>Criterio de CYPE Ingenieros</i>		
- Tensión media en situaciones persistentes:	Máximo: 0.5 MPa Calculado: 0.235048 MPa	Cumple
- Tensión máxima en situaciones persistentes:	Máximo: 0.624995 MPa Calculado: 0.594584 MPa	Cumple
Vuelco de la zapata: <i>Si el % de reserva de seguridad es mayor que cero, quiere decir que los coeficientes de seguridad al vuelco son mayores que los valores estrictos exigidos para todas las combinaciones de equilibrio.</i>		
- En dirección X:	Reserva seguridad: 409.9 %	Cumple
- En dirección Y:	Reserva seguridad: 90.1 %	Cumple
Flexión en la zapata:		
- En dirección X:	Momento: -456.46 kN·m	Cumple
- En dirección Y:	Momento: 389.83 kN·m	Cumple
Cortante en la zapata:		
- En dirección X:	Cortante: 418.20 kN	Cumple
- En dirección Y:	Cortante: 0.00 kN	Cumple
Compresión oblicua en la zapata:		
- Situaciones persistentes: <i>Criterio de CYPE Ingenieros</i>	Máximo: 6666.6 kN/m ² Calculado: 349.1 kN/m ²	Cumple
Canto mínimo: <i>Artículo 58.8.1 (norma EHE-08)</i>	Mínimo: 25 cm Calculado: 100 cm	Cumple
Espacio para anclar arranques en cimentación:	Mínimo: 89 cm	
- N1:	Calculado: 93 cm	Cumple
- N3:	Calculado: 93 cm	Cumple
Cuantía geométrica mínima: <i>Artículo 42.3.5 (norma EHE-08)</i>	Mínimo: 0.0009	
- Armado inferior dirección X:	Calculado: 0.001	Cumple
- Armado superior dirección X:	Calculado: 0.0011	Cumple
- Armado inferior dirección Y:	Calculado: 0.001	Cumple
- Armado superior dirección Y:	Calculado: 0.001	Cumple
Cuantía mínima necesaria por flexión: <i>Artículo 42.3.2 (norma EHE-08)</i>		

Referencia: Zapata 2		
Dimensiones: 380 x 180 x 100		
Armados: Xi:Ø12c/12.5 Yi:Ø12c/12.5 Xs:Ø16c/20 Ys:Ø12c/12.5		
Comprobación	Valores	Estado
- Armado inferior dirección X:	Mínimo: 0.0007 Calculado: 0.001	Cumple
- Armado inferior dirección Y:	Mínimo: 0.0005 Calculado: 0.001	Cumple
- Armado superior dirección X:	Mínimo: 0.001 Calculado: 0.0011	Cumple
- Armado superior dirección Y:	Mínimo: 0.0001 Calculado: 0.001	Cumple
Diámetro mínimo de las barras: <i>Recomendación del Artículo 58.8.2 (norma EHE-08)</i>	Mínimo: 12 mm	
- Parrilla inferior:	Calculado: 12 mm	Cumple
- Parrilla superior:	Calculado: 12 mm	Cumple
Separación máxima entre barras: <i>Artículo 58.8.2 (norma EHE-08)</i>	Máximo: 30 cm	
- Armado inferior dirección X:	Calculado: 12.5 cm	Cumple
- Armado inferior dirección Y:	Calculado: 12.5 cm	Cumple
- Armado superior dirección X:	Calculado: 20 cm	Cumple
- Armado superior dirección Y:	Calculado: 12.5 cm	Cumple
Separación mínima entre barras: <i>Recomendación del libro "Cálculo de estructuras de cimentación", J. Calavera. ed. INTEMAC, 1991</i>	Mínimo: 10 cm	
- Armado inferior dirección X:	Calculado: 12.5 cm	Cumple
- Armado inferior dirección Y:	Calculado: 12.5 cm	Cumple
- Armado superior dirección X:	Calculado: 20 cm	Cumple
- Armado superior dirección Y:	Calculado: 12.5 cm	Cumple
Longitud de anclaje: <i>Criterio del libro "Cálculo de estructuras de cimentación", J. Calavera. ed. INTEMAC, 1991</i>		
- Armado inf. dirección X hacia der:	Mínimo: 15 cm Calculado: 15 cm	Cumple
- Armado inf. dirección X hacia izq:	Mínimo: 15 cm Calculado: 15 cm	Cumple
- Armado inf. dirección Y hacia arriba:	Mínimo: 15 cm Calculado: 15 cm	Cumple
- Armado inf. dirección Y hacia abajo:	Mínimo: 15 cm Calculado: 15 cm	Cumple



Referencia: Zapata 2		
Dimensiones: 380 x 180 x 100		
Armados: Xi:Ø12c/12.5 Yi:Ø12c/12.5 Xs:Ø16c/20 Ys:Ø12c/12.5		
Comprobación	Valores	Estado
- Armado sup. dirección X hacia der:	Mínimo: 31 cm Calculado: 34 cm	Cumple
- Armado sup. dirección X hacia izq:	Mínimo: 26 cm Calculado: 123 cm	Cumple
- Armado sup. dirección Y hacia arriba:	Mínimo: 15 cm Calculado: 15 cm	Cumple
- Armado sup. dirección Y hacia abajo:	Mínimo: 15 cm Calculado: 15 cm	Cumple
Longitud mínima de las patillas:		
- Armado inf. dirección X hacia der:	Mínimo: 12 cm Calculado: 15 cm	Cumple
- Armado inf. dirección X hacia izq:	Mínimo: 12 cm Calculado: 15 cm	Cumple
- Armado inf. dirección Y hacia arriba:	Mínimo: 12 cm Calculado: 15 cm	Cumple
- Armado inf. dirección Y hacia abajo:	Mínimo: 12 cm Calculado: 15 cm	Cumple
- Armado sup. dirección X hacia der:	Mínimo: 16 cm Calculado: 19 cm	Cumple
- Armado sup. dirección X hacia izq:	Mínimo: 16 cm Calculado: 19 cm	Cumple
- Armado sup. dirección Y hacia arriba:	Mínimo: 12 cm Calculado: 15 cm	Cumple
- Armado sup. dirección Y hacia abajo:	Mínimo: 12 cm Calculado: 15 cm	Cumple
Se cumplen todas las comprobaciones		
Información adicional:		
- Zapata de tipo rígido (Criterio de CYPE Ingenieros)		
- Relación rotura pésima (En dirección X): 0.74		
- Relación rotura pésima (En dirección Y): 0.33		
- Cortante de agotamiento (En dirección X): 908.01 kN		
- Cortante de agotamiento (En dirección Y): 0.00 kN		

ZAPATA 3

REACCIONES EN BASE DE PILAS:

Elemento\Reacción	N(KN)	M2(KNm)	M3(KNm)	Q2(KN)	Q3(KN)	T(KNm)
Pila 5	586,56	283,09	273,36	106,51	76,96	15,97
Pila 6	544,52	270,73	276,24	102,91	71,54	15,89

PLACAS DE ANCLAJE:

Referencia: Zapata 3		
-Placa base: Ancho X: 650 mm Ancho Y: 750 mm Espesor: 40 mm		
-Pernos: 8Ø40 mm L=75 cm Gancho a 180 grados		
-Disposición: Posición X: Centrada Posición Y: Centrada		
-Rigidizadores: Paralelos X: 2(200x0x12.0) Paralelos Y: 2(200x0x10.0)		
Comprobación	Valores	Estado
Separación mínima entre pernos: <i>3 diámetros</i>	Mínimo: 120 mm Calculado: 255 mm	Cumple
Separación mínima pernos-borde: <i>1.5 diámetros</i>	Mínimo: 60 mm Calculado: 70 mm	Cumple
Esbeltez de rigidizadores:	Máximo: 50	
- Paralelos a X:	Calculado: 39.3	Cumple
- Paralelos a Y:	Calculado: 46	Cumple
Longitud mínima del perno: <i>Se calcula la longitud de anclaje necesaria por adherencia.</i>	Mínimo: 40 cm Calculado: 75 cm	Cumple
Anclaje perno en hormigón:		
- Tracción:	Máximo: 376.44 kN Calculado: 323.36 kN	Cumple
- Cortante:	Máximo: 263.51 kN Calculado: 35.46 kN	Cumple
- Tracción + Cortante:	Máximo: 376.44 kN Calculado: 374.01 kN	Cumple
Tracción en vástago de pernos:	Máximo: 403.2 kN Calculado: 268.29 kN	Cumple
Tensión de Von Mises en vástago de pernos:	Máximo: 400 MPa Calculado: 215.624 MPa	Cumple
Aplastamiento perno en placa: <i>Límite del cortante en un perno actuando contra la placa</i>	Máximo: 880 kN Calculado: 29.92 kN	Cumple
Tensión de Von Mises en secciones globales:	Máximo: 275 MPa	
- Derecha:	Calculado: 142.594 MPa	Cumple
- Izquierda:	Calculado: 262.238 MPa	Cumple
- Arriba:	Calculado: 143.901 MPa	Cumple



Referencia: Zapata 3 -Placa base: Ancho X: 650 mm Ancho Y: 750 mm Espesor: 40 mm -Pernos: 8Ø40 mm L=75 cm Gancho a 180 grados -Disposición: Posición X: Centrada Posición Y: Centrada -Rigidizadores: Paralelos X: 2(200x0x12.0) Paralelos Y: 2(200x0x10.0)		
Comprobación	Valores	Estado
- Abajo:	Calculado: 212.624 MPa	Cumple
Flecha global equivalente: <i>Limitación de la deformabilidad de los vuelos</i>	Mínimo: 250	
- Derecha:	Calculado: 6981.54	Cumple
- Izquierda:	Calculado: 4383.27	Cumple
- Arriba:	Calculado: 7778.02	Cumple
- Abajo:	Calculado: 5345.53	Cumple
Tensión de Von Mises local: <i>Tensión por tracción de pernos sobre placas en voladizo</i>	Máximo: 275 MPa Calculado: 236.6 MPa	Cumple
Se cumplen todas las comprobaciones		
Información adicional: - Relación rotura pésima sección de hormigón: 0.368 - Punto de tensión local máxima: (0.325, 0.375)		

CIMENTACIÓN:

Referencia: Zapata 3 Dimensiones: 370 x 225 x 100 Armados: Xi:Ø16c/20 Yi:Ø16c/20 Xs:Ø16c/20 Ys:Ø16c/20		
Comprobación	Valores	Estado
Tensiones sobre el terreno: <i>Criterio de CYPE Ingenieros</i>		
- Tensión media en situaciones persistentes:	Máximo: 0.5 MPa Calculado: 0.23544 MPa	Cumple
- Tensión máxima en situaciones persistentes:	Máximo: 0.624995 MPa Calculado: 0.618324 MPa	Cumple
Vuelco de la zapata: <i>Si el % de reserva de seguridad es mayor que cero, quiere decir que los coeficientes de seguridad al vuelco son mayores que los valores estrictos exigidos para todas las combinaciones de equilibrio.</i>		
- En dirección X:	Reserva seguridad: 319.3 %	Cumple
- En dirección Y:	Reserva seguridad: 102.2 %	Cumple
Flexión en la zapata:		
- En dirección X:	Momento: 396.12 kN·m	Cumple
- En dirección Y:	Momento: 716.59 kN·m	Cumple

Referencia: Zapata 3 Dimensiones: 370 x 225 x 100 Armados: Xi:Ø16c/20 Yi:Ø16c/20 Xs:Ø16c/20 Ys:Ø16c/20		
Comprobación	Valores	Estado
Cortante en la zapata:		
- En dirección X:	Cortante: 407.12 kN	Cumple
- En dirección Y:	Cortante: 0.00 kN	Cumple
Compresión oblicua en la zapata:		
- Situaciones persistentes: <i>Criterio de CYPE Ingenieros</i>	Máximo: 6666.6 kN/m ² Calculado: 422.9 kN/m ²	Cumple
Canto mínimo: <i>Artículo 58.8.1 (norma EHE-08)</i>	Mínimo: 25 cm Calculado: 100 cm	Cumple
Espacio para anclar arranques en cimentación:	Mínimo: 89 cm	
- N1:	Calculado: 92 cm	Cumple
- N3:	Calculado: 92 cm	Cumple
Cuantía geométrica mínima: <i>Artículo 42.3.5 (norma EHE-08)</i>	Mínimo: 0.001	
- Armado inferior dirección X:	Calculado: 0.0011	Cumple
- Armado superior dirección X:	Calculado: 0.0011	Cumple
- Armado inferior dirección Y:	Calculado: 0.0011	Cumple
- Armado superior dirección Y:	Calculado: 0.0011	Cumple
Cuantía mínima necesaria por flexión: <i>Artículo 42.3.2 (norma EHE-08)</i>	Calculado: 0.0011	
- Armado inferior dirección X:	Mínimo: 0.0009	Cumple
- Armado inferior dirección Y:	Mínimo: 0.001	Cumple
- Armado superior dirección X:	Mínimo: 0.0008	Cumple
- Armado superior dirección Y:	Mínimo: 0.0001	Cumple
Diámetro mínimo de las barras: <i>Recomendación del Artículo 58.8.2 (norma EHE-08)</i>	Mínimo: 12 mm	
- Parrilla inferior:	Calculado: 16 mm	Cumple
- Parrilla superior:	Calculado: 16 mm	Cumple
Separación máxima entre barras: <i>Artículo 58.8.2 (norma EHE-08)</i>	Máximo: 30 cm	
- Armado inferior dirección X:	Calculado: 20 cm	Cumple
- Armado inferior dirección Y:	Calculado: 20 cm	Cumple
- Armado superior dirección X:	Calculado: 20 cm	Cumple
- Armado superior dirección Y:	Calculado: 20 cm	Cumple



Referencia: Zapata 3		
Dimensiones: 370 x 225 x 100		
Armados: Xi:Ø16c/20 Yi:Ø16c/20 Xs:Ø16c/20 Ys:Ø16c/20		
Comprobación	Valores	Estado
Separación mínima entre barras: <i>Recomendación del libro "Cálculo de estructuras de cimentación", J. Calavera. ed. INTEMAC, 1991</i>	Mínimo: 10 cm	
- Armado inferior dirección X:	Calculado: 20 cm	Cumple
- Armado inferior dirección Y:	Calculado: 20 cm	Cumple
- Armado superior dirección X:	Calculado: 20 cm	Cumple
- Armado superior dirección Y:	Calculado: 20 cm	Cumple
Longitud de anclaje: <i>Criterio del libro "Cálculo de estructuras de cimentación", J. Calavera. ed. INTEMAC, 1991</i>		
- Armado inf. dirección X hacia der:	Mínimo: 16 cm Calculado: 16 cm	Cumple
- Armado inf. dirección X hacia izq:	Mínimo: 16 cm Calculado: 16 cm	Cumple
- Armado inf. dirección Y hacia arriba:	Mínimo: 16 cm Calculado: 16 cm	Cumple
- Armado inf. dirección Y hacia abajo:	Mínimo: 16 cm Calculado: 16 cm	Cumple
- Armado sup. dirección X hacia der:	Mínimo: 16 cm Calculado: 115 cm	Cumple
- Armado sup. dirección X hacia izq:	Mínimo: 23 cm Calculado: 53 cm	Cumple
- Armado sup. dirección Y hacia arriba:	Mínimo: 16 cm Calculado: 16 cm	Cumple
- Armado sup. dirección Y hacia abajo:	Mínimo: 16 cm Calculado: 16 cm	Cumple
Longitud mínima de las patillas:	Mínimo: 16 cm	
- Armado inf. dirección X hacia der:	Calculado: 16 cm	Cumple
- Armado inf. dirección X hacia izq:	Calculado: 16 cm	Cumple
- Armado inf. dirección Y hacia arriba:	Calculado: 16 cm	Cumple
- Armado inf. dirección Y hacia abajo:	Calculado: 16 cm	Cumple
- Armado sup. dirección X hacia der:	Calculado: 16 cm	Cumple
- Armado sup. dirección X hacia izq:	Calculado: 16 cm	Cumple
- Armado sup. dirección Y hacia arriba:	Calculado: 16 cm	Cumple
- Armado sup. dirección Y hacia abajo:	Calculado: 16 cm	Cumple
Se cumplen todas las comprobaciones		

Referencia: Zapata 3		
Dimensiones: 370 x 225 x 100		
Armados: Xi:Ø16c/20 Yi:Ø16c/20 Xs:Ø16c/20 Ys:Ø16c/20		
Comprobación	Valores	Estado
Información adicional:		
- Zapata de tipo rígido (Criterio de CYPE Ingenieros)		
- Relación rotura pésima (En dirección X): 0.64		
- Relación rotura pésima (En dirección Y): 0.69		
- Cortante de agotamiento (En dirección X): 1131.29 kN		
- Cortante de agotamiento (En dirección Y): 0.00 kN		

LOSA DE CIMENTACIÓN

REACCIONES EN BASE DE PILAS:

Elemento\Reacción	N(KN)	M2(KNm)	M3(KNm)	Q2(KN)	Q3(KN)	T(KNm)
Pila 7	349,41	227,97	78,31	21,64	56,76	10,70
Pila 8	444,46	168,95	173,60	68,65	24,12	1,06
Pila 9	491,24	227,54	86,92	24,12	59,76	4,97
Pila 10	737,75	169,16	152,55	59,04	24,18	2,63

PLACAS DE ANCLAJE:

Referencia: Losa		
-Placa base: Ancho X: 500 mm Ancho Y: 600 mm Espesor: 30 mm		
-Pernos: 8Ø25 mm L=60 cm Gancho a 180 grados		
-Disposición: Posición X: Centrada Posición Y: Centrada		
-Rigidizadores: Paralelos X: 2(150x45x10.0) Paralelos Y: 2(150x45x7.0)		
Comprobación	Valores	Estado
Separación mínima entre pernos: <i>3 diámetros</i>	Mínimo: 75 mm Calculado: 210 mm	Cumple
Separación mínima pernos-borde: <i>1.5 diámetros</i>	Mínimo: 37 mm Calculado: 40 mm	Cumple
Esbeltez de rigidizadores:	Máximo: 50	
- Paralelos a X:	Calculado: 32.2	Cumple
- Paralelos a Y:	Calculado: 44.6	Cumple
Longitud mínima del perno: <i>Se calcula la longitud de anclaje necesaria por adherencia.</i>	Mínimo: 25 cm Calculado: 60 cm	Cumple
Anclaje perno en hormigón:		
- Tracción:	Máximo: 188.22 kN Calculado: 166.18 kN	Cumple



Referencia: Losa -Placa base: Ancho X: 500 mm Ancho Y: 600 mm Espesor: 30 mm -Pernos: 8Ø25 mm L=60 cm Gancho a 180 grados -Disposición: Posición X: Centrada Posición Y: Centrada -Rigidizadores: Paralelos X: 2(150x45x10.0) Paralelos Y: 2(150x45x7.0)		
Comprobación	Valores	Estado
- Cortante:	Máximo: 131.76 kN Calculado: 14.63 kN	Cumple
- Tracción + Cortante:	Máximo: 188.22 kN Calculado: 187.08 kN	Cumple
Tracción en vástago de pernos:	Máximo: 157.12 kN Calculado: 133.88 kN	Cumple
Tensión de Von Mises en vástago de pernos:	Máximo: 400 MPa Calculado: 276.92 MPa	Cumple
Aplastamiento perno en placa: <i>Límite del cortante en un perno actuando contra la placa</i>	Máximo: 412.5 kN Calculado: 12.35 kN	Cumple
Tensión de Von Mises en secciones globales:	Máximo: 275 MPa	
- Derecha:	Calculado: 96.2255 MPa	Cumple
- Izquierda:	Calculado: 254.343 MPa	Cumple
- Arriba:	Calculado: 95.3896 MPa	Cumple
- Abajo:	Calculado: 204.749 MPa	Cumple
Flecha global equivalente: <i>Limitación de la deformabilidad de los vuelos</i>	Mínimo: 250	
- Derecha:	Calculado: 12930.5	Cumple
- Izquierda:	Calculado: 5303.64	Cumple
- Arriba:	Calculado: 15852.5	Cumple
- Abajo:	Calculado: 10835.8	Cumple
Tensión de Von Mises local: <i>Tensión por tracción de pernos sobre placas en voladizo</i>	Máximo: 275 MPa Calculado: 217.15 MPa	Cumple
Se cumplen todas las comprobaciones		
Información adicional:		
- Relación rotura pésima sección de hormigón: 0.533		
- Punto de tensión local máxima: (0.25, 0.3)		

Referencia: Losa Dimensiones: 440 x 355 x 80 Armados: Xi:Ø16c/27 Yi:Ø16c/27 Xs:Ø16c/27 Ys:Ø16c/27		
Comprobación	Valores	Estado
Tensiones sobre el terreno: <i>Criterio de CYPE Ingenieros</i>		
- Tensión media en situaciones persistentes:	Máximo: 0.5 MPa Calculado: 0.159511 MPa	Cumple
- Tensión máxima en situaciones persistentes:	Máximo: 0.624995 MPa Calculado: 0.358555 MPa	Cumple
Vuelco de la zapata: <i>Si el % de reserva de seguridad es mayor que cero, quiere decir que los coeficientes de seguridad al vuelco son mayores que los valores estrictos exigidos para todas las combinaciones de equilibrio.</i>		
- En dirección X:	Reserva seguridad: 624.9 %	Cumple
- En dirección Y:	Reserva seguridad: 231.4 %	Cumple
Flexión en la zapata:		
- En dirección X:	Momento: -376.63 kN·m	Cumple
- En dirección Y:	Momento: 632.44 kN·m	Cumple
Cortante en la zapata:		
- En dirección X:	Cortante: 503.84 kN	Cumple
- En dirección Y:	Cortante: 888.59 kN	Cumple
Compresión oblicua en la zapata: <i>Criterio de CYPE Ingenieros</i>		
- Situaciones persistentes:	Máximo: 6666.6 kN/m ² Calculado: 859.8 kN/m ²	Cumple
Canto mínimo: <i>Artículo 58.8.1 (norma EHE-08)</i>	Mínimo: 25 cm Calculado: 80 cm	Cumple
Espacio para anclar arranques en cimentación:	Mínimo: 68 cm	
- N1:	Calculado: 72 cm	Cumple
- N3:	Calculado: 72 cm	Cumple
- N5:	Calculado: 72 cm	Cumple
- N7:	Calculado: 72 cm	Cumple
Cuantía geométrica mínima: <i>Artículo 42.3.5 (norma EHE-08)</i>	Mínimo: 0.0009	
- Armado inferior dirección X:	Calculado: 0.001	Cumple
- Armado superior dirección X:	Calculado: 0.001	Cumple
- Armado inferior dirección Y:	Calculado: 0.001	Cumple
- Armado superior dirección Y:	Calculado: 0.001	Cumple

CIMENTACIÓN:



Referencia: Losa Dimensiones: 440 x 355 x 80 Armados: Xi:Ø16c/27 Yi:Ø16c/27 Xs:Ø16c/27 Ys:Ø16c/27		
Comprobación	Valores	Estado
Cuantía mínima necesaria por flexión: <i>Artículo 42.3.2 (norma EHE-08)</i>	Calculado: 0.001	
- Armado inferior dirección X:	Mínimo: 0.0007	Cumple
- Armado inferior dirección Y:	Mínimo: 0.0009	Cumple
- Armado superior dirección X:	Mínimo: 0.0007	Cumple
- Armado superior dirección Y:	Mínimo: 0.0009	Cumple
Diámetro mínimo de las barras: <i>Recomendación del Artículo 58.8.2 (norma EHE-08)</i>	Mínimo: 12 mm	
- Parrilla inferior:	Calculado: 16 mm	Cumple
- Parrilla superior:	Calculado: 16 mm	Cumple
Separación máxima entre barras: <i>Artículo 58.8.2 (norma EHE-08)</i>	Máximo: 30 cm	
- Armado inferior dirección X:	Calculado: 27 cm	Cumple
- Armado inferior dirección Y:	Calculado: 27 cm	Cumple
- Armado superior dirección X:	Calculado: 27 cm	Cumple
- Armado superior dirección Y:	Calculado: 27 cm	Cumple
Separación mínima entre barras: <i>Recomendación del libro "Cálculo de estructuras de cimentación", J. Calavera. ed. INTEMAC, 1991</i>	Mínimo: 10 cm	
- Armado inferior dirección X:	Calculado: 27 cm	Cumple
- Armado inferior dirección Y:	Calculado: 27 cm	Cumple
- Armado superior dirección X:	Calculado: 27 cm	Cumple
- Armado superior dirección Y:	Calculado: 27 cm	Cumple
Longitud de anclaje: <i>Criterio del libro "Cálculo de estructuras de cimentación", J. Calavera. ed. INTEMAC, 1991</i>		
- Armado inf. dirección X hacia der:	Mínimo: 28 cm Calculado: 28 cm	Cumple
- Armado inf. dirección X hacia izq:	Mínimo: 28 cm Calculado: 28 cm	Cumple
- Armado inf. dirección Y hacia arriba:	Mínimo: 16 cm Calculado: 16 cm	Cumple
- Armado inf. dirección Y hacia abajo:	Mínimo: 16 cm Calculado: 16 cm	Cumple

Referencia: Losa Dimensiones: 440 x 355 x 80 Armados: Xi:Ø16c/27 Yi:Ø16c/27 Xs:Ø16c/27 Ys:Ø16c/27		
Comprobación	Valores	Estado
- Armado sup. dirección X hacia der:	Mínimo: 29 cm Calculado: 169 cm	Cumple
- Armado sup. dirección X hacia izq:	Mínimo: 29 cm Calculado: 169 cm	Cumple
- Armado sup. dirección Y hacia arriba:	Mínimo: 38 cm Calculado: 67 cm	Cumple
- Armado sup. dirección Y hacia abajo:	Mínimo: 27 cm Calculado: 126 cm	Cumple
Longitud mínima de las patillas:	Mínimo: 16 cm	
- Armado inf. dirección X hacia der:	Calculado: 16 cm	Cumple
- Armado inf. dirección X hacia izq:	Calculado: 16 cm	Cumple
- Armado inf. dirección Y hacia arriba:	Calculado: 16 cm	Cumple
- Armado inf. dirección Y hacia abajo:	Calculado: 16 cm	Cumple
- Armado sup. dirección X hacia der:	Calculado: 19 cm	Cumple
- Armado sup. dirección X hacia izq:	Calculado: 19 cm	Cumple
- Armado sup. dirección Y hacia arriba:	Calculado: 19 cm	Cumple
- Armado sup. dirección Y hacia abajo:	Calculado: 19 cm	Cumple
Se cumplen todas las comprobaciones		
Información adicional:		
- Zapata de tipo rígido (Criterio de CYPE Ingenieros)		
- Relación rotura pésima (En dirección X): 0.52		
- Relación rotura pésima (En dirección Y): 0.70		
- Cortante de agotamiento (En dirección X): 1488.86 kN		
- Cortante de agotamiento (En dirección Y): 1845.26 kN		

ZAPATA 4

REACCIONES EN BASE DE PILAS:

Elemento\Reacción	N(KN)	M2(KNm)	M3(KNm)	Q2(KN)	Q3(KN)	T(KNm)
Pila 11	273,40	137,74	71,85	42,71	64,29	4,90
Pila 12	786,62	117,09	76,6	31,87	52,10	6,02



PLACAS DE ANCLAJE:

Referencia: Zapata 4 -Placa base: Ancho X: 550 mm Ancho Y: 550 mm Espesor: 35 mm -Pernos: 8Ø25 mm L=55 cm Gancho a 180 grados -Disposición: Posición X: Centrada Posición Y: Centrada -Rigidizadores: Paralelos X: 2(150x0x10.0) Paralelos Y: 2(150x0x8.0)		
Comprobación	Valores	Estado
Separación mínima entre pernos: <i>3 diámetros</i>	Mínimo: 75 mm Calculado: 236 mm	Cumple
Separación mínima pernos-borde: <i>1.5 diámetros</i>	Mínimo: 37 mm Calculado: 40 mm	Cumple
Esbeltez de rigidizadores: - Paralelos a X: - Paralelos a Y:	Máximo: 50 Calculado: 37.4 Calculado: 46.7	Cumple Cumple
Longitud mínima del perno: <i>Se calcula la longitud de anclaje necesaria por adherencia.</i>	Mínimo: 25 cm Calculado: 55 cm	Cumple
Anclaje perno en hormigón: - Tracción: - Cortante: - Tracción + Cortante:	Máximo: 172.54 kN Calculado: 137.69 kN Máximo: 120.78 kN Calculado: 19.31 kN Máximo: 172.54 kN Calculado: 165.27 kN	Cumple Cumple Cumple
Tracción en vástago de pernos:	Máximo: 157.12 kN Calculado: 114.84 kN	Cumple
Tensión de Von Mises en vástago de pernos:	Máximo: 400 MPa Calculado: 239.202 MPa	Cumple
Aplastamiento perno en placa: <i>Límite del cortante en un perno actuando contra la placa</i>	Máximo: 481.25 kN Calculado: 16.29 kN	Cumple
Tensión de Von Mises en secciones globales: - Derecha: - Izquierda: - Arriba: - Abajo:	Máximo: 275 MPa Calculado: 153.44 MPa Calculado: 274.063 MPa Calculado: 169.45 MPa Calculado: 109.649 MPa	Cumple Cumple Cumple Cumple
Flecha global equivalente: <i>Limitación de la deformabilidad de los vuelos</i> - Derecha: - Izquierda: - Arriba:	Mínimo: 250 Calculado: 4911.26 Calculado: 3491.15 Calculado: 7037.15	Cumple Cumple Cumple

Referencia: Zapata 4 -Placa base: Ancho X: 550 mm Ancho Y: 550 mm Espesor: 35 mm -Pernos: 8Ø25 mm L=55 cm Gancho a 180 grados -Disposición: Posición X: Centrada Posición Y: Centrada -Rigidizadores: Paralelos X: 2(150x0x10.0) Paralelos Y: 2(150x0x8.0)		
Comprobación	Valores	Estado
- Abajo:	Calculado: 6312	Cumple
Tensión de Von Mises local: <i>Tensión por tracción de pernos sobre placas en voladizo</i>	Máximo: 275 MPa Calculado: 222.134 MPa	Cumple
Se cumplen todas las comprobaciones		
Información adicional: - Relación rotura pésima sección de hormigón: 0.312 - Punto de tensión local máxima: (0.128, -0.275)		

CIMENTACIÓN:

Referencia: Zapata 4 Dimensiones: 440 x 105 x 75 Armados: Xi:Ø16c/20 Yi:Ø16c/29 Xs:Ø16c/28 Ys:Ø16c/29		
Comprobación	Valores	Estado
Tensiones sobre el terreno: <i>Criterio de CYPE Ingenieros</i> - Tensión media en situaciones persistentes: - Tensión máxima en situaciones persistentes:	Máximo: 0.5 MPa Calculado: 0.26644 MPa Máximo: 0.624995 MPa Calculado: 0.616657 MPa	Cumple Cumple
Vuelco de la zapata: <i>Si el % de reserva de seguridad es mayor que cero, quiere decir que los coeficientes de seguridad al vuelco son mayores que los valores estrictos exigidos para todas las combinaciones de equilibrio.</i> - En dirección X: - En dirección Y:	Reserva seguridad: 209.1 % Reserva seguridad: 555.3 %	Cumple Cumple
Flexión en la zapata: - En dirección X: - En dirección Y:	Momento: 200.41 kN·m Momento: 122.37 kN·m	Cumple Cumple
Cortante en la zapata: - En dirección X: - En dirección Y:	Cortante: 177.36 kN Cortante: 0.00 kN	Cumple Cumple



Referencia: Zapata 4		
Dimensiones: 440 x 105 x 75		
Armados: Xi:Ø16c/20 Yi:Ø16c/29 Xs:Ø16c/28 Ys:Ø16c/29		
Comprobación	Valores	Estado
Compresión oblicua en la zapata: - Situaciones persistentes: <i>Criterio de CYPE Ingenieros</i>	Máximo: 6666.6 kN/m ² Calculado: 967.7 kN/m ²	Cumple
Canto mínimo: <i>Artículo 58.8.1 (norma EHE-08)</i>	Mínimo: 25 cm Calculado: 75 cm	Cumple
Espacio para anclar arranques en cimentación: - N1: - N3:	Mínimo: 63 cm Calculado: 67 cm Calculado: 67 cm	Cumple Cumple
Cuantía geométrica mínima: <i>Artículo 42.3.5 (norma EHE-08)</i>	Mínimo: 0.0009	
- Armado inferior dirección X:	Calculado: 0.0014	Cumple
- Armado superior dirección X:	Calculado: 0.001	Cumple
- Armado inferior dirección Y:	Calculado: 0.001	Cumple
- Armado superior dirección Y:	Calculado: 0.001	Cumple
Cuantía mínima necesaria por flexión: <i>Artículo 42.3.2 (norma EHE-08)</i>		
- Armado inferior dirección X:	Mínimo: 0.0014 Calculado: 0.0014	Cumple
- Armado inferior dirección Y:	Mínimo: 0.0003 Calculado: 0.001	Cumple
- Armado superior dirección X:	Mínimo: 0.001 Calculado: 0.001	Cumple
Diámetro mínimo de las barras: <i>Recomendación del Artículo 58.8.2 (norma EHE-08)</i>	Mínimo: 12 mm	
- Parrilla inferior:	Calculado: 16 mm	Cumple
- Parrilla superior:	Calculado: 16 mm	Cumple
Separación máxima entre barras: <i>Artículo 58.8.2 (norma EHE-08)</i>	Máximo: 30 cm	
- Armado inferior dirección X:	Calculado: 20 cm	Cumple
- Armado inferior dirección Y:	Calculado: 29 cm	Cumple
- Armado superior dirección X:	Calculado: 28 cm	Cumple
- Armado superior dirección Y:	Calculado: 29 cm	Cumple

Referencia: Zapata 4		
Dimensiones: 440 x 105 x 75		
Armados: Xi:Ø16c/20 Yi:Ø16c/29 Xs:Ø16c/28 Ys:Ø16c/29		
Comprobación	Valores	Estado
Separación mínima entre barras: <i>Recomendación del libro "Cálculo de estructuras de cimentación", J. Calavera. ed. INTEMAC, 1991</i>	Mínimo: 10 cm	
- Armado inferior dirección X:	Calculado: 20 cm	Cumple
- Armado inferior dirección Y:	Calculado: 29 cm	Cumple
- Armado superior dirección X:	Calculado: 28 cm	Cumple
- Armado superior dirección Y:	Calculado: 29 cm	Cumple
Longitud de anclaje: <i>Criterio del libro "Cálculo de estructuras de cimentación", J. Calavera. ed. INTEMAC, 1991</i>		
- Armado inf. dirección X hacia der:	Mínimo: 16 cm Calculado: 62 cm	Cumple
- Armado inf. dirección X hacia izq:	Mínimo: 16 cm Calculado: 16 cm	Cumple
- Armado inf. dirección Y hacia arriba:	Mínimo: 16 cm Calculado: 16 cm	Cumple
- Armado inf. dirección Y hacia abajo:	Mínimo: 16 cm Calculado: 16 cm	Cumple
- Armado sup. dirección X hacia der:	Mínimo: 41 cm Calculado: 173 cm	Cumple
- Armado sup. dirección X hacia izq:	Mínimo: 42 cm Calculado: 158 cm	Cumple
- Armado sup. dirección Y hacia arriba:	Mínimo: 19 cm Calculado: 19 cm	Cumple
- Armado sup. dirección Y hacia abajo:	Mínimo: 19 cm Calculado: 19 cm	Cumple
Longitud mínima de las patillas:	Mínimo: 16 cm	
- Armado inf. dirección X hacia der:	Calculado: 16 cm	Cumple
- Armado inf. dirección X hacia izq:	Calculado: 16 cm	Cumple
- Armado inf. dirección Y hacia arriba:	Calculado: 16 cm	Cumple
- Armado inf. dirección Y hacia abajo:	Calculado: 16 cm	Cumple
- Armado sup. dirección X hacia der:	Calculado: 19 cm	Cumple
- Armado sup. dirección X hacia izq:	Calculado: 19 cm	Cumple
- Armado sup. dirección Y hacia arriba:	Calculado: 19 cm	Cumple
- Armado sup. dirección Y hacia abajo:	Calculado: 19 cm	Cumple
Se cumplen todas las comprobaciones		



Referencia: Zapata 4		
Dimensiones: 440 x 105 x 75		
Armados: Xi:Ø16c/20 Yi:Ø16c/29 Xs:Ø16c/28 Ys:Ø16c/29		
Comprobación	Valores	Estado
Información adicional:		
- Zapata de tipo rígido (Criterio de CYPE Ingenieros)		
- Relación rotura pésima (En dirección X): 0.80		
- Relación rotura pésima (En dirección Y): 0.16		
- Cortante de agotamiento (En dirección X): 418.00 kN		
- Cortante de agotamiento (En dirección Y): 0.00 kN		

ZAPATA 5

REACCIONES EN BASE DE PILAS:

Elemento\Reacción	N(KN)	M2(KNm)	M3(KNm)	Q2(KN)	Q3(KN)	T(KNm)
Pila 13	647,73	282,02	136,10	86,62	87,96	6,54
Pila 14	606,2	274,58	116,06	76,2	86,66	6,60

PLACAS DE ANCLAJE:

Referencia: Zapata 5		
-Placa base: Ancho X: 550 mm Ancho Y: 650 mm Espesor: 35 mm		
-Pernos: 12Ø25 mm L=65 cm Gancho a 180 grados		
-Disposición: Posición X: Centrada Posición Y: Centrada		
-Rigidizadores: Paralelos X: 2(150x0x18.0) Paralelos Y: 2(150x0x7.0)		
Comprobación	Valores	Estado
Separación mínima entre pernos: <i>3 diámetros</i>	Mínimo: 75 mm Calculado: 157 mm	Cumple
Separación mínima pernos-borde: <i>1.5 diámetros</i>	Mínimo: 37 mm Calculado: 40 mm	Cumple
Esbeltez de rigidizadores:	Máximo: 50	
- Paralelos a X:	Calculado: 19.4	Cumple
- Paralelos a Y:	Calculado: 48.3	Cumple
Longitud mínima del perno: <i>Se calcula la longitud de anclaje necesaria por adherencia.</i>	Mínimo: 25 cm Calculado: 65 cm	Cumple
Anclaje perno en hormigón:		

Referencia: Zapata 5		
-Placa base: Ancho X: 550 mm Ancho Y: 650 mm Espesor: 35 mm		
-Pernos: 12Ø25 mm L=65 cm Gancho a 180 grados		
-Disposición: Posición X: Centrada Posición Y: Centrada		
-Rigidizadores: Paralelos X: 2(150x0x18.0) Paralelos Y: 2(150x0x7.0)		
Comprobación	Valores	Estado
- Tracción:	Máximo: 203.91 kN Calculado: 170.78 kN	Cumple
- Cortante:	Máximo: 142.74 kN Calculado: 18.77 kN	Cumple
- Tracción + Cortante:	Máximo: 203.91 kN Calculado: 197.6 kN	Cumple
Tracción en vástago de pernos:	Máximo: 157.12 kN Calculado: 148.15 kN	Cumple
Tensión de Von Mises en vástago de pernos:	Máximo: 400 MPa Calculado: 304.322 MPa	Cumple
Aplastamiento perno en placa: <i>Limite del cortante en un perno actuando contra la placa</i>	Máximo: 481.25 kN Calculado: 15.84 kN	Cumple
Tensión de Von Mises en secciones globales:	Máximo: 275 MPa	
- Derecha:	Calculado: 244.276 MPa	Cumple
- Izquierda:	Calculado: 135.795 MPa	Cumple
- Arriba:	Calculado: 169.583 MPa	Cumple
- Abajo:	Calculado: 115.42 MPa	Cumple
Flecha global equivalente: <i>Limitación de la deformabilidad de los vuelos</i>	Mínimo: 250	
- Derecha:	Calculado: 4056.32	Cumple
- Izquierda:	Calculado: 6509.15	Cumple
- Arriba:	Calculado: 10067.5	Cumple
- Abajo:	Calculado: 8467.32	Cumple
Tensión de Von Mises local: <i>Tensión por tracción de pernos sobre placas en voladizo</i>	Máximo: 275 MPa Calculado: 238.242 MPa	Cumple
Se cumplen todas las comprobaciones		
Información adicional:		
- Relación rotura pésima sección de hormigón: 0.482		
- Punto de tensión local máxima: (-0.275, -0.325)		

CIMENTACIÓN:

Referencia: Zapata 5
Dimensiones: 360 x 145 x 85



Armados: Xi:Ø16c/23 Yi:Ø16c/26 Xs:Ø16c/26 Ys:Ø16c/26		
Comprobación	Valores	Estado
Tensiones sobre el terreno: <i>Criterio de CYPE Ingenieros</i>		
- Tensión media en situaciones persistentes:	Máximo: 0.5 MPa Calculado: 0.289003 MPa	Cumple
- Tensión máxima en situaciones persistentes:	Máximo: 0.624995 MPa Calculado: 0.594192 MPa	Cumple
Vuelco de la zapata: <i>Si el % de reserva de seguridad es mayor que cero, quiere decir que los coeficientes de seguridad al vuelco son mayores que los valores estrictos exigidos para todas las combinaciones de equilibrio.</i>		
- En dirección X:	Reserva seguridad: 5228.6 %	Cumple
- En dirección Y:	Reserva seguridad: 156.4 %	Cumple
Flexión en la zapata:		
- En dirección X:	Momento: 273.33 kN·m	Cumple
- En dirección Y:	Momento: 301.84 kN·m	Cumple
Cortante en la zapata:		
- En dirección X:	Cortante: 163.04 kN	Cumple
- En dirección Y:	Cortante: 0.00 kN	Cumple
Compresión oblicua en la zapata: <i>Criterio de CYPE Ingenieros</i>		
- Situaciones persistentes:	Máximo: 6666.6 kN/m ² Calculado: 641.8 kN/m ²	Cumple
Canto mínimo: <i>Artículo 58.8.1 (norma EHE-08)</i>		
	Mínimo: 25 cm Calculado: 85 cm	Cumple
Espacio para anclar arranques en cimentación:		
- N1:	Calculado: 77 cm	Cumple
- N3:	Calculado: 77 cm	Cumple
Cuantía geométrica mínima: <i>Artículo 42.3.5 (norma EHE-08)</i>		
- Armado inferior dirección X:	Calculado: 0.0011	Cumple
- Armado superior dirección X:	Calculado: 0.001	Cumple
- Armado inferior dirección Y:	Calculado: 0.001	Cumple
- Armado superior dirección Y:	Calculado: 0.001	Cumple
Cuantía mínima necesaria por flexión: <i>Artículo 42.3.2 (norma EHE-08)</i>		
- Armado inferior dirección X:	Mínimo: 0.0011 Calculado: 0.0011	Cumple

Referencia: Zapata 5 Dimensiones: 360 x 145 x 85 Armados: Xi:Ø16c/23 Yi:Ø16c/26 Xs:Ø16c/26 Ys:Ø16c/26		
Comprobación	Valores	Estado
- Armado inferior dirección Y:	Mínimo: 0.0005 Calculado: 0.001	Cumple
- Armado superior dirección X:	Mínimo: 0.0003 Calculado: 0.001	Cumple
Diámetro mínimo de las barras: <i>Recomendación del Artículo 58.8.2 (norma EHE-08)</i>		
- Parrilla inferior:	Calculado: 16 mm	Cumple
- Parrilla superior:	Calculado: 16 mm	Cumple
Separación máxima entre barras: <i>Artículo 58.8.2 (norma EHE-08)</i>		
- Armado inferior dirección X:	Calculado: 23 cm	Cumple
- Armado inferior dirección Y:	Calculado: 26 cm	Cumple
- Armado superior dirección X:	Calculado: 26 cm	Cumple
- Armado superior dirección Y:	Calculado: 26 cm	Cumple
Separación mínima entre barras: <i>Recomendación del libro "Cálculo de estructuras de cimentación", J. Calavera. ed. INTEMAC, 1991</i>		
- Armado inferior dirección X:	Calculado: 23 cm	Cumple
- Armado inferior dirección Y:	Calculado: 26 cm	Cumple
- Armado superior dirección X:	Calculado: 26 cm	Cumple
- Armado superior dirección Y:	Calculado: 26 cm	Cumple
Longitud de anclaje: <i>Criterio del libro "Cálculo de estructuras de cimentación", J. Calavera. ed. INTEMAC, 1991</i>		
- Armado inf. dirección X hacia der:	Mínimo: 16 cm Calculado: 16 cm	Cumple
- Armado inf. dirección X hacia izq:	Mínimo: 16 cm Calculado: 16 cm	Cumple
- Armado inf. dirección Y hacia arriba:	Mínimo: 16 cm Calculado: 16 cm	Cumple
- Armado inf. dirección Y hacia abajo:	Mínimo: 16 cm Calculado: 16 cm	Cumple
- Armado sup. dirección X hacia der:	Mínimo: 19 cm Calculado: 125 cm	Cumple
- Armado sup. dirección X hacia izq:	Mínimo: 19 cm Calculado: 125 cm	Cumple



Referencia: Zapata 5		
Dimensiones: 360 x 145 x 85		
Armados: Xi:Ø16c/23 Yi:Ø16c/26 Xs:Ø16c/26 Ys:Ø16c/26		
Comprobación	Valores	Estado
- Armado sup. dirección Y hacia arriba:	Mínimo: 19 cm Calculado: 19 cm	Cumple
- Armado sup. dirección Y hacia abajo:	Mínimo: 19 cm Calculado: 19 cm	Cumple
Longitud mínima de las patillas:	Mínimo: 16 cm	
- Armado inf. dirección X hacia der:	Calculado: 16 cm	Cumple
- Armado inf. dirección X hacia izq:	Calculado: 16 cm	Cumple
- Armado inf. dirección Y hacia arriba:	Calculado: 16 cm	Cumple
- Armado inf. dirección Y hacia abajo:	Calculado: 16 cm	Cumple
- Armado sup. dirección X hacia der:	Calculado: 19 cm	Cumple
- Armado sup. dirección X hacia izq:	Calculado: 19 cm	Cumple
- Armado sup. dirección Y hacia arriba:	Calculado: 19 cm	Cumple
- Armado sup. dirección Y hacia abajo:	Calculado: 19 cm	Cumple
Se cumplen todas las comprobaciones		
Información adicional:		
- Zapata de tipo rígido (Criterio de CYPE Ingenieros)		
- Relación rotura pésima (En dirección X): 0.77		
- Relación rotura pésima (En dirección Y): 0.37		
- Cortante de agotamiento (En dirección X): 638.73 kN		
- Cortante de agotamiento (En dirección Y): 0.00 kN		

ZAPATA 6

REACCIONES EN BASE DE PILAS:

Elemento\Reacción	N(KN)	M2(KNm)	M3(KNm)	Q2(KN)	Q3(KN)	T(KNm)
Pila 13	647,73	282,02	136,10	86,62	87,96	6,54
Pila 14	606,2	274,58	116,06	76,2	86,66	6,60

PLACAS DE ANCLAJE:

Referencia: Zapata 6		
-Placa base: Ancho X: 650 mm Ancho Y: 750 mm Espesor: 40 mm		
-Pernos: 8Ø40 mm L=75 cm Gancho a 180 grados		
-Disposición: Posición X: Centrada Posición Y: Centrada		
-Rigidizadores: Paralelos X: 2(200x0x10.0) Paralelos Y: 2(200x0x10.0)		
Comprobación	Valores	Estado
Separación mínima entre pernos: <i>3 diámetros</i>	Mínimo: 120 mm Calculado: 255 mm	Cumple
Separación mínima pernos-borde: <i>1.5 diámetros</i>	Mínimo: 60 mm Calculado: 70 mm	Cumple
Esbeltez de rigidizadores:	Máximo: 50	
- Paralelos a X:	Calculado: 47.2	Cumple
- Paralelos a Y:	Calculado: 46	Cumple
Longitud mínima del perno: <i>Se calcula la longitud de anclaje necesaria por adherencia.</i>	Mínimo: 40 cm Calculado: 75 cm	Cumple
Anclaje perno en hormigón:		
- Tracción:	Máximo: 376.44 kN Calculado: 314.68 kN	Cumple
- Cortante:	Máximo: 263.51 kN Calculado: 37.03 kN	Cumple
- Tracción + Cortante:	Máximo: 376.44 kN Calculado: 367.58 kN	Cumple
Tracción en vástago de pernos:	Máximo: 403.2 kN Calculado: 261.67 kN	Cumple
Tensión de Von Mises en vástago de pernos:	Máximo: 400 MPa Calculado: 213.087 MPa	Cumple
Aplastamiento perno en placa: <i>Límite del cortante en un perno actuando contra la placa</i>	Máximo: 880 kN Calculado: 31.24 kN	Cumple
Tensión de Von Mises en secciones globales:	Máximo: 275 MPa	
- Derecha:	Calculado: 133.336 MPa	Cumple
- Izquierda:	Calculado: 227.634 MPa	Cumple
- Arriba:	Calculado: 257.265 MPa	Cumple
- Abajo:	Calculado: 167.917 MPa	Cumple
Flecha global equivalente: <i>Limitación de la deformabilidad de los vuelos</i>	Mínimo: 250	
- Derecha:	Calculado: 7008.15	Cumple
- Izquierda:	Calculado: 5288.93	Cumple
- Arriba:	Calculado: 4244.81	Cumple



Referencia: Zapata 6 -Placa base: Ancho X: 650 mm Ancho Y: 750 mm Espesor: 40 mm -Pernos: 8Ø40 mm L=75 cm Gancho a 180 grados -Disposición: Posición X: Centrada Posición Y: Centrada -Rigidizadores: Paralelos X: 2(200x0x10.0) Paralelos Y: 2(200x0x10.0)		
Comprobación	Valores	Estado
- Abajo:	Calculado: 6542.6	Cumple
Tensión de Von Mises local: <i>Tensión por tracción de pernos sobre placas en voladizo</i>	Máximo: 275 MPa Calculado: 230.76 MPa	Cumple
Se cumplen todas las comprobaciones		
Información adicional: - Relación rotura pésima sección de hormigón: 0.349 - Punto de tensión local máxima: (0.325, -0.2)		

CIMENTACIÓN:

Referencia: Zapata 6 Dimensiones: 370 x 245 x 100 Armados: Xi:Ø12c/12.5 Yi:Ø16c/21 Xs:Ø12c/12.5 Ys:Ø12c/12.5		
Comprobación	Valores	Estado
Tensiones sobre el terreno: <i>Criterio de CYPE Ingenieros</i>		
- Tensión media en situaciones persistentes:	Máximo: 0.5 MPa Calculado: 0.263595 MPa	Cumple
- Tensión máxima en situaciones persistentes:	Máximo: 0.624995 MPa Calculado: 0.572806 MPa	Cumple
Vuelco de la zapata: <i>Si el % de reserva de seguridad es mayor que cero, quiere decir que los coeficientes de seguridad al vuelco son mayores que los valores estrictos exigidos para todas las combinaciones de equilibrio.</i>		
- En dirección X:	Reserva seguridad: 1586.4 %	Cumple
- En dirección Y:	Reserva seguridad: 46.2 %	Cumple
Flexión en la zapata:		
- En dirección X:	Momento: -299.24 kN·m	Cumple
- En dirección Y:	Momento: 934.20 kN·m	Cumple
Cortante en la zapata:		
- En dirección X:	Cortante: 218.76 kN	Cumple
- En dirección Y:	Cortante: 0.00 kN	Cumple
Compresión oblicua en la zapata: <i>Criterio de CYPE Ingenieros</i>		
- Situaciones persistentes:	Máximo: 6666.6 kN/m ² Calculado: 360.3 kN/m ²	Cumple

Referencia: Zapata 6 Dimensiones: 370 x 245 x 100 Armados: Xi:Ø12c/12.5 Yi:Ø16c/21 Xs:Ø12c/12.5 Ys:Ø12c/12.5		
Comprobación	Valores	Estado
Canto mínimo: <i>Artículo 58.8.1 (norma EHE-08)</i>	Mínimo: 25 cm Calculado: 100 cm	Cumple
Espacio para anclar arranques en cimentación:		
- N1:	Calculado: 93 cm	Cumple
- N3:	Calculado: 93 cm	Cumple
Cuantía geométrica mínima: <i>Artículo 42.3.5 (norma EHE-08)</i>	Mínimo: 0.0009	
- Armado inferior dirección X:	Calculado: 0.001	Cumple
- Armado superior dirección X:	Calculado: 0.001	Cumple
- Armado inferior dirección Y:	Calculado: 0.001	Cumple
- Armado superior dirección Y:	Calculado: 0.001	Cumple
Cuantía mínima necesaria por flexión: <i>Artículo 42.3.2 (norma EHE-08)</i>	Calculado: 0.001	
- Armado inferior dirección X:	Mínimo: 0.0003	Cumple
- Armado inferior dirección Y:	Mínimo: 0.001	Cumple
- Armado superior dirección X:	Mínimo: 0.0005	Cumple
- Armado superior dirección Y:	Mínimo: 0.0001	Cumple
Diámetro mínimo de las barras: <i>Recomendación del Artículo 58.8.2 (norma EHE-08)</i>	Mínimo: 12 mm	
- Parrilla inferior:	Calculado: 12 mm	Cumple
- Parrilla superior:	Calculado: 12 mm	Cumple
Separación máxima entre barras: <i>Artículo 58.8.2 (norma EHE-08)</i>	Máximo: 30 cm	
- Armado inferior dirección X:	Calculado: 12.5 cm	Cumple
- Armado inferior dirección Y:	Calculado: 21 cm	Cumple
- Armado superior dirección X:	Calculado: 12.5 cm	Cumple
- Armado superior dirección Y:	Calculado: 12.5 cm	Cumple
Separación mínima entre barras: <i>Recomendación del libro "Cálculo de estructuras de cimentación", J. Calavera. ed. INTEMAC, 1991</i>	Mínimo: 10 cm	
- Armado inferior dirección X:	Calculado: 12.5 cm	Cumple
- Armado inferior dirección Y:	Calculado: 21 cm	Cumple
- Armado superior dirección X:	Calculado: 12.5 cm	Cumple



Referencia: Zapata 6		
Dimensiones: 370 x 245 x 100		
Armados: Xi:Ø12c/12.5 Yi:Ø16c/21 Xs:Ø12c/12.5 Ys:Ø12c/12.5		
Comprobación	Valores	Estado
- Armado superior dirección Y:	Calculado: 12.5 cm	Cumple
Longitud de anclaje: <i>Criterio del libro "Cálculo de estructuras de cimentación", J. Calavera. ed. INTEMAC, 1991</i>		
- Armado inf. dirección X hacia der:	Mínimo: 15 cm Calculado: 15 cm	Cumple
- Armado inf. dirección X hacia izq:	Mínimo: 15 cm Calculado: 15 cm	Cumple
- Armado inf. dirección Y hacia arriba:	Mínimo: 16 cm Calculado: 16 cm	Cumple
- Armado inf. dirección Y hacia abajo:	Mínimo: 16 cm Calculado: 16 cm	Cumple
- Armado sup. dirección X hacia der:	Mínimo: 15 cm Calculado: 114 cm	Cumple
- Armado sup. dirección X hacia izq:	Mínimo: 16 cm Calculado: 64 cm	Cumple
- Armado sup. dirección Y hacia arriba:	Mínimo: 15 cm Calculado: 15 cm	Cumple
- Armado sup. dirección Y hacia abajo:	Mínimo: 15 cm Calculado: 15 cm	Cumple
Longitud mínima de las patillas:		
- Armado inf. dirección X hacia der:	Mínimo: 12 cm Calculado: 15 cm	Cumple
- Armado inf. dirección X hacia izq:	Mínimo: 12 cm Calculado: 15 cm	Cumple
- Armado inf. dirección Y hacia arriba:	Mínimo: 16 cm Calculado: 16 cm	Cumple
- Armado inf. dirección Y hacia abajo:	Mínimo: 16 cm Calculado: 16 cm	Cumple
- Armado sup. dirección X hacia der:	Mínimo: 12 cm Calculado: 15 cm	Cumple
- Armado sup. dirección X hacia izq:	Mínimo: 12 cm Calculado: 15 cm	Cumple
- Armado sup. dirección Y hacia arriba:	Mínimo: 12 cm Calculado: 15 cm	Cumple
- Armado sup. dirección Y hacia abajo:	Mínimo: 12 cm Calculado: 15 cm	Cumple
Se cumplen todas las comprobaciones		

Referencia: Zapata 6		
Dimensiones: 370 x 245 x 100		
Armados: Xi:Ø12c/12.5 Yi:Ø16c/21 Xs:Ø12c/12.5 Ys:Ø12c/12.5		
Comprobación	Valores	Estado
Información adicional:		
- Zapata de tipo rígido (Criterio de CYPE Ingenieros)		
- Relación rotura pésima (En dirección X): 0.39		
- Relación rotura pésima (En dirección Y): 0.75		
- Cortante de agotamiento (En dirección X): 1232.92 kN		
- Cortante de agotamiento (En dirección Y): 0.00 kN		

2. CÁLCULO DE MUROS Y ESTRIBOS

ESTRIBO 1

DATOS GENERALES

Cota de la rasante: 0.00 m
 Altura del muro sobre la rasante: 0.00 m
 Enrase: Trasdós
 Longitud del muro en planta: 2.80 m
 Separación de las juntas: 5.00 m
 Tipo de cimentación: Zapata corrida

GEOMETRÍA

TRAMOS DEL MURO

Cota de la coronación	Descripción
0.00 m	Altura: 0.65 m Espesor superior: 30.0 cm Espesor inferior: 30.0 cm
-0.65 m	Altura: 1.05 m Espesor superior: 55.0 cm Espesor inferior: 55.0 cm
Altura total: 1.70 m	

ZAPATA CORRIDA

Con puntera y talón
 Canto: 35 cm
 Vuelos intradós / trasdós: 70.0 / 70.0 cm
 Hormigón de limpieza: 10 cm



DESCRIPCIÓN DEL ARMADO

CORONACIÓN				
Armadura superior / 2 Ø12: inferior / 2 Ø12				
Estribos: Ø6c/15				
Canto viga: 25 cm				
Anclaje intradós / trasdós: 21 / 20 cm				
TRAMOS				
Núm.	Intradós		Trasdós	
	Vertical	Horizontal	Vertical	Horizontal
1	Ø10c/30 Solape: 0.25 m	Ø10c/25	Ø16c/30 Solape: 0.6 m	Ø10c/25
2	Ø10c/30 Solape: 0.25 m	Ø10c/25	Ø16c/30 Solape: 0.6 m	Ø10c/25
ZAPATA				
Armadura	Longitudinal	Transversal		
Superior	Ø12c/30	Ø12c/30 Longitud de anclaje en prolongación: 40 cm Patilla trasdós: 11 cm		
Inferior	Ø12c/30	Ø12c/30 Patilla intradós / trasdós: 11 / 11 cm		
Longitud de pata en arranque: 30 cm				

COMPROBACIONES GEOMÉTRICAS Y DE RESISTENCIA

Referencia: Muro: e1 (estribo1)		
Comprobación	Valores	Estado
Comprobación a rasante en arranque muro:		
- Tramo 1:	Máximo: 276.6 kN/m Calculado: 0.9 kN/m	Cumple
- Tramo 2:	Máximo: 448.7 kN/m Calculado: 20.9 kN/m	Cumple
Espesor mínimo del tramo: <i>Jiménez Salas, J.A.. Geotecnia y Cimientos II, (Cap. 12)</i>		
- Tramo 1:	Mínimo: 20 cm Calculado: 30 cm	Cumple
- Tramo 2:	Calculado: 55 cm	Cumple
Separación libre mínima armaduras horizontales: <i>Norma EHE-08. Artículo 69.4.1</i>		
- Tramo 1:	Mínimo: 2.5 cm	
- Trasdós:	Calculado: 24 cm	Cumple

Referencia: Muro: e1 (estribo1)		
Comprobación	Valores	Estado
- Intradós:	Calculado: 24 cm	Cumple
- Tramo 2:		
- Trasdós:	Calculado: 24 cm	Cumple
- Intradós:	Calculado: 24 cm	Cumple
Separación máxima armaduras horizontales: <i>Norma EHE-08. Artículo 42.3.1</i>		
	Máximo: 30 cm	
- Tramo 1:		
- Trasdós:	Calculado: 25 cm	Cumple
- Intradós:	Calculado: 25 cm	Cumple
- Tramo 2:		
- Trasdós:	Calculado: 25 cm	Cumple
- Intradós:	Calculado: 25 cm	Cumple
Cuantía geométrica mínima horizontal por cara: <i>Norma EHE-08. Artículo 42.3.5</i>		
	Mínimo: 0.001	
- Tramo 1:		
- Trasdós (-0.65 m):	Calculado: 0.00104	Cumple
- Intradós (-0.65 m):	Calculado: 0.00104	Cumple
- Tramo 2:		
- Trasdós (-1.70 m):	Calculado: 0.00102	Cumple
- Intradós (-1.70 m):	Calculado: 0.00102	Cumple
Cuantía mínima mecánica horizontal por cara: <i>Criterio J. Calavera. Muros de contención y muros de sótano. (Cuantía horizontal > 20% Cuantía vertical)</i>		
- Tramo 1:	Calculado: 0.00104	
- Trasdós:	Mínimo: 0.00044	Cumple
- Intradós:	Mínimo: 0.00017	Cumple
- Tramo 2:	Calculado: 0.00057	
- Trasdós:	Mínimo: 0.00024	Cumple
- Intradós:	Mínimo: 9e-005	Cumple
Cuantía mínima geométrica vertical cara traccionada: <i>Norma EHE-08. Artículo 42.3.5</i>		
	Mínimo: 0.0009	
- Tramo 1. Trasdós (-0.65 m):	Calculado: 0.00223	Cumple
- Tramo 2. Trasdós (-1.70 m):	Calculado: 0.00121	Cumple



Referencia: Muro: e1 (estribo1)		
Comprobación	Valores	Estado
Cuantía mínima mecánica vertical cara traccionada: <i>Norma EHE-08. Artículo 42.3.2</i> - Tramo 1. Trasdós (-0.65 m): - Tramo 2. Trasdós (-1.70 m):	Mínimo: 0.00204 Calculado: 0.00223 Calculado: 0.00211	 Cumple Cumple
Cuantía mínima geométrica vertical cara comprimida: <i>Norma EHE-08. Artículo 42.3.5</i> - Tramo 1. Intradós (-0.65 m): - Tramo 2. Intradós (-1.70 m):	Mínimo: 0.00027 Calculado: 0.00087 Calculado: 0.00047	 Cumple Cumple
Cuantía mínima mecánica vertical cara comprimida: <i>Norma EHE-08. Artículo 42.3.3</i> - Tramo 1. Intradós (-0.65 m): - Tramo 2. Intradós (-1.70 m):	Mínimo: 3e-005 Calculado: 0.00087 Mínimo: 2e-005 Calculado: 0.00047	 Cumple Cumple
Separación libre mínima armaduras verticales: <i>Norma EHE-08. Artículo 69.4.1</i> - Tramo 1: - Trasdós: - Intradós: - Tramo 2: - Trasdós: - Intradós:	Mínimo: 2.5 cm Calculado: 26.8 cm Calculado: 28 cm Calculado: 26.8 cm Calculado: 28 cm	 Cumple Cumple Cumple Cumple
Separación máxima entre barras: <i>Norma EHE-08. Artículo 42.3.1</i> - Tramo 1: - Armadura vertical Trasdós: - Armadura vertical Intradós: - Tramo 2: - Armadura vertical Trasdós: - Armadura vertical Intradós:	Máximo: 30 cm Calculado: 30 cm Calculado: 30 cm Calculado: 30 cm Calculado: 30 cm	 Cumple Cumple Cumple Cumple
Comprobación a flexión compuesta: <i>Comprobación realizada por unidad de longitud de muro</i>		

Referencia: Muro: e1 (estribo1)		
Comprobación	Valores	Estado
- Tramo 1: - Tramo 2:		Cumple Cumple
Comprobación a cortante: <i>Norma EHE-08. Artículo 44.2.3.2.1</i> - Tramo 1: - Tramo 2:	Máximo: 214.1 kN/m Calculado: 5.4 kN/m Máximo: 335.5 kN/m Calculado: 9 kN/m	 Cumple Cumple
Comprobación de fisuración: <i>Norma EHE-08. Artículo 49.2.3</i> - Tramo 1: - Tramo 2:	Máximo: 0.3 mm Calculado: 0 mm Calculado: 0 mm	 Cumple Cumple
Longitud de solapes: <i>Norma EHE-08. Artículo 69.5.2</i> - Tramo 1: - Base trasdós: - Base intradós: - Tramo 2: - Base trasdós: - Base intradós:	Mínimo: 0.56 m Calculado: 0.6 m Mínimo: 0.25 m Calculado: 0.25 m Mínimo: 0.56 m Calculado: 0.6 m Mínimo: 0.25 m Calculado: 0.25 m	 Cumple Cumple Cumple
Comprobación del anclaje del armado base en coronación: <i>Criterio J.Calavera. Muros de contención y muros de sótano.</i> - Trasdós: - Intradós:	Mínimo: 20 cm Calculado: 20 cm Mínimo: 0 cm Calculado: 21 cm	 Cumple Cumple
Área mínima longitudinal cara superior viga de coronación: <i>J.Calavera (Muros de contención y muros de sótano)</i>	Mínimo: 2.2 cm ² Calculado: 2.2 cm ²	Cumple
Canto mínimo viga coronación: <i>Criterio de CYPE Ingenieros: el canto de la viga debe ser mayor que el ancho de la viga o 25 cm</i>	Mínimo: 25 cm Calculado: 25 cm	Cumple
Área mínima estribos viga coronación: <i>Norma EHE-08. Artículo 44.2.3.4.1</i>	Mínimo: 1.72 cm ² /m Calculado: 3.76 cm ² /m	Cumple



Referencia: Muro: e1 (estribo1)		
Comprobación	Valores	Estado
Separación máxima entre estribos: <i>Norma EHE-08. Artículo 44.2.3.4.1</i>	Máximo: 18.7 cm Calculado: 15 cm	Cumple
Se cumplen todas las comprobaciones		
Información adicional:		
- Tramo 1 -> Cota de la sección con la mínima relación 'cuantía horizontal / cuantía vertical' Trasdós: -0.65 m		
- Tramo 1 -> Cota de la sección con la mínima relación 'cuantía horizontal / cuantía vertical' Intradós: -0.65 m		
- Tramo 1 -> Sección crítica a flexión compuesta: Cota: -0.65 m, Md: -12.76 kN·m/m, Nd: 81.77 kN/m, Vd: -1.17 kN/m, Tensión máxima del acero: 39.061 MPa		
- Tramo 1 -> Sección crítica a cortante: Cota: 0.00 m		
- Tramo 2 -> Cota de la sección con la mínima relación 'cuantía horizontal / cuantía vertical' Trasdós: -1.70 m		
- Tramo 2 -> Cota de la sección con la mínima relación 'cuantía horizontal / cuantía vertical' Intradós: -1.70 m		
- Tramo 2 -> Sección crítica a flexión compuesta: Cota: -0.65 m, Md: -12.76 kN·m/m, Nd: 81.77 kN/m, Vd: -1.17 kN/m, Tensión máxima del acero: 39.061 MPa		
- Tramo 2 -> Sección crítica a cortante: Cota: -1.19 m		

Referencia: Zapata corrida: e1 (estribo1)		
Comprobación	Valores	Estado
Comprobación de estabilidad: <i>Valor introducido por el usuario.</i>		
- Coeficiente de seguridad al vuelco:	Mínimo: 2 Calculado: 8.62	Cumple
- Coeficiente de seguridad al deslizamiento:	Mínimo: 1.5 Calculado: 3.95	Cumple
Canto mínimo: - Zapata: <i>Norma EHE-08. Artículo 58.8.1.</i>	Mínimo: 25 cm Calculado: 35 cm	Cumple
Tensiones sobre el terreno: <i>Valor introducido por el usuario.</i>		
- Tensión media:	Máximo: 0.5 MPa Calculado: 0.06 MPa	Cumple
- Tensión máxima:	Máximo: 0.625 MPa Calculado: 0.0834 MPa	Cumple
Flexión en zapata: <i>Comprobación basada en criterios resistentes</i>	Calculado: 3.77 cm ² /m	
- Armado superior trasdós:	Mínimo: 0 cm ² /m	Cumple
- Armado inferior trasdós:	Mínimo: 1.32 cm ² /m	Cumple

Referencia: Zapata corrida: e1 (estribo1)		
Comprobación	Valores	Estado
- Armado inferior intradós:	Mínimo: 1.24 cm ² /m	Cumple
Esfuerzo cortante: <i>Norma EHE-08. Artículo 44.2.3.2.1.</i>		
- Trasdós:	Máximo: 223.4 kN/m Calculado: 21.7 kN/m	Cumple
- Intradós:	Calculado: 18.9 kN/m	Cumple
Longitud de anclaje: <i>Norma EHE-08. Artículo 69.5.</i>		
- Arranque trasdós:	Mínimo: 27 cm Calculado: 27.6 cm	Cumple
- Arranque intradós:	Mínimo: 17 cm Calculado: 27.6 cm	Cumple
- Armado inferior trasdós (Patilla):	Mínimo: 0 cm Calculado: 11 cm	Cumple
- Armado inferior intradós (Patilla):	Mínimo: 0 cm Calculado: 11 cm	Cumple
- Armado superior trasdós (Patilla):	Mínimo: 0 cm Calculado: 11 cm	Cumple
- Armado superior intradós:	Mínimo: 15 cm Calculado: 40 cm	Cumple
Recubrimiento:		
- Lateral: <i>Norma EHE-08. Artículo 37.2.4.1.</i>	Mínimo: 7 cm Calculado: 7 cm	Cumple
Diámetro mínimo: <i>Norma EHE-08. Artículo 58.8.2.</i>		
- Armadura transversal inferior:	Calculado: Ø12	Cumple
- Armadura longitudinal inferior:	Calculado: Ø12	Cumple
- Armadura transversal superior:	Calculado: Ø12	Cumple
- Armadura longitudinal superior:	Calculado: Ø12	Cumple
Separación máxima entre barras: <i>Norma EHE-08. Artículo 42.3.1.</i>		
- Armadura transversal inferior:	Máximo: 30 cm Calculado: 30 cm	Cumple
- Armadura transversal superior:	Calculado: 30 cm	Cumple
- Armadura longitudinal inferior:	Calculado: 30 cm	Cumple
- Armadura longitudinal superior:	Calculado: 30 cm	Cumple
Separación mínima entre barras: <i>J. Calavera, 'Cálculo de Estructuras de Cimentación' 4ª edición, INTEMAC. Apartado 3.16 (pag.129).</i>		
	Mínimo: 10 cm	



Referencia: Zapata corrida: e1 (estribo1)		
Comprobación	Valores	Estado
- Armadura transversal inferior:	Calculado: 30 cm	Cumple
- Armadura transversal superior:	Calculado: 30 cm	Cumple
- Armadura longitudinal inferior:	Calculado: 30 cm	Cumple
- Armadura longitudinal superior:	Calculado: 30 cm	Cumple
Cuantía geométrica mínima: <i>Norma EHE-08. Artículo 42.3.5.</i>	Mínimo: 0.0009	
- Armadura longitudinal inferior:	Calculado: 0.00107	Cumple
- Armadura transversal inferior:	Calculado: 0.00107	Cumple
Cuantía mecánica mínima:	Calculado: 0.00107	
- Armadura longitudinal inferior: <i>Norma EHE-08. Artículo 55.</i>	Mínimo: 0.00026	Cumple
- Armadura transversal inferior: <i>Norma EHE-08. Artículo 42.3.2.</i>	Mínimo: 0.00053	Cumple
Se cumplen todas las comprobaciones		
Información adicional:		
- Momento flector pésimo en la sección de referencia del trasdós: 16.04 kN·m/m		
- Momento flector pésimo en la sección de referencia del intradós: 15.12 kN·m/m		

ESTRIBO 2

DATOS GENERALES

Cota de la rasante: 0.00 m
 Altura del muro sobre la rasante: 0.00 m
 Enrase: Trasdós
 Longitud del muro en planta: 2.80 m
 Separación de las juntas: 5.00 m
 Tipo de cimentación: Zapata corrida

GEOMETRÍA

TRAMOS DEL MURO

Cota de la coronación	Descripción
0.00 m	Altura: 0.65 m Espesor superior: 30.0 cm Espesor inferior: 30.0 cm
-0.65 m	Altura: 0.65 m Espesor superior: 55.0 cm Espesor inferior: 55.0 cm
Altura total: 1.30 m	

ZAPATA CORRIDA

Con puntera y talón
 Canto: 40 cm
 Vuelos intradós / trasdós: 50.0 / 50.0 cm
 Hormigón de limpieza: 10 cm

DESCRIPCIÓN DEL ARMADO

CORONACIÓN				
Armadura superior / 2 Ø12: inferior / 2 Ø12				
Estribos: Ø6c/15				
Canto viga: 25 cm				
Anclaje intradós / trasdós: 21 / 20 cm				
TRAMOS				
Núm.	Intradós		Trasdós	
	Vertical	Horizontal	Vertical	Horizontal
1	Ø10c/30 Solape: 0.25 m	Ø10c/25	Ø16c/30 Solape: 0.6 m	Ø10c/25
2	Ø10c/30 Solape: 0.25 m	Ø10c/25	Ø16c/30 Solape: 0.6 m	Ø10c/25
ZAPATA				
Armadura	Longitudinal	Transversal		
Superior	Ø12c/30	Ø12c/30 Longitud de anclaje en prolongación: 40 cm Patilla trasdós: 12 cm		
Inferior	Ø12c/30	Ø12c/30 Patilla intradós / trasdós: 11 / 11 cm		
Longitud de pata en arranque: 30 cm				



COMPROBACIONES GEOMÉTRICAS Y DE RESISTENCIA

Referencia: Muro: e2 (estribo 2)		
Comprobación	Valores	Estado
Comprobación a rasante en arranque muro:		
- Tramo 1:	Máximo: 276.6 kN/m Calculado: 1.7 kN/m	Cumple
- Tramo 2:	Máximo: 448.7 kN/m Calculado: 10.9 kN/m	Cumple
Espesor mínimo del tramo: <i>Jiménez Salas, J.A.. Geotecnia y Cimientos II, (Cap. 12)</i>		
- Tramo 1:	Mínimo: 20 cm Calculado: 30 cm	Cumple
- Tramo 2:	Calculado: 55 cm	Cumple
Separación libre mínima armaduras horizontales: <i>Norma EHE-08. Artículo 69.4.1</i>		
- Tramo 1:	Mínimo: 2.5 cm	
- Trasdós:	Calculado: 24 cm	Cumple
- Intradós:	Calculado: 24 cm	Cumple
- Tramo 2:		
- Trasdós:	Calculado: 24 cm	Cumple
- Intradós:	Calculado: 24 cm	Cumple
Separación máxima armaduras horizontales: <i>Norma EHE-08. Artículo 42.3.1</i>		
- Tramo 1:	Máximo: 30 cm	
- Trasdós:	Calculado: 25 cm	Cumple
- Intradós:	Calculado: 25 cm	Cumple
- Tramo 2:		
- Trasdós:	Calculado: 25 cm	Cumple
- Intradós:	Calculado: 25 cm	Cumple
Cuantía geométrica mínima horizontal por cara: <i>Norma EHE-08. Artículo 42.3.5</i>		
- Tramo 1:	Mínimo: 0.001	
- Trasdós (-0.65 m):	Calculado: 0.00104	Cumple
- Intradós (-0.65 m):	Calculado: 0.00104	Cumple
- Tramo 2:		
- Trasdós (-1.30 m):	Calculado: 0.00102	Cumple
- Intradós (-1.30 m):	Calculado: 0.00102	Cumple

Referencia: Muro: e2 (estribo 2)		
Comprobación	Valores	Estado
Cuantía mínima mecánica horizontal por cara: <i>Criterio J.Calavera. Muros de contención y muros de sótano. (Cuantía horizontal > 20% Cuantía vertical)</i>		
- Tramo 1:	Calculado: 0.00104	
- Trasdós:	Mínimo: 0.00044	Cumple
- Intradós:	Mínimo: 0.00017	Cumple
- Tramo 2:	Calculado: 0.00057	
- Trasdós:	Mínimo: 0.00024	Cumple
- Intradós:	Mínimo: 9e-005	Cumple
Cuantía mínima geométrica vertical cara traccionada: <i>Norma EHE-08. Artículo 42.3.5</i>		
- Tramo 1. Trasdós (-0.65 m):	Calculado: 0.00223	Cumple
- Tramo 2. Trasdós (-1.30 m):	Calculado: 0.00121	Cumple
Cuantía mínima mecánica vertical cara traccionada: <i>Norma EHE-08. Artículo 42.3.2</i>		
- Tramo 1. Trasdós (-0.65 m):	Calculado: 0.00223	Cumple
- Tramo 2. Trasdós (-1.30 m):	Calculado: 0.00221	Cumple
Cuantía mínima geométrica vertical cara comprimida: <i>Norma EHE-08. Artículo 42.3.5</i>		
- Tramo 1. Intradós (-0.65 m):	Calculado: 0.00087	Cumple
- Tramo 2. Intradós (-1.30 m):	Calculado: 0.00047	Cumple
Cuantía mínima mecánica vertical cara comprimida: <i>Norma EHE-08. Artículo 42.3.3</i>		
- Tramo 1. Intradós (-0.65 m):	Mínimo: 3e-005 Calculado: 0.00087	Cumple
- Tramo 2. Intradós (-1.30 m):	Mínimo: 2e-005 Calculado: 0.00047	Cumple
Separación libre mínima armaduras verticales: <i>Norma EHE-08. Artículo 69.4.1</i>		
- Tramo 1:	Mínimo: 2.5 cm	
- Trasdós:	Calculado: 26.8 cm	Cumple



Referencia: Muro: e2 (estribo 2)		
Comprobación	Valores	Estado
- Intradós:	Calculado: 28 cm	Cumple
- Tramo 2:		
- Trasdós:	Calculado: 26.8 cm	Cumple
- Intradós:	Calculado: 28 cm	Cumple
Separación máxima entre barras: <i>Norma EHE-08. Artículo 42.3.1</i>		
- Tramo 1:	Máximo: 30 cm	
- Armadura vertical Trasdós:	Calculado: 30 cm	Cumple
- Armadura vertical Intradós:	Calculado: 30 cm	Cumple
- Tramo 2:		
- Armadura vertical Trasdós:	Calculado: 30 cm	Cumple
- Armadura vertical Intradós:	Calculado: 30 cm	Cumple
Comprobación a flexión compuesta: <i>Comprobación realizada por unidad de longitud de muro</i>		
- Tramo 1:		Cumple
- Tramo 2:		Cumple
Comprobación a cortante: <i>Norma EHE-08. Artículo 44.2.3.2.1</i>		
- Tramo 1:	Máximo: 216 kN/m Calculado: 2.7 kN/m	Cumple
- Tramo 2:	Máximo: 336.2 kN/m Calculado: 3.3 kN/m	Cumple
Comprobación de fisuración: <i>Norma EHE-08. Artículo 49.2.3</i>		
- Tramo 1:	Máximo: 0.3 mm Calculado: 0 mm	Cumple
- Tramo 2:	Calculado: 0 mm	Cumple
Longitud de solapes: <i>Norma EHE-08. Artículo 69.5.2</i>		
- Tramo 1:		
- Base trasdós:	Mínimo: 0.56 m Calculado: 0.6 m	Cumple
- Base intradós:	Mínimo: 0.25 m Calculado: 0.25 m	Cumple
- Tramo 2:		
- Base trasdós:	Mínimo: 0.56 m Calculado: 0.6 m	Cumple

Referencia: Muro: e2 (estribo 2)		
Comprobación	Valores	Estado
- Base intradós:	Mínimo: 0.25 m Calculado: 0.25 m	Cumple
Comprobación del anclaje del armado base en coronación: <i>Criterio J.Calavera. Muros de contención y muros de sótano.</i>		
- Trasdós:	Mínimo: 20 cm Calculado: 20 cm	Cumple
- Intradós:	Mínimo: 0 cm Calculado: 21 cm	Cumple
Área mínima longitudinal cara superior viga de coronación: <i>J.Calavera (Muros de contención y muros de sótano)</i>		
Canto mínimo viga coronación: <i>Criterio de CYPE Ingenieros: el canto de la viga debe ser mayor que el ancho de la viga o 25 cm</i>	Mínimo: 2.2 cm ² Calculado: 2.2 cm ²	Cumple
Área mínima estribos viga coronación: <i>Norma EHE-08. Artículo 44.2.3.4.1</i>	Mínimo: 25 cm Calculado: 25 cm	Cumple
Separación máxima entre estribos: <i>Norma EHE-08. Artículo 44.2.3.4.1</i>	Mínimo: 1.72 cm ² /m Calculado: 3.76 cm ² /m	Cumple
Se cumplen todas las comprobaciones		
Información adicional:		
- Tramo 1 -> Cota de la sección con la mínima relación 'cuantía horizontal / cuantía vertical' Trasdós: -0.65 m		
- Tramo 1 -> Cota de la sección con la mínima relación 'cuantía horizontal / cuantía vertical' Intradós: -0.65 m		
- Tramo 1 -> Sección crítica a flexión compuesta: Cota: -0.65 m, Md: -13.06 kN·m/m, Nd: 96.21 kN/m, Vd: 0.69 kN/m, Tensión máxima del acero: 27.112 MPa		
- Tramo 1 -> Sección crítica a cortante: Cota: 0.00 m		
- Tramo 2 -> Cota de la sección con la mínima relación 'cuantía horizontal / cuantía vertical' Trasdós: -1.30 m		
- Tramo 2 -> Cota de la sección con la mínima relación 'cuantía horizontal / cuantía vertical' Intradós: -1.30 m		
- Tramo 2 -> Sección crítica a flexión compuesta: Cota: -0.65 m, Md: -13.06 kN·m/m, Nd: 96.21 kN/m, Vd: 0.69 kN/m, Tensión máxima del acero: 27.112 MPa		
- Tramo 2 -> Sección crítica a cortante: Cota: -0.79 m		

Referencia: Zapata corrida: e2 (estribo 2)		
Comprobación	Valores	Estado
Comprobación de estabilidad: <i>Valor introducido por el usuario.</i>		
- Coeficiente de seguridad al vuelco:	Mínimo: 2 Calculado: 11.46	Cumple



Referencia: Zapata corrida: e2 (estribo 2)		
Comprobación	Valores	Estado
- Coeficiente de seguridad al deslizamiento:	Mínimo: 1.5 Calculado: 4.19	Cumple
Canto mínimo:		
- Zapata: <i>Norma EHE-08. Artículo 58.8.1.</i>	Mínimo: 25 cm Calculado: 40 cm	Cumple
Tensiones sobre el terreno: <i>Valor introducido por el usuario.</i>		
- Tensión media:	Máximo: 0.5 MPa Calculado: 0.0706 MPa	Cumple
- Tensión máxima:	Máximo: 0.625 MPa Calculado: 0.0998 MPa	Cumple
Flexión en zapata: <i>Comprobación basada en criterios resistentes</i>	Calculado: 3.77 cm ² /m	
- Armado superior trasdós:	Mínimo: 0 cm ² /m	Cumple
- Armado inferior trasdós:	Mínimo: 0.93 cm ² /m	Cumple
- Armado inferior intradós:	Mínimo: 0.65 cm ² /m	Cumple
Esfuerzo cortante: <i>Norma EHE-08. Artículo 44.2.3.2.1.</i>	Máximo: 247.8 kN/m	
- Trasdós:	Calculado: 12.7 kN/m	Cumple
- Intradós:	Calculado: 7.3 kN/m	Cumple
Longitud de anclaje: <i>Norma EHE-08. Artículo 69.5.</i>		
- Arranque trasdós:	Mínimo: 27 cm Calculado: 32.6 cm	Cumple
- Arranque intradós:	Mínimo: 17 cm Calculado: 32.6 cm	Cumple
- Armado inferior trasdós (Patilla):	Mínimo: 11 cm Calculado: 11 cm	Cumple
- Armado inferior intradós (Patilla):	Mínimo: 11 cm Calculado: 11 cm	Cumple
- Armado superior trasdós (Patilla):	Mínimo: 11 cm Calculado: 12 cm	Cumple
- Armado superior intradós:	Mínimo: 15 cm Calculado: 40 cm	Cumple
Recubrimiento:		
- Lateral: <i>Norma EHE-08. Artículo 37.2.4.1.</i>	Mínimo: 7 cm Calculado: 7 cm	Cumple

Referencia: Zapata corrida: e2 (estribo 2)		
Comprobación	Valores	Estado
Diámetro mínimo: <i>Norma EHE-08. Artículo 58.8.2.</i>	Mínimo: Ø12	
- Armadura transversal inferior:	Calculado: Ø12	Cumple
- Armadura longitudinal inferior:	Calculado: Ø12	Cumple
- Armadura transversal superior:	Calculado: Ø12	Cumple
- Armadura longitudinal superior:	Calculado: Ø12	Cumple
Separación máxima entre barras: <i>Norma EHE-08. Artículo 42.3.1.</i>	Máximo: 30 cm	
- Armadura transversal inferior:	Calculado: 30 cm	Cumple
- Armadura transversal superior:	Calculado: 30 cm	Cumple
- Armadura longitudinal inferior:	Calculado: 30 cm	Cumple
- Armadura longitudinal superior:	Calculado: 30 cm	Cumple
Separación mínima entre barras: <i>J. Calavera, 'Cálculo de Estructuras de Cimentación' 4ª edición, INTEMAC. Apartado 3.16 (pag.129).</i>	Mínimo: 10 cm	
- Armadura transversal inferior:	Calculado: 30 cm	Cumple
- Armadura transversal superior:	Calculado: 30 cm	Cumple
- Armadura longitudinal inferior:	Calculado: 30 cm	Cumple
- Armadura longitudinal superior:	Calculado: 30 cm	Cumple
Cuantía geométrica mínima: <i>Norma EHE-08. Artículo 42.3.5.</i>	Mínimo: 0.0009	
- Armadura longitudinal inferior:	Calculado: 0.00094	Cumple
- Armadura transversal inferior:	Calculado: 0.00094	Cumple
Cuantía mecánica mínima:	Calculado: 0.00094	
- Armadura longitudinal inferior: <i>Norma EHE-08. Artículo 55.</i>	Mínimo: 0.00023	Cumple
- Armadura transversal inferior: <i>Norma EHE-08. Artículo 42.3.2.</i>	Mínimo: 0.00033	Cumple
Se cumplen todas las comprobaciones		
Información adicional:		
- Momento flector pésimo en la sección de referencia del trasdós:	13.33 kN·m/m	
- Momento flector pésimo en la sección de referencia del intradós:	9.45 kN·m/m	



ESTRIBO 3

DATOS GENERALES

Cota de la rasante: 0.00 m
 Altura del muro sobre la rasante: 0.00 m
 Enrase: Trasdós
 Longitud del muro en planta: 2.80 m
 Separación de las juntas: 5.00 m
 Tipo de cimentación: Zapata corrida

ZAPATA		
Armadura	Longitudinal	Transversal
Superior	Ø12c/30	Ø12c/30 Longitud de anclaje en prolongación: 40 cm Patilla trasdós: 12 cm
Inferior	Ø12c/30	Ø12c/30 Patilla intradós / trasdós: 11 / 11 cm
Longitud de pata en arranque: 30 cm		

GEOMETRÍA

TRAMOS DEL MURO

Cota de la coronación	Descripción
0.00 m	Altura: 0.65 m Espesor superior: 30.0 cm Espesor inferior: 30.0 cm
-0.65 m	Altura: 0.65 m Espesor superior: 55.0 cm Espesor inferior: 55.0 cm
Altura total: 1.30 m	

ZAPATA CORRIDA

Con puntera y talón
 Canto: 35 cm
 Vuelos intradós / trasdós: 60.0 / 60.0 cm
 Hormigón de limpieza: 10 cm

DESCRIPCIÓN DEL ARMADO

CORONACIÓN				
Armadura superior / 2 Ø12: inferior / 2 Ø12				
Estribos: Ø6c/15				
Canto viga: 25 cm				
Anclaje intradós / trasdós: 21 / 20 cm				
TRAMOS				
Núm.	Intradós		Trasdós	
	Vertical	Horizontal	Vertical	Horizontal
1	Ø10c/30 Solape: 0.25 m	Ø10c/25	Ø16c/30 Solape: 0.6 m	Ø10c/25
2	Ø10c/30 Solape: 0.25 m	Ø10c/25	Ø16c/30 Solape: 0.6 m	Ø10c/25

COMPROBACIONES GEOMÉTRICAS Y DE RESISTENCIA

Referencia: Muro: e3 (estribo 3)	Valores	Estado
Comprobación		
Comprobación a rasante en arranque muro:		
- Tramo 1:	Máximo: 276.6 kN/m Calculado: 0.8 kN/m	Cumple
- Tramo 2:	Máximo: 448.7 kN/m Calculado: 5.8 kN/m	Cumple
Espesor mínimo del tramo: <i>Jiménez Salas, J.A.. Geotecnia y Cimientos II, (Cap. 12)</i>	Mínimo: 20 cm	
- Tramo 1:	Calculado: 30 cm	Cumple
- Tramo 2:	Calculado: 55 cm	Cumple
Separación libre mínima armaduras horizontales: <i>Norma EHE-08. Artículo 69.4.1</i>	Mínimo: 2.5 cm	
- Tramo 1:		
- Trasdós:	Calculado: 24 cm	Cumple
- Intradós:	Calculado: 24 cm	Cumple
- Tramo 2:		
- Trasdós:	Calculado: 24 cm	Cumple
- Intradós:	Calculado: 24 cm	Cumple
Separación máxima armaduras horizontales: <i>Norma EHE-08. Artículo 42.3.1</i>	Máximo: 30 cm	
- Tramo 1:		
- Trasdós:	Calculado: 25 cm	Cumple
- Intradós:	Calculado: 25 cm	Cumple
- Tramo 2:		
- Trasdós:	Calculado: 25 cm	Cumple



Referencia: Muro: e3 (estribo 3)		
Comprobación	Valores	Estado
- Intradós:	Calculado: 25 cm	Cumple
Cuantía geométrica mínima horizontal por cara: <i>Norma EHE-08. Artículo 42.3.5</i>	Mínimo: 0.001	
- Tramo 1:		
- Trasdós (-0.65 m):	Calculado: 0.00104	Cumple
- Intradós (-0.65 m):	Calculado: 0.00104	Cumple
- Tramo 2:		
- Trasdós (-1.30 m):	Calculado: 0.00106	Cumple
- Intradós (-1.30 m):	Calculado: 0.00106	Cumple
Cuantía mínima mecánica horizontal por cara: <i>Criterio J.Calavera. Muros de contención y muros de sótano. (Cuantía horizontal > 20% Cuantía vertical)</i>		
- Tramo 1:	Calculado: 0.00104	
- Trasdós:	Mínimo: 0.00044	Cumple
- Intradós:	Mínimo: 0.00017	Cumple
- Tramo 2:	Calculado: 0.00057	
- Trasdós:	Mínimo: 0.00024	Cumple
- Intradós:	Mínimo: 9e-005	Cumple
Cuantía mínima geométrica vertical cara traccionada: <i>Norma EHE-08. Artículo 42.3.5</i>	Mínimo: 0.0009	
- Tramo 1. Trasdós (-0.65 m):	Calculado: 0.00223	Cumple
- Tramo 2. Trasdós (-1.30 m):	Calculado: 0.00121	Cumple
Cuantía mínima mecánica vertical cara traccionada: <i>Norma EHE-08. Artículo 42.3.2</i>	Mínimo: 0.00204	
- Tramo 1. Trasdós (-0.65 m):	Calculado: 0.00223	Cumple
- Tramo 2. Trasdós (-1.30 m):	Calculado: 0.00221	Cumple
Cuantía mínima geométrica vertical cara comprimida: <i>Norma EHE-08. Artículo 42.3.5</i>	Mínimo: 0.00027	
- Tramo 1. Intradós (-0.65 m):	Calculado: 0.00087	Cumple
- Tramo 2. Intradós (-1.30 m):	Calculado: 0.00047	Cumple

Referencia: Muro: e3 (estribo 3)		
Comprobación	Valores	Estado
Cuantía mínima mecánica vertical cara comprimida: <i>Norma EHE-08. Artículo 42.3.3</i>		
- Tramo 1. Intradós (-0.65 m):	Mínimo: 3e-005 Calculado: 0.00087	Cumple
- Tramo 2. Intradós (-1.30 m):	Mínimo: 1e-005 Calculado: 0.00047	Cumple
Separación libre mínima armaduras verticales: <i>Norma EHE-08. Artículo 69.4.1</i>	Mínimo: 2.5 cm	
- Tramo 1:		
- Trasdós:	Calculado: 26.8 cm	Cumple
- Intradós:	Calculado: 28 cm	Cumple
- Tramo 2:		
- Trasdós:	Calculado: 26.8 cm	Cumple
- Intradós:	Calculado: 28 cm	Cumple
Separación máxima entre barras: <i>Norma EHE-08. Artículo 42.3.1</i>	Máximo: 30 cm	
- Tramo 1:		
- Armadura vertical Trasdós:	Calculado: 30 cm	Cumple
- Armadura vertical Intradós:	Calculado: 30 cm	Cumple
- Tramo 2:		
- Armadura vertical Trasdós:	Calculado: 30 cm	Cumple
- Armadura vertical Intradós:	Calculado: 30 cm	Cumple
Comprobación a flexión compuesta: <i>Comprobación realizada por unidad de longitud de muro</i>		
- Tramo 1:		Cumple
- Tramo 2:		Cumple
Comprobación a cortante: <i>Norma EHE-08. Artículo 44.2.3.2.1</i>		
- Tramo 1:	Máximo: 214.5 kN/m Calculado: 2.7 kN/m	Cumple
- Tramo 2:	Máximo: 328.5 kN/m Calculado: 1.5 kN/m	Cumple
Comprobación de fisuración: <i>Norma EHE-08. Artículo 49.2.3</i>	Máximo: 0.3 mm	
- Tramo 1:	Calculado: 0 mm	Cumple



Referencia: Muro: e3 (estribo 3)		
Comprobación	Valores	Estado
- Tramo 2:	Calculado: 0 mm	Cumple
Longitud de solapes: <i>Norma EHE-08. Artículo 69.5.2</i>		
- Tramo 1:		
- Base trasdós:	Mínimo: 0.56 m Calculado: 0.6 m	Cumple
- Base intradós:	Mínimo: 0.25 m Calculado: 0.25 m	Cumple
- Tramo 2:		
- Base trasdós:	Mínimo: 0.56 m Calculado: 0.6 m	Cumple
- Base intradós:	Mínimo: 0.25 m Calculado: 0.25 m	Cumple
Comprobación del anclaje del armado base en coronación: <i>Criterio J.Calavera. Muros de contención y muros de sótano.</i>		
- Trasdós:	Mínimo: 20 cm Calculado: 20 cm	Cumple
- Intradós:	Mínimo: 0 cm Calculado: 21 cm	Cumple
Área mínima longitudinal cara superior viga de coronación: <i>J.Calavera (Muros de contención y muros de sótano)</i>		
Canto mínimo viga coronación: <i>Criterio de CYPE Ingenieros: el canto de la viga debe ser mayor que el ancho de la viga o 25 cm</i>	Mínimo: 25 cm Calculado: 25 cm	Cumple
Área mínima estribos viga coronación: <i>Norma EHE-08. Artículo 44.2.3.4.1</i>		
Separación máxima entre estribos: <i>Norma EHE-08. Artículo 44.2.3.4.1</i>	Máximo: 18.7 cm Calculado: 15 cm	Cumple
Se cumplen todas las comprobaciones		
Información adicional:		
- Tramo 1 -> Cota de la sección con la mínima relación 'cuantía horizontal / cuantía vertical' Trasdós: -0.65 m		
- Tramo 1 -> Cota de la sección con la mínima relación 'cuantía horizontal / cuantía vertical' Intradós: -0.65 m		
- Tramo 1 -> Sección crítica a flexión compuesta: Cota: -0.65 m, Md: -11.56 kN·m/m, Nd: 83.10 kN/m, Vd: -0.56 kN/m, Tensión máxima del acero: 25.800 MPa		
- Tramo 1 -> Sección crítica a cortante: Cota: 0.00 m		
- Tramo 2 -> Cota de la sección con la mínima relación 'cuantía horizontal / cuantía vertical' Trasdós: -1.30 m		

Referencia: Muro: e3 (estribo 3)		
Comprobación	Valores	Estado
- Tramo 2 -> Cota de la sección con la mínima relación 'cuantía horizontal / cuantía vertical' Intradós: -1.30 m		
- Tramo 2 -> Sección crítica a flexión compuesta: Cota: -0.65 m, Md: -11.56 kN·m/m, Nd: 83.10 kN/m, Vd: -0.56 kN/m, Tensión máxima del acero: 25.800 MPa		
- Tramo 2 -> Sección crítica a cortante: Cota: -0.79 m		

Referencia: Zapata corrida: e3 (estribo 3)		
Comprobación	Valores	Estado
Comprobación de estabilidad: <i>Valor introducido por el usuario.</i>		
- Coeficiente de seguridad al vuelco:	Mínimo: 2 Calculado: 21.17	Cumple
- Coeficiente de seguridad al deslizamiento:	Mínimo: 1.5 Calculado: 6.95	Cumple
Canto mínimo: - Zapata: <i>Norma EHE-08. Artículo 58.8.1.</i>		
	Mínimo: 25 cm Calculado: 35 cm	Cumple
Tensiones sobre el terreno: <i>Valor introducido por el usuario.</i>		
- Tensión media:	Máximo: 0.5 MPa Calculado: 0.0575 MPa	Cumple
- Tensión máxima:	Máximo: 0.625 MPa Calculado: 0.0894 MPa	Cumple
Flexión en zapata: <i>Comprobación basada en criterios resistentes</i>		
- Armado superior trasdós:	Calculado: 3.77 cm ² /m Mínimo: 0 cm ² /m	Cumple
- Armado inferior trasdós:	Mínimo: 1.19 cm ² /m	Cumple
- Armado inferior intradós:	Mínimo: 0.68 cm ² /m	Cumple
Esfuerzo cortante: <i>Norma EHE-08. Artículo 44.2.3.2.1.</i>		
- Trasdós:	Máximo: 223.4 kN/m Calculado: 19.7 kN/m	Cumple
- Intradós:	Calculado: 9.6 kN/m	Cumple
Longitud de anclaje: <i>Norma EHE-08. Artículo 69.5.</i>		
- Arranque trasdós:	Mínimo: 27 cm Calculado: 27.6 cm	Cumple
- Arranque intradós:	Mínimo: 17 cm Calculado: 27.6 cm	Cumple



Referencia: Zapata corrida: e3 (estribo 3)		
Comprobación	Valores	Estado
- Armado inferior trasdós (Patilla):	Mínimo: 0 cm Calculado: 11 cm	Cumple
- Armado inferior intradós (Patilla):	Mínimo: 0 cm Calculado: 11 cm	Cumple
- Armado superior trasdós (Patilla):	Mínimo: 0 cm Calculado: 12 cm	Cumple
- Armado superior intradós:	Mínimo: 15 cm Calculado: 40 cm	Cumple
Recubrimiento:		
- Lateral: <i>Norma EHE-08. Artículo 37.2.4.1.</i>	Mínimo: 7 cm Calculado: 7 cm	Cumple
Diámetro mínimo: <i>Norma EHE-08. Artículo 58.8.2.</i>	Mínimo: Ø12	
- Armadura transversal inferior:	Calculado: Ø12	Cumple
- Armadura longitudinal inferior:	Calculado: Ø12	Cumple
- Armadura transversal superior:	Calculado: Ø12	Cumple
- Armadura longitudinal superior:	Calculado: Ø12	Cumple
Separación máxima entre barras: <i>Norma EHE-08. Artículo 42.3.1.</i>	Máximo: 30 cm	
- Armadura transversal inferior:	Calculado: 30 cm	Cumple
- Armadura transversal superior:	Calculado: 30 cm	Cumple
- Armadura longitudinal inferior:	Calculado: 30 cm	Cumple
- Armadura longitudinal superior:	Calculado: 30 cm	Cumple
Separación mínima entre barras: <i>J. Calavera, 'Cálculo de Estructuras de Cimentación' 4ª edición, INTEMAC. Apartado 3.16 (pag.129).</i>	Mínimo: 10 cm	
- Armadura transversal inferior:	Calculado: 30 cm	Cumple
- Armadura transversal superior:	Calculado: 30 cm	Cumple
- Armadura longitudinal inferior:	Calculado: 30 cm	Cumple
- Armadura longitudinal superior:	Calculado: 30 cm	Cumple
Cuantía geométrica mínima: <i>Norma EHE-08. Artículo 42.3.5.</i>	Mínimo: 0.0009	
- Armadura longitudinal inferior:	Calculado: 0.00107	Cumple
- Armadura transversal inferior:	Calculado: 0.00107	Cumple
Cuantía mecánica mínima:	Calculado: 0.00107	

Referencia: Zapata corrida: e3 (estribo 3)		
Comprobación	Valores	Estado
- Armadura longitudinal inferior: <i>Norma EHE-08. Artículo 55.</i>	Mínimo: 0.00026	Cumple
- Armadura transversal inferior: <i>Norma EHE-08. Artículo 42.3.2.</i>	Mínimo: 0.00048	Cumple
Se cumplen todas las comprobaciones		
Información adicional:		
- Momento flector pésimo en la sección de referencia del trasdós: 14.52 kN·m/m		
- Momento flector pésimo en la sección de referencia del intradós: 8.37 kN·m/m		



ANEJO Nº 8: ESTUDIO SÍSMICO



ÍNDICE

1.	INTRODUCCIÓN.....	2
2.	NORMATIVA DE APLICACIÓN.....	2
3.	CLASIFICACIÓN DE LA ESTRUCTURA.....	2
4.	ACCIONES SÍSMICAS SOBRE LA PASARELA.....	2
4.1	ACCIONES SÍSMICAS DURANTE LA VIDA ÚTIL.....	2
4.2	ACCIONES SÍSMICAS DURANTE LA CONSTRUCCIÓN.....	3
5.	CONCLUSIONES.....	4



1. INTRODUCCIÓN

El presente anejo tiene por objeto determinar las posibles acciones sísmicas en la zona de estudio tanto durante la fase de construcción de la pasarela peatonal como durante su vida útil. Se cuantificarán dichas acciones sísmicas y se analizará si es necesario o no incluirlas en el cálculo de la estructura.

2. NORMATIVA DE APLICACIÓN

La normativa utilizada en la redacción de este estudio es la que se recoge a continuación:

- Instrucción sobre las Acciones a considerar en el proyecto de Puentes de Carretera (IAP-11).
- Norma de Construcción Sismorresistente (NCSE-02). Parte general y edificación.
- Norma de Construcción Sismorresistente: Puentes (NCSP-07).

3. CLASIFICACIÓN DE LA ESTRUCTURA

Teniendo en cuenta el epígrafe 1.2.2 de la NSCE-02, “**Clasificación de las construcciones**”, la pasarela es clasificada como de **importancia normal**, debido a que su destrucción por terremoto podría ocasionar víctimas, interrumpir un servicio para la colectividad o producir importantes pérdidas económicas, sin que en ningún caso se trate de un servicio imprescindible ni pueda dar lugar a efectos catastróficos.

4. ACCIONES SÍSMICAS SOBRE LA PASARELA

Según dice la norma IAP-11 la acción sísmica se considerará en el proyecto de puentes de acuerdo con las prescripciones recogidas en la vigente Norma de Construcción Sismorresistente de Puentes (NCSP-07) o normativa que la sustituya.

La NCSP-07, en el apartado 2.8 expone que no será necesaria la consideración de las acciones sísmicas cuando la aceleración sísmica horizontal básica del emplazamiento (a_b) cumpla:

$$a_b < 0,04 \text{ g}$$

Asimismo, también expone que tampoco será necesaria la consideración de las mismas cuando la aceleración sísmica horizontal de cálculo (a_c) cumpla:

$$a_c < 0,04 \text{ g}$$

4.1 ACCIONES SÍSMICAS DURANTE LA VIDA ÚTIL

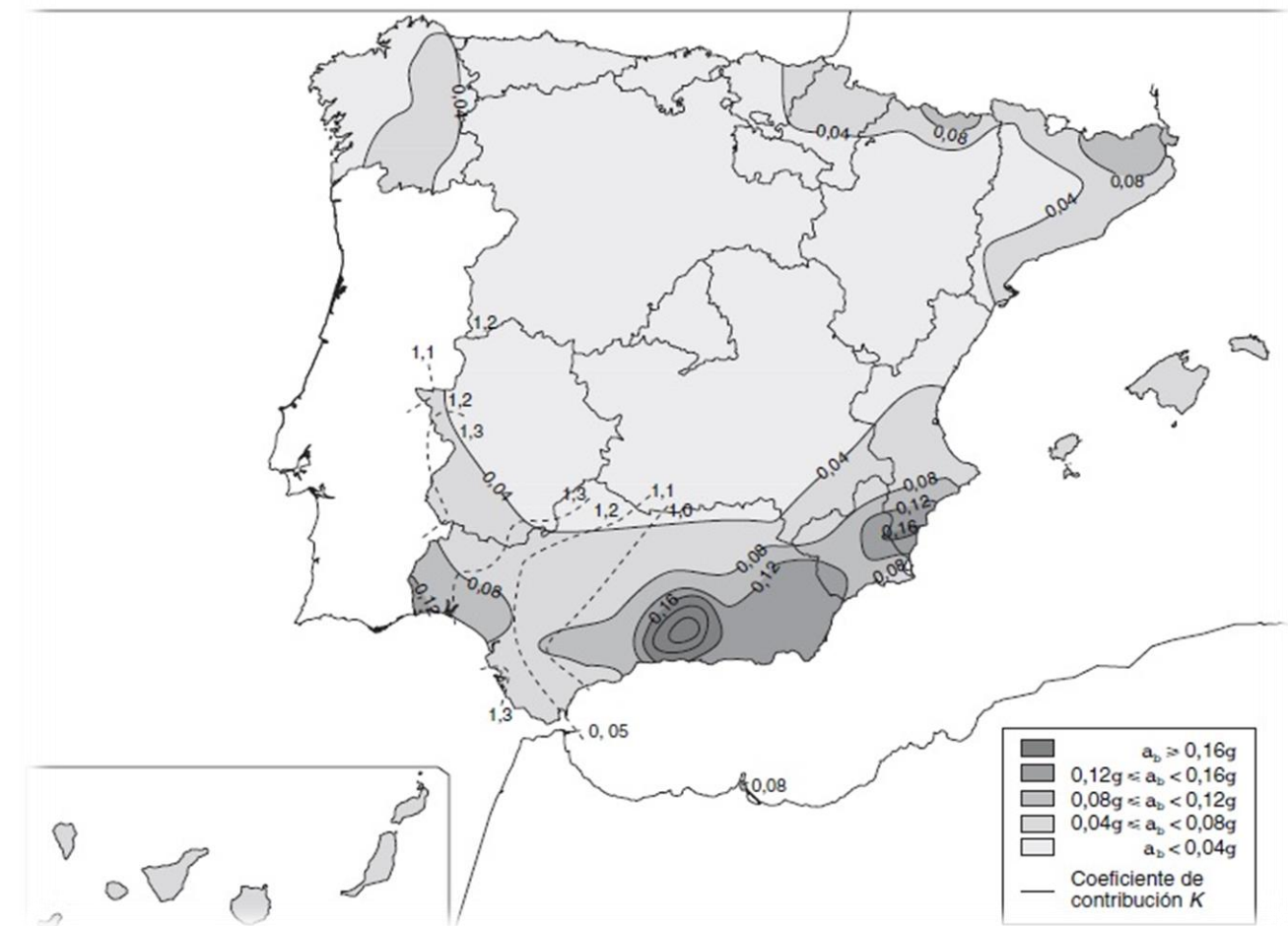
En el apartado 3.4 de la NCSP-07 se define la aceleración sísmica horizontal de cálculo como el producto:

$$a_c = S \cdot \rho \cdot a_b$$

Donde:

a_b : aceleración sísmica básica, calculada a través del mapa sísmico de la norma sismorresistente NCSE-02.

MAPA SÍSMICO DE LA NORMA SISMORRESISTENTE NCSE-02





El emplazamiento de la estructura es Santiago de Compostela, por lo que según el mapa la aceleración sísmica básica es $a_b < 0,04g$.

ρ : Coeficiente adimensional de riesgo, obtenido como producto de dos factores:

$$\rho = \gamma_i \cdot \gamma_{T_i}$$

γ_i es el factor de importancia, función de la importancia del puente. Para la pasarela proyectada se toma un valor de $\gamma_i = 1$, ya que se trata de un puente de importancia normal.

γ_{T_i} es el factor modificador para considerar un periodo de retorno diferente de 500 años. El producto $\rho \cdot a_b$ representa la aceleración sísmica horizontal correspondiente a un periodo de retorno PR. El valor de esa aceleración puede deducirse de un estudio probabilista de la peligrosidad sísmica en el emplazamiento del puente. A falta de este estudio, de forma aproximada puede suponerse:

$$\gamma_{T_i} = (PR / 500)^{0,4}$$

Tomando un periodo de retorno de 100 años queda $\gamma_{T_i} = 0,5253$. Por tanto:

$$\rho = \gamma_i \cdot \gamma_{T_i} = 1 \cdot 0,5253 = 0,5253$$

S: coeficiente de amplificación del terreno. Toma el valor:

- Para $\rho \cdot a_b \leq 0,1 g \rightarrow S = C/1,25$

- Para $0,1 g < \rho \cdot a_b < 0,4 g \rightarrow S = C/1,25 - 3,33 \cdot ((\rho \cdot a_b/g) - 0,1) \cdot (1 - C/1,25)$

- Para $0,4 g \leq \rho \cdot a_b \rightarrow S = 1,0$

En nuestro caso $\rho \cdot a_b = 0,021g < 0,1g$. Por tanto $S = C/1,25$.

C: coeficiente del terreno definido mediante la siguiente tabla.

Tipo de terreno	Descripción	Coefficiente C
I	Roca compacta, suelo cemento o granular muy denso. Velocidad de propagación de las ondas elásticas transversales o de cizalla, $V_s > 750$ m/s	1,0
II	Roca muy fracturada, suelo granular denso o cohesivo duro. Velocidad de propagación de las ondas elásticas transversales o de cizalla, $750 \text{ m/s} \geq V_s \geq 400 \text{ m/s}$	1,3
III	Suelo granular de compacidad media, o suelo cohesivo de consistencia firme a muy firme. Velocidad de propagación de las ondas elásticas transversales o de cizalla, $400 \text{ m/s} \geq V_s \geq 200 \text{ m/s}$.	1,6
IV	Suelo granular suelto, o suelo cohesivo blando. Velocidad de propagación de las ondas elásticas transversales o de cizalla, $V_s \leq 200 \text{ m/s}$	2,0

Una vez realizados los estudios geológico y geotécnico, podemos comprobar que nos encontramos en un terreno tipo I, por lo que nuestro coeficiente $C = 1$.

De esta manera, nuestro coeficiente de amplificación del terreno tiene un valor:

$$S = C/1,25 = 0,8$$

La aceleración sísmica horizontal de cálculo será finalmente:

$$a_c = S \cdot \rho \cdot a_b = 0,8 \cdot 0,5253 \cdot 0,04g = 0,0168g < 0,04g$$

4.2 ACCIONES SÍSMICAS DURANTE LA CONSTRUCCIÓN

Durante la fase de construcción de la pasarela, la aceleración de cálculo puede obtenerse multiplicando la aceleración básica por el factor $0,3(L_c)^{0,37}$.

Siendo L_c la duración del período constructivo en años.

Suponiendo un período de construcción de un año, superior al período constructivo real, la aceleración de cálculo es:

$$a_c = 0,3 \cdot (1)^{0,37} \cdot 0,04g = 0,012g < 0,04g$$



5. CONCLUSIONES

Según las comprobaciones efectuadas en los apartados anteriores, no es necesario incluir los efectos sísmicos en el cálculo de la pasarela proyectada, ni durante su vida útil, ni durante el proceso constructivo.

Ahora bien, la norma también dice que cuando se registre un terremoto de intensidad igual o superior a VII en la escala E.M.S. (Escala Macrosísmica Europea), se deberá realizar un informe en el que se analicen las consecuencias del sismo sobre la estructura y el tipo de medidas a adoptar.



ANEJO Nº 9: PROCESO CONSTRUCTIVO



ÍNDICE

1.	INTRODUCCIÓN.....	2
2.	DESCRIPCIÓN DEL PROCESO CONSTRUCTIVO.....	2
2.1	FABRICACIÓN EN TALLER.....	2
2.2	MONTAJE EN OBRA.....	2
3.	VALORACIÓN ECONÓMICA A INCLUIR EN EL PRESUPUESTO.....	3



1. INTRODUCCIÓN

El presente anejo tiene la finalidad de cumplir lo recogido en la norma RPM-95, de Recomendaciones para el Proyecto de Puentes Metálicos para Carreteras, según la cual todo proyecto de puente metálico de nueva construcción debe contener un Anejo dedicado a estudiar todos los aspectos relacionados con la ejecución de la obra proyectada.

También se trata de poder valorar el coste económico que dicho proceso constructivo puede alcanzar en el conjunto de la obra.

El proceso aquí descrito no tiene un carácter contractual, sino orientativo, de manera que podrá ser modificado por el constructor atendiendo a sus necesidades o sus medios. No obstante, el contratista deberá documentar y justificar adecuadamente cualquier cambio propuesto, debiendo este ser sometido al visto bueno de la Dirección de Obra.

2. DESCRIPCIÓN DEL PROCESO CONSTRUCTIVO

Antes de comenzar el proceso constructivo “in situ”, es necesario realizar en taller la ejecución de los diferentes elementos de estructura metálica. Teniendo esto en cuenta, se pueden diferenciar dos fases simultáneas:

- Fabricación en taller.
- Montaje en obra.

A continuación se realizará una descripción de cada una de las fases. Tanto la sección del tablero con todos sus elementos para montaje en taller, como la disposición de la estructura en obra, pueden consultarse en el Documento nº 2: Planos.

2.1 FABRICACIÓN EN TALLER

La estructura metálica se ha dividido en diferentes partes o módulos, que se fabricarán en taller y se transportarán a la obra, donde serán debidamente ensamblados y soldados. Los módulos se dividirán y transportarán teniendo en cuenta que sus longitudes máximas deben permitir el transporte por carretera desde el taller a la obra.

Los módulos que componen la estructura son:

TABLERO

- Vano 1 (Oeste): se fabricará en 2 módulos.
- Vano 2 (Central): se fabricará en 2 módulos.

- Vano 3 (Este): se fabricará en 2 módulos.
- Rampa 1 (Oeste): se fabricará en 6 módulos.
- Rampa 2 (Central): se fabricará en 4 módulos.
- Rampa 3 (Este): se fabricará en 2 módulos.

PILAS

Se montarán en obra previamente al tablero e independientemente del mismo, y se soldarán en obra. Dada su longitud, no será necesario dividir las pilas en módulos.

2.2 MONTAJE EN OBRA

Fase 1

- Replanteo inicial, trabajos previos (despeje y desbroce del terreno, desmontes, etc...) y acopio de materiales.
- Ejecución de muros y estribos, con su ferralla y hormigonado, y relleno de terraplenes. Disposición de apoyos elastoméricos en los cabezales de estribos.
- Ejecución de zapatas, con su ferralla y hormigonado, quedando en espera las barras corrugadas para el anclaje de los soportes.
- Ensamblaje en obra, colocación y anclaje adecuado de castilletes metálicos.
- Colocación de las pilas asegurándose de que las placas de anclaje garantizan un adecuado empotramiento a las zapatas.

Fase 2

- Se disponen los diferentes módulos que forman las rampas sobre las pilas, prestando especial atención a la consecución de la penetración completa de las soldaduras. Se utilizarán los castilletes para apoyar algunos tramos hasta que se realice la unión mediante soldadura al siguiente tramo.
- Se disponen los módulos que forman el Vano 2 (Central), anclando previamente mediante soldadura los apoyos elastoméricos en cabeza de las pilas 9 y 10. Se hará uso de castillete metálico para el apoyo de tramos, hasta que se realice la unión mediante soldadura de los mismos.



Fase 3

- Se disponen los módulos que forman el Vano 1(Oeste), anclando previamente mediante soldadura los apoyos elastoméricos en cabeza de las pilas 7 y 8. Se hará uso de castillete metálico para el apoyo de tramos, hasta que se realice la unión mediante soldadura de los mismos.
- Se disponen los módulos que forman el Vano 3(Este), haciendo uso de castillete metálico para el apoyo de los tramos en la zona de unión, hasta que se realice la soldadura de los mismos.

Fase 4

- Realizadas todas las operaciones anteriores, se procede con la retirada de los castilletes de apoyo provisional, intentando que la entrada en carga de la estructura se produzca de manera progresiva para evitar posibles efectos dinámicos.
- Colocación del forjado de chapa grecada y hormigonado del mismo, disponiendo la correspondiente armadura de negativos en los tramos donde sea necesario (Ver Anejo de cálculo estructural).

Fase 5

- Replanteo final de la obra utilizando métodos topográficos.
- Ejecución de la reglamentaria prueba de carga, tomando medidas de flechas y comparando con los valores teóricos.
- Remates y restitución de todos los servicios afectados.

3. VALORACIÓN ECONÓMICA A INCLUIR EN EL PRESUPUESTO

Se definen a continuación las diferentes partidas que resultan necesarias para llevar a cabo el procedimiento constructivo descrito anteriormente, con el fin de justificar el sobreprecio que va a suponer dicho proceso en el coste final de las obras.

- Transporte a obra de módulo de estructura metálica procedente de taller.
- Alquiler de castillete metálico para el apoyo provisional de la estructura.
- Colocación de estructura con grúa telescópica autopropulsada.
- Soldadura a tope con penetración completa en unión de fuerza entre módulos de estructura procedentes de taller.

En el Documento nº 4: Presupuesto, el coste del montaje de estructura metálica forma parte del precio final del kilogramo de acero S275JR.



ANEJO N° 10: PRUEBA DE CARGA



ÍNDICE

1.	INTRODUCCIÓN.....	2	4.4	NIVELACIÓN DE LAS OBRAS.....	7
2.	PRUEBA ESTÁTICA DE CARGA.....	2	4.5	ELEMENTOS AUXILIARES.....	7
2.1	PLAZO DE EJECUCIÓN.....	2	4.6	MAGNITUDES A MEDIR.....	7
2.2	PREPARACIÓN DE LAS PRUEBAS DE CARGA.....	2	4.7	APARATOS DE MEDIDA.....	7
2.3	SOBRECARGAS.....	2	4.8	CARGAS DE LA PRUEBA.....	7
2.3.1	MATERIALIZACIÓN DEL TREN DE CARGAS.....	2	4.9	MOVIMIENTOS DE CARGAS DURANTE LAS OBRAS.....	7
2.3.2	ZONAS DE APLICACIÓN DE LAS CARGAS.....	2	4.10	ACTA DE PRUEBAS DE CARGA.....	7
2.3.3	PROCEDIMIENTO DE APLICACIÓN DE LAS CARGAS.....	2	4.11	MEDICIÓN Y ABONO.....	8
2.3.4	DURACIÓN DE LA APLICACIÓN DE LAS CARGAS.....	3	5.	PRESUPUESTO.....	8
2.4	CRITERIOS DE ESTABILIZACIÓN.....	3	5.1	JUSTIFICACIÓN DE PARTIDAS.....	8
2.5	VALORES REMANENTES.....	3	5.1.1	COLOCACIÓN DE LOS SACOS.....	8
2.6	CRITERIOS DE ACEPTACIÓN.....	5	5.1.2	TOMA DE MEDIDAS.....	8
2.7	VALORES PREVISTOS.....	6		APÉNDICE: PUNTOS DE CONTROL.....	9
3.	PRUEBAS COMPLEMENTARIAS.....	6			
4.	PLIEGO DE PRESCRIPCIONES TÉCNICAS PARTICULARES.....	7			
4.1	NORMATIVA APLICABLE.....	7			
4.2	DIRECCIÓN DE LAS PRUEBAS.....	7			
4.3	INSPECCIÓN DE LAS OBRAS.....	7			



1. INTRODUCCIÓN

La prueba de carga de recepción de una estructura es un conjunto de operaciones consistentes en la reproducción de uno o varios estados de carga sobre la misma, antes de su puesta en servicio, con el fin de confirmar que su comportamiento se ajusta a las previsiones teóricas de proyecto. Dichas pruebas de carga pueden ser estáticas y/o dinámicas.

La instrucción sobre las acciones a considerar en el proyecto de puentes de carretera (IAP-11), establece la obligatoriedad de la prueba de carga estática para puentes de nueva construcción. Esta normativa señala así mismo que las pruebas dinámicas serán preceptivas en aquellas estructuras en las que sea necesario verificar que las vibraciones que se puedan producir no afectarán a la funcionalidad de la obra.

Para la realización de las pruebas de carga se tendrán en cuenta los criterios establecidos en las “Recomendaciones para el proyecto y ejecución de pruebas de carga en puentes de carretera” del Ministerio de Fomento (1999).

2. PRUEBA ESTÁTICA DE CARGA

2.1 PLAZO DE EJECUCIÓN

La prueba de carga ha de realizarse antes de la puesta en servicio de la estructura, una vez que esta esté totalmente terminada, y cuando todas las cargas permanentes de la pasarela graviten ya sobre el tablero.

En el momento de inicio de las pruebas, el hormigón de cualquier elemento resistente de la obra deberá tener una edad mínima de 90 días. Si la obra hubiera estado sometida a un control de ejecución normal o intenso, y el hormigón hubiese alcanzado la resistencia característica exigida en proyecto, podríamos reducir dicho plazo a 28 días.

2.2 PREPARACIÓN DE LAS PRUEBAS DE CARGA

Las pruebas de carga exigen una organización y preparación previas en las que se tengan en cuenta todos los detalles, pues las adaptaciones posteriores suelen ser muy difíciles o imposibles. Deberán conocerse no solo el tren de cargas a utilizar y los puntos de medida, sino también la organización y distribución del personal que interviene en la misma, entradas y salidas de los camiones, elementos auxiliares necesarios, tiempos para cada estado de cargas, etc.

2.3 SOBRECARGAS

2.3.1 MATERIALIZACIÓN DEL TREN DE CARGAS

Dada la dificultad práctica de materializar el tren de cargas de la instrucción, se empleará una carga distribuida constituida por sacos de arena u otros elementos similares, que deberán ser lo más parecidos posible entre sí en cuanto a forma, peso y dimensiones. Se recomienda que los esfuerzos provocados por la sobrecarga de la prueba de carga, no superen el 90% de los teóricamente producidos por el tren de cargas de la instrucción. Se recomienda además que un valor adecuado esté entre el 70 y el 80% de estos, por lo que en la presente prueba de carga los esfuerzos máximos serán del orden del 75% de los máximos producidos por la sobrecarga de cálculo.

2.3.2 ZONAS DE APLICACIÓN DE LAS CARGAS

Se aplicará la sobrecarga sobre el pavimento. Las sobrecargas se dispondrán de manera que se alcance el 75% de la carga producida por la sobrecarga de la instrucción en las secciones críticas.

Dado que la sobrecarga de uso es de 5 KN/m², el estado de carga que se considerará para la presente prueba será una carga repartida de 3,75 KN/m². Definiremos los dos estados de carga siguientes:

Estado de carga 1

Carga repartida de 3,75 KN/m² sobre todo el ancho del tablero considerado. Dado que el tablero tiene una superficie útil de 524,58 m², debemos disponer una carga total de 1967,19 KN, lo que equivale a 4010 sacos de 50 kg cada uno, repartidos uniformemente a lo largo del tablero.

Estado de carga 2

Carga repartida de 3,75 KN/m² únicamente en la mitad de la sección del tablero considerado, para reproducir de esta forma posibles fenómenos de torsión. Este segundo caso equivale a una carga total de 983,60 KN, lo cual se puede materializar con 2005 sacos de 50 kg cada uno, repartidos a lo largo de una mitad de la sección del tablero.

2.3.3 PROCEDIMIENTO DE APLICACIÓN DE LAS CARGAS

CICLOS DE CARGA:

La carga se irá aplicando de manera progresiva. En el primer ciclo de carga, esta se aplicará en tres escalones:

- Escalón 1: 15%
- Escalón 2: 30%
- Escalón 3: 55%



De esta forma se puede observar la reacción de la estructura durante el proceso de carga e interrumpir dicho proceso en el caso de encontrar alguna anomalía.

En el segundo ciclo de carga, esta se podrá aplicar en un único escalón, siempre que no se hayan encontrado anomalías en el ciclo anterior. De aplicarse en varios escalones se seguirá el mismo procedimiento que el expuesto en el primer ciclo.

En el caso de necesitar un tercer ciclo(o más), las cargas se realizarán en dos escalones de carga, siendo cada uno del 50% de la carga total. Independientemente de cómo hayan sido los escalones de carga, la descarga se llevará a cabo en un único escalón.

2.3.4 DURACIÓN DE LA APLICACIÓN DE LAS CARGAS

En los casos en que se considere necesaria la aplicación de cargas de larga duración, se tomarán todas las precauciones para que las medidas efectuadas ofrezcan las debidas garantías, teniendo en cuenta la influencia que puedan tener otras acciones, ajenas a las propias de la estructura, tales como las condiciones climáticas que pueden modificar, no sólo las deformaciones sino el normal comportamiento de los aparatos de medida.

El criterio de estabilización de las medidas establece el tiempo que se debe mantener la aplicación de la carga en un escalón intermedio antes de pasar al escalón siguiente. También establece el tiempo en que se debe mantener la carga total correspondiente a un cierto estado de carga.

2.4 CRITERIOS DE ESTABILIZACIÓN

Los diferentes valores de respuesta de la estructura (deformaciones, flechas...), se obtienen como diferencia entre las lecturas de los aparatos en ese instante y las lecturas iniciales en descarga del ciclo que se esté realizando.

Se efectuará una medida de la respuesta instantánea de la estructura una vez situado el tren de cargas correspondiente, bien a un escalón intermedio o al final de cualquier estado de carga, y se controlarán los aparatos de medida en aquellos puntos en los que se esperen las deformaciones más desfavorables desde el punto de vista de la estabilización.

Cuando pasen diez minutos se realizará una nueva medida en dichos puntos. Se considerará estabilizado el proceso de carga y se realizará una lectura final en todos los puntos de medida si las diferencias entre los nuevos valores de la respuesta y los instantáneos, son inferiores al 5% de estos últimos, o bien son del mismo orden que la precisión de los aparatos de medida.

Si no se cumpliera lo anterior se mantendrá la carga durante diez minutos, y deberá cumplirse al final de este periodo que la diferencia de lecturas correspondiente a ese intervalo no supere en más de un 20% a la diferencia de lecturas correspondiente al intervalo anterior, o bien se del orden de la precisión de los aparatos de medida. Si no se cumpliera de nuevo, se comprobará la misma condición en otro intervalo de diez minutos. En caso de seguirse incumpliendo el criterio de estabilización, se procederá a reducir la carga correspondiente al escalón considerado.

Una vez alcanzada la estabilización se tomarán las lecturas finales en todos los puntos de medida de la estructura. Deberá comprobarse además, que no se detecta ningún signo de o muestra de fallo o inestabilidad en alguna parte de la pasarela. Se esperará a que los valores de las medidas estén totalmente estabilizados una vez descargada totalmente la estructura. La diferencia entre los valores estabilizados después de la carga y los valores iniciales antes de cargar, serán los valores remanentes correspondientes al estado de carga considerado.

En el caso de que la diferencia entre los valores obtenidos inmediatamente después de la descarga y los existentes previamente a la carga sea inferior al límite, no será necesaria la comprobación del criterio de estabilización.

2.5 VALORES REMANENTES

Los valores remanentes después del primer ciclo de carga se considerarán aceptables siempre que sean inferiores a los límites fijados en el presente proyecto de prueba de carga. Se aceptarán como válidas después del primer ciclo de carga unas deformaciones remanentes del 15% de las deformaciones máximas.

Si una vez terminado el primer ciclo de carga se obtienen unos valores remanentes que superan los límites establecidos como admisibles, se procederá de la siguiente forma:

- Si los valores remanentes alcanzan el doble de los admisibles se suspenderá la aplicación de la carga.
- Si los valores remanentes superan el límite admisible, pero sin llegar a doblar este valor, se deberá realizar un segundo ciclo de carga, y deberá cumplirse que la deformación remanente correspondiente a este segundo ciclo no supera el 50% de la que corresponde al primer ciclo.
- En caso de que lo anterior no se cumpla se realizará un tercer ciclo de carga y deberá verificarse que la deformación remanente correspondiente al mismo no supere la tercera parte de la correspondiente al segundo ciclo.
- Si realizado el tercer ciclo no se hubiesen alcanzado resultados satisfactorios, el Ingeniero Director de las pruebas suspenderá la aplicación de la carga correspondiente, tomando respecto a los demás estados de carga las medidas que considere convenientes.



Nunca se iniciará la ejecución de un nuevo ciclo de carga antes de haber transcurrido al menos diez minutos desde la carga correspondiente al ciclo precedente.

Se muestran a continuación una serie de gráficas que ayudan a comprender todo lo descrito acerca del proceso de prueba de carga, para $\alpha = 0,15$.

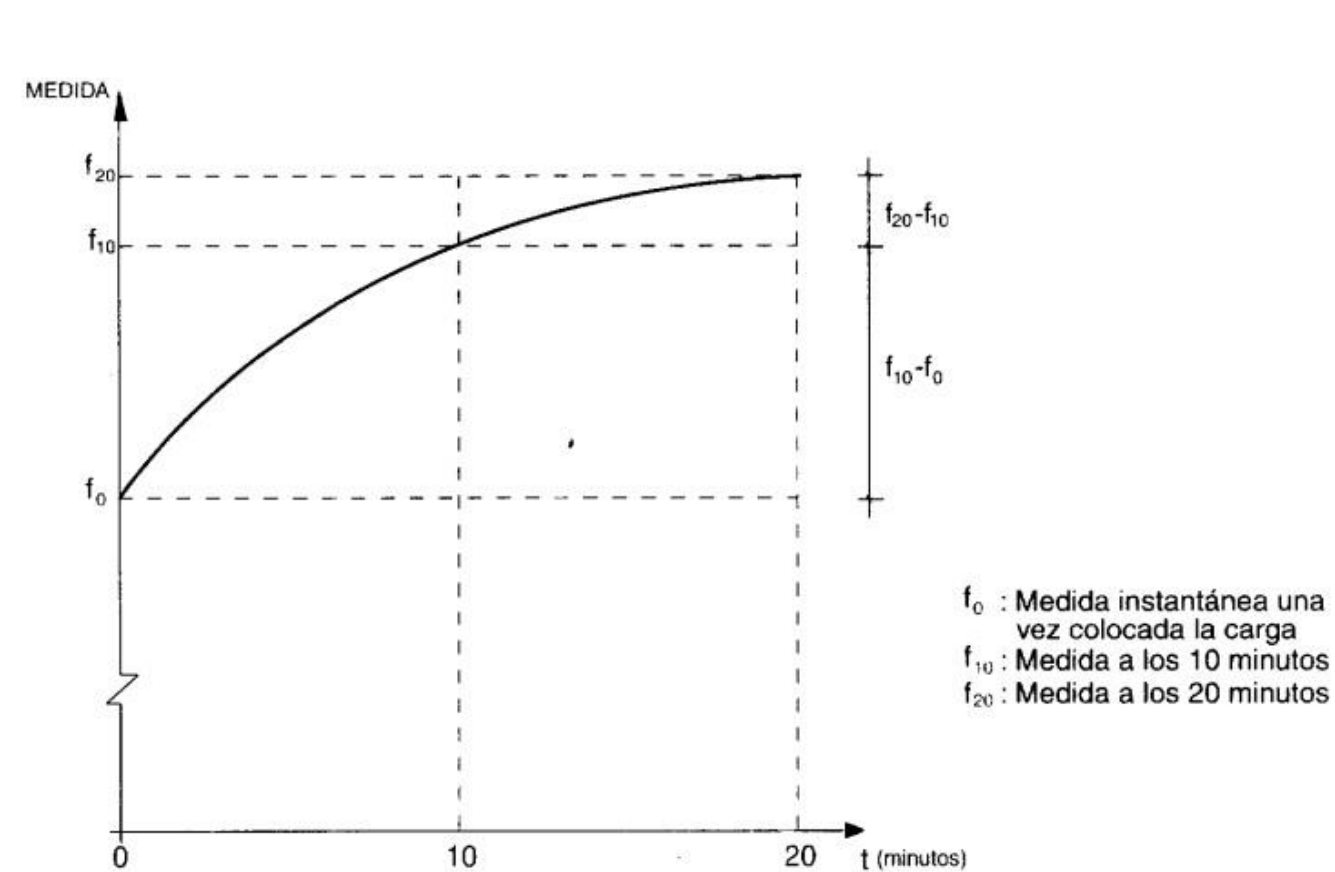


FIGURA 1. PROCESO DE CARGA

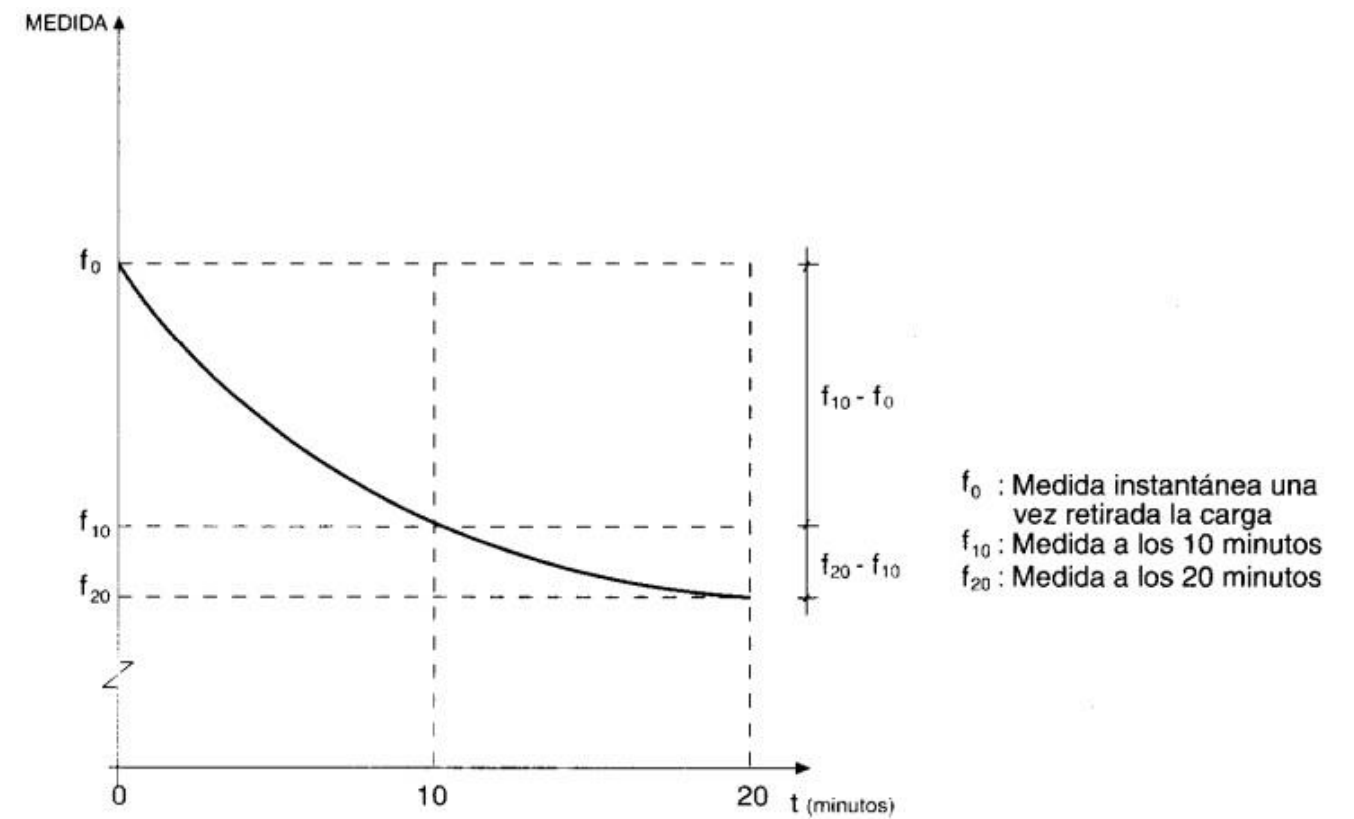


FIGURA 2. PROCESO DE DESCARGA

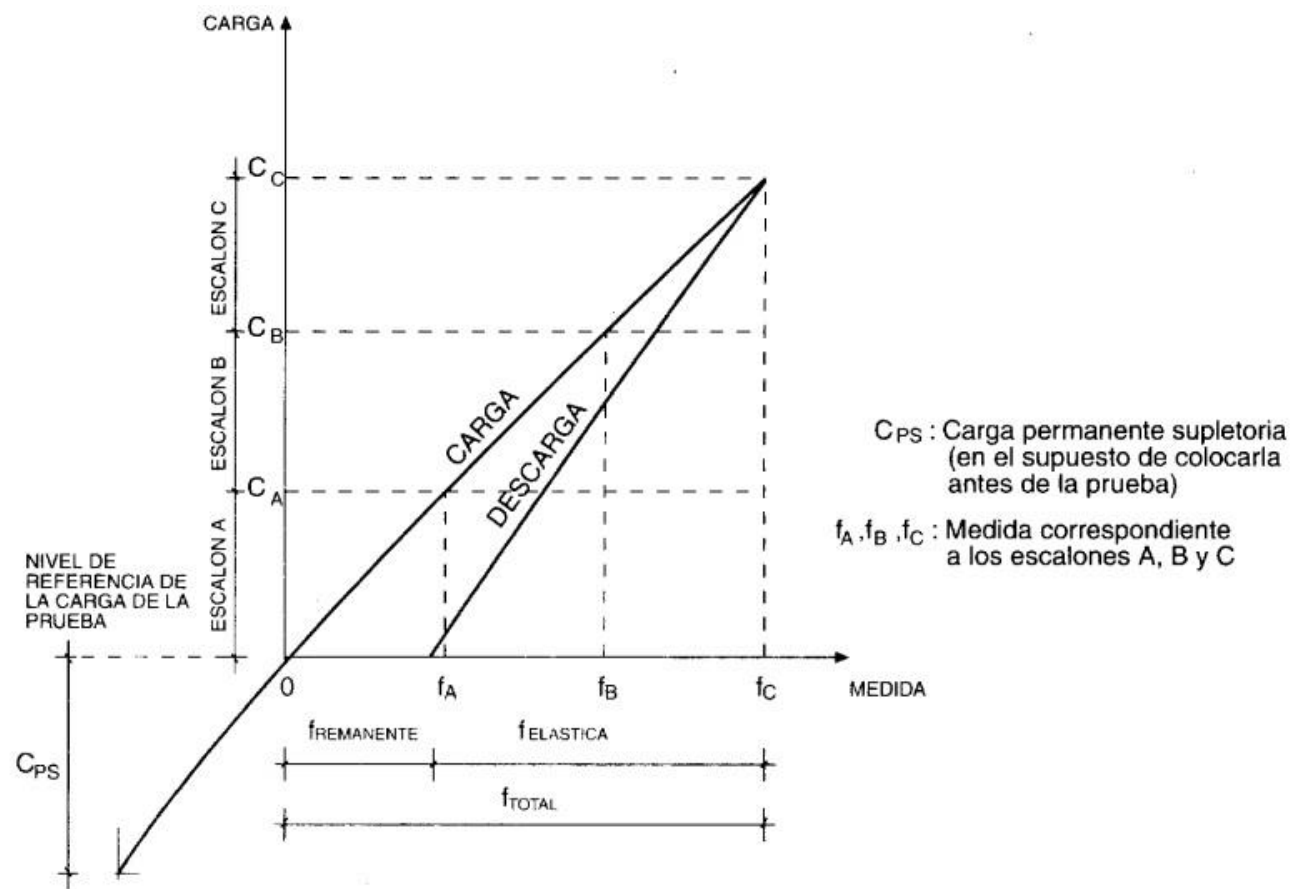


FIGURA 3. CICLO DE CARGA/DESCARGA

- No deberán aparecer signos de agotamiento de la capacidad portante en ninguna parte de la estructura. Desde el punto de vista experimental, estos signos son:
 - Destrucción propiamente dicha de la estructura ensayada o de alguno de sus elementos.
 - Aparición de tensiones superiores a los límites admisibles dependientes del tipo de material.
 - Aparición de deformaciones o desplazamientos que crecen rápidamente sin que la carga aumente o con incrementos muy pequeños de la misma (fenómenos de inestabilidad).

Los valores admisibles de la flecha en cada uno de los puntos críticos de la estructura a ensayar son:

TRAMO	LUZ (m)	FLECHA ADMISIBLE (mm)
Vano 1	31,19	25,99
Vano 2	34,82	29,02
Vano 3	30,59	25,49
Rampa 1 (1)	22,25	18,54
Rampa 1 (2)	23	19,17
Rampa 1 (3)	24,02	20,02
Rampa 2 (1)	22,25	18,54
Rampa 2 (2)	22,25	18,54

Flecha admisible en prueba de carga.

2.6 CRITERIOS DE ACEPTACIÓN

Además de los criterios expuestos referentes a la estabilización de las medidas y al tratamiento de los valores remanentes, que inciden fundamentalmente sobre el desarrollo del ensayo, se tendrán en cuenta otros criterios referentes a la aceptación de la obra derivados de los resultados de la prueba de carga.

Para ello se establecen los siguientes valores admisibles:

- Los valores de las magnitudes máximas al finalizar el ciclo de carga, medidas después de la estabilización, no superarán en más de un 10% a los valores previstos en el presente proyecto de prueba de carga y que se indican más adelante.
- Por condiciones de servicio, y por razones estructurales y estéticas, la flecha no superará el valor de $L/1200$, siendo L la luz de cálculo.



2.7 VALORES PREVISTOS

Se reproducen mediante el modelo de cálculo en SAP2000, los casos de carga necesarios para realizar la prueba de carga.

El modelo empleado es el mismo que el utilizado para el cálculo de la estructura, por lo que la numeración de los nudos y las barras será la misma.

De este modo, con las cargas previstas, se espera que en los puntos de control especificados (Apéndice: Puntos de control), las flechas que se produzcan sean las siguientes:

CASO DE CARGA 1

PUNTO DE CONTROL	LUZ (m)	FLECHA ESTIMADA (mm)
P-1	22,25	15,87
P-2	22,25	16,23
P-3	23	17,06
P-4	23	18,15
P-5	24,02	18,19
P-6	24,02	18,56
P-7	31,19	23,86
P-8	31,19	23,86
P-9	22,25	16,17
P-10	22,25	16,29
P-11	22,25	16,25
P-12	22,25	17,14
P-13	34,82	26,58
P-14	34,82	26,58
P-15	30,59	22,95
P-16	30,59	22,95

Flecha estimada para el caso de carga 1.

CASO DE CARGA 2

PUNTO DE CONTROL	LUZ (m)	FLECHA ESTIMADA (mm)
P-1	22,25	8,17
P-2	22,25	12,65
P-3	23	10,03
P-4	23	13,42
P-5	24,02	12,25
P-6	24,02	14,96
P-7	31,19	17,21
P-8	31,19	20,33
P-9	22,25	9,04
P-10	22,25	12,28
P-11	22,25	8,56
P-12	22,25	12,72
P-13	34,82	20,32
P-14	34,82	23,21
P-15	30,59	16,64
P-16	30,59	19,17

Flecha estimada para el caso de carga 2.

3. PRUEBAS COMPLEMENTARIAS

El Ingeniero Director del proyecto podrá ordenar la realización de las pruebas complementarias si lo estima oportuno, cuando haya dudas sobre los resultados obtenidos en las pruebas o sobre la correcta ejecución de alguna parte de las mismas.

Dichas pruebas complementarias se ejecutarán siguiendo las indicaciones del director de obra, quedando reflejadas en el Acta de la misma, añadiéndolas a las pruebas previstas inicialmente.



4. PLIEGO DE PRESCRIPCIONES TÉCNICAS PARTICULARES

4.1 NORMATIVA APLICABLE

Las dos normativas básicas que regulan la ejecución de las pruebas de carga son:

- Instrucción sobre las acciones a considerar en el proyecto de puentes de carretera (IAP-11).
- Recomendaciones para el proyecto y ejecución de pruebas de carga en puentes de carretera (1999).

Como norma general será de aplicación lo que en ellas se especifica, a no ser que en el presente proyecto se empleen medidas más restrictivas.

4.2 DIRECCIÓN DE LAS PRUEBAS

La dirección de las pruebas corresponde al Ingeniero Director del proyecto, quién, ante las incidencias habidas durante la ejecución de las mismas, podrá introducir cuantas modificaciones al programa general estime necesarias, ordenando la realización de pruebas complementarias, adoptando como tren de cargas de la prueba el que produzca los esfuerzos máximos a que dé lugar el tren de cargas de la IAP-11 sin reducción posible de los mismos, intensificando medidas a realizar, ampliando los tiempos de cargas, etc.

4.3 INSPECCIÓN DE LAS OBRAS

Antes de realizar cualquier prueba de carga se llevará a cabo una inspección de la obra que incluirá, además de la estructura resistente, los aparatos de apoyo, juntas y otros elementos singulares.

Durante la prueba se realizarán controles periódicos de los elementos más característicos de la obra, señalándose los defectos que se puedan ir observando. Al finalizar las pruebas volverá a realizarse una última inspección de la obra.

4.4 NIVELACIÓN DE LAS OBRAS

Tratándose de una estructura cuya luz supera los 25 metros, se realizará, una vez concluida la prueba de carga, una nivelación general de la obra referida a puntos fijos que deberán quedar materializados en el terreno circundante, de cuya situación deberá quedar constancia en el Acta de la prueba.

4.5 ELEMENTOS AUXILIARES

Para una correcta inspección de la obra, así como para la colocación y control de los aparatos de medida, serán necesarios un cierto número de elementos auxiliares. Resulta de la mayor importancia un buen funcionamiento, colocación y nivel de seguridad de dichos elementos.

Deberá cuidarse que, en consecuencia con la precisión de las medidas y el detalle de las observaciones que hayan de realizarse, se disponga de accesos adecuados, fáciles y seguros, de plataformas de trabajo rígidas, de medios de protección contra los agentes atmosféricos, etc.; medidas todas ellas encaminadas a la mejor ejecución de los ensayos.

4.6 MAGNITUDES A MEDIR

Las magnitudes a medir serán los movimientos en los puntos indicados en los planos.

Como puntos de referencia para la medición se tomarán puntos independientes de la estructura de la pasarela. En el Acta de la prueba se dejará constancia de la situación de dichos puntos de referencia.

4.7 APARATOS DE MEDIDA

Los aparatos de medida que se utilicen deberán estar sancionados por la experiencia en pruebas similares y deberán garantizar una apreciación mínima del orden del 5% de los valores máximos esperados de las magnitudes que se vayan a medir. Su campo deberá ser como mínimo superior en un 50% a los valores esperados en dichas magnitudes.

4.8 CARGAS DE LA PRUEBA

Antes de comenzar el ensayo se deberá disponer de las características de todos los elementos a emplear para simular las cargas, tales como su tipo, sus dimensiones, pesos, etc. Se comprobará especialmente el peso de cada uno de los elementos de carga, debiendo quedar garantizado que sus valores no se desvían en más de un 5% de los considerados en el presente anejo.

4.9 MOVIMIENTOS DE CARGAS DURANTE LAS OBRAS

Los movimientos de las cargas en cualquier fase del proceso de carga o descarga se efectuarán con suficiente lentitud para no provocar efectos dinámicos no deseados, y se organizarán de forma que la realización de cualquier estado de carga no produzca sobre otras partes de la estructura solicitaciones superiores a las previstas.

4.10 ACTA DE PRUEBAS DE CARGA

Una vez finalizadas las pruebas, se redactará un acta en la que, además de las observaciones que considere conveniente añadir el Director de Obra, se incluirán los siguientes apartados:

- a) Datos generales. Se harán constar las personas asistentes a la prueba y los organismos o empresas a quienes representan, la fecha de realización del ensayo, la clave del proyecto y la finalidad de la prueba.
- b) Descripción de la Obra. Se indicará el tipo de obra, características (número de vanos, luz, ancho, etc.) y todos aquellos detalles que den una idea clara sobre la obra a ensayar.



- c) Estado de la obra previo a la realización de las pruebas. Se anotarán cuantos detalles de interés hayan sido detectados en la obra como resultado de la inspección realizada según se ha indicado.
- d) Aparatos de medida. Se anotarán los aparatos (niveles, flexímetros, elongómetros, etc.), tipo o marca, precisión, número de puntos de medida y sistema de colocación de los aparatos.
- e) Condiciones climatológicas. Se incluirán datos de temperatura, lluvia, insolación, etc.
- f) Puntos de referencia. Se describirán el punto de referencia y su relación respecto a la obra.
- g) Descripción del ensayo. Se indicará la hora de comienzo de cada uno de los estados de carga, la descripción de dicho estado, tiempo transcurrido entre la carga o descarga y la lectura de los aparatos y la hora de finalización del ensayo.

En la hoja aneja se adjuntará una ficha con los resultados obtenidos, así como su comparación con los teóricos de cálculo.

4.11 MEDICIÓN Y ABONO

El abono de la prueba de carga se realizará mediante una partida alzada de abono íntegro.

5. PRESUPUESTO

5.1 JUSTIFICACIÓN DE PARTIDAS

El presupuesto de la prueba de carga comprende las siguientes partidas:

- Colocación de los sacos de arena (unidad).
- Toma de medidas (unidad).

5.1.1 COLOCACIÓN DE LOS SACOS

El coste de colocación de los sacos se compone de los siguientes apartados:

- Transporte a pie de obra, para lo que se supone una distancia máxima de 10 kilómetros o media hora.
- Traslado a su posición de carga y retirada.
- Coste intrínseco de los sacos.

Como el número de sacos de 50 kg que necesitamos es 4010 (+2005), el coste de esta partida se puede justificar como se expone a continuación:

- Materiales: 1,60 €/saco.
- Maquinaria: 10 horas de camión basculante 4x4 de 14 tn a 39 €/h, lo que proporcionalmente equivale a 0,08 €/saco.

- Mano de obra: 80 horas de peón ordinario a 13,5 €/h, lo que nos da una proporción de 0,18 €/saco.

El coste directo total de los sacos resulta finalmente: $(1,60 \times 4010) + (0,08 + 0,18) \times 6015 = 7979,9 \text{ €}$

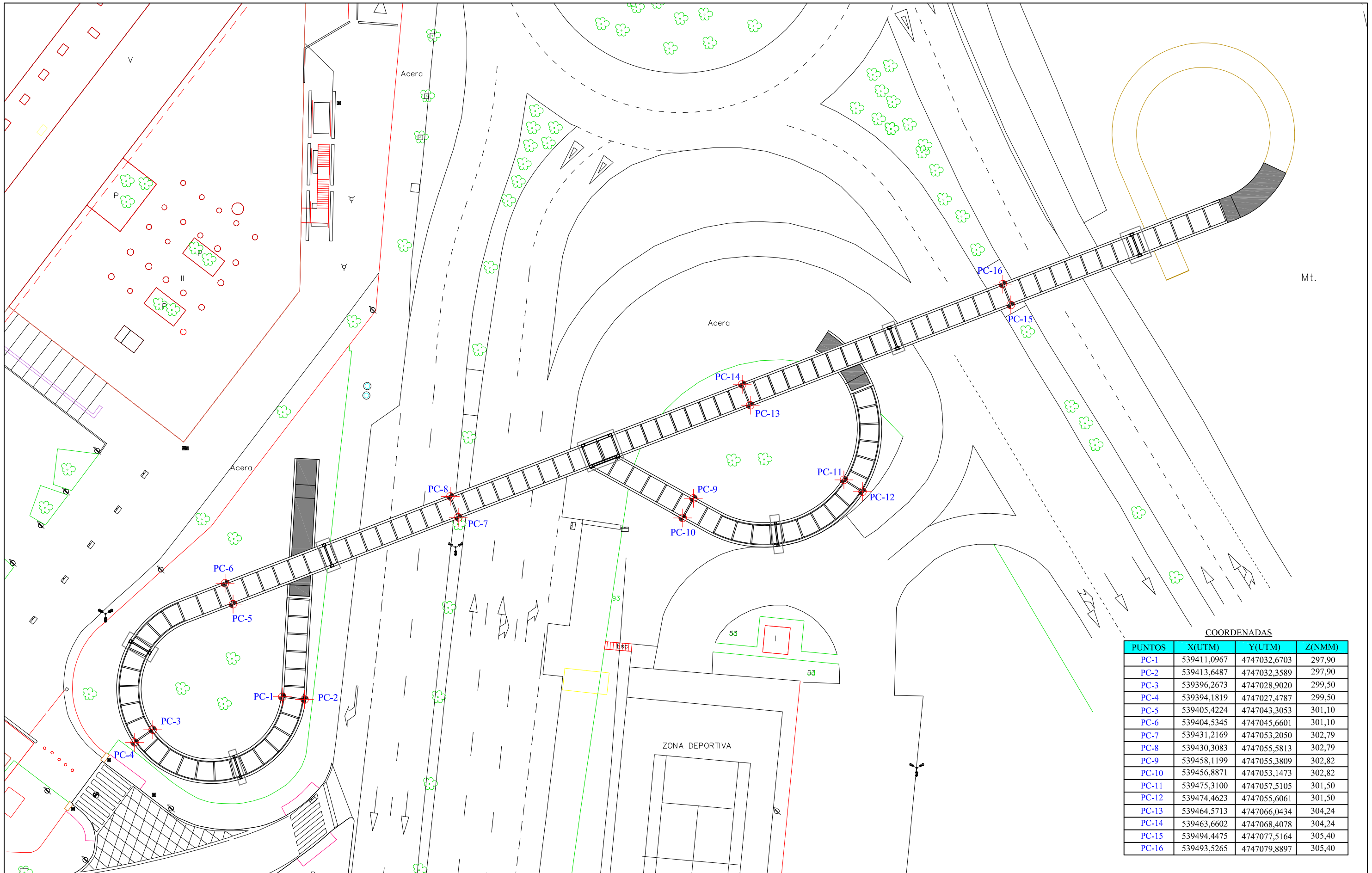
5.1.2 TOMA DE MEDIDAS

En cuanto a la toma de medidas, en el presente proyecto de prueba de carga se han definido 16 puntos de control y dos estados de carga, por lo que han de realizarse un total de 32 medidas, para las cuales se estima un coste directo de 215 €/Ud.

El coste total de las mediciones resulta por tanto: $32 \times 215 = 6880 \text{ €}$



APÉNDICE: PUNTOS DE CONTROL



ESCUELA TÉCNICA SUPERIOR DE INGENIEROS DE CAMINOS, CANALES Y PUERTOS

UNIVERSIDADE DE A CORUÑA

TITULACIÓN:
Grado en Ingeniería de Obras Públicas

AUTOR:
Rubén Sánchez Faro

FIRMA:

FECHA:
Febrero 2016

TÍTULO DE PLANO:
Prueba de carga. Puntos de control

PROYECTO:
Pasarela peatonal en la intersección de la Avda. Rodríguez de Viguri con la Avda. O Camiño Francés (Santiago de Compostela)

PLANO N°:
1

ESCALA:
1/400

UNIDADES:
metros



ANEJO N° 11: PROTECCIÓN Y CONSERVACIÓN



ÍNDICE

1.	INTRODUCCIÓN.....	2
2.	CHAPAS METÁLICAS.....	2
2.1	CONSIDERACIONES PREVIAS.....	2
2.2	PREPARACIÓN DE SUPERFICIES.....	2
2.3	SISTEMAS DE REVESTIMIENTO.....	2
	2.3.1 FASE DE TALLER.....	2
	2.3.2 FASE DE OBRA.....	2
3.	CONSERVACIÓN.....	3



1. INTRODUCCIÓN

La finalidad del presente anejo es cumplir con lo establecido en las “Recomendaciones para el proyecto de puentes metálicos para carretera” (RPM-95), donde se dice que todo proyecto de puente metálico de nueva construcción debe incluir un Anejo en el que se estudien los aspectos relacionados con la protección y conservación de la estructura.

Se definen también las diferentes protecciones contra la posible oxidación y corrosión de los elementos metálicos, según sea su disposición y ubicación, o la etapa de la vida de la obra que se trate.

2. CHAPAS METÁLICAS

Tratando de minimizar el riesgo de corrosión de los elementos metálicos de la estructura para mantener sus condiciones de seguridad, funcionalidad y aspecto, se dispondrá una protección adecuada para todos los elementos de acero.

Se definirán y describirán todos los procesos, métodos y secuencias relativas a los trabajos de pretratamiento y aplicación de revestimiento aconsejado para dar protección a las estructuras objeto de tratamiento.

Para poder elegir el tratamiento de pintado adecuado debemos atender a un criterio básico: el lugar o emplazamiento final de la estructura metálica junto con exigencias en cuanto a prestación y servicio que se precisan. De esta forma se determina un sistema de tratamiento adecuado para la estructura, tanto interior como exterior.

2.1 CONSIDERACIONES PREVIAS

En primer lugar se ha de comprobar que el sustrato esté seco y exento de grasas o aceite. En caso de detectar su presencia en cantidades significativas, se procederá como sigue:

- Limpiar y frotar la superficie con trapos y/o brochas empapados en disolvente, los cuales han de estar limpios, para evitar que la suciedad se extienda por la superficie.
- En las zonas que posean dentaduras, incrustaciones, salpicaduras o cordones de soldadura visibles, serán limpiados y eliminados mediante procedimientos mecánicos. Los cantos agudos serán redondeados de forma que el recubrimiento pueda aplicarse con un espesor uniforme

2.2 PREPARACIÓN DE SUPERFICIES

Todas las superficies se chorrearán al grado Sa2 ½ (ISO-8501), dejando un perfil de rugosidad de unas 40/70 micras press-o-film o Keoane Tactor Comparator, debiendo tener esta calidad en el momento de aplicación de las pinturas.

El aire a presión utilizado debe estar seco, exento de agua o aceite, libre de contaminación y con la presión suficiente para mantener el estándar de chorro especificado.

El tiempo máximo que debe permanecer la superficie sin recubrir depende de la humedad del ambiente. Como norma deberá imprimirse en las 4/6 horas siguientes a la preparación, con el fin de evitar perder los beneficios de la limpieza.

El abrasivo empleado debe comprender la granulometría especificada por las Normas SSPC, para los distintos grados de preparación de las superficies. Dicho abrasivo no debe dejar residuos en las superficies chorreadas.

Si el chorreo se realiza en instalaciones automáticas de granallado se utilizará granalla metálica.

Donde fuera necesario, y en las zonas que posean dentaduras, incrustaciones, salpicaduras, cordones de soldadura visibles, etc., serán limpiados mecánicamente. Los cantos agudos serán redondeados de forma que el recubrimiento pueda ser aplicado de manera uniforme.

Las superficies se limpiarán por medio de aspiradores industriales o soplado de aire a presión, seco y limpio, y con cepillos de mano de forma que no quede granalla ni polvo.

El trabajo se dará por finalizado cuando se aplique una cinta adhesiva a la superficie y al despegarla no se aprecie polvo adherido a la misma.

2.3 SISTEMAS DE REVESTIMIENTO

Sobre todas las superficies ya tratadas conforme a lo indicado en los apartados anteriores, se procederá a la ejecución del sistema de pintado que a continuación se expone:

2.3.1 FASE DE TALLER

Capa de imprimación

Inmediatamente después del chorreo, se aplicará una capa general a base de silicato de etilo rico en Zinc que cura por humedad, con un espesor de película seca de 60/100 micras, para continuar con el sistema especificado. En su defecto, podrá emplearse pintura de minio electrolítico para la imprimación.

2.3.2 FASE DE OBRA

Sistema de repasos y reparaciones

En las zonas de difícil acceso con la pistola (cantos, alas, bulbos, etc.), se realizarán repasos a brocha hasta conseguir alcanzar el espesor especificado.



El sistema aplicado en todas las estructuras debe tener el mismo comportamiento y prestaciones.

A continuación se enumeran sistemas de reparaciones, resaltando la conveniencia de marcar la superficie dañada en una extensión superior a la misma.

- Daños mecanizados: en las zonas en las que se haya dañado el sistema, pero sin llegar al acero, se repararán por medios mecánicos las superficies mediante cepillos rotativos provistos de lijas o lijado a mano para daños superficiales, procediendo a aplicar a continuación la capa o capas necesarias para recomponer el sistema.
- Daños producidos por quemaduras y otros daños que lleguen al acero: se repararán, mediante rotativos neumáticos o eléctricos provistos de cepillos y/o lijas, hasta dejar las superficies limpias según la Norma ISO-8501 al grado St-3 o mediante chorreado al grado Sa2 ½ con equipos de chorro controlado y con boquillas de tamaño apropiado para poder efectuar la reparación de estas zonas pero no dañar el sistema en las zonas próximas. La metodología será la que sigue:

1. Limpieza de superficies. Se limpiarán de residuos de humos provocados por las soldaduras.
2. Reposición. Se procederá a recomponer el sistema de pintura, mediante el método más adecuado (según la superficie dañada), pistola o brocha hasta alcanzar el espesor especificado, con un parcheo general a base de Epoxi. Cinc (7402), cumpliendo la especificación COT 16.52, con un espesor de película seca de 60 micras.

Sistema de revestimiento

Sobre una superficie limpia, seca y tratada, según procedimientos anteriores se ejecutará la siguiente operación:

- Mano intermedia: aplicación de una mano general a base de Epoxi Poliamida, sin límite máximo de repintabilidad, pigmentado con hierro micáceo, con un espesor de película seca de 125 micras.
- Mano de acabado: aplicación de una mano general a base de Epoxi Poliamida, sin límite máximo de repintabilidad, con un espesor de película seca de 125 micras.

El espesor final de película protectora (pintura brea Epoxi con Poliamida) estará en el intervalo 250/300 micras, con el que se puede alcanzar una calidad superior al tratamiento mínimo de 300 micras que describen las Recomendaciones.

3. CONSERVACIÓN

A continuación se realiza, a título indicativo, una enumeración de las comprobaciones mínimas que garantizarán un perfecto estado funcional y estructural de la pasarela a lo largo de su vida útil (100 años fijado por IAP-11).

Se recomienda realizar al menos una inspección del estado de la estructura cada cinco años. En dicha inspección se prestará especial atención a:

- Elementos metálicos estructurales (tablero, pilas, barras transversales).
- Estribos y aparatos de apoyo.
- Pavimento.

Se atenderá a los siguientes aspectos:

Control de la estructura metálica

- Aparición de inicios de corrosión.
- Pérdida de recubrimiento de protección (impacto, desgaste, etc.).

Control topográfico del tablero

- Detección de posibles cambios en flechas. Si se produjeran, estimar las causas que los originan a partir de los modelos de cálculo desarrollados.

Control del pavimento

- Grietas, fisuración, etc.
- Zonas con pérdidas de pavimento.

Una vez efectuadas todas estas inspecciones se decidirá se es necesario realizar alguna de las siguientes tareas:

- Reposición del sistema de protección de chapas en algún punto de la pasarela.
- Sustitución o reparación de alguno de los aparatos de apoyo.
- Repavimentado de la estructura.



ANEJO N° 12: AFECCIONES AL TRÁFICO



ÍNDICE

1.	INTRODUCCIÓN.....	2
2.	AFECCIONES AL TRÁFICO.....	2
2.1	AFECCIONES A LA AVENIDA RODRÍGUEZ DE VIGURI (N-550).....	2
2.2	AFECCIONES A LA AVENIDA DE O CAMIÑO FRANCÉS (N-634).....	2



1. INTRODUCCIÓN

El objetivo de este anejo es definir las afecciones que la construcción de la estructura de la pasarela pueda ocasionar al tráfico de vehículos tanto en la Avenida Rodríguez de Viguri como en la Avenida O Camiño Francés, así como también la posible incidencia que pueda tener sobre los peatones que circulen por la zona de actuación.

Cabe destacar que el procedimiento constructivo definido en el presente proyecto tiene carácter orientativo, siendo el Contratista el que finalmente elabore el proceso constructivo definitivo, por tanto, será también el contratista quien a partir de dicho proceso definitivo establezca las soluciones al tráfico en el caso de ser necesarias.

2. AFECCIONES AL TRÁFICO

Debido a las características del proceso constructivo, en el que toda la estructura se realiza en taller y se traslada a obra en distintos módulos para su colocación definitiva, se entiende que la afección al tráfico será la mínima posible.

Todos los elementos y módulos que se reciban de taller se acopiarán en las zonas ajardinadas existentes en los márgenes de ambas Avenidas (N-550 Y N-634), ocupándose, si fuese necesario, una pequeña zona de aparcamiento que existe en la zona central, adyacente a las pistas deportivas, utilizando para ello las vallas que resulten convenientes. Por lo tanto no será necesario, en principio, ocupar la zona de las Avenidas.

2.1 AFECCIONES A LA AVENIDA RODRÍGUEZ DE VIGURI (N-550)

Las obras afectarán a la circulación de la Avenida Rodríguez de Viguri de forma directa, especialmente durante el montaje por medio de grúa telescópica autopropulsada del tablero correspondiente al Vano 1 que la cruza.

El ensamblaje del segmento de tablero que corresponde al Vano 1 se llevará a cabo a pie de obra, en una de las zonas mencionadas anteriormente.

Para la colocación de este tramo se requiere el montaje previo de los castilletes metálicos. La posición de estos apeos provisionales se ha proyectado con el fin de no eliminar de forma total el tráfico durante su montaje. De esta forma pueden seguir habilitados al menos dos carriles, uno por cada sentido de circulación.

2.2 AFECCIONES A LA AVENIDA O CAMIÑO FRANCÉS (N-634)

Las obras también afectarán directamente a la circulación en la Avenida de O Camiño Francés, especialmente durante la colocación mediante grúa del tablero del Vano 3 que la cruza.

Al igual que en el caso del Vano 1 y el Vano 2, el ensamblaje del segmento de tablero que compone el Vano 3 se llevará a cabo a pie de obra en una de las zonas habilitadas para ello.

También al igual que en el Vano 1, se requiere para la colocación de este tramo el montaje previo de los castilletes provisionales, posicionados de tal forma que se podrá habilitar en todo momento al menos un carril por cada sentido de circulación.



ANEJO Nº 13: ACONDICIONAMIENTO URBANO Y REPOSICIÓN DE SERVICIOS



ÍNDICE

1.	INTRODUCCIÓN.....	2
2.	ACONDICIONAMIENTO URBANO.....	2
3.	REPOSICIÓN DE SERVICIOS.....	2



1. INTRODUCCIÓN

El presente anejo tiene la finalidad de describir y valorar los elementos urbanos y los servicios que resulten afectados o alterados por las obras de construcción de la estructura proyectada, así como su reposición una vez acabados los trabajos. Se incluyen aquí tanto el acondicionamiento de las superficies urbanas que resulten afectadas, como la reposición de las conducciones de redes de instalaciones (si las hubiera).

Dado el carácter orientativo del proceso constructivo, será finalmente el contratista quien decida el mismo, por tanto será él mismo quien resuelva las posibles alteraciones que derivadas de dicho procedimiento.

2. ACONDICIONAMIENTO URBANO

Se darán a continuación algunas indicaciones acerca de los materiales a utilizar para el acondicionamiento y la reurbanización de las superficies que puedan resultar afectadas por la construcción de la “Pasarela peatonal en la intersección de la Avenida Rodríguez de Viguri con la Avenida O Camiño Francés (Santiago de Compostela)”.

Para tal efecto se han consultado los siguientes documentos:

- Instrucción 6.1.-I.C. y 6.2.-I.C. Secciones de firme. MOPU (1989).
- Recomendaciones para el proyecto y diseño del viario urbano. MOPTMA (1995).

Como consecuencia del procedimiento constructivo para la ejecución de las obras, se afectará de forma considerable a las tres zonas ajardinadas situadas en los márgenes de las dos Avenidas, así como a la pavimentación de las aceras debido a la ejecución de las pilas y estribos. También se prevé la posible afectación a la zona de aparcamiento en el tramo central, donde se establecerá, de ser necesario, una zona de acopio debidamente vallada.

Una vez concluida la obra, se aprovechará la cubierta vegetal existente, extraída previamente al comienzo de la ejecución y almacenada correctamente para permitir su posterior reutilización, para verterla de nuevo en la zona hasta alcanzar un espesor aproximado de 25 cm sobre el que plantar césped y otras especies vegetales si se considera oportuno.

En el caso de la pavimentación que resulte dañada como consecuencia de las excavaciones, del acopio de materiales o del trabajo de equipos como grúas, palas, camiones, etc., se procederá a su posterior reposición empleando materiales y espesores similares a los existentes. Dicha repavimentación se compondrá de una cama de hormigón en masa de 10 cm de espesor sobre la que se colocan losetas hidráulicas asentadas con mortero de cemento. Los bordillos, imprescindibles para

la seguridad de estructura y peatones, serán de hormigón y con una geometría similar a la ya existente.

Tras la conclusión de las obras se realizará en esta zona una renovación del mobiliario urbano. Todos estos elementos se encuentran definidos en el Pliego de Prescripciones Técnicas Particulares, y se trata de que mantengan la armonía estética con el resto de la zona.

Los desperfectos adicionales ocasionados a pavimento, mobiliario urbano, etc. durante la ejecución de las obras, así como su posterior reposición y acondicionamiento, serán responsabilidad del contratista. De igual manera cuando finalicen las obras se procederá a la limpieza de la zona y a la retirada del material sobrante y maquinaria (objeto de la partida alzada de abono íntegro para limpieza y terminación).

El acondicionamiento urbano y la reposición de servicios afectados expuestos en este Anejo se tratan (con las excepciones mencionadas anteriormente) como unidades de obra independientes en el Presupuesto.

3. REPOSICIÓN DE SERVICIOS

No se realiza, teniendo en cuenta el carácter académico de este proyecto, un estudio exhaustivo de servicios afectados y de su reposición, tal y como habría que hacer en un proyecto real. Para conocimiento del contratista y de la dirección de obra se indica únicamente la presencia de la red de alumbrado.

En lo referente a esta red de alumbrado tendremos al menos dos farolas ubicadas en la zona de colocación de la estructura. Posiblemente sea necesario retirarlas, siendo repuestas una vez finalizadas las obras, variando su posición si fuese necesario, de forma que no interfieran en la pasarela y manteniendo en la medida de lo posible el mismo grado de iluminación de ambas Avenidas.

No se contempla ningún tendido eléctrico aéreo con el que la estructura pueda interferir, ni en el proceso de montaje ni en su posición final.

Se cumplirán en todo momento las indicaciones del Director de Obra, así como también la normativa vigente en materia de Seguridad y Salud.



ANEJO N° 14: GESTIÓN DE RESIDUOS



ÍNDICE

1.	INTRODUCCIÓN.....	2	6.3.6 DESTINO FINAL DE LOS RESIDUOS.....	6	
2	ESTIMACIÓN DE RESIDUOS A GENERAR.....	2	7.	PRESUPUESTO.....	7
2.1	CLASIFICACIÓN DE RESIDUOS.....	2	7.1	MEDICIONES.....	7
2.2	CANTIDAD DE RESIDUOS.....	2	7.2	CUADRO DE PRECIOS N°1.....	8
3.	MEDIDAS DE PREVENCIÓN.....	3	7.3	CUADRO DE PRECIOS N°2.....	9
4	MEDIDAS PARA LA SEPARACIÓN DE RESIDUOS.....	3	7.4	PRESUPUESTO.....	10
5.	OPERACIONES DE REUTILIZACIÓN, VALORIZACIÓN Y ELIMINACIÓN.....	3	7.5	RESUMEN DEL PRESUPUESTO.....	11
6.	PLIEGO DE PRESCRIPCIONES TÉCNICAS PARTICLARES.....	4			
6.1	DEFINICIONES.....	4			
6.2	FIGURAS QUE INTERVIENEN EN LA GESTIÓN.....	4			
6.3	PRESCRIPCIONES A TENER EN CUENTA EN LA OBRA EN RELACIÓN CON LOS RCDs.....	5			
6.3.1	GESTIÓN DE RESIDUOS EN GENERAL.....	5			
6.3.2	RETIRADA DE RESIDUOS EN OBRA.....	5			
6.3.3	SEPARACIÓN DE RESIDUOS EN OBRA.....	5			
6.3.4	ALMACENAMIENTO DE RESIDUOS EN OBRA.....	5			
6.3.5	CARGA Y TRANSPORTE DE RESIDUOS.....	5			



1. INTRODUCCIÓN

El presente Anejo de Gestión de Residuos se redacta de acuerdo con el RD 105/2008 por el que se regula la producción y gestión de los residuos de construcción y demolición. Se realiza una estimación de los residuos que se prevé que se producirán en los trabajos directamente relacionados con la ejecución de las obras, lo que servirá de base para la redacción del correspondiente Plan de Gestión de Residuos por parte del constructor.

El RD 105/2008 tiene el objetivo de establecer el régimen jurídico de la producción y gestión de los residuos de construcción y demolición, con el fin de fomentar, por este orden, su prevención, reutilización, reciclado y otras formas de valoración, asegurando que los destinados a operaciones de eliminación reciban un tratamiento adecuado, y contribuir a un desarrollo sostenible de la actividad de construcción.

El ámbito de aplicación de este Real Decreto abarca todos los residuos generados en las obras de construcción y demolición, a excepción de tierras y piedras no contaminadas por sustancias peligrosas que se destinen a la reutilización, y de determinados residuos de industrias extractivas reguladas por su legislación específica.

Según lo establecido en este Real Decreto, los proyectos de ejecución de obras de construcción y/o demolición incluirán un estudio de gestión de los residuos de construcción y demolición, en el cual se reflejen la cantidad estimada de los residuos que se generarán durante el desarrollo de los trabajos, las medidas genéricas de prevención que se adoptarán, el proceso al que se destinarán los residuos, las medidas de separación, unas prescripciones sobre manejo y otras operaciones, así como una valoración de los costes derivados de su gestión, que formará parte del presupuesto del proyecto.

También en él se establecen los deberes de los poseedores de residuos (constructor, subcontratistas, trabajadores autónomos,). Estos tendrán que presentar a la propiedad un Plan de Gestión de los Residuos, que habrá de ser aprobado por la Dirección Facultativa, y que, una vez aprobado, pasará a formar parte de los documentos contractuales de la obra.

2. ESTIMACIÓN DE RESIDUOS A GENERAR

2.1 CLASIFICACIÓN DE LOS RESIDUOS

De acuerdo con el RD 105/2008 se identifican dos categorías de residuos de construcción y demolición (RCD).

- RCD de **nivel I**: residuos generados por el desarrollo de las obras de infraestructura de ámbito local o supramunicipal contenidas en los diferentes planes de actuación urbanística o planes de

desarrollo de carácter regional, siendo resultado de los excedentes de excavación de los movimientos de tierra generados en el transcurso de dichas obras. Se trata, por tanto, de tierras y materiales pétreos, no contaminados, procedentes de obras de excavación.

- RCD de **nivel II**: residuos generados principalmente en las actividades propias del sector de la construcción, de la demolición, de la reparación domiciliaria y de la implantación de servicios. Son residuos no peligrosos que no experimentan transformaciones físicas, químicas o biológicas significativas.

Los residuos inertes no son solubles ni combustibles, ni reaccionan física ni químicamente ni de ninguna otra manera, ni son biodegradables ni afectan negativamente a otras materias con las que entran en contacto de forma que puedan dar lugar a contaminación del medio ambiente o perjudicar a la salud humana. Se contemplan los residuos inertes procedentes de las obras de construcción y demolición, incluidos los de obras menores de construcción y reparación domiciliaria sometidas a licencia municipal o no.

2.2 CANTIDAD DE RESIDUOS

La cantidad de residuos que se estiman a continuación se corresponde con aquellos residuos derivados del proceso específico de ejecución de la obra prevista, sin tener en cuenta los posibles residuos derivados de los sistemas de envío, embalaje de materiales, etc., que dependerán de las condiciones de suministro y se contemplarán en el correspondiente Plan de Residuos de la Obra. La estimación de los residuos se ha codificado según lo establecido en la Orden MAM/304/2002 (Lista Europea de Residuos).

En la tabla siguiente se expone la estimación de residuos para el presente Proyecto:

CÓDIGO LER	DESCRIPCIÓN	ACTIVIDAD DONDE SE GENERA	VOLUMEN (m ³)	DENSIDAD (t/m ³)	PESO (t)
170101	Hormigón	Demoliciones	11,35	2	22,70
170201	Madera	Encofrados	0,35	0,750	0,26
170405	Acero	Residuos de construcción (3%)	0,51	7,85	4
170504	Tierra y piedras	Movimiento de tierras	375,20	1,2	450,24
150101	Envases de papel y cartón	Envases de productos y embalajes	1,60	0,3	0,48
150110	Envases con restos de sustancias peligrosas	Envases de desencofrantes	0,42	0,7	0,294
200301	Otros residuos municipales	Residuos generados por trabajadores	1,15	0,6	0,69



3. MEDIDAS DE PREVENCIÓN

A continuación se establecen una serie de pautas para minimizar la generación de residuos:

- Se almacenarán los productos sobrantes reutilizables, para lo que se prevé la disposición de contenedores en obra a tal efecto y proceder así a su aprovechamiento posterior.
- Se separarán en origen los residuos peligrosos, para lo que se prevé también la disposición de contenedores en obra.
- Se reducirán los envases y embalajes de materiales de construcción.
- Se preverá el acopio de materiales fuera de zonas de tránsito de la obra, de forma que permanezcan bien embalados y protegidos hasta el momento de su utilización, con el fin de evitar residuos procedentes de la rotura de piezas.
- Aligeramiento de piezas.
- Empleo de envases plegables: cajas de cartón, botellas plegables, etc.
- Suministro a granel de productos.
- Concentración de productos.
- Empleo de materiales con mayor vida útil.
- El personal de la obra que participa en la gestión de los residuos debe tener una formación suficiente sobre los aspectos administrativos necesarios.
- Los contenedores, sacos, depósitos y demás recipientes de almacenaje y transporte de los diversos residuos deben estar etiquetados debidamente.

4. MEDIDAS PARA LA SEPARACIÓN DE RESIDUOS

Según el artículo 5 del RD 105/2008 los residuos de construcción y demolición deberán separarse en las siguientes fracciones cuando, de forma individualizada para cada una de dichas fracciones, la cantidad prevista de generación para el total de la obra supere las siguientes cantidades:

- Hormigón: 80 t.
- Metales: 2 t.
- Madera: 1 t.
- Plástico: 0,5 t.
- Papel y cartón: 0,5 t.

Se contará, para toda la recogida de residuos, con la participación de un Gestor de Residuos autorizado de acuerdo con lo que se establezca en el Plan de Gestión de Residuos. No obstante, en el Plan de Gestión de Residuos tendrá que preverse la posibilidad de que sean necesarios más contenedores en función de las condiciones de suministro, embalajes y ejecución de los trabajos.

5. OPERACIONES DE REUTILIZACIÓN, VALORIZACIÓN Y ELIMINACIÓN

Los residuos generados en las obras serán gestionados en origen por el propio constructor (separación y/o reutilización) o bien serán entregados a un gestor autorizado (recogida, transporte y valorización/eliminación).

Además, según se puede leer en el RD 105/2008, el constructor dispondrá de la documentación que acredite que los residuos de construcción o demolición generados durante la obra, fueron gestionados en la propia obra o bien entregados a la instalación de valorización/eliminación autorizada.

No se prevé la posibilidad de realizar en obra ninguna de las operaciones de reutilización, valorización o eliminación debido a la escasa cantidad de residuos generados. Por lo tanto, el Plan de Gestión de Residuos preverá la contratación de Gestores de Residuos autorizados para su correspondiente retirada y tratamiento posterior, que actúen lo más próximo posible a la obra. Cabe señalar que si se reutilizarán parte de los materiales procedentes de la excavación, pero el RD 105/2008 los declara exentos de ser considerados residuos.

La empresa encargada de realizar la Gestión de Residuos emitirá un certificado de entrega de residuos por cada uno de los códigos LER que se reciban en sus instalaciones, donde se indicará la cantidad, naturaleza y procedencia de los mismos.



En la siguiente tabla se detalla la propuesta de Gestión de Residuos:

CÓDIGO LER	DESCRIPCIÓN	ACTIVIDAD DONDE SE GENERA	OPERACIONES DE GESTIÓN	DESTINO FINAL
170101	Hormigón	Demoliciones	Separación en obra, carga y transporte y posterior valorización en planta de machaqueo.	VALORIZACIÓN
170201	Madera	Encofrados	Separación en obra, recogida, transporte y valorización en planta de reciclaje.	VALORIZACIÓN
170405	Acero	Residuos de construcción (3%)	Separación en obra, carga, transporte y valorización en planta de reciclaje.	VALORIZACIÓN
170504	Tierra y piedras	Movimiento de tierras	Separación en obra (acopio) y reutilización por parte del constructor.	VALORIZACIÓN
150101	Envases de papel y cartón	Envases de productos y embalajes	Separación en obra, recogida, transporte y valorización por gestor autorizado.	VALORIZACIÓN
150110	Envases con restos de sustancias peligrosas	Envases de desencofrantes	Separación en obra, recogida, transporte y valorización por gestor autorizado.	ELIMINACIÓN
200301	Otros residuos municipales	Residuos generados por trabajadores	Separación en obra y entrega a gestor autorizado.	ELIMINACIÓN

6. PLIEGO DE PRESCRIPCIONES TÉCNICAS PARTICULARES

6.1 DEFINICIONES

A continuación se extraen del Real Decreto 105/2008 las definiciones de los conceptos más relevantes en materia de Gestión de Residuos:

- Residuo de construcción y demolición: cualquier sustancia u objeto que, cumpliendo la definición de “Residuo” incluida en el artículo 3.1a) de la ley 10/1998, del 21 de Abril, es generada en una obra de construcción o demolición.
- Residuo inerte: aquel residuo no peligroso que no experimenta transformaciones físicas, químicas o biológicas significativas, no es soluble ni combustible, ni reacciona física ni químicamente ni de ninguna otra manera, no es biodegradable, no afecta negativamente a otras materias con las que entra en contacto de forma que pueda dar lugar a la contaminación del medio o perjudicar a la salud humana. La lixiviabilidad total, el contenido de contaminantes del residuo y la toxicidad del lixiviado deberán ser insignificantes, y en particular no deberán suponer un riesgo para la calidad de las aguas superficiales o subterráneas.

6.2 FIGURAS QUE INTERVIENEN EN LA GESTIÓN

Según el RD 105/2008, las figuras que participan en el proceso de gestión son el productor de RCD's y el poseedor de RCD's.

Productor de residuos de construcción y demolición según RD 105/2008:

1. La persona física o jurídica titular de la licencia urbanística en una obra de construcción o demolición; en aquellas obras que no precisen de licencia urbanística, tendrá la consideración de productor del residuo la persona física o jurídica titular del bien inmueble objeto de una obra de construcción o demolición.
2. La persona física o jurídica que efectúe operaciones de tratamiento, de mezcla o de otro tipo, que ocasionen un cambio de naturaleza o de composición de los residuos.
3. El importador o adquiriente en cualquier Estado miembro de la Unión Europea de residuos de construcción y demolición.

Poseedor de residuos de construcción y demolición según RD 105/2008:

La persona física o jurídica que tenga en su poder los residuos de construcción y demolición y que no ostente la condición de gestor de residuos. En todo caso, tendrá la consideración de poseedor la persona física o jurídica que ejecute la obra de construcción o demolición, tales como el constructor, los subcontratistas o los trabajadores autónomos. En todo, caso no tendrán la consideración de poseedores de residuos de construcción y demolición los trabajadores por cuenta ajena.



6.3 PRESCRIPCIONES A TENER EN CUENTA EN LA OBRA EN RELACIÓN CON LOS RCD's.

6.3.1 GESTIÓN DE RESIDUOS EN GENERAL

En la gestión de residuos en general, se observará la legislación estatal aplicable, así como la ley 10/2008 de residuos de Galicia.

En la gestión de residuos de construcción y demolición, se estará a lo dispuesto en el Real Decreto 105/2008, de 1 de Febrero, por el que se regula la producción y gestión de los Residuos de Construcción y Demolición.

La gestión de residuos peligrosos se efectuará conforme a la legislación vigente nacional (fundamentalmente Ley 10/1998, RD 833/88, RD 952/1997, Orden MAM/304/2002, así como sus modificaciones) y autonómica, tanto en lo que respecta a la gestión documental como a la gestión operativa.

La gestión de los residuos de carácter urbano de las obras municipales se efectuará conforme a las ordenanzas municipales y a la legislación autonómica aplicable.

En el caso de residuos con amianto, además será de aplicación el Real Decreto 396/2006, de 31 de Marzo, por lo que se establecen las disposiciones mínimas de seguridad y salud aplicables a los trabajos con riesgo de exposición al amianto. En el capítulo III el Real Decreto impone que todas las empresas que vayan a realizar actividades u operaciones incluidas en el ámbito de aplicación del Real Decreto deberán inscribirse en el registro de empresas con riesgo por amianto existente en los órganos correspondientes de la autoridad laboral del territorio donde radiquen sus instalaciones principales. Las operaciones de carga y transporte de los tubos de fibrocemento deberán ser realizadas por personal especializado según la normativa vigente, con las precauciones precisas para disminuir en la medida de lo posible la generación de polvo.

6.3.2 RETIRADA DE RESIDUOS EN OBRA

En las demoliciones se observarán las medidas de seguridad necesarias para preservar la salud de los trabajadores y las afecciones al medio.

Como regla general, se procurará retirar los elementos peligrosos y contaminantes tan pronto como sea posible, así como los elementos recuperables.

Las tierras superficiales que puedan tener un uso posterior para la jardinería o recuperación de suelos degradados, serán retiradas y almacenadas durante el menor tiempo posible, en montones de altura no superior a dos metros. Se evitará la humedad excesiva, la manipulación y la contaminación con otros materiales.

6.3.3 SEPARACIÓN DE RESIDUOS EN OBRA

La segregación de los residuos en obra se deberá hacer tomando las medidas de protección y seguridad adecuadas, de modo que los trabajadores no corran riesgos durante la manipulación de los mismos.

Los procedimientos de separación de residuos, así como los medios técnicos y humanos destinados a la segregación de estos, serán definidos previo comienzo de las obras.

Los restos del lavado de hormigones se tratarán como residuos de hormigón.

Se evitará la contaminación de los plásticos y restos de madera con productos tóxicos o peligrosos, así como la contaminación de los acopios por estos.

6.3.4 ALMACENAMIENTO DE RESIDUOS EN OBRA

El depósito temporal de residuos se efectuará en contenedores/recipientes destinados a tal efecto, de modo que se cumplan las ordenanzas municipales y la legislación específica de residuos, evitando los vertidos o contaminaciones derivadas de un almacenamiento incorrecto.

Los lugares o recipientes de acopio de los residuos estarán señalizados idónea y reglamentariamente, de modo que el depósito se pueda efectuar sin que quepa lugar a dudas.

Los contenedores/recipientes de residuos estarán pintados con colores claramente visibles, y en ellos constarán los datos del gestor del servicio correspondiente al residuo, incluida la clave de la autorización para su gestión. Los contenedores permanecerán durante toda la obra perfectamente etiquetados, para así poder identificar el tipo de residuos que puede albergar cada uno.

Los contenedores/bidones para residuos peligrosos se localizarán en una zona específica, señalizada y acondicionada para absorber posibles fugas, y estarán etiquetados según normativa.

Se tomarán las medidas necesarias para evitar el depósito de residuos ajenos a la obra en los recipientes habilitados en la misma. Los contenedores deberán cubrirse fuera de horario de trabajo.

6.3.5 CARGA Y TRANSPORTE DE RESIDUOS

El transporte de los residuos destinados a valorización/eliminación será efectuado por gestores autorizados por la Xunta de Galicia para la recogida y transporte de estos. Se comprobará la autorización para cada uno de los códigos de los residuos a transportar. Se llevará un estricto control del transporte de residuos peligrosos, conforme a la legislación vigente.

El transporte de piedras y residuos pétreos destinados a reutilización, tanto dentro como fuera de las obras, quedará documentado.



Las operaciones de carga, transporte y vertido se realizarán con las precauciones necesarias para evitar proyecciones, desprendimientos de polvo, etc. Debiendo emplearse los medios adecuados para ello.

El contratista tomará las medidas necesarias para evitar que los vehículos que abandonen la zona de obras depositen restos de tierra, barro, etc., en las calles, carreteras y zonas de tráfico, tanto pertenecientes a la obra como de dominio público que utilice durante su transporte a vertedero. En todo caso estará obligado a la eliminación de estos restos a su cargo.

6.3.6 DESTINO FINAL DE LOS RESIDUOS

El contratista se asegurará que el destino final de los residuos es un centro autorizado por la Xunta de Galicia para la gestión de los mismos.

Se realizará un estricto control documental de los residuos, mediante albaranes de retirada, transporte y entrega en el destino final, que el contratista aportará a la dirección facultativa.

Para los RCD's que sean reutilizados en otras obras o proyectos de restauración, se aportará evidencia documental del destino final.



7.2 CUADRO DE PRECIOS Nº 1

CAPÍTULO 01 TRANSPORTE DE RESIDUOS				CAPÍTULO 03 ELIMINACIÓN DE RESIDUOS					
01.01	m³	TRANSPORTE DE RESIDUOS PELIGROSOS	CINCUENTA Y DOS EUROS con ONCE CÉNTIMOS	52,11	03.01	m³	ELIMINACIÓN DE ENVASES DE SUSTANCIAS PELIGROSAS	CINCUENTA Y SEIS EUROS con SESENTA Y TRES CÉNTIMOS	56,63
01.02	m³	TRANSPORTE DE RESIDUOS NO PELIGROSOS	DIECISEIS EUROS con CINCUENTA Y OCHO CÉNTIMOS	16,58	03.02	m³	ELIMINACIÓN DE OTROS RESIDUOS MUNICIPALES	CIENTO SESENTA Y NUEVE EUROS con OCHENTA Y SIETE CÉNTIMOS	169,87
CAPÍTULO 02 VALORIZACIÓN DE RESIDUOS									
02.01	m³	VALORIZACIÓN DE RESIDUOS DE HORMIGÓN	DOCE EUROS con SETENTA Y SIETE CÉNTIMOS	12,77					
02.02	m³	VALORIZACIÓN DE RESIDUOS DE MADERA	VEINTICUATRO EUROS con OCHENTA Y CUATRO CÉNTIMOS	24,84					
02.03	m³	VALORIZACIÓN DE RESIDUOS METÁLICOS	DIECIOCHO EUROS con CINCUENTA Y DOS CÉNTIMOS	18,52					
02.04	m³	VALORIZACIÓN DE RESIDUOS DE TIERRAS DE EXCAVACIÓN	CUATRO EUROS con DOCE CÉNTIMOS	4,12					
02.05	m³	VALORIZACIÓN DE RESIDUOS DE PAPEL Y CARTÓN	CINCUENTA Y CINCO EUROS con CUARENTA Y OCHO CÉNTIMOS	55,48					

Santiago de Compostela, Febrero 2016.

El autor del Proyecto,

Rubén Sánchez Faro



7.3 CUADRO DE PRECIOS Nº 2

CAPÍTULO 01 TRANSPORTE DE RESIDUOS PELIGROSOS

01.01	m³	TRANSPORTE DE RESIDUOS PELIGROSOS	Suma la partida.....	49,16
			Costes indirectos..... 6,00%	2,95
			TOTAL PARTIDA	52,11
01.02	m³	TRANSPORTE DE RESIDUOS NO PELIGROSOS	Suma la partida.....	15,64
			Costes indirectos..... 6,00%	0,94
			TOTAL PARTIDA	16,58

CAPÍTULO 02 VALORIZACIÓN DE RESIDUOS

02.01	m³	VALORIZACIÓN DE RESIDUOS DE HORMIGÓN	Suma la partida.....	12,05
			Costes indirectos..... 6,00%	0,72
			TOTAL PARTIDA	12,77
02.02	m³	VALORIZACIÓN DE RESIDUOS DE MADERA	Suma la partida.....	23,43
			Costes indirectos..... 6,00%	1,41
			TOTAL PARTIDA	24,84
02.03	m³	VALORIZACIÓN DE RESIDUOS METÁLICOS	Suma la partida.....	17,47
			Costes indirectos..... 6,00%	1,05
			TOTAL PARTIDA	18,52
02.04	m³	VALORIZACIÓN DE RESIDUOS DE TIERRAS DE EXCAVACIÓN	Suma la partida.....	3,89
			Costes indirectos..... 6,00%	0,23
			TOTAL PARTIDA	4,12
02.05	m³	VALORIZACIÓN DE RESIDUOS DE PAPEL Y CARTÓN	Suma la partida.....	52,34
			Costes indirectos..... 6,00%	3,14
			TOTAL PARTIDA	55,48

CAPÍTULO 03 ELIMINACIÓN DE RESIDUOS

03.01	m³	ELIMINACIÓN DE ENVASES DE SUSTANCIAS PELIGROSAS	Suma la partida.....	53,42
			Costes indirectos..... 6,00%	3,21
			TOTAL PARTIDA	56,63
03.02	m³	ELIMINACIÓN DE OTROS RESIDUOS MUNICIPALES	Suma la partida.....	160,25
			Costes indirectos..... 6,00%	9,62
			TOTAL PARTIDA	169,87

Santiago de Compostela, Febrero 2016.

El autor del Proyecto,

Rubén Sánchez Faro



7.4 PRESUPUESTO

CAPÍTULO 01 TRANSPORTE DE RESIDUOS

01.01	m³	TRANSPORTE DE RESIDUOS PELIGROSOS	0,42	52,11	21,89
01.02	m³	TRANSPORTE DE RESIDUOS NO PELIGROSOS	390,16	16,58	6.468,85
TOTAL CAPÍTULO 01 TRANSPORTE DE RESIDUOS			6.490,74		

CAPÍTULO 02 VALORIZACIÓN DE RESIDUOS

02.01	m³	VALORIZACIÓN DE RESIDUOS DE HORMIGÓN	11,35	12,77	144,94
02.02	m³	VALORIZACIÓN DE RESIDUOS DE MADERA	0,35	24,84	8,69
02.03	m³	VALORIZACIÓN DE RESIDUOS METÁLICOS	0,51	18,52	9,45
02.04	m³	VALORIZACIÓN DE RESIDUOS DE TIERRAS DE EXCAVACIÓN	375,20	4,12	1.545,82
02.05	m³	VALORIZACIÓN DE RESIDUOS DE PAPEL Y CARTÓN	1,60	55,48	88,77
TOTAL CAPÍTULO 02 VALORIZACIÓN DE RESIDUOS			1.797,67		

CAPÍTULO 03 ELIMINACIÓN DE RESIDUOS

03.01	m³	ELIMINACIÓN DE ENVASES DE SUSTANCIAS PELIGROSAS	0,42	56,63	23,78
03.02	m³	ELIMINACIÓN DE OTROS RESIDUOS MUNICIPALES	1,15	169,87	195,35
TOTAL CAPÍTULO 03 ELIMINACIÓN DE RESIDUOS			219,13		
TOTAL			8.507,54		

Santiago de Compostela, Febrero 2016.

El autor del Proyecto,

Rubén Sánchez Faro



7.5 RESUMEN DEL PRESUPUESTO

CAPITULO	RESUMEN	EUROS	%
1	TRANSPORTE DE RESIDUOS.....	6.490,74	76,29
2	VALORIZACIÓN DE RESIDUOS.....	1.797,67	21,13
3	ELIMINACIÓN DE RESIDUOS.....	219,13	2,58
TOTAL EJECUCIÓN MATERIAL		8.507,54	

Santiago de Compostela, Febrero 2016.

El autor del Proyecto,

Rubén Sánchez Faro



ANEJO Nº 15: SEGURIDAD Y SALUD (MEMORIA)



ÍNDICE

1.	INTRODUCCIÓN.....	2	4.	PREVENCIÓN DE RIESGOS.....	10
2.	CARACTERÍSTICAS DE LA OBRA.....	2	4.1	DISPOSICIONES MÍNIMAS DE SEGURIDAD Y SALUD.....	10
2.1	GENERALIDADES.....	2	4.2	DISPOSICIONES MÍNIMAS GENERALES.....	10
2.2	TABLERO.....	2	4.3	DISPOSICIONES MÍNIMAS GENERALES EN EL INTERIOR DE LOS LOCALES.....	13
2.3	PAVIMENTO.....	3	4.4	PROTECCIONES INDIVIDUALES.....	16
2.4	PILAS.....	3	4.5	PROTECCIONES COLECTIVAS.....	16
2.5	ESTRIBOS.....	3	4.6	MEDIDAS PREVENTIVAS ESPECÍFICAS.....	18
2.6	APARATOS DE APOYO.....	3	4.7	FORMACIÓN E INFORMACIÓN AL PERSONAL DE OBRA.....	18
2.7	CIMENTACIONES.....	3	4.8	MEDICINA PREVENTIVA Y PRIMEROS AUXILIOS.....	19
2.8	BARANDILLA.....	4	4.9	PREVENCIÓN DE RIESGOS A TERCEROS.....	19
2.9	DRENAJE.....	4	5.	APLICACIÓN DE LA SEGURIDAD EN EL PROCESO CONSTRUCTIVO.....	19
2.10	PRUEBA DE CARGA.....	4	5.1	GENERALES.....	19
2.11	PROCEDIMIENTO CONSTRUCTIVO.....	5	5.2	ESTRUCTURAS.....	21
2.12	ACONDICIONAMIENTO Y REPOSICIÓN DE SERVICIOS.....	5	5.3	MEDIOS AUXILIARES.....	23
3.	RIESGOS.....	6	6.	NORMAS DE COMPORTAMIENTO.....	25
3.1	ASPECTOS BÁSICOS.....	6	6.1	PUESTOS DE TRABAJO.....	25
3.2	RIESGOS PROFESIONALES.....	6	6.2	MAQUINARIA DE OBRA.....	26
3.3	RELACIÓN DE RIESGOS SEGÚN ACTIVIDAD.....	9	7.	DOCUMENTOS QUE INTEGRAN EL ESTUDIO.....	28
3.4	RIESGOS A TERCEROS.....	10			



1. INTRODUCCIÓN

En el presente estudio se establecen las directrices encaminadas a la prevención de riesgos laborales y enfermedades profesionales durante la construcción de la “Pasarela peatonal en la intersección de la Avenida Rodríguez de Viguri con la Avenida O Camiño Francés” en Santiago de Compostela. Además se prevén también los medios necesarios para atender los posibles accidentes o emergencias que se puedan producir durante la ejecución de las obras con el fin de minimizar sus consecuencias.

Este estudio trata de dar cumplimiento con lo expuesto en el RD 1627/97, de 24 de Octubre, en el que se establece la obligatoriedad de la inclusión de un Estudio de Seguridad y Salud en las obras de construcción en las que se dé alguno de los siguientes supuestos:

- Que el presupuesto de ejecución por contrata incluido en el proyecto sea igual o superior 450 a 450.759,08 €.
- Que la duración estimada sea superior a 30 días laborables, empleándose en algún momento a más de 20 trabajadores simultáneamente.
- Que el volumen de mano de obra estimada, entendiendo por tal la suma de los días de trabajo del total de trabajadores en la obra, sea superior a 500.

En los proyectos de obras no incluidos en ninguno de los supuestos previstos en el apartado anterior, el promotor estará obligado a que en la fase de ejecución del proyecto se elabore un estudio básico de seguridad y salud.

Este Estudio de Seguridad y Salud se aplicará a todo el personal de la obra, sea propio de la empresa contratista principal, sea procedente de empresas subcontratadas o trabajadores autónomos. En todo caso se deberán cumplir las medidas de protección frente a accidentes y enfermedades profesionales, así como la asistencia a accidentados.

El “Plan de Seguridad y Salud” facilitará las labores de previsión, prevención y protección profesional, y estará en la obra a disposición permanente de la Dirección Facultativa. Todo ello se realizará en estricto cumplimiento del articulado completo del RD 1627/97, por el que se implanta la obligación de incluir un Estudio de Seguridad y Salud en los proyectos de obras de construcción.

El Plan con el correspondiente informe del coordinador en materia de seguridad y salud durante la ejecución de la obra, se elevará para su aprobación a la Administración Pública que haya autorizado la obra.

El contratista podrá modificar el Plan de Seguridad y Salud en función del proceso constructivo, de la evolución de los trabajos y de las posibles incidencias que puedan surgir durante el desarrollo de los mismos. Quienes intervengan en la ejecución de la obra, así como las personas u órganos con responsabilidades en materia de prevención en la ejecución de la misma y los representantes de los trabajadores, podrán presentar, por escrito y de forma razonada, las sugerencias y alternativas que

estimen oportunas. Por ello, el Plan de Seguridad y Salud estará en obra a disposición de las distintas partes implicadas.

2. CARACTERÍSTICAS DE LA OBRA

El objeto del presente proyecto es la construcción de una pasarela peatonal en la zona norte de la ciudad de Santiago de Compostela, concretamente en la intersección entre las Avenidas Rodríguez de Viguri y O Camiño Francés.

Con la construcción de dicha pasarela se trata de materializar un paso a distinto nivel que permita a los viandantes circular de forma fluida por la zona, pudiendo cruzar ambas avenidas de forma más segura y sin que estas supongan una barrera. Se eliminan además los pasos de peatones y con ellos la interrupción semafórica, permitiendo un tráfico más fluido y económico de los vehículos a motor.

A continuación se describen las características más importantes de la estructura, cuyos elementos ya se han definido geoméricamente en el Documento N° 2: Planos, así como los aspectos más relevantes de su construcción.

2.1 GENERALIDADES

La pasarela está compuesta por seis tramos diferenciados, tres rampas en curva y tres vanos que conforman el tramo de cruce. El vano mayor es el intermedio con una longitud de aproximadamente 34 metros. Los desarrollos de las rampas, incluyendo descansillos, van desde los 85 metros de la rampa 1(Oeste) hasta los 18 metros de la rampa 3(Este).

La estructura se sostiene mediante pares de pilas de sección rectangular metálica, apoyándose también en tres estribos situados al final de cada rampa. En el tramo central de la estructura se dispone una junta de dilatación para permitir el desplazamiento horizontal de las partes y evitar así los esfuerzos provocados por los incrementos térmicos.

2.2 TABLERO

El tablero presenta un esquema biáxica, con dos vigas longitudinales de acero trabajando principalmente a flexión, unidas o arriostradas mediante barras transversales de acero de sección rectangular. La separación entre ejes de las vigas longitudinales es de 2,55 metros, siendo el ancho total del tablero de 2,8 metros. Las barras transversales se disponen a intervalos regulares según la longitud de cada tramo, siendo su separación media de 1,8 metros.

La sección de las vigas longitudinales es un perfil rectangular de 1,12 metros de altura por 0,25 metros de ancho, siendo las chapas verticales de 10 milímetros y las horizontales de 20 milímetros. En



cuanto a las barras transversales, presentan una sección cuadrada de 140 x 140 milímetros y espesor variable en función de las solicitaciones de cálculo.

2.3 PAVIMENTO

El pavimento utilizado será un forjado mixto de chapa colaborante. Es el elemento que va a recibir directamente las sobrecargas de uso y está formado por una chapa grecada que realiza la función de encofrado perdido del hormigón de la losa, y posteriormente actúa como armadura de positivos cuando el hormigón ha fraguado. El hormigón que forma la losa de 5 cm de espesor, es un HA-30/B/20/IIa.

La conexión del forjado colaborante de chapa grecada con las barras transversales de la estructura se realiza mediante conectores HILTI X-HVB 95, anclados mediante clavos aplicados con pistola.

2.4 PILAS

El tablero se apoya sobre parejas de pilas de acero de sección rectangular dispuestas de forma paralela. Tras realizar el dimensionamiento mediante el modelo de cálculo, obtenemos tres secciones diferentes, una de 400x280x16 otra de 400x280x25 y otra de 240x240x16.

En el tramo central, donde confluyen la rampa central y los vanos 1 y 2 (Oeste y central), las pilas se arriostran mediante una viga de acero de 280x280x25 formando dos pórticos que además de rigidizar la estructura, sirven de apoyo al tablero en la zona de la junta de dilatación.

2.5 ESTRIBOS

Los estribos constituyen el apoyo extremo de la estructura permitiendo, a través de los aparatos de apoyo elastoméricos, que se produzcan las deformaciones debidas a los incrementos térmicos, y también las correspondientes a las acciones directas que actúan sobre el tablero. Los estribos 1 y 2 (Oeste y Central) son cerrados, ya que disponen de unos muros laterales a modo de aletas que encierran en su interior el relleno que conforma el terraplén de acceso a la pasarela. En el estribo 3 se prescinde de estos muros laterales, y el terraplén se realiza tanto frontal como lateralmente mediante material de relleno y terreno propio de la zona, disponiendo en la parte superior una capa de 10 cm de hormigón en masa HM-30, que constituye el pavimento de la rampa. El hormigón empleado en muros y estribos es un HA-30/B/20/IIa y el hormigón de limpieza es un HM-10.

El estribo 1 tiene como base una capa de 10 cm de hormigón de limpieza sobre la que se ejecuta una zapata corrida de 35 cm de canto, con 70 cm de vuelo tanto en intradós como en trasdós. El muro tiene una altura total de 1,70 m, un espesor de 55 cm y una longitud de 2,8 m (correspondiente al ancho total del tablero), con un murete de guarda de 65 cm de altura y 30 cm de espesor.

En el estribo 2 la zapata corrida tiene 40 cm de canto y vuelos de 50 cm tanto en intradós como en trasdós. El muro tiene una altura total de 1,30 m, un espesor de 55 cm y una longitud de 2,8 m, con un murete de guarda de 60 cm de altura y 30 cm de espesor.

El muro del estribo 3 tiene las mismas características que en el estribo 2 exceptuando el canto de la zapata que es de 35cm, y el vuelo de intradós y trasdós que pasa a ser de 60 cm.

Los estribos 1 y 2 se rellenan con material granular, dejando los últimos 10 cm hasta la coronación de los muros para el pavimento de hormigón en masa HM-30 con mallazo de reparto de 200x300 mm y diámetro de 5 mm.

2.6 APARATOS DE APOYO

Los aparatos de apoyo empleados en la estructura son apoyos elastoméricos armados, con unas dimensiones de 200x300 mm y una altura total de 60 mm.

Estos apoyos están fabricados mediante capas de caucho clorado completamente sintético, entre las cuales se encuentran intercaladas chapas de acero completamente recubiertas por el material elastomérico. Las diferentes capas están unidas entre sí y con las chapas mediante un estudiado proceso de vulcanización, de forma que bajo la acción de las cargas, no puedan desplazarse en absoluto unas sobre otras.

Estos apoyos permiten absorber movimientos en una o varias direcciones, transmitir cargas de un elemento constructivo a otro y liberar los movimientos provocados por acciones térmicas, reduciendo así los esfuerzos en el tablero.

Para que la superficie de tránsito sea continua se colocan juntas de dilatación constituidas por una banda de material elastomérico con refuerzos interiores de acero, que absorben los movimientos de la estructura.

2.7 CIMENTACIONES

Las cimentaciones de la estructura se han realizado mediante 6 zapatas combinadas que recogen una pareja de pilas cada una, y una losa de cimentación que recoge las pilas 7,8 9 y 10, situadas en el tramo central. Todos los elementos de cimentación se asientan sobre una capa de 10 cm de hormigón de limpieza. El hormigón empleado en todas las zapatas es un HA-30/B/20/IIa y el acero para armaduras consiste en barras corrugadas B500S. A continuación se describen brevemente los distintos elementos de cimentación, pudiendo consultar detalles sobre armado y placas de anclaje en el documento nº 2: Planos.



La zapata 1 recoge las pilas 1y2 y tiene forma paralelepípedica, con unas dimensiones en planta de 4,05x0,85 m y un canto de 0,55 m. Las placas de anclaje tienen unas dimensiones de 350x350x15mm, con 4 pernos de 16 mm cada una.

La zapata 2 recoge las pilas 3y4 y tiene forma paralelepípedica, con unas dimensiones en planta de 3,8x1,8 m y un canto de 1 m. Las placas de anclaje tienen unas dimensiones de 800x700x45 mm, con 8 pernos de 40 mm cada una.

La zapata 3 recoge las pilas 5y6 y tiene forma paralelepípedica, con unas dimensiones en planta de 3,7x1,7 m y un canto de 1 m. Las placas de anclaje tienen unas dimensiones de 750x650x40mm, con 8 pernos de 40mm cada una.

La zapata 4 recoge las pilas 11y12 y tiene forma paralelepípedica, con unas dimensiones en planta de 4,4x1,05 m y un canto de 0,75 m. Las placas de anclaje tienen unas dimensiones de 550x550x35mm, con 8 pernos de 25 mm cada una.

La zapata 5 recoge las pilas 13y14 y tiene forma paralelepípedica, con unas dimensiones en planta de 3,6x1,45 m y un canto de 0,85 m. Las placas de anclaje tienen unas dimensiones de 650x550x35mm, con 12 pernos de 25 mm cada una.

La zapata 6 recoge las pilas 15y16 y tiene forma paralelepípedica, con unas dimensiones en planta de 3,7x2,45m y un canto de 1m. Las placas de anclaje tienen unas dimensiones de 750x650x40 mm, con 8 pernos de 40 mm cada una.

La losa de cimentación recoge las pilas 7,8,9y10 y tiene forma rectangular con unas dimensiones en planta de 4,4x3,55 y un canto de 0,8 m. Las placas de anclaje tienen unas dimensiones de 600x500x30mm, con 8 pernos de 25 mm cada una.

2.8 BARANDILLA

La barandilla se compone de chapas verticales con forma de doble cono invertido, de 10 mm de espesor, separadas 1,6 m, y un pasamanos formado por un perfil circular hueco de 60 mm de diámetro y 4mm de espesor, alcanzando el conjunto una altura total de 26 cm. El conjunto formado por las vigas longitudinales y las barandillas permite alcanzar una altura de seguridad de 1,12 m desde la superficie del pavimento.

Los soportes verticales son de acero S275JR, y se sueldan directamente a las vigas longitudinales de la estructura. El pasamanos es de acero S235-JR con acabado pulido.

2.9 DRENAJE

El drenaje del tablero se dispondrá en los puntos bajos de cada uno de los vanos en pendiente que presenta la geometría de la pasarela. Se trata por tanto de 8 puntos, uno en el punto más bajo del Vano 1, uno en el punto más bajo del Vano 2, tres en los puntos bajos relativos de la Rampa 1, dos en los puntos bajos relativos de la Rampa 2 y uno en el punto bajo de la Rampa 3. El sistema de drenaje consiste en la perforación simétrica de dos orificios verticales en los extremos del tablero en los puntos anteriormente citados, indicados en los planos correspondientes. En dichos orificios verticales se introducirá un tubo de PVC que permite evacuar el agua y a la vez aislar el hormigón y el acero que forman el pavimento. El agua llegará a dichos orificios recogida mediante una pequeña rejilla metálica con la pendiente adecuada (1,5 %).

2.10 PRUEBA DE CARGA

Para la realización de las pruebas de carga se tendrán en cuenta los criterios establecidos en las “Recomendaciones para el proyecto y ejecución de pruebas de carga en puentes de carretera” del Ministerio de Fomento (1999).

Se aplicará la sobrecarga sobre el pavimento. Las sobrecargas se dispondrán de manera que se alcance el 75% de la carga producida por la sobrecarga de la instrucción en las secciones críticas.

Dado que la sobrecarga de uso es de 5 KN/m², el estado de carga que se considerará para la presente prueba será una carga repartida de 3,75 KN/m². Definiremos los dos estados de carga siguientes:

Estado de carga 1

Carga repartida de 3,75 KN/m² sobre todo el ancho del tablero considerado. Dado que el tablero tiene una superficie útil de 524,58 m², debemos disponer una carga total de 1967,19 KN, lo que equivale a 4010 sacos de 50 kg cada uno, repartidos uniformemente a lo largo del tablero.

Estado de carga 2

Carga repartida de 3,75 KN/m² únicamente en la mitad de la sección del tablero considerado, para reproducir de esta forma posibles fenómenos de torsión. Este segundo caso equivale a una carga total de 983,60 KN, lo cual se puede materializar con 2005 sacos de 50 kg cada uno, repartidos a lo largo de una mitad de la sección del tablero.

Los criterios de aceptación de esta prueba, los puntos de control considerados, su ubicación y los valores de flecha esperados, se detallan en el correspondiente Anejo de Prueba de Carga, que incluye el proyecto completo de realización de la prueba.



2.11 PROCEDIMIENTO CONSTRUCTIVO

El proceso constructivo que se describe a continuación no tiene un carácter contractual, sino orientativo, de manera que podrá ser modificado por el constructor atendiendo a sus necesidades o sus medios. No obstante, el contratista deberá documentar y justificar adecuadamente cualquier cambio propuesto, debiendo este ser sometido al visto bueno de la Dirección de Obra.

Los elementos estructurales de la pasarela objeto de este proyecto se realizarán en taller y posteriormente serán trasladados a obra según lo establecido en el correspondiente Anejo de Proceso Constructivo. Una vez en obra, los diferentes módulos de estructura metálica serán soldados a tope entre sí para lograr la geometría final de la pasarela expuesta en los planos.

El procedimiento constructivo se compone de las siguientes fases:

Fase 1

- Replanteo inicial, trabajos previos (despeje y desbroce del terreno, desmontes, etc...) y acopio de materiales.
- Ejecución de muros y estribos, con su ferralla y hormigonado, y relleno de terraplenes. Disposición de apoyos elastoméricos en los cabezales de estribos.
- Ejecución de zapatas, con su ferralla y hormigonado, quedando en espera las barras corrugadas para el anclaje de los soportes.
- Ensamblaje en obra, colocación y anclaje adecuado de castilletes metálicos.
- Colocación de las pilas asegurándose de que las placas de anclaje garantizan un adecuado empotramiento a las zapatas.

Fase 2

- Se disponen los diferentes módulos que forman las rampas sobre las pilas, prestando especial atención a la consecución de la penetración completa de las soldaduras. Se utilizarán los castilletes para apoyar algunos tramos hasta que se realice la unión mediante soldadura al siguiente tramo.
- Se disponen los módulos que forman el Vano 2 (Central), anclando previamente mediante soldadura los apoyos elastoméricos en cabeza de las pilas 9 y 10. Se hará uso de castillete metálico para el apoyo de tramos, hasta que se realice la unión mediante soldadura de los mismos.

Fase 3

- Se disponen los módulos que forman el Vano 1(Oeste), anclando previamente mediante soldadura los apoyos elastoméricos en cabeza de las pilas 7 y 8. Se hará uso de castillete metálico para el apoyo de tramos, hasta que se realice la unión mediante soldadura de los mismos.
- Se disponen los módulos que forman el Vano 3(Este), haciendo uso de castillete metálico para el apoyo de los tramos en la zona de unión, hasta que se realice la soldadura de los mismos.

Fase 4

- Realizadas todas las operaciones anteriores, se procede con la retirada de los castilletes de apoyo provisional, intentando que la entrada en carga de la estructura se produzca de manera progresiva para evitar posibles efectos dinámicos.
- Colocación del forjado de chapa grecada y hormigonado del mismo, disponiendo la correspondiente armadura de negativos en los tramos donde sea necesario (Ver Anejo de cálculo estructural).

Fase 5

- Replanteo final de la obra utilizando métodos topográficos.
- Ejecución de la reglamentaria prueba de carga, tomando medidas de flechas y comparando con los valores teóricos.
- Remates y restitución de todos los servicios afectados.

2.12 ACONDICIONAMIENTO Y REPOSICIÓN DE SERVICIOS

Como consecuencia del procedimiento constructivo para la ejecución de las obras, se afectará de forma considerable a las tres zonas ajardinadas situadas en los márgenes de las dos Avenidas, así como a la pavimentación de las aceras debido a la ejecución de las pilas y estribos. También se prevé la posible afectación a la zona de aparcamiento en el tramo central, donde se establecerá, de ser necesario, una zona de acopio debidamente vallada.



Tras la conclusión de las obras se realizará en la zona una renovación del mobiliario urbano. Todos los elementos se encuentran definidos en el Pliego de Prescripciones Técnicas Particulares, y se trata de que mantengan la armonía estética con el resto de la zona.

Los desperfectos adicionales ocasionados a pavimento, mobiliario urbano, etc. durante la ejecución de las obras, así como su posterior reposición y acondicionamiento, serán responsabilidad del contratista. De igual manera cuando finalicen las obras se procederá a la limpieza de la zona y a la retirada del material sobrante y maquinaria (objeto de la partida alzada de abono íntegro para limpieza y terminación).

El acondicionamiento urbano y la reposición de servicios afectados expuestos en este Anejo se tratan (con las excepciones mencionadas anteriormente) como unidades de obra independientes en el Presupuesto.

No se realiza, teniendo en cuenta el carácter académico de este proyecto, un estudio exhaustivo de servicios afectados y de su reposición, tal y como habría que hacer en un proyecto real. Para conocimiento del contratista y de la dirección de obra se indica únicamente la presencia de la red de alumbrado.

3. RIESGOS

3.1 ASPECTOS BÁSICOS

- Identificación y localización de las zonas donde se desarrollen actividades cuya realización exponga a los trabajadores a riesgos de especial gravedad, así como las medidas especificadas. Los riesgos de especial gravedad (de acuerdo con el Anexo II del RD 1627/97 de 24 de Octubre) a los que los trabajadores se exponen durante la realización de las obras son:
 - Sepultamiento, hundimiento, deslizamientos y caída de altura.
 - Montaje de elementos prefabricados pesados.
- Tipología y características de los materiales y elementos causantes del riesgo:
 - Polvo producido en movimientos de tierras y demoliciones.
 - Polvo silicático producido en planta de machaqueo.
 - Polvo producido en la planta asfáltica.
 - Ligantes y mezclas bituminosas con riesgo de afecciones cutáneas, por salpicaduras y proyecciones, y quemaduras.
 - Cemento causante de afecciones sobre la piel (Dermatosis).

- Hormigones que producen quemaduras por contacto con la piel y lesiones sobre piel y ojos por salpicaduras y proyecciones.
- Acero, que puede dar lugar a heridas punzantes en las extremidades y erosiones cutáneas.
- Señales y barreras de chapa pueden ocasionar golpes y cortar en su manipulación y colocación.
- Manejo de cargas pesadas; armaduras, encofrados, elementos prefabricados; con probable riesgo de sobreesfuerzos además de los propios del material constituyente de la carga.
- Equipos de trabajo.

- La maquinaria normalmente utilizada en las diferentes fases constructivas es enumerada a continuación:
 - Movimiento de tierras: camiones, retroexcavadoras, bulldozers, palas excavadoras, rodillos, pisonos, ranas, etc.
 - Estructura: grúa autoportante, bomba de hormigonado.
 - Pavimentación: fresadora, barredora, compactadores, camiones.
 - Hormigones: hormigoneras, bombas, vibradores de aguja.
 - Medios auxiliares: entibaciones, plataformas de trabajo, andamios, cimbras, encofrados, cables y eslingas, etc.

3.2 RIESGOS PROFESIONALES

AGENTES BIOLÓGICOS

El incorporar microorganismos patógenos (para el hombre) durante la realización de trabajos, ya sea por inoculación a través de cortes y/o pinchazos, por inhalación, al respirar virus o bacterias, o por contacto, es un riesgo presente en los trabajos de construcción:

- Por inhalación de bioaerosoles (dispersiones de partículas de tamaño muy reducido constituidas por microorganismos: bacterias, hongos o sus esporas) en trabajos de perforación o excavación.
- En los trabajos de demolición, por la inhalación de los elementos de reproducción del hongo histoplasma que puede desarrollar una histoplasmosis.
- En los trabajos del campo existe siempre el riesgo de picaduras y mordeduras.



AGENTES QUÍMICOS

Estos riesgos incluyen la posibilidad de afecciones por inhalación, contacto o ingestión, de sustancias perjudiciales para la salud:

- En la manipulación del cemento, por su contenido en Cromo, Cobalto y aditivos especiales para su fraguado.
- Por inhalación de vapores de los disolventes en la aplicación de recubrimientos de pintura por medios manuales o mediante pistola de aire comprimido.
- Por la inhalación de polvo fino de madera y vapores de los barnices y lacas de recubrimiento en las operaciones de lijado y corte de maderas.

RUIDO

Se trata de la posibilidad de lesiones auditivas por exposición a un nivel de ruido superior a los límites admisibles. Cuando exista esta problemática, se deberá hacer lo establecido en el RD 1316/89 sobre protección de los trabajadores frente a riesgos derivados de la exposición al ruido durante el trabajo:

- En el uso de motocompresores y martillos neumáticos.
- En el trabajo al unísono de varias máquinas, por el empleo de elementos auxiliares en operaciones de demolición y excavación.

VIBRACIONES

Se consideran situaciones de riesgo todos los movimientos transmitidos al cuerpo humano por estructuras sólidas que sean capaces de producir un efecto nocivo o provocar cualquier molestia:

- En la utilización de martillos neumáticos.
- En la utilización de vibradores de hormigón.
- En la planta procesadora de áridos, desde donde se sacan las piedras de diferente granulometría mediante la molienda y el tamizado.

MICROCLIMA LABORAL (FRIO/CALOR)

Existe riesgo de frío o calor en actividades como la construcción, ya que se realizan a la intemperie. La temperatura ambiente no solo puede producir una insatisfacción al trabajador, sino que también puede provocarle lesiones o principios de congelamiento en bajas temperaturas, o golpe de calor en altas temperaturas.

Estos cambios de temperaturas, dependerán de la época de trabajo o del lugar geográfico en que se desarrolle la actividad constructiva.

RADIACIONES ULTRAVIOLETAS

En las operaciones de soldadura por arco voltaico, tarea común en la construcción tanto en la instalación de procesos como en la modificación o mantenimiento de los mismos, existe riesgo provocado por las radiaciones ultravioleta.

CONTACTO ELÉCTRICO DIRECTO O INDIRECTO

Los trabajadores pueden estar expuestos al peligro de daños por descarga eléctrica al entrar en contacto con maquinarias portátiles, cables, equipos, etc., sometidos a tensión eléctrica y en los que se producen fallos en el aislamiento o instalaciones incorrectas.

Por ejemplo: conexiones, cables y enchufes en mal estado, regletas, cuadros de comandos, bornes, líneas eléctricas, transformadores, motores eléctricos, lámparas, soldadura eléctrica, etc.

Dentro de la construcción las situaciones con mayor riesgo de contacto eléctrico son:

- El uso de maquinaria portátil y herramientas eléctricas (mesa de sierra, perforadora, etc).
- Por las instalaciones provisionales en las proximidades de la zona de trabajo.
- En operaciones de soldadura eléctrica en recintos muy conductores, como estructuras metálicas, o ambientes húmedos, se pueden provocar descargas que en trabajos en altura pueden ocasionar caídas.
- En máquinas en general.
- En cables y conductores eléctricos.
- En trabajos cercanos a conductores de alta tensión.

CAÍDAS

Cuando se realizan trabajos en zonas elevadas sin protección adecuada, como barandillas, antepechos, muros, barreras, redes, etc., existe el riesgo de caídas a distinto nivel o desde máquinas útiles y en huecos existentes en pisos y zonas de trabajo, como por ejemplo: escaleras de peldaños, escaleras fijas, escaleras de mano, plataformas, altillos, pasarelas, fosos, muelles de carga, estructuras y andamios, zanjas, cajas y cabinas de camión, árboles, postes, etc.

Dentro del proceso constructivo el riesgo de caídas se concreta en las siguientes situaciones:

- Caídas durante la ejecución de trabajos de encofrado, desencofrado, colocación de ferralla y hormigonado.
- Caídas desde andamios o plataformas de trabajo.
- Caídas desde el tablero durante la colocación de la barandilla y el pavimento de madera.
- Caídas por desplazamiento sobre encofrados o elementos poco resistentes.



- Caídas durante las tareas de cobertura de elementos horizontales y verticales con materiales diversos, como mortero, pétreos, etc.
- Caídas durante las operaciones de maquinaria para el movimiento de tierras, como palas cargadoras, retroexcavadoras, etc.
- Caídas al subir o bajar de la máquina.
- Caídas durante las operaciones de mantenimiento sobre plataformas de trabajo.

PROYECCIÓN DE PARTÍCULAS

La proyección de partículas de los materiales sobre los que actúan las máquinas y herramientas que sirven para el desbaste, pulido o mecanizado de piezas metálicas, así como las que sirven para la erosión, trituración, mezclado, tamizado, etc., pueden incidir sobre el trabajador provocándose lesiones que pueden ser graves si inciden en los ojos, por ejemplo, con: virutas, chispas de amolado, soldadura o cortocircuito, esquirlas, astillas, etc. Especialmente dentro del sector de la construcción se detectan tales riesgos en:

- Las operaciones de corte de material (madera de encofrados, ferralla, etc.)
- El picado de hormigones mal ejecutados.
- La limpieza de encofrados de restos de material.
- La proyección de chispas durante las operaciones de soldado.
- Las operaciones de extendido de colas o pegamentos y de colocación de material (grapas, clavos, etc.)
- El corte con sierra circular de piedra.

GOLPES

El riesgo de darse golpes con objetos, ya sean móviles o inmóviles, o de recibir golpes de éstos, es muy alto en la actividad constructiva, ya sea por el uso de herramientas manuales, sobre todo de percusión, trabajo con máquinas que disponen de desplazamientos propios, invasión de la zona de paso por algunas partes salientes de materiales o máquinas, estrechamiento de zonas de paso, vigas o de conductos a baja altura, insuficiente iluminación de la zona de trabajo y/o tránsito, etc.

CORTES

Al igual que los golpes, el riesgo de sufrir cortes con objetos, herramientas o útiles de trabajo está presente en todos los puestos de trabajo así como en las zonas de tránsito en una obra.

La posibilidad de lesión por objetos cortantes, punzantes o abrasivos, herramientas o útiles manuales, cuchillas, destornilladores, martillos, lijas, cepillos metálicos, muelas, aristas vivas, herramientas accionadas, ventiladores, taladros, tornos, sierras, cizallas, fresas, etc., depende generalmente del

correcto uso de estas herramientas, de su mantenimiento, de la formación que hayan recibido los operarios y del orden y la limpieza de la industria.

ATRAPAMIENTO O APLASTAMIENTO

En el sector de la construcción existe el riesgo de sufrir una lesión por atrapamiento o aplastamiento de cualquier parte del cuerpo por mecanismos de máquinas o entre objetos, piezas o materiales como engranajes, rodillos, correas de transmisión, transportadores, mecanismos en movimiento, cadenas en arrastre, vuelco de carretillas elevadoras, etc.

Las operaciones que entrañan este riesgo son en especial:

- Las operaciones de recepción de cargas.
- En la descarga y traslado de materiales.
- Por atrapamiento entre los elementos móviles sin proteger de los mecanismos de elevación y descenso (plataformas, montacargas, poleas, etc.)
- En las operaciones de mantenimiento de máquinas, por atrapamiento entre sus partes móviles o por movimientos inesperados.
- En la circulación y ejecución de trabajos.

DESPLOME DE TIERRAS, OBJETOS O MATERIALES

El peligro existe por la posibilidad de desplome o derrumbamiento de estructuras elevadas, estanterías, pilas de materiales, tabiques, hundimientos de pisos por sobrecarga, tierras en cortes o taludes, zanjas, galerías de minas, etc.

También existe la posibilidad de caída de objetos que no se están manipulando y se desprenden de su situación como materiales en estanterías, piezas cerámicas en fachadas, lámparas y aparatos suspendidos, conductos, objetos y herramientas dejados en puntos elevados, barandillas sin rodapié sobre zonas de trabajo o paso, etc.

De igual modo en las tareas de encofrado y desencofrado puede ocurrir el desplome de elementos como puntales, tableros, bovedillas, etc. o bien en los forjados por el hundimiento por sobrecarga de material acumulado. En el momento del hormigonado puede haber hundimiento de zonas por mala colocación de elementos de alivianado o falta de apuntalamiento. Por último en los trabajos de excavación y/o zanjeo para cimentaciones o conducciones.

INCENDIOS

La gran cantidad de siniestros que se producen y el elevado porcentaje de pérdidas personales y materiales que normalmente ocasionan, obligan a considerar en profundidad el problema de la lucha



contra incendios, existiendo la necesidad de evaluar este riesgo, y tomar las medidas oportunas para su prevención.

Los tres grandes capítulos de este estudio son los siguientes:

- El riesgo de que el incendio se inicie o se propague: la mayoría de incendios tienen su origen en la no adopción de medidas simples de prevención.
- Las consecuencias materiales propias y a terceros: se debe determinar la peligrosidad de la obra, su ubicación, la cercanía de vecinos, etc., para tratar de que, si se produce un incendio, sean mínimas las pérdidas materiales propias y no se vean afectados terceros.
- Las consecuencias humanas: cuando se inicia un incendio, el evitar daños a personas de la empresa o ajenos a la misma dependerá fundamentalmente de la existencia del plan de autoprotección y de cómo de ejecutó éste.

Dentro del sector de la construcción el riesgo de incendios aparece en especial:

- En las operaciones de soldadura.
- En las zonas de corte o lijado de maderas y de acopio de materiales combustibles (viruta, serrín, colas de impacto, barnices, etc.) unido a una elevada carga térmica, supone un considerable riesgo de incendio.
- Por repostar combustible.
- En los cambios de lubricante de las máquinas y vehículos.
- En el uso de vehículos con mantenimiento deficiente o pérdidas de combustible.
- En instalaciones provisionales de obra, cuyos cables provoquen chispas debido a su estado.
- Por el uso incorrecto de equipos de soldadura oxiacetilénica.
- En la acumulación de carga de fuego sin control (sacos de papel, restos de madera, pallets, etc.).
- En depósitos precarios de materiales de terminación, como madera de revestimiento, moquetas, pinturas, solventes, etc.

SOBRESFUERZOS MUSCULARES

La ergonomía espacial o geométrica se centra en la relación entre el hombre y las condiciones métricas de su trabajo.

Algunas operaciones (transporte de piezas, levantamiento de materiales, etc.) exigen sobreesfuerzos musculares repetidos que pueden generar lesiones en el trabajador, por lo que es conveniente el uso de elementos mecánicos o hidráulicos de elevación y transporte que eviten tal situación.

Por otra parte un sobreesfuerzo accidental o mal ejecutado suele ser el responsable en muchos casos de lesiones al trabajador. Para evitarlo es aconsejable el uso de una técnica adecuada de manipulación de cargas para no lastimar las articulaciones o la columna vertebral del trabajador.

Las posibles lesiones músculo esqueléticas y/o la fatiga física al producirse un desequilibrio entre las exigencias de la tarea y la capacidad física de individuo, están presentes en tareas como el manejo de cargas a brazo, el amasado, el lijado manual, los enyesados o la mecánica de mantenimiento.

RIESGOS POR AGENTES ATMOSFÉRICOS

Se consideran los riesgos que puedan ocasionar situaciones atmosféricas por:

- El efecto mecánico del viento.
- Tormentas con aparato eléctrico.
- Efecto hielo, la nieve, la lluvia y el calor.

3.3 RELACIÓN DE RIESGOS SEGÚN ACTIVIDAD

RIESGOS POR MAQUINARIA

- Atropellos.
- Cortes.
- Proyecciones de partículas.
- Atrapamientos por órganos móviles.

RIESGOS EN EXCAVACIONES

- Desprendimientos.
- Caídas de personas al mismo o distinto nivel.
- Vuelco por accidentes de vehículos o máquinas.
- Atropellos por máquinas o vehículos.
- Atrapamientos.
- Cortes y golpes.
- Polvo.

RIESGOS EN HORMIGONADO

- Caídas de personas al mismo o a distinto nivel.
- Caída de materiales.
- Electrocutaciones.
- Dermatitis por cemento.
- Cortes y golpes.



- Salpicaduras.
- Proyección de partículas.

RIESGOS EN ESTRUCTURA METÁLICA

- Caída de personas al mismo o a distinto nivel.
- Caída de materiales.
- Electrocutaciones.
- Caídas de personas al agua durante montaje.
- Cortes y golpes.

3.4 RIESGOS A TERCEROS

Son los riesgos que pueden causar daños a terceras personas no implicadas en la ejecución de las obras, debidos a circulación de vehículos, apertura de zanjas, etc., tales como:

- Caídas a mismo o distinto nivel.
- Atropellos.
- Golpes con, o por caídas de, objetos o materiales.

Se considerará zona de trabajo todo el espacio por donde se desenvuelvan máquinas, vehículos y operarios trabajando; y zona de peligro una franja de 5 metros alrededor de la zona de trabajo. Se impedirá el acceso de personas ajenas a la obra, para lo cual se procederá al vallado de la misma (siempre que sea posible) y se distribuirán por la misma, carteles de "Prohibido el paso a toda persona ajena a la obra". Si existiesen caminos de uso por terceros, dentro de la obra, se protegerán con vallas metálicas autónomas, y en la zona de peligro con cintas de balizamiento reflectante. Se señalarán, de acuerdo con la norma vigente 8.3.-I.C. el enlace con las carreteras y caminos. Se señalarán la existencia de zanjas, pozos, trasdós de obras de fábrica, etc., para impedir posibles caídas de personas que puedan introducirse en la obra.

Se dispondrán vallas de limitación y carteles indicativos en los puntos de acceso a las zonas de trabajo, acopios, maquinaria, instalaciones, etc., cuando estén situadas en el paso de peatones o vehículos.

4. PREVENCIÓN DE RIESGOS

4.1 DISPOSICIONES MÍNIMAS DE SEGURIDAD Y SALUD

El Anexo IV del RD 1627/97 relaciona las denominadas disposiciones mínimas de Seguridad y Salud que deberán aplicarse en las obras, distinguiendo entre aquellas que son de aplicación general en el conjunto de la obra, las aplicables exclusivamente a los puestos de trabajo en las obras en el interior de los locales y por último las aplicables en el exterior de los locales.

Las obligaciones que prevé el citado Anexo se aplicarán siempre que lo exijan las características de la obra o de la actividad, las circunstancias o cualquier riesgo.

4.2 DISPOSICIONES MÍNIMAS GENERALES

Estas disposiciones mínimas serán de aplicación a la totalidad de la obra, incluidos los puestos de trabajo en las obras en el interior y en el exterior de los locales.

ESTABILIDAD Y SOLIDEZ

Deberá procurarse, de modo apropiado y seguro, la estabilidad de los materiales y equipos y, en general, de cualquier elemento que en cualquier desplazamiento pudiera afectar a la seguridad y la salud de los trabajadores.

El acceso a cualquier superficie que conste de materiales que no ofrezcan una resistencia suficiente sólo se autorizará en caso de que se proporcionen equipos o medios apropiados para que el trabajo se realice de manera segura.

INSTALACIONES DE SUMINISTRO Y REPARTO DE ENERGÍA

La instalación eléctrica de los lugares de trabajo en las obras deberá ajustarse a lo dispuesto en su normativa específica. En todo caso, y a salvo de disposiciones específicas de la normativa citada, dicha instalación deberá satisfacer las condiciones que se señalan en los siguientes puntos:

- Las instalaciones deberán proyectarse, realizarse y utilizarse de manera que no entrañen peligro de incendio ni explosión y de modo que las personas estén debidamente protegidas contra los riesgos de electrocución por contacto directo o indirecto.
- El proyecto, la realización y la elección del material y de los dispositivos de protección deberán tener en cuenta el tipo y la potencia de la energía suministrada, las condiciones de los factores externos y la competencia de las personas que tengan acceso a partes de la instalación.



VÍAS Y SALIDAS DE EMERGENCIA

Las vías y salidas de emergencia deberán permanecer expeditas y desembocar lo más directamente posible en una zona de seguridad.

En caso de peligro, todos los lugares de trabajo deberán poder evacuarse rápidamente y en condiciones de máxima seguridad para los trabajadores.

El número, la distribución y las dimensiones de las vías y salidas de emergencia dependerán del uso, de los equipos y de las dimensiones de la obra y de los locales, así como del número máximo de personas que puedan estar presentes en ellos.

Las vías y salidas específicas de emergencia deberán señalizarse conforme al Real Decreto 485/1997, de 14 de Abril, sobre disposiciones mínimas en materia de señalización de seguridad y salud en el trabajo. Dicha señalización deberá fijarse en los lugares adecuados y tener la resistencia suficiente.

Las vías y salidas de emergencia, así como las vías de circulación y las puertas que den acceso a ellas, no deberán estar obstruidas por ningún objeto, de modo que puedan utilizarse sin trabas en cualquier momento.

En caso de avería del sistema de alumbrado, las vías y salidas de emergencia que requieran iluminación deberán estar equipadas con iluminación de seguridad de suficiente intensidad.

DETECCIÓN Y LUCHA CONTRA INCENDIOS

Según las características de la obra y según las dimensiones y el uso de los locales, los equipos presentes, las características físicas y químicas de las sustancias o materiales que se hallen presentes así como el número máximo de personas que puedan hallarse en ellos, se deberá prever un número suficiente de dispositivos apropiados de lucha contra incendios y, si fuere necesario, de detectores de incendios y de sistemas de alarma. Dichos dispositivos de lucha contra incendios y sistemas de alarma deberán verificarse y mantenerse con regularidad. Deberán realizarse, a intervalos regulares, pruebas y ejercicios adecuados.

Los dispositivos no automáticos de lucha contra incendios deberán ser de fácil acceso y manipulación. Deberán estar señalizados conforme al Real Decreto sobre señalización de seguridad y salud en el trabajo.

VENTILACIÓN

Teniendo en cuenta los métodos de trabajo y las cargas físicas impuestas a los trabajadores, éstos deberán disponer de aire limpio en cantidad suficiente.

En caso de que se utilice una instalación de ventilación, deberá mantenerse en buen estado de funcionamiento y los trabajadores no deberán estar expuestos a corrientes de aire que perjudiquen su salud. Siempre que sea necesario para la salud de los trabajadores, deberá haber un sistema de control que indique cualquier avería.

EXPOSICIÓN A RIESGOS PARTICULARES

Los trabajadores no deberán estar expuestos a niveles sonoros nocivos ni a factores externos nocivos (por ejemplo, gases, vapores, polvo). En caso de que algunos trabajadores deban penetrar en una zona cuya atmósfera pudiera contener sustancias tóxicas o nocivas, o no tener oxígeno en cantidad suficiente o ser inflamable, la atmósfera confinada deberá ser controlada y se deberán adoptar medidas adecuadas para prevenir cualquier peligro. En ningún caso podrá exponerse a un trabajador a una atmósfera confinada de alto riesgo. Deberá, al menos, quedar bajo vigilancia permanente desde el exterior y deberán tomarse todas las debidas precauciones para que se le pueda prestar auxilio eficaz e inmediato.

TEMPERATURA

La temperatura debe ser la adecuada para el organismo humano durante el tiempo de trabajo, cuando las circunstancias lo permitan, teniendo en cuenta los métodos de trabajo que se apliquen y las cargas físicas impuestas a los trabajadores.

ILUMINACIÓN

Los lugares de trabajo, los locales y las vías de circulación en la obra deberán disponer, en la medida de lo posible, de suficiente luz natural y tener una iluminación artificial adecuada y suficiente durante la noche y cuando no sea suficiente la luz natural. En su caso, se utilizarán puntos de iluminación portátiles con protección antichoques. El color utilizado para la iluminación artificial no podrá alterar o influir en la percepción de las señales o paneles de señalización.

Las instalaciones de iluminación de los locales, de los puestos de trabajo y de las vías de circulación deberán estar colocadas de tal manera que el tipo de iluminación previsto no suponga riesgo de accidente para los trabajadores. Los locales, los lugares de trabajo y las vías de circulación en los que los trabajadores estén particularmente expuestos a riesgos en caso de avería de la iluminación artificial deberán poseer una iluminación de seguridad de intensidad suficiente.

PUERTAS Y PORTONES

Las puertas correderas deberán ir provistas de un sistema de seguridad que les impida salirse de los raíles y caerse.



Las puertas y portones que se abran hacia arriba deberán ir provistos de un sistema de seguridad que les impida volver a bajarse.

Las puertas y portones situados en el recorrido de las vías de emergencia deberán estar señalizados de manera adecuada.

En las proximidades inmediatas de los portones destinados sobre todo a la circulación de vehículos deberán existir puertas para la circulación de los peatones, salvo en caso de que el paso sea seguro para éstos. Dichas puertas deberán estar señalizadas de manera claramente visible y permanecer expeditas en todo momento.

Las puertas y portones mecánicos deberán funcionar sin riesgo de accidente para los trabajadores. Deberán poseer dispositivos de parada de emergencia fácilmente identificables y de fácil acceso y también deberán poder abrirse manualmente excepto si en caso de producirse una avería en el sistema de energía se abren automáticamente.

VÍAS DE CIRCULACIÓN Y ZONAS PELIGROSAS

Las vías de circulación, incluidas las escaleras, las escalas fijas y los muelles y rampas de carga deberán estar calculados, situados, acondicionados y preparados para su uso de manera que se puedan utilizar fácilmente, con toda seguridad y conforme al uso al que se les haya destinado y de forma que los trabajadores empleados en las proximidades de estas vías de circulación no corran riesgo alguno.

Las dimensiones de las vías destinadas a la circulación de personas o de mercancías, incluidas aquellas en las que se realicen operaciones de carga y descarga, se calcularán de acuerdo con el número de personas que puedan utilizarlas y con el tipo de actividad.

Cuando se utilicen medios de transporte en las vías de circulación, se deberá prever una distancia de seguridad suficiente o medios de protección adecuados para las demás personas que puedan estar presentes en el recinto.

Se señalarán claramente las vías y se procederá regularmente a su control y mantenimiento.

Las vías de circulación destinadas a los vehículos deberán estar situadas a una distancia suficiente de las puertas, portones, pasos de peatones, corredores y escaleras.

Si en la obra hubiera zonas de acceso limitado, dichas zonas deberán estar equipadas con dispositivos que eviten que los trabajadores no autorizados puedan penetrar en ellas. Se deberán tomar todas las medidas adecuadas para proteger a los trabajadores que estén autorizados a penetrar en las zonas de peligro. Estas zonas deberán estar señalizadas de modo claramente visible.

MUELLES Y RAMPAS DE CARGA

Los muelles y rampas de carga deberán ser adecuados a las dimensiones de las cargas transportadas.

Los muelles de carga deberán tener al menos una salida y las rampas de carga deberán ofrecer la seguridad de que los trabajadores no puedan caerse.

ESPACIO DE TRABAJO

Las dimensiones del puesto de trabajo deberán calcularse de tal manera que los trabajadores dispongan de la suficiente libertad de movimientos para sus actividades, teniendo en cuenta la presencia de todo el equipo y material necesario.

PRIMEROS AUXILIOS

Será responsabilidad del empresario garantizar que los primeros auxilios puedan prestarse en todo momento por personal con la suficiente formación para ello. Asimismo, deberán adoptarse medidas para garantizar la evacuación, a fin de recibir cuidados médicos, de los trabajadores accidentados o afectados por una indisposición repentina.

Cuando el tamaño de la obra o el tipo de actividad lo requieran, deberá contarse con uno o varios locales para primeros auxilios.

Los locales para primeros auxilios deberán estar dotados de las instalaciones y el material de primeros auxilios indispensables y tener fácil acceso para las camillas. Deberán estar señalizados conforme al Real Decreto sobre señalización de seguridad y salud en el trabajo.

En todos los lugares en los que las condiciones de trabajo lo requieran se deberá disponer también de material de primeros auxilios, debidamente señalado y de fácil acceso.

Una señalización claramente visible deberá indicar la dirección y el número de teléfono del servicio local de urgencia.

SERVICIOS HIGIÉNICOS

Cuando los trabajadores tengan que llevar ropa especial de trabajo deberán tener a su disposición vestuarios adecuados.

Los vestuarios deberán ser de fácil acceso, tener las dimensiones suficientes y disponer de asientos e instalaciones que permitan a cada trabajador poner a secar, si fuera necesario, su ropa de trabajo.

Cuando las circunstancias lo exijan (por ejemplo sustancias peligrosas, humedad, suciedad), la ropa de trabajo deberá poder guardarse separada de la ropa de calle y de los efectos personales. Cuando los



vestuarios no sean necesarios, en el sentido del párrafo primero de este apartado, cada trabajador deberá poder disponer de un espacio para colocar su ropa y sus objetos personales bajo llave.

Cuando el tipo de actividad o la salubridad lo requieran, se deberán poner a disposición de los trabajadores duchas apropiadas y en número suficiente.

Las duchas deberán tener dimensiones suficientes para permitir que cualquier trabajador se asee sin obstáculos y en adecuadas condiciones de higiene. Las duchas deberán disponer de agua corriente, caliente y fría.

Cuando, con arreglo al párrafo primero de este apartado, no sean necesarias duchas, deberá haber lavabos suficientes y apropiados con agua corriente, caliente si fuere necesario, cerca de los puestos de trabajo y de los vestuarios.

Si las duchas o los lavabos y los vestuarios estuvieren separados, la comunicación entre unos y otros deberá ser fácil.

Los trabajadores deberán disponer en las proximidades de sus puestos de trabajo, de los locales de descanso, de los vestuarios y de las duchas o lavabos, de locales especiales equipados con un número suficiente de retretes y de lavabos.

Los vestuarios, duchas, lavabos y retretes estarán separados para hombres y mujeres, o deberá preverse una utilización por separado de los mismos.

LOCALES DE DESCANSO O DE ALOJAMIENTO

Cuando lo exijan la seguridad o la salud de los trabajadores, en particular debido al tipo de actividad o el número de trabajadores, y por motivos de alejamiento de la obra, los trabajadores deberán poder disponer de locales de descanso y, en su caso, de locales de alojamiento de fácil acceso.

Los locales de descanso o de alojamiento deberán tener unas dimensiones suficientes y estar amueblados con un número de mesas y de asientos con respaldo acorde con el número de trabajadores.

Cuando no existan este tipo de locales se deberá poner a disposición del personal otro tipo de instalaciones para que puedan ser utilizadas durante la interrupción del trabajo.

Cuando existan locales de alojamiento fijos, deberán disponer de servicios higiénicos en número suficiente, así como de una sala para comer y otra de esparcimiento.

Dichos locales deberán estar equipados de camas, armarios, mesas y sillas con respaldo acordes al número de trabajadores, y se deberá tener en cuenta, en su caso, para su asignación, la presencia de trabajadores de ambos sexos.

En los locales de descanso o de alojamiento deberán tomarse medidas adecuadas de protección para los no fumadores contra las molestias debidas al humo del tabaco.

MUJERES EMBARAZADAS Y MADRES LACTANTES

Las mujeres embarazadas y madres lactantes deberán tener la posibilidad de descansar tumbadas en las condiciones adecuadas.

TRABAJADORES MINUSVÁLIDOS

Los lugares de trabajo deberán estar acondicionados teniendo en cuenta, en su caso, a los trabajadores minusválidos.

DISPOSICIONES VARIAS

Los accesos y el perímetro de la obra deberán señalizarse y destacarse de manera que sean claramente visibles e identificables.

En la obra, los trabajadores deberán disponer de agua potable y, en su caso, de otra bebida apropiada no alcohólica en cantidad suficiente, tanto en los locales que ocupen como cerca de los puestos de trabajo.

Los trabajadores deberán disponer de instalaciones para poder comer y, en su caso, para preparar sus comidas en condiciones de seguridad y salud.

4.3 DISPOSICIONES MÍNIMAS GENERALES EN EL EXTERIOR DE LOS LOCALES

ESTABILIDAD Y SOLIDEZ

Los puestos de trabajo móviles o fijos situados por encima o por debajo del nivel del suelo deberán ser sólidos y estables teniendo en cuenta:

- El número de trabajadores que los ocupen.
- Las cargas máximas que, en su caso, puedan tener que soportar, así como su distribución.
- Los factores externos que pudieran afectarles.

En caso de que los soportes y los demás elementos de estos lugares de trabajo no poseyeran estabilidad propia, se deberá garantizar su estabilidad mediante elementos de fijación apropiados y seguros con el fin de evitar cualquier desplazamiento inesperado o involuntario del conjunto o de parte de dichos puestos de trabajo.

Deberán verificarse de manera apropiada la estabilidad y la solidez, y especialmente después de cualquier modificación de la altura o de la profundidad del puesto de trabajo.



CAÍDAS DE OBJETOS

Los trabajadores deberán estar protegidos contra la caída de objetos o materiales; para ello se utilizarán, siempre que sea técnicamente posible, medidas de protección colectiva.

Cuando sea necesario, se establecerán pasos cubiertos o se impedirá el acceso a las zonas peligrosas.

Los materiales de acopio, equipos y herramientas de trabajo deberán colocarse o almacenarse de forma que se evite su desplome, caída o vuelco.

CAÍDAS DE ALTURA

Las plataformas, andamios y pasarelas, así como los desniveles, huecos y aberturas existentes en los pisos de las obras que supongan para los trabajadores un riesgo de caída de altura superior a 2 metros, se protegerán mediante barandillas u otro sistema de protección colectiva de seguridad equivalente. Las barandillas serán resistentes, tendrán una altura mínima de 90 centímetros y dispondrán de un reborde de protección, un pasamanos y una protección intermedia que impidan el paso o deslizamiento de los trabajadores.

Los trabajos en altura sólo podrán efectuarse, en principio, con la ayuda de equipos concebidos para tal fin o utilizando dispositivos de protección colectiva, tales como barandillas, plataformas o redes de seguridad. Si por la naturaleza del trabajo ello no fuera posible, deberá disponerse de medios de acceso seguros y utilizarse cinturones de seguridad con anclaje u otros medios de protección equivalente.

La estabilidad y solidez de los elementos de soporte y el buen estado de los medios de protección deberán verificarse previamente a su uso, posteriormente de forma periódica y cada vez que sus condiciones de seguridad puedan resultar afectadas por una modificación, período de no utilización o cualquier otra circunstancia.

FACTORES ATMOSFÉRICOS

Deberá protegerse a los trabajadores contra las inclemencias atmosféricas que puedan comprometer su seguridad y salud.

ANDAMIOS Y ESCALERAS

Los andamios deberán proyectarse, construirse y mantenerse convenientemente de manera que se evite que se desplomen o se desplacen accidentalmente.

Las plataformas de trabajo, las pasarelas y las escaleras de los andamios deberán construirse, protegerse y utilizarse de forma que se evite que las personas caigan o estén expuestas a caídas de objetos. A tal efecto, sus medidas se ajustarán al número de trabajadores que vayan a utilizarlos.

Los andamios deberán ser inspeccionados por una persona competente en los siguientes momentos:

- Antes de su puesta en servicio.
- A intervalos regulares en lo sucesivo.
- Después de cualquier modificación, período de no utilización, exposición a la intemperie, sacudidas sísmicas, o cualquier otra circunstancia que hubiera podido afectar a su resistencia o a su estabilidad.

Los andamios móviles deberán asegurarse contra los desplazamientos involuntarios.

Las escaleras de mano deberán cumplir las condiciones de diseño y utilización señaladas en el Real Decreto 486/1997, de 14 de Abril, por el que se establecen las disposiciones mínimas de seguridad y salud en los lugares de trabajo.

APARATOS ELEVADORES

Los aparatos elevadores y los accesorios de izado utilizados en las obras, deberán ajustarse a lo dispuesto en su normativa específica.

En todo caso, y a salvo de disposiciones específicas de la normativa citada, los aparatos elevadores y los accesorios de izado deberán satisfacer las condiciones que se señalan en los siguientes puntos de este apartado.

Los aparatos elevadores y los accesorios de izado, incluidos sus elementos constitutivos, sus elementos de fijación, anclajes y soportes, deberán:

- Ser de buen diseño y construcción y tener una resistencia suficiente para el uso al que estén destinados.
- Instalarse y utilizarse correctamente.
- Mantenerse en buen estado de funcionamiento.
- Ser manejados por trabajadores cualificados que hayan recibido una formación adecuada.

En los aparatos elevadores y en los accesorios de izado se deberá colocar, de manera visible, la indicación del valor de su carga máxima.

Los aparatos elevadores lo mismo que sus accesorios no podrán utilizarse para fines distintos de aquellos a los que estén destinados.

VEHÍCULOS Y MAQUINARIAS PARA MOVIMIENTO DE TIERRAS Y MANIPULACIÓN DE MATERIALES

Los vehículos y maquinaria para movimientos de tierras y manipulación de materiales deberán ajustarse a lo dispuesto en su normativa específica.



En todo caso, y a salvo de disposiciones específicas, los vehículos y maquinaria para movimientos de tierras y manipulación de materiales deberán satisfacer las condiciones que se señalan en los siguientes puntos de este apartado.

Todos los vehículos y toda maquinaria para movimientos de tierras y para manipulación de materiales deberán:

- Estar bien proyectados y contruidos, teniendo en cuenta, en la medida de lo posible, los principios de la ergonomía.
- Mantenerse en buen estado de funcionamiento.
- Utilizarse correctamente.

Los conductores y personal encargado de vehículos y maquinarias para movimientos de tierras y manipulación de materiales deberán recibir una formación especial.

Deberán adoptarse medidas preventivas para evitar que caigan en las excavaciones o en el agua vehículos o maquinarias para movimiento de tierras y manipulación de materiales. Cuando sea adecuado, las maquinarias para movimientos de tierras y manipulación de materiales deberán estar equipadas con estructuras concebidas para proteger al conductor contra el aplastamiento, en caso de vuelco de la máquina, y contra la caída de objetos.

INSTALACIONES, MÁQUINAS Y EQUIPOS

Las instalaciones, máquinas y equipos utilizados en las obras, deberán ajustarse a lo dispuesto en su normativa específica.

En todo caso, y a salvo de disposiciones específicas de la normativa citada, las instalaciones, máquinas y equipos deberán satisfacer las condiciones que se señalan en los siguientes puntos de este apartado.

Las instalaciones, máquinas y equipos, incluidas las herramientas manuales o sin motor, deberán:

- Estar bien proyectados y contruidos, teniendo en cuenta, en la medida de lo posible, los principios de la ergonomía.
- Mantenerse en buen estado de funcionamiento.
- Utilizarse exclusivamente para los trabajos que hayan sido diseñados.
- Ser manejados por trabajadores que hayan recibido una formación adecuada.

Las instalaciones y los aparatos a presión deberán ajustarse a lo dispuesto en su normativa específica.

MOVIMIENTOS DE TIERRAS, EXCAVACIONES, POZOS, TRABAJOS SUBTERRÁNEOS Y TÚNELES

Antes de comenzar los trabajos de movimientos de tierras, deberán tomarse medidas para localizar y reducir al mínimo los peligros debidos a cables subterráneos y demás sistemas de distribución.

En las excavaciones, pozos, trabajos subterráneos o túneles deberán tomarse las precauciones adecuadas:

- Para prevenir los riesgos de sepultamiento por desprendimiento de tierras, caídas de personas, tierras, materiales u objetos, mediante sistemas de entibación, blindaje, apeo, taludes u otras medidas adecuadas.
- Para prevenir la irrupción accidental de agua, mediante los sistemas o medidas adecuados.
- Para garantizar una ventilación suficiente en todos los lugares de trabajo de manera que se mantenga una atmósfera apta para la respiración que no sea peligrosa o nociva para la salud.
- Para permitir que los trabajadores puedan ponerse a salvo en caso de que se produzca un incendio o una irrupción de agua o la caída de materiales.

Deberán preverse vías seguras para entrar y salir de la excavación.

Las acumulaciones de tierras, escombros o materiales y los vehículos en movimiento deberán mantenerse alejados de las excavaciones o deberán tomarse las medidas adecuadas, en su caso mediante la construcción de barreras, para evitar su caída en las mismas o el derrumbamiento del terreno.

INSTALACIONES DE DISTRIBUCIÓN DE ENERGÍA

Deberán verificarse y mantenerse con regularidad las instalaciones de distribución de energía presentes en la obra, en particular las que estén sometidas a factores externos.

Las instalaciones existentes antes del comienzo de la obra deberán estar localizadas, verificadas y señalizadas claramente.

Cuando existan líneas de tendido eléctrico aéreas que puedan afectar a la seguridad en la obra será necesario desviarlas fuera del recinto de la obra o dejarlas sin tensión. Si esto no fuera posible, se colocarán barreras o avisos para que los vehículos y las instalaciones se mantengan alejados de las mismas. En caso de que vehículos de la obra tuvieran que circular bajo el tendido se utilizarán una señalización de advertencia y una protección de delimitación de altura.



ESTRUCTURAS METÁLICAS O DE HORMIGÓN, ENCOFRADOS Y PIEZAS PREFABRICADAS PESADAS

Las estructuras metálicas o de hormigón y sus elementos, los encofrados, las piezas prefabricadas pesadas o los soportes temporales y los apuntalamientos sólo se podrán montar o desmontar bajo vigilancia, control y dirección de una persona competente.

Los encofrados, los soportes temporales y los apuntalamientos deberán proyectarse, calcularse, montarse y mantenerse de manera que puedan soportar sin riesgo las cargas a que sean sometidos.

Deberán adoptarse las medidas necesarias para proteger a los trabajadores contra los peligros derivados de la fragilidad o inestabilidad temporal de la obra.

OTROS TRABAJOS ESPECÍFICOS

Los trabajos de derribo o demolición que puedan suponer un peligro para los trabajadores deberán estudiarse, planificarse y emprenderse bajo la supervisión de una persona competente y deberán realizarse adoptando las precauciones, métodos y procedimientos apropiados. En los trabajos en tejados deberán adoptarse las medidas de protección colectiva que sean necesarias, en atención a la altura, inclinación o posible carácter o estado resbaladizo, para evitar la caída de trabajadores, herramientas o materiales. Asimismo cuando haya que trabajar sobre o cerca de superficies frágiles, se deberán tomar las medidas preventivas adecuadas para evitar que los trabajadores las pisen inadvertidamente o caigan a través suyo.

4.4 PROTECCIONES INDIVIDUALES

Las protecciones individuales serán, como mínimo, las siguientes:

- Cascos de seguridad, no metálicos, clase N, aislante para baja tensión: para todas las personas que trabajen o visiten la obra.
- Guantes de uso general, de cuero y anticorte para manejo de material y objetos.
- Guantes de soldador.
- Guantes dieléctricos, para su utilización en baja tensión.
- Botas de agua, en trabajos con suelos enfangados o mojados y hormigonado.
- Botas de seguridad, de lona.
- Botas de seguridad, de cuero con protecciones metálicas para todo el personal que maneje cargas pesadas.
- Monos y buzos de colores vivos: se tendrán en cuenta las reposiciones a lo largo de la obra, según convenio colectivo provincial.
- Trajes de agua, muy especialmente en los trabajos que no puedan suspenderse con la meteorología adversa, en color amarillo vivo.

- Mascarillas antipolvo y filtro para mascarillas.
- Gafas contra impactos y antipolvo en todas las operaciones que puedan producirse desprendimiento de partículas.
- Gafas para oxicorte.
- Protectores auditivos.
- Pantalla de soldador.
- Polainas de soldador.
- Mandil de soldador.
- Manguitos de soldador.
- Cinturones de seguridad de sujeción.
- Cinturones de seguridad anticaída, clase A, tipo 2, para trabajos en niveles superiores al suelo o con riesgo de caída al agua.
- Cinturón antivibratorio.
- Chalecos reflectantes.

4.5 PROTECCIONES COLECTIVAS

SEÑALIZACIÓN GENERAL

Se dispondrán, como mínimo, las siguientes señales:

- Señales de tráfico y de STOP en salida de vehículos.
- Señalización reglamentaria de advertencia al tráfico según la norma 8.3- I.C., en todos los cruces y desvíos.
- Carteles de obligatorio uso de casco, cinturón de seguridad, gafas, mascarilla, protectores auditivos, botas y guantes, etc.
- Señales de entrada y salida de vehículos.
- Carteles de prohibido el paso a toda persona ajena a la obra, prohibido encender fuego, prohibido aparcar, etc.
- Señal informativa de localización de botiquín, extintores, etc.
- Balizas luminosas intermitentes.
- Cintas de balizamiento.
- Jalones de señalización.
- Vallas metálicas en delimitación y protección de pasos de personas.
- Vallas de desvío de tráfico, normalizados.

INSTALACIÓN ELÉCTRICA

- Conductor de protección y pica o placa de puesta a tierra.



- Pórticos protectores de líneas eléctricas.
- Interruptores diferenciales de 30 miliamperios de sensibilidad para alumbrado y de 300 miliamperios para fuerza.
- El centro de la estrella de los generadores de los grupos electrógenos se pondrá a tierra.
- Cada una de las máquinas eléctricas dispondrá de una toma de tierra.

DESBROCE Y EXPLANACIÓN

- Avisador acústico en máquinas.
- Riesgos para evitar el polvo.
- Topes de retroceso de vehículos en terraplenes.

EXCAVACIÓN Y VACIADOS

- Barandillas de protección
- El acceso del personal al trabajo se realizará por zonas independientes de las de acceso de los vehículos
- Señalización mediante cinta de balizamiento reflectante y señales indicativas de riesgo de caídas a distinto nivel
- Topes de retroceso de vehículos
- Vallas de contención en borde de vaciados

ESTRUCTURAS

- Redes horizontales en vanos.
- Barandillas en bordes de tableros.
- Cables de anclaje de cinturones.
- Pasarelas de acceso con barandilla.

PROTECCIONES CONTRA INCENDIOS

- Se emplearán extintores portátiles del tipo y marca homologados según CPI/91.

PICADURAS

- El personal irá equipado con botas de seguridad y guantes resistentes para evitar la picadura de reptiles.
- En el botiquín de obra se dispondrá de suero antídoto para una eventual picadura.

ATROPELLOS POR MÁQUINAS Y VEHÍCULOS

- Todas las máquinas y camiones dispondrán de claxon de marcha atrás.

- Se señalizarán los tajos con carteles advirtiendo del peligro de atropello por maquinaria pesada.
- Las máquinas giratorias, retroexcavadoras, grúas, etc., llevarán carteles prohibiendo permanecer bajo el radio de acción de las máquinas.
- En los cruces de carreteras, las zonas de trabajo se señalizarán con balizas intermitentes.
- Asimismo, se señalizarán adecuadamente los desvíos y trabajos que se ejecuten en la calzada.
- El personal que trabaje en enlaces o cruces, y en general todo aquel que desarrolle sus actividades en las proximidades de una carretera con tráfico usará chaleco reflectante.

COLISIONES Y VUELCOS DE MAQUINARIA Y VEHÍCULOS

- Las picas, cruces e incorporaciones a vías públicas, se señalizarán según la normativa vigente.
- Los bordes de pistas se balizarán adecuadamente.

CAÍDAS A DISTINTO NIVEL

- Se utilizarán escaleras de mano para el acceso a encofrados, muros, etc.
- Las excavaciones serán valladas y balizadas.
- Para el cruce de zanjas se dispondrán pasarelas.

CAÍDAS DE OBJETOS

- Todo el personal utilizará casco.
- Cuando trabaje en altura y pueda haber o pasar trabajadores por planos inferiores, se acotará una zona a nivel del suelo.
- Los acopios de tubos estarán perfectamente calzados para que no puedan rodar.
- En los trabajos con grúas, especialmente si son frecuentes, se colocarán carteles prohibiendo la permanencia bajo cargas suspendidas.
- Todas las plataformas de trabajo y bordes de estructuras llevarán barandilla y rodapié.

GOLPES Y ATRAPAMIENTOS

- Todas las instalaciones y máquinas fijas llevarán sus transmisiones protegidas.
- Los ganchos que se utilicen para la elevación de cargas, llevarán siempre pestillo de seguridad.
- Se utilizarán guantes apropiados para el manejo de materiales de pequeñas dimensiones y peso.
- Si los materiales a manejar son de mayores dimensiones, se utilizarán cuerdas auxiliares, y en cualquier caso botas de seguridad.



MEDIOS AUXILIARES

- Se usarán escaleras de mano en las que los peldaños irán soldados (si son metálicas), o ensamblados (si son de madera).
- Irán provistas de zapatas antideslizantes que se apoyarán sobre superficies planas y se anclarán en su extremo superior.
- Los ascensos y descensos se harán siempre de frente a las escaleras.

4.6 MEDIDAS PREVENTIVAS ESPECÍFICAS

- En todo momento se mantendrán las zonas limpias y ordenadas.
- Los caminos de acceso de vehículos al área de trabajo serán independientes de los accesos del personal. Cuando necesariamente los accesos hayan de ser comunes se delimitarán los de peatones por medio de vallas, aceras o medios equivalentes.
- Se señalizarán oportunamente los accesos y recorridos de vehículos.
- Se regarán con la frecuencia necesaria las áreas en que los trabajos puedan producir polvaredas.
- Los materiales extraídos de zanjas se acopiarán alejados de estas o se dispondrán barandillas que impidan su caída al interior.

4.7 FORMACIÓN E INFORMACIÓN AL PERSONAL DE OBRA

La Ley de Prevención de Riesgos Laborales, que tiene por objetivo global la protección de la salud de los trabajadores, en su Art. 2, referente al objeto y carácter de la norma, enuncia que: “Esta Ley establece los principios generales relativos a la prevención de los riesgos profesionales para la protección de la seguridad y la salud, la eliminación o disminución de los riesgos derivados del trabajo, la información, la consulta, la participación equilibrada y la formación de los trabajadores en materia preventiva [...]” .

En el Art. 14 de la citada Ley se establece que los trabajadores tienen : “derechos de información , consulta participación y formación en materia preventiva [...]” y del mismo modo el Art. 19 insta al empresario a “garantizar que cada trabajador recibe una formación teórica y práctica suficiente y adecuada en materia preventiva, tanto en el momento de su contratación [...] como cuando se produzcan cambios en las funciones que desempeñe o se introduzcan nuevas tecnologías o cambios en los equipos de trabajo”.

La importancia del cumplimiento de los derechos y obligaciones expuestas se refleja en el Art. 47, donde se define como infracción grave “el incumplimiento de las obligaciones en materia de formación e información suficiente y adecuado a los trabajadores [...]”.

DERECHO A LA INFORMACIÓN

De conformidad con el artículo 18 de la Ley de Prevención de Riesgos Laborales, los contratistas y subcontratistas deberán garantizar que los trabajadores reciban una información adecuada de todas las medidas que hayan de adoptarse en lo que se refiere a su seguridad y su salud en la obra.

La información deberá ser comprensible para los trabajadores afectados.

DERECHO DE CONSULTA I PARTICIPACIÓN DE LOS TRABAJADORES

La consulta y participación de los trabajadores o sus representantes se realizarán, de conformidad con lo dispuesto en el apartado 2 del artículo 18 de la Ley de Prevención de Riesgos Laborales, sobre las cuestiones a las que se refiere el Real Decreto 1627/97

Cuando sea necesario, teniendo en cuenta el nivel de riesgo y la importancia de la obra, la consulta y participación de los trabajadores o sus representantes en las empresas que ejerzan sus actividades en el lugar de trabajo deberá desarrollarse con la adecuada coordinación de conformidad con el apartado 3 del artículo 39 de la Ley de Prevención de Riesgos Laborales.

Una copia del plan de seguridad y salud y de sus posibles modificaciones, en los términos previstos en el apartado 4 del artículo 7 del RD 1627/97, a efectos de su conocimiento y seguimiento, será facilitada por el contratista a los representantes de los trabajadores en el centro de trabajo.

DERECHO A LA FORMACIÓN EN SEGURIDAD Y SALUD

El RD 1627/97 en materia de Formación en Seguridad y Salud se limita a constatar como una de las obligaciones del contratista y el subcontratista la de informar y proporcionar las instrucciones adecuadas a los trabajadores autónomos sobre todas las medidas que hayan de adoptarse en lo que se refiere a seguridad y salud en la obra.

Una correcta gestión de la formación en prevención requiere:

- Un análisis de las necesidades que tenga en cuenta: los requisitos normativos a cumplir, los conocimientos reales de los trabajadores afectados y la correcta valoración de actitudes y aptitudes preventivas de los referidos trabajadores.
- Los objetivos a conseguir deben responder no sólo al cumplimiento íntegro de los requisitos reglamentarios, sino también a que las acciones formativas aseguren una real mejora continua preventiva de la organización para la preservación de la seguridad y salud de todos sus trabajadores. Para ello, aparte de los objetivos cognoscitivos, se plantearán fundamentalmente objetivos actitudinales referentes a la creación de actitud positiva frente a la prevención, el estímulo del sincero interés por el tema y el hacer de la prevención un auténtico valor cultural organizativo para el trabajador. En los puestos de trabajo de actividad manual, se plantearán



objetivos psicomotores que aseguren un correcto desempeño práctico de las tareas. Estos objetivos se alcanzarán con métodos demostrativos.

- La acción formativa se diseñará a la medida de los asistentes, analizando muy especialmente la constitución de los grupos. Se tendrá presente la diferente cultura preventiva existente en función de edad, sexo, sector productivo, formación básica y complementaria, etc.

Respecto a los métodos a usar, se recomienda el método “por descubrimiento” para que sea el trabajador-alumno por sí mismo quien encuentre la respuesta más adecuada a su problema o situación. El efecto de la formación será así mucho más duradero por conseguir una muy superior implicación del interesado. En las metodologías presenciales se emplearán siempre que sea posible los diálogos simultáneos y la reunión-discusión “cooperativa”, por su eficacia demostrada en cuanto a conseguir que el trabajador- alumno haga propios los conocimientos adquiridos, cuestión realmente importante en formación para la prevención. Se fomentará también la formación en el puesto de trabajo.

Finalmente, se recomienda que en la fase de evaluación se analice el grado en que lo aprendido se aplica en el puesto de trabajo, haciendo un seguimiento de los índices estadísticos de siniestralidad como indicadores inequívocos de eficacia de la acción formativa en prevención realizada.

4.8 MEDICINA PREVENTIVA Y PRIMEROS AUXILIOS

BOTIQUÍN

Se dispondrá de un botiquín debidamente dotado para dar las prestaciones necesarias en caso de accidente.

ASISTENCIA A ACCIDENTES

Se deberá informar al personal de la obra del emplazamiento de los diferentes centros médicos (servicios propios, Mutuas Patronales, etc.), donde deben ser trasladados los accidentados para su más rápido y efectivo tratamiento. En lugares bien visibles de la obra, tales como la oficina de obra y en el vestuario se dispondrá de una lista con los teléfonos y direcciones de los centros asignados para urgencias, ambulancias, etc., para garantizar un rápido transporte de los posibles accidentados a los centros de asistencia. Se indicará, que cuando se decida la evacuación o traslado del accidentado a un centro hospitalario, deberá advertirse telefónicamente al centro de la inminente llegada de éste.

RECONOCIMIENTO MÉDICO

Todo el personal que se incorpore a la obra pasará un reconocimiento médico previo al trabajo y que será repetido transcurrido un año.

4.9 PREVENCIÓN DE RIESGOS A TERCEROS

Para evitar posibles accidentes de terceros, se colocarán las oportunas señales de advertencia de salida de camiones y de limitación de velocidad, a las distancias reglamentarias y en cuantos lugares sea necesario.

Se señalarán los accesos naturales a la obra, prohibiéndose el paso a toda persona ajena a la misma, colocándose en su caso los cerramientos necesarios.

5. APLICACIÓN DE LA SEGURIDAD EN EL PROCESO CONSTRUCTIVO

5.1 GENERALES

En excavaciones y movimientos de tierras

RIESGOS

- Atropellos por máquinas y vehículos.
- Deslizamientos de tierras y rocas.
- Colisiones y vuelcos.
- Caídas de personal al mismo o a distinto nivel.
- Caídas de personal o maquinaria al agua.
- Interferencias con líneas eléctricas aéreas o subterráneas.
- Polvo.
- Ruido.
- Riesgos a terceros.

MEDIDAS PREVENTIVAS

- Se informará al personal de los riesgos a los que puede estar sometido.
- El acceso o salida de una zanja se efectuará mediante escalera sólida anclada en el borde superior y apoyada sobre durmiente de reparto de cargas. Sobrepasando ésta 1 metro el borde de la zanja.
- Se han de utilizar testigos que indiquen cualquier movimiento del terreno que suponga la existencia de un peligro.
- Quedan prohibidos los acopios a una distancia inferior a 2 metros del borde de la zanja.
- Durante la carga de los camiones los conductores permanecerán dentro de la cabina.
- Cuando la profundidad de una zanja sea igual o superior a 1.5 metros, se entibará o excavará a talud natural.



- Cuando la profundidad de una zanja sea igual o superior a 2 metros se protegerán los bordes de coronación mediante una barandilla reglamentaria situada a una distancia mínima de 2 metros del borde.
- Si la profundidad es inferior a 2 metros puede sustituirse por una señalización de peligro del tipo, balizamiento con cordón de banderolas o cinta con franjas rojas y blancas.
- Si los trabajos requieren iluminación se efectuará mediante torretas aisladas con toma de tierra.
- Si se requiere iluminación portátil, la alimentación de las lámparas se efectuará a 24 V. (mediante transformador de seguridad). Los portátiles estarán provistos de rejilla protectora y de carcasa- mango aislada eléctricamente.
- En régimen de lluvias y encharcamientos de las zanjas es imprescindible la revisión minuciosa y detallada de taludes y entibado, antes de reanudar los trabajos.
- Los trabajos a realizar en los bordes de las zanjas con taludes no estables, se ejecutarán sujetos con cinturón de seguridad amarrado a puntos fuertes ubicados en el exterior de las zanjas.
- Se achicarán inmediatamente las aguas que afloran o caen en el interior de las zanjas para evitar que se altere la estabilidad de los taludes.
- La altura máxima sin entibar en fondo de zanjas, a partir de 1.4 metros, no superará los 0.7 metros si el terreno es bueno. En caso contrario se debe entibar hasta el fondo de la zanja.
- Se empezará a entibar una vez que haya abierta una longitud de zanja suficiente para no entorpecerse entre operarios y las excavadoras.
- Las anchuras mínimas de las zanjas serán:
 - 0,65 m hasta 1,5 m de profundidad.
 - 0,70 m hasta 2 m de profundidad.
 - 0,80 m hasta 3 m de profundidad.
 - 1 m para más de 4 m de profundidad.
- En entibado de zanjas de cierta profundidad, el forrado se hará en sentido vertical y en pases de tabla nunca superior a 1 metro.
- La tablazón del revestimiento de la zanja debe sobresalir un rodapié de 15 cm, (mínimo), con el fin de evitar la caída de materiales.
- La circulación de vehículos se realizará a una distancia mínima del borde de la excavación de 2 metros si el corte es taluzado, y 3 metros si es vertical.
- Se regarán periódicamente los caminos usados por la maquinaria para evitar la polvareda.
- En los casos que haya que trabajar con maquinaria a pasar por debajo de líneas eléctricas aéreas, se instalarán pórticos de gálibo. La altura libre que ha de quedar entre el conductor más próximo, y la parte más elevada de la máquina será de 3 metros para líneas de hasta 50 Kv y de 5 metros para más de 50 Kv.

- Toda la maquinaria llevará bocina de marcha atrás.
- No se permitirá el acceso del personal a la zona de influencia de la maquinaria móvil
- No apilar materiales en zona de tránsito de vehículos, manteniendo la vía libre.
- La zona de tránsito de camiones y maquinaria estará perfectamente señalizada, de forma que toda persona tenga idea del movimiento de los mismos.

En redes de alumbrado

RIESGOS

- Desprendimientos.
- Caídas al mismo o a distinto nivel.
- Caída de objetos desde altura.
- Golpes
- Atropellos por maquinaria o vehículos.
- Atrapamiento por maquinaria.
- Sobreesfuerzos por posturas obligadas.
- Polvo
- Ruido
- Proyección de partículas.
- Incendio.
- Electrocutación.

MEDIDAS PREVENTIVAS

- Los tubos se apilarán sobre durmientes de madera, en un receptáculo delimitado por pies derechos que impidan deslizamientos o rodamientos.
- Se prohíbe el acceso a las arquetas a toda persona ajena a la obra.
- Las herramientas a utilizar por los electricistas instaladores estarán protegidas con material aislante.
- Para evitar la conexión accidental a la red de la instalación eléctrica se guardarán los mecanismos de conexión con la acometida.
- Las pruebas de funcionamiento serán anunciadas al personal de la obra.



5.2 ESTRUCTURAS

En cimentaciones

RIESGOS

- Atropellos con maquinaria.
- Caída de material desde la maquinaria.
- Caídas a distinto nivel.
- Cortes con armaduras.

MEDIDAS PREVENTIVAS

- Limitación del campo de operación de la maquinaria.
- Protección y señalización de las excavaciones, con barandillas y elementos de señalización.
- Señalización de la zona de trabajo de la maquinaria.

Trabajos de encofrado y desencofrado

RIESGOS

- Caídas de encofrado.
- Cortes al utilizar la sierra de mano.
- Desprendimientos por el apilamiento de la madera o de los tableros de encofrado.
- Golpes en las manos, al clavar las puntas.
- Vuelco o caída de los materiales de encofrado durante la elevación.

MEDIDAS PREVENTIVAS

- Antes de proceder al hormigonado se comprobará la estabilidad del conjunto, (encofrado más armadura).
- Cuando se utilicen puntales de madera, éstos deben ser de una sola pieza.
- El ascenso y descenso del personal a los encofrados se hará por medio de escaleras reglamentarias.
- La máquina de cortar madera llevará la protección del disco y el cuchillo divisor y no se quitará bajo ningún concepto.
- Los clavos existentes en la madera ya usada, se sacarán o se remacharán inmediatamente después de haber desencofrado.
- Los puntales metálicos deformados se quitarán del uso sin intentar enderezarlos para volverlos a utilizar.

- Los tableros de encofrado para muros, aletas, etc. dispondrán de plataforma de trabajo con barandillas.
- Para andar por encima de las parrillas de la ferralla se instalarán pasarelas de 60 cm. de ancho formada por tablonos.
- Para sustentar el tablero de encofrado se utilizarán puntales hasta una altura máxima de 3 m. A partir de los 3 m. se utilizarán cimbras.
- Se instalarán barandillas reglamentarias en los frentes de las losas horizontales, para impedir la caída al vacío de las personas, y si no fuera factible la instalación de barandillas se dispondrán cables para el amarre de los cinturones de seguridad.
- Todas las máquinas accionadas eléctricamente, tendrán su correspondiente protección a tierra e interruptores diferenciales.

Ferralla

RIESGOS

- Accidentes por eventual rotura de los hierros
- Atrapamientos en operaciones de carga y descarga
- Caídas a distinto nivel
- Desprendimientos de los paquetes de ferralla elaborada al izarla con grúa
- Heridas y cortes
- Tropiezos y torceduras entre las parrillas

MEDIDAS PREVENTIVAS

- Durante la elevación de los paquetes de ferralla elaborada, se evitará que estos pasen por encima del personal.
- El izado de los paquetes de armaduras se hará suspendiendo la carga en dos puntos separados lo suficiente para que la carga permanezca estable, y siempre evitando la permanencia o paso de personas bajo cargas suspendidas.
- Para andar por encima de las parrillas de la ferralla se instalarán pasarelas de 60 cm. de ancho formadas por tablonos.
- Se mantendrá el orden y la limpieza durante la ejecución de los trabajos.
- Se prohíbe trepar por las armaduras.



En hormigonado

RIESGOS

- Atrapamientos por maquinaria
- Atropellos por maquinaria
- Caídas a distinto nivel
- Caídas de objetos
- Erosiones y contusiones en manipulación
- Golpes contra objetos
- Heridas por máquinas cortadoras
- Heridas punzantes en pies y manos
- Salpicaduras de hormigón en los ojos

MEDIDAS PREVENTIVAS

- Antes de proceder al hormigonado se comprobará la estabilidad del conjunto (encofrado más armadura).
- Cuando no se puedan montar barandillas o redes de protección, se instalará un cable de seguridad amarrado a puntos sólidos en el que enganchar el mosquetón del cinturón de seguridad.
- Cuando se hormigone con bomba pilas o elementos verticales, se ejecutará gobernando la manguera desde castilletes de hormigonado.
- El ascenso y descenso a encofrados se realizará con escaleras de mano reglamentarias.
- Los vibradores (si son eléctricos) estarán provistos de toma de tierra.
- Para andar por encima de las parrillas de la ferralla se instalarán pasarelas de 60 cm. de ancho formadas por tablonos.
- Para el hormigonado de pilas, pilares, muros o alzados de más de 2 m. de altura, se dispondrá de plataforma de hormigonado con barandilla reglamentaria.
- Para el montaje de vigas en puentes, se dispondrá de red horizontal para evitar caídas desde altura o cable de seguridad para amarrar el cinturón de seguridad.
- Se balizarán con banda de colores rojo y blanco los taludes de las excavaciones de las estructuras y O.F.
- Se habilitarán caminos de acceso seguros para el tránsito de grúas, camiones hormigonera, etc.
- Se instalarán barandillas reglamentarias en los frentes de las losas horizontales, para impedir la caída al vacío de las personas.
- Se instalarán topes de final de recorrido a los camiones hormigonera, en evitación de vuelco por los taludes de las excavaciones de las cimentaciones.

- Se mantendrá el orden y la limpieza durante la ejecución de los trabajos.
- Se pondrán redes bajo las estructuras en evitación de caídas de objetos o personas.
- Se prestará especial cuidado en no golpear con el cubilote los encofrados.
- Se prohíbe acercar las ruedas de los camiones hormigonera a menos de 2 m. del borde de excavación.
- Se prohibirá trabajar en lugares de tránsito de piezas, vigas prefabricadas ó cualquier tipo de carga suspendida.
- Si se hormigona con cubilote, se le prohibirá al gruista que lo desplace por encima de los trabajadores.

En la estructura metálica

RIESGOS

- Atrapamientos por maquinaria
- Atropellos por maquinaria
- Caídas a distinto nivel y al agua
- Caídas de objetos
- Erosiones y contusiones en manipulación
- Golpes contra objetos
- Heridas por máquinas cortadoras
- Heridas punzantes en pies y manos

MEDIDAS PREVENTIVAS

- Cuando no se puedan montar barandillas o redes de protección, se instalará un cable de seguridad amarrado a puntos sólidos en el que enganchar el mosquetón del cinturón de seguridad.
- El ascenso y descenso a castilletes y piezas se realizará con escaleras de mano reglamentarias.
- Para andar por encima de tablero y piezas se instalarán pasarelas de 60 cm. de ancho formadas por tablonos.
- Para el hormigonado de pilas, pilares, muros o alzados de más de 2 m. de altura, se dispondrá de plataforma de hormigonado con barandilla reglamentaria.
- Para el montaje de piezas, se dispondrá de red horizontal para evitar caídas desde altura o cable de seguridad para amarrar el cinturón de seguridad.
- Se habilitarán caminos de acceso seguros para el tránsito de grúas, camiones hormigonera, etc.
- Se instalarán barandillas reglamentarias en los frentes de las losas horizontales, para impedir la caída al vacío de las personas.



- Se instalarán topes de final de recorrido a los camiones, en evitación de vuelcos por los taludes de las excavaciones de las cimentaciones.
- Se mantendrá el orden y la limpieza durante la ejecución de los trabajos.
- Se pondrán redes bajo las estructuras en evitación de caídas de objetos o personas.
- Se prohibirá trabajar en lugares de tránsito de piezas, vigas prefabricadas o cualquier tipo de carga suspendida.

Colocación y montaje de la estructura metálica

RIESGOS

- Atrapamientos
- Caídas al mismo y a distinto nivel
- Desprendimiento de elementos durante su izado
- Rotura de la eslinga o gancho de sujeción
- Sobre esfuerzo

MEDIDAS PREVENTIVAS

- Antes de iniciar la maniobra de elevación del tubo se le ordenará a los trabajadores que retiren lo suficiente como para no ser alcanzados en el caso de que se cayese por algún motivo el tubo.
- Deberán paralizarse los trabajos de montaje bajo regímenes de vientos superiores a 60km/hora.
- En gancho de la grúa ha de tener pestillo de seguridad.
- La eslinga, gancho o balancín empleado para elevar y colocar los elementos estructurales, estarán en perfectas condiciones y serán capaces de soportar los esfuerzos a los que estará sometido.
- Se prohibirá a los trabajadores permanecer bajo cargas suspendidas o bajo el radio de acción de la pluma de la grúa cuando ésta va cargada con el tubo.

En la colocación de la barandilla y las luminarias

RIESGOS

- Caídas a distinto nivel
- Cortes con herramientas
- Golpes

MEDIDAS PREVENTIVAS

- Se tendrá especial cuidado en el manejo de las herramientas.
- Se ejecutarán los trabajos sujetos con cinturón de seguridad.

En la realización del camino de acceso peatonal

RIESGOS

- Atropellos por maquinaria y vehículos
- Colisiones y vuelcos
- Interferencias con líneas de alta tensión
- Polvo
- Ruido

MEDIDAS PREVENTIVAS

- No se permitirá la permanencia sobre la extendidora en marcha a otra persona que no sea su conductor, para evitar riesgos de caída.
- Se señalizará convenientemente la zona de obras de extendido y compactación, prohibiendo el paso a personas ajenas, en evitación de riesgos de atropello.
- Se tendrá especial cuidado con la maquinaria de compactación, en prevención de accidentes a Terceros.

5.3 MEDIOS AUXILIARES

Andamios sobre borriquetas

RIESGOS

- Caídas a distinto nivel.
- Los derivados del uso de tablonos y madera de pequeña sección o en mal estado (roturas, fallos, cimbreos, etc.).

MEDIDAS PREVENTIVAS

- Las borriquetas siempre se montarán niveladas, para evitar riesgos por trabajos sobre superficies inclinadas.
- Las borriquetas de madera, estarán sanas, perfectamente encoladas y sin oscilaciones, deformaciones o roturas, para eliminar los riesgos por fallo, rotura espontánea o cimbreo.
- Las plataformas de trabajo se anclarán perfectamente a las borriquetas, en evitación de balanceos y otros movimientos indeseables.



- Las plataformas de trabajo no sobresaldrán por los laterales de las borriquetas más de 40 cm. Para evitar el riesgo de vuelco por basculamiento.
- Las borriquetas no estarán separadas "a ejes" entre sí más de 2,50 m. para evitar grandes flechas.
- Los andamios se formarán sobre un mínimo de dos borriquetas. Se prohíbe expresamente, la sustitución de éstas (o alguna de ellas), por otros elementos como bidones, pilas de material, etc.
- Las borriquetas con sistema de apertura de tijera estarán dotadas de cadena limitadora.
- Las plataformas de trabajo sobre borriquetas, tendrán una anchura mínima de 60 cm. (3 tablonces trabados entre sí), y el grosor del tablón será como mínimo de 7 cm.

Andamios metálicos tubulares

RIESGOS

- Caída de objetos
- Caídas a distinto nivel
- Los inherentes a los trabajos específicos que se realicen sobre ellos.
- Sobreesfuerzos

MEDIDAS PREVENTIVAS

- Durante el montaje de los andamios metálicos tubulares se tendrán presentes las siguientes especificaciones preventivas:
- La comunicación vertical del andamio tubular quedará resuelta mediante la utilización de escaleras prefabricadas (elemento auxiliar del propio andamio).
- La seguridad alcanzada en el nivel de partida ya consolidado será tal, que ofrecerá las garantías necesarias como para poder amarrar a él cinturón de seguridad.
- Las plataformas de trabajo cuando superen los 2 m. de altura, estarán rodeadas por una barandilla de 90 cm. de altura.
- Las plataformas de trabajo se fijarán inmediatamente tras su formación, mediante las abrazaderas de sujeción contra basculamientos.
- Las plataformas de trabajo tendrán un mínimo de 60 cm. de anchura.
- Las uniones entre tubos se efectuarán mediante los nudos o bien mediante las mordazas y pasadores previstos, según los modelos comercializados.
- Los andamios se montarán a una distancia igual o inferior a 30 cm. Del paramento vertical en el que se trabaja.
- Los andamios tubulares sobre módulos con escalerilla lateral, se montarán con ésta hacia la cara exterior, es decir, hacia la cara en la que no se trabaja.

- Los módulos de base de diseño especial para el paso de peatones, se complementarán con entablados y viseras seguras, en prevención de caída de objetos a terceros.
- Los módulos de base de los andamios tubulares, se apoyarán sobre tablonces de reparto de cargas en las zonas de apoyo directo sobre el terreno.
- No se iniciará un nuevo nivel sin antes haber concluido el nivel de partida con todos sus elementos de estabilidad (cruces de San Andrés y arriostramiento).
- Se prohibirá expresamente el apoyo de los andamios sobre suplementos formados por bidones, pilas de materiales, torretas de madera, etc.
- Se prohibirá expresamente el montaje de andamios sobre borriquetas, sobre la plataforma de trabajo de los andamios tubulares.
- Los andamios se arriostarán a los paramentos verticales.

Guindola o "cesta del soldador"

RIESGOS

- Caídas a distinto nivel (maniobra de entrada y salida)
- Desplome de la plataforma
- Los desviados de los trabajos de soldadura

MEDIDAS PREVENTIVAS

- El acceso a las guindolas se efectuará a través de escaleras de mano provistas de uñas o ganchos de cuelgue en cabeza.
- El pavimento será en chapa antideslizante.
- Las dimensiones mínimas del prisma o cesta serán de 50x50x100 cm.
- Los cuelgues se efectuarán por enganche doble de tal forma que quede asegurada la estabilidad de la guindola en caso de fallo del alguno de éstos.
- Los elementos de colgar no permitirán balanceos.
- Se construirán en tubo de sección cuadrada y chapa de hierro dulce.
- Se prohibirá el acceso a la guindola encaramándose por los pilares o asimilables.

Instalaciones eléctricas de obra

RIESGOS

- Caídas al mismo o distinto nivel
- Electrocutación o quemaduras



MEDIDAS PREVENTIVAS

- Durante el montaje de la instalación se tomarán las medidas necesarias para impedir que nadie pueda conectar la instalación a la red.
- Se tendrán en perfectas condiciones los fusibles, terminales, diferenciales, puesta a tierra, mangueras, cuadros y grupos electrógenos.
- Los mangos de las herramientas manuales, estarán protegidos con materiales dieléctricos.
- Todo el personal que manipule conductores y aparatos accionados por electricidad, estará dotado de guantes aislantes y calzado de goma.
- Las secciones de mangueras y empalmes serán las adecuadas para la carga que han de soportar.
- Las mangueras irán enterradas bajo tubo o aéreas, nunca podrán quedar tiradas por el suelo.
- Cuando haya que hacer un empalme de manguera, éste se realizará en cajas estancas o con empalmes antihumedad.

6. NORMAS DE COMPORTAMIENTO

6.1 PUESTOS DE TRABAJO

ELECTRICIDAD

- Hacer siempre la desconexión de máquinas eléctricas por medio de interruptor correspondiente, nunca en el enchufe.
- No conectar ningún aparato introduciendo los cables pelados en el enchufe.
- No desenchufar nunca tirando del cable.
- Antes de accionar un interruptor, estar seguro de que corresponde a la máquina que interesa y que junto a ella no hay nadie.
- Cuidar de que los cables no se deterioren al estar sobre aristas o ser pisados o sufrir impactos de objetos.

ALBAÑILES

- Al confeccionar protecciones o plataformas de trabajo de madera, elegir siempre la mejor entre las disponibles.
- Al trabajar en andamio colgado, amarrar el cinturón de seguridad a la cuerda auxiliar.
- Las máquinas eléctricas se conectarán al cuadro con un terminal clavija macho.
- No hacer acopios ni concentrar cargas en bordes de forjados y menos en voladizos.
- No sobrecargar las plataformas sobre las que se trabaja.

- No utilizar elementos extraños (bidones, bovedillas, etc.) como plataformas de trabajo o para la confección de andamios.
- Prohibido enchufar los cables pelados.
- Si se utilizan prolongadores para portátiles, se desconectarán siempre del cuadro, no del enchufe intermedio.
- Utilizar un cinturón de seguridad cuando el trabajo se realice en cubiertas, fachadas, terrazas, sobre plataformas de trabajo o cualquier otro punto desde donde pueda producirse una caída de altura.

ENCOFRADORES

- Revisar el estado de las herramientas y medios auxiliares que utilice, separando o desechando los que no reúnan las condiciones adecuadas.
- Desechar los materiales en mal estado.
- Sujetar el cinturón de seguridad a algún punto adecuado cuando trabaje en altura o en la orilla del agua.
- Desencofrar los elementos verticales desde arriba hacia abajo.
- No dejar nunca clavos en la madera, salvo que no haya riesgo de daño al personal.
- Asegurarse de que todos los elementos de encofrado están firmemente sujetos antes de abandonar el trabajo.

SOLDADORES

- En caso de trabajos en recintos confinados, tomar las medidas necesarias para que los humos desprendidos no le afecten.
- No realizar soldaduras en las proximidades de materiales inflamables o combustibles o protegerlos de forma adecuada.
- Conectar la masa lo más cerca posible del punto de soldadura.
- Extremar las precauciones, en cuanto a los humos desprendidos, al soldar materiales pintados, cadmiados, etc.
- No efectuar soldaduras sobre recipientes que hayan contenido productos combustibles.
- Evitar contactos con elementos conductores que puedan estar bajo tensión aunque se trate de la pinza, puede causar electrocución.
- No se usarán lentes de contacto para la realización de soldaduras pues el arco eléctrico la dañaría y podría dañarse la vista del soldador.

TRABAJOS EN ALTURA

- Poner en conocimiento del superior cualquier antecedente de vértigo o miedo a las alturas.
- Es obligatorio el uso de cinturón de seguridad.



- El acceso a los puestos de trabajo, debe hacerse por los lugares previstos. Prohibido trepar por tubos, tabloneros, etc.
- Antes de iniciar el trabajo en altura comprobar que no hay nadie trabajando ni por encima ni por debajo en la misma vertical.
- Si por necesidades del trabajo, hay que retirar momentáneamente alguna protección colectiva, debe reponerse antes de ausentarse del trabajo.
- Está prohibido arrojar materiales o herramientas desde altura.
- Cuando se trabaje en altura, las herramientas deben llevarse en bolsas adecuadas que impidan su caída y permitan usar las dos manos en los desplazamientos.

SOLDADURA ELÉCTRICA

- Se separarán las zonas de trabajo.
- En caso de incendio, no se usará agua para extinguirlo.
- Los cuadros eléctricos estarán cerrados y con sus protecciones puestas.
- Nunca se soldará en exteriores con lluvia o nieve.
- Se inspeccionará el equipo periódicamente.
- Se evitará el contacto de los cables con las chispas producidas.
- Los soldadores irán equipados con guantes, manguitos, mandiles, polainas, botas, caretas, etc.
- En puestos de trabajo fijos se colocarán pantallas para proteger a los demás trabajadores.
- La pinza porta-electrodos debe ser de un modelo completamente protegido.
- En locales cerrados debe disponerse una ventilación adecuada.
- El cable de masa deberá ser de longitud suficiente para poder realizar la soldadura sin conexiones a base de redondos, chapas, etc.

FERRALLA

- No se empleará el acero corrugado para hacer útiles de trabajo o elementos auxiliares. Su única utilización será como armadura del hormigón.
- Se evitará la caída de piezas o herramientas a niveles inferiores.
- Se evitarán los impactos de piezas y ferralla con elementos eléctricos.
- Si se realizan trabajos con riesgo de caída se usará el cinturón de seguridad.

6.2 MAQUINARIA DE OBRA

MAQUINARIA EN GENERAL

- Cuando trabaje con riesgo de caída desde altura o al agua el operario irá equipado con cinto de seguridad.

CAMIÓN BASCULANTE

- Hacer sonar el claxon inmediatamente antes de iniciar la marcha.
- Comprobar los frenos tras un lavado o de haber atravesado zonas de agua.
- No circular por el borde de taludes.
- No circular nunca en punto muerto.
- No circular con la caja levantada.
- No revisar la máquina con la caja levantada sin haberla fijada previamente.

PALA CARGADORA

- Los motores con transmisión a través de ejes y poleas, estarán dotados de carcasas protectoras antiatrapamientos.
- Los ganchos de las grúas llevarán pestillos de seguridad.
- Los motores eléctricos estarán cubiertos de carcasas protectoras eliminadoras del contacto directo con la energía eléctrica. Se prohíbe su funcionamiento sin carcasa o con importantes deterioros en ella.
- Se prohíbe la manipulación de cualquier elemento componente de una máquina accionada mediante energía eléctrica, estando conectado a la red de suministro.
- Como precaución para evitar la puesta en servicio de máquinas averiadas, o de funcionamiento irregular, se bloquearán los arrancadores, o en su caso, se extraerán los fusibles eléctricos.
- Los motores eléctricos de grúas estarán provistos de limitadores de altura y de carga.
- Se prohibirá la utilización de ganchos artesanales, formados a base de redondos doblados.
- Los carriles para desplazamiento de grúas torre, estarán limitados a una distancia de 1 metro de su término mediante topes de seguridad.

MAQUINARIA PARA EL MOVIMIENTO DE TIERRA GENERAL

- Se controlará su estado periódicamente.
- La maquinaria tendrá faros de marcha hacia delante y hacia atrás, retrovisores en ambos lados y claxon de marcha atrás.
- Se prohibirán las reparaciones y labores de mantenimiento con el motor en marcha.

MARTILLO NEUMÁTICO

- Se utilizará el equipo de protección personal adecuado.
- No debe apoyarse el cuerpo sobre la máquina en funcionamiento.
- Comprobar el buen estado del equipo.
- En los desplazamientos la cuchara irá lo más próxima posible al suelo, para conseguir la máxima estabilidad.



- Esta máquina obligatoriamente estará dotada de claxon y luces marcha atrás.
- La circulación sobre terrenos desiguales se efectuará con velocidades lentas.
- Se prohibirá a los conductores que abandonen la máquina con el motor en marcha.
- Se prohibirá a los conductores que abandonen la máquina con la cuchara izada sin apoyar en el suelo.
- Se prohibirá el transporte de personas en la cuchara.

RETROEXCAVADORA

- Antes de iniciar el trabajo inspeccionar la máquina.
- Tomar precauciones cuando se trabaje en proximidad de líneas eléctricas.
- En caso de contacto accidental con línea eléctrica, permanecer en la cabina hasta que la red sea desconectada o se elimine el contacto. Si fuera imprescindible bajar de la máquina de un salto.
- Circular con el cazo en posición de traslado y con los puntales colocados si éste el trayecto es largo.
- Antes de abandonar la cabina debe bajarse el cazo hasta el suelo y frenar la máquina.
- Jamás usar la máquina para transporte de operarios o como ascensor.

COMPACTADOR

- Al abandonar la máquina, dejarla en horizontal, frenada y con el motor parado.
- Inspeccionar la máquina antes de comenzar la jornada de trabajo.
- No realizar reparaciones con el motor en marcha.
- No transportar pasajeros.
- Para abrir el tapón del radiador eliminar previamente la presión interior y protegerse de posibles quemaduras.

GRÚA

- Vigilar atentamente la posible existencia de líneas eléctricas con las que la grúa pudiera entrar en contacto.
- Antes de comenzar los trabajos revisar la máquina por si presenta alguna anomalía.
- En caso de contacto con línea eléctrica, permanecer en la cabina hasta que corten la tensión. Si fuera necesario, abandonar la máquina de un salto.
- Para la elevación, asentar bien la grúa sobre el terreno. Si existen desniveles o terreno poco firme, calzar los gatos con tabloncillos.
- Usar la grúa dentro de sus posibilidades claramente expuestas en la tabla de cargas.
- No debe haber personal bajo la pluma durante el montaje y el desmontaje.
- No realizar tiros sesgados.

- No intentar levantar cargas no libres.
- No abandonar la cabina con cargas suspendidas.

CORTADORA DE PAVIMENTO Y SIERRA

- Existencia obligatoria de carcasa de protección y resguardo que impidan los atrapamientos por los órganos móviles
- Perfecto estado del disco
- Puesta a tierra (en las eléctricas)
- Utilización de prendas de protección personal: protector auditivo, mascarilla antipolvo, etc.

BOMBA DE HORMIGÓN

- Cuando se limpia la tubería con la pelota, poner la canastilla en el final de la tubería para la recogida de la pelota.
- Diariamente se revisará el funcionamiento de luces, frenos y claxon de marcha atrás.
- Las operaciones de reparación se llevarán a cabo con la máquina parada.
- No intentar nunca actuar a través de la rejilla de la tolva receptora. En caso ineludible parar el agitador.
- No se transportarán pasajeros en la máquina.
- Prestar especial atención a las líneas eléctricas. No acercar el brazo.
- Revisar las tuberías, principalmente el tramo de goma, que suele reventar.
- Utilizar gafas protectoras para evitar salpicaduras de hormigón.
- Vigilar los manómetros, sabiendo que el aumento de presión indica que se ha producido un atasco.

DUMPER MOTOVOLQUETE

- Está prohibido transportar a personas.
- Nunca se transportaran cargas que puedan impedir la visibilidad del conductor.
- Para descargar a un nivel inferior, se colocaran topes en el borde.

MARTILLO ROMPEDOR

- Se utilizaran protectores auditivos, mascarillas, gafas, antipartículas, cinturón antivibratorio, muñequeras y guantes.
- Se prestara especial cuidado con las mangueras y los acoples, revisándolos periódicamente.
- En los martillos eléctricos deberá tenerse presente que la maquina tenga toma de tierra.
- No deberá nunca dejarse el martillo hincado en el suelo.



7. DOCUMENTOS QUE INTEGRAN EL ESTUDIO

El presente estudio de Seguridad y Salud se compone de los siguientes documentos:

- Documento nº 1: Memoria.
- Documento nº 2: Planos.
- Documento nº 3: Pliego de prescripciones técnicas particulares.
- Documento nº 3: Presupuesto.

Santiago de Compostela, Febrero 2016.

El autor del Proyecto

Rubén Sánchez Faro



ANEJO Nº 15: SEGURIDAD Y SALUD (PLANOS)



ÍNDICE

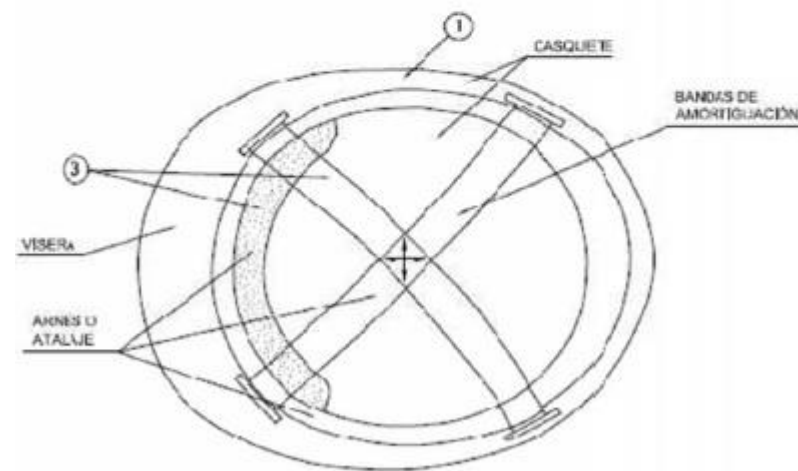
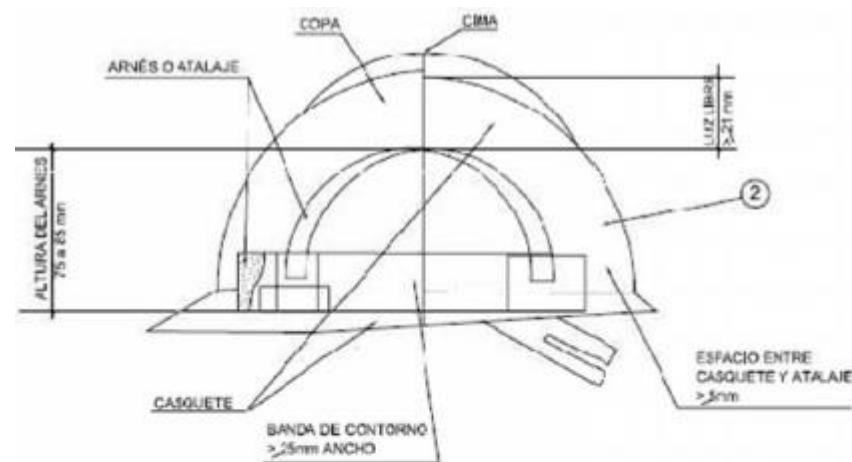
1.	PROTECCIONES INDIVIDUALES.....	2	4.	SEÑALIZACIÓN Y BALIZAMIENTOS.....	15
1.1	CASCO DE SEGURIDAD.....	2	4.1	SEÑALES (I).....	15
1.2	MASCARILLA ANTIPOLVO.....	2	4.2	SEÑALES (II).....	16
1.3	PORTA-HERRAMIENTAS.....	3	4.3	SEÑALES (III).....	17
1.4	GAFAS CONTRA INCENDIOS.....	3	4.4	SEÑALES (IV).....	18
1.5	BOTAS DE SEGURIDAD.....	3			
1.6	CINTURÓN DE SEGURIDAD.....	4			
1.7	PRENDAS DE SEÑALIZACIÓN Y PROTECCIÓN INDIVIDUAL.....	5			
2.	EQUIPOS DE PROTECCIÓN COLECTIVA.....	6			
2.1	PROTECCIÓN DE LINEAS AÉREAS (I) Y GÁLIBOS.....	6			
2.2	PROTECCIÓN DE LINEAS AÉREAS (II).....	7			
2.3	TERRAPLENADO Y HORMIGONADO.....	8			
2.4	VEHÍCULOS Y ESCALERAS.....	9			
2.5	ANDAMIOS (I).....	10			
2.6	ANDAMIOS (II).....	11			
2.7	CABINA DE SOLDADURA.....	12			
2.8	REDES PARA HUECOS HORIZONTALES.....	13			
3.	NORMAS DE SEGURIDAD.....	14			



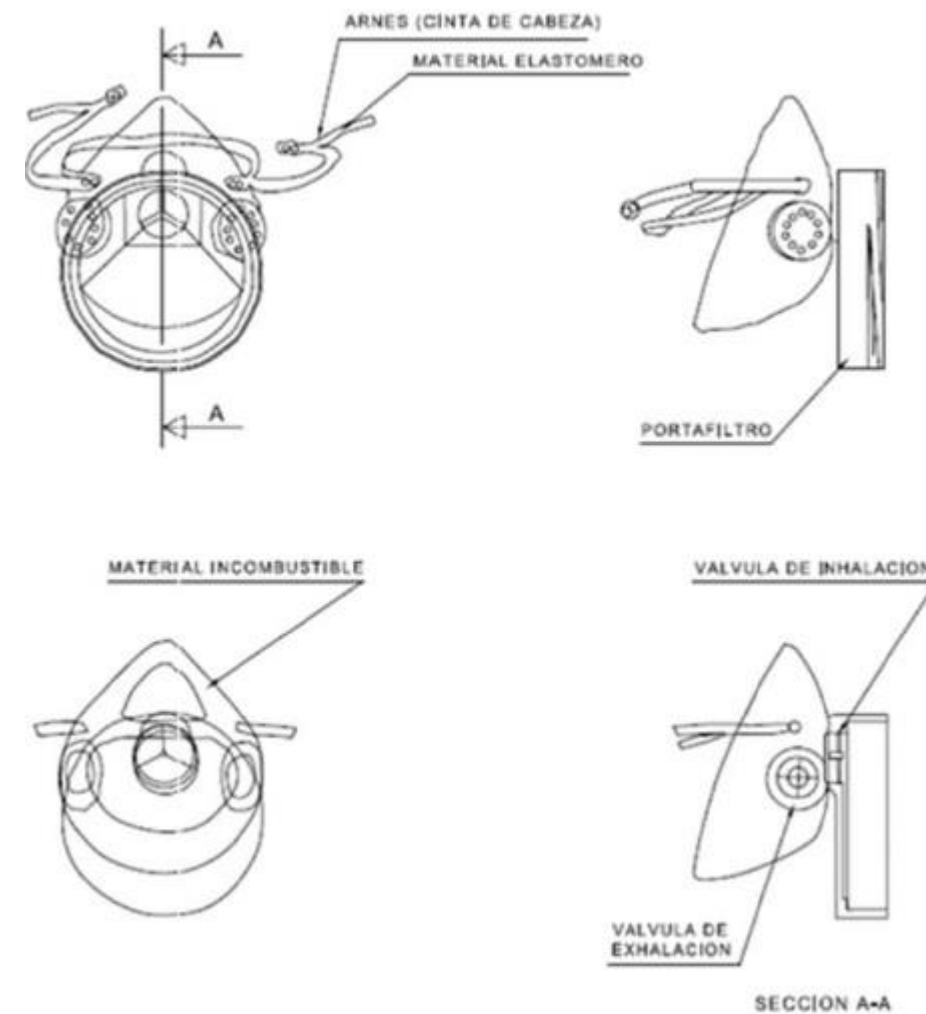
1. PROTECCIONES INDIVIDUALES

1.2 MASCARILLA ANTIPOLVO

1.1 CASCO DE SEGURIDAD

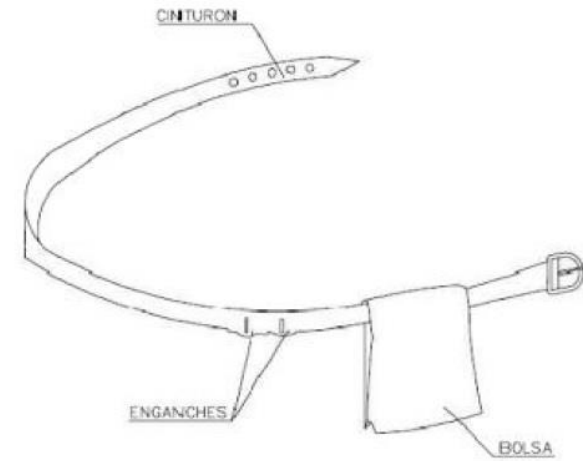


1. MATERIAL INCOMBUSTIBLE, RESISTENTE A GRASAS, SALES Y AGUA.
2. CLASE N AISLANTE A 1000 V CLASE E AT.
3. MATERIAL NO RÍGIDO, HIDROFUGO, FÁCIL LIMPIEZA Y DESINFECCIÓN.



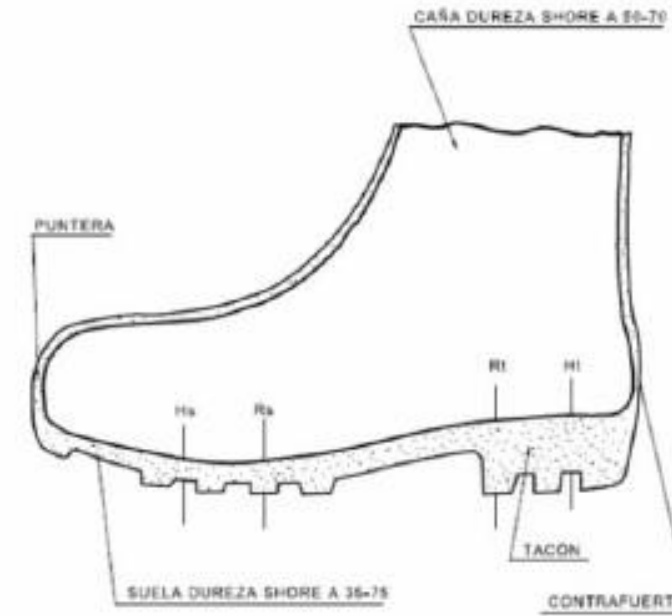


1.3 PORTA-HERRAMIENTAS



- 1 PERMITE TENER LAS MANOS LIBRES, MAS SEGURIDAD AL MOVERSE
- 2 EVITA CAIDAS DE HERRAMIENTAS
- 3 NO EXIME DEL CINTURON DE SEGURIDAD CUANDO ESTE ES NECESARIO

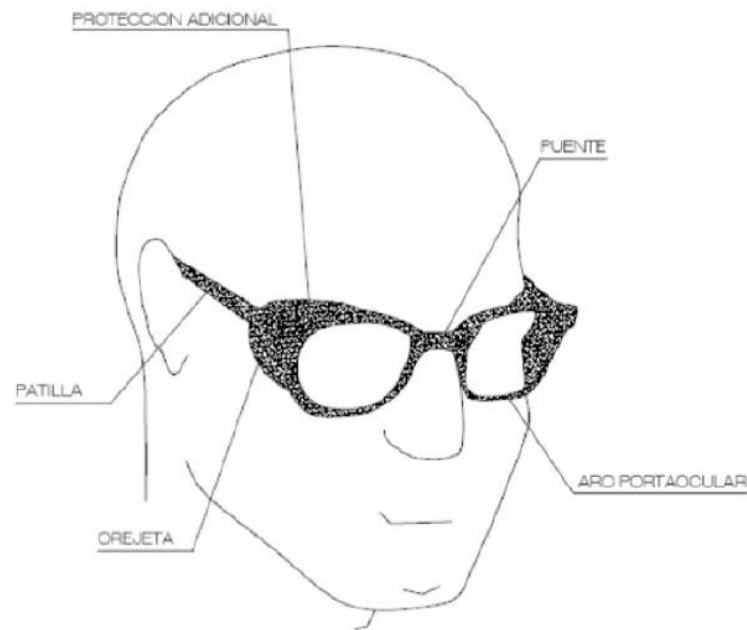
1.5 BOTAS DE SEGURIDAD



Hs Hendidura de la suela = 5mm
 Rs Resalte de la suela = 8mm
 Ht Hendidura del tacón = 20mm
 Rt Resalte del tacón = 25mm

Bota impermeable al agua y a la humedad

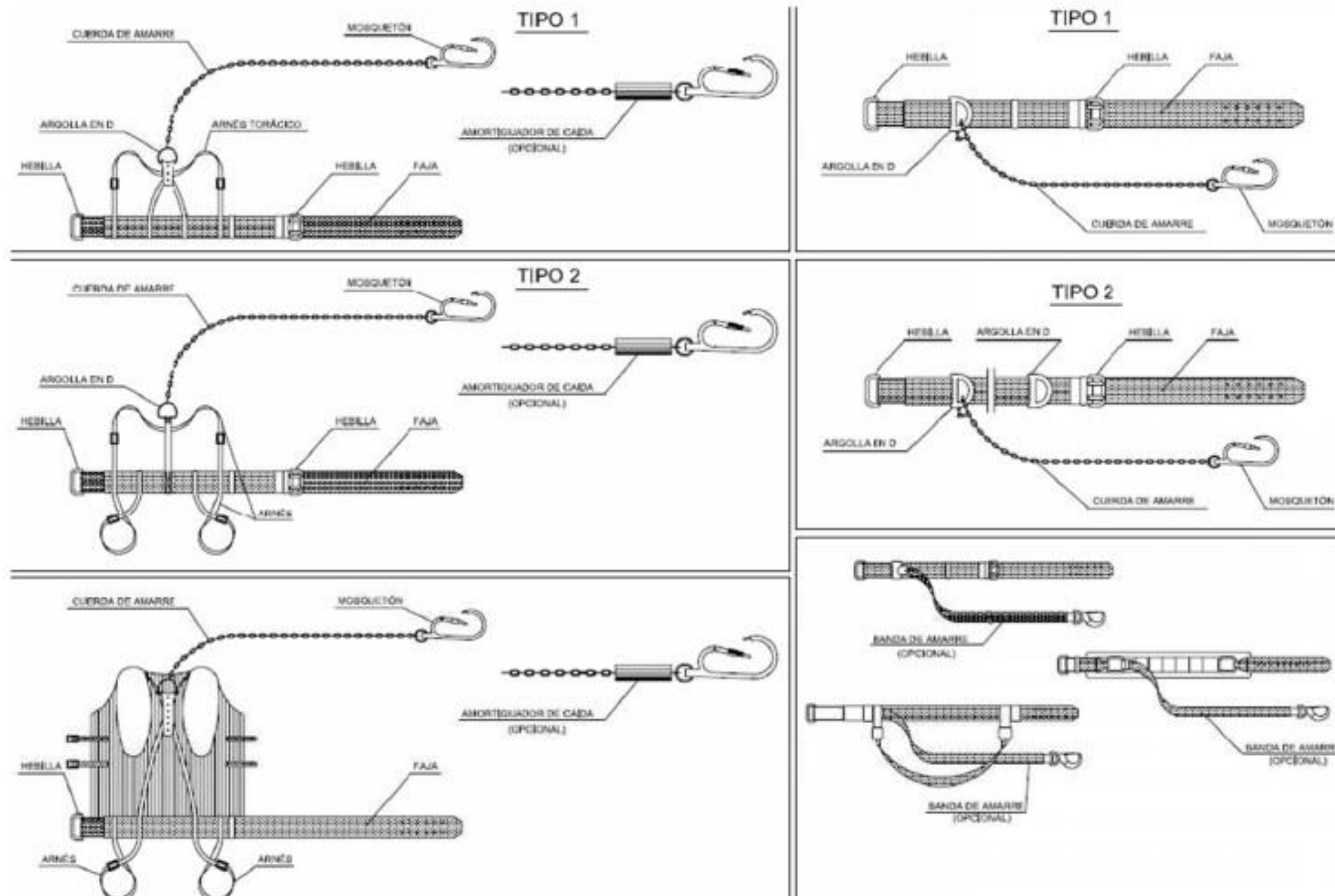
1.4 GAFAS CONTRA IMPACTOS



Bota de seguridad clase III

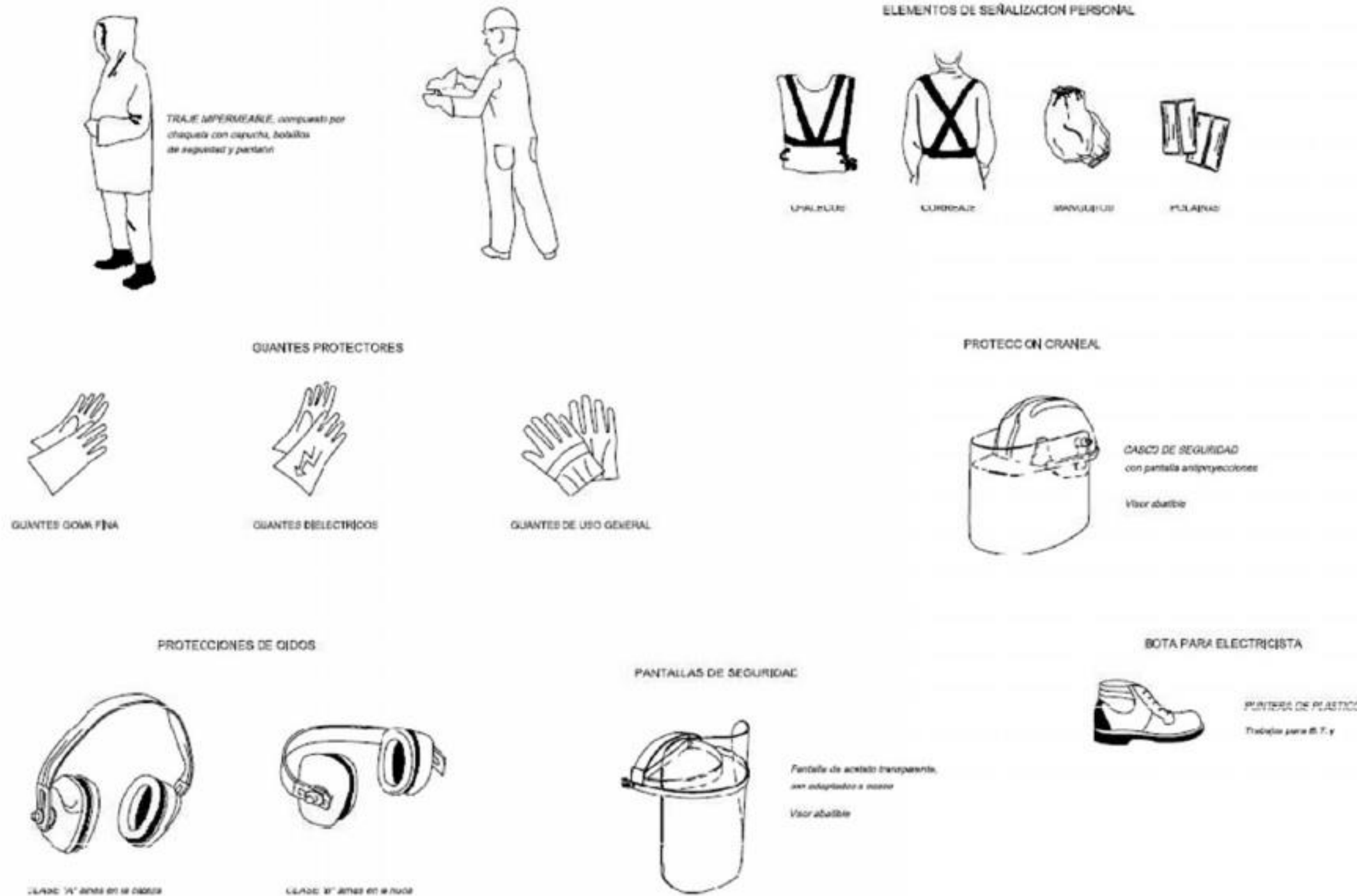


1.6 CINTURÓN DE SEGURIDAD





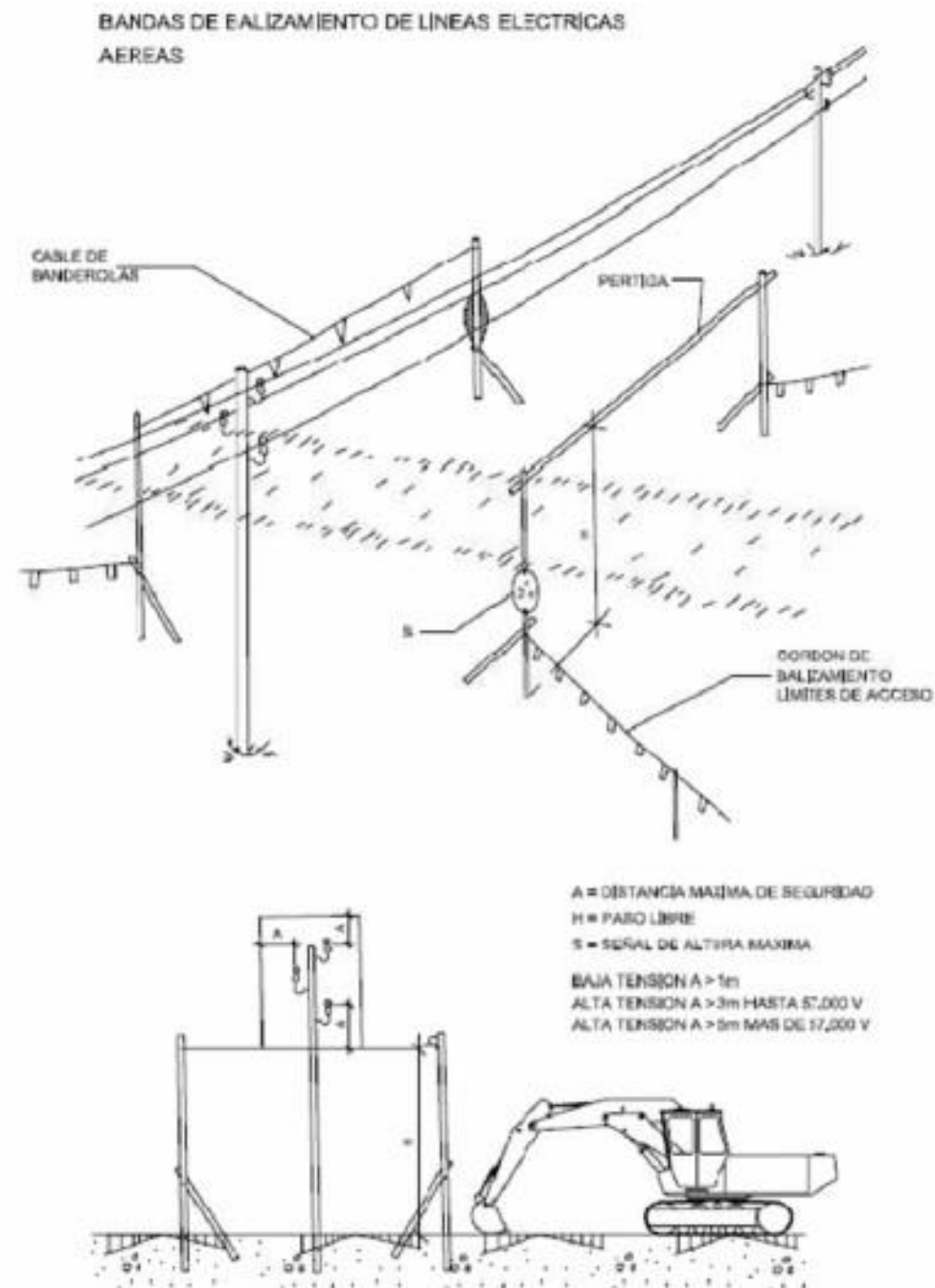
1.7 PRENDAS DE PROTECCIÓN Y SEÑALIZACIÓN INDIVIDUAL





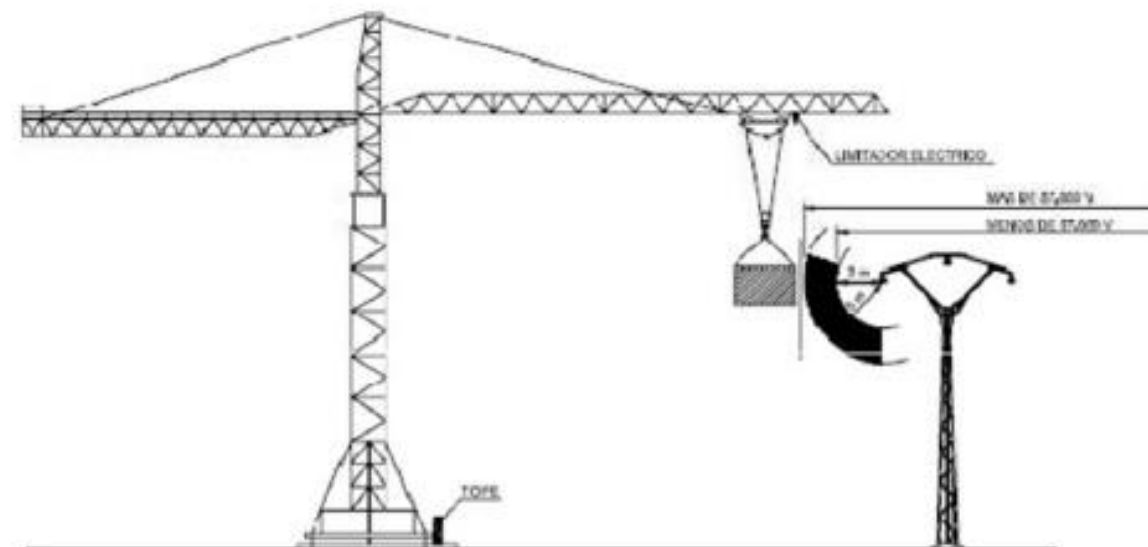
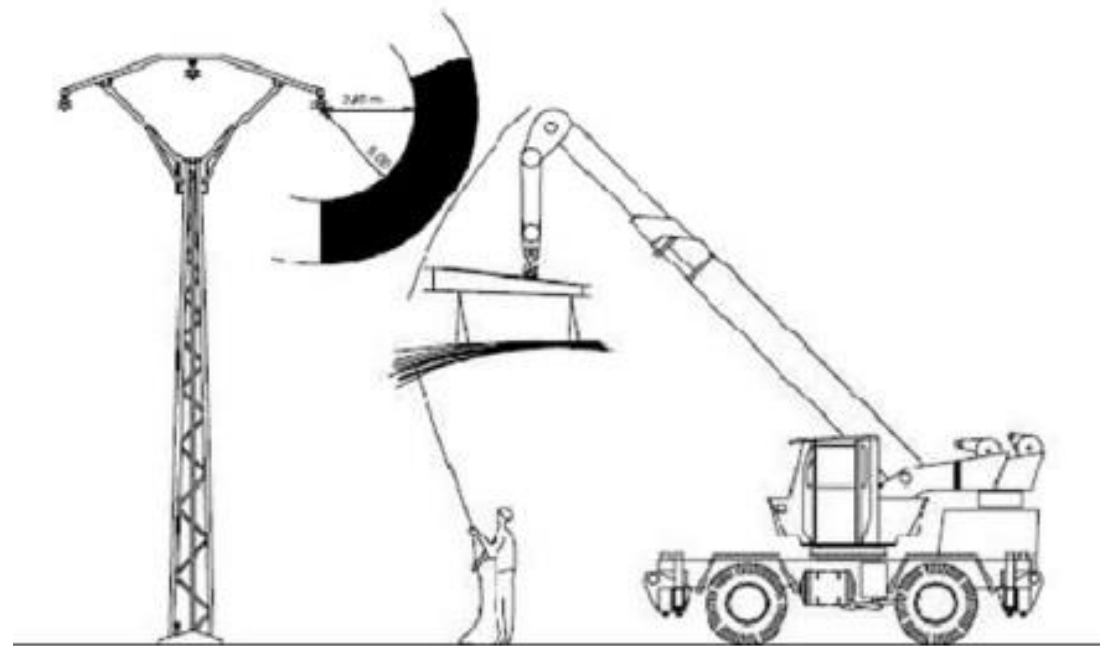
2. EQUIPOS DE PROTECCIÓN COLECTIVA

2.1 PROTECCIÓN DE LINEAS AÉREAS (I) Y GÁLIBOS



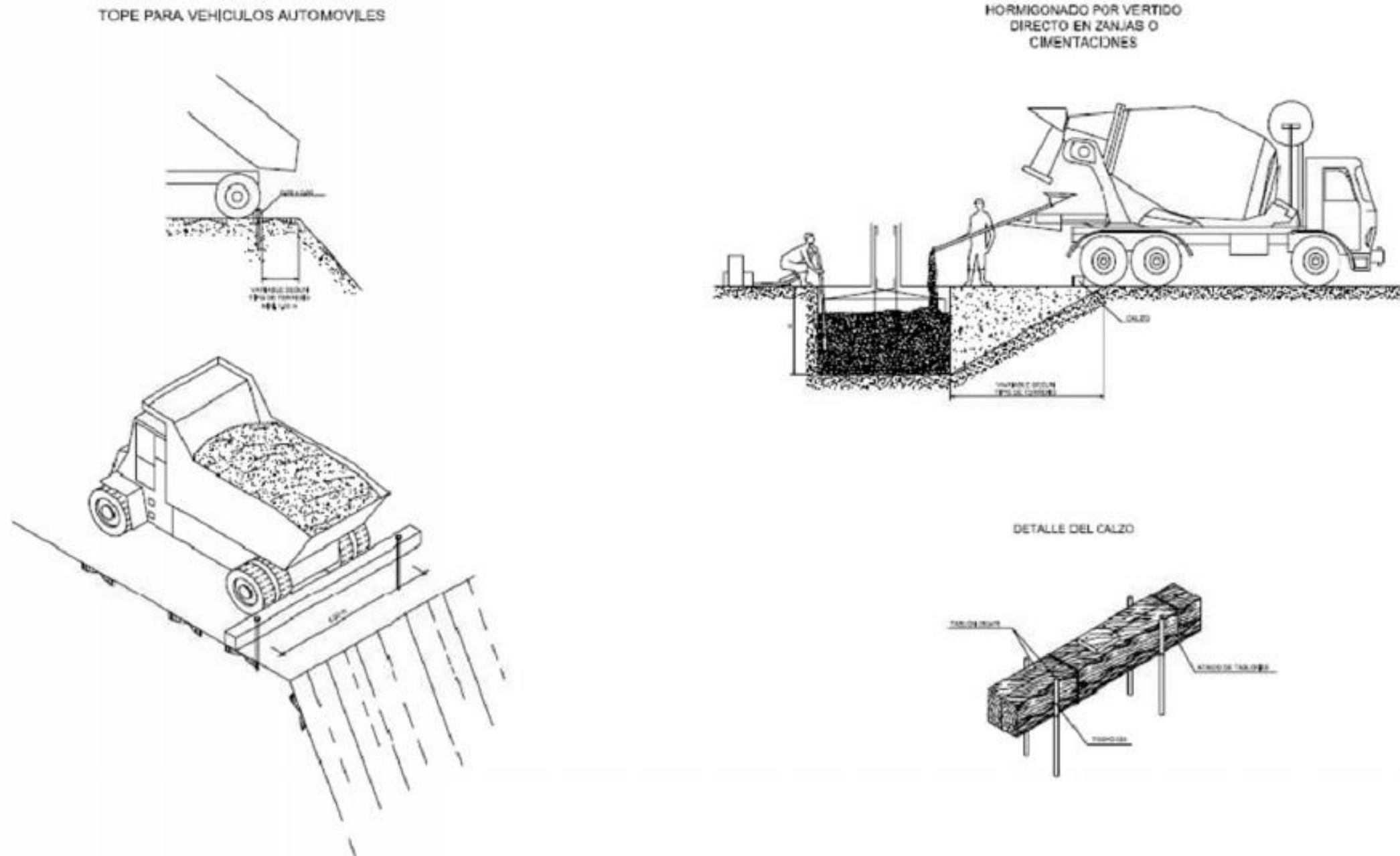


2.2 PROTECCIÓN DE LINEAS AÉREAS (II)



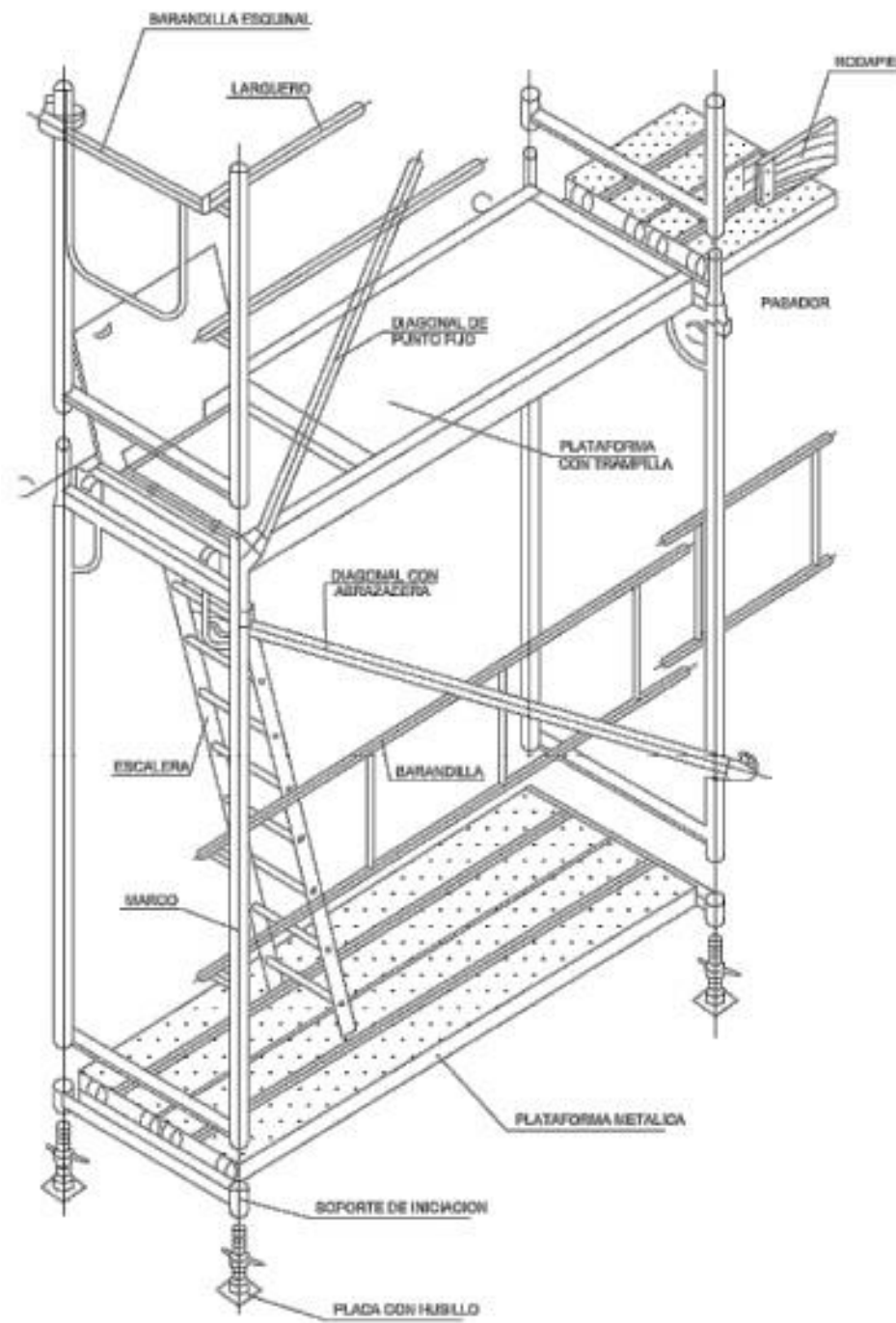


2.3 TERRAPLENADO Y HORMIGONADO

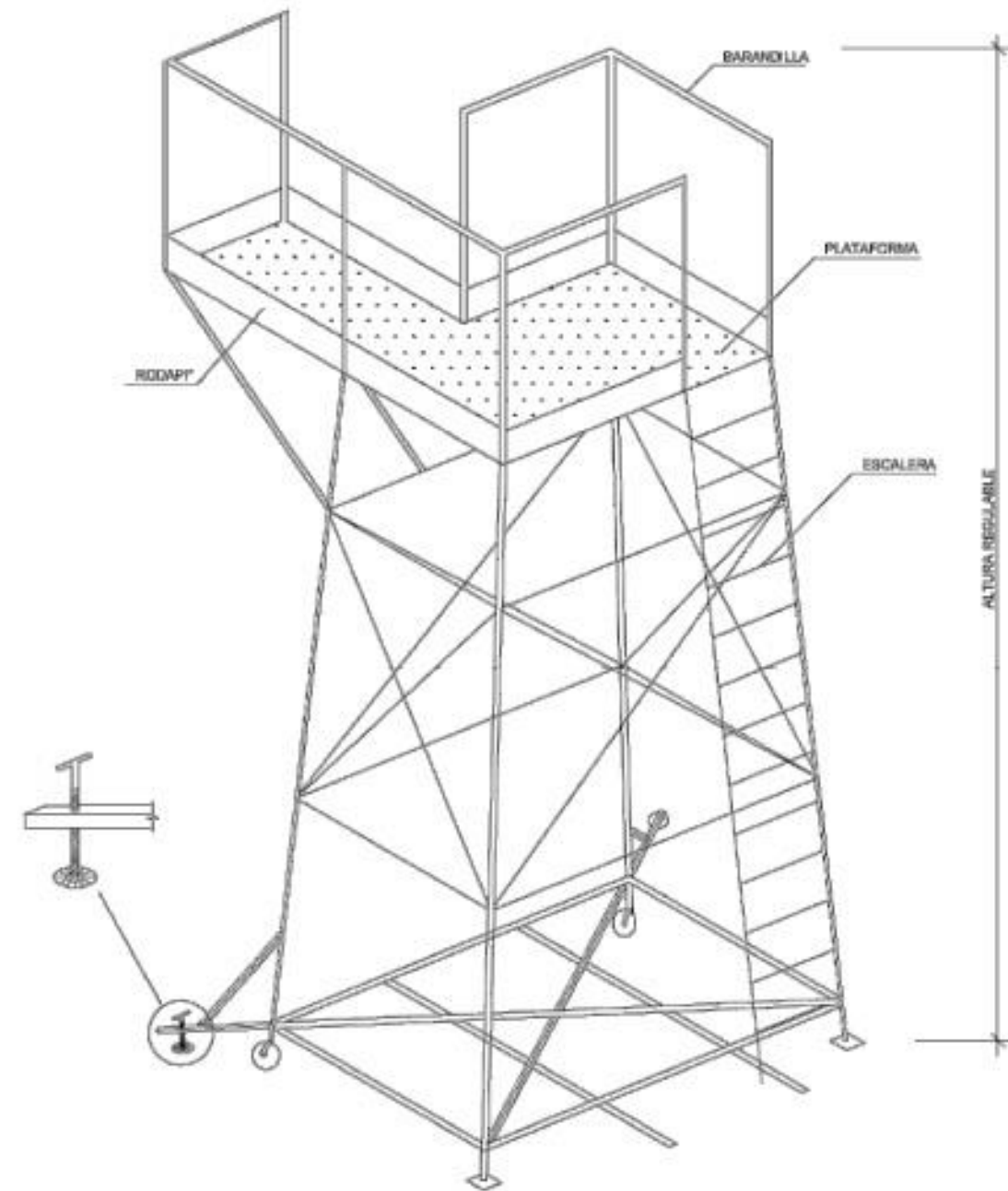




2.5 ANDAMIOS (I)



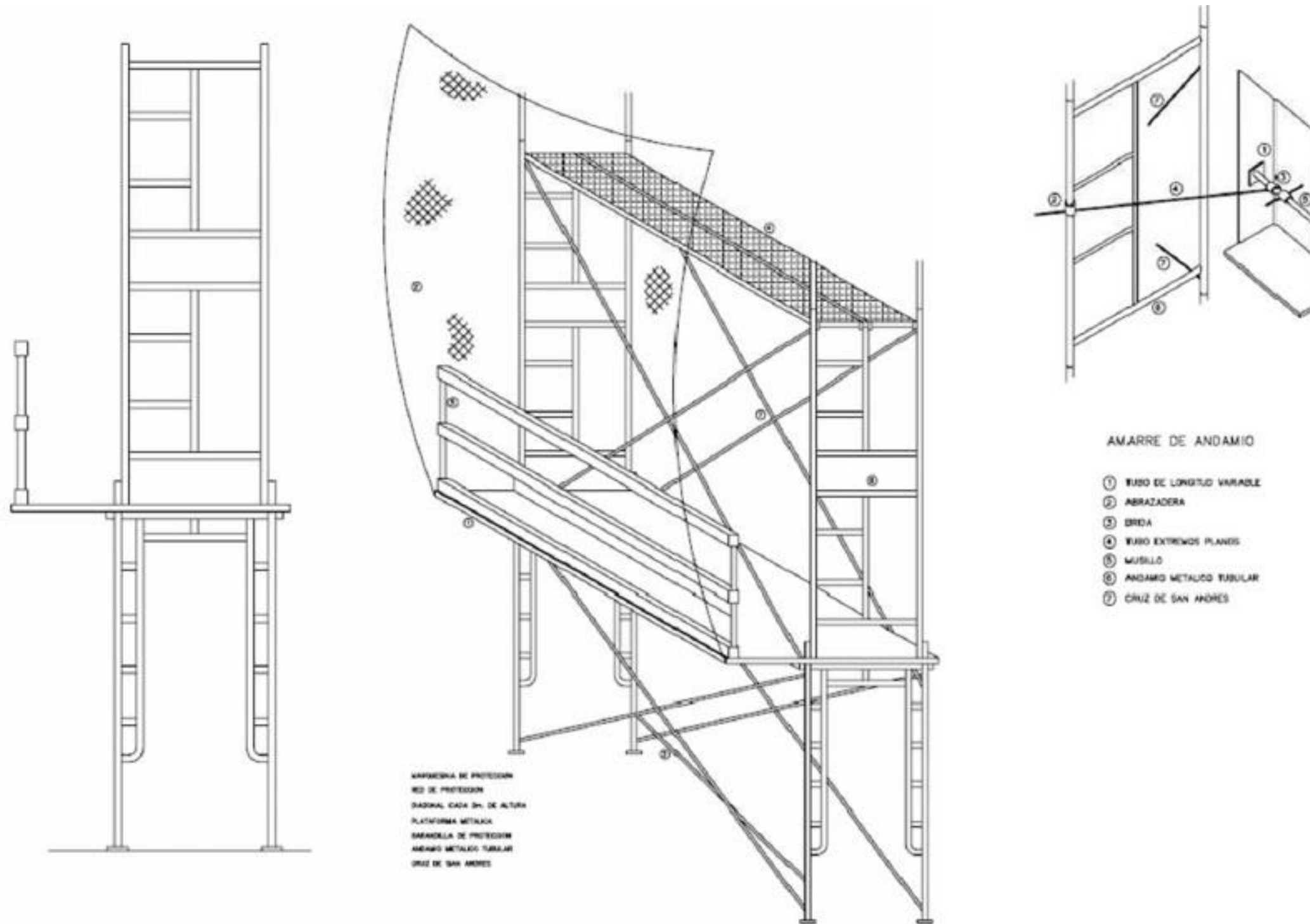
ANDAMIO TUBULAR, COMPONENTES



TORRETA

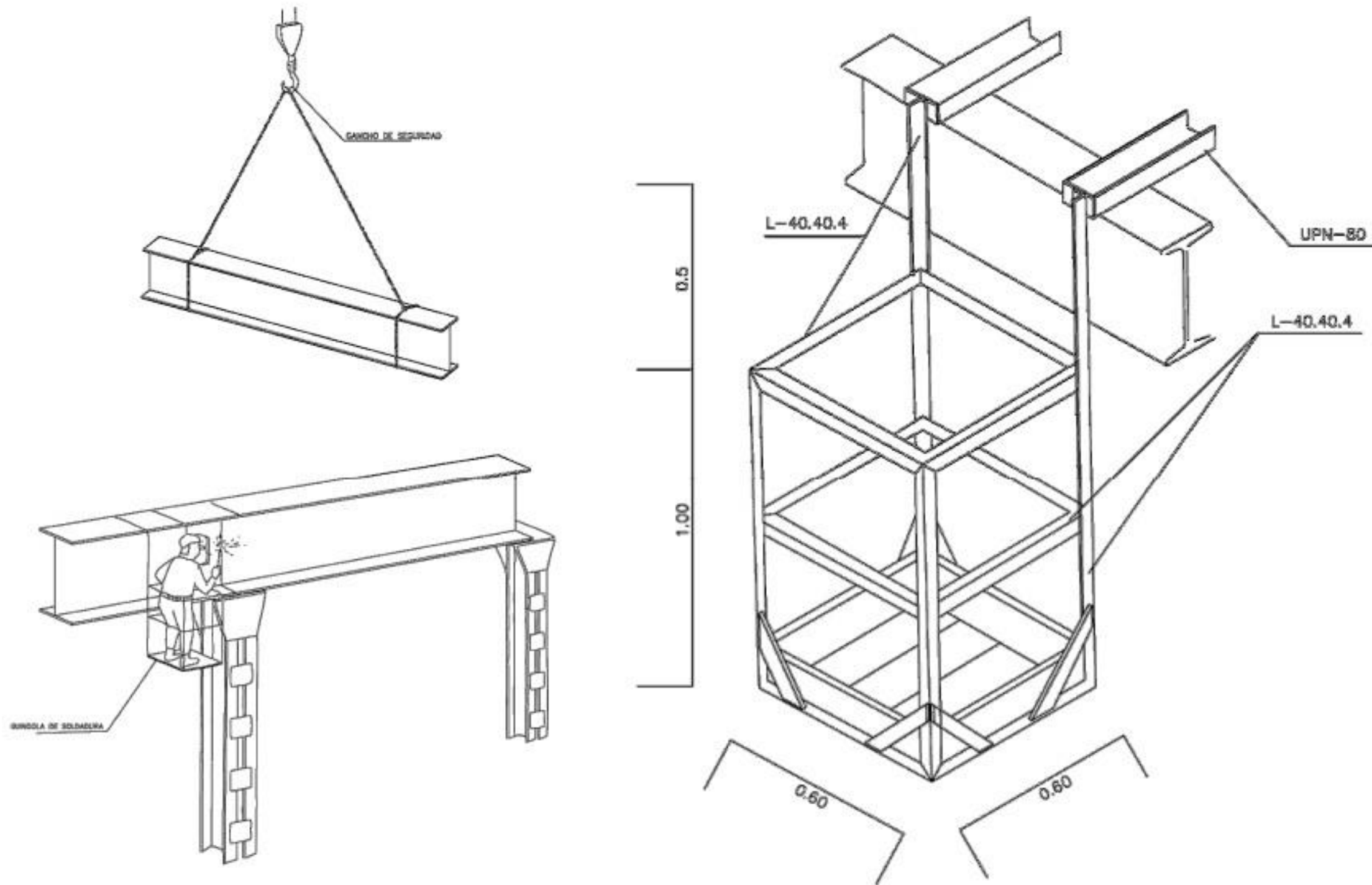


2.6 ANDAMIOS (II)



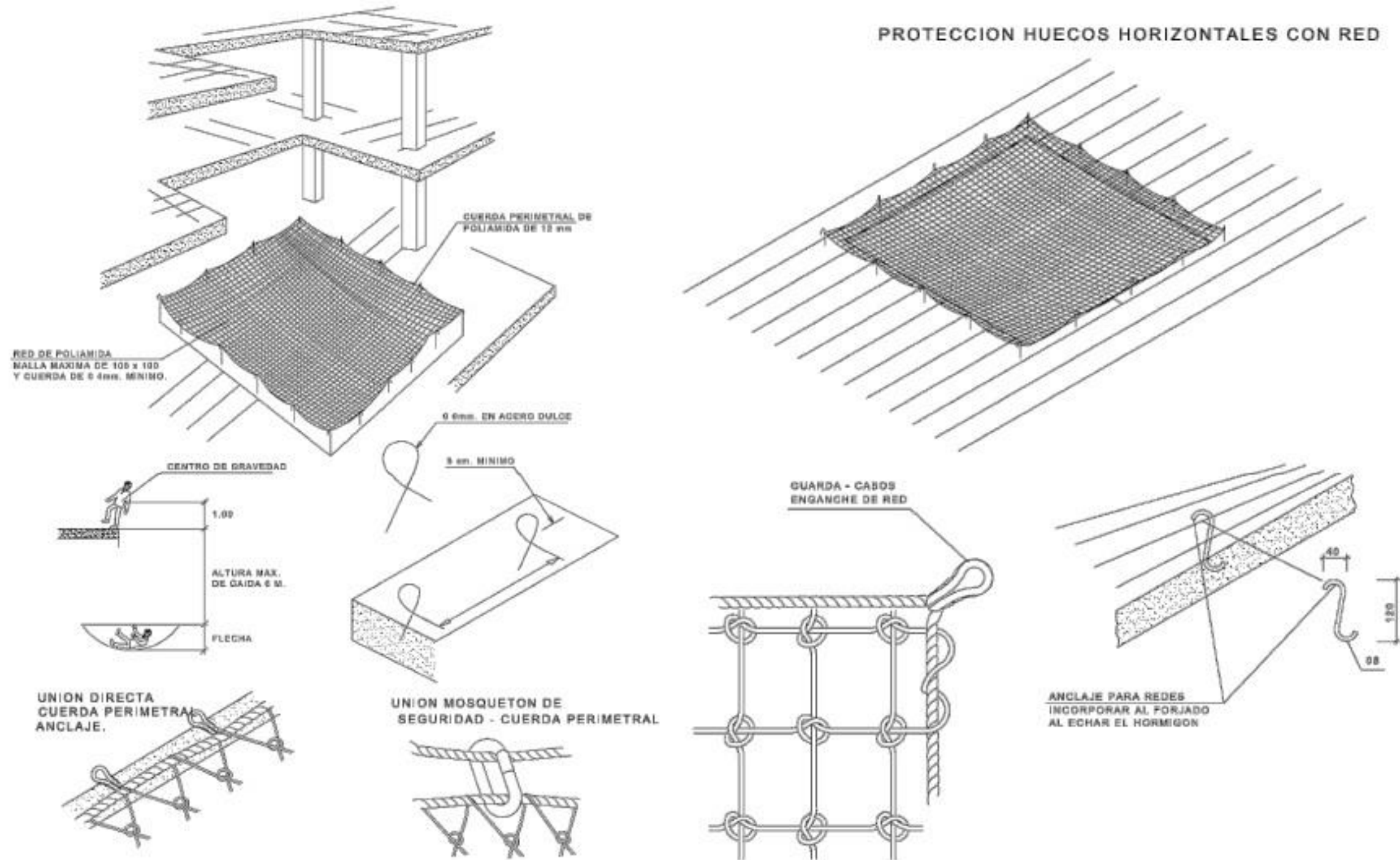


2.7 CABINA DE SOLDADURA



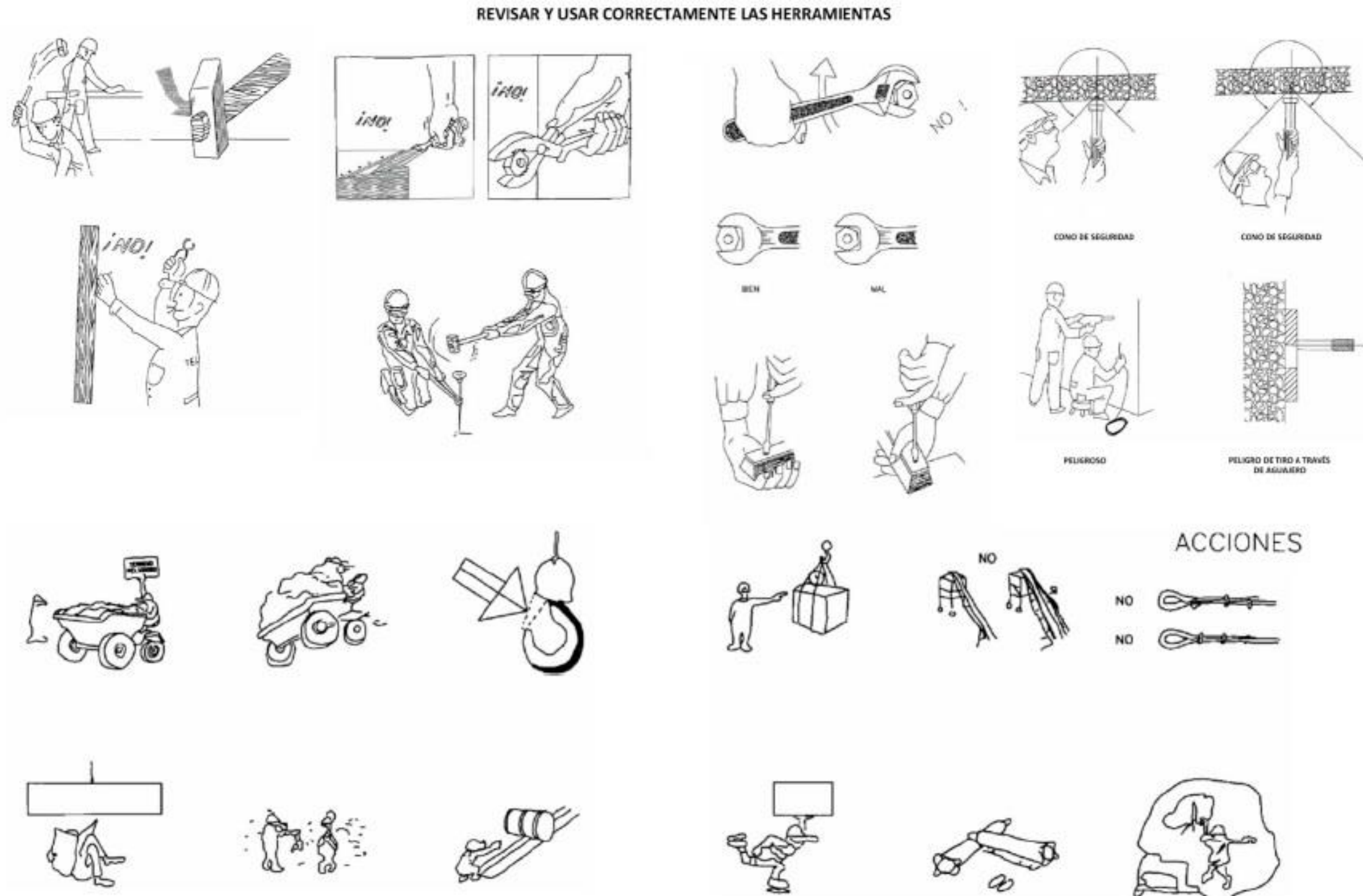


2.8 REDES PARA HUECOS HORIZONTALES



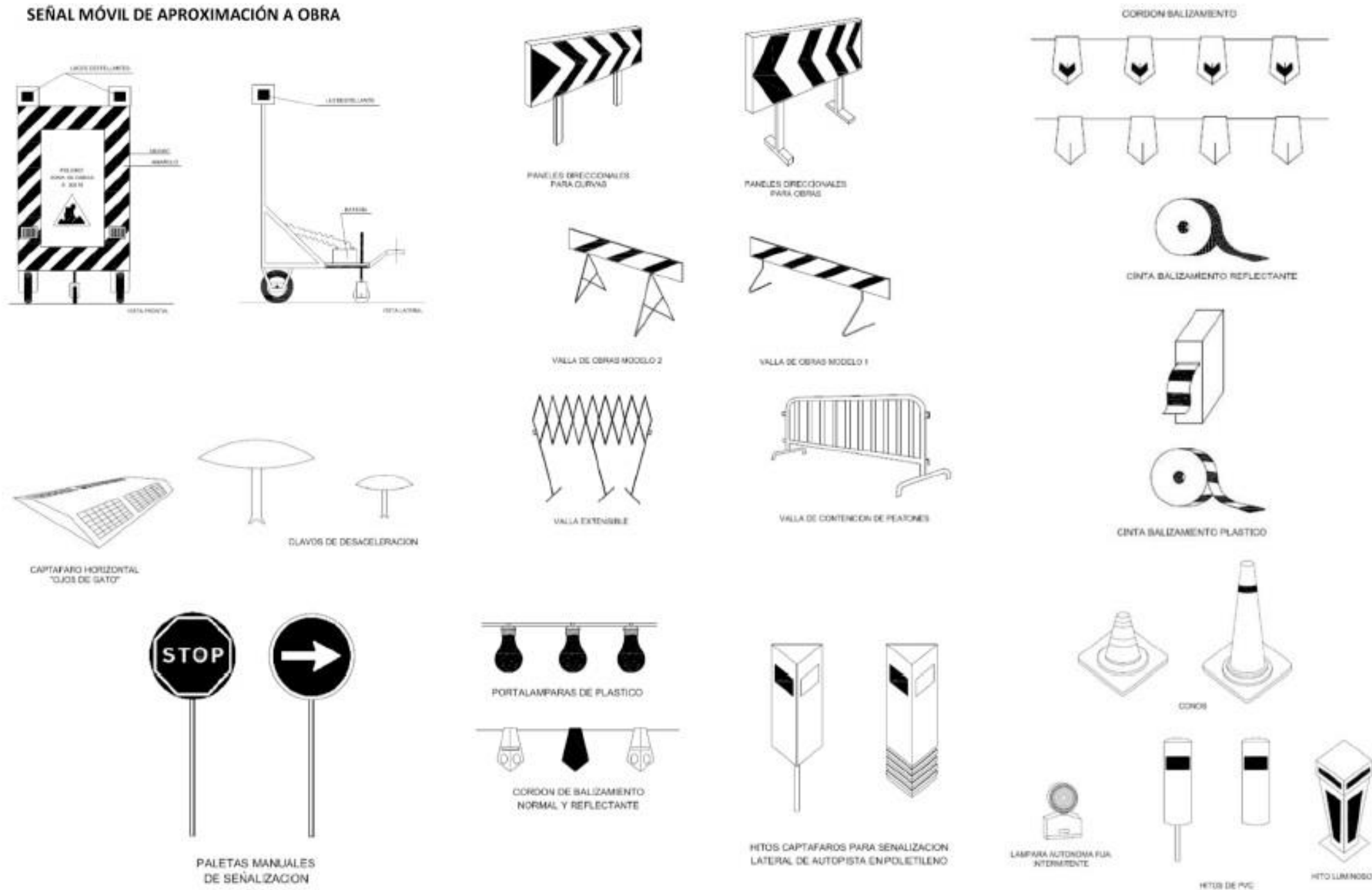


3. NORMAS DE SEGURIDAD



4. SEÑALIZACIÓN Y BALIZAMIENTOS

4.1 SEÑALES (I)



4.2 SEÑALES (II)

SEÑALES DE ADVERTENCIA DE PELIGRO





4.3 SEÑALES (III)

SEÑALES DE USO OBLIGATORIO



SEÑALES DE PROHIBICIÓN





4.4 SEÑALES (IV)

SEÑALES DE RIESGOS DIVERSOS



SEÑALES CONTRA INCENDIOS





Santiago de Compostela, Febrero 2016.

El autor del Proyecto

Rubén Sánchez Faro



ANEJO N° 15: SEGURIDAD Y SALUD (PLIEGO)



ÍNDICE

1.	ALCANCE DEL PLIEGO.....	2	3.5	NORMAS Y CONDICIONES A CUMPLIR EN LA SEÑALIZACIÓN DE LA OBRA....	7
1.1	OBJETO.....	2	4.	NORMAS DE PREVENCIÓN.....	7
1.2	VALIDEZ DEL PLIEGO.....	2	4.1	EXCAVACIÓN EN ZANJAS.....	7
2.	NORMAS LEGALES REGLAMENTARIAS DE APLICACIÓN.....	2	4.2	RELLENOS.....	8
3.	CONDICIONES GENERALES DE LOS MEDIOS DE PROTECCIÓN.....	2	4.3	MANEJO DE MÓDULOS Y MATERIALES POR MEDIOS MECÁNICOS.....	8
3.1	COMIENZO DE LAS OBRAS.....	2	5.	INSTALACIONES.....	9
3.2	PROTECCIONES PERSONALES.....	3	5.1	SERVICIO MÉDICO: RECONOCIMIENTO Y BOTIQUÍN.....	9
3.2.1	PRESCRIPCIONES DEL CASCO DE PROTECCIÓN.....	3	5.2	LOCALES DE HIGIENE Y BIENESTAR.....	9
3.2.2	PRESCRIPCIONES DEL CALZADO DE SEGURIDAD.....	3	6.	RESPONSABLES DE SEGURIDAD Y SALUD EN OBRA.....	9
3.2.3	PRESCRIPCIONES DEL PORTECTOR AUDITIVO.....	4	6.1	COMUNICACIÓN A LA DIRECCIÓN FACULTATIVA.....	9
3.2.4	PRESCRIPCIONES DE LOS GUANTES DE SEGURIDAD.....	4	6.2	VIGILANTE DE SEGURIDAD.....	9
3.3	PRESCRIPCIONES DEL CINTURÓN DE SEGURIDAD.....	4	6.3	JEFE DE SEGURIDAD.....	9
3.3.1	PRESCRIPCIONES DE LAS GAFAS DE SEGURIDAD.....	4	6.4	CONDICIONES EN MATERIA DE SEGURIDAD Y SALUD.....	10
3.3.2	PRESCRIPCIONES DE LA MASCARILLA ANTIPOLVO.....	5	6.5	OBLIGACIONES DE LOS CONTRATISTAS Y SUBCONTRATISTAS.....	10
3.3.3	PRESCRIPCIONES DE LA BOTA IMPERMEABLE AL AGUA Y LA HUMEDAD.....	5	6.6	COMITÉ DE SEGURIDAD Y SALUD.....	10
3.3.4	PRESCRIPCIONES DEL EQUIPO PARA EL SOLDADOR.....	5	7.	PLAN DE SEGURIDAD Y SALUD.....	11
3.3.5	PRESCRIPCIONES DE GUANTES AISLANTES DE ELECTRICIDAD.....	6	8.	LIBRO DE INCIDENCIAS.....	11
3.3.6	PRESCRIPCIONES DE SEGURIDAD PARA LA CORRIENTE ELÉCTRICA DE ALTA TENSIÓN.....	6	9.	MEDICIÓN Y ABONO DE SEGURIDAD Y SALUD EN EL TRABAJO.....	11
3.4	PROTECCIONES COLECTIVAS.....	6			



1. ALCANCE DEL PLIEGO

1.1 OBJETO

El presente Pliego de Prescripciones Técnicas Particulares define los requisitos técnicos y condiciones generales que han de regir en el desarrollo de las actividades relacionadas con la seguridad y la salud durante el transcurso de la obra.

1.2 VALIDEZ DEL PLIEGO

Para todo lo definido en el presente Pliego, será de aplicación el Pliego de Prescripciones Técnicas Particulares del Proyecto Constructivo.

2. NORMAS LEGALES REGLAMENTARIAS DE APLICACIÓN

Son de obligado cumplimiento las disposiciones contenidas en las normas siguientes:

- Estatuto de los trabajadores.
- Ordenanza General de Seguridad e Higiene en el Trabajo (O.M. 9-3-71) (B.O.E. 11-3-71).
- Plan Nacional de Higiene y Seguridad en el Trabajo (O.M. 9-3-71) (B.O.E. 16-3-71).
- Comités de Seguridad e Higiene en el Trabajo (Decreto 432/71, 11-3-71) (B.O.E. 16-3-71).
- Reglamento de Seguridad e Higiene en la Industria de la Construcción (O.M. 20-5-52) (B.O.E. 15-6-52).
- Reglamento de los Servicios Médicos de Empresa (O.M. 21-11-59) (B.O.E. 27-11-59).
- Ordenanza de Trabajo de la Construcción, Vidrio y Cerámica (O.M. 28-8-70) (B.O.E. 5-7-8/9-9-70).
- Homologación de medios de protección personal de los trabajadores (O.M. 17-5-74) (B.O.E. 29-5-74).
- Reglamento Electrotécnico de Baja Tensión (O.M. 20-9-73) (B.O.E. 9-10-73).
- Reglamento de Líneas Aéreas de Alta Tensión (O.M. 28-11-68).
- Real Decreto 1403 de 9 de Mayo de 1986. B.O.E. 8-7-86. Señalización de Seguridad en Centros de Trabajo.
- Obligatoriedad de la inclusión de un Estudio de Seguridad e Higiene en el Trabajo en los proyectos de edificación y obras públicas (Real Decreto 555/1986, 21-2-86) (B.O.E. 21-3-86).
- Disposiciones mínimas de Seguridad y Salud en las obras de Construcción (Real Decreto 1627/1997, de 24 de Octubre) (B.O.E. 25-10-97).
- Ley 31/1995 de prevención de riesgos laborales (B.O.E. nº 269, 10-11-95).
- Real Decreto 39/1997, que aprueba el reglamento de los servicios de prevención (B.O.E. nº 27, 31-1-97).

- Real Decreto 485/1997, sobre disposiciones mínimas en materia de señalización de Seguridad y Salud en el Trabajo (B.O.E. nº 27, 31-1-97).
- Real Decreto 485/1997, sobre disposiciones mínimas de Seguridad y Salud en los lugares de trabajo (B.O.E. nº 27, 31-1-97).
- Real Decreto 486/1997, sobre disposiciones mínimas de Seguridad y Salud relativas a la manipulación manual de cargas que entrañe riesgos, en particular dorsolumbares, para los trabajadores (B.O.E. nº 97, 23-4-97).
- Real Decreto 488/1997, sobre disposiciones mínimas de Seguridad y Salud relativas al trabajo con equipos que incluyan pantallas de visualización (BOE nº 97, 23-4-97).
- Orden del 22 de Abril de 1997 que regula las actividades de prevención de riesgos laborales de las mutuas de A.T. y E.P. (BOE nº 98, 24-4-97).
- Real Decreto 773/1997, sobre disposiciones mínimas de Seguridad y Salud relativas a la utilización por los trabajadores de equipos de protección individual (BOE nº 140, 12-6-97).
- Orden de 27 de Junio de 1997 que desarrolla el Real Decreto 39/1997, reglamento de los servicios de prevención, en relación con las direcciones de acreditación de las empresas especializadas como servicios de prevención de las empresas y de autorización de las entidades públicas o privadas para desarrollar y certificar actividades formativas en materia de prevención de riesgos laborales (BOE nº 159, 4-7-97).
- Real Decreto 949/1997, sobre certificado de la profesionalidad de la ocupación de prevenicionistas de riesgos laborales (BOE nº 165, 11-7-98).
- Real Decreto 1215/1997, sobre disposiciones mínimas de Seguridad y Salud para la utilización por los trabajadores de los equipos de trabajo (BOE nº 188, 7-8-97).
- Real Decreto 1627/1997 sobre disposiciones mínimas de Seguridad y Salud en las obras de construcción o ingeniería civil (BOE nº 256, 15-10-97).
- Orden de 16-4-98 sobre Normas Procedimiento y Desarrollo del Real Decreto 1992/1993 que revisa Anexo 1 y apéndice del reglamento de instalaciones de incendios (BOE nº 104, 1-5-98).
- Real Decreto 780/1998, que modifica el Real Decreto 39/1997, que aprueba el Reglamento de los Servicios de Prevención (BOE nº 104, 1-5-98).

3. CONDICIONES GENERALES DE LOS MEDIOS DE PROTECCIÓN

3.1 COMIENZO DE LAS OBRAS

Antes de comenzar las obras, deben supervisarse las prendas y los elementos de protección individual y colectiva para ver si su estado de conservación y sus condiciones de utilización son óptimas. En caso contrario, se desecharán y serán sustituidos por otros aceptables.



Todos los medios de protección personal se ajustarán a las Normas de Homologación del Ministerio de Trabajo (O.M. 15- 7- 74). Además, y antes de comenzar las obras, el área de trabajo debe mantenerse libre de obstáculos e incluso, si han de producirse excavaciones, regarlas ligeramente para evitar la producción de polvo. Por la noche debe instalarse una iluminación suficiente (del orden de 120 lux en las zonas de trabajo y 10 lux en el resto), cuando se ejecuten trabajos nocturnos. Cuando no se trabaje durante la noche, deberá mantenerse al menos una iluminación mínima en el conjunto, con objeto de detectar posibles peligros y observar correctamente las señales de aviso y de protección.

De no ser así, deben señalizarse todos los obstáculos indicando claramente sus características, como la tensión de una línea eléctrica, la importancia del tráfico de una carretera, etc. Especialmente el personal que maneja la maquinaria de obra debe tener muy advertido el peligro que representan las líneas eléctricas y que en ningún caso podrá acercarse con ningún elemento de las máquinas a menos de 3 metros, (si la línea es superior a 50 KV, la distancia mínima será de 5 metros).

Todos los cruces subterráneos de servicios deben quedar perfectamente señalizados sin olvidar su cota de profundidad.

3.2 PROTECCIONES PERSONALES

Todas las prendas de protección individual de los operarios o elementos de protección colectiva tendrán fijado un período de vida útil, desechándose a su término.

Todos los elementos de protección personal se ajustarán a las Normas Técnicas Reglamentarias MT. De homologación del Ministerio de Trabajo, (O.M. 17- 5- 74) (B.O.E. 27- 5- 74), siempre que exista norma.

En los casos que no exista Norma de Homologación oficial, serán de calidad adecuada a las prestaciones respectivas que se las pide para lo que se pedirá al fabricante informe de los ensayos realizados. Cuando por circunstancias del trabajo se produzca un deterioro más rápido en una determinada prenda o equipo, se repondrá ésta, independientemente de la duración prevista o fecha de entrega.

Toda prenda o equipo de protección que haya sufrido un trato límite, es decir, el máximo para el que fue concebido, por ejemplo por un accidente, será desechado y repuesto al momento.

Aquellas prendas que por su uso hayan adquirido más holguras o tolerancias de las admitidas por el fabricante, serán repuestas inmediatamente.

Toda prenda o equipo de protección individual y todo elemento de protección colectiva estará adecuadamente concebido y suficientemente acabado para que su uso nunca represente un riesgo o daño en sí mismo.

Se considerará imprescindible el uso de los útiles de protección indicados en la Memoria cuyas prescripciones se exponen a continuación.

3.2.1 PRESCRIPCIONES DEL CASCO DE PROTECCIÓN

El casco tendrá superficie lisa, con o sin nervaduras, bordes redondeados y carecerá de aristas y resaltes peligrosos, tanto exterior como interiormente. No presentará rugosidades, hendiduras, burbujas ni defectos que mermen las características resistentes y protectoras del mismo. Ni las zonas de unión ni el atalaje en sí causarán daño o ejercerán presiones incómodas sobre la cabeza del usuario.

El modelo tipo habrá sido sometido al ensayo de choque, mediante percutor de acero, sin que ninguna parte del arnés o casquete presente rotura. También habrá sido sometido al ensayo de perforación, mediante punzón de acero, sin que la penetración pueda sobrepasar los ocho milímetros. Ensayo de resistencia a la llama, sin que llameen más de 15 segundos o goteen. Ensayo eléctrico, sometido a una tensión de 2 Kv., 50 Hz durante 3 segundos, la corriente de fuga no podrá ser superior a 3mA., en el ensayo de perforación elevando la tensión a 2.5 Kv. Durante 15 s., tampoco la corriente de fuga sobrepasará los 3 mA.

En el casco de clase E-AT, las tensiones de ensayo al aislamiento y a la perforación serán de 25 Kv y 30 Kv respectivamente. En ambos casos las corrientes de fuga no podrá ser superior a 10 mA. En el caso de casco clase E-B, en el modelo tipo, se realizarán los ensayos de choque y perforación, con buenos resultados, a una temperatura de -15 °C.

Todos los cascos que se utilicen por los operarios estarán homologados por las especificaciones y ensayos contenidos en la Norma Técnica Reglamentaria MT-1.

3.2.2 PRESCRIPCIONES DEL CALZADO DE SEGURIDAD

El calzado de seguridad que utilizarán los operarios, será botas de seguridad clase III. Es decir, provistas de puntera metálica de seguridad para protección de los dedos contra los riesgos debidos a caída de objetos, golpes y aplastamientos, y suela de seguridad para protección de las plantas de los pies.

La bota deberá cubrir convenientemente el pie y sujetarse al mismo, permitiendo desarrollar un movimiento adecuado al trabajo. Carecerá de imperfecciones y estará tratada para evitar deterioros por agua o humedad. El forro y demás partes internas no producirán efectos nocivos, permitiendo, en lo posible, la transpiración. Su peso no sobrepasará los 800 gramos. Llevará refuerzos amortiguadores de material elástico. Tanto la puntera como la suela de seguridad deberán formar parte integrante de la bota, no pudiéndose separar sin que ésta quede destruida. Todos los elementos metálicos que tengan función protectora, serán resistentes a la corrosión.



El modelo tipo sufrirá un ensayo de resistencia al aplastamiento sobre la puntera hasta 1500 Kg. Y la luz libre durante la prueba será superior a 15 mm, no sufriendo rotura.

También se ensayará al impacto, manteniéndose una luz libre mínima y no apreciándose rotura. El ensayo de perforación se hará mediante punzón con fuerza mínima de perforación de 100 Kg. Sobre la suela, sin que se aprecie perforación. El ensayo de corrosión se realizará en cámara de niebla salina, manteniéndose durante el tiempo de prueba, y sin que presente signos de corrosión.

Todas las botas de seguridad clase III, estarán homologadas por las especificaciones y ensayos contenidos en la Norma Técnica Reglamentaria MT-5.

3.2.3 PRESCRIPCIONES DEL PROTECTOR AUDITIVO

El protector auditivo que utilizarán los operarios será, como mínimo clase E.

El modelo tipo habrá sido probado por un escucha, es decir, persona con una pérdida de audición no mayor de 10 db, respecto a un audiograma normal en cada uno de los oídos y para una de la frecuencias de ensayo.

Las protecciones auditivas de clase E cumplirán lo que sigue:

- Para frecuencias bajas menores de 250 Hz la suma de atenuación será de 10 db.
- Para frecuencias medias de 500 a 4000 Hz, la atenuación mínima de 20 db.
- Para frecuencias altas de 6000 a 8000 Hz, la suma mínima de atenuación será de 35 db.

Todos los protectores auditivos que se utilicen por los operarios estarán homologados por los ensayos contenidos en la Norma Técnica Reglamentaria MT-2.

3.2.4 PRESCRIPCIONES DE LOS GUANTES DE SEGURIDAD

Los guantes de seguridad utilizados por los operarios serán de uso general anticorte, antipinchazos y antierosiones para el manejo de materiales, objetos y herramientas.

Estarán confeccionados con materiales naturales o sintéticos, no rígidos, impermeables a los agresivos de uso común y de características mecánicas adecuadas. Carecerán de orificios, grietas o cualquier deformación o imperfección que merme sus propiedades.

Se adaptarán a la configuración de las manos haciendo confortable su uso. La talla, medida del perímetro del contorno del guante a la altura de la base de los dedos, será la adecuada al operario. Los materiales que entren en su composición nunca producirán dermatosis.

3.3 PRESCRIPCIONES DE CINTURÓN DE SEGURIDAD

Los cinturones de seguridad empleados por los operarios serán cinturones de sujeción clase A. Es decir, cinturón de seguridad utilizado por el usuario para sostenerle a un punto de anclaje anulando la posibilidad de caída libre. Estará constituido por una faja y un elemento de amarre, estando provisto de dos zonas de conexión.

La faja será confeccionada con materiales flexibles que carezcan de empalmes y deshilachaduras. Los cantos o bordes no deben tener aristas vivas que puedan causar molestias. La inserción de elementos metálicos no ejercerá presión directa sobre el usuario.

Todos los elementos metálicos, hebillas, argollas en D y mosquetón sufrirán, en el modelo tipo, un ensayo a la tracción de 70 Kg y una carga de rotura no inferior a 1000 Kg. Serán también resistentes a la corrosión.

Si el elemento de amarre fuese una cuerda, será de fibra natural, artificial o mixta, de trenzado y diámetro uniforme, mínimo 10 mm, y carecerá de imperfecciones. Si fuese una banda debe carecer de empalmes y no tendrá aristas vivas. Este elemento de amarre también sufrirá ensayo a la tracción en el modelo tipo.

Todos los cinturones de seguridad que se utilicen por los operarios estarán homologados por las especificaciones y ensayos contenidos en la Norma Técnica Reglamentaria MT-13.

3.3.1 PRESCRIPCIONES DE GAFAS DE SEGURIDAD

Las gafas de seguridad que utilizarán los operarios, serán gafas de montura universal contra impactos, como mínimo clase A, siendo convenientes de clase D.

Las gafas deberán cumplir los requisitos que siguen:

- Serán ligeras de peso y de buen acabado, no existiendo rebabas ni aristas cortantes o punzantes.
- Podrán limpiarse fácilmente y tolerarán desinfecciones periódicas sin merma de sus prestaciones. No existirán huecos libres en el ajuste de los oculares a la montura.
- Dispondrán de aireación suficiente para evitar en lo posible el empañamiento de los oculares en condiciones normales de uso.
- Todas las piezas o elementos metálicos, en el modelo tipo, se someterán a ensayo de corrosión, no debiendo observarse la aparición de puntos apreciables de corrosión.
- Los materiales no metálicos que entren en su fabricación no deberán inflamarse al someterse a un ensayo de 500°C de temperatura y sometidos a la llama la velocidad de combustión no será superior a 60 mm/min.



- Los oculares estarán firmemente fijados en la montura, no debiendo desprenderse a consecuencia de un impacto de bola de acero de 55 g de masa, desde 130 cm de altura, repetido tres veces consecutivas.
- Tendrán buen acabado, y no presentarán defectos superficiales o estructurales que puedan alterar la visión normal del usuario.
- El valor de la transmisión media al visible, medida con espectrofotómetro, será superior al 89%.

Las gafas de seguridad que se utilicen por los operarios estarán homologadas por las especificaciones y ensayos contenidos en la Norma Técnica Reglamentaria MT-16, Resolución de la Dirección General de Trabajo del 14/06/1978.

3.3.2 PRESCRIPCIONES DE LA MASCARILLA ANTIPOLVO

La mascarilla antipolvo es un adaptador facial que cubre las entradas a las vías respiratorias, siendo sometido el aire del medio ambiente, antes de su inhalación por el usuario, a una filtración de tipo mecánico.

Los materiales constituyentes del cuerpo de la mascarilla podrán ser metálicos, elastómeros o plásticos, con las características que siguen. No producirán dermatosis y su olor no podrá ser causa de trastornos en el trabajador. Serán incombustibles o de combustión lenta. Las mascarillas podrán ser de diversas tallas, pero en cualquier caso tendrán unas dimensiones tales que cubran perfectamente las entradas a las vías respiratorias.

El cuerpo de la mascarilla ofrecerá un buen ajuste con la cara del usuario y sus uniones con los elementos constitutivos cerrarán herméticamente.

Las mascarillas antipolvo que se utilicen por los operarios, deberán estar homologadas de acuerdo con las especificaciones y ensayos contenidos en la Norma Técnica Reglamentaria MT-7, Resolución de la Dirección General de Trabajo del 28/07/1975.

3.3.3 PRESCRIPCIONES DE LA BOTA IMPERMEABLE AL AGUA Y LA HUMEDAD

Las botas impermeables al agua y a la humedad que utilizarán los operarios serán clase N, pudiéndose emplear también la clase E.

La bota impermeable deberá cubrir convenientemente el pie y, como mínimo, el tercio inferior de la pierna, permitiendo al usuario desarrollar el movimiento adecuado al andar en la mayoría de los trabajos. Deberá confeccionarse con caucho natural o sintético u otros productos sintéticos, no rígidos, y siempre que no afecten a la piel del usuario.

Asimismo, carecerán de imperfección o deformación que mermen sus propiedades, así como de orificios, cuerpos extraños u otros defectos que puedan mermar su funcionalidad.

Los materiales de la suela y tacón deberán poseer unas características adherentes tales que eviten deslizamientos, tanto en suelos secos como en aquellos que estén afectados por el agua. El material de la bota tendrá unas propiedades tales que impidan el paso de la humedad ambiente hacia el interior.

La bota impermeable se fabricará, a ser posible, en una sola pieza, pudiéndose adoptar un sistema de cierre diseñado de forma que la bota permanezca estanca. Podrán confeccionarse con soporte o sin él, sin forro o bien forradas interiormente, con una o más capas de tejido no absorbente, que no produzca efectos nocivos en el usuario.

La superficie de la suela y el tacón, destinada a tomar contacto con el suelo, estará provista de resaltes y hendiduras, abiertos hacia los extremos para facilitar la eliminación de material adherido.

Las botas impermeables serán lo suficientemente flexibles para no causar molestias al usuario, debiendo diseñarse de forma que sean fáciles de calzar. Cuando el sistema de cierre o cualquier otro accesorio sean metálicos deberán ser resistentes a la corrosión.

El espesor de la caña deberá ser lo más homogéneo posible, evitándose irregularidades que puedan alterar su calidad, funcionalidad y prestaciones. El modelo tipo se someterá a ensayos de envejecimiento en frío, de humedad, de impermeabilidad y de perforación con punzón, debiendo de superarlos.

Las botas impermeables, utilizadas por los operarios, deberán estar homologadas de acuerdo con las especificaciones y ensayos de la Norma Técnica Reglamentaria M- 27, Resolución de la Dirección General de Trabajo del 03/12/1981.

3.3.4 PRESCRIPCIONES DEL EQUIPO PARA EL SOLDADOR

El equipo de soldadura que utilizarán los soldadores será de elementos homologados, el que lo esté, y los que no lo estén los adecuados del mercado para su función específica.

El equipo estará compuesto por los elementos que siguen: pantalla de soldador, mandil de cuero, par de manguitos, par de polainas y par de guantes.

Los elementos homologados lo estarán en virtud a que el modelo tipo habrá superado las especificaciones y ensayos de las Normas Técnicas Reglamentarias MT-3, MT-18 y MT-19.



3.3.5 PRESCRIPCIONES DE GUANTES AISLANTES DE LA ELECTRICIDAD

Los guantes aislantes de la electricidad que utilizarán los operarios serán para actuación sobre instalación de baja tensión, hasta 1.000 V, o para maniobra de instalación de alta tensión hasta 30.000 V.

En los guantes se podrá emplear como materia prima en su fabricación caucho de alta calidad, natural o sintético, o cualquier otro material de similares características aislantes o mecánicas, pudiendo llevar o no un revestimiento interior de fibras textiles naturales. En caso de guantes que posean dicho revestimiento, éste recubrirá la totalidad de la superficie interior del guante.

Carecerán de costuras, grietas o cualquier deformación o imperfección que merme sus propiedades. Podrán utilizarse colorantes y otros aditivos en el proceso de fabricación, siempre que no disminuyan sus características ni produzcan dermatosis. Se adaptarán a la configuración de las manos, haciendo confortable su uso. No serán en ningún caso ambidiestros.

Los aislantes de baja tensión serán guantes normales, con longitud desde la punta del dedo medio o corazón al filo del guante menor o igual a 430 mm.

Los aislantes de alta tensión serán largos, mayor la longitud de 430 mm. El espesor será variable, según los diversos puntos del guante, pero el máximo admitido será de 2,6 mm.

En el modelo tipo, la resistencia a la tracción no será inferior a 110 kg/cm², el alargamiento a la rotura no será inferior al 600% y la deformación permanente no será superior al 18%. Serán sometidos a prueba de envejecimiento, después de la cual mantendrán como mínimo el 80% del valor de sus características mecánicas y conservarán las propiedades eléctricas que se indican.

Los guantes de baja tensión tendrán una corriente de fuga de 8 mA sometidos a una tensión de 5.000 V y una tensión de perforación de 6.500 V, todo ello medido con una fuente de una frecuencia de 50 Hz. Los guantes de alta tensión tendrán una corriente de fuga de 20 mA a una tensión de prueba de 30.000 V y una tensión de perforación de 35.000 V.

Los guantes aislantes de la electricidad empleados por los operarios estarán homologados según las especificaciones y ensayos de la Norma Técnica Reglamentaria MT4.

3.3.6 PRESCRIPCIONES DE SEGURIDAD PARA LA CORRIENTE ELÉCTRICA DE ALTA TENSIÓN

Los operarios se mantendrán a una distancia de 0.5 m. de cualquier elemento de baja tensión, a no ser que lleven las protecciones adecuadas. Si se sospechase que el elemento está bajo alta tensión, se obligará a los operarios a mantenerse a una distancia no menor a 4 m.

En caso de que la obra interfiera con una línea aérea de baja tensión y no se pudiera retirar ésta, se montarán los correspondientes pórticos de protección, manteniéndose el dintel del pórtico en todas las direcciones a una distancia mínima de los conductores de 0,5 m. Además, se seguirá lo indicado en el Reglamento Electrotécnico para Baja Tensión, concretamente en la Instrucción Técnica Complementaria MI BT 21, de protección contra contactos directos e indirectos.

3.4 PROTECCIONES COLECTIVAS

Sin olvidar los medios de protección personal, necesarios para la prevención de los riesgos que no pueden ser eliminados mediante la adopción de protecciones de ámbito general, se ha previsto la adopción de protecciones colectivas en todas las fases de la obra, en la que pueden servir para eliminar o reducir riesgos derivados de los trabajos.

Se contemplan los medios de protección colectivas durante los trabajos, con la amplitud necesaria para una actuación eficaz, ampliando el concepto de protección colectiva más allá de lo que específicamente puede ser considerado como tal. Además de medios de protección, se prestará atención a otros aspectos, como una iluminación adecuada, una señalización eficaz, una limpieza suficiente de la obra, etc., que sin ser medios específicos de protección colectiva tienen su carácter en cuanto que con la atención debida de los mismos, se mejora el grado de seguridad, al reducir los riesgos de accidentes.

Las medidas de protección de zonas o puntos peligrosos serán entre otras, las siguientes:

- Barandillas y vallas para la protección y limitación de zonas peligrosas. Tendrán una altura de al menos 90 cm y estarán construidas de tubos o redondos metálicos de rigidez suficiente. Dispondrán de patas para mantener su verticalidad.
- Señales: todas las señales deberán tener las dimensiones y colores reglamentados por el Ministerio de Fomento.
- Topes de desplazamiento de vehículos: se podrán realizar con un par de tablones embridados, fijados al terreno por medio de redondos hincado al mismo.
- Pasillos de seguridad: podrán realizarse a base de pórticos con pies derechos y dintel a base de tablones embridados, firmemente sujetos al terreno y cubierta cuajada de tablones. Estos elementos también podrán ser metálicos.
- Redes: serán de poliamida.
- Las plataformas de trabajo tendrán como mínimo 60 cm de ancho y las situadas a más de 2 metros del suelo estarán dotadas de barandilla de 90 cm de altura, listón intermedio y rodapié de 20 cm.
- Las escaleras de mano deberán ir provistas de zapatas antideslizantes.
- Los extintores de polvo polivalente se revisarán cada seis meses y cumplirán las condiciones especificadas en la Normativa vigente al respecto (NBE/CPI-82).



- Los pórticos limitadores de gálibo dispondrán de dintel debidamente señalizado.
- Los vehículos de carga llevarán bien visibles placas donde se especifiquen la tara y la carga máxima, el peso máximo por eje y la presión sobre el terreno de los vehículos de cadenas.
- Los medios auxiliares de topografía, tales como cintas, jalones, miras telescópicas, etc., serán dieléctricos.
- Lonas. Serán de buena calidad y de gran resistencia a la propagación de la llama.
- Bandas de separación con vías y carreteras con tráfico. Se colocarán con pies derechos metálicos bien empotrados en el terreno. La banda será de plástico de colores vivos. La resistencia mínima a la tracción será de 50 Kg.
- Conos de separación en carreteras. Se colocarán lo suficientemente próximos para delimitar en todo caso la zona de trabajo o de peligro.

3.5 NORMAS Y CONDICIONES A CUMPLIR EN LA SEÑALIZACIÓN DE LA OBRA

Señalización de riesgos en el trabajo:

La señalización de seguridad y salud en el lugar de trabajo se regirá por el R.D. 485/1997 de 14 de abril, sobre disposiciones mínimas en materia de señalización de seguridad y salud en el trabajo.

Para la señalización de desniveles, obstáculos u otros elementos que originen riesgos de caídas, choques o golpes se podrá optar por colocar señales en paneles o por utilizar la señalización por color, o podrán utilizarse ambos complementariamente.

4. NORMAS DE PREVENCIÓN

4.1 EXCAVACIÓN EN ZANJAS

La zona de zanja abierta estará protegida mediante redes de nylon, malla 5 x 5 y/o barandillas autoportantes en cadena tipo "ayuntamiento", ubicadas a 2 m del borde superior del corte. Se dispondrán pasarelas de madera de 60 cm de anchura, (mínimo 3 tablones de 7 cm. de grosor), bordeadas con barandillas sólidas de 90 cm, de altura, formadas por pasamanos, barra intermedia y rodapié de 15 cm. Se colocarán, sobre las zanjas en las zonas de paso de vehículos, palastros continuos resistentes que imposibiliten la caída a la zanja.

El lado de circulación de camiones o de maquinaria quedará balizado a una distancia de la zanja no inferior a 2 m, mediante el uso de cuerda de banderolas, o mediante bandas de tablón tendidas en línea en el suelo. El personal deberá bajar o subir siempre por escaleras de mano sólidas y seguras, que sobrepasen en 1 m en borde de la zanja, y estarán amarradas firmemente al borde superior de coronación. No se permite que en las inmediaciones de las zanjas haya acopios de materiales a una distancia inferior a 2 m del borde, en prevención de los vuelcos o deslizamientos por sobrecarga.

En presencia de conducciones o servicios subterráneos imprevistos, se paralizarán de inmediato los trabajos, dando aviso urgente al Jefe de Obra. Las tareas se reanudarán tras ser estudiado el problema surgido por la Dirección Facultativa, siguiendo sus instrucciones expresas. Con lluvia de gran intensidad o aparición de nivel freático alto, se vigilará el comportamiento de los taludes en prevención de derrumbamientos sobre los operarios. Se ejecutarán lo antes posible los achiques necesarios.

El personal que debe trabajar en el interior de las zanjas en esta obra conocerá los riesgos a los que pueda estar sometido. Cuando la profundidad de una zanja sea igual o superior a 1,5 m se entibará. Cuando la profundidad de una zanja sea igual o superior a los 2 m se protegerán los bordes de coronación mediante una barandilla reglamentaria situada a una distancia mínima de 2 m del borde. Se revisará el estado de cortes o taludes, a intervalos regulares, en aquellos casos en los que puedan recibir empujes por proximidad de caminos, carreteras, etc. transitados por vehículos, y en especial, si en la proximidad se establecen tajos con usos de martillos neumáticos, compactaciones por vibración o paso de maquinaria pesada.

Los trabajos a realizar en los bordes de las zanjas o trincheras, con taludes no muy estables, se ejecutarán sujetos con el cinturón de seguridad amarrado a puntos fuertes ubicados en el exterior de las zanjas. Se efectuará el achique inmediato de las aguas que afloren (o caigan) en el interior de las zanjas para evitar que se altere la estabilidad de los taludes. Ninguna persona permanecerá dentro del radio de acción de las máquinas. La circulación de vehículos se realizará como mínimo a 3 m, para vehículos ligeros, y a 4 m, para pesados, del borde de la excavación. Se prohíbe permanecer o trabajar al pie de una zanja recién abierta, antes de haber procedido a su saneo, entibado, etc.

Los taludes se revisarán especialmente en época de lluvias y cuando se produzcan cambios de temperatura que puedan ocasionar descongelación o congelación del agua del terreno.

Antes del inicio de los trabajos se inspeccionará el tajo con el fin de detectar posibles grietas o movimientos del terreno. Las zonas de trabajo se mantendrán limpias y ordenadas. Si a los taludes de la excavación no es posible darles su pendiente natural, los laterales de las zanjas se entibarán. Si las condiciones del terreno no permiten la permanencia de personas dentro de la zanja, se hará el entibado desde fuera de la zanja. Las máquinas eléctricas estarán dotadas de doble aislamiento, o en su defecto, estarán provistas de interruptores diferenciales, asociados a sus correspondientes puestas a tierra. Se utilizará alumbrado portátil alimentado con tensión de seguridad (24 voltios), con portalámparas estancos, dotados de mango aislante y rejilla protectora.



4.2 RELLENOS

Durante la maniobra de descenso de la caja de los camiones, tras el vertido de tierras, en especial, en presencia de tendidos eléctricos aéreos se prohíbe la marcha hacia atrás con la caja levantada. Se prohíbe también que los vehículos transporten personal fuera de la cabina de conducción en número superior a los asientos existentes, en el interior.

Para evitar desplomes y caídas, las maniobras de marcha atrás de los vehículos al borde de terraplenes se dirigirán por personal especializado. Se señalarán los accesos a la vía pública mediante señalización vial normalizada de peligro indefinido y STOP.

Los vehículos subcontratados tendrán vigente la Póliza de Seguros con Responsabilidad Civil ilimitada, el Carnet de Empresa y los Seguros Sociales cubiertos, antes de comenzar los trabajos en la obra. Todo el personal que maneje los camiones, dumpers, motoniveladoras, apisonadoras o compactadoras, será especialista en el manejo de estos vehículos, estando en posesión de la documentación de capacitación acreditativa. Todos los vehículos pasarán la revisión periódica (ITV), en especial, en los órganos de accionamiento neumático, quedando reflejadas las revisiones en el libro de mantenimiento. Se prohíbe sobrecargar los vehículos por encima de la carga máxima admisible, que llevarán siempre escrita de forma legible. Todos los vehículos de transporte de material empleados también especificarán claramente la tara y la carga máxima.

Cada equipo de carga para rellenos será dirigido por un jefe de equipo que coordinará las maniobras. Se regarán periódicamente los tajos, las cargas y cajas de camión, para evitar las polvaredas, especialmente si se debe conducir por vías públicas, calles y carreteras. Se señalarán los accesos y recorrido de los vehículos en el interior de la obra para evitar las interferencias.

Se instalarán en el borde de los terraplenes de vertidos, fuertes topes de limitación de recorrido para el vertido de retroceso. Todas las maniobras de vertido en retroceso serán dirigidas por personal capacitado.

Todos los vehículos empleados en esta obra, para las operaciones de relleno serán dotados de bocina automática de marcha atrás. Se establecerán a lo largo de la obra los letreros divulgativos y señalización de los riesgos propios de este tipo de trabajos: peligro de vuelco, atropello, colisión, etc.

Los conductores de cualquier vehículo provisto de cabina cerrada, quedan obligados a utilizar el casco de seguridad al abandonar la cabina, en el interior de la obra.

4.3 MANEJO DE MÓDULOS Y MATERIALES POR MEDIOS MECÁNICOS

En el manejo de módulos de la estructura, o de otros elementos o materiales mediante medios mecánicos, deberán extremarse las precauciones para evitar fallos técnicos en ganchos, cables y eslingas.

a) Ganchos:

- Respetar la carga máxima de utilización.
- Respetar la vida útil de los ganchos.
- Desechar los ganchos doblados; nunca deben enderezarse si se han doblado.

b) Cables:

- Los cables deben ser de la composición adecuada y tener la capacidad de carga o necesaria para el uso al que se destinen.
- Deben revisarse frecuentemente y realizar el oportuno mantenimiento, mediante su engrase para reducir el desgaste y protegerlos de la corrosión.
- Los cables deben almacenarse en lugares secos y bien ventilados y no deben apoyarse directamente en el suelo.

c) Eslingas:

- Cuidar del asentamiento de las eslingas: es fundamental que la eslinga quede bien asentada en la parte baja del gancho.
- Evitar los cruces de eslingas. La mejor manera de evitar éstos es reunir los distintos ramales en un anillo central.
- Elegir los terminales adecuados. En una eslinga se pueden colocar diversos accesorios: anillas, grilletes, ganchos, etc., cada uno tiene una aplicación concreta.
- Asegurar la resistencia de los puntos de enganche y conservarlas en buen estado. No se deben dejar a la intemperie y menos aún tiradas por el suelo.



5. INSTALACIONES

5.1 SERVICIO MÉDICO: RECONOCIMIENTO Y BOTIQUÍN

La empresa constructora deberá disponer de un Servicio Médico de Empresa propio o mancomunado, según el Reglamento de los Servicios Médicos de Empresa, O.M. del 21-11-1959.

Todos los operarios que empiecen a trabajar en la obra, deberán pasar un reconocimiento médico previo al inicio del trabajo, y que será repetido cada año.

El botiquín se encontrará en local limpio y adecuado al mismo. Estará señalizado convenientemente tanto el propio botiquín como su exterior, donde existirá señalización de indicación de acceso al mismo. La persona, que lo atienda habitualmente, deberá poseer unos conocimientos médicos mínimos.

El botiquín contendrá al menos:

- Agua oxigenada
- Alcohol de 96°
- Tintura de yodo
- Mercurio-cromo
- Amoniaco
- Gasas esterilizadas
- Algodón
- Vendas
- Esparadrapo
- Antiespasmódicos
- Analgésicos
- Torniquetes
- Guantes esterilizados
- Termómetros clínicos
- Tijera

Se revisará periódicamente el botiquín reponiendo o sustituyendo todo lo que fuere preciso.

5.2 LOCALES DE HIGIENE Y BIENESTAR

Se dispondrá de vestuario, servicios higiénicos y comedor, debidamente dotados.

El vestuario albergará taquillas individuales, con llave, asientos y calefacción. Los servicios higiénicos tendrán al menos un lavabo y una ducha con agua caliente por cada diez trabajadores y al menos un WC por cada 25 trabajadores, disponiendo de espejos y calefacción.

El comedor contará con mesas y asientos con respaldo, pilas, lavavajillas, calienta comidas, calefacción y un recipiente para desperdicios.

Para la limpieza y conservación de estos locales se dispondrá de un trabajador con la dedicación necesaria.

6. RESPONSABLES DE SEGURIDAD Y SALUD EN LA OBRA

6.1 COMUNICACIÓN A LA DIRECCIÓN FACULTATIVA

Antes del inicio de las obras se comunicará a la Dirección Facultativa los nombres de los responsables de seguridad e higiene, así como sus sustitutos en caso de baja o ausencia.

6.2 VIGILANTE DE SEGURIDAD

La empresa constructora nombrará un Vigilante de Seguridad que será un técnico del Servicio Técnico de Seguridad, o un monitor de Seguridad, o un socorrista.

En todo caso, será la persona más preparada en estas materias, y siempre recaerá el nombramiento en una persona que tenga amplios conocimientos de la obra y esté en ella con asiduidad.

6.3 JEFE DE SEGURIDAD

La empresa constructora nombrará un Jefe de Seguridad que será un Técnico del Servicio de Seguridad con amplios conocimientos de la obra y con presencia constante en la misma.

Sus funciones serán:

- Coordinar los cursillos de formación e información de todos los operarios.
- Ser el responsable de la seguridad de las obras.
- Convocar, promover y dirigir las reuniones periódicas con los operarios, así como cualquier otra función que le encomiende este documento.
- Comunicar por orden jerárquico al vigilante las situaciones que puedan producirse y proponer medidas preventivas a adoptar.



6.4 COORDINADOR EN MATERIA DE SEGURIDAD Y SALUD DURANTE LA EJECUCIÓN DE LA OBRA

La Dirección de Obra, antes del inicio de los trabajos designará un coordinador en materia de seguridad y salud durante la ejecución de la obra si en la ejecución de la obra interviene más de una empresa, o una empresa y trabajadores autónomos o diversos trabajadores autónomos.

El coordinador deberá ser técnico competente en la materia y estará integrado en la Dirección facultativa.

Sus funciones serán las siguientes:

- Coordinar la aplicación de los principios generales de prevención y de seguridad
- Coordinar las actividades de la obra para garantizar que los contratistas y, en su caso, los subcontratistas y los trabajadores autónomos apliquen de manera coherente y responsable los principios de la acción preventiva que se recogen en el artículo 15 de la Ley de Prevención de Riesgos Laborales durante la ejecución de la obra y, en particular, en las tareas o actividades a que se refiere el artículo 10 del R.D. 1627/1997 y que son las que se indican a continuación:
- El coordinador de Seguridad y Salud, o en su defecto el Director de la obra emitirá un informe respecto al plan elaborado por el contratista, elevándolo a la Administración para su correspondiente aprobación.
- Organizar la coordinación de actividades empresariales prevista en el artículo 24 de la Ley de Prevención de Riesgos Laborales.
- Coordinar las acciones y funciones de control de la aplicación correcta de los métodos de trabajo.
- Adoptar las medidas necesarias para que sólo las personas autorizadas puedan acceder a la obra. Cuando no sea necesaria la designación de coordinador, será el Director de Obra el que asume esta función.

6.5 OBLIGACIONES DE LOS CONTRATISTAS Y SUBCONTRATISTAS

Las funciones de los contratistas, y subcontratistas si los hubiera, serán:

- Aplicar los principios de la acción preventiva que se recogen en el artículo 15 de la Ley de Prevención de Riesgos Laborales, en particular al desarrollar las tareas o actividades indicadas en el punto b) del artículo 3.4. del presente pliego.
- Cumplir y hacer cumplir a su personal lo establecido en el Plan de Seguridad y Salud.
- Cumplir la normativa en materia de prevención de riesgos laborales, teniendo en cuenta, en su caso, las obligaciones sobre coordinación de actividades empresariales previstas en el artículo 24 de la Ley de Prevención de Riesgos Laborales, así como cumplir las disposiciones mínimas establecidas en el anexo IV del R.D. 1627/1997, durante la ejecución de la obra.

- Informar y proporcionar las instrucciones adecuadas a los trabajadores autónomos sobre las medidas que hayan de adoptarse en lo que se refiere a su seguridad y salud en la obra.
- Atender las indicaciones y cumplir las instrucciones del coordinador en materia de seguridad y salud durante la ejecución de la obra, o en su caso el Director de obra.

6.6 COMITÉ DE SEGURIDAD Y SALUD

El Comité de Seguridad y Salud es el órgano paritario y colegiado de participación destinado a la consulta regular y periódica de las actuaciones de la empresa en materia de prevención de riesgos. Será necesaria su constitución en todas las empresas o centros de trabajo que cuenten con 50 o más trabajadores. Estará formado por los Delegados de Prevención y por el empresario y/o sus representantes en número igual al de los Delegados de Prevención, de la otra. Se reunirá trimestralmente y siempre que lo solicite alguna de las representaciones del mismo.

Sus funciones son:

- Participación en la elaboración, puesta en práctica y evaluación de los planes y programas de prevención de riesgos en la empresa.
- Promover iniciativas sobre métodos y procedimientos para la efectiva prevención de los riesgos, proponiendo a la empresa la mejora de las condiciones o la corrección de las deficiencias. Existentes.

En el ejercicio de sus competencias, dicho Comité estará facultado para:

- Conocer y analizar los daños producidos en la salud o en la integridad física de los trabajadores, al objeto de valorar sus causas y proponer las medidas preventivas oportunas.
- Conocer directamente la situación relativa a la prevención de riesgos en el centro de trabajo, realizando a tal efecto las visitas que considere oportunas.
- Conocer cuántos documentos e informes relativos a las condiciones de trabajo sean necesarios para el cumplimiento de sus funciones, así como los procedentes de la actividad del servicio de prevención, en su caso.
- Conocer e informar la memoria y programación anual de servicios de prevención.



7. PLAN DE SEGURIDAD Y SALUD

El Contratista elaborará un Plan de Seguridad y Salud en el Trabajo en el que se analicen, estudien, desarrollen y complementen las previsiones contenidas en el estudio, en función de su propio sistema de ejecución de la obra. Se incluirán las propuestas de medidas alternativas de prevención que el Contratista proponga con la correspondiente justificación técnica, que no podrán implicar disminución de los niveles de protección previstos en el estudio.

El Coordinador en materia de seguridad y de salud antes del inicio de la obra aprobará el Plan de Seguridad y Salud. En el caso de planes de seguridad y salud elaborados en aplicación del Estudio de Seguridad y Salud las propuestas de medidas alternativas de prevención incluirán la valoración económica de las mismas.

En relación con los puestos de trabajo en la obra, el Plan de Seguridad y Salud en el Trabajo a que se refiere este artículo constituye el instrumento básico de ordenación de las actividades de identificación y, en su caso, evaluación de los riesgos y planificación de la actividad preventiva a las que se refiere el capítulo II del Real Decreto por el que se aprueba el Reglamento de los Servicios de Prevención.

El Plan de Seguridad y Salud podrá ser modificado por el Contratista en función del proceso de ejecución de la obra, la evolución de los trabajos y de las posibles incidencias o modificaciones que puedan surgir a lo largo de la obra, pero siempre con la aprobación expresa de la Dirección de Obra.

Este Plan estará en la obra a disposición permanente de la Dirección Facultativa.

8. LIBRO DE INCIDENCIAS

En la oficina principal de la obra, existirá un libro de incidencias habilitado al efecto, facilitado por el Colegio Profesional que vise el Proyecto de ejecución de la obra.

Este libro constará de hojas cuadruplicadas que se destinarán a:

- Inspección de Trabajo y Seguridad Social de la provincia donde se realiza la obra.
- Dirección facultativa de las mismas.
- Contratista adjudicatario y, en su defecto, Vigilante de Seguridad y representante de los trabajadores.

El libro de incidencias, que deberá mantenerse siempre en la obra, estará en poder del coordinador en materia de seguridad y salud durante la ejecución de la obra o, cuando no fuera necesaria la designación de coordinador, en poder de la dirección facultativa.

El coordinador en materia de seguridad y salud dispondrá del libro de incidencias durante la ejecución de la obra. En caso de que no fuera necesaria la designación de coordinador, estará en poder de la dirección facultativa. Dicho libro debe mantenerse siempre en la obra. Tendrán acceso la dirección facultativa de la obra, los contratistas y subcontratistas y los trabajadores autónomos, así como las personas u órganos con responsabilidades en materia de prevención en las empresas intervinientes en la obra, los representantes de los trabajadores y los técnicos de los órganos especializados en materia de seguridad y salud en el trabajo de las Administraciones públicas competentes, quienes podrán hacer anotaciones en el mismo, relacionadas con los fines que al libro se le reconocen.

De acuerdo con el RD 555/86, podrán hacer anotaciones en dicho libro:

- La Dirección Facultativa.
- Los Técnicos de los Gabinetes Provinciales de Seguridad y los responsables de los trabajadores.

9. MEDICIÓN Y ABONO DE SEGURIDAD Y SALUD EN EL TRABAJO

La medición de las distintas partidas que constituyen el Artículo de Seguridad y Salud, se efectuará periódicamente por fracciones de cada unidad, proporcionalmente al importe de las obras ejecutadas a las que afecten, de modo que con la última certificación se abone el 95% de cada precio unitario consignado para este fin, quedando el 5% restante para abono en la liquidación de las obras.

Si en algún mes o parte de él las medias de Seguridad y Salud adoptadas son consideradas insuficientes por la Dirección Facultativa, no se abonará la parte del precio correspondiente, no recuperándose posteriormente.

Las medidas de protección adicionales que puedan resultar aconsejables o impuestas por la Dirección de Obra o por otras instancias competentes, no serán objeto de abono independiente, considerándose repercutidas en los diferentes conceptos de varios y medios auxiliares y en costes indirectos.

Se abonarán a los precios que para cada unidad figuren en el Cuadro de Precios N° 1 del contrato. Dichos precios incluyen la instalación, mantenimiento, desmontaje, retirada, limpieza y cuantos elementos y medios auxiliares sean precisos para el fin a que están destinados, aunque no estén explícitamente citados en la descomposición del precio y, concretamente, para el cumplimiento de la legislación vigente en materia de Seguridad y Salud en el Trabajo, no pudiendo el Contratista reclamar cantidades distintas a las indicadas.



Santiago de Compostela, Febrero 2016.

El autor del Proyecto

Rubén Sánchez Faro



ANEJO N° 15: SEGURIDAD Y SALUD (PRESUPUESTO)



ÍNDICE

1.	MEDICIONES.....	2
2.	CUADRO DE PRECIOS Nº 1.....	6
3.	CUADRO DE PRECIOS Nº 2.....	10
4.	PRESUPUESTO.....	15
5.	RESUMEN DEL PRESUPUESTO.....	19



1. MEDICIONES

CAPÍTULO 01 EQUIPOS DE PROTECCIÓN INDIVIDUAL

<p>01.01 u Casco seguridad básico Casco de seguridad de plástico resistente al impacto mecánico, con atalaje adaptable (homologación nº 12 clase N y EAT). Certificado CE s/R.D. 773/97 y R.D. 1407/92</p> <hr/> <p style="text-align: right;">10,00</p>	<p>01.11 u Traje impermeable 2 p. PVC Traje impermeable de trabajo, 2 piezas de PVC, (amortizable en un uso). Certificado CE. s/R.D. 773/97 y R.D. 1407/92.</p> <hr/> <p style="text-align: right;">10,00</p>
<p>01.02 u Casco seg. dieléctr. c. pantalla Casco de seguridad dieléctrico con pantalla para protección de descargas eléctricas, (amortizable en 5 usos). Certificado CE. s/R.D. 773/97 y R.D. 1407/92.</p> <hr/> <p style="text-align: right;">3,00</p>	<p>01.12 u Faja protección lumbar Cinturón-faja antilumbago con faja elástica, amortizable 4 usos. Certificado CE. s/R.D. 773/97 y R.D. 1407/92.</p> <hr/> <p style="text-align: right;">10,00</p>
<p>01.03 u Pantalla seguridad cabeza soldador Pantalla de seguridad de cabeza, para soldador, de fibra vulcanizada, con cristal de 110 x 55 mm., (amortizable en 5 usos). Certificado CE. s/R.D. 773/97 y R.D. 1407/92</p> <hr/> <p style="text-align: right;">3,00</p>	<p>01.13 u Mandil cuero para soldador Mandil de cuero para soldador, amortizable 3 usos. Certificado CE. s/R.D. 773/97 y R.D. 1407/92.</p> <hr/> <p style="text-align: right;">3,00</p>
<p>01.04 u Pantalla protección c. partículas Pantalla para protección contra partículas, con sujeción en cabeza, (amortizable en 5 usos). Certificado CE. s/R.D. 773/97 y R.D. 1407/92.</p> <hr/> <p style="text-align: right;">3,00</p>	<p>01.14 u Peto reflectante amarillo/naranja Peto reflectante de seguridad personal en colores amarillo y naranja (amortizable en 3 usos). Certificado CE. s/R.D. 773/97 y R.D. 1407/92.</p> <hr/> <p style="text-align: right;">10,00</p>
<p>01.05 u Gafas protectoras Gafas protectoras contra impactos, incoloras (amortizable en 3 usos). Certificado CE s/R.D. 773/97 y R.D. 1407/92.</p> <hr/> <p style="text-align: right;">3,00</p>	<p>01.15 u Par guantes de goma látex anticorte Par de guantes de goma látex anticorte. Certificado CE. s/R.D. 773/97 y R.D. 1407/92.</p> <hr/> <p style="text-align: right;">10,00</p>
<p>01.06 u Filtro antipolvo Mascarilla antipolvo de doble filtro (amortizable en 3 usos). Certificado CE s/R.D. 773/97 y R.D. 1407/92.</p> <hr/> <p style="text-align: right;">10,00</p>	<p>01.16 u Par guantes piel para conducir Par de guantes piel-conductor. Certificado CE. s/R.D. 773/97 y R.D. 1407/92.</p> <hr/> <p style="text-align: right;">10,00</p>
<p>01.07 u Juego tapones antirruido espuma poliuretano Juego de tapones antirruido de poliuretano ajustables. Certificado CE. s/R.D. 773/97 y R.D. 1407/92.</p> <hr/> <p style="text-align: right;">10,00</p>	<p>01.17 u Par guantes p/soldador Par de guantes para soldador (amortizables en 3 usos). Certificado CE. s/R.D. 773/97 y R.D. 1407/92.</p> <hr/> <p style="text-align: right;">3,00</p>
<p>01.08 u Cascos protectores auditivos Protectores auditivos con arnés a la nuca (amortizable 3 usos). Certificados CE s/R.D. 773/97 y R.D. 1407/92.</p> <hr/> <p style="text-align: right;">10,00</p>	<p>01.18 u Par guantes aislam. 5.000 V. Par de guantes aislantes para protección de contacto eléctrico en tensión hasta 5.000 V., (amortizables en 3 usos). Certificado CE. s/R.D. 773/97 y R.D. 1407/92.</p> <hr/> <p style="text-align: right;">3,00</p>
<p>01.09 u Cinturón portaherramientas Cinturón portaherramientas (amortizable en 4 usos). Certificado CE. s/R.D. 773/97 y R.D. 1407/92.</p> <hr/> <p style="text-align: right;">10,00</p>	<p>01.19 u Par botas de agua de seguridad Par de botas de seguridad con plantilla y puntera de acero (amortizables en 1 usos). Certificado CE. s/R.D. 773/97 y R.D. 1407/92.</p> <hr/> <p style="text-align: right;">10,00</p>
<p>01.10 u Mono de trabajo poliéster-algodón Mono de trabajo de una pieza de poliéster-algodón (amortizable en un uso). Certificado CE. s/R.D.773/97 y R.D. 1407/92.</p> <hr/> <p style="text-align: right;">10,00</p>	<p>01.20 u Par botas de seguridad Par de botas de seguridad con plantilla y puntera de acero (amortizables en 1 usos). Certificado CE. s/R.D. 773/97 y R.D. 1407/92.</p> <hr/> <p style="text-align: right;">10,00</p>
	<p>01.21 u Par botas aislantes 5.000 V. Par de botas aislantes para electricista hasta 5.000 V. de tensión (amortizables en 3 usos). Certificado CE. s/R.D. 773/97 y R.D. 1407/92.</p> <hr/> <p style="text-align: right;">3,00</p>



01.22	<p>u Par polainas para soldador Par de polainas para soldador (amortizables en 3 usos). Certificado CE. s/R.D. 773/97 y R.D. 1407/92.</p>	3,00	03.03	<p>u Alq. mes caseta oficina 4,64x2,45 Mes de alquiler de caseta prefabricada para un despacho de oficina en obra de 4,64x2,45x2,45 m. de 11,36 m2. Estructura y cerramiento de chapa galvanizada pintada, aislamiento de poliestireno expandido autoextinguible, interior con tablero melaminado en color. Cubierta de chapa galvanizada reforzada con perfil de acero; fibra de vidrio de 60 mm., interior con tablex lacado. Suelo de aglomerado revestido con PVC continuo de 2 mm., y poliestireno de 50 mm. con apoyo en base de chapa galvanizada de sección trapezoidal. Puerta de 0,8x2 m., de chapa galvanizada de 1 mm., reforzada y con poliestireno de 20 mm., picaporte y cerradura. Ventana aluminio anodizado corredera, contraventana de acero galvanizado. Instalación eléctrica a 220 V., toma de tierra, automático, 2 fluorescentes de 40 W., enchufe de 1500 W. punto luz exterior. Con transporte a 150 km.(ida y vuelta). Entrega y recogida del módulo con camión grúa. Según R.D. 486/97.</p>	6,00
01.23	<p>u Par rodilleras Par de rodilleras ajustables de protección ergonómica (amortizables en 3 usos). Certificado CE. s/R.D. 773/97 y R.D. 1407/92.</p>	10,00	03.04	<p>u Alq. mes caseta comedor 7,92x2,45 Ud. Mes de alquiler de caseta prefabricada para comedor de obra de 6x2.35 m., con estructura metálica mediante perfiles conformados en frío y cerramiento chapa nervada y galvanizada con terminación de pintura prelacada. Aislamiento interior con lana de vidrio combinada con poliestireno expandido. Revestimiento de P.V.C. en suelos y tablero melaminado en paredes. Ventanas de aluminio anodizado, con persianas correderas de protección, incluso instalación eléctrica con distribución interior de alumbrado y fuerza con toma exterior a 220 V.</p>	6,00
01.24	<p>u Arnés amarre dorsal + torácicos Equipo completo para trabajos en vertical y horizontal compuesto por un arnés de seguridad con amarre dorsal y anilla torsal, fabricado con cinta de nylon de 45 mm. y elementos metálicos de acero inoxidable, un dispositivo anticaídas deslizante de doble función y un rollo de cuerda poliamida de 14 mm. de 2 m. con lazada, incluso bolsa portaequipo. Amortizable en 4 obras. Certificado CE Norma EN 36- EN 696- EN 353-2. s/R.D. 773/97 y R.D. 1407/92.</p>	10,00	03.05	<p>u Acometida prov. eléct. a caseta Acometida provisional de electricidad a caseta de obra, desde el cuadro general formada por manguera flexible de 4x6 mm2 de tensión nominal 750 V., incorporando conductor de tierra color verde y amarillo, fijada sobre apoyos intermedios cada 2,50 m. instalada.</p>	5,00
CAPÍTULO 02 EQUIPOS DE PROTECCIÓN COLECTIVA			03.06	<p>u Acometida prov. sane. a caseta en superfic. Acometida provisional de saneamiento de caseta de obra a la red general municipal (pozo o imbornal), hasta una distancia máxima de 8 m., formada por tubería en superficie de PVC de 110 mm. de diámetro interior, tapado posterior de la acometida con hormigón en masa HM-20/P/20/I, y con p.p. de medios auxiliares.</p>	2,00
02.01	<p>u Valla contenc. peatones 2,5x1 m Valla de contención de peatones, metálica, prolongable de 2,50 m. de largo y 1 m. de altura, color amarillo, amortizable en 5 usos, incluso colocación y desmontaje. s/R.D. 486/97.</p>	35,00	03.07	<p>u Percha para aseos o duchas Percha para aseos o duchas en aseos de obra, colocada.</p>	2,00
02.02	<p>m2 Red seguridad poliamida 10x10 cm Red horizontal de seguridad en cubrición de huecos formada por malla de poliamida de 10x10 cm enudada con cuerda de D=3 mm y cuerda perimetral de D=10 mm para amarre de la red a los anclajes de acero de D=10 mm conectados a las armaduras perimetrales del hueco cada 50 cm y cinta perimetral de señalización fijada a pies derechos. Amortizable en 8 usos. S/RD 488/97</p>	135,00	03.08	<p>u Espejo vestuarios y aseos Espejo para vestuarios y aseos, colocado.</p>	1,00
CAPÍTULO 03 INSTALACIONES DE HIGIENE Y BIENESTAR			03.09	<p>u Dosificador jabón líquido Dosificador de jabón de uso industrial de 1 l. de capacidad, con dosificador de jabón colocada (amortizable en 3 usos).</p>	2,00
03.01	<p>u Alq. mes caseta pref. aseo 4,00x2,23 Mes de alquiler de caseta prefabricada para aseos en obra de 4,00x2,23x2,63 m. Estructura y cerramiento de chapa galvanizada pintada, con aislamiento de poliestireno expandido. Ventana de 0,84x0,80 m. de aluminio anodizado, corredera, con reja y luna de 6 mm., termo eléctrico de 50 l., dos placas turcas, dos placas de ducha y lavabo de tres grifos, todo de fibra de vidrio con terminación de gel-coat blanco y pintura antideslizante, suelo contrachapado hidrófugo con capa fenólica antideslizante y resistente al desgaste, puerta madera en turca, cortina en ducha. Tubería de polibutileno aislante y resistente a incrustaciones, hielo y corrosiones, instalación eléctrica mono. 220 V. con automático. Con transporte a 150 km.(ida y vuelta). Entrega y recogida del módulo con camión grúa. Según R.D. 486/97.</p>	6,00	03.10	<p>u Dispensador de papel toalla Dispensador de papel toalla con cerradura de seguridad, colocado. Amortizable en 3 usos.</p>	2,00
03.02	<p>u Alq. mes caseta almacén 5,98x2,45 Mes de alquiler de caseta prefabricada para almacén de obra de 5,98x2,45x2,45 m. de 14,65 m2. Estructura de acero galvanizado. Cubierta y cerramiento lateral de chapa galvanizada trapezoidal de 0,6 mm. reforzada con perfiles de acero, interior prelacado. Suelo de aglomerado hidrófugo de 19 mm. puerta de acero de 1 mm., de 0,80x2,00 m. pintada con cerradura. Ventana fija de cristal de 6 mm., cercado con perfil de goma. Con transporte a 150 km.(ida y vuelta). Entrega y recogida del módulo con camión grúa. Según R.D. 486/97.</p>	6,00			



<p>03.11 u Taquilla metálica individual Taquilla metálica individual para vestuario de 1,80 m. de altura en acero laminado en frío, con tratamiento antifosfatante y anticorrosivo, con pintura secada al horno, cerradura, balda y tubo percha, lamas de ventilación en puerta, colocada, (amortizable en 3 usos).</p> <hr/> <p>03.12 u Mesa melamina para 10 personas Mesa de melamina para comedor de obra con capacidad para 10 personas, (amortizable en 3 usos).</p> <hr/> <p>03.13 u Depósito-cubo basuras Cubo para recogida de basuras. (amortizable en 2 usos).</p> <hr/> <p>03.14 u Acometida prov. fonta.a caseta cometida provisional de fontanería para obra de la red general municipal de agua potable hasta una longitud máxima de 8 m., realizada con tubo de polietileno de 25 mm. de diámetro, de alta densidad y para 10 atmósferas de presión máxima con collarín de toma de fundición, p.p. de piezas especiales de polietileno y tapón roscado, incluso derechos y permisos para la conexión, terminada y funcionando, y sin incluir la rotura del pavimento.</p> <hr/> <p>03.15 u Acometida prov. telef. a caseta Acometida provisional de teléfono a caseta de obra, según normas de la C.T.N.E.</p> <hr/> <p>03.16 u Horno microondas 18 l. 700W Horno microondas de 18 litros de capacidad, con plato giratorio incorporado (amortizable en 5 usos).</p> <hr/> <p>03.17 u Banco madera para 5 personas</p> <hr/> <p>03.18 u Radiador eléctrico 1000 W. Radiador eléctrico mural de 1000 W. totalmente instalado. (amortizable en 5 usos).</p> <hr/>	<p>10,00</p> <hr/> <p>1,00</p> <hr/> <p>1,00</p> <hr/> <p>1,00</p> <hr/> <p>1,00</p> <hr/> <p>1,00</p> <hr/> <p>3,00</p> <hr/> <p>2,00</p> <hr/>	<p>04.03 u Extintor polvo ABC 6 kg. 21A/113B Extintor de polvo químico ABC polivalente antibrasa de eficacia 21A/113B, de 6 kg. de agente extintor, con soporte, manómetro comprobable y boquilla con difusor, según norma EN-3:1996. Medida la unidad instalada. s/R.D. 486/97.</p> <hr/> <p>04.04 u Extintor polvo ABC 9 kg. 34A/144B Extintor de polvo químico ABC polivalente antibrasa de eficacia 34A/144B, de 9 kg. de agente extintor, con soporte, manómetro comprobable y manguera con difusor, según norma EN-3:1996. Medida la unidad instalada. s/R.D. 486/97.</p> <hr/> <p>04.05 u Cuadro secundario obra pmáx.40kW Cuadro general de mandos y protección de obra para una potencia máxima de 40 kW. Compuesto por armario metálico con revestimiento de poliéster, de 90x60 cm, índice de protección IP 559, con cerradura, interruptor automático magnetotérmico+diferencial de 4x125 A., dos interruptores automáticos magnetotérmico de 4x63 A., dos de 4x30 A., dos de 2x25 A. y dos de 2x16 A. dos bases de enchufe IP 447 de 400 V 63 A 3p+T, dos de 400 V 32 A 3p+T, dos de 230 V 32 A 2p+T y dos de 230 V 16 A 2p+T incluyendo cableado, rótulos de identificación de circuitos, bornes de salida y p.p. de conexión a tierra, para una resistencia no superior de 80 Ohmios, instalado (amortizable en 4 obras). s/R.D. 486/97. S/ITC-BT-33 del REBT, RD 842/2002 de 02/08/2002 y R.D. 614/2001.</p> <hr/>	<p>2,00</p> <hr/> <p>2,00</p> <hr/>
		1,00	
		CAPÍTULO 05 FORMACIÓN Y MANO DE OBRA DE SEGURIDAD	
<p>04.01 m Pica cobre p/toma tierra 14,3</p> <hr/> <p>04.02 u Transformador seg. 24 V. 1000 W. Transformador de seguridad con primario para 220 V. y secundario de 24 V. y 1000 W., instalado (amortizable en 5 usos). s/R.D. 486/97 y R.D. 614/2001.</p> <hr/>	<p>1,00</p> <hr/> <p>1,00</p> <hr/>	<p>05.01 u Costo mensual Comité seguridad Costo mensual del Comité de Seguridad y salud en el Trabajo, considerando una reunión al mes de dos horas y formado por un técnico cualificado en materia de seguridad y salud, dos trabajadores con categoría de oficial de 2ª o ayudante y un vigilante con categoría de oficial de 1ª.</p> <hr/> <p>05.02 u Costo mensual de conservación Costo mensual de conservación de instalaciones provisionales de obra, considerando 2 horas a la semana un oficial de 2ª.</p> <hr/> <p>05.03 u Costo mensual limpieza-desinfec. Costo mensual de limpieza y desinfección de casetas de obra, considerando dos horas a la semana de un peón ordinario.</p> <hr/> <p>05.04 u Costo mens. formación seguridad Costo mensual de formación de seguridad y salud en el trabajo, considerando una hora a la semana y realizada por un encargado.</p> <hr/>	<p>6,00</p> <hr/> <p>6,00</p> <hr/> <p>6,00</p> <hr/>
		6,00	
		CAPÍTULO 06 SEÑALIZACIÓN Y BALIZAMIENTO	
<p>06.01 m Cinta balizamiento bicolor 8 cm Cinta de balizamiento bicolor rojo/blanco de material plástico, incluso colocación y desmontaje. s/R.D. 485/97.</p> <hr/>	<p>300,00</p> <hr/>		



06.02	u Cono balizamiento estándar h=30 cm Cono de balizamiento reflectante de 30 cm. de altura (amortizable en 4 usos). s/R.D. 485/97.	25,00
06.03	u Señal triangular L=70 cm reflexivo E.G. Señal de seguridad triangular de L=70 cm., normalizada, con trípode tubular, amortizable en cinco usos, i/colocación y desmontaje. s/R.D. 485/97.	3,00
06.04	u Señal cuadrada L=60 cm Señal de seguridad cuadrada de 60x60 cm., normalizada, con soporte de acero galvanizado de 80x40x2 mm. y 2 m. de altura, amortizable en cinco usos, i/p.p. de apertura de pozo, hormigonado H-100/40, colocación y desmontaje. s/R.D. 485/97.	3,00
06.05	u Señal circular D=60 cm reflexivo E.G. Señal de seguridad circular de D=60 cm., normalizada, con soporte metálico de acero galvanizado de 80x40x2 mm. y 2 m. de altura, amortizable en cinco usos, i/p.p. de apertura de pozo, hormigonado H-100/40, colocación y desmontaje. s/R.D. 485/97.	3,00
06.06	u Placa informativa PVC 50x30 Placa señalización-información en PVC serigrafiado de 50x30 cm., fijada mecánicamente, amortizable en 2 usos, incluso colocación y desmontaje. s/R.D. 485/97.	6,00
06.07	u Cartel PVC 220x300mm. Obli., proh., advert. Carteles de uso obligatorio de casco, de prohibido el paso y de advertencia peligro zona de obras.	9,00
CAPÍTULO 07 MEDICINA PREVENTIVA Y PRIMEROS AUXILIOS		
07.01	u Reconocimiento médico básico I	10,00
07.02	u Botiquín de urgencias Botiquín de urgencia para obra fabricado en chapa de acero, pintado al horno con tratamiento anticorrosivo y serigrafía de cruz. Color blanco, con contenidos mínimos obligatorios, colocado.	1,00
07.03	u Reposición de botiquín Reposición de material de botiquín de urgencia.	1,00
07.04	u Camilla portátil evacuaciones Camilla portátil para evacuaciones. (amortizable en 10 usos).	1,00



2. CUADRO DE PRECIOS Nº 1

CAPÍTULO 01 EQUIPOS DE PROTECCIÓN INDIVIDUAL

01.01	u Casco seguridad básico Casco de seguridad de plástico resistente al impacto mecánico, con atalaje adaptable (homologación nº 12 clase N y EAT). Certificado CE s/R.D. 773/97 y R.D. 1407/92	4,91	01.14	u Peto reflectante amarillo/naranja Peto reflectante de seguridad personal en colores amarillo y naranja (amortizable en 3 usos). Certificado CE. s/R.D. 773/97 y R.D. 1407/92.	3,74
01.02	u Casco seg. dieléct. c. pantalla Casco de seguridad dieléctrico con pantalla para protección de descargas eléctricas, (amortizable en 5 usos). Certificado CE. s/R.D. 773/97 y R.D. 1407/92.	18,88	01.15	u Par guantes de goma látex anticorte Par de guantes de goma látex anticorte. Certificado CE. s/R.D. 773/97 y R.D. 1407/92.	2,01
01.03	u Pantalla seguridad cabeza soldador Pantalla de seguridad de cabeza, para soldador, de fibra vulcanizada, con cristal de 110 x 55 mm., (amortizable en 5 usos). Certificado CE. s/R.D. 773/97 y R.D. 1407/92	13,09	01.16	u Par guantes piel para conducir Par de guantes piel-conductor. Certificado CE. s/R.D. 773/97 y R.D. 1407/92.	1,82
01.04	u Pantalla protección c. partículas Pantalla para protección contra partículas, con sujeción en cabeza, (amortizable en 5 usos). Certificado CE. s/R.D. 773/97 y R.D. 1407/92.	8,90	01.17	u Par guantes p/soldador Par de guantes para soldador (amortizables en 3 usos). Certificado CE. s/R.D. 773/97 y R.D. 1407/92.	2,84
01.05	u Gafas protectoras Gafas protectoras contra impactos, incoloras (amortizable en 3 usos). Certificado CE s/R.D. 773/97 y R.D. 1407/92.	8,54	01.18	u Par guantes aislam. 5.000 V. Par de guantes aislantes para protección de contacto eléctrico en tensión hasta 5.000 V., (amortizables en 3 usos). Certificado CE. s/R.D. 773/97 y R.D. 1407/92.	28,36
01.06	u Filtro antipolvo Mascarilla antipolvo de doble filtro (amortizable en 3 usos). Certificado CE s/R.D. 773/97 y R.D. 1407/92.	1,72	01.19	u Par botas de agua de seguridad Par de botas de seguridad con plantilla y puntera de acero (amortizables en 1 usos). Certificado CE. s/R.D. 773/97 y R.D. 1407/92.	13,93
01.07	u Juego tapones antirruído espuma poliuretano Juego de tapones antirruído de poliuretano ajustables. Certificado CE. s/R.D. 773/97 y R.D. 1407/92.	0,43	01.20	u Par botas de seguridad Par de botas de seguridad con plantilla y puntera de acero (amortizables en 1 usos). Certificado CE. s/R.D. 773/97 y R.D. 1407/92.	26,75
01.08	u Cascos protectores auditivos Protectores auditivos con arnés a la nuca (amortizable 3 usos). Certificados CE s/R.D. 773/97 y R.D. 1407/92.	11,62	01.21	u Par botas aislantes 5.000 V. Par de botas aislantes para electricista hasta 5.000 V. de tensión (amortizables en 3 usos). Certificado CE. s/R.D. 773/97 y R.D. 1407/92.	68,55
01.09	u Cinturón portaherramientas Cinturón portaherramientas (amortizable en 4 usos). Certificado CE. s/R.D. 773/97 y R.D. 1407/92.	16,35	01.22	u Par polainas para soldador Par de polainas para soldador (amortizables en 3 usos). Certificado CE. s/R.D. 773/97 y R.D. 1407/92.	4,51
01.10	u Mono de trabajo poliéster-algodón Mono de trabajo de una pieza de poliéster-algodón (amortizable en un uso). Certificado CE. s/R.D.773/97 y R.D. 1407/92.	16,44	01.23	u Par rodilleras Par de rodilleras ajustables de protección ergonómica (amortizables en 3 usos). Certificado CE. s/R.D. 773/97 y R.D. 1407/92.	14,12
01.11	u Traje impermeable 2 p. PVC Traje impermeable de trabajo, 2 piezas de PVC, (amortizable en un uso). Certificado CE. s/R.D. 773/97 y R.D. 1407/92.	9,19	01.24	u Arnés amarre dorsal + torácicos Equipo completo para trabajos en vertical y horizontal compuesto por un arnés de seguridad con amarre dorsal y anilla torsal, fabricado con cinta de nylon de 45 mm. y elementos metálicos de acero inoxidable, un dispositivo anticaídas deslizante de doble función y un rollo de cuerda poliamida de 14 mm. de 2 m. con lazada, incluso bolsa portaequipo. Amortizable en 4 obras. Certificado CE Norma EN 36- EN 696- EN 353-2. s/R.D. 773/97 y R.D. 1407/92.	39,17
01.12	u Faja protección lumbar Cinturón-faja antilumbago con faja elástica, amortizable 4 usos. Certificado CE. s/R.D. 773/97 y R.D. 1407/92.	23,68			
01.13	u Mandil cuero para soldador Mandil de cuero para soldador, amortizable 3 usos. Certificado CE. s/R.D. 773/97 y R.D. 1407/92.	9,37			



Pasarela peatonal en la intersección de la Avda. Rodríguez de Viguri con la Avda. O Camiño Francés (Santiago de Compostela)



CAPÍTULO 02 EQUIPOS DE PROTECCIÓN COLECTIVA

02.01	u	Valla contenc. peatones 2,5x1 m	31,80
Valla de contención de peatones, metálica, prolongable de 2,50 m. de largo y 1 m. de altura, color amarillo, amortizable en 5 usos, incluso colocación y desmontaje. s/R.D. 486/97.			
TREINTA Y UN EUROS con OCHENTA CÉNTIMOS			
02.02	m2	Red seguridad poliamida 10x10 cm	2,65
Red horizontal de seguridad en cubrición de huecos formada por malla de poliamida de 10x10 cm enudada con cuerda de D=3 mm y cuerda perimetral de D=10 mm para amarre de la red a los anclajes de acero de D=10 mm conectados a las armaduras perimetrales del hueco cada 50 cm y cinta perimetral de señalización fijada a pies derechos. Amortizable en 8 usos. S/RD 488/97			
DOS EUROS con SESENTA Y CINCO CÉNTIMOS			

CAPÍTULO 03 INSTALACIONES DE HIGIENE Y BIENESTAR

03.01	u	Alq. mes caseta pref. aseo 4,00x2,23	118,72
Mes de alquiler de caseta prefabricada para aseos en obra de 4,00x2,23x2,63 m. Estructura y cerramiento de chapa galvanizada pintada, con aislamiento de poliestireno expandido. Ventana de 0,84x0,80 m. de aluminio anodizado, corredera, con reja y luna de 6 mm., termo eléctrico de 50 l., dos placas turcas, dos placas de ducha y lavabo de tres grifos, todo de fibra de vidrio con terminación de gel-coat blanco y pintura antideslizante, suelo contrachapado hidrófugo con capa fenolítica anti-deslizante y resistente al desgaste, puerta madera en turca, cortina en ducha. Tubería de polibutileno aislante y resistente a incrustaciones, hielo y corrosiones, instalación eléctrica mono. 220 V. con automático. Con transporte a 150 km.(ida y vuelta). Entrega y recogida del módulo con camión grúa. Según R.D. 486/97.			
CIENTO DIECIOCHO EUROS con SETENTA Y DOS CÉNTIMOS			
03.02	u	Alq. mes caseta almacén 5,98x2,45	108,60
Mes de alquiler de caseta prefabricada para almacén de obra de 5,98x2,45x2,45 m. de 14,65 m2. Estructura de acero galvanizado. Cubierta y cerramiento lateral de chapa galvanizada trapezoidal de 0,6 mm. reforzada con perfiles de acero, interior prelacado. Suelo de aglomerado hidrófugo de 19 mm. puerta de acero de 1 mm., de 0,80x2,00 m. pintada con cerradura. Ventana fija de cristal de 6 mm., recercado con perfil de goma. Con transporte a 150 km.(ida y vuelta). Entrega y recogida del módulo con camión grúa. Según R.D. 486/97.			
CIENTO OCHO EUROS con SESENTA CÉNTIMOS			
03.03	u	Alq. mes caseta oficina 4,64x2,45	133,90
Mes de alquiler de caseta prefabricada para un despacho de oficina en obra de 4,64x2,45x2,45 m. de 11,36 m2. Estructura y cerramiento de chapa galvanizada pintada, aislamiento de poliestireno expandido autoextinguible, interior con tablero melaminado en color. Cubierta de chapa galvanizada reforzada con perfil de acero; fibra de vidrio de 60 mm., interior con tablex lacado. Suelo de aglomerado revestido con PVC continuo de 2 mm., y poliestireno de 50 mm. con apoyo en base de chapa galvanizada de sección trapezoidal. Puerta de 0,8x2 m., de chapa galvanizada de 1 mm., reforzada y con poliestireno de 20 mm., picaporte y cerradura. Ventana aluminio anodizado corredera, contraventana de acero galvanizado. Instalación eléctrica a 220 V., toma de tierra, automático, 2 fluorescentes de 40 W., enchufe de 1500 W. punto luz exterior. Con transporte a 150 km.(ida y vuelta). Entrega y recogida del módulo con camión grúa. Según R.D. 486/97.			
CIENTO TREINTA Y TRES EUROS con NOVENTA CÉNTIMOS			
03.04	u	Alq. mes caseta comedor 7,92x2,45	158,23
Ud. Mes de alquiler de caseta prefabricada para comedor de obra de 6x2.35 m., con estructura metálica mediante perfiles conformados en frío y cerramiento chapa nervada y galvanizada con terminación de pintura prelacada. Aislamiento interior con lana de vidrio combinada con poliestireno expandido. Revestimiento de P.V.C. en suelos y tablero melaminado en paredes. Ventanas de aluminio anodizado, con persianas correderas de protección, incluso instalación eléctrica con distribución interior de alumbrado y fuerza con toma exterior a 220 V.			
CIENTO CINCUENTA Y OCHO EUROS con VEINTITRES CÉNTIMOS			

03.05	u	Acometida prov. eléct. a caseta	146,53
Acometida provisional de electricidad a caseta de obra, desde el cuadro general formada por manguera flexible de 4x6 mm2 de tensión nominal 750 V., incorporando conductor de tierra color verde y amarillo, fijada sobre apoyos intermedios cada 2,50 m. instalada.			
CIENTO CUARENTA Y SEIS EUROS con CINCUENTA Y TRES CÉNTIMOS			
03.06	u	Acometida prov. sane. a caseta en superfic.	134,07
Acometida provisional de saneamiento de caseta de obra a la red general municipal (pozo o imbornal), hasta una distancia máxima de 8 m., formada por tubería en superficie de PVC de 110 mm. de diámetro interior, tapado posterior de la acometida con hormigón en masa HM-20/P/20/I, y con p.p. de medios auxiliares.			
CIENTO TREINTA Y CUATRO EUROS con SIETE CÉNTIMOS			
03.07	u	Percha para aseos o duchas	5,64
Percha para aseos o duchas en aseos de obra, colocada.			
CINCO EUROS con SESENTA Y CUATRO CÉNTIMOS			
03.08	u	Espejo vestuarios y aseos	27,93
Espejo para vestuarios y aseos, colocado.			
VEINTISIETE EUROS con NOVENTA Y TRES CÉNTIMOS			
03.09	u	Dosificador jabón líquido	23,32
Dosificador de jabón de uso industrial de 1 l. de capacidad, con dosificador de jabón colocada (amortizable en 3 usos).			
VEINTITRES EUROS con TREINTA Y DOS CÉNTIMOS			
03.10	u	Dispensador de papel toalla	24,36
Dispensador de papel toalla con cerradura de seguridad, colocado. Amortizable en 3 usos.			
VEINTICUATRO EUROS con TREINTA Y SEIS CÉNTIMOS			
03.11	u	Taquilla metálica individual	83,95
Taquilla metálica individual para vestuario de 1,80 m. de altura en acero laminado en frío, con tratamiento antifosfatante y anticorrosivo, con pintura secada al horno, cerradura, balda y tubo percha, lamas de ventilación en puerta, colocada, (amortizable en 3 usos).			
OCHENTA Y TRES EUROS con NOVENTA Y CINCO CÉNTIMOS			
03.12	u	Mesa melamina para 10 personas	165,70
Mesa de melamina para comedor de obra con capacidad para 10 personas. (amortizable en 3 usos).			
CIENTO SESENTA Y CINCO EUROS con SETENTA CÉNTIMOS			
03.13	u	Depósito-cubo basuras	11,61
Cubo para recogida de basuras. (amortizable en 2 usos).			
ONCE EUROS con SESENTA Y UN CÉNTIMOS			
03.14	u	Acometida prov. fonta.a caseta	93,03
cometida provisional de fontanería para obra de la red general municipal de agua potable hasta una longitud máxima de 8 m., realizada con tubo de polietileno de 25 mm. de diámetro, de alta densidad y para 10 atmósferas de presión máxima con collarín de toma de fundición, p.p. de piezas especiales de polietileno y tapón roscado, incluso derechos y permisos para la conexión, terminada y funcionando, y sin incluir la rotura del pavimento.			
NOVENTA Y TRES EUROS con TRES CÉNTIMOS			
03.15	u	Acometida prov. telef. a caseta	146,53
Acometida provisional de teléfono a caseta de obra, según normas de la C.T.N.E.			
CIENTO CUARENTA Y SEIS EUROS con CINCUENTA Y TRES CÉNTIMOS			
03.16	u	Horno microondas 18 l. 700W	103,07
Horno microondas de 18 litros de capacidad, con plato giratorio incorporado (amortizable en 5 usos).			
CIENTO TRES EUROS con SIETE CÉNTIMOS			



03.17	u	Banco madera para 5 personas	92,50	05.04	u	Costo mens. formación seguridad	83,51
		NOVENTA Y DOS EUROS con CINCUENTA CÉNTIMOS				Costo mensual de formación de seguridad y salud en el trabajo, considerando una hora a la semana y realizada por un encargado.	
03.18	u	Radiador eléctrico 1000 W.	33,17			OCHENTA Y TRES EUROS con CINCUENTA Y UN CÉNTIMOS	
		Radiador eléctrico mural de 1000 W. totalmente instalado. (amortizable en 5 usos). TREINTA Y TRES EUROS con DIECISIETE CÉNTIMOS					
CAPÍTULO 04 INSTALACIONES DE SEGURIDAD				CAPÍTULO 06 SEÑALIZACIÓN Y BALIZAMIENTO			
04.01	m	Pica cobre p/toma tierra 14,3	12,99	06.01	m	Cinta balizamiento bicolor 8 cm	0,06
		DOCE EUROS con NOVENTA Y NUEVE CÉNTIMOS				Cinta de balizamiento bicolor rojo/blanco de material plástico, incluso colocación y desmontaje. s/R.D. 485/97.	
04.02	u	Transformador seg. 24 V. 1000 W.	159,74	06.02	u	Cono balizamiento estándar h=30 cm	4,48
		Transformador de seguridad con primario para 220 V. y secundario de 24 V. y 1000 W., instalado (amortizable en 5 usos). s/R.D. 486/97 y R.D. 614/2001.				Cono de balizamiento reflectante de 30 cm. de altura (amortizable en 4 usos). s/R.D. 485/97.	
		CIENTO CINCUENTA Y NUEVE EUROS con SETENTA Y CUATRO CÉNTIMOS				CUATRO EUROS con CUARENTA Y OCHO CÉNTIMOS	
04.03	u	Extintor polvo ABC 6 kg. 21A/113B	44,33	06.03	u	Señal triangular L=70 cm reflexivo E.G.	52,21
		Extintor de polvo químico ABC polivalente antibrasa de eficacia 21A/113B, de 6 kg. de agente extintor, con soporte, manómetro comprobable y boquilla con difusor, según norma EN-3:1996. Medida la unidad instalada. s/R.D. 486/97.				Señal de seguridad triangular de L=70 cm., normalizada, con trípode tubular, amortizable en cinco usos, i/colocación y desmontaje. s/R.D. 485/97.	
		CUARENTA Y CUATRO EUROS con TREINTA Y TRES CÉNTIMOS				CINCUENTA Y DOS EUROS con VEINTIUN CÉNTIMOS	
04.04	u	Extintor polvo ABC 9 kg. 34A/144B	56,67	06.04	u	Señal cuadrada L=60 cm	51,92
		Extintor de polvo químico ABC polivalente antibrasa de eficacia 34A/144B, de 9 kg. de agente extintor, con soporte, manómetro comprobable y manguera con difusor, según norma EN-3:1996. Medida la unidad instalada. s/R.D. 486/97.				Señal de seguridad cuadrada de 60x60 cm., normalizada, con soporte de acero galvanizado de 80x40x2 mm. y 2 m. de altura, amortizable en cinco usos, i/p.p. de apertura de pozo, hormigonado H-100/40, colocación y desmontaje. s/R.D. 485/97.	
		CINCUENTA Y SEIS EUROS con SESENTA Y SIETE CÉNTIMOS				CINCUENTA Y UN EUROS con NOVENTA Y DOS CÉNTIMOS	
04.05	u	Cuadro secundario obra pmáx.40kW	1.434,36	06.05	u	Señal circular D=60 cm reflexivo E.G.	58,86
		Cuadro general de mandos y protección de obra para una potencia máxima de 40 kW. Compuesto por armario metálico con revestimiento de poliéster, de 90x60 cm, índice de protección IP 559, con cerradura, interruptor automático magnetotérmico+diferencial de 4x125 A., dos interruptores automático magnetotérmico de 4x63 A., dos de 4x30 A., dos de 2x25 A. y dos de 2x16 A. dos bases de enchufe IP 447 de 400 V 63 A 3p+T, dos de 400 V 32 A 3p+T, dos de 230 V 32 A 2p+T y dos de 230 V 16 A 2p+T incluyendo cableado, rótulos de identificación de circuitos, bornes de salida y p.p. de conexión a tierra, para una resistencia no superior de 80 Ohmios, instalado (amortizable en 4 obras). s/R.D. 486/97. S/ITC-BT-33 del REBT, RD 842/2002 de 02/08/2002 y R.D. 614/2001.				Señal de seguridad circular de D=60 cm., normalizada, con soporte metálico de acero galvanizado de 80x40x2 mm. y 2 m. de altura, amortizable en cinco usos, i/p.p. de apertura de pozo, hormigonado H-100/40, colocación y desmontaje. s/R.D. 485/97.	
		MIL CUATROCIENTOS TREINTA Y CUATRO EUROS con TREINTA Y SEIS CÉNTIMOS				CINCUENTA Y OCHO EUROS con OCHENTA Y SEIS CÉNTIMOS	
CAPÍTULO 05 FORMACIÓN Y MANO DE OBRA DE SEGURIDAD				06.06	u	Placa informativa PVC 50x30	7,21
05.01	u	Costo mensual Comité seguridad	137,59			Placa señalización-información en PVC serigrafado de 50x30 cm., fijada mecánicamente, amortizable en 2 usos, incluso colocación y desmontaje. s/R.D. 485/97.	
		Costo mensual del Comité de Seguridad y salud en el Trabajo, considerando una reunión al mes de dos horas y formado por un técnico cualificado en materia de seguridad y salud, dos trabajadores con categoría de oficial de 2ª o ayudante y un vigilante con categoría de oficial de 1ª.				SIETE EUROS con VEINTIUN CÉNTIMOS	
		CIENTO TREINTA Y SIETE EUROS con CINCUENTA Y NUEVE CÉNTIMOS		06.07	u	Cartel PVC 220x300mm. Obli., proh., advert.	2,93
05.02	u	Costo mensual de conservación	146,15			Carteles de uso obligatorio de casco, de prohibido el paso y de advertencia peligro zona de obras.	
		Costo mensual de conservación de instalaciones provisionales de obra, considerando 2 horas a la semana un oficial de 2ª.				DOS EUROS con NOVENTA Y TRES CÉNTIMOS	
		CIENTO CUARENTA Y SEIS EUROS con QUINCE CÉNTIMOS					
05.03	u	Costo mensual limpieza-desinfec.	137,04				
		Costo mensual de limpieza y desinfección de casetas de obra, considerando dos horas a la semana de un peón ordinario.					
		CIENTO TREINTA Y SIETE EUROS con CUATRO CÉNTIMOS					



CAPÍTULO 07 MEDICINA PREVENTIVA Y PRIMEROS AUXILIOS

07.01	u	Reconocimiento médico básico I	SETENTA Y SIETE EUROS con OCHO CÉNTIMOS	77,08
07.02	u	Botiquín de urgencias Botiquín de urgencia para obra fabricado en chapa de acero, pintado al horno con tratamiento anti-corrosivo y serigrafía de cruz. Color blanco, con contenidos mínimos obligatorios, colocado.	CINCUENTA EUROS con SETENTA Y SIETE CÉNTIMOS	50,77
07.03	u	Reposición de botiquín Reposición de material de botiquín de urgencia.	DIECISIETE EUROS con VEINTISEIS CÉNTIMOS	17,26
07.04	u	Camilla portátil evacuaciones Camilla portátil para evacuaciones. (amortizable en 10 usos).	CIENTO DOCE EUROS con SETENTA Y OCHO CÉNTIMOS	112,78

Santiago de Compostela, Febrero 2016.

El autor del Proyecto

Rubén Sánchez Faro



3. CUADRO DE PRECIOS Nº 2

CAPÍTULO 01 EQUIPOS DE PROTECCIÓN INDIVIDUAL

01.01	u Casco seguridad básico Casco de seguridad de plástico resistente al impacto mecánico, con atalaje adaptable (homologación nº 12 clase N y EAT). Certificado CE s/R.D. 773/97 y R.D. 1407/92	Suma la partida.....	4,63
		Costes indirectos..... 6,00%	0,28
		TOTAL PARTIDA	4,91
01.02	u Casco seg. dieléct. c. pantalla Casco de seguridad dieléctrico con pantalla para protección de descargas eléctricas, (amortizable en 5 usos). Certificado CE. s/R.D. 773/97 y R.D. 1407/92.	Suma la partida.....	17,81
		Costes indirectos..... 6,00%	1,07
		TOTAL PARTIDA	18,88
01.03	u Pantalla seguridad cabeza soldador Pantalla de seguridad de cabeza, para soldador, de fibra vulcanizada, con cristal de 110 x 55 mm., (amortizable en 5 usos). Certificado CE. s/R.D. 773/97 y R.D. 1407/92	Suma la partida.....	12,35
		Costes indirectos..... 6,00%	0,74
		TOTAL PARTIDA	13,09
01.04	u Pantalla protección c. partículas Pantalla para protección contra partículas, con sujeción en cabeza, (amortizable en 5 usos). Certificado CE. s/R.D. 773/97 y R.D. 1407/92.	Suma la partida.....	8,40
		Costes indirectos..... 6,00%	0,50
		TOTAL PARTIDA	8,90
01.05	u Gafas protectoras Gafas protectoras contra impactos, incoloras (amortizable en 3 usos). Certificado CE s/R.D. 773/97 y R.D. 1407/92.	Suma la partida.....	8,06
		Costes indirectos..... 6,00%	0,48
		TOTAL PARTIDA	8,54
01.06	u Filtro antipolvo Mascarilla antipolvo de doble filtro (amortizable en 3 usos). Certificado CE s/R.D. 773/97 y R.D. 1407/92.	Suma la partida.....	1,62
		Costes indirectos..... 6,00%	0,10
		TOTAL PARTIDA	1,72
01.07	u Juego tapones antirruido espuma poliuretano Juego de tapones antirruido de poliuretano ajustables. Certificado CE. s/R.D. 773/97 y R.D. 1407/92.	Suma la partida.....	0,41
		Costes indirectos..... 6,00%	0,02
		TOTAL PARTIDA	0,43
01.08	u Cascos protectores auditivos Protectores auditivos con arnés a la nuca (amortizable 3 usos). Certificados CE s/R.D. 773/97 y R.D. 1407/92.	Suma la partida.....	10,96
		Costes indirectos..... 6,00%	0,66
		TOTAL PARTIDA	11,62

01.09	u Cinturón portaherramientas Cinturón portaherramientas (amortizable en 4 usos). Certificado CE. s/R.D. 773/97 y R.D. 1407/92.	Suma la partida.....	15,42
		Costes indirectos..... 6,00%	0,93
		TOTAL PARTIDA	16,35
01.10	u Mono de trabajo poliéster-algodón Mono de trabajo de una pieza de poliéster-algodón (amortizable en un uso). Certificado CE. s/R.D.773/97 y R.D. 1407/92.	Suma la partida.....	15,51
		Costes indirectos..... 6,00%	0,93
		TOTAL PARTIDA	16,44
01.11	u Traje impermeable 2 p. PVC Traje impermeable de trabajo, 2 piezas de PVC, (amortizable en un uso). Certificado CE. s/R.D. 773/97 y R.D. 1407/92.	Suma la partida.....	8,67
		Costes indirectos..... 6,00%	0,52
		TOTAL PARTIDA	9,19
01.12	u Faja protección lumbar Cinturón-faja antilumbago con faja elástica, amortizable 4 usos. Certificado CE. s/R.D. 773/97 y R.D. 1407/92.	Suma la partida.....	22,34
		Costes indirectos..... 6,00%	1,34
		TOTAL PARTIDA	23,68
01.13	u Mandil cuero para soldador Mandil de cuero para soldador, amortizable 3 usos. Certificado CE. s/R.D. 773/97 y R.D. 1407/92.	Suma la partida.....	8,84
		Costes indirectos..... 6,00%	0,53
		TOTAL PARTIDA	9,37
01.14	u Peto reflectante amarillo/naranja Peto reflectante de seguridad personal en colores amarillo y naranja (amortizable en 3 usos). Certificado CE. s/R.D. 773/97 y R.D. 1407/92.	Suma la partida.....	3,53
		Costes indirectos..... 6,00%	0,21
		TOTAL PARTIDA	3,74
01.15	u Par guantes de goma látex anticorte Par de guantes de goma látex anticorte. Certificado CE. s/R.D. 773/97 y R.D. 1407/92.	Suma la partida.....	1,90
		Costes indirectos..... 6,00%	0,11
		TOTAL PARTIDA	2,01
01.16	u Par guantes piel para conducir Par de guantes piel-conductor. Certificado CE. s/R.D. 773/97 y R.D. 1407/92.	Suma la partida.....	1,72
		Costes indirectos..... 6,00%	0,10
		TOTAL PARTIDA	1,82



01.17	<p>u Par guantes p/soldador Par de guantes para soldador (amortizables en 3 usos). Certificado CE. s/R.D. 773/97 y R.D. 1407/92.</p>	<p>Suma la partida 2,68 Costes indirectos..... 6,00% 0,16</p> <p>TOTAL PARTIDA 2,84</p>
01.18	<p>u Par guantes aislam. 5.000 V. Par de guantes aislantes para protección de contacto eléctrico en tensión hasta 5.000 V., (amortizables en 3 usos). Certificado CE. s/R.D. 773/97 y R.D. 1407/92.</p>	<p>Suma la partida 26,75 Costes indirectos..... 6,00% 1,61</p> <p>TOTAL PARTIDA 28,36</p>
01.19	<p>u Par botas de agua de seguridad Par de botas de seguridad con plantilla y puntera de acero (amortizables en 1 usos). Certificado CE. s/R.D. 773/97 y R.D. 1407/92.</p>	<p>Suma la partida 13,14 Costes indirectos..... 6,00% 0,79</p> <p>TOTAL PARTIDA 13,93</p>
01.20	<p>u Par botas de seguridad Par de botas de seguridad con plantilla y puntera de acero (amortizables en 1 usos). Certificado CE. s/R.D. 773/97 y R.D. 1407/92.</p>	<p>Suma la partida 25,24 Costes indirectos..... 6,00% 1,51</p> <p>TOTAL PARTIDA 26,75</p>
01.21	<p>u Par botas aislantes 5.000 V. Par de botas aislantes para electricista hasta 5.000 V. de tensión (amortizables en 3 usos). Certificado CE. s/R.D. 773/97 y R.D. 1407/92.</p>	<p>Suma la partida 64,67 Costes indirectos..... 6,00% 3,88</p> <p>TOTAL PARTIDA 68,55</p>
01.22	<p>u Par polainas para soldador Par de polainas para soldador (amortizables en 3 usos). Certificado CE. s/R.D. 773/97 y R.D. 1407/92.</p>	<p>Suma la partida 4,25 Costes indirectos..... 6,00% 0,26</p> <p>TOTAL PARTIDA 4,51</p>
01.23	<p>u Par rodilleras Par de rodilleras ajustables de protección ergonómica (amortizables en 3 usos). Certificado CE. s/R.D. 773/97 y R.D. 1407/92.</p>	<p>Suma la partida 13,32 Costes indirectos..... 6,00% 0,80</p> <p>TOTAL PARTIDA 14,12</p>
01.24	<p>u Arnés amarre dorsal + torácicos Equipo completo para trabajos en vertical y horizontal compuesto por un arnés de seguridad con amarre dorsal y anilla torsal, fabricado con cinta de nylon de 45 mm. y elementos metálicos de acero inoxidable, un dispositivo anticaídas deslizante de doble función y un rollo de cuerda poliamida de 14 mm. de 2 m. con lazada, incluso bolsa portaequipo. Amortizable en 4 obras. Certificado CE Norma EN 36- EN 696- EN 353-2. s/R.D. 773/97 y R.D. 1407/92.</p>	<p>Suma la partida 36,95 Costes indirectos..... 6,00% 2,22</p> <p>TOTAL PARTIDA 39,17</p>

CAPÍTULO 02 EQUIPOS DE PROTECCIÓN COLECTIVA		
02.01	<p>u Valla contenc. peatones 2,5x1 m Valla de contención de peatones, metálica, prolongable de 2,50 m. de largo y 1 m. de altura, color amarillo, amortizable en 5 usos, incluso colocación y desmontaje. s/R.D. 486/97.</p>	<p>Suma la partida 30,00 Costes indirectos 6,00% 1,80</p> <p>TOTAL PARTIDA 31,80</p>
02.02	<p>m2 Red seguridad poliamida 10x10 cm Red horizontal de seguridad en cubrición de huecos formada por malla de poliamida de 10x10 cm enudada con cuerda de D=3 mm y cuerda perimetral de D=10 mm para amarre de la red a los anclajes de acero de D=10 mm conectados a las armaduras perimetrales del hueco cada 50 cm y cinta perimetral de señalización fijada a pies derechos. Amortizable en 8 usos. S/RD 488/97</p>	<p>Suma la partida 2,50 Costes indirectos 6,00% 0,15</p> <p>TOTAL PARTIDA 2,65</p>

CAPÍTULO 03 INSTALACIONES DE HIGIENE Y BIENESTAR		
03.01	<p>u Alq. mes caseta pref. aseo 4,00x2,23 Mes de alquiler de caseta prefabricada para aseos en obra de 4,00x2,23x2,63 m. Estructura y cerramiento de chapa galvanizada pintada, con aislamiento de poliestireno expandido. Ventana de 0,84x0,80 m. de aluminio anodizado, corredera, con reja y luna de 6 mm., termo eléctrico de 50 l., dos placas turcas, dos placas de ducha y lavabo de tres grifos, todo de fibra de vidrio con terminación de gel-coat blanco y pintura antideslizante, suelo contrachapado hidrófugo con capa fenólica antideslizante y resistente al desgaste, puerta madera en turca, cortina en ducha. Tubería de polibutileno aislante y resistente a incrustaciones, hielo y corrosiones, instalación eléctrica mono. 220 V. con automático. Con transporte a 150 km.(ida y vuelta). Entrega y recogida del módulo con camión grúa. Según R.D. 486/97.</p>	<p>Suma la partida 112,00 Costes indirectos 6,00% 6,72</p> <p>TOTAL PARTIDA 118,72</p>
03.02	<p>u Alq. mes caseta almacén 5,98x2,45 Mes de alquiler de caseta prefabricada para almacén de obra de 5,98x2,45x2,45 m. de 14,65 m2. Estructura de acero galvanizado. Cubierta y cerramiento lateral de chapa galvanizada trapezoidal de 0,6 mm. reforzada con perfiles de acero, interior prelacado. Suelo de aglomerado hidrófugo de 19 mm. puerta de acero de 1 mm., de 0,80x2,00 m. pintada con cerradura. Ventana fija de cristal de 6 mm., recercado con perfil de goma. Con transporte a 150 km.(ida y vuelta). Entrega y recogida del módulo con camión grúa. Según R.D. 486/97.</p>	<p>Suma la partida 102,45 Costes indirectos 6,00% 6,15</p> <p>TOTAL PARTIDA 108,60</p>



Pasarela peatonal en la intersección de la Avda. Rodríguez de Viguri con la Avda. O Camiño Francés (Santiago de Compostela)



03.03	<p>u Alq. mes caseta oficina 4,64x2,45 Mes de alquiler de caseta prefabricada para un despacho de oficina en obra de 4,64x2,45x2,45 m. de 11,36 m². Estructura y cerramiento de chapa galvanizada pintada, aislamiento de poliestireno expandido autoextinguible, interior con tablero melaminado en color. Cubierta de chapa galvanizada reforzada con perfil de acero; fibra de vidrio de 60 mm., interior con tablex lacado. Suelo de aglomerado revestido con PVC continuo de 2 mm., y poliestireno de 50 mm. con apoyo en base de chapa galvanizada de sección trapezoidal. Puerta de 0,8x2 m., de chapa galvanizada de 1 mm., reforzada y con poliestireno de 20 mm., picaporte y cerradura. Ventana aluminio anodizado corredera, contraventana de acero galvanizado. Instalación eléctrica a 220 V., toma de tierra, automático, 2 fluorescentes de 40 W., enchufe de 1500 W. punto luz exterior. Con transporte a 150 km.(ida y vuelta). Entrega y recogida del módulo con camión grúa. Según R.D. 486/97.</p>	<p>Costes indirectos 6,00% 1,32</p> <p>TOTAL PARTIDA..... 23,32</p>
	<p style="text-align: right;">Suma la partida 126,32 Costes indirectos..... 6,00% 7,58</p> <p>TOTAL PARTIDA 133,90</p>	
03.04	<p>u Alq. mes caseta comedor 7,92x2,45 Ud. Mes de alquiler de caseta prefabricada para comedor de obra de 6x2.35 m., con estructura metálica mediante perfiles conformados en frío y cerramiento chapa nervada y galvanizada con terminación de pintura prelacada. Aislamiento interior con lana de vidrio combinada con poliestireno expandido. Revestimiento de P.V.C. en suelos y tablero melaminado en paredes. Ventanas de aluminio anodizado, con persianas correderas de protección, incluso instalación eléctrica con distribución interior de alumbrado y fuerza con toma exterior a 220 V.</p>	<p>Suma la partida 149,27 Costes indirectos..... 6,00% 8,96</p> <p>TOTAL PARTIDA 158,23</p>
	<p style="text-align: right;">Suma la partida 138,24 Costes indirectos..... 6,00% 8,29</p> <p>TOTAL PARTIDA 146,53</p>	
03.05	<p>u Acometida prov. eléct. a caseta Acometida provisional de electricidad a caseta de obra, desde el cuadro general formada por manguera flexible de 4x6 mm² de tensión nominal 750 V., incorporando conductor de tierra color verde y amarillo, fijada sobre apoyos intermedios cada 2,50 m. instalada.</p>	<p>Suma la partida 126,48 Costes indirectos..... 6,00% 7,59</p> <p>TOTAL PARTIDA 134,07</p>
	<p style="text-align: right;">Suma la partida 5,32 Costes indirectos..... 6,00% 0,32</p> <p>TOTAL PARTIDA 5,64</p>	
03.06	<p>u Acometida prov. sane. a caseta en superfic. Acometida provisional de saneamiento de caseta de obra a la red general municipal (pozo o imbornal), hasta una distancia máxima de 8 m., formada por tubería en superficie de PVC de 110 mm. de diámetro interior, tapado posterior de la acometida con hormigón en masa HM-20/P/20/I, y con p.p. de medios auxiliares.</p>	<p>Suma la partida 26,35 Costes indirectos..... 6,00% 1,58</p> <p>TOTAL PARTIDA 27,93</p>
	<p style="text-align: right;">Suma la partida 22,00</p>	
03.07	<p>u Percha para aseos o duchas Percha para aseos o duchas en aseos de obra, colocada.</p>	<p>Suma la partida 97,24 Costes indirectos 6,00% 5,83</p> <p>TOTAL PARTIDA 103,07</p>
03.08	<p>u Espejo vestuarios y aseos Espejo para vestuarios y aseos, colocado.</p>	<p>Suma la partida 87,26 Costes indirectos 6,00% 5,24</p> <p>TOTAL PARTIDA 92,50</p>
03.09	<p>u Dosificador jabón líquido Dosificador de jabón de uso industrial de 1 l. de capacidad, con dosificador de jabón colocada (amortizable en 3 usos).</p>	<p>Suma la partida 109,95 Costes indirectos 6,00% 6,54</p> <p>TOTAL PARTIDA 116,49</p>
03.10	<p>u Dispensador de papel toalla Dispensador de papel toalla con cerradura de seguridad, colocado. Amortizable en 3 usos.</p>	<p>Suma la partida 156,32 Costes indirectos 6,00% 9,38</p> <p>TOTAL PARTIDA 165,70</p>
03.11	<p>u Taquilla metálica individual Taquilla metálica individual para vestuario de 1,80 m. de altura en acero laminado en frío, con tratamiento antifosfatante y anticorrosivo, con pintura secada al horno, cerradura, balda y tubo percha, lamas de ventilación en puerta, colocada, (amortizable en 3 usos).</p>	<p>Suma la partida 109,95 Costes indirectos 6,00% 6,54</p> <p>TOTAL PARTIDA 116,49</p>
03.12	<p>u Mesa melamina para 10 personas Mesa de melamina para comedor de obra con capacidad para 10 personas, (amortizable en 3 usos).</p>	<p>Suma la partida 138,24 Costes indirectos 6,00% 8,29</p> <p>TOTAL PARTIDA 146,53</p>
03.13	<p>u Depósito-cubo basuras Cubo para recogida de basuras. (amortizable en 2 usos).</p>	<p>Suma la partida 138,24 Costes indirectos 6,00% 8,29</p> <p>TOTAL PARTIDA 146,53</p>
03.14	<p>u Acometida prov. fonta.a caseta cometida provisional de fontanería para obra de la red general municipal de agua potable hasta una longitud máxima de 8 m., realizada con tubo de polietileno de 25 mm. de diámetro, de alta densidad y para 10 atmósferas de presión máxima con collarín de toma de fundición, p.p. de piezas especiales de polietileno y tapón roscado, incluso derechos y permisos para la conexión, terminada y funcionando, y sin incluir la rotura del pavimento.</p>	<p>Suma la partida 138,24 Costes indirectos 6,00% 8,29</p> <p>TOTAL PARTIDA 146,53</p>
03.15	<p>u Acometida prov. telef. a caseta Acometida provisional de teléfono a caseta de obra, según normas de la C.T.N.E.</p>	<p>Suma la partida 138,24 Costes indirectos 6,00% 8,29</p> <p>TOTAL PARTIDA 146,53</p>
03.16	<p>u Horno microondas 18 l. 700W Horno microondas de 18 litros de capacidad, con plato giratorio incorporado (amortizable en 5 usos).</p>	<p>Suma la partida 138,24 Costes indirectos 6,00% 8,29</p> <p>TOTAL PARTIDA 146,53</p>
03.17	<p>u Banco madera para 5 personas</p>	<p>Suma la partida 138,24 Costes indirectos 6,00% 8,29</p> <p>TOTAL PARTIDA 146,53</p>
03.18	<p>u Radiador eléctrico 1000 W.</p>	<p>Suma la partida 138,24 Costes indirectos 6,00% 8,29</p> <p>TOTAL PARTIDA 146,53</p>



Radiador eléctrico mural de 1000 W. totalmente instalado. (amortizable en 5 usos).			
	Suma la partida.....	31,29	
	Costes indirectos..... 6,00%	1,88	
	TOTAL PARTIDA	33,17	

CAPÍTULO 04 INSTALACIONES DE SEGURIDAD

04.01	m	Pica cobre p/toma tierra 14,3		
		Suma la partida.....	12,25	
		Costes indirectos..... 6,00%	0,74	
		TOTAL PARTIDA	12,99	

04.02	u	Transformador seg. 24 V. 1000 W. Transformador de seguridad con primario para 220 V. y secundario de 24 V. y 1000 W., instalado (amortizable en 5 usos). s/R.D. 486/97 y R.D. 614/2001.		
		Suma la partida.....	150,70	
		Costes indirectos..... 6,00%	9,04	
		TOTAL PARTIDA	159,74	

04.03	u	Extintor polvo ABC 6 kg. 21A/113B Extintor de polvo químico ABC polivalente antibrasa de eficacia 21A/113B, de 6 kg. de agente extintor, con soporte, manómetro comprobable y boquilla con difusor, según norma EN-3:1996. Medida la unidad instalada. s/R.D. 486/97.		
		Suma la partida.....	41,82	
		Costes indirectos..... 6,00%	2,51	
		TOTAL PARTIDA	44,33	

04.04	u	Extintor polvo ABC 9 kg. 34A/144B Extintor de polvo químico ABC polivalente antibrasa de eficacia 34A/144B, de 9 kg. de agente extintor, con soporte, manómetro comprobable y manguera con difusor, según norma EN-3:1996. Medida la unidad instalada. s/R.D. 486/97.		
		Suma la partida.....	53,46	
		Costes indirectos..... 6,00%	3,21	
		TOTAL PARTIDA	56,67	

04.05	u	Cuadro secundario obra pmáx.40kW Cuadro general de mandos y protección de obra para una potencia máxima de 40 kW. Compuesto por armario metálico con revestimiento de poliéster, de 90x60 cm, índice de protección IP 559, con cerradura, interruptor automático magnetotérmico+diferencial de 4x125 A., dos interruptores automático magnetotérmico de 4x63 A., dos de 4x30 A., dos de 2x25 A. y dos de 2x16 A. dos bases de enchufe IP 447 de 400 V 63 A 3p+T, dos de 400 V 32 A 3p+T, dos de 230 V 32 A 2p+T y dos de 230 V 16 A 2p+T incluyendo cableado, rótulos de identificación de circuitos, bornes de salida y p.p. de conexión a tierra, para una resistencia no superior de 80 Ohmios, instalado (amortizable en 4 obras). s/R.D. 486/97. S/ITC-BT-33 del REBT, RD 842/2002 de 02/08/2002 y R.D. 614/2001.		
		Suma la partida.....	1.353,17	
		Costes indirectos..... 6,00%	81,19	
		TOTAL PARTIDA	1.434,36	

CAPÍTULO 05 FORMACIÓN Y MANO DE OBRA DE SEGURIDAD

05.01	u	Costo mensual Comité seguridad Costo mensual del Comité de Seguridad y salud en el Trabajo, considerando una reunión al mes de dos horas y formado por un técnico cualificado en materia de seguridad y salud, dos trabajadores con categoría de oficial de 2º o ayudante y un vigilante con categoría de oficial de 1º.		
		Suma la partida.....	129,80	
		Costes indirectos..... 6,00%	7,79	
		TOTAL PARTIDA	137,59	

05.02	u	Costo mensual de conservación Costo mensual de conservación de instalaciones provisionales de obra, considerando 2 horas a la semana un oficial de 2ª.		
		Suma la partida.....	137,88	
		Costes indirectos..... 6,00%	8,27	
		TOTAL PARTIDA	146,15	

05.03	u	Costo mensual limpieza-desinfect. Costo mensual de limpieza y desinfección de casetas de obra, considerando dos horas a la semana de un peón ordinario.		
		Suma la partida.....	129,28	
		Costes indirectos..... 6,00%	7,76	
		TOTAL PARTIDA	137,04	

05.04	u	Costo mens. formación seguridad Costo mensual de formación de seguridad y salud en el trabajo, considerando una hora a la semana y realizada por un encargado.		
		Suma la partida.....	78,78	
		Costes indirectos..... 6,00%	4,73	
		TOTAL PARTIDA	83,51	

CAPÍTULO 06 SEÑALIZACIÓN Y BALIZAMIENTO

06.01	m	Cinta balizamiento bicolor 8 cm Cinta de balizamiento bicolor rojo/blanco de material plástico, incluso colocación y desmontaje. s/R.D. 485/97.		
		TOTAL PARTIDA	0,06	

06.02	u	Cono balizamiento estándar h=30 cm Cono de balizamiento reflectante de 30 cm. de altura (amortizable en 4 usos). s/R.D. 485/97.		
		Suma la partida.....	4,23	
		Costes indirectos..... 6,00%	0,25	
		TOTAL PARTIDA	4,48	

06.03	u	Señal triangular L=70 cm reflexivo E.G. Señal de seguridad triangular de L=70 cm., normalizada, con trípode tubular, amortizable en cinco usos, i/colocación y desmontaje. s/R.D. 485/97.		
		Suma la partida.....	49,25	
		Costes indirectos..... 6,00%	2,96	
		TOTAL PARTIDA	52,21	

06.04	u	Señal cuadrada L=60 cm Señal de seguridad cuadrada de 60x60 cm., normalizada, con soporte de acero galvanizado de 80x40x2 mm. y 2 m. de altura, amortizable en cinco usos, i/p.p. de apertura de pozo, hormigonado H-100/40, colocación y desmontaje. s/R.D. 485/97.		
		Suma la partida.....	48,98	
		Costes indirectos..... 6,00%	2,94	
		TOTAL PARTIDA	51,92	

06.05	u	Señal circular D=60 cm reflexivo E.G. Señal de seguridad circular de D=60 cm., normalizada, con soporte metálico de acero galvanizado de 80x40x2 mm. y 2 m. de altura, amortizable en cinco usos, i/p.p. de apertura de pozo, hormigonado H-100/40, colocación y desmontaje. s/R.D. 485/97.		
		Suma la partida.....	55,53	
		Costes indirectos..... 6,00%	3,33	
		TOTAL PARTIDA	58,86	



06.06	<p>u Placa informativa PVC 50x30 Placa señalización-información en PVC serigrafiado de 50x30 cm., fijada mecánicamente, amortizable en 2 usos, incluso colocación y desmontaje. s/R.D. 485/97.</p>	<p>Suma la partida 6,80 Costes indirectos..... 6,00% 0,41</p>
		TOTAL PARTIDA 7,21
06.07	<p>u Cartel PVC 220x300mm. Obli., proh., advert. Carteles de uso obligatorio de casco, de prohibido el paso y de advertencia peligro zona de obras.</p>	<p>Suma la partida 2,76 Costes indirectos..... 6,00% 0,17</p>
		TOTAL PARTIDA 2,93
CAPÍTULO 07 MEDICINA PREVENTIVA Y PRIMEROS AUXILIOS		
07.01	<p>u Reconocimiento médico básico I</p>	<p>Suma la partida 72,72 Costes indirectos..... 6,00% 4,36</p>
		TOTAL PARTIDA 77,08
07.02	<p>u Botiquín de urgencias Botiquín de urgencia para obra fabricado en chapa de acero, pintado al horno con tratamiento anti-corrosivo y serigrafía de cruz. Color blanco, con contenidos mínimos obligatorios, colocado.</p>	<p>Suma la partida 47,90 Costes indirectos..... 6,00% 2,87</p>
		TOTAL PARTIDA 50,77
07.03	<p>u Reposición de botiquín Reposición de material de botiquín de urgencia.</p>	<p>Suma la partida 16,28 Costes indirectos..... 6,00% 0,98</p>
		TOTAL PARTIDA 17,26
07.04	<p>u Camilla portátil evacuaciones Camilla portátil para evacuaciones. (amortizable en 10 usos).</p>	<p>Suma la partida 106,40 Costes indirectos..... 6,00% 6,38</p>
		TOTAL PARTIDA 112,78

Santiago de Compostela, Febrero 2016.

El autor del Proyecto

Rubén Sánchez Faro



4. PRESUPUESTO

CAPÍTULO 01 EQUIPOS DE PROTECCIÓN INDIVIDUAL				
01.01	u Casco seguridad básico Casco de seguridad de plástico resistente al impacto mecánico, con atalaje adaptable (homologación nº 12 clase N y EAT). Certificado CE s/R.D. 773/97 y R.D. 1407/92	10,00	4,91	49,10
01.02	u Casco seg. dieléct. c. pantalla Casco de seguridad dieléctrico con pantalla para protección de descargas eléctricas, (amortizable en 5 usos). Certificado CE. s/R.D. 773/97 y R.D. 1407/92.	3,00	18,88	56,64
01.03	u Pantalla seguridad cabeza soldador Pantalla de seguridad de cabeza, para soldador, de fibra vulcanizada, con cristal de 110 x 55 mm., (amortizable en 5 usos). Certificado CE. s/R.D. 773/97 y R.D. 1407/92	3,00	13,09	39,27
01.04	u Pantalla protección c. partículas Pantalla para protección contra partículas, con sujeción en cabeza, (amortizable en 5 usos). Certificado CE. s/R.D. 773/97 y R.D. 1407/92.	3,00	8,90	26,70
01.05	u Gafas protectoras Gafas protectoras contra impactos, incoloras (amortizable en 3 usos). Certificado CE s/R.D. 773/97 y R.D. 1407/92.	3,00	8,54	25,62
01.06	u Filtro antipolvo Mascarilla antipolvo de doble filtro (amortizable en 3 usos). Certificado CE s/R.D. 773/97 y R.D. 1407/92.	10,00	1,72	17,20
01.07	u Juego tapones antirruído espuma poliuretano Juego de tapones antirruído de poliuretano ajustables. Certificado CE. s/R.D. 773/97 y R.D. 1407/92.	10,00	0,43	4,30
01.08	u Cascos protectores auditivos Protectores auditivos con arnés a la nuca (amortizable 3 usos). Certificados CE s/R.D. 773/97 y R.D. 1407/92.	10,00	11,62	116,20
01.09	u Cinturón portaherramientas Cinturón portaherramientas (amortizable en 4 usos). Certificado CE. s/R.D. 773/97 y R.D. 1407/92.	10,00	16,35	163,50
01.10	u Mono de trabajo poliéster-algodón Mono de trabajo de una pieza de poliéster-algodón (amortizable en un uso). Certificado CE. s/R.D.773/97 y R.D. 1407/92.	10,00	16,44	164,40

01.11	u Traje impermeable 2 p. PVC Traje impermeable de trabajo, 2 piezas de PVC, (amortizable en un uso). Certificado CE. s/R.D. 773/97 y R.D. 1407/92.	10,00	9,19	91,90
01.12	u Faja protección lumbar Cinturón-faja antilumbago con faja elástica, amortizable 4 usos. Certificado CE. s/R.D. 773/97 y R.D. 1407/92.	10,00	23,68	236,80
01.13	u Mandil cuero para soldador Mandil de cuero para soldador, amortizable 3 usos. Certificado CE. s/R.D. 773/97 y R.D. 1407/92.	3,00	9,37	28,11
01.14	u Peto reflectante amarillo/naranja Peto reflectante de seguridad personal en colores amarillo y naranja (amortizable en 3 usos). Certificado CE. s/R.D. 773/97 y R.D. 1407/92.	10,00	3,74	37,40
01.15	u Par guantes de goma látex anticorte Par de guantes de goma látex anticorte. Certificado CE. s/R.D. 773/97 y R.D. 1407/92.	10,00	2,01	20,10
01.16	u Par guantes piel para conducir Par de guantes piel-conductor. Certificado CE. s/R.D. 773/97 y R.D. 1407/92.	10,00	1,82	18,20
01.17	u Par guantes p/soldador Par de guantes para soldador (amortizables en 3 usos). Certificado CE. s/R.D. 773/97 y R.D. 1407/92.	3,00	2,84	8,52
01.18	u Par guantes aislam. 5.000 V. Par de guantes aislantes para protección de contacto eléctrico en tensión hasta 5.000 V., (amortizables en 3 usos). Certificado CE. s/R.D. 773/97 y R.D. 1407/92.	3,00	28,36	85,08
01.19	u Par botas de agua de seguridad Par de botas de seguridad con plantilla y puntera de acero (amortizables en 1 usos). Certificado CE. s/R.D. 773/97 y R.D. 1407/92.	10,00	13,93	139,30
01.20	u Par botas de seguridad Par de botas de seguridad con plantilla y puntera de acero (amortizables en 1 usos). Certificado CE. s/R.D. 773/97 y R.D. 1407/92.	10,00	26,75	267,50
01.21	u Par botas aislantes 5.000 V. Par de botas aislantes para electricista hasta 5.000 V. de tensión (amortizables en 3 usos). Certificado CE. s/R.D. 773/97 y R.D. 1407/92.	3,00	68,55	205,65



Pasarela peatonal en la intersección de la Avda. Rodríguez de Viguri con la Avda. O Camiño Francés (Santiago de Compostela)



<p>01.22 u Par polainas para soldador Par de polainas para soldador (amortizables en 3 usos). Certificado CE. s/R.D. 773/97 y R.D. 1407/92.</p>	<p>3,00 4,51 13,53</p>	<p>03.02 u Alq. mes caseta almacén 5,98x2,45 Mes de alquiler de caseta prefabricada para almacén de obra de 5,98x2,45x2,45 m. de 14,65 m². Estructura de acero galvanizado. Cubierta y cerramiento lateral de chapa galvanizada trapezoidal de 0,6 mm. reforzada con perfiles de acero, interior prelacado. Suelo de aglomerado hidrófugo de 19 mm. puerta de acero de 1 mm., de 0,80x2,00 m. pintada con cerradura. Ventana fija de cristal de 6 mm., recercado con perfil de goma. Con transporte a 150 km.(ida y vuelta). Entrega y recogida del módulo con camión grúa. Según R.D. 486/97.</p>	<p>6,00 108,60 651,60</p>
<p>01.23 u Par rodilleras Par de rodilleras ajustables de protección ergonómica (amortizables en 3 usos). Certificado CE. s/R.D. 773/97 y R.D. 1407/92.</p>	<p>10,00 14,12 141,20</p>	<p>03.03 u Alq. mes caseta oficina 4,64x2,45 Mes de alquiler de caseta prefabricada para un despacho de oficina en obra de 4,64x2,45x2,45 m. de 11,36 m². Estructura y cerramiento de chapa galvanizada pintada, aislamiento de poliestireno expandido autoextinguible, interior con tablero melaminado en color. Cubierta de chapa galvanizada reforzada con perfil de acero; fibra de vidrio de 60 mm., interior con tablex lacado. Suelo de aglomerado revestido con PVC continuo de 2 mm., y poliestireno de 50 mm. con apoyo en base de chapa galvanizada de sección trapezoidal. Puerta de 0,8x2 m., de chapa galvanizada de 1 mm., reforzada y con poliestireno de 20 mm., picaporte y cerradura. Ventana aluminio anodizado corredera, contra-ventana de acero galvanizado. Instalación eléctrica a 220 V., toma de tierra, automático, 2 fluorescentes de 40 W., enchufe de 1500 W. punto luz exterior. Con transporte a 150 km.(ida y vuelta). Entrega y recogida del módulo con camión grúa. Según R.D. 486/97.</p>	<p>6,00 133,90 803,40</p>
<p>01.24 u Arnés amarre dorsal + torácicos Equipo completo para trabajos en vertical y horizontal compuesto por un arnés de seguridad con amarre dorsal y anilla torsal, fabricado con cinta de nylon de 45 mm. y elementos metálicos de acero inoxidable, un dispositivo anticaídas deslizante de doble función y un rollo de cuerda poliamida de 14 mm. de 2 m. con lazada, incluso bolsa portaequipo. Amortizable en 4 obras. Certificado CE Norma EN 36- EN 696- EN 353-2. s/R.D. 773/97 y R.D. 1407/92.</p>	<p>10,00 39,17 391,70</p>	<p>03.04 u Alq. mes caseta comedor 7,92x2,45 Ud. Mes de alquiler de caseta prefabricada para comedor de obra de 6x2.35 m., con estructura metálica mediante perfiles conformados en frío y cerramiento chapa nervada y galvanizada con terminación de pintura prelacada. Aislamiento interior con lana de vidrio combinada con poliestireno expandido. Revestimiento de P.V.C. en suelos y tablero melaminado en paredes. Ventanas de aluminio anodizado, con persianas correderas de protección, incluso instalación eléctrica con distribución interior de alumbrado y fuerza con toma exterior a 220 V.</p>	<p>6,00 158,23 949,38</p>
<p>TOTAL CAPÍTULO 01 EQUIPOS DE PROTECCIÓN INDIVIDUAL 2.347,92</p>		<p>03.05 u Acometida prov. eléct. a caseta Acometida provisional de electricidad a caseta de obra, desde el cuadro general formada por manguera flexible de 4x6 mm² de tensión nominal 750 V., incorporando conductor de tierra color verde y amarillo, fijada sobre apoyos intermedios cada 2,50 m. instalada.</p>	<p>5,00 146,53 732,65</p>
<p>CAPÍTULO 02 EQUIPOS DE PROTECCIÓN COLECTIVA</p>		<p>03.06 u Acometida prov. sane. a caseta en superfic. Acometida provisional de saneamiento de caseta de obra a la red general municipal (pozo o imbornal), hasta una distancia máxima de 8 m., formada por tubería en superficie de PVC de 110 mm. de diámetro interior, tapado posterior de la acometida con hormigón en masa HM-20/P/20/I, y con p.p. de medios auxiliares.</p>	<p>2,00 134,07 268,14</p>
<p>02.01 u Valla contenc. peatones 2,5x1 m Valla de contención de peatones, metálica, prolongable de 2,50 m. de largo y 1 m. de altura, color amarillo, amortizable en 5 usos, incluso colocación y desmontaje. s/R.D. 486/97.</p>	<p>35,00 31,80 1.113,00</p>	<p>03.07 u Percha para aseos o duchas Percha para aseos o duchas en aseos de obra, colocada.</p>	<p>2,00 5,64 11,28</p>
<p>02.02 m2 Red seguridad poliamida 10x10 cm Red horizontal de seguridad en cubrición de huecos formada por malla de poliamida de 10x10 cm enredada con cuerda de D=3 mm y cuerda perimetral de D=10 mm para amarre de la red a los anclajes de acero de D=10 mm conectados a las armaduras perimetrales del hueco cada 50 cm y cinta perimetral de señalización fijada a pies derechos. Amortizable en 8 usos. S/RD 488/97</p>	<p>135,00 2,65 357,75</p>	<p>03.08 u Espejo vestuarios y aseos Espejo para vestuarios y aseos, colocado.</p>	<p>1,00 27,93 27,93</p>
<p>TOTAL CAPÍTULO 02 EQUIPOS DE PROTECCIÓN COLECTIVA 1.470,75</p>		<p>CAPÍTULO 03 INSTALACIONES DE HIGIENE Y BIENESTAR</p>	
<p>03.01 u Alq. mes caseta pref. aseo 4,00x2,23 Mes de alquiler de caseta prefabricada para aseos en obra de 4,00x2,23x2,63 m. Estructura y cerramiento de chapa galvanizada pintada, con aislamiento de poliestireno expandido. Ventana de 0,84x0,80 m. de aluminio anodizado, corredera, con reja y luna de 6 mm., termo eléctrico de 50 l., dos placas turcas, dos placas de ducha y lavabo de tres grifos, todo de fibra de vidrio con terminación de gel-coat blanco y pintura antideslizante, suelo contrachapado hidrófugo con capa fenólica antideslizante y resistente al desgaste, puerta madera en turca, cortina en ducha. Tubería de polibutileno aislante y resistente a incrustaciones, hielo y corrosiones, instalación eléctrica mono. 220 V. con automático. Con transporte a 150 km.(ida y vuelta). Entrega y recogida del módulo con camión grúa. Según R.D. 486/97.</p>	<p>6,00 118,72 712,32</p>		



CAPÍTULO 06 SEÑALIZACIÓN Y BALIZAMIENTO

06.01	m Cinta balizamiento bicolor 8 cm Cinta de balizamiento bicolor rojo/blanco de material plástico, incluso colocación y desmontaje. s/R.D. 485/97.			
		300,00	0,06	18,00
06.02	u Cono balizamiento estándar h=30 cm Cono de balizamiento reflectante de 30 cm. de altura (amortizable en 4 usos). s/R.D. 485/97.			
		25,00	4,48	112,00
06.03	u Señal triangular L=70 cm reflexivo E.G. Señal de seguridad triangular de L=70 cm., normalizada, con trípode tubular, amortizable en cinco usos, i/colocación y desmontaje. s/R.D. 485/97.			
		3,00	52,21	156,63
06.04	u Señal cuadrada L=60 cm Señal de seguridad cuadrada de 60x60 cm., normalizada, con soporte de acero galvanizado de 80x40x2 mm. y 2 m. de altura, amortizable en cinco usos, i/p.p. de apertura de pozo, hormigonado H-100/40, colocación y desmontaje. s/R.D. 485/97.			
		3,00	51,92	155,76
06.05	u Señal circular D=60 cm reflexivo E.G. Señal de seguridad circular de D=60 cm., normalizada, con soporte metálico de acero galvanizado de 80x40x2 mm. y 2 m. de altura, amortizable en cinco usos, i/p.p. de apertura de pozo, hormigonado H-100/40, colocación y desmontaje. s/R.D. 485/97.			
		3,00	58,86	176,58
06.06	u Placa informativa PVC 50x30 Placa señalización-información en PVC serigrafiado de 50x30 cm., fijada mecánicamente, amortizable en 2 usos, incluso colocación y desmontaje. s/R.D. 485/97.			
		6,00	7,21	43,26
06.07	u Cartel PVC 220x300mm. Obli., proh., advert. Carteles de uso obligatorio de casco, de prohibido el paso y de advertencia peligro zona de obras.			
		9,00	2,93	26,37
TOTAL CAPÍTULO 06 SEÑALIZACIÓN Y BALIZAMIENTO				688,60

CAPÍTULO 07 MEDICINA PREVENTIVA Y PRIMEROS AUXILIOS

07.01	u Reconocimiento médico básico I			
		10,00	77,08	770,80
07.02	u Botiquín de urgencias Botiquín de urgencia para obra fabricado en chapa de acero, pintado al horno con tratamiento anticorrosivo y serigrafía de cruz. Color blanco, con contenidos mínimos obligatorios, colocado.			
		1,00	50,77	50,77
07.03	u Reposición de botiquín Reposición de material de botiquín de urgencia.			
		1,00	17,26	17,26
07.04	u Camilla portátil evacuaciones Camilla portátil para evacuaciones. (amortizable en 10 usos).			
		1,00	112,78	112,78
TOTAL CAPÍTULO 07 MEDICINA PREVENTIVA Y PRIMEROS AUXILIOS				951,61
TOTAL				16.249,05

Santiago de Compostela, Febrero 2016.

El autor del Proyecto

Rubén Sánchez Faro



5. RESUMEN DEL PRESUPUESTO

CAPITULO	RESUMEN	EUROS	%
1	EQUIPOS DE PROTECCIÓN INDIVIDUAL	2.347,92	14,45
2	EQUIPOS DE PROTECCIÓN COLECTIVA.....	1.470,75	9,05
3	INSTALACIONES DE HIGIENE Y BIENESTAR	5.955,34	36,65
4	INSTALACIONES DE SEGURIDAD.....	1.809,09	11,13
5	FORMACIÓN Y MANO DE OBRA DE SEGURIDAD.....	3.025,74	18,62
6	SEÑALIZACIÓN Y BALIZAMIENTO.....	688,60	4,24
7	MEDICINA PREVENTIVA Y PRIMEROS AUXILIOS.....	951,61	5,86
TOTAL EJECUCIÓN MATERIAL		16.249,05 €	

Santiago de Compostela, Febrero 2016.

El autor del Proyecto

Rubén Sánchez Faro



ANEJO Nº 16: EXPROPIACIONES



ÍNDICE

1.	INTRODUCCIÓN.....	2
2.	PROPIEDAD DE LA ZONA DE ACTUACIÓN.....	2
3.	CONCLUSIONES.....	2



1. INTRODUCCIÓN

El presente anejo se redacta con la finalidad de definir los terrenos afectados por la obra, determinando si se trata de áreas de dominio público o de propiedad privada. En este último caso se definirán los terrenos a expropiar y se valorarán los costes de expropiación de los mismos.

2. PROPIEDAD DE LA ZONA DE ACTUACIÓN

Esta obra se sitúa en la intersección de las Avenidas Rodríguez de Viguri y O Camiño Francés, afectando a la margen Oeste de la Avenida Rodríguez de Viguri, a la margen Este de la Avenida O Camiño Francés y a la zona central que comunica ambas Avenidas. En todos los casos se trata de zonas ajardinadas, si bien en el tramo central se prevé la afección a una pequeña zona de aparcamiento de titularidad municipal.

En todos los casos se trata de terrenos de dominio público, recogidos en el correspondiente Plan General de Ordenación Municipal, por tanto, tal y como dice el artículo 39 de la Ley de Carreteras, el otorgamiento de autorizaciones para realizar obras o actividades no ejecutadas por organismos estatales (Ministerio de Fomento) en dicha zona, corresponde a los ayuntamientos, en este caso al Excelentísimo Ayuntamiento de Santiago de Compostela.

3. CONCLUSIONES

Considerando que el suelo de la zona de actuación es de dominio público, no será necesario llevar a cabo ningún tipo de expropiación. Por tanto, el Presupuesto para Conocimiento de la Administración coincide con el Presupuesto de Ejecución por Contrata del Documento N° 4.

Además no se afecta a ninguna zona privada colindante por lo que tampoco se entra en la obligación de indemnizar a particulares o comunidades de vecinos. Aun así, todo ello no exime al contratista de la reparación de cualquier afección que se pueda ocasionar a la zona.



ANEJO N° 17: JUSTIFICACIÓN DE PRECIOS



ÍNDICE

1.	INTRODUCCIÓN.....	2
2.	COSTES DIRECTOS.....	2
2.1	MANO DE OBRA.....	2
2.2	MATERIALES.....	4
2.3	MAQUINARIA.....	4
3.	COSTES INDIRECTOS.....	4
4.	PARTIDAS ALZADAS.....	5
	APÉNDICE I: LISTADOS DE PRECIOS UNITARIOS.....	6
	APÉNDICE II: CUADRO DE PRECIOS DESCOMPUESTOS.....	10



1. INTRODUCCIÓN

El presente anejo se redacta con la finalidad de dar cumplimiento al artículo 1º de la Orden de 12 de Junio de 1968 (BOE 27/07/68), modificado posteriormente por la Orden Ministerial de 21 de Mayo de 1979 (BOE 28/05/79).

Se justificará aquí, por tanto, el importe de los precios unitarios que figuran en los Cuadros de Precios del Documento nº 4: Presupuesto. En primer lugar se justificarán los costes directos (mano de obra, materiales y maquinaria), y seguidamente los costes indirectos (gastos de instalaciones a pie de obra, personal técnico y administrativo, etc.), para así poder determinar los precios unitarios. Se incluye también un apartado en el que se habla de las partidas alzadas, explicando las hipótesis que nos llevan a determinar su precio.

Según el artículo 2º de la Orden citada anteriormente, este Anejo de Justificación de Precios no tiene carácter contractual. El cálculo de los precios de las distintas unidades de obra se ajustará a lo establecido en el Reglamento General de la Ley de Contratos de las Administraciones Públicas.

2. COSTES DIRECTOS

Los costes directos son los que se producen dentro del recinto de la obra y que pueden atribuirse directamente a una unidad de obra en concreto. Se componen estos de mano de obra, materiales y maquinaria y engloban los siguientes conceptos:

- La mano de obra, con sus pluses, cargas y seguros sociales, que interviene directamente en la ejecución de la unidad de obra.
- Los materiales, a los precios resultantes a pie de obra, que quedan integrados en la unidad de que se trate o que sean necesarios para su ejecución.
- Los gastos de personal, combustible, energía, etc. que tengan lugar por el accionamiento o el funcionamiento de la maquinaria e instalaciones utilizadas en la ejecución de la unidad de obra.
- Los gastos de amortización y conservación de la maquinaria e instalaciones anteriormente citadas.

A la hora de agrupar dichos conceptos se procederá ordenadamente del siguiente modo: Mano de Obra, Materiales y Maquinaria.

2.1 MANO DE OBRA

Para calcular los costes horarios de las categorías profesionales correspondientes a la mano de obra que interviene directamente en la ejecución de las unidades de obra, se ha consultado el Convenio Colectivo del Sector de CONSTRUCCIÓN Y OBRAS PÚBLICAS de la provincia de A Coruña con vigencia hasta el año 2016.

Los costes por hora trabajada se determinan del siguiente modo:

Coste hora trabajada = (Coste empresarial anual) / (Horas trabajadas al año)

Dicho coste empresarial anual incluye, además de las retribuciones percibidas por el trabajador por todos los conceptos, las cargas sociales que por cada trabajador tiene que abonar la empresa.

El coste de la hora efectiva de trabajo (C) de cada una de las categorías laborales, se calcula del modo siguiente:

$$C = (1 + k) \cdot A + B$$

Siendo:

- C: coste de la hora efectiva de trabajo en €/hora.
- A: parte de la retribución total del trabajador que tiene carácter salarial (sujeta a cotización), en €/hora.
- B: parte de la retribución total del trabajador de carácter no salarial (no sujeta a cotización), en concepto de indemnizaciones por los gastos que ha de realizar como consecuencia de la actividad laboral: gastos de transporte, plus de distancia, desgaste de herramientas, etc. Expresado en €/hora.
- k: porcentaje sobre la partida salarial (A) que representa los gastos de la empresa como consecuencia de pagos a la seguridad social.

El número de horas anuales trabajadas se determina a partir del calendario laboral para el año 2016, que según el convenio se establece en 1736 horas. De igual forma se obtiene el número total de días trabajados, que corresponde a 217 días.

En la tabla siguiente se recoge el cálculo de los costes horarios correspondientes a cada categoría laboral.



CONCEPTO	UNIDAD	CATEGORÍA LABORAL						
		PEÓN ORDINARIO	PEÓN ESPECIALIZADO	AYUDANTE	OFICIAL 2ª	OFICIAL 1ª	CAPATAZ	ENCARGADO
SALARIO SUJETO A COTIZACIÓN A LA SEGURIDAD SOCIAL (A)								
Salario base (335 días)	€/día	28,87	29,49	29,69	30,64	31,34	32,01	36,01
Plus de asistencia (217 días)	€/día efectivo	7,94	7,94	7,94	7,94	7,94	7,94	7,94
Vacaciones (1 mes)	€/año	1259,99	1283,37	1290,11	1332,69	1358,27	1387,86	1523,61
Pagas extra (2 meses)	€/año	2519,98	2566,74	2580,22	2665,38	2716,54	2775,72	3047,22
TOTAL	-	15174,4	15452,24	15539,46	15985,45	16296,69	16609,91	18357,16
Otros (Antigüedad, horas extra, etc.) (5%)	€/año	758,72	772,61	776,97	799,27	814,83	830,50	917,86
RETRIBUCIÓN ANUAL (A)	€/año	15933,12	16224,85	16316,43	16784,72	17111,52	17440,41	19275,02
SALARIO NO SUJETO A COTIZACIÓN A LA SEGURIDAD SOCIAL (B)								
Indemnización por despido (7%)	€/año	1115,32	1135,74	1142,15	1174,93	1197,81	1220,83	1349,25
Plus de distancia y transporte (217 días)	€/día efectivo	4,39	4,5	4,52	4,64	4,75	4,83	4,86
Desgaste de herramientas (217 días)	€/día efectivo	0,64	0,64	0,64	0,64	0,64	0,64	0,64
RETRIBUCIÓN ANUAL (B)	€/año	2206,83	2251,12	2261,87	2320,69	2367,44	2407,82	2542,75
CARGAS SOCIALES A PAGAR POR LA EMPRESA (k x A)								
Cotización anual seguridad social (37,8% A)	€/año	6022,72	6132,99	6167,61	6344,63	6468,16	6592,47	7285,96
COSTE EMPRESARIAL ANUAL (C = (1+k)x(A+B))	€/año	24162,67	24608,97	24745,91	25450,04	25947,12	26440,70	29103,73
HORAS TRABAJADAS AL AÑO	h/año	1736	1736	1736	1736	1736	1736	1736
COSTE HORARIO	€/hora	13,92	14,18	14,25	14,66	14,95	15,23	16,76



2.2 MATERIALES

El coste de los materiales comprende los siguientes conceptos:

- Coste de adquisición del material.
- Coste de transporte del mismo hasta la obra.
- Coste de carga y descarga.
- Varios: mermas, pérdidas o roturas.(entre el 1% y el 5% del coste de adquisición).

El estudio de los costes correspondientes a los materiales se ha realizado a partir de la información contenida en las Bases de Precios de Edificación y Obra Civil, actualizadas a 2015, disponibles en la Escuela Técnica Superior de Ingenieros de Caminos, Canales y Puertos de A Coruña.

2.3 MAQUINARIA

El estudio de los costes correspondientes a la maquinaria se ha realizado a partir de la información contenida en las Bases de Precios de Edificación y Obra Civil, actualizadas a 2015, disponibles en la Escuela Técnica Superior de Ingenieros de Caminos, Canales y Puertos de A Coruña. Dichas bases de datos son Preoc_2015 y Precio_centro_2015.

3. COSTES INDIRECTOS

Los costes indirectos son aquellos que no pueden atribuirse directamente a una unidad de obra concreta, sino que atañen al conjunto de la obra.

Se consideran costes indirectos los siguientes:

- Gastos de instalación de oficinas a pie de obra, comunicaciones, edificación de almacenes, talleres, pabellones temporales para obreros, laboratorios, etc.
- El personal técnico y administrativo adscrito exclusivamente a la obra.
- Los costes imprevistos.

Todos los gastos, exceptuando las unidades de obra o partidas alzadas que como tales figuren en el presupuesto, se expresarán como un porcentaje de los Costes Directos, igual para todas las unidades de obra.

Para determinar el porcentaje de Costes Indirectos se aplica la Orden de 12 de Junio de 1968 del Ministerio de Obras Públicas. Dicha orden establece que el cálculo de los precios de las distintas unidades de obra se obtiene como:

$$P = \left(1 + \frac{k}{100}\right) \cdot C_D$$

Siendo:

P : El precio de ejecución material en euros.

k : El porcentaje correspondiente a los Costes Indirectos.

C_D : El Coste Directo de la unidad en euros.

Según el artículo 12º de la Orden de 12 de Junio de 1968, el término k está compuesto de dos sumandos:

$$k = k_1 + k_2$$

El sumando k_1 es el porcentaje de los Costes Indirectos sobre los Costes Directos, es decir:

$$k_1 = \frac{C_I}{C_D} \cdot 100$$

En cualquier caso, el máximo valor del coeficiente k_1 será de un 5%.

El sumando k_2 alude a los imprevistos. Tratándose de una obra terrestre, se tomará para este porcentaje un valor de un 1%.

En este proyecto, se empleará como porcentaje de Costes Indirectos el siguiente valor, que es el utilizado como norma general:

$$k = k_1 + k_2 = 5\% + 1\% = 6\%$$



4. PARTIDAS ALZADAS

En el caso de las partidas alzadas de abono íntegro, que no son susceptibles de medición ni descomposición, debe realizarse un estudio, expuesto a continuación, que recoja las hipótesis básicas empleadas en la valoración de las mismas, de acuerdo a lo establecido en la Orden Ministerial de 12 de Junio de 1968.

Partidas Alzadas de Abono Íntegro:

P.A.-A.I. DE PRUEBA DE CARGA

Se justifica en el Anejo de Prueba de Carga del presente proyecto, donde se estima un importe de ejecución material de **14.859,90 €**.

P.A.-A.I. DE LIMPIEZA Y TERMINACIÓN DE OBRA

La cuantificaremos suponiendo que hacen falta 4 peones ordinarios durante 3 días, lo que supone un coste de:

$$4 \text{ peones} \times 3 \text{ días} \times 8 \text{ h/día} \times 13,92 \text{ €/h} = \mathbf{1336,32 \text{ €}}$$



APÉNDICE I: LISTADOS DE PRECIOS UNITARIOS



1. MANO DE OBRA

CÓDIGO	CANTIDAD UD	RESUMEN	PRECIO	IMPORTE
O010A020	17,526 h	Capataz	15,23	266,92
O010A030	101,856 h	Oficial primera	14,95	1.522,75
O010A040	20,472 h	Oficial segunda	14,66	300,12
O010A050	35,743 h	Ayudante	14,25	509,33
O010A060	15,480 h	Peón especializado	17,00	263,16
O010A070	106,189 h	Peón ordinario	13,92	1.478,14
O010B010	271,092 h	Oficial 1ª encofrador	14,95	4.052,83
O010B020	271,092 h	Ayudante encofrador	14,25	3.863,06
O010B030	86,138 h	Oficial 1ª ferralla	14,95	1.287,76
O010B040	86,138 h	Ayudante ferralla	14,25	1.227,47
O010B130	2.989,082 h	Oficial 1ª cerrajero	14,95	44.686,77
O010B140	2.241,811 h	Ayudante cerrajero	14,25	31.945,81
O010B280	16,632 h	Peón Jardinería	13,92	231,52
O010B230	83,240 h	Oficial 1ª pintura	14,95	1.244,44
O010B240	83,240 h	Ayudante pintura	14,25	1.186,17

**2. MATERIALES**

CÓDIGO	CANTIDAD UD	RESUMEN	PRECIO	IMPORTE					
					P01UG330	774,000 u	Conector de disparo Hilti X-HVB 95	2,13	1.648,62
					P01UG400	27,600 u	Anclajes metálicos M-14	0,91	25,12
					P03AAA020	57,121 kg	Alambre atar 1,30 mm	0,88	50,27
					P03ACA080	938,669 kg	Acero corrugado B 400 S/SD	0,70	657,07
4.4.3	10,000 u	Apoyo neopreno 200x300x60	48,75	487,50	P03ACC080	4.533,050 kg	Acero corrugado B 500 S/SD	0,77	3.490,45
P01AA020	1,939 m3	Arena de río 0/6 mm	17,39	33,73	P03ACD010	1.537,883 kg	Acero corrugado elab. B 500 SD	0,93	1.430,23
P01CC020	0,502 t	Cemento CEM II/B-P 32,5 N sacos	100,82	50,59	P03ALN040	650,210 m2	Plancha nervometal 7 cm	16,78	10.910,52
P01DC040	4,894 l	Desenconfante p/encofrado metálico	1,53	7,49	P03ALP010	156.926,795 kg	Acero laminado S235 JR	0,99	155.357,53
P01DR020	4,600 kg	Resina de adherencia hormigón	11,10	51,06	P03AM020	1.228,306 m2	Malla 15x15x5 2,078 kg/m2	1,48	1.817,89
P01DW050	0,507 m3	Agua	1,27	0,64	P06SR110	171,513 m2	Mort. impermeab. cement. Butech	2,63	451,08
P01DW090	14.945,409 u	Pequeño material	1,35	20.176,30	P08XBH380	23,280 u	Bordillo hormigón A2 bicapa 10x20cm	3,12	72,63
P01EM290	3,661 m3	Madera pino encofrar 26 mm	264,51	968,46	P08XVH100	59,310 m2	Loseta botones cemento gris 30x30cm	3,50	207,59
P01FJ040	73,600 kg	Mortero alta resistencia p/junta int-ext	1,03	75,81	P08XW020	59,310 u	Junta dilatación/m2 pavimento piezas	0,30	17,79
P01FJ200	9,660 m	Junta neopreno armado JNA-42	87,50	845,25	P25OU080	1.499,909 l	Minio electrolítico	7,59	11.384,31
P01HA010	79,453 m3	Hormigón HA-30/b/20/IIa central	72,76	5.780,97					
P01HA130	82,869 m3	Hormigón HA-30/B/20/IIa central	77,65	6.434,78					
P01HM010	19,773 m3	Hormigón HM-10/P/20/IIa central	70,04	1.384,93					
P01HM160	6,010 m3	Hormigón HM-30/P/20/IIa central	77,59	466,32					
P01MC040	0,012 m3	Mortero cem. gris CEM-II/B-M 32,5 M-5	63,82	0,74					
P01RF020	36,800 kg	Mástic BM con elastómeros	1,88	69,18					
P01UA010	1.548,000 u	Cartuchos Hilti 6,8/18 M rojo	0,23	356,04					
P01UC020	59,680 kg	Puntas 17x70	7,77	463,71					
P01UC030	7,041 kg	Puntas 20x100	7,85	55,27					
P01UC070	1.548,000 u	Clavo Hilti X-ENP 21 HVB	0,30	464,40					



3. MAQUINARIA

CÓDIGO	CANTIDAD UD	RESUMEN	PRECIO	IMPORTE					
					M08CA110	2,944 h	Cisterna agua s/camión 10.000 l	32,00	94,20
					M08NM010	3,221 h	Motoniveladora de 135 cv	62,00	199,72
M02GE050	53,803 h	Grúa telescópica autoprop. 60 t	120,40	6.477,94	M08NM020	4,570 h	Motoniveladora de 200 cv	72,00	329,05
M02GT210	8,967 mes	Alquiler grúa torre 30 m 750 kg	880,57	7.896,29	M08RL010	8,044 h	Rodillo vibrante manual tándem 800 kg	6,00	48,26
M02GT300	1,495 u	Mont/desm. grúa torre 30 m flecha	2.847,68	4.255,97	M08RN040	2,209 h	Rodillo vibrante autopropuls.mixto 15 t	54,00	119,30
M02GT360	8,967 mes	Contrato mantenimiento	104,28	935,10	M09F010	1,840 h	Cortadora de pavimentos		
M02GT370	8,967 mes	Alquiler telemando	49,68	445,49	M11HV120	41,007 h	Aguja eléct.c/convertid.gasolina D=79mm	7,95	326,00
M02GT380	1,495 u	Tramo de empotramiento grúa torre <40 m	1.436,24	2.146,52	M11MM030	4,200 h	Motosierra gasol. L=40cm. 1,32 cv	2,19	9,20
M03HH020	0,712 h	Hormigonera 200 l gasolina	2,54	1,81	M12W210	15,480 h	Pistola Hilti DX 76 adaptada	0,42	6,50
M05EC020	10,504 h	Excavadora hidráulica cadenas 135 cv	62,23	653,68	M13EF020	59,680 m2	Encof.panel metal.5/10 m2. 50 p.	2,87	171,28
M05EC040	0,925 h	Excavadora hidráulica cadenas 310 cv	106,83	98,85	M13EF040	5,968 m	Fleje para encofrado metálico	0,32	1,91
M05EN030	4,628 h	Excav.hidráulica neumáticos 100 cv	50,31	232,84					
M05PC020	4,570 h	Pala cargadora cadenas 130 cv/1,8m3	43,50	198,80					
M05RN010	2,203 h	Retrocargadora neumáticos 50 cv	28,58	62,97					
M05RN020	3,082 h	Retrocargadora neumáticos 75 cv	29,60	91,22					
M06MR230	8,699 h	Martillo rompedor hidráulico 600 kg	11,41	99,26					
M07CB020	5,537 h	Camión basculante 4x4 14 t	34,92	193,33					
M07CB030	28,709 h	Camión basculante 6x4 20 t	39,01	1.119,94					
M07CG010	5,911 h	Camión con grúa 6 t	42,89	253,52					
M07N030	92,530 m3	Canon suelo seleccionado préstamo	2,33	215,59					
M07N080	148,380 m3	Canon de tierra a vertedero	6,08	902,15					
M07N100	14,000 u	Canon tocón/ramaje vertedero pequeño	1,32	18,48					
M07N601	571,260 t	Canon de vertido tierras limpias para reposición de canteras	0,95	542,70					



APÉNDICE II: CUADRO DE PRECIOS DESCOMPUESTOS



CAPÍTULO 1 ACTUACIONES PREVIAS

1.1	u	TALADO ÁRBOL DIÁMETRO 10-30 cm		
Talado de árbol de diámetro 10/30 cm., troceado y apilado del mismo en la zona indicada, incluso carga y transporte a vertedero o planta de reciclaje de ramas y el resto de productos resultantes y con p.p. de medios auxilia-				
O01OA020	0,250 h	Capataz	15,23	3,81
O01OA070	0,750 h	Peón ordinario	13,92	10,44
M07CB020	0,150 h	Camión basculante 4x4 14 t	34,92	5,24
M11MM030	0,550 h	Motosierra gasol. L=40cm. 1,32 cv	2,19	1,20
M07N100	1,000 u	Canon tocón/ramaje vertedero pequeño	1,32	1,32

Suma la partida 22,01
 Costes indirectos..... 6,00% 1,32

TOTAL PARTIDA 23,33

Ascende el precio total de la partida a la mencionada cantidad de VEINTITRES EUROS con TREINTA Y TRES CÉNTIMOS

1.2	u	DESTOCÓNADO ÁRBOL D=10-30 cm		
Destocónado de árbol de diámetro 10/30 cm., incluso carga y transporte a vertedero o planta de reciclaje del tocón				
O01OA020	0,065 h	Capataz	15,23	0,99
O01OA070	0,080 h	Peón ordinario	13,92	1,11
M05EC020	0,045 h	Excavadora hidráulica cadenas 135 cv	62,23	2,80
M07CB020	0,060 h	Camión basculante 4x4 14 t	34,92	2,10
M11MM030	0,300 h	Motosierra gasol. L=40cm. 1,32 cv	2,19	0,66
M08RL010	0,150 h	Rodillo vibrante manual tandem 800 kg	6,00	0,90
M07N100	1,000 u	Canon tocón/ramaje vertedero pequeño	1,32	1,32

Suma la partida 9,88
 Costes indirectos..... 6,00% 0,59

TOTAL PARTIDA 10,47

Ascende el precio total de la partida a la mencionada cantidad de DIEZ EUROS con CUARENTA Y SIETE CÉNTIMOS

1.3	m³	RETIRADA TIERRA VEGETAL DESBROCE		
Retirada de tierra vegetal superficial de terreno desarbolado por medios mecánicos, de profundidad variable, inclu-				
O01OA020	0,008 h	Capataz	15,23	0,12
M08NM020	0,008 h	Motoniveladora de 200 cv	72,00	0,58
M05PC020	0,008 h	Pala cargadora cadenas 130 cv/1,8m³	43,50	0,35
M07CB030	0,016 h	Camión basculante 6x4 20 t	39,01	0,62
M07N601	1,000 t	Canon de vertido tierras limpias para reposición de canteras	0,95	0,95

Suma la partida 2,62
 Costes indirectos..... 6,00% 0,16

TOTAL PARTIDA 2,78

Ascende el precio total de la partida a la mencionada cantidad de DOS EUROS con SETENTA Y OCHO CÉNTIMOS

1.4	u	RETIRADA DE FAROLA		
Retirada de mobiliario urbano para conseguir un recinto adecuado para la realización de las obras, incluso Sin descomposición				
				10,89
			Costes indirectos..... 6,00%	0,65

TOTAL PARTIDA 11,54

Ascende el precio total de la partida a la mencionada cantidad de ONCE EUROS con CINCUENTA Y CUATRO CÉNTIMOS

1.5	m2	DEMOLICIÓN Y LEVANTADO DE ACERAS		
Demolición y levantado de aceras de loseta hidráulica o equivalente, con solera de hormigón en masa 10/15 cm. de espesor, incluso carga y transporte en camión del escombros resultante al lugar de acopio en obra, para su posterior transporte a planta de RCD. l/p.p. de medios auxiliares.				
O01OA020	0,015 h	Capataz	15,23	0,23
O01OA070	0,200 h	Peón ordinario	13,92	2,78
M05EN030	0,150 h	Excav.hidráulica neumáticos 100 cv	50,31	7,55
M06MR230	0,150 h	Martillo rompedor hidráulico 600 kg	11,41	1,71
M05RN020	0,080 h	Retrocargadora neumáticos 75 cv	29,60	2,37
M07CB030	0,019 h	Camión basculante 6x4 20 t	39,01	0,74

Suma la partida 15,38
 Costes indirectos 6,00% 0,92

TOTAL PARTIDA 16,30

Ascende el precio total de la partida a la mencionada cantidad de DIECISEIS EUROS con TREINTA CÉNTIMOS

1.6	m	DEMOLICIÓN Y LEVANTADO DE BORDILLO		
Demolición y levantado de bordillo de cualquier tipo y cimientos de hormigón en masa, de espesor variable, incluso carga y transporte en camión del escombros resultante al lugar de acopio en obra, para su posterior transporte a				
O01OA020	0,020 h	Capataz	15,23	0,30
O01OA070	0,036 h	Peón ordinario	13,92	0,50
M05EN030	0,025 h	Excav.hidráulica neumáticos 100 cv	50,31	1,26
M06MR230	0,030 h	Martillo rompedor hidráulico 600 kg	11,41	0,34
M05RN020	0,025 h	Retrocargadora neumáticos 75 cv	29,60	0,74
M07CB030	0,020 h	Camión basculante 6x4 20 t	39,01	0,78

Suma la partida 3,92
 Costes indirectos 6,00% 0,24

TOTAL PARTIDA 4,16

Ascende el precio total de la partida a la mencionada cantidad de CUATRO EUROS con DIECISEIS CÉNTIMOS

CAPÍTULO 2 MOVIMIENTO DE TIERRAS

2.1	m3	EXCAVACIÓN CIM. Y POZOS TIERRA		
Excavación en cimientos y pozos en tierra, incluso carga y transporte de los productos de la excavación a verte-				
O01OA020	0,020 h	Capataz	15,23	0,30
O01OA070	0,040 h	Peón ordinario	13,92	0,56
M05EN030	0,040 h	Excav.hidráulica neumáticos 100 cv	50,31	2,01
M07CB030	0,080 h	Camión basculante 6x4 20 t	39,01	3,12
M07N080	1,000 m3	Canon de tierra a vertedero	6,08	6,08

Suma la partida 12,07
 Costes indirectos 6,00% 0,72

TOTAL PARTIDA 12,79

Ascende el precio total de la partida a la mencionada cantidad de DOCE EUROS con SETENTA Y NUEVE CÉNTIMOS

2.2	m3	EXCAVACIÓN CIM. Y POZOS TERRENO TRÁNSITO		
Excavación en cimientos y pozos en terreno de tránsito, incluso carga y transporte de los productos 10,15de la				
O01OA020	0,050 h	Capataz	15,23	0,76
O01OA070	0,050 h	Peón ordinario	13,92	0,70
M05EC020	0,080 h	Excavadora hidráulica cadenas 135 cv	62,23	4,98
M06MR230	0,050 h	Martillo rompedor hidráulico 600 kg	11,41	0,57
M07CB030	0,100 h	Camión basculante 6x4 20 t	39,01	3,90
M07N080	1,000 m3	Canon de tierra a vertedero	6,08	6,08

Suma la partida 16,99
 Costes indirectos 6,00% 1,02

TOTAL PARTIDA 18,01

Ascende el precio total de la partida a la mencionada cantidad de DIECIOCHO EUROS con UN CÉNTIMOS



2.3	m3	DESMONTE TIERRA EXPLANAC. S/TRANS.VERT.<1 km		
		Desmonte en tierra de la explanación con medios mecánicos, incluso transporte de los productos en lugar de em-		
O010A020	0,006 h	Capataz	15,23	0,09
M05EC020	0,012 h	Excavadora hidráulica cadenas 135 cv	62,23	0,75
M07CB030	0,036 h	Camión basculante 6x4 20 t	39,01	1,40
		Suma la partida		2,24
		Costes indirectos.....	6,00%	0,13
		TOTAL PARTIDA		2,37

Ascende el precio total de la partida a la mencionada cantidad de DOS EUROS con TREINTA Y SIETE CÉNTIMOS

2.4	m3	TERRAPLÉN C/PROD. EXCAVAC.		
		Terraplén de con productos procedentes de la excavación, extendido, humectación y compactación, incluso perfi-		
O010A020	0,007 h	Capataz	15,23	0,11
O010A070	0,018 h	Peón ordinario	13,92	0,25
M08NM010	0,018 h	Motoniveladora de 135 cv	62,00	1,12
M08CA110	0,012 h	Cisterna agua s/camión 10.000 l	32,00	0,38
M08RN040	0,012 h	Rodillo vibrante autopropuls.mixto 15 t	54,00	0,65
		Suma la partida		2,51
		Costes indirectos.....	6,00%	0,15
		TOTAL PARTIDA		2,66

Ascende el precio total de la partida a la mencionada cantidad de DOS EUROS con SESENTA Y SEIS CÉNTIMOS

2.5	m3	TERRAPLÉN C/PROD. PRÉSTAMOS		
		Terraplén de con productos de préstamos, extendido, humectación y compactación, incluso perfilado de taludes y		
O010A020	0,005 h	Capataz	15,23	0,08
O010A070	0,020 h	Peón ordinario	13,92	0,28
M05EC040	0,010 h	Excavadora hidráulica cadenas 310 cv	106,83	1,07
M07CB020	0,050 h	Camión basculante 4x4 14 t	34,92	1,75
M07N030	1,000 m3	Canon suelo seleccionado préstamo	2,33	2,33
M08NM010	0,020 h	Motoniveladora de 135 cv	62,00	1,24
M08CA110	0,014 h	Cisterna agua s/camión 10.000 l	32,00	0,45
M08RN040	0,014 h	Rodillo vibrante autopropuls.mixto 15 t	54,00	0,76
		Suma la partida		7,96
		Costes indirectos.....	6,00%	0,48
		TOTAL PARTIDA		8,44

Ascende el precio total de la partida a la mencionada cantidad de OCHO EUROS con CUARENTA Y CUATRO CÉNTIMOS

2.6	m3	RELLENO TRASDÓS MURO C/MAT. EXCAVACIÓN		
		Relleno localizado en trasdós de muros con productos de la excavación, extendido, humectación y compactación		
O010A020	0,020 h	Capataz	15,23	0,30
O010A070	0,200 h	Peón ordinario	13,92	2,78
M08CA110	0,020 h	Cisterna agua s/camión 10.000 l	32,00	0,64
M05RN010	0,060 h	Retrocargadora neumáticos 50 cv	28,58	1,71
M08RL010	0,200 h	Rodillo vibrante manual tandem 800 kg	6,00	1,20
		Suma la partida		6,63
		Costes indirectos.....	6,00%	0,40
		TOTAL PARTIDA		7,03

Ascende el precio total de la partida a la mencionada cantidad de SIETE EUROS con TRES CÉNTIMOS

CAPÍTULO 3 CIMENTACIONES

3.1	m3	HORMIGÓN LIMPIEZA HM-10/P/20/IIa CIM.V.MANUAL		
		Hormigón en masa HM-10/P/20/IIa, elaborado en central, para limpieza y nivelado de fondos de cimentación, i/ver-		
O010A070	0,600 h	Peón ordinario	13,92	8,35
P01HM010	1,000 m3	Hormigón HM-10/P/20/IIa central	70,04	70,04
		Suma la partida		78,39
		Costes indirectos.....	6,00%	4,70
		TOTAL PARTIDA		83,09

Ascende el precio total de la partida a la mencionada cantidad de OCHENTA Y TRES EUROS con NUEVE CÉNTIMOS

3.2	m3	HORMIGÓN P/A HA-30/B/20/IIa CIM.V.MANUAL		
		Hormigón para armar HA-30/B/20/IIa, elaborado en central, en relleno de zapatas y zanjas de cimentación, i/enca-		
		millado de pilares y muros, vertido por medios manuales, vibrado y colocación. Según normas NTE-CSZ, EHE-08 y CTE-SE-C. Componentes del hormigón con marcado CE y DdP (Declaración de prestaciones) según Reglame-		
O010A030	0,360 h	Oficial primera	14,95	5,38
O010A070	0,360 h	Peón ordinario	13,92	5,01
M11HV120	0,360 h	Aguja eléct.c/convertid.gasolina D=79mm	7,95	2,86
P01HA130	1,150 m3	Hormigón HA-30/B/20/IIa central	77,65	89,30
		Suma la partida		102,55
		Costes indirectos.....	6,00%	6,15
		TOTAL PARTIDA		108,70

Ascende el precio total de la partida a la mencionada cantidad de CIENTO OCHO EUROS con SETENTA CÉNTIMOS

3.3	kg	ACERO CORRUGADO B 500 S		
		Acero corrugado B 500 S, cortado, doblado, armado y colocado en obra, incluso p.p. de despuntes. Según EHE-08		
O010B030	0,014 h	Oficial 1ª ferralla	14,95	0,21
O010B040	0,014 h	Ayudante ferralla	14,25	0,20
P03ACC080	1,050 kg	Acero corrugado B 500 S/SD	0,77	0,81
P03AAA020	0,006 kg	Alambre atar 1,30 mm	0,88	0,01
		Suma la partida		1,23
		Costes indirectos.....	6,00%	0,07
		TOTAL PARTIDA		1,30

Ascende el precio total de la partida a la mencionada cantidad de UN EURO con TREINTA CÉNTIMOS

3.4	kg	ACERO CORRUGADO B 400 S		
		Acero corrugado B 400 S, cortado, doblado, armado y colocado en obra, incluso p.p. de despuntes. Según EHE-08		
O010B030	0,014 h	Oficial 1ª ferralla	14,95	0,21
O010B040	0,014 h	Ayudante ferralla	14,25	0,20
P03ACA080	1,050 kg	Acero corrugado B 400 S/SD	0,70	0,74
P03AAA020	0,006 kg	Alambre atar 1,30 mm	0,88	0,01
		Suma la partida		1,16
		Costes indirectos.....	6,00%	0,07
		TOTAL PARTIDA		1,23

Ascende el precio total de la partida a la mencionada cantidad de UN EURO con VEINTITRES CÉNTIMOS



Pasarela peatonal en la intersección de la Avda. Rodríguez de Viguri con la Avda. O Camiño Francés (Santiago de Compostela)



3.5	m2	ENCOFRADO MADERA ZAPATAS, VIGAS RIOS. Y ENCEPADOS			
		Encofrado y desencofrado con madera suelta en zapatas, zanjias, vigas y encepados, considerando 4 posturas. Según NTE-EME.			
O01OB010	0,450 h	Oficial 1º encofrador	14,95	6,73	
O01OB020	0,450 h	Ayudante encofrador	14,25	6,41	
P01EM290	0,028 m3	Madera pino encofrar 26 mm	264,51	7,41	
P03AAA020	0,200 kg	Alambre atar 1,30 mm	0,88	0,18	
P01UC030	0,070 kg	Puntas 20x100	7,85	0,55	
		Suma la partida.....		21,28	
		Costes indirectos.....		6,00%	1,28
		TOTAL PARTIDA		22,56	

Asciende el precio total de la partida a la mencionada cantidad de VEINTIDOS EUROS con CINCUENTA Y SEIS CÉNTIMOS

3.6	m2	ENCOFRADO METÁLICO ZAPATAS, VIGAS RIOS. Y ENCEPADOS			
		0,65Encofrado y desencofrado metálico en zapatas, zanjias, vigas y encepados, considerando 50 posturas. Según			
O01OB010	0,380 h	Oficial 1º encofrador	14,95	5,68	
O01OB020	0,380 h	Ayudante encofrador	14,25	5,42	
M13EF020	1,000 m2	Encof.panel metal.5/10 m2. 50 p.	2,87	2,87	
P01DC040	0,095 l	Desencofrante p/encofrado metálico	1,53	0,15	
M13EF040	0,100 m	Fleje para encofrado metálico	0,32	0,03	
P03AAA020	0,095 kg	Alambre atar 1,30 mm	0,88	0,08	
P01UC020	1,200 kg	Puntas 17x70	7,77	9,32	
		Suma la partida.....		23,55	
		Costes indirectos.....		6,00%	1,41
		TOTAL PARTIDA		24,96	

Asciende el precio total de la partida a la mencionada cantidad de VEINTICUATRO EUROS con NOVENTA Y SEIS CÉNTIMOS

3.7	l	MORTERO EXPANSIVO SIN RETRACCIÓN			
		Mortero monocomponente de base cementosa y altas características mecánicas, exento de cloruros de gran fluidez. Sin descomposición		3,16	
		Costes indirectos.....		6,00%	0,19
		TOTAL PARTIDA		3,35	

Asciende el precio total de la partida a la mencionada cantidad de TRES EUROS con TREINTA Y CINCO CÉNTIMOS

CAPÍTULO 4 ESTRUCTURA

4.1	kg	ACERO S275 JR EN ESTRUCTURA SOLDADA			
		Acero laminado S275 JR, en perfiles laminados en caliente para vigas, pilares, zunchos y correas, mediante uniones soldadas; i/p.p. de soldaduras, cortes, piezas especiales, despuntes y dos manos de imprimación con pintura de minio de plomo, montado y colocado, según NTE-EAS/EAV, CTE-DB-SE-A y EAE. Acero con marcado CE y			
O01OB130	0,020 h	Oficial 1º cerrajero	14,95	0,30	
O01OB140	0,015 h	Ayudante cerrajero	14,25	0,21	
P03ALP010	1,050 kg	Acero laminado S235 JR	0,99	1,04	
P25OU080	0,010 l	Minio electrolítico	7,59	0,08	
A06T010	0,010 h	GRÚA TORRE 30 m FLECHA, 750 kg	18,77	0,19	
P01DW090	0,100 u	Pequeño material	1,35	0,14	
		Suma la partida.....		1,96	
		Costes indirectos.....		6,00%	0,12
		TOTAL PARTIDA		2,08	

Asciende el precio total de la partida a la mencionada cantidad de DOS EUROS con OCHO CÉNTIMOS

4.2	m2	FORJADO CHAPA GRECADA CON CAPA COMPRESIÓN 5 cm			
		Forjado realizado a base de plancha metálica nervada galvanizada de 7 cm de espesor y longitud mayor de 4 m, con capa de compresión de 5 cm de hormigón HA-30 N/mm2, Tmáx. 20 mm, consistencia plástica, elaborado en central, i/armadura (1,70 kg/m2) y apeos, terminado. Según normas NTE y EHE-08. Componentes del hormigón			
O01OB010	0,350 h	Oficial 1º encofrador	14,95	5,23	

O01OB020	0,350 h	Ayudante encofrador	14,25	4,99	
E04AB020	1,700 kg	ACERO CORRUGADO B 500 S	1,23	2,09	
P01HA010	0,053 m3	Hormigón HA-30/b/20/IIa central	72,76	3,86	
P03ALN040	1,100 m2	Plancha nervometal 7 cm	16,78	18,46	
M07CG010	0,010 h	Camión con grúa 6 t	42,89	0,43	
P03AM020	2,078 m2	Malla 15x15x5 2,078 kg/m2	1,48	3,08	
		Suma la partida.....		38,14	
		Costes indirectos.....		6,00%	2,29
		TOTAL PARTIDA		40,43	

Asciende el precio total de la partida a la mencionada cantidad de CUARENTA Y TRES CÉNTIMOS

4.3	u	CONECTOR DE DISPARO HILTI X-HVB 95 P/FORJADOS MIXTO			
		Conector de disparo X-HVB de 95 mm de altura colocado sobre perfil metálico con espesor mínimo superior a 8 mm en forjado mixto de losa maciza o de chapa grecada con altura máxima de onda de 70 mm y canto de forjado mínimo de 100 mm. El precio incluye mano de obra, herramientas y otros elementos necesarios para la colocación.			
O01OA040	0,020 h	Oficial segunda	14,66	0,29	
O01OA060	0,020 h	Peón especializado	17,00	0,34	
P01UG330	1,000 u	Conector de disparo Hilti X-HVB 95	2,13	2,13	
P01UA010	2,000 u	Cartuchos Hilti 6,8/18 M rojo	0,23	0,46	
P01UC070	2,000 u	Clavo Hilti X-ENP 21 HVB	0,30	0,60	
M12W210	0,020 h	Pistola Hilti DX 76 adaptada	0,42	0,01	
		Suma la partida.....		3,83	
		Costes indirectos.....		6,00%	0,23
		TOTAL PARTIDA		4,06	

Asciende el precio total de la partida a la mencionada cantidad de CUATRO EUROS con SEIS CÉNTIMOS

4.4	u	APOYO ELASTOMÉRICO ARMADO ANCLADO 200X300X60			
		Apoyo de neopreno armado anclado de 200x300x60 mm, tipo MecanoGumba o similar, según planos. Totalmente colocado.			
O01OA030	0,250 h	Oficial primera	14,95	3,74	
O01OA040	0,150 h	Oficial segunda	14,66	2,20	
4.4.3	1,000 u	Apoyo neopreno 200x300x60	48,75	48,75	
O01OA020	0,250 h	Capataz	15,23	3,81	
		Suma la partida.....		58,50	
		Costes indirectos.....		6,00%	3,51
		TOTAL PARTIDA		62,01	

Asciende el precio total de la partida a la mencionada cantidad de SESENTA Y DOS EUROS con UN CÉNTIMO

CAPÍTULO 5 ACABADOS

5.1	m	JUNTA DE NEOPRENO ARMADO JNA-42			
		Suministro e instalación de junta de dilatación de tablero de puente de 42 mm de recorrido máximo, constituida por			
O01OA030	2,000 h	Oficial primera	14,95	29,90	
O01OA070	1,000 h	Peón ordinario	13,92	13,92	
M09F010	0,200 h	Cortadora de pavimentos	8,79	1,76	
P01DR020	0,500 kg	Resina de adherencia hormigón	11,10	5,55	
P01RF020	4,000 kg	Mástic BM con elastómeros	1,88	7,52	
P01UG400	3,000 u	Anclajes metálicos M-14	0,91	2,73	
P01FJ040	8,000 kg	Mortero alta resistencia p/junta int-ext	1,03	8,24	
P01FJ200	1,050 m	Junta neopreno armado JNA-42	87,50	91,88	

Asciende el precio total de la partida a la mencionada cantidad de SESENTA Y DOS EUROS con UN CÉNTIMO

		Suma la partida.....		161,50	
		Costes indirectos.....		6,00%	9,69
		TOTAL PARTIDA		171,19	



Pasarela peatonal en la intersección de la Avda. Rodríguez de Viguri con la Avda. O Camiño Francés (Santiago de Compostela)



Asciende el precio total de la partida a la mencionada cantidad de CIENTO SETENTA Y UN EUROS con DIECINUEVE CÉNTIMOS

5.2		kg	SOPORTE BARANDILLA ACERO S275JR	
Acero laminado S275 JR, en perfiles laminados en caliente para vigas, pilares, zunchos y correas, mediante uniones soldadas; i/p.p. de soldaduras, cortes, piezas especiales, despuntes y dos manos de imprimación con pintura de minio de plomo, montado y colocado, según NTE-EAS/EAV, CTE-DB-SE-A y EAE. Acero con marcado CE y				
O01OB130	0,020 h	Oficial 1º cerrajero	14,95	0,30
O01OB140	0,015 h	Ayudante cerrajero	14,25	0,21
P03ALP010	1,050 kg	Acero laminado S235 JR	0,99	1,04
P25OU080	0,010 l	Minio electrolítico	7,59	0,08
A06T010	0,010 h	GRÚA TORRE 30 m FLECHA, 750 kg	18,77	0,19
P01DW090	0,100 u	Pequeño material	1,35	0,14
Suma la partida			1,96	
Costes indirectos.....			6,00%	0,12
TOTAL PARTIDA			2,08	

Asciende el precio total de la partida a la mencionada cantidad de DOS EUROS con OCHO CÉNTIMOS

5.3		kg	PASAMANOS BARANDILLA ACERO S235JR	
Acero laminado S235 JR, en perfiles laminados en caliente para vigas, pilares, zunchos y correas, mediante uniones soldadas; i/p.p. de soldaduras, cortes, piezas especiales, despuntes y dos manos de imprimación con pintura de minio de plomo, montado y colocado, según NTE-EAS/EAV, CTE-DB-SE-A y EAE. Acero con marcado CE y				
O01OB130	0,025 h	Oficial 1º cerrajero	14,95	0,37
O01OB140	0,020 h	Ayudante cerrajero	14,25	0,29
P03ALP010	1,050 kg	Acero laminado S235 JR	0,99	1,04
P25OU080	0,015 l	Minio electrolítico	7,59	0,11
A06T010	0,012 h	GRÚA TORRE 30 m FLECHA, 750 kg	18,77	0,23
P01DW090	0,100 u	Pequeño material	1,35	0,14
Suma la partida			2,18	
Costes indirectos.....			6,00%	0,13
TOTAL PARTIDA			2,31	

Asciende el precio total de la partida a la mencionada cantidad de DOS EUROS con TREINTA Y UN CÉNTIMOS

5.4		m3	HORMIGÓN HM-30/P/20/IIa V.MANUAL SOLERA	
Hormigón en masa HM-30/P/20/IIa, elaborado en central en solera, vertido por medios manuales, compactado según EHE-08, p.p. de vibrado, regleado y curado en soleras. Componentes del hormigón con marcado CE y DdP				
O01OA030	0,700 h	Oficial primera	14,95	10,47
O01OA070	0,700 h	Peón ordinario	13,92	9,74
P01HM160	1,000 m3	Hormigón HM-30/P/20/IIa central	77,59	77,59
Suma la partida			97,80	
Costes indirectos.....			6,00%	5,87
TOTAL PARTIDA			103,67	

Asciende el precio total de la partida a la mencionada cantidad de CIENTO TRES EUROS con SESENTA Y SIETE CÉNTIMOS

5.5		m2	IMPERMEABILIZACIÓN TABLERO	
Impermeabilización de tablero de hormigón con mortero hidrófugo en componentes de base cementosa modificado con polímeros. Preelastic 500 de Copsa o similar aplicado en dos manos de 1 a 1'5 kg/m2 cada una. La primera a brocha y la segunda a brocha, rodillo o llana, previa limpieza y humectación del hormigón.				
O01OA030	0,180 h	Oficial primera	14,95	2,69
O01OA050	0,180 h	Ayudante	14,25	2,57
P06SR110	2,850 m2	Mort. impermeab. cement. Butech	2,63	7,50
Suma la partida			12,76	
Costes indirectos.....			6,00%	0,77
TOTAL PARTIDA			13,53	

Asciende el precio total de la partida a la mencionada cantidad de TRECE EUROS con CINCUENTA Y TRES CÉNTIMOS

CAPÍTULO 6 PRUEBA DE CARGA

6.1		u	P.A.-A.I. PRUEBA DE CARGA	
Partida alzada de abono íntegro en concepto de prueba de carga, según lo establecido en el pliego correspondiente (Anejo de Prueba de Carga), incluidos los elementos de carga, colocación y retirada de los mismos, y equipo y				
			Sin descomposición	14.859,90
			Costes indirectos	6,00% 891,59
TOTAL PARTIDA			15.751,49	

Asciende el precio total de la partida a la mencionada cantidad de QUINCE MIL SETECIENTOS CINCUENTA Y UN EUROS con CUARENTA Y

NUEVE CÉNTIMOS

CAPÍTULO 7 ACONDICIONAMIENTO URBANO Y REPOSICIÓN DE SERVICIOS

7.1		m3	ZONA AJARDINADA	
Reposición de las superficies ajardinadas a base de : extendido de la tierra vegetal almacenada tras limpieza y				
O01OA020	0,008 h	Capataz	15,23	0,12
M08NM020	0,008 h	Motoniveladora de 200 cv	72,00	0,58
M05PC020	0,008 h	Pala cargadora cadenas 130 cv/1,8m3	43,50	0,35
M07CB030	0,016 h	Camión basculante 6x4 20 t	39,01	0,62
M07N601	1,000 t	Canon de vertido tierras limpias para reposición de canteras	0,95	0,95
Suma la partida			2,62	
Costes indirectos.....			6,00%	0,16
TOTAL PARTIDA			2,78	

Asciende el precio total de la partida a la mencionada cantidad de DOS EUROS con SETENTA Y OCHO CÉNTIMOS

7.2		m2	ACERA DE BALDOSA HIDRÁULICA	
Pavimento de loseta hidráulica color gris de 30x30 cm., con resaltes cilíndricos tipo botón, sobre solera de hormigón HM-20/P/20/II de 10 cm. de espesor, sentada con mortero de cemento, i/p.p. de junta de dilatación, enlechado y limpieza. Loseta y componentes del hormigón y mortero con marcado CE y DdP (Declaración de prestaciones)				
O01OA090	0,420 h	Cuadrilla A	36,16	15,19
P01HM010	0,100 m3	Hormigón HM-10/P/20/IIa central	70,04	7,00
P08XVH100	1,000 m2	Loseta botones cemento gris 30x30cm	3,50	3,50
A01L030	0,001 m3	LECHADA CEMENTO CEM II/B-P 32,5 N	65,28	0,07
A02A080	0,030 m3	MORTERO CEMENTO M-5	71,18	2,14
P08XW020	1,000 u	Junta dilatación/m2 pavimento piezas	0,30	0,30
Suma la partida			28,20	
Costes indirectos.....			6,00%	1,69
TOTAL PARTIDA			29,89	

Asciende el precio total de la partida a la mencionada cantidad de VEINTINUEVE EUROS con OCHENTA Y NUEVE CÉNTIMOS

7.3		m	BORDILLO HORM. A2 BICAPA 10x20cm	
Bordillo de hormigón bicapa A2, de 10 cm de base y 20 cm de altura, colocado sobre solera de hormigón HM-20/P/20/II, de 10 cm de espesor, rejuntado y limpieza, sin incluir la excavación previa ni el relleno posterior.				
O01OA140	0,300 h	Cuadrilla F	28,58	8,57
P08XBH380	2,000 u	Bordillo hormigón A2 bicapa 10x20cm	3,12	6,24
P01HM010	0,032 m3	Hormigón HM-10/P/20/IIa central	70,04	2,24
P01MC040	0,001 m3	Mortero cem. gris CEM-II/B-M 32,5 M-5	63,82	0,06
Suma la partida			17,11	
Costes indirectos.....			6,00%	1,03
TOTAL PARTIDA			18,14	

Asciende el precio total de la partida a la mencionada cantidad de DIECIOCHO EUROS con CATORCE CÉNTIMOS



7.4	u	REPOSICIÓN DE MOBILIARIO URBANO		
		Reposición de mobiliario urbano apilado en nuevo emplazamiento, incluso transporte desde zona de acopio, colo-		
			Sin descomposición	196,48
		Costes indirectos.....	6,00%	11,79
		TOTAL PARTIDA		208,27

Asciende el precio total de la partida a la mencionada cantidad de DOSCIENTOS OCHO EUROS con VEINTISIETE CÉNTIMOS

CAPÍTULO 8 GESTIÓN DE RESIDUOS

8.1	u	PRESUPUESTO DEL ESTUDIO DE GESTIÓN DE RESIDUOS		
		Presupuesto de Gestión de Residuos, incluyendo transporte, valorización y eliminación.		
			Sin descomposición	7.601,45
		Costes indirectos.....	6,00%	456,09
		TOTAL PARTIDA		8.057,54

Asciende el precio total de la partida a la mencionada cantidad de OCHO MIL CINCUENTA Y SIETE EUROS con CINCUENTA Y CUATRO CÉNTIMOS

CAPÍTULO 9 SEGURIDAD Y SALUD

9.1	u	PRESUPUESTO DEL ESTUDIO DE SEGURIDAD Y SALUD		
		Incluyendo equipos de protección individual y colectiva, señalización y balizamiento, instalaciones de higiene y		
			Sin descomposición	15.329,29
		Costes indirectos.....	6,00%	919,76
		TOTAL PARTIDA		16.249,05

Asciende el precio total de la partida a la mencionada cantidad de DIECISEIS MIL DOSCIENTOS CUARENTA Y NUEVE EUROS con CINCO CÉNTIMOS

CAPÍTULO 10 LIMPIEZA Y TERMINACIÓN DE OBRAS

10.1	u	P.A.-A.I. LIMPIEZA Y TERMINACIÓN DE OBRAS		
		Partida alzada de abono integro para la limpieza y terminación de la obra, incluyendo retirada de elementos sobran-		
			Sin descomposición	1.336,32
		Costes indirectos.....	6,00%	80,18
		TOTAL PARTIDA		1.416,50

Asciende el precio total de la partida a la mencionada cantidad de MIL CUATROCIENTOS DIECISEIS EUROS con CINCUENTA CÉNTIMOS



ANEJO N° 18: REVISIÓN DE PRECIOS



ÍNDICE

1.	INTRODUCCIÓN.....	2
2.	PROCEDIMIENTO.....	2
3.	FÓRMULA DE REVISIÓN DE PRECIOS.....	2
4.	CONCLUSIÓN.....	3



1. INTRODUCCIÓN

El presente anejo tiene por objeto determinar la fórmula de revisión de precios que se considera oportuna para las obras ejecutadas en este proyecto. Esta fórmula se ha calculado teniendo en cuenta la legislación vigente en la materia: el Real Decreto legislativo 3/2011, de 14 de Noviembre, por el que se aprueba el texto refundido de la Ley de Contratos del Sector Público y el Real Decreto 1359/2011, de 7 de Octubre, por el que se aprueba la relación de materiales básicos y de fórmulas-tipo generales de revisión de precios de los contratos de obras y contratos de suministro de fabricación de armamento y equipamiento de las Administraciones Públicas.

Desde que el contratista presenta su oferta hasta que realmente se ejecuta la obra, transcurre un tiempo durante el cual los precios de mercado de materiales, maquinaria y mano de obra pueden sufrir variaciones, ya sean incrementos o disminuciones.

Para recoger estas variaciones de precios, la Ley de Contratos de las Administraciones Públicas establece el procedimiento según el cual se pueden actualizar los precios de las unidades de obra contratadas.

Según el Art. 89 (Capítulo II) del Real Decreto Legislativo 3/2011, por el que se aprueba el texto refundido de la Ley de Contratos del Sector Público, para aplicar la revisión será necesario:

Que se haya ejecutado al menos el 20% del importe del contrato.

Que haya transcurrido un año desde su adjudicación.

Resulta por tanto, de acuerdo con la normativa, no necesaria la revisión de precios por tratarse de una obra de duración inferior a 12 meses. A pesar de ello, y por existir la posibilidad de que surjan retrasos, se desarrolla la fórmula a emplear.

La revisión de precios se llevará a cabo mediante la aplicación de índices oficiales o de la fórmula aprobada por el Consejo de Ministros. El órgano de contratación determinará el índice que deba aplicarse, atendiendo a la naturaleza de cada contrato y la estructura de los costes de las prestaciones el mismo. Las fórmulas aprobadas por el Consejo de Ministros excluirán la posibilidad de utilizar otros índices; si, debido a la configuración del contrato, pudiese ser aplicable más de una fórmula, el órgano de contratación determinará la más adecuada, de acuerdo con los criterios indicados.

2. PROCEDIMIENTO

El procedimiento a seguir para decidir cuál de las fórmulas tipo publicadas en el Real Decreto 1359/2011 es la más adecuada, consiste en revisar las especificaciones sobre las obras a las que son aplicables las distintas expresiones, escogiendo aquella que mejor se adapte a las características del presente proyecto.

Los porcentajes respecto al Presupuesto de Ejecución Material de los conceptos más importantes de nuestro proyecto son los siguientes:

CONCEPTO	P.E.M. (€)	% P.E.M.
Acero	310.896,33	75,92
Cimentaciones	18.213,69	4,45

A la vista de los porcentajes expuestos en la tabla anterior, queda claro que la estructura metálica domina ampliamente sobre el resto de Capítulos y Conceptos del proyecto, por lo tanto no es necesario realizar un cálculo de coeficientes ponderados, pudiendo recurrir directamente a las fórmulas tipo expuestas en el Real Decreto 1359/2011 y escoger aquella que más se aproxime a una obra con predominio de estructura metálica como es la nuestra.

3. FÓRMULA DE REVISIÓN DE PRECIOS

La expresión que se propone para esta obra corresponde a la fórmula tipo nº 341, que contempla Obras de edificación con predominio de elementos siderúrgicos.

$$K_t = 0,03A_t / A_0 + 0,01B_t / B_0 + 0,05C_t / C_0 + 0,02E_t / E_0 + 0,02F_t / F_0 + 0,01L_t / L_0 + 0,03M_t / M_0 + 0,02P_t / P_0 + 0,01Q_t / Q_0 + 0,05R_t / R_0 + 0,26S_t / S_0 + 0,05T_t / T_0 + 0,02U_t / U_0 + 0,1V_t / V_0 + 0,32$$

El significado de los coeficientes utilizados en los cálculos es el siguiente:

- K_t : coeficiente teórico de revisión para el momento de ejecución t.
- A_t : índice de coste del aluminio en el momento de ejecución t.
- A_0 : índice de coste del aluminio en la fecha de licitación.
- B_t : índice de coste de materiales bituminosos en el momento de ejecución t.
- B_0 : índice de coste de materiales bituminosos en la fecha de licitación.



- Ct : índice de coste del cemento en el momento de ejecución t.
- C0: índice de coste del cemento bituminosos en la fecha de licitación.
- Et : índice de coste de la energía en el momento de ejecución t.
- E0: índice de coste de la energía en la fecha de licitación.
- Ft : índice de coste de los focos y luminarias en el momento de ejecución t.
- F0: índice de coste de los focos y luminarias en la fecha de licitación.
- Lt : índice de coste de los materiales cerámicos en el momento de ejecución t.
- L0: índice de coste de los materiales cerámicos en la fecha de licitación.
- Mt : índice de coste de la madera en el momento de ejecución t.
- M0: índice de coste de la madera en la fecha de licitación.
- Ot : : índice de coste de plantas en el momento de ejecución t.
- O0: índice de coste plantas en la fecha de licitación.
- Pt : índice de coste de los productos plásticos en el momento de ejecución t.
- P0: índice de coste de los productos plásticos en la fecha de licitación.
- Qt : índice de coste de los productos químicos en el momento de ejecución t.
- Q0: índice de coste de los productos químicos en la fecha de licitación.
- Rt : índice de coste de los áridos y rocas en el momento de ejecución t.
- R0: índice de coste de los áridos y rocas en la fecha de licitación.
- St : índice de coste de los materiales siderúrgicos en el momento de ejecución t.
- S0: índice de coste de los materiales siderúrgicos en la fecha de licitación.
- Tt : índice de coste de los materiales electrónicos en el momento de ejecución t.
- T0: índice de coste de los materiales electrónicos en la fecha de licitación.
- Ut : índice de coste del cobre en el momento de ejecución t.
- U0: índice de coste del cobre en la fecha de licitación.
- Vt : índice de coste del vidrio en el momento de ejecución t.
- V0: índice de coste del vidrio en la fecha de licitación.

4. CONCLUSIÓN

El artículo 89 (procedencia y límites) del capítulo II (Revisión de precios en los contratos de las Administraciones Públicas) del Real Decreto Legislativo 3/2011, por el que se aprueba el texto refundido de la Ley de Contratos del Sector Público, dice en su punto número 1:

“La revisión de precios en los contratos de las Administraciones Públicas tendrá lugar, en los términos establecidos en este Capítulo y salvo que la improcedencia de la revisión se hubiese previsto expresamente en los pliegos o pactado en el contrato, cuando éste se hubiese ejecutado, al menos, en el 20 por 100 de su importe y hubiese transcurrido un año desde su formalización. En consecuencia, el primer 20 por 100 ejecutado y el primer año transcurrido desde la formalización quedarán excluidos de la revisión”.

En virtud de lo establecido en dicho punto y teniendo en cuenta que el tiempo estimado de ejecución de las obras es inferior a 12 meses, no procede la revisión de precios.

De todas formas, lo aquí expuesto tiene carácter indicativo, siendo válido lo que al respecto se defina en el Pliego de Cláusulas Administrativas.



ANEJO Nº 19. CLASIFICACIÓN DEL CONTRATISTA



ÍNDICE

1. INTRODUCCIÓN.....2
2. CLASIFICACIÓN DEL CONTRATISTA.....2



1. INTRODUCCIÓN

El presente anejo tiene la finalidad de establecer la clasificación del Contratista de la obra, con el objeto de garantizar su adecuada cualificación para el correcto desarrollo de las actividades a ejecutar.

2. CLASIFICACIÓN DEL CONTRATISTA

Según el artículo 43 “Elevación de umbrales para la exigencia de clasificación” del Capítulo II “Medidas para impulsar la contratación pública con emprendedores”, de la Ley 14/2013, de 27 de septiembre, “de apoyo a los emprendedores y su internacionalización”, se establece las siguientes modificaciones del texto refundido de la Ley de Contratación del Sector Público, aprobado por el Real Decreto Legislativo 3/2011 del 14 de noviembre:

Del apartado 1 del artículo 65:

- Para contratar con las Administraciones Públicas la ejecución de contratos de obras cuyo valor estimado sea igual o superior a 500.000 euros o de contratos de servicios cuyo valor estimado sea igual o superior a 200.000 euros, será requisito indispensable que el empresario se encuentre debidamente clasificado. Sin embargo, no será necesaria clasificación para celebrar contratos de servicios comprendidos en las categorías 6, 8, 21, 26 y 27 del Anexo II.
- En el caso de que una parte de la prestación objeto del contrato tenga que ser realizada por empresas especializadas que cuenten con una determinada habilitación o autorización profesional, la clasificación en el subgrupo correspondiente a esa especialización, en caso de ser exigida, podrá suplirse por el compromiso del empresario de subcontratar la ejecución de esta porción con otros empresarios que dispongan de la habilitación y, en su caso, clasificación necesarias, siempre que el importe de la parte que debe ser ejecutada por éstos no exceda del 50 por ciento del precio del contrato.

Del apartado 5 del artículo 65:

- Las entidades del sector público que no tengan el carácter de Administración Pública podrán exigir una determinada clasificación a los licitadores para definir las condiciones de solvencia requeridas para celebrar el correspondiente contrato, en los supuestos del apartado 1 del artículo 65.

De la Disposición transitoria cuarta. ”Determinación de los casos en que es exigible la clasificación de las empresas”:

- El apartado 1 del artículo 65, en cuanto determina los contratos para cuya celebración es exigible la clasificación previa, entrará en vigor conforme a lo que se establezca en las normas reglamentarias de desarrollo de esta Ley por las que se definan los grupos, subgrupos y categorías en que se clasificarán esos contratos, continuando vigente, hasta entonces, el

párrafo primero del apartado 1 del artículo 25 del Texto Refundido de la Ley de Contratos de las Administraciones Públicas. No obstante lo anterior, no será exigible la clasificación en los contratos de obras cuyo valor estimado sea inferior a 500.000 euros ni en los contratos de servicios cuyo valor estimado sea inferior a 200.000 euros.

El Presupuesto Base de licitación del presente proyecto (sin IVA) asciende al valor de 491.150,14 €, por lo que, al encontrarse bajo el umbral de 500.000 € establecido por la ley, no es necesario llevar a cabo la clasificación de contratista.



ANEJO N° 20: PLAN DE OBRA



ÍNDICE

1.	INTRODUCCIÓN.....	2
2.	DIAGRAMA DE GANTT.....	2
3.	DIAGRAMAS DE INVERSIONES.....	4



1. INTRODUCCIÓN

El presente anejo se redacta con objeto de dar cumplimiento a la Ley de Contratos del Sector Público, aprobada mediante el Real Decreto Legislativo 30/2007, de 30 de Octubre. En dicha Ley queda establecido que los proyectos de obras deberán comprender al menos un programa de desarrollo de los trabajos o Plan de Obra de carácter indicativo, con previsión de tiempo y coste.

Según se recoge en el artículo 132 del Reglamento General de la Ley de Contratos de las Administraciones Públicas, el programa debe contener los plazos de ejecución de las distintas partes fundamentales de la obra, determinándose el importe que corresponda abonar en cada uno de ellos.

Este programa es meramente indicativo y no tiene carácter vinculante para el contratista.

2. DIAGRAMA DE GANTT

El Plan de Obra se representa mediante un diagrama de Gantt, una representación gráfica que incluye todas las actividades a realizar en orden cronológico, indicando los plazos en que, a juicio del proyectista, deberán ejecutarse cada una de las partes consideradas. Además del Plan se incluyen un par de diagramas, uno de inversiones semanales y uno de evolución de las inversiones acumuladas hasta alcanzar el P.E.M. total del proyecto.

Tras realizar el Plan de Obra se obtiene un tiempo estimado de duración de ocho meses. Este plazo tiene carácter orientativo, ya que existen circunstancias que podrían hacer necesaria su modificación. El plazo definitivo deberá quedar fijado en el Pliego de Cláusulas Administrativas.

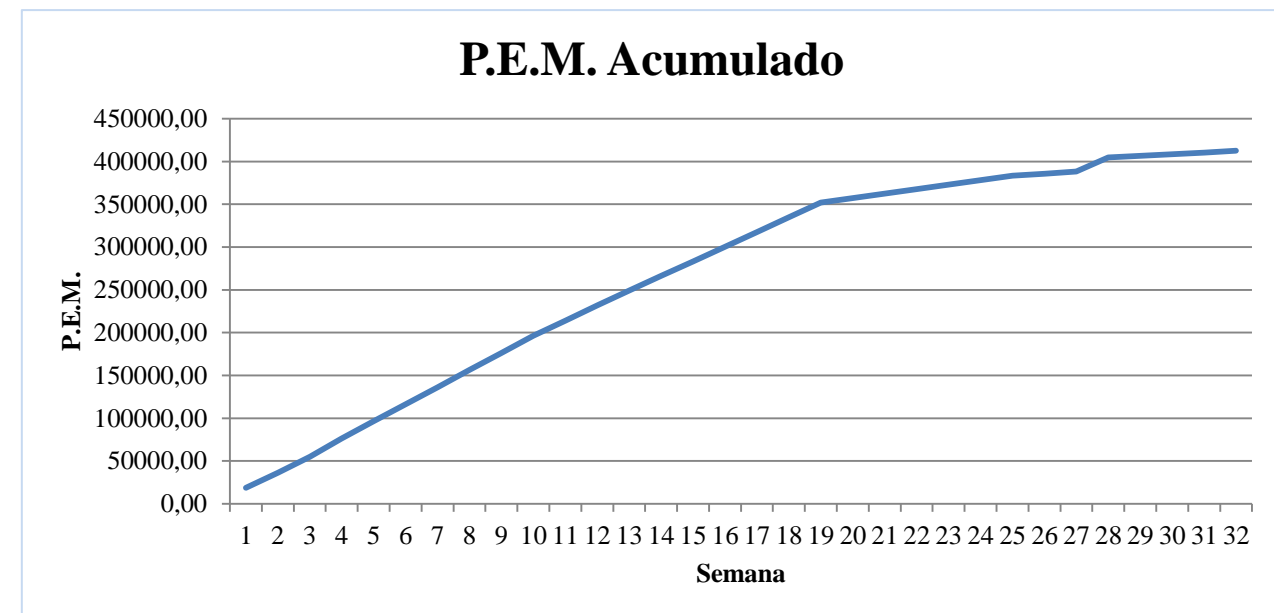
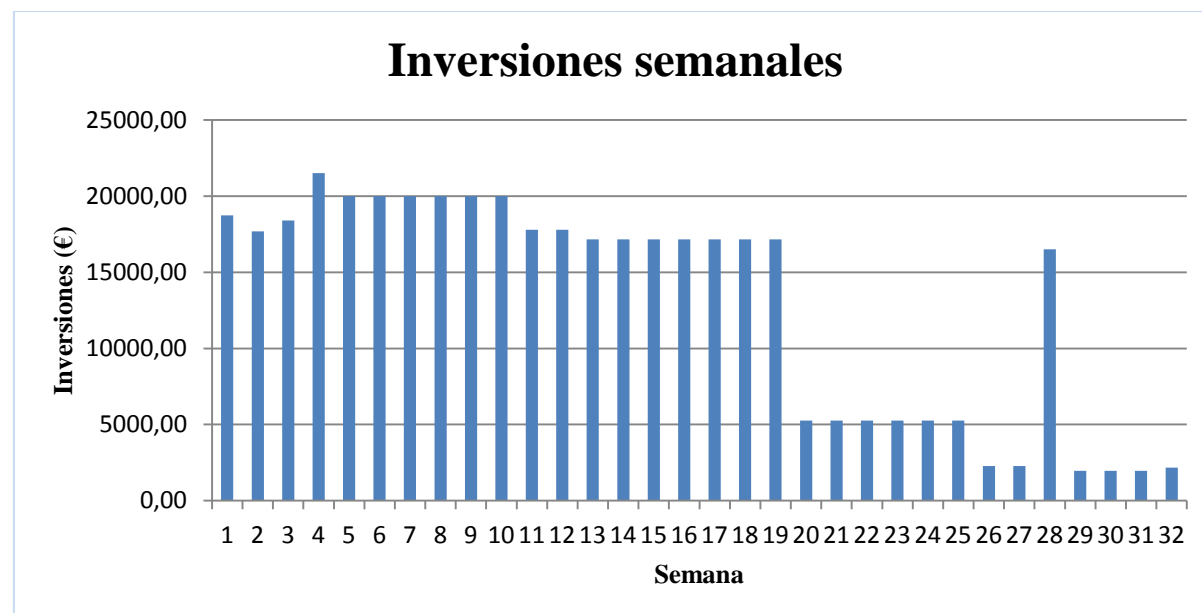
En la página siguiente se pueden consultar el Plan de Obra y los diagramas de inversiones de los que se habló anteriormente.



ACTIVIDAD	P.E.M. (€)	MES 1				MES 2				MES 3				MES 4			
		S1	S2	S3	S4	S5	S6	S7	S8	S9	S10	S11	S12	S13	S14	S15	S16
Demol., retirada mob. Urbano	1061,33	1061,33															
Desbroce, ret. Tierra vegetal	1030,65	515,325	515,325														
Excavaciones	2478,14			1239,07	1239,07												
Desmante	290,30				290,30												
Terraplenes y rellenos	1241,65											620,83	620,83				
Cimentaciones (zap., estr.)	19759,10				2822,73	2822,73	2822,73	2822,73	2822,73	2822,73	2822,73						
Fab., y montaje estructura met.	311731,54	16406,92	16406,92	16406,92	16406,92	16406,92	16406,92	16406,92	16406,92	16406,92	16406,92	16406,92	16406,92	16406,92	16406,92	16406,92	16406,92
Pavimento	27040,61																
Acabados	3012,25																
Prueba de Carga	15751,49																
Acond., y reposición	3611,06																
Limp., y terminación obra	1416,50																
Gestión de Residuos	8057,54	251,80	251,80	251,80	251,80	251,80	251,80	251,80	251,80	251,80	251,80	251,80	251,80	251,80	251,80	251,80	251,80
Seguridad y Salud	16249,05	507,78	507,78	507,78	507,78	507,78	507,78	507,78	507,78	507,78	507,78	507,78	507,78	507,78	507,78	507,78	507,78
P.E.M. SEMANAL		18743,16	17681,83	18405,57	21518,60	19989,23	19989,23	19989,23	19989,23	19989,23	19989,23	17787,33	17787,33	17166,50	17166,50	17166,50	17166,50
% P.E.M.		4,54	4,28	4,46	5,21	4,84	4,84	4,84	4,84	4,84	4,84	4,31	4,31	4,16	4,16	4,16	4,16
P.E.M. ACUMULADO		18743,16	36424,99	54830,56	76349,16	96338,39	116327,62	136316,85	156306,08	176295,31	196284,54	214071,87	231859,20	249025,70	266192,20	283358,70	300525,20
% P.E.M. ACUMULADO		4,54	8,83	13,28	18,50	23,34	28,18	33,03	37,87	42,71	47,56	51,87	56,18	60,34	64,50	68,65	72,81



ACTIVIDAD	P.E.M. (€)	MES 5				MES 6				MES 7				MES 8			
		S17	S18	S19	S20	S21	S22	S23	S24	S25	S26	S27	S28	S29	S30	S31	S32
Demol., retirada mob. Urbano	1061,33																
Desbroce y ret. tierra vegetal	1030,65																
Excavaciones	2478,14																
Desmante	290,3																
Terraplenes y rellenos	1241,65																
Cimentaciones (zap., y est.)	19759,10																
Fab., y montaje estructura met.	311731,54	16406,92	16406,92	16406,92													
Pavimento	27040,61				4506,77	4506,77	4506,77	4506,77	4506,77	4506,77							
Acabados	3012,25										1506,125	1506,13					
Prueba de Carga	15751,49												15751,49				
Acond., y reposición	3611,06													1203,69	1203,69	1203,69	
Limp., y terminación obra	1416,5																1416,5
Gestión de Residuos	8057,54	251,80	251,80	251,80	251,80	251,80	251,80	251,80	251,80	251,80	251,80	251,80	251,80	251,80	251,80	251,80	251,80
Seguridad y Salud	16249,05	507,78	507,78	507,78	507,78	507,78	507,78	507,78	507,78	507,78	507,78	507,78	507,78	507,78	507,78	507,78	507,78
P.E.M. SEMANAL		17166,50	17166,50	17166,50	5266,35	5266,35	5266,35	5266,35	5266,35	5266,35	2265,71	2265,71	16511,07	1963,27	1963,27	1963,27	2176,08
% P.E.M.		4,16	4,16	4,16	1,28	1,28	1,28	1,28	1,28	1,28	0,55	0,55	4,00	0,48	0,48	0,48	0,53
P.E.M. ACUMULADO		317691,70	334858,20	352024,70	357291,05	362557,40	367823,75	373090,10	378356,45	383622,80	385888,50	388154,21	404665,28	406628,55	408591,84	410555,13	412731,21
% P.E.M. ACUMULADO		76,97	81,13	85,29	86,57	87,84	89,12	90,40	91,67	92,95	93,50	94,05	98,05	98,52	99,00	99,47	100,00





ANEJO Nº 21: PRESUPUESTO PARA CONOCIMIENTO DE LA ADMINISTRACIÓN



ÍNDICE

1.	PRESUPUESTO DE EJECUCIÓN MATERIAL.....	2
2.	PRESUPUESTO BASE DE LICITACIÓN.....	2
3.	PRESUPUESTO PARA CONOCIMIENTO DE LA ADMINISTRACIÓN.....	2



1. PRESUPUESTO DE EJECUCIÓN MATERIAL

El importe del Presupuesto de Ejecución Material obtenido asciende a la cantidad de CUATROCIENTOS DOCE MIL SETECIENTOS TREINTA Y UN EUROS con VEINTIÚN CÉNTIMOS (412.731,21 €).

2. PRESUPUESTO BASE DE LICITACIÓN

Incrementando el Presupuesto de Ejecución Material en un 13% de Gastos Generales y un 6% de Beneficio Industrial, aplicando además a esta suma un 21% de IVA , se obtiene un Presupuesto Base de Licitación de QUINIENTOS NOVENTA Y CUATRO MIL DOSCIENTOS NOVENTA Y UN EUROS con SESENTA Y SIETE CÉNTIMOS (594.291,67 €).

3. PRESUPUESTO PARA CONOCIMIENTO DE LA ADMINISTRACIÓN

La ejecución de la presente obra no incluye ninguna expropiación ni la afección a servicios, por tanto, el coste a pagar por estos conceptos será nulo.

Teniendo esto en cuenta, el importe del Presupuesto para Conocimiento de la Administración asciende a la cantidad de: QUINIENTOS NOVENTA Y CUATRO MIL DOSCIENTOS NOVENTA Y UN EUROS con SESENTA Y SIETE CÉNTIMOS (594.291,67 €).



ANEJO N° 22: IMPACTO AMBIENTAL



ÍNDICE

1.	IMPACTO AMBIENTAL.....	2
----	------------------------	---



1. IMPACTO AMBIENTAL

Se redacta el presente anejo para realizar una valoración del impacto que pueda tener la realización de la pasarela en el entorno de su construcción. Se justifica a continuación la no necesidad de incluir un estudio de impacto ambiental detallado en este proyecto.

La pasarela se sitúa en una zona urbana, con carácter principalmente residencial y de ocio. Se trata de la zona norte de la ciudad de Santiago de Compostela. En el lado Oeste de la zona de actuación se encuentra el barrio de As Cancelas, donde está emplazado el centro comercial más importante de la Ciudad. En la zona Este y Sureste se encuentran los edificios administrativos de la Xunta y la Estación de Autobuses. Al Sur se encuentra el Conservatorio de Música y una zona residencial y de ocio. Al norte hay varios negocios del sector servicios y se enlaza con la salida de la ciudad en dirección A Coruña y hacia el Polígono de Costa Vella.

Por las características de la zona no se considera necesario incluir un estudio de impacto ambiental detallado, considerándose además que el efecto estético que tendrá la pasarela será positivo para la zona, dotándola de una estructura sencilla y con una impresión dinámica, acorde con la fluidez del tráfico.

La normativa vigente sobre impacto ambiental en obras de este tipo es la Ley 21/2013, de 9 de Diciembre. En los Anejos I, II y III, vienen definidos los casos en los que se hace necesario este estudio:

- Anejo I. Actividades sujetas a procedimientos de evaluación de incidencia ambiental (Proyectos sometidos a la evaluación ambiental ordinaria regulada en el título II, capítulo II, sección 1ª). No se puede encuadrar este proyecto en las actividades aquí descritas.
- Anejo II. Proyectos sometidos a la evaluación ambiental simplificada regulada en el título II, capítulo II, sección 2ª. No se puede encuadrar este proyecto en las actividades aquí descritas.
- Anejo III: Criterios mencionados en el artículo 47.5 para determinar si un proyecto del anexo II debe someterse a evaluación de impacto ambiental ordinaria.

Entre las obras reflejadas en estos anejos no se incluye ninguna de características iguales o similares a la efectuada en este proyecto por lo que estrictamente no sería necesario someter a un E.I.A a la obra proyectada.

Cabe destacar también que la zona de ejecución de las obras se encuentra fuera del alcance de la RED NATURA 2000.



ANEJO N° 23: REPORTAJE FOTOGRÁFICO



ÍNDICE

1.	OBJETO.....	2
2.	REPORTAJE FOTOGRÁFICO.....	2



1. OBJETO

El presente anejo tiene por objeto mostrar la zona de actuación y el emplazamiento de la estructura mediante una serie de fotografías que nos permitan obtener una visión más completa y una mejor comprensión de la obra a realizar.

La mayor parte de las fotografías han sido tomadas durante el mes de Enero de 2016.

2. REPORTAJE FOTOGRÁFICO

IMÁGENES DE LA AVENIDA RODRÍGUEZ DE VIGURI



Vista desde margen Oeste.



Vista desde margen Este.



Vista desde rotonda de acceso Norte.



IMÁGENES DE LA AVENIDA O CAMIÑO FRANCÉS



Semáforos a eliminar.



Vista desde margen Este.



Peatón cruzando de forma temeraria.



Vista desde rotonda de acceso Norte.



Vista desde margen Oeste.

MÁS IMÁGENES



Margen Oeste Avda. O Camiño Francés.



Aparcamiento y posible zona de acopio.



Panorámica con Avda. O Camiño Francés en primer plano y Avda. Rodríguez de Viguri al fondo, tras la zona intermedia.